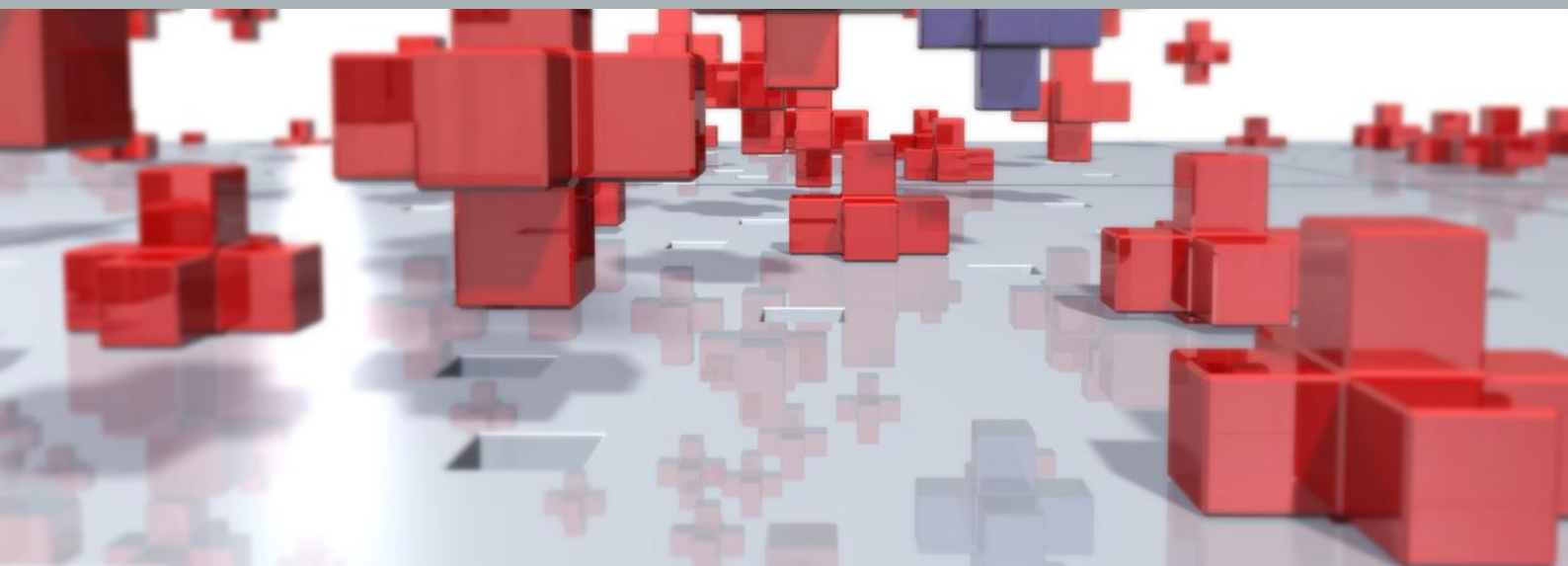


Bestemmingsplan Geertruidentuin

Gemeente Deventer

Bijlagenboek



Bestemmingsplan Geertridentuin
Gemeente Deventer
Bijlagenboek

Rapportnummer: 211x09473_bijlagen
IMRO-identificatienummer: NL.IMRO.0150.P359-VG01
Datum: 15 januari 2020
Opdrachtgever: Synchron B.V.
Projectteam BRO: WdR, AD, DvM
Bron foto kaft: BRO
Beknopte inhoud: --

BRO
Hoofdvestiging
Bosscheweg 107
5282 WV Boxtel
T +31 (0)411 850 400
E info@bro.nl

; YYfIfi]XYbh]b

≠\ ci Xgcd[Uj Y

6]^U[Yb`V]^hc Y]W h]b[.
6]^U[Y%` 5_cYgh]gW `cbXYfncY_`k Y[j Yf_YYfg`Uk UU]`Yb`ghUX]cb`)
6]^U[Y&` 5_cYgh]gW `cbXYfncY_[Yj YfYZYW]Y`	' --
6]^U[Y' `` A]]Yi ncbYf]b[.	(\$+
6]^U[Y(`` Ei]W_gWUb`ZcfUYb`Zi bU`	“(%+
6]^U[Y) `` 9W`c[]gW `cbXYfncY_`	“(' ')
6]^U[Y* `` CbXYfncY_`gh`g]cZYdcg]]Y`	“())
6]^U[Y+ `` J Yf_ YbbYbX`fUgVYgh]bL`VcXYa cbXYfncY_`	“(--
6]^U[Y, `` K UYfg]fi W]i i fd`Ub`	“(+&%
6]^U[Y- `` 5fW Yc`c[]gW Y`Vi fYU gh X]Y`	“(++)
6]^U[Y%\$` 5fW Yc`c[]gW `j Yf_ YbbYbX`VccfcbXYfncY_`	“(+ -
6]^U[Y%%` 5 Uba YX]b[gbc]h]Y`a Yf` ; YYf]fi]XYb]i]b`8 Yj Yb]Yf`	“(, &+

6]^U[Yb V]^tc Y]W h]b[

6]^U[Y%' 5_cYgh]gW `cbXYfncY_k Y[j Yf_YYfg`Uk UU]Yb`ghUX]cb

Science Park Eindhoven 5634
5692 EN SON

T +31 (0)88-5152505
E info@cauberghuygen.nl
www.cauberghuygen.nl

K.v.K. 58792562
IBAN NL71 RABO 0112 075584

**Geertruidentuin te Deventer;
akoestisch onderzoek wegverkeerslawaai en stadion De Adelaarshorst**

Datum 10 april 2019
Referentie 04514-42445-04

Referentie 04514-42445-04
Rapporttitel Geertruidentuin te Deventer;
akoestisch onderzoek wegverkeerslawaai en stadion De Adelaarshorst

Datum 10 april 2019

Opdrachtgever Synchron B.V.
Postbus 7073
2701 AB ZOETERMEER
Contactpersoon De heer A. Heijs

Behandeld door De heer ir. P.W.A. Timmers
De heer ir. S. Segers
Cauberg Huygen B.V.
Science Park Eindhoven 5634
5692 EN SON
Telefoon 088-5152505

Inhoudsopgave

1	Inleiding	4
1.1	Leeswijzer	6
2	Wettelijk kader	7
2.1	Wet geluidhinder	7
2.1.1	Systematiek grenswaarden en verzoek tot hogere grenswaarden	7
2.1.2	Dove gevels	7
2.1.3	Wegverkeerslawaai	7
2.1.4	Spoorweglawaai	8
2.1.5	Industrielawaai	8
2.1.6	Cumulatie geluidbronnen	9
2.2	Gemeentelijk geluidbeleid	9
2.3	Toetsingskader geluidimmissie stadion	9
3	Uitgangspunten onderzoek	10
3.1	Tekeningen en planinformatie	10
3.2	Wegverkeersgegevens	10
3.3	Stadion De Adelaarshorst	10
4	Rekenmethoden geluidbelastingen	11
4.1	Wegverkeerslawaai	11
4.2	Nadere toelichting invoergegevens akoestische rekenmodel	11
4.3	Industrielawaai	11
4.4	Gecumuleerde geluidbelasting methode Miedema	12
5	Berekeningsresultaten	13
5.1	Rekenresultaten wegverkeerslawaai	13
5.1.1	Rekenresultaten Ceintuurbaan	13
5.1.2	Rekenresultaten Brinkgreverweg	14
5.1.3	Rekenresultaten Hoge Hondstraat	14
5.1.4	Rekenresultaten N337 (Van Oldenielstraat)	14
5.1.5	Rekenresultaten 30 km/u wegen	15
5.1.6	Totale geluidbelasting wegverkeerslawaai	16
5.2	Toetsing gemeentelijk geluidbeleid	21
5.3	Rekenresultaten geluidimmissie stadion De Adelaarshorst Go Ahead Eagles	21
5.3.1	Rekenresultaten 'niet-wedstrijddag'	21
5.3.2	Rekenresultaten 'wedstrijddag dagperiode'	22
5.3.3	Rekenresultaten 'wedstrijddag avondperiode'	22
5.3.4	Beschouwing geluidimmissie stadion De Adelaarshorst	22
5.4	Gecumuleerde geluidbelasting Miedema	23

6	Afweging maatregelen en aanvraag hogere waarden	25
6.1	Maatregelen aan de bron	25
6.2	Maatregelen in het overdrachtsgebied	26
6.3	Maatregelen aan de ontvangzijde	26
6.4	Aanvraag hogere waarden	26
7	Samenvatting en conclusies	27

Figuren

Figuur I	Tekeningen
Figuur II	Overzicht rekenmodel wegverkeerslawaaï
Figuur II-1	Overzicht wegverkeermodel
Figuur II-2	Overzicht rekenmodel: gebouwen en wegen
Figuur II-3	Overzicht rekenmodel: bodemgebieden en hoogtelijnen
Figuur II-4	Overzicht rekenmodel: toetspunten
Figuur III	Overzicht rekenmodellen stadion De Adelaarshorst
Figuur IV	Overzicht geluidbelasting stadion De Adelaarshorst ($L_{Ar,LT}$ wedstrijd dag avond)

Bijlagen

Bijlage I	Verkeersgegevens
Bijlage II	Invoergegevens rekenmodel (Geomilieu)
Bijlage III	Rekenresultaten wegverkeerslawaaï
Bijlage III-1	Rekenresultaten Ceintuurbaan
Bijlage III-2	Rekenresultaten Brinkgreverweg
Bijlage III-3	Rekenresultaten Hoge Hondstraat
Bijlage III-4	Rekenresultaten N337 (Van Oldenielstraat)
Bijlage III-5	Rekenresultaten H.J.P. Fesevurstraat
Bijlage III-6	Rekenresultaten Van Calcarstraat
Bijlage III-7	Rekenresultaten H.G. Gooszenstraat
Bijlage III-8	Totale geluidbelasting wegverkeerslawaaï
Bijlage IV	Rekenresultaten geluidmissie stadion De Adelaarshorst
Bijlage IV-1	Rekenresultaten $L_{Ar,LT}$ en L_{Amax} niet-wedstrijddag
Bijlage IV-2	Rekenresultaten $L_{Ar,LT}$ en L_{Amax} dagperiode wedstrijddag
Bijlage IV-3	Rekenresultaten $L_{Ar,LT}$ en L_{Amax} avondperiode wedstrijddag
Bijlage IV-4	Rekenresultaten indirecte hinder avondperiode wedstrijddag
Bijlage V	Cumulatieve geluidbelasting

1 Inleiding

In opdracht van Synchron B.V. wordt door Cauberg Huygen een akoestisch onderzoek voor de woningbouwlocatie (nieuwbouw en herontwikkeling) 'Geertruidentuin' te Deventer uitgevoerd. In voorliggend rapport wordt het akoestisch onderzoek uitgevoerd naar de optredende geluidbelastingen vanwege wegverkeer in het kader van de Wet geluidhinder en worden de geluidniveaus ten gevolge van de activiteiten bij het stadion Adelaarshorst van voetbalclub Go Ahead Eagles inzichtelijk gemaakt.

De locatie van het voormalige St. Geertruidenziekenhuis aan de Ceintuurbaan in Deventer is sinds het vertrek van het ziekenhuis in 2008 in afwachting van herontwikkeling. Het merendeel van de bij het ziekenhuis behorende bebouwing is daartoe enige jaren geleden gesloopt. Het karakteristieke, inmiddels als gemeentelijk monument aangeduide SMCD-gebouw is, evenals de voormalige apotheek aan de Van Calcarstraat, behouden. Dit monumentale gebouw zal worden herontwikkeld tot een woongebouw. Rondom dit bestaande gebouw zal nieuwbouw worden gerealiseerd (clusters 1 t/m 5). In onderstaande figuur 1.1 wordt het plangebied weergegeven.



Figuur 1.1: Plangebied Geertruidentuin te Deventer, SMCD-gebouw en clusters 1 t/m 5: nieuwbouw

De planlocatie is omgeven door de Ceintuurbaan, Brinkgreverweg, H.J.P. Fesevurstraat en de Van Calcarstraat. Onderstaande figuur 1.2 geeft een overzicht van de plansituatie. De geplande geluidgevoelige bestemmingen (woningen) betreffen een nieuwe situatie in de zin van de Wet geluidhinder. De planlocatie bevindt zich volgens de Wet geluidhinder binnen de zone van de Ceintuurbaan, Brinkgreverweg, Hoge Hondstraat en de Van Oldenielstraat (N337). Om die reden is voor de planlocatie een akoestisch onderzoek verricht. De locatie is niet gelegen binnen de zone van een spoorweg of gezoneerd industrieterrein.



Figuur 1.2: Situatie planlocatie

Verder is de planlocatie omgeven door verschillende 30 km/u wegen. 30 km/uur wegen hebben geen geluidzone volgens de Wet geluidhinder. In het kader van een goede ruimtelijke ordening (en ten behoeve van de bouwvergunning) is het desalniettemin noodzakelijk om de invloed van de nabijgelegen 30 km/uur wegen inzichtelijk te maken. Hierbij gaat het met name om de H.J.P. Fesevurstraat, Van Calcarstraat en H.G. Gooszenstraat.

Daarnaast zijn de gebouwen gelegen binnen de invloedssfeer van het stadion De Adelaarshorst (Go Ahead Eagles). De gebouwen kunnen als gevolg van het industrielawaai mogelijk een geluidbelasting op de gevel ondervinden. De geluidmissie ten gevolge van de activiteiten bij het stadion worden in de voorliggende rapportage tevens inzichtelijk gemaakt.

Aan de hand van voorliggend akoestisch onderzoek wordt de geluidbelasting ten gevolge van wegverkeer en industrielawaai (stadion) ter plekke van de gevels van de diverse woonblokken vastgesteld.

1.1 Leeswijzer

De doelstelling van het geluidonderzoek is het vaststellen en het beoordelen van de geluidbelastingen ter hoogte van de planlocatie. Onderzocht is of wordt voldaan aan de voorkeursgrenswaarde wegverkeerslawaai, vervolgens of bij uitwerking hogere grenswaarden krachtens de Wet geluidhinder kunnen worden aangevraagd en waar zo nodig maatregelen moeten worden toegepast.

In deze rapportage zullen eerst de aspecten uit de Wet geluidhinder en het gemeentelijk geluidbeleid, die op dit plan van toepassing zijn, aan bod komen. Vervolgens zullen de berekeningen en de toetsing van de geluidbelastingen worden beschreven. Tevens zal worden ingegaan op de aanvullende bepalingen uit het gemeentelijk geluidbeleid van de gemeente Deventer.

2 Wettelijk kader

2.1 Wet geluidhinder

Ten behoeve van dit geluidonderzoek is gebruik gemaakt van de Wet geluidhinder (Stb. 2017 157), zoals deze geldt per 1 mei 2017 (Stb. 2017, 131).

Er worden nieuwe geluidgevoelige bestemmingen (woningen) mogelijk gemaakt.

2.1.1 Systematiek grenswaarden en verzoek tot hogere grenswaarden

In de Wet geluidhinder en in het Besluit geluidhinder worden respectievelijk voor wegverkeerslawaai, spoorweglawaai en industrielawaai twee typen grenswaarden benoemd: de zogenaamde voorkeursgrenswaarde en de maximaal te verlenen ontheffingswaarde. Per geluidbron (per weg, per spoorweg, per industrieterrein) wordt aan de grenswaarden getoetst.

Bij een overschrijding van de voorkeursgrenswaarde, maar niet van de maximale ontheffingswaarde, kan een zogenaamde hogere grenswaarde worden aangevraagd bij het College van Burgemeester en Wethouders (B en W).

Het vaststellen van een hogere waarde door B en W is mogelijk indien maatregelen om de geluidbelasting te reduceren aan bron (verkeer) of tussen bron en ontvanger (gebouw), zoals schermen of verkeers-reducerende maatregelen, niet doelmatig zijn of bezwaren van stedenbouwkundige, verkeerskundige, vervoerkundige, landschappelijke of financiële aard ondervinden.

Indien ook de maximaal te verlenen ontheffingswaarde wordt overschreden is in principe geen geluidgevoelige functie mogelijk tenzij deze wordt voorzien van maatregelen (dove gevels).

2.1.2 Dove gevels

De Wet geluidhinder benoemt grenswaarden voor de geluidbelastingen op de gevels van geluidgevoelige gebouwen. Dove gevels zijn echter gevels waarvan de geluidbelastingen op deze gevels niet hoeven te worden getoetst aan deze grenswaarden. Dove gevels zijn:

- gevels zonder aanwezige te openen delen en die voldoen aan een karakteristieke geluidwering van tenminste het verschil van de geluidbelasting en een waarde van 33 dB, onderscheidenlijk 35 dB(A);
- gevels met bij uitzondering te openen delen, mits deze delen niet grenzen aan een geluidgevoelige ruimte (slaap-, woon- of eetkamer). Voorbeelden zijn:
 - een raam in een gevel van een besloten keuken met een vloeroppervlakte van minder dan 11 m²;
 - een raam in een hal van een woning;
 - een nooduitgang.

2.1.3 Wegverkeerslawaai

Zones langs wegen

Conform hoofdstuk VI van de Wet geluidhinder (zones langs wegen) hebben alle wegen een zone, uitgezonderd een aantal situaties waaronder wegen met een maximumsnelheid van 30 km/uur. De zone is een gebied waarbinnen een nader akoestisch onderzoek verplicht is.

De breedte van de zone, aan weerszijden van de weg, is afhankelijk van het aantal rijstroken en de aard van de omgeving (stedelijk of buitenstedelijk), zie tabel 2.1.

Tabel 2.1: Schema zonebreedte aan weerszijden van de weg

Aantal rijstroken		Zonebreedte [m]
Stedelijk	Buitenstedelijk	
1 of 2	-	200
3 of meer	-	350
-	1 of 2	250
-	3 of 4	400
-	5 of meer	600

De planlocatie is gelegen binnen de bebouwde kom (binnenstedelijk). In het kader van de Wet geluidhinder is de planlocatie gelegen binnen de geluidzone van:

- De Ceintuurbaan, Brinkgreverweg en Hoge Hondstraat hebben elk ter hoogte van de planlocatie 2 rijstroken. De zonebreedte bedraagt 200 m zodat de planlocatie binnen deze zones is gelegen.
- De Van Oldenielstraat heeft ter hoogte van de planlocatie 2 rijstroken en gaat over in 4 rijstroken ter hoogte van de kruising met de Brinkgreverweg. De zonebreedte bedraagt 350 m zodat de planlocatie binnen deze zone is gelegen.

De overige wegen rondom de planlocatie zijn uitgevoerd als 30 km/uur wegen. 30 km/uur wegen hebben geen geluidzone volgens de Wet geluidhinder. In het kader van een goede ruimtelijke ordening (en ten behoeve van de bouwvergunning) is het desalniettemin noodzakelijk om de invloed van de nabijgelegen 30 km/uur wegen inzichtelijk te maken. Hierbij gaat het met name om de H.J.P. Fesevurstraat, Van Calcarstraat en H.G. Gooszenstraat.

Grenswaarden geluidbelasting ten gevolge van wegverkeer

De voorkeursgrenswaarde vanwege wegverkeerslawaai bedraagt 48 dB en de maximaal te verlenen ontheffingswaarde 63 dB (binnenstedelijk, stedelijke wegen).

2.1.4 Spoorweglawaai

De planlocatie is niet binnen de geluidzone van een hoofdspoorweg gelegen. Spoorweglawaai dient dan ook niet nader onderzocht te worden.

2.1.5 Industrielawaai

De planlocatie is niet binnen de geluidzone van een gezoneerd industrieterrein gelegen. Industrielawaai in het kader van de Wet geluidhinder hoeft dan ook niet te worden onderzocht.

2.1.6 Cumulatie geluidbronnen

Indien een plan geluid ondervindt van meer dan één geluidbron, dient tevens onderzoek gedaan te worden naar de effecten van de samenloop van de verschillende geluidbronnen. Er dient te worden aangegeven op welke wijze met de samenloop rekening is gehouden bij het bepalen van de te treffen maatregelen (art. 110a en 110f van de Wgh). In de berekening worden de 30 km/u wegen meegenomen.

2.2 Gemeentelijk geluidbeleid

Het beleid van de gemeente Deventer is weergegeven in het interim-beleid 'Wet geluidhinder- beleid t.a.v. de voorkeursgrenswaarden en de ten hoogste toelaatbare geluidsbelasting'. In deze beleidsregel is vastgelegd onder welke voorwaarden van de ten hoogste toelaatbare geluidsbelasting gebruik kan worden gemaakt.

Conform het hogere grenswaardenbeleid van de gemeente Deventer verlenen burgemeester en wethouders alleen hogere grenswaarden indien aan bepaalde voorwaarden voldaan wordt. Het bouwplan 'Geertruidentuin' voldoet aan de volgende voorwaarden:

- ter plaatse gesitueerd worden als vervanging van bestaande bebouwing;
- door de gekozen situering een open plaats tussen aanwezige bebouwing opvullen;
- zijn opgenomen in een dorps- of stadsvernieuwingsplan.

Tevens is in het hogere grenswaardenbeleid opgenomen dat burgemeester en wethouders in beginsel alleen een hogere waarde dan 53 dB als de ten hoogste toelaatbare geluidsbelasting zullen vaststellen, indien voldoende verzekerd wordt dat de verblijfsruimten, alsmede de tot de woning behorende buitenruimten niet aan de uitwendige scheidingsconstructie worden gesitueerd waar de hoogste geluidsbelasting optreedt, tenzij overwegingen van stedenbouw of volkshuisvesting zich daartegen verzetten.

2.3 Toetsingskader geluidimmissie stadion

In opdracht van Go Ahead Eagles heeft Witteveen+Bos een akoestisch onderzoek verricht met betrekking tot de aanvraag van de omgevingsvergunning en wijziging van het bestemmingsplan voor het stadion 'De Adelaarshorst' te Deventer. De uitgangspunten en resultaten van dit onderzoek zijn opgenomen in het rapport 'Akoestisch onderzoek uitbreiding De Adelaarshorst 2014' gedateerd 9 december 2014 met referentie DV1281-1/14-023.274.

Het wettelijk kader opgenomen in het rapport van Witteveen+Bos is gehanteerd in voorliggend akoestisch onderzoek. Opgemerkt wordt dat de omgevingsvergunning verleend is op 23 februari 2015 door de gemeente Deventer. De rekenresultaten uit de voornoemde rapportage zijn door de gemeente Deventer overgenomen als geluidsvoorschriften in de vigerende vergunning.

3 Uitgangspunten onderzoek

3.1 Tekeningen en planinformatie

Voor het akoestisch onderzoek is gebruik gemaakt van het door de opdrachtgever aangeleverde inrichtingsplan, opgesteld door Compositie 5 Stedenbouw BV gedateerd 27 februari 2019, zie ook bijgevoegde figuur I. Verder is gebruik gemaakt van het (voorlopige) ontwerp van de woningen gedateerd op 14 maart 2019 en de samenvatting van het conceptmasterplan Geertruidentuin d.d. 6 maart 2019. Daarnaast zijn de overige parameters (hoogte, bodemgesteldheid et cetera) middels Google Earth geïnventariseerd.

3.2 Wegverkeersgegevens

De verkeersgegevens van de stedelijke wegen zijn aangeleverd door de Omgevingsdienst IJsselland in naam van de gemeente Deventer. Aangereikt zijn de gegevens voor het prognosejaar 2030; dit zijn de etmaalintensiteiten, uurintensiteiten, voertuigverdeling, rijsnelheid en type wegdekverharding. In bijlage I zijn de verkeersgegevens toegevoegd.

3.3 Stadion De Adelaarshorst

In opdracht van Go Ahead Eagles heeft Witteveen+Bos een akoestisch onderzoek verricht met betrekking tot de aanvraag van de omgevingsvergunning en wijziging van het bestemmingsplan voor het stadion 'De Adelaarshorst' te Deventer.

Witteveen+Bos heeft aangegeven graag zelf beheerder te blijven van de akoestische rekenmodellen van het stadion van Go Ahead Eagles. Na overleg is beslist dat Cauberg Huygen het gemodelleerde bouwplan 'Geertruidentuin' met omgeving aanlevert aan Witteveen+Bos, zodat zij deze gegevens kunnen invoeren in de rekenmodellen van het stadion De Adelaarshorst en de rekenresultaten ter beschikking stelt ten behoeve van voorliggend akoestisch onderzoek.

De uitgangspunten opgenomen in de rapportage van Witteveen+Bos met betrekking tot de representatieve bedrijfssituatie (RBS) zijn van toepassing voor het huidige geluidonderzoek. Er is onderscheid gemaakt tussen twee representatieve bedrijfssituaties:

- Niet-wedstrijddag
- Wedstrijddag (aanvang in de avond)

Tijdens de niet-wedstrijddagen bestaan de akoestisch relevante activiteiten met name uit onderhoud van de velden, installatiegeluid, de business lounge en transportbewegingen. Indirecte hinder op de niet-wedstrijddag vindt alleen plaats op de Vetkampstraat. Dit heeft geen invloed op het plan en is daartoe niet berekend.

Tijdens wedstrijddagen zal gedurende circa 3 uur de geluidemissie bepaald worden door muziekgeluid, stemgeluid, transportbewegingen en installaties voor luchtbehandeling. Voor indirecte hinder op een wedstrijddag is niet uitgegaan van een wedstrijd in de dagperiode, maar in de avondperiode (maatgevend). De geluidniveaus ter hoogte van het bouwplan zullen niet relevant zijn, omdat het uitgangspunt is dat de verkeersbewegingen op een bepaald moment onderdeel uitmaken van het heersende verkeersbeeld.

4 Rekenmethoden geluidbelastingen

4.1 Wegverkeerslawaai

De berekeningen van de geluidbelastingen L_{den} zijn uitgevoerd conform het Reken- en meetvoorschrift geluid 2012, (hierna te noemen: RMG2012). Voor de berekeningen is gebruik gemaakt van Standaard Rekenmethode II uit bijlage III van het RMG2012.

Bij de berekeningen wordt de equivalente geluidniveaus van dag-, avond- en nachtperioden bepaald. Voor een vergelijking met de wettelijke grenswaarden wordt uit deze dag-, avond- en nachtwaarden de geluidbelasting L_{den} vastgesteld. Deze geluidbelasting L_{den} wordt berekend met behulp van de volgende formule:

$$L_{den} = 10 * \log \left(\frac{12 * 10^{\left(\frac{L_{dag}}{10}\right)} + 4 * 10^{\left(\frac{L_{avond}+5}{10}\right)} + 8 * 10^{\left(\frac{L_{nacht}+10}{10}\right)}}{24} \right) \text{ in dB}$$

Op de berekende geluidbelastingen mag, conform artikel 110g van de Wet geluidhinder, een correctie worden toegepast. Zoals omschreven in artikel 3.4 van het RMG2012 is de te hanteren aftrek 5 dB voor wegen waar de representatief te achten snelheid lager is dan 70 km/uur (30 km/u wegen: geen aftrek).

De berekeningen van het wegverkeerslawaai zijn uitgevoerd met behulp van het computerprogramma Geomilieu v.4.50 van DGMR. In bijlage II zijn de belangrijkste gegevens van het geluidinvoermodel opgenomen, bijgevoegde figuur II toont een overzicht van het vervaardigde rekenmodel.

4.2 Nadere toelichting invoergegevens akoestische rekenmodel

In het rekenmodel is uitgegaan van de volgende rekenparameters en uitgangspunten:

- bodemfactor algemeen: 1,0 (akoestisch zachte bodem zoals grasvelden);
- bodemfactor gedefinieerde bodemgebieden: 0,0 (akoestisch harde bodem zoals verhardingen) en 0,5 (tuinen, semi-zacht);
- sectoren met een zichthoek van 2 graden;
- meteorologische correcties: SRMII RMG2012;
- luchtdemping: standaard SRMII RMG2012.

4.3 Industrielawaai

Witteveen+Bos is beheerder van de akoestische rekenmodellen van het stadion van Go Ahead Eagles. Cauberg Huygen heeft het gemodelleerde bouwplan 'Geertruidentuin' met omgeving (zie paragraaf 4.1 en 4.2) aangeleverd aan Witteveen+Bos, die deze gegevens heeft ingevoerd in de rekenmodellen van het stadion De Adelaarshorst en de optredende geluidniveaus ter plaatse van het bouwplan heeft uitgerekend. Witteveen+Bos heeft de rekenresultaten ($L_{Ar,LT}$, L_{Amax} en indirecte hinder voor beide RBS) aangeleverd. In bijgevoegde figuur III is een overzicht gegeven van de diverse rekenmodellen van het stadion De Adelaarshorst.

Voor het rapport bij de vigerende vergunning ('Akoestisch onderzoek uitbreiding De Adelaarshorst 2014' met kenmerk DV1281-1/14-023.274 d.d. 9 december 2014) zijn immissiemetingen uitgevoerd tijdens 3 wedstrijden. Het geluid is voornamelijk afkomstig van de tribunes. De bronvermogens van de tribunes opgenomen in het rekenmodel zijn gebaseerd op de geluidmetingen. Uit de metingen tijdens de wedstrijden blijkt dat de maximale geluidniveaus 15 dB(A) hoger zijn dan equivalente geluidniveaus. Piekniveaus treden op tijdens een doelpunt of gezang. Door Witteveen+Bos zijn voor de RBS 'wedstrijddag' 2 scenario's uitgewerkt: een wedstrijd in de dagperiode en een wedstrijd in de avondperiode. Overigens wordt voor aanvang van een wedstrijd soms muziek gedraaid. Tijdens de immissiemetingen was dit met momenten herkenbaar. Echter naar alle verwachting zal ter hoogte van het nieuwbouwplan Geertruidentuin muziekgeluid niet herkenbaar zijn. De strafcorrectie voor muziekgeluid wordt dan ook niet toegepast.

4.4 Gecumuleerde geluidbelasting methode Miedema

Voor beoordeling van het akoestisch woon- en leefklimaat ter plaatse van de nieuw te realiseren woningen is inzicht noodzakelijk in de cumulatie van alle geluidbronnen. De berekende waarden ten gevolge van de gezoneerde bronnen en alle overige geluidbronnen wordt gecumuleerd. Hiervoor wordt gebruik gemaakt van de methode Miedema die inzicht geeft in de akoestische kwaliteit ter plaatse voor een situatie waarin meerdere geluidbronnen een rol spelen.

Het basisprincipe van de methode Miedema is dat de geluidbelastingen vanwege de verschillende bronnen naar rato van hun hinderbijdrage worden opgeteld. Hierbij worden de geluidbelastingen van de verschillende bronnen naar een standaard van stedelijk verkeer omgerekend en daarna opgeteld. Deze methode is beschreven in "Geluid, geur, en milieukwaliteit" (Publicatierreeks verstoring nr. 4a/1993 van het ministerie van VROM).

De verschillende geluidbronnen rondom het bouwplan zijn toegekend aan de verschillende categorieën uit de methode Miedema met daaraan verbonden de weegfactoren (binnenstedelijk wegverkeerslawaai en niet-impulsachtig industrielawaai).

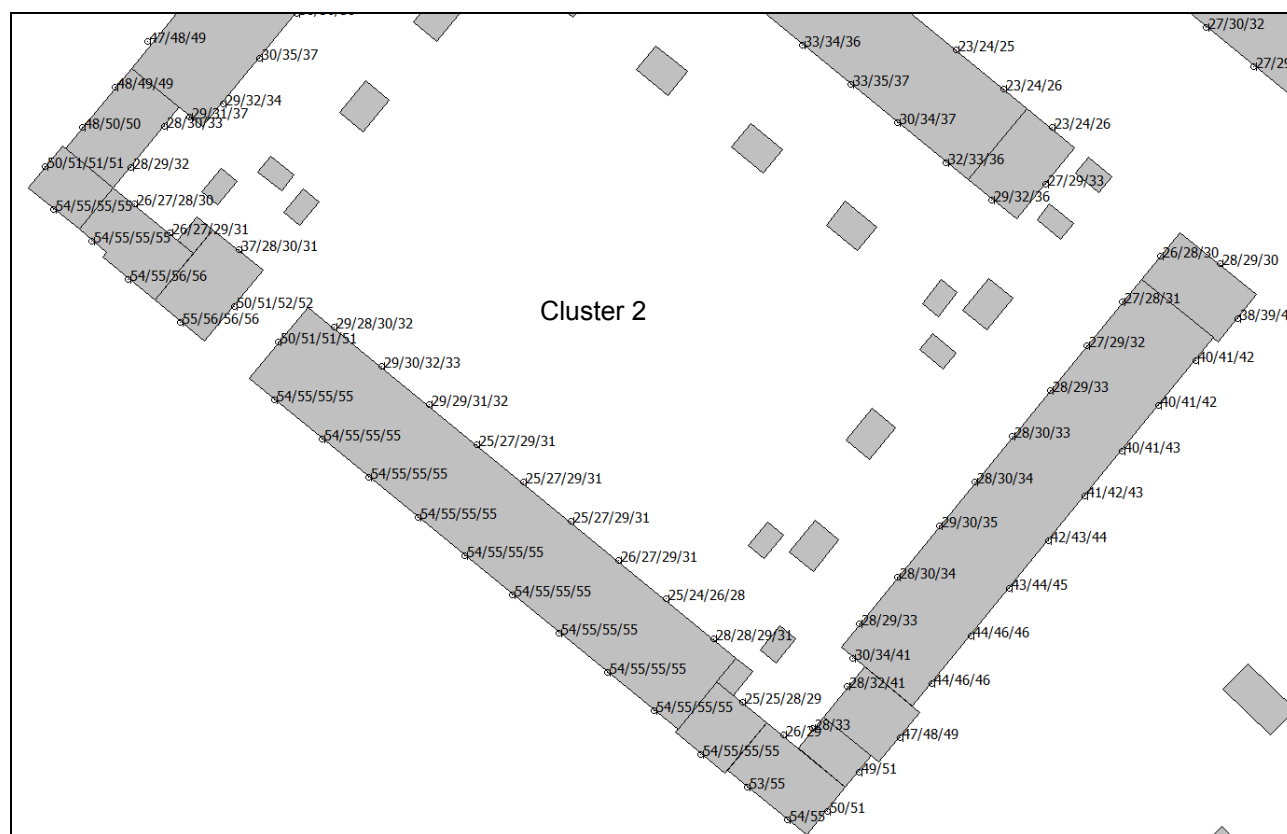
5 Berekeningsresultaten

5.1 Rekenresultaten wegverkeerslawaai

De berekeningsresultaten zijn per geluidbron (per weg) beschouwd, omdat toetsing aan de Wet geluidhinder per geluidbron dient plaats te vinden. Alle gepresenteerde geluidbelastingen vanwege wegverkeerslawaai zijn inclusief de aftrek conform artikel 110g van de Wet geluidhinder. Bijlage III toont een overzicht van alle geluidbelastingen. Een overzicht van de waarneempunten is weergegeven in bijgevoegde figuur II-4.

5.1.1 Rekenresultaten Ceintuurbaan

De geluidbelasting ten gevolge van wegverkeer op de Ceintuurbaan bedraagt maximaal 56 dB L_{den} . Er wordt niet overal voldaan aan de voorkeursgrenswaarde van 48 dB. Ter plaatse van de clusters 2 en 4 wordt de voorkeurswaarde overschreden. De maximale ontheffingswaarde van 63 dB wordt nergens niet overschreden. In bijlage III-1 zijn de geluidbelastingen opgenomen. In figuur 5.1 en figuur 5.2 worden de geluidbelastingen op de gevels van de relevante clusters getoond.



Figuur 5.1: Geluidbelastingen ten gevolge van wegverkeer op de Ceintuurbaan (cluster 2) – waarden inclusief aftrek artikel 110g Wgh

5.1.5 Rekenresultaten 30 km/u wegen

De overige wegen rondom de planlocatie zijn uitgevoerd als 30 km/uur wegen. 30 km/uur wegen hebben geen geluidzone volgens de Wet geluidhinder, waarvoor formeel geen wettelijk toetsingskader geldt. In het kader van een goede ruimtelijke ordening (en ten behoeve van de bouwvergunning) is het desalniettemin noodzakelijk om de invloed van de nabijgelegen 30 km/uur wegen inzichtelijk te maken. Hierbij gaat het met name om de H.J.P. Fesevurstraat, Van Calcarstraat en H.G. Gooszenstraat.

i. H.J.P. Fesevurstraat

De geluidbelasting ten gevolge van het wegverkeer op de H.J.P. Fesevurstraat bedraagt maximaal 54 dB L_{den} (geen aftrek). De geluidbelasting is in ieder geval hoger dan 48 dB (voorkeursgrenswaarde wegverkeerslawaai indien van toepassing), en hoger dan 53 dB waardoor sprake is van een (licht) verhoogde geluidbelasting. Dit treedt enkel op ter plaatse van cluster 3, voor de overige clusters is de geluidbelasting gelijk aan of beneden 53 dB. In het kader van een goede ruimtelijke ordening wordt geadviseerd de geluidbelasting ten gevolge van de voornoemde weg mee te nemen in de berekening naar de geluidwerende kwaliteit van de gevel (gecumuleerde geluidbelasting). In bijlage III-5 zijn de geluidbelastingen opgenomen. In figuur 5.3 wordt de geluidbelasting op de gevels van de woningen binnen cluster 3 getoond.



Figuur 5.3: Geluidbelastingen t.g.v. wegverkeer op de H.J.P. Fesevurstraat (cluster 3) – waarden exclusief aftrek artikel 110g Wgh

ii. Van Calcarstraat

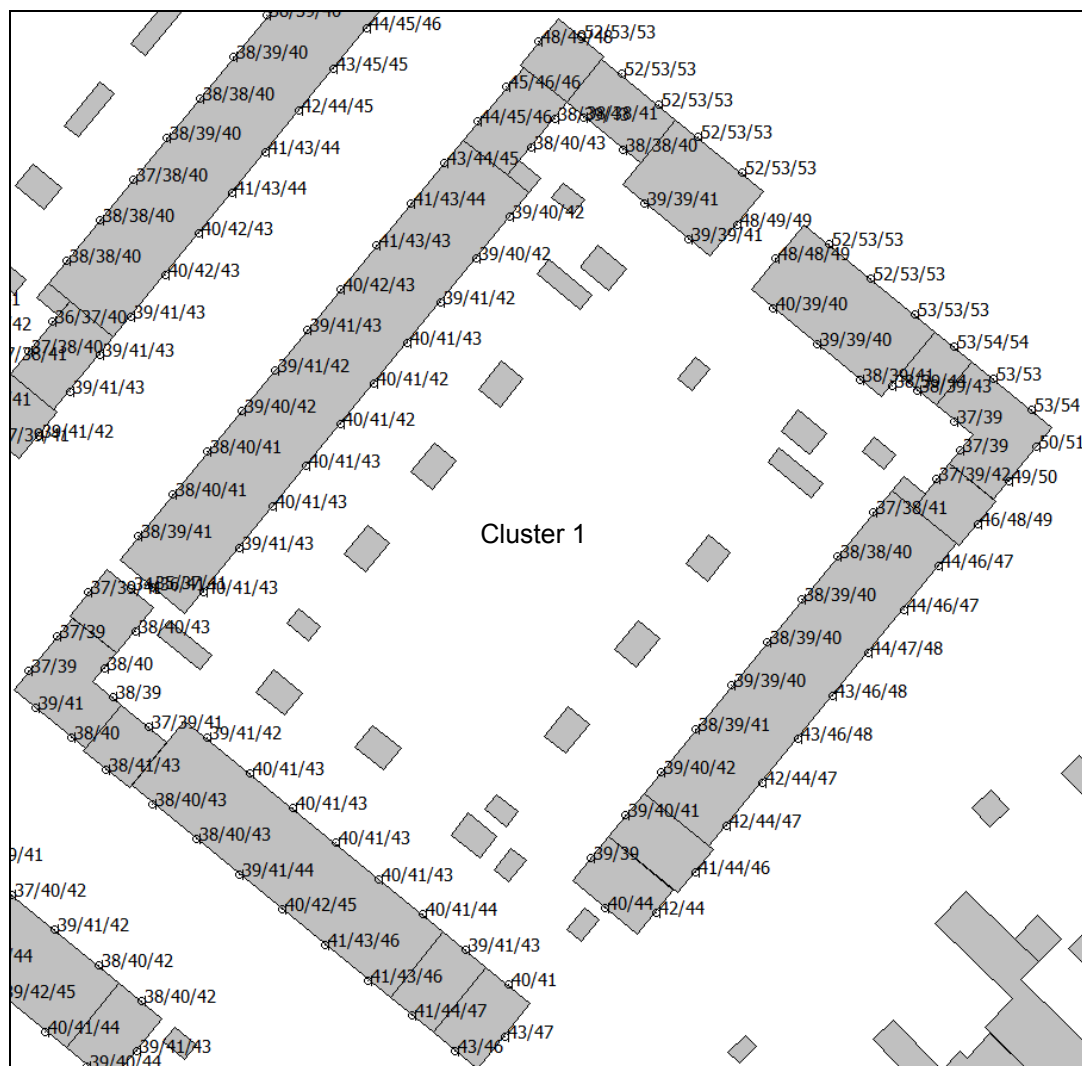
De geluidbelasting ten gevolge van wegverkeer op de Van Calcarstraat bedraagt maximaal 53 dB L_{den} (geen aftrek). In bijlage III-6 zijn de geluidbelastingen opgenomen. De geluidbelasting is groter dan 48 dB (voorkeurswaarde wegverkeerslawaai indien van toepassing), maar gelijk aan of lager dan 53 dB waardoor er geen sprake is van een verhoogde geluidbelasting. In het kader van een goede ruimtelijke ordening vormt de voornoemde weg geen belemmering voor het bouwplan.

iii. H.G. Gooszenstraat

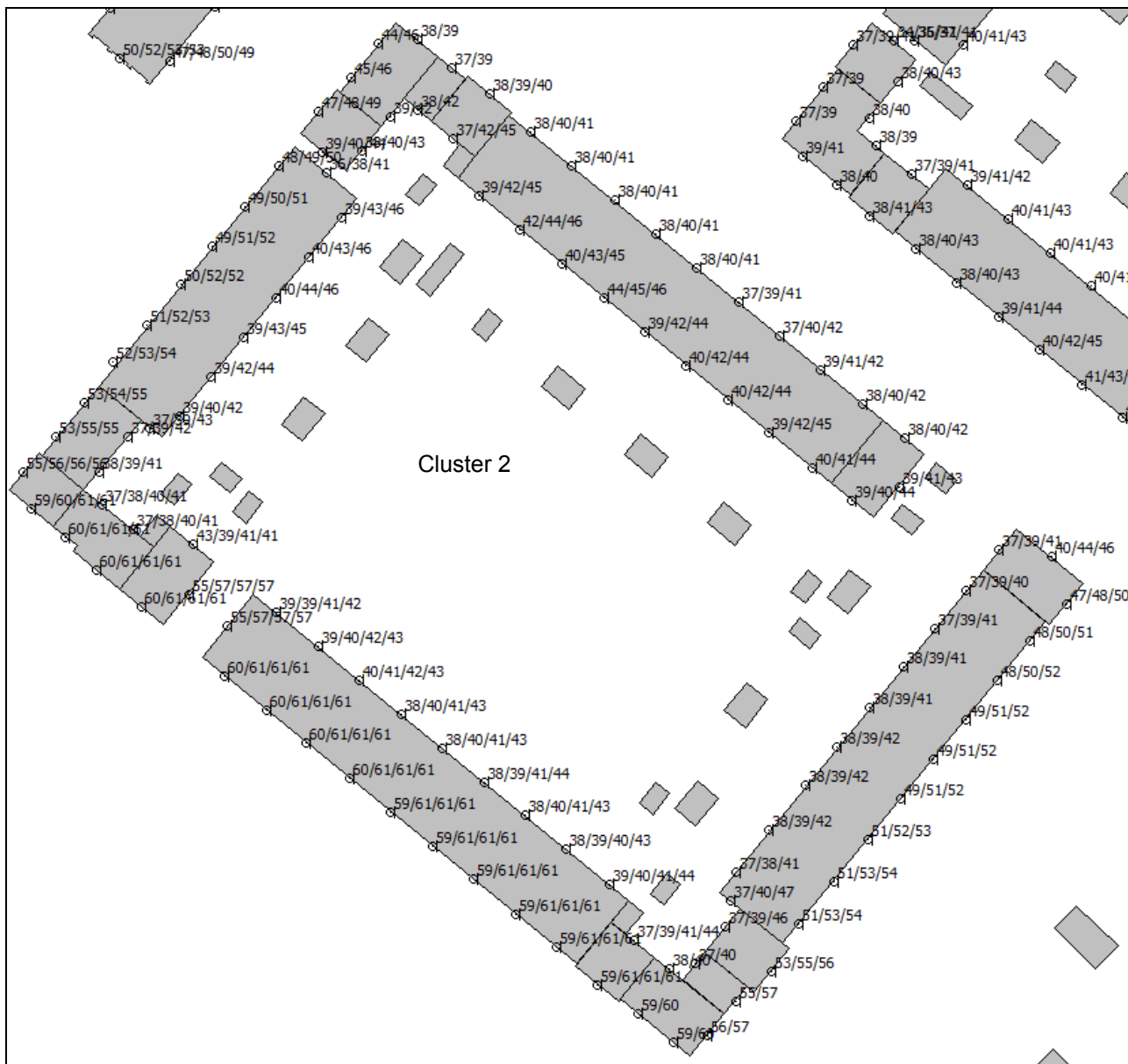
De geluidbelasting ten gevolge van het wegverkeer op de H.G. Gooszenstraat bedraagt maximaal 48 dB L_{den} (geen aftrek). De geluidbelasting is in ieder geval gelijk aan of kleiner dan 48 dB (voorkeurswaarde wegverkeerslawaai indien van toepassing). In bijlage III-7 zijn de geluidbelastingen opgenomen. In het kader van een goede ruimtelijke ordening vormt de voornoemde weg geen belemmering voor het bouwplan.

5.1.6 Totale geluidbelasting wegverkeerslawaai

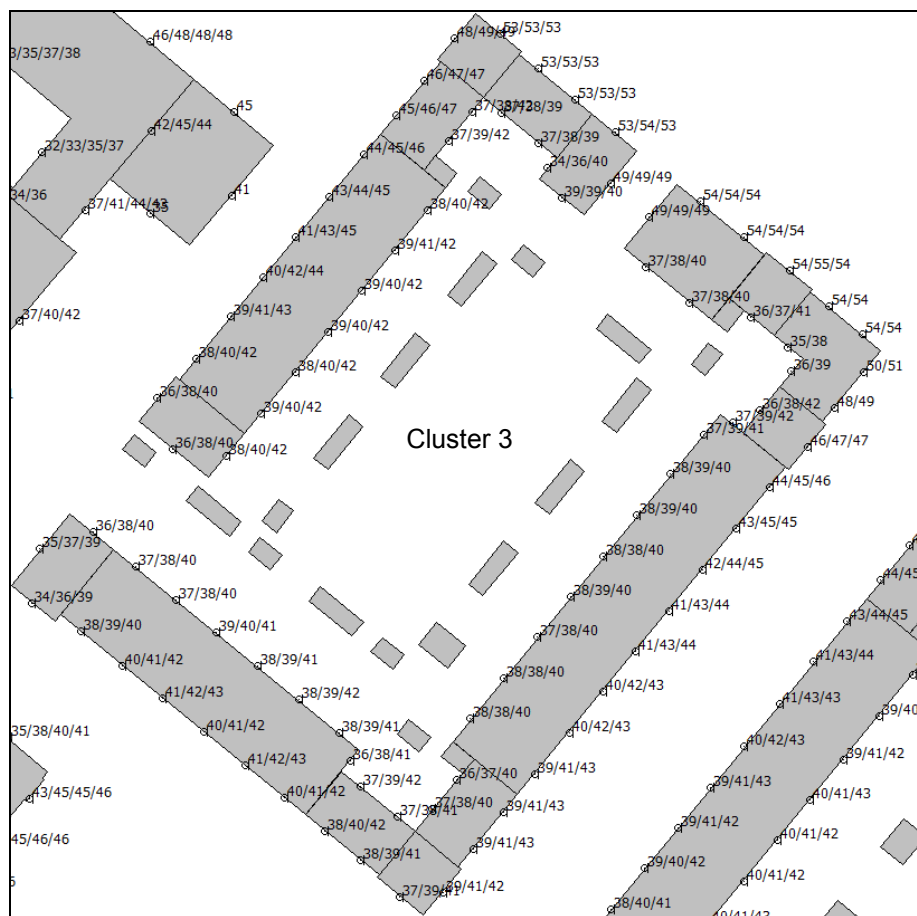
Er vinden ter hoogte van meerdere clusters overschrijdingen van de voorkeursgrenswaarde plaats vanwege de Ceintuurbaan. Er is onderzoek gedaan naar de effecten van de samenloop van de verschillende geluidbronnen. Op de geluidbijdragen van het wegverkeerslawaai wordt de aftrek conform artikel 110g van de Wet geluidhinder niet toegepast. De 30 km/u wegen zijn in de berekening meegenomen. Een overzicht van de totale geluidbelasting wegverkeerslawaai is weergegeven in bijlage III-8. De totale geluidbelasting ten gevolge van wegverkeer bedraagt maximaal 62 dB exclusief aftrek. Een grafisch overzicht van de optredende totale geluidbelasting is weergegeven in figuur 5.4.



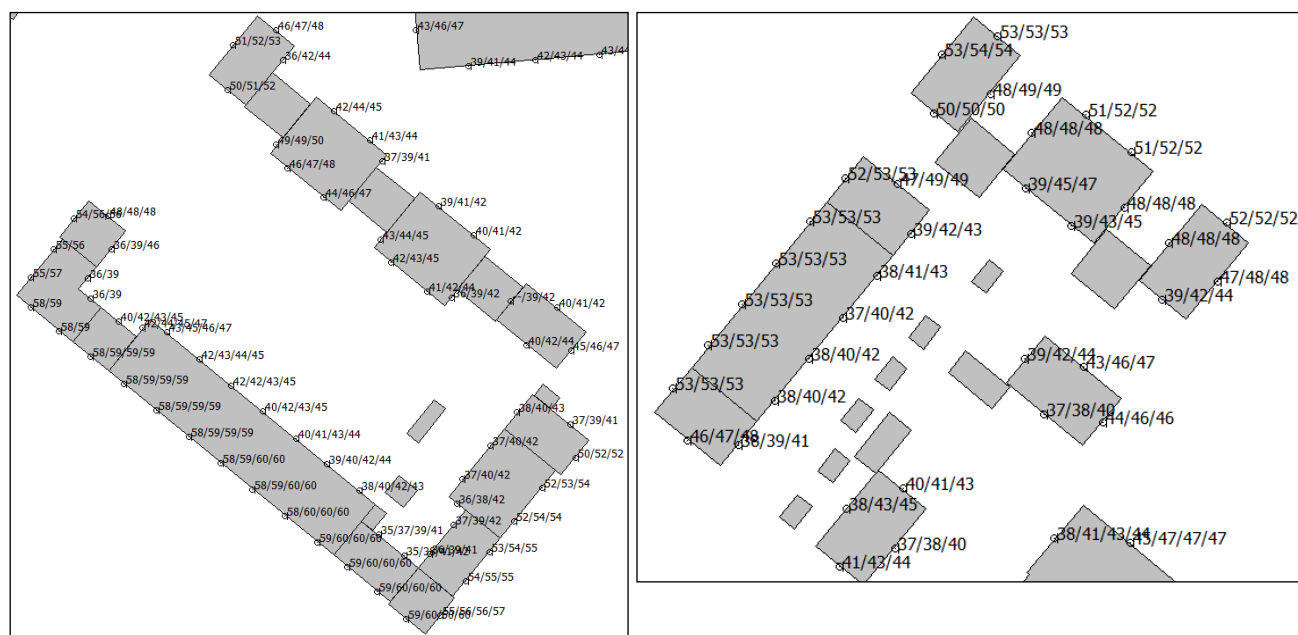
Figuur 5.4: Totale geluidbelasting wegverkeerslawaai (cluster 1) – waarden exclusief aftrek artikel 110g Wgh



Figuur 5.5: Totale geluidbelasting wegverkeerslawaai (cluster 2) – waarden exclusief aftrek artikel 110g Wgh



Figuur 5.6: Totale geluidbelasting wegverkeerslawaai (cluster 3) – waarden exclusief aftrek artikel 110g Wgh



Figuur 5.7: Totale geluidbelasting wegverkeerslawaai (cluster 4) – waarden exclusief aftrek artikel 110g Wgh

5.2 Toetsing gemeentelijk geluidbeleid

Conform het hogere grenswaardenbeleid van de gemeente Deventer verlenen burgemeester en wethouders alleen hogere grenswaarden indien aan bepaalde voorwaarden voldaan wordt. Het bouwplan 'Geertruidentuin' voldoet aan de volgende voorwaarden:

- ter plaatse gesitueerd worden als vervanging van bestaande bebouwing;
- door de gekozen situering een open plaats tussen aanwezige bebouwing opvullen;
- zijn opgenomen in een dorps- of stadsvernieuwingsplan.

Tevens is in het hogere grenswaardenbeleid opgenomen dat burgemeester en wethouders in beginsel alleen een hogere waarde dan 53 dB als de ten hoogste toelaatbare geluidsbelasting zullen vaststellen, indien voldoende verzekerd wordt dat de verblijfsruimten, alsmede de tot de woning behorende buitenruimten niet aan de uitwendige scheidingsconstructie worden gesitueerd waar de hoogste geluidsbelasting optreedt, tenzij overwegingen van stedenbouw of volkshuisvesting zich daartegen verzetten.

Voor de bebouwing gelegen op de grenzen van het plangebied gesitueerd aan de Ceintuurbaan zal niet iedere verblijfsruimte aan de geluidluwe zijde gelegen zijn. Echter voor de woningen zal het binnenniveau gewaarborgd worden conform het bepaalde in het Bouwbesluit 2012. Bovendien heeft iedere woning met een hogere waarde een geheel geluidluwe achtergevel (=gevel waar voorkeurswaarde niet wordt overschreden). De tuin van iedere woning is gesitueerd aan de geluidluwe achterzijde zodat iedere woning beschikt over een geluidluwe buitenruimte. Hiermee is een goed akoestisch woon- en leefklimaat voor iedere woning gewaarborgd, ondanks de hogere waarde.

5.3 Rekenresultaten geluidmissie stadion De Adelaarshorst Go Ahead Eagles

De berekeningen van het industrielawaai zijn uitgevoerd door Witteveen+Bos met behulp van het computerprogramma Geomilieu v2.62 van DGMR. Er is onderscheid gemaakt tussen twee representatieve bedrijfssituaties:

- Niet-wedstrijddag
- Wedstrijddag (aanvang in de avond maatgevend)

5.3.1 Rekenresultaten 'niet-wedstrijddag'

i. Directe hinder - langtijdgemiddeld beoordelingsniveau $L_{Ae,LT}$

Het langtijdgemiddeld beoordelingsniveau ten gevolge van activiteiten op een niet-wedstrijddag bedraagt maximaal 36 dB(A) etmaalwaarde. De uitgebreide rekenresultaten zijn opgenomen in bijlage IV-1.

ii. Directe hinder - maximaal geluidniveau L_{Amax}

De rekenresultaten tonen aan dat het maximaal geluidniveau ter hoogte van de nieuwe woningen maximaal 47, 44 en 44 dB(A) bedraagt in de dag-, avond- en nachtperiode respectievelijk. De uitgebreide rekenresultaten zijn opgenomen in bijlage IV-1.

5.3.2 Rekenresultaten 'wedstrijddag dagperiode'

i. Directe hinder - langtijdgemiddeld beoordelingsniveau $L_{Ar,LT}$

Het langtijdgemiddeld beoordelingsniveau ten gevolge van activiteiten op een wedstrijddag tijdens de dagperiode bedraagt maximaal 58 dB(A) dagwaarde. De uitgebreide rekenresultaten zijn opgenomen in bijlage IV-2.

ii. Directe hinder - maximaal geluidniveau L_{Amax}

Uit de geluidmetingen tijdens de wedstrijden blijkt dat de maximale geluidniveaus 15 dB(A) hoger zijn dan equivalente geluidniveaus. Piekniveaus treden op tijdens een doelpunt of vanwege gezang. Piekniveaus ter hoogte van de nieuwe woningen bedraagt daarmee maximaal 73 dB(A) in de dagperiode. De uitgebreide rekenresultaten zijn opgenomen in bijlage IV-2.

5.3.3 Rekenresultaten 'wedstrijddag avondperiode'

i. Directe hinder - langtijdgemiddeld beoordelingsniveau $L_{Ar,LT}$

Het langtijdgemiddeld beoordelingsniveau ten gevolge van activiteiten op een wedstrijddag tijdens de avondperiode bedraagt maximaal 63 dB(A) avondwaarde. De uitgebreide rekenresultaten zijn opgenomen in bijlage IV-3.

ii. Directe hinder - maximaal geluidniveau L_{Amax}

Uit de geluidmetingen tijdens de wedstrijden blijkt dat de maximale geluidniveaus 15 dB(A) hoger zijn dan equivalente geluidniveaus. Piekniveaus treden op tijdens een doelpunt of vanwege gezang. Piekniveaus ter hoogte van de nieuwe woningen bedraagt daarmee maximaal 78 dB(A) in de avondperiode. De uitgebreide rekenresultaten zijn opgenomen in bijlage IV-3.

iii. Indirecte hinder - langtijdgemiddeld beoordelingsniveau $L_{Ar,LT}$

Het langtijdgemiddeld beoordelingsniveau ten gevolge van indirecte hinder op een wedstrijddag tijdens de avondperiode bedraagt maximaal 31 dB(A) etmaalwaarde. De uitgebreide rekenresultaten zijn opgenomen in bijlage IV-4.

5.3.4 Beschouwing geluidmissie stadion De Adelaarshorst

Door de gemeente Deventer is op basis van het akoestisch onderzoek van Witteveen+Bos de omgevingsvergunning verleend op 23 februari 2015. De rekenresultaten uit de rapportage van Witteveen+Bos zijn door de gemeente overgenomen als geluidsvorschriften in de vigerende vergunning. Op basis van de vergunde situatie van het stadion De Adelaarshorst van voetbalclub Go Ahead Eagles wordt ter plaatse van de nieuw te realiseren woningen binnen het plan Geertruidentuin hogere geluidniveaus berekend. Hierbij is de wedstrijddag met een wedstrijd gedurende de avondperiode de maatgevende representatieve bedrijfssituatie. In bijgevoegde figuur III is een grafisch overzicht opgenomen van de optredende geluidniveaus ter hoogte van het plan Geertruidentuin voor deze RBS.

Op basis van de onderbouwing opgenomen in het akoestisch onderzoek van Witteveen+Bos en in de vigerende vergunning (O&V/1342330) worden de verhoogde geluidniveaus ter hoogte van de nieuwe woningen toelaatbaar geacht.

Voor een aantal woningen dienen een hogere waarde wegverkeerslawaai aangevraagd te worden. Bij de aanvraag omgevingsvergunning dient een akoestisch onderzoek gevel geluidwering bijgevoegd te worden. De karakteristieke geluidwering van de uitwendige scheidingsconstructies dient te worden bepaald conform NEN 5077.

Geadviseerd wordt om bij de bepaling van de gevelvoorzieningen (karakteristieke geluidwering van de gevel, $G_{A;k}$) rekening te houden met het stadiongeluid (worst-case scenario) gecumuleerd met het wegverkeerslawaai. Hierbij is de wedstrijddag met een wedstrijd gedurende de avondperiode maatgevend. Conform het Bouwbesluit 2012 mag het binnenniveau van nieuw te bouwen woningen maximaal 33 dB bij wegverkeerslawaai en 35 dB(A) bij industrielawaai bedragen.

Voor de geluidbelasting vanwege het stadion dient uitgegaan te worden van de berekende langtijdgemiddelde beoordelingsniveaus tijdens de avondperiode voor de RBS 'wedstrijddag avond', zie bijlage IV-3 en bijgevoegde figuur III. Opgemerkt wordt dat de gepresenteerde geluidniveaus avondwaarden betreffen, voor een etmaalwaarde dienen de geluidniveaus met 5 dB(A) verhoogd te worden. Het binnenniveau in de woningen in de avondperiode mag maximaal 30 dB(A) bedragen ten gevolge van het stadiongeluid.

5.4 Gecumuleerde geluidbelasting Miedema

Voor beoordeling van het akoestisch woon- en leefklimaat ter plaatse van de nieuw te realiseren woningen is inzicht noodzakelijk in de cumulatie van alle geluidbronnen. De berekende waarden ten gevolge van alle geluidbronnen (weg en stadion) worden gecumuleerd. Hiervoor wordt gebruik gemaakt van de methode Miedema. Met deze methode kan een inschatting worden gegeven van de kwaliteit van een situatie waarin meerdere geluidbronnen een rol spelen, zie tabel 5.2.

Tabel 5.2: Milieukwaliteitsmaat volgens Miedema

MKM _{etmaal} in dB(A)	Kwaliteitsoordeel Miedema	Kleur in bijlage IV
< 50	Goed	Groen
50 – 55	Redelijk	Geel
55 – 60	Matig	Oranje
60 – 65	Tamelijk slecht	Rood
65 – 70	Slecht	Donker rood
>70	Zeer slecht	Paars

De verschillende geluidbronnen rondom het bouwplan zijn toegekend aan de verschillende categorieën uit de methode Miedema met daaraan verbonden de weegfactoren (binnenstedelijk wegverkeerslawaai en niet-impulsachtig industrielawaai).

Op de geluidbijdragen van het wegverkeerslawaai wordt de aftrek conform artikel 110g van de Wet geluidhinder niet toegepast. In de cumulatie is de geluidbijdrage vanwege het stadion De Adelaarshorst meegenomen als volgt (maatgevend):

- Dag: $L_{A,r,LT}$ wedstrijddag met wedstrijd tijdens dagperiode.
- Avond: $L_{A,r,LT}$ wedstrijddag met wedstrijd tijdens avondperiode.
- Nacht: $L_{A,r,LT}$ niet-wedstrijddag.

Een overzicht van de gecumuleerde geluidbelastingen volgens Miedema is weergegeven in bijlage V. De gecumuleerde geluidbelasting ten gevolge van wegverkeer en het stadion (industrielawaai) bedraagt maximaal 69 dB. De woningen variëren van klasse 'goed' tot klasse 'slecht', zie bijlage V.

6 Afweging maatregelen en aanvraag hogere waarden

Voor die onderdelen van het plan waarbij de geluidbelasting ten gevolge van wegverkeerslawaai boven de voorkeurgrenswaarde maar niet boven de maximale ontheffingswaarde ligt, kunnen hogere waarden worden aangevraagd. Indien ook de maximale ontheffingswaarde wordt overschreden, dienen dove gevels te worden toegepast.

De hogere waarden kunnen door het B&W worden verleend wanneer is vastgesteld dat maatregelen onvoldoende doelmatig zijn. Daartoe eist de Wet geluidhinder de volgende onderzoeken:

1. Allereerst dient te worden nagegaan welke maatregelen noodzakelijk zijn om de geluidbelasting te reduceren tot maximaal de voorkeurgrenswaarde. Tevens dient beoordeeld te worden of deze maatregelen al dan niet doelmatig zijn.
2. Indien deze maatregelen niet doelmatig zijn, dient te worden nagegaan welke maatregelen wel doelmatig zijn om de geluidbelasting zo ver mogelijk te reduceren. Voor de geluidbelastingen boven de voorkeurgrenswaarden kunnen dan hogere waarden worden aangevraagd.
3. Indien er geen maatregelen denkbaar zijn die als doelmatig kunnen worden aangemerkt kunnen hogere waarden worden aangevraagd voor de geluidbelastingen zonder maatregelen.

De voorkeurgrenswaarde wordt overschreden ten gevolge van wegverkeer op de Ceintuurbaan (cluster 2 en 4). De maximale ontheffingswaarde wordt nergens niet overschreden.

6.1 Maatregelen aan de bron

De planlocatie is gelegen in het centrum van Deventer. De Ceintuurbaan is een belangrijke ontsluitingsweg (gezien de verkeersintensiteit) met meerdere kruisingen (met verkeerslichten geregeld ter plaatse van de Brinkgreverweg), voorzien van standaard asfalt. Het aanbrengen van een stiller asfalttype is vaak vanwege verkeerskundige en financiële redenen niet mogelijk, gezien er bij het toepassen van een geluidreducerend wegdek groot en snel kwaliteitsverlies zal optreden door het afremmende en optrekkende verkeer.

De benodigde reductie om de geluidbelasting terug te brengen tot de voorkeurswaarde, bedraagt maximaal 8 dB. Door het vervangen van de (standaard) asfaltverharding op de Ceintuurbaan door een zeer stil asfalt (bijvoorbeeld dunne deklagen type B) kan onvoldoende reductie behaald worden om de geluidbelasting terug te brengen tot de voorkeurswaarde wegverkeerslawaai. Een reductie van circa 3 tot 5 dB kan behaald worden met een wegdekverharding bestaande uit dunne deklagen type B, rekening houdend met een afstand tussen de kruising met de Brinkgreverweg en het stil asfalt van 40 meter. Bronmaatregelen in de vorm van een geluidreducerend wegdektype zijn echter duur (uitgaande van kosten van aanleg ad € 60,-- per m²).

Bronmaatregelen in de vorm van minder verkeer of lagere rijsnelheid zijn met betrekking tot de wegverkeerscirculatie zeer ingrijpend en niet realistisch gezien de stedelijke situatie.

6.2 Maatregelen in het overdrachtsgebied

Het plaatsen van een geluidscherm of -wal is alleen mogelijk als er voldoende ruimte is tussen de bron en ontvanger. Ten aanzien van de binnenstedelijke wegen zijn geluidschermen stedenbouwkundig niet gewenst. Binnenstedelijk is voor de realisatie van een dergelijk scherm tevens geen plaats. Daarnaast dient een scherm onderbroken te worden ter plaatse van zijwegen. De kosten gepaard met een geluidscherm zijn bovendien aanzienlijk (circa € 500,-- per m²).

6.3 Maatregelen aan de ontvangzijde

Het is tenslotte ook mogelijk om maatregelen te treffen aan geluidgevoelige functies zelf teneinde aan de voorkeursgrenswaarde te voldoen. Maatregelen bij de ontvanger (gebouwgebonden gevelschermen, balkons, balustrades, etc.) beperken het geluid dat het gebouw binnendringt. Indicatief kan gesteld worden dat een balkon (zonder rekening te houden met een balustrade) de geluidbelasting op de achterliggende gevel met 2 tot 3 dB reduceert.

Indien het treffen van (aanvullende) maatregelen aan de geluidbron, het stedenbouwkundig ontwerp en de afscherpende voorzieningen niet mogelijk zijn, blijkt uit hoofdstuk 5 dat voor een groot aantal waarneempunten hogere grenswaarden aangevraagd dienen te worden. Het is realistisch om de overschrijding van de voorkeursgrenswaarde toe te staan en de overschrijding door een goede gevel geluidwering op te lossen.

Voor een groot aantal woningen bedraagt de cumulatieve geluidbelasting (excl. aftrek wegverkeerslawaai) meer dan 53 dB. Bij de aanvraag omgevingsvergunning dient een akoestisch onderzoek gevel geluidwering bijgevoegd te worden. De karakteristieke geluidwering van de uitwendige scheidingsconstructies dient te worden bepaald conform NEN 5077. Hiermee wordt een goed akoestisch woon- en leefklimaat gewaarborgd.

6.4 Aanvraag hogere waarden

Maatregelen ter reductie van het geluid ten gevolge van de relevante geluidbronnen zijn in relatie tot het onderhavige project vanwege overwegende bezwaren van stedenbouwkundige, verkeerskundige of financiële aard, niet realiseerbaar.

Het is realistisch om hogere waarden aan te vragen voor de in het plan opgenomen woningen vanwege de Ceintuurbaan. Voor de aanvraag van hogere waarden kan figuur 5.1 uit hoofdstuk 5 en de resultaten in bijlage III-1 gebruikt worden. De volgende hogere waarden zoals opgenomen in tabel 6.1 dienen aangevraagd te worden.

Tabel 6.1: Aan te vragen hogere waarden vanwege Ceintuurbaan

Geluidbron	Hogere waarde	Aantal woningen
Ceintuurbaan	56	2
	55	16
	54	7
	49	3

7 Samenvatting en conclusies

In opdracht van Synchron B.V. is door Cauberg Huygen een akoestisch onderzoek voor de woningbouwlocatie (nieuwbouw en herontwikkeling) 'Geertruidentuin' te Deventer uitgevoerd. In voorliggend rapport is het akoestisch onderzoek uitgevoerd naar de optredende geluidbelastingen vanwege wegverkeer in het kader van de Wet geluidhinder en zijn de geluidniveaus ten gevolge van de activiteiten bij het stadion Adelaarshorst van voetbalclub Go Ahead Eagles inzichtelijk gemaakt.

De locatie van het voormalige St. Geertruidenziekenhuis aan de Ceintuurbaan in Deventer is sinds het vertrek van het ziekenhuis in 2008 in afwachting van herontwikkeling. Het merendeel van de bij het ziekenhuis behorende bebouwing is daartoe enige jaren geleden gesloopt. Het karakteristiek inmiddels als gemeentelijk monument aangeduide SMCD-gebouw is, evenals de voormalige apotheek aan de Van Calcarstraat, behouden. Dit monumentale gebouw zal worden herontwikkeld tot een woongebouw. Rondom dit bestaande gebouw zal nieuwbouw worden gerealiseerd (clusters 1 t/m 5).

De planlocatie is omgeven door de Ceintuurbaan, Brinkgreverweg, H.J.P. Fesevurstraat en de Van Calcarstraat. De geplande geluidgevoelige bestemmingen (woningen) betreffen een nieuwe situatie in de zin van de Wet geluidhinder. De planlocatie bevindt zich volgens de Wet geluidhinder binnen de zone van de Ceintuurbaan, Brinkgreverweg, Hoge Hondstraat en de Van Oldenielstraat (N337). Om die reden is voor de planlocatie een akoestisch onderzoek verricht. De locatie is niet gelegen binnen de zone van een spoorweg of gezoneerd industrieterrein.

Verder is de planlocatie omgeven door verschillende 30 km/u wegen. 30 km/uur wegen hebben geen geluidzone volgens de Wet geluidhinder. In het kader van een goede ruimtelijke ordening (en ten behoeve van de bouwvergunning) is het desalniettemin noodzakelijk om de invloed van de nabijgelegen 30 km/uur wegen inzichtelijk te maken. Hierbij gaat het met name om de H.J.P. Fesevurstraat, Van Calcarstraat en H.G. Gooszenstraat.

Daarnaast zijn de gebouwen gelegen binnen de invloedssfeer van het stadion De Adelaarshorst (Go Ahead Eagles). De gebouwen zullen als gevolg van het industrielawaai een geluidbelasting op de gevel ondervinden. De geluidimmissie ten gevolge van de activiteiten bij het stadion is in de voorliggende rapportage tevens inzichtelijk gemaakt.

Ten behoeve van dit geluidonderzoek is gebruik gemaakt van de Wet geluidhinder, zoals deze geldt per 1 mei 2017. De geluidbelastingen vanwege wegverkeer zijn berekend conform de Standaard Rekenmethode II uit bijlage III van het 'Reken- en meetvoorschrift geluid 2012'. Tevens is het akoestisch onderzoek van Witteveen+Bos met betrekking tot de aanvraag van de omgevingsvergunning en wijziging van het bestemmingsplan voor het stadion 'De Adelaarshorst' geraadpleegd. De uitgangspunten en resultaten van dit onderzoek zijn opgenomen in het rapport 'Akoestisch onderzoek uitbreiding De Adelaarshorst 2014' gedateerd 9 december 2014 met referentie DV1281-1/14-023.274.

De berekende geluidbelastingen ten gevolge van wegverkeerslawaai zijn getoetst aan de grenswaarden uit de Wet geluidhinder:

- Stedelijke wegen: voorkeursgrenswaarde 48 dB maximale ontheffingswaarde 63 dB.

Conclusies wegverkeerslawaai

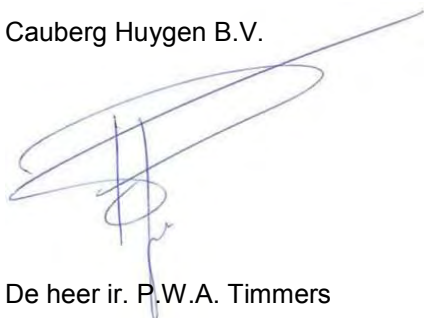
- Ten gevolge van wegverkeer op de Ceintuurbaan wordt voor de clusters 2 en 3 (maximaal 57 dB) niet voldaan aan de voorkeursgrenswaarde van 48 dB. De maximale ontheffingswaarde van 63 dB wordt niet overschreden. Voor de overige clusters wordt voldaan aan de voorkeurswaarde.
- Ten gevolge van wegverkeer op de Brinkgreverweg wordt overal voldaan aan de voorkeursgrenswaarde van 48 dB. Vanuit de Wet geluidhinder vormt de voornoemde weg geen belemmering voor het plan.
- Ten gevolge van wegverkeer op de Hoge Hondstraat wordt overal voldaan aan de voorkeurswaarde van 48 dB. Vanuit de Wet geluidhinder vormt de voornoemde weg geen belemmering voor het plan.
- Ten gevolge van wegverkeer op de N337 wordt overal voldaan aan de voorkeurswaarde van 48 dB. Vanuit de Wet geluidhinder vormt de voornoemde weg geen belemmering voor het plan.
- Ten gevolge van wegverkeer op de H.J.P. Fesevurstraat (niet-gezoneerd, 30 km/u) bedraagt de geluidbelasting maximaal 54 dB L_{den} (geen aftrek). De geluidbelasting is hoger dan 48 dB (voorkeurswaarde wegverkeerslawaai indien van toepassing) en hoger dan 53 dB waardoor sprake is van een (licht) verhoogde geluidbelasting. In het kader van een goede ruimtelijke ordening wordt geadviseerd deze geluidbelasting mee te nemen in de berekening naar de gevel geluidwering.
- Ten gevolge van wegverkeer op de Van Calcarstraat (niet-gezoneerd, 30 km/u) bedraagt de geluidbelasting maximaal 53 dB L_{den} (geen aftrek). De geluidbelasting is hoger dan 48 dB (voorkeurswaarde indien van toepassing), maar lager dan 53 dB. In het kader van een goede ruimtelijke ordening vormt de voornoemde weg geen belemmering voor het bouwplan.
- Ten gevolge van wegverkeer op de H.G. Gooszenstraat is de geluidbelasting gelijk aan of lager dan 48 dB (voorkeurswaarde indien van toepassing). In het kader van een goede ruimtelijke ordening vormt de voornoemde weg geen belemmering voor het bouwplan.
- De toetsing aan het gemeentelijk geluidbeleid staat beschreven in paragraaf 5.7.
- Maatregelen ter reductie van het geluid ten gevolge van de relevante geluidbronnen zijn in relatie tot het onderhavige project vanwege overwegende bezwaren van stedenbouwkundige, verkeerskundige of financiële aard, niet realiseerbaar.
- Het is realistisch om hogere waarden aan te vragen voor de in het plan opgenomen woningen vanwege de Ceintuurbaan, zie tabel 6.1.
- De totale geluidbelasting ten gevolge van wegverkeer bedraagt maximaal 62 dB exclusief aftrek. Bij de aanvraag omgevingsvergunning dient een akoestisch onderzoek gevel geluidwering bijgevoegd te worden.

Conclusies geluidmissie stadion De Adelaarshorst

- Er is onderscheid gemaakt tussen twee representatieve bedrijfssituaties: niet-wedstrijddag en wedstrijddag.
- Omdat Witteveen+Bos beheerder is van de akoestische rekenmodellen van het stadion, zijn door hun de geluidniveaus berekend, na aanlevering van het gemodelleerde bouwplan met omgeving door Cauberg Huygen.

- Op basis van de vergunde situatie van het stadion De Adelaarshorst van voetbalclub Go Ahead Eagles wordt ter plaatse van de nieuw te realiseren woningen binnen het plan Geertruidentuin hogere geluidniveaus berekend. Hierbij is de wedstrijddag met een wedstrijd gedurende de avondperiode de maatgevende representatieve bedrijfssituatie.
- Op basis van de onderbouwing opgenomen in het akoestisch onderzoek van Witteveen+Bos en in de vigerende vergunning worden de verhoogde geluidniveaus toelaatbaar geacht.
- Geadviseerd wordt om bij de bepaling van de gevelvoorzieningen (karakteristieke geluidwering van de gevel, $G_{A,k}$) rekening te houden met het stadiongeluid (worstcase scenario).

Cauberg Huygen B.V.

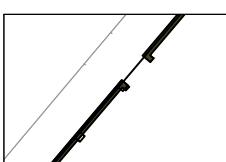
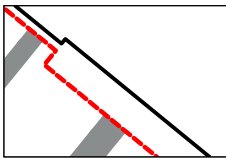
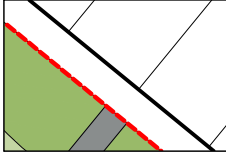




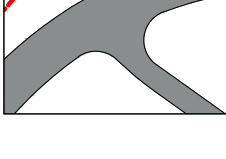
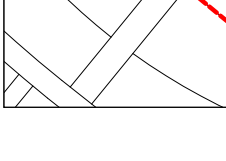


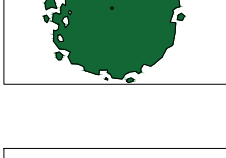
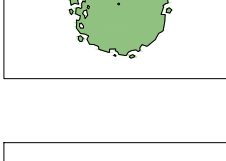
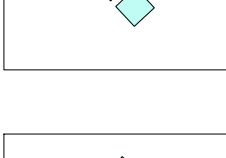
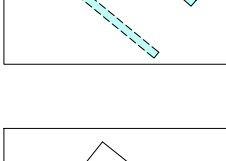
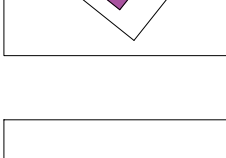





De heer ir. P.W.A. Timmers
Senior Adviseur

Figuren

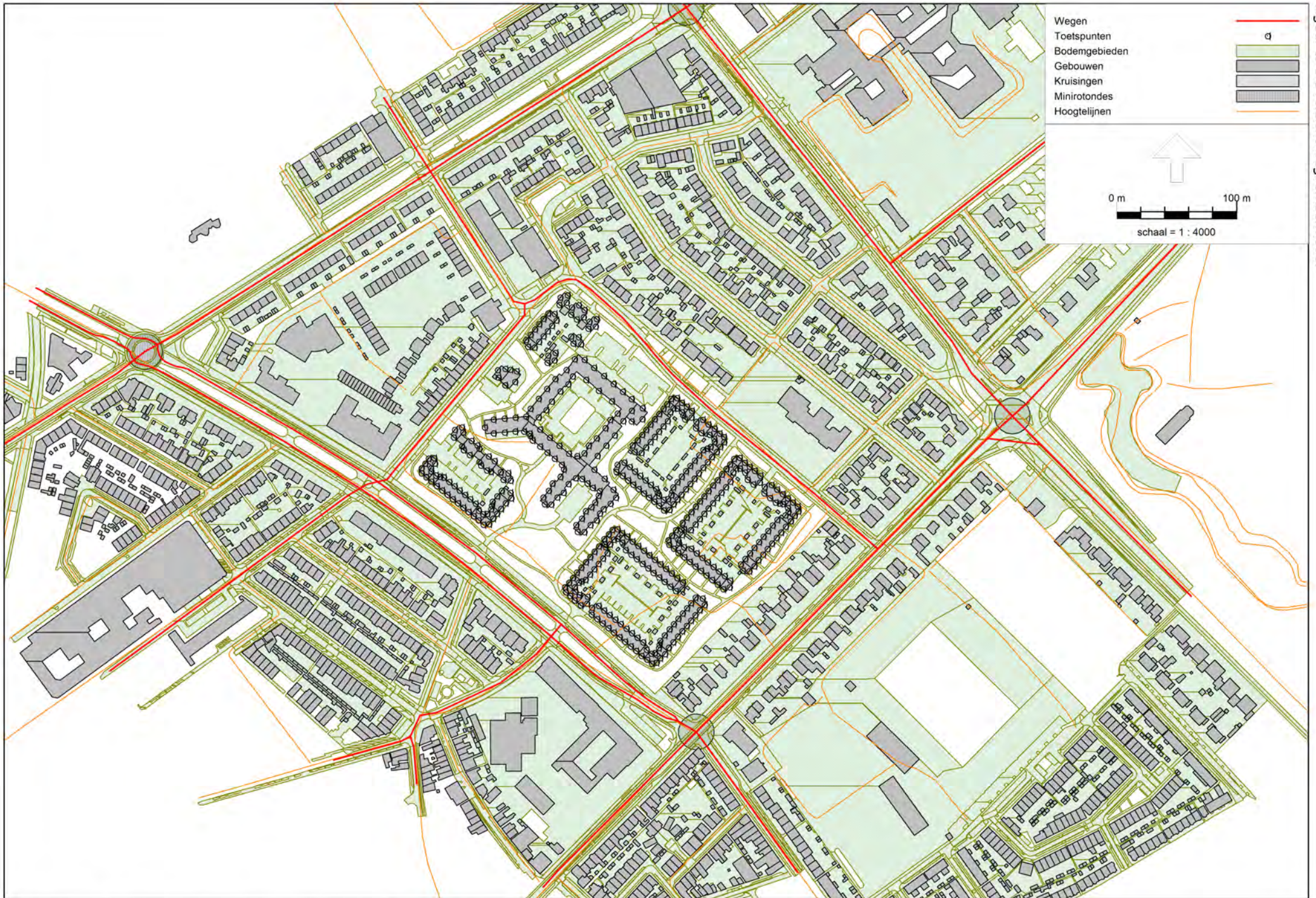
Figuur I Tekeningen

Legenda

-  Hekwerk rondom park, gemetselde pilaren met stalen hekwerk waar nodig aangevuld of gerenoveerd
-  Contour woningen met verspringende gevellijn exacte invulling n.t.b.
-  Privéruimte aan voorzijde woning, breedte 1.50m t.b.v. veranda, pergola, Deltse stoep of zijje
-  Plantvak met robuuste bodembedekkende mix van onderhoudsarme prairiebeplanting (Fleur Robuste of soortgelijk)
-  Struweelhaag als afscheiding naar achtertuinen Brinkeverweg met deels wintergroene struiken met ecologische meerwaarde, o.a. lijsterbes, sporkhout, liguster, meidoorn, sleedoorn, hulst etc
-  Gazon
-  Wadi
-  Parkpaden in asfalt met lichte strooilaag variërend in breedte, voetpad 1,5 m, fietspad 3,0 m, rijbaan 4,0 m waar nodig (calamiteitendiensten) met verstepte grasbermen
-  Toegangspad tot woningen, geclusterd per 2 woningen betonstraatsteen 30x30cm, kleur grijs/antraciet
-  Inrichting rondom SMCD met hergebruikte gebakken klinkers (heidepaars/oker), parkeervakken in betonsteen, kleur grijs/antraciet
-  Binnen terrein - betonstraatsteen dikformaat in elleboogverband rijbaan in antraciet, parkeervak in lichtere tint antraciet
-  Bestaande bomen (te behouden)
-  Nieuwe bomen, soort n.t.b.
-  Verdiepte afvalcontainers
-  Container opsteplek (COP)
-  Netstation Enexis incl obstakelvrije ruimte
-  Straatlantaarn type CityCharm Cordoba o.g.
-  Speelplaats met natuurlijke speelaanleidingen

	Compositie 5 stedenbouw bv Boechorststraat 35 4811 GB Breda telefoon 076-525292 e-mail info@cs5.nl website www.cs5.nl	Geotruidentuin Inrichtingsplan
	Schaal : 1:500 A0 Papierformaat : A0 0m 5m 10m 15m 20m 25m	Opdrachtgever : Synchroon B.V. Projectnummer : 142001 Gemeente : Deventer IJZ nr. : 14200103 Getekend : 27-02-2019 Status :

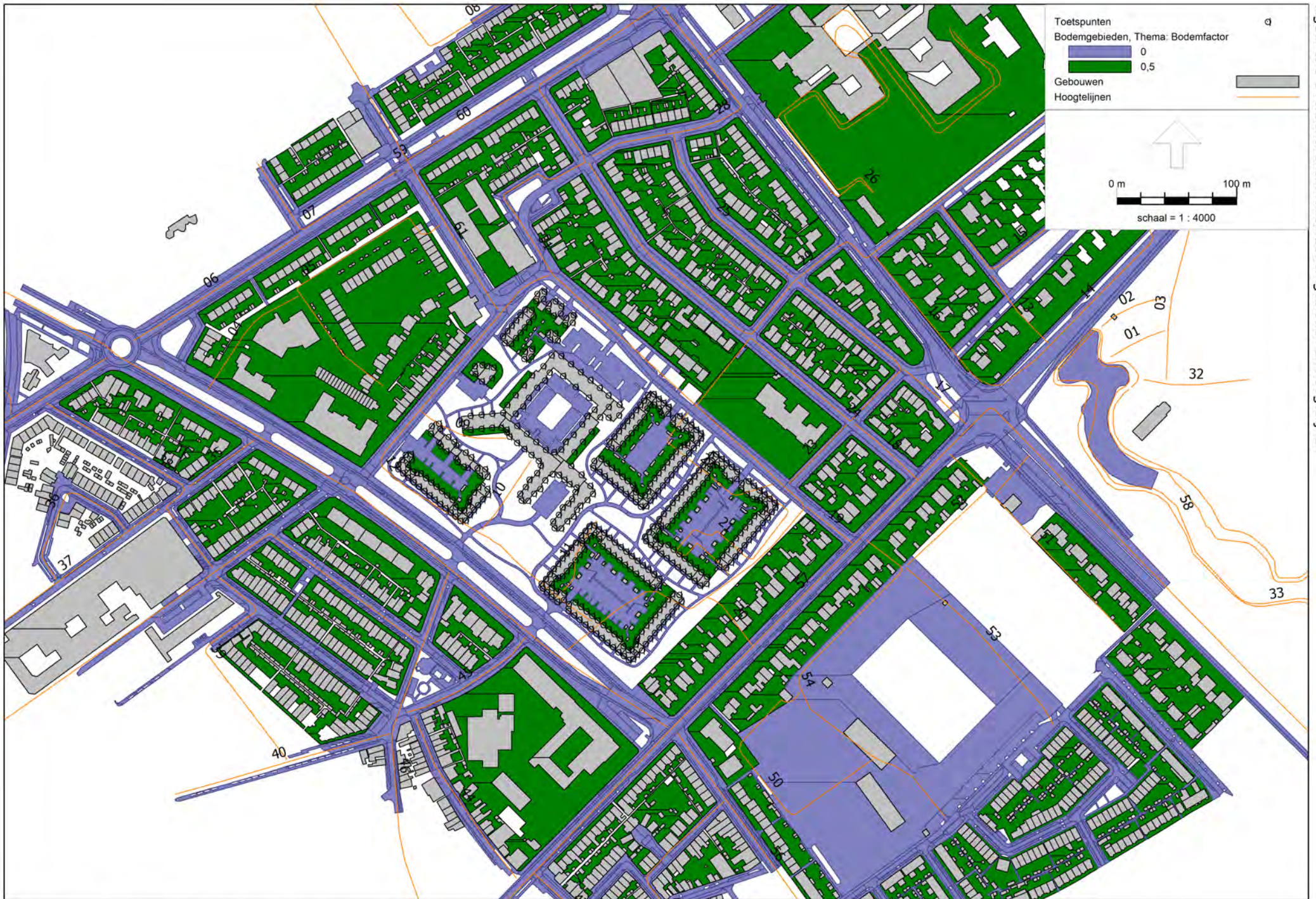
Figuur II	Overzicht rekenmodel wegverkeerslawaai
Figuur II-1	Overzicht wegverkeermodel
Figuur II-2	Overzicht rekenmodel: gebouwen en wegen
Figuur II-3	Overzicht rekenmodel: bodemgebieden en hoogtelijnen
Figuur II-4	Overzicht rekenmodel: toetspunten



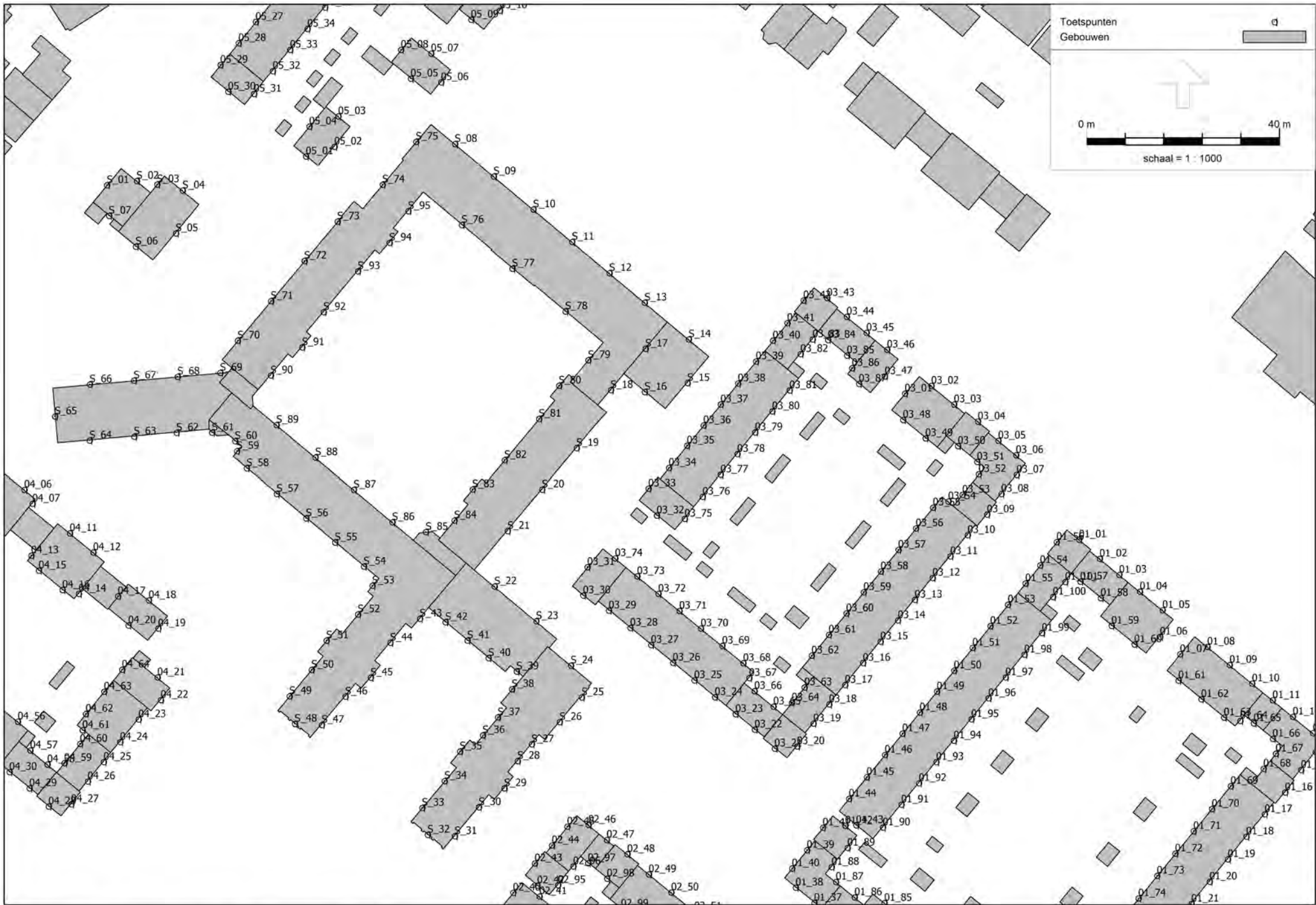
Figuur II-1 Overzicht wegverkeermodel



Figuur II-2 Overzicht rekenmodel: gebouwen en wegen

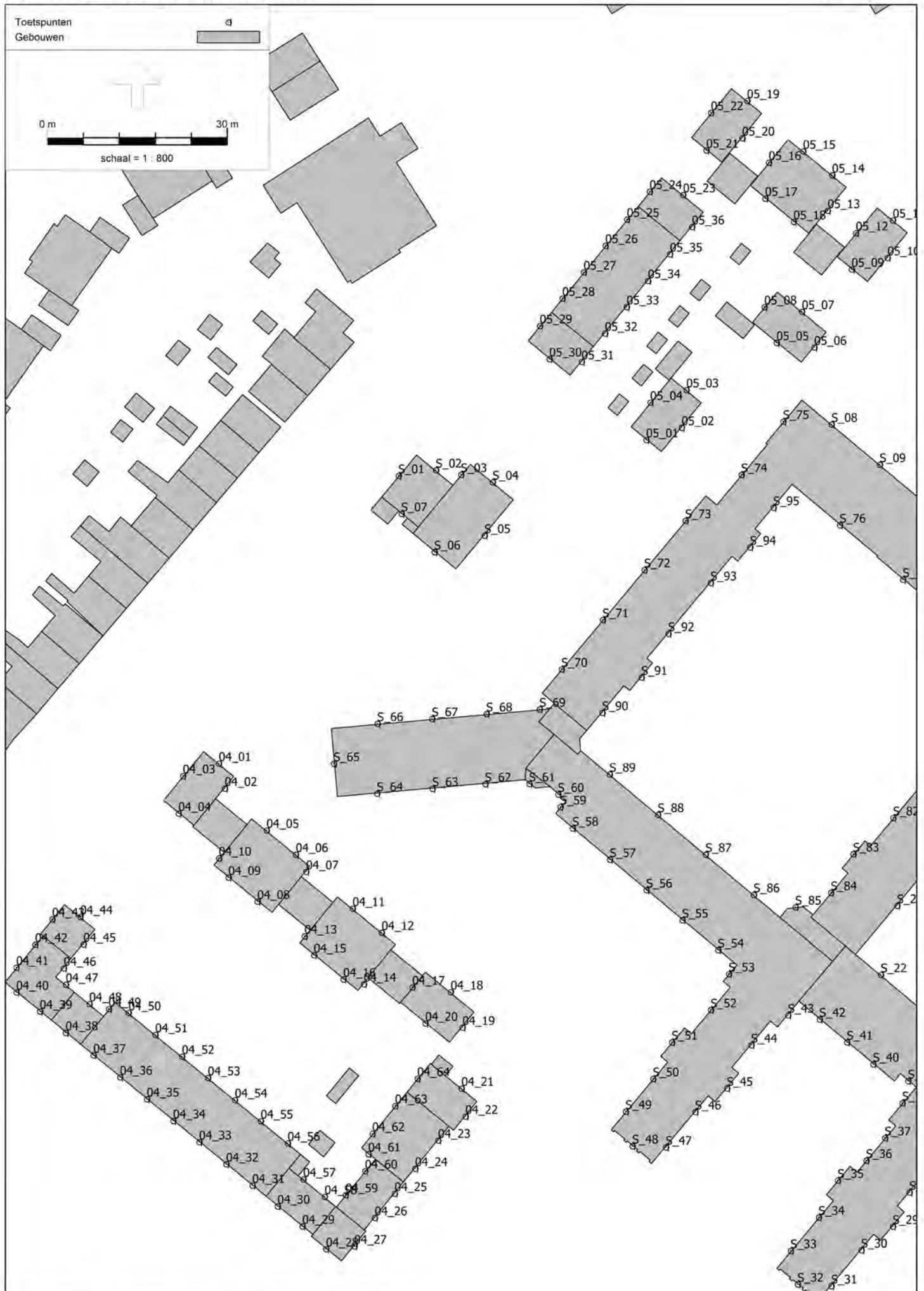


Figuur II-3 Overzicht rekenmodel: bodemgebieden en hoogtelijnen



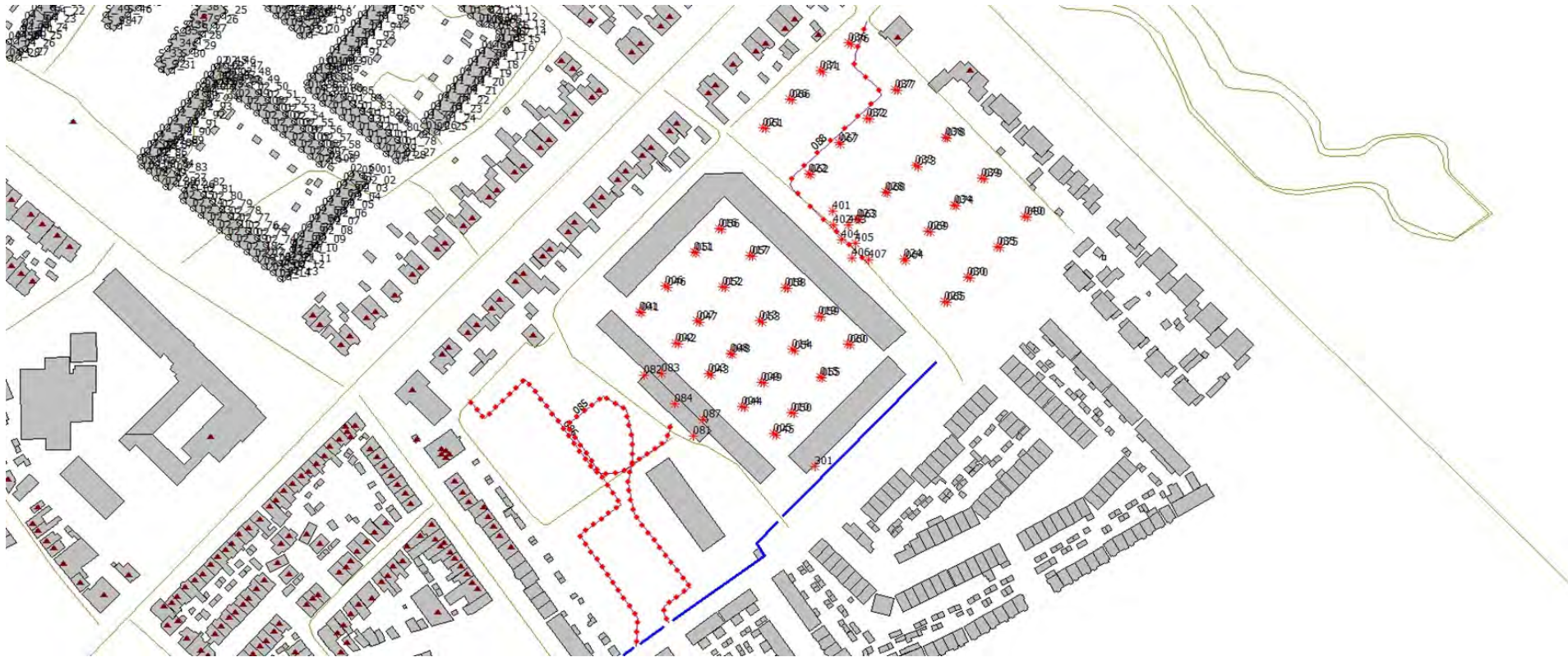
Figuur II-4 Overzicht rekenmodel: toetspunten

Cluster 3 en SMCD



Figuur III Overzicht rekenmodellen stadion De Adelaarshorst

Rekenmodel langtijdgemiddeld beoordelingsniveau niet-wedstrijddag



Rekenmodel langtijdgemiddeld beoordelingsniveau wedstrijddag



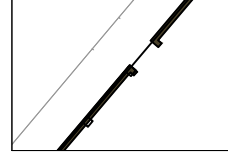
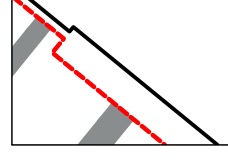





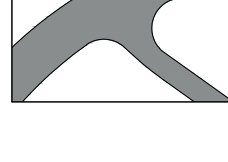
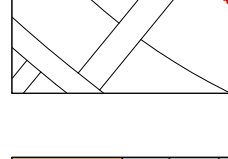
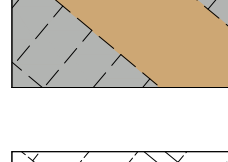
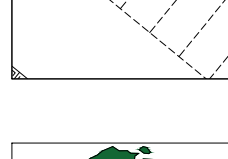
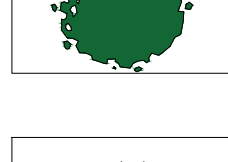
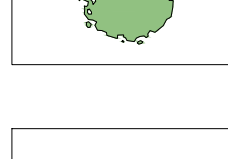

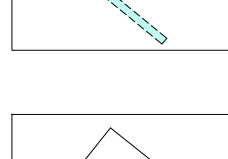
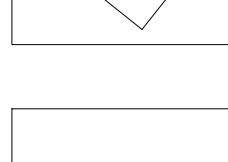


Rekenmodel indirecte hinder wedstrijd dag


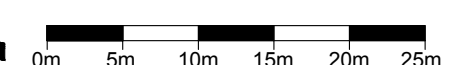


Figuur IV Overzicht geluidbelasting stadion De Adelaarshorst ($L_{A,T,LT}$ wedstrijddag avond)

- $L_{Ar,LT}$ 45-50 dB(A)
- $L_{Ar,LT}$ 50-55 dB(A)
- $L_{Ar,LT}$ 55-60 dB(A)
- $L_{Ar,LT}$ 60-65 dB(A)

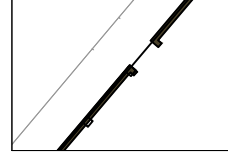
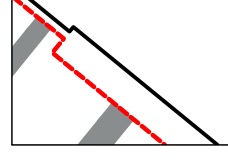





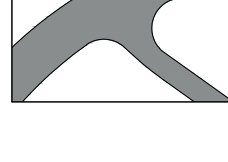
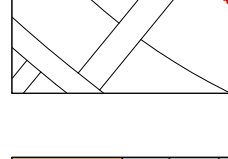
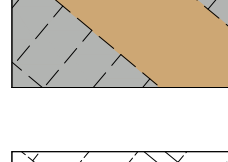
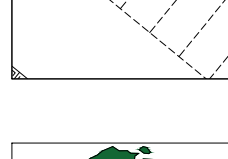
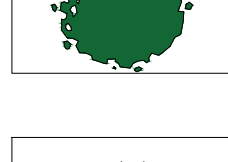
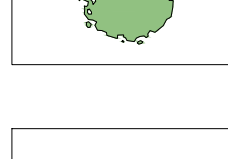

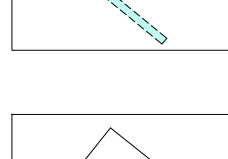
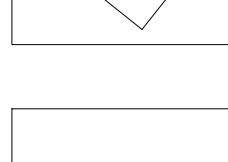


Legenda


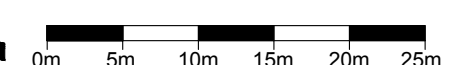
-  Hekwerk rondom park, gemetselde pilaren met stalen hekwerk waar nodig aangevuld of gerenoveerd
-  Contour woningen met verspringende gevellijn exacte invulling n.t.b.
-  Privieruimte aan voorzijde woning, breedte 1.50m t.b.v. veranda, pergola, Deltse stoep of zijje
-  Plantvak met robuuste bodembedekkende mix van onderhoudsarme prairiebeplanting (Fleur Robuste of soortgelijk)
-  Struweelhaag als afscheiding naar achtertuinen Brinkeverweg met deels wintergroene struiken met ecologische meerwaarde, o.a. lijsterbes, sporkhout, liguster, meidoorn, sleedoorn, hulst etc
-  Gazon
-  Wadi
-  Parkpaden in asfalt met lichte strooilaag variërend in breedte, voetpad 1.5 m, fietspad 3.0 m, rijbaan 4.0 m waar nodig (calamiteitendiensten) met verstepte grasberm
-  Toegangspad tot woningen, geclusterd per 2 woningen betonstraatsteen 30x30cm, kleur grijs/antraciet
-  Inrichting rondom SMCD met hergebruikte gebakken klinkers (heidepaars/oker), parkeervakken in betonsteen, kleur grijs/antraciet
-  Binnenterrein - betonstraatsteen dikformaat in elleboogverband rijbaan in antraciet, parkeervak in lichtere tint antraciet
-  Bestaande bomen (te behouden)
-  Nieuwe bomen, soort n.t.b.
-  Verdiepte afvalcontainers
-  Container opsteplek (COP)
-  Netstation Enexis incl obstakelvrije ruimte
-  Straatlantaarn type CityCharm Cordoba o.g.
-  Speelplaats met natuurlijke speelaanleidingen

	Compositie 5 steedenbouw bv Boechorstraat 35 4811 GB Breda telefoon 076-525262 e-mail info@cs5.nl website www.cs5.nl	Gebruikdient Inrichtingsplan Opdrachtgever : Synchroon B.V. Projectnummer : 142001 Gemeente : Deventer Locatie : 14200123 Getekend : 27-02-2019 Status :
	Schaal : 1:500 A0 A1 A2 A3 A4	

- $L_{Ar,LT}$ 45-50 dB(A)
- $L_{Ar,LT}$ 50-55 dB(A)
- $L_{Ar,LT}$ 55-60 dB(A)
- $L_{Ar,LT}$ 60-65 dB(A)

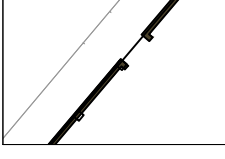
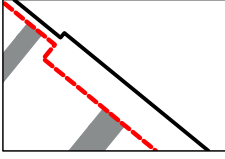
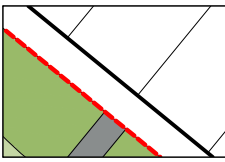




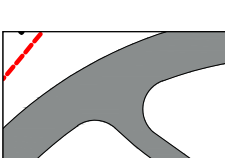
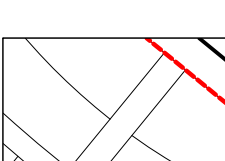
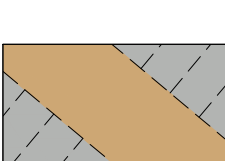
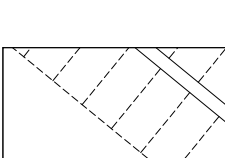
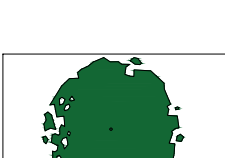
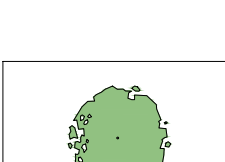
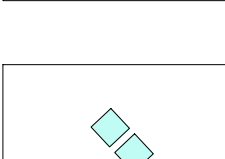
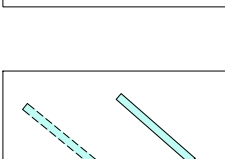
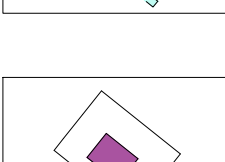
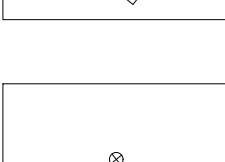
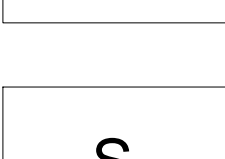
Legenda

-  Hekwerk rondom park, gemetselde pilaren met stalen hekwerk waar nodig aangevuld of gerenoveerd
-  Contour woningen met verspringende gevellijn exacte invulling n.t.b.
-  Privieruimte aan voorzijde woning, breedte 1.50m tlv. veranda, pergola, Deltse stoep of zijje
-  Plantvak met robuuste bodembedekkende mix van onderhoudsarme prairiebeplanting (Fleur Robuste of soortgelijk)
-  Struweelhaag als afscheiding naar achtertuinen Brinkeverweg met deels wintergroene struiken met ecologische meerwaarde, o.a. lijsterbes, sporkhout, liguster, meidoorn, sleedoorn, hulst etc
-  Gazon
-  Wadi
-  Parkpaden in asfalt met lichte strooilaag variërend in breedte, voetpad 1,5 m, fietspad 3,0 m, rijbaan 4,0 m waar nodig (calamiteitendiensten) met verstepte grasbermen
-  Toegangspad tot woningen, geclusterd per 2 woningen betonstraatsteen 30x30cm, kleur grijs/antraciet
-  Inrichting rondom SMCD met hergebruikte gebakken klinkers (heidepaars/oker), parkeervakken in betonsteen, kleur grijs/antraciet
-  Binnenterrein - betonstraatsteen dikformaat in elleboogverband rijbaan in antraciet, parkeervak in lichtere tint antraciet
-  Bestaande bomen (te behouden)
-  Nieuwe bomen, soort n.t.b.
-  Verdiepte afvalcontainers
-  Container opsteplek (COP)
-  Netstation Enexis incl obstakelvrije ruimte
-  Straatlantaarn type CityCharm Cordoba o.g.
-  Speelplaats met natuurlijke speelaanleidingen

	Compositie 5 stedenbouw bv Boechorstraat 35 4811 GB Breda telefoon 076-525292 e-mail info@cs5.nl website www.cs5.nl	Geëtruidentuin Inrichtingsplan Opdrachtgever : Synchroon B.V. Projectnummer : 142001 Gemeente : Deventer Locatie : 14200123 Getekend : 27-02-2019 Status :
	Schaal : 1:500 A0 A1 A2 A3 A4	

- $L_{Ar,LT}$ 45-50 dB(A)
- $L_{Ar,LT}$ 50-55 dB(A)
- $L_{Ar,LT}$ 55-60 dB(A)
- $L_{Ar,LT}$ 60-65 dB(A)

Legenda

-  Hekwerk rondom park, gemetselde pilaren met stalen hekwerk waar nodig aangevuld of gerenoveerd
-  Contour woningen met verspringende gevellijn exacte invulling n.t.b.
-  Privieruimte aan voorzijde woning, breedte 1.50m tbv. veranda, pergola, Deltse stoep of zijje
-  Plantvak met robuuste bodembedekkende mix van onderhoudsarme prairiebeplanting (Fleur Robuste of soortgelijk)
-  Struweelhaag als afscheiding naar achtertuinen Brinkgeverweg met deels wintergroene struiken met ecologische meerwaarde, o.a. lijsterbes, sporkhout, liguster, meidoorn, sleedoorn, hulst etc
-  Gazon
-  Wadi
-  Parkpaden in asfalt met lichte strooilaag variërend in breedte, voetpad 1,5 m, fietspad 3,0 m, rijbaan 4,0 m waar nodig (calamiteitendiensten) met verstepte grasbermen
-  Toegangspad tot woningen, geclusterd per 2 woningen betonstraatsteen 30x30cm, kleur grijs/antraciet
-  Inrichting rondom SMCD met hergebruikte gebakken klinkers (heidepaars/oker), parkeervakken in betonsteen, kleur grijs/antraciet
-  Binnenterrein - betonstraatsteen dikformaat in elleboogverband rijbaan in antraciet, parkeervak in lichtere tint antraciet
-  Bestaande bomen (te behouden)
-  Nieuwe bomen, soort n.t.b.
-  Verdiepte afvalcontainers
-  Container opsteplek (COP)
-  Netstation Enexis incl obstakelvrije ruimte
-  Straatantaam type CityCharm Cordoba o.g.
-  Speelplaats met natuurlijke speelaanleidingen

Bijlagen

Bijlage I Verkeersgegevens

Bijlage I Verkeersgegevens

Model: Kopie van Wegverkeermodel
Geertruidelocatie - Kleine berekeningen

Groep: (hoofdgroep)
Lijst van Wegen, voor rekenmethode Wegverkeerslawaai - RMW-2012

Naam	Omschr.	ISO_H	ISO M.	Hdef.	Type	Cpl	Cpl_W	Helling	Wegdek	V(MR(D))	V(MR(A))	V(MR(N))	V(MR(P4))	V(LV(D))	V(LV(A))	V(LV(N))	V(LV(P4))	V(MV(D))	V(MV(A))	V(MV(N))
01		0,00	--	Relatief	Verdeling	False	1,5	0	W0	--	--	--	--	50	50	50	--	50	50	50
02		0,00	--	Relatief	Verdeling	False	1,5	0	W0	--	--	--	--	50	50	50	--	50	50	50
03		0,00	--	Relatief	Verdeling	False	1,5	0	W0	--	--	--	--	50	50	50	--	50	50	50
04		0,00	--	Relatief	Verdeling	False	1,5	0	W0	--	--	--	--	50	50	50	--	50	50	50
05		0,00	--	Relatief	Verdeling	False	1,5	0	W0	--	--	--	--	50	50	50	--	50	50	50
06		0,00	--	Relatief	Verdeling	False	1,5	0	W0	--	--	--	--	50	50	50	--	50	50	50
07		0,00	--	Relatief	Verdeling	False	1,5	0	W0	--	--	--	--	50	50	50	--	50	50	50
08		0,00	--	Relatief	Verdeling	False	1,5	0	W0	--	--	--	--	50	50	50	--	50	50	50
09		0,00	--	Relatief	Verdeling	False	1,5	0	W0	--	--	--	--	50	50	50	--	50	50	50
10		0,00	--	Relatief	Verdeling	False	1,5	0	W0	--	--	--	--	50	50	50	--	50	50	50
72	12,50m (Rechts)	0,00	--	Relatief	Verdeling	False	1,5	0	W0	50	50	50	--	50	50	50	--	50	50	50
73	12,50m (Rechts)	0,00	--	Relatief	Verdeling	False	1,5	0	W0	50	50	50	--	50	50	50	--	50	50	50
74	12,50m (Links)	0,00	--	Relatief	Verdeling	False	1,5	0	W0	50	50	50	--	50	50	50	--	50	50	50
75	12,50m (Links)	0,00	--	Relatief	Verdeling	False	1,5	0	W0	50	50	50	--	50	50	50	--	50	50	50
76	12,50m (Rechts)	0,00	--	Relatief	Verdeling	False	1,5	0	W0	50	50	50	--	50	50	50	--	50	50	50
77	12,50m (Rechts)	0,00	--	Relatief	Verdeling	False	1,5	0	W0	50	50	50	--	50	50	50	--	50	50	50
78	12,50m (Links)	0,00	--	Relatief	Verdeling	False	1,5	0	W0	50	50	50	--	50	50	50	--	50	50	50
79	12,50m (Links)	0,00	--	Relatief	Verdeling	False	1,5	0	W0	50	50	50	--	50	50	50	--	50	50	50
80	12,50m (Rechts)	0,00	--	Relatief	Verdeling	False	1,5	0	W0	50	50	50	--	50	50	50	--	50	50	50
11		0,00	--	Relatief	Verdeling	False	1,5	0	W0	--	--	--	--	50	50	50	--	50	50	50
12		0,00	--	Relatief	Verdeling	False	1,5	0	W0	--	--	--	--	50	50	50	--	50	50	50
13		0,00	--	Relatief	Verdeling	False	1,5	0	W0	--	--	--	--	50	50	50	--	50	50	50
14		0,00	--	Relatief	Verdeling	False	1,5	0	W0	--	--	--	--	50	50	50	--	50	50	50
15	Brinkgreverweg	0,00	--	Relatief	Verdeling	False	1,5	0	W0	--	--	--	--	50	50	50	--	50	50	50
16		0,00	--	Relatief	Verdeling	False	1,5	0	W0	--	--	--	--	50	50	50	--	50	50	50
17		0,00	--	Relatief	Verdeling	False	1,5	0	W0	--	--	--	--	50	50	50	--	50	50	50
18	Brinkgreverweg	0,00	--	Relatief	Verdeling	False	1,5	0	W0	--	--	--	--	50	50	50	--	50	50	50
19	Brinkgreverweg	0,00	--	Relatief	Verdeling	False	1,5	0	W0	--	--	--	--	50	50	50	--	50	50	50
20		0,00	--	Relatief	Verdeling	False	1,5	0	W9a	--	--	--	--	30	30	30	--	30	30	30
21		0,00	--	Relatief	Verdeling	False	1,5	0	W9a	--	--	--	--	30	30	30	--	30	30	30
22		0,00	--	Relatief	Verdeling	False	1,5	0	W9a	--	--	--	--	30	30	30	--	30	30	30
23		0,00	--	Relatief	Verdeling	False	1,5	0	W9a	--	--	--	--	30	30	30	--	30	30	30
24		0,00	--	Relatief	Verdeling	False	1,5	0	W9a	--	--	--	--	30	30	30	--	30	30	30
25		0,00	--	Relatief	Verdeling	False	1,5	0	W9a	--	--	--	--	30	30	30	--	30	30	30
26		0,00	--	Relatief	Verdeling	False	1,5	0	W9a	--	--	--	--	30	30	30	--	30	30	30
27	Van Oldenielstraat	0,00	--	Relatief	Verdeling	False	1,5	0	W0	--	--	--	--	50	50	50	--	50	50	50
28		0,00	--	Relatief	Verdeling	False	1,5	0	W0	--	--	--	--	50	50	50	--	50	50	50
29		0,00	--	Relatief	Verdeling	False	1,5	0	W0	--	--	--	--	50	50	50	--	50	50	50
30		0,00	--	Relatief	Verdeling	False	1,5	0	W0	--	--	--	--	50	50	50	--	50	50	50
31		0,00	--	Relatief	Verdeling	False	1,5	0	W0	--	--	--	--	50	50	50	--	50	50	50
32	Van Oldenielstraat	0,00	--	Relatief	Verdeling	False	1,5	0	W0	--	--	--	--	50	50	50	--	50	50	50
33		0,00	--	Relatief	Verdeling	False	1,5	0	W0	--	--	--	--	50	50	50	--	50	50	50
34		0,00	--	Relatief	Verdeling	False	1,5	0	W0	--	--	--	--	50	50	50	--	50	50	50
35	Margijnenenk	0,00	--	Relatief	Verdeling	False	1,5	0	W0	--	--	--	--	50	50	50	--	50	50	50
36	Henri Dunantlaan	0,00	--	Relatief	Verdeling	False	1,5	0	W0	--	--	--	--	50	50	50	--	50	50	50
37	Henri Dunantlaan	0,00	--	Relatief	Verdeling	False	1,5	0	W0	--	--	--	--	50	50	50	--	50	50	50
38	Brinkgreverweg	0,00	--	Relatief	Verdeling	False	1,5	0	W0	--	--	--	--	50	50	50	--	50	50	50

Bijlage I Verkeersgegevens

Model: Kopie van Wegverkeermodel
 Geertruidelocatie - Kleine berekeningen
 Groep: (hoofdgroep)
 Lijst van Wegen, voor rekenmethode Wegverkeerslawaai - RMW-2012

Naam	V(MV(P4))	V(ZV(D))	V(ZV(A))	V(ZV(N))	V(ZV(P4))	Totaal aantal	%Int(D)	%Int(A)	%Int(N)	%Int(P4)	%MR(D)	%MR(A)	%MR(N)	%MR(P4)	%LV(D)	%LV(A)	%LV(N)	%LV(P4)	%MV(D)	%MV(A)	%MV(N)	%MV(P4)
01	--	50	50	50	--	3993,29	6,72	3,42	0,72	--	--	--	--	--	96,48	97,96	97,11	--	2,90	1,72	2,38	--
02	--	50	50	50	--	4482,97	6,73	3,39	0,72	--	--	--	--	--	94,42	96,79	95,42	--	4,15	2,49	3,42	--
03	--	50	50	50	--	8965,94	6,73	3,39	0,72	--	--	--	--	--	94,42	96,79	95,42	--	4,15	2,49	3,42	--
04	--	50	50	50	--	3993,29	6,72	3,42	0,72	--	--	--	--	--	96,48	97,96	97,11	--	2,90	1,72	2,38	--
05	--	50	50	50	--	3955,55	6,71	3,43	0,72	--	--	--	--	--	97,28	98,42	97,78	--	2,36	1,40	1,94	--
06	--	50	50	50	--	4371,50	6,72	3,41	0,72	--	--	--	--	--	95,69	97,48	96,46	--	3,83	2,28	3,15	--
07	--	50	50	50	--	4116,94	6,72	3,42	0,72	--	--	--	--	--	96,82	98,16	97,40	--	2,62	1,56	2,15	--
08	--	50	50	50	--	3955,55	6,71	3,43	0,72	--	--	--	--	--	97,28	98,42	97,78	--	2,36	1,40	1,94	--
09	--	50	50	50	--	4371,50	6,72	3,41	0,72	--	--	--	--	--	95,69	97,48	96,46	--	3,83	2,28	3,15	--
10	--	50	50	50	--	4371,50	6,72	3,41	0,72	--	--	--	--	--	95,69	97,48	96,46	--	3,83	2,28	3,15	--
72	--	50	50	50	--	3993,29	6,72	3,42	0,72	--	--	--	--	--	96,48	97,96	97,11	--	2,90	1,72	2,38	--
73	--	50	50	50	--	4482,97	6,73	3,39	0,72	--	--	--	--	--	94,42	96,79	95,42	--	4,15	2,49	3,42	--
74	--	50	50	50	--	3993,29	6,72	3,42	0,72	--	--	--	--	--	96,48	97,96	97,11	--	2,90	1,72	2,38	--
75	--	50	50	50	--	4116,94	6,72	3,42	0,72	--	--	--	--	--	96,82	98,16	97,40	--	2,62	1,56	2,15	--
76	--	50	50	50	--	3955,55	6,71	3,43	0,72	--	--	--	--	--	97,28	98,42	97,78	--	2,36	1,40	1,94	--
77	--	50	50	50	--	3955,55	6,71	3,43	0,72	--	--	--	--	--	97,28	98,42	97,78	--	2,36	1,40	1,94	--
78	--	50	50	50	--	4371,50	6,72	3,41	0,72	--	--	--	--	--	95,69	97,48	96,46	--	3,83	2,28	3,15	--
79	--	50	50	50	--	4371,50	6,72	3,41	0,72	--	--	--	--	--	95,69	97,48	96,46	--	3,83	2,28	3,15	--
80	--	50	50	50	--	4371,50	6,72	3,41	0,72	--	--	--	--	--	95,69	97,48	96,46	--	3,83	2,28	3,15	--
11	--	50	50	50	--	8534,46	6,74	3,36	0,71	--	--	--	--	--	92,31	95,51	93,66	--	5,90	3,57	4,88	--
12	--	50	50	50	--	8536,87	6,74	3,36	0,71	--	--	--	--	--	92,31	95,51	93,66	--	5,90	3,57	4,88	--
13	--	50	50	50	--	11916,33	6,74	3,35	0,71	--	--	--	--	--	91,34	94,94	92,85	--	6,48	3,94	5,37	--
14	--	50	50	50	--	13094,79	6,74	3,36	0,71	--	--	--	--	--	91,99	95,34	93,40	--	5,98	3,62	4,95	--
15	--	50	50	50	--	12738,93	6,68	3,28	0,85	--	--	--	--	--	92,11	95,45	95,34	--	4,84	3,16	3,09	--
16	--	50	50	50	--	13094,79	6,74	3,36	0,71	--	--	--	--	--	91,99	95,34	93,40	--	5,98	3,62	4,95	--
17	--	50	50	50	--	13094,79	6,74	3,36	0,71	--	--	--	--	--	91,99	95,34	93,40	--	5,98	3,62	4,95	--
18	--	50	50	50	--	13298,90	6,74	3,36	0,71	--	--	--	--	--	92,11	95,41	93,49	--	5,89	3,56	4,87	--
19	--	50	50	50	--	9910,86	6,75	3,34	0,71	--	--	--	--	--	90,21	94,25	91,89	--	7,33	4,48	6,09	--
20	--	30	30	30	--	1539,85	6,83	3,40	0,56	--	--	--	--	--	98,64	99,41	99,59	--	0,90	0,41	0,30	--
21	--	30	30	30	--	1539,85	6,83	3,40	0,56	--	--	--	--	--	98,64	99,41	99,59	--	0,90	0,41	0,30	--
22	--	30	30	30	--	1125,64	6,83	3,40	0,56	--	--	--	--	--	98,51	99,35	99,55	--	1,00	0,45	0,34	--
23	--	30	30	30	--	1125,64	6,83	3,40	0,56	--	--	--	--	--	98,51	99,35	99,55	--	1,00	0,45	0,34	--
24	--	30	30	30	--	1125,64	6,83	3,40	0,56	--	--	--	--	--	98,51	99,35	99,55	--	1,00	0,45	0,34	--
25	--	30	30	30	--	1096,56	6,83	3,39	0,55	--	--	--	--	--	98,01	99,11	99,36	--	1,67	0,76	0,57	--
26	--	30	30	30	--	693,65	6,86	3,33	0,54	--	--	--	--	--	94,44	97,47	98,19	--	4,50	2,09	1,57	--
27	--	50	50	50	--	18895,57	6,68	3,28	0,85	--	--	--	--	--	91,87	95,05	95,03	--	6,37	4,15	4,06	--
28	--	50	50	50	--	18895,57	6,68	3,28	0,85	--	--	--	--	--	91,87	95,05	95,03	--	6,37	4,15	4,06	--
29	--	50	50	50	--	19133,80	6,68	3,28	0,85	--	--	--	--	--	91,95	95,10	95,08	--	6,31	4,11	4,01	--
30	--	50	50	50	--	18895,57	6,68	3,28	0,85	--	--	--	--	--	91,87	95,05	95,03	--	6,37	4,15	4,06	--
31	--	50	50	50	--	19693,41	6,67	3,28	0,85	--	--	--	--	--	92,03	95,14	95,13	--	6,27	4,08	3,99	--
32	--	50	50	50	--	19693,41	6,67	3,28	0,85	--	--	--	--	--	92,03	95,14	95,13	--	6,27	4,08	3,99	--
33	--	50	50	50	--	19693,41	6,67	3,28	0,85	--	--	--	--	--	92,03	95,14	95,13	--	6,27	4,08	3,99	--
34	--	50	50	50	--	17219,95	6,68	3,28	0,85	--	--	--	--	--	91,97	95,11	95,10	--	6,26	4,08	3,99	--
35	--	50	50	50	--	17219,95	6,68	3,28	0,85	--	--	--	--	--	91,97	95,11	95,10	--	6,26	4,08	3,99	--
36	--	50	50	50	--	32451,74	6,67	3,30	0,85	--	--	--	--	--	93,55	96,18	96,14	--	4,59	2,98	2,90	--
37	--	50	50	50	--	28977,97	6,67	3,29	0,85	--	--	--	--	--	93,05	95,88	95,83	--	4,95	3,21	3,14	--
38	--	50	50	50	--	3498,55	6,71	3,43	0,72	--	--	--	--	--	97,78	98,75	98,19	--	1,59	0,94	1,30	--

Bijlage I Verkeersgegevens

Model: Kopie van Wegverkeermodel
 Geertruidelocatie - Kleine berekeningen
 Groep: (hoofdgroep)
 Lijst van Wegen, voor rekenmethode Wegverkeerslawaai - RMW-2012

Naam	%ZV (D)	%ZV (A)	%ZV (N)	%ZV (P4)	MR (D)	MR (A)	MR (N)	MR (P4)	LV (D)	LV (A)	LV (N)	LV (P4)	MV (D)	MV (A)	MV (N)	MV (P4)	ZV (D)	ZV (A)	ZV (N)	ZV (P4)	LE (D)	63
01	0,63	0,32	0,51	--	--	--	--	--	258,90	133,78	27,92	--	7,78	2,35	0,68	--	1,69	0,44	0,15	--	78,70	
02	1,42	0,72	1,16	--	--	--	--	--	284,87	147,09	30,80	--	12,52	3,78	1,10	--	4,28	1,09	0,37	--	79,92	
03	1,42	0,72	1,16	--	--	--	--	--	569,74	294,19	61,60	--	25,04	7,57	2,21	--	8,57	2,19	0,75	--	82,93	
04	0,63	0,32	0,51	--	--	--	--	--	258,90	133,78	27,92	--	7,78	2,35	0,68	--	1,69	0,44	0,15	--	78,70	
05	0,36	0,18	0,29	--	--	--	--	--	258,20	133,53	27,85	--	6,26	1,90	0,55	--	0,96	0,24	0,08	--	78,34	
06	0,48	0,24	0,39	--	--	--	--	--	281,10	145,31	30,36	--	11,25	3,40	0,99	--	1,41	0,36	0,12	--	79,26	
07	0,56	0,28	0,45	--	--	--	--	--	267,86	138,21	28,87	--	7,25	2,20	0,64	--	1,55	0,39	0,13	--	78,71	
08	0,36	0,18	0,29	--	--	--	--	--	258,20	133,53	27,85	--	6,26	1,90	0,55	--	0,96	0,24	0,08	--	78,34	
09	0,48	0,24	0,39	--	--	--	--	--	281,10	145,31	30,36	--	11,25	3,40	0,99	--	1,41	0,36	0,12	--	79,26	
10	0,48	0,24	0,39	--	--	--	--	--	281,10	145,31	30,36	--	11,25	3,40	0,99	--	1,41	0,36	0,12	--	79,26	
72	0,63	0,32	0,51	--	--	--	--	--	258,90	133,78	27,92	--	7,78	2,35	0,68	--	1,69	0,44	0,15	--	78,70	
73	1,42	0,72	1,16	--	--	--	--	--	284,87	147,09	30,80	--	12,52	3,78	1,10	--	4,28	1,09	0,37	--	79,92	
74	0,63	0,32	0,51	--	--	--	--	--	258,90	133,78	27,92	--	7,78	2,35	0,68	--	1,69	0,44	0,15	--	78,70	
75	0,56	0,28	0,45	--	--	--	--	--	267,86	138,21	28,87	--	7,25	2,20	0,64	--	1,55	0,39	0,13	--	78,71	
76	0,36	0,18	0,29	--	--	--	--	--	258,20	133,53	27,85	--	6,26	1,90	0,55	--	0,96	0,24	0,08	--	78,34	
77	0,36	0,18	0,29	--	--	--	--	--	258,20	133,53	27,85	--	6,26	1,90	0,55	--	0,96	0,24	0,08	--	78,34	
78	0,48	0,24	0,39	--	--	--	--	--	281,10	145,31	30,36	--	11,25	3,40	0,99	--	1,41	0,36	0,12	--	79,26	
79	0,48	0,24	0,39	--	--	--	--	--	281,10	145,31	30,36	--	11,25	3,40	0,99	--	1,41	0,36	0,12	--	79,26	
80	0,48	0,24	0,39	--	--	--	--	--	281,10	145,31	30,36	--	11,25	3,40	0,99	--	1,41	0,36	0,12	--	79,26	
11	1,79	0,92	1,46	--	--	--	--	--	530,99	273,88	56,75	--	33,94	10,24	2,96	--	10,30	2,64	0,88	--	83,27	
12	1,79	0,92	1,46	--	--	--	--	--	531,14	273,96	56,77	--	33,95	10,24	2,96	--	10,30	2,64	0,88	--	83,27	
13	2,18	1,13	1,78	--	--	--	--	--	733,61	379,00	78,56	--	52,04	15,73	4,54	--	17,51	4,51	1,51	--	84,99	
14	2,03	1,04	1,66	--	--	--	--	--	811,89	419,48	86,84	--	52,78	15,93	4,60	--	17,92	4,58	1,54	--	85,25	
15	3,04	1,39	1,58	--	--	--	--	--	783,82	398,83	103,24	--	41,19	13,20	3,35	--	25,87	5,81	1,71	--	85,26	
16	2,03	1,04	1,66	--	--	--	--	--	811,89	419,48	86,84	--	52,78	15,93	4,60	--	17,92	4,58	1,54	--	85,25	
17	2,03	1,04	1,66	--	--	--	--	--	811,89	419,48	86,84	--	52,78	15,93	4,60	--	17,92	4,58	1,54	--	85,25	
18	2,00	1,03	1,63	--	--	--	--	--	825,62	426,33	88,28	--	52,79	15,91	4,60	--	17,93	4,60	1,54	--	85,28	
19	2,46	1,28	2,01	--	--	--	--	--	603,49	311,99	64,66	--	49,04	14,83	4,29	--	16,46	4,24	1,41	--	84,47	
20	0,46	0,19	0,10	--	--	--	--	--	103,74	52,05	8,59	--	0,95	0,21	0,03	--	0,48	0,10	0,01	--	81,41	
21	0,46	0,19	0,10	--	--	--	--	--	103,74	52,05	8,59	--	0,95	0,21	0,03	--	0,48	0,10	0,01	--	81,41	
22	0,50	0,20	0,11	--	--	--	--	--	75,74	38,02	6,28	--	0,77	0,17	0,02	--	0,38	0,08	0,01	--	80,13	
23	0,50	0,20	0,11	--	--	--	--	--	75,74	38,02	6,28	--	0,77	0,17	0,02	--	0,38	0,08	0,01	--	80,13	
24	0,50	0,20	0,11	--	--	--	--	--	75,74	38,02	6,28	--	0,77	0,17	0,02	--	0,38	0,08	0,01	--	80,13	
25	0,32	0,13	0,07	--	--	--	--	--	73,40	36,84	5,99	--	1,25	0,28	0,03	--	0,24	0,05	--	--	80,27	
26	1,05	0,44	0,24	--	--	--	--	--	44,94	22,51	3,68	--	2,14	0,48	0,06	--	0,50	0,10	0,01	--	79,88	
27	1,76	0,80	0,91	--	--	--	--	--	1159,61	589,10	152,63	--	80,40	25,72	6,52	--	22,22	4,96	1,46	--	86,77	
28	1,76	0,80	0,91	--	--	--	--	--	1159,61	589,10	152,63	--	80,40	25,72	6,52	--	22,22	4,96	1,46	--	86,77	
29	1,74	0,79	0,90	--	--	--	--	--	1175,25	596,84	154,64	--	80,65	25,79	6,52	--	22,24	4,96	1,46	--	86,80	
30	1,76	0,80	0,91	--	--	--	--	--	1159,61	589,10	152,63	--	80,40	25,72	6,52	--	22,22	4,96	1,46	--	86,77	
31	1,70	0,78	0,88	--	--	--	--	--	1208,86	614,55	159,24	--	82,36	26,35	6,68	--	22,33	5,04	1,47	--	86,90	
32	1,70	0,78	0,88	--	--	--	--	--	1208,86	614,55	159,24	--	82,36	26,35	6,68	--	22,33	5,04	1,47	--	86,90	
33	1,70	0,78	0,88	--	--	--	--	--	1208,86	614,55	159,24	--	82,36	26,35	6,68	--	22,33	5,04	1,47	--	86,90	
34	1,77	0,81	0,92	--	--	--	--	--	1057,92	537,19	139,20	--	72,01	23,04	5,84	--	20,36	4,57	1,35	--	86,35	
35	1,77	0,81	0,92	--	--	--	--	--	1057,92	537,19	139,20	--	72,01	23,04	5,84	--	20,36	4,57	1,35	--	86,35	
36	1,86	0,84	0,96	--	--	--	--	--	2024,92	1030,00	265,19	--	99,35	31,91	8,00	--	40,26	9,00	2,65	--	88,78	
37	2,00	0,91	1,03	--	--	--	--	--	1798,50	914,10	236,04	--	95,68	30,60	7,73	--	38,66	8,68	2,54	--	88,42	
38	0,63	0,32	0,51	--	--	--	--	--	229,54	118,50	24,73	--	3,73	1,13	0,33	--	1,48	0,38	0,13	--	77,73	

Bijlage I Verkeersgegevens

Model: Kopie van Wegverkeermodel
 Geertruidelocatie - Kleine berekeningen
 Groep: (hoofdgroep)
 Lijst van Wegen, voor rekenmethode Wegverkeerslawaaai - RMW-2012

Naam	LE (D) 125	LE (D) 250	LE (D) 500	LE (D) 1k	LE (D) 2k	LE (D) 4k	LE (D) 8k	LE (A) 63	LE (A) 125	LE (A) 250	LE (A) 500	LE (A) 1k	LE (A) 2k	LE (A) 4k	LE (A) 8k	LE (N) 63	LE (N) 125
01	85,77	92,02	97,66	104,23	100,79	94,02	84,13	75,23	82,10	87,90	94,38	101,19	97,71	90,91	80,65	68,78	75,77
02	87,15	93,77	98,73	104,92	101,52	94,77	85,35	76,16	83,17	89,33	95,18	101,76	98,30	91,52	81,57	69,91	77,06
03	90,16	96,78	101,74	107,93	104,53	97,79	88,36	79,17	86,18	92,34	98,19	104,77	101,31	94,54	84,58	72,92	80,07
04	85,77	92,02	97,66	104,23	100,79	94,02	84,13	75,23	82,10	87,90	94,38	101,19	97,71	90,91	80,65	68,78	75,77
05	85,32	91,35	97,39	104,12	100,65	93,87	83,78	75,01	81,81	87,43	94,22	101,13	97,63	90,83	80,42	68,47	75,38
06	86,47	92,89	98,11	104,65	101,23	94,47	84,74	75,74	82,71	88,68	94,81	101,59	98,12	91,33	81,18	69,32	76,44
07	85,74	91,90	97,72	104,34	100,89	94,11	84,14	75,29	82,12	87,85	94,47	101,31	97,82	91,02	80,70	68,81	75,76
08	85,32	91,35	97,39	104,12	100,65	93,87	83,78	75,01	81,81	87,43	94,22	101,13	97,63	90,83	80,42	68,47	75,38
09	86,47	92,89	98,11	104,65	101,23	94,47	84,74	75,74	82,71	88,68	94,81	101,59	98,12	91,33	81,18	69,32	76,44
10	86,47	92,89	98,11	104,65	101,23	94,47	84,74	75,74	82,71	88,68	94,81	101,59	98,12	91,33	81,18	69,32	76,44
72	85,77	92,02	97,66	104,23	100,79	94,02	84,13	75,23	82,10	87,90	94,38	101,19	97,71	90,91	80,65	68,78	75,77
73	87,15	93,77	98,73	104,92	101,52	94,77	85,35	76,16	83,17	89,33	95,18	101,76	98,30	91,52	81,57	69,91	77,06
74	85,77	92,02	97,66	104,23	100,79	94,02	84,13	75,23	82,10	87,90	94,38	101,19	97,71	90,91	80,65	68,78	75,77
75	85,74	91,90	97,72	104,34	100,89	94,11	84,14	75,29	82,12	87,85	94,47	101,31	97,82	91,02	80,70	68,81	75,76
76	85,32	91,35	97,39	104,12	100,65	93,87	83,78	75,01	81,81	87,43	94,22	101,13	97,63	90,83	80,42	68,47	75,38
77	85,32	91,35	97,39	104,12	100,65	93,87	83,78	75,01	81,81	87,43	94,22	101,13	97,63	90,83	80,42	68,47	75,38
78	86,47	92,89	98,11	104,65	101,23	94,47	84,74	75,74	82,71	88,68	94,81	101,59	98,12	91,33	81,18	69,32	76,44
79	86,47	92,89	98,11	104,65	101,23	94,47	84,74	75,74	82,71	88,68	94,81	101,59	98,12	91,33	81,18	69,32	76,44
80	86,47	92,89	98,11	104,65	101,23	94,47	84,74	75,74	82,71	88,68	94,81	101,59	98,12	91,33	81,18	69,32	76,44
11	90,67	97,55	101,91	107,85	104,52	97,79	88,73	79,32	86,48	92,93	98,19	104,60	101,18	94,42	84,76	73,14	80,45
12	90,67	97,56	101,91	107,86	104,52	97,79	88,73	79,32	86,48	92,93	98,19	104,60	101,18	94,42	84,76	73,14	80,45
13	92,43	99,40	103,58	109,38	106,07	99,35	90,44	80,95	88,16	94,71	99,78	106,08	102,68	95,92	86,39	74,83	82,19
14	92,65	99,55	103,87	109,75	106,42	99,69	90,69	81,25	88,42	94,90	100,12	106,48	103,06	96,30	86,68	75,10	82,41
15	92,54	99,40	103,99	109,68	106,32	99,60	90,61	81,08	88,19	94,64	100,00	106,28	102,86	96,10	86,47	75,29	82,40
16	92,65	99,55	103,87	109,75	106,42	99,69	90,69	81,25	88,42	94,90	100,12	106,48	103,06	96,30	86,68	75,10	82,41
17	92,65	99,55	103,87	109,75	106,42	99,69	90,69	81,25	88,42	94,90	100,12	106,48	103,06	96,30	86,68	75,10	82,41
18	92,68	99,57	103,92	109,81	106,47	99,75	90,73	81,30	88,46	94,92	100,17	106,54	103,12	96,36	86,73	75,14	82,44
19	91,96	99,02	102,99	108,67	105,37	98,67	89,92	80,34	87,61	94,26	99,11	105,32	101,93	95,18	85,78	74,28	81,69
20	85,49	91,83	93,97	97,45	90,62	85,45	78,15	77,91	81,64	86,81	90,69	94,29	87,37	82,17	73,88	69,94	73,56
21	85,49	91,83	93,97	97,45	90,62	85,45	78,15	77,91	81,64	86,81	90,69	94,29	87,37	82,17	73,88	69,94	73,56
22	84,26	90,76	92,65	96,12	89,29	84,14	76,98	76,58	80,34	85,61	89,35	92,94	86,03	80,83	72,61	68,61	72,25
23	84,26	90,76	92,65	96,12	89,29	84,14	76,98	76,58	80,34	85,61	89,35	92,94	86,03	80,83	72,61	68,61	72,25
24	84,26	90,76	92,65	96,12	89,29	84,14	76,98	76,58	80,34	85,61	89,35	92,94	86,03	80,83	72,61	68,61	72,25
25	84,41	91,44	92,52	96,02	89,24	84,08	77,29	76,59	80,39	86,14	89,22	92,82	85,94	80,74	72,79	68,53	72,22
26	84,67	93,12	91,33	94,52	88,05	82,99	78,21	75,44	79,73	87,12	87,54	90,99	84,26	79,12	72,77	67,16	71,23
27	94,21	101,14	105,36	111,28	107,96	101,23	92,24	82,75	89,99	96,53	101,56	107,95	104,55	97,79	88,22	76,92	84,15
28	94,21	101,14	105,36	111,28	107,96	101,23	92,24	82,75	89,99	96,53	101,56	107,95	104,55	97,79	88,22	76,92	84,15
29	94,24	101,16	105,40	111,33	108,01	101,28	92,27	82,79	90,03	96,55	101,61	108,00	104,60	97,84	88,26	76,95	84,18
30	94,21	101,14	105,36	111,28	107,96	101,23	92,24	82,75	89,99	96,53	101,56	107,95	104,55	97,79	88,22	76,92	84,15
31	94,33	101,25	105,50	111,44	108,12	101,39	92,37	82,90	90,14	96,65	101,72	108,13	104,72	97,96	88,37	77,06	84,29
32	94,33	101,25	105,50	111,44	108,12	101,39	92,37	82,90	90,14	96,65	101,72	108,13	104,72	97,96	88,37	77,06	84,29
33	94,33	101,25	105,50	111,44	108,12	101,39	92,37	82,90	90,14	96,65	101,72	108,13	104,72	97,96	88,37	77,06	84,29
34	93,78	100,70	104,95	110,88	107,55	100,82	91,82	82,33	89,57	96,09	101,15	107,55	104,15	97,39	87,80	76,50	83,72
35	93,78	100,70	104,95	110,88	107,55	100,82	91,82	82,33	89,57	96,09	101,15	107,55	104,15	97,39	87,80	76,50	83,72
36	96,05	102,78	107,53	113,56	110,18	103,45	94,19	84,84	91,93	98,24	103,79	110,28	106,84	100,07	90,26	78,99	86,07
37	95,73	102,52	107,15	113,11	109,74	103,01	93,84	84,43	91,55	97,93	103,35	109,80	106,37	99,60	89,86	78,60	85,71
38	84,59	90,45	96,88	103,59	100,10	93,31	83,11	74,42	81,13	86,59	93,69	100,59	97,08	90,28	79,79	67,88	74,67

Bijlage I Verkeersgegevens

Model: Kopie van Wegverkeermodel
 Geertruidelocatie - Kleine berekeningen
 Groep: (hoofdgroep)
 Lijst van Wegen, voor rekenmethode Wegverkeerslawaai - RMW-2012

Naam	LE (N) 250	LE (N) 500	LE (N) 1k	LE (N) 2k	LE (N) 4k	LE (N) 8k	LE (P4) 63	LE (P4) 125	LE (P4) 250	LE (P4) 500	LE (P4) 1k	LE (P4) 2k	LE (P4) 4k	LE (P4) 8k
01	81,85	87,82	94,49	91,03	84,24	74,20	--	--	--	--	--	--	--	--
02	83,52	88,80	95,14	91,72	84,96	75,33	--	--	--	--	--	--	--	--
03	86,53	91,81	98,15	94,73	87,97	78,34	--	--	--	--	--	--	--	--
04	81,85	87,82	94,49	91,03	84,24	74,20	--	--	--	--	--	--	--	--
05	81,26	87,59	94,39	90,91	84,12	73,90	--	--	--	--	--	--	--	--
06	82,69	88,27	94,90	91,46	84,69	74,79	--	--	--	--	--	--	--	--
07	81,75	87,89	94,60	91,13	84,34	74,23	--	--	--	--	--	--	--	--
08	81,26	87,59	94,39	90,91	84,12	73,90	--	--	--	--	--	--	--	--
09	82,69	88,27	94,90	91,46	84,69	74,79	--	--	--	--	--	--	--	--
10	82,69	88,27	94,90	91,46	84,69	74,79	--	--	--	--	--	--	--	--
72	81,85	87,82	94,49	91,03	84,24	74,20	--	--	--	--	--	--	--	--
73	83,52	88,80	95,14	91,72	84,96	75,33	--	--	--	--	--	--	--	--
74	81,85	87,82	94,49	91,03	84,24	74,20	--	--	--	--	--	--	--	--
75	81,75	87,89	94,60	91,13	84,34	74,23	--	--	--	--	--	--	--	--
76	81,26	87,59	94,39	90,91	84,12	73,90	--	--	--	--	--	--	--	--
77	81,26	87,59	94,39	90,91	84,12	73,90	--	--	--	--	--	--	--	--
78	82,69	88,27	94,90	91,46	84,69	74,79	--	--	--	--	--	--	--	--
79	82,69	88,27	94,90	91,46	84,69	74,79	--	--	--	--	--	--	--	--
80	82,69	88,27	94,90	91,46	84,69	74,79	--	--	--	--	--	--	--	--
11	87,18	91,87	97,99	94,62	87,87	78,58	--	--	--	--	--	--	--	--
12	87,18	91,87	97,99	94,62	87,87	78,58	--	--	--	--	--	--	--	--
13	89,01	93,52	99,50	96,15	89,42	80,27	--	--	--	--	--	--	--	--
14	89,17	93,82	99,88	96,51	89,77	80,54	--	--	--	--	--	--	--	--
15	88,86	94,21	100,44	97,02	90,26	80,67	--	--	--	--	--	--	--	--
16	89,17	93,82	99,88	96,51	89,77	80,54	--	--	--	--	--	--	--	--
17	89,17	93,82	99,88	96,51	89,77	80,54	--	--	--	--	--	--	--	--
18	89,19	93,87	99,94	96,57	89,83	80,57	--	--	--	--	--	--	--	--
19	88,60	92,89	98,77	95,44	88,71	79,72	--	--	--	--	--	--	--	--
20	78,24	82,78	86,42	79,48	74,27	65,64	--	--	--	--	--	--	--	--
21	78,24	82,78	86,42	79,48	74,27	65,64	--	--	--	--	--	--	--	--
22	77,07	81,44	85,07	78,13	72,92	64,37	--	--	--	--	--	--	--	--
23	77,07	81,44	85,07	78,13	72,92	64,37	--	--	--	--	--	--	--	--
24	77,07	81,44	85,07	78,13	72,92	64,37	--	--	--	--	--	--	--	--
25	77,50	81,25	84,89	77,97	72,76	64,46	--	--	--	--	--	--	--	--
26	78,12	79,45	82,97	76,18	71,01	64,05	--	--	--	--	--	--	--	--
27	90,68	95,74	102,10	98,70	91,94	82,38	--	--	--	--	--	--	--	--
28	90,68	95,74	102,10	98,70	91,94	82,38	--	--	--	--	--	--	--	--
29	90,70	95,78	102,15	98,75	91,99	82,41	--	--	--	--	--	--	--	--
30	90,68	95,74	102,10	98,70	91,94	82,38	--	--	--	--	--	--	--	--
31	90,80	95,89	102,27	98,87	92,11	82,52	--	--	--	--	--	--	--	--
32	90,80	95,89	102,27	98,87	92,11	82,52	--	--	--	--	--	--	--	--
33	90,80	95,89	102,27	98,87	92,11	82,52	--	--	--	--	--	--	--	--
34	90,25	95,33	101,70	98,29	91,53	81,96	--	--	--	--	--	--	--	--
35	90,25	95,33	101,70	98,29	91,53	81,96	--	--	--	--	--	--	--	--
36	92,38	97,95	104,40	100,96	94,19	84,40	--	--	--	--	--	--	--	--
37	92,09	97,53	103,93	100,50	93,74	84,02	--	--	--	--	--	--	--	--
38	80,38	87,08	93,86	90,36	83,57	73,25	--	--	--	--	--	--	--	--

Bijlage I Verkeersgegevens

Model: Kopie van Wegverkeermodel
 Geertruidelocatie - Kleine berekeningen
 Groep: (hoofdgroep)
 Lijst van Wegen, voor rekenmethode Wegverkeerslawaai - RMW-2012

Naam	Omschr.	ISO_H	ISO M.	Hdef.	Type	Cpl	Cpl_W	Helling	Wegdek	V(MR(D))	V(MR(A))	V(MR(N))	V(MR(P4))	V(LV(D))	V(LV(A))	V(LV(N))	V(LV(P4))	V(MV(D))	V(MV(A))	V(MV(N))
39	Hoge Hondtstraat	0,00	--	Relatief	Verdeling	False	1,5	0	W0	--	--	--	--	50	50	50	--	50	50	50
40		0,00	--	Relatief	Verdeling	False	1,5	0	W0	--	--	--	--	50	50	50	--	50	50	50
41		0,00	--	Relatief	Verdeling	False	1,5	0	W0	--	--	--	--	50	50	50	--	50	50	50
42		0,00	--	Relatief	Verdeling	False	1,5	0	W0	--	--	--	--	50	50	50	--	50	50	50
43		0,00	--	Relatief	Verdeling	False	1,5	0	W0	--	--	--	--	50	50	50	--	50	50	50
44		0,00	--	Relatief	Verdeling	False	1,5	0	W0	--	--	--	--	50	50	50	--	50	50	50
45		0,00	--	Relatief	Verdeling	False	1,5	0	W0	--	--	--	--	50	50	50	--	50	50	50
46		0,00	--	Relatief	Verdeling	False	1,5	0	W0	--	--	--	--	50	50	50	--	50	50	50
47		0,00	--	Relatief	Verdeling	False	1,5	0	W0	--	--	--	--	50	50	50	--	50	50	50
48		0,00	--	Relatief	Verdeling	False	1,5	0	W0	--	--	--	--	50	50	50	--	50	50	50
49		0,00	--	Relatief	Verdeling	False	1,5	0	W0	--	--	--	--	50	50	50	--	50	50	50
50		0,00	--	Relatief	Verdeling	False	1,5	0	W0	--	--	--	--	50	50	50	--	50	50	50
51		0,00	--	Relatief	Verdeling	False	1,5	0	W0	--	--	--	--	50	50	50	--	50	50	50
52		0,00	--	Relatief	Verdeling	False	1,5	0	W0	--	--	--	--	50	50	50	--	50	50	50
53		0,00	--	Relatief	Verdeling	False	1,5	0	W0	--	--	--	--	50	50	50	--	50	50	50
54		0,00	--	Relatief	Verdeling	False	1,5	0	W9a	--	--	--	--	30	30	30	--	30	30	30
55		0,00	--	Relatief	Verdeling	False	1,5	0	W9a	--	--	--	--	30	30	30	--	30	30	30
56		0,00	--	Relatief	Verdeling	False	1,5	0	W9a	--	--	--	--	30	30	30	--	30	30	30
57		0,00	--	Relatief	Verdeling	False	1,5	0	W9a	--	--	--	--	30	30	30	--	30	30	30
58		0,00	--	Relatief	Verdeling	False	1,5	0	W9a	--	--	--	--	30	30	30	--	30	30	30
59		0,00	--	Relatief	Verdeling	False	1,5	0	W9a	--	--	--	--	30	30	30	--	30	30	30
60		0,00	--	Relatief	Verdeling	False	1,5	0	W9a	--	--	--	--	30	30	30	--	30	30	30
61		0,00	--	Relatief	Verdeling	False	1,5	0	W9a	--	--	--	--	30	30	30	--	30	30	30
62		0,00	--	Relatief	Verdeling	False	1,5	0	W9a	--	--	--	--	30	30	30	--	30	30	30
63		0,00	--	Relatief	Verdeling	False	1,5	0	W9a	--	--	--	--	30	30	30	--	30	30	30
64		0,00	--	Relatief	Verdeling	False	1,5	0	W9a	--	--	--	--	30	30	30	--	30	30	30
65	Herman Boerhavelaan	0,00	--	Relatief	Verdeling	False	1,5	0	W0	--	--	--	--	50	50	50	--	50	50	50
66		0,00	--	Relatief	Verdeling	False	1,5	0	W9a	--	--	--	--	30	30	30	--	30	30	30
67		0,00	--	Relatief	Verdeling	False	1,5	0	W9a	--	--	--	--	30	30	30	--	30	30	30
68		0,00	--	Relatief	Verdeling	False	1,5	0	W9a	--	--	--	--	30	30	30	--	30	30	30
69		0,00	--	Relatief	Verdeling	False	1,5	0	W9a	--	--	--	--	30	30	30	--	30	30	30
70		0,00	--	Relatief	Verdeling	False	1,5	0	W0	--	--	--	--	50	50	50	--	50	50	50
71		0,00	--	Relatief	Verdeling	False	1,5	0	W0	--	--	--	--	50	50	50	--	50	50	50

Bijlage I Verkeersgegevens

Model: Kopie van Wegverkeermodel
 Geertruidelocatie - Kleine berekeningen
 Groep: (hoofdgroep)
 Lijst van Wegen, voor rekenmethode Wegverkeerslawaai - RMW-2012

Naam	V(MV(P4))	V(ZV(D))	V(ZV(A))	V(ZV(N))	V(ZV(P4))	Totaal aantal	%Int(D)	%Int(A)	%Int(N)	%Int(P4)	%MR(D)	%MR(A)	%MR(N)	%MR(P4)	%LV(D)	%LV(A)	%LV(N)	%LV(P4)	%MV(D)	%MV(A)	%MV(N)	%MV(P4)
39	--	50	50	50	--	5953,07	6,74	3,36	0,71	--	--	--	--	--	92,26	95,39	93,61	--	6,99	4,23	5,79	--
40	--	50	50	50	--	5558,93	6,74	3,36	0,71	--	--	--	--	--	92,04	95,24	93,42	--	7,41	4,48	6,13	--
41	--	50	50	50	--	5327,55	6,74	3,36	0,71	--	--	--	--	--	91,66	95,00	93,10	--	7,79	4,72	6,45	--
42	--	50	50	50	--	5327,55	6,74	3,36	0,71	--	--	--	--	--	91,66	95,00	93,10	--	7,79	4,72	6,45	--
43	--	50	50	50	--	4109,24	6,73	3,38	0,71	--	--	--	--	--	93,34	96,03	94,51	--	6,33	3,81	5,23	--
44	--	50	50	50	--	4109,24	6,73	3,38	0,71	--	--	--	--	--	93,34	96,03	94,51	--	6,33	3,81	5,23	--
45	--	50	50	50	--	4109,24	6,73	3,38	0,71	--	--	--	--	--	93,34	96,03	94,51	--	6,33	3,81	5,23	--
46	--	50	50	50	--	4109,24	6,73	3,38	0,71	--	--	--	--	--	93,34	96,03	94,51	--	6,33	3,81	5,23	--
47	--	50	50	50	--	4109,24	6,73	3,38	0,71	--	--	--	--	--	93,34	96,03	94,51	--	6,33	3,81	5,23	--
48	--	50	50	50	--	4109,24	6,73	3,38	0,71	--	--	--	--	--	93,34	96,03	94,51	--	6,33	3,81	5,23	--
49	--	50	50	50	--	5956,97	6,74	3,36	0,71	--	--	--	--	--	92,27	95,39	93,61	--	6,99	4,23	5,79	--
50	--	50	50	50	--	4109,24	6,73	3,38	0,71	--	--	--	--	--	93,34	96,03	94,51	--	6,33	3,81	5,23	--
51	--	50	50	50	--	4109,24	6,73	3,38	0,71	--	--	--	--	--	93,34	96,03	94,51	--	6,33	3,81	5,23	--
52	--	50	50	50	--	5956,97	6,74	3,36	0,71	--	--	--	--	--	92,27	95,39	93,61	--	6,99	4,23	5,79	--
53	--	50	50	50	--	5956,97	6,74	3,36	0,71	--	--	--	--	--	92,27	95,39	93,61	--	6,99	4,23	5,79	--
54	--	30	30	30	--	901,00	6,83	3,39	0,55	--	--	--	--	--	97,97	99,09	99,35	--	1,71	0,78	0,58	--
55	--	30	30	30	--	901,00	6,83	3,39	0,55	--	--	--	--	--	97,97	99,09	99,35	--	1,71	0,78	0,58	--
56	--	30	30	30	--	901,00	6,83	3,39	0,55	--	--	--	--	--	97,97	99,09	99,35	--	1,71	0,78	0,58	--
57	--	30	30	30	--	0,00	--	--	--	--	--	--	--	--	100,00	100,00	100,00	--	--	--	--	--
58	--	30	30	30	--	672,89	6,83	3,40	0,56	--	--	--	--	--	98,94	99,54	99,69	--	0,66	0,30	0,22	--
59	--	30	30	30	--	1431,41	6,94	3,17	0,51	--	--	--	--	--	84,30	92,53	94,79	--	10,15	5,01	3,83	--
60	--	30	30	30	--	672,89	6,83	3,40	0,56	--	--	--	--	--	98,94	99,54	99,69	--	0,66	0,30	0,22	--
61	--	30	30	30	--	0,00	--	--	--	--	--	--	--	--	100,00	100,00	100,00	--	--	--	--	--
62	--	30	30	30	--	1189,92	6,86	3,33	0,54	--	--	--	--	--	93,98	97,21	97,93	--	5,73	2,67	2,00	--
63	--	30	30	30	--	1216,99	6,86	3,33	0,54	--	--	--	--	--	94,11	97,27	97,98	--	5,60	2,61	1,96	--
64	--	30	30	30	--	1216,99	6,86	3,33	0,54	--	--	--	--	--	94,11	97,27	97,98	--	5,60	2,61	1,96	--
65	--	50	50	50	--	4334,98	6,72	3,40	0,72	--	--	--	--	--	95,15	97,13	96,01	--	4,54	2,71	3,74	--
66	--	30	30	30	--	1508,38	6,84	3,38	0,55	--	--	--	--	--	97,46	98,86	99,18	--	2,15	0,98	0,73	--
67	--	30	30	30	--	1508,38	6,84	3,38	0,55	--	--	--	--	--	97,46	98,86	99,18	--	2,15	0,98	0,73	--
68	--	30	30	30	--	2345,04	6,85	3,36	0,55	--	--	--	--	--	96,46	98,42	98,88	--	2,69	1,24	0,93	--
69	--	30	30	30	--	2345,04	6,85	3,36	0,55	--	--	--	--	--	96,46	98,42	98,88	--	2,69	1,24	0,93	--
70	--	50	50	50	--	4846,63	6,75	3,33	0,71	--	--	--	--	--	89,48	93,74	91,27	--	8,58	5,25	7,13	--
71	--	50	50	50	--	4846,63	6,75	3,33	0,71	--	--	--	--	--	89,48	93,74	91,27	--	8,58	5,25	7,13	--

Bijlage I Verkeersgegevens

Model: Kopie van Wegverkeermodel
 Geertruidelocatie - Kleine berekeningen
 Groep: (hoofdgroep)
 Lijst van Wegen, voor rekenmethode Wegverkeerslawaai - RMW-2012

Naam	%ZV (D)	%ZV (A)	%ZV (N)	%ZV (P4)	MR (D)	MR (A)	MR (N)	MR (P4)	LV (D)	LV (A)	LV (N)	LV (P4)	MV (D)	MV (A)	MV (N)	MV (P4)	ZV (D)	ZV (A)	ZV (N)	ZV (P4)	LE (D)	63
39	0,75	0,38	0,61	--	--	--	--	--	370,18	190,80	39,57	--	28,05	8,46	2,45	--	3,01	0,76	0,26	--	81,50	
40	0,55	0,28	0,45	--	--	--	--	--	344,85	177,89	36,87	--	27,76	8,37	2,42	--	2,06	0,52	0,18	--	81,21	
41	0,55	0,28	0,45	--	--	--	--	--	329,13	170,06	35,22	--	27,97	8,45	2,44	--	1,97	0,50	0,17	--	81,11	
42	0,55	0,28	0,45	--	--	--	--	--	329,13	170,06	35,22	--	27,97	8,45	2,44	--	1,97	0,50	0,17	--	81,11	
43	0,32	0,17	0,26	--	--	--	--	--	258,13	133,38	27,57	--	17,51	5,29	1,53	--	0,88	0,24	0,08	--	79,54	
44	0,32	0,17	0,26	--	--	--	--	--	258,13	133,38	27,57	--	17,51	5,29	1,53	--	0,88	0,24	0,08	--	79,54	
45	0,32	0,17	0,26	--	--	--	--	--	258,13	133,38	27,57	--	17,51	5,29	1,53	--	0,88	0,24	0,08	--	79,54	
46	0,32	0,17	0,26	--	--	--	--	--	258,13	133,38	27,57	--	17,51	5,29	1,53	--	0,88	0,24	0,08	--	79,54	
47	0,32	0,17	0,26	--	--	--	--	--	258,13	133,38	27,57	--	17,51	5,29	1,53	--	0,88	0,24	0,08	--	79,54	
48	0,32	0,17	0,26	--	--	--	--	--	258,13	133,38	27,57	--	17,51	5,29	1,53	--	0,88	0,24	0,08	--	79,54	
49	0,74	0,38	0,60	--	--	--	--	--	370,46	190,93	39,59	--	28,06	8,47	2,45	--	2,97	0,76	0,25	--	81,50	
50	0,32	0,17	0,26	--	--	--	--	--	258,13	133,38	27,57	--	17,51	5,29	1,53	--	0,88	0,24	0,08	--	79,54	
51	0,32	0,17	0,26	--	--	--	--	--	258,13	133,38	27,57	--	17,51	5,29	1,53	--	0,88	0,24	0,08	--	79,54	
52	0,74	0,38	0,60	--	--	--	--	--	370,46	190,93	39,59	--	28,06	8,47	2,45	--	2,97	0,76	0,25	--	81,50	
53	0,74	0,38	0,60	--	--	--	--	--	370,46	190,93	39,59	--	28,06	8,47	2,45	--	2,97	0,76	0,25	--	81,50	
54	0,32	0,13	0,07	--	--	--	--	--	60,29	30,27	4,92	--	1,05	0,24	0,03	--	0,20	0,04	--	--	79,43	
55	0,32	0,13	0,07	--	--	--	--	--	60,29	30,27	4,92	--	1,05	0,24	0,03	--	0,20	0,04	--	--	79,43	
56	0,32	0,13	0,07	--	--	--	--	--	60,29	30,27	4,92	--	1,05	0,24	0,03	--	0,20	0,04	--	--	79,43	
57	--	--	--	--	--	--	--	--	--	--	--	--	--	--	--	--	--	--	--	--	--	--
58	0,40	0,16	0,09	--	--	--	--	--	45,47	22,77	3,76	--	0,30	0,07	0,01	--	0,18	0,04	--	--	77,64	
59	5,56	2,46	1,38	--	--	--	--	--	83,74	41,99	6,92	--	10,08	2,27	0,28	--	5,52	1,12	0,10	--	85,86	
60	0,40	0,16	0,09	--	--	--	--	--	45,47	22,77	3,76	--	0,30	0,07	0,01	--	0,18	0,04	--	--	77,64	
61	--	--	--	--	--	--	--	--	--	--	--	--	--	--	--	--	--	--	--	--	--	--
62	0,30	0,12	0,07	--	--	--	--	--	76,71	38,52	6,29	--	4,68	1,06	0,13	--	0,24	0,05	--	--	82,36	
63	0,29	0,12	0,07	--	--	--	--	--	78,57	39,42	6,44	--	4,68	1,06	0,13	--	0,24	0,05	--	--	82,40	
64	0,29	0,12	0,07	--	--	--	--	--	78,57	39,42	6,44	--	4,68	1,06	0,13	--	0,24	0,05	--	--	82,40	
65	0,31	0,16	0,25	--	--	--	--	--	277,18	143,16	29,97	--	13,23	3,99	1,17	--	0,90	0,24	0,08	--	79,32	
66	0,39	0,16	0,09	--	--	--	--	--	100,55	50,40	8,23	--	2,22	0,50	0,06	--	0,40	0,08	0,01	--	81,94	
67	0,39	0,16	0,09	--	--	--	--	--	100,55	50,40	8,23	--	2,22	0,50	0,06	--	0,40	0,08	0,01	--	81,94	
68	0,85	0,35	0,19	--	--	--	--	--	154,95	77,55	12,75	--	4,32	0,98	0,12	--	1,37	0,28	0,02	--	84,35	
69	0,85	0,35	0,19	--	--	--	--	--	154,95	77,55	12,75	--	4,32	0,98	0,12	--	1,37	0,28	0,02	--	84,35	
70	1,95	1,01	1,60	--	--	--	--	--	292,73	151,29	31,41	--	28,07	8,47	2,45	--	6,38	1,63	0,55	--	81,40	
71	1,95	1,01	1,60	--	--	--	--	--	292,73	151,29	31,41	--	28,07	8,47	2,45	--	6,38	1,63	0,55	--	81,40	

Bijlage I Verkeersgegevens

Model: Kopie van Wegverkeermodel
 Geertruidelocatie - Kleine berekeningen
 Groep: (hoofdgroep)
 Lijst van Wegen, voor rekenmethode Wegverkeerslawaai - RMW-2012

Naam	LE (D) 125	LE (D) 250	LE (D) 500	LE (D) 1k	LE (D) 2k	LE (D) 4k	LE (D) 8k	LE (A) 63	LE (A) 125	LE (A) 250	LE (A) 500	LE (A) 1k	LE (A) 2k	LE (A) 4k	LE (A) 8k	LE (N) 63	LE (N) 125
39	89,03	95,95	100,03	106,19	102,88	96,14	87,06	77,64	84,90	91,39	96,45	102,98	99,58	92,82	83,15	71,40	78,82
40	88,78	95,73	99,69	105,88	102,58	95,85	86,79	77,36	84,65	91,17	96,14	102,68	99,29	92,52	82,88	71,10	78,57
41	88,71	95,69	99,56	105,71	102,43	95,70	86,70	77,24	84,56	91,12	95,99	102,51	99,12	92,36	82,77	70,99	78,49
42	88,71	95,69	99,56	105,71	102,43	95,70	86,70	77,24	84,56	91,12	95,99	102,51	99,12	92,36	82,77	70,99	78,49
43	87,03	93,84	98,12	104,48	101,14	94,40	85,12	75,83	83,04	89,40	94,70	101,34	97,93	91,16	81,34	69,48	76,86
44	87,03	93,84	98,12	104,48	101,14	94,40	85,12	75,83	83,04	89,40	94,70	101,34	97,93	91,16	81,34	69,48	76,86
45	87,03	93,84	98,12	104,48	101,14	94,40	85,12	75,83	83,04	89,40	94,70	101,34	97,93	91,16	81,34	69,48	76,86
46	87,03	93,84	98,12	104,48	101,14	94,40	85,12	75,83	83,04	89,40	94,70	101,34	97,93	91,16	81,34	69,48	76,86
47	87,03	93,84	98,12	104,48	101,14	94,40	85,12	75,83	83,04	89,40	94,70	101,34	97,93	91,16	81,34	69,48	76,86
48	87,03	93,84	98,12	104,48	101,14	94,40	85,12	75,83	83,04	89,40	94,70	101,34	97,93	91,16	81,34	69,48	76,86
49	89,03	95,95	100,03	106,19	102,88	96,14	87,06	77,65	84,91	91,39	96,46	102,98	99,58	92,82	83,15	71,39	78,82
50	87,03	93,84	98,12	104,48	101,14	94,40	85,12	75,83	83,04	89,40	94,70	101,34	97,93	91,16	81,34	69,48	76,86
51	87,03	93,84	98,12	104,48	101,14	94,40	85,12	75,83	83,04	89,40	94,70	101,34	97,93	91,16	81,34	69,48	76,86
52	89,03	95,95	100,03	106,19	102,88	96,14	87,06	77,65	84,91	91,39	96,46	102,98	99,58	92,82	83,15	71,39	78,82
53	89,03	95,95	100,03	106,19	102,88	96,14	87,06	77,65	84,91	91,39	96,46	102,98	99,58	92,82	83,15	71,39	78,82
54	83,59	90,65	91,67	95,17	88,40	83,24	76,48	75,75	79,55	85,34	88,37	91,97	85,09	79,89	71,96	67,69	71,37
55	83,59	90,65	91,67	95,17	88,40	83,24	76,48	75,75	79,55	85,34	88,37	91,97	85,09	79,89	71,96	67,69	71,37
56	83,59	90,65	91,67	95,17	88,40	83,24	76,48	75,75	79,55	85,34	88,37	91,97	85,09	79,89	71,96	67,69	71,37
57	--	--	--	--	--	--	--	--	--	--	--	--	--	--	--	--	--
58	81,62	87,57	90,30	93,82	86,95	81,77	74,14	74,22	77,89	82,73	87,06	90,68	83,74	78,54	70,03	66,28	69,86
59	91,50	100,59	96,81	99,15	93,18	88,34	85,46	80,38	85,55	94,15	91,85	94,71	88,36	83,39	79,24	71,63	76,48
60	81,62	87,57	90,30	93,82	86,95	81,77	74,14	74,22	77,89	82,73	87,06	90,68	83,74	78,54	70,03	66,28	69,86
61	--	--	--	--	--	--	--	--	--	--	--	--	--	--	--	--	--
62	87,00	95,71	93,43	96,78	90,36	85,25	80,59	77,89	82,10	89,74	89,77	93,29	86,60	81,44	75,19	69,62	73,68
63	87,03	95,72	93,51	96,86	90,43	85,32	80,61	77,95	82,16	89,76	89,86	93,39	86,68	81,52	75,24	69,70	73,75
64	87,03	95,72	93,51	96,86	90,43	85,32	80,61	77,95	82,16	89,76	89,86	93,39	86,68	81,52	75,24	69,70	73,75
65	86,62	93,15	98,09	104,62	101,23	94,46	84,84	75,77	82,81	88,89	94,78	101,55	98,09	91,31	81,24	69,38	76,57
66	86,21	93,63	94,02	97,48	90,76	85,61	79,25	78,11	81,99	88,13	90,65	94,23	87,37	82,18	74,53	70,03	73,78
67	86,21	93,63	94,02	97,48	90,76	85,61	79,25	78,11	81,99	88,13	90,65	94,23	87,37	82,18	74,53	70,03	73,78
68	88,92	96,75	96,28	99,58	92,95	87,85	82,18	80,27	84,35	90,99	92,70	96,20	89,39	84,22	77,10	72,14	76,03
69	88,92	96,75	96,28	99,58	92,95	87,85	82,18	80,27	84,35	90,99	92,70	96,20	89,39	84,22	77,10	72,14	76,03
70	89,00	96,13	99,82	105,54	102,28	95,58	86,92	77,27	84,63	91,36	95,97	102,19	98,83	92,08	82,76	71,22	78,72
71	89,00	96,13	99,82	105,54	102,28	95,58	86,92	77,27	84,63	91,36	95,97	102,19	98,83	92,08	82,76	71,22	78,72

Bijlage I Verkeersgegevens

Model: Kopie van Wegverkeermodel
 Geertruidelocatie - Kleine berekeningen
 Groep: (hoofdgroep)
 Lijst van Wegen, voor rekenmethode Wegverkeerslawaai - RMW-2012

Naam	LE (N) 250	LE (N) 500	LE (N) 1k	LE (N) 2k	LE (N) 4k	LE (N) 8k	LE (P4) 63	LE (P4) 125	LE (P4) 250	LE (P4) 500	LE (P4) 1k	LE (P4) 2k	LE (P4) 4k	LE (P4) 8k
39	85,58	90,03	96,34	92,99	86,24	76,93	--	--	--	--	--	--	--	--
40	85,36	89,70	96,03	92,69	85,95	76,66	--	--	--	--	--	--	--	--
41	85,32	89,56	95,86	92,53	85,79	76,56	--	--	--	--	--	--	--	--
42	85,32	89,56	95,86	92,53	85,79	76,56	--	--	--	--	--	--	--	--
43	83,50	88,18	94,65	91,28	84,52	75,03	--	--	--	--	--	--	--	--
44	83,50	88,18	94,65	91,28	84,52	75,03	--	--	--	--	--	--	--	--
45	83,50	88,18	94,65	91,28	84,52	75,03	--	--	--	--	--	--	--	--
46	83,50	88,18	94,65	91,28	84,52	75,03	--	--	--	--	--	--	--	--
47	83,50	88,18	94,65	91,28	84,52	75,03	--	--	--	--	--	--	--	--
48	83,50	88,18	94,65	91,28	84,52	75,03	--	--	--	--	--	--	--	--
49	85,58	90,03	96,34	92,99	86,24	76,93	--	--	--	--	--	--	--	--
50	83,50	88,18	94,65	91,28	84,52	75,03	--	--	--	--	--	--	--	--
51	83,50	88,18	94,65	91,28	84,52	75,03	--	--	--	--	--	--	--	--
52	85,58	90,03	96,34	92,99	86,24	76,93	--	--	--	--	--	--	--	--
53	85,58	90,03	96,34	92,99	86,24	76,93	--	--	--	--	--	--	--	--
54	76,68	80,40	84,04	77,12	71,91	63,62	--	--	--	--	--	--	--	--
55	76,68	80,40	84,04	77,12	71,91	63,62	--	--	--	--	--	--	--	--
56	76,68	80,40	84,04	77,12	71,91	63,62	--	--	--	--	--	--	--	--
57	--	--	--	--	--	--	--	--	--	--	--	--	--	--
58	74,29	79,17	82,81	75,86	70,65	61,87	--	--	--	--	--	--	--	--
59	84,78	83,28	86,41	79,91	74,86	69,98	--	--	--	--	--	--	--	--
60	74,29	79,17	82,81	75,86	70,65	61,87	--	--	--	--	--	--	--	--
61	--	--	--	--	--	--	--	--	--	--	--	--	--	--
62	80,84	81,75	85,31	78,55	73,37	66,57	--	--	--	--	--	--	--	--
63	80,88	81,84	85,40	78,64	73,46	66,63	--	--	--	--	--	--	--	--
64	80,88	81,84	85,40	78,64	73,46	66,63	--	--	--	--	--	--	--	--
65	82,93	88,25	94,87	91,45	84,68	74,88	--	--	--	--	--	--	--	--
66	79,42	82,68	86,30	79,40	74,20	66,14	--	--	--	--	--	--	--	--
67	79,42	82,68	86,30	79,40	74,20	66,14	--	--	--	--	--	--	--	--
68	82,12	84,69	88,26	81,40	76,21	68,55	--	--	--	--	--	--	--	--
69	82,12	84,69	88,26	81,40	76,21	68,55	--	--	--	--	--	--	--	--
70	85,71	89,74	95,65	92,35	85,63	76,72	--	--	--	--	--	--	--	--
71	85,71	89,74	95,65	92,35	85,63	76,72	--	--	--	--	--	--	--	--

Bijlage I Verkeersgegevens

Model: Kopie van Wegverkeermodel
Geertruidelocatie - Kleine berekeningen
Groep: (hoofdgroep)
Lijst van Kruisingen, voor rekenmethode Wegverkeerslawaai - RMW-2012

Naam	Omschr.	Corr.
81686		2/3
82128		2/3
82150		2/3

Bijlage I Verkeersgegevens

Model: Kopie van Wegverkeermodel
Geertruidelocatie - Kleine berekeningen
Groep: (hoofdgroep)
Lijst van Minirotondes, voor rekenmethode Wegverkeerslawaaï - RMW-2012

<u>Naam</u>	<u>Omschr.</u>
82170	

Bijlage II Invoergegevens rekenmodel (Geomilieu)

Bijlage II Invoergegevens rekenmodel (Geomilieu)

Model: Wegverkeermodel										
Groep: Geestrijdelocatie - Kleine berekeningen										
(hoofdgroep)										
Lijst van Toetspunten, voor rekenmethode Wegverkeerslawaa - RMW-2012										
Naam	Omschr.	Maasveld	Hdef.	Hoogte A	Hoogte B	Hoogte C	Hoogte D	Hoogte E	Hoogte F	Gevel
02_15	Cluster 2	6,74	Relatief	1,50	4,50	--	--	--	--	Ja
02_16	Cluster 2	6,74	Relatief	1,50	4,50	7,50	10,50	--	--	Ja
02_17	Cluster 2	6,73	Relatief	1,50	4,50	7,50	10,50	--	--	Ja
02_18	Cluster 2	6,73	Relatief	1,50	4,50	7,50	10,50	--	--	Ja
02_19	Cluster 2	6,72	Relatief	1,50	4,50	7,50	10,50	--	--	Ja
02_20	Cluster 2	6,71	Relatief	1,50	4,50	7,50	10,50	--	--	Ja
02_21	Cluster 2	6,83	Relatief	1,50	4,50	7,50	10,50	--	--	Ja
02_22	Cluster 2	7,10	Relatief	1,50	4,50	7,50	10,50	--	--	Ja
02_23	Cluster 2	7,11	Relatief	1,50	4,50	7,50	10,50	--	--	Ja
02_24	Cluster 2	7,12	Relatief	1,50	4,50	7,50	10,50	--	--	Ja
02_25	Cluster 2	7,12	Relatief	1,50	4,50	7,50	10,50	--	--	Ja
02_26	Cluster 2	7,21	Relatief	1,50	4,50	7,50	10,50	--	--	Ja
02_27	Cluster 2	7,23	Relatief	1,50	4,50	7,50	10,50	--	--	Ja
02_28	Cluster 2	7,15	Relatief	1,50	4,50	7,50	10,50	--	--	Ja
02_29	Cluster 2	7,15	Relatief	1,50	4,50	7,50	10,50	--	--	Ja
02_30	Cluster 2	7,16	Relatief	1,50	4,50	7,50	10,50	--	--	Ja
02_31	Cluster 2	7,16	Relatief	1,50	4,50	7,50	10,50	--	--	Ja
02_32	Cluster 2	7,18	Relatief	1,50	4,50	7,50	10,50	--	--	Ja
02_33	Cluster 2	7,34	Relatief	1,50	4,50	7,50	--	--	--	Ja
02_34	Cluster 2	7,34	Relatief	1,50	4,50	7,50	--	--	--	Ja
02_35	Cluster 2	7,35	Relatief	1,50	4,50	7,50	--	--	--	Ja
02_36	Cluster 2	7,36	Relatief	1,50	4,50	7,50	--	--	--	Ja
02_37	Cluster 2	7,37	Relatief	1,50	4,50	7,50	--	--	--	Ja
02_38	Cluster 2	7,40	Relatief	1,50	4,50	7,50	--	--	--	Ja
02_39	Cluster 2	7,42	Relatief	1,50	4,50	7,50	--	--	--	Ja
02_40	Cluster 2	7,42	Relatief	1,50	4,50	7,50	--	--	--	Ja
02_41	Cluster 2	7,42	Relatief	1,50	4,50	7,50	--	--	--	Ja
02_42	Cluster 2	7,42	Relatief	1,50	4,50	7,50	--	--	--	Ja
02_43	Cluster 2	7,42	Relatief	1,50	4,50	7,50	--	--	--	Ja
02_44	Cluster 2	7,42	Relatief	1,50	4,50	--	--	--	--	Ja
02_45	Cluster 2	7,42	Relatief	1,50	4,50	--	--	--	--	Ja
02_46	Cluster 2	7,41	Relatief	1,50	4,50	--	--	--	--	Ja
02_47	Cluster 2	7,36	Relatief	1,50	4,50	--	--	--	--	Ja
02_48	Cluster 2	7,30	Relatief	1,50	4,50	7,50	--	--	--	Ja
02_49	Cluster 2	7,24	Relatief	1,50	4,50	7,50	--	--	--	Ja
02_50	Cluster 2	7,17	Relatief	1,50	4,50	7,50	--	--	--	Ja
02_51	Cluster 2	7,10	Relatief	1,50	4,50	7,50	--	--	--	Ja
02_52	Cluster 2	7,04	Relatief	1,50	4,50	7,50	--	--	--	Ja
02_53	Cluster 2	6,97	Relatief	1,50	4,50	7,50	--	--	--	Ja
02_54	Cluster 2	6,90	Relatief	1,50	4,50	7,50	--	--	--	Ja
02_55	Cluster 2	6,83	Relatief	1,50	4,50	7,50	--	--	--	Ja
02_56	Cluster 2	6,77	Relatief	1,50	4,50	7,50	--	--	--	Ja
02_57	Cluster 2	6,70	Relatief	1,50	4,50	7,50	--	--	--	Ja
02_58	Cluster 2	6,67	Relatief	1,50	4,50	7,50	--	--	--	Ja
02_59	Cluster 2	6,69	Relatief	1,50	4,50	7,50	--	--	--	Ja
02_60	Cluster 2	6,69	Relatief	1,50	4,50	7,50	--	--	--	Ja
02_61	Cluster 2	6,71	Relatief	1,50	4,50	7,50	--	--	--	Ja
02_62	Cluster 2	6,71	Relatief	1,50	4,50	7,50	--	--	--	Ja
02_63	Cluster 2	6,71	Relatief	1,50	4,50	7,50	--	--	--	Ja
02_64	Cluster 2	6,69	Relatief	1,50	4,50	7,50	--	--	--	Ja
02_65	Cluster 2	6,67	Relatief	1,50	4,50	7,50	--	--	--	Ja
02_66	Cluster 2	6,66	Relatief	1,50	4,50	7,50	--	--	--	Ja
02_67	Cluster 2	6,64	Relatief	1,50	4,50	7,50	--	--	--	Ja
02_68	Cluster 2	6,63	Relatief	1,50	4,50	7,50	--	--	--	Ja
02_69	Cluster 2	6,61	Relatief	1,50	4,50	7,50	--	--	--	Ja
02_70	Cluster 2	6,64	Relatief	1,50	4,50	7,50	--	--	--	Ja
02_71	Cluster 2	6,74	Relatief	1,50	4,50	--	--	--	--	Ja
02_72	Cluster 2	6,74	Relatief	1,50	4,50	--	--	--	--	Ja
02_73	Cluster 2	6,74	Relatief	1,50	4,50	7,50	10,50	--	--	Ja
02_74	Cluster 2	6,73	Relatief	1,50	4,50	7,50	10,50	--	--	Ja
02_75	Cluster 2	6,72	Relatief	1,50	4,50	7,50	10,50	--	--	Ja
02_76	Cluster 2	6,72	Relatief	1,50	4,50	7,50	10,50	--	--	Ja
02_77	Cluster 2	6,71	Relatief	1,50	4,50	7,50	10,50	--	--	Ja
02_78	Cluster 2	6,99	Relatief	1,50	4,50	7,50	10,50	--	--	Ja
02_79	Cluster 2	7,16	Relatief	1,50	4,50	7,50	10,50	--	--	Ja
02_80	Cluster 2	7,24	Relatief	1,50	4,50	7,50	10,50	--	--	Ja
02_81	Cluster 2	7,28	Relatief	1,50	4,50	7,50	10,50	--	--	Ja
02_82	Cluster 2	7,32	Relatief	1,50	4,50	7,50	10,50	--	--	Ja
02_83	Cluster 2	7,39	Relatief	1,50	4,50	7,50	10,50	--	--	Ja
02_84	Cluster 2	7,29	Relatief	1,50	4,50	7,50	10,50	--	--	Ja
02_85	Cluster 2	7,29	Relatief	1,50	4,50	7,50	10,50	--	--	Ja
02_86	Cluster 2	7,36	Relatief	1,50	4,50	7,50	--	--	--	Ja
02_87	Cluster 2	7,37	Relatief	1,50	4,50	7,50	--	--	--	Ja
02_88	Cluster 2	7,38	Relatief	1,50	4,50	7,50	--	--	--	Ja
02_89	Cluster 2	7,39	Relatief	1,50	4,50	7,50	--	--	--	Ja
02_90	Cluster 2	7,40	Relatief	1,50	4,50	7,50	--	--	--	Ja
02_91	Cluster 2	7,41	Relatief	1,50	4,50	7,50	--	--	--	Ja
02_92	Cluster 2	7,42	Relatief	1,50	4,50	7,50	--	--	--	Ja
02_93	Cluster 2	7,39	Relatief	1,50	4,50	7,50	--	--	--	Ja
02_94	Cluster 2	7,38	Relatief	1,50	4,50	7,50	--	--	--	Ja
02_95	Cluster 2	7,40	Relatief	1,50	4,50	7,50	--	--	--	Ja
02_96	Cluster 2	7,39	Relatief	1,50	4,50	--	--	--	--	Ja
02_97	Cluster 2	7,37	Relatief	1,50	4,50	--	--	--	--	Ja
02_98	Cluster 2	7,31	Relatief	1,50	4,50	7,50	--	--	--	Ja
02_99	Cluster 2	7,25	Relatief	1,50	4,50	7,50	--	--	--	Ja
02_100	Cluster 2	7,19	Relatief	1,50	4,50	7,50	--	--	--	Ja
02_101	Cluster 2	7,13	Relatief	1,50	4,50	7,50	--	--	--	Ja
02_102	Cluster 2	7,06	Relatief	1,50	4,50	7,50	--	--	--	Ja
02_103	Cluster 2	7,00	Relatief	1,50	4,50	7,50	--	--	--	Ja
02_104	Cluster 2	6,93	Relatief	1,50	4,50	7,50	--	--	--	Ja
02_105	Cluster 2	6,87	Relatief	1,50	4,50	7,50	--	--	--	Ja
02_106	Cluster 2	6,80	Relatief	1,50	4,50	7,50	--	--	--	Ja
02_107	Cluster 2	6,73	Relatief	1,50	4,50	7,50	--	--	--	Ja
02_108	Cluster 2	6,70	Relatief	1,50	4,50	7,50	--	--	--	Ja
03_01	Cluster 3	6,75	Relatief	1,50	4,50	7,50	--	--	--	Ja
03_02	Cluster 3	6,75	Relatief	1,50	4,50	7,50	--	--	--	Ja
03_03	Cluster 3	6,75	Relatief	1,50	4,50	7,50	--	--	--	Ja
03_04	Cluster 3	6,75	Relatief	1,50	4,50	7,50	--	--	--	Ja
03_05	Cluster 3	6,75	Relatief	1,50	4,50	--	--	--	--	Ja
03_06	Cluster 3	6,75	Relatief	1,50	4,50	--	--	--	--	Ja
03_07	Cluster 3	6,75	Relatief	1,50	4,50	--	--	--	--	Ja
03_08	Cluster 3	6,75	Relatief	1,50	4,50	--	--	--	--	Ja
03_09	Cluster 3	6,75	Relatief	1,50	4,50	7,50	--	--	--	Ja
03_10	Cluster 3	6,75	Relatief	1,50	4,50	7,50	--	--	--	Ja
03_11	Cluster 3	6,74	Relatief	1,50	4,50	7,50	--	--	--	Ja
03_12	Cluster 3	6,72	Relatief	1,50	4,50	7,50	--	--	--	Ja
03_13	Cluster 3	6,70	Relatief	1,50	4,50	7,50	--	--	--	Ja
03_14	Cluster 3	6,74	Relatief	1,50	4,50	7,50	--	--	--	Ja
03_15	Cluster 3	6,78	Relatief	1,50	4,50	7,50	--	--	--	Ja
03_16	Cluster 3	6,82	Relatief	1,50	4,50	7,50	--	--	--	Ja
03_17	Cluster 3	6,86	Relatief	1,50	4,50	7,50	--	--	--	Ja
03_18	Cluster 3	6,90	Relatief	1,50	4,50	7,50	--	--	--	Ja
03_19	Cluster 3	6,94	Relatief	1,50	4,50	7,50	--	--	--	Ja
03_20	Cluster 3	6,97	Relatief	1,50	4,50	7,50	--	--	--	Ja
03_21	Cluster 3	7,02	Relatief	1,50	4,50	7,50	--	--	--	Ja

Bijlage II Invoergegevens rekenmodel (Geomilieu)

Model: Wegverkeermodel										
Groep: Geestrijdelocatie - Kleine berekeningen										
(hoofdgroep)										
Lijst van Toetspunten, voor rekenmethode Wegverkeerslawaaai - RMW-2012										
Naam	Omschr.	Maatveld	Hdef.	Hoogte A	Hoogte B	Hoogte C	Hoogte D	Hoogte E	Hoogte F	Gevel
04_50	Cluster 4	7,24	Relatief	1,50	4,50	7,50	10,50	--	--	Ja
04_51	Cluster 4	7,25	Relatief	1,50	4,50	7,50	10,50	--	--	Ja
04_52	Cluster 4	7,26	Relatief	1,50	4,50	7,50	10,50	--	--	Ja
04_53	Cluster 4	7,27	Relatief	1,50	4,50	7,50	10,50	--	--	Ja
04_54	Cluster 4	7,28	Relatief	1,50	4,50	7,50	10,50	--	--	Ja
04_55	Cluster 4	7,29	Relatief	1,50	4,50	7,50	10,50	--	--	Ja
04_56	Cluster 4	7,31	Relatief	1,50	4,50	7,50	10,50	--	--	Ja
04_57	Cluster 4	7,32	Relatief	1,50	4,50	7,50	10,50	--	--	Ja
04_58	Cluster 4	7,34	Relatief	1,50	4,50	7,50	10,50	--	--	Ja
04_59	Cluster 4	7,35	Relatief	1,50	4,50	7,50	--	--	--	Ja
04_60	Cluster 4	7,35	Relatief	1,50	4,50	7,50	--	--	--	Ja
04_61	Cluster 4	7,35	Relatief	1,50	4,50	7,50	--	--	--	Ja
04_62	Cluster 4	7,36	Relatief	1,50	4,50	7,50	--	--	--	Ja
04_63	Cluster 4	7,38	Relatief	1,50	4,50	7,50	--	--	--	Ja
04_64	Cluster 4	7,40	Relatief	1,50	4,50	7,50	--	--	--	Ja
05_01	Cluster 5	7,14	Relatief	1,50	4,50	7,50	--	--	--	Ja
05_02	Cluster 5	7,06	Relatief	1,50	4,50	7,50	--	--	--	Ja
05_03	Cluster 5	7,03	Relatief	1,50	4,50	7,50	--	--	--	Ja
05_04	Cluster 5	7,13	Relatief	1,50	4,50	7,50	--	--	--	Ja
05_05	Cluster 5	6,94	Relatief	1,50	4,50	7,50	--	--	--	Ja
05_06	Cluster 5	6,91	Relatief	1,50	4,50	7,50	--	--	--	Ja
05_07	Cluster 5	6,89	Relatief	1,50	4,50	7,50	--	--	--	Ja
05_08	Cluster 5	6,92	Relatief	1,50	4,50	7,50	--	--	--	Ja
05_09	Cluster 5	6,82	Relatief	1,50	4,50	7,50	--	--	--	Ja
05_10	Cluster 5	6,78	Relatief	1,50	4,50	7,50	--	--	--	Ja
05_11	Cluster 5	6,75	Relatief	1,50	4,50	7,50	--	--	--	Ja
05_12	Cluster 5	6,79	Relatief	1,50	4,50	7,50	--	--	--	Ja
05_13	Cluster 5	6,80	Relatief	1,50	4,50	7,50	--	--	--	Ja
05_14	Cluster 5	6,78	Relatief	1,50	4,50	7,50	--	--	--	Ja
05_15	Cluster 5	6,79	Relatief	1,50	4,50	7,50	--	--	--	Ja
05_16	Cluster 5	6,82	Relatief	1,50	4,50	7,50	--	--	--	Ja
05_17	Cluster 5	6,85	Relatief	1,50	4,50	7,50	--	--	--	Ja
05_18	Cluster 5	6,84	Relatief	1,50	4,50	7,50	--	--	--	Ja
05_19	Cluster 5	6,84	Relatief	1,50	4,50	7,50	--	--	--	Ja
05_20	Cluster 5	6,85	Relatief	1,50	4,50	7,50	--	--	--	Ja
05_21	Cluster 5	6,95	Relatief	1,50	4,50	7,50	--	--	--	Ja
05_22	Cluster 5	7,02	Relatief	1,50	4,50	7,50	--	--	--	Ja
05_23	Cluster 5	7,02	Relatief	1,50	4,50	7,50	--	--	--	Ja
05_24	Cluster 5	7,12	Relatief	1,50	4,50	7,50	--	--	--	Ja
05_25	Cluster 5	7,18	Relatief	1,50	4,50	7,50	--	--	--	Ja
05_26	Cluster 5	7,23	Relatief	1,50	4,50	7,50	--	--	--	Ja
05_27	Cluster 5	7,24	Relatief	1,50	4,50	7,50	--	--	--	Ja
05_28	Cluster 5	7,25	Relatief	1,50	4,50	7,50	--	--	--	Ja
05_29	Cluster 5	7,26	Relatief	1,50	4,50	7,50	--	--	--	Ja
05_30	Cluster 5	7,27	Relatief	1,50	4,50	7,50	--	--	--	Ja
05_31	Cluster 5	7,27	Relatief	1,50	4,50	7,50	--	--	--	Ja
05_32	Cluster 5	7,25	Relatief	1,50	4,50	7,50	--	--	--	Ja
05_33	Cluster 5	7,19	Relatief	1,50	4,50	7,50	--	--	--	Ja
05_34	Cluster 5	7,13	Relatief	1,50	4,50	7,50	--	--	--	Ja
05_35	cluster 5	7,06	Relatief	1,50	4,50	7,50	--	--	--	Ja
05_36	Cluster 5	7,00	Relatief	1,50	4,50	7,50	--	--	--	Ja
S_01	SMCD	7,32	Relatief	2,00	5,00	--	--	--	--	Ja
S_02	SMCD	7,32	Relatief	2,00	5,00	--	--	--	--	Ja
S_03	SMCD	7,32	Relatief	2,00	5,00	--	--	--	--	Ja
S_04	SMCD	7,31	Relatief	2,00	5,00	--	--	--	--	Ja
S_05	SMCD	7,33	Relatief	2,00	5,00	--	--	--	--	Ja
S_06	SMCD	7,34	Relatief	2,00	5,00	--	--	--	--	Ja
S_07	SMCD	7,33	Relatief	2,00	5,00	--	--	--	--	Ja
S_08	SMCD	6,94	Relatief	1,50	5,00	8,50	12,00	--	--	Ja
S_09	SMCD	6,93	Relatief	1,50	5,00	8,50	12,00	--	--	Ja
S_10	SMCD	6,91	Relatief	1,50	5,00	8,50	12,00	--	--	Ja
S_11	SMCD	6,89	Relatief	1,50	5,00	8,50	12,00	--	--	Ja
S_12	SMCD	6,88	Relatief	1,50	5,00	8,50	12,00	--	--	Ja
S_13	SMCD	6,86	Relatief	1,50	5,00	8,50	12,00	--	--	Ja
S_14	SMCD	6,85	Relatief	1,50	--	--	--	--	--	Ja
S_15	SMCD	6,88	Relatief	1,50	--	--	--	--	--	Ja
S_16	SMCD	6,94	Relatief	1,50	--	--	--	--	--	Ja
S_17	SMCD	6,90	Relatief	5,00	8,50	12,00	--	--	--	Ja
S_18	SMCD	6,97	Relatief	1,50	5,00	8,50	12,00	--	--	Ja
S_19	SMCD	7,06	Relatief	1,50	5,00	8,50	--	--	--	Ja
S_20	SMCD	7,13	Relatief	1,50	5,00	8,50	--	--	--	Ja
S_21	SMCD	7,20	Relatief	1,50	5,00	8,50	--	--	--	Ja
S_22	SMCD	7,27	Relatief	1,50	5,00	8,50	--	--	--	Ja
S_23	SMCD	7,27	Relatief	1,50	5,00	8,50	--	--	--	Ja
S_24	SMCD	7,28	Relatief	1,50	5,00	8,50	12,00	--	--	Ja
S_25	SMCD	7,31	Relatief	1,50	5,00	8,50	12,00	--	--	Ja
S_26	SMCD	7,36	Relatief	1,50	5,00	8,50	12,00	--	--	Ja
S_27	SMCD	7,42	Relatief	1,50	5,00	8,50	12,00	--	--	Ja
S_28	SMCD	7,42	Relatief	1,50	5,00	8,50	12,00	--	--	Ja
S_29	SMCD	7,42	Relatief	1,50	5,00	8,50	12,00	--	--	Ja
S_30	SMCD	7,42	Relatief	1,50	5,00	8,50	12,00	--	--	Ja
S_31	SMCD	7,42	Relatief	1,50	5,00	8,50	12,00	--	--	Ja
S_32	SMCD	7,42	Relatief	1,50	5,00	8,50	12,00	--	--	Ja
S_33	SMCD	7,42	Relatief	1,50	5,00	8,50	12,00	--	--	Ja
S_34	SMCD	7,42	Relatief	1,50	5,00	8,50	12,00	--	--	Ja
S_35	SMCD	7,42	Relatief	1,50	5,00	8,50	12,00	--	--	Ja
S_36	SMCD	7,42	Relatief	1,50	5,00	8,50	12,00	--	--	Ja
S_37	SMCD	7,42	Relatief	1,50	5,00	8,50	12,00	--	--	Ja
S_38	SMCD	7,37	Relatief	1,50	5,00	8,50	12,00	--	--	Ja
S_39	SMCD	7,35	Relatief	1,50	5,00	8,50	--	--	--	Ja
S_40	SMCD	7,36	Relatief	1,50	5,00	8,50	--	--	--	Ja
S_41	SMCD	7,37	Relatief	1,50	5,00	8,50	--	--	--	Ja
S_42	SMCD	7,37	Relatief	1,50	5,00	8,50	--	--	--	Ja
S_43	SMCD	7,39	Relatief	1,50	5,00	8,50	12,00	--	--	Ja
S_44	SMCD	7,42	Relatief	1,50	5,00	8,50	12,00	--	--	Ja
S_45	SMCD	7,42	Relatief	1,50	5,00	8,50	12,00	--	--	Ja
S_46	SMCD	7,42	Relatief	1,50	5,00	8,50	12,00	--	--	Ja
S_47	SMCD	7,42	Relatief	1,50	5,00	8,50	12,00	--	--	Ja
S_48	SMCD	7,42	Relatief	1,50	5,00	8,50	12,00	--	--	Ja
S_49	SMCD	7,42	Relatief	1,50	5,00	8,50	12,00	--	--	Ja
S_50	SMCD	7,42	Relatief	1,50	5,00	8,50	12,00	--	--	Ja
S_51	SMCD	7,42	Relatief	1,50	5,00	8,50	12,00	--	--	Ja
S_52	SMCD	7,42	Relatief	1,50	5,00	8,50	12,00	--	--	Ja
S_53	SMCD	7,40	Relatief	1,50	5,00	8,50	12,00	--	--	Ja
S_54	SMCD	7,39	Relatief	1,50	5,00	8,50	12,00	--	--	Ja
S_55	SMCD	7,40	Relatief	1,50	5,00	8,50	12,00	--	--	Ja
S_56	SMCD	7,40	Relatief	1,50	5,00	8,50	12,00	--	--	Ja
S_57	SMCD	7,40	Relatief	1,50	5,00	8,50	12,00	--	--	Ja
S_58	SMCD	7,40	Relatief	1,50	5,00	8,50	12,00	--	--	Ja
S_59	SMCD	7,40	Relatief	1,50	5,00	8,50	12,00	--	--	Ja
S_60	SMCD	7,41	Relatief	1,50	5,00	8,50	12,00	--	--	Ja
S_61	SMCD	7,41	Relatief	1,50	5,00	8,50	12,00	--	--	Ja
S_62	SMCD	7,41	Relatief	1,50	5,00	8,50	--	--	--	Ja
S_63	SMCD	7,42	Relatief	1,50	5,00	8,50	--	--	--	Ja
S_64	SMCD	7,42	Relatief	1,50	5,00	8,50	--	--	--	Ja

Bijlage II Invoergegevens rekenmodel (Geomilieu)

Model: Wegverkeermodel
 Geotruidelocatie - Kleine berekeningen
 Groep: (hoofdgroep)
 Lijst van Toetspunten, voor rekenmethode Wegverkeerslawaai - RMW-2012

Naam	Omschr.	Maatveld	Hdef.	Hoogte A	Hoogte B	Hoogte C	Hoogte D	Hoogte E	Hoogte F	Gevel
S_65	SMCD	7,42	Relatief	1,50	5,00	8,50	--	--	--	Ja
S_66	SMCD	7,40	Relatief	1,50	5,00	8,50	--	--	--	Ja
S_67	SMCD	7,40	Relatief	1,50	5,00	8,50	--	--	--	Ja
S_68	SMCD	7,39	Relatief	1,50	5,00	8,50	--	--	--	Ja
S_69	SMCD	7,38	Relatief	1,50	5,00	8,50	--	--	--	Ja
S_70	SMCD	7,37	Relatief	1,50	5,00	8,50	12,00	--	--	Ja
S_71	SMCD	7,27	Relatief	1,50	5,00	8,50	12,00	--	--	Ja
S_72	SMCD	7,18	Relatief	1,50	5,00	8,50	12,00	--	--	Ja
S_73	SMCD	7,12	Relatief	1,50	5,00	8,50	12,00	--	--	Ja
S_74	SMCD	7,05	Relatief	1,50	5,00	8,50	12,00	--	--	Ja
S_75	SMCD	6,98	Relatief	1,50	5,00	8,50	12,00	--	--	Ja
S_76	SMCD	7,00	Relatief	1,50	5,00	8,50	12,00	--	--	Ja
S_77	SMCD	6,98	Relatief	1,50	5,00	8,50	12,00	--	--	Ja
S_78	SMCD	6,96	Relatief	1,50	5,00	8,50	12,00	--	--	Ja
S_79	SMCD	6,97	Relatief	1,50	5,00	8,50	12,00	--	--	Ja
S_80	SMCD	7,03	Relatief	1,50	5,00	8,50	--	--	--	Ja
S_81	SMCD	7,08	Relatief	1,50	5,00	8,50	--	--	--	Ja
S_82	SMCD	7,15	Relatief	1,50	5,00	8,50	--	--	--	Ja
S_83	SMCD	7,21	Relatief	1,50	5,00	8,50	--	--	--	Ja
S_84	SMCD	7,25	Relatief	1,50	5,00	8,50	--	--	--	Ja
S_85	SMCD	7,29	Relatief	1,50	5,00	8,50	12,00	--	--	Ja
S_86	SMCD	7,32	Relatief	1,50	5,00	8,50	12,00	--	--	Ja
S_87	SMCD	7,34	Relatief	1,50	5,00	8,50	12,00	--	--	Ja
S_88	SMCD	7,34	Relatief	1,50	5,00	8,50	12,00	--	--	Ja
S_89	SMCD	7,34	Relatief	1,50	5,00	8,50	12,00	--	--	Ja
S_90	SMCD	7,30	Relatief	1,50	5,00	8,50	12,00	--	--	Ja
S_91	SMCD	7,26	Relatief	1,50	5,00	8,50	12,00	--	--	Ja
S_92	SMCD	7,21	Relatief	1,50	5,00	8,50	12,00	--	--	Ja
S_93	SMCD	7,15	Relatief	1,50	5,00	8,50	12,00	--	--	Ja
S_94	SMCD	7,09	Relatief	1,50	5,00	8,50	12,00	--	--	Ja
S_95	SMCD	7,05	Relatief	1,50	5,00	8,50	12,00	--	--	Ja

Bijlage II Invoergegevens rekenmodel (Geomilieu)

Model: Wegverkeermodel
 Geotruillocatie - Kleine berekeningen
 Groep: (hoofdgroep)
 Lijst van Gebouwen, voor rekenmethode Wegverkeerslawaaï - RMW-2012

Naam	Omschr.	Hoogte	Maatveld	Hdef.	Gebruiksfunctie	Cp	Zwevend	Refl. 63	Refl. 125	Refl. 250	Refl. 500	Refl. 1k	Refl. 2k	Refl. 4k	Refl. 8k
971	SMCD	13,89	6,90	Relatief	0 dB	False	0,80	0,80	0,80	0,80	0,80	0,80	0,80	0,80	0,80
	0150100000050605	2,50	6,38	Relatief	0 dB	False	0,80	0,80	0,80	0,80	0,80	0,80	0,80	0,80	0,80
	0150100000036792	2,50	6,42	Relatief	0 dB	False	0,80	0,80	0,80	0,80	0,80	0,80	0,80	0,80	0,80
29	0150100000038334	2,50	6,41	Relatief	0 dB	False	0,80	0,80	0,80	0,80	0,80	0,80	0,80	0,80	0,80
	0150100000038667	5,50	6,39	Relatief	0 dB	False	0,80	0,80	0,80	0,80	0,80	0,80	0,80	0,80	0,80
15	0150100000038877	5,50	6,41	Relatief	0 dB	False	0,80	0,80	0,80	0,80	0,80	0,80	0,80	0,80	0,80
	0150100000038336	2,50	6,39	Relatief	0 dB	False	0,80	0,80	0,80	0,80	0,80	0,80	0,80	0,80	0,80
	0150100000038524	2,50	6,39	Relatief	0 dB	False	0,80	0,80	0,80	0,80	0,80	0,80	0,80	0,80	0,80
	0150100000038242	2,50	6,41	Relatief	0 dB	False	0,80	0,80	0,80	0,80	0,80	0,80	0,80	0,80	0,80
32	0150100000038038	5,50	6,42	Relatief	0 dB	False	0,80	0,80	0,80	0,80	0,80	0,80	0,80	0,80	0,80
9	0150100000038875	5,50	6,42	Relatief	0 dB	False	0,80	0,80	0,80	0,80	0,80	0,80	0,80	0,80	0,80
78	0150100000038592	5,50	6,36	Relatief	0 dB	False	0,80	0,80	0,80	0,80	0,80	0,80	0,80	0,80	0,80
66	0150100000038599	5,50	6,38	Relatief	0 dB	False	0,80	0,80	0,80	0,80	0,80	0,80	0,80	0,80	0,80
	0150100000038125	2,50	6,43	Relatief	0 dB	False	0,80	0,80	0,80	0,80	0,80	0,80	0,80	0,80	0,80
	0150100000038330	2,50	6,42	Relatief	0 dB	False	0,80	0,80	0,80	0,80	0,80	0,80	0,80	0,80	0,80
34	0150100000038024	5,50	6,41	Relatief	0 dB	False	0,80	0,80	0,80	0,80	0,80	0,80	0,80	0,80	0,80
	0150100000038498	2,50	6,37	Relatief	0 dB	False	0,80	0,80	0,80	0,80	0,80	0,80	0,80	0,80	0,80
17	0150100000038879	5,50	6,41	Relatief	0 dB	False	0,80	0,80	0,80	0,80	0,80	0,80	0,80	0,80	0,80
	0150100000038504	2,50	6,38	Relatief	0 dB	False	0,80	0,80	0,80	0,80	0,80	0,80	0,80	0,80	0,80
	0150100000038531	2,50	6,41	Relatief	0 dB	False	0,80	0,80	0,80	0,80	0,80	0,80	0,80	0,80	0,80
	0150100000051475	2,50	6,41	Relatief	0 dB	False	0,80	0,80	0,80	0,80	0,80	0,80	0,80	0,80	0,80
	0150100000038144	2,50	6,43	Relatief	0 dB	False	0,80	0,80	0,80	0,80	0,80	0,80	0,80	0,80	0,80
	0150100000038534	2,50	6,36	Relatief	0 dB	False	0,80	0,80	0,80	0,80	0,80	0,80	0,80	0,80	0,80
	0150100000038124	2,50	6,43	Relatief	0 dB	False	0,80	0,80	0,80	0,80	0,80	0,80	0,80	0,80	0,80
	0150100000038296	2,50	6,43	Relatief	0 dB	False	0,80	0,80	0,80	0,80	0,80	0,80	0,80	0,80	0,80
	0150100000036421	3,00	6,35	Relatief	0 dB	False	0,80	0,80	0,80	0,80	0,80	0,80	0,80	0,80	0,80
	0150100000063324	2,50	7,27	Relatief	0 dB	False	0,80	0,80	0,80	0,80	0,80	0,80	0,80	0,80	0,80
	0150100000051460	2,50	6,42	Relatief	0 dB	False	0,80	0,80	0,80	0,80	0,80	0,80	0,80	0,80	0,80
	0150100000038143	2,50	6,43	Relatief	0 dB	False	0,80	0,80	0,80	0,80	0,80	0,80	0,80	0,80	0,80
92	0150100000038406	5,50	6,36	Relatief	0 dB	False	0,80	0,80	0,80	0,80	0,80	0,80	0,80	0,80	0,80
30	0150100000038035	5,50	6,42	Relatief	0 dB	False	0,80	0,80	0,80	0,80	0,80	0,80	0,80	0,80	0,80
64	0150100000038442	5,50	6,39	Relatief	0 dB	False	0,80	0,80	0,80	0,80	0,80	0,80	0,80	0,80	0,80
58	0150100000038213	5,50	6,36	Relatief	0 dB	False	0,80	0,80	0,80	0,80	0,80	0,80	0,80	0,80	0,80
133	0150100000038043	8,00	6,41	Relatief	0 dB	False	0,80	0,80	0,80	0,80	0,80	0,80	0,80	0,80	0,80
15	0150100000040826	5,50	6,42	Relatief	0 dB	False	0,80	0,80	0,80	0,80	0,80	0,80	0,80	0,80	0,80
46	0150100000038051	5,50	6,39	Relatief	0 dB	False	0,80	0,80	0,80	0,80	0,80	0,80	0,80	0,80	0,80
1	0150100000038730	5,50	6,43	Relatief	0 dB	False	0,80	0,80	0,80	0,80	0,80	0,80	0,80	0,80	0,80
	0150100000038298	2,50	6,42	Relatief	0 dB	False	0,80	0,80	0,80	0,80	0,80	0,80	0,80	0,80	0,80
	0150100000038340	2,50	6,42	Relatief	0 dB	False	0,80	0,80	0,80	0,80	0,80	0,80	0,80	0,80	0,80
	0150100000038324	2,50	6,40	Relatief	0 dB	False	0,80	0,80	0,80	0,80	0,80	0,80	0,80	0,80	0,80
	0150100000038315	2,50	6,42	Relatief	0 dB	False	0,80	0,80	0,80	0,80	0,80	0,80	0,80	0,80	0,80
16	0150100000038671	5,50	6,42	Relatief	0 dB	False	0,80	0,80	0,80	0,80	0,80	0,80	0,80	0,80	0,80
133	0150100000038043	8,00	6,41	Relatief	0 dB	False	0,80	0,80	0,80	0,80	0,80	0,80	0,80	0,80	0,80
52	0150100000038198	5,50	6,37	Relatief	0 dB	False	0,80	0,80	0,80	0,80	0,80	0,80	0,80	0,80	0,80
139	0150100000038622	8,00	6,41	Relatief	0 dB	False	0,80	0,80	0,80	0,80	0,80	0,80	0,80	0,80	0,80
147	0150100000038233	8,00	6,41	Relatief	0 dB	False	0,80	0,80	0,80	0,80	0,80	0,80	0,80	0,80	0,80
8	0150100000040830	5,50	6,43	Relatief	0 dB	False	0,80	0,80	0,80	0,80	0,80	0,80	0,80	0,80	0,80
70	0150100000038606	5,50	6,38	Relatief	0 dB	False	0,80	0,80	0,80	0,80	0,80	0,80	0,80	0,80	0,80
143	0150100000038217	8,00	6,41	Relatief	0 dB	False	0,80	0,80	0,80	0,80	0,80	0,80	0,80	0,80	0,80
11	0150100000038874	5,50	6,42	Relatief	0 dB	False	0,80	0,80	0,80	0,80	0,80	0,80	0,80	0,80	0,80
30	0150100000038018	5,50	6,41	Relatief	0 dB	False	0,80	0,80	0,80	0,80	0,80	0,80	0,80	0,80	0,80
80	0150100000038593	5,50	6,36	Relatief	0 dB	False	0,80	0,80	0,80	0,80	0,80	0,80	0,80	0,80	0,80
96	0150100000038395	5,50	6,36	Relatief	0 dB	False	0,80	0,80	0,80	0,80	0,80	0,80	0,80	0,80	0,80
	0150100000038502	2,50	6,37	Relatief	0 dB	False	0,80	0,80	0,80	0,80	0,80	0,80	0,80	0,80	0,80
	0150100000038493	2,50	6,41	Relatief	0 dB	False	0,80	0,80	0,80	0,80	0,80	0,80	0,80	0,80	0,80
72	0150100000038609	5,50	6,37	Relatief	0 dB	False	0,80	0,80	0,80	0,80	0,80	0,80	0,80	0,80	0,80
	0150100000038497	2,50	6,41	Relatief	0 dB	False	0,80	0,80	0,80	0,80	0,80	0,80	0,80	0,80	0,80
	0150100000038514	2,50	6,37	Relatief	0 dB	False	0,80	0,80	0,80	0,80	0,80	0,80	0,80	0,80	0,80
38	0150100000038625	5,50	6,42	Relatief	0 dB	False	0,80	0,80	0,80	0,80	0,80	0,80	0,80	0,80	0,80
28	0150100000038032	5,50	6,42	Relatief	0 dB	False	0,80	0,80	0,80	0,80	0,80	0,80	0,80	0,80	0,80
100	0150100000038394	5,50	6,36	Relatief	0 dB	False	0,80	0,80	0,80	0,80	0,80	0,80	0,80	0,80	0,80
94	0150100000038399	2,50	6,36	Relatief	0 dB	False	0,80	0,80	0,80	0,80	0,80	0,80	0,80	0,80	0,80
	0150100000038517	2,50	6,36	Relatief	0 dB	False	0,80	0,80	0,80	0,80	0,80	0,80	0,80	0,80	0,80
	0150100000063333	2,50	7,27	Relatief	0 dB	False	0,80	0,80	0,80	0,80	0,80	0,80	0,80	0,80	0,80
94	0150100000038399	5,50	6,36	Relatief	0 dB	False	0,80	0,80	0,80	0,80	0,80	0,80	0,80	0,80	0,80
	0150100000038678	2,50	6,43	Relatief	0 dB	False	0,80	0,80	0,80	0,80	0,80	0,80	0,80	0,80	0,80
19	0150100000057797	5,50	6,41	Relatief	0 dB	False	0,80	0,80	0,80	0,80	0,80	0,80	0,80	0,80	0,80
23	0150100000038218	5,50	6,40	Relatief	0 dB	False	0,80	0,80	0,80	0,80	0,80	0,80	0,80	0,80	0,80
82	0150100000038436	5,50	6,36	Relatief	0 dB	False	0,80	0,80	0,80	0,80	0,80	0,80	0,80	0,80	0,80
25	0150100000038225	5,50	6,40	Relatief	0 dB	False	0,80	0,80	0,80	0,80	0,80	0,80	0,80	0,80	0,80
	0150100000051482	2,50	6,38	Relatief	0 dB	False	0,80	0,80	0,80	0,80	0,80	0,80	0,80	0,80	0,80
	0150100000063318	2,50	7,27												

Bijlage II Invoergegevens rekenmodel (Geomilieu)

Model: Wegverkeermodel
 Geestrijdelocatie - Kleine berekeningen
 Groep: (hoofdgroep)
 Lijst van Gebouwen, voor rekenmethode Wegverkeerslawaaï - RMW-2012

Naam	Omschr.	Hoogte	Maatveld	Hdef.	Gebruiksfunctie	Cp	Zwevend	Refl. 63	Refl. 125	Refl. 250	Refl. 500	Refl. 1k	Refl. 2k	Refl. 4k	Refl. 8k
169	015010000038516	2,50	6,36	Relatief	0 dB	False	0,80	0,80	0,80	0,80	0,80	0,80	0,80	0,80	0,80
	015010000038491	2,50	6,41	Relatief	0 dB	False	0,80	0,80	0,80	0,80	0,80	0,80	0,80	0,80	0,80
	015010000038623	8,00	6,39	Relatief	0 dB	False	0,80	0,80	0,80	0,80	0,80	0,80	0,80	0,80	0,80
	015010000038665	2,50	6,43	Relatief	0 dB	False	0,80	0,80	0,80	0,80	0,80	0,80	0,80	0,80	0,80
	015010000038137	2,50	6,42	Relatief	0 dB	False	0,80	0,80	0,80	0,80	0,80	0,80	0,80	0,80	0,80
137	0150100000386451	3,00	6,40	Relatief	0 dB	False	0,80	0,80	0,80	0,80	0,80	0,80	0,80	0,80	0,80
	015010000038052	8,00	6,41	Relatief	0 dB	False	0,80	0,80	0,80	0,80	0,80	0,80	0,80	0,80	0,80
38	015010000038626	5,50	6,40	Relatief	0 dB	False	0,80	0,80	0,80	0,80	0,80	0,80	0,80	0,80	0,80
27	0150100000386616	5,50	6,39	Relatief	0 dB	False	0,80	0,80	0,80	0,80	0,80	0,80	0,80	0,80	0,80
42	015010000038042	5,50	6,39	Relatief	0 dB	False	0,80	0,80	0,80	0,80	0,80	0,80	0,80	0,80	0,80
17	015010000040828	5,50	6,41	Relatief	0 dB	False	0,80	0,80	0,80	0,80	0,80	0,80	0,80	0,80	0,80
23	015010000040238	8,00	6,42	Relatief	0 dB	False	0,80	0,80	0,80	0,80	0,80	0,80	0,80	0,80	0,80
32	015010000038022	5,50	6,41	Relatief	0 dB	False	0,80	0,80	0,80	0,80	0,80	0,80	0,80	0,80	0,80
6	015010000040827	5,50	6,43	Relatief	0 dB	False	0,80	0,80	0,80	0,80	0,80	0,80	0,80	0,80	0,80
139	015010000038622	8,00	6,41	Relatief	0 dB	False	0,80	0,80	0,80	0,80	0,80	0,80	0,80	0,80	0,80
	015010000054002	3,00	6,42	Relatief	0 dB	False	0,80	0,80	0,80	0,80	0,80	0,80	0,80	0,80	0,80
54	015010000038412	5,50	6,40	Relatief	0 dB	False	0,80	0,80	0,80	0,80	0,80	0,80	0,80	0,80	0,80
	015010000038499	2,50	6,37	Relatief	0 dB	False	0,80	0,80	0,80	0,80	0,80	0,80	0,80	0,80	0,80
	015010000038515	2,50	6,37	Relatief	0 dB	False	0,80	0,80	0,80	0,80	0,80	0,80	0,80	0,80	0,80
98	015010000038245	5,50	6,36	Relatief	0 dB	False	0,80	0,80	0,80	0,80	0,80	0,80	0,80	0,80	0,80
	015010000038596	2,50	6,41	Relatief	0 dB	False	0,80	0,80	0,80	0,80	0,80	0,80	0,80	0,80	0,80
	015010000050315	2,50	6,36	Relatief	0 dB	False	0,80	0,80	0,80	0,80	0,80	0,80	0,80	0,80	0,80
	015010000038346	2,50	6,41	Relatief	0 dB	False	0,80	0,80	0,80	0,80	0,80	0,80	0,80	0,80	0,80
	015010000038632	2,50	6,41	Relatief	0 dB	False	0,80	0,80	0,80	0,80	0,80	0,80	0,80	0,80	0,80
	015010000038138	2,50	6,42	Relatief	0 dB	False	0,80	0,80	0,80	0,80	0,80	0,80	0,80	0,80	0,80
10	015010000038317	2,50	6,43	Relatief	0 dB	False	0,80	0,80	0,80	0,80	0,80	0,80	0,80	0,80	0,80
	015010000040831	5,50	6,43	Relatief	0 dB	False	0,80	0,80	0,80	0,80	0,80	0,80	0,80	0,80	0,80
135	015010000038050	8,00	6,41	Relatief	0 dB	False	0,80	0,80	0,80	0,80	0,80	0,80	0,80	0,80	0,80
26	015010000038633	5,50	6,42	Relatief	0 dB	False	0,80	0,80	0,80	0,80	0,80	0,80	0,80	0,80	0,80
14	015010000040835	5,50	6,42	Relatief	0 dB	False	0,80	0,80	0,80	0,80	0,80	0,80	0,80	0,80	0,80
143	015010000038217	8,00	6,41	Relatief	0 dB	False	0,80	0,80	0,80	0,80	0,80	0,80	0,80	0,80	0,80
13	015010000038876	5,50	6,42	Relatief	0 dB	False	0,80	0,80	0,80	0,80	0,80	0,80	0,80	0,80	0,80
4	015010000040922	5,50	6,43	Relatief	0 dB	False	0,80	0,80	0,80	0,80	0,80	0,80	0,80	0,80	0,80
48	015010000038619	5,50	6,38	Relatief	0 dB	False	0,80	0,80	0,80	0,80	0,80	0,80	0,80	0,80	0,80
64	015010000038642	5,50	6,39	Relatief	0 dB	False	0,80	0,80	0,80	0,80	0,80	0,80	0,80	0,80	0,80
	015010000038327	2,50	6,41	Relatief	0 dB	False	0,80	0,80	0,80	0,80	0,80	0,80	0,80	0,80	0,80
90	015010000038610	2,50	6,36	Relatief	0 dB	False	0,80	0,80	0,80	0,80	0,80	0,80	0,80	0,80	0,80
	015010000038343	2,50	6,41	Relatief	0 dB	False	0,80	0,80	0,80	0,80	0,80	0,80	0,80	0,80	0,80
177	015010000038626	8,00	6,38	Relatief	0 dB	False	0,80	0,80	0,80	0,80	0,80	0,80	0,80	0,80	0,80
	015010000038129	2,50	6,43	Relatief	0 dB	False	0,80	0,80	0,80	0,80	0,80	0,80	0,80	0,80	0,80
	015010000038496	2,50	6,41	Relatief	0 dB	False	0,80	0,80	0,80	0,80	0,80	0,80	0,80	0,80	0,80
	015010000038345	2,50	6,41	Relatief	0 dB	False	0,80	0,80	0,80	0,80	0,80	0,80	0,80	0,80	0,80
58	015010000038425	5,50	6,40	Relatief	0 dB	False	0,80	0,80	0,80	0,80	0,80	0,80	0,80	0,80	0,80
155	015010000038432	8,00	6,40	Relatief	0 dB	False	0,80	0,80	0,80	0,80	0,80	0,80	0,80	0,80	0,80
	015010000038530	2,50	6,41	Relatief	0 dB	False	0,80	0,80	0,80	0,80	0,80	0,80	0,80	0,80	0,80
	015010000038320	2,50	6,41	Relatief	0 dB	False	0,80	0,80	0,80	0,80	0,80	0,80	0,80	0,80	0,80
	015010000038609	2,50	6,42	Relatief	0 dB	False	0,80	0,80	0,80	0,80	0,80	0,80	0,80	0,80	0,80
	015010000038142	2,50	6,42	Relatief	0 dB	False	0,80	0,80	0,80	0,80	0,80	0,80	0,80	0,80	0,80
	015010000055001	3,00	6,43	Relatief	0 dB	False	0,80	0,80	0,80	0,80	0,80	0,80	0,80	0,80	0,80
28	015010000062409	8,00	7,27	Relatief	0 dB	False	0,80	0,80	0,80	0,80	0,80	0,80	0,80	0,80	0,80
30	015010000062400	8,00	7,27	Relatief	0 dB	False	0,80	0,80	0,80	0,80	0,80	0,80	0,80	0,80	0,80
	015010000063344	2,50	7,27	Relatief	0 dB	False	0,80	0,80	0,80	0,80	0,80	0,80	0,80	0,80	0,80
24	015010000062407	8,00	7,28	Relatief	0 dB	False	0,80	0,80	0,80	0,80	0,80	0,80	0,80	0,80	0,80
	015010000063784	2,50	6,42	Relatief	0 dB	False	0,80	0,80	0,80	0,80	0,80	0,80	0,80	0,80	0,80
	015010000050319	2,50	6,39	Relatief	0 dB	False	0,80	0,80	0,80	0,80	0,80	0,80	0,80	0,80	0,80
	015010000038692	2,50	6,38	Relatief	0 dB	False	0,80	0,80	0,80	0,80	0,80	0,80	0,80	0,80	0,80
157	015010000038591	8,00	6,40	Relatief	0 dB	False	0,80	0,80	0,80	0,80	0,80	0,80	0,80	0,80	0,80
	015010000038630	2,50	6,41	Relatief	0 dB	False	0,80	0,80	0,80	0,80	0,80	0,80	0,80	0,80	0,80
	015010000051484	2,50	6,37	Relatief	0 dB	False	0,80	0,80	0,80	0,80	0,80	0,80	0,80	0,80	0,80
	015010000051462	2,50	6,42	Relatief	0 dB	False	0,80	0,80	0,80	0,80	0,80	0,80	0,80	0,80	0,80
	015010000038316	2,50	6,43	Relatief	0 dB	False	0,80	0,80	0,80	0,80	0,80	0,80	0,80	0,80	0,80
	015010000038323	2,50	6,41	Relatief	0 dB	False	0,80	0,80	0,80	0,80	0,80	0,80	0,80	0,80	0,80
	015010000063336	2,50	7,27	Relatief	0 dB	False	0,80	0,80	0,80	0,80	0,80	0,80	0,80	0,80	0,80
	015010000051473	2,50	6,42	Relatief	0 dB	False	0,80	0,80	0,80	0,80	0,80	0,80	0,80	0,80	0,80
	015010000038318	2,50	6,43	Relatief	0 dB	False	0,80	0,80	0,80	0,80	0,80	0,80	0,80	0,80	0,80
	015010000038149	2,50	6,42	Relatief	0 dB	False	0,80	0,80	0,80	0,80	0,80	0,80	0,80	0,80	0,80
	015010000038537	3,00	6,41	Relatief	0 dB	False	0,80	0,80	0,80	0,80	0,80	0,80	0,80	0,80	0,80
	015010000055002	3,00	6,42	Relatief	0 dB	False	0,80	0,80	0,80	0,80	0,80	0,80	0,80	0,80	0,80
	015010000038528	2,50	6,41	Relatief	0 dB	False	0,80	0,80	0,80	0,80	0,80	0,80	0,80	0,80	0,80
76	015010000038643	5,50	6,37	Relatief	0 dB	False	0,80	0,80	0,80	0,80	0,80	0,80	0,80	0,80	0,80
35	015010000038411	5,50	6,38	Relatief	0 dB	False	0,80	0,80	0,80	0,80	0,80	0,80	0,80	0,80	0,80
18	015010000062404	8,00	7,29	Relatief	0 dB	False	0,80	0,80	0,80	0,80	0,80	0,80	0,80	0,80	0,80
	015010000062382	8,00	7,27	Relatief	0 dB	False	0,80	0,80	0,80	0,80	0,80	0,80	0,80	0,80	0,80
	015010000038322	2,50	6,42	Relatief	0 dB	False	0,80	0,80	0,80	0,80	0,80	0,80	0,80	0,80	0,80
151	015010000038246	8,00	6,40	Relatief	0 dB	False	0,80	0,80	0,80	0,80	0,80	0,80	0,80	0,80	0,80
	015010000038678	2,50	6,42	Relatief	0 dB	False	0,80	0,80	0,80	0,80	0,80	0,80	0,80	0,80	0,80
	015010000038141	2,50	6,42	Relatief	0 dB	False	0,80	0,80	0,80	0,80	0,80	0,80	0,80	0,80	0,80
	015010000038507	2,50	6,38	Relatief	0 dB	False	0,80	0,80	0,80	0,80	0,80	0,80	0,80	0,80	0,80
26	015010000038010	5,50	6,42	Relatief	0 dB	False	0,80	0,80	0,80	0,80	0,80	0,80	0,80	0,80	0,80
	015010000062387	8,00	7,27	Relatief	0 dB	False	0,80	0,80	0,80	0,80	0,80	0,80	0,80	0,80	0,80
	015010000050311	2,50	6,42	Relatief	0 dB	False									

Bijlage II Invoergegevens rekenmodel (Geomilieu)

Model: Wegverkeersmodel
 Geotruideliciteit - Kleine berekeningen
 Groep: (hoofdgroep)
 Lijst van Gebouwen, voor rekenmethode Wegverkeerslawaaai - RMW-2012

Naam	Omschr.	Hoogte	Maatveld	Hdef.	Gebruiksfunctie	Cp	Zwevend	Refl. 63	Refl. 125	Refl. 250	Refl. 500	Refl. 1k	Refl. 2k	Refl. 4k	Refl. 8k
16	015010000063326	2,50	7,27	Relatief	0 dB	False	0,80	0,80	0,80	0,80	0,80	0,80	0,80	0,80	0,80
	015010000063328	2,50	7,27	Relatief	0 dB	False	0,80	0,80	0,80	0,80	0,80	0,80	0,80	0,80	0,80
	015010000062403	8,00	7,30	Relatief	0 dB	False	0,80	0,80	0,80	0,80	0,80	0,80	0,80	0,80	0,80
46	015010000059653	5,50	6,42	Relatief	0 dB	False	0,80	0,80	0,80	0,80	0,80	0,80	0,80	0,80	0,80
	015010000036949	2,50	6,42	Relatief	0 dB	False	0,80	0,80	0,80	0,80	0,80	0,80	0,80	0,80	0,80
145	015010000038227	8,00	6,41	Relatief	0 dB	False	0,80	0,80	0,80	0,80	0,80	0,80	0,80	0,80	0,80
22	015010000062406	8,00	7,28	Relatief	0 dB	False	0,80	0,80	0,80	0,80	0,80	0,80	0,80	0,80	0,80
	015010000063338	2,50	7,27	Relatief	0 dB	False	0,80	0,80	0,80	0,80	0,80	0,80	0,80	0,80	0,80
84	015010000038428	5,50	6,36	Relatief	0 dB	False	0,80	0,80	0,80	0,80	0,80	0,80	0,80	0,80	0,80
43	015010000038238	5,50	6,37	Relatief	0 dB	False	0,80	0,80	0,80	0,80	0,80	0,80	0,80	0,80	0,80
	015010000062399	8,00	7,27	Relatief	0 dB	False	0,80	0,80	0,80	0,80	0,80	0,80	0,80	0,80	0,80
	015010000062391	8,00	7,27	Relatief	0 dB	False	0,80	0,80	0,80	0,80	0,80	0,80	0,80	0,80	0,80
	015010000038299	2,50	6,42	Relatief	0 dB	False	0,80	0,80	0,80	0,80	0,80	0,80	0,80	0,80	0,80
74	015010000038615	5,50	6,37	Relatief	0 dB	False	0,80	0,80	0,80	0,80	0,80	0,80	0,80	0,80	0,80
41	015010000038237	5,50	6,37	Relatief	0 dB	False	0,80	0,80	0,80	0,80	0,80	0,80	0,80	0,80	0,80
17	015010000040828	5,50	6,41	Relatief	0 dB	False	0,80	0,80	0,80	0,80	0,80	0,80	0,80	0,80	0,80
	015010000038321	2,50	6,41	Relatief	0 dB	False	0,80	0,80	0,80	0,80	0,80	0,80	0,80	0,80	0,80
	015010000038536	2,50	6,36	Relatief	0 dB	False	0,80	0,80	0,80	0,80	0,80	0,80	0,80	0,80	0,80
	015010000036785	2,50	6,41	Relatief	0 dB	False	0,80	0,80	0,80	0,80	0,80	0,80	0,80	0,80	0,80
	015010000038500	2,50	6,37	Relatief	0 dB	False	0,80	0,80	0,80	0,80	0,80	0,80	0,80	0,80	0,80
	015010000038331	2,50	6,41	Relatief	0 dB	False	0,80	0,80	0,80	0,80	0,80	0,80	0,80	0,80	0,80
	015010000050317	3,00	6,35	Relatief	0 dB	False	0,80	0,80	0,80	0,80	0,80	0,80	0,80	0,80	0,80
	015010000038522	2,50	6,36	Relatief	0 dB	False	0,80	0,80	0,80	0,80	0,80	0,80	0,80	0,80	0,80
	015010000051472	2,50	6,42	Relatief	0 dB	False	0,80	0,80	0,80	0,80	0,80	0,80	0,80	0,80	0,80
	015010000036602	2,50	6,40	Relatief	0 dB	False	0,80	0,80	0,80	0,80	0,80	0,80	0,80	0,80	0,80
56	015010000038420	5,50	6,40	Relatief	0 dB	False	0,80	0,80	0,80	0,80	0,80	0,80	0,80	0,80	0,80
	015010000038495	2,50	6,41	Relatief	0 dB	False	0,80	0,80	0,80	0,80	0,80	0,80	0,80	0,80	0,80
	015010000036641	2,50	6,42	Relatief	0 dB	False	0,80	0,80	0,80	0,80	0,80	0,80	0,80	0,80	0,80
	015010000038539	2,50	6,36	Relatief	0 dB	False	0,80	0,80	0,80	0,80	0,80	0,80	0,80	0,80	0,80
	015010000050313	2,50	6,41	Relatief	0 dB	False	0,80	0,80	0,80	0,80	0,80	0,80	0,80	0,80	0,80
	015010000038541	2,50	6,36	Relatief	0 dB	False	0,80	0,80	0,80	0,80	0,80	0,80	0,80	0,80	0,80
	015010000038540	2,50	6,36	Relatief	0 dB	False	0,80	0,80	0,80	0,80	0,80	0,80	0,80	0,80	0,80
19	015010000038878	5,50	6,41	Relatief	0 dB	False	0,80	0,80	0,80	0,80	0,80	0,80	0,80	0,80	0,80
86	015010000038424	5,50	6,36	Relatief	0 dB	False	0,80	0,80	0,80	0,80	0,80	0,80	0,80	0,80	0,80
7	015010000038873	5,50	6,42	Relatief	0 dB	False	0,80	0,80	0,80	0,80	0,80	0,80	0,80	0,80	0,80
5	015010000038872	5,50	6,42	Relatief	0 dB	False	0,80	0,80	0,80	0,80	0,80	0,80	0,80	0,80	0,80
141	015010000038210	8,00	6,41	Relatief	0 dB	False	0,80	0,80	0,80	0,80	0,80	0,80	0,80	0,80	0,80
	015010000062383	8,00	7,27	Relatief	0 dB	False	0,80	0,80	0,80	0,80	0,80	0,80	0,80	0,80	0,80
	015010000062380	8,00	7,27	Relatief	0 dB	False	0,80	0,80	0,80	0,80	0,80	0,80	0,80	0,80	0,80
	015010000036453	2,50	6,36	Relatief	0 dB	False	0,80	0,80	0,80	0,80	0,80	0,80	0,80	0,80	0,80
	015010000054005	2,50	6,44	Relatief	0 dB	False	0,80	0,80	0,80	0,80	0,80	0,80	0,80	0,80	0,80
	015010000036813	2,50	6,42	Relatief	0 dB	False	0,80	0,80	0,80	0,80	0,80	0,80	0,80	0,80	0,80
	015010000048881	2,50	6,41	Relatief	0 dB	False	0,80	0,80	0,80	0,80	0,80	0,80	0,80	0,80	0,80
	015010000051483	2,50	6,38	Relatief	0 dB	False	0,80	0,80	0,80	0,80	0,80	0,80	0,80	0,80	0,80
	015010000036448	2,50	6,36	Relatief	0 dB	False	0,80	0,80	0,80	0,80	0,80	0,80	0,80	0,80	0,80
161	015010000038600	8,00	6,40	Relatief	0 dB	False	0,80	0,80	0,80	0,80	0,80	0,80	0,80	0,80	0,80
21	015010000040235	8,00	6,42	Relatief	0 dB	False	0,80	0,80	0,80	0,80	0,80	0,80	0,80	0,80	0,80
	015010000038527	2,50	6,41	Relatief	0 dB	False	0,80	0,80	0,80	0,80	0,80	0,80	0,80	0,80	0,80
39	015010000036607	5,50	6,37	Relatief	0 dB	False	0,80	0,80	0,80	0,80	0,80	0,80	0,80	0,80	0,80
56	015010000038207	5,50	6,37	Relatief	0 dB	False	0,80	0,80	0,80	0,80	0,80	0,80	0,80	0,80	0,80
12	015010000040833	5,50	6,42	Relatief	0 dB	False	0,80	0,80	0,80	0,80	0,80	0,80	0,80	0,80	0,80
28	015010000038013	5,50	6,42	Relatief	0 dB	False	0,80	0,80	0,80	0,80	0,80	0,80	0,80	0,80	0,80
7	015010000038873	5,50	6,42	Relatief	0 dB	False	0,80	0,80	0,80	0,80	0,80	0,80	0,80	0,80	0,80
40	015010000038036	5,50	6,40	Relatief	0 dB	False	0,80	0,80	0,80	0,80	0,80	0,80	0,80	0,80	0,80
147	015010000038233	8,00	6,41	Relatief	0 dB	False	0,80	0,80	0,80	0,80	0,80	0,80	0,80	0,80	0,80
	015010000036601	2,50	6,40	Relatief	0 dB	False	0,80	0,80	0,80	0,80	0,80	0,80	0,80	0,80	0,80
	015010000038630	2,50	6,39	Relatief	0 dB	False	0,80	0,80	0,80	0,80	0,80	0,80	0,80	0,80	0,80
165	015010000038605	8,00	6,40	Relatief	0 dB	False	0,80	0,80	0,80	0,80	0,80	0,80	0,80	0,80	0,80
	015010000038148	2,50	6,43	Relatief	0 dB	False	0,80	0,80	0,80	0,80	0,80	0,80	0,80	0,80	0,80
	015010000038203	2,50	6,43	Relatief	0 dB	False	0,80	0,80	0,80	0,80	0,80	0,80	0,80	0,80	0,80
	015010000038123	2,50	6,43	Relatief	0 dB	False	0,80	0,80	0,80	0,80	0,80	0,80	0,80	0,80	0,80
	015010000036806	2,50	6,42	Relatief	0 dB	False	0,80	0,80	0,80	0,80	0,80	0,80	0,80	0,80	0,80
175	015010000036425	8,00	6,38	Relatief	0 dB	False	0,80	0,80	0,80	0,80	0,80	0,80	0,80	0,80	0,80
	015010000038328	2,50	6,41	Relatief	0 dB	False	0,80	0,80	0,80	0,80	0,80	0,80	0,80	0,80	0,80
44	015010000038216	5,50	6,42	Relatief	0 dB	False	0,80	0,80	0,80	0,80	0,80	0,80	0,80	0,80	0,80
2	015010000036775	5,50	6,43	Relatief	0 dB	False	0,80	0,80	0,80	0,80	0,80	0,80	0,80	0,80	0,80
50	015010000036620	5,50	6,38	Relatief	0 dB	False	0,80	0,80	0,80	0,80	0,80	0,80	0,80	0,80	0,80
13	015010000036782	5,50	6,42	Relatief	0 dB	False	0,80	0,80	0,80	0,80	0,80	0,80	0,80	0,80	0,80
	015010000038307	2,50	6,43	Relatief	0 dB	False	0,80	0,80	0,80	0,80	0,80	0,80	0,80	0,80	0,80
	015010000036608	2,50	6,37	Relatief	0 dB	False	0,80	0,80	0,80	0,80	0,80	0,80	0,80	0,80	0,80
	015010000063335	2,50	7,27	Relatief	0 dB	False	0,80	0,80	0,80	0,80	0,80	0,80	0,80	0,80	0,80
	015010000062389	8,00	7,27	Relatief	0 dB	False	0,80	0,80	0,80	0,80	0,80	0,80	0,80	0,80	0,80
	015010000063331	2,50	7,27	Relatief	0 dB	False	0,80	0,80	0,80	0,80	0,80	0,80	0,80	0,80	0,80
	015010000062397	8,00	7,27	Relatief	0 dB	False	0,80	0,80	0,80	0,80	0,80	0,80	0,80	0,80	0,80
	015010000063339	2,50	7,27	Relatief	0 dB	False	0,80	0,80	0,80	0,80	0,80	0,80	0,80	0,80	0,80
	015010000063325	2,50	7,27	Relatief	0 dB	False	0,80	0,80	0,80	0,80	0,80	0,80	0,80	0,80	0,80
	015010000063329	2,50	7,27	Relatief	0 dB	False	0,80	0,80	0,80	0,80	0,80	0,80	0,80	0,80	0,80
	015010000062393	8,00	7,27	Relatief	0 dB	False	0,80	0,80	0,80	0,80	0,80	0,80	0,80	0,80	0,80
14	015010000062401	8,00	7,31	Relatief	0 dB	False	0,80	0,80	0,80	0,80	0,80	0,80	0,80	0,80	0,80
	015010000062398	8,00	7,27	Relatief	0 dB	False	0,80	0,80	0,80	0,80	0,80	0,80	0,80	0,80	0,80
	015010000053998	3,00	6,35	Relatief	0 dB	False	0,80	0,80							

Bijlage II Invoergegevens rekenmodel (Geomilieu)

Model: Wegverkeermodel
 Geestrijdelocatie - Kleine berekeningen
 Groep: (hoofdgroep)
 Lijst van Gebouwen, voor rekenmethode Wegverkeerslawaaai - RMW-2012

Naam	Omschr.	Hoogte	Maaiweld	Hdef.	Gebruiksfunctie	Cp	Zwevend	Refl. 63	Refl. 125	Refl. 250	Refl. 500	Refl. 1k	Refl. 2k	Refl. 4k	Refl. 8k
35	015010000038411	3,00	6,38	Relatief	0 dB	False	0,80	0,80	0,80	0,80	0,80	0,80	0,80	0,80	0,80
153	015010000038431	3,00	6,41	Relatief	0 dB	False	0,80	0,80	0,80	0,80	0,80	0,80	0,80	0,80	0,80
29	015010000036617	5,50	6,39	Relatief	0 dB	False	0,80	0,80	0,80	0,80	0,80	0,80	0,80	0,80	0,80
	015010000038523	2,50	6,40	Relatief	0 dB	False	0,80	0,80	0,80	0,80	0,80	0,80	0,80	0,80	0,80
	015010000036639	2,50	6,42	Relatief	0 dB	False	0,80	0,80	0,80	0,80	0,80	0,80	0,80	0,80	0,80
	015010000038529	2,50	6,41	Relatief	0 dB	False	0,80	0,80	0,80	0,80	0,80	0,80	0,80	0,80	0,80
	015010000038506	2,50	6,39	Relatief	0 dB	False	0,80	0,80	0,80	0,80	0,80	0,80	0,80	0,80	0,80
	015010000038514	2,50	6,42	Relatief	0 dB	False	0,80	0,80	0,80	0,80	0,80	0,80	0,80	0,80	0,80
	015010000038503	2,50	6,44	Relatief	0 dB	False	0,80	0,80	0,80	0,80	0,80	0,80	0,80	0,80	0,80
167	015010000038617	8,00	6,39	Relatief	0 dB	False	0,80	0,80	0,80	0,80	0,80	0,80	0,80	0,80	0,80
	015010000038494	2,50	6,41	Relatief	0 dB	False	0,80	0,80	0,80	0,80	0,80	0,80	0,80	0,80	0,80
	015010000038693	2,50	6,38	Relatief	0 dB	False	0,80	0,80	0,80	0,80	0,80	0,80	0,80	0,80	0,80
	015010000038688	2,50	6,39	Relatief	0 dB	False	0,80	0,80	0,80	0,80	0,80	0,80	0,80	0,80	0,80
50	015010000036615	5,50	6,41	Relatief	0 dB	False	0,80	0,80	0,80	0,80	0,80	0,80	0,80	0,80	0,80
	015010000038329	2,50	6,42	Relatief	0 dB	False	0,80	0,80	0,80	0,80	0,80	0,80	0,80	0,80	0,80
	015010000038130	2,50	6,43	Relatief	0 dB	False	0,80	0,80	0,80	0,80	0,80	0,80	0,80	0,80	0,80
	015010000038326	2,50	6,41	Relatief	0 dB	False	0,80	0,80	0,80	0,80	0,80	0,80	0,80	0,80	0,80
	015010000038319	2,50	6,43	Relatief	0 dB	False	0,80	0,80	0,80	0,80	0,80	0,80	0,80	0,80	0,80
62	015010000038590	5,50	6,39	Relatief	0 dB	False	0,80	0,80	0,80	0,80	0,80	0,80	0,80	0,80	0,80
	015010000038501	2,50	6,37	Relatief	0 dB	False	0,80	0,80	0,80	0,80	0,80	0,80	0,80	0,80	0,80
	015010000038694	2,50	6,37	Relatief	0 dB	False	0,80	0,80	0,80	0,80	0,80	0,80	0,80	0,80	0,80
	015010000036635	2,50	6,40	Relatief	0 dB	False	0,80	0,80	0,80	0,80	0,80	0,80	0,80	0,80	0,80
	015010000038691	2,50	6,37	Relatief	0 dB	False	0,80	0,80	0,80	0,80	0,80	0,80	0,80	0,80	0,80
	015010000038120	2,50	6,43	Relatief	0 dB	False	0,80	0,80	0,80	0,80	0,80	0,80	0,80	0,80	0,80
	015010000038525	2,50	6,39	Relatief	0 dB	False	0,80	0,80	0,80	0,80	0,80	0,80	0,80	0,80	0,80
	015010000051479	2,50	6,39	Relatief	0 dB	False	0,80	0,80	0,80	0,80	0,80	0,80	0,80	0,80	0,80
	015010000038314	2,50	6,43	Relatief	0 dB	False	0,80	0,80	0,80	0,80	0,80	0,80	0,80	0,80	0,80
	015010000038309	2,50	6,43	Relatief	0 dB	False	0,80	0,80	0,80	0,80	0,80	0,80	0,80	0,80	0,80
	015010000038521	2,50	6,36	Relatief	0 dB	False	0,80	0,80	0,80	0,80	0,80	0,80	0,80	0,80	0,80
	015010000053997	3,00	6,35	Relatief	0 dB	False	0,80	0,80	0,80	0,80	0,80	0,80	0,80	0,80	0,80
34	015010000051481	2,50	6,36	Relatief	0 dB	False	0,80	0,80	0,80	0,80	0,80	0,80	0,80	0,80	0,80
	015010000038046	5,50	6,42	Relatief	0 dB	False	0,80	0,80	0,80	0,80	0,80	0,80	0,80	0,80	0,80
	015010000038427	2,50	6,37	Relatief	0 dB	False	0,80	0,80	0,80	0,80	0,80	0,80	0,80	0,80	0,80
	015010000036612	3,00	6,36	Relatief	0 dB	False	0,80	0,80	0,80	0,80	0,80	0,80	0,80	0,80	0,80
	015010000038312	2,50	6,42	Relatief	0 dB	False	0,80	0,80	0,80	0,80	0,80	0,80	0,80	0,80	0,80
	015010000063345	2,50	7,27	Relatief	0 dB	False	0,80	0,80	0,80	0,80	0,80	0,80	0,80	0,80	0,80
	015010000063327	2,50	7,27	Relatief	0 dB	False	0,80	0,80	0,80	0,80	0,80	0,80	0,80	0,80	0,80
	015010000038510	2,50	6,41	Relatief	0 dB	False	0,80	0,80	0,80	0,80	0,80	0,80	0,80	0,80	0,80
	015010000038304	2,50	6,42	Relatief	0 dB	False	0,80	0,80	0,80	0,80	0,80	0,80	0,80	0,80	0,80
	015010000038131	2,50	6,43	Relatief	0 dB	False	0,80	0,80	0,80	0,80	0,80	0,80	0,80	0,80	0,80
	015010000038313	2,50	6,42	Relatief	0 dB	False	0,80	0,80	0,80	0,80	0,80	0,80	0,80	0,80	0,80
	015010000038145	2,50	6,41	Relatief	0 dB	False	0,80	0,80	0,80	0,80	0,80	0,80	0,80	0,80	0,80
	015010000038503	2,50	6,38	Relatief	0 dB	False	0,80	0,80	0,80	0,80	0,80	0,80	0,80	0,80	0,80
	015010000048878	3,00	6,39	Relatief	0 dB	False	0,80	0,80	0,80	0,80	0,80	0,80	0,80	0,80	0,80
	015010000057798	5,50	6,41	Relatief	0 dB	False	0,80	0,80	0,80	0,80	0,80	0,80	0,80	0,80	0,80
	015010000038532	2,50	6,41	Relatief	0 dB	False	0,80	0,80	0,80	0,80	0,80	0,80	0,80	0,80	0,80
	015010000038306	2,50	6,43	Relatief	0 dB	False	0,80	0,80	0,80	0,80	0,80	0,80	0,80	0,80	0,80
	015010000055000	3,00	6,38	Relatief	0 dB	False	0,80	0,80	0,80	0,80	0,80	0,80	0,80	0,80	0,80
	015010000062740	8,00	7,27	Relatief	0 dB	False	0,80	0,80	0,80	0,80	0,80	0,80	0,80	0,80	0,80
	015010000062738	8,00	7,26	Relatief	0 dB	False	0,80	0,80	0,80	0,80	0,80	0,80	0,80	0,80	0,80
	015010000062396	8,00	7,27	Relatief	0 dB	False	0,80	0,80	0,80	0,80	0,80	0,80	0,80	0,80	0,80
	015010000063330	2,50	7,27	Relatief	0 dB	False	0,80	0,80	0,80	0,80	0,80	0,80	0,80	0,80	0,80
	015010000063342	2,50	7,27	Relatief	0 dB	False	0,80	0,80	0,80	0,80	0,80	0,80	0,80	0,80	0,80
	015010000063322	2,50	7,27	Relatief	0 dB	False	0,80	0,80	0,80	0,80	0,80	0,80	0,80	0,80	0,80
	015010000063343	2,50	7,27	Relatief	0 dB	False	0,80	0,80	0,80	0,80	0,80	0,80	0,80	0,80	0,80
20	015010000063321	2,50	7,27	Relatief	0 dB	False	0,80	0,80	0,80	0,80	0,80	0,80	0,80	0,80	0,80
	015010000062405	8,00	7,29	Relatief	0 dB	False	0,80	0,80	0,80	0,80	0,80	0,80	0,80	0,80	0,80
	015010000051467	2,50	6,41	Relatief	0 dB	False	0,80	0,80	0,80	0,80	0,80	0,80	0,80	0,80	0,80
60	015010000038128	2,50	6,43	Relatief	0 dB	False	0,80	0,80	0,80	0,80	0,80	0,80	0,80	0,80	0,80
	015010000038434	5,50	6,39	Relatief	0 dB	False	0,80	0,80	0,80	0,80	0,80	0,80	0,80	0,80	0,80
173	015010000038634	8,00	6,38	Relatief	0 dB	False	0,80	0,80	0,80	0,80	0,80	0,80	0,80	0,80	0,80
	015010000051471	2,50	6,41	Relatief	0 dB	False	0,80	0,80	0,80	0,80	0,80	0,80	0,80	0,80	0,80
	015010000048879	2,50	6,44	Relatief	0 dB	False	0,80	0,80	0,80	0,80	0,80	0,80	0,80	0,80	0,80
	015010000062392	8,00	7,27	Relatief	0 dB	False	0,80	0,80	0,80	0,80	0,80	0,80	0,80	0,80	0,80
	015010000051477	2,50	6,41	Relatief	0 dB	False	0,80	0,80	0,80	0,80	0,80	0,80	0,80	0,80	0,80
	015010000053999	3,00	6,35	Relatief	0 dB	False	0,80	0,80	0,80	0,80	0,80	0,80	0,80	0,80	0,80
	015010000038623	2,50	6,41	Relatief	0 dB	False	0,80	0,80	0,80	0,80	0,80	0,80	0,80	0,80	0,80
	015010000038323	2,50	6,42	Relatief	0 dB	False	0,80	0,80	0,80	0,80	0,80	0,80	0,80	0,80	0,80
	015010000036777	2,50	6,42	Relatief	0 dB	False	0,80	0,80	0,80	0,80	0,80	0,80	0,80	0,80	0,80
	015010000050316	3,00	6,35	Relatief	0 dB	False	0,80	0,80	0,80	0,80	0,80	0,80	0,80	0,80	0,80
	015010000038492	2,50	6,41	Relatief	0 dB	False	0,80	0,80	0,80	0,80	0,80	0,80	0,80	0,80	0,80
	015010000051470	2,50	6,43	Relatief	0 dB	False	0,80	0,80	0,80	0,80	0,80	0,80	0,80	0,80	0,80
	015010000062738	3,00	7,25	Relatief	0 dB	False	0,80	0,80	0,80	0,80	0,80	0,80	0,80	0,80	0,80
	015010000062739	8,00	7,27	Relatief	0 dB	False	0,80	0,80	0,80	0,80	0,80	0,80	0,80	0,80	0,80
	015010000062740	3,00	7,27	Relatief	0 dB	False	0,80	0,80	0,80	0,80	0,80	0,80	0,80	0,80	0,80
1		8,00	7,27	Relatief	0 dB	False	0,80	0,80	0,80	0,80	0,80	0,80	0,80	0,80	0,80
		3,00	7,27	Relatief	0 dB	False	0,80	0,80	0,80	0,80	0,80	0,80	0,80	0,80	0,80
		8,00	7,27	Relatief	0 dB	False	0,80	0,80	0,80	0,80	0,80	0,80	0,80	0,80	0,80
2		3,00	7,27	Relatief	0 dB	False	0,80	0,80	0,80	0,80	0,80	0,80	0,80	0,80	0,80
1		3,00	7,27	Relatief	0 dB	False	0,80	0,80	0,80	0,80	0,80	0,80	0,80	0,80	0,80
3		3,00	7,27	Relatief	0 dB	False	0,80	0,80	0,80	0,80	0,80	0,80	0,80	0,80	0,80
4		3,00	7,28	Relatief	0 dB	False	0,80	0,80	0,80	0,					

Bijlage II Invoergegevens rekenmodel (Geomilieu)

Model: Wegverkeersmodel
 Geotruidelocatie - Kleine berekeningen
 Groep: (hoofdgroep)
 Lijst van Gebouwen, voor rekenmethode Wegverkeerslawaaai - RMW-2012

Naam	Omschr.	Hoogte	Maalveld	Hdef.	Gebruiksfunctie	Cp	Zwevend	Refl. 63	Refl. 125	Refl. 250	Refl. 500	Refl. 1k	Refl. 2k	Refl. 4k	Refl. 8k
926	Cluster 4	8,00	7,35	Relatief	0 dB	False	0,80	0,80	0,80	0,80	0,80	0,80	0,80	0,80	0,80
927	Cluster 4	8,00	7,35	Relatief	0 dB	False	0,80	0,80	0,80	0,80	0,80	0,80	0,80	0,80	0,80
928	Cluster 4	11,00	7,25	Relatief	0 dB	False	0,80	0,80	0,80	0,80	0,80	0,80	0,80	0,80	0,80
929	Cluster 4	11,00	7,31	Relatief	0 dB	False	0,80	0,80	0,80	0,80	0,80	0,80	0,80	0,80	0,80
930	Cluster 4	12,00	7,21	Relatief	0 dB	False	0,80	0,80	0,80	0,80	0,80	0,80	0,80	0,80	0,80
931	Cluster 4	6,00	7,23	Relatief	0 dB	False	0,80	0,80	0,80	0,80	0,80	0,80	0,80	0,80	0,80
932	Cluster 4	9,00	7,23	Relatief	0 dB	False	0,80	0,80	0,80	0,80	0,80	0,80	0,80	0,80	0,80
933	Cluster 4	2,80	7,41	Relatief	0 dB	False	0,80	0,80	0,80	0,80	0,80	0,80	0,80	0,80	0,80
934	Cluster 4	2,80	7,36	Relatief	0 dB	False	0,80	0,80	0,80	0,80	0,80	0,80	0,80	0,80	0,80
935	Cluster 4	2,80	7,32	Relatief	0 dB	False	0,80	0,80	0,80	0,80	0,80	0,80	0,80	0,80	0,80
936	Cluster 4	2,80	7,31	Relatief	0 dB	False	0,80	0,80	0,80	0,80	0,80	0,80	0,80	0,80	0,80
937	Cluster 4	3,00	7,39	Relatief	0 dB	False	0,80	0,80	0,80	0,80	0,80	0,80	0,80	0,80	0,80
938	Cluster 4	3,00	7,36	Relatief	0 dB	False	0,80	0,80	0,80	0,80	0,80	0,80	0,80	0,80	0,80
939	Cluster 4	3,00	7,42	Relatief	0 dB	False	0,80	0,80	0,80	0,80	0,80	0,80	0,80	0,80	0,80
940	SMCD	7,00	7,34	Relatief	0 dB	False	0,80	0,80	0,80	0,80	0,80	0,80	0,80	0,80	0,80
941	SMCD	1,00	7,33	Relatief	0 dB	False	0,80	0,80	0,80	0,80	0,80	0,80	0,80	0,80	0,80
942	SMCD	4,00	7,34	Relatief	0 dB	False	0,80	0,80	0,80	0,80	0,80	0,80	0,80	0,80	0,80
943	SMCD	6,50	7,32	Relatief	0 dB	False	0,80	0,80	0,80	0,80	0,80	0,80	0,80	0,80	0,80
944	Cluster 5	9,00	7,03	Relatief	0 dB	False	0,80	0,80	0,80	0,80	0,80	0,80	0,80	0,80	0,80
945	Cluster 5	9,00	6,90	Relatief	0 dB	False	0,80	0,80	0,80	0,80	0,80	0,80	0,80	0,80	0,80
946	Cluster 5	9,00	6,81	Relatief	0 dB	False	0,80	0,80	0,80	0,80	0,80	0,80	0,80	0,80	0,80
947	Cluster 5	9,00	6,91	Relatief	0 dB	False	0,80	0,80	0,80	0,80	0,80	0,80	0,80	0,80	0,80
948	Cluster 5	9,00	6,97	Relatief	0 dB	False	0,80	0,80	0,80	0,80	0,80	0,80	0,80	0,80	0,80
949	Cluster 5	9,00	7,27	Relatief	0 dB	False	0,80	0,80	0,80	0,80	0,80	0,80	0,80	0,80	0,80
950	Cluster 5	8,00	7,26	Relatief	0 dB	False	0,80	0,80	0,80	0,80	0,80	0,80	0,80	0,80	0,80
951	Cluster 5	8,00	6,77	Relatief	0 dB	False	0,80	0,80	0,80	0,80	0,80	0,80	0,80	0,80	0,80
952	Cluster 5	2,80	7,19	Relatief	0 dB	False	0,80	0,80	0,80	0,80	0,80	0,80	0,80	0,80	0,80
953	Cluster 5	2,80	7,15	Relatief	0 dB	False	0,80	0,80	0,80	0,80	0,80	0,80	0,80	0,80	0,80
954	Cluster 5	2,80	7,11	Relatief	0 dB	False	0,80	0,80	0,80	0,80	0,80	0,80	0,80	0,80	0,80
955	Cluster 5	2,80	7,04	Relatief	0 dB	False	0,80	0,80	0,80	0,80	0,80	0,80	0,80	0,80	0,80
956	Cluster 5	2,80	6,98	Relatief	0 dB	False	0,80	0,80	0,80	0,80	0,80	0,80	0,80	0,80	0,80
957	Cluster 5	2,80	6,91	Relatief	0 dB	False	0,80	0,80	0,80	0,80	0,80	0,80	0,80	0,80	0,80
958	Cluster 5	3,00	6,85	Relatief	0 dB	False	0,80	0,80	0,80	0,80	0,80	0,80	0,80	0,80	0,80
959	Cluster 5	3,00	6,88	Relatief	0 dB	False	0,80	0,80	0,80	0,80	0,80	0,80	0,80	0,80	0,80
960	Cluster 5	3,00	6,96	Relatief	0 dB	False	0,80	0,80	0,80	0,80	0,80	0,80	0,80	0,80	0,80
961	Cluster 5	3,00	7,01	Relatief	0 dB	False	0,80	0,80	0,80	0,80	0,80	0,80	0,80	0,80	0,80
962	SMCD	4,00	6,85	Relatief	0 dB	False	0,80	0,80	0,80	0,80	0,80	0,80	0,80	0,80	0,80
963	SMCD	13,20	7,40	Relatief	0 dB	False	0,80	0,80	0,80	0,80	0,80	0,80	0,80	0,80	0,80
964	SMCD	10,40	7,39	Relatief	0 dB	False	0,80	0,80	0,80	0,80	0,80	0,80	0,80	0,80	0,80
965	SMCD	12,50	7,33	Relatief	0 dB	False	0,80	0,80	0,80	0,80	0,80	0,80	0,80	0,80	0,80
966	SMCD	13,80	7,29	Relatief	0 dB	False	0,80	0,80	0,80	0,80	0,80	0,80	0,80	0,80	0,80
967	SMCD	11,30	7,28	Relatief	0 dB	False	0,80	0,80	0,80	0,80	0,80	0,80	0,80	0,80	0,80
968	SMCD	13,80	7,30	Relatief	0 dB	False	0,80	0,80	0,80	0,80	0,80	0,80	0,80	0,80	0,80
969	SMCD	14,10	7,28	Relatief	0 dB	False	0,80	0,80	0,80	0,80	0,80	0,80	0,80	0,80	0,80
970	SMCD	10,40	7,01	Relatief	0 dB	False	0,80	0,80	0,80	0,80	0,80	0,80	0,80	0,80	0,80
	015010000022733	3,01	7,72	Relatief	0 dB	False	0,80	0,80	0,80	0,80	0,80	0,80	0,80	0,80	0,80
	015010000056989	2,56	7,21	Relatief	0 dB	False	0,80	0,80	0,80	0,80	0,80	0,80	0,80	0,80	0,80
	015010000016774	4,34	7,31	Relatief	0 dB	False	0,80	0,80	0,80	0,80	0,80	0,80	0,80	0,80	0,80
	015010000036798	2,74	6,36	Relatief	0 dB	False	0,80	0,80	0,80	0,80	0,80	0,80	0,80	0,80	0,80
	015010000040735	3,67	6,41	Relatief	0 dB	False	0,80	0,80	0,80	0,80	0,80	0,80	0,80	0,80	0,80
	015010000041390	3,10	7,78	Relatief	0 dB	False	0,80	0,80	0,80	0,80	0,80	0,80	0,80	0,80	0,80
	015010000048367	2,50	7,65	Relatief	0 dB	False	0,80	0,80	0,80	0,80	0,80	0,80	0,80	0,80	0,80
	015010000016955	2,62	7,53	Relatief	0 dB	False	0,80	0,80	0,80	0,80	0,80	0,80	0,80	0,80	0,80
	015010000023437	2,28	7,17	Relatief	0 dB	False	0,80	0,80	0,80	0,80	0,80	0,80	0,80	0,80	0,80
	015010000060084	4,85	7,29	Relatief	0 dB	False	0,80	0,80	0,80	0,80	0,80	0,80	0,80	0,80	0,80
	015010000023424	3,14	6,58	Relatief	0 dB	False	0,80	0,80	0,80	0,80	0,80	0,80	0,80	0,80	0,80
	0150100000050848	3,21	6,68	Relatief	0 dB	False	0,80	0,80	0,80	0,80	0,80	0,80	0,80	0,80	0,80
	015010000023629	3,20	6,95	Relatief	0 dB	False	0,80	0,80	0,80	0,80	0,80	0,80	0,80	0,80	0,80
	015010000023243	3,12	6,96	Relatief	0 dB	False	0,80	0,80	0,80	0,80	0,80	0,80	0,80	0,80	0,80
	015010000048568	3,64	6,91	Relatief	0 dB	False	0,80	0,80	0,80	0,80	0,80	0,80	0,80	0,80	0,80
	015010000035397	2,23	6,43	Relatief	0 dB	False	0,80	0,80	0,80	0,80	0,80	0,80	0,80	0,80	0,80
	015010000023464	4,18	6,80	Relatief	0 dB	False	0,80	0,80	0,80	0,80	0,80	0,80	0,80	0,80	0,80
	015010000023095	8,01	7,37	Relatief	0 dB	False	0,80	0,80	0,80	0,80	0,80	0,80	0,80	0,80	0,80
	015010000049061	2,82	6,43	Relatief	0 dB	False	0,80	0,80	0,80	0,80	0,80	0,80	0,80	0,80	0,80
	015010000059112	10,57	7,66	Relatief	0 dB	False	0,80	0,80	0,80	0,80	0,80	0,80	0,80	0,80	0,80
	015010000022741	2,55	7,69	Relatief	0 dB	False	0,80	0,80	0,80	0,80	0,80	0,80	0,80	0,80	0,80
	015010000022048	3,45	7,25	Relatief	0 dB	False	0,80	0,80	0,80	0,80	0,80	0,80	0,80	0,80	0,80
	015010000040737	3,77	6,39	Relatief	0 dB	False	0,80	0,80	0,80	0,80	0,80	0,80	0,80	0,80	0,80
	0150100000017592	2,55	6,91	Relatief	0 dB	False	0,80	0,80	0,80	0,80	0,80	0,80	0,80	0,80	0,80
	015010000023257	2,91	6,83	Relatief	0 dB	False	0,80	0,80	0,80	0,80	0,80	0,80	0,80	0,80	0,80
	015010000021447	3,78	7,54	Relatief	0 dB	False	0,80	0,80	0,80	0,80	0,80	0,80	0,80	0,80	0,80
	015010000022731	3,48	7,63	Relatief	0 dB	False	0,80	0,80	0,80	0,80	0,80	0,80	0,80	0,80	0,80
	015010000040396	2,69	7,22	Relatief	0 dB	False	0,80	0,80	0,80	0,80	0,80	0,80	0,80	0,80	0,80
	015010000040729	3,09	6,44	Relatief	0 dB	False	0,80	0,80	0,80	0,80	0,80	0,80	0,80	0,80	0,80
	015010000023107	3,12	6,76	Relatief	0 dB	False	0,80	0,80	0,80	0,80	0,80	0,80	0,80	0,80	0,80
	015010000023258	3,12	6,83	Relatief	0 dB	False	0,80	0,80	0,80	0,80	0,80	0,80	0,80	0,80	0,80
	015010000048209	2,62	7,63	Relatief	0 dB	False	0,80	0,80	0,80	0,80	0,80	0,80	0,80	0,80	0,80
	015010000022909	2,63	7,54	Relatief	0 dB	False	0,80	0,80	0,80	0,80	0,80	0,80	0,80	0,80	0,80
	015010000056456	3,02	6,44	Relatief	0 dB	False	0,80	0,80	0,80	0,80	0,80	0,80	0,80	0,80	0,80
	015010000016080	5,98	6,71	Relatief	0 dB	False	0,80	0,80	0,80	0,80	0,80	0,80	0,80	0,80	0,80
	015010000022768	2,59	7,54	Relatief	0 dB	False	0,80	0,80	0,80	0,80	0,80	0,80	0,80	0,80	0,80
	015010000048240	3,20	6,81	Relatief	0 dB	False	0,80	0,80	0,80	0,80	0,80	0,80	0,80	0,80	0,80
	015010000056540	2,38	8,16	Relatief	0 dB	False	0,80	0,80	0,80	0,80	0,80	0,80	0,80	0,80	0,80
	015010000056819	2,36	7,09	Relatief	0 dB	False	0,80	0,80	0,80</						

Bijlage II Invoergegevens rekenmodel (Geomilieu)

Model: Wegverkeermodel
 Geestrijdelocatie - Kleine berekeningen
 Groep: (hoofdgroep)
 Lijst van Gebouwen, voor rekenmethode Wegverkeerslawaaai - RMW-2012

Naam	Omschr.	Hoogte	Maalveld	Hdef.	Gebruiksfunctie	Cp	Zwevend	Refl. 63	Refl. 125	Refl. 250	Refl. 500	Refl. 1k	Refl. 2k	Refl. 4k	Refl. 8k
015010000022232	3,57	7,19	Relatief	0 dB	False	0,80	0,80	0,80	0,80	0,80	0,80	0,80	0,80	0,80	0,80
015010000048721	3,39	6,68	Relatief	0 dB	False	0,80	0,80	0,80	0,80	0,80	0,80	0,80	0,80	0,80	0,80
0150100000222911	2,31	7,48	Relatief	0 dB	False	0,80	0,80	0,80	0,80	0,80	0,80	0,80	0,80	0,80	0,80
015010000017423	8,76	6,35	Relatief	0 dB	False	0,80	0,80	0,80	0,80	0,80	0,80	0,80	0,80	0,80	0,80
015010000048429	3,41	6,70	Relatief	0 dB	False	0,80	0,80	0,80	0,80	0,80	0,80	0,80	0,80	0,80	0,80
0150100000222045	3,37	7,24	Relatief	0 dB	False	0,80	0,80	0,80	0,80	0,80	0,80	0,80	0,80	0,80	0,80
015010000059025	2,53	7,11	Relatief	0 dB	False	0,80	0,80	0,80	0,80	0,80	0,80	0,80	0,80	0,80	0,80
015010000040738	2,81	6,39	Relatief	0 dB	False	0,80	0,80	0,80	0,80	0,80	0,80	0,80	0,80	0,80	0,80
015010000015995	2,80	7,58	Relatief	0 dB	False	0,80	0,80	0,80	0,80	0,80	0,80	0,80	0,80	0,80	0,80
015010000023431	3,34	6,68	Relatief	0 dB	False	0,80	0,80	0,80	0,80	0,80	0,80	0,80	0,80	0,80	0,80
015010000048436	2,39	7,27	Relatief	0 dB	False	0,80	0,80	0,80	0,80	0,80	0,80	0,80	0,80	0,80	0,80
015010000022765	2,29	7,61	Relatief	0 dB	False	0,80	0,80	0,80	0,80	0,80	0,80	0,80	0,80	0,80	0,80
015010000029237	2,22	6,53	Relatief	0 dB	False	0,80	0,80	0,80	0,80	0,80	0,80	0,80	0,80	0,80	0,80
015010000017281	4,25	6,91	Relatief	0 dB	False	0,80	0,80	0,80	0,80	0,80	0,80	0,80	0,80	0,80	0,80
015010000056998	2,57	7,15	Relatief	0 dB	False	0,80	0,80	0,80	0,80	0,80	0,80	0,80	0,80	0,80	0,80
015010000023087	3,26	7,32	Relatief	0 dB	False	0,80	0,80	0,80	0,80	0,80	0,80	0,80	0,80	0,80	0,80
015010000056818	4,58	7,09	Relatief	0 dB	False	0,80	0,80	0,80	0,80	0,80	0,80	0,80	0,80	0,80	0,80
015010000035395	6,60	6,42	Relatief	0 dB	False	0,80	0,80	0,80	0,80	0,80	0,80	0,80	0,80	0,80	0,80
015010000059150	8,36	6,37	Relatief	0 dB	False	0,80	0,80	0,80	0,80	0,80	0,80	0,80	0,80	0,80	0,80
015010000018434	4,98	7,63	Relatief	0 dB	False	0,80	0,80	0,80	0,80	0,80	0,80	0,80	0,80	0,80	0,80
015010000040724	2,45	6,40	Relatief	0 dB	False	0,80	0,80	0,80	0,80	0,80	0,80	0,80	0,80	0,80	0,80
015010000056207	8,28	6,44	Relatief	0 dB	False	0,80	0,80	0,80	0,80	0,80	0,80	0,80	0,80	0,80	0,80
015010000054208	2,08	6,54	Relatief	0 dB	False	0,80	0,80	0,80	0,80	0,80	0,80	0,80	0,80	0,80	0,80
015010000048728	2,34	7,35	Relatief	0 dB	False	0,80	0,80	0,80	0,80	0,80	0,80	0,80	0,80	0,80	0,80
015010000017252	3,32	6,46	Relatief	0 dB	False	0,80	0,80	0,80	0,80	0,80	0,80	0,80	0,80	0,80	0,80
015010000022233	3,42	7,17	Relatief	0 dB	False	0,80	0,80	0,80	0,80	0,80	0,80	0,80	0,80	0,80	0,80
015010000000138	2,09	7,17	Relatief	0 dB	False	0,80	0,80	0,80	0,80	0,80	0,80	0,80	0,80	0,80	0,80
015010000055754	2,22	6,41	Relatief	0 dB	False	0,80	0,80	0,80	0,80	0,80	0,80	0,80	0,80	0,80	0,80
015010000029331	3,61	7,26	Relatief	0 dB	False	0,80	0,80	0,80	0,80	0,80	0,80	0,80	0,80	0,80	0,80
015010000022750	2,53	7,68	Relatief	0 dB	False	0,80	0,80	0,80	0,80	0,80	0,80	0,80	0,80	0,80	0,80
015010000022937	2,10	6,86	Relatief	0 dB	False	0,80	0,80	0,80	0,80	0,80	0,80	0,80	0,80	0,80	0,80
015010000017586	4,08	6,90	Relatief	0 dB	False	0,80	0,80	0,80	0,80	0,80	0,80	0,80	0,80	0,80	0,80
015010000048359	2,57	7,65	Relatief	0 dB	False	0,80	0,80	0,80	0,80	0,80	0,80	0,80	0,80	0,80	0,80
015010000053164	14,49	7,08	Relatief	0 dB	False	0,80	0,80	0,80	0,80	0,80	0,80	0,80	0,80	0,80	0,80
015010000022046	3,48	7,24	Relatief	0 dB	False	0,80	0,80	0,80	0,80	0,80	0,80	0,80	0,80	0,80	0,80
015010000023090	3,36	7,35	Relatief	0 dB	False	0,80	0,80	0,80	0,80	0,80	0,80	0,80	0,80	0,80	0,80
015010000023084	3,37	7,27	Relatief	0 dB	False	0,80	0,80	0,80	0,80	0,80	0,80	0,80	0,80	0,80	0,80
015010000022569	2,85	7,79	Relatief	0 dB	False	0,80	0,80	0,80	0,80	0,80	0,80	0,80	0,80	0,80	0,80
015010000047056	9,34	6,91	Relatief	0 dB	False	0,80	0,80	0,80	0,80	0,80	0,80	0,80	0,80	0,80	0,80
015010000040728	3,31	6,42	Relatief	0 dB	False	0,80	0,80	0,80	0,80	0,80	0,80	0,80	0,80	0,80	0,80
015010000048735	3,60	7,21	Relatief	0 dB	False	0,80	0,80	0,80	0,80	0,80	0,80	0,80	0,80	0,80	0,80
015010000038115	2,64	6,40	Relatief	0 dB	False	0,80	0,80	0,80	0,80	0,80	0,80	0,80	0,80	0,80	0,80
015010000057511	3,16	6,65	Relatief	0 dB	False	0,80	0,80	0,80	0,80	0,80	0,80	0,80	0,80	0,80	0,80
015010000023083	3,31	7,26	Relatief	0 dB	False	0,80	0,80	0,80	0,80	0,80	0,80	0,80	0,80	0,80	0,80
015010000048357	2,57	7,55	Relatief	0 dB	False	0,80	0,80	0,80	0,80	0,80	0,80	0,80	0,80	0,80	0,80
015010000041388	3,57	7,75	Relatief	0 dB	False	0,80	0,80	0,80	0,80	0,80	0,80	0,80	0,80	0,80	0,80
0150100000222040	3,66	7,29	Relatief	0 dB	False	0,80	0,80	0,80	0,80	0,80	0,80	0,80	0,80	0,80	0,80
015010000038310	4,00	6,36	Relatief	0 dB	False	0,80	0,80	0,80	0,80	0,80	0,80	0,80	0,80	0,80	0,80
015010000022755	2,45	7,14	Relatief	0 dB	False	0,80	0,80	0,80	0,80	0,80	0,80	0,80	0,80	0,80	0,80
015010000022760	2,30	7,39	Relatief	0 dB	False	0,80	0,80	0,80	0,80	0,80	0,80	0,80	0,80	0,80	0,80
015010000038132	3,21	6,44	Relatief	0 dB	False	0,80	0,80	0,80	0,80	0,80	0,80	0,80	0,80	0,80	0,80
015010000038102	2,85	6,48	Relatief	0 dB	False	0,80	0,80	0,80	0,80	0,80	0,80	0,80	0,80	0,80	0,80
015010000018111	5,62	7,00	Relatief	0 dB	False	0,80	0,80	0,80	0,80	0,80	0,80	0,80	0,80	0,80	0,80
015010000048570	2,91	6,91	Relatief	0 dB	False	0,80	0,80	0,80	0,80	0,80	0,80	0,80	0,80	0,80	0,80
015010000057954	3,38	6,72	Relatief	0 dB	False	0,80	0,80	0,80	0,80	0,80	0,80	0,80	0,80	0,80	0,80
015010000023619	2,38	6,39	Relatief	0 dB	False	0,80	0,80	0,80	0,80	0,80	0,80	0,80	0,80	0,80	0,80
015010000023096	3,36	7,27	Relatief	0 dB	False	0,80	0,80	0,80	0,80	0,80	0,80	0,80	0,80	0,80	0,80
015010000022905	2,38	7,28	Relatief	0 dB	False	0,80	0,80	0,80	0,80	0,80	0,80	0,80	0,80	0,80	0,80
015010000049056	6,97	6,42	Relatief	0 dB	False	0,80	0,80	0,80	0,80	0,80	0,80	0,80	0,80	0,80	0,80
015010000037914	2,32	6,42	Relatief	0 dB	False	0,80	0,80	0,80	0,80	0,80	0,80	0,80	0,80	0,80	0,80
015010000052175	7,01	6,47	Relatief	0 dB	False	0,80	0,80	0,80	0,80	0,80	0,80	0,80	0,80	0,80	0,80
015010000033284	6,42	6,42	Relatief	0 dB	False	0,80	0,80	0,80	0,80	0,80	0,80	0,80	0,80	0,80	0,80
015010000022934	3,80	7,39	Relatief	0 dB	False	0,80	0,80	0,80	0,80	0,80	0,80	0,80	0,80	0,80	0,80
015010000040742	2,36	6,41	Relatief	0 dB	False	0,80	0,80	0,80	0,80	0,80	0,80	0,80	0,80	0,80	0,80
015010000017435	2,39	6,72	Relatief	0 dB	False	0,80	0,80	0,80	0,80	0,80	0,80	0,80	0,80	0,80	0,80
015010000049004	3,23	6,86	Relatief	0 dB	False	0,80	0,80	0,80	0,80	0,80	0,80	0,80	0,80	0,80	0,80
015010000023452	3,18	6,53	Relatief	0 dB	False	0,80	0,80	0,80	0,80	0,80	0,80	0,80	0,80	0,80	0,80
015010000023253	3,39	7,30	Relatief	0 dB	False	0,80	0,80	0,80	0,80	0,80	0,80	0,80	0,80	0,80	0,80
015010000018100	2,41	6,92	Relatief	0 dB	False	0,80	0,80	0,80	0,80	0,80	0,80	0,80	0,80	0,80	0,80
015010000023291	2,82	6,35	Relatief	0 dB	False	0,80	0,80	0,80	0,80	0,80	0,80	0,80	0,80	0,80	0,80
015010000022729	3,22	7,81	Relatief	0 dB	False	0,80	0,80	0,80	0,80	0,80	0,80	0,80	0,80	0,80	0,80
015010000023278	3,41	6,38	Relatief	0 dB	False	0,80	0,80	0,80	0,80	0,80	0,80	0,80	0,80	0,80	0,80
015010000048914	4,70	6,41	Relatief	0 dB	False	0,80	0,80	0,80	0,80	0,80	0,80	0,80	0,80	0,80	0,80
015010000023088	5,82	7,32	Relatief	0 dB	False	0,80	0,80	0,80	0,80	0,80	0,80	0,80	0,80	0,80	0,80
015010000056817	3,19	7,03	Relatief	0 dB	False	0,80	0,80	0,80	0,80	0,80	0,80	0,80	0,80	0,80	0,80
015010000022736	2,24	7,80	Relatief	0 dB	False	0,80	0,80	0,80	0,80	0,80	0,80	0,80	0,80	0,80	0,80
015010000048364	2,56	7,57	Relatief	0 dB	False	0,80	0,80	0,80	0,80	0,80	0,80	0,80	0,80	0,80	0,80
015010000023248	3,13	6,98	Relatief	0 dB	False	0,80	0,80	0,80	0,80	0,80	0,80	0,80	0,80	0,80	0,80
015010000039311	4,22	6,44	Relatief	0 dB	False	0,80	0,80								

Bijlage II Invoergegevens rekenmodel (Geomilieu)

Model: Wegverkeermodel
 Geestrijdelocatie - Kleine berekeningen
 Groep: (hoofdgroep)
 Lijst van Gebouwen, voor rekenmethode Wegverkeerslawaa - RMW-2012

Naam	Omschr.	Hoogte	Maatveld	Hdef.	Gebruiksfunctie	Cp	Zwevend	Refl. 63	Refl. 125	Refl. 250	Refl. 500	Refl. 1k	Refl. 2k	Refl. 4k	Refl. 8k
0150100000016062		3,08	7,16	Relatief	0 dB	False	0,80	0,80	0,80	0,80	0,80	0,80	0,80	0,80	0,80
0150100000023613		2,91	7,00	Relatief	0 dB	False	0,80	0,80	0,80	0,80	0,80	0,80	0,80	0,80	0,80
0150100000055685		3,12	7,15	Relatief	0 dB	False	0,80	0,80	0,80	0,80	0,80	0,80	0,80	0,80	0,80
0150100000023451		3,20	6,50	Relatief	0 dB	False	0,80	0,80	0,80	0,80	0,80	0,80	0,80	0,80	0,80
0150100000055647		4,01	7,54	Relatief	0 dB	False	0,80	0,80	0,80	0,80	0,80	0,80	0,80	0,80	0,80
0150100000023109		3,13	7,00	Relatief	0 dB	False	0,80	0,80	0,80	0,80	0,80	0,80	0,80	0,80	0,80
0150100000048347		2,80	7,55	Relatief	0 dB	False	0,80	0,80	0,80	0,80	0,80	0,80	0,80	0,80	0,80
0150100000050357		3,41	7,58	Relatief	0 dB	False	0,80	0,80	0,80	0,80	0,80	0,80	0,80	0,80	0,80
0150100000022767		2,53	7,68	Relatief	0 dB	False	0,80	0,80	0,80	0,80	0,80	0,80	0,80	0,80	0,80
0150100000022216		3,72	7,23	Relatief	0 dB	False	0,80	0,80	0,80	0,80	0,80	0,80	0,80	0,80	0,80
0150100000016059		4,65	6,80	Relatief	0 dB	False	0,80	0,80	0,80	0,80	0,80	0,80	0,80	0,80	0,80
0150100000023101		3,35	7,27	Relatief	0 dB	False	0,80	0,80	0,80	0,80	0,80	0,80	0,80	0,80	0,80
0150100000035401		2,31	6,43	Relatief	0 dB	False	0,80	0,80	0,80	0,80	0,80	0,80	0,80	0,80	0,80
0150100000037916		2,10	6,43	Relatief	0 dB	False	0,80	0,80	0,80	0,80	0,80	0,80	0,80	0,80	0,80
0150100000022221		3,55	7,19	Relatief	0 dB	False	0,80	0,80	0,80	0,80	0,80	0,80	0,80	0,80	0,80
0150100000053174		4,18	6,52	Relatief	0 dB	False	0,80	0,80	0,80	0,80	0,80	0,80	0,80	0,80	0,80
0150100000036791		3,10	6,36	Relatief	0 dB	False	0,80	0,80	0,80	0,80	0,80	0,80	0,80	0,80	0,80
0150100000022576		2,76	7,79	Relatief	0 dB	False	0,80	0,80	0,80	0,80	0,80	0,80	0,80	0,80	0,80
0150100000049872		2,11	7,18	Relatief	0 dB	False	0,80	0,80	0,80	0,80	0,80	0,80	0,80	0,80	0,80
0150100000048731		3,32	6,86	Relatief	0 dB	False	0,80	0,80	0,80	0,80	0,80	0,80	0,80	0,80	0,80
0150100000022744		2,53	7,64	Relatief	0 dB	False	0,80	0,80	0,80	0,80	0,80	0,80	0,80	0,80	0,80
0150100000050318		3,07	6,42	Relatief	0 dB	False	0,80	0,80	0,80	0,80	0,80	0,80	0,80	0,80	0,80
0150100000022213		11,79	7,23	Relatief	0 dB	False	0,80	0,80	0,80	0,80	0,80	0,80	0,80	0,80	0,80
0150100000022042		3,49	7,28	Relatief	0 dB	False	0,80	0,80	0,80	0,80	0,80	0,80	0,80	0,80	0,80
0150100000036772		2,75	6,36	Relatief	0 dB	False	0,80	0,80	0,80	0,80	0,80	0,80	0,80	0,80	0,80
0150100000022913		2,02	7,01	Relatief	0 dB	False	0,80	0,80	0,80	0,80	0,80	0,80	0,80	0,80	0,80
0150100000038729		9,89	6,91	Relatief	0 dB	False	0,80	0,80	0,80	0,80	0,80	0,80	0,80	0,80	0,80
0150100000048241		2,56	6,82	Relatief	0 dB	False	0,80	0,80	0,80	0,80	0,80	0,80	0,80	0,80	0,80
0150100000022064		3,63	7,20	Relatief	0 dB	False	0,80	0,80	0,80	0,80	0,80	0,80	0,80	0,80	0,80
0150100000022572		2,76	7,79	Relatief	0 dB	False	0,80	0,80	0,80	0,80	0,80	0,80	0,80	0,80	0,80
0150100000022922		2,30	7,16	Relatief	0 dB	False	0,80	0,80	0,80	0,80	0,80	0,80	0,80	0,80	0,80
0150100000022643		3,32	6,51	Relatief	0 dB	False	0,80	0,80	0,80	0,80	0,80	0,80	0,80	0,80	0,80
0150100000049242		2,56	7,25	Relatief	0 dB	False	0,80	0,80	0,80	0,80	0,80	0,80	0,80	0,80	0,80
0150100000051276		10,65	6,86	Relatief	0 dB	False	0,80	0,80	0,80	0,80	0,80	0,80	0,80	0,80	0,80
0150100000048903		2,83	6,75	Relatief	0 dB	False	0,80	0,80	0,80	0,80	0,80	0,80	0,80	0,80	0,80
0150100000015907		3,18	6,67	Relatief	0 dB	False	0,80	0,80	0,80	0,80	0,80	0,80	0,80	0,80	0,80
0150100000019284		2,32	7,36	Relatief	0 dB	False	0,80	0,80	0,80	0,80	0,80	0,80	0,80	0,80	0,80
0150100000023255		3,15	6,71	Relatief	0 dB	False	0,80	0,80	0,80	0,80	0,80	0,80	0,80	0,80	0,80
0150100000021446		3,56	7,60	Relatief	0 dB	False	0,80	0,80	0,80	0,80	0,80	0,80	0,80	0,80	0,80
0150100000023610		2,96	6,99	Relatief	0 dB	False	0,80	0,80	0,80	0,80	0,80	0,80	0,80	0,80	0,80
0150100000054808		2,67	6,54	Relatief	0 dB	False	0,80	0,80	0,80	0,80	0,80	0,80	0,80	0,80	0,80
0150100000022539		2,73	7,61	Relatief	0 dB	False	0,80	0,80	0,80	0,80	0,80	0,80	0,80	0,80	0,80
0150100000017939		3,57	7,21	Relatief	0 dB	False	0,80	0,80	0,80	0,80	0,80	0,80	0,80	0,80	0,80
0150100000022748		2,53	7,64	Relatief	0 dB	False	0,80	0,80	0,80	0,80	0,80	0,80	0,80	0,80	0,80
0150100000022915		2,14	7,01	Relatief	0 dB	False	0,80	0,80	0,80	0,80	0,80	0,80	0,80	0,80	0,80
0150100000023614		2,91	6,98	Relatief	0 dB	False	0,80	0,80	0,80	0,80	0,80	0,80	0,80	0,80	0,80
0150100000056988		2,48	7,22	Relatief	0 dB	False	0,80	0,80	0,80	0,80	0,80	0,80	0,80	0,80	0,80
0150100000056986		2,53	7,25	Relatief	0 dB	False	0,80	0,80	0,80	0,80	0,80	0,80	0,80	0,80	0,80
0150100000037915		2,40	6,43	Relatief	0 dB	False	0,80	0,80	0,80	0,80	0,80	0,80	0,80	0,80	0,80
0150100000022402		2,16	7,85	Relatief	0 dB	False	0,80	0,80	0,80	0,80	0,80	0,80	0,80	0,80	0,80
0150100000018277		3,61	7,36	Relatief	0 dB	False	0,80	0,80	0,80	0,80	0,80	0,80	0,80	0,80	0,80
0150100000040723		2,86	6,40	Relatief	0 dB	False	0,80	0,80	0,80	0,80	0,80	0,80	0,80	0,80	0,80
0150100000048615		2,98	7,75	Relatief	0 dB	False	0,80	0,80	0,80	0,80	0,80	0,80	0,80	0,80	0,80
0150100000050356		3,39	7,58	Relatief	0 dB	False	0,80	0,80	0,80	0,80	0,80	0,80	0,80	0,80	0,80
0150100000023286		2,43	6,51	Relatief	0 dB	False	0,80	0,80	0,80	0,80	0,80	0,80	0,80	0,80	0,80
0150100000055683		2,59	7,17	Relatief	0 dB	False	0,80	0,80	0,80	0,80	0,80	0,80	0,80	0,80	0,80
0150100000040741		2,71	6,43	Relatief	0 dB	False	0,80	0,80	0,80	0,80	0,80	0,80	0,80	0,80	0,80
0150100000048734		2,43	6,86	Relatief	0 dB	False	0,80	0,80	0,80	0,80	0,80	0,80	0,80	0,80	0,80
0150100000018270		3,09	6,98	Relatief	0 dB	False	0,80	0,80	0,80	0,80	0,80	0,80	0,80	0,80	0,80
0150100000016753		6,48	7,27	Relatief	0 dB	False	0,80	0,80	0,80	0,80	0,80	0,80	0,80	0,80	0,80
0150100000018087		8,79	6,51	Relatief	0 dB	False	0,80	0,80	0,80	0,80	0,80	0,80	0,80	0,80	0,80
0150100000015250		3,42	6,90	Relatief	0 dB	False	0,80	0,80	0,80	0,80	0,80	0,80	0,80	0,80	0,80
0150100000017593		3,42	6,91	Relatief	0 dB	False	0,80	0,80	0,80	0,80	0,80	0,80	0,80	0,80	0,80
0150100000016939		3,51	7,27	Relatief	0 dB	False	0,80	0,80	0,80	0,80	0,80	0,80	0,80	0,80	0,80
0150100000015914		7,01	6,57	Relatief	0 dB	False	0,80	0,80	0,80	0,80	0,80	0,80	0,80	0,80	0,80
0150100000023609		2,76	6,99	Relatief	0 dB	False	0,80	0,80	0,80	0,80	0,80	0,80	0,80	0,80	0,80
0150100000040732		4,32	6,43	Relatief	0 dB	False	0,80	0,80	0,80	0,80	0,80	0,80	0,80	0,80	0,80
0150100000022907		2,45	7,63	Relatief	0 dB	False	0,80	0,80	0,80	0,80	0,80	0,80	0,80	0,80	0,80
0150100000057935		4,45	6,36	Relatief	0 dB	False	0,80	0,80	0,80	0,80	0,80	0,80	0,80	0,80	0,80
0150100000018433		2,38	7,66	Relatief	0 dB	False	0,80	0,80	0,80	0,80	0,80	0,80	0,80	0,80	0,80
0150100000041384		2,59	7,68	Relatief	0 dB	False	0,80	0,80	0,80	0,80	0,80	0,80	0,80	0,80	0,80
0150100000022403		3,28	7,77	Relatief	0 dB	False	0,80	0,80	0,80	0,80	0,80	0,80	0,80	0,80	0,80
0150100000051454		3,38	6,43	Relatief	0 dB	False	0,80	0,80	0,80	0,80	0,80	0,80	0,80	0,80	0,80
0150100000023092		3,29	7,38	Relatief	0 dB	False	0,80	0,80	0,80	0,80	0,80	0,80	0,80	0,80	0,80
0150100000048915		3,58	6,44	Relatief	0 dB	False	0,80	0,80	0,80	0,80	0,80	0,80	0,80	0,80	0,80
0150100000016090		2,02	7,16	Relatief	0 dB	False	0,80	0,80	0,80	0,80	0,80	0,80	0,80	0,80	0,80
0150100000048368		2,56	7,70	Relatief	0 dB	False	0,80	0,80	0,80	0,80	0,80	0,80	0,80	0,80	0,80
0150100000022065		3,55	7,20	Relatief	0 dB	False	0,80	0,80	0,80	0,80	0,80	0,80	0,80	0,80	0,80
0150100000038118		2,86	6,39	Relatief	0 dB	False	0,80	0,80	0,80	0,80	0,80	0,80	0,80	0,80	0,80
0150100000040416		2,58	7,68	Relatief	0 dB	False	0,80	0,80	0,80	0,80	0,80	0,80	0,80	0,80	0,80
0150100000023449		3,32	6,80	Relatief	0 dB	False	0,80	0,80	0,80						

Bijlage II Invoergegevens rekenmodel (Geomilieu)

Model: Wegverkeermodel
 Geestrijdelocatie - Kleine berekeningen
 Groep: (hoofdgroep)
 Lijst van Gebouwen, voor rekenmethode Wegverkeerslawaaai - RMW-2012

Naam	Omschr.	Hoogte	Maalveld	Hdef.	Gebruiksfunctie	Cp	Zwevend	Refl. 63	Refl. 125	Refl. 250	Refl. 500	Refl. 1k	Refl. 2k	Refl. 4k	Refl. 8k
0150100000056539		2,43	8,22	Relatief	0 db	False	0,80	0,80	0,80	0,80	0,80	0,80	0,80	0,80	0,80
0150100000023638		2,07	6,77	Relatief	0 db	False	0,80	0,80	0,80	0,80	0,80	0,80	0,80	0,80	0,80
0150100000051266		3,50	7,15	Relatief	0 db	False	0,80	0,80	0,80	0,80	0,80	0,80	0,80	0,80	0,80
0150100000022265		3,22	6,59	Relatief	0 db	False	0,80	0,80	0,80	0,80	0,80	0,80	0,80	0,80	0,80
0150100000016333		2,10	7,83	Relatief	0 db	False	0,80	0,80	0,80	0,80	0,80	0,80	0,80	0,80	0,80
0150100000056543		2,56	8,08	Relatief	0 db	False	0,80	0,80	0,80	0,80	0,80	0,80	0,80	0,80	0,80
0150100000053165		8,60	6,71	Relatief	0 db	False	0,80	0,80	0,80	0,80	0,80	0,80	0,80	0,80	0,80
0150100000040731		2,70	6,44	Relatief	0 db	False	0,80	0,80	0,80	0,80	0,80	0,80	0,80	0,80	0,80
0150100000023439		5,08	6,72	Relatief	0 db	False	0,80	0,80	0,80	0,80	0,80	0,80	0,80	0,80	0,80
0150100000048238		2,94	6,53	Relatief	0 db	False	0,80	0,80	0,80	0,80	0,80	0,80	0,80	0,80	0,80
0150100000018098		2,04	6,89	Relatief	0 db	False	0,80	0,80	0,80	0,80	0,80	0,80	0,80	0,80	0,80
0150100000022730		3,08	7,83	Relatief	0 db	False	0,80	0,80	0,80	0,80	0,80	0,80	0,80	0,80	0,80
0150100000022652		3,57	6,71	Relatief	0 db	False	0,80	0,80	0,80	0,80	0,80	0,80	0,80	0,80	0,80
0150100000023630		3,03	6,91	Relatief	0 db	False	0,80	0,80	0,80	0,80	0,80	0,80	0,80	0,80	0,80
0150100000048720		2,38	6,91	Relatief	0 db	False	0,80	0,80	0,80	0,80	0,80	0,80	0,80	0,80	0,80
0150100000037653		2,82	6,85	Relatief	0 db	False	0,80	0,80	0,80	0,80	0,80	0,80	0,80	0,80	0,80
0150100000048229		4,07	6,54	Relatief	0 db	False	0,80	0,80	0,80	0,80	0,80	0,80	0,80	0,80	0,80
0150100000048575		2,16	7,55	Relatief	0 db	False	0,80	0,80	0,80	0,80	0,80	0,80	0,80	0,80	0,80
0150100000016248		2,63	7,30	Relatief	0 db	False	0,80	0,80	0,80	0,80	0,80	0,80	0,80	0,80	0,80
0150100000053181		2,98	7,30	Relatief	0 db	False	0,80	0,80	0,80	0,80	0,80	0,80	0,80	0,80	0,80
0150100000056995		2,61	7,15	Relatief	0 db	False	0,80	0,80	0,80	0,80	0,80	0,80	0,80	0,80	0,80
0150100000023272		2,15	6,79	Relatief	0 db	False	0,80	0,80	0,80	0,80	0,80	0,80	0,80	0,80	0,80
0150100000022935		2,35	7,23	Relatief	0 db	False	0,80	0,80	0,80	0,80	0,80	0,80	0,80	0,80	0,80
0150100000048589		2,60	7,78	Relatief	0 db	False	0,80	0,80	0,80	0,80	0,80	0,80	0,80	0,80	0,80
0150100000022058		3,50	7,30	Relatief	0 db	False	0,80	0,80	0,80	0,80	0,80	0,80	0,80	0,80	0,80
0150100000048211		2,73	7,61	Relatief	0 db	False	0,80	0,80	0,80	0,80	0,80	0,80	0,80	0,80	0,80
0150100000048724		2,18	6,72	Relatief	0 db	False	0,80	0,80	0,80	0,80	0,80	0,80	0,80	0,80	0,80
0150100000040726		2,81	6,42	Relatief	0 db	False	0,80	0,80	0,80	0,80	0,80	0,80	0,80	0,80	0,80
0150100000016239		2,37	7,31	Relatief	0 db	False	0,80	0,80	0,80	0,80	0,80	0,80	0,80	0,80	0,80
0150100000053162		2,50	6,79	Relatief	0 db	False	0,80	0,80	0,80	0,80	0,80	0,80	0,80	0,80	0,80
0150100000056994		2,46	7,16	Relatief	0 db	False	0,80	0,80	0,80	0,80	0,80	0,80	0,80	0,80	0,80
0150100000036966		3,64	6,44	Relatief	0 db	False	0,80	0,80	0,80	0,80	0,80	0,80	0,80	0,80	0,80
0150100000049009		3,38	6,85	Relatief	0 db	False	0,80	0,80	0,80	0,80	0,80	0,80	0,80	0,80	0,80
0150100000035400		0,11	6,43	Relatief	0 db	False	0,80	0,80	0,80	0,80	0,80	0,80	0,80	0,80	0,80
0150100000051452		2,59	6,42	Relatief	0 db	False	0,80	0,80	0,80	0,80	0,80	0,80	0,80	0,80	0,80
0150100000023281		2,43	6,32	Relatief	0 db	False	0,80	0,80	0,80	0,80	0,80	0,80	0,80	0,80	0,80
0150100000035396		2,74	6,41	Relatief	0 db	False	0,80	0,80	0,80	0,80	0,80	0,80	0,80	0,80	0,80
0150100000021443		3,22	7,85	Relatief	0 db	False	0,80	0,80	0,80	0,80	0,80	0,80	0,80	0,80	0,80
0150100000018431		1,92	7,63	Relatief	0 db	False	0,80	0,80	0,80	0,80	0,80	0,80	0,80	0,80	0,80
0150100000056545		2,50	7,93	Relatief	0 db	False	0,80	0,80	0,80	0,80	0,80	0,80	0,80	0,80	0,80
0150100000022763		2,31	7,61	Relatief	0 db	False	0,80	0,80	0,80	0,80	0,80	0,80	0,80	0,80	0,80
0150100000048573		3,42	6,91	Relatief	0 db	False	0,80	0,80	0,80	0,80	0,80	0,80	0,80	0,80	0,80
0150100000056544		2,38	8,04	Relatief	0 db	False	0,80	0,80	0,80	0,80	0,80	0,80	0,80	0,80	0,80
0150100000022936		2,40	7,25	Relatief	0 db	False	0,80	0,80	0,80	0,80	0,80	0,80	0,80	0,80	0,80
0150100000053556		5,75	6,51	Relatief	0 db	False	0,80	0,80	0,80	0,80	0,80	0,80	0,80	0,80	0,80
0150100000021880		3,41	7,24	Relatief	0 db	False	0,80	0,80	0,80	0,80	0,80	0,80	0,80	0,80	0,80
0150100000022567		2,98	7,80	Relatief	0 db	False	0,80	0,80	0,80	0,80	0,80	0,80	0,80	0,80	0,80
0150100000023283		3,44	6,43	Relatief	0 db	False	0,80	0,80	0,80	0,80	0,80	0,80	0,80	0,80	0,80
0150100000048253		2,07	7,05	Relatief	0 db	False	0,80	0,80	0,80	0,80	0,80	0,80	0,80	0,80	0,80
0150100000017466		2,79	7,77	Relatief	0 db	False	0,80	0,80	0,80	0,80	0,80	0,80	0,80	0,80	0,80
0150100000040403		2,75	6,86	Relatief	0 db	False	0,80	0,80	0,80	0,80	0,80	0,80	0,80	0,80	0,80
0150100000017251		5,06	6,46	Relatief	0 db	False	0,80	0,80	0,80	0,80	0,80	0,80	0,80	0,80	0,80
0150100000016272		3,51	7,27	Relatief	0 db	False	0,80	0,80	0,80	0,80	0,80	0,80	0,80	0,80	0,80
0150100000021441		3,39	7,67	Relatief	0 db	False	0,80	0,80	0,80	0,80	0,80	0,80	0,80	0,80	0,80
0150100000050753		3,37	6,53	Relatief	0 db	False	0,80	0,80	0,80	0,80	0,80	0,80	0,80	0,80	0,80
0150100000023100		3,25	7,28	Relatief	0 db	False	0,80	0,80	0,80	0,80	0,80	0,80	0,80	0,80	0,80
0150100000056546		2,49	7,98	Relatief	0 db	False	0,80	0,80	0,80	0,80	0,80	0,80	0,80	0,80	0,80
0150100000048722		2,02	7,02	Relatief	0 db	False	0,80	0,80	0,80	0,80	0,80	0,80	0,80	0,80	0,80
0150100000050955		2,91	6,54	Relatief	0 db	False	0,80	0,80	0,80	0,80	0,80	0,80	0,80	0,80	0,80
0150100000022903		2,57	7,38	Relatief	0 db	False	0,80	0,80	0,80	0,80	0,80	0,80	0,80	0,80	0,80
0150100000023454		2,46	6,53	Relatief	0 db	False	0,80	0,80	0,80	0,80	0,80	0,80	0,80	0,80	0,80
0150100000017278		3,39	6,70	Relatief	0 db	False	0,80	0,80	0,80	0,80	0,80	0,80	0,80	0,80	0,80
0150100000037646		7,82	6,43	Relatief	0 db	False	0,80	0,80	0,80	0,80	0,80	0,80	0,80	0,80	0,80
0150100000023250		5,08	6,92	Relatief	0 db	False	0,80	0,80	0,80	0,80	0,80	0,80	0,80	0,80	0,80
0150100000023884		2,62	7,76	Relatief	0 db	False	0,80	0,80	0,80	0,80	0,80	0,80	0,80	0,80	0,80
0150100000040743		2,43	6,42	Relatief	0 db	False	0,80	0,80	0,80	0,80	0,80	0,80	0,80	0,80	0,80
0150100000023427		3,37	6,44	Relatief	0 db	False	0,80	0,80	0,80	0,80	0,80	0,80	0,80	0,80	0,80
0150100000057823		2,51	6,81	Relatief	0 db	False	0,80	0,80	0,80	0,80	0,80	0,80	0,80	0,80	0,80
0150100000059282		6,51	7,26	Relatief	0 db	False	0,80	0,80	0,80	0,80	0,80	0,80	0,80	0,80	0,80
0150100000057952		3,80	6,76	Relatief	0 db	False	0,80	0,80	0,80	0,80	0,80	0,80	0,80	0,80	0,80
0150100000056537		2,58	8,22	Relatief	0 db	False	0,80	0,80	0,80	0,80	0,80	0,80	0,80	0,80	0,80
0150100000053157		5,65	7,37	Relatief	0 db	False	0,80	0,80	0,80	0,80	0,80	0,80	0,80	0,80	0,80
0150100000022770		2,53	7,48	Relatief	0 db	False	0,80	0,80	0,80	0,80	0,80	0,80	0,80	0,80	0,80
0150100000016956		3,28	7,68	Relatief	0 db	False	0,80	0,80	0,80	0,80	0,80	0,80	0,80	0,80	0,80
0150100000057003		2,13	7,23	Relatief	0 db	False	0,80	0,80	0,80	0,80	0,80	0,80	0,80	0,80	0,80
0150100000053338		2,68	7,29	Relatief	0 db	False	0,80	0,80	0,80	0,80	0,80	0,80	0,80	0,80	0,80
0150100000023103		3,24	7,27	Relatief	0 db	False	0,80	0,80	0,80	0,80	0,80	0,80	0,80	0,80	0,80
0150100000022740		2,68	7,61	Relatief	0 db	False	0,80	0,80	0,80	0,80	0,80	0,80	0,80	0,80	0,80
0150100000022648		2,55	6,54	Relatief	0 db	False	0,80	0,80	0,80	0,80	0,80	0,80	0,80	0,80	0,80
0150100000023282		2,36	6,32	Relatief	0 db	False	0,80	0,80	0,80	0,80	0,80	0,80	0,80	0,80	0,80
0150100000037651		2,93	6,44	Relatief	0 db	False	0,80	0,80	0,80	0					

Bijlage II Invoergegevens rekenmodel (Geomilieu)

Model: Wegverkeermodel
 Geestrijdelocatie - Kleine berekeningen
 Groep: (hoofdgroep)
 Lijst van Gebouwen, voor rekenmethode Wegverkeerslawaaai - RMW-2012

Naam	Omschr.	Hoogte	Maalveld	Hdef.	Gebruiksfunctie	Cp	Zwevend	Refl. 63	Refl. 125	Refl. 250	Refl. 500	Refl. 1k	Refl. 2k	Refl. 4k	Refl. 8k
0150100000018283		2,35	7,48	Relatief	0 dB	False	0,80	0,80	0,80	0,80	0,80	0,80	0,80	0,80	0,80
0150100000016925		5,00	7,09	Relatief	0 dB	False	0,80	0,80	0,80	0,80	0,80	0,80	0,80	0,80	0,80
0150100000040739		2,80	6,39	Relatief	0 dB	False	0,80	0,80	0,80	0,80	0,80	0,80	0,80	0,80	0,80
0150100000038106		3,36	6,39	Relatief	0 dB	False	0,80	0,80	0,80	0,80	0,80	0,80	0,80	0,80	0,80
0150100000022218		3,63	7,25	Relatief	0 dB	False	0,80	0,80	0,80	0,80	0,80	0,80	0,80	0,80	0,80
0150100000058221		7,11	6,44	Relatief	0 dB	False	0,80	0,80	0,80	0,80	0,80	0,80	0,80	0,80	0,80
0150100000022061		3,53	7,30	Relatief	0 dB	False	0,80	0,80	0,80	0,80	0,80	0,80	0,80	0,80	0,80
0150100000048942		2,61	7,76	Relatief	0 dB	False	0,80	0,80	0,80	0,80	0,80	0,80	0,80	0,80	0,80
0150100000023275		3,29	6,44	Relatief	0 dB	False	0,80	0,80	0,80	0,80	0,80	0,80	0,80	0,80	0,80
0150100000055753		2,87	6,83	Relatief	0 dB	False	0,80	0,80	0,80	0,80	0,80	0,80	0,80	0,80	0,80
0150100000049344		14,49	7,27	Relatief	0 dB	False	0,80	0,80	0,80	0,80	0,80	0,80	0,80	0,80	0,80
0150100000022952		2,38	7,15	Relatief	0 dB	False	0,80	0,80	0,80	0,80	0,80	0,80	0,80	0,80	0,80
0150100000049255		3,44	7,21	Relatief	0 dB	False	0,80	0,80	0,80	0,80	0,80	0,80	0,80	0,80	0,80
0150100000049059		2,24	6,39	Relatief	0 dB	False	0,80	0,80	0,80	0,80	0,80	0,80	0,80	0,80	0,80
0150100000023440		3,14	6,73	Relatief	0 dB	False	0,80	0,80	0,80	0,80	0,80	0,80	0,80	0,80	0,80
0150100000040401		3,70	6,86	Relatief	0 dB	False	0,80	0,80	0,80	0,80	0,80	0,80	0,80	0,80	0,80
0150100000049332		1,78	7,15	Relatief	0 dB	False	0,80	0,80	0,80	0,80	0,80	0,80	0,80	0,80	0,80
0150100000023461		3,60	6,96	Relatief	0 dB	False	0,80	0,80	0,80	0,80	0,80	0,80	0,80	0,80	0,80
0150100000048355		2,34	7,45	Relatief	0 dB	False	0,80	0,80	0,80	0,80	0,80	0,80	0,80	0,80	0,80
0150100000022222		3,49	7,19	Relatief	0 dB	False	0,80	0,80	0,80	0,80	0,80	0,80	0,80	0,80	0,80
0150100000054007		2,97	6,43	Relatief	0 dB	False	0,80	0,80	0,80	0,80	0,80	0,80	0,80	0,80	0,80
0150100000048358		2,59	7,60	Relatief	0 dB	False	0,80	0,80	0,80	0,80	0,80	0,80	0,80	0,80	0,80
0150100000018081		2,97	6,95	Relatief	0 dB	False	0,80	0,80	0,80	0,80	0,80	0,80	0,80	0,80	0,80
0150100000023625		2,45	6,84	Relatief	0 dB	False	0,80	0,80	0,80	0,80	0,80	0,80	0,80	0,80	0,80
0150100000036803		2,95	6,44	Relatief	0 dB	False	0,80	0,80	0,80	0,80	0,80	0,80	0,80	0,80	0,80
0150100000058488		2,64	6,54	Relatief	0 dB	False	0,80	0,80	0,80	0,80	0,80	0,80	0,80	0,80	0,80
0150100000056534		2,41	8,22	Relatief	0 dB	False	0,80	0,80	0,80	0,80	0,80	0,80	0,80	0,80	0,80
0150100000037503		3,42	6,39	Relatief	0 dB	False	0,80	0,80	0,80	0,80	0,80	0,80	0,80	0,80	0,80
0150100000022766		2,38	7,61	Relatief	0 dB	False	0,80	0,80	0,80	0,80	0,80	0,80	0,80	0,80	0,80
0150100000018285		2,76	7,36	Relatief	0 dB	False	0,80	0,80	0,80	0,80	0,80	0,80	0,80	0,80	0,80
0150100000017274		11,13	6,54	Relatief	0 dB	False	0,80	0,80	0,80	0,80	0,80	0,80	0,80	0,80	0,80
0150100000057002		2,58	7,21	Relatief	0 dB	False	0,80	0,80	0,80	0,80	0,80	0,80	0,80	0,80	0,80
0150100000056984		2,32	6,64	Relatief	0 dB	False	0,80	0,80	0,80	0,80	0,80	0,80	0,80	0,80	0,80
0150100000023110		3,31	7,17	Relatief	0 dB	False	0,80	0,80	0,80	0,80	0,80	0,80	0,80	0,80	0,80
0150100000048580		2,45	7,55	Relatief	0 dB	False	0,80	0,80	0,80	0,80	0,80	0,80	0,80	0,80	0,80
0150100000023285		4,64	6,45	Relatief	0 dB	False	0,80	0,80	0,80	0,80	0,80	0,80	0,80	0,80	0,80
0150100000049374		3,44	7,64	Relatief	0 dB	False	0,80	0,80	0,80	0,80	0,80	0,80	0,80	0,80	0,80
0150100000016094		3,47	7,18	Relatief	0 dB	False	0,80	0,80	0,80	0,80	0,80	0,80	0,80	0,80	0,80
0150100000022577		2,76	7,79	Relatief	0 dB	False	0,80	0,80	0,80	0,80	0,80	0,80	0,80	0,80	0,80
0150100000022575		3,22	7,83	Relatief	0 dB	False	0,80	0,80	0,80	0,80	0,80	0,80	0,80	0,80	0,80
0150100000018425		2,58	8,06	Relatief	0 dB	False	0,80	0,80	0,80	0,80	0,80	0,80	0,80	0,80	0,80
0150100000022066		3,48	7,21	Relatief	0 dB	False	0,80	0,80	0,80	0,80	0,80	0,80	0,80	0,80	0,80
0150100000041387		3,03	7,73	Relatief	0 dB	False	0,80	0,80	0,80	0,80	0,80	0,80	0,80	0,80	0,80
0150100000050487		3,15	6,39	Relatief	0 dB	False	0,80	0,80	0,80	0,80	0,80	0,80	0,80	0,80	0,80
0150100000023264		3,96	6,51	Relatief	0 dB	False	0,80	0,80	0,80	0,80	0,80	0,80	0,80	0,80	0,80
0150100000053167		2,51	6,81	Relatief	0 dB	False	0,80	0,80	0,80	0,80	0,80	0,80	0,80	0,80	0,80
0150100000017608		2,48	6,45	Relatief	0 dB	False	0,80	0,80	0,80	0,80	0,80	0,80	0,80	0,80	0,80
0150100000017275		2,76	6,54	Relatief	0 dB	False	0,80	0,80	0,80	0,80	0,80	0,80	0,80	0,80	0,80
0150100000037505		3,87	6,40	Relatief	0 dB	False	0,80	0,80	0,80	0,80	0,80	0,80	0,80	0,80	0,80
0150100000022769		2,57	7,63	Relatief	0 dB	False	0,80	0,80	0,80	0,80	0,80	0,80	0,80	0,80	0,80
0150100000057510		3,22	6,65	Relatief	0 dB	False	0,80	0,80	0,80	0,80	0,80	0,80	0,80	0,80	0,80
0150100000056991		2,42	7,19	Relatief	0 dB	False	0,80	0,80	0,80	0,80	0,80	0,80	0,80	0,80	0,80
0150100000022019		3,55	7,27	Relatief	0 dB	False	0,80	0,80	0,80	0,80	0,80	0,80	0,80	0,80	0,80
0150100000049572		3,67	6,91	Relatief	0 dB	False	0,80	0,80	0,80	0,80	0,80	0,80	0,80	0,80	0,80
0150100000048251		3,97	6,93	Relatief	0 dB	False	0,80	0,80	0,80	0,80	0,80	0,80	0,80	0,80	0,80
0150100000038133		3,70	6,44	Relatief	0 dB	False	0,80	0,80	0,80	0,80	0,80	0,80	0,80	0,80	0,80
0150100000023091		3,26	7,35	Relatief	0 dB	False	0,80	0,80	0,80	0,80	0,80	0,80	0,80	0,80	0,80
0150100000049057		2,75	6,41	Relatief	0 dB	False	0,80	0,80	0,80	0,80	0,80	0,80	0,80	0,80	0,80
0150100000056992		2,56	7,18	Relatief	0 dB	False	0,80	0,80	0,80	0,80	0,80	0,80	0,80	0,80	0,80
0150100000023447		3,45	6,84	Relatief	0 dB	False	0,80	0,80	0,80	0,80	0,80	0,80	0,80	0,80	0,80
0150100000022274		3,16	6,79	Relatief	0 dB	False	0,80	0,80	0,80	0,80	0,80	0,80	0,80	0,80	0,80
0150100000016159		12,39	7,61	Relatief	0 dB	False	0,80	0,80	0,80	0,80	0,80	0,80	0,80	0,80	0,80
0150100000016249		12,39	7,25	Relatief	0 dB	False	0,80	0,80	0,80	0,80	0,80	0,80	0,80	0,80	0,80
0150100000017437		3,20	6,67	Relatief	0 dB	False	0,80	0,80	0,80	0,80	0,80	0,80	0,80	0,80	0,80
0150100000022638		2,80	6,54	Relatief	0 dB	False	0,80	0,80	0,80	0,80	0,80	0,80	0,80	0,80	0,80
0150100000023284		3,31	6,43	Relatief	0 dB	False	0,80	0,80	0,80	0,80	0,80	0,80	0,80	0,80	0,80
0150100000023085		3,38	7,27	Relatief	0 dB	False	0,80	0,80	0,80	0,80	0,80	0,80	0,80	0,80	0,80
0150100000016060		3,66	7,02	Relatief	0 dB	False	0,80	0,80	0,80	0,80	0,80	0,80	0,80	0,80	0,80
0150100000041545		5,79	8,22	Relatief	0 dB	False	0,80	0,80	0,80	0,80	0,80	0,80	0,80	0,80	0,80
0150100000022680		7,91	7,18	Relatief	0 dB	False	0,80	0,80	0,80	0,80	0,80	0,80	0,80	0,80	0,80
0150100000018439		8,29	8,02	Relatief	0 dB	False	0,80	0,80	0,80	0,80	0,80	0,80	0,80	0,80	0,80
0150100000019784		7,21	7,64	Relatief	0 dB	False	0,80	0,80	0,80	0,80	0,80	0,80	0,80	0,80	0,80
0150100000021204		6,80	7,44	Relatief	0 dB	False	0,80	0,80	0,80	0,80	0,80	0,80	0,80	0,80	0,80
0150100000022901		7,30	7,12	Relatief	0 dB	False	0,80	0,80	0,80	0,80	0,80	0,80	0,80	0,80	0,80
0150100000016257		8,92	7,26	Relatief	0 dB	False	0,80	0,80	0,80	0,80	0,80	0,80	0,80	0,80	0,80
0150100000023606		8,53	6,91	Relatief	0 dB	False	0,80	0,80	0,80	0,80	0,80	0,80	0,80	0,80	0,80
0150100000022332		8,12	7,01	Relatief	0 dB	False	0,80	0,80	0,80	0,80	0,80	0,80	0,80	0,80	0,80
0150100000021206		8,93	7,47	Relatief	0 dB	False	0,80	0,80	0,80	0,80	0,80	0,80	0,80	0,80	0,80
0150100000021043		5,55	8,04	Relatief	0 dB	False	0,80	0,80	0,80	0,80	0,80	0,80	0,80	0,80	0,80
0150100000023230		8,78	6,83	Relatief	0 dB	False	0,80	0,80	0,80	0,80	0,80	0,80	0,80	0,80	0,80
0150100000021937		8,60	7,41	Relatief	0 dB	False	0,80	0,80	0,80						

Bijlage II Invoergegevens rekenmodel (Geomilieu)

Model: Wegverkeermodel
 Geestrijdelocatie - Kleine berekeningen
 Groep: (hoofdgroep)
 Lijst van Gebouwen, voor rekenmethode Wegverkeerslawaa - RMW-2012

Naam	Omschr.	Hoogte	Maalveld	Hdef.	Gebruiksfunctie	Cp	Zwevend	Refl. 63	Refl. 125	Refl. 250	Refl. 500	Refl. 1k	Refl. 2k	Refl. 4k	Refl. 8k
0150100000035413		6,80	6,40	Relatief	0 dB	False	0,80	0,80	0,80	0,80	0,80	0,80	0,80	0,80	0,80
0150100000017595		8,67	6,91	Relatief	0 dB	False	0,80	0,80	0,80	0,80	0,80	0,80	0,80	0,80	0,80
0150100000016054		9,28	6,82	Relatief	0 dB	False	0,80	0,80	0,80	0,80	0,80	0,80	0,80	0,80	0,80
0150100000048228		8,56	6,50	Relatief	0 dB	False	0,80	0,80	0,80	0,80	0,80	0,80	0,80	0,80	0,80
0150100000040631		8,45	6,44	Relatief	0 dB	False	0,80	0,80	0,80	0,80	0,80	0,80	0,80	0,80	0,80
0150100000023758		8,19	6,79	Relatief	0 dB	False	0,80	0,80	0,80	0,80	0,80	0,80	0,80	0,80	0,80
0150100000048217		7,63	6,50	Relatief	0 dB	False	0,80	0,80	0,80	0,80	0,80	0,80	0,80	0,80	0,80
0150100000022518		9,00	7,27	Relatief	0 dB	False	0,80	0,80	0,80	0,80	0,80	0,80	0,80	0,80	0,80
0150100000022506		8,94	7,26	Relatief	0 dB	False	0,80	0,80	0,80	0,80	0,80	0,80	0,80	0,80	0,80
0150100000021946		5,82	7,36	Relatief	0 dB	False	0,80	0,80	0,80	0,80	0,80	0,80	0,80	0,80	0,80
0150100000039976		7,11	6,41	Relatief	0 dB	False	0,80	0,80	0,80	0,80	0,80	0,80	0,80	0,80	0,80
0150100000039479		6,85	6,40	Relatief	0 dB	False	0,80	0,80	0,80	0,80	0,80	0,80	0,80	0,80	0,80
0150100000041597		6,90	6,80	Relatief	0 dB	False	0,80	0,80	0,80	0,80	0,80	0,80	0,80	0,80	0,80
0150100000040406		8,38	7,70	Relatief	0 dB	False	0,80	0,80	0,80	0,80	0,80	0,80	0,80	0,80	0,80
0150100000018282		9,15	7,58	Relatief	0 dB	False	0,80	0,80	0,80	0,80	0,80	0,80	0,80	0,80	0,80
0150100000015929		7,90	6,79	Relatief	0 dB	False	0,80	0,80	0,80	0,80	0,80	0,80	0,80	0,80	0,80
0150100000023930		8,76	6,74	Relatief	0 dB	False	0,80	0,80	0,80	0,80	0,80	0,80	0,80	0,80	0,80
0150100000019963		7,26	7,61	Relatief	0 dB	False	0,80	0,80	0,80	0,80	0,80	0,80	0,80	0,80	0,80
0150100000021942		7,25	7,29	Relatief	0 dB	False	0,80	0,80	0,80	0,80	0,80	0,80	0,80	0,80	0,80
0150100000041942		9,63	7,16	Relatief	0 dB	False	0,80	0,80	0,80	0,80	0,80	0,80	0,80	0,80	0,80
0150100000018569		8,48	7,80	Relatief	0 dB	False	0,80	0,80	0,80	0,80	0,80	0,80	0,80	0,80	0,80
0150100000023755		8,35	6,78	Relatief	0 dB	False	0,80	0,80	0,80	0,80	0,80	0,80	0,80	0,80	0,80
0150100000018952		6,75	7,43	Relatief	0 dB	False	0,80	0,80	0,80	0,80	0,80	0,80	0,80	0,80	0,80
0150100000017777		9,80	6,73	Relatief	0 dB	False	0,80	0,80	0,80	0,80	0,80	0,80	0,80	0,80	0,80
0150100000024132		5,44	6,48	Relatief	0 dB	False	0,80	0,80	0,80	0,80	0,80	0,80	0,80	0,80	0,80
0150100000016087		7,17	7,10	Relatief	0 dB	False	0,80	0,80	0,80	0,80	0,80	0,80	0,80	0,80	0,80
0150100000048230		8,28	6,73	Relatief	0 dB	False	0,80	0,80	0,80	0,80	0,80	0,80	0,80	0,80	0,80
0150100000023412		9,34	6,86	Relatief	0 dB	False	0,80	0,80	0,80	0,80	0,80	0,80	0,80	0,80	0,80
0150100000018090		7,02	7,22	Relatief	0 dB	False	0,80	0,80	0,80	0,80	0,80	0,80	0,80	0,80	0,80
0150100000016066		7,53	7,21	Relatief	0 dB	False	0,80	0,80	0,80	0,80	0,80	0,80	0,80	0,80	0,80
0150100000016750		8,11	7,24	Relatief	0 dB	False	0,80	0,80	0,80	0,80	0,80	0,80	0,80	0,80	0,80
0150100000021015		8,17	7,53	Relatief	0 dB	False	0,80	0,80	0,80	0,80	0,80	0,80	0,80	0,80	0,80
0150100000059220		8,50	7,31	Relatief	0 dB	False	0,80	0,80	0,80	0,80	0,80	0,80	0,80	0,80	0,80
0150100000048578		11,15	7,85	Relatief	0 dB	False	0,80	0,80	0,80	0,80	0,80	0,80	0,80	0,80	0,80
0150100000040276		9,31	6,43	Relatief	0 dB	False	0,80	0,80	0,80	0,80	0,80	0,80	0,80	0,80	0,80
0150100000018108		7,84	7,13	Relatief	0 dB	False	0,80	0,80	0,80	0,80	0,80	0,80	0,80	0,80	0,80
0150100000035408		7,98	6,43	Relatief	0 dB	False	0,80	0,80	0,80	0,80	0,80	0,80	0,80	0,80	0,80
0150100000023197		8,75	6,71	Relatief	0 dB	False	0,80	0,80	0,80	0,80	0,80	0,80	0,80	0,80	0,80
0150100000023408		9,48	6,86	Relatief	0 dB	False	0,80	0,80	0,80	0,80	0,80	0,80	0,80	0,80	0,80
0150100000048215		7,94	6,54	Relatief	0 dB	False	0,80	0,80	0,80	0,80	0,80	0,80	0,80	0,80	0,80
0150100000021947		6,73	7,45	Relatief	0 dB	False	0,80	0,80	0,80	0,80	0,80	0,80	0,80	0,80	0,80
0150100000022138		5,43	6,83	Relatief	0 dB	False	0,80	0,80	0,80	0,80	0,80	0,80	0,80	0,80	0,80
0150100000023757		8,64	6,56	Relatief	0 dB	False	0,80	0,80	0,80	0,80	0,80	0,80	0,80	0,80	0,80
0150100000016055		8,46	6,71	Relatief	0 dB	False	0,80	0,80	0,80	0,80	0,80	0,80	0,80	0,80	0,80
0150100000021954		8,53	7,25	Relatief	0 dB	False	0,80	0,80	0,80	0,80	0,80	0,80	0,80	0,80	0,80
0150100000016240		8,55	7,31	Relatief	0 dB	False	0,80	0,80	0,80	0,80	0,80	0,80	0,80	0,80	0,80
0150100000023209		8,61	6,63	Relatief	0 dB	False	0,80	0,80	0,80	0,80	0,80	0,80	0,80	0,80	0,80
0150100000017910		5,75	7,21	Relatief	0 dB	False	0,80	0,80	0,80	0,80	0,80	0,80	0,80	0,80	0,80
0150100000048218		6,68	6,54	Relatief	0 dB	False	0,80	0,80	0,80	0,80	0,80	0,80	0,80	0,80	0,80
0150100000018254		10,39	7,02	Relatief	0 dB	False	0,80	0,80	0,80	0,80	0,80	0,80	0,80	0,80	0,80
0150100000023782		9,36	6,24	Relatief	0 dB	False	0,80	0,80	0,80	0,80	0,80	0,80	0,80	0,80	0,80
0150100000022323		8,19	7,05	Relatief	0 dB	False	0,80	0,80	0,80	0,80	0,80	0,80	0,80	0,80	0,80
0150100000037650		6,38	6,38	Relatief	0 dB	False	0,80	0,80	0,80	0,80	0,80	0,80	0,80	0,80	0,80
0150100000021938		6,69	7,43	Relatief	0 dB	False	0,80	0,80	0,80	0,80	0,80	0,80	0,80	0,80	0,80
0150100000040429		9,56	6,42	Relatief	0 dB	False	0,80	0,80	0,80	0,80	0,80	0,80	0,80	0,80	0,80
0150100000019250		6,89	7,59	Relatief	0 dB	False	0,80	0,80	0,80	0,80	0,80	0,80	0,80	0,80	0,80
0150100000021437		9,15	7,00	Relatief	0 dB	False	0,80	0,80	0,80	0,80	0,80	0,80	0,80	0,80	0,80
0150100000015923		8,13	6,51	Relatief	0 dB	False	0,80	0,80	0,80	0,80	0,80	0,80	0,80	0,80	0,80
0150100000022639		6,52	6,54	Relatief	0 dB	False	0,80	0,80	0,80	0,80	0,80	0,80	0,80	0,80	0,80
0150100000051468		7,69	6,54	Relatief	0 dB	False	0,80	0,80	0,80	0,80	0,80	0,80	0,80	0,80	0,80
0150100000017916		9,10	6,86	Relatief	0 dB	False	0,80	0,80	0,80	0,80	0,80	0,80	0,80	0,80	0,80
0150100000057936		7,15	6,71	Relatief	0 dB	False	0,80	0,80	0,80	0,80	0,80	0,80	0,80	0,80	0,80
0150100000022136		8,04	7,25	Relatief	0 dB	False	0,80	0,80	0,80	0,80	0,80	0,80	0,80	0,80	0,80
0150100000023774		7,62	6,94	Relatief	0 dB	False	0,80	0,80	0,80	0,80	0,80	0,80	0,80	0,80	0,80
0150100000023082		7,99	7,26	Relatief	0 dB	False	0,80	0,80	0,80	0,80	0,80	0,80	0,80	0,80	0,80
0150100000020851		7,92	7,48	Relatief	0 dB	False	0,80	0,80	0,80	0,80	0,80	0,80	0,80	0,80	0,80
0150100000021051		9,13	7,51	Relatief	0 dB	False	0,80	0,80	0,80	0,80	0,80	0,80	0,80	0,80	0,80
0150100000016093		9,51	7,32	Relatief	0 dB	False	0,80	0,80	0,80	0,80	0,80	0,80	0,80	0,80	0,80
0150100000040813		9,29	6,36	Relatief	0 dB	False	0,80	0,80	0,80	0,80	0,80	0,80	0,80	0,80	0,80
0150100000023780		8,04	6,85	Relatief	0 dB	False	0,80	0,80	0,80	0,80	0,80	0,80	0,80	0,80	0,80
0150100000024025		8,01	7,37	Relatief	0 dB	False	0,80	0,80	0,80	0,80	0,80	0,80	0,80	0,80	0,80
0150100000018114		5,54	7,04	Relatief	0 dB	False	0,80	0,80	0,80	0,80	0,80	0,80	0,80	0,80	0,80
0150100000023052		7,19	7,31	Relatief	0 dB	False	0,80	0,80	0,80	0,80	0,80	0,80	0,80	0,80	0,80
0150100000016751		7,69	7,27	Relatief	0 dB	False	0,80	0,80	0,80	0,80	0,80	0,80	0,80	0,80	0,80
0150100000040614		9,02	6,44	Relatief	0 dB	False	0,80	0,80	0,80	0,80	0,80	0,80	0,80	0,80	0,80
0150100000018263		8,72	7,05	Relatief	0 dB	False	0,80	0,80	0,80	0,80	0,80	0,80	0,80	0,80	0,80
0150100000019953		8,10	7,91	Relatief	0 dB	False	0,80	0,80	0,80	0,80	0,80	0,80	0,80	0,80	0,80
0150100000035392		9,43	6,42	Relatief	0 dB	False	0,80	0,80	0,80	0,80	0,80	0,80	0,80	0,80	0,80
0150100000022892		7,28	7,10	Relatief	0 dB	False	0,80	0,80	0,80	0,80	0,80	0,80	0,80	0,80	0,80
0150100000018429		7,67	7,81	Relatief	0 dB	False	0,80	0,80	0,80	0,80	0,80	0,80	0,80	0,80	0,80
0150100000023224		7,85	6,75	Relatief	0 dB	False	0,80	0,80	0,80						

Bijlage II Invoergegevens rekenmodel (Geomilieu)

Model: Wegverkeersmodel
 Geestrijndelocatie - Kleine berekeningen
 Groep: (hoofdgroep)
 Lijst van Gebouwen, voor rekenmethode Wegverkeerslawaaai - RMW-2012

Naam	Omschr.	Hoogte	Maalveld	Hdef.	Gebruiksfunctie	Cp	Zwevend	Refl. 63	Refl. 125	Refl. 250	Refl. 500	Refl. 1k	Refl. 2k	Refl. 4k	Refl. 8k
0150100000018747		7,91	7,25	Relatief	0 dB	False	0,80	0,80	0,80	0,80	0,80	0,80	0,80	0,80	0,80
0150100000023623		9,47	6,91	Relatief	0 dB	False	0,80	0,80	0,80	0,80	0,80	0,80	0,80	0,80	0,80
0150100000020348		8,64	7,17	Relatief	0 dB	False	0,80	0,80	0,80	0,80	0,80	0,80	0,80	0,80	0,80
0150100000022339		8,11	6,97	Relatief	0 dB	False	0,80	0,80	0,80	0,80	0,80	0,80	0,80	0,80	0,80
0150100000016058		10,04	6,56	Relatief	0 dB	False	0,80	0,80	0,80	0,80	0,80	0,80	0,80	0,80	0,80
0150100000041398		5,73	7,93	Relatief	0 dB	False	0,80	0,80	0,80	0,80	0,80	0,80	0,80	0,80	0,80
0150100000018287		5,54	7,81	Relatief	0 dB	False	0,80	0,80	0,80	0,80	0,80	0,80	0,80	0,80	0,80
0150100000022039		10,74	6,90	Relatief	0 dB	False	0,80	0,80	0,80	0,80	0,80	0,80	0,80	0,80	0,80
0150100000021191		8,42	8,01	Relatief	0 dB	False	0,80	0,80	0,80	0,80	0,80	0,80	0,80	0,80	0,80
0150100000057824		8,33	7,95	Relatief	0 dB	False	0,80	0,80	0,80	0,80	0,80	0,80	0,80	0,80	0,80
0150100000018437		7,94	8,06	Relatief	0 dB	False	0,80	0,80	0,80	0,80	0,80	0,80	0,80	0,80	0,80
0150100000018562		9,08	7,16	Relatief	0 dB	False	0,80	0,80	0,80	0,80	0,80	0,80	0,80	0,80	0,80
0150100000037656		6,99	6,78	Relatief	0 dB	False	0,80	0,80	0,80	0,80	0,80	0,80	0,80	0,80	0,80
0150100000056816		9,15	7,01	Relatief	0 dB	False	0,80	0,80	0,80	0,80	0,80	0,80	0,80	0,80	0,80
0150100000023971		9,16	6,79	Relatief	0 dB	False	0,80	0,80	0,80	0,80	0,80	0,80	0,80	0,80	0,80
0150100000020335		9,60	7,77	Relatief	0 dB	False	0,80	0,80	0,80	0,80	0,80	0,80	0,80	0,80	0,80
0150100000039492		8,86	6,40	Relatief	0 dB	False	0,80	0,80	0,80	0,80	0,80	0,80	0,80	0,80	0,80
0150100000059280		7,66	7,23	Relatief	0 dB	False	0,80	0,80	0,80	0,80	0,80	0,80	0,80	0,80	0,80
0150100000016610		8,33	7,29	Relatief	0 dB	False	0,80	0,80	0,80	0,80	0,80	0,80	0,80	0,80	0,80
0150100000018259		9,32	7,05	Relatief	0 dB	False	0,80	0,80	0,80	0,80	0,80	0,80	0,80	0,80	0,80
0150100000015927		8,95	6,29	Relatief	0 dB	False	0,80	0,80	0,80	0,80	0,80	0,80	0,80	0,80	0,80
0150100000018430		7,57	7,68	Relatief	0 dB	False	0,80	0,80	0,80	0,80	0,80	0,80	0,80	0,80	0,80
0150100000019614		9,07	7,82	Relatief	0 dB	False	0,80	0,80	0,80	0,80	0,80	0,80	0,80	0,80	0,80
0150100000016144		8,80	7,75	Relatief	0 dB	False	0,80	0,80	0,80	0,80	0,80	0,80	0,80	0,80	0,80
0150100000059026		9,34	7,09	Relatief	0 dB	False	0,80	0,80	0,80	0,80	0,80	0,80	0,80	0,80	0,80
0150100000040637		10,08	6,44	Relatief	0 dB	False	0,80	0,80	0,80	0,80	0,80	0,80	0,80	0,80	0,80
0150100000023594		9,06	6,73	Relatief	0 dB	False	0,80	0,80	0,80	0,80	0,80	0,80	0,80	0,80	0,80
0150100000023079		8,31	6,78	Relatief	0 dB	False	0,80	0,80	0,80	0,80	0,80	0,80	0,80	0,80	0,80
0150100000023387		8,47	6,80	Relatief	0 dB	False	0,80	0,80	0,80	0,80	0,80	0,80	0,80	0,80	0,80
0150100000021048		8,49	8,03	Relatief	0 dB	False	0,80	0,80	0,80	0,80	0,80	0,80	0,80	0,80	0,80
0150100000016086		7,61	7,24	Relatief	0 dB	False	0,80	0,80	0,80	0,80	0,80	0,80	0,80	0,80	0,80
0150100000023570		8,66	6,66	Relatief	0 dB	False	0,80	0,80	0,80	0,80	0,80	0,80	0,80	0,80	0,80
0150100000039897		9,00	6,43	Relatief	0 dB	False	0,80	0,80	0,80	0,80	0,80	0,80	0,80	0,80	0,80
0150100000023944		8,66	6,91	Relatief	0 dB	False	0,80	0,80	0,80	0,80	0,80	0,80	0,80	0,80	0,80
0150100000017311		8,36	7,69	Relatief	0 dB	False	0,80	0,80	0,80	0,80	0,80	0,80	0,80	0,80	0,80
0150100000020494		8,33	7,89	Relatief	0 dB	False	0,80	0,80	0,80	0,80	0,80	0,80	0,80	0,80	0,80
0150100000019951		7,29	7,63	Relatief	0 dB	False	0,80	0,80	0,80	0,80	0,80	0,80	0,80	0,80	0,80
0150100000023401		8,37	6,24	Relatief	0 dB	False	0,80	0,80	0,80	0,80	0,80	0,80	0,80	0,80	0,80
0150100000022319		6,69	7,43	Relatief	0 dB	False	0,80	0,80	0,80	0,80	0,80	0,80	0,80	0,80	0,80
0150100000021940		5,56	7,26	Relatief	0 dB	False	0,80	0,80	0,80	0,80	0,80	0,80	0,80	0,80	0,80
0150100000037643		6,17	6,44	Relatief	0 dB	False	0,80	0,80	0,80	0,80	0,80	0,80	0,80	0,80	0,80
0150100000023950		8,16	6,65	Relatief	0 dB	False	0,80	0,80	0,80	0,80	0,80	0,80	0,80	0,80	0,80
0150100000040457		9,42	6,42	Relatief	0 dB	False	0,80	0,80	0,80	0,80	0,80	0,80	0,80	0,80	0,80
0150100000022527		8,86	7,26	Relatief	0 dB	False	0,80	0,80	0,80	0,80	0,80	0,80	0,80	0,80	0,80
0150100000019632		9,38	7,65	Relatief	0 dB	False	0,80	0,80	0,80	0,80	0,80	0,80	0,80	0,80	0,80
0150100000016091		7,28	7,12	Relatief	0 dB	False	0,80	0,80	0,80	0,80	0,80	0,80	0,80	0,80	0,80
0150100000015899		9,32	6,86	Relatief	0 dB	False	0,80	0,80	0,80	0,80	0,80	0,80	0,80	0,80	0,80
0150100000015992		7,55	7,74	Relatief	0 dB	False	0,80	0,80	0,80	0,80	0,80	0,80	0,80	0,80	0,80
0150100000020703		8,74	7,57	Relatief	0 dB	False	0,80	0,80	0,80	0,80	0,80	0,80	0,80	0,80	0,80
0150100000023582		8,67	6,91	Relatief	0 dB	False	0,80	0,80	0,80	0,80	0,80	0,80	0,80	0,80	0,80
0150100000039854		6,74	6,66	Relatief	0 dB	False	0,80	0,80	0,80	0,80	0,80	0,80	0,80	0,80	0,80
0150100000023952		7,27	6,65	Relatief	0 dB	False	0,80	0,80	0,80	0,80	0,80	0,80	0,80	0,80	0,80
0150100000022885		7,56	7,21	Relatief	0 dB	False	0,80	0,80	0,80	0,80	0,80	0,80	0,80	0,80	0,80
0150100000039473		6,65	6,47	Relatief	0 dB	False	0,80	0,80	0,80	0,80	0,80	0,80	0,80	0,80	0,80
0150100000018581		9,61	7,02	Relatief	0 dB	False	0,80	0,80	0,80	0,80	0,80	0,80	0,80	0,80	0,80
0150100000039872		7,10	6,41	Relatief	0 dB	False	0,80	0,80	0,80	0,80	0,80	0,80	0,80	0,80	0,80
0150100000040082		8,35	6,42	Relatief	0 dB	False	0,80	0,80	0,80	0,80	0,80	0,80	0,80	0,80	0,80
0150100000016143		7,15	7,64	Relatief	0 dB	False	0,80	0,80	0,80	0,80	0,80	0,80	0,80	0,80	0,80
0150100000058489		8,21	6,54	Relatief	0 dB	False	0,80	0,80	0,80	0,80	0,80	0,80	0,80	0,80	0,80
0150100000023395		8,72	6,81	Relatief	0 dB	False	0,80	0,80	0,80	0,80	0,80	0,80	0,80	0,80	0,80
0150100000022777		8,79	6,55	Relatief	0 dB	False	0,80	0,80	0,80	0,80	0,80	0,80	0,80	0,80	0,80
0150100000017282		9,15	6,67	Relatief	0 dB	False	0,80	0,80	0,80	0,80	0,80	0,80	0,80	0,80	0,80
0150100000041943		9,53	6,90	Relatief	0 dB	False	0,80	0,80	0,80	0,80	0,80	0,80	0,80	0,80	0,80
0150100000020690		8,41	7,86	Relatief	0 dB	False	0,80	0,80	0,80	0,80	0,80	0,80	0,80	0,80	0,80
0150100000040462		9,45	6,42	Relatief	0 dB	False	0,80	0,80	0,80	0,80	0,80	0,80	0,80	0,80	0,80
0150100000018249		10,47	7,05	Relatief	0 dB	False	0,80	0,80	0,80	0,80	0,80	0,80	0,80	0,80	0,80
0150100000016063		7,39	7,10	Relatief	0 dB	False	0,80	0,80	0,80	0,80	0,80	0,80	0,80	0,80	0,80
0150100000039513		7,21	6,40	Relatief	0 dB	False	0,80	0,80	0,80	0,80	0,80	0,80	0,80	0,80	0,80
0150100000015996		7,41	7,59	Relatief	0 dB	False	0,80	0,80	0,80	0,80	0,80	0,80	0,80	0,80	0,80
0150100000022703		7,77	7,15	Relatief	0 dB	False	0,80	0,80	0,80	0,80	0,80	0,80	0,80	0,80	0,80
0150100000022871		7,77	7,14	Relatief	0 dB	False	0,80	0,80	0,80	0,80	0,80	0,80	0,80	0,80	0,80
0150100000022874		8,48	6,84	Relatief	0 dB	False	0,80	0,80	0,80	0,80	0,80	0,80	0,80	0,80	0,80
0150100000035416		7,08	6,41	Relatief	0 dB	False	0,80	0,80	0,80	0,80	0,80	0,80	0,80	0,80	0,80
0150100000017925		5,86	7,26	Relatief	0 dB	False	0,80	0,80	0,80	0,80	0,80	0,80	0,80	0,80	0,80
0150100000018436		8,34	7,83	Relatief	0 dB	False	0,80	0,80	0,80	0,80	0,80	0,80	0,80	0,80	0,80
0150100000023933		9,99	6,69	Relatief	0 dB	False	0,80	0,80	0,80	0,80	0,80	0,80	0,80	0,80	0,80
0150100000023587		8,66	6,91	Relatief	0 dB	False	0,80	0,80	0,80	0,80	0,80	0,80	0,80	0,80	0,80
0150100000018250		8,57	7,02	Relatief	0 dB	False	0,80	0,80	0,80	0,80	0,80	0,80	0,80	0,80	0,80
0150100000037979		8,04	7,27	Relatief	0 dB	False	0,80	0,80	0,80	0,80	0,80	0,80	0,80	0,80	0,80
0150100000016591		8,11	7,31	Relatief	0 dB	False	0,80	0,80	0,80	0,80	0,80	0,80	0,80	0,80	0,80
0150100000041399		8,50	8,00	Relatief	0 dB	False	0,80	0,80	0,80						

Bijlage II Invoergegevens rekenmodel (Geomilieu)

Model: Wegverkeersmodel
 Geestruidelocatie - Kleine berekeningen
 Groep: (hoofdgroep)
 Lijst van Gebouwen, voor rekenmethode Wegverkeerslawaa - RMW-2012

Naam	Omschr.	Hoogte	Maalveld	Hdef.	Gebruiksfunctie	Cp	Zwevend	Refl. 63	Refl. 125	Refl. 250	Refl. 500	Refl. 1k	Refl. 2k	Refl. 4k	Refl. 8k
0150100000023240		9,10	6,37	Relatief	0 dB	False	0,80	0,80	0,80	0,80	0,80	0,80	0,80	0,80	0,80
0150100000058969		5,70	8,22	Relatief	0 dB	False	0,80	0,80	0,80	0,80	0,80	0,80	0,80	0,80	0,80
0150100000018265		8,47	7,05	Relatief	0 dB	False	0,80	0,80	0,80	0,80	0,80	0,80	0,80	0,80	0,80
0150100000018089		10,29	6,44	Relatief	0 dB	False	0,80	0,80	0,80	0,80	0,80	0,80	0,80	0,80	0,80
0150100000023565		8,67	6,58	Relatief	0 dB	False	0,80	0,80	0,80	0,80	0,80	0,80	0,80	0,80	0,80
0150100000017606		8,57	6,31	Relatief	0 dB	False	0,80	0,80	0,80	0,80	0,80	0,80	0,80	0,80	0,80
0150100000015916		8,03	6,32	Relatief	0 dB	False	0,80	0,80	0,80	0,80	0,80	0,80	0,80	0,80	0,80
0150100000023053		7,42	7,21	Relatief	0 dB	False	0,80	0,80	0,80	0,80	0,80	0,80	0,80	0,80	0,80
0150100000017270		6,27	6,81	Relatief	0 dB	False	0,80	0,80	0,80	0,80	0,80	0,80	0,80	0,80	0,80
0150100000017912		7,06	7,03	Relatief	0 dB	False	0,80	0,80	0,80	0,80	0,80	0,80	0,80	0,80	0,80
0150100000048888		9,01	6,38	Relatief	0 dB	False	0,80	0,80	0,80	0,80	0,80	0,80	0,80	0,80	0,80
0150100000048232		8,30	6,91	Relatief	0 dB	False	0,80	0,80	0,80	0,80	0,80	0,80	0,80	0,80	0,80
0150100000021939		8,04	7,25	Relatief	0 dB	False	0,80	0,80	0,80	0,80	0,80	0,80	0,80	0,80	0,80
0150100000023388		9,22	6,86	Relatief	0 dB	False	0,80	0,80	0,80	0,80	0,80	0,80	0,80	0,80	0,80
0150100000016256		8,93	7,25	Relatief	0 dB	False	0,80	0,80	0,80	0,80	0,80	0,80	0,80	0,80	0,80
0150100000022684		7,56	7,25	Relatief	0 dB	False	0,80	0,80	0,80	0,80	0,80	0,80	0,80	0,80	0,80
0150100000023073		10,12	6,78	Relatief	0 dB	False	0,80	0,80	0,80	0,80	0,80	0,80	0,80	0,80	0,80
0150100000017610		8,68	6,54	Relatief	0 dB	False	0,80	0,80	0,80	0,80	0,80	0,80	0,80	0,80	0,80
0150100000023936		8,55	6,91	Relatief	0 dB	False	0,80	0,80	0,80	0,80	0,80	0,80	0,80	0,80	0,80
0150100000039689		7,17	6,37	Relatief	0 dB	False	0,80	0,80	0,80	0,80	0,80	0,80	0,80	0,80	0,80
0150100000023235		8,44	6,35	Relatief	0 dB	False	0,80	0,80	0,80	0,80	0,80	0,80	0,80	0,80	0,80
0150100000023238		9,26	6,31	Relatief	0 dB	False	0,80	0,80	0,80	0,80	0,80	0,80	0,80	0,80	0,80
0150100000040436		8,51	6,40	Relatief	0 dB	False	0,80	0,80	0,80	0,80	0,80	0,80	0,80	0,80	0,80
0150100000021952		5,65	7,28	Relatief	0 dB	False	0,80	0,80	0,80	0,80	0,80	0,80	0,80	0,80	0,80
0150100000041932		7,97	7,27	Relatief	0 dB	False	0,80	0,80	0,80	0,80	0,80	0,80	0,80	0,80	0,80
0150100000039873		6,81	6,43	Relatief	0 dB	False	0,80	0,80	0,80	0,80	0,80	0,80	0,80	0,80	0,80
0150100000016161		8,77	7,64	Relatief	0 dB	False	0,80	0,80	0,80	0,80	0,80	0,80	0,80	0,80	0,80
0150100000022702		10,83	6,86	Relatief	0 dB	False	0,80	0,80	0,80	0,80	0,80	0,80	0,80	0,80	0,80
0150100000020523		7,88	7,90	Relatief	0 dB	False	0,80	0,80	0,80	0,80	0,80	0,80	0,80	0,80	0,80
0150100000023938		8,61	6,91	Relatief	0 dB	False	0,80	0,80	0,80	0,80	0,80	0,80	0,80	0,80	0,80
0150100000018714		7,05	7,63	Relatief	0 dB	False	0,80	0,80	0,80	0,80	0,80	0,80	0,80	0,80	0,80
0150100000023595		8,00	6,75	Relatief	0 dB	False	0,80	0,80	0,80	0,80	0,80	0,80	0,80	0,80	0,80
0150100000040620		9,30	6,36	Relatief	0 dB	False	0,80	0,80	0,80	0,80	0,80	0,80	0,80	0,80	0,80
0150100000018428		7,80	8,01	Relatief	0 dB	False	0,80	0,80	0,80	0,80	0,80	0,80	0,80	0,80	0,80
0150100000015898		7,84	6,32	Relatief	0 dB	False	0,80	0,80	0,80	0,80	0,80	0,80	0,80	0,80	0,80
0150100000041931		7,95	7,27	Relatief	0 dB	False	0,80	0,80	0,80	0,80	0,80	0,80	0,80	0,80	0,80
0150100000021958		5,55	7,18	Relatief	0 dB	False	0,80	0,80	0,80	0,80	0,80	0,80	0,80	0,80	0,80
0150100000039510		6,54	6,42	Relatief	0 dB	False	0,80	0,80	0,80	0,80	0,80	0,80	0,80	0,80	0,80
0150100000055684		5,38	7,16	Relatief	0 dB	False	0,80	0,80	0,80	0,80	0,80	0,80	0,80	0,80	0,80
0150100000022150		8,94	7,25	Relatief	0 dB	False	0,80	0,80	0,80	0,80	0,80	0,80	0,80	0,80	0,80
0150100000018075		8,85	6,95	Relatief	0 dB	False	0,80	0,80	0,80	0,80	0,80	0,80	0,80	0,80	0,80
0150100000017746		10,32	7,28	Relatief	0 dB	False	0,80	0,80	0,80	0,80	0,80	0,80	0,80	0,80	0,80
0150100000016590		7,29	7,31	Relatief	0 dB	False	0,80	0,80	0,80	0,80	0,80	0,80	0,80	0,80	0,80
0150100000023033		7,67	7,16	Relatief	0 dB	False	0,80	0,80	0,80	0,80	0,80	0,80	0,80	0,80	0,80
0150100000018703		7,73	7,48	Relatief	0 dB	False	0,80	0,80	0,80	0,80	0,80	0,80	0,80	0,80	0,80
0150100000018584		8,15	7,45	Relatief	0 dB	False	0,80	0,80	0,80	0,80	0,80	0,80	0,80	0,80	0,80
0150100000023205		7,56	7,21	Relatief	0 dB	False	0,80	0,80	0,80	0,80	0,80	0,80	0,80	0,80	0,80
0150100000023932		8,41	6,91	Relatief	0 dB	False	0,80	0,80	0,80	0,80	0,80	0,80	0,80	0,80	0,80
0150100000023389		8,71	6,23	Relatief	0 dB	False	0,80	0,80	0,80	0,80	0,80	0,80	0,80	0,80	0,80
0150100000022706		10,19	6,88	Relatief	0 dB	False	0,80	0,80	0,80	0,80	0,80	0,80	0,80	0,80	0,80
0150100000023074		9,89	6,92	Relatief	0 dB	False	0,80	0,80	0,80	0,80	0,80	0,80	0,80	0,80	0,80
0150100000037502		6,84	6,39	Relatief	0 dB	False	0,80	0,80	0,80	0,80	0,80	0,80	0,80	0,80	0,80
0150100000038204		5,61	6,44	Relatief	0 dB	False	0,80	0,80	0,80	0,80	0,80	0,80	0,80	0,80	0,80
0150100000023206		7,38	7,12	Relatief	0 dB	False	0,80	0,80	0,80	0,80	0,80	0,80	0,80	0,80	0,80
0150100000016606		8,23	7,30	Relatief	0 dB	False	0,80	0,80	0,80	0,80	0,80	0,80	0,80	0,80	0,80
0150100000020860		8,75	7,57	Relatief	0 dB	False	0,80	0,80	0,80	0,80	0,80	0,80	0,80	0,80	0,80
0150100000041541		8,40	8,10	Relatief	0 dB	False	0,80	0,80	0,80	0,80	0,80	0,80	0,80	0,80	0,80
0150100000058967		9,38	7,12	Relatief	0 dB	False	0,80	0,80	0,80	0,80	0,80	0,80	0,80	0,80	0,80
0150100000024139		5,23	6,47	Relatief	0 dB	False	0,80	0,80	0,80	0,80	0,80	0,80	0,80	0,80	0,80
0150100000016149		7,62	7,98	Relatief	0 dB	False	0,80	0,80	0,80	0,80	0,80	0,80	0,80	0,80	0,80
0150100000023591		9,16	6,73	Relatief	0 dB	False	0,80	0,80	0,80	0,80	0,80	0,80	0,80	0,80	0,80
0150100000015139		7,38	7,51	Relatief	0 dB	False	0,80	0,80	0,80	0,80	0,80	0,80	0,80	0,80	0,80
0150100000023775		10,11	7,31	Relatief	0 dB	False	0,80	0,80	0,80	0,80	0,80	0,80	0,80	0,80	0,80
0150100000037816		5,88	6,59	Relatief	0 dB	False	0,80	0,80	0,80	0,80	0,80	0,80	0,80	0,80	0,80
0150100000016945		9,12	7,45	Relatief	0 dB	False	0,80	0,80	0,80	0,80	0,80	0,80	0,80	0,80	0,80
0150100000020142		8,91	7,13	Relatief	0 dB	False	0,80	0,80	0,80	0,80	0,80	0,80	0,80	0,80	0,80
0150100000037648		6,83	6,38	Relatief	0 dB	False	0,80	0,80	0,80	0,80	0,80	0,80	0,80	0,80	0,80
0150100000040719		6,99	6,40	Relatief	0 dB	False	0,80	0,80	0,80	0,80	0,80	0,80	0,80	0,80	0,80
0150100000016172		7,11	7,63	Relatief	0 dB	False	0,80	0,80	0,80	0,80	0,80	0,80	0,80	0,80	0,80
0150100000023592		8,08	6,82	Relatief	0 dB	False	0,80	0,80	0,80	0,80	0,80	0,80	0,80	0,80	0,80
0150100000023211		8,78	6,71	Relatief	0 dB	False	0,80	0,80	0,80	0,80	0,80	0,80	0,80	0,80	0,80
0150100000015921		6,32	6,81	Relatief	0 dB	False	0,80	0,80	0,80	0,80	0,80	0,80	0,80	0,80	0,80
0150100000023382		8,77	6,29	Relatief	0 dB	False	0,80	0,80	0,80	0,80	0,80	0,80	0,80	0,80	0,80
0150100000021202		8,52	8,01	Relatief	0 dB	False	0,80	0,80	0,80	0,80	0,80	0,80	0,80	0,80	0,80
0150100000057934		8,33	6,24	Relatief	0 dB	False	0,80	0,80	0,80	0,80	0,80	0,80	0,80	0,80	0,80
0150100000058968		5,65	8,22	Relatief	0 dB	False	0,80	0,80	0,80	0,80	0,80	0,80	0,80	0,80	0,80
0150100000020697		9,31	7,37	Relatief	0 dB	False	0,80	0,80	0,80	0,80	0,80	0,80	0,80	0,80	0,80
0150100000023032		7,58	7,16	Relatief	0 dB	False	0,80	0,80	0,80	0,80	0,80	0,80	0,80	0,80	0,80
0150100000023203		8,67	6,71	Relatief	0 dB	False	0,80	0,80	0,80	0,80	0,80	0,80	0,80	0,80	0,80
0150100000040425		9,51	6,42	Relatief	0 dB	False	0,80	0,80	0,80	0,80	0,80	0,80	0,80	0,80	0,80
0150100000018921		5,56	7,50	Relatief	0 dB	False	0,80	0,80	0,80						

Bijlage II Invoergegevens rekenmodel (Geomilieu)

Model: Wegverkeersmodel
 Geestrijdelocatie - Kleine berekeningen
 Groep: (hoofdgroep)
 Lijst van Gebouwen, voor rekenmethode Wegverkeerslawaaai - RMW-2012

Naam	Omschr.	Hoogte	Maalveld	Hdef.	Gebruiksfunctie	Cp	Zwevend	Refl. 63	Refl. 125	Refl. 250	Refl. 500	Refl. 1k	Refl. 2k	Refl. 4k	Refl. 8k
0150100000021214		6,63	7,46	Relatief	0 dB	False	0,80	0,80	0,80	0,80	0,80	0,80	0,80	0,80	0,80
0150100000019450		7,58	7,91	Relatief	0 dB	False	0,80	0,80	0,80	0,80	0,80	0,80	0,80	0,80	0,80
0150100000016252		8,64	6,84	Relatief	0 dB	False	0,80	0,80	0,80	0,80	0,80	0,80	0,80	0,80	0,80
0150100000041595		6,69	6,97	Relatief	0 dB	False	0,80	0,80	0,80	0,80	0,80	0,80	0,80	0,80	0,80
0150100000018426		8,64	7,51	Relatief	0 dB	False	0,80	0,80	0,80	0,80	0,80	0,80	0,80	0,80	0,80
0150100000021211		8,05	7,46	Relatief	0 dB	False	0,80	0,80	0,80	0,80	0,80	0,80	0,80	0,80	0,80
0150100000023040		7,24	7,13	Relatief	0 dB	False	0,80	0,80	0,80	0,80	0,80	0,80	0,80	0,80	0,80
0150100000018570		9,15	7,05	Relatief	0 dB	False	0,80	0,80	0,80	0,80	0,80	0,80	0,80	0,80	0,80
0150100000016056		8,93	6,55	Relatief	0 dB	False	0,80	0,80	0,80	0,80	0,80	0,80	0,80	0,80	0,80
0150100000037495		6,96	6,41	Relatief	0 dB	False	0,80	0,80	0,80	0,80	0,80	0,80	0,80	0,80	0,80
0150100000039878		7,34	6,44	Relatief	0 dB	False	0,80	0,80	0,80	0,80	0,80	0,80	0,80	0,80	0,80
0150100000017945		5,51	6,97	Relatief	0 dB	False	0,80	0,80	0,80	0,80	0,80	0,80	0,80	0,80	0,80
0150100000017619		8,67	6,56	Relatief	0 dB	False	0,80	0,80	0,80	0,80	0,80	0,80	0,80	0,80	0,80
0150100000039509		7,00	6,42	Relatief	0 dB	False	0,80	0,80	0,80	0,80	0,80	0,80	0,80	0,80	0,80
0150100000018262		8,75	7,01	Relatief	0 dB	False	0,80	0,80	0,80	0,80	0,80	0,80	0,80	0,80	0,80
0150100000023227		9,39	6,80	Relatief	0 dB	False	0,80	0,80	0,80	0,80	0,80	0,80	0,80	0,80	0,80
0150100000051310		6,79	7,16	Relatief	0 dB	False	0,80	0,80	0,80	0,80	0,80	0,80	0,80	0,80	0,80
0150100000015906		8,86	6,62	Relatief	0 dB	False	0,80	0,80	0,80	0,80	0,80	0,80	0,80	0,80	0,80
0150100000017922		6,10	7,14	Relatief	0 dB	False	0,80	0,80	0,80	0,80	0,80	0,80	0,80	0,80	0,80
0150100000016269		7,44	7,23	Relatief	0 dB	False	0,80	0,80	0,80	0,80	0,80	0,80	0,80	0,80	0,80
0150100000018582		7,36	7,24	Relatief	0 dB	False	0,80	0,80	0,80	0,80	0,80	0,80	0,80	0,80	0,80
0150100000036950		8,93	6,44	Relatief	0 dB	False	0,80	0,80	0,80	0,80	0,80	0,80	0,80	0,80	0,80
0150100000023024		7,71	7,16	Relatief	0 dB	False	0,80	0,80	0,80	0,80	0,80	0,80	0,80	0,80	0,80
0150100000037631		6,51	6,41	Relatief	0 dB	False	0,80	0,80	0,80	0,80	0,80	0,80	0,80	0,80	0,80
0150100000022867		7,67	7,17	Relatief	0 dB	False	0,80	0,80	0,80	0,80	0,80	0,80	0,80	0,80	0,80
0150100000049055		16,07	6,44	Relatief	0 dB	False	0,80	0,80	0,80	0,80	0,80	0,80	0,80	0,80	0,80
0150100000022328		6,80	7,43	Relatief	0 dB	False	0,80	0,80	0,80	0,80	0,80	0,80	0,80	0,80	0,80
0150100000022516		10,64	6,90	Relatief	0 dB	False	0,80	0,80	0,80	0,80	0,80	0,80	0,80	0,80	0,80
0150100000023784		7,61	7,04	Relatief	0 dB	False	0,80	0,80	0,80	0,80	0,80	0,80	0,80	0,80	0,80
0150100000019055		9,74	7,75	Relatief	0 dB	False	0,80	0,80	0,80	0,80	0,80	0,80	0,80	0,80	0,80
0150100000039696		7,16	6,38	Relatief	0 dB	False	0,80	0,80	0,80	0,80	0,80	0,80	0,80	0,80	0,80
0150100000018256		5,97	7,66	Relatief	0 dB	False	0,80	0,80	0,80	0,80	0,80	0,80	0,80	0,80	0,80
0150100000023397		8,35	6,33	Relatief	0 dB	False	0,80	0,80	0,80	0,80	0,80	0,80	0,80	0,80	0,80
0150100000020685		8,36	7,90	Relatief	0 dB	False	0,80	0,80	0,80	0,80	0,80	0,80	0,80	0,80	0,80
0150100000023601		8,34	6,91	Relatief	0 dB	False	0,80	0,80	0,80	0,80	0,80	0,80	0,80	0,80	0,80
0150100000017615		8,73	6,56	Relatief	0 dB	False	0,80	0,80	0,80	0,80	0,80	0,80	0,80	0,80	0,80
0150100000023220		7,61	7,21	Relatief	0 dB	False	0,80	0,80	0,80	0,80	0,80	0,80	0,80	0,80	0,80
0150100000018566		8,66	7,93	Relatief	0 dB	False	0,80	0,80	0,80	0,80	0,80	0,80	0,80	0,80	0,80
0150100000023568		8,62	6,58	Relatief	0 dB	False	0,80	0,80	0,80	0,80	0,80	0,80	0,80	0,80	0,80
0150100000055682		5,40	7,17	Relatief	0 dB	False	0,80	0,80	0,80	0,80	0,80	0,80	0,80	0,80	0,80
0150100000023400		8,59	6,80	Relatief	0 dB	False	0,80	0,80	0,80	0,80	0,80	0,80	0,80	0,80	0,80
0150100000021057		8,49	8,01	Relatief	0 dB	False	0,80	0,80	0,80	0,80	0,80	0,80	0,80	0,80	0,80
0150100000057826		7,21	7,78	Relatief	0 dB	False	0,80	0,80	0,80	0,80	0,80	0,80	0,80	0,80	0,80
0150100000022872		7,28	7,10	Relatief	0 dB	False	0,80	0,80	0,80	0,80	0,80	0,80	0,80	0,80	0,80
0150100000017743		8,62	6,64	Relatief	0 dB	False	0,80	0,80	0,80	0,80	0,80	0,80	0,80	0,80	0,80
0150100000022647		7,11	6,54	Relatief	0 dB	False	0,80	0,80	0,80	0,80	0,80	0,80	0,80	0,80	0,80
0150100000023583		8,24	7,12	Relatief	0 dB	False	0,80	0,80	0,80	0,80	0,80	0,80	0,80	0,80	0,80
0150100000018112		5,35	6,87	Relatief	0 dB	False	0,80	0,80	0,80	0,80	0,80	0,80	0,80	0,80	0,80
0150100000022333		10,30	7,05	Relatief	0 dB	False	0,80	0,80	0,80	0,80	0,80	0,80	0,80	0,80	0,80
0150100000023598		8,18	6,75	Relatief	0 dB	False	0,80	0,80	0,80	0,80	0,80	0,80	0,80	0,80	0,80
0150100000022857		7,45	7,21	Relatief	0 dB	False	0,80	0,80	0,80	0,80	0,80	0,80	0,80	0,80	0,80
0150100000022831		7,02	6,78	Relatief	0 dB	False	0,80	0,80	0,80	0,80	0,80	0,80	0,80	0,80	0,80
0150100000023416		8,59	6,58	Relatief	0 dB	False	0,80	0,80	0,80	0,80	0,80	0,80	0,80	0,80	0,80
0150100000021031		8,15	7,49	Relatief	0 dB	False	0,80	0,80	0,80	0,80	0,80	0,80	0,80	0,80	0,80
0150100000018078		11,36	6,84	Relatief	0 dB	False	0,80	0,80	0,80	0,80	0,80	0,80	0,80	0,80	0,80
0150100000057828		8,21	7,72	Relatief	0 dB	False	0,80	0,80	0,80	0,80	0,80	0,80	0,80	0,80	0,80
0150100000037649		6,84	6,38	Relatief	0 dB	False	0,80	0,80	0,80	0,80	0,80	0,80	0,80	0,80	0,80
0150100000021033		9,45	8,04	Relatief	0 dB	False	0,80	0,80	0,80	0,80	0,80	0,80	0,80	0,80	0,80
0150100000018507		9,12	7,77	Relatief	0 dB	False	0,80	0,80	0,80	0,80	0,80	0,80	0,80	0,80	0,80
0150100000019639		7,13	7,63	Relatief	0 dB	False	0,80	0,80	0,80	0,80	0,80	0,80	0,80	0,80	0,80
0150100000037640		6,47	6,44	Relatief	0 dB	False	0,80	0,80	0,80	0,80	0,80	0,80	0,80	0,80	0,80
0150100000035607		7,51	6,43	Relatief	0 dB	False	0,80	0,80	0,80	0,80	0,80	0,80	0,80	0,80	0,80
0150100000021178		9,11	7,79	Relatief	0 dB	False	0,80	0,80	0,80	0,80	0,80	0,80	0,80	0,80	0,80
0150100000015915		8,06	6,32	Relatief	0 dB	False	0,80	0,80	0,80	0,80	0,80	0,80	0,80	0,80	0,80
0150100000039478		6,82	6,38	Relatief	0 dB	False	0,80	0,80	0,80	0,80	0,80	0,80	0,80	0,80	0,80
0150100000023405		9,32	6,86	Relatief	0 dB	False	0,80	0,80	0,80	0,80	0,80	0,80	0,80	0,80	0,80
0150100000023043		7,48	7,21	Relatief	0 dB	False	0,80	0,80	0,80	0,80	0,80	0,80	0,80	0,80	0,80
0150100000022148		8,10	7,25	Relatief	0 dB	False	0,80	0,80	0,80	0,80	0,80	0,80	0,80	0,80	0,80
0150100000022698		7,52	7,25	Relatief	0 dB	False	0,80	0,80	0,80	0,80	0,80	0,80	0,80	0,80	0,80
0150100000019802		7,29	7,63	Relatief	0 dB	False	0,80	0,80	0,80	0,80	0,80	0,80	0,80	0,80	0,80
0150100000018553		9,22	7,23	Relatief	0 dB	False	0,80	0,80	0,80	0,80	0,80	0,80	0,80	0,80	0,80
0150100000022126		8,91	7,02	Relatief	0 dB	False	0,80	0,80	0,80	0,80	0,80	0,80	0,80	0,80	0,80
0150100000022894		7,79	6,89	Relatief	0 dB	False	0,80	0,80	0,80	0,80	0,80	0,80	0,80	0,80	0,80
0150100000023955		7,89	6,75	Relatief	0 dB	False	0,80	0,80	0,80	0,80	0,80	0,80	0,80	0,80	0,80
0150100000023763		8,64	6,56	Relatief	0 dB	False	0,80	0,80	0,80	0,80	0,80	0,80	0,80	0,80	0,80
0150100000037982		9,72	7,12	Relatief	0 dB	False	0,80	0,80	0,80	0,80	0,80	0,80	0,80	0,80	0,80
0150100000017269		9,29	6,75	Relatief	0 dB	False	0,80	0,80	0,80	0,80	0,80	0,80	0,80	0,80	0,80
0150100000040801		8,90	6,38	Relatief	0 dB	False	0,80	0,80	0,80	0,80	0,80	0,80	0,80	0,80	0,80
0150100000040798		9,10	6,38	Relatief	0 dB	False	0,80	0,80	0,80	0,80	0,80	0,80	0,80	0,80	0,80
0150100000016593		8,66	7,22	Relatief	0 dB	False	0,80	0,80	0,80	0,80	0,80	0,80	0,80	0,80	0,80
0150100000019808		7,17	7,63	Relatief	0 dB	False	0,80	0,80	0,80</						

Bijlage II Invoergegevens rekenmodel (Geomilieu)

Model: Wegverkeermodel
 Geotruidelocatie - Kleine berekeningen
 Groep: (hoofdgroep)
 Lijst van Gebouwen, voor rekenmethode Wegverkeerslawaaai - RMW-2012

Naam	Omschr.	Hoogte	MaaiVELd	Hdef.	Gebruiksfunctie	Cp	Zwevend	Refl. 63	Refl. 125	Refl. 250	Refl. 500	Refl. 1k	Refl. 2k	Refl. 4k	Refl. 8k
0150100000023217		8,54	6,71	Relatief		0	db	False	0,80	0,80	0,80	0,80	0,80	0,80	0,80
0150100000023077		8,26	6,90	Relatief		0	db	False	0,80	0,80	0,80	0,80	0,80	0,80	0,80
0150100000018084		11,11	6,88	Relatief		0	db	False	0,80	0,80	0,80	0,80	0,80	0,80	0,80
0150100000023970		7,94	6,54	Relatief		0	db	False	0,80	0,80	0,80	0,80	0,80	0,80	0,80
0150100000023031		7,23	7,10	Relatief		0	db	False	0,80	0,80	0,80	0,80	0,80	0,80	0,80
0150100000021055		9,40	7,24	Relatief		0	db	False	0,80	0,80	0,80	0,80	0,80	0,80	0,80
0150100000023383		8,45	6,64	Relatief		0	db	False	0,80	0,80	0,80	0,80	0,80	0,80	0,80
0150100000040841		9,75	6,36	Relatief		0	db	False	0,80	0,80	0,80	0,80	0,80	0,80	0,80
0150100000023584		8,61	6,91	Relatief		0	db	False	0,80	0,80	0,80	0,80	0,80	0,80	0,80
0150100000037815		11,94	6,88	Relatief		0	db	False	0,80	0,80	0,80	0,80	0,80	0,80	0,80
0150100000023023		10,21	6,90	Relatief		0	db	False	0,80	0,80	0,80	0,80	0,80	0,80	0,80
0150100000040231		10,97	6,41	Relatief		0	db	False	0,80	0,80	0,80	0,80	0,80	0,80	0,80
0150100000023773		8,14	6,85	Relatief		0	db	False	0,80	0,80	0,80	0,80	0,80	0,80	0,80
0150100000018555		6,87	7,43	Relatief		0	db	False	0,80	0,80	0,80	0,80	0,80	0,80	0,80
0150100000022870		8,48	6,84	Relatief		0	db	False	0,80	0,80	0,80	0,80	0,80	0,80	0,80
0150100000035403		6,69	6,39	Relatief		0	db	False	0,80	0,80	0,80	0,80	0,80	0,80	0,80
0150100000039706		7,15	6,38	Relatief		0	db	False	0,80	0,80	0,80	0,80	0,80	0,80	0,80
0150100000018918		6,77	7,45	Relatief		0	db	False	0,80	0,80	0,80	0,80	0,80	0,80	0,80
0150100000016336		8,94	7,86	Relatief		0	db	False	0,80	0,80	0,80	0,80	0,80	0,80	0,80
0150100000023563		8,26	6,84	Relatief		0	db	False	0,80	0,80	0,80	0,80	0,80	0,80	0,80
0150100000041512		9,99	6,86	Relatief		0	db	False	0,80	0,80	0,80	0,80	0,80	0,80	0,80
0150100000018079		10,06	6,86	Relatief		0	db	False	0,80	0,80	0,80	0,80	0,80	0,80	0,80
0150100000017607		8,68	6,31	Relatief		0	db	False	0,80	0,80	0,80	0,80	0,80	0,80	0,80
0150100000023419		9,29	6,33	Relatief		0	db	False	0,80	0,80	0,80	0,80	0,80	0,80	0,80
0150100000016092		7,24	7,12	Relatief		0	db	False	0,80	0,80	0,80	0,80	0,80	0,80	0,80

Bijlage II Invoergegevens rekenmodel (Geomilieu)

Model: Wegverkeermodel
 Geestruidelocatie - Kleine berekeningen
 Groep: (hoofdgroep)
 Lijst van Hoogtelijnen, voor rekenmethode Wegverkeerslawaaï - RMW-2012

Naam	Omschr.	ISO_H
01		6,76
02		6,85
03		5,87
04		7,27
05		7,27
06		7,59
07		7,24
08		7,08
09		7,42
10		7,42
11		7,42
12		7,18
13		6,54
14		6,54
15		6,46
16		6,54
17		6,86
18		6,62
19		6,75
20		7,39
21		6,59
22		6,75
23		6,91
24		6,91
25		6,75
26		7,32
27		6,94
28		6,86
29		6,13
30		7,19
31		6,71
32		6,31
33		6,47
34		7,66
35		7,66
36		7,58
37		7,74
38		8,06
39		8,22
40		7,66
41		7,64
42		7,88
43		7,09
44		7,33
45		6,93
46		6,77
47		6,36
48		7,32
49		6,44
50		6,44
51		6,44
52		6,36
53		6,36
54		6,44
55		6,81
56		6,41
57		6,35
58		4,80
59		7,32
60		7,32
61		7,34
62		7,34

Bijlage III	Rekenresultaten wegverkeerslawaai
Bijlage III-1	Rekenresultaten Ceintuurbaan
Bijlage III-2	Rekenresultaten Brinkgreverweg
Bijlage III-3	Rekenresultaten Hoge Hondstraat
Bijlage III-4	Rekenresultaten N337 (Van Oldenielstraat)
Bijlage III-5	Rekenresultaten H.J.P. Fesevurstraat
Bijlage III-6	Rekenresultaten Van Calcarstraat
Bijlage III-7	Rekenresultaten H.G. Gooszenstraat
Bijlage III-8	Totale geluidbelasting wegverkeerslawaai

Bijlage III-1 Rekenresultaten Ceintuurbaan

Rapport: Resultatentabel
 Model: Kopie van Wegverkeermodel
 LAeq totaalresultaten voor toetspunten
 Groep: Ceintuurbaan
 Groepsreductie: Ja

Naam	Toetspunt	Omschrijving	Hoogte	Dag	Avond	Nacht	Lden
	01_01_A	Cluster 1	1,50	17,8	14,5	7,9	18,2
	01_01_B	Cluster 1	4,50	18,7	15,4	8,8	19,1
	01_01_C	Cluster 1	7,50	19,5	16,2	9,6	19,9
	01_02_A	Cluster 1	1,50	17,3	14,0	7,4	17,7
	01_02_B	Cluster 1	4,50	18,5	15,1	8,6	18,8
	01_02_C	Cluster 1	7,50	19,3	16,0	9,5	19,7
	01_03_A	Cluster 1	1,50	17,5	14,2	7,7	17,9
	01_03_B	Cluster 1	4,50	19,1	15,8	9,3	19,5
	01_03_C	Cluster 1	7,50	20,2	16,9	10,3	20,6
	01_04_A	Cluster 1	1,50	17,7	14,3	7,8	18,0
	01_04_B	Cluster 1	4,50	19,0	15,7	9,1	19,4
	01_04_C	Cluster 1	7,50	20,2	16,8	10,3	20,5
	01_05_A	Cluster 1	1,50	18,2	14,8	8,3	18,5
	01_05_B	Cluster 1	4,50	19,6	16,3	9,8	20,0
	01_05_C	Cluster 1	7,50	20,4	17,1	10,6	20,8
	01_06_A	Cluster 1	1,50	22,2	18,8	12,3	22,5
	01_06_B	Cluster 1	4,50	23,5	20,1	13,6	23,8
	01_06_C	Cluster 1	7,50	25,5	22,1	15,6	25,8
	01_07_A	Cluster 1	1,50	21,8	18,4	11,9	22,1
	01_07_B	Cluster 1	4,50	23,1	19,8	13,2	23,5
	01_07_C	Cluster 1	7,50	24,4	21,1	14,6	24,8
	01_08_A	Cluster 1	1,50	17,9	14,6	8,1	18,3
	01_08_B	Cluster 1	4,50	19,4	16,0	9,5	19,8
	01_08_C	Cluster 1	7,50	20,6	17,3	10,7	21,0
	01_09_A	Cluster 1	1,50	17,7	14,3	7,8	18,0
	01_09_B	Cluster 1	4,50	19,4	16,1	9,6	19,8
	01_09_C	Cluster 1	7,50	21,3	18,0	11,5	21,7
	01_10_A	Cluster 1	1,50	17,2	13,9	7,3	17,6
	01_10_B	Cluster 1	4,50	18,6	15,2	8,7	19,0
	01_10_C	Cluster 1	7,50	19,6	16,2	9,7	19,9
	01_100_A	Cluster 1	1,50	22,0	18,7	12,1	22,4
	01_100_B	Cluster 1	4,50	23,6	20,3	13,8	24,0
	01_100_C	Cluster 1	7,50	27,9	24,7	18,1	28,4
	01_101_A	Cluster 1	1,50	22,7	19,4	12,9	23,1
	01_101_B	Cluster 1	4,50	24,3	21,0	14,5	24,7
	01_101_C	Cluster 1	7,50	27,9	24,6	18,0	28,3
	01_11_A	Cluster 1	1,50	17,4	14,1	7,6	17,8
	01_11_B	Cluster 1	4,50	18,8	15,4	8,9	19,1
	01_11_C	Cluster 1	7,50	19,5	16,2	9,7	19,9
	01_12_A	Cluster 1	1,50	17,0	13,7	7,1	17,4
	01_12_B	Cluster 1	4,50	18,5	15,2	8,7	18,9
	01_13_A	Cluster 1	1,50	17,2	13,9	7,4	17,6
	01_13_B	Cluster 1	4,50	18,6	15,2	8,7	18,9
	01_14_A	Cluster 1	1,50	19,1	15,7	9,2	19,4
	01_14_B	Cluster 1	4,50	21,0	17,6	11,1	21,3
	01_15_A	Cluster 1	1,50	19,2	15,9	9,3	19,6
	01_15_B	Cluster 1	4,50	21,0	17,7	11,2	21,4
	01_16_A	Cluster 1	1,50	25,9	22,6	16,1	26,3
	01_16_B	Cluster 1	4,50	26,7	23,5	16,9	27,1
	01_16_C	Cluster 1	7,50	27,4	24,1	17,5	27,8
	01_17_A	Cluster 1	1,50	26,9	23,6	17,0	27,3
	01_17_B	Cluster 1	4,50	27,7	24,4	17,9	28,1
	01_17_C	Cluster 1	7,50	28,5	25,3	18,7	28,9
	01_18_A	Cluster 1	1,50	26,6	23,4	16,8	27,0
	01_18_B	Cluster 1	4,50	27,5	24,3	17,7	27,9
	01_18_C	Cluster 1	7,50	28,5	25,2	18,6	28,9
	01_19_A	Cluster 1	1,50	26,8	23,6	17,0	27,2
	01_19_B	Cluster 1	4,50	27,9	24,6	18,0	28,3
	01_19_C	Cluster 1	7,50	28,9	25,7	19,1	29,3
	01_20_A	Cluster 1	1,50	23,4	20,1	13,5	23,7
	01_20_B	Cluster 1	4,50	24,6	21,3	14,7	24,9
	01_20_C	Cluster 1	7,50	26,8	23,5	16,9	27,1
	01_21_A	Cluster 1	1,50	20,7	17,4	10,8	21,1
	01_21_B	Cluster 1	4,50	22,6	19,3	12,8	23,0
	01_21_C	Cluster 1	7,50	26,0	22,7	16,2	26,4
	01_22_A	Cluster 1	1,50	20,8	17,5	10,9	21,2
	01_22_B	Cluster 1	4,50	23,0	19,7	13,2	23,4
	01_22_C	Cluster 1	7,50	26,9	23,6	17,1	27,3
	01_23_A	Cluster 1	1,50	21,2	17,9	11,3	21,6
	01_23_B	Cluster 1	4,50	25,1	21,8	15,3	25,5
	01_23_C	Cluster 1	7,50	27,3	24,0	17,5	27,7
	01_24_A	Cluster 1	1,50	26,1	22,8	16,2	26,5
	01_24_B	Cluster 1	4,50	28,2	25,0	18,4	28,6
	01_24_C	Cluster 1	7,50	29,7	26,4	19,9	30,1

Alle getoonde dB-waarden zijn A-gewogen

Bijlage III-1 Rekenresultaten Ceintuurbaan

Rapport: Resultatentabel
 Model: Kopie van Wegverkeermodel
 LAeq totaalresultaten voor toetspunten
 Groep: Ceintuurbaan
 Groepsreductie: Ja

Naam	Toetspunt	Omschrijving	Hoogte	Dag	Avond	Nacht	Lden
	01_25_A	Cluster 1	1,50	32,8	29,5	22,9	33,2
	01_25_B	Cluster 1	4,50	33,4	30,1	23,6	33,8
	01_26_A	Cluster 1	1,50	25,1	21,8	15,3	25,5
	01_26_B	Cluster 1	4,50	33,0	29,8	23,2	33,4
	01_27_A	Cluster 1	1,50	33,0	29,7	23,2	33,4
	01_27_B	Cluster 1	4,50	34,5	31,3	24,7	34,9
	01_28_A	Cluster 1	1,50	36,1	32,9	26,3	36,5
	01_28_B	Cluster 1	4,50	37,6	34,4	27,8	38,0
	01_29_A	Cluster 1	1,50	32,5	29,3	22,7	32,9
	01_29_B	Cluster 1	4,50	33,9	30,6	24,1	34,3
	01_29_C	Cluster 1	7,50	35,3	32,0	25,5	35,7
	01_30_A	Cluster 1	1,50	27,9	24,6	18,0	28,3
	01_30_B	Cluster 1	4,50	29,6	26,2	19,7	29,9
	01_30_C	Cluster 1	7,50	31,8	28,5	22,0	32,2
	01_31_A	Cluster 1	1,50	26,7	23,3	16,8	27,0
	01_31_B	Cluster 1	4,50	28,6	25,2	18,7	28,9
	01_31_C	Cluster 1	7,50	31,1	27,8	21,3	31,5
	01_32_A	Cluster 1	1,50	27,1	23,7	17,2	27,5
	01_32_B	Cluster 1	4,50	29,2	25,9	19,4	29,6
	01_32_C	Cluster 1	7,50	32,1	28,8	22,2	32,5
	01_33_A	Cluster 1	1,50	27,1	23,7	17,2	27,4
	01_33_B	Cluster 1	4,50	29,1	25,7	19,2	29,5
	01_33_C	Cluster 1	7,50	31,8	28,4	21,9	32,1
	01_34_A	Cluster 1	1,50	26,9	23,6	17,1	27,3
	01_34_B	Cluster 1	4,50	29,1	25,8	19,3	29,5
	01_34_C	Cluster 1	7,50	32,4	29,2	22,6	32,8
	01_35_A	Cluster 1	1,50	27,0	23,7	17,2	27,4
	01_35_B	Cluster 1	4,50	29,1	25,7	19,2	29,5
	01_35_C	Cluster 1	7,50	32,4	29,1	22,6	32,8
	01_36_A	Cluster 1	1,50	27,1	23,7	17,2	27,5
	01_36_B	Cluster 1	4,50	29,0	25,6	19,1	29,4
	01_36_C	Cluster 1	7,50	31,9	28,6	22,1	32,3
	01_37_A	Cluster 1	1,50	27,1	23,8	17,2	27,5
	01_37_B	Cluster 1	4,50	29,1	25,8	19,2	29,5
	01_38_A	Cluster 1	1,50	27,2	23,8	17,3	27,5
	01_38_B	Cluster 1	4,50	29,2	25,8	19,3	29,5
	01_39_A	Cluster 1	1,50	24,2	20,9	14,3	24,6
	01_39_B	Cluster 1	4,50	25,9	22,6	16,0	26,3
	01_40_A	Cluster 1	1,50	24,4	21,1	14,5	24,8
	01_40_B	Cluster 1	4,50	26,1	22,8	16,2	26,5
	01_41_A	Cluster 1	1,50	23,6	20,3	13,7	24,0
	01_41_B	Cluster 1	4,50	25,4	22,1	15,6	25,8
	01_41_C	Cluster 1	7,50	28,3	25,0	18,5	28,7
	01_42_A	Cluster 1	1,50	19,0	15,8	9,2	19,4
	01_42_B	Cluster 1	4,50	20,1	16,7	10,2	20,4
	01_42_C	Cluster 1	7,50	24,2	20,9	14,4	24,6
	01_43_A	Cluster 1	1,50	23,5	20,2	13,6	23,8
	01_43_B	Cluster 1	4,50	25,3	21,9	15,4	25,7
	01_43_C	Cluster 1	7,50	30,2	26,9	20,4	30,6
	01_44_A	Cluster 1	1,50	22,7	19,4	12,9	23,1
	01_44_B	Cluster 1	4,50	24,6	21,3	14,7	25,0
	01_44_C	Cluster 1	7,50	27,6	24,3	17,7	28,0
	01_45_A	Cluster 1	1,50	22,8	19,5	12,9	23,2
	01_45_B	Cluster 1	4,50	24,7	21,4	14,8	25,1
	01_45_C	Cluster 1	7,50	27,6	24,4	17,8	28,0
	01_46_A	Cluster 1	1,50	22,5	19,2	12,6	22,9
	01_46_B	Cluster 1	4,50	24,4	21,1	14,6	24,8
	01_46_C	Cluster 1	7,50	26,8	23,5	16,9	27,2
	01_47_A	Cluster 1	1,50	22,5	19,2	12,7	22,9
	01_47_B	Cluster 1	4,50	24,4	21,1	14,5	24,8
	01_47_C	Cluster 1	7,50	26,5	23,2	16,7	26,9
	01_48_A	Cluster 1	1,50	22,8	19,5	12,9	23,2
	01_48_B	Cluster 1	4,50	24,5	21,2	14,6	24,9
	01_48_C	Cluster 1	7,50	26,2	22,9	16,3	26,6
	01_49_A	Cluster 1	1,50	22,3	19,0	12,5	22,7
	01_49_B	Cluster 1	4,50	24,1	20,8	14,2	24,5
	01_49_C	Cluster 1	7,50	25,7	22,4	15,9	26,1
	01_50_A	Cluster 1	1,50	22,2	18,9	12,3	22,6
	01_50_B	Cluster 1	4,50	23,9	20,6	14,1	24,3
	01_50_C	Cluster 1	7,50	25,5	22,2	15,7	25,9
	01_51_A	Cluster 1	1,50	21,9	18,6	12,1	22,3
	01_51_B	Cluster 1	4,50	23,6	20,3	13,8	24,0
	01_51_C	Cluster 1	7,50	25,0	21,7	15,2	25,4
	01_52_A	Cluster 1	1,50	22,0	18,6	12,1	22,3

Alle getoonde dB-waarden zijn A-gewogen

Bijlage III-1 Rekenresultaten Ceintuurbaan

Rapport: Resultatentabel
 Model: Kopie van Wegverkeermodel
 LAeq totaalresultaten voor toetspunten
 Groep: Ceintuurbaan
 Groepsreductie: Ja

Naam	Toetspunt	Omschrijving	Hoogte	Dag	Avond	Nacht	Lden
	01_52_B	Cluster 1	4,50	23,8	20,5	13,9	24,2
	01_52_C	Cluster 1	7,50	25,2	21,9	15,3	25,5
	01_53_A	Cluster 1	1,50	21,8	18,5	12,0	22,2
	01_53_B	Cluster 1	4,50	23,6	20,3	13,8	24,0
	01_53_C	Cluster 1	7,50	25,2	21,9	15,3	25,6
	01_54_A	Cluster 1	1,50	21,5	18,2	11,7	21,9
	01_54_B	Cluster 1	4,50	23,1	19,8	13,3	23,5
	01_54_C	Cluster 1	7,50	24,7	21,4	14,9	25,1
	01_55_A	Cluster 1	1,50	21,3	18,0	11,5	21,7
	01_55_B	Cluster 1	4,50	23,0	19,6	13,1	23,3
	01_55_C	Cluster 1	7,50	24,2	20,9	14,4	24,6
	01_56_A	Cluster 1	1,50	21,2	17,9	11,3	21,6
	01_56_B	Cluster 1	4,50	22,7	19,4	12,9	23,1
	01_56_C	Cluster 1	7,50	24,2	20,9	14,3	24,6
	01_57_A	Cluster 1	1,50	23,2	19,9	13,4	23,6
	01_57_B	Cluster 1	4,50	24,8	21,5	15,0	25,2
	01_57_C	Cluster 1	7,50	27,5	24,2	17,6	27,8
	01_58_A	Cluster 1	1,50	23,2	19,9	13,4	23,6
	01_58_B	Cluster 1	4,50	25,0	21,6	15,1	25,3
	01_58_C	Cluster 1	7,50	27,5	24,2	17,7	27,9
	01_59_A	Cluster 1	1,50	24,2	20,9	14,3	24,6
	01_59_B	Cluster 1	4,50	25,8	22,5	16,0	26,2
	01_59_C	Cluster 1	7,50	27,9	24,6	18,0	28,2
	01_60_A	Cluster 1	1,50	24,5	21,2	14,7	24,9
	01_60_B	Cluster 1	4,50	25,8	22,4	15,9	26,1
	01_60_C	Cluster 1	7,50	27,7	24,4	17,9	28,1
	01_61_A	Cluster 1	1,50	24,2	20,8	14,3	24,5
	01_61_B	Cluster 1	4,50	25,3	22,0	15,5	25,7
	01_61_C	Cluster 1	7,50	26,7	23,4	16,9	27,1
	01_62_A	Cluster 1	1,50	24,1	20,7	14,2	24,4
	01_62_B	Cluster 1	4,50	25,3	22,0	15,5	25,7
	01_62_C	Cluster 1	7,50	27,1	23,8	17,2	27,5
	01_63_A	Cluster 1	1,50	23,9	20,5	14,0	24,2
	01_63_B	Cluster 1	4,50	25,4	22,0	15,5	25,8
	01_63_C	Cluster 1	7,50	28,7	25,5	18,9	29,1
	01_64_A	Cluster 1	1,50	21,2	17,9	11,3	21,6
	01_64_B	Cluster 1	4,50	23,5	20,2	13,7	23,9
	01_64_C	Cluster 1	7,50	28,8	25,5	19,0	29,2
	01_65_A	Cluster 1	1,50	22,9	19,5	13,0	23,2
	01_65_B	Cluster 1	4,50	24,9	21,5	15,0	25,3
	01_65_C	Cluster 1	7,50	28,8	25,6	19,0	29,2
	01_66_A	Cluster 1	1,50	22,6	19,3	12,8	23,0
	01_66_B	Cluster 1	4,50	24,1	20,8	14,2	24,5
	01_67_A	Cluster 1	1,50	21,9	18,6	12,1	22,3
	01_67_B	Cluster 1	4,50	23,8	20,5	14,0	24,2
	01_68_A	Cluster 1	1,50	21,7	18,4	11,9	22,1
	01_68_B	Cluster 1	4,50	23,7	20,4	13,8	24,1
	01_68_C	Cluster 1	7,50	25,1	21,8	15,3	25,5
	01_69_A	Cluster 1	1,50	23,4	20,1	13,6	23,8
	01_69_B	Cluster 1	4,50	24,2	20,9	14,4	24,6
	01_69_C	Cluster 1	7,50	25,3	22,0	15,4	25,7
	01_70_A	Cluster 1	1,50	23,6	20,3	13,8	24,0
	01_70_B	Cluster 1	4,50	24,5	21,1	14,6	24,9
	01_70_C	Cluster 1	7,50	25,6	22,3	15,8	26,0
	01_71_A	Cluster 1	1,50	23,9	20,6	14,0	24,3
	01_71_B	Cluster 1	4,50	24,5	21,1	14,6	24,9
	01_71_C	Cluster 1	7,50	25,7	22,3	15,8	26,0
	01_72_A	Cluster 1	1,50	24,0	20,7	14,2	24,4
	01_72_B	Cluster 1	4,50	24,8	21,4	14,9	25,2
	01_72_C	Cluster 1	7,50	26,0	22,7	16,2	26,4
	01_73_A	Cluster 1	1,50	23,9	20,6	14,1	24,3
	01_73_B	Cluster 1	4,50	24,8	21,5	15,0	25,2
	01_73_C	Cluster 1	7,50	26,1	22,8	16,2	26,5
	01_74_A	Cluster 1	1,50	24,2	20,8	14,3	24,5
	01_74_B	Cluster 1	4,50	25,3	22,0	15,5	25,7
	01_74_C	Cluster 1	7,50	28,9	25,6	19,1	29,3
	01_75_A	Cluster 1	1,50	24,1	20,7	14,2	24,4
	01_75_B	Cluster 1	4,50	25,4	22,0	15,5	25,7
	01_75_C	Cluster 1	7,50	29,0	25,8	19,2	29,4
	01_76_A	Cluster 1	1,50	24,0	20,7	14,2	24,4
	01_76_B	Cluster 1	4,50	25,5	22,2	15,6	25,9
	01_76_C	Cluster 1	7,50	29,3	26,0	19,5	29,7
	01_77_A	Cluster 1	1,50	23,8	20,5	14,0	24,2
	01_77_B	Cluster 1	4,50	25,6	22,3	15,7	26,0

Alle getoonde dB-waarden zijn A-gewogen

Bijlage III-1 Rekenresultaten Ceintuurbaan

Rapport: Resultatentabel
 Model: Kopie van Wegverkeermodel
 LAeq totaalresultaten voor toetspunten
 Groep: Ceintuurbaan
 Groepsreductie: Ja

Naam	Toetspunt	Omschrijving	Hoogte	Dag	Avond	Nacht	Lden
	01_78_A	Cluster 1	1,50	21,6	18,3	11,8	22,0
	01_78_B	Cluster 1	4,50	23,3	20,0	13,5	23,7
	01_79_A	Cluster 1	1,50	21,4	18,1	11,6	21,8
	01_79_B	Cluster 1	4,50	19,5	16,2	9,7	19,9
	01_79_C	Cluster 1	7,50	20,3	17,0	10,5	20,7
	01_80_A	Cluster 1	1,50	21,4	18,1	11,6	21,8
	01_80_B	Cluster 1	4,50	18,8	15,5	9,0	19,2
	01_80_C	Cluster 1	7,50	19,8	16,5	10,0	20,2
	01_81_A	Cluster 1	1,50	21,5	18,1	11,6	21,9
	01_81_B	Cluster 1	4,50	19,7	16,4	9,8	20,1
	01_81_C	Cluster 1	7,50	22,0	18,7	12,2	22,4
	01_82_A	Cluster 1	1,50	21,2	17,8	11,3	21,5
	01_82_B	Cluster 1	4,50	19,6	16,2	9,7	19,9
	01_82_C	Cluster 1	7,50	21,4	18,1	11,6	21,8
	01_83_A	Cluster 1	1,50	20,6	17,3	10,8	21,0
	01_83_B	Cluster 1	4,50	19,4	16,1	9,6	19,8
	01_83_C	Cluster 1	7,50	20,4	17,0	10,5	20,7
	01_84_A	Cluster 1	1,50	20,6	17,3	10,7	21,0
	01_84_B	Cluster 1	4,50	19,1	15,7	9,2	19,4
	01_84_C	Cluster 1	7,50	20,5	17,2	10,7	20,9
	01_85_A	Cluster 1	1,50	20,9	17,5	11,0	21,3
	01_85_B	Cluster 1	4,50	19,4	16,0	9,5	19,7
	01_85_C	Cluster 1	7,50	21,0	17,7	11,2	21,4
	01_86_A	Cluster 1	1,50	20,9	17,5	11,0	21,2
	01_86_B	Cluster 1	4,50	20,0	16,6	10,1	20,3
	01_86_C	Cluster 1	7,50	22,4	19,2	12,6	22,8
	01_87_A	Cluster 1	1,50	21,4	18,1	11,6	21,8
	01_87_B	Cluster 1	4,50	21,5	18,1	11,6	21,8
	01_88_A	Cluster 1	1,50	22,9	19,5	13,0	23,2
	01_88_B	Cluster 1	4,50	25,1	21,7	15,3	25,5
	01_89_A	Cluster 1	1,50	23,2	19,8	13,3	23,5
	01_89_B	Cluster 1	4,50	25,9	22,5	16,0	26,3
	01_89_C	Cluster 1	7,50	30,3	27,0	20,5	30,7
	01_90_A	Cluster 1	1,50	23,9	20,5	14,0	24,3
	01_90_B	Cluster 1	4,50	26,0	22,7	16,2	26,4
	01_90_C	Cluster 1	7,50	29,5	26,2	19,7	29,9
	01_91_A	Cluster 1	1,50	23,8	20,4	13,9	24,1
	01_91_B	Cluster 1	4,50	25,4	22,0	15,6	25,8
	01_91_C	Cluster 1	7,50	28,0	24,7	18,1	28,4
	01_92_A	Cluster 1	1,50	24,4	21,1	14,6	24,8
	01_92_B	Cluster 1	4,50	25,9	22,5	16,0	26,2
	01_92_C	Cluster 1	7,50	28,0	24,7	18,2	28,4
	01_93_A	Cluster 1	1,50	24,5	21,1	14,6	24,8
	01_93_B	Cluster 1	4,50	25,2	21,8	15,4	25,6
	01_93_C	Cluster 1	7,50	27,2	23,9	17,3	27,6
	01_94_A	Cluster 1	1,50	24,0	20,6	14,1	24,3
	01_94_B	Cluster 1	4,50	24,7	21,3	14,9	25,1
	01_94_C	Cluster 1	7,50	26,2	22,8	16,3	26,5
	01_95_A	Cluster 1	1,50	24,2	20,8	14,3	24,5
	01_95_B	Cluster 1	4,50	24,4	21,0	14,5	24,8
	01_95_C	Cluster 1	7,50	25,9	22,5	16,0	26,3
	01_96_A	Cluster 1	1,50	23,4	20,0	13,5	23,8
	01_96_B	Cluster 1	4,50	24,1	20,7	14,2	24,5
	01_96_C	Cluster 1	7,50	25,3	21,9	15,4	25,7
	01_97_A	Cluster 1	1,50	23,0	19,7	13,2	23,4
	01_97_B	Cluster 1	4,50	23,8	20,4	13,9	24,1
	01_97_C	Cluster 1	7,50	24,9	21,6	15,1	25,3
	01_98_A	Cluster 1	1,50	23,6	20,2	13,7	23,9
	01_98_B	Cluster 1	4,50	24,7	21,4	14,9	25,1
	01_98_C	Cluster 1	7,50	27,2	24,0	17,4	27,6
	01_99_A	Cluster 1	1,50	23,1	19,8	13,3	23,5
	01_99_B	Cluster 1	4,50	24,3	20,9	14,4	24,7
	01_99_C	Cluster 1	7,50	26,6	23,3	16,8	27,0
	02_01_A	Cluster 2	1,50	27,4	24,2	17,6	27,8
	02_01_B	Cluster 2	4,50	28,6	25,3	18,8	29,0
	02_01_C	Cluster 2	7,50	29,7	26,4	19,8	30,1
	02_02_A	Cluster 2	1,50	38,1	34,8	28,3	38,5
	02_02_B	Cluster 2	4,50	39,1	35,8	29,2	39,5
	02_02_C	Cluster 2	7,50	39,7	36,4	29,9	40,1
	02_03_A	Cluster 2	1,50	39,2	36,0	29,4	39,7
	02_03_B	Cluster 2	4,50	40,5	37,2	30,7	40,9
	02_03_C	Cluster 2	7,50	41,6	38,4	31,8	42,0
	02_04_A	Cluster 2	1,50	39,3	36,1	29,5	39,7
	02_04_B	Cluster 2	4,50	40,5	37,3	30,7	40,9

Alle getoonde dB-waarden zijn A-gewogen

Bijlage III-1 Rekenresultaten Ceintuurbaan

Rapport: Resultatentabel
 Model: Kopie van Wegverkeermodel
 LAeq totaalresultaten voor toetspunten
 Groep: Ceintuurbaan
 Groepsreductie: Ja

Naam	Toetspunt	Omschrijving	Hoogte	Dag	Avond	Nacht	Lden
02_04_C	Cluster 2		7,50	41,6	38,3	31,8	42,0
02_05_A	Cluster 2		1,50	40,0	36,8	30,2	40,5
02_05_B	Cluster 2		4,50	41,1	37,8	31,3	41,5
02_05_C	Cluster 2		7,50	42,4	39,2	32,6	42,8
02_06_A	Cluster 2		1,50	40,7	37,5	30,9	41,1
02_06_B	Cluster 2		4,50	42,0	38,8	32,2	42,4
02_06_C	Cluster 2		7,50	43,1	39,8	33,3	43,5
02_07_A	Cluster 2		1,50	41,6	38,3	31,7	42,0
02_07_B	Cluster 2		4,50	43,1	39,8	33,2	43,5
02_07_C	Cluster 2		7,50	44,0	40,7	34,2	44,4
02_08_A	Cluster 2		1,50	42,3	39,0	32,4	42,7
02_08_B	Cluster 2		4,50	44,0	40,8	34,2	44,4
02_08_C	Cluster 2		7,50	44,8	41,5	35,0	45,2
02_09_A	Cluster 2		1,50	43,5	40,3	33,7	43,9
02_09_B	Cluster 2		4,50	45,3	42,1	35,5	45,7
02_09_C	Cluster 2		7,50	45,9	42,7	36,1	46,3
02_10_A	Cluster 2		1,50	43,3	40,1	33,5	43,7
02_10_B	Cluster 2		4,50	45,2	41,9	35,4	45,6
02_10_C	Cluster 2		7,50	45,8	42,6	36,0	46,2
02_100_A	Cluster 2		1,50	35,5	32,2	25,7	35,9
02_100_B	Cluster 2		4,50	37,1	33,8	27,3	37,5
02_100_C	Cluster 2		7,50	39,4	36,1	29,6	39,8
02_101_A	Cluster 2		1,50	32,1	28,8	22,3	32,5
02_101_B	Cluster 2		4,50	35,3	32,0	25,4	35,6
02_101_C	Cluster 2		7,50	37,6	34,3	27,7	38,0
02_102_A	Cluster 2		1,50	34,7	31,5	24,9	35,1
02_102_B	Cluster 2		4,50	36,1	32,8	26,2	36,4
02_102_C	Cluster 2		7,50	38,0	34,7	28,1	38,4
02_103_A	Cluster 2		1,50	29,8	26,5	19,9	30,2
02_103_B	Cluster 2		4,50	34,3	31,1	24,5	34,7
02_103_C	Cluster 2		7,50	36,6	33,3	26,8	37,0
02_104_A	Cluster 2		1,50	32,8	29,5	23,0	33,2
02_104_B	Cluster 2		4,50	34,1	30,8	24,3	34,5
02_104_C	Cluster 2		7,50	36,0	32,8	26,2	36,4
02_105_A	Cluster 2		1,50	32,7	29,4	22,9	33,1
02_105_B	Cluster 2		4,50	35,0	31,8	25,2	35,4
02_105_C	Cluster 2		7,50	36,8	33,5	27,0	37,2
02_106_A	Cluster 2		1,50	29,5	26,2	19,7	29,9
02_106_B	Cluster 2		4,50	34,0	30,7	24,2	34,4
02_106_C	Cluster 2		7,50	36,5	33,3	26,7	36,9
02_107_A	Cluster 2		1,50	31,3	28,0	21,5	31,7
02_107_B	Cluster 2		4,50	33,1	29,8	23,3	33,5
02_107_C	Cluster 2		7,50	36,1	32,8	26,3	36,5
02_108_A	Cluster 2		1,50	28,9	25,6	19,1	29,3
02_108_B	Cluster 2		4,50	32,0	28,7	22,1	32,4
02_108_C	Cluster 2		7,50	35,5	32,2	25,6	35,8
02_11_A	Cluster 2		1,50	46,2	43,0	36,4	46,6
02_11_B	Cluster 2		4,50	48,1	44,8	38,3	48,5
02_11_C	Cluster 2		7,50	48,5	45,2	38,7	48,9
02_12_A	Cluster 2		1,50	49,1	45,8	39,3	49,5
02_12_B	Cluster 2		4,50	50,7	47,5	40,9	51,1
02_13_A	Cluster 2		1,50	49,4	46,2	39,6	49,8
02_13_B	Cluster 2		4,50	50,9	47,7	41,1	51,3
02_14_A	Cluster 2		1,50	53,2	49,9	43,4	53,6
02_14_B	Cluster 2		4,50	54,5	51,3	44,7	54,9
02_15_A	Cluster 2		1,50	53,1	49,8	43,3	53,5
02_15_B	Cluster 2		4,50	54,5	51,2	44,6	54,9
02_16_A	Cluster 2		1,50	53,2	50,0	43,4	53,6
02_16_B	Cluster 2		4,50	54,6	51,3	44,8	55,0
02_16_C	Cluster 2		7,50	54,7	51,5	44,9	55,1
02_16_D	Cluster 2		10,50	54,7	51,5	44,9	55,1
02_17_A	Cluster 2		1,50	53,3	50,0	43,5	53,7
02_17_B	Cluster 2		4,50	54,6	51,4	44,8	55,0
02_17_C	Cluster 2		7,50	54,8	51,6	45,0	55,2
02_17_D	Cluster 2		10,50	54,8	51,5	45,0	55,2
02_18_A	Cluster 2		1,50	53,3	50,1	43,5	53,7
02_18_B	Cluster 2		4,50	54,6	51,4	44,8	55,0
02_18_C	Cluster 2		7,50	54,8	51,6	45,0	55,2
02_18_D	Cluster 2		10,50	54,8	51,5	45,0	55,2
02_19_A	Cluster 2		1,50	53,3	50,1	43,5	53,7
02_19_B	Cluster 2		4,50	54,7	51,4	44,8	55,1
02_19_C	Cluster 2		7,50	54,9	51,6	45,0	55,3
02_19_D	Cluster 2		10,50	54,8	51,6	45,0	55,2
02_20_A	Cluster 2		1,50	53,4	50,2	43,6	53,8

Alle getoonde dB-waarden zijn A-gewogen

Bijlage III-1 Rekenresultaten Ceintuurbaan

Rapport: Resultatentabel
 Model: Kopie van Wegverkeermodel
 LAeq totaalresultaten voor toetspunten
 Groep: Ceintuurbaan
 Groepsreductie: Ja

Naam	Toetspunt	Omschrijving	Hoogte	Dag	Avond	Nacht	Lden
	02_20_B	Cluster 2	4,50	54,7	51,4	44,9	55,1
	02_20_C	Cluster 2	7,50	54,9	51,6	45,1	55,3
	02_20_D	Cluster 2	10,50	54,8	51,6	45,0	55,2
	02_21_A	Cluster 2	1,50	53,5	50,3	43,7	53,9
	02_21_B	Cluster 2	4,50	54,7	51,5	44,9	55,1
	02_21_C	Cluster 2	7,50	54,9	51,7	45,1	55,3
	02_21_D	Cluster 2	10,50	54,8	51,6	45,0	55,2
	02_22_A	Cluster 2	1,50	53,6	50,4	43,8	54,0
	02_22_B	Cluster 2	4,50	54,7	51,5	44,9	55,2
	02_22_C	Cluster 2	7,50	54,9	51,7	45,1	55,3
	02_22_D	Cluster 2	10,50	54,8	51,6	45,0	55,2
	02_23_A	Cluster 2	1,50	53,6	50,4	43,8	54,0
	02_23_B	Cluster 2	4,50	54,7	51,5	44,9	55,1
	02_23_C	Cluster 2	7,50	54,9	51,7	45,1	55,3
	02_23_D	Cluster 2	10,50	54,8	51,6	45,0	55,2
	02_24_A	Cluster 2	1,50	53,7	50,5	43,9	54,1
	02_24_B	Cluster 2	4,50	54,8	51,6	45,0	55,2
	02_24_C	Cluster 2	7,50	55,0	51,7	45,2	55,4
	02_24_D	Cluster 2	10,50	54,9	51,7	45,1	55,3
	02_25_A	Cluster 2	1,50	53,8	50,6	44,0	54,2
	02_25_B	Cluster 2	4,50	54,9	51,7	45,1	55,3
	02_25_C	Cluster 2	7,50	55,0	51,8	45,2	55,4
	02_25_D	Cluster 2	10,50	55,0	51,7	45,2	55,4
	02_26_A	Cluster 2	1,50	49,4	46,2	39,6	49,8
	02_26_B	Cluster 2	4,50	50,6	47,5	40,8	51,1
	02_26_C	Cluster 2	7,50	50,7	47,6	40,9	51,2
	02_26_D	Cluster 2	10,50	50,7	47,6	40,9	51,2
	02_27_A	Cluster 2	1,50	49,7	46,5	39,9	50,1
	02_27_B	Cluster 2	4,50	51,0	47,8	41,2	51,4
	02_27_C	Cluster 2	7,50	51,2	48,0	41,4	51,6
	02_27_D	Cluster 2	10,50	51,3	48,0	41,5	51,7
	02_28_A	Cluster 2	1,50	54,2	51,0	44,4	54,6
	02_28_B	Cluster 2	4,50	55,2	52,0	45,4	55,6
	02_28_C	Cluster 2	7,50	55,3	52,1	45,5	55,7
	02_28_D	Cluster 2	10,50	55,2	52,0	45,4	55,6
	02_29_A	Cluster 2	1,50	54,0	50,8	44,2	54,5
	02_29_B	Cluster 2	4,50	55,1	51,9	45,3	55,5
	02_29_C	Cluster 2	7,50	55,2	52,0	45,4	55,6
	02_29_D	Cluster 2	10,50	55,1	51,9	45,3	55,5
	02_30_A	Cluster 2	1,50	53,7	50,6	43,9	54,1
	02_30_B	Cluster 2	4,50	54,8	51,6	45,0	55,2
	02_30_C	Cluster 2	7,50	55,0	51,8	45,2	55,4
	02_30_D	Cluster 2	10,50	54,9	51,7	45,1	55,3
	02_31_A	Cluster 2	1,50	53,5	50,3	43,7	53,9
	02_31_B	Cluster 2	4,50	54,6	51,4	44,8	55,0
	02_31_C	Cluster 2	7,50	54,8	51,6	45,0	55,2
	02_31_D	Cluster 2	10,50	54,7	51,6	44,9	55,1
	02_32_A	Cluster 2	1,50	49,4	46,3	39,6	49,9
	02_32_B	Cluster 2	4,50	50,6	47,5	40,9	51,1
	02_32_C	Cluster 2	7,50	50,8	47,7	41,1	51,3
	02_32_D	Cluster 2	10,50	50,8	47,7	41,0	51,3
	02_33_A	Cluster 2	1,50	47,9	44,8	38,1	48,3
	02_33_B	Cluster 2	4,50	49,2	46,1	39,5	49,7
	02_33_C	Cluster 2	7,50	49,5	46,4	39,8	50,0
	02_34_A	Cluster 2	1,50	47,2	44,1	37,4	47,6
	02_34_B	Cluster 2	4,50	48,6	45,5	38,9	49,1
	02_34_C	Cluster 2	7,50	49,0	45,9	39,2	49,5
	02_35_A	Cluster 2	1,50	46,3	43,2	36,6	46,8
	02_35_B	Cluster 2	4,50	47,9	44,8	38,1	48,3
	02_35_C	Cluster 2	7,50	48,3	45,2	38,6	48,8
	02_36_A	Cluster 2	1,50	45,2	42,1	35,5	45,7
	02_36_B	Cluster 2	4,50	46,7	43,6	37,0	47,2
	02_36_C	Cluster 2	7,50	47,3	44,2	37,6	47,8
	02_37_A	Cluster 2	1,50	44,6	41,5	34,9	45,1
	02_37_B	Cluster 2	4,50	46,1	43,0	36,3	46,5
	02_37_C	Cluster 2	7,50	46,8	43,7	37,0	47,2
	02_38_A	Cluster 2	1,50	43,7	40,6	33,9	44,2
	02_38_B	Cluster 2	4,50	45,1	42,0	35,3	45,5
	02_38_C	Cluster 2	7,50	45,9	42,8	36,2	46,4
	02_39_A	Cluster 2	1,50	43,1	40,0	33,3	43,6
	02_39_B	Cluster 2	4,50	44,4	41,3	34,6	44,8
	02_39_C	Cluster 2	7,50	45,3	42,2	35,5	45,7
	02_40_A	Cluster 2	1,50	42,5	39,4	32,7	43,0
	02_40_B	Cluster 2	4,50	43,7	40,6	34,0	44,2

Alle getoonde dB-waarden zijn A-gewogen

Bijlage III-1 Rekenresultaten Ceintuurbaan

Rapport: Resultatentabel
 Model: Kopie van Wegverkeermodel
 LAeq totaalresultaten voor toetspunten
 Groep: Ceintuurbaan
 Groepsreductie: Ja

Naam	Toetspunt	Omschrijving	Hoogte	Dag	Avond	Nacht	Lden
02_40_C	Cluster 2		7,50	44,7	41,6	34,9	45,1
02_41_A	Cluster 2		1,50	28,1	25,0	18,3	28,6
02_41_B	Cluster 2		4,50	29,4	26,2	19,6	29,8
02_41_C	Cluster 2		7,50	33,0	29,9	23,2	33,5
02_42_A	Cluster 2		1,50	32,5	29,4	22,7	33,0
02_42_B	Cluster 2		4,50	33,5	30,3	23,7	33,9
02_42_C	Cluster 2		7,50	37,5	34,4	27,7	38,0
02_43_A	Cluster 2		1,50	41,2	38,1	31,4	41,6
02_43_B	Cluster 2		4,50	42,3	39,3	32,6	42,8
02_43_C	Cluster 2		7,50	43,3	40,2	33,6	43,8
02_44_A	Cluster 2		1,50	39,3	36,2	29,5	39,7
02_44_B	Cluster 2		4,50	40,4	37,3	30,7	40,9
02_45_A	Cluster 2		1,50	38,6	35,5	28,8	39,0
02_45_B	Cluster 2		4,50	39,7	36,6	30,0	40,2
02_46_A	Cluster 2		1,50	28,1	25,0	18,4	28,6
02_46_B	Cluster 2		4,50	28,6	25,5	18,8	29,1
02_47_A	Cluster 2		1,50	27,2	24,1	17,4	27,7
02_47_B	Cluster 2		4,50	27,8	24,7	18,0	28,2
02_48_A	Cluster 2		1,50	27,3	24,2	17,5	27,8
02_48_B	Cluster 2		4,50	28,0	24,9	18,2	28,5
02_48_C	Cluster 2		7,50	28,8	25,7	19,1	29,3
02_49_A	Cluster 2		1,50	26,2	23,0	16,4	26,6
02_49_B	Cluster 2		4,50	26,9	23,7	17,1	27,3
02_49_C	Cluster 2		7,50	27,9	24,7	18,1	28,3
02_50_A	Cluster 2		1,50	26,2	23,0	16,4	26,6
02_50_B	Cluster 2		4,50	26,9	23,7	17,1	27,3
02_50_C	Cluster 2		7,50	27,8	24,6	18,0	28,2
02_51_A	Cluster 2		1,50	25,2	22,0	15,4	25,6
02_51_B	Cluster 2		4,50	26,0	22,8	16,2	26,4
02_51_C	Cluster 2		7,50	26,6	23,4	16,8	27,0
02_52_A	Cluster 2		1,50	23,8	20,6	14,0	24,2
02_52_B	Cluster 2		4,50	24,6	21,4	14,8	25,0
02_52_C	Cluster 2		7,50	25,2	22,0	15,4	25,6
02_53_A	Cluster 2		1,50	24,1	20,8	14,3	24,5
02_53_B	Cluster 2		4,50	24,7	21,5	14,9	25,1
02_53_C	Cluster 2		7,50	25,5	22,3	15,7	25,9
02_54_A	Cluster 2		1,50	22,2	18,9	12,4	22,6
02_54_B	Cluster 2		4,50	23,2	19,8	13,3	23,6
02_54_C	Cluster 2		7,50	24,6	21,2	14,7	24,9
02_55_A	Cluster 2		1,50	22,1	18,8	12,2	22,5
02_55_B	Cluster 2		4,50	22,8	19,5	12,9	23,2
02_55_C	Cluster 2		7,50	23,4	20,0	13,5	23,8
02_56_A	Cluster 2		1,50	22,5	19,1	12,6	22,8
02_56_B	Cluster 2		4,50	23,4	20,1	13,6	23,8
02_56_C	Cluster 2		7,50	24,4	21,0	14,5	24,7
02_57_A	Cluster 2		1,50	22,4	19,1	12,6	22,8
02_57_B	Cluster 2		4,50	23,7	20,3	13,8	24,0
02_57_C	Cluster 2		7,50	25,3	22,0	15,4	25,7
02_58_A	Cluster 2		1,50	22,6	19,2	12,7	22,9
02_58_B	Cluster 2		4,50	23,6	20,3	13,7	24,0
02_58_C	Cluster 2		7,50	25,3	22,0	15,5	25,7
02_59_A	Cluster 2		1,50	26,7	23,3	16,8	27,1
02_59_B	Cluster 2		4,50	29,0	25,6	19,1	29,3
02_59_C	Cluster 2		7,50	32,7	29,4	22,9	33,1
02_60_A	Cluster 2		1,50	25,9	22,5	16,0	26,2
02_60_B	Cluster 2		4,50	27,3	24,0	17,4	27,7
02_60_C	Cluster 2		7,50	29,8	26,5	20,0	30,2
02_61_A	Cluster 2		1,50	26,6	23,2	16,7	26,9
02_61_B	Cluster 2		4,50	28,1	24,8	18,2	28,5
02_61_C	Cluster 2		7,50	30,7	27,4	20,9	31,1
02_62_A	Cluster 2		1,50	26,9	23,6	17,0	27,3
02_62_B	Cluster 2		4,50	28,4	25,1	18,6	28,8
02_62_C	Cluster 2		7,50	31,3	28,0	21,5	31,7
02_63_A	Cluster 2		1,50	27,2	23,9	17,4	27,6
02_63_B	Cluster 2		4,50	29,0	25,7	19,1	29,3
02_63_C	Cluster 2		7,50	32,1	28,8	22,3	32,5
02_64_A	Cluster 2		1,50	27,6	24,3	17,8	28,0
02_64_B	Cluster 2		4,50	29,2	25,9	19,4	29,6
02_64_C	Cluster 2		7,50	32,8	29,5	23,0	33,2
02_65_A	Cluster 2		1,50	28,0	24,7	18,2	28,4
02_65_B	Cluster 2		4,50	29,5	26,2	19,7	29,9
02_65_C	Cluster 2		7,50	33,4	30,1	23,5	33,8
02_66_A	Cluster 2		1,50	28,1	24,8	18,3	28,5
02_66_B	Cluster 2		4,50	29,7	26,4	19,9	30,1

Alle getoonde dB-waarden zijn A-gewogen

Bijlage III-1 Rekenresultaten Ceintuurbaan

Rapport: Resultatentabel
 Model: Kopie van Wegverkeermodel
 LAeq totaalresultaten voor toetspunten
 Groep: Ceintuurbaan
 Groepsreductie: Ja

Naam	Toetspunt	Omschrijving	Hoogte	Dag	Avond	Nacht	Lden
02_66_C	Cluster 2		7,50	34,1	30,9	24,3	34,5
02_67_A	Cluster 2		1,50	27,6	24,3	17,7	28,0
02_67_B	Cluster 2		4,50	29,4	26,1	19,6	29,8
02_67_C	Cluster 2		7,50	34,0	30,8	24,2	34,4
02_68_A	Cluster 2		1,50	27,3	24,0	17,4	27,7
02_68_B	Cluster 2		4,50	28,7	25,3	18,8	29,0
02_68_C	Cluster 2		7,50	32,6	29,3	22,8	33,0
02_69_A	Cluster 2		1,50	29,4	26,1	19,6	29,8
02_69_B	Cluster 2		4,50	33,2	29,8	23,3	33,5
02_69_C	Cluster 2		7,50	40,4	37,1	30,6	40,8
02_70_A	Cluster 2		1,50	28,0	24,6	18,1	28,3
02_70_B	Cluster 2		4,50	32,1	28,7	22,2	32,5
02_70_C	Cluster 2		7,50	40,2	36,9	30,4	40,6
02_71_A	Cluster 2		1,50	27,8	24,5	18,0	28,2
02_71_B	Cluster 2		4,50	32,5	29,1	22,6	32,8
02_72_A	Cluster 2		1,50	25,4	22,0	15,5	25,7
02_72_B	Cluster 2		4,50	29,0	25,6	19,1	29,3
02_73_A	Cluster 2		1,50	24,4	21,0	14,5	24,7
02_73_B	Cluster 2		4,50	24,2	20,8	14,3	24,5
02_73_C	Cluster 2		7,50	27,2	23,8	17,3	27,5
02_73_D	Cluster 2		10,50	28,3	25,1	18,5	28,7
02_74_A	Cluster 2		1,50	28,1	24,9	18,3	28,5
02_74_B	Cluster 2		4,50	27,4	24,2	17,6	27,8
02_74_C	Cluster 2		7,50	28,6	25,4	18,8	29,0
02_74_D	Cluster 2		10,50	30,4	27,2	20,6	30,8
02_75_A	Cluster 2		1,50	24,5	21,1	14,6	24,9
02_75_B	Cluster 2		4,50	23,6	20,3	13,8	24,0
02_75_C	Cluster 2		7,50	25,5	22,2	15,7	25,9
02_75_D	Cluster 2		10,50	27,9	24,7	18,1	28,3
02_76_A	Cluster 2		1,50	25,4	22,1	15,6	25,8
02_76_B	Cluster 2		4,50	26,6	23,3	16,8	27,0
02_76_C	Cluster 2		7,50	28,3	25,1	18,5	28,7
02_76_D	Cluster 2		10,50	30,7	27,6	20,9	31,2
02_77_A	Cluster 2		1,50	25,0	21,7	15,1	25,4
02_77_B	Cluster 2		4,50	26,9	23,7	17,1	27,3
02_77_C	Cluster 2		7,50	28,6	25,4	18,8	29,0
02_77_D	Cluster 2		10,50	30,6	27,4	20,8	31,0
02_78_A	Cluster 2		1,50	24,7	21,4	14,8	25,1
02_78_B	Cluster 2		4,50	26,7	23,4	16,9	27,1
02_78_C	Cluster 2		7,50	28,4	25,2	18,6	28,8
02_78_D	Cluster 2		10,50	30,8	27,6	21,0	31,2
02_79_A	Cluster 2		1,50	24,8	21,4	14,9	25,1
02_79_B	Cluster 2		4,50	26,7	23,4	16,9	27,1
02_79_C	Cluster 2		7,50	28,5	25,3	18,7	28,9
02_79_D	Cluster 2		10,50	30,6	27,4	20,8	31,1
02_80_A	Cluster 2		1,50	28,6	25,3	18,7	29,0
02_80_B	Cluster 2		4,50	28,8	25,5	19,0	29,2
02_80_C	Cluster 2		7,50	31,0	27,8	21,2	31,4
02_80_D	Cluster 2		10,50	31,9	28,6	22,1	32,3
02_81_A	Cluster 2		1,50	28,4	25,2	18,6	28,8
02_81_B	Cluster 2		4,50	29,8	26,5	19,9	30,2
02_81_C	Cluster 2		7,50	31,9	28,7	22,1	32,4
02_81_D	Cluster 2		10,50	32,5	29,3	22,7	32,9
02_82_A	Cluster 2		1,50	28,7	25,4	18,9	29,1
02_82_B	Cluster 2		4,50	27,3	24,1	17,5	27,7
02_82_C	Cluster 2		7,50	29,7	26,4	19,8	30,1
02_82_D	Cluster 2		10,50	31,2	28,0	21,4	31,6
02_83_A	Cluster 2		1,50	36,8	33,6	27,0	37,2
02_83_B	Cluster 2		4,50	27,2	23,9	17,4	27,6
02_83_C	Cluster 2		7,50	29,9	26,6	20,1	30,3
02_83_D	Cluster 2		10,50	31,1	27,8	21,2	31,5
02_84_A	Cluster 2		1,50	25,8	22,4	15,9	26,1
02_84_B	Cluster 2		4,50	26,8	23,5	17,0	27,2
02_84_C	Cluster 2		7,50	28,6	25,3	18,8	29,0
02_84_D	Cluster 2		10,50	30,7	27,5	20,9	31,1
02_85_A	Cluster 2		1,50	25,5	22,2	15,7	25,9
02_85_B	Cluster 2		4,50	26,2	22,9	16,3	26,5
02_85_C	Cluster 2		7,50	27,9	24,6	18,1	28,3
02_85_D	Cluster 2		10,50	29,7	26,4	19,8	30,1
02_86_A	Cluster 2		1,50	27,7	24,4	17,8	28,1
02_86_B	Cluster 2		4,50	28,7	25,4	18,8	29,1
02_86_C	Cluster 2		7,50	31,4	28,0	21,5	31,8
02_87_A	Cluster 2		1,50	27,9	24,6	18,0	28,3
02_87_B	Cluster 2		4,50	29,5	26,2	19,7	29,9

Alle getoonde dB-waarden zijn A-gewogen

Bijlage III-1 Rekenresultaten Ceintuurbaan

Rapport: Resultatentabel
 Model: Kopie van Wegverkeermodel
 LAeq totaalresultaten voor toetspunten
 Groep: Ceintuurbaan
 Groepsreductie: Ja

Naam	Toetspunt	Omschrijving	Hoogte	Dag	Avond	Nacht	Lden
02_87_C	Cluster 2		7,50	32,7	29,4	22,9	33,1
02_88_A	Cluster 2		1,50	28,8	25,5	18,9	29,2
02_88_B	Cluster 2		4,50	30,9	27,5	21,0	31,2
02_88_C	Cluster 2		7,50	36,5	33,2	26,6	36,9
02_89_A	Cluster 2		1,50	29,0	25,7	19,2	29,4
02_89_B	Cluster 2		4,50	31,4	28,0	21,5	31,7
02_89_C	Cluster 2		7,50	33,7	30,3	23,8	34,0
02_90_A	Cluster 2		1,50	29,1	25,8	19,3	29,5
02_90_B	Cluster 2		4,50	35,0	31,8	25,2	35,4
02_90_C	Cluster 2		7,50	36,7	33,5	26,9	37,1
02_91_A	Cluster 2		1,50	29,7	26,4	19,9	30,1
02_91_B	Cluster 2		4,50	35,5	32,3	25,7	35,9
02_91_C	Cluster 2		7,50	37,8	34,6	28,0	38,2
02_92_A	Cluster 2		1,50	31,0	27,7	21,2	31,4
02_92_B	Cluster 2		4,50	37,1	33,9	27,3	37,5
02_92_C	Cluster 2		7,50	39,7	36,5	29,9	40,1
02_93_A	Cluster 2		1,50	32,2	29,0	22,4	32,6
02_93_B	Cluster 2		4,50	36,5	33,3	26,7	36,9
02_93_C	Cluster 2		7,50	39,3	36,1	29,5	39,7
02_94_A	Cluster 2		1,50	30,9	27,6	21,0	31,3
02_94_B	Cluster 2		4,50	36,4	33,2	26,6	36,8
02_94_C	Cluster 2		7,50	39,6	36,4	29,8	40,1
02_95_A	Cluster 2		1,50	29,1	25,7	19,2	29,4
02_95_B	Cluster 2		4,50	31,6	28,3	21,8	32,0
02_95_C	Cluster 2		7,50	34,8	31,6	25,0	35,2
02_96_A	Cluster 2		1,50	30,2	26,9	20,3	30,6
02_96_B	Cluster 2		4,50	34,6	31,4	24,8	35,0
02_97_A	Cluster 2		1,50	29,8	26,5	20,0	30,2
02_97_B	Cluster 2		4,50	34,5	31,2	24,7	34,9
02_98_A	Cluster 2		1,50	28,2	24,9	18,3	28,6
02_98_B	Cluster 2		4,50	35,0	31,7	25,2	35,4
02_98_C	Cluster 2		7,50	38,6	35,4	28,8	39,0
02_99_A	Cluster 2		1,50	30,0	26,7	20,1	30,4
02_99_B	Cluster 2		4,50	35,4	32,1	25,6	35,8
02_99_C	Cluster 2		7,50	38,2	34,9	28,4	38,6
03_01_A	Cluster 3		1,50	22,3	19,0	12,5	22,7
03_01_B	Cluster 3		4,50	23,3	20,0	13,4	23,7
03_01_C	Cluster 3		7,50	24,9	21,7	15,1	25,3
03_02_A	Cluster 3		1,50	19,1	15,8	9,3	19,5
03_02_B	Cluster 3		4,50	19,7	16,4	9,8	20,1
03_02_C	Cluster 3		7,50	20,6	17,3	10,8	21,0
03_03_A	Cluster 3		1,50	18,6	15,4	8,8	19,0
03_03_B	Cluster 3		4,50	19,2	15,9	9,4	19,6
03_03_C	Cluster 3		7,50	20,2	16,9	10,3	20,5
03_04_A	Cluster 3		1,50	18,1	14,8	8,2	18,5
03_04_B	Cluster 3		4,50	18,3	15,0	8,5	18,7
03_04_C	Cluster 3		7,50	19,0	15,7	9,1	19,4
03_05_A	Cluster 3		1,50	18,2	14,9	8,4	18,6
03_05_B	Cluster 3		4,50	19,0	15,7	9,2	19,4
03_06_A	Cluster 3		1,50	17,5	14,2	7,6	17,9
03_06_B	Cluster 3		4,50	18,3	15,0	8,4	18,6
03_07_A	Cluster 3		1,50	21,7	18,4	11,9	22,1
03_07_B	Cluster 3		4,50	23,4	20,1	13,6	23,8
03_08_A	Cluster 3		1,50	21,5	18,1	11,6	21,9
03_08_B	Cluster 3		4,50	23,3	19,9	13,4	23,7
03_09_A	Cluster 3		1,50	22,0	18,7	12,2	22,4
03_09_B	Cluster 3		4,50	23,8	20,4	13,9	24,1
03_09_C	Cluster 3		7,50	26,4	23,1	16,6	26,8
03_10_A	Cluster 3		1,50	22,5	19,1	12,6	22,9
03_10_B	Cluster 3		4,50	24,2	20,8	14,3	24,6
03_10_C	Cluster 3		7,50	26,2	22,9	16,3	26,6
03_11_A	Cluster 3		1,50	22,2	18,9	12,4	22,6
03_11_B	Cluster 3		4,50	23,7	20,3	13,8	24,0
03_11_C	Cluster 3		7,50	25,1	21,7	15,2	25,4
03_12_A	Cluster 3		1,50	22,3	19,0	12,5	22,7
03_12_B	Cluster 3		4,50	24,3	20,9	14,4	24,7
03_12_C	Cluster 3		7,50	26,4	23,0	16,5	26,7
03_13_A	Cluster 3		1,50	22,6	19,3	12,8	23,0
03_13_B	Cluster 3		4,50	24,5	21,2	14,7	24,9
03_13_C	Cluster 3		7,50	26,6	23,3	16,8	27,0
03_14_A	Cluster 3		1,50	22,7	19,3	12,8	23,0
03_14_B	Cluster 3		4,50	24,6	21,2	14,7	24,9
03_14_C	Cluster 3		7,50	26,6	23,3	16,8	27,0
03_15_A	Cluster 3		1,50	22,9	19,6	13,1	23,3

Alle getoonde dB-waarden zijn A-gewogen

Bijlage III-1 Rekenresultaten Ceintuurbaan

Rapport: Resultatentabel
 Model: Kopie van Wegverkeermodel
 LAeq totaalresultaten voor toetspunten
 Groep: Ceintuurbaan
 Groepsreductie: Ja

Naam	Toetspunt	Omschrijving	Hoogte	Dag	Avond	Nacht	Lden
	03_15_B	Cluster 3	4,50	24,9	21,5	15,0	25,3
	03_15_C	Cluster 3	7,50	27,2	23,9	17,4	27,6
	03_16_A	Cluster 3	1,50	23,3	19,9	13,4	23,6
	03_16_B	Cluster 3	4,50	25,3	22,0	15,5	25,7
	03_16_C	Cluster 3	7,50	28,0	24,7	18,2	28,4
	03_17_A	Cluster 3	1,50	23,6	20,2	13,7	23,9
	03_17_B	Cluster 3	4,50	25,5	22,2	15,7	25,9
	03_17_C	Cluster 3	7,50	28,4	25,1	18,5	28,8
	03_18_A	Cluster 3	1,50	23,9	20,5	14,0	24,2
	03_18_B	Cluster 3	4,50	26,0	22,6	16,1	26,4
	03_18_C	Cluster 3	7,50	29,0	25,7	19,1	29,4
	03_19_A	Cluster 3	1,50	23,8	20,5	14,0	24,2
	03_19_B	Cluster 3	4,50	25,7	22,4	15,9	26,1
	03_19_C	Cluster 3	7,50	28,2	24,8	18,3	28,5
	03_20_A	Cluster 3	1,50	23,8	20,4	13,9	24,2
	03_20_B	Cluster 3	4,50	25,8	22,4	15,9	26,2
	03_20_C	Cluster 3	7,50	28,4	25,0	18,5	28,7
	03_21_A	Cluster 3	1,50	27,0	23,8	17,2	27,4
	03_21_B	Cluster 3	4,50	28,9	25,6	19,1	29,3
	03_21_C	Cluster 3	7,50	31,8	28,5	21,9	32,2
	03_22_A	Cluster 3	1,50	28,6	25,4	18,8	29,0
	03_22_B	Cluster 3	4,50	30,3	27,0	20,5	30,7
	03_22_C	Cluster 3	7,50	33,1	29,9	23,3	33,5
	03_23_A	Cluster 3	1,50	30,3	27,1	20,5	30,7
	03_23_B	Cluster 3	4,50	31,6	28,4	21,8	32,0
	03_23_C	Cluster 3	7,50	33,6	30,4	23,8	34,0
	03_24_A	Cluster 3	1,50	32,7	29,5	22,9	33,1
	03_24_B	Cluster 3	4,50	33,6	30,5	23,9	34,1
	03_24_C	Cluster 3	7,50	35,0	31,9	25,2	35,5
	03_25_A	Cluster 3	1,50	34,1	31,0	24,3	34,5
	03_25_B	Cluster 3	4,50	35,0	31,9	25,2	35,5
	03_25_C	Cluster 3	7,50	36,0	32,8	26,2	36,4
	03_26_A	Cluster 3	1,50	33,7	30,6	24,0	34,2
	03_26_B	Cluster 3	4,50	34,6	31,5	24,8	35,0
	03_26_C	Cluster 3	7,50	35,5	32,3	25,7	35,9
	03_27_A	Cluster 3	1,50	34,6	31,5	24,8	35,0
	03_27_B	Cluster 3	4,50	35,5	32,4	25,7	35,9
	03_27_C	Cluster 3	7,50	36,4	33,2	26,6	36,8
	03_28_A	Cluster 3	1,50	33,9	30,8	24,1	34,4
	03_28_B	Cluster 3	4,50	34,6	31,5	24,8	35,0
	03_28_C	Cluster 3	7,50	35,5	32,4	25,8	36,0
	03_29_A	Cluster 3	1,50	30,3	27,2	20,6	30,8
	03_29_B	Cluster 3	4,50	30,5	27,3	20,7	30,9
	03_29_C	Cluster 3	7,50	31,8	28,6	22,0	32,2
	03_30_A	Cluster 3	1,50	24,0	20,7	14,1	24,4
	03_30_B	Cluster 3	4,50	25,5	22,3	15,7	25,9
	03_30_C	Cluster 3	7,50	28,1	24,8	18,3	28,5
	03_31_A	Cluster 3	1,50	20,8	17,6	11,0	21,2
	03_31_B	Cluster 3	4,50	22,4	19,1	12,5	22,7
	03_31_C	Cluster 3	7,50	24,6	21,3	14,7	24,9
	03_32_A	Cluster 3	1,50	23,9	20,5	14,0	24,2
	03_32_B	Cluster 3	4,50	25,6	22,3	15,8	26,0
	03_32_C	Cluster 3	7,50	27,8	24,5	18,0	28,2
	03_33_A	Cluster 3	1,50	21,2	17,9	11,4	21,6
	03_33_B	Cluster 3	4,50	22,5	19,3	12,7	22,9
	03_33_C	Cluster 3	7,50	24,1	20,8	14,3	24,5
	03_34_A	Cluster 3	1,50	20,7	17,4	10,8	21,0
	03_34_B	Cluster 3	4,50	22,1	18,8	12,2	22,5
	03_34_C	Cluster 3	7,50	23,7	20,5	13,9	24,1
	03_35_A	Cluster 3	1,50	20,8	17,5	10,9	21,2
	03_35_B	Cluster 3	4,50	22,4	19,1	12,6	22,8
	03_35_C	Cluster 3	7,50	23,9	20,6	14,1	24,3
	03_36_A	Cluster 3	1,50	20,7	17,4	10,9	21,1
	03_36_B	Cluster 3	4,50	22,3	19,0	12,5	22,7
	03_36_C	Cluster 3	7,50	23,7	20,4	13,8	24,1
	03_37_A	Cluster 3	1,50	20,4	17,1	10,5	20,8
	03_37_B	Cluster 3	4,50	21,6	18,4	11,8	22,0
	03_37_C	Cluster 3	7,50	23,1	19,8	13,2	23,5
	03_38_A	Cluster 3	1,50	20,7	17,5	10,9	21,1
	03_38_B	Cluster 3	4,50	21,7	18,4	11,8	22,1
	03_38_C	Cluster 3	7,50	23,1	19,8	13,2	23,4
	03_39_A	Cluster 3	1,50	21,1	17,8	11,2	21,5
	03_39_B	Cluster 3	4,50	22,0	18,7	12,2	22,4
	03_39_C	Cluster 3	7,50	23,3	20,1	13,5	23,7

Alle getoonde dB-waarden zijn A-gewogen

Bijlage III-1 Rekenresultaten Ceintuurbaan

Rapport: Resultatentabel
 Model: Kopie van Wegverkeermodel
 LAeq totaalresultaten voor toetspunten
 Groep: Ceintuurbaan
 Groepsreductie: Ja

Naam	Toetspunt	Omschrijving	Hoogte	Dag	Avond	Nacht	Lden
	03_40_A	Cluster 3	1,50	21,1	17,8	11,2	21,4
	03_40_B	Cluster 3	4,50	22,2	18,9	12,4	22,6
	03_40_C	Cluster 3	7,50	24,2	20,9	14,3	24,6
	03_41_A	Cluster 3	1,50	20,8	17,5	11,0	21,2
	03_41_B	Cluster 3	4,50	22,2	18,9	12,4	22,6
	03_41_C	Cluster 3	7,50	24,2	20,9	14,4	24,6
	03_42_A	Cluster 3	1,50	20,6	17,3	10,7	21,0
	03_42_B	Cluster 3	4,50	21,9	18,6	12,0	22,3
	03_42_C	Cluster 3	7,50	23,6	20,4	13,8	24,0
	03_43_A	Cluster 3	1,50	19,9	16,6	10,0	20,2
	03_43_B	Cluster 3	4,50	20,4	17,1	10,5	20,8
	03_43_C	Cluster 3	7,50	21,6	18,3	11,8	22,0
	03_44_A	Cluster 3	1,50	19,9	16,6	10,1	20,3
	03_44_B	Cluster 3	4,50	20,6	17,3	10,8	21,0
	03_44_C	Cluster 3	7,50	21,9	18,7	12,1	22,3
	03_45_A	Cluster 3	1,50	19,5	16,2	9,6	19,9
	03_45_B	Cluster 3	4,50	19,8	16,5	9,9	20,2
	03_45_C	Cluster 3	7,50	21,5	18,3	11,7	21,9
	03_46_A	Cluster 3	1,50	19,5	16,2	9,7	19,9
	03_46_B	Cluster 3	4,50	19,5	16,2	9,7	19,9
	03_46_C	Cluster 3	7,50	20,4	17,1	10,6	20,8
	03_47_A	Cluster 3	1,50	22,9	19,5	13,0	23,2
	03_47_B	Cluster 3	4,50	24,5	21,1	14,6	24,8
	03_47_C	Cluster 3	7,50	26,5	23,2	16,6	26,9
	03_48_A	Cluster 3	1,50	24,3	20,9	14,4	24,6
	03_48_B	Cluster 3	4,50	25,9	22,6	16,1	26,3
	03_48_C	Cluster 3	7,50	27,8	24,5	18,0	28,2
	03_49_A	Cluster 3	1,50	24,0	20,7	14,1	24,4
	03_49_B	Cluster 3	4,50	25,5	22,2	15,7	25,9
	03_49_C	Cluster 3	7,50	27,6	24,4	17,8	28,0
	03_50_A	Cluster 3	1,50	23,1	19,8	13,3	23,5
	03_50_B	Cluster 3	4,50	24,8	21,5	15,0	25,2
	03_50_C	Cluster 3	7,50	27,5	24,2	17,7	27,9
	03_51_A	Cluster 3	1,50	22,7	19,3	12,8	23,0
	03_51_B	Cluster 3	4,50	24,3	21,0	14,4	24,7
	03_52_A	Cluster 3	1,50	21,4	18,1	11,5	21,8
	03_52_B	Cluster 3	4,50	22,6	19,3	12,8	23,0
	03_53_A	Cluster 3	1,50	20,6	17,3	10,7	21,0
	03_53_B	Cluster 3	4,50	22,1	18,9	12,3	22,5
	03_53_C	Cluster 3	7,50	24,2	20,9	14,4	24,6
	03_54_A	Cluster 3	1,50	18,3	15,0	8,4	18,6
	03_54_B	Cluster 3	4,50	20,2	16,9	10,3	20,5
	03_54_C	Cluster 3	7,50	20,7	17,4	10,8	21,0
	03_55_A	Cluster 3	1,50	22,3	19,0	12,5	22,7
	03_55_B	Cluster 3	4,50	23,3	20,1	13,5	23,7
	03_55_C	Cluster 3	7,50	25,1	21,8	15,3	25,5
	03_56_A	Cluster 3	1,50	22,4	19,2	12,6	22,8
	03_56_B	Cluster 3	4,50	23,4	20,2	13,6	23,8
	03_56_C	Cluster 3	7,50	25,4	22,2	15,6	25,8
	03_57_A	Cluster 3	1,50	22,6	19,3	12,7	22,9
	03_57_B	Cluster 3	4,50	23,6	20,3	13,8	24,0
	03_57_C	Cluster 3	7,50	25,6	22,3	15,8	26,0
	03_58_A	Cluster 3	1,50	22,4	19,1	12,6	22,8
	03_58_B	Cluster 3	4,50	23,4	20,2	13,6	23,8
	03_58_C	Cluster 3	7,50	25,4	22,2	15,6	25,8
	03_59_A	Cluster 3	1,50	22,7	19,4	12,8	23,1
	03_59_B	Cluster 3	4,50	23,6	20,3	13,8	24,0
	03_59_C	Cluster 3	7,50	25,7	22,5	15,9	26,1
	03_60_A	Cluster 3	1,50	22,3	19,1	12,5	22,7
	03_60_B	Cluster 3	4,50	23,2	20,0	13,4	23,6
	03_60_C	Cluster 3	7,50	25,7	22,4	15,8	26,1
	03_61_A	Cluster 3	1,50	22,1	18,9	12,3	22,5
	03_61_B	Cluster 3	4,50	23,3	20,1	13,5	23,7
	03_61_C	Cluster 3	7,50	25,7	22,5	15,9	26,1
	03_62_A	Cluster 3	1,50	22,5	19,3	12,7	22,9
	03_62_B	Cluster 3	4,50	23,5	20,2	13,7	23,9
	03_62_C	Cluster 3	7,50	26,4	23,1	16,5	26,8
	03_63_A	Cluster 3	1,50	22,1	18,8	12,3	22,5
	03_63_B	Cluster 3	4,50	23,3	20,0	13,5	23,7
	03_63_C	Cluster 3	7,50	27,0	23,7	17,1	27,4
	03_64_A	Cluster 3	1,50	21,5	18,3	11,7	21,9
	03_64_B	Cluster 3	4,50	23,0	19,7	13,1	23,4
	03_64_C	Cluster 3	7,50	26,7	23,4	16,8	27,1
	03_65_A	Cluster 3	1,50	20,5	17,2	10,6	20,8

Alle getoonde dB-waarden zijn A-gewogen

Bijlage III-1 Rekenresultaten Ceintuurbaan

Rapport: Resultatentabel
 Model: Kopie van Wegverkeermodel
 LAeq totaalresultaten voor toetspunten
 Groep: Ceintuurbaan
 Groepsreductie: Ja

Naam	Toetspunt	Omschrijving	Hoogte	Dag	Avond	Nacht	Lden
	03_65_B	Cluster 3	4,50	19,7	16,4	9,8	20,1
	03_65_C	Cluster 3	7,50	22,2	18,9	12,4	22,6
	03_66_A	Cluster 3	1,50	20,9	17,6	11,1	21,3
	03_66_B	Cluster 3	4,50	19,3	16,0	9,5	19,7
	03_66_C	Cluster 3	7,50	21,1	17,8	11,3	21,5
	03_67_A	Cluster 3	1,50	21,0	17,6	11,1	21,3
	03_67_B	Cluster 3	4,50	21,8	18,4	11,9	22,1
	03_67_C	Cluster 3	7,50	27,5	24,1	17,6	27,9
	03_68_A	Cluster 3	1,50	21,2	17,9	11,3	21,5
	03_68_B	Cluster 3	4,50	19,4	16,1	9,5	19,7
	03_68_C	Cluster 3	7,50	21,8	18,5	11,9	22,2
	03_69_A	Cluster 3	1,50	21,3	18,0	11,5	21,7
	03_69_B	Cluster 3	4,50	19,8	16,5	9,9	20,2
	03_69_C	Cluster 3	7,50	20,7	17,4	10,8	21,1
	03_70_A	Cluster 3	1,50	21,6	18,3	11,8	22,0
	03_70_B	Cluster 3	4,50	20,3	16,9	10,4	20,6
	03_70_C	Cluster 3	7,50	21,2	17,9	11,4	21,6
	03_71_A	Cluster 3	1,50	21,3	18,0	11,5	21,7
	03_71_B	Cluster 3	4,50	20,3	17,0	10,4	20,7
	03_71_C	Cluster 3	7,50	21,3	18,1	11,5	21,7
	03_72_A	Cluster 3	1,50	21,1	17,8	11,3	21,5
	03_72_B	Cluster 3	4,50	20,6	17,3	10,7	21,0
	03_72_C	Cluster 3	7,50	21,8	18,5	11,9	22,2
	03_73_A	Cluster 3	1,50	21,4	18,1	11,6	21,8
	03_73_B	Cluster 3	4,50	21,1	17,8	11,2	21,4
	03_73_C	Cluster 3	7,50	22,7	19,4	12,9	23,1
	03_74_A	Cluster 3	1,50	20,4	17,1	10,6	20,8
	03_74_B	Cluster 3	4,50	20,4	17,0	10,5	20,7
	03_74_C	Cluster 3	7,50	22,1	18,8	12,3	22,5
	03_75_A	Cluster 3	1,50	23,4	20,1	13,6	23,8
	03_75_B	Cluster 3	4,50	25,4	22,0	15,5	25,7
	03_75_C	Cluster 3	7,50	28,2	24,9	18,4	28,6
	03_76_A	Cluster 3	1,50	23,8	20,4	13,9	24,1
	03_76_B	Cluster 3	4,50	25,2	21,9	15,4	25,6
	03_76_C	Cluster 3	7,50	27,4	24,1	17,5	27,8
	03_77_A	Cluster 3	1,50	24,2	20,9	14,3	24,6
	03_77_B	Cluster 3	4,50	25,7	22,3	15,8	26,0
	03_77_C	Cluster 3	7,50	28,3	25,0	18,4	28,7
	03_78_A	Cluster 3	1,50	23,8	20,5	14,0	24,2
	03_78_B	Cluster 3	4,50	24,9	21,6	15,1	25,3
	03_78_C	Cluster 3	7,50	27,6	24,4	17,8	28,0
	03_79_A	Cluster 3	1,50	24,1	20,7	14,2	24,5
	03_79_B	Cluster 3	4,50	25,4	22,1	15,5	25,8
	03_79_C	Cluster 3	7,50	28,4	25,1	18,6	28,8
	03_80_A	Cluster 3	1,50	24,0	20,7	14,2	24,4
	03_80_B	Cluster 3	4,50	25,2	21,8	15,3	25,5
	03_80_C	Cluster 3	7,50	27,4	24,1	17,5	27,8
	03_81_A	Cluster 3	1,50	24,0	20,6	14,1	24,3
	03_81_B	Cluster 3	4,50	24,9	21,6	15,0	25,3
	03_81_C	Cluster 3	7,50	26,9	23,6	17,1	27,3
	03_82_A	Cluster 3	1,50	23,0	19,6	13,1	23,3
	03_82_B	Cluster 3	4,50	24,5	21,2	14,7	24,9
	03_82_C	Cluster 3	7,50	27,4	24,2	17,6	27,8
	03_83_A	Cluster 3	1,50	23,5	20,2	13,6	23,9
	03_83_B	Cluster 3	4,50	24,6	21,2	14,7	25,0
	03_83_C	Cluster 3	7,50	27,2	23,9	17,4	27,6
	03_84_A	Cluster 3	1,50	24,3	21,0	14,4	24,7
	03_84_B	Cluster 3	4,50	25,9	22,5	16,0	26,2
	03_84_C	Cluster 3	7,50	28,1	24,8	18,3	28,5
	03_85_A	Cluster 3	1,50	23,5	20,2	13,6	23,9
	03_85_B	Cluster 3	4,50	25,0	21,6	15,1	25,3
	03_85_C	Cluster 3	7,50	27,5	24,1	17,6	27,8
	03_86_A	Cluster 3	1,50	21,2	17,9	11,4	21,6
	03_86_B	Cluster 3	4,50	22,8	19,4	12,9	23,1
	03_86_C	Cluster 3	7,50	24,6	21,3	14,7	25,0
	03_87_A	Cluster 3	1,50	24,7	21,4	14,8	25,1
	03_87_B	Cluster 3	4,50	26,2	22,9	16,3	26,6
	03_87_C	Cluster 3	7,50	28,7	25,4	18,8	29,1
	04_01_A	Cluster 4	1,50	28,2	25,1	18,4	28,6
	04_01_B	Cluster 4	4,50	31,4	28,3	21,7	31,9
	04_01_C	Cluster 4	7,50	33,0	29,8	23,2	33,4
	04_02_A	Cluster 4	1,50	25,3	22,1	15,5	25,7
	04_02_B	Cluster 4	4,50	33,8	30,7	24,0	34,2
	04_02_C	Cluster 4	7,50	36,0	32,8	26,2	36,4

Alle getoonde dB-waarden zijn A-gewogen

Bijlage III-1 Rekenresultaten Ceintuurbaan

Rapport: Resultatentabel
 Model: Kopie van Wegverkeermodel
 LAeq totaalresultaten voor toetspunten
 Groep: Ceintuurbaan
 Groepsreductie: Ja

Naam	Toetspunt	Omschrijving	Hoogte	Dag	Avond	Nacht	Lden
04_03_A	Cluster 4	Cluster 4	1,50	41,2	38,1	31,4	41,7
04_03_B	Cluster 4	Cluster 4	4,50	42,4	39,3	32,7	42,9
04_03_C	Cluster 4	Cluster 4	7,50	43,5	40,4	33,7	44,0
04_04_A	Cluster 4	Cluster 4	1,50	41,5	38,4	31,7	41,9
04_04_B	Cluster 4	Cluster 4	4,50	42,7	39,6	32,9	43,1
04_04_C	Cluster 4	Cluster 4	7,50	44,0	40,8	34,2	44,4
04_05_A	Cluster 4	Cluster 4	1,50	29,6	26,5	19,8	30,1
04_05_B	Cluster 4	Cluster 4	4,50	30,6	27,5	20,9	31,1
04_05_C	Cluster 4	Cluster 4	7,50	31,6	28,5	21,8	32,0
04_06_A	Cluster 4	Cluster 4	1,50	28,4	25,3	18,6	28,8
04_06_B	Cluster 4	Cluster 4	4,50	29,1	26,0	19,3	29,5
04_06_C	Cluster 4	Cluster 4	7,50	29,8	26,7	20,0	30,3
04_07_A	Cluster 4	Cluster 4	1,50	29,2	26,1	19,4	29,6
04_07_B	Cluster 4	Cluster 4	4,50	30,9	27,7	21,1	31,3
04_07_C	Cluster 4	Cluster 4	7,50	33,8	30,6	24,0	34,2
04_08_A	Cluster 4	Cluster 4	1,50	36,1	33,0	26,4	36,6
04_08_B	Cluster 4	Cluster 4	4,50	36,9	33,7	27,1	37,3
04_08_C	Cluster 4	Cluster 4	7,50	38,8	35,7	29,0	39,2
04_09_A	Cluster 4	Cluster 4	1,50	37,9	34,8	28,1	38,4
04_09_B	Cluster 4	Cluster 4	4,50	38,8	35,6	29,0	39,2
04_09_C	Cluster 4	Cluster 4	7,50	40,6	37,4	30,8	41,0
04_10_A	Cluster 4	Cluster 4	1,50	40,3	37,2	30,5	40,7
04_10_B	Cluster 4	Cluster 4	4,50	40,1	37,0	30,4	40,6
04_10_C	Cluster 4	Cluster 4	7,50	41,5	38,4	31,7	42,0
04_11_A	Cluster 4	Cluster 4	1,50	29,9	26,8	20,1	30,3
04_11_B	Cluster 4	Cluster 4	4,50	30,8	27,7	21,0	31,2
04_11_C	Cluster 4	Cluster 4	7,50	31,7	28,6	21,9	32,1
04_12_A	Cluster 4	Cluster 4	1,50	32,0	28,8	22,2	32,4
04_12_B	Cluster 4	Cluster 4	4,50	32,8	29,6	23,0	33,2
04_12_C	Cluster 4	Cluster 4	7,50	33,5	30,4	23,8	34,0
04_13_A	Cluster 4	Cluster 4	1,50	34,1	31,0	24,4	34,6
04_13_B	Cluster 4	Cluster 4	4,50	34,4	31,3	24,6	34,9
04_13_C	Cluster 4	Cluster 4	7,50	36,0	32,9	26,2	36,5
04_14_A	Cluster 4	Cluster 4	1,50	26,7	23,4	16,9	27,1
04_14_B	Cluster 4	Cluster 4	4,50	32,1	28,9	22,3	32,5
04_14_C	Cluster 4	Cluster 4	7,50	34,7	31,5	24,9	35,1
04_15_A	Cluster 4	Cluster 4	1,50	32,8	29,6	23,0	33,2
04_15_B	Cluster 4	Cluster 4	4,50	34,1	30,9	24,3	34,5
04_15_C	Cluster 4	Cluster 4	7,50	37,0	33,8	27,2	37,4
04_16_A	Cluster 4	Cluster 4	1,50	31,6	28,4	21,8	32,0
04_16_B	Cluster 4	Cluster 4	4,50	33,1	29,9	23,3	33,5
04_16_C	Cluster 4	Cluster 4	7,50	36,2	33,1	26,4	36,7
04_17_A	Cluster 4	Cluster 4	1,50	--	--	--	--
04_17_B	Cluster 4	Cluster 4	4,50	30,9	27,7	21,1	31,3
04_17_C	Cluster 4	Cluster 4	7,50	33,6	30,4	23,8	34,1
04_18_A	Cluster 4	Cluster 4	1,50	33,5	30,3	23,7	33,9
04_18_B	Cluster 4	Cluster 4	4,50	34,1	30,9	24,3	34,5
04_18_C	Cluster 4	Cluster 4	7,50	34,7	31,6	24,9	35,2
04_19_A	Cluster 4	Cluster 4	1,50	39,2	36,1	29,4	39,7
04_19_B	Cluster 4	Cluster 4	4,50	40,1	36,9	30,3	40,5
04_19_C	Cluster 4	Cluster 4	7,50	40,7	37,6	30,9	41,2
04_20_A	Cluster 4	Cluster 4	1,50	33,2	30,1	23,4	33,6
04_20_B	Cluster 4	Cluster 4	4,50	34,4	31,3	24,6	34,8
04_20_C	Cluster 4	Cluster 4	7,50	36,7	33,6	26,9	37,1
04_21_A	Cluster 4	Cluster 4	1,50	30,4	27,3	20,6	30,8
04_21_B	Cluster 4	Cluster 4	4,50	31,2	28,0	21,4	31,6
04_21_C	Cluster 4	Cluster 4	7,50	32,5	29,4	22,7	32,9
04_22_A	Cluster 4	Cluster 4	1,50	44,5	41,4	34,8	45,0
04_22_B	Cluster 4	Cluster 4	4,50	45,9	42,8	36,1	46,3
04_22_C	Cluster 4	Cluster 4	7,50	46,5	43,4	36,8	47,0
04_23_A	Cluster 4	Cluster 4	1,50	46,2	43,1	36,4	46,6
04_23_B	Cluster 4	Cluster 4	4,50	47,7	44,6	37,9	48,2
04_23_C	Cluster 4	Cluster 4	7,50	48,2	45,1	38,5	48,7
04_24_A	Cluster 4	Cluster 4	1,50	46,5	43,4	36,8	47,0
04_24_B	Cluster 4	Cluster 4	4,50	48,0	44,9	38,3	48,5
04_24_C	Cluster 4	Cluster 4	7,50	48,5	45,4	38,7	48,9
04_25_A	Cluster 4	Cluster 4	1,50	47,1	44,0	37,4	47,6
04_25_B	Cluster 4	Cluster 4	4,50	48,6	45,5	38,9	49,1
04_25_C	Cluster 4	Cluster 4	7,50	49,0	45,9	39,2	49,4
04_26_A	Cluster 4	Cluster 4	1,50	47,9	44,8	38,1	48,3
04_26_B	Cluster 4	Cluster 4	4,50	49,3	46,1	39,5	49,7
04_26_C	Cluster 4	Cluster 4	7,50	49,5	46,4	39,8	50,0
04_27_A	Cluster 4	Cluster 4	1,50	49,5	46,4	39,8	50,0
04_27_B	Cluster 4	Cluster 4	4,50	50,7	47,5	40,9	51,1

Alle getoonde dB-waarden zijn A-gewogen

Bijlage III-1 Rekenresultaten Ceintuurbaan

Rapport: Resultatentabel
 Model: Kopie van Wegverkeermodel
 LAeq totaalresultaten voor toetspunten
 Groep: Ceintuurbaan
 Groepsreductie: Ja

Naam	Toetspunt	Omschrijving	Hoogte	Dag	Avond	Nacht	Lden
04_27_C	Cluster 4		7,50	50,9	47,7	41,1	51,3
04_27_D	Cluster 4		10,50	50,9	47,7	41,1	51,3
04_28_A	Cluster 4		1,50	53,0	49,9	43,3	53,5
04_28_B	Cluster 4		4,50	54,1	51,0	44,3	54,5
04_28_C	Cluster 4		7,50	54,3	51,1	44,5	54,7
04_28_D	Cluster 4		10,50	54,2	51,1	44,4	54,7
04_29_A	Cluster 4		1,50	53,1	50,0	43,3	53,5
04_29_B	Cluster 4		4,50	54,1	51,0	44,3	54,6
04_29_C	Cluster 4		7,50	54,3	51,2	44,5	54,7
04_29_D	Cluster 4		10,50	54,2	51,1	44,5	54,7
04_30_A	Cluster 4		1,50	53,1	50,0	43,3	53,5
04_30_B	Cluster 4		4,50	54,1	51,0	44,3	54,5
04_30_C	Cluster 4		7,50	54,3	51,2	44,5	54,7
04_30_D	Cluster 4		10,50	54,2	51,1	44,5	54,7
04_31_A	Cluster 4		1,50	52,9	49,8	43,2	53,4
04_31_B	Cluster 4		4,50	54,0	50,9	44,2	54,5
04_31_C	Cluster 4		7,50	54,2	51,1	44,4	54,6
04_31_D	Cluster 4		10,50	54,1	51,0	44,4	54,6
04_32_A	Cluster 4		1,50	52,9	49,8	43,1	53,3
04_32_B	Cluster 4		4,50	54,0	50,8	44,2	54,4
04_32_C	Cluster 4		7,50	54,1	51,0	44,4	54,6
04_32_D	Cluster 4		10,50	54,1	51,0	44,3	54,5
04_33_A	Cluster 4		1,50	52,7	49,6	42,9	53,1
04_33_B	Cluster 4		4,50	53,8	50,7	44,1	54,3
04_33_C	Cluster 4		7,50	54,0	50,9	44,2	54,5
04_33_D	Cluster 4		10,50	54,0	50,9	44,2	54,4
04_34_A	Cluster 4		1,50	52,6	49,5	42,9	53,1
04_34_B	Cluster 4		4,50	53,8	50,7	44,0	54,2
04_34_C	Cluster 4		7,50	54,0	50,9	44,2	54,4
04_34_D	Cluster 4		10,50	54,0	50,9	44,2	54,4
04_35_A	Cluster 4		1,50	52,5	49,4	42,7	52,9
04_35_B	Cluster 4		4,50	53,7	50,6	43,9	54,1
04_35_C	Cluster 4		7,50	53,9	50,8	44,1	54,3
04_35_D	Cluster 4		10,50	53,9	50,7	44,1	54,3
04_36_A	Cluster 4		1,50	52,3	49,2	42,6	52,8
04_36_B	Cluster 4		4,50	53,6	50,5	43,8	54,0
04_36_C	Cluster 4		7,50	53,8	50,7	44,0	54,3
04_36_D	Cluster 4		10,50	53,8	50,7	44,0	54,2
04_37_A	Cluster 4		1,50	52,2	49,1	42,5	52,7
04_37_B	Cluster 4		4,50	53,5	50,4	43,7	54,0
04_37_C	Cluster 4		7,50	53,7	50,6	44,0	54,2
04_37_D	Cluster 4		10,50	53,7	50,6	44,0	54,2
04_38_A	Cluster 4		1,50	52,1	49,1	42,4	52,6
04_38_B	Cluster 4		4,50	53,5	50,4	43,7	53,9
04_38_C	Cluster 4		7,50	53,7	50,6	43,9	54,1
04_38_D	Cluster 4		10,50	53,7	50,6	43,9	54,1
04_39_A	Cluster 4		1,50	51,9	48,8	42,2	52,4
04_39_B	Cluster 4		4,50	53,3	50,2	43,5	53,7
04_40_A	Cluster 4		1,50	51,9	48,8	42,1	52,3
04_40_B	Cluster 4		4,50	53,2	50,1	43,5	53,7
04_41_A	Cluster 4		1,50	48,3	45,2	38,5	48,7
04_41_B	Cluster 4		4,50	49,8	46,6	40,0	50,2
04_42_A	Cluster 4		1,50	47,6	44,5	37,9	48,1
04_42_B	Cluster 4		4,50	49,2	46,1	39,5	49,7
04_43_A	Cluster 4		1,50	46,3	43,2	36,5	46,7
04_43_B	Cluster 4		4,50	47,9	44,8	38,1	48,3
04_43_C	Cluster 4		7,50	48,3	45,2	38,5	48,8
04_44_A	Cluster 4		1,50	23,7	20,4	13,9	24,1
04_44_B	Cluster 4		4,50	24,9	21,6	15,1	25,3
04_44_C	Cluster 4		7,50	27,5	24,2	17,7	27,9
04_45_A	Cluster 4		1,50	26,4	23,2	16,6	26,8
04_45_B	Cluster 4		4,50	30,4	27,2	20,6	30,9
04_45_C	Cluster 4		7,50	39,8	36,7	30,0	40,2
04_46_A	Cluster 4		1,50	26,6	23,4	16,8	27,0
04_46_B	Cluster 4		4,50	31,2	28,0	21,4	31,6
04_47_A	Cluster 4		1,50	27,0	23,9	17,2	27,5
04_47_B	Cluster 4		4,50	30,1	26,9	20,3	30,5
04_48_A	Cluster 4		1,50	30,4	27,3	20,7	30,9
04_48_B	Cluster 4		4,50	31,8	28,7	22,0	32,3
04_48_C	Cluster 4		7,50	33,0	29,9	23,2	33,4
04_48_D	Cluster 4		10,50	35,1	32,0	25,4	35,6
04_49_A	Cluster 4		1,50	32,3	29,2	22,6	32,8
04_49_B	Cluster 4		4,50	33,7	30,6	23,9	34,1
04_49_C	Cluster 4		7,50	34,7	31,5	24,9	35,1

Alle getoonde dB-waarden zijn A-gewogen

Bijlage III-1 Rekenresultaten Ceintuurbaan

Rapport: Resultatentabel
 Model: Kopie van Wegverkeermodel
 LAeq totaalresultaten voor toetspunten
 Groep: Ceintuurbaan
 Groepsreductie: Ja

Naam	Toetspunt	Omschrijving	Hoogte	Dag	Avond	Nacht	Lden
04_49_D	Cluster 4		10,50	36,6	33,4	26,8	37,0
04_50_A	Cluster 4		1,50	33,1	30,0	23,3	33,5
04_50_B	Cluster 4		4,50	34,3	31,2	24,6	34,8
04_50_C	Cluster 4		7,50	35,5	32,4	25,7	35,9
04_50_D	Cluster 4		10,50	37,6	34,5	27,9	38,1
04_51_A	Cluster 4		1,50	32,2	29,1	22,5	32,7
04_51_B	Cluster 4		4,50	30,9	27,7	21,1	31,3
04_51_C	Cluster 4		7,50	32,3	29,1	22,5	32,7
04_51_D	Cluster 4		10,50	35,4	32,3	25,6	35,8
04_52_A	Cluster 4		1,50	31,5	28,4	21,7	31,9
04_52_B	Cluster 4		4,50	26,1	22,8	16,2	26,5
04_52_C	Cluster 4		7,50	29,0	25,8	19,2	29,4
04_52_D	Cluster 4		10,50	34,5	31,3	24,7	34,9
04_53_A	Cluster 4		1,50	28,0	24,9	18,3	28,5
04_53_B	Cluster 4		4,50	30,4	27,2	20,6	30,8
04_53_C	Cluster 4		7,50	32,3	29,2	22,5	32,8
04_53_D	Cluster 4		10,50	36,0	32,9	26,2	36,5
04_54_A	Cluster 4		1,50	27,9	24,7	18,1	28,3
04_54_B	Cluster 4		4,50	29,4	26,3	19,6	29,9
04_54_C	Cluster 4		7,50	31,5	28,3	21,7	31,9
04_54_D	Cluster 4		10,50	35,1	32,0	25,3	35,5
04_55_A	Cluster 4		1,50	24,0	20,7	14,1	24,4
04_55_B	Cluster 4		4,50	25,5	22,2	15,6	25,8
04_55_C	Cluster 4		7,50	29,6	26,3	19,7	30,0
04_55_D	Cluster 4		10,50	35,0	31,9	25,2	35,4
04_56_A	Cluster 4		1,50	24,5	21,2	14,7	24,9
04_56_B	Cluster 4		4,50	26,7	23,4	16,8	27,1
04_56_C	Cluster 4		7,50	30,9	27,7	21,1	31,3
04_56_D	Cluster 4		10,50	34,7	31,6	24,9	35,2
04_57_A	Cluster 4		1,50	24,2	21,0	14,4	24,6
04_57_B	Cluster 4		4,50	25,2	22,0	15,4	25,6
04_57_C	Cluster 4		7,50	29,6	26,4	19,8	30,0
04_57_D	Cluster 4		10,50	33,4	30,2	23,6	33,8
04_58_A	Cluster 4		1,50	23,9	20,7	14,1	24,3
04_58_B	Cluster 4		4,50	25,5	22,2	15,6	25,9
04_58_C	Cluster 4		7,50	29,8	26,6	20,0	30,2
04_58_D	Cluster 4		10,50	34,0	30,9	24,3	34,5
04_59_A	Cluster 4		1,50	27,0	23,8	17,2	27,4
04_59_B	Cluster 4		4,50	28,3	25,1	18,5	28,7
04_59_C	Cluster 4		7,50	30,9	27,6	21,0	31,3
04_60_A	Cluster 4		1,50	27,2	24,0	17,4	27,6
04_60_B	Cluster 4		4,50	28,7	25,5	18,9	29,1
04_60_C	Cluster 4		7,50	31,9	28,7	22,1	32,3
04_61_A	Cluster 4		1,50	28,0	24,8	18,2	28,4
04_61_B	Cluster 4		4,50	29,9	26,6	20,0	30,3
04_61_C	Cluster 4		7,50	35,6	32,4	25,8	36,1
04_62_A	Cluster 4		1,50	26,7	23,5	16,9	27,1
04_62_B	Cluster 4		4,50	29,5	26,2	19,6	29,9
04_62_C	Cluster 4		7,50	31,8	28,6	22,0	32,2
04_63_A	Cluster 4		1,50	26,9	23,6	17,0	27,3
04_63_B	Cluster 4		4,50	28,7	25,5	18,9	29,1
04_63_C	Cluster 4		7,50	31,4	28,1	21,5	31,8
04_64_A	Cluster 4		1,50	27,2	24,0	17,4	27,6
04_64_B	Cluster 4		4,50	29,4	26,2	19,6	29,9
04_64_C	Cluster 4		7,50	34,1	30,9	24,3	34,5
05_01_A	Cluster 5		1,50	24,0	20,8	14,2	24,4
05_01_B	Cluster 5		4,50	25,8	22,6	16,0	26,2
05_01_C	Cluster 5		7,50	29,0	25,8	19,2	29,4
05_02_A	Cluster 5		1,50	20,8	17,6	11,0	21,2
05_02_B	Cluster 5		4,50	22,1	18,8	12,3	22,5
05_02_C	Cluster 5		7,50	23,9	20,6	14,1	24,3
05_03_A	Cluster 5		1,50	20,7	17,4	10,9	21,1
05_03_B	Cluster 5		4,50	21,6	18,3	11,8	22,0
05_03_C	Cluster 5		7,50	24,2	21,0	14,4	24,6
05_04_A	Cluster 5		1,50	23,4	20,2	13,6	23,8
05_04_B	Cluster 5		4,50	24,6	21,4	14,8	25,0
05_04_C	Cluster 5		7,50	27,7	24,5	17,9	28,1
05_05_A	Cluster 5		1,50	22,2	18,9	12,3	22,6
05_05_B	Cluster 5		4,50	23,8	20,6	14,0	24,2
05_05_C	Cluster 5		7,50	25,9	22,7	16,1	26,3
05_06_A	Cluster 5		1,50	19,9	16,7	10,1	20,3
05_06_B	Cluster 5		4,50	21,0	17,7	11,2	21,4
05_06_C	Cluster 5		7,50	22,6	19,3	12,8	23,0
05_07_A	Cluster 5		1,50	19,1	15,9	9,3	19,5

Alle getoonde dB-waarden zijn A-gewogen

Bijlage III-1 Rekenresultaten Ceintuurbaan

Rapport: Resultatentabel
 Model: Kopie van Wegverkeermodel
 LAeq totaalresultaten voor toetspunten
 Groep: Ceintuurbaan
 Groepsreductie: Ja

Naam						
Toetspunt	Omschrijving	Hoogte	Dag	Avond	Nacht	Lden
05_07_B	Cluster 5	4,50	20,6	17,3	10,7	21,0
05_07_C	Cluster 5	7,50	23,3	20,0	13,4	23,7
05_08_A	Cluster 5	1,50	21,3	18,1	11,5	21,7
05_08_B	Cluster 5	4,50	23,5	20,2	13,6	23,9
05_08_C	Cluster 5	7,50	26,3	23,1	16,5	26,7
05_09_A	Cluster 5	1,50	21,4	18,1	11,6	21,8
05_09_B	Cluster 5	4,50	23,1	19,8	13,2	23,5
05_09_C	Cluster 5	7,50	25,2	22,0	15,4	25,6
05_10_A	Cluster 5	1,50	20,8	17,5	10,9	21,2
05_10_B	Cluster 5	4,50	22,3	18,9	12,4	22,7
05_10_C	Cluster 5	7,50	23,8	20,5	13,9	24,2
05_11_A	Cluster 5	1,50	19,0	15,7	9,2	19,4
05_11_B	Cluster 5	4,50	20,3	17,0	10,4	20,7
05_11_C	Cluster 5	7,50	22,0	18,8	12,2	22,4
05_12_A	Cluster 5	1,50	19,9	16,6	10,1	20,3
05_12_B	Cluster 5	4,50	22,2	18,9	12,3	22,6
05_12_C	Cluster 5	7,50	25,0	21,8	15,2	25,4
05_13_A	Cluster 5	1,50	20,9	17,6	11,1	21,3
05_13_B	Cluster 5	4,50	22,7	19,4	12,8	23,1
05_13_C	Cluster 5	7,50	24,7	21,4	14,8	25,1
05_14_A	Cluster 5	1,50	18,8	15,5	9,0	19,2
05_14_B	Cluster 5	4,50	19,8	16,5	9,9	20,2
05_14_C	Cluster 5	7,50	20,9	17,6	11,1	21,3
05_15_A	Cluster 5	1,50	18,1	14,8	8,3	18,5
05_15_B	Cluster 5	4,50	19,1	15,8	9,2	19,5
05_15_C	Cluster 5	7,50	20,3	17,0	10,4	20,6
05_16_A	Cluster 5	1,50	19,3	16,0	9,5	19,7
05_16_B	Cluster 5	4,50	21,6	18,3	11,7	22,0
05_16_C	Cluster 5	7,50	24,3	21,1	14,5	24,7
05_17_A	Cluster 5	1,50	22,3	19,0	12,4	22,7
05_17_B	Cluster 5	4,50	23,8	20,6	14,0	24,2
05_17_C	Cluster 5	7,50	26,3	23,0	16,5	26,7
05_18_A	Cluster 5	1,50	22,3	19,0	12,5	22,7
05_18_B	Cluster 5	4,50	24,1	20,8	14,2	24,5
05_18_C	Cluster 5	7,50	26,5	23,3	16,7	26,9
05_19_A	Cluster 5	1,50	18,5	15,2	8,7	18,9
05_19_B	Cluster 5	4,50	19,0	15,7	9,1	19,4
05_19_C	Cluster 5	7,50	20,8	17,5	10,9	21,2
05_20_A	Cluster 5	1,50	21,4	18,1	11,5	21,7
05_20_B	Cluster 5	4,50	23,0	19,7	13,2	23,4
05_20_C	Cluster 5	7,50	24,7	21,3	14,8	25,0
05_21_A	Cluster 5	1,50	21,4	18,1	11,6	21,8
05_21_B	Cluster 5	4,50	23,1	19,8	13,2	23,5
05_21_C	Cluster 5	7,50	25,5	22,2	15,6	25,9
05_22_A	Cluster 5	1,50	28,5	25,4	18,8	29,0
05_22_B	Cluster 5	4,50	29,0	25,9	19,3	29,5
05_22_C	Cluster 5	7,50	29,9	26,7	20,1	30,3
05_23_A	Cluster 5	1,50	19,5	16,2	9,7	19,9
05_23_B	Cluster 5	4,50	20,4	17,1	10,5	20,8
05_23_C	Cluster 5	7,50	22,7	19,5	12,9	23,1
05_24_A	Cluster 5	1,50	30,5	27,4	20,7	30,9
05_24_B	Cluster 5	4,50	30,8	27,6	21,0	31,2
05_24_C	Cluster 5	7,50	31,5	28,3	21,7	31,9
05_25_A	Cluster 5	1,50	30,8	27,7	21,0	31,2
05_25_B	Cluster 5	4,50	31,0	27,9	21,3	31,5
05_25_C	Cluster 5	7,50	31,7	28,6	21,9	32,2
05_26_A	Cluster 5	1,50	30,0	26,9	20,2	30,4
05_26_B	Cluster 5	4,50	30,3	27,2	20,5	30,7
05_26_C	Cluster 5	7,50	31,9	28,7	22,1	32,3
05_27_A	Cluster 5	1,50	30,1	26,9	20,3	30,5
05_27_B	Cluster 5	4,50	30,4	27,3	20,7	30,9
05_27_C	Cluster 5	7,50	32,1	29,0	22,3	32,6
05_28_A	Cluster 5	1,50	30,3	27,2	20,5	30,7
05_28_B	Cluster 5	4,50	30,6	27,5	20,9	31,1
05_28_C	Cluster 5	7,50	32,3	29,1	22,5	32,7
05_29_A	Cluster 5	1,50	30,1	27,0	20,3	30,5
05_29_B	Cluster 5	4,50	30,5	27,3	20,7	30,9
05_29_C	Cluster 5	7,50	32,3	29,2	22,5	32,7
05_30_A	Cluster 5	1,50	24,2	21,0	14,4	24,6
05_30_B	Cluster 5	4,50	26,3	23,1	16,5	26,7
05_30_C	Cluster 5	7,50	32,0	28,9	22,3	32,5
05_31_A	Cluster 5	1,50	22,0	18,7	12,1	22,4
05_31_B	Cluster 5	4,50	23,1	19,8	13,3	23,5
05_31_C	Cluster 5	7,50	24,7	21,4	14,8	25,1

Alle getoonde dB-waarden zijn A-gewogen

Bijlage III-1 Rekenresultaten Ceintuurbaan

Rapport: Resultatentabel
 Model: Kopie van Wegverkeermodel
 LAeq totaalresultaten voor toetspunten
 Groep: Ceintuurbaan
 Groepsreductie: Ja

Naam	Toetspunt	Omschrijving	Hoogte	Dag	Avond	Nacht	Lden
05_32_A	Cluster 5		1,50	22,1	18,8	12,2	22,5
05_32_B	Cluster 5		4,50	23,2	19,9	13,3	23,6
05_32_C	Cluster 5		7,50	24,8	21,5	14,9	25,2
05_33_A	Cluster 5		1,50	22,2	18,9	12,4	22,6
05_33_B	Cluster 5		4,50	23,3	20,0	13,5	23,7
05_33_C	Cluster 5		7,50	24,9	21,6	15,1	25,3
05_34_A	Cluster 5		1,50	22,3	19,1	12,5	22,7
05_34_B	Cluster 5		4,50	23,2	19,9	13,4	23,6
05_34_C	Cluster 5		7,50	24,7	21,4	14,8	25,0
05_35_A	Cluster 5		1,50	22,1	18,9	12,3	22,5
05_35_B	Cluster 5		4,50	23,0	19,8	13,2	23,4
05_35_C	Cluster 5		7,50	24,5	21,2	14,6	24,9
05_36_A	Cluster 5		1,50	21,9	18,6	12,1	22,3
05_36_B	Cluster 5		4,50	23,1	19,8	13,2	23,5
05_36_C	Cluster 5		7,50	24,8	21,5	14,9	25,1
S_01_A	SMCD		2,00	34,9	31,8	25,1	35,3
S_01_B	SMCD		5,00	35,2	32,1	25,4	35,7
S_02_A	SMCD		2,00	20,0	16,7	10,1	20,3
S_02_B	SMCD		5,00	21,8	18,5	12,0	22,2
S_03_A	SMCD		2,00	25,6	22,4	15,8	26,0
S_03_B	SMCD		5,00	27,5	24,3	17,7	27,9
S_04_A	SMCD		2,00	20,6	17,3	10,8	21,0
S_04_B	SMCD		5,00	22,7	19,5	12,9	23,1
S_05_A	SMCD		2,00	22,5	19,2	12,6	22,9
S_05_B	SMCD		5,00	23,9	20,6	14,1	24,3
S_06_A	SMCD		2,00	35,4	32,3	25,6	35,8
S_06_B	SMCD		5,00	35,7	32,6	25,9	36,2
S_07_A	SMCD		2,00	36,1	33,0	26,3	36,5
S_07_B	SMCD		5,00	36,5	33,4	26,7	36,9
S_08_A	SMCD		1,50	19,7	16,4	9,8	20,1
S_08_B	SMCD		5,00	21,4	18,1	11,6	21,8
S_08_C	SMCD		8,50	23,3	20,1	13,5	23,7
S_08_D	SMCD		12,00	19,1	15,9	9,3	19,5
S_09_A	SMCD		1,50	18,6	15,3	8,8	19,0
S_09_B	SMCD		5,00	19,9	16,6	10,0	20,3
S_09_C	SMCD		8,50	22,1	18,9	12,3	22,6
S_09_D	SMCD		12,00	18,9	15,7	9,1	19,3
S_10_A	SMCD		1,50	18,9	15,5	9,0	19,2
S_10_B	SMCD		5,00	19,8	16,5	10,0	20,2
S_10_C	SMCD		8,50	21,1	17,8	11,2	21,5
S_10_D	SMCD		12,00	17,4	14,2	7,6	17,8
S_11_A	SMCD		1,50	19,6	16,3	9,8	20,0
S_11_B	SMCD		5,00	20,9	17,6	11,1	21,3
S_11_C	SMCD		8,50	22,2	18,9	12,4	22,6
S_11_D	SMCD		12,00	17,5	14,3	7,7	17,9
S_12_A	SMCD		1,50	20,1	16,8	10,2	20,5
S_12_B	SMCD		5,00	21,1	17,8	11,2	21,5
S_12_C	SMCD		8,50	22,5	19,2	12,6	22,9
S_12_D	SMCD		12,00	17,7	14,5	7,9	18,1
S_13_A	SMCD		1,50	19,2	15,9	9,4	19,6
S_13_B	SMCD		5,00	20,1	16,7	10,2	20,4
S_13_C	SMCD		8,50	21,3	18,0	11,4	21,7
S_13_D	SMCD		12,00	17,3	14,1	7,5	17,7
S_14_A	SMCD		1,50	19,5	16,2	9,7	19,9
S_15_A	SMCD		1,50	22,1	18,8	12,2	22,5
S_16_A	SMCD		1,50	22,9	19,6	13,0	23,3
S_17_A	SMCD		5,00	24,5	21,2	14,6	24,9
S_17_B	SMCD		8,50	28,0	24,7	18,2	28,4
S_17_C	SMCD		12,00	29,6	26,4	19,8	30,0
S_18_A	SMCD		1,50	22,2	18,9	12,4	22,6
S_18_B	SMCD		5,00	23,6	20,3	13,8	24,0
S_18_C	SMCD		8,50	26,2	22,9	16,4	26,6
S_18_D	SMCD		12,00	28,6	25,4	18,8	29,0
S_19_A	SMCD		1,50	22,1	18,8	12,3	22,5
S_19_B	SMCD		5,00	24,0	20,7	14,2	24,4
S_19_C	SMCD		8,50	26,2	22,9	16,4	26,6
S_20_A	SMCD		1,50	21,8	18,4	11,9	22,1
S_20_B	SMCD		5,00	23,8	20,5	13,9	24,2
S_20_C	SMCD		8,50	26,6	23,3	16,8	27,0
S_21_A	SMCD		1,50	22,1	18,8	12,3	22,5
S_21_B	SMCD		5,00	23,8	20,5	13,9	24,2
S_21_C	SMCD		8,50	27,1	23,8	17,2	27,5
S_22_A	SMCD		1,50	19,0	15,7	9,2	19,4
S_22_B	SMCD		5,00	20,4	17,1	10,6	20,8

Alle getoonde dB-waarden zijn A-gewogen

Bijlage III-1 Rekenresultaten Ceintuurbaan

Rapport: Resultatentabel
 Model: Kopie van Wegverkeermodel
 LAeq totaalresultaten voor toetspunten
 Groep: Ceintuurbaan
 Groepsreductie: Ja

Naam						
Toetspunt	Omschrijving	Hoogte	Dag	Avond	Nacht	Lden
S_22_C	SMCD	8,50	22,0	18,6	12,1	22,3
S_23_A	SMCD	1,50	20,1	16,7	10,2	20,4
S_23_B	SMCD	5,00	21,4	18,0	11,5	21,7
S_23_C	SMCD	8,50	23,4	20,1	13,6	23,8
S_24_A	SMCD	1,50	21,2	17,9	11,3	21,6
S_24_B	SMCD	5,00	22,3	19,0	12,5	22,7
S_24_C	SMCD	8,50	24,6	21,3	14,8	25,0
S_24_D	SMCD	12,00	16,8	13,6	7,0	17,2
S_25_A	SMCD	1,50	37,0	33,9	27,3	37,5
S_25_B	SMCD	5,00	38,0	34,9	28,3	38,5
S_25_C	SMCD	8,50	38,0	34,9	28,3	38,5
S_25_D	SMCD	12,00	38,4	35,3	28,7	38,9
S_26_A	SMCD	1,50	37,5	34,4	27,7	37,9
S_26_B	SMCD	5,00	38,5	35,4	28,7	38,9
S_26_C	SMCD	8,50	38,7	35,6	29,0	39,2
S_26_D	SMCD	12,00	38,4	35,3	28,7	38,9
S_27_A	SMCD	1,50	37,0	33,9	27,2	37,4
S_27_B	SMCD	5,00	38,2	35,1	28,4	38,6
S_27_C	SMCD	8,50	39,4	36,3	29,6	39,8
S_27_D	SMCD	12,00	39,0	35,9	29,2	39,5
S_28_A	SMCD	1,50	36,1	33,0	26,4	36,6
S_28_B	SMCD	5,00	37,5	34,4	27,7	38,0
S_28_C	SMCD	8,50	39,2	36,1	29,5	39,7
S_28_D	SMCD	12,00	38,0	34,9	28,2	38,5
S_29_A	SMCD	1,50	39,0	35,9	29,2	39,4
S_29_B	SMCD	5,00	40,4	37,3	30,6	40,8
S_29_C	SMCD	8,50	41,8	38,7	32,0	42,3
S_29_D	SMCD	12,00	40,9	37,8	31,1	41,4
S_30_A	SMCD	1,50	40,5	37,5	30,8	41,0
S_30_B	SMCD	5,00	42,1	39,0	32,3	42,5
S_30_C	SMCD	8,50	43,5	40,4	33,7	43,9
S_30_D	SMCD	12,00	42,7	39,6	32,9	43,2
S_31_A	SMCD	1,50	40,9	37,8	31,1	41,4
S_31_B	SMCD	5,00	42,5	39,4	32,7	42,9
S_31_C	SMCD	8,50	43,7	40,6	34,0	44,2
S_31_D	SMCD	12,00	42,5	39,4	32,7	42,9
S_32_A	SMCD	1,50	44,7	41,6	34,9	45,1
S_32_B	SMCD	5,00	46,2	43,1	36,4	46,6
S_32_C	SMCD	8,50	47,3	44,2	37,5	47,7
S_32_D	SMCD	12,00	47,0	43,9	37,2	47,4
S_33_A	SMCD	1,50	42,0	38,9	32,2	42,4
S_33_B	SMCD	5,00	43,3	40,2	33,6	43,8
S_33_C	SMCD	8,50	44,3	41,2	34,6	44,8
S_33_D	SMCD	12,00	44,6	41,5	34,9	45,1
S_34_A	SMCD	1,50	41,6	38,5	31,9	42,1
S_34_B	SMCD	5,00	43,0	39,8	33,2	43,4
S_34_C	SMCD	8,50	44,0	40,9	34,3	44,5
S_34_D	SMCD	12,00	44,4	41,3	34,6	44,9
S_35_A	SMCD	1,50	40,4	37,4	30,7	40,9
S_35_B	SMCD	5,00	41,7	38,6	31,9	42,1
S_35_C	SMCD	8,50	42,8	39,7	33,0	43,2
S_35_D	SMCD	12,00	43,4	40,3	33,6	43,8
S_36_A	SMCD	1,50	37,0	33,9	27,2	37,4
S_36_B	SMCD	5,00	38,1	35,0	28,3	38,5
S_36_C	SMCD	8,50	39,1	36,0	29,3	39,5
S_36_D	SMCD	12,00	40,1	36,9	30,3	40,5
S_37_A	SMCD	1,50	38,5	35,4	28,7	38,9
S_37_B	SMCD	5,00	39,7	36,6	29,9	40,1
S_37_C	SMCD	8,50	40,8	37,7	31,0	41,2
S_37_D	SMCD	12,00	41,5	38,4	31,8	42,0
S_38_A	SMCD	1,50	39,7	36,6	29,9	40,1
S_38_B	SMCD	5,00	40,8	37,7	31,1	41,3
S_38_C	SMCD	8,50	41,8	38,7	32,1	42,3
S_38_D	SMCD	12,00	41,1	38,0	31,4	41,6
S_39_A	SMCD	1,50	39,5	36,4	29,7	39,9
S_39_B	SMCD	5,00	40,6	37,5	30,8	41,1
S_39_C	SMCD	8,50	41,6	38,5	31,8	42,1
S_40_A	SMCD	1,50	39,4	36,3	29,6	39,8
S_40_B	SMCD	5,00	40,6	37,5	30,8	41,0
S_40_C	SMCD	8,50	41,7	38,6	31,9	42,1
S_41_A	SMCD	1,50	39,7	36,7	30,0	40,2
S_41_B	SMCD	5,00	40,9	37,8	31,1	41,4
S_41_C	SMCD	8,50	42,0	38,9	32,2	42,4
S_42_A	SMCD	1,50	39,6	36,5	29,8	40,0

Alle getoonde dB-waarden zijn A-gewogen

Bijlage III-1 Rekenresultaten Ceintuurbaan

Rapport: Resultatentabel
 Model: Kopie van Wegverkeermodel
 LAeq totaalresultaten voor toetspunten
 Groep: Ceintuurbaan
 Groepsreductie: Ja

Naam	Toetspunt	Omschrijving	Hoogte	Dag	Avond	Nacht	Lden
S_42_B	SMCD		5,00	40,7	37,6	31,0	41,2
S_42_C	SMCD		8,50	41,8	38,7	32,0	42,2
S_43_A	SMCD		1,50	39,7	36,6	29,9	40,1
S_43_B	SMCD		5,00	40,8	37,7	31,0	41,3
S_43_C	SMCD		8,50	41,9	38,8	32,1	42,3
S_43_D	SMCD		12,00	41,0	37,9	31,2	41,5
S_44_A	SMCD		1,50	38,5	35,3	28,7	38,9
S_44_B	SMCD		5,00	39,6	36,5	29,8	40,1
S_44_C	SMCD		8,50	40,7	37,5	30,9	41,1
S_44_D	SMCD		12,00	41,5	38,4	31,7	41,9
S_45_A	SMCD		1,50	40,7	37,6	30,9	41,1
S_45_B	SMCD		5,00	41,9	38,8	32,1	42,4
S_45_C	SMCD		8,50	43,0	39,9	33,2	43,5
S_45_D	SMCD		12,00	43,6	40,5	33,9	44,1
S_46_A	SMCD		1,50	41,9	38,8	32,1	42,3
S_46_B	SMCD		5,00	43,2	40,1	33,4	43,6
S_46_C	SMCD		8,50	44,3	41,2	34,5	44,7
S_46_D	SMCD		12,00	44,5	41,4	34,7	45,0
S_47_A	SMCD		1,50	42,4	39,3	32,7	42,9
S_47_B	SMCD		5,00	43,8	40,6	34,0	44,2
S_47_C	SMCD		8,50	44,9	41,8	35,1	45,3
S_47_D	SMCD		12,00	45,1	41,9	35,3	45,5
S_48_A	SMCD		1,50	44,9	41,8	35,2	45,4
S_48_B	SMCD		5,00	46,4	43,3	36,6	46,8
S_48_C	SMCD		8,50	47,4	44,3	37,6	47,8
S_48_D	SMCD		12,00	47,3	44,2	37,5	47,7
S_49_A	SMCD		1,50	40,5	37,4	30,7	41,0
S_49_B	SMCD		5,00	42,1	39,0	32,3	42,5
S_49_C	SMCD		8,50	43,4	40,3	33,6	43,8
S_49_D	SMCD		12,00	43,2	40,0	33,4	43,6
S_50_A	SMCD		1,50	40,0	36,9	30,3	40,5
S_50_B	SMCD		5,00	41,6	38,5	31,8	42,0
S_50_C	SMCD		8,50	42,8	39,7	33,1	43,3
S_50_D	SMCD		12,00	43,1	40,0	33,3	43,5
S_51_A	SMCD		1,50	38,0	34,9	28,3	38,5
S_51_B	SMCD		5,00	39,5	36,4	29,8	40,0
S_51_C	SMCD		8,50	40,8	37,7	31,1	41,3
S_51_D	SMCD		12,00	41,1	38,0	31,4	41,6
S_52_A	SMCD		1,50	34,3	31,2	24,5	34,7
S_52_B	SMCD		5,00	35,9	32,7	26,1	36,3
S_52_C	SMCD		8,50	37,5	34,4	27,7	37,9
S_52_D	SMCD		12,00	39,0	35,9	29,3	39,5
S_53_A	SMCD		1,50	36,1	33,0	26,3	36,6
S_53_B	SMCD		5,00	37,6	34,5	27,9	38,1
S_53_C	SMCD		8,50	39,0	35,9	29,3	39,5
S_53_D	SMCD		12,00	40,3	37,2	30,5	40,7
S_54_A	SMCD		1,50	35,9	32,8	26,1	36,3
S_54_B	SMCD		5,00	37,4	34,2	27,6	37,8
S_54_C	SMCD		8,50	38,8	35,7	29,0	39,2
S_54_D	SMCD		12,00	40,4	37,3	30,6	40,8
S_55_A	SMCD		1,50	35,8	32,7	26,0	36,2
S_55_B	SMCD		5,00	37,2	34,1	27,5	37,7
S_55_C	SMCD		8,50	38,7	35,5	28,9	39,1
S_55_D	SMCD		12,00	40,2	37,1	30,4	40,7
S_56_A	SMCD		1,50	36,8	33,7	27,0	37,2
S_56_B	SMCD		5,00	38,1	35,0	28,3	38,6
S_56_C	SMCD		8,50	39,4	36,3	29,6	39,8
S_56_D	SMCD		12,00	40,8	37,7	31,0	41,2
S_57_A	SMCD		1,50	36,5	33,4	26,8	37,0
S_57_B	SMCD		5,00	37,9	34,8	28,1	38,3
S_57_C	SMCD		8,50	39,1	36,0	29,4	39,6
S_57_D	SMCD		12,00	40,7	37,6	31,0	41,2
S_58_A	SMCD		1,50	36,4	33,3	26,6	36,8
S_58_B	SMCD		5,00	37,5	34,4	27,7	37,9
S_58_C	SMCD		8,50	38,7	35,6	28,9	39,1
S_58_D	SMCD		12,00	40,6	37,5	30,8	41,1
S_59_A	SMCD		1,50	25,2	22,0	15,4	25,6
S_59_B	SMCD		5,00	27,2	24,0	17,4	27,6
S_59_C	SMCD		8,50	30,6	27,4	20,8	31,0
S_59_D	SMCD		12,00	36,3	33,2	26,5	36,7
S_60_A	SMCD		1,50	32,2	29,1	22,4	32,6
S_60_B	SMCD		5,00	33,4	30,3	23,7	33,9
S_60_C	SMCD		8,50	34,9	31,8	25,1	35,4
S_60_D	SMCD		12,00	37,9	34,8	28,1	38,4

Alle getoonde dB-waarden zijn A-gewogen

Bijlage III-1 Rekenresultaten Ceintuurbaan

Rapport: Resultatentabel
 Model: Kopie van Wegverkeermodel
 LAeq totaalresultaten voor toetspunten
 Groep: Ceintuurbaan
 Groepsreductie: Ja

Naam						
Toetspunt	Omschrijving	Hoogte	Dag	Avond	Nacht	Lden
S_61_A	SMCD	1,50	36,3	33,2	26,6	36,8
S_61_B	SMCD	5,00	37,3	34,2	27,6	37,8
S_61_C	SMCD	8,50	38,4	35,3	28,6	38,9
S_61_D	SMCD	12,00	40,5	37,3	30,7	40,9
S_62_A	SMCD	1,50	36,9	33,7	27,1	37,3
S_62_B	SMCD	5,00	37,8	34,6	28,0	38,2
S_62_C	SMCD	8,50	38,7	35,5	28,9	39,1
S_63_A	SMCD	1,50	35,2	32,0	25,4	35,6
S_63_B	SMCD	5,00	36,1	32,9	26,3	36,5
S_63_C	SMCD	8,50	37,3	34,1	27,5	37,7
S_64_A	SMCD	1,50	31,6	28,5	21,9	32,1
S_64_B	SMCD	5,00	33,7	30,5	23,9	34,1
S_64_C	SMCD	8,50	36,5	33,3	26,7	36,9
S_65_A	SMCD	1,50	27,1	23,9	17,3	27,5
S_65_B	SMCD	5,00	32,6	29,5	22,8	33,1
S_65_C	SMCD	8,50	35,7	32,5	25,9	36,1
S_66_A	SMCD	1,50	28,2	25,0	18,4	28,6
S_66_B	SMCD	5,00	29,1	25,9	19,3	29,5
S_66_C	SMCD	8,50	28,2	24,9	18,4	28,6
S_67_A	SMCD	1,50	23,2	19,9	13,4	23,6
S_67_B	SMCD	5,00	24,1	20,8	14,3	24,5
S_67_C	SMCD	8,50	26,6	23,3	16,8	27,0
S_68_A	SMCD	1,50	23,3	20,0	13,5	23,7
S_68_B	SMCD	5,00	24,5	21,2	14,6	24,9
S_68_C	SMCD	8,50	26,6	23,3	16,7	26,9
S_69_A	SMCD	1,50	22,7	19,4	12,9	23,1
S_69_B	SMCD	5,00	23,6	20,4	13,8	24,0
S_69_C	SMCD	8,50	26,0	22,7	16,1	26,3
S_70_A	SMCD	1,50	28,9	25,8	19,1	29,4
S_70_B	SMCD	5,00	29,6	26,5	19,9	30,1
S_70_C	SMCD	8,50	31,5	28,4	21,7	32,0
S_70_D	SMCD	12,00	32,4	29,3	22,6	32,8
S_71_A	SMCD	1,50	29,5	26,4	19,8	30,0
S_71_B	SMCD	5,00	30,3	27,1	20,5	30,7
S_71_C	SMCD	8,50	31,7	28,6	21,9	32,1
S_71_D	SMCD	12,00	32,3	29,1	22,5	32,7
S_72_A	SMCD	1,50	28,5	25,4	18,7	28,9
S_72_B	SMCD	5,00	29,5	26,4	19,7	30,0
S_72_C	SMCD	8,50	30,6	27,5	20,8	31,0
S_72_D	SMCD	12,00	31,6	28,5	21,9	32,1
S_73_A	SMCD	1,50	28,3	25,1	18,5	28,7
S_73_B	SMCD	5,00	29,3	26,2	19,5	29,7
S_73_C	SMCD	8,50	30,5	27,3	20,7	30,9
S_73_D	SMCD	12,00	31,1	28,0	21,3	31,5
S_74_A	SMCD	1,50	27,3	24,2	17,5	27,7
S_74_B	SMCD	5,00	28,5	25,4	18,7	28,9
S_74_C	SMCD	8,50	29,9	26,8	20,2	30,4
S_74_D	SMCD	12,00	30,3	27,1	20,5	30,7
S_75_A	SMCD	1,50	25,0	21,9	15,3	25,5
S_75_B	SMCD	5,00	26,8	23,6	17,0	27,2
S_75_C	SMCD	8,50	29,4	26,2	19,6	29,8
S_75_D	SMCD	12,00	29,4	26,3	19,7	29,9
S_76_A	SMCD	1,50	23,0	19,7	13,2	23,4
S_76_B	SMCD	5,00	24,8	21,5	15,0	25,2
S_76_C	SMCD	8,50	26,9	23,6	17,1	27,3
S_76_D	SMCD	12,00	29,6	26,4	19,8	30,0
S_77_A	SMCD	1,50	23,2	19,9	13,3	23,6
S_77_B	SMCD	5,00	25,1	21,8	15,2	25,4
S_77_C	SMCD	8,50	26,9	23,6	17,0	27,3
S_77_D	SMCD	12,00	28,7	25,5	18,9	29,1
S_78_A	SMCD	1,50	22,4	19,2	12,6	22,8
S_78_B	SMCD	5,00	24,3	21,0	14,4	24,7
S_78_C	SMCD	8,50	26,3	23,0	16,4	26,7
S_78_D	SMCD	12,00	28,7	25,4	18,8	29,0
S_79_A	SMCD	1,50	20,7	17,5	10,9	21,1
S_79_B	SMCD	5,00	22,4	19,1	12,6	22,8
S_79_C	SMCD	8,50	24,1	20,8	14,2	24,5
S_79_D	SMCD	12,00	26,4	23,1	16,6	26,8
S_80_A	SMCD	1,50	21,0	17,7	11,2	21,4
S_80_B	SMCD	5,00	22,6	19,3	12,8	23,0
S_80_C	SMCD	8,50	24,3	21,0	14,4	24,7
S_81_A	SMCD	1,50	21,4	18,1	11,5	21,8
S_81_B	SMCD	5,00	22,7	19,4	12,9	23,1
S_81_C	SMCD	8,50	24,7	21,5	14,9	25,1

Alle getoonde dB-waarden zijn A-gewogen

Bijlage III-1 Rekenresultaten Ceintuurbaan

Rapport: Resultatentabel
 Model: Kopie van Wegverkeermodel
 LAeq totaalresultaten voor toetspunten
 Groep: Ceintuurbaan
 Groepsreductie: Ja

Naam						
Toetspunt	Omschrijving	Hoogte	Dag	Avond	Nacht	Lden
S_82_A	SMCD	1,50	21,1	17,8	11,3	21,5
S_82_B	SMCD	5,00	22,4	19,1	12,6	22,8
S_82_C	SMCD	8,50	24,6	21,3	14,8	25,0
S_83_A	SMCD	1,50	20,6	17,4	10,8	21,0
S_83_B	SMCD	5,00	21,6	18,3	11,8	22,0
S_83_C	SMCD	8,50	24,1	20,8	14,2	24,5
S_84_A	SMCD	1,50	20,4	17,2	10,6	20,8
S_84_B	SMCD	5,00	21,1	17,8	11,2	21,5
S_84_C	SMCD	8,50	23,6	20,3	13,7	24,0
S_85_A	SMCD	1,50	19,5	16,3	9,7	19,9
S_85_B	SMCD	5,00	20,3	17,0	10,5	20,7
S_85_C	SMCD	8,50	22,6	19,3	12,8	23,0
S_85_D	SMCD	12,00	24,6	21,3	14,7	25,0
S_86_A	SMCD	1,50	17,7	14,4	7,9	18,1
S_86_B	SMCD	5,00	19,0	15,7	9,1	19,4
S_86_C	SMCD	8,50	20,8	17,5	10,9	21,2
S_86_D	SMCD	12,00	20,0	16,8	10,2	20,5
S_87_A	SMCD	1,50	17,2	13,8	7,3	17,5
S_87_B	SMCD	5,00	18,1	14,7	8,2	18,4
S_87_C	SMCD	8,50	19,5	16,1	9,6	19,8
S_87_D	SMCD	12,00	19,6	16,4	9,8	20,0
S_88_A	SMCD	1,50	17,3	13,9	7,4	17,6
S_88_B	SMCD	5,00	18,0	14,7	8,1	18,4
S_88_C	SMCD	8,50	19,5	16,2	9,6	19,9
S_88_D	SMCD	12,00	19,4	16,1	9,6	19,8
S_89_A	SMCD	1,50	17,0	13,8	7,2	17,4
S_89_B	SMCD	5,00	17,9	14,6	8,0	18,3
S_89_C	SMCD	8,50	19,4	16,1	9,6	19,8
S_89_D	SMCD	12,00	20,0	16,8	10,2	20,4
S_90_A	SMCD	1,50	20,8	17,6	11,0	21,2
S_90_B	SMCD	5,00	21,9	18,6	12,0	22,3
S_90_C	SMCD	8,50	24,3	21,0	14,4	24,6
S_90_D	SMCD	12,00	28,7	25,4	18,8	29,1
S_91_A	SMCD	1,50	21,4	18,1	11,5	21,8
S_91_B	SMCD	5,00	23,0	19,7	13,1	23,3
S_91_C	SMCD	8,50	25,5	22,2	15,6	25,9
S_91_D	SMCD	12,00	28,3	25,0	18,4	28,6
S_92_A	SMCD	1,50	21,7	18,4	11,8	22,0
S_92_B	SMCD	5,00	23,4	20,1	13,6	23,8
S_92_C	SMCD	8,50	25,8	22,5	16,0	26,2
S_92_D	SMCD	12,00	28,0	24,7	18,2	28,4
S_93_A	SMCD	1,50	21,9	18,6	12,1	22,3
S_93_B	SMCD	5,00	23,8	20,5	13,9	24,2
S_93_C	SMCD	8,50	25,9	22,6	16,1	26,3
S_93_D	SMCD	12,00	28,0	24,7	18,2	28,4
S_94_A	SMCD	1,50	22,0	18,7	12,1	22,3
S_94_B	SMCD	5,00	23,7	20,4	13,9	24,1
S_94_C	SMCD	8,50	25,6	22,3	15,8	26,0
S_94_D	SMCD	12,00	27,9	24,6	18,0	28,3
S_95_A	SMCD	1,50	21,9	18,6	12,0	22,3
S_95_B	SMCD	5,00	23,6	20,3	13,8	24,0
S_95_C	SMCD	8,50	25,4	22,1	15,6	25,8
S_95_D	SMCD	12,00	27,6	24,4	17,8	28,0

Alle getoonde dB-waarden zijn A-gewogen

Bijlage III-2 Rekenresultaten Brinkgreverweg

Rapport: Resultatentabel
 Model: Wegverkeermodel
 LAeq totaalresultaten voor toetspunten
 Groep: Brinkgreverweg
 Groepsreductie: Ja

Naam						
Toetspunt	Omschrijving	Hoogte	Dag	Avond	Nacht	Lden
01_01_A	Cluster 1	1,50	36,2	32,7	26,3	36,5
01_01_B	Cluster 1	4,50	36,9	33,4	27,0	37,2
01_01_C	Cluster 1	7,50	37,7	34,2	27,8	38,1
01_02_A	Cluster 1	1,50	36,8	33,3	26,9	37,1
01_02_B	Cluster 1	4,50	37,9	34,4	28,0	38,2
01_02_C	Cluster 1	7,50	38,6	35,1	28,7	38,9
01_03_A	Cluster 1	1,50	36,5	33,1	26,6	36,8
01_03_B	Cluster 1	4,50	37,7	34,2	27,8	38,0
01_03_C	Cluster 1	7,50	38,5	35,1	28,6	38,9
01_04_A	Cluster 1	1,50	37,0	33,5	27,1	37,3
01_04_B	Cluster 1	4,50	38,2	34,7	28,2	38,5
01_04_C	Cluster 1	7,50	38,9	35,4	29,0	39,2
01_05_A	Cluster 1	1,50	37,5	34,1	27,6	37,8
01_05_B	Cluster 1	4,50	38,8	35,3	28,8	39,1
01_05_C	Cluster 1	7,50	39,5	36,0	29,6	39,8
01_06_A	Cluster 1	1,50	31,0	27,3	21,1	31,3
01_06_B	Cluster 1	4,50	32,4	28,7	22,5	32,7
01_06_C	Cluster 1	7,50	35,0	31,4	25,2	35,4
01_07_A	Cluster 1	1,50	25,5	21,8	15,5	25,7
01_07_B	Cluster 1	4,50	27,1	23,4	17,2	27,4
01_07_C	Cluster 1	7,50	31,0	27,4	21,1	31,3
01_08_A	Cluster 1	1,50	37,5	34,0	27,6	37,8
01_08_B	Cluster 1	4,50	38,9	35,4	29,0	39,2
01_08_C	Cluster 1	7,50	40,2	36,7	30,3	40,5
01_09_A	Cluster 1	1,50	38,8	35,4	28,9	39,1
01_09_B	Cluster 1	4,50	40,2	36,7	30,3	40,5
01_09_C	Cluster 1	7,50	41,4	38,0	31,5	41,8
01_10_A	Cluster 1	1,50	38,1	34,7	28,2	38,4
01_10_B	Cluster 1	4,50	39,5	36,1	29,6	39,9
01_10_C	Cluster 1	7,50	40,8	37,3	30,8	41,1
01_100_A	Cluster 1	1,50	28,6	24,9	18,6	28,9
01_100_B	Cluster 1	4,50	31,4	27,8	21,5	31,7
01_100_C	Cluster 1	7,50	34,5	30,8	24,6	34,8
01_101_A	Cluster 1	1,50	29,1	25,4	19,2	29,4
01_101_B	Cluster 1	4,50	30,1	26,4	20,1	30,3
01_101_C	Cluster 1	7,50	33,9	30,2	24,0	34,2
01_11_A	Cluster 1	1,50	39,1	35,7	29,2	39,5
01_11_B	Cluster 1	4,50	40,7	37,2	30,7	41,0
01_11_C	Cluster 1	7,50	41,9	38,5	32,0	42,3
01_12_A	Cluster 1	1,50	38,8	35,4	28,9	39,1
01_12_B	Cluster 1	4,50	40,4	36,9	30,5	40,7
01_13_A	Cluster 1	1,50	39,4	36,0	29,5	39,7
01_13_B	Cluster 1	4,50	41,1	37,6	31,1	41,4
01_14_A	Cluster 1	1,50	38,3	34,8	28,3	38,6
01_14_B	Cluster 1	4,50	40,7	37,2	30,8	41,0
01_15_A	Cluster 1	1,50	37,0	33,5	27,0	37,3
01_15_B	Cluster 1	4,50	39,7	36,2	29,8	40,0
01_16_A	Cluster 1	1,50	33,2	29,6	23,3	33,5
01_16_B	Cluster 1	4,50	37,0	33,5	27,1	37,3
01_16_C	Cluster 1	7,50	39,3	35,7	29,4	39,6
01_17_A	Cluster 1	1,50	32,9	29,3	22,9	33,2
01_17_B	Cluster 1	4,50	35,6	32,0	25,6	35,9
01_17_C	Cluster 1	7,50	37,8	34,1	27,8	38,0
01_18_A	Cluster 1	1,50	32,6	28,9	22,6	32,8
01_18_B	Cluster 1	4,50	34,6	31,0	24,7	34,9
01_18_C	Cluster 1	7,50	37,1	33,4	27,1	37,3
01_19_A	Cluster 1	1,50	34,9	31,4	25,0	35,2
01_19_B	Cluster 1	4,50	38,6	35,1	28,7	38,9
01_19_C	Cluster 1	7,50	41,2	37,7	31,2	41,5
01_20_A	Cluster 1	1,50	33,1	29,5	23,2	33,4
01_20_B	Cluster 1	4,50	37,5	34,0	27,6	37,8
01_20_C	Cluster 1	7,50	40,3	36,8	30,4	40,6
01_21_A	Cluster 1	1,50	33,2	29,6	23,2	33,4
01_21_B	Cluster 1	4,50	37,5	34,0	27,6	37,8
01_21_C	Cluster 1	7,50	40,3	36,8	30,4	40,7
01_22_A	Cluster 1	1,50	32,6	29,0	22,7	32,9
01_22_B	Cluster 1	4,50	36,0	32,4	26,0	36,3
01_22_C	Cluster 1	7,50	39,5	35,9	29,5	39,8
01_23_A	Cluster 1	1,50	32,5	28,8	22,5	32,7
01_23_B	Cluster 1	4,50	35,7	32,1	25,7	36,0
01_23_C	Cluster 1	7,50	39,7	36,2	29,8	40,0
01_24_A	Cluster 1	1,50	32,7	29,0	22,7	32,9
01_24_B	Cluster 1	4,50	35,9	32,3	25,9	36,1
01_24_C	Cluster 1	7,50	39,2	35,6	29,3	39,5

Alle getoonde dB-waarden zijn A-gewogen

Bijlage III-2 Rekenresultaten Brinkgreverweg

Rapport: Resultatentabel
 Model: Wegverkeermodel
 LAeq totaalresultaten voor toetspunten
 Groep: Brinkgreverweg
 Groepsreductie: Ja

Naam	Toetspunt	Omschrijving	Hoogte	Dag	Avond	Nacht	Lden
	01_25_A	Cluster 1	1,50	32,9	29,2	22,9	33,1
	01_25_B	Cluster 1	4,50	36,9	33,3	26,9	37,1
	01_26_A	Cluster 1	1,50	33,1	29,5	23,1	33,3
	01_26_B	Cluster 1	4,50	37,3	33,8	27,4	37,6
	01_27_A	Cluster 1	1,50	34,8	31,2	24,8	35,1
	01_27_B	Cluster 1	4,50	39,9	36,4	30,0	40,2
	01_28_A	Cluster 1	1,50	31,1	27,5	21,1	31,3
	01_28_B	Cluster 1	4,50	36,6	33,1	26,7	36,9
	01_29_A	Cluster 1	1,50	30,6	27,0	20,6	30,8
	01_29_B	Cluster 1	4,50	35,9	32,3	25,9	36,1
	01_29_C	Cluster 1	7,50	39,9	36,4	30,0	40,2
	01_30_A	Cluster 1	1,50	34,1	30,6	24,2	34,4
	01_30_B	Cluster 1	4,50	36,5	33,0	26,6	36,8
	01_30_C	Cluster 1	7,50	39,3	35,8	29,3	39,6
	01_31_A	Cluster 1	1,50	34,6	31,1	24,7	34,9
	01_31_B	Cluster 1	4,50	37,1	33,6	27,1	37,4
	01_31_C	Cluster 1	7,50	39,5	36,0	29,5	39,8
	01_32_A	Cluster 1	1,50	32,2	28,7	22,3	32,5
	01_32_B	Cluster 1	4,50	34,9	31,4	24,9	35,2
	01_32_C	Cluster 1	7,50	38,0	34,5	28,0	38,3
	01_33_A	Cluster 1	1,50	31,2	27,6	21,3	31,5
	01_33_B	Cluster 1	4,50	33,7	30,2	23,7	34,0
	01_33_C	Cluster 1	7,50	36,8	33,3	26,9	37,1
	01_34_A	Cluster 1	1,50	28,6	25,0	18,6	28,9
	01_34_B	Cluster 1	4,50	31,4	27,8	21,4	31,7
	01_34_C	Cluster 1	7,50	35,1	31,6	25,2	35,4
	01_35_A	Cluster 1	1,50	28,9	25,3	19,0	29,2
	01_35_B	Cluster 1	4,50	31,7	28,1	21,8	32,0
	01_35_C	Cluster 1	7,50	35,1	31,5	25,2	35,4
	01_36_A	Cluster 1	1,50	28,9	25,2	18,9	29,2
	01_36_B	Cluster 1	4,50	32,0	28,4	22,1	32,3
	01_36_C	Cluster 1	7,50	34,9	31,3	25,0	35,2
	01_37_A	Cluster 1	1,50	27,8	24,2	17,9	28,1
	01_37_B	Cluster 1	4,50	30,6	27,0	20,7	30,9
	01_38_A	Cluster 1	1,50	31,3	27,7	21,3	31,6
	01_38_B	Cluster 1	4,50	33,5	30,0	23,6	33,9
	01_39_A	Cluster 1	1,50	24,4	20,8	14,6	24,7
	01_39_B	Cluster 1	4,50	26,2	22,5	16,3	26,5
	01_40_A	Cluster 1	1,50	24,3	20,6	14,4	24,6
	01_40_B	Cluster 1	4,50	25,9	22,2	16,1	26,2
	01_41_A	Cluster 1	1,50	24,5	20,8	14,6	24,8
	01_41_B	Cluster 1	4,50	26,0	22,3	16,2	26,3
	01_41_C	Cluster 1	7,50	27,2	23,5	17,4	27,5
	01_42_A	Cluster 1	1,50	25,5	21,9	15,6	25,8
	01_42_B	Cluster 1	4,50	27,0	23,3	17,0	27,3
	01_42_C	Cluster 1	7,50	31,5	27,8	21,6	31,8
	01_43_A	Cluster 1	1,50	25,9	22,3	16,0	26,2
	01_43_B	Cluster 1	4,50	27,4	23,8	17,5	27,7
	01_43_C	Cluster 1	7,50	31,3	27,6	21,4	31,6
	01_44_A	Cluster 1	1,50	25,1	21,4	15,2	25,4
	01_44_B	Cluster 1	4,50	26,4	22,7	16,6	26,7
	01_44_C	Cluster 1	7,50	27,8	24,1	18,0	28,1
	01_45_A	Cluster 1	1,50	25,3	21,7	15,4	25,6
	01_45_B	Cluster 1	4,50	27,0	23,2	17,1	27,2
	01_45_C	Cluster 1	7,50	28,4	24,7	18,5	28,7
	01_46_A	Cluster 1	1,50	25,5	21,8	15,6	25,8
	01_46_B	Cluster 1	4,50	26,9	23,2	17,1	27,2
	01_46_C	Cluster 1	7,50	28,2	24,5	18,3	28,5
	01_47_A	Cluster 1	1,50	25,8	22,1	15,9	26,0
	01_47_B	Cluster 1	4,50	27,3	23,6	17,4	27,6
	01_47_C	Cluster 1	7,50	29,0	25,3	19,1	29,3
	01_48_A	Cluster 1	1,50	25,8	22,1	15,9	26,1
	01_48_B	Cluster 1	4,50	27,3	23,6	17,4	27,6
	01_48_C	Cluster 1	7,50	29,1	25,4	19,3	29,4
	01_49_A	Cluster 1	1,50	25,8	22,2	15,9	26,1
	01_49_B	Cluster 1	4,50	27,4	23,6	17,5	27,7
	01_49_C	Cluster 1	7,50	29,2	25,5	19,3	29,5
	01_50_A	Cluster 1	1,50	25,9	22,2	16,0	26,2
	01_50_B	Cluster 1	4,50	27,3	23,6	17,4	27,6
	01_50_C	Cluster 1	7,50	28,7	25,0	18,9	29,0
	01_51_A	Cluster 1	1,50	26,1	22,4	16,2	26,4
	01_51_B	Cluster 1	4,50	27,5	23,8	17,6	27,8
	01_51_C	Cluster 1	7,50	28,9	25,2	19,0	29,2
	01_52_A	Cluster 1	1,50	26,2	22,5	16,3	26,5

Alle getoonde dB-waarden zijn A-gewogen

Bijlage III-2 Rekenresultaten Brinkgreverweg

Rapport: Resultatentabel
 Model: Wegverkeermodel
 LAeq totaalresultaten voor toetspunten
 Groep: Brinkgreverweg
 Groepsreductie: Ja

Naam	Toetspunt	Omschrijving	Hoogte	Dag	Avond	Nacht	Lden
	01_52_B	Cluster 1	4,50	27,6	23,9	17,8	27,9
	01_52_C	Cluster 1	7,50	28,8	25,1	18,9	29,0
	01_53_A	Cluster 1	1,50	26,0	22,3	16,1	26,3
	01_53_B	Cluster 1	4,50	27,5	23,8	17,6	27,8
	01_53_C	Cluster 1	7,50	28,5	24,9	18,6	28,8
	01_54_A	Cluster 1	1,50	25,6	21,9	15,6	25,8
	01_54_B	Cluster 1	4,50	26,8	23,0	16,8	27,0
	01_54_C	Cluster 1	7,50	28,3	24,6	18,4	28,6
	01_55_A	Cluster 1	1,50	25,8	22,1	15,9	26,1
	01_55_B	Cluster 1	4,50	27,0	23,3	17,1	27,3
	01_55_C	Cluster 1	7,50	27,8	24,1	17,9	28,1
	01_56_A	Cluster 1	1,50	31,0	27,5	21,1	31,3
	01_56_B	Cluster 1	4,50	32,0	28,5	22,1	32,3
	01_56_C	Cluster 1	7,50	31,3	27,7	21,4	31,6
	01_57_A	Cluster 1	1,50	29,5	25,8	19,6	29,8
	01_57_B	Cluster 1	4,50	30,1	26,4	20,2	30,3
	01_57_C	Cluster 1	7,50	32,0	28,4	22,2	32,3
	01_58_A	Cluster 1	1,50	28,8	25,1	18,9	29,1
	01_58_B	Cluster 1	4,50	29,5	25,8	19,6	29,8
	01_58_C	Cluster 1	7,50	31,5	27,8	21,6	31,7
	01_59_A	Cluster 1	1,50	29,6	25,9	19,7	29,9
	01_59_B	Cluster 1	4,50	30,5	26,8	20,6	30,8
	01_59_C	Cluster 1	7,50	32,2	28,5	22,3	32,5
	01_60_A	Cluster 1	1,50	30,0	26,3	20,1	30,3
	01_60_B	Cluster 1	4,50	30,6	26,9	20,7	30,9
	01_60_C	Cluster 1	7,50	32,8	29,1	23,0	33,1
	01_61_A	Cluster 1	1,50	29,7	26,0	19,8	30,0
	01_61_B	Cluster 1	4,50	30,3	26,6	20,4	30,6
	01_61_C	Cluster 1	7,50	32,0	28,3	22,1	32,3
	01_62_A	Cluster 1	1,50	30,0	26,3	20,0	30,2
	01_62_B	Cluster 1	4,50	30,7	27,0	20,7	31,0
	01_62_C	Cluster 1	7,50	31,8	28,1	21,8	32,0
	01_63_A	Cluster 1	1,50	29,5	25,8	19,5	29,7
	01_63_B	Cluster 1	4,50	30,9	27,2	20,9	31,2
	01_63_C	Cluster 1	7,50	32,8	29,1	22,9	33,1
	01_64_A	Cluster 1	1,50	30,3	26,6	20,3	30,5
	01_64_B	Cluster 1	4,50	32,0	28,3	22,0	32,3
	01_64_C	Cluster 1	7,50	36,4	32,8	26,4	36,6
	01_65_A	Cluster 1	1,50	29,1	25,4	19,1	29,3
	01_65_B	Cluster 1	4,50	31,3	27,6	21,3	31,5
	01_65_C	Cluster 1	7,50	35,3	31,7	25,3	35,6
	01_66_A	Cluster 1	1,50	28,2	24,5	18,2	28,4
	01_66_B	Cluster 1	4,50	30,6	27,0	20,6	30,9
	01_67_A	Cluster 1	1,50	25,7	22,0	15,7	25,9
	01_67_B	Cluster 1	4,50	27,6	23,9	17,6	27,8
	01_68_A	Cluster 1	1,50	26,2	22,5	16,2	26,4
	01_68_B	Cluster 1	4,50	27,7	24,0	17,8	28,0
	01_68_C	Cluster 1	7,50	30,7	27,0	20,8	31,0
	01_69_A	Cluster 1	1,50	26,8	23,1	16,8	27,0
	01_69_B	Cluster 1	4,50	26,8	23,1	16,8	27,1
	01_69_C	Cluster 1	7,50	28,1	24,4	18,2	28,4
	01_70_A	Cluster 1	1,50	26,5	22,8	16,5	26,7
	01_70_B	Cluster 1	4,50	26,8	23,0	16,8	27,0
	01_70_C	Cluster 1	7,50	28,4	24,8	18,6	28,7
	01_71_A	Cluster 1	1,50	27,1	23,4	17,1	27,3
	01_71_B	Cluster 1	4,50	26,8	23,1	16,9	27,1
	01_71_C	Cluster 1	7,50	28,1	24,4	18,2	28,3
	01_72_A	Cluster 1	1,50	27,2	23,5	17,3	27,5
	01_72_B	Cluster 1	4,50	27,1	23,4	17,1	27,4
	01_72_C	Cluster 1	7,50	28,0	24,3	18,1	28,3
	01_73_A	Cluster 1	1,50	27,1	23,4	17,1	27,4
	01_73_B	Cluster 1	4,50	27,0	23,3	17,0	27,2
	01_73_C	Cluster 1	7,50	27,9	24,2	18,0	28,2
	01_74_A	Cluster 1	1,50	27,4	23,7	17,4	27,6
	01_74_B	Cluster 1	4,50	27,2	23,5	17,3	27,5
	01_74_C	Cluster 1	7,50	28,0	24,3	18,0	28,2
	01_75_A	Cluster 1	1,50	27,8	24,1	17,9	28,1
	01_75_B	Cluster 1	4,50	27,8	24,1	17,8	28,0
	01_75_C	Cluster 1	7,50	28,8	25,1	18,9	29,0
	01_76_A	Cluster 1	1,50	27,7	24,0	17,8	28,0
	01_76_B	Cluster 1	4,50	27,4	23,7	17,4	27,6
	01_76_C	Cluster 1	7,50	28,2	24,5	18,2	28,5
	01_77_A	Cluster 1	1,50	28,3	24,7	18,4	28,6
	01_77_B	Cluster 1	4,50	27,5	23,8	17,5	27,8

Alle getoonde dB-waarden zijn A-gewogen

Bijlage III-2 Rekenresultaten Brinkgreverweg

Rapport: Resultatentabel
 Model: Wegverkeermodel
 LAeq totaalresultaten voor toetspunten
 Groep: Brinkgreverweg
 Groepsreductie: Ja

Naam	Toetspunt	Omschrijving	Hoogte	Dag	Avond	Nacht	Lden
01_78_A	Cluster 1	Cluster 1	1,50	31,2	27,5	21,2	31,5
01_78_B	Cluster 1	Cluster 1	4,50	33,7	30,1	23,7	34,0
01_79_A	Cluster 1	Cluster 1	1,50	30,8	27,1	20,8	31,1
01_79_B	Cluster 1	Cluster 1	4,50	33,5	29,8	23,5	33,8
01_79_C	Cluster 1	Cluster 1	7,50	36,2	32,6	26,2	36,4
01_80_A	Cluster 1	Cluster 1	1,50	31,0	27,3	21,1	31,3
01_80_B	Cluster 1	Cluster 1	4,50	33,5	29,9	23,6	33,8
01_80_C	Cluster 1	Cluster 1	7,50	36,2	32,6	26,2	36,4
01_81_A	Cluster 1	Cluster 1	1,50	31,2	27,6	21,3	31,5
01_81_B	Cluster 1	Cluster 1	4,50	33,1	29,5	23,2	33,4
01_81_C	Cluster 1	Cluster 1	7,50	35,4	31,8	25,4	35,6
01_82_A	Cluster 1	Cluster 1	1,50	31,3	27,6	21,4	31,6
01_82_B	Cluster 1	Cluster 1	4,50	33,1	29,4	23,1	33,3
01_82_C	Cluster 1	Cluster 1	7,50	35,0	31,4	25,1	35,3
01_83_A	Cluster 1	Cluster 1	1,50	31,2	27,5	21,3	31,5
01_83_B	Cluster 1	Cluster 1	4,50	33,0	29,3	23,1	33,2
01_83_C	Cluster 1	Cluster 1	7,50	35,2	31,6	25,3	35,5
01_84_A	Cluster 1	Cluster 1	1,50	30,8	27,1	20,9	31,1
01_84_B	Cluster 1	Cluster 1	4,50	32,8	29,1	22,9	33,1
01_84_C	Cluster 1	Cluster 1	7,50	34,8	31,2	24,9	35,1
01_85_A	Cluster 1	Cluster 1	1,50	30,5	26,8	20,6	30,8
01_85_B	Cluster 1	Cluster 1	4,50	32,4	28,8	22,5	32,7
01_85_C	Cluster 1	Cluster 1	7,50	34,2	30,6	24,3	34,5
01_86_A	Cluster 1	Cluster 1	1,50	28,6	24,9	18,6	28,8
01_86_B	Cluster 1	Cluster 1	4,50	30,1	26,4	20,2	30,4
01_86_C	Cluster 1	Cluster 1	7,50	32,1	28,4	22,2	32,4
01_87_A	Cluster 1	Cluster 1	1,50	29,1	25,4	19,2	29,4
01_87_B	Cluster 1	Cluster 1	4,50	30,3	26,6	20,4	30,5
01_88_A	Cluster 1	Cluster 1	1,50	29,9	26,2	20,0	30,2
01_88_B	Cluster 1	Cluster 1	4,50	31,5	27,8	21,6	31,8
01_89_A	Cluster 1	Cluster 1	1,50	29,5	25,8	19,6	29,8
01_89_B	Cluster 1	Cluster 1	4,50	31,3	27,6	21,4	31,6
01_89_C	Cluster 1	Cluster 1	7,50	34,3	30,6	24,4	34,6
01_90_A	Cluster 1	Cluster 1	1,50	30,9	27,2	21,0	31,1
01_90_B	Cluster 1	Cluster 1	4,50	31,9	28,2	22,0	32,2
01_90_C	Cluster 1	Cluster 1	7,50	34,0	30,3	24,1	34,3
01_91_A	Cluster 1	Cluster 1	1,50	30,7	27,0	20,8	31,0
01_91_B	Cluster 1	Cluster 1	4,50	32,1	28,4	22,2	32,4
01_91_C	Cluster 1	Cluster 1	7,50	34,2	30,5	24,3	34,5
01_92_A	Cluster 1	Cluster 1	1,50	31,0	27,4	21,1	31,3
01_92_B	Cluster 1	Cluster 1	4,50	33,1	29,4	23,1	33,3
01_92_C	Cluster 1	Cluster 1	7,50	35,1	31,5	25,2	35,4
01_93_A	Cluster 1	Cluster 1	1,50	30,9	27,3	21,0	31,2
01_93_B	Cluster 1	Cluster 1	4,50	33,0	29,3	23,1	33,3
01_93_C	Cluster 1	Cluster 1	7,50	35,3	31,7	25,4	35,6
01_94_A	Cluster 1	Cluster 1	1,50	31,0	27,3	21,1	31,3
01_94_B	Cluster 1	Cluster 1	4,50	32,2	28,6	22,4	32,5
01_94_C	Cluster 1	Cluster 1	7,50	34,1	30,4	24,2	34,4
01_95_A	Cluster 1	Cluster 1	1,50	31,1	27,4	21,1	31,3
01_95_B	Cluster 1	Cluster 1	4,50	32,1	28,4	22,2	32,4
01_95_C	Cluster 1	Cluster 1	7,50	34,0	30,3	24,2	34,3
01_96_A	Cluster 1	Cluster 1	1,50	31,1	27,4	21,2	31,4
01_96_B	Cluster 1	Cluster 1	4,50	32,3	28,6	22,4	32,5
01_96_C	Cluster 1	Cluster 1	7,50	34,2	30,6	24,4	34,5
01_97_A	Cluster 1	Cluster 1	1,50	30,9	27,2	21,0	31,2
01_97_B	Cluster 1	Cluster 1	4,50	32,1	28,4	22,2	32,4
01_97_C	Cluster 1	Cluster 1	7,50	34,0	30,3	24,1	34,3
01_98_A	Cluster 1	Cluster 1	1,50	30,6	26,9	20,7	30,9
01_98_B	Cluster 1	Cluster 1	4,50	31,6	27,9	21,7	31,9
01_98_C	Cluster 1	Cluster 1	7,50	33,5	29,8	23,6	33,8
01_99_A	Cluster 1	Cluster 1	1,50	30,3	26,6	20,3	30,5
01_99_B	Cluster 1	Cluster 1	4,50	31,5	27,8	21,6	31,7
01_99_C	Cluster 1	Cluster 1	7,50	33,4	29,7	23,5	33,7
02_01_A	Cluster 2	Cluster 2	1,50	32,9	29,3	22,9	33,2
02_01_B	Cluster 2	Cluster 2	4,50	36,8	33,2	26,8	37,1
02_01_C	Cluster 2	Cluster 2	7,50	39,1	35,5	29,1	39,4
02_02_A	Cluster 2	Cluster 2	1,50	37,9	34,4	27,9	38,2
02_02_B	Cluster 2	Cluster 2	4,50	40,8	37,2	30,8	41,1
02_02_C	Cluster 2	Cluster 2	7,50	43,1	39,6	33,1	43,4
02_03_A	Cluster 2	Cluster 2	1,50	39,0	35,4	29,0	39,3
02_03_B	Cluster 2	Cluster 2	4,50	41,6	38,1	31,7	41,9
02_03_C	Cluster 2	Cluster 2	7,50	43,5	40,0	33,6	43,8
02_04_A	Cluster 2	Cluster 2	1,50	40,2	36,7	30,2	40,5
02_04_B	Cluster 2	Cluster 2	4,50	42,7	39,2	32,8	43,0

Alle getoonde dB-waarden zijn A-gewogen

Bijlage III-2 Rekenresultaten Brinkgreverweg

Rapport: Resultatentabel
 Model: Wegverkeermodel
 LAeq totaalresultaten voor toetspunten
 Groep: Brinkgreverweg
 Groepsreductie: Ja

Naam						
Toetspunt	Omschrijving	Hoogte	Dag	Avond	Nacht	Lden
02_04_C	Cluster 2	7,50	44,2	40,7	34,3	44,5
02_05_A	Cluster 2	1,50	41,7	38,2	31,7	42,0
02_05_B	Cluster 2	4,50	43,3	39,8	33,3	43,6
02_05_C	Cluster 2	7,50	44,6	41,0	34,6	44,8
02_06_A	Cluster 2	1,50	41,2	37,7	31,2	41,5
02_06_B	Cluster 2	4,50	42,8	39,3	32,8	43,1
02_06_C	Cluster 2	7,50	44,1	40,5	34,1	44,3
02_07_A	Cluster 2	1,50	40,3	36,8	30,4	40,6
02_07_B	Cluster 2	4,50	42,2	38,7	32,2	42,5
02_07_C	Cluster 2	7,50	43,8	40,2	33,8	44,1
02_08_A	Cluster 2	1,50	41,6	38,1	31,7	41,9
02_08_B	Cluster 2	4,50	43,6	40,0	33,6	43,9
02_08_C	Cluster 2	7,50	44,9	41,3	34,9	45,2
02_09_A	Cluster 2	1,50	41,6	38,1	31,6	41,9
02_09_B	Cluster 2	4,50	43,9	40,4	33,9	44,2
02_09_C	Cluster 2	7,50	45,4	41,8	35,4	45,7
02_10_A	Cluster 2	1,50	41,6	38,1	31,7	41,9
02_10_B	Cluster 2	4,50	44,0	40,5	34,1	44,3
02_10_C	Cluster 2	7,50	45,5	42,0	35,6	45,8
02_100_A	Cluster 2	1,50	27,8	24,2	17,9	28,1
02_100_B	Cluster 2	4,50	28,8	25,1	18,9	29,1
02_100_C	Cluster 2	7,50	30,9	27,3	21,0	31,2
02_101_A	Cluster 2	1,50	28,0	24,3	18,0	28,2
02_101_B	Cluster 2	4,50	28,9	25,3	19,0	29,2
02_101_C	Cluster 2	7,50	31,2	27,6	21,3	31,5
02_102_A	Cluster 2	1,50	27,9	24,3	18,0	28,2
02_102_B	Cluster 2	4,50	28,9	25,2	19,0	29,2
02_102_C	Cluster 2	7,50	31,1	27,5	21,3	31,4
02_103_A	Cluster 2	1,50	28,1	24,5	18,2	28,4
02_103_B	Cluster 2	4,50	29,4	25,7	19,4	29,6
02_103_C	Cluster 2	7,50	32,3	28,7	22,5	32,6
02_104_A	Cluster 2	1,50	28,5	24,8	18,5	28,7
02_104_B	Cluster 2	4,50	29,6	25,9	19,6	29,8
02_104_C	Cluster 2	7,50	32,7	29,1	22,8	33,0
02_105_A	Cluster 2	1,50	28,6	24,9	18,6	28,8
02_105_B	Cluster 2	4,50	29,7	26,0	19,7	30,0
02_105_C	Cluster 2	7,50	33,1	29,5	23,2	33,4
02_106_A	Cluster 2	1,50	28,5	24,9	18,6	28,8
02_106_B	Cluster 2	4,50	29,9	26,2	19,9	30,1
02_106_C	Cluster 2	7,50	34,3	30,7	24,4	34,6
02_107_A	Cluster 2	1,50	29,0	25,3	19,0	29,2
02_107_B	Cluster 2	4,50	30,1	26,4	20,2	30,4
02_107_C	Cluster 2	7,50	34,4	30,8	24,5	34,7
02_108_A	Cluster 2	1,50	28,9	25,1	18,9	29,1
02_108_B	Cluster 2	4,50	29,9	26,2	19,9	30,2
02_108_C	Cluster 2	7,50	33,2	29,5	23,2	33,4
02_11_A	Cluster 2	1,50	41,7	38,2	31,7	42,0
02_11_B	Cluster 2	4,50	44,4	40,8	34,4	44,7
02_11_C	Cluster 2	7,50	45,9	42,4	36,0	46,2
02_12_A	Cluster 2	1,50	43,0	39,5	33,0	43,3
02_12_B	Cluster 2	4,50	44,5	41,0	34,5	44,8
02_13_A	Cluster 2	1,50	44,2	40,7	34,2	44,5
02_13_B	Cluster 2	4,50	45,6	42,1	35,7	45,9
02_14_A	Cluster 2	1,50	44,3	40,9	34,4	44,6
02_14_B	Cluster 2	4,50	45,7	42,2	35,8	46,0
02_15_A	Cluster 2	1,50	44,0	40,6	34,1	44,4
02_15_B	Cluster 2	4,50	45,4	41,9	35,5	45,7
02_16_A	Cluster 2	1,50	43,7	40,3	33,8	44,1
02_16_B	Cluster 2	4,50	45,1	41,6	35,1	45,4
02_16_C	Cluster 2	7,50	46,1	42,7	36,2	46,4
02_16_D	Cluster 2	10,50	46,7	43,2	36,7	47,0
02_17_A	Cluster 2	1,50	43,2	39,8	33,3	43,6
02_17_B	Cluster 2	4,50	44,4	41,0	34,5	44,8
02_17_C	Cluster 2	7,50	45,5	42,0	35,5	45,8
02_17_D	Cluster 2	10,50	46,1	42,7	36,2	46,5
02_18_A	Cluster 2	1,50	42,8	39,4	32,9	43,1
02_18_B	Cluster 2	4,50	44,0	40,6	34,1	44,3
02_18_C	Cluster 2	7,50	45,0	41,5	35,1	45,3
02_18_D	Cluster 2	10,50	45,7	42,3	35,8	46,0
02_19_A	Cluster 2	1,50	42,6	39,1	32,6	42,9
02_19_B	Cluster 2	4,50	43,6	40,2	33,7	44,0
02_19_C	Cluster 2	7,50	44,6	41,1	34,6	44,9
02_19_D	Cluster 2	10,50	45,3	41,9	35,4	45,7
02_20_A	Cluster 2	1,50	42,1	38,7	32,2	42,4

Alle getoonde dB-waarden zijn A-gewogen

Bijlage III-2 Rekenresultaten Brinkgreverweg

Rapport: Resultatentabel
 Model: Wegverkeermodel
 LAeq totaalresultaten voor toetspunten
 Groep: Brinkgreverweg
 Groepsreductie: Ja

Naam	Toetspunt	Omschrijving	Hoogte	Dag	Avond	Nacht	Lden
	02_20_B	Cluster 2	4,50	43,1	39,6	33,1	43,4
	02_20_C	Cluster 2	7,50	44,0	40,5	34,0	44,3
	02_20_D	Cluster 2	10,50	44,8	41,3	34,9	45,1
	02_21_A	Cluster 2	1,50	41,9	38,5	32,0	42,3
	02_21_B	Cluster 2	4,50	42,8	39,3	32,8	43,1
	02_21_C	Cluster 2	7,50	43,6	40,2	33,7	44,0
	02_21_D	Cluster 2	10,50	44,5	41,0	34,5	44,8
	02_22_A	Cluster 2	1,50	41,7	38,3	31,7	42,0
	02_22_B	Cluster 2	4,50	42,3	38,8	32,3	42,6
	02_22_C	Cluster 2	7,50	43,1	39,6	33,1	43,4
	02_22_D	Cluster 2	10,50	43,9	40,5	34,0	44,2
	02_23_A	Cluster 2	1,50	41,2	37,8	31,3	41,6
	02_23_B	Cluster 2	4,50	41,6	38,2	31,7	41,9
	02_23_C	Cluster 2	7,50	42,4	38,9	32,5	42,7
	02_23_D	Cluster 2	10,50	43,2	39,7	33,3	43,5
	02_24_A	Cluster 2	1,50	40,8	37,4	30,9	41,1
	02_24_B	Cluster 2	4,50	41,2	37,7	31,2	41,5
	02_24_C	Cluster 2	7,50	41,9	38,5	32,0	42,3
	02_24_D	Cluster 2	10,50	42,7	39,3	32,8	43,0
	02_25_A	Cluster 2	1,50	40,3	36,9	30,4	40,7
	02_25_B	Cluster 2	4,50	40,6	37,1	30,6	40,9
	02_25_C	Cluster 2	7,50	41,3	37,9	31,4	41,6
	02_25_D	Cluster 2	10,50	42,1	38,6	32,1	42,4
	02_26_A	Cluster 2	1,50	31,2	27,8	21,3	31,6
	02_26_B	Cluster 2	4,50	31,2	27,7	21,3	31,5
	02_26_C	Cluster 2	7,50	32,2	28,7	22,3	32,5
	02_26_D	Cluster 2	10,50	33,5	30,0	23,5	33,8
	02_27_A	Cluster 2	1,50	33,2	29,7	23,2	33,5
	02_27_B	Cluster 2	4,50	33,4	29,8	23,4	33,7
	02_27_C	Cluster 2	7,50	34,3	30,7	24,3	34,6
	02_27_D	Cluster 2	10,50	36,7	33,1	26,8	37,0
	02_28_A	Cluster 2	1,50	39,4	36,0	29,5	39,7
	02_28_B	Cluster 2	4,50	39,3	35,9	29,4	39,6
	02_28_C	Cluster 2	7,50	40,0	36,5	30,0	40,3
	02_28_D	Cluster 2	10,50	40,7	37,2	30,7	41,0
	02_29_A	Cluster 2	1,50	38,6	35,2	28,6	38,9
	02_29_B	Cluster 2	4,50	38,5	35,1	28,6	38,9
	02_29_C	Cluster 2	7,50	39,1	35,7	29,2	39,5
	02_29_D	Cluster 2	10,50	39,8	36,4	29,9	40,1
	02_30_A	Cluster 2	1,50	36,7	33,3	26,8	37,0
	02_30_B	Cluster 2	4,50	36,4	33,0	26,5	36,7
	02_30_C	Cluster 2	7,50	36,9	33,5	27,0	37,2
	02_30_D	Cluster 2	10,50	37,7	34,3	27,8	38,1
	02_31_A	Cluster 2	1,50	38,1	34,7	28,2	38,5
	02_31_B	Cluster 2	4,50	38,1	34,7	28,2	38,4
	02_31_C	Cluster 2	7,50	38,6	35,2	28,7	38,9
	02_31_D	Cluster 2	10,50	39,2	35,8	29,3	39,6
	02_32_A	Cluster 2	1,50	18,1	14,4	8,2	18,4
	02_32_B	Cluster 2	4,50	20,1	16,4	10,2	20,4
	02_32_C	Cluster 2	7,50	22,6	19,0	12,9	23,0
	02_32_D	Cluster 2	10,50	23,4	19,7	13,7	23,7
	02_33_A	Cluster 2	1,50	20,2	16,7	10,3	20,5
	02_33_B	Cluster 2	4,50	21,7	18,1	11,8	22,0
	02_33_C	Cluster 2	7,50	23,8	20,1	14,0	24,1
	02_34_A	Cluster 2	1,50	24,2	20,7	14,3	24,5
	02_34_B	Cluster 2	4,50	25,4	21,8	15,5	25,7
	02_34_C	Cluster 2	7,50	26,0	22,4	16,1	26,3
	02_35_A	Cluster 2	1,50	25,1	21,6	15,2	25,4
	02_35_B	Cluster 2	4,50	26,3	22,8	16,4	26,6
	02_35_C	Cluster 2	7,50	26,9	23,3	17,0	27,2
	02_36_A	Cluster 2	1,50	26,5	23,1	16,7	26,9
	02_36_B	Cluster 2	4,50	27,7	24,2	17,7	28,0
	02_36_C	Cluster 2	7,50	28,4	24,9	18,5	28,7
	02_37_A	Cluster 2	1,50	25,4	22,0	15,5	25,8
	02_37_B	Cluster 2	4,50	26,5	23,0	16,6	26,8
	02_37_C	Cluster 2	7,50	27,0	23,5	17,1	27,3
	02_38_A	Cluster 2	1,50	25,6	22,2	15,7	25,9
	02_38_B	Cluster 2	4,50	26,5	23,0	16,6	26,8
	02_38_C	Cluster 2	7,50	27,1	23,6	17,2	27,4
	02_39_A	Cluster 2	1,50	24,6	21,1	14,7	24,9
	02_39_B	Cluster 2	4,50	25,6	22,0	15,7	25,9
	02_39_C	Cluster 2	7,50	26,4	22,8	16,5	26,7
	02_40_A	Cluster 2	1,50	25,0	21,5	15,1	25,3
	02_40_B	Cluster 2	4,50	26,0	22,4	16,1	26,3

Alle getoonde dB-waarden zijn A-gewogen

Bijlage III-2 Rekenresultaten Brinkgreverweg

Rapport: Resultatentabel
 Model: Wegverkeermodel
 LAeq totaalresultaten voor toetspunten
 Groep: Brinkgreverweg
 Groepsreductie: Ja

Naam	Toetspunt	Omschrijving	Hoogte	Dag	Avond	Nacht	Lden
	02_40_C	Cluster 2	7,50	26,7	23,1	16,8	27,0
	02_41_A	Cluster 2	1,50	24,4	20,8	14,5	24,7
	02_41_B	Cluster 2	4,50	25,4	21,7	15,4	25,7
	02_41_C	Cluster 2	7,50	27,9	24,2	17,9	28,2
	02_42_A	Cluster 2	1,50	24,3	20,7	14,3	24,5
	02_42_B	Cluster 2	4,50	25,8	22,1	15,8	26,0
	02_42_C	Cluster 2	7,50	29,2	25,5	19,3	29,5
	02_43_A	Cluster 2	1,50	21,6	17,9	11,7	21,9
	02_43_B	Cluster 2	4,50	23,2	19,5	13,3	23,5
	02_43_C	Cluster 2	7,50	24,6	20,9	14,7	24,9
	02_44_A	Cluster 2	1,50	21,7	18,0	11,8	22,0
	02_44_B	Cluster 2	4,50	23,3	19,6	13,5	23,6
	02_45_A	Cluster 2	1,50	22,1	18,4	12,1	22,3
	02_45_B	Cluster 2	4,50	23,7	20,0	13,8	24,0
	02_46_A	Cluster 2	1,50	26,7	23,1	16,8	27,0
	02_46_B	Cluster 2	4,50	28,9	25,3	19,0	29,2
	02_47_A	Cluster 2	1,50	25,6	21,9	15,7	25,9
	02_47_B	Cluster 2	4,50	27,2	23,5	17,4	27,5
	02_48_A	Cluster 2	1,50	27,1	23,5	17,2	27,4
	02_48_B	Cluster 2	4,50	29,3	25,7	19,4	29,6
	02_48_C	Cluster 2	7,50	30,7	27,2	20,9	31,1
	02_49_A	Cluster 2	1,50	29,0	25,4	19,0	29,3
	02_49_B	Cluster 2	4,50	30,8	27,2	20,9	31,1
	02_49_C	Cluster 2	7,50	32,4	28,8	22,5	32,7
	02_50_A	Cluster 2	1,50	27,7	24,1	17,8	28,0
	02_50_B	Cluster 2	4,50	30,0	26,4	20,1	30,3
	02_50_C	Cluster 2	7,50	32,0	28,5	22,1	32,3
	02_51_A	Cluster 2	1,50	29,4	25,9	19,5	29,7
	02_51_B	Cluster 2	4,50	31,1	27,5	21,1	31,4
	02_51_C	Cluster 2	7,50	32,6	29,0	22,7	32,9
	02_52_A	Cluster 2	1,50	28,3	24,7	18,4	28,6
	02_52_B	Cluster 2	4,50	30,6	27,0	20,7	30,9
	02_52_C	Cluster 2	7,50	32,5	28,9	22,6	32,8
	02_53_A	Cluster 2	1,50	28,4	24,8	18,5	28,7
	02_53_B	Cluster 2	4,50	31,5	27,9	21,5	31,8
	02_53_C	Cluster 2	7,50	33,5	30,0	23,6	33,8
	02_54_A	Cluster 2	1,50	28,2	24,5	18,2	28,4
	02_54_B	Cluster 2	4,50	30,7	27,1	20,8	31,0
	02_54_C	Cluster 2	7,50	32,9	29,3	23,0	33,2
	02_55_A	Cluster 2	1,50	29,1	25,4	19,1	29,3
	02_55_B	Cluster 2	4,50	32,2	28,6	22,3	32,5
	02_55_C	Cluster 2	7,50	34,8	31,2	24,9	35,1
	02_56_A	Cluster 2	1,50	30,9	27,4	21,0	31,2
	02_56_B	Cluster 2	4,50	33,1	29,5	23,1	33,4
	02_56_C	Cluster 2	7,50	35,0	31,4	25,1	35,3
	02_57_A	Cluster 2	1,50	29,2	25,6	19,3	29,5
	02_57_B	Cluster 2	4,50	32,2	28,5	22,2	32,4
	02_57_C	Cluster 2	7,50	34,9	31,3	25,0	35,2
	02_58_A	Cluster 2	1,50	29,3	25,6	19,3	29,6
	02_58_B	Cluster 2	4,50	32,3	28,7	22,4	32,6
	02_58_C	Cluster 2	7,50	34,9	31,4	25,0	35,2
	02_59_A	Cluster 2	1,50	30,9	27,2	20,9	31,1
	02_59_B	Cluster 2	4,50	32,6	28,9	22,6	32,8
	02_59_C	Cluster 2	7,50	34,8	31,1	24,8	35,0
	02_60_A	Cluster 2	1,50	26,0	22,3	16,0	26,3
	02_60_B	Cluster 2	4,50	27,8	24,1	17,9	28,1
	02_60_C	Cluster 2	7,50	30,5	26,9	20,6	30,8
	02_61_A	Cluster 2	1,50	26,0	22,3	16,1	26,3
	02_61_B	Cluster 2	4,50	27,0	23,2	17,1	27,2
	02_61_C	Cluster 2	7,50	28,2	24,5	18,3	28,5
	02_62_A	Cluster 2	1,50	26,2	22,4	16,2	26,4
	02_62_B	Cluster 2	4,50	26,9	23,2	17,0	27,2
	02_62_C	Cluster 2	7,50	27,8	24,1	17,9	28,1
	02_63_A	Cluster 2	1,50	26,4	22,7	16,4	26,7
	02_63_B	Cluster 2	4,50	26,8	23,0	16,9	27,0
	02_63_C	Cluster 2	7,50	28,3	24,6	18,4	28,6
	02_64_A	Cluster 2	1,50	25,9	22,2	16,0	26,2
	02_64_B	Cluster 2	4,50	26,5	22,8	16,6	26,8
	02_64_C	Cluster 2	7,50	27,9	24,2	18,1	28,2
	02_65_A	Cluster 2	1,50	26,1	22,3	16,1	26,3
	02_65_B	Cluster 2	4,50	26,7	22,9	16,7	26,9
	02_65_C	Cluster 2	7,50	28,0	24,2	18,1	28,2
	02_66_A	Cluster 2	1,50	26,4	22,6	16,4	26,6
	02_66_B	Cluster 2	4,50	26,5	22,7	16,6	26,8

Alle getoonde dB-waarden zijn A-gewogen

Bijlage III-2 Rekenresultaten Brinkgreverweg

Rapport: Resultatentabel
 Model: Wegverkeermodel
 LAeq totaalresultaten voor toetspunten
 Groep: Brinkgreverweg
 Groepsreductie: Ja

Naam						
Toetspunt	Omschrijving	Hoogte	Dag	Avond	Nacht	Lden
02_66_C	Cluster 2	7,50	27,7	23,9	17,8	28,0
02_67_A	Cluster 2	1,50	26,1	22,3	16,1	26,3
02_67_B	Cluster 2	4,50	26,4	22,7	16,6	26,7
02_67_C	Cluster 2	7,50	27,6	23,8	17,8	27,9
02_68_A	Cluster 2	1,50	25,7	21,9	15,8	26,0
02_68_B	Cluster 2	4,50	25,7	21,9	15,9	26,0
02_68_C	Cluster 2	7,50	26,6	22,8	16,7	26,9
02_69_A	Cluster 2	1,50	26,6	22,9	16,6	26,8
02_69_B	Cluster 2	4,50	28,2	24,4	18,2	28,4
02_69_C	Cluster 2	7,50	31,5	27,7	21,5	31,7
02_70_A	Cluster 2	1,50	24,6	20,8	14,6	24,8
02_70_B	Cluster 2	4,50	24,2	20,4	14,2	24,4
02_70_C	Cluster 2	7,50	27,1	23,3	17,2	27,4
02_71_A	Cluster 2	1,50	25,7	21,9	15,7	25,9
02_71_B	Cluster 2	4,50	27,3	23,5	17,3	27,5
02_72_A	Cluster 2	1,50	28,5	24,8	18,6	28,8
02_72_B	Cluster 2	4,50	30,8	27,0	20,8	31,0
02_73_A	Cluster 2	1,50	29,1	25,3	19,1	29,3
02_73_B	Cluster 2	4,50	31,3	27,5	21,3	31,5
02_73_C	Cluster 2	7,50	33,3	29,6	23,4	33,6
02_73_D	Cluster 2	10,50	37,4	33,8	27,5	37,7
02_74_A	Cluster 2	1,50	28,9	25,1	18,9	29,1
02_74_B	Cluster 2	4,50	30,7	27,0	20,7	31,0
02_74_C	Cluster 2	7,50	32,5	28,8	22,6	32,8
02_74_D	Cluster 2	10,50	36,8	33,2	26,9	37,1
02_75_A	Cluster 2	1,50	29,2	25,5	19,2	29,5
02_75_B	Cluster 2	4,50	30,6	26,8	20,6	30,8
02_75_C	Cluster 2	7,50	32,1	28,4	22,2	32,4
02_75_D	Cluster 2	10,50	35,3	31,7	25,4	35,6
02_76_A	Cluster 2	1,50	29,3	25,6	19,4	29,6
02_76_B	Cluster 2	4,50	30,7	26,9	20,7	30,9
02_76_C	Cluster 2	7,50	31,9	28,1	21,9	32,1
02_76_D	Cluster 2	10,50	35,4	31,8	25,5	35,7
02_77_A	Cluster 2	1,50	29,0	25,3	19,0	29,3
02_77_B	Cluster 2	4,50	30,1	26,4	20,2	30,4
02_77_C	Cluster 2	7,50	31,7	28,0	21,7	31,9
02_77_D	Cluster 2	10,50	35,8	32,2	25,9	36,1
02_78_A	Cluster 2	1,50	29,0	25,3	19,0	29,2
02_78_B	Cluster 2	4,50	30,0	26,3	20,0	30,3
02_78_C	Cluster 2	7,50	31,6	27,9	21,7	31,9
02_78_D	Cluster 2	10,50	34,9	31,3	25,0	35,2
02_79_A	Cluster 2	1,50	28,9	25,2	19,0	29,2
02_79_B	Cluster 2	4,50	30,0	26,2	20,0	30,2
02_79_C	Cluster 2	7,50	31,6	27,9	21,8	31,9
02_79_D	Cluster 2	10,50	34,3	30,7	24,5	34,6
02_80_A	Cluster 2	1,50	28,9	25,2	18,9	29,2
02_80_B	Cluster 2	4,50	30,0	26,2	20,0	30,2
02_80_C	Cluster 2	7,50	31,3	27,6	21,4	31,6
02_80_D	Cluster 2	10,50	33,8	30,2	23,9	34,1
02_81_A	Cluster 2	1,50	28,9	25,2	19,0	29,2
02_81_B	Cluster 2	4,50	29,7	26,0	19,8	30,0
02_81_C	Cluster 2	7,50	31,1	27,4	21,2	31,4
02_81_D	Cluster 2	10,50	32,7	29,1	22,9	33,0
02_82_A	Cluster 2	1,50	28,5	24,8	18,6	28,8
02_82_B	Cluster 2	4,50	29,5	25,8	19,6	29,7
02_82_C	Cluster 2	7,50	30,8	27,1	20,9	31,1
02_82_D	Cluster 2	10,50	32,1	28,5	22,3	32,4
02_83_A	Cluster 2	1,50	28,0	24,3	18,1	28,3
02_83_B	Cluster 2	4,50	29,2	25,5	19,3	29,5
02_83_C	Cluster 2	7,50	30,9	27,3	21,1	31,2
02_83_D	Cluster 2	10,50	31,0	27,4	21,1	31,3
02_84_A	Cluster 2	1,50	26,3	22,7	16,4	26,6
02_84_B	Cluster 2	4,50	27,9	24,2	18,0	28,2
02_84_C	Cluster 2	7,50	29,4	25,7	19,5	29,7
02_84_D	Cluster 2	10,50	30,2	26,5	20,3	30,5
02_85_A	Cluster 2	1,50	26,9	23,2	16,9	27,1
02_85_B	Cluster 2	4,50	28,0	24,3	18,1	28,3
02_85_C	Cluster 2	7,50	30,0	26,3	20,1	30,3
02_85_D	Cluster 2	10,50	31,1	27,5	21,2	31,4
02_86_A	Cluster 2	1,50	27,3	23,6	17,3	27,5
02_86_B	Cluster 2	4,50	28,5	24,8	18,6	28,8
02_86_C	Cluster 2	7,50	30,3	26,6	20,5	30,6
02_87_A	Cluster 2	1,50	26,4	22,7	16,4	26,7
02_87_B	Cluster 2	4,50	28,0	24,3	18,0	28,2

Alle getoonde dB-waarden zijn A-gewogen

Bijlage III-2 Rekenresultaten Brinkgreverweg

Rapport: Resultatentabel
 Model: Wegverkeermodel
 LAeq totaalresultaten voor toetspunten
 Groep: Brinkgreverweg
 Groepsreductie: Ja

Naam						
Toetspunt	Omschrijving	Hoogte	Dag	Avond	Nacht	Lden
02_87_C	Cluster 2	7,50	31,4	27,7	21,5	31,7
02_88_A	Cluster 2	1,50	24,7	21,0	14,7	25,0
02_88_B	Cluster 2	4,50	26,0	22,3	16,1	26,3
02_88_C	Cluster 2	7,50	28,4	24,8	18,5	28,7
02_89_A	Cluster 2	1,50	28,4	24,7	18,5	28,7
02_89_B	Cluster 2	4,50	29,5	25,8	19,5	29,7
02_89_C	Cluster 2	7,50	31,3	27,6	21,4	31,6
02_90_A	Cluster 2	1,50	28,7	25,0	18,7	28,9
02_90_B	Cluster 2	4,50	29,4	25,7	19,4	29,6
02_90_C	Cluster 2	7,50	31,1	27,4	21,2	31,4
02_91_A	Cluster 2	1,50	28,6	24,9	18,6	28,8
02_91_B	Cluster 2	4,50	29,7	26,0	19,8	30,0
02_91_C	Cluster 2	7,50	31,4	27,8	21,6	31,7
02_92_A	Cluster 2	1,50	28,6	24,9	18,7	28,9
02_92_B	Cluster 2	4,50	29,8	26,1	19,9	30,1
02_92_C	Cluster 2	7,50	31,5	27,9	21,7	31,8
02_93_A	Cluster 2	1,50	28,4	24,7	18,5	28,7
02_93_B	Cluster 2	4,50	29,5	25,8	19,6	29,8
02_93_C	Cluster 2	7,50	31,3	27,6	21,4	31,6
02_94_A	Cluster 2	1,50	28,2	24,5	18,2	28,5
02_94_B	Cluster 2	4,50	29,3	25,6	19,3	29,5
02_94_C	Cluster 2	7,50	31,2	27,6	21,4	31,5
02_95_A	Cluster 2	1,50	26,9	23,2	16,9	27,1
02_95_B	Cluster 2	4,50	28,5	24,9	18,6	28,8
02_95_C	Cluster 2	7,50	31,4	27,8	21,5	31,7
02_96_A	Cluster 2	1,50	27,2	23,6	17,2	27,5
02_96_B	Cluster 2	4,50	28,4	24,7	18,4	28,7
02_97_A	Cluster 2	1,50	27,0	23,3	17,0	27,3
02_97_B	Cluster 2	4,50	27,6	23,9	17,6	27,8
02_98_A	Cluster 2	1,50	26,3	22,6	16,3	26,5
02_98_B	Cluster 2	4,50	27,8	24,1	17,8	28,0
02_98_C	Cluster 2	7,50	29,8	26,2	20,0	30,1
02_99_A	Cluster 2	1,50	27,7	24,0	17,8	28,0
02_99_B	Cluster 2	4,50	28,7	25,0	18,8	29,0
02_99_C	Cluster 2	7,50	31,0	27,4	21,1	31,3
03_01_A	Cluster 3	1,50	24,3	20,6	14,4	24,6
03_01_B	Cluster 3	4,50	26,2	22,4	16,3	26,4
03_01_C	Cluster 3	7,50	28,9	25,3	19,0	29,2
03_02_A	Cluster 3	1,50	32,9	29,5	23,0	33,3
03_02_B	Cluster 3	4,50	33,4	29,9	23,5	33,7
03_02_C	Cluster 3	7,50	34,3	30,8	24,4	34,6
03_03_A	Cluster 3	1,50	28,5	24,9	18,6	28,8
03_03_B	Cluster 3	4,50	29,6	26,0	19,8	30,0
03_03_C	Cluster 3	7,50	31,5	27,9	21,7	31,8
03_04_A	Cluster 3	1,50	33,1	29,7	23,2	33,5
03_04_B	Cluster 3	4,50	33,8	30,3	23,9	34,1
03_04_C	Cluster 3	7,50	34,8	31,2	24,9	35,1
03_05_A	Cluster 3	1,50	35,7	32,2	25,8	36,0
03_05_B	Cluster 3	4,50	36,0	32,5	26,1	36,3
03_06_A	Cluster 3	1,50	35,3	31,9	25,4	35,7
03_06_B	Cluster 3	4,50	35,7	32,2	25,8	36,0
03_07_A	Cluster 3	1,50	35,0	31,5	25,1	35,3
03_07_B	Cluster 3	4,50	35,8	32,3	25,9	36,1
03_08_A	Cluster 3	1,50	28,6	24,9	18,7	28,9
03_08_B	Cluster 3	4,50	30,2	26,5	20,4	30,5
03_09_A	Cluster 3	1,50	28,7	25,0	18,8	29,0
03_09_B	Cluster 3	4,50	30,5	26,7	20,6	30,8
03_09_C	Cluster 3	7,50	32,2	28,5	22,4	32,5
03_10_A	Cluster 3	1,50	28,7	25,0	18,8	29,0
03_10_B	Cluster 3	4,50	30,5	26,8	20,7	30,8
03_10_C	Cluster 3	7,50	32,5	28,8	22,7	32,8
03_11_A	Cluster 3	1,50	28,6	24,9	18,7	28,9
03_11_B	Cluster 3	4,50	30,5	26,7	20,6	30,7
03_11_C	Cluster 3	7,50	32,4	28,7	22,6	32,7
03_12_A	Cluster 3	1,50	28,5	24,8	18,6	28,8
03_12_B	Cluster 3	4,50	30,4	26,7	20,5	30,7
03_12_C	Cluster 3	7,50	32,3	28,7	22,5	32,6
03_13_A	Cluster 3	1,50	28,7	25,0	18,7	28,9
03_13_B	Cluster 3	4,50	30,6	26,9	20,7	30,9
03_13_C	Cluster 3	7,50	32,3	28,6	22,4	32,5
03_14_A	Cluster 3	1,50	28,6	24,9	18,7	28,9
03_14_B	Cluster 3	4,50	30,6	26,9	20,7	30,9
03_14_C	Cluster 3	7,50	32,8	29,1	22,9	33,1
03_15_A	Cluster 3	1,50	28,6	24,9	18,7	28,9

Alle getoonde dB-waarden zijn A-gewogen

Bijlage III-2 Rekenresultaten Brinkgreverweg

Rapport: Resultatentabel
 Model: Wegverkeermodel
 LAeq totaalresultaten voor toetspunten
 Groep: Brinkgreverweg
 Groepsreductie: Ja

Naam	Toetspunt	Omschrijving	Hoogte	Dag	Avond	Nacht	Lden
03_15_B	Cluster 3		4,50	30,6	26,8	20,7	30,8
03_15_C	Cluster 3		7,50	32,3	28,6	22,5	32,6
03_16_A	Cluster 3		1,50	28,6	24,9	18,7	28,9
03_16_B	Cluster 3		4,50	30,5	26,8	20,6	30,8
03_16_C	Cluster 3		7,50	32,4	28,7	22,5	32,7
03_17_A	Cluster 3		1,50	28,6	24,9	18,6	28,8
03_17_B	Cluster 3		4,50	30,3	26,6	20,4	30,6
03_17_C	Cluster 3		7,50	32,0	28,3	22,1	32,2
03_18_A	Cluster 3		1,50	28,5	24,8	18,6	28,8
03_18_B	Cluster 3		4,50	30,3	26,6	20,4	30,6
03_18_C	Cluster 3		7,50	32,1	28,4	22,3	32,4
03_19_A	Cluster 3		1,50	28,7	25,0	18,7	28,9
03_19_B	Cluster 3		4,50	30,4	26,7	20,5	30,7
03_19_C	Cluster 3		7,50	32,1	28,4	22,3	32,4
03_20_A	Cluster 3		1,50	28,6	24,9	18,6	28,8
03_20_B	Cluster 3		4,50	30,4	26,7	20,5	30,6
03_20_C	Cluster 3		7,50	32,0	28,3	22,2	32,3
03_21_A	Cluster 3		1,50	26,5	22,9	16,6	26,8
03_21_B	Cluster 3		4,50	28,2	24,5	18,3	28,5
03_21_C	Cluster 3		7,50	30,0	26,3	20,1	30,3
03_22_A	Cluster 3		1,50	26,4	22,8	16,5	26,7
03_22_B	Cluster 3		4,50	28,0	24,3	18,1	28,3
03_22_C	Cluster 3		7,50	29,6	25,9	19,7	29,9
03_23_A	Cluster 3		1,50	26,5	22,9	16,6	26,8
03_23_B	Cluster 3		4,50	28,2	24,5	18,3	28,5
03_23_C	Cluster 3		7,50	30,1	26,5	20,3	30,4
03_24_A	Cluster 3		1,50	26,4	22,8	16,5	26,7
03_24_B	Cluster 3		4,50	28,1	24,4	18,3	28,4
03_24_C	Cluster 3		7,50	29,9	26,3	20,1	30,2
03_25_A	Cluster 3		1,50	25,7	22,0	15,7	25,9
03_25_B	Cluster 3		4,50	27,2	23,5	17,3	27,5
03_25_C	Cluster 3		7,50	29,0	25,4	19,2	29,3
03_26_A	Cluster 3		1,50	25,2	21,6	15,3	25,5
03_26_B	Cluster 3		4,50	26,8	23,1	16,9	27,1
03_26_C	Cluster 3		7,50	28,5	24,9	18,6	28,8
03_27_A	Cluster 3		1,50	25,2	21,5	15,3	25,5
03_27_B	Cluster 3		4,50	26,8	23,1	16,9	27,0
03_27_C	Cluster 3		7,50	28,2	24,5	18,2	28,4
03_28_A	Cluster 3		1,50	25,2	21,5	15,3	25,5
03_28_B	Cluster 3		4,50	27,0	23,3	17,1	27,3
03_28_C	Cluster 3		7,50	28,1	24,5	18,2	28,4
03_29_A	Cluster 3		1,50	24,7	21,0	14,7	25,0
03_29_B	Cluster 3		4,50	26,5	22,8	16,5	26,7
03_29_C	Cluster 3		7,50	27,9	24,3	18,0	28,2
03_30_A	Cluster 3		1,50	23,4	19,7	13,4	23,6
03_30_B	Cluster 3		4,50	25,5	21,8	15,5	25,7
03_30_C	Cluster 3		7,50	28,4	24,8	18,5	28,7
03_31_A	Cluster 3		1,50	21,9	18,2	12,0	22,1
03_31_B	Cluster 3		4,50	23,6	19,9	13,8	23,9
03_31_C	Cluster 3		7,50	25,7	21,9	15,9	26,0
03_32_A	Cluster 3		1,50	25,0	21,3	15,1	25,3
03_32_B	Cluster 3		4,50	26,9	23,1	16,9	27,1
03_32_C	Cluster 3		7,50	28,5	24,8	18,6	28,8
03_33_A	Cluster 3		1,50	21,5	17,8	11,6	21,8
03_33_B	Cluster 3		4,50	23,0	19,3	13,1	23,3
03_33_C	Cluster 3		7,50	24,3	20,5	14,3	24,5
03_34_A	Cluster 3		1,50	21,8	18,1	12,0	22,1
03_34_B	Cluster 3		4,50	23,0	19,3	13,1	23,3
03_34_C	Cluster 3		7,50	24,3	20,6	14,4	24,6
03_35_A	Cluster 3		1,50	22,6	18,9	12,7	22,9
03_35_B	Cluster 3		4,50	23,1	19,4	13,2	23,3
03_35_C	Cluster 3		7,50	24,8	21,1	14,9	25,1
03_36_A	Cluster 3		1,50	22,8	19,1	12,8	23,0
03_36_B	Cluster 3		4,50	22,7	19,0	12,8	23,0
03_36_C	Cluster 3		7,50	24,2	20,6	14,3	24,5
03_37_A	Cluster 3		1,50	22,7	19,0	12,7	22,9
03_37_B	Cluster 3		4,50	22,7	19,0	12,8	23,0
03_37_C	Cluster 3		7,50	24,6	21,0	14,8	24,9
03_38_A	Cluster 3		1,50	22,8	19,1	12,9	23,1
03_38_B	Cluster 3		4,50	23,4	19,7	13,5	23,7
03_38_C	Cluster 3		7,50	24,2	20,5	14,3	24,5
03_39_A	Cluster 3		1,50	21,8	18,1	11,9	22,1
03_39_B	Cluster 3		4,50	22,8	19,0	12,9	23,0
03_39_C	Cluster 3		7,50	24,2	20,6	14,4	24,5

Alle getoonde dB-waarden zijn A-gewogen

Bijlage III-2 Rekenresultaten Brinkgreverweg

Rapport: Resultatentabel
 Model: Wegverkeermodel
 LAeq totaalresultaten voor toetspunten
 Groep: Brinkgreverweg
 Groepsreductie: Ja

Naam	Toetspunt	Omschrijving	Hoogte	Dag	Avond	Nacht	Lden
	03_40_A	Cluster 3	1,50	24,4	20,8	14,5	24,7
	03_40_B	Cluster 3	4,50	23,0	19,3	13,1	23,3
	03_40_C	Cluster 3	7,50	26,5	22,9	16,6	26,8
	03_41_A	Cluster 3	1,50	27,0	23,5	17,1	27,3
	03_41_B	Cluster 3	4,50	23,9	20,1	14,0	24,2
	03_41_C	Cluster 3	7,50	27,4	23,8	17,5	27,7
	03_42_A	Cluster 3	1,50	25,8	22,3	15,9	26,1
	03_42_B	Cluster 3	4,50	26,6	23,0	16,7	26,9
	03_42_C	Cluster 3	7,50	29,2	25,6	19,3	29,5
	03_43_A	Cluster 3	1,50	32,2	28,8	22,3	32,6
	03_43_B	Cluster 3	4,50	32,8	29,3	22,9	33,2
	03_43_C	Cluster 3	7,50	33,9	30,4	24,1	34,3
	03_44_A	Cluster 3	1,50	34,0	30,6	24,1	34,3
	03_44_B	Cluster 3	4,50	34,4	30,9	24,5	34,7
	03_44_C	Cluster 3	7,50	34,9	31,4	25,1	35,3
	03_45_A	Cluster 3	1,50	33,2	29,7	23,3	33,5
	03_45_B	Cluster 3	4,50	33,6	30,1	23,7	33,9
	03_45_C	Cluster 3	7,50	34,2	30,7	24,3	34,5
	03_46_A	Cluster 3	1,50	33,3	29,9	23,4	33,7
	03_46_B	Cluster 3	4,50	33,8	30,3	23,9	34,1
	03_46_C	Cluster 3	7,50	34,4	30,8	24,5	34,7
	03_47_A	Cluster 3	1,50	27,2	23,5	17,4	27,5
	03_47_B	Cluster 3	4,50	28,8	25,1	19,0	29,1
	03_47_C	Cluster 3	7,50	30,7	27,0	20,9	31,0
	03_48_A	Cluster 3	1,50	26,6	22,9	16,7	26,9
	03_48_B	Cluster 3	4,50	27,7	24,0	17,8	28,0
	03_48_C	Cluster 3	7,50	29,2	25,5	19,4	29,5
	03_49_A	Cluster 3	1,50	25,8	22,2	15,9	26,1
	03_49_B	Cluster 3	4,50	27,4	23,7	17,5	27,7
	03_49_C	Cluster 3	7,50	29,0	25,3	19,2	29,3
	03_50_A	Cluster 3	1,50	25,4	21,7	15,4	25,7
	03_50_B	Cluster 3	4,50	27,1	23,4	17,2	27,4
	03_50_C	Cluster 3	7,50	30,4	26,7	20,6	30,7
	03_51_A	Cluster 3	1,50	25,1	21,4	15,1	25,3
	03_51_B	Cluster 3	4,50	27,2	23,5	17,2	27,4
	03_52_A	Cluster 3	1,50	24,7	21,0	14,7	25,0
	03_52_B	Cluster 3	4,50	26,2	22,5	16,3	26,5
	03_53_A	Cluster 3	1,50	24,6	20,9	14,6	24,9
	03_53_B	Cluster 3	4,50	25,3	21,6	15,4	25,5
	03_53_C	Cluster 3	7,50	28,0	24,3	18,2	28,3
	03_54_A	Cluster 3	1,50	24,1	20,5	14,2	24,4
	03_54_B	Cluster 3	4,50	25,2	21,5	15,3	25,5
	03_54_C	Cluster 3	7,50	28,9	25,2	19,1	29,2
	03_55_A	Cluster 3	1,50	25,3	21,7	15,4	25,6
	03_55_B	Cluster 3	4,50	25,5	21,8	15,6	25,8
	03_55_C	Cluster 3	7,50	27,6	23,9	17,7	27,9
	03_56_A	Cluster 3	1,50	25,4	21,7	15,4	25,6
	03_56_B	Cluster 3	4,50	25,6	21,9	15,7	25,9
	03_56_C	Cluster 3	7,50	26,5	22,8	16,6	26,8
	03_57_A	Cluster 3	1,50	26,2	22,5	16,3	26,5
	03_57_B	Cluster 3	4,50	26,4	22,7	16,5	26,7
	03_57_C	Cluster 3	7,50	27,8	24,1	18,0	28,1
	03_58_A	Cluster 3	1,50	26,1	22,4	16,2	26,4
	03_58_B	Cluster 3	4,50	25,8	22,1	15,9	26,1
	03_58_C	Cluster 3	7,50	27,1	23,4	17,2	27,4
	03_59_A	Cluster 3	1,50	26,1	22,4	16,2	26,3
	03_59_B	Cluster 3	4,50	26,1	22,4	16,2	26,4
	03_59_C	Cluster 3	7,50	28,2	24,6	18,3	28,5
	03_60_A	Cluster 3	1,50	25,6	21,9	15,7	25,9
	03_60_B	Cluster 3	4,50	25,4	21,7	15,5	25,7
	03_60_C	Cluster 3	7,50	27,7	24,0	17,8	28,0
	03_61_A	Cluster 3	1,50	25,8	22,1	15,9	26,1
	03_61_B	Cluster 3	4,50	25,3	21,6	15,5	25,6
	03_61_C	Cluster 3	7,50	26,8	23,1	17,0	27,1
	03_62_A	Cluster 3	1,50	25,3	21,6	15,4	25,6
	03_62_B	Cluster 3	4,50	25,1	21,4	15,2	25,4
	03_62_C	Cluster 3	7,50	26,3	22,6	16,5	26,6
	03_63_A	Cluster 3	1,50	24,1	20,5	14,2	24,4
	03_63_B	Cluster 3	4,50	23,9	20,2	13,9	24,2
	03_63_C	Cluster 3	7,50	25,8	22,1	15,9	26,1
	03_64_A	Cluster 3	1,50	25,0	21,3	15,1	25,3
	03_64_B	Cluster 3	4,50	24,9	21,2	15,0	25,2
	03_64_C	Cluster 3	7,50	26,8	23,1	16,9	27,1
	03_65_A	Cluster 3	1,50	25,6	21,9	15,7	25,9

Alle getoonde dB-waarden zijn A-gewogen

Bijlage III-2 Rekenresultaten Brinkgreverweg

Rapport: Resultatentabel
 Model: Wegverkeermodel
 LAeq totaalresultaten voor toetspunten
 Groep: Brinkgreverweg
 Groepsreductie: Ja

Naam	Toetspunt	Omschrijving	Hoogte	Dag	Avond	Nacht	Lden
	03_65_B	Cluster 3	4,50	26,5	22,8	16,6	26,8
	03_65_C	Cluster 3	7,50	29,4	25,7	19,5	29,7
	03_66_A	Cluster 3	1,50	25,9	22,2	16,0	26,2
	03_66_B	Cluster 3	4,50	27,3	23,6	17,4	27,6
	03_66_C	Cluster 3	7,50	30,1	26,4	20,2	30,4
	03_67_A	Cluster 3	1,50	25,9	22,2	15,9	26,1
	03_67_B	Cluster 3	4,50	27,9	24,2	18,0	28,2
	03_67_C	Cluster 3	7,50	31,6	27,9	21,8	31,9
	03_68_A	Cluster 3	1,50	26,4	22,7	16,5	26,7
	03_68_B	Cluster 3	4,50	27,2	23,5	17,4	27,5
	03_68_C	Cluster 3	7,50	29,3	25,6	19,6	29,7
	03_69_A	Cluster 3	1,50	26,4	22,7	16,5	26,7
	03_69_B	Cluster 3	4,50	27,2	23,5	17,4	27,5
	03_69_C	Cluster 3	7,50	28,9	25,3	19,2	29,3
	03_70_A	Cluster 3	1,50	26,4	22,7	16,5	26,7
	03_70_B	Cluster 3	4,50	27,1	23,4	17,3	27,4
	03_70_C	Cluster 3	7,50	28,8	25,1	19,0	29,1
	03_71_A	Cluster 3	1,50	25,7	22,0	15,8	26,0
	03_71_B	Cluster 3	4,50	26,5	22,7	16,7	26,8
	03_71_C	Cluster 3	7,50	28,0	24,3	18,3	28,4
	03_72_A	Cluster 3	1,50	24,9	21,2	15,0	25,2
	03_72_B	Cluster 3	4,50	25,9	22,2	16,1	26,2
	03_72_C	Cluster 3	7,50	27,6	23,9	17,8	27,9
	03_73_A	Cluster 3	1,50	25,1	21,4	15,2	25,4
	03_73_B	Cluster 3	4,50	26,0	22,3	16,2	26,3
	03_73_C	Cluster 3	7,50	27,6	23,9	17,9	27,9
	03_74_A	Cluster 3	1,50	25,3	21,6	15,5	25,6
	03_74_B	Cluster 3	4,50	26,3	22,6	16,5	26,6
	03_74_C	Cluster 3	7,50	28,4	24,7	18,7	28,7
	03_75_A	Cluster 3	1,50	27,5	23,8	17,7	27,8
	03_75_B	Cluster 3	4,50	28,4	24,7	18,6	28,7
	03_75_C	Cluster 3	7,50	29,9	26,2	20,1	30,2
	03_76_A	Cluster 3	1,50	27,4	23,7	17,5	27,7
	03_76_B	Cluster 3	4,50	28,7	24,9	18,8	28,9
	03_76_C	Cluster 3	7,50	30,2	26,5	20,4	30,5
	03_77_A	Cluster 3	1,50	27,5	23,8	17,7	27,8
	03_77_B	Cluster 3	4,50	28,6	24,9	18,7	28,9
	03_77_C	Cluster 3	7,50	30,0	26,3	20,2	30,3
	03_78_A	Cluster 3	1,50	27,4	23,7	17,5	27,7
	03_78_B	Cluster 3	4,50	28,7	24,9	18,8	28,9
	03_78_C	Cluster 3	7,50	30,0	26,3	20,2	30,4
	03_79_A	Cluster 3	1,50	27,5	23,8	17,6	27,8
	03_79_B	Cluster 3	4,50	28,9	25,1	19,0	29,1
	03_79_C	Cluster 3	7,50	30,4	26,7	20,6	30,7
	03_80_A	Cluster 3	1,50	27,5	23,8	17,6	27,8
	03_80_B	Cluster 3	4,50	28,8	25,1	19,0	29,1
	03_80_C	Cluster 3	7,50	30,6	26,9	20,8	30,9
	03_81_A	Cluster 3	1,50	27,5	23,8	17,7	27,8
	03_81_B	Cluster 3	4,50	28,5	24,8	18,6	28,8
	03_81_C	Cluster 3	7,50	30,3	26,6	20,5	30,6
	03_82_A	Cluster 3	1,50	25,5	21,8	15,6	25,8
	03_82_B	Cluster 3	4,50	27,0	23,3	17,1	27,3
	03_82_C	Cluster 3	7,50	30,2	26,5	20,4	30,5
	03_83_A	Cluster 3	1,50	26,5	22,8	16,7	26,8
	03_83_B	Cluster 3	4,50	27,5	23,8	17,6	27,8
	03_83_C	Cluster 3	7,50	29,9	26,2	20,1	30,2
	03_84_A	Cluster 3	1,50	26,5	22,8	16,7	26,8
	03_84_B	Cluster 3	4,50	27,4	23,7	17,6	27,7
	03_84_C	Cluster 3	7,50	29,0	25,3	19,2	29,3
	03_85_A	Cluster 3	1,50	26,0	22,3	16,2	26,3
	03_85_B	Cluster 3	4,50	27,3	23,5	17,4	27,5
	03_85_C	Cluster 3	7,50	28,3	24,5	18,4	28,5
	03_86_A	Cluster 3	1,50	21,5	17,8	11,5	21,7
	03_86_B	Cluster 3	4,50	23,2	19,4	13,2	23,4
	03_86_C	Cluster 3	7,50	27,1	23,4	17,2	27,4
	03_87_A	Cluster 3	1,50	26,7	23,0	16,8	27,0
	03_87_B	Cluster 3	4,50	27,8	24,1	17,9	28,1
	03_87_C	Cluster 3	7,50	29,3	25,7	19,5	29,6
	04_01_A	Cluster 4	1,50	21,7	18,0	11,9	22,0
	04_01_B	Cluster 4	4,50	24,0	20,3	14,2	24,3
	04_01_C	Cluster 4	7,50	24,7	20,9	14,9	25,0
	04_02_A	Cluster 4	1,50	20,4	16,7	10,5	20,7
	04_02_B	Cluster 4	4,50	22,5	18,7	12,5	22,7
	04_02_C	Cluster 4	7,50	25,9	22,2	16,0	26,2

Alle getoonde dB-waarden zijn A-gewogen

Bijlage III-2 Rekenresultaten Brinkgreverweg

Rapport: Resultatentabel
 Model: Wegverkeermodel
 LAeq totaalresultaten voor toetspunten
 Groep: Brinkgreverweg
 Groepsreductie: Ja

Naam	Toetspunt	Omschrijving	Hoogte	Dag	Avond	Nacht	Lden
04_03_A	Cluster 4		1,50	21,6	17,9	11,7	21,9
04_03_B	Cluster 4		4,50	23,1	19,4	13,3	23,4
04_03_C	Cluster 4		7,50	25,7	22,1	15,8	26,0
04_04_A	Cluster 4		1,50	21,3	17,6	11,3	21,5
04_04_B	Cluster 4		4,50	23,1	19,4	13,1	23,3
04_04_C	Cluster 4		7,50	27,1	23,5	17,2	27,4
04_05_A	Cluster 4		1,50	21,4	17,7	11,6	21,7
04_05_B	Cluster 4		4,50	23,4	19,6	13,5	23,7
04_05_C	Cluster 4		7,50	25,0	21,3	15,2	25,3
04_06_A	Cluster 4		1,50	21,6	17,9	11,7	21,9
04_06_B	Cluster 4		4,50	23,4	19,6	13,5	23,6
04_06_C	Cluster 4		7,50	24,7	21,0	14,9	25,0
04_07_A	Cluster 4		1,50	21,3	17,6	11,4	21,6
04_07_B	Cluster 4		4,50	22,9	19,1	12,9	23,1
04_07_C	Cluster 4		7,50	25,7	22,0	15,8	26,0
04_08_A	Cluster 4		1,50	21,0	17,3	11,0	21,2
04_08_B	Cluster 4		4,50	22,7	19,0	12,7	22,9
04_08_C	Cluster 4		7,50	26,6	23,0	16,7	26,9
04_09_A	Cluster 4		1,50	21,3	17,6	11,3	21,5
04_09_B	Cluster 4		4,50	23,1	19,4	13,2	23,4
04_09_C	Cluster 4		7,50	26,9	23,3	17,0	27,2
04_10_A	Cluster 4		1,50	20,1	16,4	10,2	20,4
04_10_B	Cluster 4		4,50	22,3	18,6	12,4	22,6
04_10_C	Cluster 4		7,50	25,6	21,9	15,7	25,8
04_11_A	Cluster 4		1,50	21,1	17,4	11,1	21,3
04_11_B	Cluster 4		4,50	22,8	19,1	12,9	23,1
04_11_C	Cluster 4		7,50	24,1	20,3	14,1	24,3
04_12_A	Cluster 4		1,50	20,5	16,9	10,6	20,8
04_12_B	Cluster 4		4,50	22,3	18,6	12,4	22,6
04_12_C	Cluster 4		7,50	23,8	20,0	13,8	24,0
04_13_A	Cluster 4		1,50	21,6	18,0	11,7	21,9
04_13_B	Cluster 4		4,50	22,8	19,2	12,9	23,1
04_13_C	Cluster 4		7,50	24,4	20,7	14,5	24,7
04_14_A	Cluster 4		1,50	21,9	18,2	11,9	22,1
04_14_B	Cluster 4		4,50	23,7	20,0	13,8	24,0
04_14_C	Cluster 4		7,50	26,4	22,7	16,5	26,7
04_15_A	Cluster 4		1,50	21,3	17,6	11,3	21,6
04_15_B	Cluster 4		4,50	24,2	20,6	14,3	24,5
04_15_C	Cluster 4		7,50	27,2	23,6	17,3	27,5
04_16_A	Cluster 4		1,50	23,4	19,8	13,4	23,7
04_16_B	Cluster 4		4,50	24,2	20,6	14,3	24,5
04_16_C	Cluster 4		7,50	26,6	23,1	16,7	26,9
04_17_A	Cluster 4		1,50	--	--	--	--
04_17_B	Cluster 4		4,50	21,7	18,0	11,7	21,9
04_17_C	Cluster 4		7,50	24,4	20,7	14,4	24,6
04_18_A	Cluster 4		1,50	20,1	16,4	10,1	20,4
04_18_B	Cluster 4		4,50	22,1	18,4	12,1	22,4
04_18_C	Cluster 4		7,50	23,4	19,7	13,5	23,7
04_19_A	Cluster 4		1,50	29,2	25,8	19,3	29,5
04_19_B	Cluster 4		4,50	30,1	26,6	20,2	30,4
04_19_C	Cluster 4		7,50	30,7	27,2	20,8	31,0
04_20_A	Cluster 4		1,50	20,4	16,7	10,4	20,7
04_20_B	Cluster 4		4,50	22,3	18,6	12,3	22,5
04_20_C	Cluster 4		7,50	25,3	21,7	15,4	25,6
04_21_A	Cluster 4		1,50	21,4	17,7	11,4	21,6
04_21_B	Cluster 4		4,50	22,8	19,1	12,9	23,1
04_21_C	Cluster 4		7,50	25,0	21,3	15,1	25,3
04_22_A	Cluster 4		1,50	30,2	26,8	20,3	30,6
04_22_B	Cluster 4		4,50	30,9	27,4	21,0	31,2
04_22_C	Cluster 4		7,50	31,2	27,7	21,3	31,5
04_23_A	Cluster 4		1,50	31,4	28,0	21,5	31,8
04_23_B	Cluster 4		4,50	32,1	28,6	22,1	32,4
04_23_C	Cluster 4		7,50	32,2	28,7	22,3	32,5
04_24_A	Cluster 4		1,50	31,8	28,4	21,9	32,1
04_24_B	Cluster 4		4,50	32,3	28,9	22,4	32,6
04_24_C	Cluster 4		7,50	32,4	28,9	22,5	32,7
04_25_A	Cluster 4		1,50	32,9	29,5	23,0	33,2
04_25_B	Cluster 4		4,50	33,3	29,9	23,4	33,7
04_25_C	Cluster 4		7,50	33,5	30,0	23,5	33,8
04_26_A	Cluster 4		1,50	33,4	30,0	23,5	33,8
04_26_B	Cluster 4		4,50	33,8	30,4	23,9	34,1
04_26_C	Cluster 4		7,50	33,8	30,4	23,9	34,2
04_27_A	Cluster 4		1,50	32,2	28,9	22,3	32,6
04_27_B	Cluster 4		4,50	32,6	29,2	22,7	33,0

Alle getoonde dB-waarden zijn A-gewogen

Bijlage III-2 Rekenresultaten Brinkgreverweg

Rapport: Resultatentabel
 Model: Wegverkeermodel
 LAeq totaalresultaten voor toetspunten
 Groep: Brinkgreverweg
 Groepsreductie: Ja

Naam	Toetspunt	Omschrijving	Hoogte	Dag	Avond	Nacht	Lden
04_27_C	Cluster 4		7,50	32,7	29,3	22,8	33,1
04_27_D	Cluster 4		10,50	33,1	29,7	23,2	33,5
04_28_A	Cluster 4		1,50	32,3	28,9	22,4	32,6
04_28_B	Cluster 4		4,50	32,6	29,2	22,7	33,0
04_28_C	Cluster 4		7,50	32,5	29,1	22,6	32,8
04_28_D	Cluster 4		10,50	32,9	29,5	23,0	33,2
04_29_A	Cluster 4		1,50	31,2	27,8	21,3	31,5
04_29_B	Cluster 4		4,50	31,4	28,0	21,5	31,7
04_29_C	Cluster 4		7,50	31,2	27,8	21,3	31,6
04_29_D	Cluster 4		10,50	31,7	28,2	21,7	32,0
04_30_A	Cluster 4		1,50	32,2	28,8	22,3	32,6
04_30_B	Cluster 4		4,50	32,4	29,0	22,5	32,8
04_30_C	Cluster 4		7,50	32,3	28,9	22,4	32,7
04_30_D	Cluster 4		10,50	32,7	29,2	22,7	33,0
04_31_A	Cluster 4		1,50	32,5	29,1	22,6	32,9
04_31_B	Cluster 4		4,50	32,8	29,3	22,8	33,1
04_31_C	Cluster 4		7,50	32,7	29,2	22,7	33,0
04_31_D	Cluster 4		10,50	32,9	29,5	23,0	33,3
04_32_A	Cluster 4		1,50	31,6	28,2	21,7	32,0
04_32_B	Cluster 4		4,50	31,9	28,5	22,0	32,2
04_32_C	Cluster 4		7,50	31,8	28,3	21,9	32,1
04_32_D	Cluster 4		10,50	31,9	28,5	22,0	32,3
04_33_A	Cluster 4		1,50	30,7	27,3	20,8	31,0
04_33_B	Cluster 4		4,50	31,0	27,6	21,1	31,4
04_33_C	Cluster 4		7,50	31,1	27,6	21,2	31,4
04_33_D	Cluster 4		10,50	31,0	27,6	21,1	31,3
04_34_A	Cluster 4		1,50	31,1	27,7	21,2	31,5
04_34_B	Cluster 4		4,50	31,6	28,1	21,7	31,9
04_34_C	Cluster 4		7,50	31,7	28,3	21,8	32,0
04_34_D	Cluster 4		10,50	31,7	28,3	21,8	32,0
04_35_A	Cluster 4		1,50	30,7	27,3	20,8	31,0
04_35_B	Cluster 4		4,50	31,2	27,7	21,2	31,5
04_35_C	Cluster 4		7,50	31,3	27,8	21,4	31,6
04_35_D	Cluster 4		10,50	31,2	27,7	21,2	31,5
04_36_A	Cluster 4		1,50	31,0	27,6	21,1	31,3
04_36_B	Cluster 4		4,50	31,5	28,0	21,5	31,8
04_36_C	Cluster 4		7,50	31,5	28,1	21,6	31,8
04_36_D	Cluster 4		10,50	31,5	28,1	21,6	31,8
04_37_A	Cluster 4		1,50	30,9	27,5	21,0	31,3
04_37_B	Cluster 4		4,50	31,4	27,9	21,4	31,7
04_37_C	Cluster 4		7,50	31,4	27,9	21,5	31,7
04_37_D	Cluster 4		10,50	31,3	27,9	21,4	31,7
04_38_A	Cluster 4		1,50	31,0	27,6	21,1	31,4
04_38_B	Cluster 4		4,50	31,5	28,0	21,5	31,8
04_38_C	Cluster 4		7,50	31,5	28,1	21,6	31,8
04_38_D	Cluster 4		10,50	31,6	28,1	21,6	31,9
04_39_A	Cluster 4		1,50	30,2	26,8	20,3	30,5
04_39_B	Cluster 4		4,50	30,8	27,3	20,8	31,1
04_40_A	Cluster 4		1,50	30,3	26,9	20,4	30,7
04_40_B	Cluster 4		4,50	30,8	27,4	20,9	31,2
04_41_A	Cluster 4		1,50	26,0	22,5	16,1	26,3
04_41_B	Cluster 4		4,50	26,3	22,9	16,4	26,7
04_42_A	Cluster 4		1,50	26,8	23,4	16,9	27,2
04_42_B	Cluster 4		4,50	27,3	23,8	17,4	27,6
04_43_A	Cluster 4		1,50	26,1	22,6	16,1	26,4
04_43_B	Cluster 4		4,50	26,6	23,1	16,7	26,9
04_43_C	Cluster 4		7,50	26,9	23,3	16,9	27,2
04_44_A	Cluster 4		1,50	22,1	18,4	12,2	22,4
04_44_B	Cluster 4		4,50	23,2	19,4	13,3	23,5
04_44_C	Cluster 4		7,50	25,0	21,3	15,2	25,3
04_45_A	Cluster 4		1,50	20,6	16,9	10,7	20,9
04_45_B	Cluster 4		4,50	22,1	18,4	12,2	22,4
04_45_C	Cluster 4		7,50	24,5	20,8	14,7	24,8
04_46_A	Cluster 4		1,50	21,0	17,3	11,0	21,2
04_46_B	Cluster 4		4,50	22,5	18,8	12,6	22,8
04_47_A	Cluster 4		1,50	20,8	17,1	10,9	21,1
04_47_B	Cluster 4		4,50	22,5	18,7	12,5	22,7
04_48_A	Cluster 4		1,50	20,8	17,0	10,8	21,0
04_48_B	Cluster 4		4,50	22,2	18,4	12,3	22,5
04_48_C	Cluster 4		7,50	24,3	20,5	14,4	24,6
04_48_D	Cluster 4		10,50	24,0	20,3	14,1	24,3
04_49_A	Cluster 4		1,50	19,4	15,7	9,5	19,7
04_49_B	Cluster 4		4,50	21,0	17,2	11,1	21,3
04_49_C	Cluster 4		7,50	22,0	18,3	12,2	22,3

Alle getoonde dB-waarden zijn A-gewogen

Bijlage III-2 Rekenresultaten Brinkgreverweg

Rapport: Resultatentabel
 Model: Wegverkeermodel
 LAeq totaalresultaten voor toetspunten
 Groep: Brinkgreverweg
 Groepsreductie: Ja

Naam	Toetspunt	Omschrijving	Hoogte	Dag	Avond	Nacht	Lden
04_49_D	Cluster 4		10,50	20,2	16,6	10,3	20,5
04_50_A	Cluster 4		1,50	22,1	18,4	12,2	22,3
04_50_B	Cluster 4		4,50	23,6	19,9	13,7	23,9
04_50_C	Cluster 4		7,50	25,6	21,9	15,9	26,0
04_50_D	Cluster 4		10,50	25,9	22,3	16,0	26,2
04_51_A	Cluster 4		1,50	22,1	18,4	12,2	22,4
04_51_B	Cluster 4		4,50	23,6	19,9	13,7	23,9
04_51_C	Cluster 4		7,50	26,0	22,3	16,2	26,3
04_51_D	Cluster 4		10,50	25,0	21,4	15,2	25,3
04_52_A	Cluster 4		1,50	22,0	18,2	12,0	22,2
04_52_B	Cluster 4		4,50	23,7	19,9	13,8	23,9
04_52_C	Cluster 4		7,50	26,4	22,7	16,6	26,7
04_52_D	Cluster 4		10,50	25,1	21,4	15,2	25,4
04_53_A	Cluster 4		1,50	22,1	18,4	12,2	22,4
04_53_B	Cluster 4		4,50	23,9	20,2	14,0	24,2
04_53_C	Cluster 4		7,50	26,3	22,7	16,5	26,6
04_53_D	Cluster 4		10,50	25,8	22,2	15,8	26,1
04_54_A	Cluster 4		1,50	22,0	18,3	12,1	22,3
04_54_B	Cluster 4		4,50	23,8	20,0	13,8	24,0
04_54_C	Cluster 4		7,50	26,4	22,7	16,6	26,7
04_54_D	Cluster 4		10,50	26,0	22,4	16,1	26,3
04_55_A	Cluster 4		1,50	22,0	18,3	12,0	22,2
04_55_B	Cluster 4		4,50	23,6	19,8	13,6	23,8
04_55_C	Cluster 4		7,50	26,2	22,5	16,3	26,5
04_55_D	Cluster 4		10,50	26,1	22,5	16,2	26,4
04_56_A	Cluster 4		1,50	21,7	18,0	11,7	21,9
04_56_B	Cluster 4		4,50	23,1	19,4	13,2	23,4
04_56_C	Cluster 4		7,50	25,3	21,6	15,4	25,6
04_56_D	Cluster 4		10,50	26,1	22,4	16,2	26,4
04_57_A	Cluster 4		1,50	21,4	17,7	11,4	21,7
04_57_B	Cluster 4		4,50	22,3	18,6	12,3	22,6
04_57_C	Cluster 4		7,50	23,9	20,1	14,0	24,1
04_57_D	Cluster 4		10,50	24,8	21,1	14,9	25,1
04_58_A	Cluster 4		1,50	21,1	17,4	11,2	21,4
04_58_B	Cluster 4		4,50	22,4	18,7	12,4	22,6
04_58_C	Cluster 4		7,50	24,3	20,6	14,4	24,6
04_58_D	Cluster 4		10,50	25,4	21,7	15,5	25,7
04_59_A	Cluster 4		1,50	20,6	16,9	10,6	20,8
04_59_B	Cluster 4		4,50	20,8	17,1	10,9	21,1
04_59_C	Cluster 4		7,50	23,6	19,9	13,6	23,9
04_60_A	Cluster 4		1,50	19,5	15,9	9,6	19,8
04_60_B	Cluster 4		4,50	19,5	15,8	9,5	19,8
04_60_C	Cluster 4		7,50	21,8	18,0	11,9	22,0
04_61_A	Cluster 4		1,50	17,3	13,7	7,3	17,5
04_61_B	Cluster 4		4,50	18,7	15,0	8,7	19,0
04_61_C	Cluster 4		7,50	24,2	20,6	14,3	24,5
04_62_A	Cluster 4		1,50	20,3	16,6	10,3	20,5
04_62_B	Cluster 4		4,50	21,0	17,2	11,0	21,2
04_62_C	Cluster 4		7,50	22,1	18,4	12,2	22,4
04_63_A	Cluster 4		1,50	20,1	16,4	10,1	20,3
04_63_B	Cluster 4		4,50	21,4	17,7	11,4	21,6
04_63_C	Cluster 4		7,50	23,2	19,5	13,2	23,5
04_64_A	Cluster 4		1,50	19,1	15,4	9,1	19,3
04_64_B	Cluster 4		4,50	21,9	18,3	11,9	22,2
04_64_C	Cluster 4		7,50	24,5	20,9	14,6	24,8
05_01_A	Cluster 5		1,50	17,2	13,6	7,3	17,5
05_01_B	Cluster 5		4,50	18,4	14,7	8,4	18,6
05_01_C	Cluster 5		7,50	20,5	16,8	10,5	20,7
05_02_A	Cluster 5		1,50	18,5	14,9	8,6	18,8
05_02_B	Cluster 5		4,50	19,4	15,7	9,5	19,7
05_02_C	Cluster 5		7,50	22,1	18,3	12,1	22,3
05_03_A	Cluster 5		1,50	23,9	20,1	14,1	24,2
05_03_B	Cluster 5		4,50	24,6	20,8	14,8	24,9
05_03_C	Cluster 5		7,50	26,5	22,7	16,8	26,8
05_04_A	Cluster 5		1,50	21,2	17,4	11,3	21,5
05_04_B	Cluster 5		4,50	22,5	18,8	12,7	22,8
05_04_C	Cluster 5		7,50	24,3	20,6	14,6	24,6
05_05_A	Cluster 5		1,50	20,3	16,7	10,3	20,6
05_05_B	Cluster 5		4,50	20,2	16,5	10,2	20,5
05_05_C	Cluster 5		7,50	21,7	18,0	11,7	22,0
05_06_A	Cluster 5		1,50	24,1	20,4	14,3	24,4
05_06_B	Cluster 5		4,50	25,4	21,6	15,5	25,7
05_06_C	Cluster 5		7,50	27,2	23,5	17,4	27,5
05_07_A	Cluster 5		1,50	23,9	20,2	14,1	24,2

Alle getoonde dB-waarden zijn A-gewogen

Bijlage III-2 Rekenresultaten Brinkgreverweg

Rapport: Resultatentabel
 Model: Wegverkeermodel
 LAeq totaalresultaten voor toetspunten
 Groep: Brinkgreverweg
 Groepsreductie: Ja

Naam	Toetspunt	Omschrijving	Hoogte	Dag	Avond	Nacht	Lden
	05_07_B	Cluster 5	4,50	25,8	22,1	16,0	26,1
	05_07_C	Cluster 5	7,50	28,0	24,3	18,2	28,3
	05_08_A	Cluster 5	1,50	21,8	18,0	11,9	22,0
	05_08_B	Cluster 5	4,50	23,5	19,7	13,7	23,8
	05_08_C	Cluster 5	7,50	25,9	22,2	16,1	26,2
	05_09_A	Cluster 5	1,50	22,5	18,8	12,6	22,8
	05_09_B	Cluster 5	4,50	22,8	19,1	12,9	23,1
	05_09_C	Cluster 5	7,50	24,2	20,5	14,4	24,5
	05_10_A	Cluster 5	1,50	26,5	22,9	16,6	26,8
	05_10_B	Cluster 5	4,50	27,5	23,9	17,7	27,8
	05_10_C	Cluster 5	7,50	28,7	25,1	18,9	29,0
	05_11_A	Cluster 5	1,50	28,2	24,7	18,3	28,5
	05_11_B	Cluster 5	4,50	29,1	25,5	19,1	29,4
	05_11_C	Cluster 5	7,50	29,9	26,3	20,0	30,2
	05_12_A	Cluster 5	1,50	23,1	19,4	13,3	23,4
	05_12_B	Cluster 5	4,50	24,8	21,1	15,0	25,1
	05_12_C	Cluster 5	7,50	26,8	23,1	16,9	27,1
	05_13_A	Cluster 5	1,50	21,9	18,1	12,0	22,1
	05_13_B	Cluster 5	4,50	24,0	20,2	14,1	24,2
	05_13_C	Cluster 5	7,50	26,4	22,7	16,6	26,7
	05_14_A	Cluster 5	1,50	24,7	21,0	14,8	25,0
	05_14_B	Cluster 5	4,50	26,7	23,0	16,9	27,0
	05_14_C	Cluster 5	7,50	29,4	25,8	19,6	29,7
	05_15_A	Cluster 5	1,50	25,0	21,3	15,2	25,3
	05_15_B	Cluster 5	4,50	27,2	23,5	17,4	27,5
	05_15_C	Cluster 5	7,50	29,4	25,8	19,6	29,8
	05_16_A	Cluster 5	1,50	22,6	18,8	12,8	22,9
	05_16_B	Cluster 5	4,50	24,7	21,0	14,9	25,0
	05_16_C	Cluster 5	7,50	26,4	22,7	16,7	26,7
	05_17_A	Cluster 5	1,50	21,1	17,4	11,2	21,4
	05_17_B	Cluster 5	4,50	21,9	18,1	12,0	22,1
	05_17_C	Cluster 5	7,50	23,2	19,5	13,4	23,5
	05_18_A	Cluster 5	1,50	21,4	17,7	11,5	21,7
	05_18_B	Cluster 5	4,50	22,8	19,1	13,0	23,1
	05_18_C	Cluster 5	7,50	24,5	20,8	14,7	24,8
	05_19_A	Cluster 5	1,50	27,8	24,3	17,9	28,1
	05_19_B	Cluster 5	4,50	28,9	25,3	19,0	29,2
	05_19_C	Cluster 5	7,50	30,5	26,9	20,6	30,8
	05_20_A	Cluster 5	1,50	21,1	17,3	11,2	21,4
	05_20_B	Cluster 5	4,50	23,4	19,6	13,5	23,6
	05_20_C	Cluster 5	7,50	26,2	22,5	16,4	26,5
	05_21_A	Cluster 5	1,50	19,2	15,5	9,3	19,5
	05_21_B	Cluster 5	4,50	20,1	16,4	10,1	20,3
	05_21_C	Cluster 5	7,50	21,5	17,7	11,6	21,7
	05_22_A	Cluster 5	1,50	25,4	21,8	15,5	25,7
	05_22_B	Cluster 5	4,50	26,4	22,8	16,5	26,7
	05_22_C	Cluster 5	7,50	25,0	21,3	15,3	25,4
	05_23_A	Cluster 5	1,50	26,2	22,7	16,3	26,5
	05_23_B	Cluster 5	4,50	27,2	23,6	17,3	27,5
	05_23_C	Cluster 5	7,50	27,0	23,4	17,3	27,4
	05_24_A	Cluster 5	1,50	21,8	18,0	11,9	22,0
	05_24_B	Cluster 5	4,50	24,5	20,9	14,7	24,8
	05_24_C	Cluster 5	7,50	27,0	23,4	17,2	27,3
	05_25_A	Cluster 5	1,50	21,0	17,3	11,2	21,3
	05_25_B	Cluster 5	4,50	23,2	19,5	13,4	23,5
	05_25_C	Cluster 5	7,50	23,9	20,3	14,1	24,2
	05_26_A	Cluster 5	1,50	19,8	16,1	10,0	20,1
	05_26_B	Cluster 5	4,50	20,8	17,1	11,1	21,1
	05_26_C	Cluster 5	7,50	21,8	18,1	12,1	22,2
	05_27_A	Cluster 5	1,50	20,3	16,5	10,5	20,6
	05_27_B	Cluster 5	4,50	21,6	17,9	11,8	21,9
	05_27_C	Cluster 5	7,50	23,5	19,9	13,6	23,8
	05_28_A	Cluster 5	1,50	20,7	17,0	10,9	21,0
	05_28_B	Cluster 5	4,50	21,8	18,1	12,0	22,1
	05_28_C	Cluster 5	7,50	23,8	20,3	13,9	24,1
	05_29_A	Cluster 5	1,50	20,5	16,8	10,7	20,8
	05_29_B	Cluster 5	4,50	22,0	18,3	12,2	22,3
	05_29_C	Cluster 5	7,50	23,8	20,2	13,9	24,1
	05_30_A	Cluster 5	1,50	18,3	14,6	8,3	18,5
	05_30_B	Cluster 5	4,50	20,0	16,2	10,0	20,2
	05_30_C	Cluster 5	7,50	21,6	17,9	11,8	21,9
	05_31_A	Cluster 5	1,50	20,9	17,2	11,1	21,2
	05_31_B	Cluster 5	4,50	23,4	19,7	13,7	23,8
	05_31_C	Cluster 5	7,50	25,0	21,3	15,3	25,3

Alle getoonde dB-waarden zijn A-gewogen

Bijlage III-2 Rekenresultaten Brinkgreverweg

Rapport: Resultatentabel
 Model: Wegverkeermodel
 LAeq totaalresultaten voor toetspunten
 Groep: Brinkgreverweg
 Groepsreductie: Ja

Naam	Toetspunt	Omschrijving	Hoogte	Dag	Avond	Nacht	Lden
05_32_A	Cluster 5		1,50	20,8	17,0	10,9	21,0
05_32_B	Cluster 5		4,50	22,6	18,9	12,7	22,9
05_32_C	Cluster 5		7,50	24,4	20,7	14,6	24,7
05_33_A	Cluster 5		1,50	21,1	17,4	11,2	21,4
05_33_B	Cluster 5		4,50	22,8	19,0	12,9	23,0
05_33_C	Cluster 5		7,50	24,7	20,9	14,9	25,0
05_34_A	Cluster 5		1,50	22,3	18,5	12,4	22,5
05_34_B	Cluster 5		4,50	23,7	20,0	13,9	24,0
05_34_C	Cluster 5		7,50	25,7	22,0	15,9	26,0
05_35_A	Cluster 5		1,50	22,0	18,2	12,1	22,3
05_35_B	Cluster 5		4,50	23,5	19,7	13,6	23,7
05_35_C	Cluster 5		7,50	25,5	21,8	15,7	25,8
05_36_A	Cluster 5		1,50	22,6	18,9	12,7	22,9
05_36_B	Cluster 5		4,50	24,4	20,7	14,5	24,6
05_36_C	Cluster 5		7,50	26,3	22,6	16,4	26,6
S_01_A	SMCD		2,00	21,2	17,5	11,2	21,4
S_01_B	SMCD		5,00	22,1	18,3	12,1	22,3
S_02_A	SMCD		2,00	21,0	17,3	11,1	21,3
S_02_B	SMCD		5,00	22,5	18,8	12,6	22,8
S_03_A	SMCD		2,00	20,2	16,4	10,2	20,4
S_03_B	SMCD		5,00	21,0	17,2	11,0	21,2
S_04_A	SMCD		2,00	20,2	16,4	10,2	20,4
S_04_B	SMCD		5,00	21,5	17,7	11,5	21,7
S_05_A	SMCD		2,00	19,2	15,4	9,2	19,4
S_05_B	SMCD		5,00	21,2	17,5	11,3	21,5
S_06_A	SMCD		2,00	19,9	16,2	9,9	20,1
S_06_B	SMCD		5,00	21,2	17,4	11,2	21,4
S_07_A	SMCD		2,00	19,9	16,2	10,0	20,2
S_07_B	SMCD		5,00	21,3	17,5	11,3	21,5
S_08_A	SMCD		1,50	24,8	21,0	15,0	25,1
S_08_B	SMCD		5,00	26,3	22,6	16,5	26,6
S_08_C	SMCD		8,50	28,9	25,3	19,2	29,2
S_08_D	SMCD		12,00	29,2	25,6	19,4	29,5
S_09_A	SMCD		1,50	25,0	21,3	15,2	25,3
S_09_B	SMCD		5,00	26,5	22,8	16,7	26,8
S_09_C	SMCD		8,50	29,2	25,6	19,6	29,6
S_09_D	SMCD		12,00	28,5	24,9	18,9	28,9
S_10_A	SMCD		1,50	25,1	21,4	15,3	25,4
S_10_B	SMCD		5,00	26,3	22,5	16,5	26,6
S_10_C	SMCD		8,50	29,4	25,8	19,6	29,7
S_10_D	SMCD		12,00	28,8	25,3	19,1	29,2
S_11_A	SMCD		1,50	25,2	21,4	15,3	25,4
S_11_B	SMCD		5,00	26,5	22,8	16,7	26,8
S_11_C	SMCD		8,50	30,6	27,1	20,8	31,0
S_11_D	SMCD		12,00	30,1	26,6	20,4	30,5
S_12_A	SMCD		1,50	25,3	21,6	15,5	25,6
S_12_B	SMCD		5,00	26,6	22,9	16,8	26,9
S_12_C	SMCD		8,50	29,2	25,6	19,6	29,6
S_12_D	SMCD		12,00	30,4	26,9	20,7	30,8
S_13_A	SMCD		1,50	24,7	21,0	14,9	25,0
S_13_B	SMCD		5,00	26,6	22,9	16,8	26,9
S_13_C	SMCD		8,50	30,2	26,6	20,5	30,6
S_13_D	SMCD		12,00	29,6	26,1	20,0	30,0
S_14_A	SMCD		1,50	25,5	21,8	15,5	25,7
S_15_A	SMCD		1,50	24,5	20,7	14,5	24,7
S_16_A	SMCD		1,50	24,1	20,4	14,2	24,3
S_17_A	SMCD		5,00	27,6	23,9	17,7	27,9
S_17_B	SMCD		8,50	30,0	26,3	20,3	30,3
S_17_C	SMCD		12,00	30,3	26,7	20,5	30,6
S_18_A	SMCD		1,50	25,0	21,3	15,0	25,2
S_18_B	SMCD		5,00	27,0	23,2	17,1	27,2
S_18_C	SMCD		8,50	29,2	25,6	19,4	29,5
S_18_D	SMCD		12,00	29,9	26,2	20,1	30,2
S_19_A	SMCD		1,50	24,7	21,0	14,7	24,9
S_19_B	SMCD		5,00	27,0	23,3	17,1	27,3
S_19_C	SMCD		8,50	29,3	25,7	19,6	29,7
S_20_A	SMCD		1,50	24,2	20,5	14,3	24,5
S_20_B	SMCD		5,00	26,5	22,8	16,7	26,8
S_20_C	SMCD		8,50	28,7	25,0	18,9	29,0
S_21_A	SMCD		1,50	24,1	20,4	14,1	24,3
S_21_B	SMCD		5,00	26,4	22,7	16,5	26,7
S_21_C	SMCD		8,50	28,5	24,8	18,7	28,8
S_22_A	SMCD		1,50	23,3	19,6	13,4	23,6
S_22_B	SMCD		5,00	25,7	22,0	15,9	26,0

Alle getoonde dB-waarden zijn A-gewogen

Bijlage III-2 Rekenresultaten Brinkgreverweg

Rapport: Resultatentabel
 Model: Wegverkeermodel
 LAeq totaalresultaten voor toetspunten
 Groep: Brinkgreverweg
 Groepsreductie: Ja

Naam						
Toetspunt	Omschrijving	Hoogte	Dag	Avond	Nacht	Lden
S_22_C	SMCD	8,50	27,9	24,1	18,0	28,2
S_23_A	SMCD	1,50	24,1	20,4	14,1	24,3
S_23_B	SMCD	5,00	26,2	22,4	16,3	26,4
S_23_C	SMCD	8,50	28,2	24,5	18,4	28,5
S_24_A	SMCD	1,50	24,3	20,6	14,3	24,5
S_24_B	SMCD	5,00	26,4	22,6	16,5	26,6
S_24_C	SMCD	8,50	28,7	25,0	18,9	29,0
S_24_D	SMCD	12,00	28,6	25,0	18,9	29,0
S_25_A	SMCD	1,50	26,7	23,1	16,8	27,0
S_25_B	SMCD	5,00	28,8	25,1	18,9	29,1
S_25_C	SMCD	8,50	30,8	27,1	20,9	31,1
S_25_D	SMCD	12,00	31,1	27,5	21,2	31,4
S_26_A	SMCD	1,50	26,8	23,1	16,8	27,0
S_26_B	SMCD	5,00	28,8	25,2	19,0	29,1
S_26_C	SMCD	8,50	30,6	27,0	20,8	31,0
S_26_D	SMCD	12,00	31,5	27,9	21,6	31,8
S_27_A	SMCD	1,50	26,3	22,7	16,4	26,6
S_27_B	SMCD	5,00	28,2	24,6	18,3	28,5
S_27_C	SMCD	8,50	30,4	26,8	20,5	30,7
S_27_D	SMCD	12,00	31,1	27,6	21,2	31,4
S_28_A	SMCD	1,50	26,1	22,5	16,2	26,4
S_28_B	SMCD	5,00	28,1	24,4	18,2	28,4
S_28_C	SMCD	8,50	30,6	27,0	20,8	31,0
S_28_D	SMCD	12,00	32,2	28,6	22,4	32,5
S_29_A	SMCD	1,50	26,0	22,3	16,0	26,2
S_29_B	SMCD	5,00	28,1	24,4	18,2	28,4
S_29_C	SMCD	8,50	30,6	27,0	20,8	30,9
S_29_D	SMCD	12,00	31,7	28,1	21,8	32,0
S_30_A	SMCD	1,50	25,9	22,2	16,0	26,2
S_30_B	SMCD	5,00	28,0	24,3	18,0	28,2
S_30_C	SMCD	8,50	30,3	26,6	20,4	30,6
S_30_D	SMCD	12,00	32,1	28,5	22,2	32,4
S_31_A	SMCD	1,50	25,9	22,2	16,0	26,2
S_31_B	SMCD	5,00	28,1	24,4	18,2	28,4
S_31_C	SMCD	8,50	30,5	26,8	20,6	30,8
S_31_D	SMCD	12,00	32,4	28,8	22,5	32,7
S_32_A	SMCD	1,50	24,1	20,6	14,2	24,4
S_32_B	SMCD	5,00	25,4	21,8	15,4	25,7
S_32_C	SMCD	8,50	26,7	23,1	16,7	26,9
S_32_D	SMCD	12,00	28,5	25,0	18,5	28,8
S_33_A	SMCD	1,50	22,2	18,7	12,3	22,5
S_33_B	SMCD	5,00	23,5	19,9	13,6	23,8
S_33_C	SMCD	8,50	25,4	21,8	15,5	25,7
S_33_D	SMCD	12,00	25,8	22,2	15,9	26,1
S_34_A	SMCD	1,50	19,6	15,9	9,6	19,9
S_34_B	SMCD	5,00	21,5	17,8	11,5	21,7
S_34_C	SMCD	8,50	23,6	19,9	13,7	23,9
S_34_D	SMCD	12,00	24,2	20,5	14,3	24,5
S_35_A	SMCD	1,50	19,8	16,1	9,8	20,0
S_35_B	SMCD	5,00	21,6	17,9	11,6	21,9
S_35_C	SMCD	8,50	24,0	20,3	14,1	24,3
S_35_D	SMCD	12,00	24,8	21,1	14,9	25,1
S_36_A	SMCD	1,50	19,5	15,8	9,5	19,7
S_36_B	SMCD	5,00	21,3	17,6	11,3	21,6
S_36_C	SMCD	8,50	23,8	20,1	13,9	24,1
S_36_D	SMCD	12,00	23,6	19,9	13,6	23,9
S_37_A	SMCD	1,50	19,2	15,5	9,2	19,4
S_37_B	SMCD	5,00	20,9	17,2	11,0	21,2
S_37_C	SMCD	8,50	23,5	19,7	13,5	23,7
S_37_D	SMCD	12,00	23,8	20,1	13,8	24,1
S_38_A	SMCD	1,50	18,9	15,3	9,0	19,2
S_38_B	SMCD	5,00	20,1	16,4	10,1	20,3
S_38_C	SMCD	8,50	23,0	19,2	13,0	23,2
S_38_D	SMCD	12,00	24,0	20,3	14,0	24,3
S_39_A	SMCD	1,50	20,0	16,5	10,1	20,3
S_39_B	SMCD	5,00	20,2	16,7	10,3	20,5
S_39_C	SMCD	8,50	21,6	17,9	11,6	21,8
S_40_A	SMCD	1,50	19,9	16,3	9,9	20,2
S_40_B	SMCD	5,00	20,9	17,3	10,9	21,2
S_40_C	SMCD	8,50	23,5	19,8	13,5	23,7
S_41_A	SMCD	1,50	19,8	16,2	9,8	20,1
S_41_B	SMCD	5,00	21,2	17,5	11,1	21,4
S_41_C	SMCD	8,50	23,6	19,9	13,6	23,9
S_42_A	SMCD	1,50	19,9	16,3	9,9	20,2

Alle getoonde dB-waarden zijn A-gewogen

Bijlage III-2 Rekenresultaten Brinkgreverweg

Rapport: Resultatentabel
 Model: Wegverkeermodel
 LAeq totaalresultaten voor toetspunten
 Groep: Brinkgreverweg
 Groepsreductie: Ja

Naam						
Toetspunt	Omschrijving	Hoogte	Dag	Avond	Nacht	Lden
S_42_B	SMCD	5,00	21,7	18,0	11,6	21,9
S_42_C	SMCD	8,50	23,4	19,7	13,4	23,7
S_43_A	SMCD	1,50	21,5	17,9	11,6	21,8
S_43_B	SMCD	5,00	23,1	19,4	13,1	23,3
S_43_C	SMCD	8,50	25,3	21,6	15,3	25,5
S_43_D	SMCD	12,00	27,4	23,7	17,5	27,7
S_44_A	SMCD	1,50	21,8	18,2	11,9	22,1
S_44_B	SMCD	5,00	23,7	20,0	13,7	24,0
S_44_C	SMCD	8,50	25,8	22,0	15,8	26,0
S_44_D	SMCD	12,00	27,6	24,0	17,7	27,9
S_45_A	SMCD	1,50	22,5	18,8	12,5	22,7
S_45_B	SMCD	5,00	24,4	20,7	14,4	24,6
S_45_C	SMCD	8,50	26,3	22,6	16,4	26,6
S_45_D	SMCD	12,00	28,5	24,9	18,7	28,8
S_46_A	SMCD	1,50	22,7	19,1	12,8	23,0
S_46_B	SMCD	5,00	24,7	21,0	14,8	24,9
S_46_C	SMCD	8,50	26,5	22,8	16,6	26,8
S_46_D	SMCD	12,00	28,9	25,2	19,0	29,2
S_47_A	SMCD	1,50	23,2	19,5	13,3	23,5
S_47_B	SMCD	5,00	24,8	21,1	14,9	25,1
S_47_C	SMCD	8,50	26,6	22,9	16,7	26,9
S_47_D	SMCD	12,00	28,8	25,1	18,9	29,1
S_48_A	SMCD	1,50	21,5	17,8	11,6	21,8
S_48_B	SMCD	5,00	23,0	19,3	13,1	23,3
S_48_C	SMCD	8,50	25,3	21,7	15,4	25,6
S_48_D	SMCD	12,00	27,7	24,2	17,8	28,0
S_49_A	SMCD	1,50	18,6	14,9	8,6	18,8
S_49_B	SMCD	5,00	20,6	16,9	10,6	20,8
S_49_C	SMCD	8,50	24,2	20,7	14,3	24,5
S_49_D	SMCD	12,00	23,3	19,8	13,5	23,7
S_50_A	SMCD	1,50	17,9	14,2	7,9	18,2
S_50_B	SMCD	5,00	20,0	16,3	10,0	20,3
S_50_C	SMCD	8,50	23,2	19,6	13,3	23,5
S_50_D	SMCD	12,00	22,4	18,8	12,5	22,7
S_51_A	SMCD	1,50	17,9	14,3	7,9	18,2
S_51_B	SMCD	5,00	19,8	16,1	9,8	20,0
S_51_C	SMCD	8,50	23,6	20,0	13,6	23,9
S_51_D	SMCD	12,00	21,1	17,4	11,2	21,4
S_52_A	SMCD	1,50	17,7	14,1	7,8	18,0
S_52_B	SMCD	5,00	19,7	16,1	9,8	20,0
S_52_C	SMCD	8,50	24,9	21,4	14,9	25,2
S_52_D	SMCD	12,00	21,5	17,9	11,7	21,8
S_53_A	SMCD	1,50	16,8	13,3	6,9	17,1
S_53_B	SMCD	5,00	18,0	14,4	8,1	18,3
S_53_C	SMCD	8,50	21,1	17,5	11,2	21,4
S_53_D	SMCD	12,00	20,7	17,1	10,8	21,0
S_54_A	SMCD	1,50	17,6	14,1	7,7	17,9
S_54_B	SMCD	5,00	18,3	14,7	8,4	18,6
S_54_C	SMCD	8,50	20,1	16,4	10,1	20,3
S_54_D	SMCD	12,00	23,3	19,6	13,3	23,6
S_55_A	SMCD	1,50	18,8	15,2	8,9	19,1
S_55_B	SMCD	5,00	20,3	16,6	10,4	20,6
S_55_C	SMCD	8,50	22,5	18,8	12,6	22,8
S_55_D	SMCD	12,00	25,1	21,5	15,2	25,4
S_56_A	SMCD	1,50	19,4	15,7	9,5	19,7
S_56_B	SMCD	5,00	21,3	17,6	11,4	21,6
S_56_C	SMCD	8,50	22,9	19,2	12,9	23,1
S_56_D	SMCD	12,00	24,5	20,8	14,5	24,8
S_57_A	SMCD	1,50	19,1	15,5	9,2	19,4
S_57_B	SMCD	5,00	21,1	17,4	11,2	21,4
S_57_C	SMCD	8,50	22,9	19,2	12,9	23,2
S_57_D	SMCD	12,00	23,8	20,1	13,8	24,1
S_58_A	SMCD	1,50	18,6	14,9	8,6	18,8
S_58_B	SMCD	5,00	20,3	16,6	10,3	20,5
S_58_C	SMCD	8,50	21,9	18,2	11,9	22,2
S_58_D	SMCD	12,00	23,0	19,4	13,0	23,3
S_59_A	SMCD	1,50	14,4	10,9	4,5	14,7
S_59_B	SMCD	5,00	15,5	11,9	5,5	15,8
S_59_C	SMCD	8,50	17,9	14,2	7,8	18,1
S_59_D	SMCD	12,00	14,6	10,9	4,5	14,8
S_60_A	SMCD	1,50	16,8	13,2	6,8	17,1
S_60_B	SMCD	5,00	17,7	14,1	7,8	18,0
S_60_C	SMCD	8,50	18,9	15,2	8,9	19,1
S_60_D	SMCD	12,00	21,1	17,4	11,1	21,3

Alle getoonde dB-waarden zijn A-gewogen

Bijlage III-2 Rekenresultaten Brinkgreverweg

Rapport: Resultatentabel
 Model: Wegverkeermodel
 LAeq totaalresultaten voor toetspunten
 Groep: Brinkgreverweg
 Groepsreductie: Ja

Naam						
Toetspunt	Omschrijving	Hoogte	Dag	Avond	Nacht	Lden
S_61_A	SMCD	1,50	17,8	14,2	7,8	18,1
S_61_B	SMCD	5,00	19,6	15,9	9,6	19,8
S_61_C	SMCD	8,50	21,6	17,9	11,6	21,8
S_61_D	SMCD	12,00	22,8	19,2	12,9	23,1
S_62_A	SMCD	1,50	26,7	23,3	16,8	27,0
S_62_B	SMCD	5,00	27,9	24,3	17,9	28,2
S_62_C	SMCD	8,50	28,5	24,9	18,5	28,7
S_63_A	SMCD	1,50	26,1	22,6	16,2	26,4
S_63_B	SMCD	5,00	27,3	23,8	17,4	27,6
S_63_C	SMCD	8,50	28,1	24,5	18,2	28,4
S_64_A	SMCD	1,50	21,2	17,5	11,2	21,4
S_64_B	SMCD	5,00	23,1	19,4	13,2	23,4
S_64_C	SMCD	8,50	25,1	21,5	15,2	25,4
S_65_A	SMCD	1,50	21,0	17,3	11,1	21,3
S_65_B	SMCD	5,00	22,5	18,8	12,6	22,8
S_65_C	SMCD	8,50	25,3	21,7	15,5	25,6
S_66_A	SMCD	1,50	21,2	17,5	11,2	21,4
S_66_B	SMCD	5,00	22,2	18,4	12,2	22,4
S_66_C	SMCD	8,50	24,5	20,9	14,6	24,8
S_67_A	SMCD	1,50	20,4	16,7	10,5	20,7
S_67_B	SMCD	5,00	21,7	18,0	11,8	22,0
S_67_C	SMCD	8,50	24,5	20,8	14,5	24,7
S_68_A	SMCD	1,50	20,3	16,6	10,3	20,5
S_68_B	SMCD	5,00	21,7	18,0	11,7	21,9
S_68_C	SMCD	8,50	23,7	20,1	13,8	24,0
S_69_A	SMCD	1,50	19,4	15,7	9,4	19,7
S_69_B	SMCD	5,00	20,5	16,8	10,5	20,7
S_69_C	SMCD	8,50	20,5	16,8	10,5	20,8
S_70_A	SMCD	1,50	19,6	15,9	9,6	19,8
S_70_B	SMCD	5,00	21,1	17,4	11,2	21,4
S_70_C	SMCD	8,50	22,1	18,5	12,2	22,4
S_70_D	SMCD	12,00	10,0	6,3	0,0	10,3
S_71_A	SMCD	1,50	20,2	16,5	10,3	20,5
S_71_B	SMCD	5,00	22,1	18,4	12,2	22,4
S_71_C	SMCD	8,50	25,9	22,3	16,1	26,2
S_71_D	SMCD	12,00	23,8	20,3	13,9	24,1
S_72_A	SMCD	1,50	20,4	16,7	10,6	20,7
S_72_B	SMCD	5,00	22,1	18,4	12,2	22,4
S_72_C	SMCD	8,50	24,1	20,5	14,3	24,4
S_72_D	SMCD	12,00	21,2	17,8	11,3	21,5
S_73_A	SMCD	1,50	20,6	16,8	10,7	20,8
S_73_B	SMCD	5,00	22,5	18,7	12,7	22,8
S_73_C	SMCD	8,50	25,8	22,2	16,2	26,2
S_73_D	SMCD	12,00	18,1	14,6	8,4	18,5
S_74_A	SMCD	1,50	21,5	17,7	11,6	21,8
S_74_B	SMCD	5,00	23,0	19,2	13,1	23,3
S_74_C	SMCD	8,50	25,2	21,5	15,4	25,5
S_74_D	SMCD	12,00	20,2	16,6	10,3	20,5
S_75_A	SMCD	1,50	21,1	17,4	11,1	21,3
S_75_B	SMCD	5,00	22,1	18,3	12,1	22,3
S_75_C	SMCD	8,50	24,4	20,6	14,5	24,6
S_75_D	SMCD	12,00	15,5	11,9	5,7	15,8
S_76_A	SMCD	1,50	21,2	17,6	11,3	21,5
S_76_B	SMCD	5,00	22,8	19,1	12,9	23,1
S_76_C	SMCD	8,50	24,5	20,8	14,5	24,7
S_76_D	SMCD	12,00	26,0	22,3	16,1	26,3
S_77_A	SMCD	1,50	21,6	17,9	11,6	21,8
S_77_B	SMCD	5,00	23,4	19,7	13,5	23,7
S_77_C	SMCD	8,50	24,8	21,1	14,9	25,1
S_77_D	SMCD	12,00	25,8	22,1	15,9	26,1
S_78_A	SMCD	1,50	20,6	16,9	10,6	20,8
S_78_B	SMCD	5,00	22,3	18,6	12,4	22,6
S_78_C	SMCD	8,50	25,3	21,6	15,4	25,6
S_78_D	SMCD	12,00	26,1	22,4	16,2	26,4
S_79_A	SMCD	1,50	18,2	14,5	8,2	18,4
S_79_B	SMCD	5,00	18,7	15,0	8,8	19,0
S_79_C	SMCD	8,50	20,2	16,5	10,2	20,5
S_79_D	SMCD	12,00	19,3	15,6	9,4	19,6
S_80_A	SMCD	1,50	18,8	15,1	8,8	19,1
S_80_B	SMCD	5,00	19,7	16,0	9,7	19,9
S_80_C	SMCD	8,50	21,6	17,8	11,6	21,8
S_81_A	SMCD	1,50	19,2	15,4	9,2	19,4
S_81_B	SMCD	5,00	20,5	16,7	10,5	20,7
S_81_C	SMCD	8,50	22,6	18,9	12,7	22,9

Alle getoonde dB-waarden zijn A-gewogen

Bijlage III-2 Rekenresultaten Brinkgreverweg

Rapport: Resultatentabel
 Model: Wegverkeermodel
 LAeq totaalresultaten voor toetspunten
 Groep: Brinkgreverweg
 Groepsreductie: Ja

Naam						
Toetspunt	Omschrijving	Hoogte	Dag	Avond	Nacht	Lden
S_82_A	SMCD	1,50	19,6	15,8	9,6	19,8
S_82_B	SMCD	5,00	20,8	17,1	10,8	21,1
S_82_C	SMCD	8,50	22,9	19,1	12,9	23,1
S_83_A	SMCD	1,50	19,6	15,9	9,7	19,9
S_83_B	SMCD	5,00	21,1	17,3	11,1	21,3
S_83_C	SMCD	8,50	23,0	19,3	13,1	23,3
S_84_A	SMCD	1,50	19,3	15,5	9,3	19,5
S_84_B	SMCD	5,00	20,6	16,8	10,7	20,9
S_84_C	SMCD	8,50	22,4	18,6	12,5	22,7
S_85_A	SMCD	1,50	20,0	16,2	10,1	20,2
S_85_B	SMCD	5,00	21,4	17,6	11,4	21,6
S_85_C	SMCD	8,50	24,3	20,6	14,5	24,6
S_85_D	SMCD	12,00	24,9	21,3	15,3	25,3
S_86_A	SMCD	1,50	21,0	17,2	11,0	21,2
S_86_B	SMCD	5,00	23,0	19,3	13,1	23,3
S_86_C	SMCD	8,50	25,9	22,1	16,1	26,2
S_86_D	SMCD	12,00	27,0	23,4	17,4	27,4
S_87_A	SMCD	1,50	21,5	17,8	11,6	21,8
S_87_B	SMCD	5,00	23,6	19,8	13,7	23,9
S_87_C	SMCD	8,50	25,5	21,8	15,7	25,8
S_87_D	SMCD	12,00	26,0	22,3	16,2	26,3
S_88_A	SMCD	1,50	21,4	17,7	11,5	21,7
S_88_B	SMCD	5,00	23,3	19,5	13,4	23,6
S_88_C	SMCD	8,50	24,9	21,1	15,1	25,2
S_88_D	SMCD	12,00	25,9	22,2	16,1	26,2
S_89_A	SMCD	1,50	21,2	17,5	11,3	21,5
S_89_B	SMCD	5,00	22,8	19,1	12,9	23,1
S_89_C	SMCD	8,50	24,6	20,8	14,7	24,9
S_89_D	SMCD	12,00	26,1	22,4	16,3	26,4
S_90_A	SMCD	1,50	21,8	18,1	11,9	22,1
S_90_B	SMCD	5,00	23,3	19,6	13,4	23,6
S_90_C	SMCD	8,50	25,2	21,4	15,3	25,5
S_90_D	SMCD	12,00	27,1	23,4	17,2	27,4
S_91_A	SMCD	1,50	21,9	18,2	12,0	22,2
S_91_B	SMCD	5,00	23,6	19,9	13,7	23,9
S_91_C	SMCD	8,50	25,6	21,9	15,7	25,9
S_91_D	SMCD	12,00	27,4	23,7	17,5	27,7
S_92_A	SMCD	1,50	22,1	18,4	12,2	22,4
S_92_B	SMCD	5,00	23,8	20,1	13,9	24,1
S_92_C	SMCD	8,50	25,8	22,1	15,9	26,1
S_92_D	SMCD	12,00	27,7	24,0	17,9	28,0
S_93_A	SMCD	1,50	22,3	18,6	12,3	22,6
S_93_B	SMCD	5,00	24,1	20,4	14,2	24,4
S_93_C	SMCD	8,50	25,7	22,0	15,8	26,0
S_93_D	SMCD	12,00	27,3	23,6	17,5	27,6
S_94_A	SMCD	1,50	22,1	18,4	12,2	22,4
S_94_B	SMCD	5,00	23,9	20,1	13,9	24,1
S_94_C	SMCD	8,50	25,6	21,8	15,7	25,8
S_94_D	SMCD	12,00	27,9	24,3	18,1	28,3
S_95_A	SMCD	1,50	21,9	18,2	12,0	22,2
S_95_B	SMCD	5,00	23,7	19,9	13,7	23,9
S_95_C	SMCD	8,50	25,5	21,7	15,5	25,7
S_95_D	SMCD	12,00	28,0	24,4	18,2	28,3

Alle getoonde dB-waarden zijn A-gewogen

Bijlage III-3 Rekenresultaten Hoge Hondstraat

Rapport: Resultatentabel
 Model: Wegverkeermodel
 LAeq totaalresultaten voor toetspunten
 Groep: Hoge Hondstraat
 Groepsreductie: Ja

Naam						
Toetspunt	Omschrijving	Hoogte	Dag	Avond	Nacht	Lden
01_01_A	Cluster 1	1,50	16,5	12,9	6,5	16,7
01_01_B	Cluster 1	4,50	17,5	13,9	7,5	17,8
01_01_C	Cluster 1	7,50	18,1	14,5	8,1	18,4
01_02_A	Cluster 1	1,50	15,5	11,9	5,5	15,8
01_02_B	Cluster 1	4,50	16,7	13,1	6,7	16,9
01_02_C	Cluster 1	7,50	17,5	13,9	7,5	17,8
01_03_A	Cluster 1	1,50	15,9	12,3	5,9	16,1
01_03_B	Cluster 1	4,50	17,3	13,8	7,3	17,6
01_03_C	Cluster 1	7,50	18,0	14,5	8,0	18,3
01_04_A	Cluster 1	1,50	16,1	12,6	6,1	16,4
01_04_B	Cluster 1	4,50	17,3	13,7	7,3	17,6
01_04_C	Cluster 1	7,50	18,4	14,8	8,4	18,7
01_05_A	Cluster 1	1,50	15,8	12,2	5,8	16,1
01_05_B	Cluster 1	4,50	17,1	13,5	7,1	17,3
01_05_C	Cluster 1	7,50	18,2	14,6	8,2	18,4
01_06_A	Cluster 1	1,50	14,5	10,9	4,5	14,7
01_06_B	Cluster 1	4,50	16,9	13,3	6,9	17,2
01_06_C	Cluster 1	7,50	18,7	15,1	8,7	18,9
01_07_A	Cluster 1	1,50	15,8	12,3	5,8	16,1
01_07_B	Cluster 1	4,50	17,9	14,3	7,9	18,2
01_07_C	Cluster 1	7,50	19,5	16,0	9,5	19,8
01_08_A	Cluster 1	1,50	15,4	11,8	5,4	15,7
01_08_B	Cluster 1	4,50	16,5	12,9	6,4	16,7
01_08_C	Cluster 1	7,50	17,2	13,6	7,2	17,4
01_09_A	Cluster 1	1,50	15,3	11,8	5,3	15,6
01_09_B	Cluster 1	4,50	16,5	12,9	6,5	16,7
01_09_C	Cluster 1	7,50	17,7	14,2	7,7	18,0
01_10_A	Cluster 1	1,50	15,4	11,9	5,4	15,7
01_10_B	Cluster 1	4,50	16,9	13,3	6,9	17,2
01_10_C	Cluster 1	7,50	18,7	15,2	8,8	19,0
01_100_A	Cluster 1	1,50	15,4	11,8	5,4	15,7
01_100_B	Cluster 1	4,50	15,8	12,3	5,8	16,1
01_100_C	Cluster 1	7,50	18,2	14,7	8,2	18,5
01_101_A	Cluster 1	1,50	14,5	10,9	4,5	14,7
01_101_B	Cluster 1	4,50	15,4	11,8	5,4	15,7
01_101_C	Cluster 1	7,50	17,3	13,7	7,3	17,5
01_11_A	Cluster 1	1,50	15,8	12,2	5,8	16,1
01_11_B	Cluster 1	4,50	17,3	13,7	7,3	17,5
01_11_C	Cluster 1	7,50	18,9	15,3	8,9	19,2
01_12_A	Cluster 1	1,50	15,7	12,1	5,7	16,0
01_12_B	Cluster 1	4,50	17,3	13,8	7,4	17,6
01_13_A	Cluster 1	1,50	15,1	11,6	5,2	15,4
01_13_B	Cluster 1	4,50	16,6	13,0	6,6	16,8
01_14_A	Cluster 1	1,50	14,2	10,7	4,2	14,5
01_14_B	Cluster 1	4,50	16,0	12,4	6,0	16,3
01_15_A	Cluster 1	1,50	13,2	9,7	3,2	13,5
01_15_B	Cluster 1	4,50	14,6	11,0	4,6	14,9
01_16_A	Cluster 1	1,50	13,8	10,3	3,9	14,1
01_16_B	Cluster 1	4,50	14,4	10,8	4,4	14,7
01_16_C	Cluster 1	7,50	15,2	11,6	5,2	15,4
01_17_A	Cluster 1	1,50	12,8	9,3	2,8	13,1
01_17_B	Cluster 1	4,50	14,3	10,7	4,3	14,6
01_17_C	Cluster 1	7,50	15,5	11,9	5,5	15,8
01_18_A	Cluster 1	1,50	12,7	9,2	2,7	13,0
01_18_B	Cluster 1	4,50	14,3	10,7	4,3	14,6
01_18_C	Cluster 1	7,50	15,0	11,5	5,0	15,3
01_19_A	Cluster 1	1,50	12,5	9,0	2,6	12,8
01_19_B	Cluster 1	4,50	14,1	10,5	4,1	14,4
01_19_C	Cluster 1	7,50	14,4	10,8	4,4	14,7
01_20_A	Cluster 1	1,50	12,8	9,3	2,8	13,1
01_20_B	Cluster 1	4,50	14,2	10,6	4,2	14,5
01_20_C	Cluster 1	7,50	14,7	11,1	4,7	15,0
01_21_A	Cluster 1	1,50	12,8	9,2	2,8	13,0
01_21_B	Cluster 1	4,50	13,9	10,3	3,9	14,1
01_21_C	Cluster 1	7,50	14,7	11,1	4,7	14,9
01_22_A	Cluster 1	1,50	12,9	9,3	2,9	13,1
01_22_B	Cluster 1	4,50	13,9	10,3	3,9	14,2
01_22_C	Cluster 1	7,50	14,9	11,3	4,9	15,1
01_23_A	Cluster 1	1,50	12,2	8,6	2,2	12,5
01_23_B	Cluster 1	4,50	13,6	10,0	3,5	13,8
01_23_C	Cluster 1	7,50	14,6	11,0	4,6	14,9
01_24_A	Cluster 1	1,50	11,7	8,2	1,7	12,0
01_24_B	Cluster 1	4,50	13,0	9,4	3,0	13,3
01_24_C	Cluster 1	7,50	13,7	10,1	3,7	13,9

Alle getoonde dB-waarden zijn A-gewogen

Bijlage III-3 Rekenresultaten Hoge Hondstraat

Rapport: Resultatentabel
 Model: Wegverkeermodel
 LAeq totaalresultaten voor toetspunten
 Groep: Hoge Hondstraat
 Groepsreductie: Ja

Naam						
Toetspunt	Omschrijving	Hoogte	Dag	Avond	Nacht	Lden
01_25_A	Cluster 1	1,50	12,8	9,3	2,8	13,1
01_25_B	Cluster 1	4,50	13,7	10,1	3,7	14,0
01_26_A	Cluster 1	1,50	15,5	11,9	5,5	15,8
01_26_B	Cluster 1	4,50	16,7	13,1	6,7	17,0
01_27_A	Cluster 1	1,50	12,5	9,0	2,6	12,8
01_27_B	Cluster 1	4,50	13,3	9,8	3,3	13,6
01_28_A	Cluster 1	1,50	15,1	11,5	5,1	15,3
01_28_B	Cluster 1	4,50	15,9	12,3	5,9	16,1
01_29_A	Cluster 1	1,50	15,4	11,9	5,4	15,7
01_29_B	Cluster 1	4,50	16,7	13,1	6,7	16,9
01_29_C	Cluster 1	7,50	17,6	14,0	7,6	17,8
01_30_A	Cluster 1	1,50	15,4	11,9	5,4	15,7
01_30_B	Cluster 1	4,50	17,0	13,5	7,0	17,3
01_30_C	Cluster 1	7,50	18,3	14,8	8,4	18,6
01_31_A	Cluster 1	1,50	15,3	11,7	5,3	15,5
01_31_B	Cluster 1	4,50	16,7	13,1	6,7	17,0
01_31_C	Cluster 1	7,50	17,5	13,9	7,5	17,7
01_32_A	Cluster 1	1,50	15,4	11,9	5,4	15,7
01_32_B	Cluster 1	4,50	16,5	13,0	6,5	16,8
01_32_C	Cluster 1	7,50	17,6	14,1	7,6	17,9
01_33_A	Cluster 1	1,50	15,1	11,6	5,1	15,4
01_33_B	Cluster 1	4,50	16,6	13,0	6,6	16,8
01_33_C	Cluster 1	7,50	17,3	13,8	7,3	17,6
01_34_A	Cluster 1	1,50	15,4	11,8	5,4	15,6
01_34_B	Cluster 1	4,50	17,3	13,7	7,3	17,6
01_34_C	Cluster 1	7,50	20,0	16,5	10,0	20,3
01_35_A	Cluster 1	1,50	15,4	11,8	5,4	15,7
01_35_B	Cluster 1	4,50	17,1	13,5	7,1	17,4
01_35_C	Cluster 1	7,50	19,3	15,7	9,3	19,5
01_36_A	Cluster 1	1,50	15,3	11,8	5,4	15,6
01_36_B	Cluster 1	4,50	17,0	13,4	7,0	17,3
01_36_C	Cluster 1	7,50	18,7	15,1	8,7	19,0
01_37_A	Cluster 1	1,50	15,3	11,7	5,3	15,6
01_37_B	Cluster 1	4,50	17,0	13,4	7,0	17,3
01_38_A	Cluster 1	1,50	15,5	11,9	5,5	15,8
01_38_B	Cluster 1	4,50	17,1	13,6	7,1	17,4
01_39_A	Cluster 1	1,50	17,1	13,6	7,1	17,4
01_39_B	Cluster 1	4,50	18,9	15,3	8,9	19,2
01_40_A	Cluster 1	1,50	17,5	13,9	7,5	17,8
01_40_B	Cluster 1	4,50	19,2	15,6	9,2	19,5
01_41_A	Cluster 1	1,50	17,1	13,6	7,2	17,4
01_41_B	Cluster 1	4,50	18,8	15,2	8,8	19,0
01_41_C	Cluster 1	7,50	19,4	15,8	9,4	19,6
01_42_A	Cluster 1	1,50	15,2	11,7	5,2	15,5
01_42_B	Cluster 1	4,50	16,1	12,5	6,1	16,3
01_42_C	Cluster 1	7,50	18,2	14,6	8,2	18,4
01_43_A	Cluster 1	1,50	14,1	10,6	4,1	14,4
01_43_B	Cluster 1	4,50	15,6	12,0	5,6	15,8
01_43_C	Cluster 1	7,50	18,5	15,0	8,5	18,8
01_44_A	Cluster 1	1,50	16,6	13,1	6,6	16,9
01_44_B	Cluster 1	4,50	18,3	14,8	8,3	18,6
01_44_C	Cluster 1	7,50	19,0	15,4	9,0	19,3
01_45_A	Cluster 1	1,50	16,6	13,0	6,6	16,9
01_45_B	Cluster 1	4,50	18,3	14,7	8,3	18,6
01_45_C	Cluster 1	7,50	18,9	15,3	8,8	19,1
01_46_A	Cluster 1	1,50	16,8	13,2	6,8	17,1
01_46_B	Cluster 1	4,50	18,5	14,9	8,5	18,8
01_46_C	Cluster 1	7,50	19,2	15,6	9,1	19,4
01_47_A	Cluster 1	1,50	17,1	13,6	7,1	17,4
01_47_B	Cluster 1	4,50	19,1	15,5	9,1	19,4
01_47_C	Cluster 1	7,50	19,8	16,2	9,8	20,1
01_48_A	Cluster 1	1,50	17,5	14,0	7,6	17,8
01_48_B	Cluster 1	4,50	19,2	15,6	9,2	19,5
01_48_C	Cluster 1	7,50	19,8	16,2	9,8	20,1
01_49_A	Cluster 1	1,50	17,8	14,3	7,8	18,1
01_49_B	Cluster 1	4,50	19,5	15,9	9,5	19,7
01_49_C	Cluster 1	7,50	20,1	16,5	10,1	20,4
01_50_A	Cluster 1	1,50	18,0	14,4	8,0	18,3
01_50_B	Cluster 1	4,50	19,4	15,8	9,4	19,7
01_50_C	Cluster 1	7,50	19,9	16,3	9,9	20,2
01_51_A	Cluster 1	1,50	18,0	14,4	8,0	18,3
01_51_B	Cluster 1	4,50	19,6	16,0	9,6	19,9
01_51_C	Cluster 1	7,50	20,3	16,7	10,3	20,5
01_52_A	Cluster 1	1,50	17,9	14,4	7,9	18,2

Alle getoonde dB-waarden zijn A-gewogen

Bijlage III-3 Rekenresultaten Hoge Hondstraat

Rapport: Resultatentabel
 Model: Wegverkeermodel
 LAeq totaalresultaten voor toetspunten
 Groep: Hoge Hondstraat
 Groepsreductie: Ja

Naam	Toetspunt	Omschrijving	Hoogte	Dag	Avond	Nacht	Lden
	01_52_B	Cluster 1	4,50	19,4	15,8	9,4	19,7
	01_52_C	Cluster 1	7,50	20,1	16,5	10,1	20,4
	01_53_A	Cluster 1	1,50	18,0	14,4	8,0	18,3
	01_53_B	Cluster 1	4,50	19,5	15,9	9,5	19,8
	01_53_C	Cluster 1	7,50	20,1	16,5	10,1	20,3
	01_54_A	Cluster 1	1,50	18,3	14,7	8,3	18,5
	01_54_B	Cluster 1	4,50	19,5	15,9	9,5	19,7
	01_54_C	Cluster 1	7,50	19,9	16,3	9,9	20,2
	01_55_A	Cluster 1	1,50	18,4	14,8	8,4	18,7
	01_55_B	Cluster 1	4,50	19,7	16,1	9,7	20,0
	01_55_C	Cluster 1	7,50	20,4	16,8	10,4	20,7
	01_56_A	Cluster 1	1,50	18,2	14,7	8,2	18,5
	01_56_B	Cluster 1	4,50	19,7	16,1	9,7	19,9
	01_56_C	Cluster 1	7,50	20,2	16,6	10,2	20,5
	01_57_A	Cluster 1	1,50	14,8	11,3	4,8	15,1
	01_57_B	Cluster 1	4,50	16,7	13,1	6,7	16,9
	01_57_C	Cluster 1	7,50	18,8	15,3	8,8	19,1
	01_58_A	Cluster 1	1,50	14,8	11,3	4,9	15,1
	01_58_B	Cluster 1	4,50	17,3	13,7	7,2	17,5
	01_58_C	Cluster 1	7,50	18,9	15,4	8,9	19,2
	01_59_A	Cluster 1	1,50	16,6	13,1	6,6	16,9
	01_59_B	Cluster 1	4,50	17,7	14,1	7,7	18,0
	01_59_C	Cluster 1	7,50	18,6	15,0	8,6	18,9
	01_60_A	Cluster 1	1,50	16,6	13,0	6,6	16,9
	01_60_B	Cluster 1	4,50	17,8	14,2	7,8	18,0
	01_60_C	Cluster 1	7,50	18,5	14,9	8,5	18,8
	01_61_A	Cluster 1	1,50	16,5	13,0	6,5	16,8
	01_61_B	Cluster 1	4,50	17,1	13,5	7,1	17,4
	01_61_C	Cluster 1	7,50	17,4	13,8	7,4	17,7
	01_62_A	Cluster 1	1,50	16,4	12,9	6,4	16,7
	01_62_B	Cluster 1	4,50	17,1	13,5	7,1	17,3
	01_62_C	Cluster 1	7,50	17,6	14,0	7,6	17,8
	01_63_A	Cluster 1	1,50	16,1	12,6	6,1	16,4
	01_63_B	Cluster 1	4,50	17,2	13,6	7,2	17,5
	01_63_C	Cluster 1	7,50	17,8	14,2	7,8	18,1
	01_64_A	Cluster 1	1,50	13,5	9,9	3,5	13,8
	01_64_B	Cluster 1	4,50	15,7	12,1	5,7	16,0
	01_64_C	Cluster 1	7,50	17,7	14,2	7,7	18,0
	01_65_A	Cluster 1	1,50	14,0	10,5	4,1	14,3
	01_65_B	Cluster 1	4,50	15,8	12,2	5,8	16,1
	01_65_C	Cluster 1	7,50	17,0	13,3	6,9	17,2
	01_66_A	Cluster 1	1,50	15,2	11,7	5,2	15,5
	01_66_B	Cluster 1	4,50	16,7	13,1	6,7	17,0
	01_67_A	Cluster 1	1,50	15,8	12,2	5,8	16,0
	01_67_B	Cluster 1	4,50	17,5	13,9	7,4	17,7
	01_68_A	Cluster 1	1,50	16,1	12,5	6,1	16,3
	01_68_B	Cluster 1	4,50	17,4	13,8	7,4	17,7
	01_68_C	Cluster 1	7,50	18,4	14,8	8,4	18,7
	01_69_A	Cluster 1	1,50	16,4	12,8	6,4	16,6
	01_69_B	Cluster 1	4,50	17,6	14,0	7,6	17,9
	01_69_C	Cluster 1	7,50	18,4	14,8	8,4	18,6
	01_70_A	Cluster 1	1,50	17,2	13,6	7,2	17,4
	01_70_B	Cluster 1	4,50	17,7	14,1	7,7	18,0
	01_70_C	Cluster 1	7,50	18,1	14,5	8,1	18,4
	01_71_A	Cluster 1	1,50	17,3	13,8	7,3	17,6
	01_71_B	Cluster 1	4,50	18,4	14,8	8,4	18,7
	01_71_C	Cluster 1	7,50	19,0	15,4	9,0	19,2
	01_72_A	Cluster 1	1,50	17,2	13,6	7,2	17,5
	01_72_B	Cluster 1	4,50	17,7	14,1	7,7	18,0
	01_72_C	Cluster 1	7,50	18,3	14,6	8,2	18,5
	01_73_A	Cluster 1	1,50	17,1	13,5	7,1	17,4
	01_73_B	Cluster 1	4,50	17,7	14,1	7,6	17,9
	01_73_C	Cluster 1	7,50	18,0	14,4	8,0	18,3
	01_74_A	Cluster 1	1,50	17,4	13,8	7,4	17,7
	01_74_B	Cluster 1	4,50	18,1	14,5	8,1	18,3
	01_74_C	Cluster 1	7,50	18,6	15,0	8,6	18,8
	01_75_A	Cluster 1	1,50	17,2	13,6	7,2	17,5
	01_75_B	Cluster 1	4,50	17,8	14,2	7,8	18,1
	01_75_C	Cluster 1	7,50	18,3	14,6	8,2	18,5
	01_76_A	Cluster 1	1,50	17,4	13,8	7,4	17,6
	01_76_B	Cluster 1	4,50	18,2	14,6	8,2	18,4
	01_76_C	Cluster 1	7,50	18,8	15,2	8,8	19,0
	01_77_A	Cluster 1	1,50	17,3	13,7	7,3	17,6
	01_77_B	Cluster 1	4,50	18,0	14,4	8,0	18,3

Alle getoonde dB-waarden zijn A-gewogen

Bijlage III-3 Rekenresultaten Hoge Hondstraat

Rapport: Resultatentabel
 Model: Wegverkeermodel
 LAeq totaalresultaten voor toetspunten
 Groep: Hoge Hondstraat
 Groepsreductie: Ja

Naam						
Toetspunt	Omschrijving	Hoogte	Dag	Avond	Nacht	Lden
01_78_A	Cluster 1	1,50	15,0	11,5	5,0	15,3
01_78_B	Cluster 1	4,50	15,9	12,3	5,9	16,1
01_79_A	Cluster 1	1,50	15,3	11,7	5,3	15,6
01_79_B	Cluster 1	4,50	16,0	12,4	6,0	16,3
01_79_C	Cluster 1	7,50	16,5	12,9	6,5	16,7
01_80_A	Cluster 1	1,50	15,6	12,0	5,6	15,9
01_80_B	Cluster 1	4,50	16,0	12,4	6,0	16,3
01_80_C	Cluster 1	7,50	16,5	12,8	6,4	16,7
01_81_A	Cluster 1	1,50	15,6	12,0	5,6	15,9
01_81_B	Cluster 1	4,50	16,1	12,5	6,1	16,4
01_81_C	Cluster 1	7,50	16,2	12,5	6,1	16,4
01_82_A	Cluster 1	1,50	16,3	12,7	6,3	16,6
01_82_B	Cluster 1	4,50	16,8	13,2	6,8	17,1
01_82_C	Cluster 1	7,50	16,7	13,1	6,7	17,0
01_83_A	Cluster 1	1,50	17,0	13,4	7,0	17,3
01_83_B	Cluster 1	4,50	17,6	14,0	7,5	17,8
01_83_C	Cluster 1	7,50	17,6	14,0	7,6	17,9
01_84_A	Cluster 1	1,50	15,9	12,3	5,9	16,2
01_84_B	Cluster 1	4,50	16,7	13,1	6,7	17,0
01_84_C	Cluster 1	7,50	17,1	13,5	7,1	17,4
01_85_A	Cluster 1	1,50	16,2	12,7	6,2	16,5
01_85_B	Cluster 1	4,50	17,2	13,6	7,2	17,5
01_85_C	Cluster 1	7,50	17,9	14,3	7,9	18,2
01_86_A	Cluster 1	1,50	15,3	11,8	5,4	15,6
01_86_B	Cluster 1	4,50	17,8	14,2	7,8	18,1
01_86_C	Cluster 1	7,50	19,2	15,6	9,2	19,5
01_87_A	Cluster 1	1,50	15,2	11,6	5,2	15,4
01_87_B	Cluster 1	4,50	17,2	13,6	7,2	17,5
01_88_A	Cluster 1	1,50	14,8	11,2	4,8	15,1
01_88_B	Cluster 1	4,50	14,5	10,9	4,5	14,8
01_89_A	Cluster 1	1,50	15,4	11,9	5,4	15,7
01_89_B	Cluster 1	4,50	14,5	11,0	4,5	14,8
01_89_C	Cluster 1	7,50	16,7	13,2	6,7	17,0
01_90_A	Cluster 1	1,50	15,3	11,7	5,3	15,6
01_90_B	Cluster 1	4,50	14,5	10,9	4,5	14,7
01_90_C	Cluster 1	7,50	16,3	12,9	6,4	16,6
01_91_A	Cluster 1	1,50	15,7	12,1	5,7	16,0
01_91_B	Cluster 1	4,50	15,3	11,7	5,3	15,6
01_91_C	Cluster 1	7,50	16,4	12,9	6,5	16,7
01_92_A	Cluster 1	1,50	15,9	12,4	5,9	16,2
01_92_B	Cluster 1	4,50	15,4	11,8	5,4	15,7
01_92_C	Cluster 1	7,50	16,1	12,6	6,1	16,4
01_93_A	Cluster 1	1,50	15,8	12,2	5,8	16,1
01_93_B	Cluster 1	4,50	14,4	10,8	4,4	14,7
01_93_C	Cluster 1	7,50	14,7	11,1	4,6	14,9
01_94_A	Cluster 1	1,50	15,9	12,3	5,9	16,2
01_94_B	Cluster 1	4,50	15,5	11,9	5,4	15,7
01_94_C	Cluster 1	7,50	15,9	12,3	5,9	16,2
01_95_A	Cluster 1	1,50	16,2	12,6	6,2	16,5
01_95_B	Cluster 1	4,50	15,8	12,2	5,8	16,0
01_95_C	Cluster 1	7,50	16,4	12,8	6,4	16,6
01_96_A	Cluster 1	1,50	15,5	11,9	5,5	15,8
01_96_B	Cluster 1	4,50	14,8	11,2	4,8	15,0
01_96_C	Cluster 1	7,50	14,6	11,0	4,6	14,9
01_97_A	Cluster 1	1,50	15,7	12,1	5,7	16,0
01_97_B	Cluster 1	4,50	15,3	11,7	5,2	15,5
01_97_C	Cluster 1	7,50	15,2	11,6	5,2	15,5
01_98_A	Cluster 1	1,50	16,1	12,5	6,1	16,3
01_98_B	Cluster 1	4,50	15,8	12,2	5,8	16,0
01_98_C	Cluster 1	7,50	16,8	13,3	6,9	17,1
01_99_A	Cluster 1	1,50	16,0	12,4	6,0	16,3
01_99_B	Cluster 1	4,50	16,0	12,4	6,0	16,3
01_99_C	Cluster 1	7,50	17,1	13,5	7,1	17,3
02_01_A	Cluster 2	1,50	14,8	11,2	4,8	15,1
02_01_B	Cluster 2	4,50	16,7	13,1	6,7	16,9
02_01_C	Cluster 2	7,50	17,3	13,7	7,3	17,5
02_02_A	Cluster 2	1,50	13,6	10,1	3,6	13,9
02_02_B	Cluster 2	4,50	14,2	10,6	4,2	14,5
02_02_C	Cluster 2	7,50	16,2	12,7	6,3	16,5
02_03_A	Cluster 2	1,50	13,6	10,1	3,6	13,9
02_03_B	Cluster 2	4,50	14,4	10,8	4,4	14,7
02_03_C	Cluster 2	7,50	15,8	12,2	5,8	16,1
02_04_A	Cluster 2	1,50	13,3	9,8	3,3	13,6
02_04_B	Cluster 2	4,50	14,3	10,7	4,3	14,6

Alle getoonde dB-waarden zijn A-gewogen

Bijlage III-3 Rekenresultaten Hoge Hondstraat

Rapport: Resultatentabel
 Model: Wegverkeermodel
 LAeq totaalresultaten voor toetspunten
 Groep: Hoge Hondstraat
 Groepsreductie: Ja

Naam						
Toetspunt	Omschrijving	Hoogte	Dag	Avond	Nacht	Lden
02_04_C	Cluster 2	7,50	15,7	12,2	5,7	16,0
02_05_A	Cluster 2	1,50	13,1	9,5	3,1	13,4
02_05_B	Cluster 2	4,50	14,7	11,2	4,8	15,0
02_05_C	Cluster 2	7,50	18,7	15,3	8,7	19,0
02_06_A	Cluster 2	1,50	13,6	10,1	3,6	13,9
02_06_B	Cluster 2	4,50	14,6	11,1	4,6	14,9
02_06_C	Cluster 2	7,50	17,4	14,0	7,5	17,7
02_07_A	Cluster 2	1,50	13,1	9,6	3,1	13,4
02_07_B	Cluster 2	4,50	14,1	10,5	4,1	14,4
02_07_C	Cluster 2	7,50	14,9	11,3	4,9	15,2
02_08_A	Cluster 2	1,50	13,3	9,7	3,3	13,6
02_08_B	Cluster 2	4,50	14,7	11,2	4,7	15,0
02_08_C	Cluster 2	7,50	16,1	12,5	6,1	16,4
02_09_A	Cluster 2	1,50	14,1	10,6	4,1	14,4
02_09_B	Cluster 2	4,50	15,5	12,0	5,5	15,8
02_09_C	Cluster 2	7,50	17,4	13,8	7,4	17,7
02_10_A	Cluster 2	1,50	14,2	10,7	4,2	14,5
02_10_B	Cluster 2	4,50	15,6	12,1	5,6	15,9
02_10_C	Cluster 2	7,50	17,5	14,1	7,6	17,8
02_100_A	Cluster 2	1,50	16,9	13,3	6,9	17,2
02_100_B	Cluster 2	4,50	17,9	14,3	7,9	18,2
02_100_C	Cluster 2	7,50	20,6	17,2	10,7	20,9
02_101_A	Cluster 2	1,50	16,4	12,9	6,4	16,7
02_101_B	Cluster 2	4,50	17,4	13,9	7,4	17,7
02_101_C	Cluster 2	7,50	20,4	16,9	10,4	20,7
02_102_A	Cluster 2	1,50	16,7	13,2	6,7	17,0
02_102_B	Cluster 2	4,50	17,7	14,1	7,7	18,0
02_102_C	Cluster 2	7,50	19,9	16,5	10,0	20,2
02_103_A	Cluster 2	1,50	16,7	13,2	6,7	17,0
02_103_B	Cluster 2	4,50	17,6	14,1	7,7	17,9
02_103_C	Cluster 2	7,50	19,2	15,8	9,3	19,5
02_104_A	Cluster 2	1,50	16,6	13,0	6,6	16,9
02_104_B	Cluster 2	4,50	17,3	13,7	7,3	17,6
02_104_C	Cluster 2	7,50	19,1	15,6	9,1	19,4
02_105_A	Cluster 2	1,50	16,2	12,7	6,2	16,5
02_105_B	Cluster 2	4,50	17,4	13,8	7,4	17,6
02_105_C	Cluster 2	7,50	19,1	15,6	9,1	19,4
02_106_A	Cluster 2	1,50	16,2	12,6	6,2	16,5
02_106_B	Cluster 2	4,50	17,4	13,8	7,4	17,7
02_106_C	Cluster 2	7,50	19,4	15,9	9,4	19,7
02_107_A	Cluster 2	1,50	15,8	12,2	5,8	16,1
02_107_B	Cluster 2	4,50	17,5	13,9	7,5	17,7
02_107_C	Cluster 2	7,50	19,8	16,4	9,9	20,1
02_108_A	Cluster 2	1,50	16,0	12,5	6,0	16,3
02_108_B	Cluster 2	4,50	17,1	13,6	7,1	17,4
02_108_C	Cluster 2	7,50	19,4	15,9	9,4	19,7
02_11_A	Cluster 2	1,50	13,9	10,3	3,9	14,2
02_11_B	Cluster 2	4,50	15,1	11,5	5,0	15,3
02_11_C	Cluster 2	7,50	16,9	13,4	6,9	17,2
02_12_A	Cluster 2	1,50	15,7	12,2	5,7	16,0
02_12_B	Cluster 2	4,50	16,7	13,3	6,8	17,1
02_13_A	Cluster 2	1,50	20,1	16,8	10,2	20,5
02_13_B	Cluster 2	4,50	21,1	17,7	11,1	21,4
02_14_A	Cluster 2	1,50	23,1	19,8	13,2	23,5
02_14_B	Cluster 2	4,50	23,8	20,4	13,9	24,1
02_15_A	Cluster 2	1,50	21,0	17,7	11,1	21,4
02_15_B	Cluster 2	4,50	21,7	18,4	11,8	22,1
02_16_A	Cluster 2	1,50	22,0	18,7	12,1	22,4
02_16_B	Cluster 2	4,50	22,5	19,1	12,5	22,8
02_16_C	Cluster 2	7,50	22,4	19,1	12,5	22,8
02_16_D	Cluster 2	10,50	22,2	18,8	12,3	22,5
02_17_A	Cluster 2	1,50	22,8	19,4	12,9	23,1
02_17_B	Cluster 2	4,50	23,1	19,8	13,2	23,5
02_17_C	Cluster 2	7,50	23,1	19,7	13,2	23,4
02_17_D	Cluster 2	10,50	22,9	19,5	12,9	23,2
02_18_A	Cluster 2	1,50	22,2	18,9	12,3	22,6
02_18_B	Cluster 2	4,50	22,7	19,3	12,8	23,0
02_18_C	Cluster 2	7,50	22,7	19,4	12,8	23,1
02_18_D	Cluster 2	10,50	22,4	19,0	12,5	22,7
02_19_A	Cluster 2	1,50	22,4	19,0	12,5	22,7
02_19_B	Cluster 2	4,50	22,7	19,4	12,8	23,1
02_19_C	Cluster 2	7,50	22,7	19,4	12,8	23,1
02_19_D	Cluster 2	10,50	22,5	19,1	12,6	22,8
02_20_A	Cluster 2	1,50	22,9	19,6	13,1	23,3

Alle getoonde dB-waarden zijn A-gewogen

Bijlage III-3 Rekenresultaten Hoge Hondstraat

Rapport: Resultatentabel
 Model: Wegverkeermodel
 LAeq totaalresultaten voor toetspunten
 Groep: Hoge Hondstraat
 Groepsreductie: Ja

Naam						
Toetspunt	Omschrijving	Hoogte	Dag	Avond	Nacht	Lden
02_20_B	Cluster 2	4,50	23,4	20,0	13,5	23,7
02_20_C	Cluster 2	7,50	23,3	20,0	13,4	23,7
02_20_D	Cluster 2	10,50	23,2	19,8	13,2	23,5
02_21_A	Cluster 2	1,50	23,3	20,0	13,4	23,6
02_21_B	Cluster 2	4,50	23,8	20,4	13,8	24,1
02_21_C	Cluster 2	7,50	23,7	20,3	13,8	24,0
02_21_D	Cluster 2	10,50	23,1	19,7	13,2	23,4
02_22_A	Cluster 2	1,50	23,4	20,1	13,6	23,8
02_22_B	Cluster 2	4,50	23,9	20,5	14,0	24,2
02_22_C	Cluster 2	7,50	23,8	20,4	13,9	24,1
02_22_D	Cluster 2	10,50	23,4	20,1	13,5	23,8
02_23_A	Cluster 2	1,50	23,5	20,1	13,6	23,8
02_23_B	Cluster 2	4,50	23,9	20,5	14,0	24,2
02_23_C	Cluster 2	7,50	23,8	20,4	13,8	24,1
02_23_D	Cluster 2	10,50	23,3	20,0	13,4	23,7
02_24_A	Cluster 2	1,50	24,1	20,8	14,2	24,5
02_24_B	Cluster 2	4,50	24,6	21,2	14,7	24,9
02_24_C	Cluster 2	7,50	24,5	21,1	14,6	24,8
02_24_D	Cluster 2	10,50	23,7	20,3	13,7	24,0
02_25_A	Cluster 2	1,50	24,3	21,0	14,4	24,6
02_25_B	Cluster 2	4,50	25,1	21,8	15,2	25,5
02_25_C	Cluster 2	7,50	25,1	21,7	15,2	25,4
02_25_D	Cluster 2	10,50	23,9	20,6	14,0	24,3
02_26_A	Cluster 2	1,50	15,8	12,2	5,8	16,0
02_26_B	Cluster 2	4,50	16,8	13,2	6,8	17,0
02_26_C	Cluster 2	7,50	18,3	14,6	8,2	18,5
02_26_D	Cluster 2	10,50	20,4	16,8	10,4	20,6
02_27_A	Cluster 2	1,50	13,7	10,1	3,7	13,9
02_27_B	Cluster 2	4,50	14,6	11,1	4,6	14,9
02_27_C	Cluster 2	7,50	16,2	12,6	6,2	16,5
02_27_D	Cluster 2	10,50	17,4	13,9	7,4	17,7
02_28_A	Cluster 2	1,50	24,0	20,6	14,1	24,3
02_28_B	Cluster 2	4,50	24,7	21,3	14,7	25,0
02_28_C	Cluster 2	7,50	24,6	21,2	14,6	24,9
02_28_D	Cluster 2	10,50	23,8	20,4	13,9	24,1
02_29_A	Cluster 2	1,50	24,6	21,3	14,7	25,0
02_29_B	Cluster 2	4,50	25,4	22,0	15,5	25,7
02_29_C	Cluster 2	7,50	25,2	21,9	15,3	25,6
02_29_D	Cluster 2	10,50	24,5	21,1	14,5	24,8
02_30_A	Cluster 2	1,50	26,4	23,1	16,5	26,7
02_30_B	Cluster 2	4,50	27,0	23,7	17,1	27,4
02_30_C	Cluster 2	7,50	26,9	23,5	17,0	27,2
02_30_D	Cluster 2	10,50	26,7	23,4	16,8	27,1
02_31_A	Cluster 2	1,50	24,7	21,4	14,8	25,1
02_31_B	Cluster 2	4,50	25,7	22,3	15,8	26,0
02_31_C	Cluster 2	7,50	25,6	22,2	15,7	26,0
02_31_D	Cluster 2	10,50	25,0	21,7	15,1	25,4
02_32_A	Cluster 2	1,50	24,5	21,1	14,6	24,8
02_32_B	Cluster 2	4,50	25,2	21,8	15,3	25,5
02_32_C	Cluster 2	7,50	25,3	21,9	15,4	25,6
02_32_D	Cluster 2	10,50	25,3	21,9	15,4	25,6
02_33_A	Cluster 2	1,50	24,2	20,9	14,3	24,6
02_33_B	Cluster 2	4,50	25,0	21,6	15,1	25,3
02_33_C	Cluster 2	7,50	25,1	21,7	15,1	25,4
02_34_A	Cluster 2	1,50	24,1	20,8	14,2	24,5
02_34_B	Cluster 2	4,50	25,1	21,8	15,2	25,5
02_34_C	Cluster 2	7,50	25,4	22,0	15,4	25,7
02_35_A	Cluster 2	1,50	20,5	17,2	10,6	20,9
02_35_B	Cluster 2	4,50	21,6	18,2	11,7	21,9
02_35_C	Cluster 2	7,50	22,0	18,6	12,1	22,4
02_36_A	Cluster 2	1,50	17,2	13,7	7,2	17,5
02_36_B	Cluster 2	4,50	18,8	15,3	8,8	19,1
02_36_C	Cluster 2	7,50	19,9	16,3	9,9	20,1
02_37_A	Cluster 2	1,50	17,3	13,8	7,3	17,6
02_37_B	Cluster 2	4,50	19,0	15,4	9,0	19,2
02_37_C	Cluster 2	7,50	20,1	16,5	10,1	20,4
02_38_A	Cluster 2	1,50	16,6	13,1	6,7	16,9
02_38_B	Cluster 2	4,50	18,2	14,6	8,2	18,4
02_38_C	Cluster 2	7,50	19,4	15,8	9,4	19,6
02_39_A	Cluster 2	1,50	16,5	13,0	6,5	16,8
02_39_B	Cluster 2	4,50	18,1	14,6	8,1	18,4
02_39_C	Cluster 2	7,50	19,5	15,9	9,5	19,7
02_40_A	Cluster 2	1,50	16,3	12,8	6,3	16,6
02_40_B	Cluster 2	4,50	17,9	14,3	7,9	18,1

Alle getoonde dB-waarden zijn A-gewogen

Bijlage III-3 Rekenresultaten Hoge Hondstraat

Rapport: Resultatentabel
 Model: Wegverkeermodel
 LAeq totaalresultaten voor toetspunten
 Groep: Hoge Hondstraat
 Groepsreductie: Ja

Naam						
Toetspunt	Omschrijving	Hoogte	Dag	Avond	Nacht	Lden
02_40_C	Cluster 2	7,50	19,3	15,7	9,3	19,6
02_41_A	Cluster 2	1,50	15,2	11,7	5,2	15,5
02_41_B	Cluster 2	4,50	16,2	12,6	6,2	16,4
02_41_C	Cluster 2	7,50	18,4	14,8	8,4	18,7
02_42_A	Cluster 2	1,50	15,7	12,2	5,7	16,0
02_42_B	Cluster 2	4,50	17,1	13,6	7,1	17,4
02_42_C	Cluster 2	7,50	20,2	16,7	10,2	20,5
02_43_A	Cluster 2	1,50	15,7	12,2	5,7	16,0
02_43_B	Cluster 2	4,50	17,1	13,5	7,1	17,4
02_43_C	Cluster 2	7,50	18,9	15,3	8,8	19,1
02_44_A	Cluster 2	1,50	15,3	11,7	5,3	15,6
02_44_B	Cluster 2	4,50	16,7	13,1	6,7	17,0
02_45_A	Cluster 2	1,50	15,1	11,6	5,1	15,4
02_45_B	Cluster 2	4,50	16,6	13,0	6,5	16,8
02_46_A	Cluster 2	1,50	16,0	12,4	6,0	16,2
02_46_B	Cluster 2	4,50	17,4	13,8	7,4	17,7
02_47_A	Cluster 2	1,50	16,1	12,6	6,1	16,4
02_47_B	Cluster 2	4,50	17,6	14,0	7,6	17,9
02_48_A	Cluster 2	1,50	16,1	12,5	6,1	16,4
02_48_B	Cluster 2	4,50	17,6	14,0	7,6	17,8
02_48_C	Cluster 2	7,50	18,0	14,4	8,0	18,3
02_49_A	Cluster 2	1,50	16,4	12,8	6,4	16,7
02_49_B	Cluster 2	4,50	17,8	14,2	7,8	18,0
02_49_C	Cluster 2	7,50	18,0	14,4	8,0	18,3
02_50_A	Cluster 2	1,50	16,1	12,6	6,1	16,4
02_50_B	Cluster 2	4,50	17,6	14,0	7,6	17,8
02_50_C	Cluster 2	7,50	18,1	14,5	8,1	18,4
02_51_A	Cluster 2	1,50	15,8	12,3	5,8	16,1
02_51_B	Cluster 2	4,50	17,3	13,7	7,3	17,6
02_51_C	Cluster 2	7,50	17,8	14,2	7,8	18,0
02_52_A	Cluster 2	1,50	15,6	12,1	5,6	15,9
02_52_B	Cluster 2	4,50	16,9	13,3	6,9	17,2
02_52_C	Cluster 2	7,50	17,4	13,8	7,4	17,7
02_53_A	Cluster 2	1,50	15,7	12,2	5,7	16,0
02_53_B	Cluster 2	4,50	16,8	13,2	6,8	17,0
02_53_C	Cluster 2	7,50	17,3	13,7	7,3	17,6
02_54_A	Cluster 2	1,50	15,1	11,6	5,2	15,4
02_54_B	Cluster 2	4,50	16,6	13,0	6,6	16,8
02_54_C	Cluster 2	7,50	17,1	13,5	7,0	17,3
02_55_A	Cluster 2	1,50	15,2	11,6	5,2	15,4
02_55_B	Cluster 2	4,50	16,6	13,1	6,6	16,9
02_55_C	Cluster 2	7,50	17,6	14,0	7,6	17,9
02_56_A	Cluster 2	1,50	15,3	11,7	5,3	15,5
02_56_B	Cluster 2	4,50	16,8	13,2	6,8	17,1
02_56_C	Cluster 2	7,50	17,7	14,1	7,7	18,0
02_57_A	Cluster 2	1,50	15,4	11,8	5,4	15,7
02_57_B	Cluster 2	4,50	16,9	13,3	6,9	17,2
02_57_C	Cluster 2	7,50	17,5	13,9	7,5	17,7
02_58_A	Cluster 2	1,50	14,8	11,2	4,8	15,1
02_58_B	Cluster 2	4,50	16,2	12,6	6,2	16,5
02_58_C	Cluster 2	7,50	16,6	13,0	6,6	16,9
02_59_A	Cluster 2	1,50	13,7	10,2	3,7	14,0
02_59_B	Cluster 2	4,50	15,3	11,8	5,3	15,6
02_59_C	Cluster 2	7,50	17,0	13,4	7,0	17,2
02_60_A	Cluster 2	1,50	15,9	12,3	5,9	16,2
02_60_B	Cluster 2	4,50	17,4	13,8	7,3	17,6
02_60_C	Cluster 2	7,50	18,1	14,5	8,1	18,4
02_61_A	Cluster 2	1,50	16,1	12,5	6,1	16,3
02_61_B	Cluster 2	4,50	17,5	13,9	7,5	17,8
02_61_C	Cluster 2	7,50	18,1	14,5	8,1	18,4
02_62_A	Cluster 2	1,50	16,5	12,9	6,5	16,8
02_62_B	Cluster 2	4,50	17,9	14,3	7,9	18,2
02_62_C	Cluster 2	7,50	18,8	15,3	8,8	19,1
02_63_A	Cluster 2	1,50	16,8	13,3	6,8	17,1
02_63_B	Cluster 2	4,50	18,0	14,5	8,0	18,3
02_63_C	Cluster 2	7,50	18,8	15,2	8,8	19,0
02_64_A	Cluster 2	1,50	17,1	13,5	7,1	17,4
02_64_B	Cluster 2	4,50	18,3	14,7	8,3	18,6
02_64_C	Cluster 2	7,50	20,0	16,5	10,1	20,3
02_65_A	Cluster 2	1,50	17,0	13,5	7,0	17,3
02_65_B	Cluster 2	4,50	18,3	14,7	8,3	18,6
02_65_C	Cluster 2	7,50	20,3	16,8	10,4	20,6
02_66_A	Cluster 2	1,50	17,3	13,7	7,3	17,6
02_66_B	Cluster 2	4,50	18,3	14,8	8,3	18,6

Alle getoonde dB-waarden zijn A-gewogen

Bijlage III-3 Rekenresultaten Hoge Hondstraat

Rapport: Resultatentabel
 Model: Wegverkeermodel
 LAeq totaalresultaten voor toetspunten
 Groep: Hoge Hondstraat
 Groepsreductie: Ja

Naam						
Toetspunt	Omschrijving	Hoogte	Dag	Avond	Nacht	Lden
02_66_C	Cluster 2	7,50	21,3	17,8	11,3	21,6
02_67_A	Cluster 2	1,50	17,3	13,7	7,3	17,5
02_67_B	Cluster 2	4,50	18,7	15,1	8,7	19,0
02_67_C	Cluster 2	7,50	22,2	18,8	12,3	22,5
02_68_A	Cluster 2	1,50	17,1	13,5	7,1	17,4
02_68_B	Cluster 2	4,50	17,7	14,1	7,7	18,0
02_68_C	Cluster 2	7,50	20,0	16,5	10,0	20,3
02_69_A	Cluster 2	1,50	13,9	10,3	3,9	14,1
02_69_B	Cluster 2	4,50	14,8	11,2	4,8	15,0
02_69_C	Cluster 2	7,50	17,5	14,0	7,5	17,8
02_70_A	Cluster 2	1,50	15,5	11,9	5,5	15,8
02_70_B	Cluster 2	4,50	16,6	13,0	6,6	16,9
02_70_C	Cluster 2	7,50	18,1	14,5	8,1	18,4
02_71_A	Cluster 2	1,50	15,5	12,0	5,5	15,8
02_71_B	Cluster 2	4,50	16,8	13,3	6,8	17,1
02_72_A	Cluster 2	1,50	15,6	12,0	5,6	15,9
02_72_B	Cluster 2	4,50	16,9	13,3	6,9	17,2
02_73_A	Cluster 2	1,50	15,2	11,6	5,2	15,5
02_73_B	Cluster 2	4,50	16,4	12,8	6,4	16,7
02_73_C	Cluster 2	7,50	17,0	13,3	7,0	17,2
02_73_D	Cluster 2	10,50	17,3	13,7	7,2	17,5
02_74_A	Cluster 2	1,50	16,9	13,3	6,9	17,2
02_74_B	Cluster 2	4,50	17,4	13,8	7,4	17,7
02_74_C	Cluster 2	7,50	18,1	14,5	8,1	18,3
02_74_D	Cluster 2	10,50	17,0	13,4	7,0	17,3
02_75_A	Cluster 2	1,50	16,9	13,3	6,9	17,2
02_75_B	Cluster 2	4,50	17,7	14,1	7,7	17,9
02_75_C	Cluster 2	7,50	18,2	14,6	8,2	18,5
02_75_D	Cluster 2	10,50	17,0	13,4	7,0	17,3
02_76_A	Cluster 2	1,50	17,3	13,7	7,3	17,6
02_76_B	Cluster 2	4,50	17,9	14,3	7,9	18,2
02_76_C	Cluster 2	7,50	18,4	14,8	8,4	18,7
02_76_D	Cluster 2	10,50	17,5	13,9	7,5	17,8
02_77_A	Cluster 2	1,50	16,8	13,2	6,8	17,1
02_77_B	Cluster 2	4,50	17,7	14,1	7,7	18,0
02_77_C	Cluster 2	7,50	18,3	14,7	8,3	18,5
02_77_D	Cluster 2	10,50	17,3	13,7	7,3	17,6
02_78_A	Cluster 2	1,50	17,0	13,4	7,0	17,3
02_78_B	Cluster 2	4,50	17,7	14,1	7,7	18,0
02_78_C	Cluster 2	7,50	18,2	14,6	8,2	18,5
02_78_D	Cluster 2	10,50	17,2	13,6	7,2	17,5
02_79_A	Cluster 2	1,50	17,3	13,8	7,3	17,6
02_79_B	Cluster 2	4,50	17,9	14,3	7,9	18,1
02_79_C	Cluster 2	7,50	18,3	14,7	8,3	18,6
02_79_D	Cluster 2	10,50	17,4	13,8	7,4	17,6
02_80_A	Cluster 2	1,50	17,2	13,6	7,2	17,5
02_80_B	Cluster 2	4,50	18,1	14,5	8,1	18,3
02_80_C	Cluster 2	7,50	19,5	16,0	9,5	19,8
02_80_D	Cluster 2	10,50	17,9	14,3	7,9	18,2
02_81_A	Cluster 2	1,50	17,0	13,5	7,0	17,3
02_81_B	Cluster 2	4,50	17,7	14,1	7,7	17,9
02_81_C	Cluster 2	7,50	18,9	15,3	8,9	19,2
02_81_D	Cluster 2	10,50	18,1	14,5	8,1	18,4
02_82_A	Cluster 2	1,50	16,9	13,3	6,9	17,2
02_82_B	Cluster 2	4,50	17,6	14,0	7,6	17,8
02_82_C	Cluster 2	7,50	18,3	14,7	8,3	18,6
02_82_D	Cluster 2	10,50	18,0	14,4	8,0	18,3
02_83_A	Cluster 2	1,50	16,6	13,0	6,6	16,9
02_83_B	Cluster 2	4,50	17,6	14,0	7,5	17,8
02_83_C	Cluster 2	7,50	18,4	14,8	8,4	18,6
02_83_D	Cluster 2	10,50	17,5	13,9	7,5	17,8
02_84_A	Cluster 2	1,50	16,2	12,6	6,2	16,5
02_84_B	Cluster 2	4,50	17,1	13,5	7,1	17,4
02_84_C	Cluster 2	7,50	18,7	15,1	8,7	18,9
02_84_D	Cluster 2	10,50	19,2	15,6	9,2	19,5
02_85_A	Cluster 2	1,50	15,7	12,2	5,7	16,0
02_85_B	Cluster 2	4,50	16,6	13,0	6,6	16,9
02_85_C	Cluster 2	7,50	18,7	15,1	8,7	19,0
02_85_D	Cluster 2	10,50	18,9	15,4	8,9	19,2
02_86_A	Cluster 2	1,50	15,6	12,0	5,6	15,9
02_86_B	Cluster 2	4,50	14,4	10,8	4,4	14,6
02_86_C	Cluster 2	7,50	15,8	12,2	5,8	16,0
02_87_A	Cluster 2	1,50	15,4	11,8	5,4	15,6
02_87_B	Cluster 2	4,50	14,6	11,0	4,6	14,9

Alle getoonde dB-waarden zijn A-gewogen

Bijlage III-3 Rekenresultaten Hoge Hondstraat

Rapport: Resultatentabel
 Model: Wegverkeermodel
 LAeq totaalresultaten voor toetspunten
 Groep: Hoge Hondstraat
 Groepsreductie: Ja

Naam							
Toetspunt	Omschrijving	Hoogte	Dag	Avond	Nacht	Lden	
02_87_C	Cluster 2	7,50	15,1	11,6	5,1	15,4	
02_88_A	Cluster 2	1,50	12,8	9,3	2,8	13,1	
02_88_B	Cluster 2	4,50	14,2	10,6	4,2	14,4	
02_88_C	Cluster 2	7,50	18,0	14,4	8,0	18,3	
02_89_A	Cluster 2	1,50	15,8	12,3	5,8	16,1	
02_89_B	Cluster 2	4,50	15,0	11,4	5,0	15,3	
02_89_C	Cluster 2	7,50	14,5	10,9	4,5	14,7	
02_90_A	Cluster 2	1,50	15,9	12,3	5,9	16,1	
02_90_B	Cluster 2	4,50	15,5	11,9	5,5	15,7	
02_90_C	Cluster 2	7,50	15,6	12,0	5,6	15,9	
02_91_A	Cluster 2	1,50	16,1	12,6	6,1	16,4	
02_91_B	Cluster 2	4,50	15,5	11,9	5,5	15,7	
02_91_C	Cluster 2	7,50	16,5	13,0	6,6	16,8	
02_92_A	Cluster 2	1,50	17,3	13,7	7,3	17,5	
02_92_B	Cluster 2	4,50	18,8	15,3	8,8	19,1	
02_92_C	Cluster 2	7,50	20,9	17,5	11,0	21,2	
02_93_A	Cluster 2	1,50	17,1	13,5	7,1	17,4	
02_93_B	Cluster 2	4,50	17,5	14,0	7,6	17,8	
02_93_C	Cluster 2	7,50	20,1	16,7	10,2	20,4	
02_94_A	Cluster 2	1,50	17,4	13,8	7,4	17,7	
02_94_B	Cluster 2	4,50	18,0	14,5	8,0	18,3	
02_94_C	Cluster 2	7,50	20,6	17,3	10,7	21,0	
02_95_A	Cluster 2	1,50	17,0	13,4	7,0	17,2	
02_95_B	Cluster 2	4,50	17,7	14,2	7,7	18,0	
02_95_C	Cluster 2	7,50	20,0	16,6	10,1	20,4	
02_96_A	Cluster 2	1,50	16,7	13,2	6,7	17,0	
02_96_B	Cluster 2	4,50	18,1	14,6	8,1	18,4	
02_97_A	Cluster 2	1,50	15,3	11,8	5,4	15,6	
02_97_B	Cluster 2	4,50	16,6	13,0	6,6	16,9	
02_98_A	Cluster 2	1,50	14,3	10,8	4,3	14,6	
02_98_B	Cluster 2	4,50	16,3	12,7	6,3	16,6	
02_98_C	Cluster 2	7,50	19,7	16,2	9,7	20,0	
02_99_A	Cluster 2	1,50	16,3	12,8	6,3	16,6	
02_99_B	Cluster 2	4,50	17,5	13,9	7,5	17,8	
02_99_C	Cluster 2	7,50	19,9	16,5	10,0	20,2	
03_01_A	Cluster 3	1,50	18,0	14,4	8,0	18,2	
03_01_B	Cluster 3	4,50	20,0	16,4	10,0	20,3	
03_01_C	Cluster 3	7,50	20,8	17,2	10,8	21,0	
03_02_A	Cluster 3	1,50	17,4	13,8	7,4	17,7	
03_02_B	Cluster 3	4,50	18,4	14,8	8,4	18,7	
03_02_C	Cluster 3	7,50	19,0	15,4	9,0	19,3	
03_03_A	Cluster 3	1,50	17,3	13,8	7,4	17,6	
03_03_B	Cluster 3	4,50	18,3	14,7	8,3	18,5	
03_03_C	Cluster 3	7,50	18,8	15,2	8,8	19,1	
03_04_A	Cluster 3	1,50	16,9	13,3	6,9	17,2	
03_04_B	Cluster 3	4,50	17,7	14,1	7,7	18,0	
03_04_C	Cluster 3	7,50	18,1	14,5	8,1	18,4	
03_05_A	Cluster 3	1,50	16,7	13,1	6,7	16,9	
03_05_B	Cluster 3	4,50	17,6	14,1	7,6	17,9	
03_06_A	Cluster 3	1,50	16,9	13,4	6,9	17,2	
03_06_B	Cluster 3	4,50	18,0	14,4	8,0	18,3	
03_07_A	Cluster 3	1,50	13,2	9,6	3,2	13,4	
03_07_B	Cluster 3	4,50	14,5	10,9	4,5	14,8	
03_08_A	Cluster 3	1,50	14,1	10,5	4,1	14,4	
03_08_B	Cluster 3	4,50	15,2	11,6	5,2	15,5	
03_09_A	Cluster 3	1,50	15,0	11,5	5,1	15,3	
03_09_B	Cluster 3	4,50	16,0	12,4	6,0	16,3	
03_09_C	Cluster 3	7,50	17,3	13,8	7,4	17,6	
03_10_A	Cluster 3	1,50	16,1	12,6	6,1	16,4	
03_10_B	Cluster 3	4,50	17,0	13,5	7,0	17,3	
03_10_C	Cluster 3	7,50	19,0	15,4	9,0	19,3	
03_11_A	Cluster 3	1,50	16,0	12,5	6,0	16,3	
03_11_B	Cluster 3	4,50	16,9	13,3	6,9	17,2	
03_11_C	Cluster 3	7,50	18,1	14,5	8,1	18,4	
03_12_A	Cluster 3	1,50	16,2	12,6	6,2	16,5	
03_12_B	Cluster 3	4,50	16,9	13,3	6,9	17,1	
03_12_C	Cluster 3	7,50	17,7	14,1	7,7	17,9	
03_13_A	Cluster 3	1,50	16,5	13,0	6,5	16,8	
03_13_B	Cluster 3	4,50	17,5	13,9	7,5	17,8	
03_13_C	Cluster 3	7,50	18,9	15,3	8,9	19,1	
03_14_A	Cluster 3	1,50	16,2	12,6	6,2	16,5	
03_14_B	Cluster 3	4,50	16,9	13,3	6,9	17,2	
03_14_C	Cluster 3	7,50	17,5	13,8	7,4	17,7	
03_15_A	Cluster 3	1,50	16,4	12,9	6,4	16,7	

Alle getoonde dB-waarden zijn A-gewogen

Bijlage III-3 Rekenresultaten Hoge Hondstraat

Rapport: Resultatentabel
 Model: Wegverkeermodel
 LAeq totaalresultaten voor toetspunten
 Groep: Hoge Hondstraat
 Groepsreductie: Ja

Naam						
Toetspunt	Omschrijving	Hoogte	Dag	Avond	Nacht	Lden
03_15_B	Cluster 3	4,50	17,1	13,6	7,1	17,4
03_15_C	Cluster 3	7,50	17,5	13,9	7,5	17,8
03_16_A	Cluster 3	1,50	16,4	12,8	6,4	16,6
03_16_B	Cluster 3	4,50	17,0	13,4	7,0	17,3
03_16_C	Cluster 3	7,50	17,8	14,2	7,8	18,1
03_17_A	Cluster 3	1,50	16,1	12,5	6,1	16,3
03_17_B	Cluster 3	4,50	16,7	13,1	6,7	16,9
03_17_C	Cluster 3	7,50	18,3	14,7	8,3	18,6
03_18_A	Cluster 3	1,50	16,2	12,6	6,2	16,5
03_18_B	Cluster 3	4,50	17,0	13,5	7,0	17,3
03_18_C	Cluster 3	7,50	18,4	14,9	8,4	18,7
03_19_A	Cluster 3	1,50	16,1	12,5	6,1	16,3
03_19_B	Cluster 3	4,50	16,7	13,1	6,7	17,0
03_19_C	Cluster 3	7,50	17,9	14,4	7,9	18,2
03_20_A	Cluster 3	1,50	16,4	12,8	6,4	16,7
03_20_B	Cluster 3	4,50	17,1	13,5	7,1	17,4
03_20_C	Cluster 3	7,50	18,1	14,6	8,1	18,4
03_21_A	Cluster 3	1,50	15,2	11,6	5,2	15,5
03_21_B	Cluster 3	4,50	16,6	13,0	6,6	16,9
03_21_C	Cluster 3	7,50	17,5	13,9	7,5	17,8
03_22_A	Cluster 3	1,50	15,3	11,7	5,3	15,6
03_22_B	Cluster 3	4,50	16,9	13,4	6,9	17,2
03_22_C	Cluster 3	7,50	18,6	15,1	8,6	18,9
03_23_A	Cluster 3	1,50	15,4	11,9	5,5	15,7
03_23_B	Cluster 3	4,50	17,0	13,4	7,0	17,3
03_23_C	Cluster 3	7,50	18,5	15,0	8,5	18,8
03_24_A	Cluster 3	1,50	15,5	11,9	5,5	15,8
03_24_B	Cluster 3	4,50	16,9	13,3	6,9	17,2
03_24_C	Cluster 3	7,50	17,8	14,2	7,8	18,1
03_25_A	Cluster 3	1,50	16,1	12,5	6,1	16,3
03_25_B	Cluster 3	4,50	17,4	13,9	7,4	17,7
03_25_C	Cluster 3	7,50	18,2	14,6	8,2	18,5
03_26_A	Cluster 3	1,50	16,2	12,7	6,2	16,5
03_26_B	Cluster 3	4,50	17,5	14,0	7,5	17,8
03_26_C	Cluster 3	7,50	18,4	14,8	8,4	18,7
03_27_A	Cluster 3	1,50	16,0	12,4	6,0	16,2
03_27_B	Cluster 3	4,50	17,3	13,7	7,3	17,5
03_27_C	Cluster 3	7,50	18,3	14,7	8,3	18,5
03_28_A	Cluster 3	1,50	15,9	12,4	5,9	16,2
03_28_B	Cluster 3	4,50	17,4	13,8	7,4	17,7
03_28_C	Cluster 3	7,50	18,5	14,9	8,5	18,8
03_29_A	Cluster 3	1,50	15,8	12,3	5,8	16,1
03_29_B	Cluster 3	4,50	17,3	13,7	7,3	17,6
03_29_C	Cluster 3	7,50	18,8	15,2	8,8	19,1
03_30_A	Cluster 3	1,50	15,8	12,3	5,8	16,1
03_30_B	Cluster 3	4,50	17,6	14,0	7,6	17,9
03_30_C	Cluster 3	7,50	19,3	15,7	9,3	19,5
03_31_A	Cluster 3	1,50	17,9	14,3	7,9	18,2
03_31_B	Cluster 3	4,50	20,1	16,5	10,1	20,3
03_31_C	Cluster 3	7,50	21,5	17,9	11,5	21,8
03_32_A	Cluster 3	1,50	18,0	14,4	8,0	18,3
03_32_B	Cluster 3	4,50	18,6	15,0	8,6	18,9
03_32_C	Cluster 3	7,50	19,4	15,8	9,3	19,6
03_33_A	Cluster 3	1,50	18,1	14,5	8,1	18,3
03_33_B	Cluster 3	4,50	20,1	16,5	10,0	20,3
03_33_C	Cluster 3	7,50	21,5	17,9	11,5	21,8
03_34_A	Cluster 3	1,50	18,1	14,6	8,1	18,4
03_34_B	Cluster 3	4,50	19,7	16,2	9,7	20,0
03_34_C	Cluster 3	7,50	21,0	17,4	11,0	21,2
03_35_A	Cluster 3	1,50	18,4	14,8	8,4	18,6
03_35_B	Cluster 3	4,50	19,9	16,3	9,9	20,1
03_35_C	Cluster 3	7,50	21,0	17,4	11,0	21,3
03_36_A	Cluster 3	1,50	18,6	15,0	8,6	18,8
03_36_B	Cluster 3	4,50	20,0	16,4	10,0	20,2
03_36_C	Cluster 3	7,50	21,1	17,5	11,1	21,4
03_37_A	Cluster 3	1,50	18,7	15,1	8,7	18,9
03_37_B	Cluster 3	4,50	19,9	16,3	9,9	20,2
03_37_C	Cluster 3	7,50	20,9	17,3	10,9	21,2
03_38_A	Cluster 3	1,50	19,2	15,6	9,2	19,5
03_38_B	Cluster 3	4,50	20,4	16,8	10,4	20,7
03_38_C	Cluster 3	7,50	21,3	17,7	11,3	21,6
03_39_A	Cluster 3	1,50	19,9	16,3	9,9	20,1
03_39_B	Cluster 3	4,50	20,7	17,1	10,6	20,9
03_39_C	Cluster 3	7,50	21,4	17,8	11,4	21,7

Alle getoonde dB-waarden zijn A-gewogen

Bijlage III-3 Rekenresultaten Hoge Hondstraat

Rapport: Resultatentabel
 Model: Wegverkeermodel
 LAeq totaalresultaten voor toetspunten
 Groep: Hoge Hondstraat
 Groepsreductie: Ja

Naam	Toetspunt	Omschrijving	Hoogte	Dag	Avond	Nacht	Lden
	03_40_A	Cluster 3	1,50	20,3	16,8	10,3	20,6
	03_40_B	Cluster 3	4,50	21,0	17,5	11,0	21,3
	03_40_C	Cluster 3	7,50	22,0	18,4	12,0	22,3
	03_41_A	Cluster 3	1,50	20,0	16,4	10,0	20,3
	03_41_B	Cluster 3	4,50	20,9	17,3	10,9	21,2
	03_41_C	Cluster 3	7,50	21,7	18,1	11,7	22,0
	03_42_A	Cluster 3	1,50	20,4	16,8	10,4	20,6
	03_42_B	Cluster 3	4,50	21,5	17,9	11,5	21,7
	03_42_C	Cluster 3	7,50	22,2	18,6	12,2	22,5
	03_43_A	Cluster 3	1,50	18,7	15,1	8,7	19,0
	03_43_B	Cluster 3	4,50	20,0	16,4	10,0	20,3
	03_43_C	Cluster 3	7,50	20,5	16,9	10,4	20,7
	03_44_A	Cluster 3	1,50	17,6	14,0	7,6	17,9
	03_44_B	Cluster 3	4,50	18,9	15,4	8,9	19,2
	03_44_C	Cluster 3	7,50	19,8	16,2	9,8	20,1
	03_45_A	Cluster 3	1,50	17,6	14,0	7,6	17,8
	03_45_B	Cluster 3	4,50	18,8	15,2	8,8	19,0
	03_45_C	Cluster 3	7,50	19,4	15,8	9,4	19,7
	03_46_A	Cluster 3	1,50	17,7	14,1	7,7	18,0
	03_46_B	Cluster 3	4,50	18,8	15,2	8,8	19,1
	03_46_C	Cluster 3	7,50	19,5	15,9	9,5	19,8
	03_47_A	Cluster 3	1,50	15,8	12,2	5,8	16,0
	03_47_B	Cluster 3	4,50	18,2	14,7	8,2	18,5
	03_47_C	Cluster 3	7,50	19,1	15,5	9,1	19,3
	03_48_A	Cluster 3	1,50	18,2	14,7	8,2	18,5
	03_48_B	Cluster 3	4,50	19,2	15,6	9,2	19,5
	03_48_C	Cluster 3	7,50	20,2	16,6	10,2	20,4
	03_49_A	Cluster 3	1,50	18,1	14,5	8,1	18,3
	03_49_B	Cluster 3	4,50	19,1	15,5	9,1	19,4
	03_49_C	Cluster 3	7,50	19,9	16,3	9,9	20,2
	03_50_A	Cluster 3	1,50	17,2	13,6	7,2	17,4
	03_50_B	Cluster 3	4,50	18,5	14,9	8,5	18,8
	03_50_C	Cluster 3	7,50	19,0	15,4	9,0	19,3
	03_51_A	Cluster 3	1,50	17,7	14,1	7,7	18,0
	03_51_B	Cluster 3	4,50	19,0	15,4	8,9	19,2
	03_52_A	Cluster 3	1,50	17,8	14,3	7,8	18,1
	03_52_B	Cluster 3	4,50	19,2	15,7	9,2	19,5
	03_53_A	Cluster 3	1,50	17,8	14,2	7,8	18,0
	03_53_B	Cluster 3	4,50	19,6	16,0	9,6	19,8
	03_53_C	Cluster 3	7,50	21,0	17,4	10,9	21,2
	03_54_A	Cluster 3	1,50	17,1	13,5	7,1	17,4
	03_54_B	Cluster 3	4,50	19,1	15,5	9,1	19,4
	03_54_C	Cluster 3	7,50	20,2	16,6	10,2	20,5
	03_55_A	Cluster 3	1,50	18,7	15,1	8,7	19,0
	03_55_B	Cluster 3	4,50	20,1	16,5	10,1	20,4
	03_55_C	Cluster 3	7,50	21,0	17,3	10,9	21,2
	03_56_A	Cluster 3	1,50	19,2	15,7	9,2	19,5
	03_56_B	Cluster 3	4,50	20,2	16,6	10,2	20,5
	03_56_C	Cluster 3	7,50	21,0	17,4	11,0	21,2
	03_57_A	Cluster 3	1,50	18,9	15,3	8,9	19,2
	03_57_B	Cluster 3	4,50	20,0	16,4	10,0	20,2
	03_57_C	Cluster 3	7,50	20,7	17,1	10,7	21,0
	03_58_A	Cluster 3	1,50	19,1	15,6	9,1	19,4
	03_58_B	Cluster 3	4,50	19,9	16,3	9,9	20,1
	03_58_C	Cluster 3	7,50	20,4	16,8	10,4	20,6
	03_59_A	Cluster 3	1,50	19,0	15,5	9,0	19,3
	03_59_B	Cluster 3	4,50	19,8	16,3	9,8	20,1
	03_59_C	Cluster 3	7,50	20,5	16,9	10,5	20,8
	03_60_A	Cluster 3	1,50	19,2	15,7	9,2	19,5
	03_60_B	Cluster 3	4,50	19,9	16,3	9,9	20,1
	03_60_C	Cluster 3	7,50	20,4	16,8	10,4	20,7
	03_61_A	Cluster 3	1,50	18,8	15,3	8,8	19,1
	03_61_B	Cluster 3	4,50	19,8	16,2	9,8	20,1
	03_61_C	Cluster 3	7,50	20,4	16,8	10,4	20,7
	03_62_A	Cluster 3	1,50	19,0	15,4	9,0	19,3
	03_62_B	Cluster 3	4,50	19,9	16,3	9,8	20,1
	03_62_C	Cluster 3	7,50	20,5	16,9	10,5	20,8
	03_63_A	Cluster 3	1,50	17,5	14,0	7,5	17,8
	03_63_B	Cluster 3	4,50	18,8	15,2	8,8	19,1
	03_63_C	Cluster 3	7,50	20,1	16,5	10,1	20,4
	03_64_A	Cluster 3	1,50	17,6	14,0	7,6	17,9
	03_64_B	Cluster 3	4,50	19,2	15,6	9,2	19,4
	03_64_C	Cluster 3	7,50	20,3	16,7	10,3	20,6
	03_65_A	Cluster 3	1,50	18,1	14,6	8,2	18,4

Alle getoonde dB-waarden zijn A-gewogen

Bijlage III-3 Rekenresultaten Hoge Hondstraat

Rapport: Resultatentabel
 Model: Wegverkeermodel
 LAeq totaalresultaten voor toetspunten
 Groep: Hoge Hondstraat
 Groepsreductie: Ja

Naam						
Toetspunt	Omschrijving	Hoogte	Dag	Avond	Nacht	Lden
03_65_B	Cluster 3	4,50	19,3	15,7	9,3	19,6
03_65_C	Cluster 3	7,50	20,4	16,8	10,4	20,7
03_66_A	Cluster 3	1,50	17,7	14,1	7,7	18,0
03_66_B	Cluster 3	4,50	19,2	15,6	9,2	19,5
03_66_C	Cluster 3	7,50	20,5	16,9	10,5	20,8
03_67_A	Cluster 3	1,50	16,2	12,6	6,2	16,5
03_67_B	Cluster 3	4,50	17,7	14,1	7,7	18,0
03_67_C	Cluster 3	7,50	19,1	15,6	9,1	19,4
03_68_A	Cluster 3	1,50	19,4	15,9	9,4	19,7
03_68_B	Cluster 3	4,50	19,8	16,2	9,8	20,1
03_68_C	Cluster 3	7,50	20,5	16,9	10,4	20,7
03_69_A	Cluster 3	1,50	19,3	15,7	9,3	19,6
03_69_B	Cluster 3	4,50	19,9	16,3	9,8	20,1
03_69_C	Cluster 3	7,50	20,4	16,8	10,4	20,7
03_70_A	Cluster 3	1,50	19,5	16,0	9,5	19,8
03_70_B	Cluster 3	4,50	20,0	16,4	10,0	20,3
03_70_C	Cluster 3	7,50	20,6	17,0	10,6	20,9
03_71_A	Cluster 3	1,50	19,4	15,8	9,4	19,7
03_71_B	Cluster 3	4,50	20,0	16,5	10,0	20,3
03_71_C	Cluster 3	7,50	20,9	17,3	10,9	21,2
03_72_A	Cluster 3	1,50	19,3	15,8	9,3	19,6
03_72_B	Cluster 3	4,50	19,9	16,3	9,9	20,2
03_72_C	Cluster 3	7,50	20,8	17,3	10,8	21,1
03_73_A	Cluster 3	1,50	18,4	14,9	8,4	18,7
03_73_B	Cluster 3	4,50	19,0	15,4	9,0	19,3
03_73_C	Cluster 3	7,50	20,0	16,4	10,0	20,3
03_74_A	Cluster 3	1,50	18,6	15,1	8,6	18,9
03_74_B	Cluster 3	4,50	19,4	15,8	9,4	19,7
03_74_C	Cluster 3	7,50	20,5	16,9	10,5	20,8
03_75_A	Cluster 3	1,50	18,8	15,3	8,8	19,1
03_75_B	Cluster 3	4,50	18,0	14,4	8,0	18,3
03_75_C	Cluster 3	7,50	18,7	15,1	8,7	19,0
03_76_A	Cluster 3	1,50	18,9	15,3	8,9	19,1
03_76_B	Cluster 3	4,50	18,1	14,5	8,1	18,4
03_76_C	Cluster 3	7,50	18,7	15,1	8,7	19,0
03_77_A	Cluster 3	1,50	19,0	15,5	9,0	19,3
03_77_B	Cluster 3	4,50	18,0	14,5	8,0	18,3
03_77_C	Cluster 3	7,50	18,8	15,2	8,8	19,1
03_78_A	Cluster 3	1,50	18,6	15,0	8,6	18,8
03_78_B	Cluster 3	4,50	17,9	14,3	7,9	18,2
03_78_C	Cluster 3	7,50	19,2	15,7	9,3	19,5
03_79_A	Cluster 3	1,50	18,4	14,9	8,4	18,7
03_79_B	Cluster 3	4,50	17,3	13,7	7,3	17,6
03_79_C	Cluster 3	7,50	18,7	15,2	8,8	19,0
03_80_A	Cluster 3	1,50	18,5	15,0	8,5	18,8
03_80_B	Cluster 3	4,50	17,4	13,9	7,4	17,7
03_80_C	Cluster 3	7,50	18,4	14,9	8,4	18,7
03_81_A	Cluster 3	1,50	18,0	14,5	8,0	18,3
03_81_B	Cluster 3	4,50	17,7	14,1	7,7	18,0
03_81_C	Cluster 3	7,50	18,7	15,1	8,7	18,9
03_82_A	Cluster 3	1,50	17,6	14,1	7,6	17,9
03_82_B	Cluster 3	4,50	17,9	14,3	7,9	18,2
03_82_C	Cluster 3	7,50	18,7	15,1	8,7	18,9
03_83_A	Cluster 3	1,50	16,8	13,2	6,8	17,1
03_83_B	Cluster 3	4,50	17,7	14,1	7,7	18,0
03_83_C	Cluster 3	7,50	18,7	15,1	8,7	19,0
03_84_A	Cluster 3	1,50	17,1	13,6	7,1	17,4
03_84_B	Cluster 3	4,50	19,0	15,4	9,0	19,3
03_84_C	Cluster 3	7,50	20,4	16,8	10,4	20,6
03_85_A	Cluster 3	1,50	17,1	13,6	7,1	17,4
03_85_B	Cluster 3	4,50	19,1	15,6	9,1	19,4
03_85_C	Cluster 3	7,50	20,6	17,0	10,6	20,8
03_86_A	Cluster 3	1,50	17,6	14,1	7,6	17,9
03_86_B	Cluster 3	4,50	19,6	16,0	9,6	19,9
03_86_C	Cluster 3	7,50	21,5	17,9	11,5	21,7
03_87_A	Cluster 3	1,50	18,5	14,9	8,5	18,8
03_87_B	Cluster 3	4,50	19,4	15,8	9,4	19,6
03_87_C	Cluster 3	7,50	20,1	16,5	10,1	20,4
04_01_A	Cluster 4	1,50	21,7	18,2	11,7	22,0
04_01_B	Cluster 4	4,50	23,0	19,4	13,0	23,3
04_01_C	Cluster 4	7,50	23,7	20,2	13,7	24,0
04_02_A	Cluster 4	1,50	17,7	14,2	7,7	18,0
04_02_B	Cluster 4	4,50	20,1	16,5	10,1	20,4
04_02_C	Cluster 4	7,50	22,0	18,5	12,1	22,3

Alle getoonde dB-waarden zijn A-gewogen

Bijlage III-3 Rekenresultaten Hoge Hondstraat

Rapport: Resultatentabel
 Model: Wegverkeermodel
 LAeq totaalresultaten voor toetspunten
 Groep: Hoge Hondstraat
 Groepsreductie: Ja

Naam	Toetspunt	Omschrijving	Hoogte	Dag	Avond	Nacht	Lden
04_03_A	Cluster 4		1,50	21,7	18,2	11,8	22,0
04_03_B	Cluster 4		4,50	22,9	19,3	12,9	23,1
04_03_C	Cluster 4		7,50	24,0	20,5	14,0	24,3
04_04_A	Cluster 4		1,50	18,6	15,1	8,6	18,9
04_04_B	Cluster 4		4,50	19,9	16,3	9,9	20,2
04_04_C	Cluster 4		7,50	21,7	18,2	11,7	22,0
04_05_A	Cluster 4		1,50	20,8	17,3	10,9	21,1
04_05_B	Cluster 4		4,50	22,4	18,8	12,4	22,7
04_05_C	Cluster 4		7,50	23,6	20,0	13,6	23,8
04_06_A	Cluster 4		1,50	20,2	16,7	10,2	20,5
04_06_B	Cluster 4		4,50	21,7	18,1	11,7	22,0
04_06_C	Cluster 4		7,50	22,7	19,1	12,7	23,0
04_07_A	Cluster 4		1,50	16,8	13,3	6,8	17,1
04_07_B	Cluster 4		4,50	19,1	15,5	9,1	19,3
04_07_C	Cluster 4		7,50	21,2	17,7	11,2	21,5
04_08_A	Cluster 4		1,50	22,1	18,7	12,1	22,4
04_08_B	Cluster 4		4,50	23,0	19,5	13,0	23,3
04_08_C	Cluster 4		7,50	23,9	20,4	13,9	24,2
04_09_A	Cluster 4		1,50	21,1	17,6	11,1	21,4
04_09_B	Cluster 4		4,50	22,5	19,0	12,5	22,8
04_09_C	Cluster 4		7,50	23,5	20,0	13,5	23,8
04_10_A	Cluster 4		1,50	21,1	17,6	11,2	21,4
04_10_B	Cluster 4		4,50	22,7	19,1	12,7	22,9
04_10_C	Cluster 4		7,50	24,0	20,4	14,0	24,2
04_11_A	Cluster 4		1,50	19,2	15,7	9,2	19,5
04_11_B	Cluster 4		4,50	21,1	17,6	11,1	21,4
04_11_C	Cluster 4		7,50	22,4	18,8	12,4	22,7
04_12_A	Cluster 4		1,50	18,8	15,3	8,8	19,1
04_12_B	Cluster 4		4,50	20,7	17,1	10,7	20,9
04_12_C	Cluster 4		7,50	22,0	18,4	12,0	22,3
04_13_A	Cluster 4		1,50	23,0	19,6	13,1	23,4
04_13_B	Cluster 4		4,50	24,3	20,8	14,3	24,6
04_13_C	Cluster 4		7,50	25,1	21,6	15,1	25,4
04_14_A	Cluster 4		1,50	17,0	13,5	7,0	17,3
04_14_B	Cluster 4		4,50	18,9	15,3	8,9	19,2
04_14_C	Cluster 4		7,50	20,6	17,1	10,6	20,9
04_15_A	Cluster 4		1,50	19,2	15,7	9,2	19,5
04_15_B	Cluster 4		4,50	20,7	17,1	10,7	21,0
04_15_C	Cluster 4		7,50	21,9	18,3	11,9	22,2
04_16_A	Cluster 4		1,50	19,2	15,6	9,2	19,5
04_16_B	Cluster 4		4,50	20,9	17,3	10,9	21,2
04_16_C	Cluster 4		7,50	21,9	18,3	11,9	22,2
04_17_A	Cluster 4		1,50	--	--	--	--
04_17_B	Cluster 4		4,50	21,9	18,3	11,9	22,2
04_17_C	Cluster 4		7,50	23,3	19,7	13,3	23,6
04_18_A	Cluster 4		1,50	18,5	14,9	8,5	18,8
04_18_B	Cluster 4		4,50	20,3	16,7	10,3	20,5
04_18_C	Cluster 4		7,50	21,6	18,0	11,6	21,9
04_19_A	Cluster 4		1,50	17,3	13,9	7,3	17,6
04_19_B	Cluster 4		4,50	18,9	15,4	8,9	19,2
04_19_C	Cluster 4		7,50	19,6	16,0	9,6	19,8
04_20_A	Cluster 4		1,50	20,4	17,0	10,5	20,7
04_20_B	Cluster 4		4,50	21,8	18,3	11,8	22,1
04_20_C	Cluster 4		7,50	22,5	19,0	12,5	22,8
04_21_A	Cluster 4		1,50	17,9	14,3	7,9	18,2
04_21_B	Cluster 4		4,50	19,8	16,2	9,8	20,1
04_21_C	Cluster 4		7,50	21,8	18,2	11,8	22,0
04_22_A	Cluster 4		1,50	19,7	16,4	9,8	20,1
04_22_B	Cluster 4		4,50	20,9	17,5	10,9	21,2
04_22_C	Cluster 4		7,50	21,4	17,9	11,4	21,7
04_23_A	Cluster 4		1,50	19,9	16,5	9,9	20,2
04_23_B	Cluster 4		4,50	21,0	17,6	11,1	21,4
04_23_C	Cluster 4		7,50	21,5	18,1	11,5	21,8
04_24_A	Cluster 4		1,50	21,6	18,3	11,7	22,0
04_24_B	Cluster 4		4,50	22,6	19,2	12,7	22,9
04_24_C	Cluster 4		7,50	22,9	19,4	12,9	23,2
04_25_A	Cluster 4		1,50	19,7	16,3	9,7	20,0
04_25_B	Cluster 4		4,50	20,8	17,3	10,8	21,1
04_25_C	Cluster 4		7,50	21,0	17,5	11,0	21,3
04_26_A	Cluster 4		1,50	16,0	12,5	6,0	16,3
04_26_B	Cluster 4		4,50	17,5	13,9	7,5	17,7
04_26_C	Cluster 4		7,50	17,7	14,2	7,7	18,0
04_27_A	Cluster 4		1,50	15,5	12,0	5,5	15,8
04_27_B	Cluster 4		4,50	16,7	13,2	6,7	17,0

Alle getoonde dB-waarden zijn A-gewogen

Bijlage III-3 Rekenresultaten Hoge Hondstraat

Rapport: Resultatentabel
 Model: Wegverkeermodel
 LAeq totaalresultaten voor toetspunten
 Groep: Hoge Hondstraat
 Groepsreductie: Ja

Naam	Toetspunt	Omschrijving	Hoogte	Dag	Avond	Nacht	Lden
04_27_C	Cluster 4		7,50	17,1	13,5	7,1	17,4
04_27_D	Cluster 4		10,50	15,3	11,8	5,3	15,6
04_28_A	Cluster 4		1,50	26,1	22,7	16,2	26,4
04_28_B	Cluster 4		4,50	26,6	23,3	16,7	27,0
04_28_C	Cluster 4		7,50	26,5	23,2	16,6	26,9
04_28_D	Cluster 4		10,50	26,4	23,0	16,5	26,7
04_29_A	Cluster 4		1,50	26,7	23,4	16,8	27,1
04_29_B	Cluster 4		4,50	27,1	23,8	17,2	27,5
04_29_C	Cluster 4		7,50	27,0	23,7	17,1	27,4
04_29_D	Cluster 4		10,50	26,9	23,6	17,0	27,3
04_30_A	Cluster 4		1,50	27,0	23,7	17,1	27,3
04_30_B	Cluster 4		4,50	27,4	24,0	17,5	27,7
04_30_C	Cluster 4		7,50	27,3	24,0	17,4	27,7
04_30_D	Cluster 4		10,50	27,3	23,9	17,4	27,6
04_31_A	Cluster 4		1,50	27,5	24,2	17,6	27,9
04_31_B	Cluster 4		4,50	27,8	24,5	17,9	28,2
04_31_C	Cluster 4		7,50	27,7	24,3	17,8	28,1
04_31_D	Cluster 4		10,50	27,7	24,3	17,8	28,0
04_32_A	Cluster 4		1,50	27,7	24,4	17,9	28,1
04_32_B	Cluster 4		4,50	28,0	24,7	18,1	28,4
04_32_C	Cluster 4		7,50	28,0	24,6	18,0	28,3
04_32_D	Cluster 4		10,50	27,9	24,6	18,0	28,3
04_33_A	Cluster 4		1,50	27,2	23,9	17,3	27,6
04_33_B	Cluster 4		4,50	27,5	24,2	17,6	27,9
04_33_C	Cluster 4		7,50	27,5	24,1	17,6	27,8
04_33_D	Cluster 4		10,50	27,5	24,1	17,6	27,8
04_34_A	Cluster 4		1,50	27,6	24,2	17,7	27,9
04_34_B	Cluster 4		4,50	27,9	24,6	18,0	28,3
04_34_C	Cluster 4		7,50	27,9	24,5	18,0	28,2
04_34_D	Cluster 4		10,50	28,1	24,7	18,2	28,4
04_35_A	Cluster 4		1,50	26,3	23,0	16,4	26,7
04_35_B	Cluster 4		4,50	26,7	23,3	16,8	27,0
04_35_C	Cluster 4		7,50	26,7	23,3	16,7	27,0
04_35_D	Cluster 4		10,50	26,7	23,3	16,7	27,0
04_36_A	Cluster 4		1,50	26,4	23,1	16,5	26,8
04_36_B	Cluster 4		4,50	26,8	23,4	16,9	27,1
04_36_C	Cluster 4		7,50	26,8	23,4	16,8	27,1
04_36_D	Cluster 4		10,50	26,8	23,5	16,9	27,2
04_37_A	Cluster 4		1,50	24,8	21,4	14,9	25,1
04_37_B	Cluster 4		4,50	25,2	21,8	15,2	25,5
04_37_C	Cluster 4		7,50	25,2	21,8	15,3	25,5
04_37_D	Cluster 4		10,50	25,3	21,9	15,3	25,6
04_38_A	Cluster 4		1,50	24,5	21,2	14,6	24,8
04_38_B	Cluster 4		4,50	25,0	21,6	15,0	25,3
04_38_C	Cluster 4		7,50	25,1	21,7	15,1	25,4
04_38_D	Cluster 4		10,50	25,2	21,8	15,3	25,6
04_39_A	Cluster 4		1,50	24,3	21,0	14,4	24,6
04_39_B	Cluster 4		4,50	24,9	21,5	14,9	25,2
04_40_A	Cluster 4		1,50	20,6	17,1	10,6	20,9
04_40_B	Cluster 4		4,50	21,4	17,8	11,4	21,6
04_41_A	Cluster 4		1,50	22,6	19,0	12,6	22,9
04_41_B	Cluster 4		4,50	23,4	19,8	13,4	23,7
04_42_A	Cluster 4		1,50	22,3	18,7	12,3	22,5
04_42_B	Cluster 4		4,50	23,0	19,5	13,1	23,3
04_43_A	Cluster 4		1,50	22,1	18,6	12,2	22,4
04_43_B	Cluster 4		4,50	23,1	19,6	13,1	23,4
04_43_C	Cluster 4		7,50	23,9	20,4	13,9	24,2
04_44_A	Cluster 4		1,50	22,0	18,5	12,0	22,3
04_44_B	Cluster 4		4,50	23,1	19,5	13,1	23,4
04_44_C	Cluster 4		7,50	23,9	20,4	13,9	24,2
04_45_A	Cluster 4		1,50	18,0	14,4	8,0	18,3
04_45_B	Cluster 4		4,50	19,3	15,7	9,3	19,6
04_45_C	Cluster 4		7,50	20,8	17,2	10,8	21,0
04_46_A	Cluster 4		1,50	17,1	13,6	7,1	17,4
04_46_B	Cluster 4		4,50	18,6	15,1	8,6	18,9
04_47_A	Cluster 4		1,50	19,5	16,0	9,6	19,8
04_47_B	Cluster 4		4,50	21,5	17,9	11,5	21,8
04_48_A	Cluster 4		1,50	19,8	16,3	9,8	20,1
04_48_B	Cluster 4		4,50	21,5	17,9	11,5	21,8
04_48_C	Cluster 4		7,50	23,0	19,5	13,0	23,3
04_48_D	Cluster 4		10,50	23,9	20,4	13,9	24,2
04_49_A	Cluster 4		1,50	20,9	17,4	10,9	21,2
04_49_B	Cluster 4		4,50	22,2	18,7	12,2	22,5
04_49_C	Cluster 4		7,50	23,1	19,5	13,1	23,4

Alle getoonde dB-waarden zijn A-gewogen

Bijlage III-3 Rekenresultaten Hoge Hondstraat

Rapport: Resultatentabel
 Model: Wegverkeermodel
 LAeq totaalresultaten voor toetspunten
 Groep: Hoge Hondstraat
 Groepsreductie: Ja

Naam	Toetspunt	Omschrijving	Hoogte	Dag	Avond	Nacht	Lden
04_49_D	Cluster 4		10,50	24,7	21,2	14,7	25,0
04_50_A	Cluster 4		1,50	21,0	17,4	11,0	21,2
04_50_B	Cluster 4		4,50	22,0	18,5	12,0	22,3
04_50_C	Cluster 4		7,50	23,0	19,4	13,0	23,3
04_50_D	Cluster 4		10,50	23,5	19,9	13,5	23,8
04_51_A	Cluster 4		1,50	21,0	17,4	11,0	21,2
04_51_B	Cluster 4		4,50	22,0	18,4	12,0	22,3
04_51_C	Cluster 4		7,50	22,8	19,2	12,8	23,0
04_51_D	Cluster 4		10,50	23,0	19,4	13,0	23,2
04_52_A	Cluster 4		1,50	20,9	17,4	11,0	21,2
04_52_B	Cluster 4		4,50	22,1	18,5	12,1	22,4
04_52_C	Cluster 4		7,50	23,0	19,5	13,0	23,3
04_52_D	Cluster 4		10,50	23,4	19,8	13,4	23,7
04_53_A	Cluster 4		1,50	20,9	17,3	10,9	21,1
04_53_B	Cluster 4		4,50	22,1	18,5	12,1	22,4
04_53_C	Cluster 4		7,50	23,2	19,6	13,2	23,5
04_53_D	Cluster 4		10,50	23,5	20,0	13,5	23,8
04_54_A	Cluster 4		1,50	21,0	17,4	11,0	21,3
04_54_B	Cluster 4		4,50	22,1	18,5	12,1	22,3
04_54_C	Cluster 4		7,50	22,9	19,3	12,9	23,1
04_54_D	Cluster 4		10,50	22,6	19,0	12,6	22,9
04_55_A	Cluster 4		1,50	20,7	17,1	10,7	20,9
04_55_B	Cluster 4		4,50	21,8	18,2	11,8	22,0
04_55_C	Cluster 4		7,50	22,7	19,2	12,7	23,0
04_55_D	Cluster 4		10,50	22,6	19,0	12,6	22,8
04_56_A	Cluster 4		1,50	20,6	17,0	10,6	20,9
04_56_B	Cluster 4		4,50	21,7	18,2	11,7	22,0
04_56_C	Cluster 4		7,50	22,6	19,0	12,6	22,8
04_56_D	Cluster 4		10,50	22,1	18,6	12,1	22,4
04_57_A	Cluster 4		1,50	18,8	15,3	8,8	19,1
04_57_B	Cluster 4		4,50	20,4	16,8	10,4	20,7
04_57_C	Cluster 4		7,50	21,6	18,0	11,6	21,9
04_57_D	Cluster 4		10,50	21,8	18,2	11,8	22,1
04_58_A	Cluster 4		1,50	19,1	15,6	9,1	19,4
04_58_B	Cluster 4		4,50	20,9	17,3	10,9	21,2
04_58_C	Cluster 4		7,50	22,0	18,4	12,0	22,3
04_58_D	Cluster 4		10,50	21,4	17,8	11,4	21,6
04_59_A	Cluster 4		1,50	19,9	16,4	9,9	20,2
04_59_B	Cluster 4		4,50	21,2	17,6	11,2	21,5
04_59_C	Cluster 4		7,50	22,7	19,1	12,7	23,0
04_60_A	Cluster 4		1,50	19,4	15,8	9,4	19,6
04_60_B	Cluster 4		4,50	20,7	17,1	10,7	21,0
04_60_C	Cluster 4		7,50	22,9	19,3	12,9	23,2
04_61_A	Cluster 4		1,50	17,8	14,3	7,9	18,1
04_61_B	Cluster 4		4,50	19,1	15,6	9,1	19,4
04_61_C	Cluster 4		7,50	21,7	18,1	11,7	22,0
04_62_A	Cluster 4		1,50	20,7	17,2	10,7	21,0
04_62_B	Cluster 4		4,50	21,8	18,3	11,8	22,1
04_62_C	Cluster 4		7,50	23,2	19,6	13,1	23,4
04_63_A	Cluster 4		1,50	20,5	17,0	10,5	20,8
04_63_B	Cluster 4		4,50	22,0	18,4	12,0	22,3
04_63_C	Cluster 4		7,50	23,3	19,7	13,3	23,6
04_64_A	Cluster 4		1,50	22,1	18,6	12,1	22,4
04_64_B	Cluster 4		4,50	23,3	19,8	13,3	23,6
04_64_C	Cluster 4		7,50	24,2	20,7	14,2	24,5
05_01_A	Cluster 5		1,50	20,6	17,1	10,7	20,9
05_01_B	Cluster 5		4,50	22,0	18,5	12,0	22,3
05_01_C	Cluster 5		7,50	23,0	19,4	13,0	23,3
05_02_A	Cluster 5		1,50	18,5	15,0	8,6	18,8
05_02_B	Cluster 5		4,50	20,4	16,8	10,4	20,7
05_02_C	Cluster 5		7,50	23,0	19,5	13,0	23,3
05_03_A	Cluster 5		1,50	22,2	18,7	12,2	22,5
05_03_B	Cluster 5		4,50	23,8	20,3	13,9	24,1
05_03_C	Cluster 5		7,50	26,1	22,6	16,1	26,4
05_04_A	Cluster 5		1,50	23,3	19,8	13,3	23,6
05_04_B	Cluster 5		4,50	24,8	21,2	14,8	25,0
05_04_C	Cluster 5		7,50	26,7	23,2	16,8	27,0
05_05_A	Cluster 5		1,50	20,7	17,2	10,7	21,0
05_05_B	Cluster 5		4,50	22,0	18,4	12,0	22,2
05_05_C	Cluster 5		7,50	23,0	19,4	13,0	23,3
05_06_A	Cluster 5		1,50	16,6	13,0	6,6	16,9
05_06_B	Cluster 5		4,50	17,5	13,9	7,5	17,8
05_06_C	Cluster 5		7,50	18,6	15,0	8,6	18,9
05_07_A	Cluster 5		1,50	21,4	17,9	11,5	21,7

Alle getoonde dB-waarden zijn A-gewogen

Bijlage III-3 Rekenresultaten Hoge Hondstraat

Rapport: Resultatentabel
 Model: Wegverkeermodel
 LAeq totaalresultaten voor toetspunten
 Groep: Hoge Hondstraat
 Groepsreductie: Ja

Naam						
Toetspunt	Omschrijving	Hoogte	Dag	Avond	Nacht	Lden
05_07_B	Cluster 5	4,50	22,7	19,1	12,7	22,9
05_07_C	Cluster 5	7,50	24,2	20,7	14,2	24,5
05_08_A	Cluster 5	1,50	23,8	20,3	13,8	24,1
05_08_B	Cluster 5	4,50	24,4	20,8	14,4	24,7
05_08_C	Cluster 5	7,50	25,4	21,8	15,4	25,6
05_09_A	Cluster 5	1,50	21,1	17,5	11,1	21,3
05_09_B	Cluster 5	4,50	22,0	18,4	12,0	22,3
05_09_C	Cluster 5	7,50	22,7	19,1	12,7	23,0
05_10_A	Cluster 5	1,50	18,9	15,3	8,9	19,1
05_10_B	Cluster 5	4,50	19,8	16,2	9,8	20,1
05_10_C	Cluster 5	7,50	21,4	17,9	11,5	21,7
05_11_A	Cluster 5	1,50	22,3	18,7	12,3	22,6
05_11_B	Cluster 5	4,50	23,6	20,1	13,7	23,9
05_11_C	Cluster 5	7,50	26,0	22,4	16,0	26,2
05_12_A	Cluster 5	1,50	23,2	19,7	13,2	23,5
05_12_B	Cluster 5	4,50	24,5	21,0	14,6	24,8
05_12_C	Cluster 5	7,50	25,5	22,0	15,5	25,8
05_13_A	Cluster 5	1,50	19,9	16,3	9,9	20,1
05_13_B	Cluster 5	4,50	21,3	17,7	11,3	21,6
05_13_C	Cluster 5	7,50	23,0	19,4	13,0	23,3
05_14_A	Cluster 5	1,50	23,1	19,6	13,1	23,4
05_14_B	Cluster 5	4,50	24,2	20,6	14,2	24,5
05_14_C	Cluster 5	7,50	25,7	22,2	15,7	26,0
05_15_A	Cluster 5	1,50	23,5	20,0	13,5	23,8
05_15_B	Cluster 5	4,50	24,5	20,9	14,5	24,7
05_15_C	Cluster 5	7,50	25,8	22,3	15,8	26,1
05_16_A	Cluster 5	1,50	24,1	20,6	14,2	24,4
05_16_B	Cluster 5	4,50	25,3	21,8	15,3	25,6
05_16_C	Cluster 5	7,50	26,7	23,2	16,7	27,0
05_17_A	Cluster 5	1,50	21,1	17,6	11,2	21,4
05_17_B	Cluster 5	4,50	22,6	19,0	12,6	22,9
05_17_C	Cluster 5	7,50	23,5	19,9	13,5	23,7
05_18_A	Cluster 5	1,50	21,7	18,1	11,7	22,0
05_18_B	Cluster 5	4,50	22,3	18,7	12,3	22,6
05_18_C	Cluster 5	7,50	23,1	19,6	13,1	23,4
05_19_A	Cluster 5	1,50	24,3	20,7	14,3	24,6
05_19_B	Cluster 5	4,50	25,0	21,4	15,0	25,3
05_19_C	Cluster 5	7,50	25,9	22,3	15,9	26,2
05_20_A	Cluster 5	1,50	20,6	17,1	10,6	20,9
05_20_B	Cluster 5	4,50	22,5	18,9	12,5	22,8
05_20_C	Cluster 5	7,50	23,9	20,3	13,9	24,2
05_21_A	Cluster 5	1,50	23,2	19,6	13,2	23,5
05_21_B	Cluster 5	4,50	23,3	19,7	13,3	23,5
05_21_C	Cluster 5	7,50	23,8	20,2	13,8	24,0
05_22_A	Cluster 5	1,50	25,4	21,8	15,4	25,7
05_22_B	Cluster 5	4,50	26,4	22,9	16,4	26,7
05_22_C	Cluster 5	7,50	27,6	24,0	17,6	27,8
05_23_A	Cluster 5	1,50	22,1	18,5	12,1	22,4
05_23_B	Cluster 5	4,50	23,6	20,1	13,7	23,9
05_23_C	Cluster 5	7,50	25,8	22,2	15,8	26,1
05_24_A	Cluster 5	1,50	28,9	25,5	18,9	29,2
05_24_B	Cluster 5	4,50	29,1	25,7	19,2	29,5
05_24_C	Cluster 5	7,50	29,9	26,4	19,9	30,2
05_25_A	Cluster 5	1,50	31,8	28,4	21,9	32,1
05_25_B	Cluster 5	4,50	31,7	28,3	21,8	32,0
05_25_C	Cluster 5	7,50	32,3	28,9	22,3	32,6
05_26_A	Cluster 5	1,50	31,8	28,5	21,9	32,2
05_26_B	Cluster 5	4,50	31,8	28,4	21,9	32,2
05_26_C	Cluster 5	7,50	32,6	29,2	22,7	33,0
05_27_A	Cluster 5	1,50	33,1	29,8	23,2	33,5
05_27_B	Cluster 5	4,50	32,8	29,4	22,8	33,1
05_27_C	Cluster 5	7,50	33,4	30,0	23,5	33,7
05_28_A	Cluster 5	1,50	33,5	30,1	23,5	33,8
05_28_B	Cluster 5	4,50	33,1	29,7	23,1	33,4
05_28_C	Cluster 5	7,50	33,7	30,3	23,8	34,1
05_29_A	Cluster 5	1,50	33,8	30,4	23,9	34,1
05_29_B	Cluster 5	4,50	33,5	30,1	23,5	33,8
05_29_C	Cluster 5	7,50	34,1	30,7	24,2	34,4
05_30_A	Cluster 5	1,50	21,8	18,3	11,8	22,1
05_30_B	Cluster 5	4,50	22,9	19,4	12,9	23,2
05_30_C	Cluster 5	7,50	23,5	19,9	13,5	23,8
05_31_A	Cluster 5	1,50	21,6	18,1	11,6	21,9
05_31_B	Cluster 5	4,50	22,0	18,4	12,0	22,2
05_31_C	Cluster 5	7,50	24,2	20,7	14,2	24,5

Alle getoonde dB-waarden zijn A-gewogen

Bijlage III-3 Rekenresultaten Hoge Hondstraat

Rapport: Resultatentabel
 Model: Wegverkeermodel
 LAgg totaalresultaten voor toetspunten
 Groep: Hoge Hondstraat
 Groepsreductie: Ja

Naam						
Toetspunt	Omschrijving	Hoogte	Dag	Avond	Nacht	Lden
05_32_A	Cluster 5	1,50	22,1	18,6	12,1	22,4
05_32_B	Cluster 5	4,50	22,0	18,5	12,0	22,3
05_32_C	Cluster 5	7,50	23,3	19,7	13,3	23,5
05_33_A	Cluster 5	1,50	22,0	18,4	12,0	22,2
05_33_B	Cluster 5	4,50	21,7	18,1	11,7	22,0
05_33_C	Cluster 5	7,50	22,7	19,2	12,7	23,0
05_34_A	Cluster 5	1,50	21,6	18,0	11,6	21,8
05_34_B	Cluster 5	4,50	21,3	17,7	11,3	21,5
05_34_C	Cluster 5	7,50	22,0	18,4	12,0	22,3
05_35_A	Cluster 5	1,50	21,3	17,7	11,3	21,6
05_35_B	Cluster 5	4,50	20,9	17,4	10,9	21,2
05_35_C	Cluster 5	7,50	21,6	18,0	11,6	21,9
05_36_A	Cluster 5	1,50	20,8	17,3	10,9	21,1
05_36_B	Cluster 5	4,50	21,2	17,6	11,2	21,5
05_36_C	Cluster 5	7,50	22,1	18,6	12,1	22,4
S_01_A	SMCD	2,00	24,5	20,9	14,5	24,8
S_01_B	SMCD	5,00	25,6	22,0	15,6	25,9
S_02_A	SMCD	2,00	23,4	19,9	13,4	23,7
S_02_B	SMCD	5,00	24,9	21,4	14,9	25,2
S_03_A	SMCD	2,00	23,6	20,0	13,6	23,8
S_03_B	SMCD	5,00	25,3	21,8	15,3	25,6
S_04_A	SMCD	2,00	22,5	19,0	12,5	22,8
S_04_B	SMCD	5,00	24,1	20,6	14,1	24,4
S_05_A	SMCD	2,00	24,7	21,3	14,8	25,0
S_05_B	SMCD	5,00	25,2	21,7	15,2	25,5
S_06_A	SMCD	2,00	21,2	17,7	11,2	21,5
S_06_B	SMCD	5,00	22,3	18,7	12,3	22,6
S_07_A	SMCD	2,00	21,2	17,7	11,2	21,5
S_07_B	SMCD	5,00	22,4	18,8	12,4	22,7
S_08_A	SMCD	1,50	21,7	18,1	11,7	21,9
S_08_B	SMCD	5,00	23,5	19,9	13,5	23,8
S_08_C	SMCD	8,50	25,5	22,0	15,5	25,8
S_08_D	SMCD	12,00	27,6	24,2	17,7	28,0
S_09_A	SMCD	1,50	21,7	18,1	11,7	22,0
S_09_B	SMCD	5,00	22,8	19,2	12,8	23,1
S_09_C	SMCD	8,50	24,0	20,4	14,0	24,3
S_09_D	SMCD	12,00	26,8	23,4	16,9	27,1
S_10_A	SMCD	1,50	21,3	17,8	11,3	21,6
S_10_B	SMCD	5,00	22,4	18,8	12,4	22,7
S_10_C	SMCD	8,50	23,2	19,6	13,2	23,5
S_10_D	SMCD	12,00	24,1	20,6	14,1	24,4
S_11_A	SMCD	1,50	20,8	17,3	10,8	21,1
S_11_B	SMCD	5,00	21,9	18,3	11,9	22,1
S_11_C	SMCD	8,50	22,6	19,0	12,6	22,9
S_11_D	SMCD	12,00	22,5	19,0	12,5	22,8
S_12_A	SMCD	1,50	20,7	17,2	10,7	21,0
S_12_B	SMCD	5,00	21,9	18,4	11,9	22,2
S_12_C	SMCD	8,50	23,0	19,5	13,0	23,3
S_12_D	SMCD	12,00	25,4	22,0	15,5	25,8
S_13_A	SMCD	1,50	20,6	17,1	10,6	20,9
S_13_B	SMCD	5,00	21,7	18,2	11,7	22,0
S_13_C	SMCD	8,50	22,9	19,4	12,9	23,2
S_13_D	SMCD	12,00	25,2	21,8	15,2	25,5
S_14_A	SMCD	1,50	20,7	17,1	10,7	21,0
S_15_A	SMCD	1,50	18,0	14,5	8,0	18,3
S_16_A	SMCD	1,50	16,7	13,1	6,7	16,9
S_17_A	SMCD	5,00	19,6	16,1	9,6	19,9
S_17_B	SMCD	8,50	19,8	16,3	9,9	20,1
S_17_C	SMCD	12,00	17,0	13,7	7,1	17,4
S_18_A	SMCD	1,50	18,6	15,1	8,6	18,9
S_18_B	SMCD	5,00	19,3	15,7	9,3	19,5
S_18_C	SMCD	8,50	18,5	15,0	8,5	18,8
S_18_D	SMCD	12,00	14,5	11,1	4,6	14,8
S_19_A	SMCD	1,50	18,2	14,6	8,2	18,5
S_19_B	SMCD	5,00	18,6	15,1	8,6	18,9
S_19_C	SMCD	8,50	18,2	14,7	8,2	18,5
S_20_A	SMCD	1,50	17,8	14,2	7,8	18,0
S_20_B	SMCD	5,00	18,5	14,9	8,5	18,7
S_20_C	SMCD	8,50	18,7	15,1	8,7	19,0
S_21_A	SMCD	1,50	17,4	13,8	7,4	17,6
S_21_B	SMCD	5,00	18,2	14,6	8,2	18,5
S_21_C	SMCD	8,50	19,1	15,5	9,1	19,3
S_22_A	SMCD	1,50	17,1	13,5	7,1	17,4
S_22_B	SMCD	5,00	19,1	15,5	9,1	19,4

Alle getoonde dB-waarden zijn A-gewogen

Bijlage III-3 Rekenresultaten Hoge Hondstraat

Rapport: Resultatentabel
 Model: Wegverkeermodel
 LAeq totaalresultaten voor toetspunten
 Groep: Hoge Hondstraat
 Groepsreductie: Ja

Naam						
Toetspunt	Omschrijving	Hoogte	Dag	Avond	Nacht	Lden
S_22_C	SMCD	8,50	21,1	17,5	11,1	21,4
S_23_A	SMCD	1,50	17,5	13,9	7,5	17,7
S_23_B	SMCD	5,00	19,7	16,1	9,7	20,0
S_23_C	SMCD	8,50	20,8	17,2	10,8	21,0
S_24_A	SMCD	1,50	17,0	13,5	7,0	17,3
S_24_B	SMCD	5,00	19,0	15,4	9,0	19,3
S_24_C	SMCD	8,50	20,2	16,6	10,2	20,4
S_24_D	SMCD	12,00	19,4	15,8	9,4	19,7
S_25_A	SMCD	1,50	15,4	11,9	5,4	15,7
S_25_B	SMCD	5,00	17,0	13,4	7,0	17,2
S_25_C	SMCD	8,50	17,1	13,5	7,1	17,4
S_25_D	SMCD	12,00	6,1	2,6	-3,9	6,4
S_26_A	SMCD	1,50	15,1	11,6	5,1	15,4
S_26_B	SMCD	5,00	16,8	13,3	6,8	17,1
S_26_C	SMCD	8,50	18,5	15,0	8,5	18,8
S_26_D	SMCD	12,00	11,6	8,3	1,7	12,0
S_27_A	SMCD	1,50	15,8	12,3	5,9	16,1
S_27_B	SMCD	5,00	17,2	13,6	7,2	17,5
S_27_C	SMCD	8,50	19,5	16,1	9,6	19,9
S_27_D	SMCD	12,00	17,6	14,3	7,7	18,0
S_28_A	SMCD	1,50	16,4	12,9	6,4	16,7
S_28_B	SMCD	5,00	17,8	14,3	7,8	18,1
S_28_C	SMCD	8,50	19,8	16,4	9,8	20,1
S_28_D	SMCD	12,00	17,6	14,3	7,7	18,0
S_29_A	SMCD	1,50	16,2	12,6	6,2	16,4
S_29_B	SMCD	5,00	17,5	13,9	7,5	17,8
S_29_C	SMCD	8,50	18,1	14,6	8,1	18,4
S_29_D	SMCD	12,00	18,1	14,8	8,2	18,5
S_30_A	SMCD	1,50	16,5	12,9	6,5	16,8
S_30_B	SMCD	5,00	17,8	14,2	7,8	18,1
S_30_C	SMCD	8,50	19,3	15,8	9,3	19,6
S_30_D	SMCD	12,00	17,4	14,0	7,5	17,7
S_31_A	SMCD	1,50	16,8	13,2	6,8	17,1
S_31_B	SMCD	5,00	18,1	14,6	8,1	18,4
S_31_C	SMCD	8,50	19,3	15,9	9,4	19,7
S_31_D	SMCD	12,00	15,0	11,7	5,1	15,4
S_32_A	SMCD	1,50	16,2	12,7	6,2	16,5
S_32_B	SMCD	5,00	18,0	14,4	8,0	18,3
S_32_C	SMCD	8,50	20,5	17,1	10,6	20,9
S_32_D	SMCD	12,00	19,5	16,1	9,5	19,8
S_33_A	SMCD	1,50	19,3	15,9	9,4	19,7
S_33_B	SMCD	5,00	20,8	17,3	10,8	21,1
S_33_C	SMCD	8,50	21,6	18,1	11,6	21,9
S_33_D	SMCD	12,00	22,2	18,7	12,2	22,5
S_34_A	SMCD	1,50	16,5	13,0	6,5	16,8
S_34_B	SMCD	5,00	18,6	15,1	8,6	18,9
S_34_C	SMCD	8,50	19,9	16,4	9,9	20,2
S_34_D	SMCD	12,00	21,2	17,7	11,2	21,5
S_35_A	SMCD	1,50	16,8	13,2	6,8	17,0
S_35_B	SMCD	5,00	19,0	15,4	9,0	19,3
S_35_C	SMCD	8,50	20,7	17,1	10,7	21,0
S_35_D	SMCD	12,00	21,9	18,4	11,9	22,2
S_36_A	SMCD	1,50	16,0	12,4	6,0	16,2
S_36_B	SMCD	5,00	18,3	14,7	8,3	18,6
S_36_C	SMCD	8,50	20,0	16,4	10,0	20,2
S_36_D	SMCD	12,00	21,4	17,8	11,4	21,7
S_37_A	SMCD	1,50	16,1	12,5	6,1	16,3
S_37_B	SMCD	5,00	18,2	14,6	8,2	18,5
S_37_C	SMCD	8,50	20,1	16,5	10,1	20,4
S_37_D	SMCD	12,00	21,3	17,8	11,3	21,6
S_38_A	SMCD	1,50	16,0	12,5	6,0	16,3
S_38_B	SMCD	5,00	17,8	14,2	7,8	18,1
S_38_C	SMCD	8,50	20,2	16,6	10,2	20,5
S_38_D	SMCD	12,00	21,3	17,7	11,3	21,6
S_39_A	SMCD	1,50	14,3	10,8	4,3	14,6
S_39_B	SMCD	5,00	15,6	12,1	5,6	15,9
S_39_C	SMCD	8,50	17,4	13,8	7,4	17,6
S_40_A	SMCD	1,50	14,6	11,1	4,6	14,9
S_40_B	SMCD	5,00	16,3	12,7	6,3	16,6
S_40_C	SMCD	8,50	18,3	14,7	8,3	18,6
S_41_A	SMCD	1,50	14,4	10,9	4,4	14,7
S_41_B	SMCD	5,00	15,8	12,3	5,8	16,1
S_41_C	SMCD	8,50	18,1	14,5	8,1	18,4
S_42_A	SMCD	1,50	14,1	10,7	4,2	14,4

Alle getoonde dB-waarden zijn A-gewogen

Bijlage III-3 Rekenresultaten Hoge Hondstraat

Rapport: Resultatentabel
 Model: Wegverkeermodel
 LAgg totaalresultaten voor toetspunten
 Groep: Hoge Hondstraat
 Groepsreductie: Ja

Naam						
Toetspunt	Omschrijving	Hoogte	Dag	Avond	Nacht	Lden
S_42_B	SMCD	5,00	15,3	11,8	5,4	15,6
S_42_C	SMCD	8,50	16,7	13,1	6,7	16,9
S_43_A	SMCD	1,50	14,6	11,1	4,6	14,9
S_43_B	SMCD	5,00	16,4	12,8	6,4	16,7
S_43_C	SMCD	8,50	17,9	14,3	7,9	18,2
S_43_D	SMCD	12,00	17,3	13,8	7,3	17,6
S_44_A	SMCD	1,50	15,3	11,8	5,3	15,6
S_44_B	SMCD	5,00	17,4	13,8	7,4	17,7
S_44_C	SMCD	8,50	18,1	14,5	8,0	18,3
S_44_D	SMCD	12,00	16,5	13,0	6,5	16,8
S_45_A	SMCD	1,50	15,8	12,2	5,8	16,0
S_45_B	SMCD	5,00	17,7	14,1	7,7	18,0
S_45_C	SMCD	8,50	18,4	14,8	8,3	18,6
S_45_D	SMCD	12,00	16,9	13,3	6,9	17,2
S_46_A	SMCD	1,50	16,0	12,5	6,0	16,3
S_46_B	SMCD	5,00	17,9	14,3	7,9	18,2
S_46_C	SMCD	8,50	18,5	14,9	8,5	18,8
S_46_D	SMCD	12,00	17,2	13,6	7,2	17,5
S_47_A	SMCD	1,50	16,2	12,6	6,2	16,5
S_47_B	SMCD	5,00	18,4	14,8	8,4	18,6
S_47_C	SMCD	8,50	21,1	17,7	11,2	21,5
S_47_D	SMCD	12,00	18,8	15,4	8,8	19,1
S_48_A	SMCD	1,50	17,6	14,1	7,7	17,9
S_48_B	SMCD	5,00	19,4	15,9	9,4	19,7
S_48_C	SMCD	8,50	20,4	16,8	10,4	20,6
S_48_D	SMCD	12,00	20,1	16,6	10,2	20,4
S_49_A	SMCD	1,50	18,9	15,4	9,0	19,2
S_49_B	SMCD	5,00	21,0	17,5	11,0	21,3
S_49_C	SMCD	8,50	22,3	18,7	12,3	22,6
S_49_D	SMCD	12,00	23,8	20,3	13,9	24,1
S_50_A	SMCD	1,50	18,9	15,4	8,9	19,2
S_50_B	SMCD	5,00	20,7	17,2	10,7	21,0
S_50_C	SMCD	8,50	21,7	18,1	11,7	22,0
S_50_D	SMCD	12,00	22,2	18,7	12,2	22,5
S_51_A	SMCD	1,50	19,2	15,7	9,2	19,5
S_51_B	SMCD	5,00	21,0	17,4	11,0	21,2
S_51_C	SMCD	8,50	22,3	18,7	12,3	22,5
S_51_D	SMCD	12,00	23,8	20,3	13,8	24,1
S_52_A	SMCD	1,50	18,8	15,3	8,9	19,1
S_52_B	SMCD	5,00	20,3	16,8	10,3	20,6
S_52_C	SMCD	8,50	21,9	18,4	11,9	22,2
S_52_D	SMCD	12,00	23,9	20,4	13,9	24,2
S_53_A	SMCD	1,50	18,9	15,4	9,0	19,2
S_53_B	SMCD	5,00	20,2	16,7	10,2	20,5
S_53_C	SMCD	8,50	21,2	17,6	11,2	21,5
S_53_D	SMCD	12,00	22,0	18,4	12,0	22,3
S_54_A	SMCD	1,50	18,3	14,9	8,4	18,6
S_54_B	SMCD	5,00	19,7	16,1	9,7	19,9
S_54_C	SMCD	8,50	20,6	17,1	10,6	20,9
S_54_D	SMCD	12,00	21,5	18,0	11,5	21,8
S_55_A	SMCD	1,50	18,8	15,3	8,8	19,1
S_55_B	SMCD	5,00	20,4	16,8	10,4	20,6
S_55_C	SMCD	8,50	21,5	17,9	11,5	21,8
S_55_D	SMCD	12,00	21,6	18,1	11,6	21,9
S_56_A	SMCD	1,50	19,0	15,5	9,0	19,3
S_56_B	SMCD	5,00	20,6	17,0	10,6	20,8
S_56_C	SMCD	8,50	21,7	18,1	11,7	22,0
S_56_D	SMCD	12,00	21,9	18,4	11,9	22,2
S_57_A	SMCD	1,50	18,9	15,4	9,0	19,2
S_57_B	SMCD	5,00	20,3	16,7	10,3	20,6
S_57_C	SMCD	8,50	21,0	17,4	11,0	21,3
S_57_D	SMCD	12,00	20,9	17,3	10,9	21,1
S_58_A	SMCD	1,50	18,7	15,2	8,7	19,0
S_58_B	SMCD	5,00	20,6	17,0	10,6	20,9
S_58_C	SMCD	8,50	21,4	17,8	11,4	21,7
S_58_D	SMCD	12,00	21,4	17,9	11,4	21,7
S_59_A	SMCD	1,50	19,3	15,8	9,3	19,6
S_59_B	SMCD	5,00	20,6	17,1	10,6	20,9
S_59_C	SMCD	8,50	21,5	18,0	11,5	21,8
S_59_D	SMCD	12,00	23,1	19,5	13,1	23,4
S_60_A	SMCD	1,50	18,8	15,3	8,8	19,1
S_60_B	SMCD	5,00	20,2	16,6	10,2	20,4
S_60_C	SMCD	8,50	20,9	17,4	10,9	21,2
S_60_D	SMCD	12,00	21,6	18,0	11,6	21,9

Alle getoonde dB-waarden zijn A-gewogen

Bijlage III-3 Rekenresultaten Hoge Hondstraat

Rapport: Resultatentabel
 Model: Wegverkeermodel
 LAeq totaalresultaten voor toetspunten
 Groep: Hoge Hondstraat
 Groepsreductie: Ja

Naam						
Toetspunt	Omschrijving	Hoogte	Dag	Avond	Nacht	Lden
S_61_A	SMCD	1,50	18,5	15,0	8,5	18,8
S_61_B	SMCD	5,00	19,5	15,9	9,5	19,8
S_61_C	SMCD	8,50	20,8	17,2	10,8	21,1
S_61_D	SMCD	12,00	21,3	17,7	11,3	21,6
S_62_A	SMCD	1,50	19,0	15,4	9,0	19,3
S_62_B	SMCD	5,00	20,2	16,6	10,2	20,4
S_62_C	SMCD	8,50	21,4	17,8	11,4	21,6
S_63_A	SMCD	1,50	19,1	15,5	9,1	19,3
S_63_B	SMCD	5,00	20,6	17,0	10,6	20,8
S_63_C	SMCD	8,50	21,3	17,7	11,3	21,6
S_64_A	SMCD	1,50	18,9	15,3	8,9	19,1
S_64_B	SMCD	5,00	21,0	17,4	11,0	21,3
S_64_C	SMCD	8,50	20,9	17,3	10,9	21,2
S_65_A	SMCD	1,50	20,4	16,9	10,4	20,7
S_65_B	SMCD	5,00	21,8	18,2	11,8	22,0
S_65_C	SMCD	8,50	22,7	19,1	12,7	22,9
S_66_A	SMCD	1,50	21,4	17,9	11,5	21,7
S_66_B	SMCD	5,00	22,9	19,4	12,9	23,2
S_66_C	SMCD	8,50	23,8	20,3	13,8	24,1
S_67_A	SMCD	1,50	21,6	18,0	11,6	21,9
S_67_B	SMCD	5,00	23,4	19,9	13,5	23,7
S_67_C	SMCD	8,50	25,3	21,8	15,3	25,6
S_68_A	SMCD	1,50	21,5	18,0	11,5	21,8
S_68_B	SMCD	5,00	23,2	19,6	13,2	23,5
S_68_C	SMCD	8,50	24,1	20,6	14,1	24,4
S_69_A	SMCD	1,50	19,3	15,8	9,3	19,6
S_69_B	SMCD	5,00	20,7	17,2	10,7	21,0
S_69_C	SMCD	8,50	22,3	18,8	12,3	22,6
S_70_A	SMCD	1,50	21,5	18,0	11,6	21,8
S_70_B	SMCD	5,00	23,4	19,9	13,4	23,7
S_70_C	SMCD	8,50	24,9	21,4	14,9	25,2
S_70_D	SMCD	12,00	27,0	23,6	17,1	27,3
S_71_A	SMCD	1,50	26,5	23,1	16,6	26,8
S_71_B	SMCD	5,00	27,2	23,7	17,2	27,5
S_71_C	SMCD	8,50	27,8	24,3	17,8	28,1
S_71_D	SMCD	12,00	28,9	25,5	19,0	29,2
S_72_A	SMCD	1,50	24,7	21,3	14,8	25,1
S_72_B	SMCD	5,00	25,6	22,1	15,6	25,9
S_72_C	SMCD	8,50	26,8	23,3	16,8	27,1
S_72_D	SMCD	12,00	30,1	26,8	20,2	30,5
S_73_A	SMCD	1,50	22,1	18,5	12,1	22,4
S_73_B	SMCD	5,00	24,0	20,5	14,0	24,3
S_73_C	SMCD	8,50	26,2	22,7	16,2	26,5
S_73_D	SMCD	12,00	31,4	28,0	21,5	31,7
S_74_A	SMCD	1,50	21,2	17,7	11,3	21,5
S_74_B	SMCD	5,00	22,8	19,3	12,8	23,1
S_74_C	SMCD	8,50	24,8	21,3	14,9	25,1
S_74_D	SMCD	12,00	29,1	25,7	19,1	29,4
S_75_A	SMCD	1,50	22,1	18,5	12,1	22,4
S_75_B	SMCD	5,00	24,4	20,8	14,4	24,6
S_75_C	SMCD	8,50	27,3	23,8	17,3	27,6
S_75_D	SMCD	12,00	29,5	26,1	19,6	29,8
S_76_A	SMCD	1,50	17,0	13,5	7,0	17,3
S_76_B	SMCD	5,00	18,3	14,7	8,3	18,6
S_76_C	SMCD	8,50	20,4	16,8	10,4	20,6
S_76_D	SMCD	12,00	20,5	16,9	10,5	20,7
S_77_A	SMCD	1,50	17,6	14,1	7,6	17,9
S_77_B	SMCD	5,00	19,5	15,9	9,5	19,7
S_77_C	SMCD	8,50	21,1	17,5	11,1	21,4
S_77_D	SMCD	12,00	20,2	16,6	10,2	20,5
S_78_A	SMCD	1,50	17,5	13,9	7,5	17,8
S_78_B	SMCD	5,00	19,2	15,6	9,2	19,5
S_78_C	SMCD	8,50	20,6	17,0	10,6	20,9
S_78_D	SMCD	12,00	20,5	16,9	10,5	20,7
S_79_A	SMCD	1,50	18,4	14,9	8,4	18,7
S_79_B	SMCD	5,00	19,9	16,3	9,9	20,2
S_79_C	SMCD	8,50	21,3	17,7	11,3	21,6
S_79_D	SMCD	12,00	23,4	19,8	13,4	23,7
S_80_A	SMCD	1,50	18,6	15,0	8,6	18,9
S_80_B	SMCD	5,00	20,3	16,7	10,3	20,5
S_80_C	SMCD	8,50	22,0	18,4	12,0	22,3
S_81_A	SMCD	1,50	18,9	15,3	8,9	19,2
S_81_B	SMCD	5,00	20,7	17,2	10,7	21,0
S_81_C	SMCD	8,50	22,3	18,7	12,3	22,5

Alle getoonde dB-waarden zijn A-gewogen

Bijlage III-3 Rekenresultaten Hoge Hondstraat

Rapport: Resultatentabel
 Model: Wegverkeermodel
 LAeq totaalresultaten voor toetspunten
 Groep: Hoge Hondstraat
 Groepsreductie: Ja

Naam						
Toetspunt	Omschrijving	Hoogte	Dag	Avond	Nacht	Lden
S_82_A	SMCD	1,50	18,9	15,3	8,9	19,2
S_82_B	SMCD	5,00	20,6	17,1	10,6	20,9
S_82_C	SMCD	8,50	22,5	18,9	12,5	22,7
S_83_A	SMCD	1,50	18,9	15,4	9,0	19,2
S_83_B	SMCD	5,00	20,6	17,0	10,6	20,9
S_83_C	SMCD	8,50	22,4	18,8	12,4	22,7
S_84_A	SMCD	1,50	18,7	15,1	8,7	19,0
S_84_B	SMCD	5,00	20,0	16,4	10,0	20,2
S_84_C	SMCD	8,50	21,9	18,4	11,9	22,2
S_85_A	SMCD	1,50	18,6	15,1	8,6	18,9
S_85_B	SMCD	5,00	19,9	16,4	9,9	20,2
S_85_C	SMCD	8,50	21,8	18,2	11,8	22,1
S_85_D	SMCD	12,00	23,1	19,6	13,1	23,4
S_86_A	SMCD	1,50	18,4	14,9	8,4	18,7
S_86_B	SMCD	5,00	20,2	16,6	10,2	20,5
S_86_C	SMCD	8,50	22,0	18,4	12,0	22,3
S_86_D	SMCD	12,00	22,1	18,6	12,1	22,4
S_87_A	SMCD	1,50	18,7	15,2	8,7	19,0
S_87_B	SMCD	5,00	20,7	17,1	10,7	20,9
S_87_C	SMCD	8,50	22,3	18,7	12,3	22,6
S_87_D	SMCD	12,00	21,3	17,8	11,3	21,6
S_88_A	SMCD	1,50	19,0	15,4	9,0	19,3
S_88_B	SMCD	5,00	20,5	16,9	10,5	20,7
S_88_C	SMCD	8,50	22,4	18,8	12,4	22,7
S_88_D	SMCD	12,00	22,3	18,8	12,4	22,6
S_89_A	SMCD	1,50	18,7	15,2	8,8	19,0
S_89_B	SMCD	5,00	19,8	16,2	9,8	20,0
S_89_C	SMCD	8,50	21,9	18,4	11,9	22,2
S_89_D	SMCD	12,00	22,5	19,0	12,5	22,8
S_90_A	SMCD	1,50	17,3	13,7	7,3	17,6
S_90_B	SMCD	5,00	18,4	14,8	8,4	18,7
S_90_C	SMCD	8,50	19,5	15,9	9,5	19,7
S_90_D	SMCD	12,00	16,1	12,5	6,1	16,4
S_91_A	SMCD	1,50	17,5	14,0	7,5	17,8
S_91_B	SMCD	5,00	19,0	15,4	9,0	19,3
S_91_C	SMCD	8,50	19,9	16,3	9,9	20,2
S_91_D	SMCD	12,00	16,2	12,6	6,2	16,5
S_92_A	SMCD	1,50	17,3	13,7	7,3	17,6
S_92_B	SMCD	5,00	18,4	14,8	8,4	18,7
S_92_C	SMCD	8,50	19,3	15,7	9,3	19,6
S_92_D	SMCD	12,00	16,5	13,0	6,5	16,8
S_93_A	SMCD	1,50	17,3	13,7	7,3	17,5
S_93_B	SMCD	5,00	18,5	14,9	8,4	18,7
S_93_C	SMCD	8,50	19,2	15,6	9,2	19,5
S_93_D	SMCD	12,00	14,8	11,3	4,8	15,1
S_94_A	SMCD	1,50	17,2	13,6	7,2	17,4
S_94_B	SMCD	5,00	18,4	14,8	8,4	18,7
S_94_C	SMCD	8,50	19,1	15,5	9,0	19,3
S_94_D	SMCD	12,00	14,5	11,0	4,5	14,8
S_95_A	SMCD	1,50	16,6	13,1	6,6	16,9
S_95_B	SMCD	5,00	17,7	14,1	7,7	18,0
S_95_C	SMCD	8,50	18,8	15,2	8,8	19,0
S_95_D	SMCD	12,00	12,5	9,0	2,5	12,8

Alle getoonde dB-waarden zijn A-gewogen

Bijlage III-4 Rekenresultaten N337 (Van Oldenielstraat)

Rapport: Resultatentabel
 Model: Wegverkeermodel
 LAeq totaalresultaten voor toetspunten
 Groep: N337
 Groepsreductie: Ja

Naam	Toetspunt	Omschrijving	Hoogte	Dag	Avond	Nacht	Lden
	01_01_A	Cluster 1	1,50	31,0	27,4	21,5	31,4
	01_01_B	Cluster 1	4,50	32,7	29,0	23,2	33,1
	01_01_C	Cluster 1	7,50	33,5	29,8	24,0	33,9
	01_02_A	Cluster 1	1,50	30,8	27,1	21,3	31,2
	01_02_B	Cluster 1	4,50	32,3	28,7	22,8	32,7
	01_02_C	Cluster 1	7,50	33,2	29,6	23,8	33,7
	01_03_A	Cluster 1	1,50	30,9	27,3	21,4	31,3
	01_03_B	Cluster 1	4,50	32,3	28,7	22,8	32,7
	01_03_C	Cluster 1	7,50	33,3	29,7	23,8	33,8
	01_04_A	Cluster 1	1,50	31,5	27,8	22,0	31,9
	01_04_B	Cluster 1	4,50	33,1	29,4	23,6	33,5
	01_04_C	Cluster 1	7,50	34,3	30,6	24,8	34,7
	01_05_A	Cluster 1	1,50	31,3	27,7	21,8	31,7
	01_05_B	Cluster 1	4,50	33,0	29,4	23,5	33,5
	01_05_C	Cluster 1	7,50	34,9	31,3	25,4	35,3
	01_06_A	Cluster 1	1,50	29,2	25,6	19,7	29,7
	01_06_B	Cluster 1	4,50	30,1	26,4	20,6	30,5
	01_06_C	Cluster 1	7,50	32,3	28,7	22,8	32,7
	01_07_A	Cluster 1	1,50	28,1	24,4	18,6	28,5
	01_07_B	Cluster 1	4,50	29,3	25,6	19,7	29,7
	01_07_C	Cluster 1	7,50	31,8	28,2	22,3	32,2
	01_08_A	Cluster 1	1,50	31,7	28,0	22,2	32,1
	01_08_B	Cluster 1	4,50	33,2	29,6	23,7	33,6
	01_08_C	Cluster 1	7,50	35,3	31,7	25,9	35,8
	01_09_A	Cluster 1	1,50	31,5	27,8	22,0	31,9
	01_09_B	Cluster 1	4,50	33,0	29,4	23,5	33,5
	01_09_C	Cluster 1	7,50	34,6	31,0	25,1	35,0
	01_10_A	Cluster 1	1,50	34,8	31,3	25,4	35,3
	01_10_B	Cluster 1	4,50	35,5	31,9	26,1	36,0
	01_10_C	Cluster 1	7,50	36,3	32,8	26,9	36,8
	01_100_A	Cluster 1	1,50	27,1	23,5	17,6	27,6
	01_100_B	Cluster 1	4,50	28,3	24,7	18,8	28,7
	01_100_C	Cluster 1	7,50	31,9	28,3	22,4	32,4
	01_101_A	Cluster 1	1,50	27,5	23,9	18,0	27,9
	01_101_B	Cluster 1	4,50	27,2	23,6	17,7	27,6
	01_101_C	Cluster 1	7,50	32,0	28,4	22,5	32,4
	01_11_A	Cluster 1	1,50	35,1	31,6	25,7	35,6
	01_11_B	Cluster 1	4,50	35,9	32,4	26,5	36,4
	01_11_C	Cluster 1	7,50	37,4	33,9	28,0	37,9
	01_12_A	Cluster 1	1,50	35,9	32,4	26,6	36,4
	01_12_B	Cluster 1	4,50	36,5	33,0	27,1	37,0
	01_13_A	Cluster 1	1,50	35,0	31,5	25,7	35,5
	01_13_B	Cluster 1	4,50	35,7	32,2	26,3	36,2
	01_14_A	Cluster 1	1,50	35,5	32,0	26,2	36,0
	01_14_B	Cluster 1	4,50	35,6	32,1	26,2	36,1
	01_15_A	Cluster 1	1,50	36,8	33,3	27,5	37,3
	01_15_B	Cluster 1	4,50	36,7	33,2	27,4	37,2
	01_16_A	Cluster 1	1,50	33,2	29,7	23,9	33,7
	01_16_B	Cluster 1	4,50	33,7	30,1	24,3	34,2
	01_16_C	Cluster 1	7,50	34,5	31,0	25,1	35,0
	01_17_A	Cluster 1	1,50	28,3	24,7	18,8	28,7
	01_17_B	Cluster 1	4,50	30,1	26,5	20,6	30,5
	01_17_C	Cluster 1	7,50	32,0	28,4	22,5	32,5
	01_18_A	Cluster 1	1,50	32,9	29,4	23,6	33,4
	01_18_B	Cluster 1	4,50	33,4	29,9	24,0	33,9
	01_18_C	Cluster 1	7,50	34,2	30,6	24,8	34,6
	01_19_A	Cluster 1	1,50	32,8	29,3	23,4	33,3
	01_19_B	Cluster 1	4,50	33,1	29,6	23,8	33,6
	01_19_C	Cluster 1	7,50	33,8	30,3	24,4	34,3
	01_20_A	Cluster 1	1,50	33,3	29,9	24,0	33,9
	01_20_B	Cluster 1	4,50	33,8	30,3	24,4	34,3
	01_20_C	Cluster 1	7,50	34,4	30,9	25,0	34,9
	01_21_A	Cluster 1	1,50	32,7	29,2	23,3	33,2
	01_21_B	Cluster 1	4,50	33,3	29,8	23,9	33,8
	01_21_C	Cluster 1	7,50	33,8	30,3	24,4	34,3
	01_22_A	Cluster 1	1,50	31,7	28,2	22,4	32,2
	01_22_B	Cluster 1	4,50	32,4	28,9	23,0	32,9
	01_22_C	Cluster 1	7,50	33,1	29,5	23,7	33,5
	01_23_A	Cluster 1	1,50	32,9	29,5	23,6	33,5
	01_23_B	Cluster 1	4,50	33,4	29,9	24,0	33,9
	01_23_C	Cluster 1	7,50	33,8	30,3	24,4	34,3
	01_24_A	Cluster 1	1,50	30,0	26,4	20,6	30,4
	01_24_B	Cluster 1	4,50	30,9	27,4	21,5	31,4
	01_24_C	Cluster 1	7,50	31,7	28,1	22,2	32,1

Alle getoonde dB-waarden zijn A-gewogen

Bijlage III-4 Rekenresultaten N337 (Van Oldenielstraat)

Rapport: Resultatentabel
 Model: Wegverkeermodel
 LAeq totaalresultaten voor toetspunten
 Groep: N337
 Groepsreductie: Ja

Naam	Toetspunt	Omschrijving	Hoogte	Dag	Avond	Nacht	Lden
	01_25_A	Cluster 1	1,50	26,3	22,7	16,9	26,8
	01_25_B	Cluster 1	4,50	28,2	24,6	18,7	28,6
	01_26_A	Cluster 1	1,50	25,8	22,1	16,2	26,2
	01_26_B	Cluster 1	4,50	26,5	22,8	16,9	26,9
	01_27_A	Cluster 1	1,50	25,1	21,5	15,6	25,5
	01_27_B	Cluster 1	4,50	26,9	23,2	17,4	27,3
	01_28_A	Cluster 1	1,50	22,6	19,0	13,1	23,1
	01_28_B	Cluster 1	4,50	24,4	20,7	14,8	24,8
	01_29_A	Cluster 1	1,50	22,5	18,8	13,0	22,9
	01_29_B	Cluster 1	4,50	24,0	20,3	14,5	24,4
	01_29_C	Cluster 1	7,50	25,5	21,8	16,0	25,9
	01_30_A	Cluster 1	1,50	23,3	19,6	13,7	23,7
	01_30_B	Cluster 1	4,50	24,4	20,7	14,8	24,8
	01_30_C	Cluster 1	7,50	26,6	23,0	17,1	27,0
	01_31_A	Cluster 1	1,50	24,0	20,3	14,5	24,4
	01_31_B	Cluster 1	4,50	25,3	21,6	15,8	25,7
	01_31_C	Cluster 1	7,50	26,4	22,7	16,8	26,8
	01_32_A	Cluster 1	1,50	24,4	20,7	14,9	24,8
	01_32_B	Cluster 1	4,50	25,8	22,2	16,3	26,3
	01_32_C	Cluster 1	7,50	27,1	23,5	17,6	27,6
	01_33_A	Cluster 1	1,50	24,6	21,0	15,1	25,1
	01_33_B	Cluster 1	4,50	26,0	22,3	16,5	26,4
	01_33_C	Cluster 1	7,50	27,4	23,8	17,9	27,8
	01_34_A	Cluster 1	1,50	24,9	21,3	15,4	25,3
	01_34_B	Cluster 1	4,50	26,6	22,9	17,0	27,0
	01_34_C	Cluster 1	7,50	28,2	24,6	18,7	28,6
	01_35_A	Cluster 1	1,50	25,5	21,9	16,0	26,0
	01_35_B	Cluster 1	4,50	27,4	23,7	17,9	27,8
	01_35_C	Cluster 1	7,50	28,7	25,1	19,2	29,2
	01_36_A	Cluster 1	1,50	25,7	22,1	16,2	26,2
	01_36_B	Cluster 1	4,50	27,9	24,3	18,4	28,3
	01_36_C	Cluster 1	7,50	28,9	25,3	19,4	29,3
	01_37_A	Cluster 1	1,50	25,1	21,5	15,6	25,5
	01_37_B	Cluster 1	4,50	27,4	23,8	17,9	27,8
	01_38_A	Cluster 1	1,50	26,1	22,5	16,6	26,5
	01_38_B	Cluster 1	4,50	27,9	24,3	18,4	28,3
	01_39_A	Cluster 1	1,50	26,7	23,0	17,2	27,1
	01_39_B	Cluster 1	4,50	28,5	24,9	19,0	29,0
	01_40_A	Cluster 1	1,50	26,7	23,0	17,2	27,1
	01_40_B	Cluster 1	4,50	28,6	25,0	19,1	29,0
	01_41_A	Cluster 1	1,50	27,1	23,4	17,6	27,5
	01_41_B	Cluster 1	4,50	28,7	25,1	19,2	29,2
	01_41_C	Cluster 1	7,50	30,3	26,7	20,8	30,7
	01_42_A	Cluster 1	1,50	23,3	19,8	13,9	23,8
	01_42_B	Cluster 1	4,50	25,0	21,3	15,5	25,4
	01_42_C	Cluster 1	7,50	31,9	28,2	22,4	32,3
	01_43_A	Cluster 1	1,50	22,6	19,0	13,1	23,0
	01_43_B	Cluster 1	4,50	24,2	20,5	14,7	24,6
	01_43_C	Cluster 1	7,50	29,0	25,3	19,4	29,4
	01_44_A	Cluster 1	1,50	27,3	23,7	17,8	27,7
	01_44_B	Cluster 1	4,50	29,2	25,5	19,6	29,6
	01_44_C	Cluster 1	7,50	30,2	26,5	20,7	30,6
	01_45_A	Cluster 1	1,50	27,2	23,6	17,7	27,6
	01_45_B	Cluster 1	4,50	29,2	25,5	19,6	29,6
	01_45_C	Cluster 1	7,50	30,5	26,9	21,0	30,9
	01_46_A	Cluster 1	1,50	27,4	23,7	17,9	27,8
	01_46_B	Cluster 1	4,50	29,4	25,7	19,8	29,8
	01_46_C	Cluster 1	7,50	30,5	26,9	21,0	30,9
	01_47_A	Cluster 1	1,50	27,3	23,6	17,8	27,7
	01_47_B	Cluster 1	4,50	29,1	25,5	19,6	29,6
	01_47_C	Cluster 1	7,50	30,5	26,9	21,0	30,9
	01_48_A	Cluster 1	1,50	27,3	23,6	17,8	27,7
	01_48_B	Cluster 1	4,50	29,3	25,6	19,8	29,7
	01_48_C	Cluster 1	7,50	30,7	27,1	21,2	31,1
	01_49_A	Cluster 1	1,50	27,3	23,6	17,8	27,7
	01_49_B	Cluster 1	4,50	29,5	25,8	19,9	29,9
	01_49_C	Cluster 1	7,50	31,1	27,5	21,6	31,5
	01_50_A	Cluster 1	1,50	27,5	23,8	18,0	27,9
	01_50_B	Cluster 1	4,50	29,7	26,1	20,2	30,1
	01_50_C	Cluster 1	7,50	31,3	27,7	21,8	31,7
	01_51_A	Cluster 1	1,50	27,7	24,1	18,2	28,1
	01_51_B	Cluster 1	4,50	30,0	26,3	20,5	30,4
	01_51_C	Cluster 1	7,50	31,9	28,3	22,4	32,3
	01_52_A	Cluster 1	1,50	27,6	23,9	18,1	28,0

Alle getoonde dB-waarden zijn A-gewogen

Bijlage III-4 Rekenresultaten N337 (Van Oldenielstraat)

Rapport: Resultatentabel
 Model: Wegverkeermodel
 LAeq totaalresultaten voor toetspunten
 Groep: N337
 Groepsreductie: Ja

Naam	Toetspunt	Omschrijving	Hoogte	Dag	Avond	Nacht	Lden
	01_52_B	Cluster 1	4,50	29,8	26,1	20,3	30,2
	01_52_C	Cluster 1	7,50	31,3	27,7	21,8	31,7
	01_53_A	Cluster 1	1,50	27,9	24,3	18,4	28,4
	01_53_B	Cluster 1	4,50	29,9	26,3	20,4	30,4
	01_53_C	Cluster 1	7,50	31,7	28,1	22,2	32,1
	01_54_A	Cluster 1	1,50	28,5	24,8	19,0	28,9
	01_54_B	Cluster 1	4,50	30,4	26,7	20,9	30,8
	01_54_C	Cluster 1	7,50	30,4	26,7	20,9	30,8
	01_55_A	Cluster 1	1,50	28,3	24,7	18,8	28,7
	01_55_B	Cluster 1	4,50	30,2	26,5	20,7	30,6
	01_55_C	Cluster 1	7,50	31,1	27,5	21,6	31,5
	01_56_A	Cluster 1	1,50	28,4	24,8	18,9	28,8
	01_56_B	Cluster 1	4,50	30,1	26,5	20,6	30,5
	01_56_C	Cluster 1	7,50	30,2	26,5	20,7	30,6
	01_57_A	Cluster 1	1,50	27,8	24,1	18,3	28,2
	01_57_B	Cluster 1	4,50	27,3	23,7	17,8	27,7
	01_57_C	Cluster 1	7,50	29,3	25,7	19,8	29,7
	01_58_A	Cluster 1	1,50	27,2	23,5	17,7	27,6
	01_58_B	Cluster 1	4,50	26,5	22,8	17,0	26,9
	01_58_C	Cluster 1	7,50	28,1	24,5	18,6	28,5
	01_59_A	Cluster 1	1,50	28,1	24,4	18,6	28,5
	01_59_B	Cluster 1	4,50	27,0	23,3	17,5	27,4
	01_59_C	Cluster 1	7,50	28,5	24,9	19,1	29,0
	01_60_A	Cluster 1	1,50	27,9	24,3	18,4	28,3
	01_60_B	Cluster 1	4,50	26,9	23,2	17,4	27,3
	01_60_C	Cluster 1	7,50	27,7	24,1	18,2	28,1
	01_61_A	Cluster 1	1,50	28,0	24,4	18,5	28,4
	01_61_B	Cluster 1	4,50	27,3	23,7	17,8	27,7
	01_61_C	Cluster 1	7,50	28,7	25,1	19,3	29,2
	01_62_A	Cluster 1	1,50	28,2	24,5	18,7	28,6
	01_62_B	Cluster 1	4,50	27,1	23,4	17,6	27,5
	01_62_C	Cluster 1	7,50	29,0	25,4	19,5	29,4
	01_63_A	Cluster 1	1,50	27,2	23,5	17,7	27,6
	01_63_B	Cluster 1	4,50	26,5	22,8	16,9	26,9
	01_63_C	Cluster 1	7,50	27,7	24,0	18,1	28,1
	01_64_A	Cluster 1	1,50	25,9	22,3	16,5	26,4
	01_64_B	Cluster 1	4,50	26,5	22,9	17,0	26,9
	01_64_C	Cluster 1	7,50	30,6	26,9	21,1	31,0
	01_65_A	Cluster 1	1,50	27,4	23,7	17,8	27,8
	01_65_B	Cluster 1	4,50	27,0	23,4	17,5	27,4
	01_65_C	Cluster 1	7,50	29,9	26,3	20,4	30,3
	01_66_A	Cluster 1	1,50	27,0	23,3	17,5	27,4
	01_66_B	Cluster 1	4,50	28,4	24,8	18,9	28,8
	01_67_A	Cluster 1	1,50	26,5	22,8	17,0	26,9
	01_67_B	Cluster 1	4,50	28,9	25,3	19,4	29,3
	01_68_A	Cluster 1	1,50	26,3	22,6	16,8	26,7
	01_68_B	Cluster 1	4,50	29,0	25,3	19,4	29,4
	01_68_C	Cluster 1	7,50	31,6	28,0	22,1	32,0
	01_69_A	Cluster 1	1,50	26,8	23,1	17,3	27,2
	01_69_B	Cluster 1	4,50	28,8	25,1	19,2	29,2
	01_69_C	Cluster 1	7,50	31,4	27,8	22,0	31,9
	01_70_A	Cluster 1	1,50	27,9	24,3	18,4	28,4
	01_70_B	Cluster 1	4,50	29,1	25,4	19,5	29,5
	01_70_C	Cluster 1	7,50	30,3	26,6	20,8	30,7
	01_71_A	Cluster 1	1,50	28,7	25,0	19,1	29,1
	01_71_B	Cluster 1	4,50	29,5	25,9	20,0	29,9
	01_71_C	Cluster 1	7,50	30,0	26,3	20,4	30,4
	01_72_A	Cluster 1	1,50	29,0	25,3	19,5	29,4
	01_72_B	Cluster 1	4,50	30,1	26,4	20,5	30,5
	01_72_C	Cluster 1	7,50	30,5	26,8	21,0	30,9
	01_73_A	Cluster 1	1,50	29,4	25,7	19,9	29,8
	01_73_B	Cluster 1	4,50	30,4	26,8	20,9	30,8
	01_73_C	Cluster 1	7,50	31,1	27,5	21,6	31,6
	01_74_A	Cluster 1	1,50	29,3	25,7	19,8	29,7
	01_74_B	Cluster 1	4,50	30,4	26,8	20,9	30,9
	01_74_C	Cluster 1	7,50	31,1	27,5	21,6	31,5
	01_75_A	Cluster 1	1,50	29,8	26,1	20,3	30,2
	01_75_B	Cluster 1	4,50	30,7	27,1	21,2	31,1
	01_75_C	Cluster 1	7,50	32,6	29,0	23,1	33,0
	01_76_A	Cluster 1	1,50	29,5	25,9	20,0	29,9
	01_76_B	Cluster 1	4,50	30,7	27,0	21,2	31,1
	01_76_C	Cluster 1	7,50	31,4	27,8	21,9	31,8
	01_77_A	Cluster 1	1,50	29,5	25,8	20,0	29,9
	01_77_B	Cluster 1	4,50	30,6	26,9	21,0	31,0

Alle getoonde dB-waarden zijn A-gewogen

Bijlage III-4 Rekenresultaten N337 (Van Oldenielstraat)

Rapport: Resultatentabel
 Model: Wegverkeermodel
 LAeq totaalresultaten voor toetspunten
 Groep: N337
 Groepsreductie: Ja

Naam	Toetspunt	Omschrijving	Hoogte	Dag	Avond	Nacht	Lden
	01_78_A	Cluster 1	1,50	30,0	26,3	20,5	30,4
	01_78_B	Cluster 1	4,50	30,6	26,9	21,1	31,0
	01_79_A	Cluster 1	1,50	29,8	26,1	20,3	30,2
	01_79_B	Cluster 1	4,50	30,9	27,3	21,4	31,4
	01_79_C	Cluster 1	7,50	32,0	28,4	22,5	32,5
	01_80_A	Cluster 1	1,50	30,0	26,4	20,5	30,4
	01_80_B	Cluster 1	4,50	31,3	27,7	21,8	31,8
	01_80_C	Cluster 1	7,50	32,9	29,3	23,5	33,4
	01_81_A	Cluster 1	1,50	30,2	26,6	20,7	30,6
	01_81_B	Cluster 1	4,50	31,4	27,7	21,9	31,8
	01_81_C	Cluster 1	7,50	33,0	29,4	23,5	33,4
	01_82_A	Cluster 1	1,50	30,2	26,6	20,7	30,6
	01_82_B	Cluster 1	4,50	31,3	27,7	21,8	31,7
	01_82_C	Cluster 1	7,50	32,2	28,6	22,7	32,7
	01_83_A	Cluster 1	1,50	30,1	26,4	20,6	30,5
	01_83_B	Cluster 1	4,50	31,3	27,7	21,8	31,7
	01_83_C	Cluster 1	7,50	32,5	28,9	23,0	32,9
	01_84_A	Cluster 1	1,50	29,6	25,9	20,1	30,0
	01_84_B	Cluster 1	4,50	31,4	27,8	21,9	31,8
	01_84_C	Cluster 1	7,50	32,7	29,1	23,2	33,1
	01_85_A	Cluster 1	1,50	29,2	25,6	19,7	29,6
	01_85_B	Cluster 1	4,50	30,7	27,0	21,2	31,1
	01_85_C	Cluster 1	7,50	32,1	28,5	22,6	32,6
	01_86_A	Cluster 1	1,50	27,6	24,0	18,1	28,0
	01_86_B	Cluster 1	4,50	29,3	25,6	19,8	29,7
	01_86_C	Cluster 1	7,50	31,9	28,3	22,4	32,3
	01_87_A	Cluster 1	1,50	28,7	25,1	19,2	29,1
	01_87_B	Cluster 1	4,50	30,1	26,4	20,6	30,5
	01_88_A	Cluster 1	1,50	28,4	24,7	18,8	28,8
	01_88_B	Cluster 1	4,50	30,0	26,3	20,5	30,4
	01_89_A	Cluster 1	1,50	27,7	24,1	18,2	28,1
	01_89_B	Cluster 1	4,50	29,6	25,9	20,1	30,0
	01_89_C	Cluster 1	7,50	31,1	27,5	21,6	31,6
	01_90_A	Cluster 1	1,50	29,6	26,0	20,1	30,0
	01_90_B	Cluster 1	4,50	30,1	26,4	20,5	30,5
	01_90_C	Cluster 1	7,50	31,4	27,8	22,0	31,9
	01_91_A	Cluster 1	1,50	28,9	25,2	19,4	29,3
	01_91_B	Cluster 1	4,50	30,0	26,4	20,5	30,4
	01_91_C	Cluster 1	7,50	31,3	27,7	21,9	31,8
	01_92_A	Cluster 1	1,50	29,0	25,3	19,5	29,4
	01_92_B	Cluster 1	4,50	30,1	26,4	20,6	30,5
	01_92_C	Cluster 1	7,50	31,3	27,7	21,9	31,8
	01_93_A	Cluster 1	1,50	29,2	25,5	19,7	29,6
	01_93_B	Cluster 1	4,50	30,0	26,4	20,5	30,4
	01_93_C	Cluster 1	7,50	31,3	27,7	21,9	31,8
	01_94_A	Cluster 1	1,50	29,3	25,7	19,8	29,7
	01_94_B	Cluster 1	4,50	30,2	26,5	20,7	30,6
	01_94_C	Cluster 1	7,50	31,5	27,9	22,0	31,9
	01_95_A	Cluster 1	1,50	29,2	25,6	19,7	29,6
	01_95_B	Cluster 1	4,50	30,1	26,5	20,6	30,5
	01_95_C	Cluster 1	7,50	31,4	27,8	21,9	31,8
	01_96_A	Cluster 1	1,50	29,4	25,7	19,9	29,8
	01_96_B	Cluster 1	4,50	30,2	26,6	20,7	30,7
	01_96_C	Cluster 1	7,50	31,8	28,2	22,3	32,3
	01_97_A	Cluster 1	1,50	29,3	25,6	19,8	29,7
	01_97_B	Cluster 1	4,50	30,1	26,5	20,6	30,5
	01_97_C	Cluster 1	7,50	31,7	28,1	22,2	32,1
	01_98_A	Cluster 1	1,50	29,0	25,4	19,5	29,4
	01_98_B	Cluster 1	4,50	30,1	26,4	20,6	30,5
	01_98_C	Cluster 1	7,50	32,0	28,4	22,6	32,5
	01_99_A	Cluster 1	1,50	28,3	24,7	18,8	28,7
	01_99_B	Cluster 1	4,50	29,7	26,1	20,2	30,1
	01_99_C	Cluster 1	7,50	31,9	28,3	22,5	32,4
	02_01_A	Cluster 2	1,50	26,9	23,3	17,4	27,4
	02_01_B	Cluster 2	4,50	29,7	26,1	20,2	30,2
	02_01_C	Cluster 2	7,50	31,0	27,4	21,5	31,4
	02_02_A	Cluster 2	1,50	24,7	21,1	15,2	25,1
	02_02_B	Cluster 2	4,50	26,8	23,2	17,3	27,2
	02_02_C	Cluster 2	7,50	28,2	24,6	18,7	28,6
	02_03_A	Cluster 2	1,50	24,5	20,9	15,0	24,9
	02_03_B	Cluster 2	4,50	26,8	23,2	17,3	27,2
	02_03_C	Cluster 2	7,50	29,0	25,4	19,5	29,4
	02_04_A	Cluster 2	1,50	24,5	20,8	15,0	24,9
	02_04_B	Cluster 2	4,50	26,8	23,2	17,3	27,2

Alle getoonde dB-waarden zijn A-gewogen

Bijlage III-4 Rekenresultaten N337 (Van Oldenielstraat)

Rapport: Resultatentabel
 Model: Wegverkeermodel
 LAeq totaalresultaten voor toetspunten
 Groep: N337
 Groepsreductie: Ja

Naam						
Toetspunt	Omschrijving	Hoogte	Dag	Avond	Nacht	Lden
02_04_C	Cluster 2	7,50	28,3	24,6	18,8	28,7
02_05_A	Cluster 2	1,50	24,6	21,0	15,1	25,0
02_05_B	Cluster 2	4,50	26,9	23,2	17,4	27,3
02_05_C	Cluster 2	7,50	28,3	24,7	18,8	28,7
02_06_A	Cluster 2	1,50	24,3	20,6	14,8	24,7
02_06_B	Cluster 2	4,50	26,6	22,9	17,1	27,0
02_06_C	Cluster 2	7,50	28,6	25,0	19,2	29,1
02_07_A	Cluster 2	1,50	24,2	20,6	14,7	24,6
02_07_B	Cluster 2	4,50	26,3	22,7	16,8	26,7
02_07_C	Cluster 2	7,50	27,7	24,1	18,2	28,1
02_08_A	Cluster 2	1,50	24,2	20,5	14,7	24,6
02_08_B	Cluster 2	4,50	26,2	22,6	16,7	26,6
02_08_C	Cluster 2	7,50	27,6	24,0	18,1	28,0
02_09_A	Cluster 2	1,50	23,8	20,2	14,3	24,2
02_09_B	Cluster 2	4,50	26,1	22,5	16,6	26,5
02_09_C	Cluster 2	7,50	27,7	24,1	18,2	28,1
02_10_A	Cluster 2	1,50	23,3	19,7	13,9	23,8
02_10_B	Cluster 2	4,50	25,6	22,0	16,1	26,0
02_10_C	Cluster 2	7,50	27,4	23,8	17,9	27,8
02_100_A	Cluster 2	1,50	24,3	20,7	14,8	24,8
02_100_B	Cluster 2	4,50	25,1	21,4	15,6	25,5
02_100_C	Cluster 2	7,50	26,8	23,2	17,3	27,2
02_101_A	Cluster 2	1,50	24,6	20,9	15,1	25,0
02_101_B	Cluster 2	4,50	25,0	21,3	15,4	25,4
02_101_C	Cluster 2	7,50	26,6	23,0	17,1	27,1
02_102_A	Cluster 2	1,50	24,4	20,8	14,9	24,8
02_102_B	Cluster 2	4,50	25,5	21,8	16,0	25,9
02_102_C	Cluster 2	7,50	27,4	23,8	17,9	27,8
02_103_A	Cluster 2	1,50	24,6	21,0	15,1	25,0
02_103_B	Cluster 2	4,50	25,3	21,7	15,8	25,7
02_103_C	Cluster 2	7,50	27,1	23,5	17,6	27,5
02_104_A	Cluster 2	1,50	24,5	20,8	15,0	24,9
02_104_B	Cluster 2	4,50	25,5	21,9	16,0	25,9
02_104_C	Cluster 2	7,50	27,2	23,6	17,8	27,7
02_105_A	Cluster 2	1,50	24,9	21,2	15,4	25,3
02_105_B	Cluster 2	4,50	25,3	21,6	15,8	25,7
02_105_C	Cluster 2	7,50	27,0	23,4	17,5	27,4
02_106_A	Cluster 2	1,50	24,6	20,9	15,1	25,0
02_106_B	Cluster 2	4,50	25,0	21,3	15,5	25,4
02_106_C	Cluster 2	7,50	26,6	23,0	17,1	27,0
02_107_A	Cluster 2	1,50	25,0	21,4	15,5	25,4
02_107_B	Cluster 2	4,50	25,1	21,4	15,6	25,5
02_107_C	Cluster 2	7,50	28,1	24,5	18,6	28,5
02_108_A	Cluster 2	1,50	24,9	21,3	15,4	25,4
02_108_B	Cluster 2	4,50	25,0	21,3	15,4	25,4
02_108_C	Cluster 2	7,50	27,3	23,8	17,9	27,8
02_11_A	Cluster 2	1,50	23,4	19,8	13,9	23,8
02_11_B	Cluster 2	4,50	25,8	22,2	16,3	26,3
02_11_C	Cluster 2	7,50	27,4	23,8	17,9	27,9
02_12_A	Cluster 2	1,50	23,1	19,5	13,6	23,5
02_12_B	Cluster 2	4,50	25,4	21,8	15,9	25,8
02_13_A	Cluster 2	1,50	23,8	20,2	14,3	24,2
02_13_B	Cluster 2	4,50	26,1	22,4	16,6	26,5
02_14_A	Cluster 2	1,50	22,1	18,4	12,6	22,5
02_14_B	Cluster 2	4,50	23,7	20,1	14,2	24,2
02_15_A	Cluster 2	1,50	21,8	18,2	12,3	22,2
02_15_B	Cluster 2	4,50	23,3	19,7	13,8	23,7
02_16_A	Cluster 2	1,50	21,7	18,1	12,2	22,1
02_16_B	Cluster 2	4,50	23,3	19,6	13,7	23,7
02_16_C	Cluster 2	7,50	24,4	20,7	14,9	24,8
02_16_D	Cluster 2	10,50	27,1	23,6	17,8	27,6
02_17_A	Cluster 2	1,50	21,4	17,7	11,9	21,8
02_17_B	Cluster 2	4,50	22,9	19,2	13,3	23,3
02_17_C	Cluster 2	7,50	23,8	20,1	14,3	24,2
02_17_D	Cluster 2	10,50	25,9	22,3	16,4	26,3
02_18_A	Cluster 2	1,50	21,3	17,6	11,8	21,7
02_18_B	Cluster 2	4,50	22,8	19,1	13,3	23,2
02_18_C	Cluster 2	7,50	23,6	19,9	14,0	24,0
02_18_D	Cluster 2	10,50	26,1	22,6	16,7	26,6
02_19_A	Cluster 2	1,50	21,3	17,7	11,8	21,7
02_19_B	Cluster 2	4,50	22,9	19,2	13,3	23,3
02_19_C	Cluster 2	7,50	23,7	20,1	14,2	24,1
02_19_D	Cluster 2	10,50	26,7	23,1	17,3	27,2
02_20_A	Cluster 2	1,50	20,8	17,1	11,3	21,2

Alle getoonde dB-waarden zijn A-gewogen

Bijlage III-4 Rekenresultaten N337 (Van Oldenielstraat)

Rapport: Resultatentabel
 Model: Wegverkeermodel
 LAgg totaalresultaten voor toetspunten
 Groep: N337
 Groepsreductie: Ja

Naam						
Toetspunt	Omschrijving	Hoogte	Dag	Avond	Nacht	Lden
02_20_B	Cluster 2	4,50	22,3	18,7	12,8	22,7
02_20_C	Cluster 2	7,50	23,2	19,6	13,7	23,6
02_20_D	Cluster 2	10,50	25,0	21,5	15,6	25,5
02_21_A	Cluster 2	1,50	20,7	17,1	11,2	21,2
02_21_B	Cluster 2	4,50	22,2	18,5	12,6	22,6
02_21_C	Cluster 2	7,50	22,9	19,3	13,4	23,3
02_21_D	Cluster 2	10,50	24,5	20,9	15,1	25,0
02_22_A	Cluster 2	1,50	20,8	17,2	11,3	21,2
02_22_B	Cluster 2	4,50	22,1	18,5	12,6	22,5
02_22_C	Cluster 2	7,50	23,0	19,3	13,4	23,4
02_22_D	Cluster 2	10,50	25,0	21,5	15,6	25,5
02_23_A	Cluster 2	1,50	21,0	17,4	11,5	21,5
02_23_B	Cluster 2	4,50	22,5	18,9	13,0	23,0
02_23_C	Cluster 2	7,50	23,7	20,0	14,2	24,1
02_23_D	Cluster 2	10,50	26,7	23,2	17,3	27,2
02_24_A	Cluster 2	1,50	20,4	16,8	10,9	20,9
02_24_B	Cluster 2	4,50	21,5	17,8	12,0	21,9
02_24_C	Cluster 2	7,50	22,0	18,3	12,4	22,4
02_24_D	Cluster 2	10,50	22,3	18,7	12,8	22,7
02_25_A	Cluster 2	1,50	19,6	16,0	10,1	20,0
02_25_B	Cluster 2	4,50	21,0	17,3	11,5	21,4
02_25_C	Cluster 2	7,50	21,6	18,0	12,1	22,0
02_25_D	Cluster 2	10,50	21,9	18,3	12,4	22,4
02_26_A	Cluster 2	1,50	24,9	21,2	15,3	25,3
02_26_B	Cluster 2	4,50	26,1	22,5	16,6	26,5
02_26_C	Cluster 2	7,50	27,4	23,7	17,9	27,8
02_26_D	Cluster 2	10,50	27,7	24,0	18,2	28,1
02_27_A	Cluster 2	1,50	24,9	21,2	15,4	25,3
02_27_B	Cluster 2	4,50	26,1	22,4	16,6	26,5
02_27_C	Cluster 2	7,50	27,0	23,4	17,5	27,5
02_27_D	Cluster 2	10,50	27,7	24,1	18,2	28,1
02_28_A	Cluster 2	1,50	19,4	15,8	9,9	19,8
02_28_B	Cluster 2	4,50	20,8	17,1	11,2	21,2
02_28_C	Cluster 2	7,50	21,5	17,8	11,9	21,9
02_28_D	Cluster 2	10,50	21,8	18,2	12,3	22,2
02_29_A	Cluster 2	1,50	19,7	16,0	10,2	20,1
02_29_B	Cluster 2	4,50	20,8	17,1	11,2	21,2
02_29_C	Cluster 2	7,50	22,2	18,5	12,7	22,6
02_29_D	Cluster 2	10,50	23,2	19,6	13,8	23,7
02_30_A	Cluster 2	1,50	18,8	15,1	9,3	19,2
02_30_B	Cluster 2	4,50	20,2	16,5	10,6	20,6
02_30_C	Cluster 2	7,50	20,7	17,0	11,2	21,1
02_30_D	Cluster 2	10,50	21,1	17,4	11,6	21,5
02_31_A	Cluster 2	1,50	18,3	14,7	8,8	18,7
02_31_B	Cluster 2	4,50	19,3	15,6	9,7	19,7
02_31_C	Cluster 2	7,50	19,6	15,9	10,1	20,0
02_31_D	Cluster 2	10,50	20,1	16,4	10,6	20,5
02_32_A	Cluster 2	1,50	21,2	17,5	11,7	21,6
02_32_B	Cluster 2	4,50	23,0	19,2	13,4	23,3
02_32_C	Cluster 2	7,50	24,6	20,9	15,1	25,0
02_32_D	Cluster 2	10,50	25,4	21,8	15,9	25,8
02_33_A	Cluster 2	1,50	21,7	18,0	12,1	22,1
02_33_B	Cluster 2	4,50	23,4	19,7	13,9	23,8
02_33_C	Cluster 2	7,50	25,1	21,4	15,6	25,5
02_34_A	Cluster 2	1,50	21,9	18,2	12,4	22,3
02_34_B	Cluster 2	4,50	23,7	20,0	14,2	24,1
02_34_C	Cluster 2	7,50	25,4	21,7	15,9	25,8
02_35_A	Cluster 2	1,50	21,5	17,9	12,0	22,0
02_35_B	Cluster 2	4,50	23,3	19,6	13,8	23,7
02_35_C	Cluster 2	7,50	25,3	21,6	15,7	25,7
02_36_A	Cluster 2	1,50	21,8	18,1	12,2	22,2
02_36_B	Cluster 2	4,50	23,5	19,8	13,9	23,9
02_36_C	Cluster 2	7,50	25,4	21,8	15,9	25,8
02_37_A	Cluster 2	1,50	22,5	18,9	13,0	23,0
02_37_B	Cluster 2	4,50	24,2	20,6	14,7	24,7
02_37_C	Cluster 2	7,50	26,0	22,4	16,5	26,4
02_38_A	Cluster 2	1,50	22,9	19,3	13,4	23,3
02_38_B	Cluster 2	4,50	24,7	21,0	15,1	25,1
02_38_C	Cluster 2	7,50	26,2	22,5	16,7	26,6
02_39_A	Cluster 2	1,50	22,9	19,2	13,4	23,3
02_39_B	Cluster 2	4,50	24,4	20,8	14,9	24,8
02_39_C	Cluster 2	7,50	25,7	22,1	16,2	26,1
02_40_A	Cluster 2	1,50	22,8	19,2	13,3	23,2
02_40_B	Cluster 2	4,50	24,4	20,7	14,9	24,8

Alle getoonde dB-waarden zijn A-gewogen

Bijlage III-4 Rekenresultaten N337 (Van Oldenielstraat)

Rapport: Resultatentabel
 Model: Wegverkeermodel
 LAeq totaalresultaten voor toetspunten
 Groep: N337
 Groepsreductie: Ja

Naam	Toetspunt	Omschrijving	Hoogte	Dag	Avond	Nacht	Lden
	02_40_C	Cluster 2	7,50	25,9	22,3	16,4	26,3
	02_41_A	Cluster 2	1,50	21,3	17,7	11,9	21,8
	02_41_B	Cluster 2	4,50	23,8	20,1	14,3	24,2
	02_41_C	Cluster 2	7,50	27,8	24,2	18,3	28,2
	02_42_A	Cluster 2	1,50	20,5	16,9	11,0	20,9
	02_42_B	Cluster 2	4,50	22,9	19,2	13,4	23,3
	02_42_C	Cluster 2	7,50	28,0	24,4	18,5	28,4
	02_43_A	Cluster 2	1,50	23,0	19,4	13,6	23,5
	02_43_B	Cluster 2	4,50	24,7	21,0	15,2	25,1
	02_43_C	Cluster 2	7,50	26,4	22,7	16,9	26,8
	02_44_A	Cluster 2	1,50	23,2	19,6	13,7	23,7
	02_44_B	Cluster 2	4,50	24,8	21,2	15,3	25,2
	02_45_A	Cluster 2	1,50	23,3	19,7	13,8	23,7
	02_45_B	Cluster 2	4,50	25,0	21,4	15,5	25,4
	02_46_A	Cluster 2	1,50	26,7	23,1	17,2	27,1
	02_46_B	Cluster 2	4,50	28,6	25,0	19,1	29,0
	02_47_A	Cluster 2	1,50	26,5	22,9	17,0	26,9
	02_47_B	Cluster 2	4,50	28,5	24,8	19,0	28,9
	02_48_A	Cluster 2	1,50	26,4	22,7	16,9	26,8
	02_48_B	Cluster 2	4,50	28,3	24,6	18,7	28,7
	02_48_C	Cluster 2	7,50	29,7	26,0	20,2	30,1
	02_49_A	Cluster 2	1,50	26,5	22,8	17,0	26,9
	02_49_B	Cluster 2	4,50	28,5	24,8	19,0	28,9
	02_49_C	Cluster 2	7,50	29,8	26,2	20,3	30,2
	02_50_A	Cluster 2	1,50	26,6	22,9	17,1	27,0
	02_50_B	Cluster 2	4,50	28,7	25,0	19,1	29,1
	02_50_C	Cluster 2	7,50	29,5	25,9	20,0	29,9
	02_51_A	Cluster 2	1,50	26,7	23,1	17,2	27,1
	02_51_B	Cluster 2	4,50	28,8	25,2	19,3	29,2
	02_51_C	Cluster 2	7,50	30,0	26,4	20,6	30,5
	02_52_A	Cluster 2	1,50	26,6	23,0	17,1	27,0
	02_52_B	Cluster 2	4,50	28,7	25,1	19,2	29,2
	02_52_C	Cluster 2	7,50	29,9	26,2	20,4	30,3
	02_53_A	Cluster 2	1,50	26,5	22,9	17,0	27,0
	02_53_B	Cluster 2	4,50	29,0	25,3	19,4	29,4
	02_53_C	Cluster 2	7,50	30,0	26,4	20,5	30,5
	02_54_A	Cluster 2	1,50	26,4	22,7	16,9	26,8
	02_54_B	Cluster 2	4,50	28,9	25,3	19,4	29,3
	02_54_C	Cluster 2	7,50	30,1	26,5	20,6	30,6
	02_55_A	Cluster 2	1,50	26,5	22,8	17,0	26,9
	02_55_B	Cluster 2	4,50	29,0	25,4	19,5	29,4
	02_55_C	Cluster 2	7,50	30,1	26,5	20,6	30,5
	02_56_A	Cluster 2	1,50	27,1	23,5	17,6	27,5
	02_56_B	Cluster 2	4,50	29,7	26,1	20,2	30,2
	02_56_C	Cluster 2	7,50	31,0	27,4	21,5	31,4
	02_57_A	Cluster 2	1,50	27,0	23,4	17,5	27,4
	02_57_B	Cluster 2	4,50	29,9	26,2	20,3	30,3
	02_57_C	Cluster 2	7,50	31,2	27,6	21,7	31,6
	02_58_A	Cluster 2	1,50	26,8	23,2	17,3	27,2
	02_58_B	Cluster 2	4,50	29,8	26,2	20,3	30,3
	02_58_C	Cluster 2	7,50	31,2	27,6	21,7	31,6
	02_59_A	Cluster 2	1,50	25,9	22,3	16,4	26,3
	02_59_B	Cluster 2	4,50	27,3	23,6	17,8	27,7
	02_59_C	Cluster 2	7,50	28,8	25,1	19,3	29,2
	02_60_A	Cluster 2	1,50	26,8	23,1	17,3	27,2
	02_60_B	Cluster 2	4,50	29,1	25,5	19,6	29,5
	02_60_C	Cluster 2	7,50	30,3	26,7	20,8	30,7
	02_61_A	Cluster 2	1,50	26,4	22,8	16,9	26,8
	02_61_B	Cluster 2	4,50	28,5	24,8	19,0	28,9
	02_61_C	Cluster 2	7,50	29,7	26,0	20,2	30,1
	02_62_A	Cluster 2	1,50	25,9	22,3	16,4	26,4
	02_62_B	Cluster 2	4,50	27,7	24,1	18,2	28,1
	02_62_C	Cluster 2	7,50	29,6	26,0	20,1	30,0
	02_63_A	Cluster 2	1,50	26,1	22,5	16,6	26,5
	02_63_B	Cluster 2	4,50	28,1	24,4	18,5	28,5
	02_63_C	Cluster 2	7,50	29,5	25,8	20,0	29,9
	02_64_A	Cluster 2	1,50	26,2	22,6	16,7	26,6
	02_64_B	Cluster 2	4,50	28,0	24,4	18,5	28,4
	02_64_C	Cluster 2	7,50	29,2	25,5	19,7	29,6
	02_65_A	Cluster 2	1,50	26,0	22,3	16,5	26,4
	02_65_B	Cluster 2	4,50	27,8	24,1	18,3	28,2
	02_65_C	Cluster 2	7,50	29,1	25,4	19,5	29,5
	02_66_A	Cluster 2	1,50	25,7	22,0	16,1	26,1
	02_66_B	Cluster 2	4,50	27,0	23,3	17,4	27,4

Alle getoonde dB-waarden zijn A-gewogen

Bijlage III-4 Rekenresultaten N337 (Van Oldenielstraat)

Rapport: Resultatentabel
 Model: Wegverkeermodel
 LAeq totaalresultaten voor toetspunten
 Groep: N337
 Groepsreductie: Ja

Naam	Toetspunt	Omschrijving	Hoogte	Dag	Avond	Nacht	Lden
02_66_C	Cluster 2		7,50	27,7	24,0	18,2	28,1
02_67_A	Cluster 2		1,50	25,6	22,0	16,1	26,1
02_67_B	Cluster 2		4,50	26,5	22,8	17,0	26,9
02_67_C	Cluster 2		7,50	27,5	23,8	17,9	27,9
02_68_A	Cluster 2		1,50	25,2	21,5	15,6	25,6
02_68_B	Cluster 2		4,50	25,7	22,0	16,1	26,1
02_68_C	Cluster 2		7,50	26,6	22,9	17,1	27,0
02_69_A	Cluster 2		1,50	20,8	17,1	11,3	21,2
02_69_B	Cluster 2		4,50	23,0	19,3	13,4	23,4
02_69_C	Cluster 2		7,50	23,7	20,1	14,2	24,2
02_70_A	Cluster 2		1,50	23,2	19,5	13,7	23,6
02_70_B	Cluster 2		4,50	24,9	21,2	15,4	25,3
02_70_C	Cluster 2		7,50	27,0	23,3	17,4	27,4
02_71_A	Cluster 2		1,50	24,8	21,1	15,2	25,2
02_71_B	Cluster 2		4,50	26,2	22,5	16,7	26,6
02_72_A	Cluster 2		1,50	25,7	22,1	16,2	26,1
02_72_B	Cluster 2		4,50	27,1	23,4	17,5	27,5
02_73_A	Cluster 2		1,50	24,9	21,3	15,4	25,4
02_73_B	Cluster 2		4,50	26,5	22,8	16,9	26,9
02_73_C	Cluster 2		7,50	28,2	24,5	18,6	28,6
02_73_D	Cluster 2		10,50	30,3	26,7	20,8	30,7
02_74_A	Cluster 2		1,50	26,3	22,6	16,7	26,7
02_74_B	Cluster 2		4,50	28,1	24,4	18,5	28,5
02_74_C	Cluster 2		7,50	29,6	26,0	20,1	30,0
02_74_D	Cluster 2		10,50	30,8	27,2	21,4	31,3
02_75_A	Cluster 2		1,50	26,8	23,1	17,2	27,2
02_75_B	Cluster 2		4,50	28,1	24,4	18,6	28,5
02_75_C	Cluster 2		7,50	29,1	25,4	19,6	29,5
02_75_D	Cluster 2		10,50	30,1	26,5	20,6	30,6
02_76_A	Cluster 2		1,50	27,1	23,4	17,6	27,5
02_76_B	Cluster 2		4,50	28,4	24,7	18,9	28,8
02_76_C	Cluster 2		7,50	29,4	25,7	19,8	29,8
02_76_D	Cluster 2		10,50	30,5	26,9	21,1	31,0
02_77_A	Cluster 2		1,50	27,1	23,4	17,5	27,5
02_77_B	Cluster 2		4,50	28,4	24,7	18,9	28,8
02_77_C	Cluster 2		7,50	29,5	25,8	20,0	29,9
02_77_D	Cluster 2		10,50	30,9	27,3	21,4	31,3
02_78_A	Cluster 2		1,50	27,2	23,6	17,7	27,6
02_78_B	Cluster 2		4,50	28,4	24,7	18,9	28,8
02_78_C	Cluster 2		7,50	29,5	25,9	20,0	29,9
02_78_D	Cluster 2		10,50	30,6	27,0	21,2	31,1
02_79_A	Cluster 2		1,50	27,6	24,0	18,1	28,0
02_79_B	Cluster 2		4,50	28,8	25,2	19,3	29,2
02_79_C	Cluster 2		7,50	29,8	26,1	20,3	30,2
02_79_D	Cluster 2		10,50	30,0	26,4	20,6	30,5
02_80_A	Cluster 2		1,50	27,6	23,9	18,1	28,0
02_80_B	Cluster 2		4,50	28,6	24,9	19,1	29,0
02_80_C	Cluster 2		7,50	29,5	25,8	20,0	29,9
02_80_D	Cluster 2		10,50	29,8	26,2	20,3	30,2
02_81_A	Cluster 2		1,50	27,6	24,0	18,1	28,0
02_81_B	Cluster 2		4,50	28,7	25,1	19,2	29,2
02_81_C	Cluster 2		7,50	29,8	26,1	20,3	30,2
02_81_D	Cluster 2		10,50	30,2	26,6	20,7	30,6
02_82_A	Cluster 2		1,50	27,3	23,7	17,8	27,8
02_82_B	Cluster 2		4,50	28,6	24,9	19,1	29,0
02_82_C	Cluster 2		7,50	29,6	26,0	20,1	30,0
02_82_D	Cluster 2		10,50	29,7	26,1	20,2	30,1
02_83_A	Cluster 2		1,50	27,3	23,7	17,8	27,8
02_83_B	Cluster 2		4,50	28,5	24,9	19,0	28,9
02_83_C	Cluster 2		7,50	29,6	26,0	20,1	30,0
02_83_D	Cluster 2		10,50	30,1	26,5	20,6	30,5
02_84_A	Cluster 2		1,50	25,4	21,7	15,9	25,8
02_84_B	Cluster 2		4,50	27,4	23,7	17,9	27,8
02_84_C	Cluster 2		7,50	29,1	25,4	19,6	29,5
02_84_D	Cluster 2		10,50	29,4	25,8	19,9	29,9
02_85_A	Cluster 2		1,50	25,9	22,2	16,4	26,3
02_85_B	Cluster 2		4,50	27,4	23,8	17,9	27,8
02_85_C	Cluster 2		7,50	29,2	25,5	19,6	29,6
02_85_D	Cluster 2		10,50	29,5	25,9	20,1	30,0
02_86_A	Cluster 2		1,50	25,3	21,6	15,8	25,7
02_86_B	Cluster 2		4,50	26,5	22,9	17,0	26,9
02_86_C	Cluster 2		7,50	27,7	24,1	18,2	28,1
02_87_A	Cluster 2		1,50	22,6	18,9	13,1	23,0
02_87_B	Cluster 2		4,50	24,1	20,5	14,6	24,5

Alle getoonde dB-waarden zijn A-gewogen

Bijlage III-4 Rekenresultaten N337 (Van Oldenielstraat)

Rapport: Resultatentabel
 Model: Wegverkeermodel
 LAgg totaalresultaten voor toetspunten
 Groep: N337
 Groepsreductie: Ja

Naam	Toetspunt	Omschrijving	Hoogte	Dag	Avond	Nacht	Lden
02_87_C	Cluster 2		7,50	28,4	24,8	18,9	28,8
02_88_A	Cluster 2		1,50	21,2	17,6	11,7	21,6
02_88_B	Cluster 2		4,50	22,1	18,4	12,6	22,5
02_88_C	Cluster 2		7,50	24,4	20,8	14,9	24,8
02_89_A	Cluster 2		1,50	26,6	23,0	17,1	27,0
02_89_B	Cluster 2		4,50	26,8	23,1	17,3	27,2
02_89_C	Cluster 2		7,50	27,6	24,0	18,1	28,0
02_90_A	Cluster 2		1,50	26,0	22,4	16,5	26,4
02_90_B	Cluster 2		4,50	26,6	22,9	17,1	27,0
02_90_C	Cluster 2		7,50	27,5	23,8	17,9	27,9
02_91_A	Cluster 2		1,50	26,2	22,6	16,7	26,6
02_91_B	Cluster 2		4,50	26,7	23,0	17,1	27,1
02_91_C	Cluster 2		7,50	27,5	23,8	18,0	27,9
02_92_A	Cluster 2		1,50	25,9	22,3	16,4	26,3
02_92_B	Cluster 2		4,50	27,5	23,8	18,0	27,9
02_92_C	Cluster 2		7,50	29,0	25,4	19,5	29,4
02_93_A	Cluster 2		1,50	25,8	22,1	16,3	26,2
02_93_B	Cluster 2		4,50	27,5	23,9	18,0	27,9
02_93_C	Cluster 2		7,50	29,3	25,7	19,8	29,8
02_94_A	Cluster 2		1,50	25,2	21,6	15,7	25,6
02_94_B	Cluster 2		4,50	27,2	23,6	17,7	27,6
02_94_C	Cluster 2		7,50	28,2	24,5	18,7	28,6
02_95_A	Cluster 2		1,50	23,8	20,1	14,3	24,2
02_95_B	Cluster 2		4,50	26,0	22,4	16,5	26,5
02_95_C	Cluster 2		7,50	29,8	26,2	20,3	30,2
02_96_A	Cluster 2		1,50	24,9	21,2	15,4	25,3
02_96_B	Cluster 2		4,50	26,3	22,7	16,8	26,7
02_97_A	Cluster 2		1,50	24,6	21,0	15,1	25,0
02_97_B	Cluster 2		4,50	24,9	21,2	15,4	25,3
02_98_A	Cluster 2		1,50	24,0	20,4	14,5	24,4
02_98_B	Cluster 2		4,50	24,8	21,2	15,3	25,2
02_98_C	Cluster 2		7,50	26,7	23,1	17,3	27,2
02_99_A	Cluster 2		1,50	24,8	21,2	15,3	25,2
02_99_B	Cluster 2		4,50	25,0	21,4	15,5	25,5
02_99_C	Cluster 2		7,50	26,8	23,3	17,4	27,3
03_01_A	Cluster 3		1,50	28,9	25,2	19,4	29,3
03_01_B	Cluster 3		4,50	30,3	26,7	20,8	30,8
03_01_C	Cluster 3		7,50	31,9	28,3	22,4	32,3
03_02_A	Cluster 3		1,50	36,0	32,5	26,6	36,5
03_02_B	Cluster 3		4,50	36,6	33,1	27,2	37,1
03_02_C	Cluster 3		7,50	36,9	33,4	27,5	37,4
03_03_A	Cluster 3		1,50	35,3	31,7	25,9	35,8
03_03_B	Cluster 3		4,50	35,8	32,3	26,4	36,3
03_03_C	Cluster 3		7,50	36,2	32,6	26,8	36,7
03_04_A	Cluster 3		1,50	34,7	31,2	25,3	35,2
03_04_B	Cluster 3		4,50	35,4	31,9	26,0	35,9
03_04_C	Cluster 3		7,50	35,8	32,3	26,4	36,3
03_05_A	Cluster 3		1,50	32,7	29,2	23,3	33,2
03_05_B	Cluster 3		4,50	33,9	30,3	24,5	34,4
03_06_A	Cluster 3		1,50	31,6	28,0	22,1	32,0
03_06_B	Cluster 3		4,50	33,1	29,4	23,6	33,5
03_07_A	Cluster 3		1,50	29,7	26,1	20,2	30,1
03_07_B	Cluster 3		4,50	31,2	27,6	21,7	31,6
03_08_A	Cluster 3		1,50	29,3	25,6	19,8	29,7
03_08_B	Cluster 3		4,50	30,8	27,1	21,3	31,2
03_09_A	Cluster 3		1,50	28,5	24,9	19,1	29,0
03_09_B	Cluster 3		4,50	30,2	26,6	20,7	30,7
03_09_C	Cluster 3		7,50	31,7	28,1	22,2	32,1
03_10_A	Cluster 3		1,50	27,9	24,2	18,3	28,3
03_10_B	Cluster 3		4,50	29,8	26,1	20,2	30,2
03_10_C	Cluster 3		7,50	31,5	27,9	22,0	31,9
03_11_A	Cluster 3		1,50	27,1	23,5	17,6	27,5
03_11_B	Cluster 3		4,50	29,4	25,8	19,9	29,9
03_11_C	Cluster 3		7,50	31,3	27,7	21,8	31,7
03_12_A	Cluster 3		1,50	27,3	23,6	17,8	27,7
03_12_B	Cluster 3		4,50	29,6	25,9	20,1	30,0
03_12_C	Cluster 3		7,50	31,2	27,5	21,7	31,6
03_13_A	Cluster 3		1,50	27,3	23,7	17,8	27,7
03_13_B	Cluster 3		4,50	29,7	26,0	20,1	30,1
03_13_C	Cluster 3		7,50	31,1	27,4	21,5	31,5
03_14_A	Cluster 3		1,50	27,2	23,6	17,7	27,6
03_14_B	Cluster 3		4,50	29,8	26,1	20,3	30,2
03_14_C	Cluster 3		7,50	31,3	27,6	21,8	31,7
03_15_A	Cluster 3		1,50	27,2	23,6	17,7	27,6

Alle getoonde dB-waarden zijn A-gewogen

Bijlage III-4 Rekenresultaten N337 (Van Oldenielstraat)

Rapport: Resultatentabel
 Model: Wegverkeermodel
 LAeq totaalresultaten voor toetspunten
 Groep: N337
 Groepsreductie: Ja

Naam	Toetspunt	Omschrijving	Hoogte	Dag	Avond	Nacht	Lden
	03_15_B	Cluster 3	4,50	29,8	26,1	20,3	30,2
	03_15_C	Cluster 3	7,50	31,1	27,5	21,6	31,6
	03_16_A	Cluster 3	1,50	27,4	23,7	17,9	27,8
	03_16_B	Cluster 3	4,50	29,9	26,3	20,4	30,3
	03_16_C	Cluster 3	7,50	31,2	27,6	21,7	31,6
	03_17_A	Cluster 3	1,50	27,3	23,6	17,8	27,7
	03_17_B	Cluster 3	4,50	29,8	26,2	20,3	30,2
	03_17_C	Cluster 3	7,50	31,5	27,8	22,0	31,9
	03_18_A	Cluster 3	1,50	27,2	23,5	17,7	27,6
	03_18_B	Cluster 3	4,50	29,7	26,0	20,2	30,1
	03_18_C	Cluster 3	7,50	31,4	27,7	21,9	31,8
	03_19_A	Cluster 3	1,50	27,2	23,5	17,7	27,6
	03_19_B	Cluster 3	4,50	29,5	25,9	20,0	29,9
	03_19_C	Cluster 3	7,50	31,1	27,5	21,6	31,5
	03_20_A	Cluster 3	1,50	27,3	23,6	17,8	27,7
	03_20_B	Cluster 3	4,50	29,5	25,8	20,0	29,9
	03_20_C	Cluster 3	7,50	30,7	27,1	21,2	31,1
	03_21_A	Cluster 3	1,50	25,8	22,2	16,3	26,2
	03_21_B	Cluster 3	4,50	27,3	23,6	17,7	27,7
	03_21_C	Cluster 3	7,50	28,0	24,3	18,5	28,4
	03_22_A	Cluster 3	1,50	25,4	21,8	15,9	25,8
	03_22_B	Cluster 3	4,50	26,7	23,0	17,1	27,1
	03_22_C	Cluster 3	7,50	27,3	23,6	17,7	27,7
	03_23_A	Cluster 3	1,50	25,4	21,8	15,9	25,8
	03_23_B	Cluster 3	4,50	27,0	23,4	17,5	27,4
	03_23_C	Cluster 3	7,50	27,7	24,0	18,2	28,1
	03_24_A	Cluster 3	1,50	25,2	21,6	15,7	25,6
	03_24_B	Cluster 3	4,50	26,6	23,0	17,1	27,0
	03_24_C	Cluster 3	7,50	27,2	23,5	17,7	27,6
	03_25_A	Cluster 3	1,50	24,8	21,2	15,4	25,3
	03_25_B	Cluster 3	4,50	26,6	23,0	17,1	27,0
	03_25_C	Cluster 3	7,50	27,8	24,2	18,3	28,2
	03_26_A	Cluster 3	1,50	24,6	21,0	15,1	25,0
	03_26_B	Cluster 3	4,50	26,3	22,7	16,8	26,7
	03_26_C	Cluster 3	7,50	26,9	23,3	17,4	27,3
	03_27_A	Cluster 3	1,50	24,1	20,5	14,6	24,5
	03_27_B	Cluster 3	4,50	25,9	22,3	16,4	26,3
	03_27_C	Cluster 3	7,50	26,6	22,9	17,0	27,0
	03_28_A	Cluster 3	1,50	24,6	21,0	15,1	25,1
	03_28_B	Cluster 3	4,50	26,5	22,9	17,0	26,9
	03_28_C	Cluster 3	7,50	27,5	23,9	18,0	27,9
	03_29_A	Cluster 3	1,50	23,8	20,2	14,4	24,3
	03_29_B	Cluster 3	4,50	25,5	21,9	16,0	25,9
	03_29_C	Cluster 3	7,50	26,2	22,5	16,6	26,6
	03_30_A	Cluster 3	1,50	22,8	19,2	13,3	23,3
	03_30_B	Cluster 3	4,50	24,8	21,1	15,3	25,2
	03_30_C	Cluster 3	7,50	26,1	22,5	16,6	26,5
	03_31_A	Cluster 3	1,50	24,6	20,9	15,1	25,0
	03_31_B	Cluster 3	4,50	26,5	22,8	17,0	26,9
	03_31_C	Cluster 3	7,50	28,2	24,6	18,7	28,6
	03_32_A	Cluster 3	1,50	25,1	21,4	15,6	25,5
	03_32_B	Cluster 3	4,50	27,6	24,0	18,1	28,1
	03_32_C	Cluster 3	7,50	29,4	25,8	19,9	29,8
	03_33_A	Cluster 3	1,50	25,0	21,4	15,5	25,4
	03_33_B	Cluster 3	4,50	26,7	23,0	17,1	27,1
	03_33_C	Cluster 3	7,50	27,8	24,2	18,3	28,2
	03_34_A	Cluster 3	1,50	26,1	22,4	16,6	26,5
	03_34_B	Cluster 3	4,50	27,4	23,7	17,9	27,8
	03_34_C	Cluster 3	7,50	28,5	24,9	19,0	29,0
	03_35_A	Cluster 3	1,50	28,0	24,4	18,5	28,4
	03_35_B	Cluster 3	4,50	29,0	25,4	19,5	29,5
	03_35_C	Cluster 3	7,50	29,9	26,3	20,4	30,4
	03_36_A	Cluster 3	1,50	28,0	24,3	18,4	28,4
	03_36_B	Cluster 3	4,50	29,6	26,0	20,1	30,0
	03_36_C	Cluster 3	7,50	32,6	29,1	23,2	33,1
	03_37_A	Cluster 3	1,50	27,7	24,1	18,2	28,1
	03_37_B	Cluster 3	4,50	29,2	25,6	19,8	29,7
	03_37_C	Cluster 3	7,50	31,8	28,2	22,3	32,2
	03_38_A	Cluster 3	1,50	27,0	23,4	17,5	27,5
	03_38_B	Cluster 3	4,50	28,8	25,2	19,3	29,2
	03_38_C	Cluster 3	7,50	30,5	27,0	21,1	31,0
	03_39_A	Cluster 3	1,50	26,5	22,8	16,9	26,9
	03_39_B	Cluster 3	4,50	28,5	24,9	19,0	28,9
	03_39_C	Cluster 3	7,50	30,9	27,4	21,5	31,4

Alle getoonde dB-waarden zijn A-gewogen

Bijlage III-4 Rekenresultaten N337 (Van Oldenielstraat)

Rapport: Resultatentabel
 Model: Wegverkeermodel
 LAeq totaalresultaten voor toetspunten
 Groep: N337
 Groepsreductie: Ja

Naam	Toetspunt	Omschrijving	Hoogte	Dag	Avond	Nacht	Lden
	03_40_A	Cluster 3	1,50	25,7	22,0	16,2	26,1
	03_40_B	Cluster 3	4,50	27,2	23,5	17,7	27,6
	03_40_C	Cluster 3	7,50	29,9	26,3	20,4	30,3
	03_41_A	Cluster 3	1,50	25,9	22,2	16,4	26,3
	03_41_B	Cluster 3	4,50	27,1	23,5	17,6	27,5
	03_41_C	Cluster 3	7,50	29,6	26,0	20,1	30,0
	03_42_A	Cluster 3	1,50	26,7	23,1	17,2	27,1
	03_42_B	Cluster 3	4,50	28,1	24,4	18,5	28,5
	03_42_C	Cluster 3	7,50	31,4	27,9	22,0	31,9
	03_43_A	Cluster 3	1,50	30,2	26,6	20,7	30,6
	03_43_B	Cluster 3	4,50	31,8	28,2	22,3	32,2
	03_43_C	Cluster 3	7,50	34,1	30,5	24,7	34,6
	03_44_A	Cluster 3	1,50	30,4	26,8	20,9	30,8
	03_44_B	Cluster 3	4,50	32,0	28,3	22,5	32,4
	03_44_C	Cluster 3	7,50	33,6	29,9	24,1	34,0
	03_45_A	Cluster 3	1,50	31,0	27,3	21,5	31,4
	03_45_B	Cluster 3	4,50	32,6	28,9	23,1	33,0
	03_45_C	Cluster 3	7,50	34,4	30,8	25,0	34,9
	03_46_A	Cluster 3	1,50	31,2	27,5	21,7	31,6
	03_46_B	Cluster 3	4,50	32,7	29,1	23,2	33,1
	03_46_C	Cluster 3	7,50	34,4	30,7	24,9	34,8
	03_47_A	Cluster 3	1,50	28,9	25,3	19,4	29,3
	03_47_B	Cluster 3	4,50	30,1	26,4	20,6	30,5
	03_47_C	Cluster 3	7,50	33,0	29,4	23,5	33,5
	03_48_A	Cluster 3	1,50	26,9	23,3	17,4	27,3
	03_48_B	Cluster 3	4,50	27,4	23,8	17,9	27,8
	03_48_C	Cluster 3	7,50	29,1	25,5	19,6	29,5
	03_49_A	Cluster 3	1,50	26,7	23,0	17,1	27,1
	03_49_B	Cluster 3	4,50	27,1	23,5	17,6	27,5
	03_49_C	Cluster 3	7,50	29,3	25,7	19,8	29,7
	03_50_A	Cluster 3	1,50	25,3	21,6	15,7	25,7
	03_50_B	Cluster 3	4,50	26,5	22,9	17,0	26,9
	03_50_C	Cluster 3	7,50	29,0	25,4	19,5	29,4
	03_51_A	Cluster 3	1,50	24,5	20,8	15,0	24,9
	03_51_B	Cluster 3	4,50	27,0	23,3	17,4	27,4
	03_52_A	Cluster 3	1,50	25,9	22,2	16,4	26,3
	03_52_B	Cluster 3	4,50	29,0	25,3	19,5	29,4
	03_53_A	Cluster 3	1,50	26,3	22,6	16,7	26,7
	03_53_B	Cluster 3	4,50	29,2	25,5	19,6	29,6
	03_53_C	Cluster 3	7,50	33,5	29,9	24,1	33,9
	03_54_A	Cluster 3	1,50	27,7	24,0	18,2	28,1
	03_54_B	Cluster 3	4,50	30,2	26,6	20,7	30,6
	03_54_C	Cluster 3	7,50	34,0	30,4	24,6	34,5
	03_55_A	Cluster 3	1,50	27,3	23,6	17,8	27,7
	03_55_B	Cluster 3	4,50	29,8	26,1	20,3	30,2
	03_55_C	Cluster 3	7,50	31,9	28,2	22,4	32,3
	03_56_A	Cluster 3	1,50	28,3	24,7	18,8	28,7
	03_56_B	Cluster 3	4,50	30,0	26,3	20,5	30,4
	03_56_C	Cluster 3	7,50	31,3	27,7	21,8	31,7
	03_57_A	Cluster 3	1,50	28,6	24,9	19,0	29,0
	03_57_B	Cluster 3	4,50	29,6	26,0	20,1	30,0
	03_57_C	Cluster 3	7,50	30,9	27,3	21,4	31,3
	03_58_A	Cluster 3	1,50	28,9	25,3	19,4	29,3
	03_58_B	Cluster 3	4,50	29,0	25,4	19,5	29,4
	03_58_C	Cluster 3	7,50	30,2	26,5	20,7	30,6
	03_59_A	Cluster 3	1,50	28,6	25,0	19,1	29,0
	03_59_B	Cluster 3	4,50	29,4	25,7	19,9	29,8
	03_59_C	Cluster 3	7,50	30,7	27,0	21,2	31,1
	03_60_A	Cluster 3	1,50	28,2	24,5	18,7	28,6
	03_60_B	Cluster 3	4,50	28,8	25,2	19,3	29,2
	03_60_C	Cluster 3	7,50	30,0	26,4	20,5	30,4
	03_61_A	Cluster 3	1,50	28,6	24,9	19,1	29,0
	03_61_B	Cluster 3	4,50	28,8	25,1	19,3	29,2
	03_61_C	Cluster 3	7,50	29,7	26,1	20,2	30,1
	03_62_A	Cluster 3	1,50	28,9	25,2	19,3	29,3
	03_62_B	Cluster 3	4,50	29,5	25,8	20,0	29,9
	03_62_C	Cluster 3	7,50	31,4	27,8	21,9	31,8
	03_63_A	Cluster 3	1,50	27,0	23,4	17,5	27,5
	03_63_B	Cluster 3	4,50	28,6	25,0	19,1	29,0
	03_63_C	Cluster 3	7,50	30,6	27,0	21,1	31,0
	03_64_A	Cluster 3	1,50	28,4	24,8	18,9	28,8
	03_64_B	Cluster 3	4,50	29,4	25,8	19,9	29,9
	03_64_C	Cluster 3	7,50	30,8	27,2	21,4	31,3
	03_65_A	Cluster 3	1,50	28,8	25,2	19,3	29,3

Alle getoonde dB-waarden zijn A-gewogen

Bijlage III-4 Rekenresultaten N337 (Van Oldenielstraat)

Rapport: Resultatentabel
 Model: Wegverkeermodel
 LAeq totaalresultaten voor toetspunten
 Groep: N337
 Groepsreductie: Ja

Naam	Toetspunt	Omschrijving	Hoogte	Dag	Avond	Nacht	Lden
	03_65_B	Cluster 3	4,50	30,2	26,5	20,7	30,6
	03_65_C	Cluster 3	7,50	32,6	28,9	23,1	33,0
	03_66_A	Cluster 3	1,50	27,4	23,8	17,9	27,8
	03_66_B	Cluster 3	4,50	29,4	25,8	19,9	29,9
	03_66_C	Cluster 3	7,50	33,3	29,7	23,8	33,7
	03_67_A	Cluster 3	1,50	25,8	22,1	16,3	26,2
	03_67_B	Cluster 3	4,50	28,5	24,8	18,9	28,9
	03_67_C	Cluster 3	7,50	31,8	28,2	22,3	32,2
	03_68_A	Cluster 3	1,50	29,6	26,0	20,1	30,0
	03_68_B	Cluster 3	4,50	31,1	27,4	21,6	31,5
	03_68_C	Cluster 3	7,50	33,4	29,8	23,9	33,8
	03_69_A	Cluster 3	1,50	29,6	25,9	20,1	30,0
	03_69_B	Cluster 3	4,50	31,1	27,4	21,6	31,5
	03_69_C	Cluster 3	7,50	33,6	30,0	24,2	34,0
	03_70_A	Cluster 3	1,50	29,0	25,3	19,5	29,4
	03_70_B	Cluster 3	4,50	30,4	26,8	20,9	30,8
	03_70_C	Cluster 3	7,50	32,6	29,0	23,2	33,1
	03_71_A	Cluster 3	1,50	30,8	27,2	21,4	31,3
	03_71_B	Cluster 3	4,50	31,7	28,1	22,2	32,1
	03_71_C	Cluster 3	7,50	32,8	29,2	23,3	33,2
	03_72_A	Cluster 3	1,50	28,2	24,5	18,7	28,6
	03_72_B	Cluster 3	4,50	30,0	26,4	20,5	30,4
	03_72_C	Cluster 3	7,50	32,1	28,5	22,6	32,5
	03_73_A	Cluster 3	1,50	28,0	24,4	18,5	28,4
	03_73_B	Cluster 3	4,50	29,7	26,1	20,2	30,1
	03_73_C	Cluster 3	7,50	31,6	28,0	22,2	32,1
	03_74_A	Cluster 3	1,50	27,4	23,8	17,9	27,9
	03_74_B	Cluster 3	4,50	29,2	25,6	19,7	29,6
	03_74_C	Cluster 3	7,50	30,7	27,1	21,2	31,1
	03_75_A	Cluster 3	1,50	29,3	25,7	19,8	29,7
	03_75_B	Cluster 3	4,50	30,7	27,0	21,2	31,1
	03_75_C	Cluster 3	7,50	32,3	28,7	22,9	32,8
	03_76_A	Cluster 3	1,50	29,4	25,8	19,9	29,9
	03_76_B	Cluster 3	4,50	30,9	27,3	21,4	31,3
	03_76_C	Cluster 3	7,50	32,5	28,9	23,1	33,0
	03_77_A	Cluster 3	1,50	29,1	25,5	19,6	29,5
	03_77_B	Cluster 3	4,50	30,5	26,9	21,0	30,9
	03_77_C	Cluster 3	7,50	32,0	28,4	22,6	32,5
	03_78_A	Cluster 3	1,50	29,6	26,0	20,1	30,0
	03_78_B	Cluster 3	4,50	30,7	27,1	21,2	31,2
	03_78_C	Cluster 3	7,50	32,2	28,6	22,8	32,7
	03_79_A	Cluster 3	1,50	29,4	25,8	19,9	29,8
	03_79_B	Cluster 3	4,50	30,6	27,0	21,1	31,1
	03_79_C	Cluster 3	7,50	32,4	28,8	22,9	32,8
	03_80_A	Cluster 3	1,50	29,4	25,8	19,9	29,9
	03_80_B	Cluster 3	4,50	31,2	27,6	21,7	31,6
	03_80_C	Cluster 3	7,50	32,8	29,2	23,3	33,2
	03_81_A	Cluster 3	1,50	28,7	25,1	19,2	29,1
	03_81_B	Cluster 3	4,50	31,1	27,5	21,6	31,5
	03_81_C	Cluster 3	7,50	32,7	29,1	23,2	33,1
	03_82_A	Cluster 3	1,50	26,8	23,2	17,3	27,2
	03_82_B	Cluster 3	4,50	29,0	25,3	19,5	29,4
	03_82_C	Cluster 3	7,50	32,5	28,9	23,0	33,0
	03_83_A	Cluster 3	1,50	27,3	23,7	17,8	27,7
	03_83_B	Cluster 3	4,50	28,1	24,5	18,6	28,5
	03_83_C	Cluster 3	7,50	32,4	28,8	22,9	32,9
	03_84_A	Cluster 3	1,50	27,4	23,7	17,8	27,8
	03_84_B	Cluster 3	4,50	27,3	23,7	17,8	27,7
	03_84_C	Cluster 3	7,50	28,3	24,6	18,8	28,7
	03_85_A	Cluster 3	1,50	27,4	23,8	17,9	27,8
	03_85_B	Cluster 3	4,50	27,6	24,0	18,2	28,1
	03_85_C	Cluster 3	7,50	28,7	25,0	19,2	29,1
	03_86_A	Cluster 3	1,50	23,7	20,1	14,2	24,1
	03_86_B	Cluster 3	4,50	24,9	21,2	15,3	25,3
	03_86_C	Cluster 3	7,50	31,1	27,5	21,6	31,5
	03_87_A	Cluster 3	1,50	27,7	24,1	18,2	28,1
	03_87_B	Cluster 3	4,50	28,8	25,2	19,4	29,3
	03_87_C	Cluster 3	7,50	29,3	25,7	19,8	29,8
	04_01_A	Cluster 4	1,50	26,2	22,5	16,7	26,6
	04_01_B	Cluster 4	4,50	30,3	26,8	20,9	30,8
	04_01_C	Cluster 4	7,50	31,8	28,2	22,3	32,2
	04_02_A	Cluster 4	1,50	24,0	20,4	14,5	24,4
	04_02_B	Cluster 4	4,50	25,5	21,9	16,0	25,9
	04_02_C	Cluster 4	7,50	27,7	24,1	18,2	28,2

Alle getoonde dB-waarden zijn A-gewogen

Bijlage III-4 Rekenresultaten N337 (Van Oldenielstraat)

Rapport: Resultatentabel
 Model: Wegverkeermodel
 LAeq totaalresultaten voor toetspunten
 Groep: N337
 Groepsreductie: Ja

Naam						
Toetspunt	Omschrijving	Hoogte	Dag	Avond	Nacht	Lden
04_03_A	Cluster 4	1,50	23,6	19,9	14,1	24,0
04_03_B	Cluster 4	4,50	25,1	21,4	15,6	25,5
04_03_C	Cluster 4	7,50	26,4	22,8	16,9	26,8
04_04_A	Cluster 4	1,50	21,9	18,2	12,4	22,3
04_04_B	Cluster 4	4,50	23,6	19,9	14,0	24,0
04_04_C	Cluster 4	7,50	25,1	21,4	15,5	25,5
04_05_A	Cluster 4	1,50	25,4	21,7	15,9	25,8
04_05_B	Cluster 4	4,50	28,0	24,3	18,5	28,4
04_05_C	Cluster 4	7,50	30,9	27,4	21,5	31,4
04_06_A	Cluster 4	1,50	24,0	20,3	14,5	24,4
04_06_B	Cluster 4	4,50	26,0	22,3	16,5	26,4
04_06_C	Cluster 4	7,50	28,0	24,3	18,4	28,4
04_07_A	Cluster 4	1,50	23,1	19,4	13,6	23,5
04_07_B	Cluster 4	4,50	24,1	20,4	14,5	24,5
04_07_C	Cluster 4	7,50	26,1	22,4	16,5	26,5
04_08_A	Cluster 4	1,50	22,1	18,4	12,5	22,5
04_08_B	Cluster 4	4,50	23,9	20,1	14,3	24,2
04_08_C	Cluster 4	7,50	25,6	21,9	16,1	26,0
04_09_A	Cluster 4	1,50	22,1	18,4	12,5	22,5
04_09_B	Cluster 4	4,50	24,0	20,3	14,4	24,4
04_09_C	Cluster 4	7,50	25,6	21,9	16,1	26,0
04_10_A	Cluster 4	1,50	22,1	18,4	12,6	22,5
04_10_B	Cluster 4	4,50	25,0	21,3	15,5	25,4
04_10_C	Cluster 4	7,50	27,5	23,8	17,9	27,9
04_11_A	Cluster 4	1,50	22,5	18,9	13,0	22,9
04_11_B	Cluster 4	4,50	24,9	21,2	15,3	25,3
04_11_C	Cluster 4	7,50	27,3	23,7	17,8	27,7
04_12_A	Cluster 4	1,50	22,4	18,7	12,8	22,8
04_12_B	Cluster 4	4,50	24,7	21,0	15,1	25,1
04_12_C	Cluster 4	7,50	27,4	23,7	17,9	27,8
04_13_A	Cluster 4	1,50	21,9	18,2	12,3	22,3
04_13_B	Cluster 4	4,50	24,7	21,0	15,2	25,1
04_13_C	Cluster 4	7,50	27,4	23,8	17,9	27,8
04_14_A	Cluster 4	1,50	22,3	18,6	12,8	22,7
04_14_B	Cluster 4	4,50	24,7	20,9	15,1	25,0
04_14_C	Cluster 4	7,50	27,1	23,4	17,6	27,5
04_15_A	Cluster 4	1,50	21,9	18,1	12,3	22,2
04_15_B	Cluster 4	4,50	23,9	20,2	14,3	24,3
04_15_C	Cluster 4	7,50	26,0	22,3	16,5	26,4
04_16_A	Cluster 4	1,50	21,4	17,7	11,9	21,8
04_16_B	Cluster 4	4,50	23,5	19,8	14,0	23,9
04_16_C	Cluster 4	7,50	25,5	21,9	16,0	25,9
04_17_A	Cluster 4	1,50	--	--	--	--
04_17_B	Cluster 4	4,50	23,5	19,8	14,0	23,9
04_17_C	Cluster 4	7,50	26,7	23,0	17,2	27,1
04_18_A	Cluster 4	1,50	22,0	18,3	12,5	22,4
04_18_B	Cluster 4	4,50	24,5	20,8	14,9	24,9
04_18_C	Cluster 4	7,50	27,0	23,3	17,4	27,4
04_19_A	Cluster 4	1,50	22,0	18,3	12,4	22,4
04_19_B	Cluster 4	4,50	24,1	20,4	14,5	24,5
04_19_C	Cluster 4	7,50	27,1	23,4	17,6	27,5
04_20_A	Cluster 4	1,50	20,9	17,2	11,4	21,3
04_20_B	Cluster 4	4,50	22,8	19,0	13,2	23,1
04_20_C	Cluster 4	7,50	26,1	22,5	16,6	26,5
04_21_A	Cluster 4	1,50	21,8	18,1	12,2	22,2
04_21_B	Cluster 4	4,50	24,2	20,5	14,6	24,6
04_21_C	Cluster 4	7,50	27,2	23,5	17,6	27,6
04_22_A	Cluster 4	1,50	21,9	18,2	12,4	22,3
04_22_B	Cluster 4	4,50	23,6	19,9	14,1	24,0
04_22_C	Cluster 4	7,50	25,0	21,3	15,5	25,4
04_23_A	Cluster 4	1,50	21,9	18,2	12,3	22,3
04_23_B	Cluster 4	4,50	23,3	19,6	13,8	23,7
04_23_C	Cluster 4	7,50	25,0	21,2	15,4	25,3
04_24_A	Cluster 4	1,50	22,4	18,7	12,8	22,8
04_24_B	Cluster 4	4,50	24,1	20,4	14,5	24,5
04_24_C	Cluster 4	7,50	25,3	21,6	15,7	25,7
04_25_A	Cluster 4	1,50	22,7	19,0	13,2	23,1
04_25_B	Cluster 4	4,50	24,5	20,8	14,9	24,9
04_25_C	Cluster 4	7,50	26,7	23,0	17,2	27,1
04_26_A	Cluster 4	1,50	23,0	19,3	13,4	23,4
04_26_B	Cluster 4	4,50	24,5	20,8	14,9	24,9
04_26_C	Cluster 4	7,50	25,7	22,0	16,1	26,0
04_27_A	Cluster 4	1,50	23,3	19,6	13,8	23,7
04_27_B	Cluster 4	4,50	24,8	21,1	15,3	25,2

Alle getoonde dB-waarden zijn A-gewogen

Bijlage III-4 Rekenresultaten N337 (Van Oldenielstraat)

Rapport: Resultatentabel
 Model: Wegverkeermodel
 LAeq totaalresultaten voor toetspunten
 Groep: N337
 Groepsreductie: Ja

Naam	Toetspunt	Omschrijving	Hoogte	Dag	Avond	Nacht	Lden
04_27_C	Cluster 4		7,50	26,0	22,4	16,5	26,4
04_27_D	Cluster 4		10,50	26,9	23,2	17,4	27,3
04_28_A	Cluster 4		1,50	20,7	17,0	11,2	21,1
04_28_B	Cluster 4		4,50	22,0	18,2	12,4	22,3
04_28_C	Cluster 4		7,50	22,7	19,0	13,2	23,1
04_28_D	Cluster 4		10,50	21,5	17,8	12,0	21,9
04_29_A	Cluster 4		1,50	20,8	17,1	11,2	21,2
04_29_B	Cluster 4		4,50	21,9	18,1	12,3	22,2
04_29_C	Cluster 4		7,50	22,2	18,5	12,6	22,6
04_29_D	Cluster 4		10,50	19,7	15,9	10,1	20,0
04_30_A	Cluster 4		1,50	21,2	17,5	11,7	21,6
04_30_B	Cluster 4		4,50	22,6	18,9	13,1	23,0
04_30_C	Cluster 4		7,50	23,3	19,6	13,7	23,7
04_30_D	Cluster 4		10,50	21,1	17,4	11,5	21,5
04_31_A	Cluster 4		1,50	21,0	17,3	11,4	21,4
04_31_B	Cluster 4		4,50	22,1	18,4	12,5	22,5
04_31_C	Cluster 4		7,50	22,2	18,4	12,6	22,5
04_31_D	Cluster 4		10,50	20,3	16,6	10,7	20,7
04_32_A	Cluster 4		1,50	20,7	17,0	11,1	21,1
04_32_B	Cluster 4		4,50	21,5	17,8	11,9	21,9
04_32_C	Cluster 4		7,50	21,6	17,9	12,0	22,0
04_32_D	Cluster 4		10,50	18,3	14,5	8,7	18,7
04_33_A	Cluster 4		1,50	21,0	17,3	11,5	21,4
04_33_B	Cluster 4		4,50	22,0	18,2	12,4	22,4
04_33_C	Cluster 4		7,50	22,1	18,3	12,4	22,4
04_33_D	Cluster 4		10,50	18,5	14,8	8,9	18,9
04_34_A	Cluster 4		1,50	21,7	17,9	12,1	22,1
04_34_B	Cluster 4		4,50	22,9	19,2	13,3	23,3
04_34_C	Cluster 4		7,50	23,5	19,7	13,9	23,8
04_34_D	Cluster 4		10,50	21,4	17,7	11,9	21,8
04_35_A	Cluster 4		1,50	21,6	17,8	12,0	21,9
04_35_B	Cluster 4		4,50	23,0	19,3	13,4	23,4
04_35_C	Cluster 4		7,50	23,9	20,2	14,3	24,3
04_35_D	Cluster 4		10,50	21,2	17,4	11,6	21,5
04_36_A	Cluster 4		1,50	21,8	18,1	12,2	22,2
04_36_B	Cluster 4		4,50	23,2	19,5	13,6	23,6
04_36_C	Cluster 4		7,50	24,2	20,5	14,6	24,5
04_36_D	Cluster 4		10,50	21,4	17,7	11,8	21,8
04_37_A	Cluster 4		1,50	22,7	19,0	13,1	23,1
04_37_B	Cluster 4		4,50	24,2	20,5	14,6	24,6
04_37_C	Cluster 4		7,50	24,8	21,1	15,2	25,2
04_37_D	Cluster 4		10,50	22,5	18,7	12,9	22,8
04_38_A	Cluster 4		1,50	22,4	18,7	12,9	22,8
04_38_B	Cluster 4		4,50	23,6	19,9	14,0	24,0
04_38_C	Cluster 4		7,50	24,3	20,5	14,7	24,6
04_38_D	Cluster 4		10,50	22,0	18,3	12,5	22,4
04_39_A	Cluster 4		1,50	22,5	18,8	12,9	22,9
04_39_B	Cluster 4		4,50	23,9	20,1	14,3	24,2
04_40_A	Cluster 4		1,50	22,8	19,1	13,3	23,2
04_40_B	Cluster 4		4,50	24,1	20,4	14,5	24,5
04_41_A	Cluster 4		1,50	23,6	19,9	14,1	24,0
04_41_B	Cluster 4		4,50	24,2	20,5	14,7	24,6
04_42_A	Cluster 4		1,50	22,8	19,1	13,3	23,2
04_42_B	Cluster 4		4,50	22,6	18,9	13,0	23,0
04_43_A	Cluster 4		1,50	24,5	20,8	15,0	24,9
04_43_B	Cluster 4		4,50	24,8	21,1	15,3	25,2
04_43_C	Cluster 4		7,50	25,8	22,1	16,3	26,2
04_44_A	Cluster 4		1,50	24,9	21,2	15,4	25,3
04_44_B	Cluster 4		4,50	26,7	23,0	17,1	27,1
04_44_C	Cluster 4		7,50	28,3	24,7	18,8	28,7
04_45_A	Cluster 4		1,50	23,3	19,6	13,8	23,7
04_45_B	Cluster 4		4,50	25,1	21,4	15,6	25,5
04_45_C	Cluster 4		7,50	26,3	22,6	16,8	26,7
04_46_A	Cluster 4		1,50	23,2	19,6	13,7	23,6
04_46_B	Cluster 4		4,50	25,3	21,6	15,8	25,7
04_47_A	Cluster 4		1,50	23,4	19,7	13,9	23,8
04_47_B	Cluster 4		4,50	25,1	21,4	15,6	25,5
04_48_A	Cluster 4		1,50	23,8	20,1	14,3	24,2
04_48_B	Cluster 4		4,50	25,8	22,0	16,2	26,1
04_48_C	Cluster 4		7,50	28,2	24,6	18,7	28,7
04_48_D	Cluster 4		10,50	30,1	26,5	20,7	30,6
04_49_A	Cluster 4		1,50	22,9	19,2	13,3	23,3
04_49_B	Cluster 4		4,50	24,7	21,0	15,1	25,1
04_49_C	Cluster 4		7,50	27,3	23,7	17,8	27,7

Alle getoonde dB-waarden zijn A-gewogen

Bijlage III-4 Rekenresultaten N337 (Van Oldenielstraat)

Rapport: Resultatentabel
 Model: Wegverkeermodel
 LAeq totaalresultaten voor toetspunten
 Groep: N337
 Groepsreductie: Ja

Naam	Toetspunt	Omschrijving	Hoogte	Dag	Avond	Nacht	Lden
04_49_D	Cluster 4		10,50	28,5	25,0	19,1	29,0
04_50_A	Cluster 4		1,50	24,9	21,2	15,4	25,3
04_50_B	Cluster 4		4,50	28,9	25,3	19,5	29,3
04_50_C	Cluster 4		7,50	30,7	27,1	21,3	31,1
04_50_D	Cluster 4		10,50	30,6	27,1	21,2	31,1
04_51_A	Cluster 4		1,50	24,3	20,6	14,7	24,6
04_51_B	Cluster 4		4,50	26,4	22,7	16,8	26,8
04_51_C	Cluster 4		7,50	29,8	26,2	20,4	30,3
04_51_D	Cluster 4		10,50	30,7	27,2	21,3	31,2
04_52_A	Cluster 4		1,50	24,1	20,5	14,6	24,5
04_52_B	Cluster 4		4,50	26,2	22,6	16,7	26,6
04_52_C	Cluster 4		7,50	28,4	24,8	18,9	28,8
04_52_D	Cluster 4		10,50	30,0	26,5	20,6	30,5
04_53_A	Cluster 4		1,50	24,4	20,7	14,9	24,8
04_53_B	Cluster 4		4,50	26,4	22,7	16,8	26,8
04_53_C	Cluster 4		7,50	28,4	24,7	18,9	28,8
04_53_D	Cluster 4		10,50	29,8	26,3	20,4	30,3
04_54_A	Cluster 4		1,50	23,9	20,2	14,4	24,3
04_54_B	Cluster 4		4,50	25,9	22,2	16,3	26,2
04_54_C	Cluster 4		7,50	27,6	23,9	18,1	28,0
04_54_D	Cluster 4		10,50	28,0	24,4	18,5	28,4
04_55_A	Cluster 4		1,50	24,1	20,4	14,5	24,5
04_55_B	Cluster 4		4,50	26,0	22,3	16,4	26,4
04_55_C	Cluster 4		7,50	27,7	24,0	18,1	28,1
04_55_D	Cluster 4		10,50	27,9	24,3	18,4	28,3
04_56_A	Cluster 4		1,50	23,6	19,9	14,1	24,0
04_56_B	Cluster 4		4,50	25,6	21,9	16,1	26,0
04_56_C	Cluster 4		7,50	27,4	23,8	17,9	27,8
04_56_D	Cluster 4		10,50	27,2	23,5	17,6	27,6
04_57_A	Cluster 4		1,50	23,0	19,3	13,5	23,4
04_57_B	Cluster 4		4,50	24,6	20,9	15,1	25,0
04_57_C	Cluster 4		7,50	26,7	23,0	17,1	27,1
04_57_D	Cluster 4		10,50	27,6	24,0	18,1	28,1
04_58_A	Cluster 4		1,50	23,3	19,6	13,8	23,7
04_58_B	Cluster 4		4,50	25,5	21,8	16,0	25,9
04_58_C	Cluster 4		7,50	28,1	24,4	18,6	28,5
04_58_D	Cluster 4		10,50	28,0	24,4	18,5	28,5
04_59_A	Cluster 4		1,50	22,6	18,9	13,1	23,0
04_59_B	Cluster 4		4,50	24,2	20,5	14,6	24,6
04_59_C	Cluster 4		7,50	26,0	22,4	16,5	26,4
04_60_A	Cluster 4		1,50	21,5	17,9	12,0	21,9
04_60_B	Cluster 4		4,50	23,1	19,4	13,6	23,5
04_60_C	Cluster 4		7,50	26,3	22,6	16,7	26,7
04_61_A	Cluster 4		1,50	17,9	14,2	8,4	18,3
04_61_B	Cluster 4		4,50	19,9	16,2	10,3	20,3
04_61_C	Cluster 4		7,50	23,2	19,5	13,6	23,6
04_62_A	Cluster 4		1,50	22,8	19,1	13,2	23,2
04_62_B	Cluster 4		4,50	25,2	21,5	15,7	25,6
04_62_C	Cluster 4		7,50	27,4	23,7	17,8	27,8
04_63_A	Cluster 4		1,50	21,6	17,9	12,0	22,0
04_63_B	Cluster 4		4,50	24,2	20,5	14,6	24,6
04_63_C	Cluster 4		7,50	26,5	22,9	17,0	26,9
04_64_A	Cluster 4		1,50	20,7	17,0	11,1	21,1
04_64_B	Cluster 4		4,50	23,4	19,7	13,9	23,8
04_64_C	Cluster 4		7,50	26,6	22,9	17,1	27,0
05_01_A	Cluster 5		1,50	19,6	15,9	10,0	20,0
05_01_B	Cluster 5		4,50	21,2	17,5	11,7	21,6
05_01_C	Cluster 5		7,50	22,9	19,1	13,3	23,3
05_02_A	Cluster 5		1,50	23,3	19,6	13,8	23,7
05_02_B	Cluster 5		4,50	24,8	21,1	15,2	25,2
05_02_C	Cluster 5		7,50	26,6	22,9	17,1	27,0
05_03_A	Cluster 5		1,50	29,1	25,5	19,6	29,6
05_03_B	Cluster 5		4,50	29,9	26,2	20,3	30,3
05_03_C	Cluster 5		7,50	32,3	28,7	22,9	32,8
05_04_A	Cluster 5		1,50	27,1	23,4	17,6	27,5
05_04_B	Cluster 5		4,50	28,8	25,2	19,3	29,3
05_04_C	Cluster 5		7,50	30,8	27,2	21,4	31,3
05_05_A	Cluster 5		1,50	23,5	19,9	14,0	24,0
05_05_B	Cluster 5		4,50	25,0	21,3	15,5	25,4
05_05_C	Cluster 5		7,50	26,5	22,9	17,0	26,9
05_06_A	Cluster 5		1,50	29,0	25,4	19,5	29,4
05_06_B	Cluster 5		4,50	30,1	26,5	20,6	30,6
05_06_C	Cluster 5		7,50	31,6	28,0	22,2	32,1
05_07_A	Cluster 5		1,50	29,7	26,0	20,2	30,1

Alle getoonde dB-waarden zijn A-gewogen

Bijlage III-4 Rekenresultaten N337 (Van Oldenielstraat)

Rapport: Resultatentabel
 Model: Wegverkeermodel
 LAeq totaalresultaten voor toetspunten
 Groep: N337
 Groepsreductie: Ja

Naam	Toetspunt	Omschrijving	Hoogte	Dag	Avond	Nacht	Lden
05_07_B	Cluster 5		4,50	31,7	28,0	22,2	32,1
05_07_C	Cluster 5		7,50	34,4	30,9	25,0	34,9
05_08_A	Cluster 5		1,50	27,7	24,0	18,1	28,1
05_08_B	Cluster 5		4,50	28,3	24,6	18,8	28,7
05_08_C	Cluster 5		7,50	31,2	27,6	21,7	31,6
05_09_A	Cluster 5		1,50	25,7	22,1	16,2	26,1
05_09_B	Cluster 5		4,50	27,2	23,5	17,7	27,6
05_09_C	Cluster 5		7,50	28,7	25,0	19,2	29,1
05_10_A	Cluster 5		1,50	29,2	25,6	19,7	29,7
05_10_B	Cluster 5		4,50	30,7	27,0	21,2	31,1
05_10_C	Cluster 5		7,50	32,1	28,5	22,6	32,5
05_11_A	Cluster 5		1,50	29,8	26,1	20,3	30,2
05_11_B	Cluster 5		4,50	31,7	28,0	22,2	32,1
05_11_C	Cluster 5		7,50	33,9	30,3	24,4	34,3
05_12_A	Cluster 5		1,50	28,7	25,0	19,2	29,1
05_12_B	Cluster 5		4,50	30,6	27,0	21,1	31,0
05_12_C	Cluster 5		7,50	33,6	30,0	24,2	34,1
05_13_A	Cluster 5		1,50	27,3	23,6	17,8	27,7
05_13_B	Cluster 5		4,50	28,3	24,6	18,8	28,7
05_13_C	Cluster 5		7,50	31,3	27,6	21,8	31,7
05_14_A	Cluster 5		1,50	30,3	26,6	20,7	30,7
05_14_B	Cluster 5		4,50	32,6	29,0	23,1	33,1
05_14_C	Cluster 5		7,50	34,5	30,9	25,1	35,0
05_15_A	Cluster 5		1,50	30,2	26,5	20,6	30,6
05_15_B	Cluster 5		4,50	32,4	28,7	22,9	32,8
05_15_C	Cluster 5		7,50	34,2	30,6	24,7	34,7
05_16_A	Cluster 5		1,50	29,1	25,5	19,6	29,5
05_16_B	Cluster 5		4,50	30,8	27,2	21,3	31,2
05_16_C	Cluster 5		7,50	33,8	30,2	24,3	34,2
05_17_A	Cluster 5		1,50	25,4	21,8	15,9	25,8
05_17_B	Cluster 5		4,50	26,1	22,4	16,5	26,5
05_17_C	Cluster 5		7,50	27,9	24,2	18,4	28,3
05_18_A	Cluster 5		1,50	25,7	22,1	16,2	26,1
05_18_B	Cluster 5		4,50	26,6	22,9	17,1	27,0
05_18_C	Cluster 5		7,50	28,1	24,4	18,6	28,5
05_19_A	Cluster 5		1,50	29,9	26,2	20,4	30,3
05_19_B	Cluster 5		4,50	31,9	28,2	22,4	32,3
05_19_C	Cluster 5		7,50	34,4	30,9	25,0	34,9
05_20_A	Cluster 5		1,50	27,6	23,9	18,0	28,0
05_20_B	Cluster 5		4,50	28,7	25,0	19,2	29,1
05_20_C	Cluster 5		7,50	31,5	27,8	22,0	31,9
05_21_A	Cluster 5		1,50	24,7	21,0	15,2	25,1
05_21_B	Cluster 5		4,50	26,6	22,9	17,1	27,0
05_21_C	Cluster 5		7,50	28,6	25,0	19,1	29,1
05_22_A	Cluster 5		1,50	27,5	23,8	18,0	27,9
05_22_B	Cluster 5		4,50	29,7	26,0	20,2	30,1
05_22_C	Cluster 5		7,50	31,0	27,3	21,5	31,4
05_23_A	Cluster 5		1,50	27,7	24,1	18,2	28,2
05_23_B	Cluster 5		4,50	30,5	26,8	21,0	30,9
05_23_C	Cluster 5		7,50	32,0	28,4	22,5	32,4
05_24_A	Cluster 5		1,50	28,3	24,6	18,8	28,7
05_24_B	Cluster 5		4,50	30,1	26,5	20,6	30,6
05_24_C	Cluster 5		7,50	31,6	28,1	22,2	32,1
05_25_A	Cluster 5		1,50	28,0	24,3	18,5	28,4
05_25_B	Cluster 5		4,50	29,3	25,6	19,8	29,7
05_25_C	Cluster 5		7,50	30,8	27,2	21,4	31,2
05_26_A	Cluster 5		1,50	27,6	24,0	18,1	28,0
05_26_B	Cluster 5		4,50	29,0	25,4	19,5	29,4
05_26_C	Cluster 5		7,50	31,3	27,8	22,0	31,8
05_27_A	Cluster 5		1,50	26,4	22,7	16,9	26,8
05_27_B	Cluster 5		4,50	28,0	24,3	18,5	28,4
05_27_C	Cluster 5		7,50	30,1	26,5	20,7	30,5
05_28_A	Cluster 5		1,50	27,1	23,4	17,6	27,5
05_28_B	Cluster 5		4,50	28,3	24,6	18,8	28,7
05_28_C	Cluster 5		7,50	30,0	26,5	20,6	30,5
05_29_A	Cluster 5		1,50	26,8	23,2	17,3	27,2
05_29_B	Cluster 5		4,50	28,0	24,3	18,5	28,4
05_29_C	Cluster 5		7,50	31,4	27,9	22,0	31,9
05_30_A	Cluster 5		1,50	21,4	17,7	11,8	21,8
05_30_B	Cluster 5		4,50	22,8	19,0	13,2	23,1
05_30_C	Cluster 5		7,50	23,1	19,3	13,5	23,4
05_31_A	Cluster 5		1,50	26,0	22,3	16,4	26,4
05_31_B	Cluster 5		4,50	27,2	23,5	17,6	27,6
05_31_C	Cluster 5		7,50	28,8	25,1	19,3	29,2

Alle getoonde dB-waarden zijn A-gewogen

Bijlage III-4 Rekenresultaten N337 (Van Oldenielstraat)

Rapport: Resultatentabel
 Model: Wegverkeermodel
 LAgg totaalresultaten voor toetspunten
 Groep: N337
 Groepsreductie: Ja

Naam	Toetspunt	Omschrijving	Hoogte	Dag	Avond	Nacht	Lden
05_32_A	Cluster 5		1,50	27,2	23,5	17,6	27,6
05_32_B	Cluster 5		4,50	28,7	25,0	19,2	29,1
05_32_C	Cluster 5		7,50	30,4	26,8	21,0	30,9
05_33_A	Cluster 5		1,50	27,0	23,3	17,4	27,4
05_33_B	Cluster 5		4,50	28,6	25,0	19,1	29,0
05_33_C	Cluster 5		7,50	30,5	26,9	21,0	30,9
05_34_A	Cluster 5		1,50	27,1	23,4	17,6	27,5
05_34_B	Cluster 5		4,50	28,4	24,7	18,9	28,8
05_34_C	Cluster 5		7,50	30,8	27,1	21,3	31,2
05_35_A	Cluster 5		1,50	27,3	23,6	17,8	27,7
05_35_B	Cluster 5		4,50	28,7	25,0	19,2	29,1
05_35_C	Cluster 5		7,50	30,2	26,5	20,7	30,6
05_36_A	Cluster 5		1,50	27,4	23,8	17,9	27,8
05_36_B	Cluster 5		4,50	29,2	25,5	19,6	29,6
05_36_C	Cluster 5		7,50	31,0	27,4	21,5	31,4
S_01_A	SMCD		2,00	26,3	22,6	16,8	26,7
S_01_B	SMCD		5,00	29,3	25,7	19,9	29,8
S_02_A	SMCD		2,00	26,7	23,1	17,2	27,1
S_02_B	SMCD		5,00	29,9	26,3	20,4	30,3
S_03_A	SMCD		2,00	24,8	21,2	15,3	25,3
S_03_B	SMCD		5,00	28,6	25,0	19,2	29,1
S_04_A	SMCD		2,00	25,1	21,5	15,6	25,5
S_04_B	SMCD		5,00	27,0	23,3	17,5	27,4
S_05_A	SMCD		2,00	23,2	19,6	13,7	23,6
S_05_B	SMCD		5,00	25,2	21,5	15,6	25,6
S_06_A	SMCD		2,00	21,5	17,8	12,0	21,9
S_06_B	SMCD		5,00	22,8	19,0	13,2	23,2
S_07_A	SMCD		2,00	21,6	17,9	12,0	22,0
S_07_B	SMCD		5,00	23,0	19,3	13,4	23,4
S_08_A	SMCD		1,50	29,9	26,2	20,4	30,3
S_08_B	SMCD		5,00	32,0	28,4	22,5	32,4
S_08_C	SMCD		8,50	34,2	30,7	24,8	34,7
S_08_D	SMCD		12,00	33,5	30,0	24,2	34,0
S_09_A	SMCD		1,50	30,0	26,3	20,4	30,4
S_09_B	SMCD		5,00	31,6	27,9	22,1	32,0
S_09_C	SMCD		8,50	34,1	30,5	24,6	34,5
S_09_D	SMCD		12,00	32,8	29,3	23,4	33,3
S_10_A	SMCD		1,50	30,0	26,3	20,4	30,4
S_10_B	SMCD		5,00	31,1	27,5	21,6	31,6
S_10_C	SMCD		8,50	33,9	30,4	24,5	34,4
S_10_D	SMCD		12,00	32,7	29,2	23,3	33,2
S_11_A	SMCD		1,50	29,8	26,1	20,3	30,2
S_11_B	SMCD		5,00	30,8	27,1	21,3	31,2
S_11_C	SMCD		8,50	31,9	28,2	22,4	32,3
S_11_D	SMCD		12,00	32,5	28,9	23,1	32,9
S_12_A	SMCD		1,50	30,1	26,4	20,6	30,5
S_12_B	SMCD		5,00	31,8	28,1	22,3	32,2
S_12_C	SMCD		8,50	33,4	29,8	23,9	33,8
S_12_D	SMCD		12,00	33,2	29,6	23,7	33,6
S_13_A	SMCD		1,50	30,1	26,4	20,6	30,5
S_13_B	SMCD		5,00	32,3	28,7	22,8	32,8
S_13_C	SMCD		8,50	33,7	30,1	24,3	34,2
S_13_D	SMCD		12,00	32,5	29,0	23,1	33,0
S_14_A	SMCD		1,50	29,6	26,0	20,1	30,1
S_15_A	SMCD		1,50	26,7	23,0	17,2	27,1
S_16_A	SMCD		1,50	23,9	20,2	14,4	24,3
S_17_A	SMCD		5,00	30,4	26,7	20,9	30,8
S_17_B	SMCD		8,50	32,4	28,9	23,0	32,9
S_17_C	SMCD		12,00	31,6	28,0	22,2	32,0
S_18_A	SMCD		1,50	27,1	23,4	17,6	27,5
S_18_B	SMCD		5,00	30,0	26,3	20,5	30,4
S_18_C	SMCD		8,50	31,8	28,2	22,3	32,2
S_18_D	SMCD		12,00	31,8	28,2	22,3	32,2
S_19_A	SMCD		1,50	26,7	23,1	17,2	27,1
S_19_B	SMCD		5,00	29,5	25,8	20,0	29,9
S_19_C	SMCD		8,50	31,1	27,5	21,6	31,5
S_20_A	SMCD		1,50	26,2	22,5	16,7	26,6
S_20_B	SMCD		5,00	28,6	25,0	19,1	29,1
S_20_C	SMCD		8,50	31,0	27,4	21,5	31,4
S_21_A	SMCD		1,50	26,7	23,1	17,2	27,1
S_21_B	SMCD		5,00	29,4	25,7	19,9	29,8
S_21_C	SMCD		8,50	31,0	27,4	21,5	31,4
S_22_A	SMCD		1,50	26,0	22,4	16,5	26,5
S_22_B	SMCD		5,00	29,1	25,4	19,6	29,5

Alle getoonde dB-waarden zijn A-gewogen

Bijlage III-4 Rekenresultaten N337 (Van Oldenielstraat)

Rapport: Resultatentabel
 Model: Wegverkeermodel
 LAeq totaalresultaten voor toetspunten
 Groep: N337
 Groepsreductie: Ja

Naam						
Toetspunt	Omschrijving	Hoogte	Dag	Avond	Nacht	Lden
S_22_C	SMCD	8,50	32,2	28,5	22,7	32,6
S_23_A	SMCD	1,50	25,8	22,2	16,3	26,2
S_23_B	SMCD	5,00	29,0	25,3	19,5	29,4
S_23_C	SMCD	8,50	31,1	27,5	21,7	31,6
S_24_A	SMCD	1,50	26,0	22,4	16,5	26,4
S_24_B	SMCD	5,00	29,4	25,7	19,9	29,8
S_24_C	SMCD	8,50	31,9	28,3	22,5	32,4
S_24_D	SMCD	12,00	33,3	29,8	24,0	33,8
S_25_A	SMCD	1,50	26,4	22,8	16,9	26,8
S_25_B	SMCD	5,00	29,3	25,7	19,8	29,7
S_25_C	SMCD	8,50	31,0	27,4	21,5	31,4
S_25_D	SMCD	12,00	32,5	29,0	23,2	33,0
S_26_A	SMCD	1,50	25,7	22,1	16,2	26,2
S_26_B	SMCD	5,00	28,7	25,0	19,1	29,1
S_26_C	SMCD	8,50	30,5	26,9	21,1	31,0
S_26_D	SMCD	12,00	31,2	27,7	21,9	31,7
S_27_A	SMCD	1,50	25,1	21,5	15,6	25,6
S_27_B	SMCD	5,00	27,8	24,1	18,3	28,2
S_27_C	SMCD	8,50	29,0	25,4	19,5	29,4
S_27_D	SMCD	12,00	28,5	24,9	19,1	29,0
S_28_A	SMCD	1,50	25,3	21,7	15,8	25,7
S_28_B	SMCD	5,00	27,5	23,9	18,0	27,9
S_28_C	SMCD	8,50	28,6	25,0	19,1	29,0
S_28_D	SMCD	12,00	29,2	25,6	19,7	29,6
S_29_A	SMCD	1,50	24,9	21,3	15,4	25,4
S_29_B	SMCD	5,00	27,4	23,7	17,9	27,8
S_29_C	SMCD	8,50	29,3	25,7	19,9	29,8
S_29_D	SMCD	12,00	29,6	26,0	20,1	30,0
S_30_A	SMCD	1,50	24,4	20,7	14,9	24,8
S_30_B	SMCD	5,00	26,8	23,2	17,3	27,3
S_30_C	SMCD	8,50	28,3	24,7	18,9	28,8
S_30_D	SMCD	12,00	28,7	25,1	19,3	29,2
S_31_A	SMCD	1,50	24,2	20,5	14,7	24,6
S_31_B	SMCD	5,00	26,6	23,0	17,1	27,1
S_31_C	SMCD	8,50	28,2	24,6	18,7	28,6
S_31_D	SMCD	12,00	28,3	24,7	18,8	28,7
S_32_A	SMCD	1,50	18,7	15,0	9,2	19,1
S_32_B	SMCD	5,00	21,2	17,5	11,7	21,6
S_32_C	SMCD	8,50	22,4	18,8	12,9	22,9
S_32_D	SMCD	12,00	23,6	20,0	14,1	24,0
S_33_A	SMCD	1,50	20,3	16,7	10,8	20,7
S_33_B	SMCD	5,00	22,8	19,1	13,2	23,2
S_33_C	SMCD	8,50	25,2	21,5	15,6	25,5
S_33_D	SMCD	12,00	27,6	24,0	18,1	28,0
S_34_A	SMCD	1,50	20,1	16,4	10,6	20,5
S_34_B	SMCD	5,00	22,6	18,9	13,0	23,0
S_34_C	SMCD	8,50	25,3	21,6	15,7	25,7
S_34_D	SMCD	12,00	28,1	24,5	18,7	28,6
S_35_A	SMCD	1,50	20,6	16,9	11,1	21,0
S_35_B	SMCD	5,00	23,5	19,8	13,9	23,9
S_35_C	SMCD	8,50	26,7	23,0	17,1	27,1
S_35_D	SMCD	12,00	28,0	24,4	18,5	28,4
S_36_A	SMCD	1,50	19,9	16,3	10,4	20,4
S_36_B	SMCD	5,00	22,6	18,9	13,0	23,0
S_36_C	SMCD	8,50	26,6	23,0	17,1	27,1
S_36_D	SMCD	12,00	28,9	25,3	19,5	29,3
S_37_A	SMCD	1,50	19,7	16,1	10,3	20,2
S_37_B	SMCD	5,00	21,6	18,0	12,1	22,0
S_37_C	SMCD	8,50	25,7	22,1	16,2	26,1
S_37_D	SMCD	12,00	26,9	23,2	17,4	27,3
S_38_A	SMCD	1,50	19,7	16,2	10,3	20,2
S_38_B	SMCD	5,00	20,7	17,0	11,2	21,1
S_38_C	SMCD	8,50	24,6	20,9	15,1	25,0
S_38_D	SMCD	12,00	26,6	23,0	17,2	27,1
S_39_A	SMCD	1,50	17,3	13,7	7,9	17,8
S_39_B	SMCD	5,00	18,6	14,9	9,1	19,0
S_39_C	SMCD	8,50	20,2	16,5	10,7	20,6
S_40_A	SMCD	1,50	16,7	13,0	7,2	17,1
S_40_B	SMCD	5,00	18,0	14,3	8,5	18,4
S_40_C	SMCD	8,50	20,0	16,3	10,5	20,4
S_41_A	SMCD	1,50	15,5	11,9	6,0	15,9
S_41_B	SMCD	5,00	17,0	13,3	7,4	17,3
S_41_C	SMCD	8,50	19,2	15,5	9,6	19,6
S_42_A	SMCD	1,50	15,6	12,0	6,1	16,0

Alle getoonde dB-waarden zijn A-gewogen

Bijlage III-4 Rekenresultaten N337 (Van Oldenielstraat)

Rapport: Resultatentabel
 Model: Wegverkeermodel
 LAeq totaalresultaten voor toetspunten
 Groep: N337
 Groepsreductie: Ja

Naam						
Toetspunt	Omschrijving	Hoogte	Dag	Avond	Nacht	Lden
S_42_B	SMCD	5,00	17,3	13,6	7,7	17,7
S_42_C	SMCD	8,50	19,5	15,8	9,9	19,9
S_43_A	SMCD	1,50	19,4	15,8	9,9	19,8
S_43_B	SMCD	5,00	20,3	16,6	10,7	20,7
S_43_C	SMCD	8,50	23,8	20,1	14,3	24,2
S_43_D	SMCD	12,00	29,3	25,7	19,9	29,8
S_44_A	SMCD	1,50	20,3	16,7	10,8	20,7
S_44_B	SMCD	5,00	22,4	18,7	12,8	22,8
S_44_C	SMCD	8,50	25,8	22,1	16,2	26,2
S_44_D	SMCD	12,00	27,6	24,0	18,2	28,1
S_45_A	SMCD	1,50	20,7	17,0	11,1	21,1
S_45_B	SMCD	5,00	23,2	19,5	13,7	23,6
S_45_C	SMCD	8,50	25,6	21,9	16,1	26,0
S_45_D	SMCD	12,00	28,8	25,2	19,3	29,2
S_46_A	SMCD	1,50	20,1	16,5	10,6	20,6
S_46_B	SMCD	5,00	22,2	18,5	12,7	22,6
S_46_C	SMCD	8,50	24,2	20,5	14,7	24,6
S_46_D	SMCD	12,00	25,9	22,3	16,4	26,3
S_47_A	SMCD	1,50	20,7	17,0	11,1	21,1
S_47_B	SMCD	5,00	22,9	19,1	13,3	23,2
S_47_C	SMCD	8,50	25,2	21,5	15,6	25,6
S_47_D	SMCD	12,00	27,9	24,3	18,5	28,3
S_48_A	SMCD	1,50	16,6	13,0	7,1	17,1
S_48_B	SMCD	5,00	17,9	14,2	8,3	18,3
S_48_C	SMCD	8,50	18,1	14,3	8,5	18,4
S_48_D	SMCD	12,00	17,1	13,3	7,5	17,4
S_49_A	SMCD	1,50	18,9	15,2	9,4	19,3
S_49_B	SMCD	5,00	21,4	17,7	11,9	21,8
S_49_C	SMCD	8,50	23,6	19,9	14,0	24,0
S_49_D	SMCD	12,00	22,8	19,2	13,3	23,2
S_50_A	SMCD	1,50	18,2	14,5	8,7	18,6
S_50_B	SMCD	5,00	20,3	16,6	10,7	20,7
S_50_C	SMCD	8,50	22,1	18,4	12,5	22,5
S_50_D	SMCD	12,00	22,5	18,8	13,0	22,9
S_51_A	SMCD	1,50	18,5	14,8	9,0	18,9
S_51_B	SMCD	5,00	20,7	17,0	11,1	21,1
S_51_C	SMCD	8,50	23,1	19,4	13,6	23,5
S_51_D	SMCD	12,00	24,0	20,3	14,5	24,4
S_52_A	SMCD	1,50	18,5	14,9	9,1	19,0
S_52_B	SMCD	5,00	20,1	16,4	10,6	20,5
S_52_C	SMCD	8,50	22,3	18,5	12,7	22,6
S_52_D	SMCD	12,00	25,8	22,1	16,2	26,2
S_53_A	SMCD	1,50	18,7	15,1	9,3	19,2
S_53_B	SMCD	5,00	19,9	16,3	10,4	20,3
S_53_C	SMCD	8,50	21,1	17,4	11,6	21,5
S_53_D	SMCD	12,00	23,6	19,9	14,0	24,0
S_54_A	SMCD	1,50	16,8	13,1	7,3	17,2
S_54_B	SMCD	5,00	18,6	14,9	9,1	19,0
S_54_C	SMCD	8,50	20,1	16,4	10,6	20,5
S_54_D	SMCD	12,00	20,2	16,5	10,7	20,6
S_55_A	SMCD	1,50	17,8	14,1	8,3	18,2
S_55_B	SMCD	5,00	19,3	15,6	9,7	19,7
S_55_C	SMCD	8,50	20,6	16,9	11,0	21,0
S_55_D	SMCD	12,00	21,0	17,3	11,5	21,4
S_56_A	SMCD	1,50	19,5	15,8	10,0	19,9
S_56_B	SMCD	5,00	21,1	17,4	11,5	21,5
S_56_C	SMCD	8,50	22,3	18,6	12,7	22,7
S_56_D	SMCD	12,00	20,7	17,0	11,2	21,1
S_57_A	SMCD	1,50	20,3	16,6	10,7	20,7
S_57_B	SMCD	5,00	21,9	18,2	12,4	22,3
S_57_C	SMCD	8,50	23,0	19,3	13,4	23,4
S_57_D	SMCD	12,00	21,3	17,6	11,8	21,7
S_58_A	SMCD	1,50	20,7	17,0	11,2	21,1
S_58_B	SMCD	5,00	22,7	18,9	13,1	23,0
S_58_C	SMCD	8,50	24,1	20,4	14,5	24,5
S_58_D	SMCD	12,00	21,9	18,2	12,4	22,3
S_59_A	SMCD	1,50	19,7	16,1	10,2	20,1
S_59_B	SMCD	5,00	21,0	17,3	11,5	21,4
S_59_C	SMCD	8,50	21,7	18,0	12,2	22,1
S_59_D	SMCD	12,00	22,4	18,7	12,8	22,8
S_60_A	SMCD	1,50	20,9	17,2	11,4	21,3
S_60_B	SMCD	5,00	22,7	19,0	13,2	23,1
S_60_C	SMCD	8,50	23,9	20,2	14,4	24,3
S_60_D	SMCD	12,00	22,0	18,3	12,4	22,4

Alle getoonde dB-waarden zijn A-gewogen

Bijlage III-4 Rekenresultaten N337 (Van Oldenielstraat)

Rapport: Resultatentabel
 Model: Wegverkeermodel
 LAgg totaalresultaten voor toetspunten
 Groep: N337
 Groepsreductie: Ja

Naam						
Toetspunt	Omschrijving	Hoogte	Dag	Avond	Nacht	Lden
S_61_A	SMCD	1,50	21,2	17,5	11,7	21,6
S_61_B	SMCD	5,00	22,8	19,1	13,2	23,2
S_61_C	SMCD	8,50	23,7	20,0	14,2	24,1
S_61_D	SMCD	12,00	21,9	18,2	12,3	22,3
S_62_A	SMCD	1,50	22,3	18,6	12,8	22,7
S_62_B	SMCD	5,00	23,8	20,1	14,3	24,2
S_62_C	SMCD	8,50	25,1	21,4	15,5	25,5
S_63_A	SMCD	1,50	22,9	19,2	13,4	23,3
S_63_B	SMCD	5,00	24,8	21,1	15,2	25,2
S_63_C	SMCD	8,50	26,3	22,6	16,8	26,7
S_64_A	SMCD	1,50	23,2	19,5	13,6	23,6
S_64_B	SMCD	5,00	25,1	21,4	15,5	25,5
S_64_C	SMCD	8,50	26,4	22,7	16,8	26,8
S_65_A	SMCD	1,50	23,5	19,9	14,0	23,9
S_65_B	SMCD	5,00	25,3	21,6	15,8	25,7
S_65_C	SMCD	8,50	25,5	21,8	16,0	25,9
S_66_A	SMCD	1,50	25,5	21,8	15,9	25,9
S_66_B	SMCD	5,00	28,1	24,5	18,6	28,5
S_66_C	SMCD	8,50	30,9	27,3	21,5	31,3
S_67_A	SMCD	1,50	24,8	21,2	15,3	25,2
S_67_B	SMCD	5,00	27,4	23,8	17,9	27,9
S_67_C	SMCD	8,50	28,4	24,8	18,9	28,9
S_68_A	SMCD	1,50	23,9	20,3	14,4	24,4
S_68_B	SMCD	5,00	26,1	22,5	16,6	26,6
S_68_C	SMCD	8,50	27,4	23,7	17,9	27,8
S_69_A	SMCD	1,50	21,7	18,2	12,3	22,2
S_69_B	SMCD	5,00	23,4	19,8	14,0	23,9
S_69_C	SMCD	8,50	22,3	18,7	12,9	22,8
S_70_A	SMCD	1,50	23,1	19,5	13,6	23,5
S_70_B	SMCD	5,00	25,6	22,0	16,1	26,1
S_70_C	SMCD	8,50	25,2	21,5	15,7	25,6
S_70_D	SMCD	12,00	24,2	20,6	14,8	24,7
S_71_A	SMCD	1,50	24,1	20,4	14,6	24,5
S_71_B	SMCD	5,00	26,5	22,8	16,9	26,9
S_71_C	SMCD	8,50	26,5	22,8	16,9	26,9
S_71_D	SMCD	12,00	26,1	22,6	16,7	26,6
S_72_A	SMCD	1,50	24,0	20,3	14,5	24,4
S_72_B	SMCD	5,00	25,9	22,2	16,4	26,3
S_72_C	SMCD	8,50	26,6	22,9	17,0	27,0
S_72_D	SMCD	12,00	24,6	21,0	15,1	25,1
S_73_A	SMCD	1,50	24,8	21,1	15,3	25,2
S_73_B	SMCD	5,00	26,6	22,9	17,1	27,0
S_73_C	SMCD	8,50	28,2	24,5	18,7	28,6
S_73_D	SMCD	12,00	24,7	21,0	15,2	25,1
S_74_A	SMCD	1,50	26,3	22,7	16,8	26,7
S_74_B	SMCD	5,00	27,3	23,6	17,8	27,7
S_74_C	SMCD	8,50	29,2	25,6	19,7	29,6
S_74_D	SMCD	12,00	27,7	24,1	18,3	28,2
S_75_A	SMCD	1,50	25,3	21,6	15,8	25,7
S_75_B	SMCD	5,00	27,2	23,5	17,6	27,6
S_75_C	SMCD	8,50	30,3	26,7	20,8	30,7
S_75_D	SMCD	12,00	27,4	23,8	18,0	27,9
S_76_A	SMCD	1,50	21,6	17,9	12,1	22,0
S_76_B	SMCD	5,00	23,8	20,1	14,3	24,2
S_76_C	SMCD	8,50	25,6	21,9	16,1	26,0
S_76_D	SMCD	12,00	25,5	21,9	16,0	25,9
S_77_A	SMCD	1,50	21,8	18,1	12,2	22,2
S_77_B	SMCD	5,00	24,2	20,5	14,6	24,6
S_77_C	SMCD	8,50	26,5	22,8	17,0	26,9
S_77_D	SMCD	12,00	26,2	22,6	16,7	26,6
S_78_A	SMCD	1,50	21,1	17,4	11,6	21,5
S_78_B	SMCD	5,00	23,1	19,4	13,5	23,5
S_78_C	SMCD	8,50	25,6	21,9	16,1	26,0
S_78_D	SMCD	12,00	26,2	22,6	16,7	26,6
S_79_A	SMCD	1,50	20,9	17,3	11,4	21,3
S_79_B	SMCD	5,00	21,4	17,7	11,9	21,8
S_79_C	SMCD	8,50	23,8	20,1	14,2	24,2
S_79_D	SMCD	12,00	25,7	22,0	16,1	26,1
S_80_A	SMCD	1,50	20,9	17,2	11,4	21,3
S_80_B	SMCD	5,00	22,0	18,3	12,4	22,4
S_80_C	SMCD	8,50	24,5	20,8	14,9	24,9
S_81_A	SMCD	1,50	21,5	17,8	11,9	21,9
S_81_B	SMCD	5,00	23,0	19,3	13,4	23,4
S_81_C	SMCD	8,50	26,0	22,3	16,4	26,4

Alle getoonde dB-waarden zijn A-gewogen

Bijlage III-4 Rekenresultaten N337 (Van Oldenielstraat)

Rapport: Resultatentabel
 Model: Wegverkeermodel
 LAeq totaalresultaten voor toetspunten
 Groep: N337
 Groepsreductie: Ja

Naam						
Toetspunt	Omschrijving	Hoogte	Dag	Avond	Nacht	Lden
S_82_A	SMCD	1,50	23,1	19,4	13,5	23,5
S_82_B	SMCD	5,00	24,9	21,2	15,3	25,3
S_82_C	SMCD	8,50	27,8	24,1	18,2	28,2
S_83_A	SMCD	1,50	23,2	19,5	13,7	23,6
S_83_B	SMCD	5,00	25,1	21,4	15,6	25,5
S_83_C	SMCD	8,50	27,8	24,1	18,2	28,2
S_84_A	SMCD	1,50	22,9	19,2	13,3	23,3
S_84_B	SMCD	5,00	24,9	21,2	15,3	25,3
S_84_C	SMCD	8,50	27,5	23,9	18,0	27,9
S_85_A	SMCD	1,50	23,6	19,9	14,1	24,0
S_85_B	SMCD	5,00	25,7	22,0	16,1	26,1
S_85_C	SMCD	8,50	28,5	24,8	19,0	28,9
S_85_D	SMCD	12,00	28,2	24,6	18,7	28,6
S_86_A	SMCD	1,50	24,5	20,8	15,0	24,9
S_86_B	SMCD	5,00	27,1	23,4	17,5	27,5
S_86_C	SMCD	8,50	29,7	26,0	20,2	30,1
S_86_D	SMCD	12,00	31,0	27,4	21,5	31,4
S_87_A	SMCD	1,50	24,7	21,0	15,2	25,1
S_87_B	SMCD	5,00	27,2	23,5	17,7	27,6
S_87_C	SMCD	8,50	29,4	25,7	19,9	29,8
S_87_D	SMCD	12,00	30,2	26,6	20,7	30,7
S_88_A	SMCD	1,50	24,8	21,1	15,2	25,2
S_88_B	SMCD	5,00	27,3	23,6	17,7	27,7
S_88_C	SMCD	8,50	29,3	25,7	19,8	29,7
S_88_D	SMCD	12,00	30,3	26,7	20,8	30,7
S_89_A	SMCD	1,50	24,6	20,9	15,1	25,0
S_89_B	SMCD	5,00	27,1	23,4	17,5	27,5
S_89_C	SMCD	8,50	29,0	25,3	19,5	29,4
S_89_D	SMCD	12,00	30,2	26,5	20,7	30,6
S_90_A	SMCD	1,50	23,9	20,3	14,4	24,4
S_90_B	SMCD	5,00	26,3	22,7	16,8	26,7
S_90_C	SMCD	8,50	28,3	24,7	18,8	28,7
S_90_D	SMCD	12,00	29,5	25,9	20,0	29,9
S_91_A	SMCD	1,50	23,9	20,2	14,3	24,3
S_91_B	SMCD	5,00	26,3	22,6	16,7	26,7
S_91_C	SMCD	8,50	28,5	24,9	19,0	28,9
S_91_D	SMCD	12,00	30,5	26,9	21,1	31,0
S_92_A	SMCD	1,50	23,5	19,8	14,0	23,9
S_92_B	SMCD	5,00	25,8	22,1	16,2	26,2
S_92_C	SMCD	8,50	27,9	24,2	18,3	28,3
S_92_D	SMCD	12,00	29,6	26,0	20,1	30,0
S_93_A	SMCD	1,50	23,0	19,3	13,5	23,4
S_93_B	SMCD	5,00	25,0	21,3	15,4	25,4
S_93_C	SMCD	8,50	27,6	23,9	18,0	28,0
S_93_D	SMCD	12,00	29,8	26,1	20,3	30,2
S_94_A	SMCD	1,50	22,7	19,0	13,2	23,1
S_94_B	SMCD	5,00	24,6	20,9	15,0	25,0
S_94_C	SMCD	8,50	27,1	23,4	17,5	27,5
S_94_D	SMCD	12,00	29,6	25,9	20,1	30,0
S_95_A	SMCD	1,50	22,5	18,9	13,0	22,9
S_95_B	SMCD	5,00	24,2	20,6	14,7	24,6
S_95_C	SMCD	8,50	26,2	22,5	16,6	26,6
S_95_D	SMCD	12,00	29,5	25,8	20,0	29,9

Alle getoonde dB-waarden zijn A-gewogen

Bijlage III-5 Rekenresultaten H.J.P. Fesevurstraat

Rapport: Resultatentabel
 Model: Wegverkeermodel
 LAeq totaalresultaten voor toetspunten
 Groep: H.J.P. Fesevurstraat
 Groepsreductie: Nee

Naam						
Toetspunt	Omschrijving	Hoogte	Dag	Avond	Nacht	Lden
01_01_A	Cluster 1	1,50	51,5	48,1	40,2	51,4
01_01_B	Cluster 1	4,50	52,1	48,7	40,7	52,0
01_01_C	Cluster 1	7,50	52,0	48,6	40,6	51,9
01_02_A	Cluster 1	1,50	51,4	48,0	40,1	51,3
01_02_B	Cluster 1	4,50	52,0	48,6	40,7	51,9
01_02_C	Cluster 1	7,50	51,9	48,5	40,6	51,9
01_03_A	Cluster 1	1,50	51,5	48,1	40,2	51,5
01_03_B	Cluster 1	4,50	52,1	48,7	40,8	52,1
01_03_C	Cluster 1	7,50	52,0	48,6	40,7	52,0
01_04_A	Cluster 1	1,50	51,6	48,2	40,3	51,6
01_04_B	Cluster 1	4,50	52,2	48,8	40,9	52,2
01_04_C	Cluster 1	7,50	52,2	48,8	40,8	52,1
01_05_A	Cluster 1	1,50	51,8	48,4	40,5	51,7
01_05_B	Cluster 1	4,50	52,4	49,0	41,0	52,3
01_05_C	Cluster 1	7,50	52,3	48,9	40,9	52,2
01_06_A	Cluster 1	1,50	47,6	44,2	36,3	47,6
01_06_B	Cluster 1	4,50	48,1	44,7	36,8	48,1
01_06_C	Cluster 1	7,50	48,2	44,7	36,8	48,1
01_07_A	Cluster 1	1,50	47,5	44,1	36,2	47,4
01_07_B	Cluster 1	4,50	48,0	44,6	36,7	48,0
01_07_C	Cluster 1	7,50	48,1	44,7	36,7	48,0
01_08_A	Cluster 1	1,50	51,8	48,4	40,5	51,7
01_08_B	Cluster 1	4,50	52,4	49,0	41,0	52,3
01_08_C	Cluster 1	7,50	52,3	48,9	41,0	52,3
01_09_A	Cluster 1	1,50	51,6	48,2	40,3	51,6
01_09_B	Cluster 1	4,50	52,3	48,9	40,9	52,2
01_09_C	Cluster 1	7,50	52,2	48,8	40,9	52,2
01_10_A	Cluster 1	1,50	51,7	48,3	40,3	51,6
01_10_B	Cluster 1	4,50	52,3	48,9	41,0	52,3
01_10_C	Cluster 1	7,50	52,3	48,9	40,9	52,2
01_100_A	Cluster 1	1,50	28,2	24,6	16,6	28,0
01_100_B	Cluster 1	4,50	30,7	27,0	19,0	30,5
01_100_C	Cluster 1	7,50	34,8	31,2	23,2	34,6
01_101_A	Cluster 1	1,50	27,1	23,5	15,5	27,0
01_101_B	Cluster 1	4,50	29,2	25,5	17,5	29,0
01_101_C	Cluster 1	7,50	35,2	31,5	23,5	35,0
01_11_A	Cluster 1	1,50	51,7	48,3	40,4	51,6
01_11_B	Cluster 1	4,50	52,4	49,0	41,0	52,3
01_11_C	Cluster 1	7,50	52,3	48,9	41,0	52,3
01_12_A	Cluster 1	1,50	51,6	48,2	40,3	51,5
01_12_B	Cluster 1	4,50	52,3	48,9	41,0	52,3
01_13_A	Cluster 1	1,50	51,7	48,3	40,4	51,6
01_13_B	Cluster 1	4,50	52,4	49,0	41,1	52,3
01_14_A	Cluster 1	1,50	48,0	44,7	36,7	48,0
01_14_B	Cluster 1	4,50	48,9	45,5	37,6	48,9
01_15_A	Cluster 1	1,50	46,5	43,1	35,2	46,4
01_15_B	Cluster 1	4,50	47,5	44,2	36,2	47,5
01_16_A	Cluster 1	1,50	43,9	40,6	32,7	43,9
01_16_B	Cluster 1	4,50	45,4	42,0	34,1	45,4
01_16_C	Cluster 1	7,50	45,5	42,1	34,1	45,4
01_17_A	Cluster 1	1,50	41,6	38,3	30,3	41,6
01_17_B	Cluster 1	4,50	43,4	40,1	32,1	43,4
01_17_C	Cluster 1	7,50	43,7	40,3	32,3	43,6
01_18_A	Cluster 1	1,50	40,7	37,3	29,4	40,6
01_18_B	Cluster 1	4,50	42,6	39,2	31,3	42,6
01_18_C	Cluster 1	7,50	42,9	39,5	31,6	42,8
01_19_A	Cluster 1	1,50	39,1	35,8	27,8	39,1
01_19_B	Cluster 1	4,50	41,2	37,8	29,9	41,1
01_19_C	Cluster 1	7,50	41,5	38,1	30,2	41,5
01_20_A	Cluster 1	1,50	37,6	34,3	26,4	37,6
01_20_B	Cluster 1	4,50	39,8	36,5	28,5	39,8
01_20_C	Cluster 1	7,50	40,4	37,0	29,1	40,3
01_21_A	Cluster 1	1,50	37,2	33,9	26,0	37,2
01_21_B	Cluster 1	4,50	39,3	35,9	28,0	39,2
01_21_C	Cluster 1	7,50	39,9	36,6	28,6	39,9
01_22_A	Cluster 1	1,50	36,4	33,0	25,1	36,4
01_22_B	Cluster 1	4,50	38,3	34,9	27,0	38,2
01_22_C	Cluster 1	7,50	39,3	36,0	28,0	39,3
01_23_A	Cluster 1	1,50	36,1	32,7	24,8	36,0
01_23_B	Cluster 1	4,50	37,8	34,5	26,5	37,8
01_23_C	Cluster 1	7,50	38,9	35,5	27,6	38,9
01_24_A	Cluster 1	1,50	33,8	30,5	22,6	33,8
01_24_B	Cluster 1	4,50	35,6	32,2	24,3	35,6
01_24_C	Cluster 1	7,50	36,9	33,5	25,6	36,9

Alle getoonde dB-waarden zijn A-gewogen

Bijlage III-5 Rekenresultaten H.J.P. Fesevurstraat

Rapport: Resultatentabel
 Model: Wegverkeermodel
 LAgg totaalresultaten voor toetspunten
 Groep: H.J.P. Fesevurstraat
 Groepsreductie: Nee

Naam						
Toetspunt	Omschrijving	Hoogte	Dag	Avond	Nacht	Lden
01_25_A	Cluster 1	1,50	29,1	25,8	17,8	29,1
01_25_B	Cluster 1	4,50	30,8	27,4	19,5	30,8
01_26_A	Cluster 1	1,50	21,6	18,0	10,0	21,4
01_26_B	Cluster 1	4,50	21,5	17,8	9,8	21,3
01_27_A	Cluster 1	1,50	24,1	20,6	12,7	24,0
01_27_B	Cluster 1	4,50	25,6	22,1	14,2	25,5
01_28_A	Cluster 1	1,50	17,6	13,9	5,9	17,4
01_28_B	Cluster 1	4,50	17,5	13,8	5,8	17,3
01_29_A	Cluster 1	1,50	18,1	14,5	6,5	18,0
01_29_B	Cluster 1	4,50	18,9	15,2	7,2	18,7
01_29_C	Cluster 1	7,50	20,5	16,8	8,8	20,3
01_30_A	Cluster 1	1,50	18,9	15,3	7,3	18,7
01_30_B	Cluster 1	4,50	19,2	15,5	7,5	19,0
01_30_C	Cluster 1	7,50	20,4	16,7	8,7	20,2
01_31_A	Cluster 1	1,50	19,4	15,8	7,8	19,2
01_31_B	Cluster 1	4,50	19,4	15,7	7,7	19,2
01_31_C	Cluster 1	7,50	20,9	17,2	9,2	20,7
01_32_A	Cluster 1	1,50	19,7	16,1	8,1	19,5
01_32_B	Cluster 1	4,50	19,5	15,8	7,7	19,2
01_32_C	Cluster 1	7,50	20,5	16,8	8,8	20,3
01_33_A	Cluster 1	1,50	19,9	16,3	8,3	19,7
01_33_B	Cluster 1	4,50	20,0	16,3	8,3	19,8
01_33_C	Cluster 1	7,50	21,4	17,7	9,7	21,2
01_34_A	Cluster 1	1,50	20,2	16,6	8,6	20,0
01_34_B	Cluster 1	4,50	20,8	17,1	9,1	20,6
01_34_C	Cluster 1	7,50	22,3	18,6	10,6	22,1
01_35_A	Cluster 1	1,50	20,3	16,7	8,6	20,1
01_35_B	Cluster 1	4,50	21,1	17,4	9,4	20,9
01_35_C	Cluster 1	7,50	22,6	18,9	10,9	22,4
01_36_A	Cluster 1	1,50	20,1	16,5	8,5	19,9
01_36_B	Cluster 1	4,50	20,7	17,0	9,0	20,5
01_36_C	Cluster 1	7,50	22,2	18,5	10,4	21,9
01_37_A	Cluster 1	1,50	20,1	16,5	8,5	19,9
01_37_B	Cluster 1	4,50	20,7	17,0	9,0	20,5
01_38_A	Cluster 1	1,50	22,5	19,0	11,0	22,3
01_38_B	Cluster 1	4,50	22,8	19,2	11,2	22,6
01_39_A	Cluster 1	1,50	30,0	26,7	18,7	30,0
01_39_B	Cluster 1	4,50	31,2	27,8	19,8	31,1
01_40_A	Cluster 1	1,50	30,3	26,9	18,9	30,2
01_40_B	Cluster 1	4,50	31,4	28,0	20,1	31,4
01_41_A	Cluster 1	1,50	31,5	28,1	20,2	31,4
01_41_B	Cluster 1	4,50	32,8	29,4	21,4	32,7
01_41_C	Cluster 1	7,50	34,0	30,6	22,6	33,9
01_42_A	Cluster 1	1,50	22,8	19,3	11,3	22,7
01_42_B	Cluster 1	4,50	25,1	21,5	13,4	24,9
01_42_C	Cluster 1	7,50	30,3	26,7	18,7	30,1
01_43_A	Cluster 1	1,50	19,1	15,5	7,5	18,9
01_43_B	Cluster 1	4,50	21,7	18,1	10,1	21,5
01_43_C	Cluster 1	7,50	26,3	22,6	14,6	26,1
01_44_A	Cluster 1	1,50	33,0	29,6	21,7	32,9
01_44_B	Cluster 1	4,50	34,4	31,0	23,1	34,4
01_44_C	Cluster 1	7,50	35,7	32,3	24,4	35,7
01_45_A	Cluster 1	1,50	33,0	29,6	21,7	32,9
01_45_B	Cluster 1	4,50	34,5	31,1	23,1	34,4
01_45_C	Cluster 1	7,50	35,8	32,4	24,4	35,7
01_46_A	Cluster 1	1,50	34,0	30,7	22,7	34,0
01_46_B	Cluster 1	4,50	35,7	32,3	24,3	35,6
01_46_C	Cluster 1	7,50	36,9	33,5	25,5	36,8
01_47_A	Cluster 1	1,50	35,0	31,6	23,7	34,9
01_47_B	Cluster 1	4,50	36,7	33,3	25,4	36,7
01_47_C	Cluster 1	7,50	37,9	34,5	26,5	37,8
01_48_A	Cluster 1	1,50	35,6	32,2	24,3	35,5
01_48_B	Cluster 1	4,50	37,5	34,1	26,1	37,4
01_48_C	Cluster 1	7,50	38,4	35,0	27,1	38,4
01_49_A	Cluster 1	1,50	36,6	33,2	25,3	36,5
01_49_B	Cluster 1	4,50	38,6	35,2	27,3	38,6
01_49_C	Cluster 1	7,50	39,4	36,0	28,0	39,3
01_50_A	Cluster 1	1,50	37,4	34,0	26,1	37,4
01_50_B	Cluster 1	4,50	39,6	36,2	28,2	39,5
01_50_C	Cluster 1	7,50	40,1	36,6	28,7	40,0
01_51_A	Cluster 1	1,50	38,4	35,0	27,1	38,3
01_51_B	Cluster 1	4,50	40,6	37,2	29,3	40,6
01_51_C	Cluster 1	7,50	40,9	37,5	29,5	40,8
01_52_A	Cluster 1	1,50	39,7	36,3	28,4	39,6

Alle getoonde dB-waarden zijn A-gewogen

Bijlage III-5 Rekenresultaten H.J.P. Fesevurstraat

Rapport: Resultatentabel
 Model: Wegverkeermodel
 LAgg totaalresultaten voor toetspunten
 Groep: H.J.P. Fesevurstraat
 Groepsreductie: Nee

Naam						
Toetspunt	Omschrijving	Hoogte	Dag	Avond	Nacht	Lden
01_52_B	Cluster 1	4,50	41,8	38,4	30,5	41,7
01_52_C	Cluster 1	7,50	42,0	38,6	30,6	41,9
01_53_A	Cluster 1	1,50	41,3	38,0	30,0	41,3
01_53_B	Cluster 1	4,50	43,3	39,9	31,9	43,2
01_53_C	Cluster 1	7,50	43,4	40,0	32,1	43,4
01_54_A	Cluster 1	1,50	44,2	40,9	32,9	44,2
01_54_B	Cluster 1	4,50	45,6	42,2	34,2	45,5
01_54_C	Cluster 1	7,50	45,6	42,2	34,2	45,5
01_55_A	Cluster 1	1,50	42,7	39,4	31,4	42,7
01_55_B	Cluster 1	4,50	44,3	40,9	33,0	44,3
01_55_C	Cluster 1	7,50	44,5	41,1	33,2	44,4
01_56_A	Cluster 1	1,50	47,1	43,8	35,8	47,1
01_56_B	Cluster 1	4,50	47,9	44,5	36,5	47,8
01_56_C	Cluster 1	7,50	47,7	44,3	36,4	47,7
01_57_A	Cluster 1	1,50	25,2	21,6	13,6	25,0
01_57_B	Cluster 1	4,50	22,1	18,4	10,4	21,8
01_57_C	Cluster 1	7,50	24,1	20,4	12,4	23,9
01_58_A	Cluster 1	1,50	24,6	21,0	13,0	24,5
01_58_B	Cluster 1	4,50	22,2	18,5	10,5	22,0
01_58_C	Cluster 1	7,50	24,5	20,8	12,8	24,3
01_59_A	Cluster 1	1,50	24,9	21,2	13,2	24,7
01_59_B	Cluster 1	4,50	23,8	20,2	12,2	23,6
01_59_C	Cluster 1	7,50	25,2	21,6	13,6	25,0
01_60_A	Cluster 1	1,50	26,2	22,7	14,7	26,1
01_60_B	Cluster 1	4,50	24,7	21,1	13,1	24,5
01_60_C	Cluster 1	7,50	25,7	22,1	14,1	25,5
01_61_A	Cluster 1	1,50	33,4	30,0	22,1	33,4
01_61_B	Cluster 1	4,50	23,9	20,3	12,3	23,7
01_61_C	Cluster 1	7,50	25,4	21,8	13,8	25,2
01_62_A	Cluster 1	1,50	25,5	21,9	13,9	25,3
01_62_B	Cluster 1	4,50	23,7	20,1	12,1	23,5
01_62_C	Cluster 1	7,50	25,3	21,7	13,7	25,1
01_63_A	Cluster 1	1,50	25,4	21,8	13,8	25,2
01_63_B	Cluster 1	4,50	24,6	21,1	13,1	24,5
01_63_C	Cluster 1	7,50	26,1	22,5	14,5	26,0
01_64_A	Cluster 1	1,50	26,9	23,4	15,4	26,8
01_64_B	Cluster 1	4,50	28,8	25,2	17,2	28,6
01_64_C	Cluster 1	7,50	34,3	30,7	22,7	34,1
01_65_A	Cluster 1	1,50	25,6	22,0	14,0	25,5
01_65_B	Cluster 1	4,50	25,8	22,2	14,2	25,6
01_65_C	Cluster 1	7,50	28,1	24,5	16,5	27,9
01_66_A	Cluster 1	1,50	26,2	22,6	14,6	26,0
01_66_B	Cluster 1	4,50	28,3	24,7	16,7	28,1
01_67_A	Cluster 1	1,50	28,4	24,8	16,8	28,2
01_67_B	Cluster 1	4,50	32,2	28,5	20,5	32,0
01_68_A	Cluster 1	1,50	29,4	25,7	17,7	29,2
01_68_B	Cluster 1	4,50	32,4	28,8	20,8	32,2
01_68_C	Cluster 1	7,50	37,5	34,0	26,0	37,3
01_69_A	Cluster 1	1,50	28,4	24,8	16,8	28,2
01_69_B	Cluster 1	4,50	30,6	27,0	19,0	30,4
01_69_C	Cluster 1	7,50	33,8	30,2	22,2	33,6
01_70_A	Cluster 1	1,50	29,0	25,5	17,5	28,9
01_70_B	Cluster 1	4,50	29,8	26,2	18,1	29,6
01_70_C	Cluster 1	7,50	32,5	28,9	20,9	32,3
01_71_A	Cluster 1	1,50	28,5	24,9	16,9	28,4
01_71_B	Cluster 1	4,50	31,0	27,4	19,4	30,8
01_71_C	Cluster 1	7,50	33,3	29,7	21,7	33,1
01_72_A	Cluster 1	1,50	29,4	25,9	17,9	29,3
01_72_B	Cluster 1	4,50	30,8	27,2	19,2	30,6
01_72_C	Cluster 1	7,50	32,7	29,2	21,2	32,6
01_73_A	Cluster 1	1,50	30,3	26,7	18,8	30,1
01_73_B	Cluster 1	4,50	31,8	28,2	20,2	31,6
01_73_C	Cluster 1	7,50	33,4	29,9	21,9	33,3
01_74_A	Cluster 1	1,50	27,8	24,2	16,2	27,6
01_74_B	Cluster 1	4,50	30,7	27,2	19,2	30,6
01_74_C	Cluster 1	7,50	32,9	29,4	21,4	32,8
01_75_A	Cluster 1	1,50	28,2	24,6	16,5	28,0
01_75_B	Cluster 1	4,50	31,1	27,6	19,6	30,9
01_75_C	Cluster 1	7,50	33,5	30,0	22,0	33,3
01_76_A	Cluster 1	1,50	28,9	25,4	17,4	28,8
01_76_B	Cluster 1	4,50	30,9	27,3	19,3	30,7
01_76_C	Cluster 1	7,50	32,6	29,1	21,1	32,5
01_77_A	Cluster 1	1,50	27,5	23,8	15,8	27,3
01_77_B	Cluster 1	4,50	30,0	26,4	18,4	29,8

Alle getoonde dB-waarden zijn A-gewogen

Bijlage III-5 Rekenresultaten H.J.P. Fesevurstraat

Rapport: Resultatentabel
 Model: Wegverkeermodel
 LAgg totaalresultaten voor toetspunten
 Groep: H.J.P. Fesevurstraat
 Groepsreductie: Nee

Naam	Toetspunt	Omschrijving	Hoogte	Dag	Avond	Nacht	Lden
01_78_A	Cluster 1	Cluster 1	1,50	26,9	23,3	15,3	26,7
01_78_B	Cluster 1	Cluster 1	4,50	29,1	25,6	17,6	29,0
01_79_A	Cluster 1	Cluster 1	1,50	26,8	23,2	15,2	26,6
01_79_B	Cluster 1	Cluster 1	4,50	28,8	25,2	17,2	28,6
01_79_C	Cluster 1	Cluster 1	7,50	30,4	26,8	18,8	30,3
01_80_A	Cluster 1	Cluster 1	1,50	27,2	23,6	15,6	27,1
01_80_B	Cluster 1	Cluster 1	4,50	29,1	25,5	17,5	28,9
01_80_C	Cluster 1	Cluster 1	7,50	30,7	27,1	19,1	30,5
01_81_A	Cluster 1	Cluster 1	1,50	29,3	25,8	17,8	29,2
01_81_B	Cluster 1	Cluster 1	4,50	30,7	27,1	19,1	30,5
01_81_C	Cluster 1	Cluster 1	7,50	32,1	28,5	20,5	31,9
01_82_A	Cluster 1	Cluster 1	1,50	29,0	25,5	17,5	28,9
01_82_B	Cluster 1	Cluster 1	4,50	31,0	27,5	19,5	30,9
01_82_C	Cluster 1	Cluster 1	7,50	32,3	28,7	20,7	32,1
01_83_A	Cluster 1	Cluster 1	1,50	30,3	26,8	18,8	30,2
01_83_B	Cluster 1	Cluster 1	4,50	31,5	28,0	20,0	31,4
01_83_C	Cluster 1	Cluster 1	7,50	32,8	29,2	21,2	32,6
01_84_A	Cluster 1	Cluster 1	1,50	30,5	27,0	19,0	30,4
01_84_B	Cluster 1	Cluster 1	4,50	31,2	27,7	19,7	31,1
01_84_C	Cluster 1	Cluster 1	7,50	32,5	28,9	20,9	32,3
01_85_A	Cluster 1	Cluster 1	1,50	26,9	23,3	15,3	26,7
01_85_B	Cluster 1	Cluster 1	4,50	29,9	26,3	18,3	29,7
01_85_C	Cluster 1	Cluster 1	7,50	31,3	27,7	19,7	31,1
01_86_A	Cluster 1	Cluster 1	1,50	25,5	21,8	13,8	25,3
01_86_B	Cluster 1	Cluster 1	4,50	28,2	24,7	16,7	28,1
01_86_C	Cluster 1	Cluster 1	7,50	30,8	27,1	19,1	30,6
01_87_A	Cluster 1	Cluster 1	1,50	25,6	21,9	13,9	25,4
01_87_B	Cluster 1	Cluster 1	4,50	28,0	24,4	16,4	27,9
01_88_A	Cluster 1	Cluster 1	1,50	25,4	21,8	13,8	25,2
01_88_B	Cluster 1	Cluster 1	4,50	29,0	25,5	17,5	28,9
01_89_A	Cluster 1	Cluster 1	1,50	24,9	21,2	13,2	24,7
01_89_B	Cluster 1	Cluster 1	4,50	26,7	23,1	15,1	26,5
01_89_C	Cluster 1	Cluster 1	7,50	27,7	24,1	16,1	27,5
01_90_A	Cluster 1	Cluster 1	1,50	27,1	23,5	15,5	26,9
01_90_B	Cluster 1	Cluster 1	4,50	29,8	26,3	18,3	29,6
01_90_C	Cluster 1	Cluster 1	7,50	32,0	28,5	20,6	31,9
01_91_A	Cluster 1	Cluster 1	1,50	26,8	23,2	15,2	26,7
01_91_B	Cluster 1	Cluster 1	4,50	29,9	26,4	18,4	29,8
01_91_C	Cluster 1	Cluster 1	7,50	32,1	28,6	20,7	32,0
01_92_A	Cluster 1	Cluster 1	1,50	27,2	23,6	15,6	27,1
01_92_B	Cluster 1	Cluster 1	4,50	30,2	26,7	18,7	30,1
01_92_C	Cluster 1	Cluster 1	7,50	32,6	29,1	21,1	32,5
01_93_A	Cluster 1	Cluster 1	1,50	27,2	23,6	15,6	27,0
01_93_B	Cluster 1	Cluster 1	4,50	31,0	27,5	19,6	30,9
01_93_C	Cluster 1	Cluster 1	7,50	33,5	30,0	22,0	33,4
01_94_A	Cluster 1	Cluster 1	1,50	29,8	26,3	18,4	29,7
01_94_B	Cluster 1	Cluster 1	4,50	31,9	28,4	20,4	31,8
01_94_C	Cluster 1	Cluster 1	7,50	33,5	30,0	22,0	33,4
01_95_A	Cluster 1	Cluster 1	1,50	30,0	26,5	18,6	29,9
01_95_B	Cluster 1	Cluster 1	4,50	32,2	28,7	20,7	32,1
01_95_C	Cluster 1	Cluster 1	7,50	34,0	30,5	22,5	33,8
01_96_A	Cluster 1	Cluster 1	1,50	27,9	24,3	16,3	27,7
01_96_B	Cluster 1	Cluster 1	4,50	31,2	27,7	19,7	31,0
01_96_C	Cluster 1	Cluster 1	7,50	33,6	30,1	22,1	33,5
01_97_A	Cluster 1	Cluster 1	1,50	27,7	24,1	16,1	27,5
01_97_B	Cluster 1	Cluster 1	4,50	30,5	26,9	18,9	30,3
01_97_C	Cluster 1	Cluster 1	7,50	32,9	29,3	21,3	32,7
01_98_A	Cluster 1	Cluster 1	1,50	28,1	24,5	16,5	27,9
01_98_B	Cluster 1	Cluster 1	4,50	29,9	26,2	18,2	29,7
01_98_C	Cluster 1	Cluster 1	7,50	32,4	28,8	20,8	32,2
01_99_A	Cluster 1	Cluster 1	1,50	28,4	24,8	16,8	28,3
01_99_B	Cluster 1	Cluster 1	4,50	30,6	26,9	18,9	30,4
01_99_C	Cluster 1	Cluster 1	7,50	33,3	29,7	21,7	33,2
02_01_A	Cluster 2	Cluster 2	1,50	23,8	20,2	12,2	23,7
02_01_B	Cluster 2	Cluster 2	4,50	25,3	21,7	13,7	25,1
02_01_C	Cluster 2	Cluster 2	7,50	27,4	23,7	15,7	27,2
02_02_A	Cluster 2	Cluster 2	1,50	20,1	16,5	8,5	19,9
02_02_B	Cluster 2	Cluster 2	4,50	21,3	17,7	9,7	21,1
02_02_C	Cluster 2	Cluster 2	7,50	24,5	21,0	13,0	24,4
02_03_A	Cluster 2	Cluster 2	1,50	18,9	15,4	7,4	18,8
02_03_B	Cluster 2	Cluster 2	4,50	20,6	17,0	9,0	20,4
02_03_C	Cluster 2	Cluster 2	7,50	25,1	21,6	13,6	25,0
02_04_A	Cluster 2	Cluster 2	1,50	21,7	18,2	10,3	21,6
02_04_B	Cluster 2	Cluster 2	4,50	22,9	19,4	11,4	22,8

Alle getoonde dB-waarden zijn A-gewogen

Bijlage III-5 Rekenresultaten H.J.P. Fesevurstraat

Rapport: Resultatentabel
 Model: Wegverkeermodel
 LAgg totaalresultaten voor toetspunten
 Groep: H.J.P. Fesevurstraat
 Groepsreductie: Nee

Naam						
Toetspunt	Omschrijving	Hoogte	Dag	Avond	Nacht	Lden
02_04_C	Cluster 2	7,50	25,3	21,8	13,8	25,1
02_05_A	Cluster 2	1,50	22,7	19,2	11,3	22,6
02_05_B	Cluster 2	4,50	23,5	20,0	12,1	23,4
02_05_C	Cluster 2	7,50	25,3	21,8	13,9	25,2
02_06_A	Cluster 2	1,50	24,2	20,8	12,9	24,1
02_06_B	Cluster 2	4,50	25,0	21,6	13,6	24,9
02_06_C	Cluster 2	7,50	25,8	22,4	14,4	25,8
02_07_A	Cluster 2	1,50	24,0	20,6	12,6	23,9
02_07_B	Cluster 2	4,50	24,8	21,4	13,4	24,7
02_07_C	Cluster 2	7,50	25,6	22,1	14,2	25,5
02_08_A	Cluster 2	1,50	24,8	21,5	13,5	24,8
02_08_B	Cluster 2	4,50	25,7	22,3	14,3	25,6
02_08_C	Cluster 2	7,50	26,5	23,1	15,1	26,4
02_09_A	Cluster 2	1,50	23,6	20,2	12,3	23,6
02_09_B	Cluster 2	4,50	24,6	21,1	13,2	24,5
02_09_C	Cluster 2	7,50	25,3	21,8	13,8	25,2
02_10_A	Cluster 2	1,50	25,4	22,1	14,1	25,4
02_10_B	Cluster 2	4,50	26,1	22,8	14,8	26,1
02_10_C	Cluster 2	7,50	26,7	23,3	15,4	26,7
02_100_A	Cluster 2	1,50	17,7	14,1	6,1	17,5
02_100_B	Cluster 2	4,50	16,3	12,6	4,6	16,1
02_100_C	Cluster 2	7,50	17,0	13,3	5,3	16,8
02_101_A	Cluster 2	1,50	17,9	14,3	6,2	17,7
02_101_B	Cluster 2	4,50	16,9	13,2	5,2	16,7
02_101_C	Cluster 2	7,50	17,7	14,0	5,9	17,4
02_102_A	Cluster 2	1,50	18,1	14,5	6,4	17,9
02_102_B	Cluster 2	4,50	17,1	13,4	5,4	16,9
02_102_C	Cluster 2	7,50	17,9	14,2	6,2	17,7
02_103_A	Cluster 2	1,50	18,2	14,5	6,5	17,9
02_103_B	Cluster 2	4,50	17,7	14,0	5,9	17,4
02_103_C	Cluster 2	7,50	18,5	14,8	6,8	18,3
02_104_A	Cluster 2	1,50	18,1	14,4	6,4	17,9
02_104_B	Cluster 2	4,50	17,0	13,3	5,3	16,8
02_104_C	Cluster 2	7,50	17,5	13,8	5,7	17,3
02_105_A	Cluster 2	1,50	17,6	13,9	5,9	17,4
02_105_B	Cluster 2	4,50	17,2	13,5	5,4	17,0
02_105_C	Cluster 2	7,50	17,9	14,2	6,2	17,7
02_106_A	Cluster 2	1,50	18,4	14,7	6,7	18,2
02_106_B	Cluster 2	4,50	17,7	14,0	5,9	17,4
02_106_C	Cluster 2	7,50	18,4	14,7	6,7	18,2
02_107_A	Cluster 2	1,50	17,9	14,3	6,2	17,7
02_107_B	Cluster 2	4,50	17,3	13,6	5,5	17,0
02_107_C	Cluster 2	7,50	18,0	14,3	6,3	17,8
02_108_A	Cluster 2	1,50	19,1	15,5	7,5	18,9
02_108_B	Cluster 2	4,50	17,4	13,7	5,7	17,2
02_108_C	Cluster 2	7,50	18,1	14,4	6,4	17,9
02_11_A	Cluster 2	1,50	25,0	21,6	13,7	24,9
02_11_B	Cluster 2	4,50	25,7	22,3	14,3	25,6
02_11_C	Cluster 2	7,50	26,2	22,8	14,8	26,1
02_12_A	Cluster 2	1,50	16,4	12,7	4,7	16,2
02_12_B	Cluster 2	4,50	17,3	13,7	5,6	17,1
02_13_A	Cluster 2	1,50	22,7	19,3	11,4	22,7
02_13_B	Cluster 2	4,50	23,4	20,0	12,1	23,4
02_14_A	Cluster 2	1,50	18,4	15,0	7,0	18,3
02_14_B	Cluster 2	4,50	19,0	15,5	7,5	18,9
02_15_A	Cluster 2	1,50	16,1	12,7	4,7	16,0
02_15_B	Cluster 2	4,50	16,8	13,2	5,3	16,6
02_16_A	Cluster 2	1,50	13,7	10,1	2,1	13,5
02_16_B	Cluster 2	4,50	15,2	11,5	3,5	15,0
02_16_C	Cluster 2	7,50	16,8	13,3	5,3	16,7
02_16_D	Cluster 2	10,50	18,3	14,8	6,8	18,2
02_17_A	Cluster 2	1,50	12,7	9,1	1,0	12,5
02_17_B	Cluster 2	4,50	13,6	9,9	1,9	13,4
02_17_C	Cluster 2	7,50	14,0	10,3	2,3	13,8
02_17_D	Cluster 2	10,50	15,8	12,3	4,3	15,7
02_18_A	Cluster 2	1,50	12,9	9,2	1,2	12,7
02_18_B	Cluster 2	4,50	13,9	10,2	2,2	13,7
02_18_C	Cluster 2	7,50	14,7	11,0	3,0	14,5
02_18_D	Cluster 2	10,50	16,4	12,8	4,9	16,3
02_19_A	Cluster 2	1,50	12,5	8,9	0,9	12,3
02_19_B	Cluster 2	4,50	13,5	9,8	1,8	13,3
02_19_C	Cluster 2	7,50	14,0	10,2	2,2	13,7
02_19_D	Cluster 2	10,50	14,3	10,6	2,5	14,0
02_20_A	Cluster 2	1,50	12,2	8,6	0,6	12,0

Alle getoonde dB-waarden zijn A-gewogen

Bijlage III-5 Rekenresultaten H.J.P. Fesevurstraat

Rapport: Resultatentabel
 Model: Wegverkeermodel
 LAgg totaalresultaten voor toetspunten
 Groep: H.J.P. Fesevurstraat
 Groepsreductie: Nee

Naam						
Toetspunt	Omschrijving	Hoogte	Dag	Avond	Nacht	Lden
02_20_B	Cluster 2	4,50	13,3	9,6	1,6	13,1
02_20_C	Cluster 2	7,50	14,0	10,3	2,3	13,8
02_20_D	Cluster 2	10,50	14,8	11,1	3,1	14,6
02_21_A	Cluster 2	1,50	12,3	8,7	0,7	12,1
02_21_B	Cluster 2	4,50	13,1	9,4	1,3	12,9
02_21_C	Cluster 2	7,50	13,6	9,9	1,8	13,3
02_21_D	Cluster 2	10,50	14,1	10,4	2,4	13,8
02_22_A	Cluster 2	1,50	12,3	8,6	0,6	12,0
02_22_B	Cluster 2	4,50	12,9	9,2	1,2	12,7
02_22_C	Cluster 2	7,50	13,4	9,7	1,6	13,1
02_22_D	Cluster 2	10,50	14,3	10,7	2,6	14,1
02_23_A	Cluster 2	1,50	12,2	8,5	0,5	12,0
02_23_B	Cluster 2	4,50	12,8	9,1	1,0	12,6
02_23_C	Cluster 2	7,50	13,4	9,7	1,7	13,2
02_23_D	Cluster 2	10,50	14,4	10,8	2,7	14,2
02_24_A	Cluster 2	1,50	12,1	8,5	0,4	11,9
02_24_B	Cluster 2	4,50	12,7	9,0	1,0	12,5
02_24_C	Cluster 2	7,50	13,2	9,5	1,5	13,0
02_24_D	Cluster 2	10,50	13,7	10,1	2,0	13,5
02_25_A	Cluster 2	1,50	12,0	8,3	0,3	11,8
02_25_B	Cluster 2	4,50	12,5	8,8	0,7	12,3
02_25_C	Cluster 2	7,50	13,0	9,3	1,2	12,8
02_25_D	Cluster 2	10,50	13,0	9,3	1,2	12,8
02_26_A	Cluster 2	1,50	19,2	15,6	7,5	19,0
02_26_B	Cluster 2	4,50	19,9	16,2	8,1	19,6
02_26_C	Cluster 2	7,50	21,0	17,2	9,1	20,7
02_26_D	Cluster 2	10,50	21,8	18,1	10,1	21,6
02_27_A	Cluster 2	1,50	19,2	15,5	7,5	19,0
02_27_B	Cluster 2	4,50	20,1	16,5	8,4	19,9
02_27_C	Cluster 2	7,50	22,7	19,1	11,1	22,5
02_27_D	Cluster 2	10,50	26,3	22,9	14,9	26,2
02_28_A	Cluster 2	1,50	11,9	8,2	0,2	11,7
02_28_B	Cluster 2	4,50	12,3	8,6	0,5	12,1
02_28_C	Cluster 2	7,50	12,8	9,1	1,0	12,6
02_28_D	Cluster 2	10,50	12,4	8,7	0,6	12,2
02_29_A	Cluster 2	1,50	12,2	8,5	0,5	12,0
02_29_B	Cluster 2	4,50	12,6	8,8	0,7	12,3
02_29_C	Cluster 2	7,50	13,1	9,3	1,2	12,8
02_29_D	Cluster 2	10,50	13,0	9,2	1,1	12,7
02_30_A	Cluster 2	1,50	11,7	8,0	-0,1	11,4
02_30_B	Cluster 2	4,50	12,0	8,2	0,2	11,7
02_30_C	Cluster 2	7,50	12,6	8,8	0,8	12,3
02_30_D	Cluster 2	10,50	12,6	8,8	0,7	12,3
02_31_A	Cluster 2	1,50	12,2	8,5	0,5	12,0
02_31_B	Cluster 2	4,50	12,5	8,7	0,7	12,2
02_31_C	Cluster 2	7,50	13,3	9,5	1,5	13,1
02_31_D	Cluster 2	10,50	13,6	9,8	1,7	13,3
02_32_A	Cluster 2	1,50	17,4	13,8	5,8	17,2
02_32_B	Cluster 2	4,50	18,4	14,7	6,6	18,1
02_32_C	Cluster 2	7,50	19,3	15,5	7,5	19,0
02_32_D	Cluster 2	10,50	20,5	16,7	8,7	20,2
02_33_A	Cluster 2	1,50	18,0	14,3	6,3	17,8
02_33_B	Cluster 2	4,50	19,1	15,4	7,3	18,8
02_33_C	Cluster 2	7,50	20,2	16,4	8,4	19,9
02_34_A	Cluster 2	1,50	18,2	14,6	6,6	18,0
02_34_B	Cluster 2	4,50	19,4	15,7	7,6	19,2
02_34_C	Cluster 2	7,50	20,5	16,7	8,7	20,2
02_35_A	Cluster 2	1,50	18,1	14,5	6,5	17,9
02_35_B	Cluster 2	4,50	19,3	15,6	7,6	19,1
02_35_C	Cluster 2	7,50	20,6	16,8	8,8	20,3
02_36_A	Cluster 2	1,50	17,9	14,2	6,2	17,7
02_36_B	Cluster 2	4,50	19,1	15,4	7,4	18,9
02_36_C	Cluster 2	7,50	20,5	16,7	8,7	20,2
02_37_A	Cluster 2	1,50	18,4	14,8	6,8	18,2
02_37_B	Cluster 2	4,50	19,7	16,0	8,0	19,5
02_37_C	Cluster 2	7,50	21,3	17,5	9,5	21,0
02_38_A	Cluster 2	1,50	18,5	14,9	6,9	18,3
02_38_B	Cluster 2	4,50	19,7	16,0	8,0	19,5
02_38_C	Cluster 2	7,50	21,4	17,7	9,7	21,2
02_39_A	Cluster 2	1,50	18,7	15,1	7,1	18,6
02_39_B	Cluster 2	4,50	20,0	16,3	8,3	19,8
02_39_C	Cluster 2	7,50	21,9	18,2	10,2	21,7
02_40_A	Cluster 2	1,50	19,0	15,4	7,4	18,8
02_40_B	Cluster 2	4,50	20,2	16,6	8,5	20,0

Alle getoonde dB-waarden zijn A-gewogen

Bijlage III-5 Rekenresultaten H.J.P. Fesevurstraat

Rapport: Resultatentabel
 Model: Wegverkeermodel
 LAgg totaalresultaten voor toetspunten
 Groep: H.J.P. Fesevurstraat
 Groepsreductie: Nee

Naam	Toetspunt	Omschrijving	Hoogte	Dag	Avond	Nacht	Lden
	02_40_C	Cluster 2	7,50	22,3	18,6	10,5	22,1
	02_41_A	Cluster 2	1,50	19,7	16,2	8,2	19,6
	02_41_B	Cluster 2	4,50	21,4	17,8	9,8	21,2
	02_41_C	Cluster 2	7,50	24,9	21,2	13,2	24,7
	02_42_A	Cluster 2	1,50	15,4	11,9	3,9	15,3
	02_42_B	Cluster 2	4,50	16,9	13,2	5,2	16,7
	02_42_C	Cluster 2	7,50	20,9	17,2	9,2	20,7
	02_43_A	Cluster 2	1,50	19,6	16,0	8,0	19,4
	02_43_B	Cluster 2	4,50	21,0	17,3	9,2	20,7
	02_43_C	Cluster 2	7,50	23,0	19,3	11,3	22,8
	02_44_A	Cluster 2	1,50	19,9	16,3	8,3	19,7
	02_44_B	Cluster 2	4,50	21,5	17,8	9,7	21,2
	02_45_A	Cluster 2	1,50	20,1	16,4	8,4	19,9
	02_45_B	Cluster 2	4,50	21,6	17,9	9,9	21,4
	02_46_A	Cluster 2	1,50	23,7	20,1	12,1	23,5
	02_46_B	Cluster 2	4,50	25,2	21,5	13,5	25,0
	02_47_A	Cluster 2	1,50	23,7	20,1	12,1	23,6
	02_47_B	Cluster 2	4,50	25,1	21,4	13,4	24,9
	02_48_A	Cluster 2	1,50	24,7	21,1	13,2	24,5
	02_48_B	Cluster 2	4,50	25,9	22,3	14,3	25,7
	02_48_C	Cluster 2	7,50	27,3	23,7	15,6	27,1
	02_49_A	Cluster 2	1,50	26,6	23,2	15,2	26,5
	02_49_B	Cluster 2	4,50	27,8	24,3	16,3	27,7
	02_49_C	Cluster 2	7,50	29,0	25,5	17,5	28,9
	02_50_A	Cluster 2	1,50	28,3	24,9	16,9	28,2
	02_50_B	Cluster 2	4,50	29,5	26,0	18,1	29,4
	02_50_C	Cluster 2	7,50	30,6	27,1	19,1	30,5
	02_51_A	Cluster 2	1,50	29,2	25,8	17,8	29,1
	02_51_B	Cluster 2	4,50	30,3	26,9	18,9	30,2
	02_51_C	Cluster 2	7,50	31,3	27,9	19,9	31,2
	02_52_A	Cluster 2	1,50	29,8	26,4	18,5	29,8
	02_52_B	Cluster 2	4,50	31,0	27,6	19,7	31,0
	02_52_C	Cluster 2	7,50	32,1	28,7	20,7	32,0
	02_53_A	Cluster 2	1,50	27,2	23,8	15,8	27,1
	02_53_B	Cluster 2	4,50	28,5	25,0	17,0	28,4
	02_53_C	Cluster 2	7,50	30,1	26,5	18,6	29,9
	02_54_A	Cluster 2	1,50	23,8	20,2	12,2	23,7
	02_54_B	Cluster 2	4,50	25,3	21,6	13,6	25,1
	02_54_C	Cluster 2	7,50	27,8	24,2	16,2	27,7
	02_55_A	Cluster 2	1,50	24,0	20,4	12,4	23,8
	02_55_B	Cluster 2	4,50	25,5	21,9	13,9	25,3
	02_55_C	Cluster 2	7,50	27,3	23,6	15,6	27,1
	02_56_A	Cluster 2	1,50	24,2	20,6	12,6	24,0
	02_56_B	Cluster 2	4,50	25,7	22,0	14,0	25,5
	02_56_C	Cluster 2	7,50	27,5	23,8	15,8	27,3
	02_57_A	Cluster 2	1,50	24,3	20,7	12,7	24,1
	02_57_B	Cluster 2	4,50	25,7	22,0	14,0	25,4
	02_57_C	Cluster 2	7,50	27,3	23,7	15,6	27,1
	02_58_A	Cluster 2	1,50	24,2	20,6	12,6	24,0
	02_58_B	Cluster 2	4,50	25,8	22,1	14,1	25,5
	02_58_C	Cluster 2	7,50	27,8	24,1	16,1	27,6
	02_59_A	Cluster 2	1,50	21,6	18,0	10,0	21,4
	02_59_B	Cluster 2	4,50	22,0	18,3	10,3	21,8
	02_59_C	Cluster 2	7,50	23,8	20,1	12,1	23,5
	02_60_A	Cluster 2	1,50	23,2	19,6	11,6	23,0
	02_60_B	Cluster 2	4,50	24,2	20,5	12,5	24,0
	02_60_C	Cluster 2	7,50	25,7	22,0	14,0	25,5
	02_61_A	Cluster 2	1,50	22,7	19,1	11,1	22,5
	02_61_B	Cluster 2	4,50	23,8	20,1	12,1	23,6
	02_61_C	Cluster 2	7,50	25,5	21,9	13,8	25,3
	02_62_A	Cluster 2	1,50	22,2	18,5	10,5	22,0
	02_62_B	Cluster 2	4,50	23,3	19,6	11,6	23,1
	02_62_C	Cluster 2	7,50	24,9	21,2	13,2	24,7
	02_63_A	Cluster 2	1,50	22,3	18,7	10,7	22,2
	02_63_B	Cluster 2	4,50	23,3	19,6	11,6	23,0
	02_63_C	Cluster 2	7,50	24,8	21,1	13,1	24,6
	02_64_A	Cluster 2	1,50	22,2	18,5	10,5	22,0
	02_64_B	Cluster 2	4,50	23,2	19,5	11,5	22,9
	02_64_C	Cluster 2	7,50	24,5	20,8	12,8	24,3
	02_65_A	Cluster 2	1,50	22,4	18,8	10,8	22,2
	02_65_B	Cluster 2	4,50	23,3	19,7	11,6	23,1
	02_65_C	Cluster 2	7,50	24,5	20,8	12,8	24,3
	02_66_A	Cluster 2	1,50	21,9	18,3	10,3	21,8
	02_66_B	Cluster 2	4,50	22,8	19,1	11,1	22,6

Alle getoonde dB-waarden zijn A-gewogen

Bijlage III-5 Rekenresultaten H.J.P. Fesevurstraat

Rapport: Resultatentabel
 Model: Wegverkeermodel
 LAgg totaalresultaten voor toetspunten
 Groep: H.J.P. Fesevurstraat
 Groepsreductie: Nee

Naam						
Toetspunt	Omschrijving	Hoogte	Dag	Avond	Nacht	Lden
02_66_C	Cluster 2	7,50	24,1	20,4	12,4	23,9
02_67_A	Cluster 2	1,50	22,2	18,5	10,5	22,0
02_67_B	Cluster 2	4,50	23,2	19,5	11,4	22,9
02_67_C	Cluster 2	7,50	24,1	20,4	12,3	23,8
02_68_A	Cluster 2	1,50	21,8	18,1	10,1	21,5
02_68_B	Cluster 2	4,50	22,5	18,9	10,8	22,3
02_68_C	Cluster 2	7,50	23,7	20,0	12,0	23,5
02_69_A	Cluster 2	1,50	15,5	11,8	3,8	15,3
02_69_B	Cluster 2	4,50	16,6	12,9	4,9	16,3
02_69_C	Cluster 2	7,50	17,5	13,9	5,9	17,4
02_70_A	Cluster 2	1,50	19,4	15,8	7,7	19,2
02_70_B	Cluster 2	4,50	21,0	17,3	9,3	20,8
02_70_C	Cluster 2	7,50	23,3	19,6	11,6	23,1
02_71_A	Cluster 2	1,50	20,8	17,2	9,1	20,6
02_71_B	Cluster 2	4,50	22,2	18,5	10,5	22,0
02_72_A	Cluster 2	1,50	21,8	18,1	10,1	21,6
02_72_B	Cluster 2	4,50	23,2	19,5	11,5	23,0
02_73_A	Cluster 2	1,50	21,2	17,5	9,5	21,0
02_73_B	Cluster 2	4,50	22,5	18,8	10,8	22,3
02_73_C	Cluster 2	7,50	24,0	20,3	12,3	23,8
02_73_D	Cluster 2	10,50	25,4	21,7	13,7	25,2
02_74_A	Cluster 2	1,50	22,3	18,6	10,6	22,1
02_74_B	Cluster 2	4,50	23,2	19,6	11,5	23,0
02_74_C	Cluster 2	7,50	24,3	20,6	12,6	24,1
02_74_D	Cluster 2	10,50	25,1	21,4	13,4	24,8
02_75_A	Cluster 2	1,50	22,4	18,8	10,7	22,2
02_75_B	Cluster 2	4,50	23,4	19,7	11,7	23,2
02_75_C	Cluster 2	7,50	24,3	20,6	12,6	24,1
02_75_D	Cluster 2	10,50	25,2	21,5	13,5	25,0
02_76_A	Cluster 2	1,50	23,1	19,5	11,5	22,9
02_76_B	Cluster 2	4,50	23,9	20,2	12,2	23,7
02_76_C	Cluster 2	7,50	25,0	21,3	13,2	24,7
02_76_D	Cluster 2	10,50	26,5	22,9	14,9	26,3
02_77_A	Cluster 2	1,50	22,8	19,1	11,1	22,6
02_77_B	Cluster 2	4,50	23,8	20,1	12,1	23,6
02_77_C	Cluster 2	7,50	25,0	21,3	13,3	24,8
02_77_D	Cluster 2	10,50	27,0	23,4	15,4	26,8
02_78_A	Cluster 2	1,50	22,6	18,9	10,9	22,4
02_78_B	Cluster 2	4,50	23,5	19,8	11,8	23,3
02_78_C	Cluster 2	7,50	24,7	21,0	13,0	24,5
02_78_D	Cluster 2	10,50	27,1	23,6	15,6	27,0
02_79_A	Cluster 2	1,50	22,7	19,1	11,1	22,5
02_79_B	Cluster 2	4,50	23,6	19,9	11,9	23,4
02_79_C	Cluster 2	7,50	24,8	21,1	13,1	24,6
02_79_D	Cluster 2	10,50	27,1	23,6	15,6	27,0
02_80_A	Cluster 2	1,50	22,4	18,7	10,7	22,2
02_80_B	Cluster 2	4,50	23,3	19,6	11,6	23,1
02_80_C	Cluster 2	7,50	24,4	20,7	12,7	24,2
02_80_D	Cluster 2	10,50	26,8	23,2	15,3	26,6
02_81_A	Cluster 2	1,50	22,7	19,1	11,1	22,5
02_81_B	Cluster 2	4,50	23,4	19,7	11,7	23,2
02_81_C	Cluster 2	7,50	24,9	21,2	13,2	24,7
02_81_D	Cluster 2	10,50	27,1	23,6	15,6	26,9
02_82_A	Cluster 2	1,50	22,7	19,1	11,0	22,5
02_82_B	Cluster 2	4,50	23,5	19,8	11,8	23,3
02_82_C	Cluster 2	7,50	25,0	21,3	13,3	24,8
02_82_D	Cluster 2	10,50	27,4	23,9	15,9	27,3
02_83_A	Cluster 2	1,50	22,3	18,6	10,6	22,1
02_83_B	Cluster 2	4,50	23,3	19,6	11,6	23,1
02_83_C	Cluster 2	7,50	24,8	21,1	13,1	24,6
02_83_D	Cluster 2	10,50	27,0	23,5	15,6	26,9
02_84_A	Cluster 2	1,50	21,4	17,7	9,7	21,2
02_84_B	Cluster 2	4,50	22,6	18,9	10,9	22,4
02_84_C	Cluster 2	7,50	24,2	20,5	12,5	24,0
02_84_D	Cluster 2	10,50	26,6	23,1	15,1	26,5
02_85_A	Cluster 2	1,50	21,2	17,5	9,5	21,0
02_85_B	Cluster 2	4,50	22,5	18,9	10,8	22,3
02_85_C	Cluster 2	7,50	24,1	20,4	12,4	23,9
02_85_D	Cluster 2	10,50	26,2	22,6	14,6	26,0
02_86_A	Cluster 2	1,50	19,3	15,6	7,6	19,1
02_86_B	Cluster 2	4,50	20,1	16,4	8,4	19,9
02_86_C	Cluster 2	7,50	21,8	18,1	10,1	21,6
02_87_A	Cluster 2	1,50	18,2	14,6	6,5	18,0
02_87_B	Cluster 2	4,50	19,4	15,7	7,7	19,2

Alle getoonde dB-waarden zijn A-gewogen

Bijlage III-5 Rekenresultaten H.J.P. Fesevurstraat

Rapport: Resultatentabel
 Model: Wegverkeermodel
 L'Aeq totaalresultaten voor toetspunten
 Groep: H.J.P. Fesevurstraat
 Groepsreductie: Nee

Naam	Toetspunt	Omschrijving	Hoogte	Dag	Avond	Nacht	Lden
02_87_C	Cluster 2		7,50	22,5	18,8	10,8	22,3
02_88_A	Cluster 2		1,50	15,2	11,6	3,6	15,0
02_88_B	Cluster 2		4,50	16,5	12,8	4,8	16,3
02_88_C	Cluster 2		7,50	17,8	14,0	6,0	17,5
02_89_A	Cluster 2		1,50	20,6	16,9	8,9	20,4
02_89_B	Cluster 2		4,50	20,9	17,3	9,2	20,7
02_89_C	Cluster 2		7,50	22,2	18,5	10,5	22,0
02_90_A	Cluster 2		1,50	20,8	17,2	9,1	20,6
02_90_B	Cluster 2		4,50	21,4	17,7	9,7	21,2
02_90_C	Cluster 2		7,50	22,8	19,1	11,1	22,6
02_91_A	Cluster 2		1,50	20,9	17,3	9,3	20,7
02_91_B	Cluster 2		4,50	21,1	17,4	9,4	20,9
02_91_C	Cluster 2		7,50	22,5	18,8	10,8	22,3
02_92_A	Cluster 2		1,50	21,0	17,3	9,3	20,8
02_92_B	Cluster 2		4,50	21,3	17,7	9,6	21,1
02_92_C	Cluster 2		7,50	22,9	19,2	11,2	22,7
02_93_A	Cluster 2		1,50	20,8	17,2	9,2	20,6
02_93_B	Cluster 2		4,50	21,2	17,5	9,5	21,0
02_93_C	Cluster 2		7,50	22,8	19,2	11,1	22,6
02_94_A	Cluster 2		1,50	20,8	17,2	9,2	20,6
02_94_B	Cluster 2		4,50	21,8	18,2	10,1	21,6
02_94_C	Cluster 2		7,50	23,8	20,2	12,1	23,6
02_95_A	Cluster 2		1,50	20,2	16,6	8,6	20,0
02_95_B	Cluster 2		4,50	22,3	18,6	10,6	22,1
02_95_C	Cluster 2		7,50	24,5	20,9	12,8	24,3
02_96_A	Cluster 2		1,50	19,9	16,3	8,3	19,7
02_96_B	Cluster 2		4,50	22,0	18,4	10,3	21,8
02_97_A	Cluster 2		1,50	18,1	14,5	6,5	17,9
02_97_B	Cluster 2		4,50	17,6	13,9	5,9	17,4
02_98_A	Cluster 2		1,50	18,1	14,5	6,5	17,9
02_98_B	Cluster 2		4,50	16,6	12,9	4,9	16,4
02_98_C	Cluster 2		7,50	17,9	14,2	6,2	17,7
02_99_A	Cluster 2		1,50	18,0	14,4	6,4	17,8
02_99_B	Cluster 2		4,50	15,9	12,2	4,1	15,6
02_99_C	Cluster 2		7,50	16,5	12,7	4,7	16,2
03_01_A	Cluster 3		1,50	48,7	45,2	37,3	48,6
03_01_B	Cluster 3		4,50	48,9	45,5	37,5	48,9
03_01_C	Cluster 3		7,50	48,8	45,3	37,4	48,7
03_02_A	Cluster 3		1,50	53,6	50,2	42,3	53,5
03_02_B	Cluster 3		4,50	53,8	50,4	42,5	53,8
03_02_C	Cluster 3		7,50	53,5	50,0	42,1	53,4
03_03_A	Cluster 3		1,50	53,8	50,4	42,4	53,7
03_03_B	Cluster 3		4,50	54,0	50,5	42,6	53,9
03_03_C	Cluster 3		7,50	53,5	50,1	42,1	53,4
03_04_A	Cluster 3		1,50	54,2	50,8	42,8	54,1
03_04_B	Cluster 3		4,50	54,3	50,9	43,0	54,2
03_04_C	Cluster 3		7,50	53,8	50,4	42,5	53,8
03_05_A	Cluster 3		1,50	54,0	50,6	42,6	53,9
03_05_B	Cluster 3		4,50	54,2	50,7	42,8	54,1
03_06_A	Cluster 3		1,50	54,0	50,6	42,7	54,0
03_06_B	Cluster 3		4,50	54,2	50,8	42,8	54,1
03_07_A	Cluster 3		1,50	49,8	46,5	38,5	49,8
03_07_B	Cluster 3		4,50	50,2	46,8	38,9	50,2
03_08_A	Cluster 3		1,50	48,0	44,7	36,7	48,0
03_08_B	Cluster 3		4,50	48,7	45,3	37,3	48,6
03_09_A	Cluster 3		1,50	45,2	41,8	33,9	45,1
03_09_B	Cluster 3		4,50	46,3	42,9	34,9	46,2
03_09_C	Cluster 3		7,50	46,3	42,9	34,9	46,2
03_10_A	Cluster 3		1,50	42,7	39,3	31,4	42,6
03_10_B	Cluster 3		4,50	44,3	40,9	32,9	44,2
03_10_C	Cluster 3		7,50	44,4	41,0	33,1	44,4
03_11_A	Cluster 3		1,50	41,4	38,1	30,2	41,4
03_11_B	Cluster 3		4,50	43,3	39,9	31,9	43,2
03_11_C	Cluster 3		7,50	43,4	40,0	32,1	43,4
03_12_A	Cluster 3		1,50	40,0	36,6	28,7	39,9
03_12_B	Cluster 3		4,50	42,0	38,6	30,7	42,0
03_12_C	Cluster 3		7,50	42,2	38,8	30,9	42,2
03_13_A	Cluster 3		1,50	38,6	35,2	27,3	38,5
03_13_B	Cluster 3		4,50	40,7	37,3	29,4	40,7
03_13_C	Cluster 3		7,50	41,0	37,6	29,6	40,9
03_14_A	Cluster 3		1,50	38,0	34,6	26,7	38,0
03_14_B	Cluster 3		4,50	40,1	36,7	28,8	40,0
03_14_C	Cluster 3		7,50	40,5	37,1	29,2	40,4
03_15_A	Cluster 3		1,50	36,9	33,6	25,7	36,9

Alle getoonde dB-waarden zijn A-gewogen

Bijlage III-5 Rekenresultaten H.J.P. Fesevurstraat

Rapport: Resultatentabel
 Model: Wegverkeermodel
 LAeq totaalresultaten voor toetspunten
 Groep: H.J.P. Fesevurstraat
 Groepsreductie: Nee

Naam						
Toetspunt	Omschrijving	Hoogte	Dag	Avond	Nacht	Lden
03_15_B	Cluster 3	4,50	38,9	35,5	27,5	38,8
03_15_C	Cluster 3	7,50	39,5	36,1	28,2	39,5
03_16_A	Cluster 3	1,50	35,9	32,6	24,6	35,9
03_16_B	Cluster 3	4,50	37,6	34,2	26,3	37,6
03_16_C	Cluster 3	7,50	38,5	35,1	27,2	38,5
03_17_A	Cluster 3	1,50	35,3	31,9	24,0	35,2
03_17_B	Cluster 3	4,50	36,8	33,4	25,5	36,8
03_17_C	Cluster 3	7,50	37,9	34,5	26,5	37,8
03_18_A	Cluster 3	1,50	34,4	31,0	23,1	34,3
03_18_B	Cluster 3	4,50	35,8	32,4	24,5	35,8
03_18_C	Cluster 3	7,50	37,0	33,6	25,6	36,9
03_19_A	Cluster 3	1,50	34,3	31,0	23,0	34,3
03_19_B	Cluster 3	4,50	35,8	32,4	24,4	35,7
03_19_C	Cluster 3	7,50	37,1	33,7	25,7	37,0
03_20_A	Cluster 3	1,50	33,3	29,9	22,0	33,2
03_20_B	Cluster 3	4,50	34,4	31,0	23,1	34,3
03_20_C	Cluster 3	7,50	35,6	32,2	24,2	35,5
03_21_A	Cluster 3	1,50	24,5	21,1	13,1	24,4
03_21_B	Cluster 3	4,50	24,5	21,0	13,0	24,4
03_21_C	Cluster 3	7,50	25,3	21,8	13,8	25,2
03_22_A	Cluster 3	1,50	20,4	17,0	9,0	20,3
03_22_B	Cluster 3	4,50	20,8	17,3	9,3	20,7
03_22_C	Cluster 3	7,50	21,8	18,2	10,2	21,7
03_23_A	Cluster 3	1,50	18,1	14,5	6,5	17,9
03_23_B	Cluster 3	4,50	18,7	15,0	7,0	18,5
03_23_C	Cluster 3	7,50	19,9	16,2	8,2	19,7
03_24_A	Cluster 3	1,50	17,8	14,2	6,2	17,7
03_24_B	Cluster 3	4,50	18,5	14,8	6,8	18,3
03_24_C	Cluster 3	7,50	19,6	15,9	7,9	19,4
03_25_A	Cluster 3	1,50	17,5	13,9	5,9	17,3
03_25_B	Cluster 3	4,50	18,1	14,4	6,4	17,9
03_25_C	Cluster 3	7,50	19,1	15,3	7,3	18,8
03_26_A	Cluster 3	1,50	17,8	14,2	6,2	17,6
03_26_B	Cluster 3	4,50	18,5	14,9	6,8	18,3
03_26_C	Cluster 3	7,50	19,6	15,8	7,8	19,3
03_27_A	Cluster 3	1,50	17,7	14,1	6,1	17,6
03_27_B	Cluster 3	4,50	19,0	15,3	7,3	18,8
03_27_C	Cluster 3	7,50	20,5	16,8	8,8	20,3
03_28_A	Cluster 3	1,50	17,7	14,1	6,1	17,6
03_28_B	Cluster 3	4,50	19,0	15,3	7,3	18,8
03_28_C	Cluster 3	7,50	20,6	16,9	8,8	20,4
03_29_A	Cluster 3	1,50	17,8	14,2	6,2	17,6
03_29_B	Cluster 3	4,50	19,2	15,5	7,4	18,9
03_29_C	Cluster 3	7,50	21,1	17,4	9,3	20,8
03_30_A	Cluster 3	1,50	20,4	16,9	8,9	20,2
03_30_B	Cluster 3	4,50	22,2	18,6	10,6	22,0
03_30_C	Cluster 3	7,50	25,1	21,6	13,6	25,0
03_31_A	Cluster 3	1,50	29,4	26,0	18,0	29,3
03_31_B	Cluster 3	4,50	31,5	28,0	20,1	31,4
03_31_C	Cluster 3	7,50	33,8	30,4	22,5	33,8
03_32_A	Cluster 3	1,50	22,2	18,6	10,6	22,0
03_32_B	Cluster 3	4,50	24,3	20,7	12,7	24,1
03_32_C	Cluster 3	7,50	28,4	24,9	17,0	28,3
03_33_A	Cluster 3	1,50	32,8	29,4	21,5	32,7
03_33_B	Cluster 3	4,50	35,2	31,7	23,8	35,1
03_33_C	Cluster 3	7,50	37,5	34,0	26,1	37,4
03_34_A	Cluster 3	1,50	35,9	32,5	24,5	35,8
03_34_B	Cluster 3	4,50	38,2	34,8	26,9	38,2
03_34_C	Cluster 3	7,50	40,1	36,7	28,8	40,1
03_35_A	Cluster 3	1,50	36,7	33,3	25,3	36,6
03_35_B	Cluster 3	4,50	39,4	35,9	28,0	39,3
03_35_C	Cluster 3	7,50	41,1	37,7	29,8	41,1
03_36_A	Cluster 3	1,50	38,0	34,6	26,6	37,9
03_36_B	Cluster 3	4,50	40,8	37,3	29,4	40,7
03_36_C	Cluster 3	7,50	42,2	38,7	30,8	42,1
03_37_A	Cluster 3	1,50	40,2	36,8	28,9	40,2
03_37_B	Cluster 3	4,50	42,4	39,0	31,0	42,3
03_37_C	Cluster 3	7,50	43,2	39,8	31,8	43,1
03_38_A	Cluster 3	1,50	42,0	38,6	30,7	42,0
03_38_B	Cluster 3	4,50	43,8	40,3	32,4	43,7
03_38_C	Cluster 3	7,50	44,2	40,7	32,8	44,1
03_39_A	Cluster 3	1,50	43,2	39,8	31,9	43,1
03_39_B	Cluster 3	4,50	44,6	41,1	33,2	44,5
03_39_C	Cluster 3	7,50	44,9	41,4	33,5	44,8

Alle getoonde dB-waarden zijn A-gewogen

Bijlage III-5 Rekenresultaten H.J.P. Fesevurstraat

Rapport: Resultatentabel
 Model: Wegverkeermodel
 LAgg totaalresultaten voor toetspunten
 Groep: H.J.P. Fesevurstraat
 Groepsreductie: Nee

Naam	Toetspunt	Omschrijving	Hoogte	Dag	Avond	Nacht	Lden
03_40_A	Cluster 3	1,50	44,8	41,4	33,5	44,8	
03_40_B	Cluster 3	4,50	46,1	42,7	34,7	46,0	
03_40_C	Cluster 3	7,50	45,8	42,4	34,4	45,8	
03_41_A	Cluster 3	1,50	45,8	42,4	34,5	45,7	
03_41_B	Cluster 3	4,50	46,8	43,3	35,4	46,7	
03_41_C	Cluster 3	7,50	46,6	43,2	35,2	46,6	
03_42_A	Cluster 3	1,50	47,9	44,5	36,6	47,9	
03_42_B	Cluster 3	4,50	48,6	45,2	37,2	48,5	
03_42_C	Cluster 3	7,50	48,3	44,9	36,9	48,2	
03_43_A	Cluster 3	1,50	52,4	48,9	41,0	52,3	
03_43_B	Cluster 3	4,50	52,8	49,3	41,4	52,7	
03_43_C	Cluster 3	7,50	52,5	49,0	41,1	52,4	
03_44_A	Cluster 3	1,50	52,4	49,0	41,1	52,4	
03_44_B	Cluster 3	4,50	52,8	49,4	41,5	52,8	
03_44_C	Cluster 3	7,50	52,5	49,1	41,1	52,4	
03_45_A	Cluster 3	1,50	52,8	49,3	41,4	52,7	
03_45_B	Cluster 3	4,50	53,1	49,7	41,7	53,0	
03_45_C	Cluster 3	7,50	52,8	49,3	41,4	52,7	
03_46_A	Cluster 3	1,50	53,1	49,7	41,8	53,0	
03_46_B	Cluster 3	4,50	53,4	50,0	42,0	53,3	
03_46_C	Cluster 3	7,50	53,1	49,6	41,7	53,0	
03_47_A	Cluster 3	1,50	48,6	45,1	37,2	48,5	
03_47_B	Cluster 3	4,50	48,7	45,2	37,3	48,6	
03_47_C	Cluster 3	7,50	48,5	45,0	37,1	48,4	
03_48_A	Cluster 3	1,50	26,2	22,6	14,6	26,1	
03_48_B	Cluster 3	4,50	26,2	22,6	14,6	26,0	
03_48_C	Cluster 3	7,50	25,7	22,1	14,1	25,5	
03_49_A	Cluster 3	1,50	25,1	21,4	13,4	24,9	
03_49_B	Cluster 3	4,50	26,1	22,6	14,6	26,0	
03_49_C	Cluster 3	7,50	25,8	22,2	14,2	25,6	
03_50_A	Cluster 3	1,50	24,6	20,9	12,9	24,4	
03_50_B	Cluster 3	4,50	27,4	23,8	15,8	27,2	
03_50_C	Cluster 3	7,50	33,9	30,5	22,5	33,8	
03_51_A	Cluster 3	1,50	25,1	21,5	13,5	24,9	
03_51_B	Cluster 3	4,50	29,2	25,6	17,6	29,0	
03_52_A	Cluster 3	1,50	29,5	25,9	17,8	29,3	
03_52_B	Cluster 3	4,50	33,2	29,6	21,5	33,0	
03_53_A	Cluster 3	1,50	29,7	26,1	18,1	29,5	
03_53_B	Cluster 3	4,50	32,5	28,9	20,8	32,3	
03_53_C	Cluster 3	7,50	35,3	31,7	23,6	35,1	
03_54_A	Cluster 3	1,50	30,6	26,9	18,9	30,4	
03_54_B	Cluster 3	4,50	33,1	29,4	21,4	32,9	
03_54_C	Cluster 3	7,50	36,3	32,6	24,6	36,0	
03_55_A	Cluster 3	1,50	29,5	25,9	17,9	29,3	
03_55_B	Cluster 3	4,50	30,4	26,8	18,7	30,2	
03_55_C	Cluster 3	7,50	32,8	29,1	21,1	32,6	
03_56_A	Cluster 3	1,50	29,4	25,7	17,7	29,2	
03_56_B	Cluster 3	4,50	29,9	26,2	18,2	29,7	
03_56_C	Cluster 3	7,50	32,2	28,5	20,5	31,9	
03_57_A	Cluster 3	1,50	28,6	25,0	17,0	28,4	
03_57_B	Cluster 3	4,50	31,1	27,5	19,5	30,9	
03_57_C	Cluster 3	7,50	33,4	29,9	21,9	33,3	
03_58_A	Cluster 3	1,50	28,5	24,8	16,8	28,3	
03_58_B	Cluster 3	4,50	31,2	27,6	19,6	31,0	
03_58_C	Cluster 3	7,50	33,7	30,2	22,2	33,6	
03_59_A	Cluster 3	1,50	27,9	24,2	16,2	27,7	
03_59_B	Cluster 3	4,50	31,0	27,4	19,4	30,8	
03_59_C	Cluster 3	7,50	33,2	29,6	21,6	33,0	
03_60_A	Cluster 3	1,50	28,2	24,5	16,5	28,0	
03_60_B	Cluster 3	4,50	31,8	28,3	20,3	31,7	
03_60_C	Cluster 3	7,50	34,2	30,7	22,7	34,1	
03_61_A	Cluster 3	1,50	28,9	25,3	17,4	28,8	
03_61_B	Cluster 3	4,50	31,6	28,0	20,0	31,4	
03_61_C	Cluster 3	7,50	33,7	30,2	22,2	33,6	
03_62_A	Cluster 3	1,50	28,6	25,0	17,1	28,5	
03_62_B	Cluster 3	4,50	31,3	27,8	19,8	31,2	
03_62_C	Cluster 3	7,50	33,4	29,8	21,9	33,2	
03_63_A	Cluster 3	1,50	25,3	21,7	13,7	25,1	
03_63_B	Cluster 3	4,50	27,7	24,0	16,0	27,5	
03_63_C	Cluster 3	7,50	30,4	26,7	18,7	30,2	
03_64_A	Cluster 3	1,50	26,2	22,5	14,5	26,0	
03_64_B	Cluster 3	4,50	28,7	25,1	17,1	28,5	
03_64_C	Cluster 3	7,50	31,2	27,6	19,6	31,0	
03_65_A	Cluster 3	1,50	26,6	22,9	14,9	26,4	

Alle getoonde dB-waarden zijn A-gewogen

Bijlage III-5 Rekenresultaten H.J.P. Fesevurstraat

Rapport: Resultatentabel
 Model: Wegverkeermodel
 LAgg totaalresultaten voor toetspunten
 Groep: H.J.P. Fesevurstraat
 Groepsreductie: Nee

Naam	Toetspunt	Omschrijving	Hoogte	Dag	Avond	Nacht	Lden
	03_65_B	Cluster 3	4,50	29,8	26,2	18,2	29,6
	03_65_C	Cluster 3	7,50	33,0	29,4	21,4	32,8
	03_66_A	Cluster 3	1,50	28,0	24,5	16,5	27,9
	03_66_B	Cluster 3	4,50	31,6	28,0	20,1	31,4
	03_66_C	Cluster 3	7,50	34,0	30,4	22,4	33,8
	03_67_A	Cluster 3	1,50	24,8	21,2	13,2	24,6
	03_67_B	Cluster 3	4,50	26,9	23,3	15,2	26,7
	03_67_C	Cluster 3	7,50	29,9	26,3	18,3	29,7
	03_68_A	Cluster 3	1,50	28,0	24,4	16,4	27,8
	03_68_B	Cluster 3	4,50	31,7	28,2	20,2	31,6
	03_68_C	Cluster 3	7,50	33,6	30,0	22,0	33,4
	03_69_A	Cluster 3	1,50	27,9	24,2	16,2	27,7
	03_69_B	Cluster 3	4,50	31,6	28,0	20,1	31,5
	03_69_C	Cluster 3	7,50	33,6	30,0	22,0	33,4
	03_70_A	Cluster 3	1,50	28,0	24,3	16,3	27,8
	03_70_B	Cluster 3	4,50	31,9	28,4	20,4	31,8
	03_70_C	Cluster 3	7,50	33,9	30,3	22,3	33,7
	03_71_A	Cluster 3	1,50	30,3	26,8	18,8	30,2
	03_71_B	Cluster 3	4,50	31,8	28,2	20,2	31,6
	03_71_C	Cluster 3	7,50	33,6	30,0	22,1	33,5
	03_72_A	Cluster 3	1,50	27,3	23,7	15,7	27,1
	03_72_B	Cluster 3	4,50	30,5	27,0	19,0	30,4
	03_72_C	Cluster 3	7,50	33,0	29,5	21,5	32,9
	03_73_A	Cluster 3	1,50	27,0	23,4	15,4	26,8
	03_73_B	Cluster 3	4,50	29,8	26,2	18,2	29,6
	03_73_C	Cluster 3	7,50	32,6	29,0	21,0	32,4
	03_74_A	Cluster 3	1,50	27,0	23,3	15,3	26,8
	03_74_B	Cluster 3	4,50	29,0	25,3	17,3	28,8
	03_74_C	Cluster 3	7,50	32,7	29,2	21,2	32,6
	03_75_A	Cluster 3	1,50	28,3	24,6	16,6	28,1
	03_75_B	Cluster 3	4,50	31,2	27,7	19,7	31,1
	03_75_C	Cluster 3	7,50	33,9	30,4	22,4	33,8
	03_76_A	Cluster 3	1,50	28,3	24,7	16,7	28,2
	03_76_B	Cluster 3	4,50	31,2	27,7	19,7	31,1
	03_76_C	Cluster 3	7,50	33,8	30,3	22,3	33,7
	03_77_A	Cluster 3	1,50	28,4	24,8	16,8	28,2
	03_77_B	Cluster 3	4,50	31,9	28,4	20,4	31,8
	03_77_C	Cluster 3	7,50	34,4	30,9	23,0	34,3
	03_78_A	Cluster 3	1,50	28,8	25,1	17,1	28,6
	03_78_B	Cluster 3	4,50	32,6	29,1	21,1	32,5
	03_78_C	Cluster 3	7,50	35,0	31,5	23,5	34,9
	03_79_A	Cluster 3	1,50	28,8	25,1	17,1	28,6
	03_79_B	Cluster 3	4,50	33,6	30,1	22,1	33,5
	03_79_C	Cluster 3	7,50	35,5	32,0	24,0	35,4
	03_80_A	Cluster 3	1,50	32,5	29,0	21,0	32,4
	03_80_B	Cluster 3	4,50	34,5	31,0	23,0	34,4
	03_80_C	Cluster 3	7,50	35,7	32,1	24,1	35,5
	03_81_A	Cluster 3	1,50	27,9	24,2	16,2	27,7
	03_81_B	Cluster 3	4,50	30,3	26,7	18,6	30,1
	03_81_C	Cluster 3	7,50	33,6	29,9	21,9	33,4
	03_82_A	Cluster 3	1,50	28,6	24,9	16,9	28,4
	03_82_B	Cluster 3	4,50	31,2	27,5	19,4	30,9
	03_82_C	Cluster 3	7,50	34,6	31,0	23,0	34,4
	03_83_A	Cluster 3	1,50	27,8	24,1	16,1	27,6
	03_83_B	Cluster 3	4,50	30,1	26,4	18,4	29,9
	03_83_C	Cluster 3	7,50	35,3	31,6	23,6	35,1
	03_84_A	Cluster 3	1,50	24,6	21,0	13,0	24,4
	03_84_B	Cluster 3	4,50	25,5	22,0	14,0	25,4
	03_84_C	Cluster 3	7,50	25,6	21,9	13,9	25,4
	03_85_A	Cluster 3	1,50	24,7	21,0	13,0	24,5
	03_85_B	Cluster 3	4,50	26,0	22,5	14,5	25,9
	03_85_C	Cluster 3	7,50	25,6	22,0	14,0	25,4
	03_86_A	Cluster 3	1,50	27,0	23,4	15,4	26,8
	03_86_B	Cluster 3	4,50	29,5	25,8	17,8	29,3
	03_86_C	Cluster 3	7,50	34,6	31,0	23,0	34,4
	03_87_A	Cluster 3	1,50	34,6	31,1	23,2	34,5
	03_87_B	Cluster 3	4,50	24,7	21,0	13,0	24,5
	03_87_C	Cluster 3	7,50	26,2	22,5	14,5	26,0
	04_01_A	Cluster 4	1,50	28,2	24,8	16,8	28,1
	04_01_B	Cluster 4	4,50	29,6	26,1	18,1	29,5
	04_01_C	Cluster 4	7,50	30,9	27,3	19,3	30,7
	04_02_A	Cluster 4	1,50	24,6	21,1	13,2	24,5
	04_02_B	Cluster 4	4,50	24,7	21,2	13,2	24,6
	04_02_C	Cluster 4	7,50	25,8	22,2	14,2	25,6

Alle getoonde dB-waarden zijn A-gewogen

Bijlage III-5 Rekenresultaten H.J.P. Fesevurstraat

Rapport: Resultatentabel
 Model: Wegverkeermodel
 LAgg totaalresultaten voor toetspunten
 Groep: H.J.P. Fesevurstraat
 Groepsreductie: Nee

Naam						
Toetspunt	Omschrijving	Hoogte	Dag	Avond	Nacht	Lden
04_03_A	Cluster 4	1,50	28,5	25,0	17,0	28,4
04_03_B	Cluster 4	4,50	29,8	26,3	18,3	29,7
04_03_C	Cluster 4	7,50	30,9	27,3	19,3	30,7
04_04_A	Cluster 4	1,50	24,8	21,3	13,3	24,6
04_04_B	Cluster 4	4,50	25,6	22,0	14,0	25,4
04_04_C	Cluster 4	7,50	26,3	22,7	14,6	26,1
04_05_A	Cluster 4	1,50	22,0	18,4	10,3	21,8
04_05_B	Cluster 4	4,50	23,7	20,0	12,0	23,5
04_05_C	Cluster 4	7,50	25,7	22,0	13,9	25,4
04_06_A	Cluster 4	1,50	21,8	18,1	10,1	21,6
04_06_B	Cluster 4	4,50	23,3	19,6	11,6	23,1
04_06_C	Cluster 4	7,50	25,0	21,3	13,2	24,8
04_07_A	Cluster 4	1,50	20,5	16,9	8,9	20,3
04_07_B	Cluster 4	4,50	21,0	17,3	9,2	20,7
04_07_C	Cluster 4	7,50	22,4	18,6	10,6	22,1
04_08_A	Cluster 4	1,50	18,4	14,7	6,7	18,1
04_08_B	Cluster 4	4,50	21,0	17,4	9,4	20,8
04_08_C	Cluster 4	7,50	22,5	18,8	10,8	22,3
04_09_A	Cluster 4	1,50	17,2	13,5	5,5	17,0
04_09_B	Cluster 4	4,50	18,7	14,9	6,9	18,4
04_09_C	Cluster 4	7,50	20,3	16,5	8,4	20,0
04_10_A	Cluster 4	1,50	19,1	15,4	7,3	18,8
04_10_B	Cluster 4	4,50	23,4	19,7	11,7	23,2
04_10_C	Cluster 4	7,50	25,6	21,9	13,9	25,4
04_11_A	Cluster 4	1,50	20,7	17,1	9,1	20,5
04_11_B	Cluster 4	4,50	22,3	18,6	10,6	22,1
04_11_C	Cluster 4	7,50	24,3	20,5	12,5	24,0
04_12_A	Cluster 4	1,50	20,7	17,0	9,0	20,5
04_12_B	Cluster 4	4,50	22,3	18,6	10,5	22,0
04_12_C	Cluster 4	7,50	24,3	20,6	12,5	24,1
04_13_A	Cluster 4	1,50	18,7	15,0	7,0	18,5
04_13_B	Cluster 4	4,50	21,0	17,3	9,2	20,8
04_13_C	Cluster 4	7,50	23,4	19,7	11,6	23,2
04_14_A	Cluster 4	1,50	18,8	15,2	7,2	18,6
04_14_B	Cluster 4	4,50	20,2	16,5	8,5	20,0
04_14_C	Cluster 4	7,50	21,7	17,9	9,9	21,4
04_15_A	Cluster 4	1,50	16,7	13,0	5,0	16,5
04_15_B	Cluster 4	4,50	17,8	14,0	6,0	17,5
04_15_C	Cluster 4	7,50	19,1	15,3	7,2	18,8
04_16_A	Cluster 4	1,50	16,6	12,9	4,9	16,4
04_16_B	Cluster 4	4,50	17,3	13,5	5,5	17,0
04_16_C	Cluster 4	7,50	18,3	14,5	6,5	18,0
04_17_A	Cluster 4	1,50	--	--	--	--
04_17_B	Cluster 4	4,50	19,8	16,0	8,0	19,5
04_17_C	Cluster 4	7,50	21,9	18,1	10,1	21,6
04_18_A	Cluster 4	1,50	20,3	16,7	8,6	20,1
04_18_B	Cluster 4	4,50	22,0	18,2	10,2	21,7
04_18_C	Cluster 4	7,50	23,8	20,0	12,0	23,5
04_19_A	Cluster 4	1,50	19,7	16,1	8,1	19,5
04_19_B	Cluster 4	4,50	20,8	17,1	9,1	20,6
04_19_C	Cluster 4	7,50	22,4	18,6	10,6	22,1
04_20_A	Cluster 4	1,50	16,6	12,9	4,9	16,3
04_20_B	Cluster 4	4,50	17,6	13,9	5,8	17,4
04_20_C	Cluster 4	7,50	19,2	15,4	7,3	18,9
04_21_A	Cluster 4	1,50	19,8	16,2	8,2	19,6
04_21_B	Cluster 4	4,50	21,5	17,8	9,8	21,3
04_21_C	Cluster 4	7,50	23,6	19,8	11,8	23,3
04_22_A	Cluster 4	1,50	18,1	14,5	6,5	17,9
04_22_B	Cluster 4	4,50	19,3	15,6	7,6	19,1
04_22_C	Cluster 4	7,50	20,8	17,1	9,0	20,6
04_23_A	Cluster 4	1,50	18,1	14,4	6,4	17,9
04_23_B	Cluster 4	4,50	19,4	15,7	7,7	19,2
04_23_C	Cluster 4	7,50	20,8	17,1	9,0	20,6
04_24_A	Cluster 4	1,50	18,3	14,7	6,7	18,1
04_24_B	Cluster 4	4,50	19,5	15,8	7,7	19,2
04_24_C	Cluster 4	7,50	20,6	16,9	8,8	20,4
04_25_A	Cluster 4	1,50	18,3	14,7	6,7	18,1
04_25_B	Cluster 4	4,50	19,4	15,7	7,7	19,2
04_25_C	Cluster 4	7,50	20,3	16,6	8,5	20,1
04_26_A	Cluster 4	1,50	18,7	15,1	7,1	18,5
04_26_B	Cluster 4	4,50	19,8	16,1	8,1	19,6
04_26_C	Cluster 4	7,50	20,7	16,9	8,9	20,4
04_27_A	Cluster 4	1,50	18,4	14,8	6,8	18,2
04_27_B	Cluster 4	4,50	19,3	15,6	7,6	19,1

Alle getoonde dB-waarden zijn A-gewogen

Bijlage III-5 Rekenresultaten H.J.P. Fesevurstraat

Rapport: Resultatentabel
 Model: Wegverkeermodel
 LAgg totaalresultaten voor toetspunten
 Groep: H.J.P. Fesevurstraat
 Groepsreductie: Nee

Naam	Toetspunt	Omschrijving	Hoogte	Dag	Avond	Nacht	Lden
04_27_C	Cluster 4		7,50	20,0	16,2	8,2	19,7
04_27_D	Cluster 4		10,50	20,2	16,5	8,4	20,0
04_28_A	Cluster 4		1,50	14,7	11,0	3,0	14,5
04_28_B	Cluster 4		4,50	15,4	11,6	3,6	15,1
04_28_C	Cluster 4		7,50	16,0	12,2	4,1	15,7
04_28_D	Cluster 4		10,50	14,2	10,4	2,3	13,9
04_29_A	Cluster 4		1,50	14,7	11,0	3,0	14,5
04_29_B	Cluster 4		4,50	15,2	11,5	3,4	15,0
04_29_C	Cluster 4		7,50	15,9	12,1	4,1	15,6
04_29_D	Cluster 4		10,50	14,1	10,3	2,2	13,8
04_30_A	Cluster 4		1,50	15,1	11,5	3,4	14,9
04_30_B	Cluster 4		4,50	15,6	11,8	3,8	15,3
04_30_C	Cluster 4		7,50	16,5	12,7	4,6	16,2
04_30_D	Cluster 4		10,50	14,7	10,9	2,8	14,4
04_31_A	Cluster 4		1,50	16,2	12,5	4,5	16,0
04_31_B	Cluster 4		4,50	16,9	13,1	5,1	16,7
04_31_C	Cluster 4		7,50	18,0	14,2	6,1	17,7
04_31_D	Cluster 4		10,50	16,5	12,7	4,6	16,2
04_32_A	Cluster 4		1,50	16,5	12,8	4,8	16,3
04_32_B	Cluster 4		4,50	17,1	13,3	5,3	16,8
04_32_C	Cluster 4		7,50	18,0	14,2	6,1	17,7
04_32_D	Cluster 4		10,50	16,8	13,0	5,0	16,5
04_33_A	Cluster 4		1,50	16,0	12,3	4,3	15,8
04_33_B	Cluster 4		4,50	16,3	12,6	4,5	16,1
04_33_C	Cluster 4		7,50	17,2	13,5	5,4	17,0
04_33_D	Cluster 4		10,50	14,6	10,8	2,7	14,3
04_34_A	Cluster 4		1,50	15,5	11,8	3,8	15,3
04_34_B	Cluster 4		4,50	16,0	12,2	4,2	15,7
04_34_C	Cluster 4		7,50	16,6	12,8	4,7	16,3
04_34_D	Cluster 4		10,50	14,4	10,6	2,6	14,1
04_35_A	Cluster 4		1,50	15,9	12,2	4,2	15,7
04_35_B	Cluster 4		4,50	16,5	12,7	4,6	16,2
04_35_C	Cluster 4		7,50	17,3	13,5	5,5	17,1
04_35_D	Cluster 4		10,50	16,7	12,9	4,9	16,4
04_36_A	Cluster 4		1,50	15,9	12,2	4,2	15,7
04_36_B	Cluster 4		4,50	16,6	12,8	4,7	16,3
04_36_C	Cluster 4		7,50	17,5	13,7	5,7	17,2
04_36_D	Cluster 4		10,50	15,8	12,0	4,0	15,6
04_37_A	Cluster 4		1,50	16,4	12,7	4,6	16,1
04_37_B	Cluster 4		4,50	17,4	13,6	5,5	17,1
04_37_C	Cluster 4		7,50	18,7	14,9	6,8	18,4
04_37_D	Cluster 4		10,50	18,4	14,6	6,6	18,1
04_38_A	Cluster 4		1,50	17,4	13,6	5,6	17,1
04_38_B	Cluster 4		4,50	18,4	14,6	6,5	18,1
04_38_C	Cluster 4		7,50	19,9	16,1	8,0	19,6
04_38_D	Cluster 4		10,50	21,5	17,8	9,8	21,3
04_39_A	Cluster 4		1,50	19,7	16,1	8,0	19,5
04_39_B	Cluster 4		4,50	20,4	16,7	8,7	20,2
04_40_A	Cluster 4		1,50	15,9	12,2	4,2	15,7
04_40_B	Cluster 4		4,50	16,2	12,5	4,5	16,0
04_41_A	Cluster 4		1,50	23,2	19,7	11,7	23,0
04_41_B	Cluster 4		4,50	23,7	20,1	12,1	23,5
04_42_A	Cluster 4		1,50	16,7	13,0	5,0	16,5
04_42_B	Cluster 4		4,50	16,5	12,7	4,7	16,2
04_43_A	Cluster 4		1,50	27,4	24,0	16,0	27,3
04_43_B	Cluster 4		4,50	28,0	24,5	16,5	27,9
04_43_C	Cluster 4		7,50	28,8	25,2	17,2	28,6
04_44_A	Cluster 4		1,50	27,5	24,0	16,0	27,4
04_44_B	Cluster 4		4,50	28,3	24,8	16,7	28,2
04_44_C	Cluster 4		7,50	29,1	25,5	17,5	28,9
04_45_A	Cluster 4		1,50	20,2	16,6	8,5	20,0
04_45_B	Cluster 4		4,50	21,6	17,9	9,9	21,4
04_45_C	Cluster 4		7,50	22,6	18,9	10,8	22,4
04_46_A	Cluster 4		1,50	20,3	16,6	8,6	20,1
04_46_B	Cluster 4		4,50	21,8	18,0	10,0	21,5
04_47_A	Cluster 4		1,50	20,6	16,9	8,9	20,3
04_47_B	Cluster 4		4,50	21,9	18,2	10,1	21,6
04_48_A	Cluster 4		1,50	19,9	16,3	8,3	19,7
04_48_B	Cluster 4		4,50	21,1	17,4	9,3	20,8
04_48_C	Cluster 4		7,50	22,9	19,1	11,1	22,6
04_48_D	Cluster 4		10,50	26,2	22,6	14,6	26,0
04_49_A	Cluster 4		1,50	19,2	15,5	7,5	19,0
04_49_B	Cluster 4		4,50	20,4	16,7	8,6	20,1
04_49_C	Cluster 4		7,50	22,3	18,5	10,5	22,0

Alle getoonde dB-waarden zijn A-gewogen

Bijlage III-5 Rekenresultaten H.J.P. Fesevurstraat

Rapport: Resultatentabel
 Model: Wegverkeermodel
 LAgg totaalresultaten voor toetspunten
 Groep: H.J.P. Fesevurstraat
 Groepsreductie: Nee

Naam	Toetspunt	Omschrijving	Hoogte	Dag	Avond	Nacht	Lden
04_49_D	Cluster 4	Cluster 4	10,50	25,5	21,9	13,9	25,3
04_50_A	Cluster 4	Cluster 4	1,50	22,3	18,7	10,7	22,1
04_50_B	Cluster 4	Cluster 4	4,50	25,6	22,1	14,1	25,5
04_50_C	Cluster 4	Cluster 4	7,50	27,2	23,6	15,6	27,0
04_50_D	Cluster 4	Cluster 4	10,50	28,3	24,7	16,7	28,1
04_51_A	Cluster 4	Cluster 4	1,50	20,8	17,1	9,1	20,6
04_51_B	Cluster 4	Cluster 4	4,50	21,9	18,2	10,1	21,7
04_51_C	Cluster 4	Cluster 4	7,50	23,2	19,5	11,4	23,0
04_51_D	Cluster 4	Cluster 4	10,50	24,4	20,7	12,7	24,2
04_52_A	Cluster 4	Cluster 4	1,50	20,8	17,1	9,1	20,6
04_52_B	Cluster 4	Cluster 4	4,50	21,9	18,2	10,1	21,7
04_52_C	Cluster 4	Cluster 4	7,50	23,1	19,4	11,3	22,9
04_52_D	Cluster 4	Cluster 4	10,50	24,2	20,5	12,5	24,0
04_53_A	Cluster 4	Cluster 4	1,50	21,4	17,7	9,7	21,2
04_53_B	Cluster 4	Cluster 4	4,50	22,6	18,8	10,8	22,3
04_53_C	Cluster 4	Cluster 4	7,50	23,6	19,8	11,8	23,3
04_53_D	Cluster 4	Cluster 4	10,50	24,8	21,1	13,0	24,5
04_54_A	Cluster 4	Cluster 4	1,50	21,0	17,3	9,3	20,8
04_54_B	Cluster 4	Cluster 4	4,50	22,2	18,5	10,4	21,9
04_54_C	Cluster 4	Cluster 4	7,50	23,2	19,5	11,4	23,0
04_54_D	Cluster 4	Cluster 4	10,50	24,4	20,6	12,6	24,1
04_55_A	Cluster 4	Cluster 4	1,50	21,2	17,5	9,5	21,0
04_55_B	Cluster 4	Cluster 4	4,50	22,3	18,6	10,6	22,1
04_55_C	Cluster 4	Cluster 4	7,50	23,4	19,7	11,6	23,2
04_55_D	Cluster 4	Cluster 4	10,50	24,7	21,0	12,9	24,4
04_56_A	Cluster 4	Cluster 4	1,50	21,0	17,3	9,3	20,8
04_56_B	Cluster 4	Cluster 4	4,50	22,4	18,7	10,6	22,2
04_56_C	Cluster 4	Cluster 4	7,50	23,5	19,7	11,6	23,2
04_56_D	Cluster 4	Cluster 4	10,50	24,4	20,7	12,7	24,2
04_57_A	Cluster 4	Cluster 4	1,50	20,6	17,0	9,0	20,4
04_57_B	Cluster 4	Cluster 4	4,50	21,8	18,1	10,0	21,5
04_57_C	Cluster 4	Cluster 4	7,50	23,1	19,4	11,3	22,9
04_57_D	Cluster 4	Cluster 4	10,50	24,8	21,1	13,0	24,6
04_58_A	Cluster 4	Cluster 4	1,50	20,4	16,7	8,7	20,2
04_58_B	Cluster 4	Cluster 4	4,50	22,1	18,4	10,4	21,9
04_58_C	Cluster 4	Cluster 4	7,50	23,5	19,8	11,7	23,3
04_58_D	Cluster 4	Cluster 4	10,50	24,2	20,5	12,4	23,9
04_59_A	Cluster 4	Cluster 4	1,50	19,8	16,2	8,1	19,6
04_59_B	Cluster 4	Cluster 4	4,50	20,8	17,1	9,1	20,6
04_59_C	Cluster 4	Cluster 4	7,50	21,9	18,2	10,1	21,7
04_60_A	Cluster 4	Cluster 4	1,50	17,9	14,2	6,2	17,7
04_60_B	Cluster 4	Cluster 4	4,50	19,4	15,7	7,7	19,2
04_60_C	Cluster 4	Cluster 4	7,50	22,0	18,3	10,2	21,8
04_61_A	Cluster 4	Cluster 4	1,50	13,7	10,1	2,1	13,5
04_61_B	Cluster 4	Cluster 4	4,50	15,4	11,7	3,7	15,2
04_61_C	Cluster 4	Cluster 4	7,50	17,2	13,4	5,3	16,9
04_62_A	Cluster 4	Cluster 4	1,50	19,5	15,9	7,9	19,3
04_62_B	Cluster 4	Cluster 4	4,50	21,2	17,4	9,4	20,9
04_62_C	Cluster 4	Cluster 4	7,50	22,5	18,8	10,8	22,3
04_63_A	Cluster 4	Cluster 4	1,50	19,1	15,4	7,4	18,9
04_63_B	Cluster 4	Cluster 4	4,50	20,4	16,7	8,7	20,2
04_63_C	Cluster 4	Cluster 4	7,50	21,9	18,2	10,2	21,7
04_64_A	Cluster 4	Cluster 4	1,50	17,7	14,0	6,0	17,4
04_64_B	Cluster 4	Cluster 4	4,50	19,3	15,5	7,5	19,0
04_64_C	Cluster 4	Cluster 4	7,50	21,7	17,9	9,9	21,4
05_01_A	Cluster 5	Cluster 5	1,50	24,5	21,1	13,1	24,4
05_01_B	Cluster 5	Cluster 5	4,50	26,2	22,7	14,7	26,1
05_01_C	Cluster 5	Cluster 5	7,50	27,3	23,8	15,7	27,1
05_02_A	Cluster 5	Cluster 5	1,50	32,8	29,4	21,4	32,7
05_02_B	Cluster 5	Cluster 5	4,50	34,6	31,1	23,2	34,5
05_02_C	Cluster 5	Cluster 5	7,50	35,8	32,3	24,4	35,7
05_03_A	Cluster 5	Cluster 5	1,50	35,9	32,4	24,5	35,8
05_03_B	Cluster 5	Cluster 5	4,50	36,9	33,4	25,5	36,8
05_03_C	Cluster 5	Cluster 5	7,50	38,9	35,4	27,5	38,8
05_04_A	Cluster 5	Cluster 5	1,50	28,0	24,4	16,4	27,9
05_04_B	Cluster 5	Cluster 5	4,50	32,3	28,8	20,8	32,2
05_04_C	Cluster 5	Cluster 5	7,50	35,0	31,5	23,5	34,9
05_05_A	Cluster 5	Cluster 5	1,50	31,6	28,2	20,2	31,5
05_05_B	Cluster 5	Cluster 5	4,50	32,8	29,3	21,4	32,7
05_05_C	Cluster 5	Cluster 5	7,50	34,0	30,5	22,5	33,9
05_06_A	Cluster 5	Cluster 5	1,50	43,3	39,9	32,0	43,2
05_06_B	Cluster 5	Cluster 5	4,50	45,0	41,6	33,7	45,0
05_06_C	Cluster 5	Cluster 5	7,50	45,6	42,1	34,2	45,5
05_07_A	Cluster 5	Cluster 5	1,50	41,8	38,4	30,4	41,7

Alle getoonde dB-waarden zijn A-gewogen

Bijlage III-5 Rekenresultaten H.J.P. Fesevurstraat

Rapport: Resultatentabel
 Model: Wegverkeermodel
 LAgg totaalresultaten voor toetspunten
 Groep: H.J.P. Fesevurstraat
 Groepsreductie: Nee

Naam	Toetspunt	Omschrijving	Hoogte	Dag	Avond	Nacht	Lden
05_07_B	Cluster 5		4,50	44,3	40,8	32,9	44,2
05_07_C	Cluster 5		7,50	45,4	41,9	34,0	45,3
05_08_A	Cluster 5		1,50	34,2	30,6	22,7	34,0
05_08_B	Cluster 5		4,50	38,7	35,3	27,3	38,6
05_08_C	Cluster 5		7,50	40,8	37,4	29,4	40,7
05_09_A	Cluster 5		1,50	36,7	33,3	25,4	36,7
05_09_B	Cluster 5		4,50	39,8	36,3	28,4	39,7
05_09_C	Cluster 5		7,50	41,2	37,8	29,8	41,1
05_10_A	Cluster 5		1,50	46,5	43,1	35,2	46,5
05_10_B	Cluster 5		4,50	47,5	44,1	36,2	47,5
05_10_C	Cluster 5		7,50	47,7	44,3	36,3	47,6
05_11_A	Cluster 5		1,50	51,5	48,1	40,2	51,5
05_11_B	Cluster 5		4,50	52,1	48,7	40,8	52,1
05_11_C	Cluster 5		7,50	52,0	48,5	40,6	51,9
05_12_A	Cluster 5		1,50	47,5	44,1	36,1	47,5
05_12_B	Cluster 5		4,50	47,1	43,7	35,7	47,0
05_12_C	Cluster 5		7,50	47,2	43,7	35,7	47,1
05_13_A	Cluster 5		1,50	47,7	44,3	36,3	47,6
05_13_B	Cluster 5		4,50	47,6	44,2	36,2	47,6
05_13_C	Cluster 5		7,50	47,7	44,2	36,3	47,6
05_14_A	Cluster 5		1,50	51,3	47,9	39,9	51,2
05_14_B	Cluster 5		4,50	51,9	48,4	40,5	51,8
05_14_C	Cluster 5		7,50	51,7	48,2	40,3	51,6
05_15_A	Cluster 5		1,50	51,3	47,8	39,9	51,2
05_15_B	Cluster 5		4,50	51,8	48,3	40,4	51,7
05_15_C	Cluster 5		7,50	51,6	48,1	40,2	51,5
05_16_A	Cluster 5		1,50	47,4	44,0	36,0	47,3
05_16_B	Cluster 5		4,50	47,1	43,7	35,7	47,0
05_16_C	Cluster 5		7,50	47,1	43,7	35,7	47,0
05_17_A	Cluster 5		1,50	34,7	31,2	23,3	34,6
05_17_B	Cluster 5		4,50	41,7	38,3	30,3	41,6
05_17_C	Cluster 5		7,50	43,1	39,6	31,6	43,0
05_18_A	Cluster 5		1,50	35,1	31,6	23,6	34,9
05_18_B	Cluster 5		4,50	40,0	36,6	28,6	39,9
05_18_C	Cluster 5		7,50	41,7	38,2	30,2	41,6
05_19_A	Cluster 5		1,50	52,7	49,3	41,3	52,7
05_19_B	Cluster 5		4,50	53,1	49,6	41,7	53,0
05_19_C	Cluster 5		7,50	52,8	49,3	41,3	52,7
05_20_A	Cluster 5		1,50	48,0	44,5	36,6	47,9
05_20_B	Cluster 5		4,50	48,0	44,5	36,6	47,9
05_20_C	Cluster 5		7,50	48,2	44,7	36,7	48,1
05_21_A	Cluster 5		1,50	46,8	43,3	35,3	46,6
05_21_B	Cluster 5		4,50	45,9	42,4	34,4	45,7
05_21_C	Cluster 5		7,50	45,8	42,3	34,3	45,7
05_22_A	Cluster 5		1,50	52,4	48,9	40,9	52,3
05_22_B	Cluster 5		4,50	52,6	49,1	41,1	52,5
05_22_C	Cluster 5		7,50	52,0	48,5	40,5	51,9
05_23_A	Cluster 5		1,50	46,7	43,3	35,3	46,6
05_23_B	Cluster 5		4,50	47,8	44,4	36,4	47,7
05_23_C	Cluster 5		7,50	48,0	44,5	36,5	47,9
05_24_A	Cluster 5		1,50	49,5	46,0	38,0	49,4
05_24_B	Cluster 5		4,50	49,9	46,4	38,4	49,8
05_24_C	Cluster 5		7,50	49,6	46,1	38,1	49,5
05_25_A	Cluster 5		1,50	48,4	45,0	36,9	48,3
05_25_B	Cluster 5		4,50	48,9	45,4	37,4	48,7
05_25_C	Cluster 5		7,50	48,7	45,2	37,2	48,6
05_26_A	Cluster 5		1,50	46,9	43,4	35,4	46,8
05_26_B	Cluster 5		4,50	47,5	44,0	36,0	47,4
05_26_C	Cluster 5		7,50	47,5	43,9	35,9	47,3
05_27_A	Cluster 5		1,50	45,4	41,9	33,9	45,2
05_27_B	Cluster 5		4,50	46,2	42,7	34,7	46,0
05_27_C	Cluster 5		7,50	46,2	42,7	34,6	46,0
05_28_A	Cluster 5		1,50	43,6	40,1	32,1	43,4
05_28_B	Cluster 5		4,50	44,8	41,3	33,3	44,7
05_28_C	Cluster 5		7,50	44,9	41,4	33,4	44,8
05_29_A	Cluster 5		1,50	42,1	38,6	30,6	42,0
05_29_B	Cluster 5		4,50	43,6	40,1	32,1	43,5
05_29_C	Cluster 5		7,50	43,8	40,2	32,2	43,6
05_30_A	Cluster 5		1,50	29,2	25,7	17,8	29,1
05_30_B	Cluster 5		4,50	30,8	27,3	19,3	30,7
05_30_C	Cluster 5		7,50	32,0	28,5	20,5	31,9
05_31_A	Cluster 5		1,50	27,5	23,9	15,9	27,4
05_31_B	Cluster 5		4,50	32,9	29,4	21,5	32,8
05_31_C	Cluster 5		7,50	35,6	32,1	24,2	35,5

Alle getoonde dB-waarden zijn A-gewogen

Bijlage III-5 Rekenresultaten H.J.P. Fesevurstraat

Rapport: Resultatentabel
 Model: Wegverkeermodel
 L'Aeq totaalresultaten voor toetspunten
 Groep: H.J.P. Fesevurstraat
 Groepsreductie: Nee

Naam	Toetspunt	Omschrijving	Hoogte	Dag	Avond	Nacht	Lden
05_32_A	Cluster 5		1,50	28,0	24,3	16,3	27,8
05_32_B	Cluster 5		4,50	34,0	30,6	22,6	34,0
05_32_C	Cluster 5		7,50	36,6	33,1	25,2	36,5
05_33_A	Cluster 5		1,50	30,9	27,4	19,4	30,8
05_33_B	Cluster 5		4,50	35,3	31,8	23,9	35,2
05_33_C	Cluster 5		7,50	37,6	34,1	26,2	37,5
05_34_A	Cluster 5		1,50	29,3	25,6	17,6	29,1
05_34_B	Cluster 5		4,50	35,7	32,2	24,3	35,6
05_34_C	Cluster 5		7,50	38,3	34,8	26,9	38,2
05_35_A	Cluster 5		1,50	32,4	28,9	20,9	32,2
05_35_B	Cluster 5		4,50	37,4	34,0	26,0	37,3
05_35_C	Cluster 5		7,50	39,8	36,3	28,4	39,7
05_36_A	Cluster 5		1,50	34,8	31,3	23,3	34,7
05_36_B	Cluster 5		4,50	39,1	35,7	27,8	39,0
05_36_C	Cluster 5		7,50	41,3	37,8	29,9	41,2
S_01_A	SMCD		2,00	35,2	31,7	23,7	35,1
S_01_B	SMCD		5,00	36,8	33,3	25,3	36,7
S_02_A	SMCD		2,00	35,4	32,0	24,0	35,3
S_02_B	SMCD		5,00	37,2	33,7	25,7	37,1
S_03_A	SMCD		2,00	36,7	33,2	25,2	36,6
S_03_B	SMCD		5,00	38,4	34,9	26,9	38,3
S_04_A	SMCD		2,00	31,8	28,3	20,3	31,7
S_04_B	SMCD		5,00	33,9	30,3	22,3	33,7
S_05_A	SMCD		2,00	25,3	21,8	13,8	25,1
S_05_B	SMCD		5,00	26,9	23,3	15,3	26,7
S_06_A	SMCD		2,00	22,2	18,7	10,7	22,1
S_06_B	SMCD		5,00	23,2	19,5	11,5	23,0
S_07_A	SMCD		2,00	17,3	13,7	5,7	17,1
S_07_B	SMCD		5,00	18,0	14,2	6,2	17,7
S_08_A	SMCD		1,50	43,7	40,3	32,4	43,7
S_08_B	SMCD		5,00	45,7	42,3	34,3	45,6
S_08_C	SMCD		8,50	46,2	42,7	34,7	46,1
S_08_D	SMCD		12,00	45,8	42,3	34,4	45,7
S_09_A	SMCD		1,50	44,3	40,9	33,0	44,3
S_09_B	SMCD		5,00	46,2	42,8	34,8	46,1
S_09_C	SMCD		8,50	46,6	43,1	35,2	46,5
S_09_D	SMCD		12,00	46,5	43,0	35,1	46,4
S_10_A	SMCD		1,50	44,8	41,4	33,4	44,7
S_10_B	SMCD		5,00	46,6	43,2	35,2	46,6
S_10_C	SMCD		8,50	47,0	43,5	35,6	46,9
S_10_D	SMCD		12,00	47,0	43,5	35,6	46,9
S_11_A	SMCD		1,50	44,8	41,4	33,5	44,8
S_11_B	SMCD		5,00	46,7	43,2	35,3	46,6
S_11_C	SMCD		8,50	47,0	43,6	35,6	46,9
S_11_D	SMCD		12,00	47,0	43,6	35,6	47,0
S_12_A	SMCD		1,50	45,0	41,6	33,7	45,0
S_12_B	SMCD		5,00	46,9	43,4	35,5	46,8
S_12_C	SMCD		8,50	47,2	43,7	35,8	47,1
S_12_D	SMCD		12,00	47,2	43,7	35,8	47,1
S_13_A	SMCD		1,50	45,1	41,7	33,8	45,1
S_13_B	SMCD		5,00	47,0	43,5	35,6	46,9
S_13_C	SMCD		8,50	47,3	43,8	35,9	47,2
S_13_D	SMCD		12,00	47,1	43,7	35,7	47,0
S_14_A	SMCD		1,50	44,8	41,4	33,4	44,7
S_15_A	SMCD		1,50	39,0	35,6	27,7	39,0
S_16_A	SMCD		1,50	21,3	17,8	9,8	21,2
S_17_A	SMCD		5,00	39,9	36,5	28,5	39,8
S_17_B	SMCD		8,50	42,6	39,1	31,2	42,5
S_17_C	SMCD		12,00	41,9	38,5	30,5	41,8
S_18_A	SMCD		1,50	27,7	24,0	16,0	27,5
S_18_B	SMCD		5,00	37,5	34,1	26,2	37,5
S_18_C	SMCD		8,50	41,2	37,8	29,8	41,1
S_18_D	SMCD		12,00	39,4	36,0	28,0	39,3
S_19_A	SMCD		1,50	30,9	27,5	19,5	30,8
S_19_B	SMCD		5,00	34,8	31,4	23,4	34,7
S_19_C	SMCD		8,50	37,9	34,4	26,5	37,8
S_20_A	SMCD		1,50	30,3	26,8	18,9	30,2
S_20_B	SMCD		5,00	33,0	29,5	21,6	32,9
S_20_C	SMCD		8,50	35,8	32,3	24,4	35,7
S_21_A	SMCD		1,50	29,0	25,5	17,6	28,9
S_21_B	SMCD		5,00	31,4	28,0	20,0	31,3
S_21_C	SMCD		8,50	34,5	31,1	23,1	34,4
S_22_A	SMCD		1,50	28,6	25,2	17,2	28,5
S_22_B	SMCD		5,00	31,0	27,5	19,5	30,9

Alle getoonde dB-waarden zijn A-gewogen

Bijlage III-5 Rekenresultaten H.J.P. Fesevurstraat

Rapport: Resultatentabel
 Model: Wegverkeermodel
 LAgg totaalresultaten voor toetspunten
 Groep: H.J.P. Fesevurstraat
 Groepsreductie: Nee

Naam						
Toetspunt	Omschrijving	Hoogte	Dag	Avond	Nacht	Lden
S_22_C	SMCD	8,50	33,6	30,1	22,2	33,5
S_23_A	SMCD	1,50	28,7	25,2	17,2	28,6
S_23_B	SMCD	5,00	30,9	27,4	19,5	30,8
S_23_C	SMCD	8,50	33,4	29,9	22,0	33,3
S_24_A	SMCD	1,50	24,7	21,1	13,1	24,6
S_24_B	SMCD	5,00	26,9	23,2	15,2	26,7
S_24_C	SMCD	8,50	29,8	26,1	18,1	29,6
S_24_D	SMCD	12,00	33,3	29,9	21,9	33,2
S_25_A	SMCD	1,50	23,0	19,4	11,4	22,8
S_25_B	SMCD	5,00	24,9	21,2	13,2	24,7
S_25_C	SMCD	8,50	27,7	24,1	16,0	27,5
S_25_D	SMCD	12,00	30,8	27,4	19,4	30,7
S_26_A	SMCD	1,50	22,8	19,1	11,1	22,6
S_26_B	SMCD	5,00	24,6	20,9	12,8	24,3
S_26_C	SMCD	8,50	27,0	23,3	15,3	26,7
S_26_D	SMCD	12,00	30,1	26,7	18,7	30,0
S_27_A	SMCD	1,50	21,5	17,9	9,9	21,3
S_27_B	SMCD	5,00	23,0	19,3	11,3	22,8
S_27_C	SMCD	8,50	24,7	21,0	13,0	24,5
S_27_D	SMCD	12,00	26,4	22,8	14,8	26,3
S_28_A	SMCD	1,50	22,0	18,4	10,4	21,9
S_28_B	SMCD	5,00	23,5	19,9	11,8	23,3
S_28_C	SMCD	8,50	25,3	21,6	13,6	25,1
S_28_D	SMCD	12,00	27,7	24,1	16,1	27,5
S_29_A	SMCD	1,50	21,4	17,8	9,8	21,2
S_29_B	SMCD	5,00	23,0	19,3	11,3	22,7
S_29_C	SMCD	8,50	24,6	20,9	12,9	24,4
S_29_D	SMCD	12,00	27,6	24,0	16,1	27,4
S_30_A	SMCD	1,50	20,3	16,7	8,7	20,2
S_30_B	SMCD	5,00	21,8	18,1	10,0	21,5
S_30_C	SMCD	8,50	23,2	19,5	11,5	23,0
S_30_D	SMCD	12,00	26,0	22,5	14,5	25,9
S_31_A	SMCD	1,50	20,5	16,9	8,9	20,3
S_31_B	SMCD	5,00	21,9	18,2	10,2	21,7
S_31_C	SMCD	8,50	23,0	19,3	11,2	22,7
S_31_D	SMCD	12,00	24,8	21,2	13,2	24,6
S_32_A	SMCD	1,50	12,2	8,6	0,6	12,1
S_32_B	SMCD	5,00	13,2	9,5	1,5	13,0
S_32_C	SMCD	8,50	13,9	10,2	2,2	13,7
S_32_D	SMCD	12,00	14,7	11,0	2,9	14,4
S_33_A	SMCD	1,50	18,2	14,5	6,5	18,0
S_33_B	SMCD	5,00	19,7	16,0	8,0	19,5
S_33_C	SMCD	8,50	21,8	18,1	10,0	21,6
S_33_D	SMCD	12,00	24,3	20,6	12,6	24,1
S_34_A	SMCD	1,50	18,1	14,4	6,4	17,9
S_34_B	SMCD	5,00	19,7	16,0	8,0	19,5
S_34_C	SMCD	8,50	21,7	18,0	9,9	21,5
S_34_D	SMCD	12,00	24,0	20,2	12,2	23,7
S_35_A	SMCD	1,50	18,8	15,1	7,1	18,5
S_35_B	SMCD	5,00	20,7	17,0	8,9	20,4
S_35_C	SMCD	8,50	23,3	19,5	11,5	23,0
S_35_D	SMCD	12,00	26,1	22,4	14,4	25,8
S_36_A	SMCD	1,50	18,7	15,1	7,1	18,5
S_36_B	SMCD	5,00	20,8	17,1	9,1	20,6
S_36_C	SMCD	8,50	23,5	19,8	11,7	23,3
S_36_D	SMCD	12,00	26,5	22,8	14,8	26,3
S_37_A	SMCD	1,50	18,1	14,5	6,5	17,9
S_37_B	SMCD	5,00	20,2	16,5	8,5	20,0
S_37_C	SMCD	8,50	23,3	19,5	11,5	23,0
S_37_D	SMCD	12,00	25,9	22,2	14,1	25,7
S_38_A	SMCD	1,50	16,9	13,3	5,3	16,7
S_38_B	SMCD	5,00	18,4	14,7	6,7	18,2
S_38_C	SMCD	8,50	23,1	19,3	11,3	22,8
S_38_D	SMCD	12,00	28,0	24,4	16,4	27,8
S_39_A	SMCD	1,50	10,5	6,9	-1,1	10,3
S_39_B	SMCD	5,00	11,4	7,7	-0,3	11,2
S_39_C	SMCD	8,50	12,8	9,0	1,0	12,5
S_40_A	SMCD	1,50	11,0	7,4	-0,6	10,8
S_40_B	SMCD	5,00	12,2	8,4	0,4	11,9
S_40_C	SMCD	8,50	13,7	10,0	1,9	13,5
S_41_A	SMCD	1,50	9,9	6,3	-1,7	9,7
S_41_B	SMCD	5,00	11,0	7,3	-0,7	10,8
S_41_C	SMCD	8,50	12,5	8,8	0,7	12,3
S_42_A	SMCD	1,50	10,8	7,1	-0,9	10,6

Alle getoonde dB-waarden zijn A-gewogen

Bijlage III-5 Rekenresultaten H.J.P. Fesevurstraat

Rapport: Resultatentabel
 Model: Wegverkeermodel
 L'Aeq totaalresultaten voor toetspunten
 Groep: H.J.P. Fesevurstraat
 Groepsreductie: Nee

Naam							
Toetspunt	Omschrijving	Hoogte	Dag	Avond	Nacht	Lden	
S_42_B	SMCD	5,00	11,8	8,1	0,1	11,6	
S_42_C	SMCD	8,50	13,3	9,6	1,5	13,1	
S_43_A	SMCD	1,50	16,8	13,2	5,2	16,6	
S_43_B	SMCD	5,00	18,1	14,5	6,5	17,9	
S_43_C	SMCD	8,50	22,7	19,0	11,0	22,5	
S_43_D	SMCD	12,00	28,8	25,3	17,3	28,7	
S_44_A	SMCD	1,50	18,0	14,4	6,4	17,9	
S_44_B	SMCD	5,00	19,9	16,2	8,2	19,7	
S_44_C	SMCD	8,50	22,9	19,2	11,2	22,7	
S_44_D	SMCD	12,00	26,2	22,6	14,6	26,0	
S_45_A	SMCD	1,50	18,6	15,0	7,0	18,4	
S_45_B	SMCD	5,00	20,4	16,7	8,7	20,1	
S_45_C	SMCD	8,50	23,2	19,5	11,4	23,0	
S_45_D	SMCD	12,00	26,4	22,7	14,7	26,2	
S_46_A	SMCD	1,50	18,3	14,7	6,7	18,1	
S_46_B	SMCD	5,00	19,8	16,1	8,1	19,6	
S_46_C	SMCD	8,50	22,2	18,5	10,4	21,9	
S_46_D	SMCD	12,00	24,9	21,2	13,2	24,7	
S_47_A	SMCD	1,50	18,6	14,9	6,9	18,4	
S_47_B	SMCD	5,00	20,1	16,4	8,4	19,9	
S_47_C	SMCD	8,50	22,4	18,7	10,7	22,2	
S_47_D	SMCD	12,00	25,0	21,3	13,3	24,8	
S_48_A	SMCD	1,50	10,7	7,2	-0,9	10,6	
S_48_B	SMCD	5,00	11,2	7,5	-0,6	10,9	
S_48_C	SMCD	8,50	11,5	7,8	-0,3	11,3	
S_48_D	SMCD	12,00	9,1	5,4	-2,7	8,9	
S_49_A	SMCD	1,50	17,2	13,5	5,5	17,0	
S_49_B	SMCD	5,00	18,8	15,0	7,0	18,5	
S_49_C	SMCD	8,50	20,7	16,9	8,8	20,4	
S_49_D	SMCD	12,00	22,4	18,7	10,6	22,1	
S_50_A	SMCD	1,50	17,1	13,5	5,5	16,9	
S_50_B	SMCD	5,00	18,7	15,0	6,9	18,5	
S_50_C	SMCD	8,50	20,9	17,1	9,0	20,6	
S_50_D	SMCD	12,00	23,2	19,5	11,5	23,0	
S_51_A	SMCD	1,50	17,0	13,3	5,3	16,8	
S_51_B	SMCD	5,00	18,6	14,8	6,8	18,3	
S_51_C	SMCD	8,50	21,3	17,5	9,4	21,0	
S_51_D	SMCD	12,00	23,3	19,5	11,5	23,0	
S_52_A	SMCD	1,50	16,8	13,2	5,2	16,6	
S_52_B	SMCD	5,00	18,2	14,5	6,5	18,0	
S_52_C	SMCD	8,50	21,2	17,4	9,4	20,9	
S_52_D	SMCD	12,00	24,3	20,6	12,5	24,1	
S_53_A	SMCD	1,50	16,5	13,0	5,0	16,4	
S_53_B	SMCD	5,00	17,4	13,8	5,8	17,2	
S_53_C	SMCD	8,50	19,5	15,7	7,7	19,2	
S_53_D	SMCD	12,00	24,3	20,5	12,4	24,0	
S_54_A	SMCD	1,50	12,4	8,8	0,8	12,2	
S_54_B	SMCD	5,00	13,3	9,5	1,5	13,0	
S_54_C	SMCD	8,50	14,7	10,9	2,8	14,4	
S_54_D	SMCD	12,00	13,5	9,7	1,7	13,3	
S_55_A	SMCD	1,50	13,5	9,8	1,8	13,3	
S_55_B	SMCD	5,00	14,4	10,7	2,6	14,2	
S_55_C	SMCD	8,50	15,5	11,7	3,7	15,3	
S_55_D	SMCD	12,00	14,0	10,2	2,1	13,7	
S_56_A	SMCD	1,50	14,3	10,7	2,6	14,1	
S_56_B	SMCD	5,00	15,2	11,4	3,4	14,9	
S_56_C	SMCD	8,50	16,2	12,3	4,3	15,9	
S_56_D	SMCD	12,00	14,3	10,5	2,5	14,1	
S_57_A	SMCD	1,50	15,2	11,5	3,5	15,0	
S_57_B	SMCD	5,00	15,8	12,0	4,0	15,5	
S_57_C	SMCD	8,50	16,9	13,1	5,0	16,6	
S_57_D	SMCD	12,00	15,9	12,1	4,0	15,6	
S_58_A	SMCD	1,50	15,9	12,2	4,2	15,7	
S_58_B	SMCD	5,00	16,9	13,1	5,1	16,6	
S_58_C	SMCD	8,50	18,2	14,4	6,3	17,9	
S_58_D	SMCD	12,00	17,6	13,9	5,8	17,3	
S_59_A	SMCD	1,50	16,3	12,7	4,7	16,1	
S_59_B	SMCD	5,00	17,4	13,7	5,7	17,2	
S_59_C	SMCD	8,50	19,4	15,6	7,6	19,1	
S_59_D	SMCD	12,00	23,5	19,7	11,7	23,2	
S_60_A	SMCD	1,50	15,9	12,2	4,2	15,7	
S_60_B	SMCD	5,00	17,0	13,2	5,2	16,7	
S_60_C	SMCD	8,50	18,4	14,5	6,5	18,1	
S_60_D	SMCD	12,00	19,1	15,4	7,4	18,9	

Alle getoonde dB-waarden zijn A-gewogen

Bijlage III-5 Rekenresultaten H.J.P. Fesevurstraat

Rapport: Resultatentabel
 Model: Wegverkeermodel
 L'Aeq totaalresultaten voor toetspunten
 Groep: H.J.P. Fesevurstraat
 Groepsreductie: Nee

Naam							
Toetspunt	Omschrijving	Hoogte	Dag	Avond	Nacht	Lden	
S_61_A	SMCD	1,50	16,3	12,7	4,7	16,1	
S_61_B	SMCD	5,00	17,3	13,5	5,4	17,0	
S_61_C	SMCD	8,50	18,3	14,5	6,5	18,0	
S_61_D	SMCD	12,00	19,1	15,5	7,4	18,9	
S_62_A	SMCD	1,50	18,5	14,9	6,9	18,3	
S_62_B	SMCD	5,00	19,3	15,6	7,5	19,0	
S_62_C	SMCD	8,50	21,3	17,6	9,6	21,1	
S_63_A	SMCD	1,50	20,0	16,3	8,3	19,8	
S_63_B	SMCD	5,00	21,0	17,3	9,2	20,8	
S_63_C	SMCD	8,50	23,1	19,3	11,3	22,8	
S_64_A	SMCD	1,50	20,0	16,3	8,3	19,8	
S_64_B	SMCD	5,00	21,2	17,5	9,5	21,0	
S_64_C	SMCD	8,50	23,4	19,6	11,6	23,1	
S_65_A	SMCD	1,50	20,3	16,7	8,7	20,1	
S_65_B	SMCD	5,00	21,9	18,2	10,2	21,7	
S_65_C	SMCD	8,50	23,9	20,2	12,2	23,7	
S_66_A	SMCD	1,50	25,4	21,9	13,9	25,3	
S_66_B	SMCD	5,00	27,0	23,4	15,4	26,8	
S_66_C	SMCD	8,50	29,3	25,7	17,7	29,1	
S_67_A	SMCD	1,50	24,4	20,9	12,9	24,3	
S_67_B	SMCD	5,00	26,1	22,5	14,5	25,9	
S_67_C	SMCD	8,50	28,1	24,5	16,5	27,9	
S_68_A	SMCD	1,50	25,3	21,8	13,9	25,2	
S_68_B	SMCD	5,00	26,8	23,3	15,3	26,7	
S_68_C	SMCD	8,50	29,2	25,6	17,6	29,0	
S_69_A	SMCD	1,50	19,5	15,9	7,9	19,3	
S_69_B	SMCD	5,00	21,3	17,7	9,6	21,1	
S_69_C	SMCD	8,50	24,1	20,5	12,5	23,9	
S_70_A	SMCD	1,50	22,2	18,6	10,6	22,0	
S_70_B	SMCD	5,00	23,6	19,9	11,9	23,4	
S_70_C	SMCD	8,50	25,7	22,0	14,0	25,5	
S_70_D	SMCD	12,00	28,2	24,6	16,6	28,0	
S_71_A	SMCD	1,50	24,2	20,6	12,7	24,0	
S_71_B	SMCD	5,00	25,8	22,2	14,2	25,6	
S_71_C	SMCD	8,50	28,5	24,8	16,8	28,3	
S_71_D	SMCD	12,00	31,6	28,1	20,1	31,5	
S_72_A	SMCD	1,50	27,7	24,2	16,3	27,6	
S_72_B	SMCD	5,00	30,1	26,6	18,6	29,9	
S_72_C	SMCD	8,50	32,2	28,7	20,7	32,1	
S_72_D	SMCD	12,00	33,3	29,8	21,9	33,2	
S_73_A	SMCD	1,50	28,7	25,2	17,3	28,6	
S_73_B	SMCD	5,00	30,8	27,3	19,3	30,7	
S_73_C	SMCD	8,50	33,1	29,6	21,6	33,0	
S_73_D	SMCD	12,00	32,5	28,9	21,0	32,3	
S_74_A	SMCD	1,50	31,2	27,8	19,8	31,1	
S_74_B	SMCD	5,00	31,7	28,2	20,3	31,6	
S_74_C	SMCD	8,50	33,8	30,3	22,3	33,7	
S_74_D	SMCD	12,00	34,8	31,3	23,3	34,7	
S_75_A	SMCD	1,50	33,5	30,1	22,1	33,4	
S_75_B	SMCD	5,00	36,7	33,3	25,3	36,6	
S_75_C	SMCD	8,50	37,7	34,2	26,3	37,6	
S_75_D	SMCD	12,00	38,2	34,7	26,7	38,1	
S_76_A	SMCD	1,50	17,2	13,6	5,6	17,0	
S_76_B	SMCD	5,00	18,3	14,6	6,5	18,1	
S_76_C	SMCD	8,50	19,6	15,8	7,7	19,3	
S_76_D	SMCD	12,00	20,8	17,0	8,9	20,5	
S_77_A	SMCD	1,50	17,4	13,8	5,8	17,2	
S_77_B	SMCD	5,00	18,9	15,2	7,1	18,6	
S_77_C	SMCD	8,50	20,1	16,3	8,2	19,8	
S_77_D	SMCD	12,00	20,6	16,8	8,8	20,3	
S_78_A	SMCD	1,50	17,2	13,5	5,5	17,0	
S_78_B	SMCD	5,00	18,5	14,8	6,8	18,3	
S_78_C	SMCD	8,50	20,6	16,9	8,9	20,4	
S_78_D	SMCD	12,00	22,0	18,3	10,2	21,7	
S_79_A	SMCD	1,50	19,8	16,2	8,2	19,6	
S_79_B	SMCD	5,00	21,3	17,7	9,6	21,1	
S_79_C	SMCD	8,50	24,0	20,2	12,2	23,7	
S_79_D	SMCD	12,00	28,1	24,3	16,3	27,8	
S_80_A	SMCD	1,50	20,7	17,0	9,0	20,5	
S_80_B	SMCD	5,00	22,1	18,4	10,4	21,9	
S_80_C	SMCD	8,50	24,8	21,1	13,0	24,6	
S_81_A	SMCD	1,50	21,7	18,0	10,0	21,5	
S_81_B	SMCD	5,00	23,4	19,7	11,6	23,1	
S_81_C	SMCD	8,50	25,9	22,1	14,1	25,6	

Alle getoonde dB-waarden zijn A-gewogen

Bijlage III-5 Rekenresultaten H.J.P. Fesevurstraat

Rapport: Resultatentabel
 Model: Wegverkeermodel
 L'Aeq totaalresultaten voor toetspunten
 Groep: H.J.P. Fesevurstraat
 Groepsreductie: Nee

Naam						
Toetspunt	Omschrijving	Hoogte	Dag	Avond	Nacht	Lden
S_82_A	SMCD	1,50	21,8	18,1	10,1	21,6
S_82_B	SMCD	5,00	23,5	19,7	11,7	23,2
S_82_C	SMCD	8,50	25,6	21,8	13,8	25,3
S_83_A	SMCD	1,50	21,5	17,8	9,8	21,3
S_83_B	SMCD	5,00	23,1	19,4	11,3	22,9
S_83_C	SMCD	8,50	25,1	21,3	13,3	24,8
S_84_A	SMCD	1,50	21,0	17,3	9,3	20,8
S_84_B	SMCD	5,00	22,6	18,9	10,8	22,4
S_84_C	SMCD	8,50	24,6	20,8	12,8	24,3
S_85_A	SMCD	1,50	21,8	18,1	10,1	21,6
S_85_B	SMCD	5,00	23,6	19,8	11,8	23,3
S_85_C	SMCD	8,50	26,4	22,7	14,7	26,2
S_85_D	SMCD	12,00	30,3	26,8	18,8	30,2
S_86_A	SMCD	1,50	23,1	19,5	11,5	22,9
S_86_B	SMCD	5,00	24,9	21,2	13,2	24,7
S_86_C	SMCD	8,50	27,6	23,9	15,8	27,4
S_86_D	SMCD	12,00	30,6	26,9	18,9	30,4
S_87_A	SMCD	1,50	23,8	20,1	12,1	23,6
S_87_B	SMCD	5,00	25,5	21,8	13,7	25,3
S_87_C	SMCD	8,50	27,9	24,1	16,1	27,6
S_87_D	SMCD	12,00	30,4	26,8	18,7	30,2
S_88_A	SMCD	1,50	23,8	20,1	12,1	23,6
S_88_B	SMCD	5,00	25,4	21,7	13,7	25,2
S_88_C	SMCD	8,50	27,6	23,9	15,8	27,4
S_88_D	SMCD	12,00	30,1	26,5	18,4	29,9
S_89_A	SMCD	1,50	23,6	19,9	11,9	23,3
S_89_B	SMCD	5,00	25,0	21,3	13,2	24,7
S_89_C	SMCD	8,50	27,0	23,3	15,2	26,8
S_89_D	SMCD	12,00	29,4	25,7	17,7	29,2
S_90_A	SMCD	1,50	22,7	19,1	11,1	22,5
S_90_B	SMCD	5,00	24,2	20,4	12,4	23,9
S_90_C	SMCD	8,50	25,9	22,2	14,2	25,7
S_90_D	SMCD	12,00	27,9	24,2	16,1	27,6
S_91_A	SMCD	1,50	22,9	19,2	11,2	22,7
S_91_B	SMCD	5,00	24,4	20,7	12,7	24,2
S_91_C	SMCD	8,50	26,3	22,5	14,5	26,0
S_91_D	SMCD	12,00	28,1	24,4	16,3	27,8
S_92_A	SMCD	1,50	22,4	18,7	10,7	22,2
S_92_B	SMCD	5,00	23,9	20,1	12,1	23,6
S_92_C	SMCD	8,50	26,1	22,4	14,3	25,9
S_92_D	SMCD	12,00	28,2	24,5	16,5	28,0
S_93_A	SMCD	1,50	22,0	18,4	10,4	21,8
S_93_B	SMCD	5,00	23,6	19,9	11,8	23,3
S_93_C	SMCD	8,50	26,1	22,3	14,3	25,8
S_93_D	SMCD	12,00	28,8	25,0	17,0	28,5
S_94_A	SMCD	1,50	21,6	17,9	9,9	21,4
S_94_B	SMCD	5,00	23,2	19,5	11,5	23,0
S_94_C	SMCD	8,50	26,0	22,3	14,2	25,8
S_94_D	SMCD	12,00	29,1	25,4	17,4	28,9
S_95_A	SMCD	1,50	20,7	17,1	9,1	20,5
S_95_B	SMCD	5,00	22,3	18,6	10,6	22,1
S_95_C	SMCD	8,50	25,0	21,3	13,3	24,8
S_95_D	SMCD	12,00	29,7	26,0	17,9	29,4

Alle getoonde dB-waarden zijn A-gewogen

Bijlage III-6 Rekenresultaten Van Calcarstraat

Rapport: Resultatentabel
 Model: Wegverkeermodel
 L'Aeq totaalresultaten voor toetspunten
 Groep: Van Calcarstraat
 Groepsreductie: Nee

Naam	Toetspunt	Omschrijving	Hoogte	Dag	Avond	Nacht	Lden
	01_01_A	Cluster 1	1,50	13,4	8,7	0,4	12,7
	01_01_B	Cluster 1	4,50	14,5	9,8	1,4	13,8
	01_01_C	Cluster 1	7,50	15,4	10,6	2,2	14,6
	01_02_A	Cluster 1	1,50	12,0	7,4	-1,0	11,3
	01_02_B	Cluster 1	4,50	12,8	8,0	-0,4	12,0
	01_02_C	Cluster 1	7,50	13,5	8,7	0,3	12,7
	01_03_A	Cluster 1	1,50	10,6	6,0	-2,4	9,9
	01_03_B	Cluster 1	4,50	11,2	6,5	-1,9	10,4
	01_03_C	Cluster 1	7,50	12,3	7,5	-0,9	11,5
	01_04_A	Cluster 1	1,50	10,4	5,7	-2,6	9,6
	01_04_B	Cluster 1	4,50	10,9	6,1	-2,3	10,1
	01_04_C	Cluster 1	7,50	12,0	7,2	-1,2	11,2
	01_05_A	Cluster 1	1,50	9,6	5,0	-3,4	8,9
	01_05_B	Cluster 1	4,50	10,2	5,5	-2,9	9,4
	01_05_C	Cluster 1	7,50	11,4	6,6	-1,8	10,6
	01_06_A	Cluster 1	1,50	12,3	7,7	-0,6	11,6
	01_06_B	Cluster 1	4,50	14,2	9,5	1,1	13,4
	01_06_C	Cluster 1	7,50	14,8	10,0	1,6	14,0
	01_07_A	Cluster 1	1,50	12,8	8,2	-0,1	12,1
	01_07_B	Cluster 1	4,50	14,8	10,0	1,6	14,0
	01_07_C	Cluster 1	7,50	15,6	10,8	2,4	14,8
	01_08_A	Cluster 1	1,50	9,7	5,1	-3,3	9,0
	01_08_B	Cluster 1	4,50	10,1	5,4	-3,0	9,4
	01_08_C	Cluster 1	7,50	11,3	6,6	-1,8	10,6
	01_09_A	Cluster 1	1,50	8,7	4,0	-4,4	7,9
	01_09_B	Cluster 1	4,50	9,1	4,4	-4,0	8,4
	01_09_C	Cluster 1	7,50	10,5	5,8	-2,6	9,7
	01_10_A	Cluster 1	1,50	7,7	3,0	-5,4	6,9
	01_10_B	Cluster 1	4,50	9,0	4,2	-4,2	8,2
	01_10_C	Cluster 1	7,50	10,3	5,7	-2,7	9,6
	01_100_A	Cluster 1	1,50	13,6	9,0	0,6	12,9
	01_100_B	Cluster 1	4,50	11,6	6,8	-1,6	10,8
	01_100_C	Cluster 1	7,50	12,1	7,3	-1,1	11,3
	01_101_A	Cluster 1	1,50	12,8	8,2	-0,2	12,1
	01_101_B	Cluster 1	4,50	11,7	6,9	-1,5	10,9
	01_101_C	Cluster 1	7,50	12,0	7,2	-1,2	11,2
	01_11_A	Cluster 1	1,50	8,5	3,8	-4,6	7,7
	01_11_B	Cluster 1	4,50	9,8	5,0	-3,4	9,0
	01_11_C	Cluster 1	7,50	11,0	6,3	-2,1	10,2
	01_12_A	Cluster 1	1,50	9,2	4,5	-3,9	8,4
	01_12_B	Cluster 1	4,50	10,3	5,6	-2,8	9,6
	01_13_A	Cluster 1	1,50	9,7	5,0	-3,4	9,0
	01_13_B	Cluster 1	4,50	11,1	6,3	-2,1	10,3
	01_14_A	Cluster 1	1,50	8,6	4,0	-4,4	7,9
	01_14_B	Cluster 1	4,50	10,1	5,3	-3,1	9,3
	01_15_A	Cluster 1	1,50	8,9	4,3	-4,0	8,2
	01_15_B	Cluster 1	4,50	10,4	5,6	-2,8	9,6
	01_16_A	Cluster 1	1,50	8,9	4,3	-4,0	8,2
	01_16_B	Cluster 1	4,50	10,3	5,5	-2,9	9,5
	01_16_C	Cluster 1	7,50	10,7	5,9	-2,6	9,9
	01_17_A	Cluster 1	1,50	10,0	5,4	-3,0	9,3
	01_17_B	Cluster 1	4,50	11,1	6,3	-2,0	10,3
	01_17_C	Cluster 1	7,50	11,5	6,7	-1,7	10,7
	01_18_A	Cluster 1	1,50	9,4	4,8	-3,5	8,7
	01_18_B	Cluster 1	4,50	10,1	5,4	-3,0	9,4
	01_18_C	Cluster 1	7,50	10,9	6,1	-2,3	10,1
	01_19_A	Cluster 1	1,50	10,1	5,5	-2,8	9,4
	01_19_B	Cluster 1	4,50	11,1	6,4	-2,0	10,3
	01_19_C	Cluster 1	7,50	12,2	7,4	-1,0	11,4
	01_20_A	Cluster 1	1,50	9,5	4,9	-3,5	8,8
	01_20_B	Cluster 1	4,50	10,4	5,7	-2,7	9,7
	01_20_C	Cluster 1	7,50	11,2	6,4	-2,0	10,4
	01_21_A	Cluster 1	1,50	9,9	5,2	-3,1	9,2
	01_21_B	Cluster 1	4,50	10,8	6,1	-2,3	10,1
	01_21_C	Cluster 1	7,50	11,2	6,4	-2,0	10,4
	01_22_A	Cluster 1	1,50	10,3	5,7	-2,7	9,6
	01_22_B	Cluster 1	4,50	11,3	6,6	-1,8	10,5
	01_22_C	Cluster 1	7,50	11,3	6,5	-2,0	10,5
	01_23_A	Cluster 1	1,50	9,9	5,3	-3,0	9,2
	01_23_B	Cluster 1	4,50	11,2	6,5	-1,9	10,5
	01_23_C	Cluster 1	7,50	11,2	6,4	-2,0	10,4
	01_24_A	Cluster 1	1,50	9,4	4,8	-3,6	8,7
	01_24_B	Cluster 1	4,50	10,8	6,0	-2,4	10,0
	01_24_C	Cluster 1	7,50	11,3	6,6	-1,8	10,6

Alle getoonde dB-waarden zijn A-gewogen

Bijlage III-6 Rekenresultaten Van Calcarstraat

Rapport: Resultatentabel
 Model: Wegverkeermodel
 LAgg totaalresultaten voor toetspunten
 Groep: Van Calcarstraat
 Groepsreductie: Nee

Naam	Toetspunt	Omschrijving	Hoogte	Dag	Avond	Nacht	Lden
	01_25_A	Cluster 1	1,50	10,0	5,5	-2,9	9,4
	01_25_B	Cluster 1	4,50	10,5	5,8	-2,6	9,8
	01_26_A	Cluster 1	1,50	13,8	9,2	0,8	13,1
	01_26_B	Cluster 1	4,50	14,5	9,8	1,4	13,7
	01_27_A	Cluster 1	1,50	9,7	5,1	-3,2	9,0
	01_27_B	Cluster 1	4,50	9,9	5,2	-3,2	9,2
	01_28_A	Cluster 1	1,50	14,4	9,8	1,5	13,7
	01_28_B	Cluster 1	4,50	15,5	10,8	2,4	14,8
	01_29_A	Cluster 1	1,50	14,6	9,9	1,6	13,8
	01_29_B	Cluster 1	4,50	15,9	11,1	2,7	15,1
	01_29_C	Cluster 1	7,50	16,7	12,0	3,6	16,0
	01_30_A	Cluster 1	1,50	14,4	9,8	1,4	13,7
	01_30_B	Cluster 1	4,50	15,7	11,0	2,6	15,0
	01_30_C	Cluster 1	7,50	16,7	11,9	3,5	15,9
	01_31_A	Cluster 1	1,50	13,9	9,3	0,9	13,2
	01_31_B	Cluster 1	4,50	15,2	10,4	2,0	14,4
	01_31_C	Cluster 1	7,50	16,1	11,3	2,9	15,3
	01_32_A	Cluster 1	1,50	14,1	9,5	1,2	13,4
	01_32_B	Cluster 1	4,50	15,2	10,5	2,1	14,5
	01_32_C	Cluster 1	7,50	16,1	11,4	2,9	15,4
	01_33_A	Cluster 1	1,50	14,1	9,5	1,1	13,4
	01_33_B	Cluster 1	4,50	15,5	10,8	2,4	14,7
	01_33_C	Cluster 1	7,50	16,3	11,5	3,1	15,5
	01_34_A	Cluster 1	1,50	14,0	9,4	1,0	13,3
	01_34_B	Cluster 1	4,50	15,4	10,7	2,4	14,7
	01_34_C	Cluster 1	7,50	16,6	11,8	3,4	15,8
	01_35_A	Cluster 1	1,50	14,0	9,4	1,0	13,3
	01_35_B	Cluster 1	4,50	15,4	10,7	2,3	14,6
	01_35_C	Cluster 1	7,50	16,9	12,1	3,7	16,1
	01_36_A	Cluster 1	1,50	13,7	9,1	0,8	13,0
	01_36_B	Cluster 1	4,50	14,9	10,2	1,8	14,1
	01_36_C	Cluster 1	7,50	16,3	11,6	3,2	15,5
	01_37_A	Cluster 1	1,50	13,5	8,9	0,5	12,8
	01_37_B	Cluster 1	4,50	15,1	10,4	2,1	14,4
	01_38_A	Cluster 1	1,50	13,5	8,9	0,6	12,8
	01_38_B	Cluster 1	4,50	15,0	10,3	1,9	14,3
	01_39_A	Cluster 1	1,50	15,5	10,9	2,6	14,8
	01_39_B	Cluster 1	4,50	16,5	11,8	3,4	15,8
	01_40_A	Cluster 1	1,50	15,5	11,0	2,6	14,8
	01_40_B	Cluster 1	4,50	16,6	11,9	3,5	15,9
	01_41_A	Cluster 1	1,50	15,9	11,4	3,0	15,3
	01_41_B	Cluster 1	4,50	16,8	12,1	3,8	16,1
	01_41_C	Cluster 1	7,50	17,8	13,1	4,6	17,1
	01_42_A	Cluster 1	1,50	14,1	9,5	1,2	13,4
	01_42_B	Cluster 1	4,50	13,9	9,2	0,9	13,2
	01_42_C	Cluster 1	7,50	15,3	10,5	2,1	14,5
	01_43_A	Cluster 1	1,50	12,6	8,0	-0,3	11,9
	01_43_B	Cluster 1	4,50	13,5	8,8	0,4	12,8
	01_43_C	Cluster 1	7,50	15,8	11,1	2,6	15,0
	01_44_A	Cluster 1	1,50	16,0	11,4	3,1	15,3
	01_44_B	Cluster 1	4,50	17,0	12,3	3,9	16,3
	01_44_C	Cluster 1	7,50	17,9	13,1	4,7	17,1
	01_45_A	Cluster 1	1,50	15,5	10,9	2,6	14,8
	01_45_B	Cluster 1	4,50	16,7	12,0	3,6	15,9
	01_45_C	Cluster 1	7,50	17,6	12,8	4,4	16,8
	01_46_A	Cluster 1	1,50	15,7	11,1	2,8	15,0
	01_46_B	Cluster 1	4,50	17,0	12,3	3,9	16,2
	01_46_C	Cluster 1	7,50	17,8	13,0	4,6	17,0
	01_47_A	Cluster 1	1,50	16,2	11,6	3,3	15,5
	01_47_B	Cluster 1	4,50	17,3	12,6	4,2	16,5
	01_47_C	Cluster 1	7,50	18,1	13,3	4,9	17,3
	01_48_A	Cluster 1	1,50	16,0	11,4	3,1	15,3
	01_48_B	Cluster 1	4,50	17,1	12,4	4,0	16,3
	01_48_C	Cluster 1	7,50	17,9	13,1	4,7	17,1
	01_49_A	Cluster 1	1,50	16,3	11,7	3,4	15,6
	01_49_B	Cluster 1	4,50	17,3	12,6	4,2	16,6
	01_49_C	Cluster 1	7,50	18,1	13,3	4,9	17,3
	01_50_A	Cluster 1	1,50	16,3	11,7	3,4	15,6
	01_50_B	Cluster 1	4,50	17,5	12,8	4,4	16,8
	01_50_C	Cluster 1	7,50	18,4	13,6	5,1	17,6
	01_51_A	Cluster 1	1,50	16,6	12,0	3,6	15,9
	01_51_B	Cluster 1	4,50	17,7	13,0	4,6	16,9
	01_51_C	Cluster 1	7,50	18,6	13,8	5,4	17,8
	01_52_A	Cluster 1	1,50	17,0	12,4	4,1	16,3

Alle getoonde dB-waarden zijn A-gewogen

Bijlage III-6 Rekenresultaten Van Calcarstraat

Rapport: Resultatentabel
 Model: Wegverkeermodel
 LAeq totaalresultaten voor toetspunten
 Groep: Van Calcarstraat
 Groepsreductie: Nee

Naam						
Toetspunt	Omschrijving	Hoogte	Dag	Avond	Nacht	Lden
01_52_B	Cluster 1	4,50	18,2	13,5	5,1	17,4
01_52_C	Cluster 1	7,50	19,0	14,2	5,8	18,2
01_53_A	Cluster 1	1,50	17,1	12,5	4,2	16,4
01_53_B	Cluster 1	4,50	18,4	13,6	5,2	17,6
01_53_C	Cluster 1	7,50	19,2	14,5	6,1	18,5
01_54_A	Cluster 1	1,50	16,6	12,0	3,6	15,9
01_54_B	Cluster 1	4,50	17,7	13,0	4,6	17,0
01_54_C	Cluster 1	7,50	18,5	13,8	5,3	17,8
01_55_A	Cluster 1	1,50	16,8	12,2	3,9	16,1
01_55_B	Cluster 1	4,50	18,0	13,3	4,9	17,2
01_55_C	Cluster 1	7,50	18,7	14,0	5,6	18,0
01_56_A	Cluster 1	1,50	16,8	12,2	3,8	16,1
01_56_B	Cluster 1	4,50	18,1	13,3	4,9	17,3
01_56_C	Cluster 1	7,50	19,1	14,4	6,0	18,4
01_57_A	Cluster 1	1,50	14,5	9,9	1,5	13,8
01_57_B	Cluster 1	4,50	16,1	11,4	3,1	15,4
01_57_C	Cluster 1	7,50	17,9	13,1	4,7	17,1
01_58_A	Cluster 1	1,50	14,9	10,3	2,0	14,2
01_58_B	Cluster 1	4,50	17,0	12,4	4,0	16,3
01_58_C	Cluster 1	7,50	18,3	13,5	5,1	17,5
01_59_A	Cluster 1	1,50	15,7	11,1	2,7	15,0
01_59_B	Cluster 1	4,50	16,3	11,6	3,2	15,6
01_59_C	Cluster 1	7,50	17,0	12,2	3,7	16,2
01_60_A	Cluster 1	1,50	15,8	11,2	2,9	15,1
01_60_B	Cluster 1	4,50	16,3	11,6	3,2	15,6
01_60_C	Cluster 1	7,50	17,0	12,2	3,8	16,2
01_61_A	Cluster 1	1,50	15,8	11,2	2,9	15,1
01_61_B	Cluster 1	4,50	16,5	11,7	3,3	15,7
01_61_C	Cluster 1	7,50	17,0	12,2	3,8	16,2
01_62_A	Cluster 1	1,50	15,3	10,6	2,3	14,5
01_62_B	Cluster 1	4,50	15,8	11,1	2,7	15,0
01_62_C	Cluster 1	7,50	16,3	11,5	3,1	15,5
01_63_A	Cluster 1	1,50	14,9	10,3	1,9	14,2
01_63_B	Cluster 1	4,50	15,8	11,0	2,6	15,0
01_63_C	Cluster 1	7,50	16,2	11,4	3,0	15,4
01_64_A	Cluster 1	1,50	11,1	6,5	-1,8	10,4
01_64_B	Cluster 1	4,50	12,9	8,1	-0,3	12,1
01_64_C	Cluster 1	7,50	13,1	8,3	-0,2	12,3
01_65_A	Cluster 1	1,50	12,9	8,3	0,0	12,2
01_65_B	Cluster 1	4,50	15,0	10,3	1,9	14,3
01_65_C	Cluster 1	7,50	15,9	11,1	2,7	15,1
01_66_A	Cluster 1	1,50	13,9	9,3	0,9	13,2
01_66_B	Cluster 1	4,50	15,5	10,7	2,4	14,7
01_67_A	Cluster 1	1,50	13,3	8,7	0,3	12,6
01_67_B	Cluster 1	4,50	14,7	10,0	1,6	14,0
01_68_A	Cluster 1	1,50	13,6	9,0	0,6	12,9
01_68_B	Cluster 1	4,50	14,9	10,2	1,8	14,1
01_68_C	Cluster 1	7,50	15,9	11,2	2,8	15,1
01_69_A	Cluster 1	1,50	13,9	9,2	0,9	13,2
01_69_B	Cluster 1	4,50	15,0	10,2	1,8	14,2
01_69_C	Cluster 1	7,50	16,1	11,4	3,0	15,3
01_70_A	Cluster 1	1,50	14,9	10,3	1,9	14,2
01_70_B	Cluster 1	4,50	14,9	10,2	1,8	14,2
01_70_C	Cluster 1	7,50	15,5	10,7	2,3	14,7
01_71_A	Cluster 1	1,50	13,7	9,0	0,7	13,0
01_71_B	Cluster 1	4,50	14,7	9,9	1,5	13,9
01_71_C	Cluster 1	7,50	15,8	11,1	2,7	15,0
01_72_A	Cluster 1	1,50	14,2	9,6	1,2	13,5
01_72_B	Cluster 1	4,50	14,8	10,1	1,7	14,1
01_72_C	Cluster 1	7,50	15,4	10,6	2,2	14,6
01_73_A	Cluster 1	1,50	14,4	9,7	1,4	13,7
01_73_B	Cluster 1	4,50	14,9	10,1	1,7	14,1
01_73_C	Cluster 1	7,50	15,5	10,7	2,2	14,7
01_74_A	Cluster 1	1,50	14,2	9,5	1,1	13,4
01_74_B	Cluster 1	4,50	14,7	10,0	1,5	13,9
01_74_C	Cluster 1	7,50	15,3	10,5	2,0	14,5
01_75_A	Cluster 1	1,50	13,7	9,0	0,7	13,0
01_75_B	Cluster 1	4,50	14,4	9,7	1,3	13,6
01_75_C	Cluster 1	7,50	15,0	10,2	1,8	14,2
01_76_A	Cluster 1	1,50	13,2	8,5	0,2	12,5
01_76_B	Cluster 1	4,50	14,2	9,5	1,1	13,5
01_76_C	Cluster 1	7,50	14,9	10,1	1,6	14,1
01_77_A	Cluster 1	1,50	13,3	8,7	0,3	12,6
01_77_B	Cluster 1	4,50	14,5	9,8	1,4	13,8

Alle getoonde dB-waarden zijn A-gewogen

Bijlage III-6 Rekenresultaten Van Calcarstraat

Rapport: Resultatentabel
 Model: Wegverkeermodel
 L'Aeq totaalresultaten voor toetspunten
 Groep: Van Calcarstraat
 Groepsreductie: Nee

Naam							
Toetspunt	Omschrijving	Hoogte	Dag	Avond	Nacht	Lden	
01_78_A	Cluster 1	1,50	9,2	4,6	-3,8	8,5	
01_78_B	Cluster 1	4,50	9,5	4,8	-3,6	8,7	
01_79_A	Cluster 1	1,50	9,8	5,2	-3,2	9,1	
01_79_B	Cluster 1	4,50	10,0	5,3	-3,1	9,2	
01_79_C	Cluster 1	7,50	10,4	5,6	-2,8	9,6	
01_80_A	Cluster 1	1,50	10,2	5,6	-2,8	9,5	
01_80_B	Cluster 1	4,50	10,6	5,8	-2,6	9,8	
01_80_C	Cluster 1	7,50	11,0	6,2	-2,2	10,3	
01_81_A	Cluster 1	1,50	11,3	6,7	-1,7	10,6	
01_81_B	Cluster 1	4,50	11,3	6,6	-1,8	10,6	
01_81_C	Cluster 1	7,50	11,8	7,0	-1,4	11,0	
01_82_A	Cluster 1	1,50	12,2	7,6	-0,7	11,5	
01_82_B	Cluster 1	4,50	12,3	7,6	-0,8	11,6	
01_82_C	Cluster 1	7,50	12,8	8,0	-0,4	12,1	
01_83_A	Cluster 1	1,50	12,4	7,9	-0,5	11,7	
01_83_B	Cluster 1	4,50	12,8	8,1	-0,3	12,1	
01_83_C	Cluster 1	7,50	13,5	8,7	0,3	12,7	
01_84_A	Cluster 1	1,50	12,5	7,9	-0,4	11,8	
01_84_B	Cluster 1	4,50	13,2	8,4	0,1	12,4	
01_84_C	Cluster 1	7,50	13,7	8,9	0,5	12,9	
01_85_A	Cluster 1	1,50	12,8	8,3	-0,1	12,2	
01_85_B	Cluster 1	4,50	14,1	9,4	1,0	13,4	
01_85_C	Cluster 1	7,50	14,6	9,8	1,4	13,8	
01_86_A	Cluster 1	1,50	13,7	9,2	0,8	13,1	
01_86_B	Cluster 1	4,50	15,4	10,8	2,4	14,7	
01_86_C	Cluster 1	7,50	16,4	11,6	3,2	15,6	
01_87_A	Cluster 1	1,50	12,8	8,2	-0,1	12,1	
01_87_B	Cluster 1	4,50	14,8	10,2	1,8	14,1	
01_88_A	Cluster 1	1,50	10,4	5,9	-2,5	9,8	
01_88_B	Cluster 1	4,50	12,2	7,5	-0,9	11,4	
01_89_A	Cluster 1	1,50	10,5	5,9	-2,4	9,8	
01_89_B	Cluster 1	4,50	10,8	6,1	-2,4	10,0	
01_89_C	Cluster 1	7,50	12,9	8,2	-0,2	12,1	
01_90_A	Cluster 1	1,50	12,9	8,3	-0,1	12,2	
01_90_B	Cluster 1	4,50	11,4	6,6	-1,8	10,6	
01_90_C	Cluster 1	7,50	12,5	7,8	-0,6	11,8	
01_91_A	Cluster 1	1,50	12,3	7,6	-0,8	11,6	
01_91_B	Cluster 1	4,50	9,9	5,2	-3,2	9,2	
01_91_C	Cluster 1	7,50	10,3	5,6	-2,8	9,5	
01_92_A	Cluster 1	1,50	12,2	7,5	-0,9	11,4	
01_92_B	Cluster 1	4,50	10,2	5,4	-3,0	9,4	
01_92_C	Cluster 1	7,50	10,7	6,0	-2,4	10,0	
01_93_A	Cluster 1	1,50	13,4	8,7	0,4	12,7	
01_93_B	Cluster 1	4,50	11,7	7,1	-1,2	11,0	
01_93_C	Cluster 1	7,50	11,9	7,3	-1,0	11,2	
01_94_A	Cluster 1	1,50	12,3	7,6	-0,8	11,6	
01_94_B	Cluster 1	4,50	11,5	6,7	-1,7	10,7	
01_94_C	Cluster 1	7,50	11,4	6,6	-1,9	10,6	
01_95_A	Cluster 1	1,50	13,6	8,9	0,6	12,9	
01_95_B	Cluster 1	4,50	12,5	7,7	-0,7	11,7	
01_95_C	Cluster 1	7,50	12,3	7,5	-1,0	11,5	
01_96_A	Cluster 1	1,50	12,1	7,4	-1,0	11,4	
01_96_B	Cluster 1	4,50	11,8	7,0	-1,4	11,0	
01_96_C	Cluster 1	7,50	12,3	7,5	-1,0	11,5	
01_97_A	Cluster 1	1,50	13,2	8,6	0,2	12,5	
01_97_B	Cluster 1	4,50	11,9	7,2	-1,3	11,1	
01_97_C	Cluster 1	7,50	12,6	7,8	-0,6	11,8	
01_98_A	Cluster 1	1,50	12,4	7,7	-0,7	11,6	
01_98_B	Cluster 1	4,50	11,9	7,1	-1,3	11,1	
01_98_C	Cluster 1	7,50	12,3	7,5	-0,9	11,5	
01_99_A	Cluster 1	1,50	13,3	8,6	0,2	12,5	
01_99_B	Cluster 1	4,50	11,9	7,1	-1,3	11,1	
01_99_C	Cluster 1	7,50	12,3	7,5	-0,9	11,5	
02_01_A	Cluster 2	1,50	11,5	7,0	-1,4	10,9	
02_01_B	Cluster 2	4,50	12,9	8,2	-0,2	12,1	
02_01_C	Cluster 2	7,50	13,2	8,4	0,0	12,4	
02_02_A	Cluster 2	1,50	11,0	6,4	-1,9	10,3	
02_02_B	Cluster 2	4,50	10,0	5,3	-3,1	9,3	
02_02_C	Cluster 2	7,50	11,1	6,4	-2,0	10,3	
02_03_A	Cluster 2	1,50	11,7	7,1	-1,2	11,0	
02_03_B	Cluster 2	4,50	10,9	6,2	-2,2	10,1	
02_03_C	Cluster 2	7,50	12,1	7,4	-1,0	11,3	
02_04_A	Cluster 2	1,50	11,0	6,4	-1,9	10,3	
02_04_B	Cluster 2	4,50	11,5	6,8	-1,6	10,7	

Alle getoonde dB-waarden zijn A-gewogen

Bijlage III-6 Rekenresultaten Van Calcarstraat

Rapport: Resultatentabel
 Model: Wegverkeermodel
 LAeq totaalresultaten voor toetspunten
 Groep: Van Calcarstraat
 Groepsreductie: Nee

Naam							
Toetspunt	Omschrijving	Hoogte	Dag	Avond	Nacht	Lden	
02_04_C	Cluster 2	7,50	12,8	8,2	-0,2	12,1	
02_05_A	Cluster 2	1,50	11,3	6,7	-1,7	10,6	
02_05_B	Cluster 2	4,50	12,5	7,8	-0,6	11,8	
02_05_C	Cluster 2	7,50	13,9	9,2	0,9	13,2	
02_06_A	Cluster 2	1,50	11,5	6,8	-1,5	10,7	
02_06_B	Cluster 2	4,50	13,0	8,3	-0,1	12,3	
02_06_C	Cluster 2	7,50	14,4	9,7	1,3	13,6	
02_07_A	Cluster 2	1,50	10,9	6,3	-2,1	10,2	
02_07_B	Cluster 2	4,50	11,5	6,8	-1,6	10,7	
02_07_C	Cluster 2	7,50	12,4	7,7	-0,8	11,6	
02_08_A	Cluster 2	1,50	11,2	6,6	-1,8	10,5	
02_08_B	Cluster 2	4,50	11,9	7,1	-1,3	11,1	
02_08_C	Cluster 2	7,50	13,2	8,4	0,0	12,4	
02_09_A	Cluster 2	1,50	12,0	7,4	-1,0	11,3	
02_09_B	Cluster 2	4,50	13,1	8,4	0,0	12,4	
02_09_C	Cluster 2	7,50	14,7	10,0	1,6	14,0	
02_10_A	Cluster 2	1,50	11,6	6,9	-1,4	10,9	
02_10_B	Cluster 2	4,50	12,3	7,6	-0,7	11,6	
02_10_C	Cluster 2	7,50	13,9	9,3	0,9	13,2	
02_100_A	Cluster 2	1,50	16,6	12,0	3,7	15,9	
02_100_B	Cluster 2	4,50	17,3	12,7	4,3	16,6	
02_100_C	Cluster 2	7,50	19,5	15,0	6,6	18,9	
02_101_A	Cluster 2	1,50	15,8	11,2	2,8	15,1	
02_101_B	Cluster 2	4,50	16,6	11,9	3,5	15,9	
02_101_C	Cluster 2	7,50	18,1	13,5	5,1	17,4	
02_102_A	Cluster 2	1,50	16,0	11,4	3,0	15,3	
02_102_B	Cluster 2	4,50	16,7	12,0	3,6	15,9	
02_102_C	Cluster 2	7,50	18,2	13,5	5,1	17,5	
02_103_A	Cluster 2	1,50	15,0	10,4	2,1	14,3	
02_103_B	Cluster 2	4,50	15,9	11,2	2,8	15,1	
02_103_C	Cluster 2	7,50	17,2	12,5	4,1	16,4	
02_104_A	Cluster 2	1,50	15,4	10,7	2,4	14,7	
02_104_B	Cluster 2	4,50	16,4	11,7	3,3	15,6	
02_104_C	Cluster 2	7,50	17,6	12,9	4,5	16,9	
02_105_A	Cluster 2	1,50	15,4	10,7	2,4	14,7	
02_105_B	Cluster 2	4,50	16,8	12,1	3,7	16,1	
02_105_C	Cluster 2	7,50	18,0	13,3	4,9	17,2	
02_106_A	Cluster 2	1,50	15,6	10,9	2,6	14,9	
02_106_B	Cluster 2	4,50	17,2	12,5	4,1	16,4	
02_106_C	Cluster 2	7,50	18,3	13,5	5,1	17,5	
02_107_A	Cluster 2	1,50	15,9	11,2	2,9	15,2	
02_107_B	Cluster 2	4,50	17,5	12,8	4,4	16,7	
02_107_C	Cluster 2	7,50	18,7	14,0	5,6	18,0	
02_108_A	Cluster 2	1,50	15,8	11,2	2,8	15,1	
02_108_B	Cluster 2	4,50	17,3	12,6	4,2	16,6	
02_108_C	Cluster 2	7,50	18,7	14,0	5,6	18,0	
02_11_A	Cluster 2	1,50	12,4	7,8	-0,6	11,7	
02_11_B	Cluster 2	4,50	13,3	8,6	0,2	12,6	
02_11_C	Cluster 2	7,50	15,3	10,6	2,2	14,6	
02_12_A	Cluster 2	1,50	12,4	7,8	-0,5	11,7	
02_12_B	Cluster 2	4,50	14,0	9,3	0,9	13,3	
02_13_A	Cluster 2	1,50	19,0	14,9	6,7	18,6	
02_13_B	Cluster 2	4,50	20,0	15,7	7,5	19,4	
02_14_A	Cluster 2	1,50	22,3	18,2	10,0	21,9	
02_14_B	Cluster 2	4,50	23,4	19,2	10,9	22,9	
02_15_A	Cluster 2	1,50	19,1	15,0	6,8	18,7	
02_15_B	Cluster 2	4,50	20,5	16,3	8,0	20,0	
02_16_A	Cluster 2	1,50	23,6	19,4	11,2	23,1	
02_16_B	Cluster 2	4,50	24,0	19,7	11,5	23,5	
02_16_C	Cluster 2	7,50	24,3	20,0	11,8	23,8	
02_16_D	Cluster 2	10,50	24,8	20,5	12,2	24,2	
02_17_A	Cluster 2	1,50	24,4	20,3	12,1	24,0	
02_17_B	Cluster 2	4,50	24,8	20,6	12,4	24,3	
02_17_C	Cluster 2	7,50	24,9	20,7	12,4	24,4	
02_17_D	Cluster 2	10,50	25,3	21,0	12,8	24,7	
02_18_A	Cluster 2	1,50	23,5	19,3	11,1	23,0	
02_18_B	Cluster 2	4,50	24,0	19,7	11,5	23,4	
02_18_C	Cluster 2	7,50	24,2	19,9	11,7	23,6	
02_18_D	Cluster 2	10,50	24,5	20,3	12,0	24,0	
02_19_A	Cluster 2	1,50	23,7	19,6	11,4	23,2	
02_19_B	Cluster 2	4,50	24,1	19,9	11,6	23,6	
02_19_C	Cluster 2	7,50	24,2	20,0	11,7	23,7	
02_19_D	Cluster 2	10,50	24,6	20,4	12,1	24,1	
02_20_A	Cluster 2	1,50	24,0	19,8	11,6	23,5	

Alle getoonde dB-waarden zijn A-gewogen

Bijlage III-6 Rekenresultaten Van Calcarstraat

Rapport: Resultatentabel
 Model: Wegverkeermodel
 LAeq totaalresultaten voor toetspunten
 Groep: Van Calcarstraat
 Groepsreductie: Nee

Naam						
Toetspunt	Omschrijving	Hoogte	Dag	Avond	Nacht	Lden
02_20_B	Cluster 2	4,50	24,4	20,2	12,0	23,9
02_20_C	Cluster 2	7,50	24,6	20,3	12,1	24,1
02_20_D	Cluster 2	10,50	25,0	20,7	12,5	24,5
02_21_A	Cluster 2	1,50	23,8	19,6	11,4	23,3
02_21_B	Cluster 2	4,50	24,5	20,2	12,0	23,9
02_21_C	Cluster 2	7,50	24,7	20,4	12,1	24,1
02_21_D	Cluster 2	10,50	25,0	20,7	12,5	24,5
02_22_A	Cluster 2	1,50	24,5	20,3	12,1	24,0
02_22_B	Cluster 2	4,50	25,2	20,9	12,7	24,7
02_22_C	Cluster 2	7,50	25,4	21,1	12,8	24,8
02_22_D	Cluster 2	10,50	25,7	21,4	13,1	25,1
02_23_A	Cluster 2	1,50	24,7	20,5	12,3	24,2
02_23_B	Cluster 2	4,50	25,4	21,1	12,8	24,8
02_23_C	Cluster 2	7,50	25,6	21,3	13,0	25,0
02_23_D	Cluster 2	10,50	26,0	21,7	13,4	25,4
02_24_A	Cluster 2	1,50	24,6	20,5	12,3	24,2
02_24_B	Cluster 2	4,50	25,5	21,2	12,9	24,9
02_24_C	Cluster 2	7,50	25,8	21,4	13,2	25,2
02_24_D	Cluster 2	10,50	26,2	21,9	13,6	25,7
02_25_A	Cluster 2	1,50	24,4	20,3	12,1	23,9
02_25_B	Cluster 2	4,50	25,2	21,0	12,8	24,7
02_25_C	Cluster 2	7,50	25,6	21,3	13,1	25,1
02_25_D	Cluster 2	10,50	26,1	21,8	13,6	25,6
02_26_A	Cluster 2	1,50	14,6	10,0	1,7	13,9
02_26_B	Cluster 2	4,50	16,1	11,4	3,0	15,4
02_26_C	Cluster 2	7,50	18,2	13,5	5,0	17,5
02_26_D	Cluster 2	10,50	21,5	16,8	8,4	20,7
02_27_A	Cluster 2	1,50	12,3	7,7	-0,6	11,6
02_27_B	Cluster 2	4,50	14,0	9,3	0,9	13,2
02_27_C	Cluster 2	7,50	16,4	11,6	3,2	15,6
02_27_D	Cluster 2	10,50	19,4	14,8	6,4	18,7
02_28_A	Cluster 2	1,50	24,1	20,0	11,9	23,7
02_28_B	Cluster 2	4,50	24,9	20,7	12,5	24,4
02_28_C	Cluster 2	7,50	25,4	21,1	12,9	24,8
02_28_D	Cluster 2	10,50	25,9	21,6	13,4	25,4
02_29_A	Cluster 2	1,50	24,3	20,3	12,1	23,9
02_29_B	Cluster 2	4,50	25,2	21,0	12,8	24,7
02_29_C	Cluster 2	7,50	25,6	21,4	13,2	25,1
02_29_D	Cluster 2	10,50	26,1	21,8	13,6	25,5
02_30_A	Cluster 2	1,50	27,0	22,9	14,8	26,6
02_30_B	Cluster 2	4,50	27,9	23,7	15,5	27,4
02_30_C	Cluster 2	7,50	28,4	24,2	15,9	27,9
02_30_D	Cluster 2	10,50	29,1	24,8	16,6	28,5
02_31_A	Cluster 2	1,50	25,6	21,6	13,4	25,2
02_31_B	Cluster 2	4,50	26,5	22,3	14,1	26,0
02_31_C	Cluster 2	7,50	27,1	22,8	14,6	26,6
02_31_D	Cluster 2	10,50	27,7	23,4	15,2	27,2
02_32_A	Cluster 2	1,50	25,7	21,7	13,5	25,3
02_32_B	Cluster 2	4,50	26,8	22,5	14,3	26,3
02_32_C	Cluster 2	7,50	27,6	23,2	15,0	27,0
02_32_D	Cluster 2	10,50	28,4	24,0	15,8	27,8
02_33_A	Cluster 2	1,50	25,1	21,0	12,9	24,7
02_33_B	Cluster 2	4,50	26,1	21,8	13,6	25,6
02_33_C	Cluster 2	7,50	26,9	22,6	14,3	26,3
02_34_A	Cluster 2	1,50	25,1	21,0	12,9	24,7
02_34_B	Cluster 2	4,50	26,1	21,9	13,6	25,6
02_34_C	Cluster 2	7,50	26,9	22,6	14,3	26,3
02_35_A	Cluster 2	1,50	23,6	19,5	11,3	23,1
02_35_B	Cluster 2	4,50	24,6	20,4	12,2	24,1
02_35_C	Cluster 2	7,50	25,5	21,2	12,9	25,0
02_36_A	Cluster 2	1,50	23,3	19,3	11,1	22,9
02_36_B	Cluster 2	4,50	24,4	20,2	11,9	23,9
02_36_C	Cluster 2	7,50	25,3	20,9	12,7	24,7
02_37_A	Cluster 2	1,50	22,2	18,1	9,9	21,7
02_37_B	Cluster 2	4,50	23,1	18,8	10,6	22,6
02_37_C	Cluster 2	7,50	24,1	19,7	11,4	23,5
02_38_A	Cluster 2	1,50	22,5	18,4	10,2	22,0
02_38_B	Cluster 2	4,50	23,5	19,3	11,0	23,0
02_38_C	Cluster 2	7,50	24,5	20,1	11,9	23,9
02_39_A	Cluster 2	1,50	21,8	17,7	9,6	21,4
02_39_B	Cluster 2	4,50	23,3	19,1	10,9	22,8
02_39_C	Cluster 2	7,50	24,3	20,0	11,7	23,7
02_40_A	Cluster 2	1,50	22,0	17,9	9,7	21,5
02_40_B	Cluster 2	4,50	23,5	19,3	11,1	23,0

Alle getoonde dB-waarden zijn A-gewogen

Bijlage III-6 Rekenresultaten Van Calcarstraat

Rapport: Resultatentabel
 Model: Wegverkeermodel
 LAeq totaalresultaten voor toetspunten
 Groep: Van Calcarstraat
 Groepsreductie: Nee

Naam						
Toetspunt	Omschrijving	Hoogte	Dag	Avond	Nacht	Lden
02_40_C	Cluster 2	7,50	24,5	20,1	11,9	23,9
02_41_A	Cluster 2	1,50	13,7	9,2	0,9	13,0
02_41_B	Cluster 2	4,50	14,6	10,0	1,6	13,9
02_41_C	Cluster 2	7,50	17,5	12,8	4,4	16,8
02_42_A	Cluster 2	1,50	17,2	12,6	4,2	16,5
02_42_B	Cluster 2	4,50	16,4	11,7	3,3	15,7
02_42_C	Cluster 2	7,50	19,9	15,3	6,9	19,2
02_43_A	Cluster 2	1,50	21,1	17,0	8,9	20,7
02_43_B	Cluster 2	4,50	22,1	17,9	9,7	21,6
02_43_C	Cluster 2	7,50	23,0	18,6	10,4	22,4
02_44_A	Cluster 2	1,50	18,9	14,8	6,6	18,4
02_44_B	Cluster 2	4,50	20,0	15,7	7,5	19,5
02_45_A	Cluster 2	1,50	15,3	10,8	2,5	14,6
02_45_B	Cluster 2	4,50	16,8	12,1	3,8	16,1
02_46_A	Cluster 2	1,50	12,5	7,9	-0,4	11,8
02_46_B	Cluster 2	4,50	13,9	9,2	0,9	13,2
02_47_A	Cluster 2	1,50	12,6	8,1	-0,3	11,9
02_47_B	Cluster 2	4,50	14,0	9,3	0,9	13,2
02_48_A	Cluster 2	1,50	12,9	8,3	0,0	12,2
02_48_B	Cluster 2	4,50	14,3	9,6	1,2	13,5
02_48_C	Cluster 2	7,50	15,7	10,9	2,5	14,9
02_49_A	Cluster 2	1,50	12,7	8,2	-0,1	12,1
02_49_B	Cluster 2	4,50	14,2	9,5	1,2	13,5
02_49_C	Cluster 2	7,50	15,2	10,4	2,0	14,4
02_50_A	Cluster 2	1,50	12,5	8,0	-0,4	11,8
02_50_B	Cluster 2	4,50	13,9	9,2	0,8	13,2
02_50_C	Cluster 2	7,50	14,7	9,9	1,5	13,9
02_51_A	Cluster 2	1,50	12,7	8,2	-0,1	12,1
02_51_B	Cluster 2	4,50	14,1	9,4	1,1	13,4
02_51_C	Cluster 2	7,50	14,9	10,1	1,7	14,1
02_52_A	Cluster 2	1,50	13,0	8,4	0,1	12,3
02_52_B	Cluster 2	4,50	14,2	9,5	1,1	13,4
02_52_C	Cluster 2	7,50	14,8	10,1	1,7	14,1
02_53_A	Cluster 2	1,50	13,1	8,6	0,2	12,4
02_53_B	Cluster 2	4,50	14,1	9,4	1,0	13,3
02_53_C	Cluster 2	7,50	14,7	9,9	1,5	13,9
02_54_A	Cluster 2	1,50	12,6	8,0	-0,3	11,9
02_54_B	Cluster 2	4,50	13,8	9,1	0,7	13,1
02_54_C	Cluster 2	7,50	14,4	9,7	1,2	13,7
02_55_A	Cluster 2	1,50	12,8	8,2	-0,1	12,1
02_55_B	Cluster 2	4,50	13,9	9,2	0,8	13,1
02_55_C	Cluster 2	7,50	14,4	9,6	1,2	13,6
02_56_A	Cluster 2	1,50	12,3	7,7	-0,6	11,6
02_56_B	Cluster 2	4,50	13,3	8,6	0,2	12,6
02_56_C	Cluster 2	7,50	13,8	9,0	0,6	13,0
02_57_A	Cluster 2	1,50	12,0	7,5	-0,9	11,3
02_57_B	Cluster 2	4,50	13,1	8,4	0,1	12,4
02_57_C	Cluster 2	7,50	13,7	8,9	0,5	12,9
02_58_A	Cluster 2	1,50	12,3	7,8	-0,6	11,6
02_58_B	Cluster 2	4,50	13,5	8,8	0,4	12,7
02_58_C	Cluster 2	7,50	14,1	9,3	0,9	13,3
02_59_A	Cluster 2	1,50	11,9	7,3	-1,0	11,2
02_59_B	Cluster 2	4,50	13,3	8,6	0,2	12,6
02_59_C	Cluster 2	7,50	14,4	9,7	1,3	13,6
02_60_A	Cluster 2	1,50	14,3	9,7	1,3	13,6
02_60_B	Cluster 2	4,50	15,7	11,0	2,6	14,9
02_60_C	Cluster 2	7,50	16,4	11,6	3,2	15,6
02_61_A	Cluster 2	1,50	15,0	10,3	2,0	14,3
02_61_B	Cluster 2	4,50	16,2	11,5	3,1	15,4
02_61_C	Cluster 2	7,50	16,8	12,0	3,6	16,1
02_62_A	Cluster 2	1,50	16,1	11,5	3,1	15,4
02_62_B	Cluster 2	4,50	17,4	12,7	4,3	16,7
02_62_C	Cluster 2	7,50	18,5	13,8	5,4	17,7
02_63_A	Cluster 2	1,50	16,0	11,4	3,0	15,3
02_63_B	Cluster 2	4,50	17,1	12,4	4,0	16,4
02_63_C	Cluster 2	7,50	17,8	13,1	4,6	17,0
02_64_A	Cluster 2	1,50	16,5	11,8	3,4	15,8
02_64_B	Cluster 2	4,50	17,5	12,7	4,3	16,7
02_64_C	Cluster 2	7,50	18,5	13,7	5,3	17,7
02_65_A	Cluster 2	1,50	15,8	11,1	2,7	15,1
02_65_B	Cluster 2	4,50	17,0	12,2	3,8	16,2
02_65_C	Cluster 2	7,50	17,8	13,0	4,6	17,0
02_66_A	Cluster 2	1,50	16,3	11,6	3,2	15,5
02_66_B	Cluster 2	4,50	17,4	12,7	4,3	16,7

Alle getoonde dB-waarden zijn A-gewogen

Bijlage III-6 Rekenresultaten Van Calcarstraat

Rapport: Resultatentabel
 Model: Wegverkeermodel
 LAeq totaalresultaten voor toetspunten
 Groep: Van Calcarstraat
 Groepsreductie: Nee

Naam						
Toetspunt	Omschrijving	Hoogte	Dag	Avond	Nacht	Lden
02_66_C	Cluster 2	7,50	18,6	13,9	5,5	17,8
02_67_A	Cluster 2	1,50	16,5	11,8	3,4	15,8
02_67_B	Cluster 2	4,50	17,6	12,9	4,5	16,8
02_67_C	Cluster 2	7,50	18,9	14,2	5,8	18,1
02_68_A	Cluster 2	1,50	16,1	11,4	3,0	15,3
02_68_B	Cluster 2	4,50	17,0	12,3	3,9	16,3
02_68_C	Cluster 2	7,50	18,2	13,5	5,1	17,5
02_69_A	Cluster 2	1,50	13,9	9,3	0,9	13,2
02_69_B	Cluster 2	4,50	15,3	10,7	2,3	14,6
02_69_C	Cluster 2	7,50	17,7	13,0	4,6	16,9
02_70_A	Cluster 2	1,50	15,6	10,9	2,5	14,9
02_70_B	Cluster 2	4,50	16,7	12,0	3,6	15,9
02_70_C	Cluster 2	7,50	17,9	13,2	4,8	17,2
02_71_A	Cluster 2	1,50	14,0	9,3	1,0	13,3
02_71_B	Cluster 2	4,50	15,2	10,5	2,1	14,4
02_72_A	Cluster 2	1,50	13,3	8,6	0,2	12,5
02_72_B	Cluster 2	4,50	14,5	9,8	1,4	13,8
02_73_A	Cluster 2	1,50	12,6	8,0	-0,4	11,9
02_73_B	Cluster 2	4,50	13,6	8,9	0,5	12,8
02_73_C	Cluster 2	7,50	13,2	8,4	0,0	12,4
02_73_D	Cluster 2	10,50	16,0	11,3	2,8	15,2
02_74_A	Cluster 2	1,50	15,7	11,1	2,7	15,0
02_74_B	Cluster 2	4,50	16,7	12,0	3,6	15,9
02_74_C	Cluster 2	7,50	17,2	12,5	4,1	16,5
02_74_D	Cluster 2	10,50	18,1	13,5	5,2	17,4
02_75_A	Cluster 2	1,50	16,0	11,3	3,0	15,3
02_75_B	Cluster 2	4,50	16,5	11,8	3,4	15,8
02_75_C	Cluster 2	7,50	17,3	12,5	4,1	16,5
02_75_D	Cluster 2	10,50	17,0	12,3	3,9	16,2
02_76_A	Cluster 2	1,50	15,9	11,2	2,9	15,2
02_76_B	Cluster 2	4,50	16,7	12,0	3,6	15,9
02_76_C	Cluster 2	7,50	17,4	12,7	4,3	16,7
02_76_D	Cluster 2	10,50	17,2	12,5	4,1	16,5
02_77_A	Cluster 2	1,50	15,9	11,2	2,9	15,1
02_77_B	Cluster 2	4,50	16,7	12,0	3,6	15,9
02_77_C	Cluster 2	7,50	17,4	12,7	4,3	16,7
02_77_D	Cluster 2	10,50	18,3	13,8	5,5	17,6
02_78_A	Cluster 2	1,50	16,3	11,6	3,3	15,6
02_78_B	Cluster 2	4,50	17,0	12,2	3,9	16,2
02_78_C	Cluster 2	7,50	17,8	13,0	4,6	17,0
02_78_D	Cluster 2	10,50	18,7	14,2	5,8	18,1
02_79_A	Cluster 2	1,50	16,2	11,6	3,3	15,5
02_79_B	Cluster 2	4,50	17,0	12,3	3,9	16,3
02_79_C	Cluster 2	7,50	17,9	13,1	4,7	17,1
02_79_D	Cluster 2	10,50	18,2	13,4	5,1	17,4
02_80_A	Cluster 2	1,50	16,4	11,7	3,4	15,6
02_80_B	Cluster 2	4,50	17,1	12,4	4,1	16,4
02_80_C	Cluster 2	7,50	18,3	13,5	5,1	17,5
02_80_D	Cluster 2	10,50	18,5	13,8	5,4	17,8
02_81_A	Cluster 2	1,50	16,5	11,9	3,5	15,8
02_81_B	Cluster 2	4,50	17,5	12,8	4,4	16,7
02_81_C	Cluster 2	7,50	19,0	14,3	6,0	18,3
02_81_D	Cluster 2	10,50	19,7	15,2	6,8	19,0
02_82_A	Cluster 2	1,50	16,2	11,6	3,3	15,5
02_82_B	Cluster 2	4,50	17,3	12,7	4,3	16,6
02_82_C	Cluster 2	7,50	18,6	13,9	5,5	17,8
02_82_D	Cluster 2	10,50	19,2	14,5	6,1	18,5
02_83_A	Cluster 2	1,50	15,9	11,3	3,0	15,2
02_83_B	Cluster 2	4,50	17,3	12,6	4,2	16,5
02_83_C	Cluster 2	7,50	18,7	14,0	5,6	18,0
02_83_D	Cluster 2	10,50	19,5	14,8	6,4	18,7
02_84_A	Cluster 2	1,50	16,3	11,8	3,5	15,7
02_84_B	Cluster 2	4,50	17,8	13,1	4,7	17,0
02_84_C	Cluster 2	7,50	20,4	15,6	7,3	19,6
02_84_D	Cluster 2	10,50	22,4	17,7	9,4	21,7
02_85_A	Cluster 2	1,50	15,0	10,4	2,1	14,3
02_85_B	Cluster 2	4,50	16,3	11,7	3,3	15,6
02_85_C	Cluster 2	7,50	20,1	15,3	6,9	19,3
02_85_D	Cluster 2	10,50	22,0	17,3	9,0	21,2
02_86_A	Cluster 2	1,50	15,2	10,6	2,2	14,5
02_86_B	Cluster 2	4,50	14,0	9,2	0,9	13,2
02_86_C	Cluster 2	7,50	16,3	11,6	3,2	15,6
02_87_A	Cluster 2	1,50	15,3	10,6	2,2	14,5
02_87_B	Cluster 2	4,50	14,3	9,6	1,2	13,6

Alle getoonde dB-waarden zijn A-gewogen

Bijlage III-6 Rekenresultaten Van Calcarstraat

Rapport: Resultatentabel
 Model: Wegverkeermodel
 LAeq totaalresultaten voor toetspunten
 Groep: Van Calcarstraat
 Groepsreductie: Nee

Naam							
Toetspunt	Omschrijving	Hoogte	Dag	Avond	Nacht	Lden	
02_87_C	Cluster 2	7,50	15,2	10,5	2,1	14,5	
02_88_A	Cluster 2	1,50	12,7	8,1	-0,3	12,0	
02_88_B	Cluster 2	4,50	14,4	9,7	1,3	13,7	
02_88_C	Cluster 2	7,50	18,7	14,0	5,7	18,0	
02_89_A	Cluster 2	1,50	15,7	11,0	2,6	15,0	
02_89_B	Cluster 2	4,50	14,7	10,0	1,6	13,9	
02_89_C	Cluster 2	7,50	15,6	10,8	2,4	14,8	
02_90_A	Cluster 2	1,50	16,2	11,4	3,0	15,4	
02_90_B	Cluster 2	4,50	15,4	10,7	2,3	14,7	
02_90_C	Cluster 2	7,50	16,7	12,0	3,6	15,9	
02_91_A	Cluster 2	1,50	15,5	10,8	2,4	14,7	
02_91_B	Cluster 2	4,50	15,5	10,8	2,4	14,8	
02_91_C	Cluster 2	7,50	17,2	12,5	4,2	16,4	
02_92_A	Cluster 2	1,50	16,3	11,6	3,2	15,6	
02_92_B	Cluster 2	4,50	15,3	10,6	2,2	14,5	
02_92_C	Cluster 2	7,50	16,8	12,1	3,8	16,0	
02_93_A	Cluster 2	1,50	16,2	11,5	3,2	15,5	
02_93_B	Cluster 2	4,50	15,7	11,0	2,6	15,0	
02_93_C	Cluster 2	7,50	17,4	12,8	4,4	16,7	
02_94_A	Cluster 2	1,50	17,1	12,4	4,1	16,4	
02_94_B	Cluster 2	4,50	15,6	10,9	2,5	14,9	
02_94_C	Cluster 2	7,50	17,6	13,1	4,8	17,0	
02_95_A	Cluster 2	1,50	16,6	11,9	3,6	15,9	
02_95_B	Cluster 2	4,50	15,3	10,6	2,2	14,5	
02_95_C	Cluster 2	7,50	17,7	13,2	4,9	17,1	
02_96_A	Cluster 2	1,50	15,6	10,9	2,6	14,8	
02_96_B	Cluster 2	4,50	16,0	11,3	2,9	15,2	
02_97_A	Cluster 2	1,50	15,3	10,7	2,4	14,6	
02_97_B	Cluster 2	4,50	16,1	11,4	3,1	15,4	
02_98_A	Cluster 2	1,50	15,3	10,7	2,4	14,6	
02_98_B	Cluster 2	4,50	16,6	11,9	3,5	15,9	
02_98_C	Cluster 2	7,50	19,1	14,4	6,0	18,4	
02_99_A	Cluster 2	1,50	16,5	11,8	3,5	15,8	
02_99_B	Cluster 2	4,50	17,4	12,7	4,3	16,6	
02_99_C	Cluster 2	7,50	19,6	15,0	6,7	18,9	
03_01_A	Cluster 3	1,50	18,5	13,9	5,5	17,8	
03_01_B	Cluster 3	4,50	19,8	15,1	6,7	19,1	
03_01_C	Cluster 3	7,50	21,0	16,3	7,9	20,3	
03_02_A	Cluster 3	1,50	17,3	12,6	4,3	16,6	
03_02_B	Cluster 3	4,50	18,0	13,3	4,9	17,2	
03_02_C	Cluster 3	7,50	18,4	13,6	5,2	17,7	
03_03_A	Cluster 3	1,50	17,1	12,4	4,1	16,3	
03_03_B	Cluster 3	4,50	17,9	13,2	4,8	17,2	
03_03_C	Cluster 3	7,50	18,5	13,7	5,2	17,7	
03_04_A	Cluster 3	1,50	16,7	12,1	3,7	16,0	
03_04_B	Cluster 3	4,50	17,4	12,7	4,3	16,6	
03_04_C	Cluster 3	7,50	17,9	13,1	4,7	17,1	
03_05_A	Cluster 3	1,50	16,0	11,4	3,0	15,3	
03_05_B	Cluster 3	4,50	16,8	12,1	3,7	16,1	
03_06_A	Cluster 3	1,50	16,0	11,4	3,0	15,3	
03_06_B	Cluster 3	4,50	16,7	11,9	3,5	15,9	
03_07_A	Cluster 3	1,50	13,4	8,8	0,5	12,7	
03_07_B	Cluster 3	4,50	14,0	9,3	0,9	13,3	
03_08_A	Cluster 3	1,50	14,0	9,4	1,1	13,3	
03_08_B	Cluster 3	4,50	14,4	9,7	1,3	13,6	
03_09_A	Cluster 3	1,50	13,7	9,1	0,7	13,0	
03_09_B	Cluster 3	4,50	13,8	9,1	0,7	13,1	
03_09_C	Cluster 3	7,50	14,5	9,7	1,3	13,7	
03_10_A	Cluster 3	1,50	14,2	9,6	1,3	13,5	
03_10_B	Cluster 3	4,50	14,0	9,2	0,8	13,2	
03_10_C	Cluster 3	7,50	14,6	9,8	1,4	13,8	
03_11_A	Cluster 3	1,50	13,8	9,1	0,8	13,0	
03_11_B	Cluster 3	4,50	14,1	9,3	0,9	13,3	
03_11_C	Cluster 3	7,50	14,7	9,9	1,4	13,9	
03_12_A	Cluster 3	1,50	13,7	9,1	0,7	13,0	
03_12_B	Cluster 3	4,50	13,9	9,2	0,8	13,2	
03_12_C	Cluster 3	7,50	14,6	9,9	1,4	13,9	
03_13_A	Cluster 3	1,50	14,2	9,6	1,2	13,5	
03_13_B	Cluster 3	4,50	14,4	9,7	1,3	13,7	
03_13_C	Cluster 3	7,50	15,0	10,2	1,7	14,2	
03_14_A	Cluster 3	1,50	14,2	9,5	1,2	13,5	
03_14_B	Cluster 3	4,50	14,3	9,5	1,1	13,5	
03_14_C	Cluster 3	7,50	14,8	10,0	1,6	14,0	
03_15_A	Cluster 3	1,50	14,0	9,4	1,0	13,3	

Alle getoonde dB-waarden zijn A-gewogen

Bijlage III-6 Rekenresultaten Van Calcarstraat

Rapport: Resultatentabel
 Model: Wegverkeermodel
 LAeq totaalresultaten voor toetspunten
 Groep: Van Calcarstraat
 Groepsreductie: Nee

Naam	Toetspunt	Omschrijving	Hoogte	Dag	Avond	Nacht	Lden
	03_15_B	Cluster 3	4,50	14,0	9,3	0,9	13,3
	03_15_C	Cluster 3	7,50	14,5	9,8	1,3	13,7
	03_16_A	Cluster 3	1,50	13,9	9,3	1,0	13,2
	03_16_B	Cluster 3	4,50	13,9	9,2	0,8	13,1
	03_16_C	Cluster 3	7,50	14,4	9,6	1,2	13,6
	03_17_A	Cluster 3	1,50	14,0	9,3	1,0	13,2
	03_17_B	Cluster 3	4,50	13,6	8,9	0,5	12,9
	03_17_C	Cluster 3	7,50	14,2	9,5	1,1	13,5
	03_18_A	Cluster 3	1,50	13,8	9,2	0,9	13,1
	03_18_B	Cluster 3	4,50	14,0	9,3	0,9	13,3
	03_18_C	Cluster 3	7,50	14,9	10,1	1,7	14,1
	03_19_A	Cluster 3	1,50	14,2	9,5	1,2	13,5
	03_19_B	Cluster 3	4,50	14,1	9,4	1,0	13,4
	03_19_C	Cluster 3	7,50	14,8	10,0	1,6	14,0
	03_20_A	Cluster 3	1,50	13,9	9,3	0,9	13,2
	03_20_B	Cluster 3	4,50	14,0	9,3	0,9	13,3
	03_20_C	Cluster 3	7,50	14,6	9,8	1,4	13,9
	03_21_A	Cluster 3	1,50	16,2	11,6	3,3	15,5
	03_21_B	Cluster 3	4,50	17,3	12,6	4,2	16,6
	03_21_C	Cluster 3	7,50	18,6	13,8	5,4	17,8
	03_22_A	Cluster 3	1,50	16,6	12,0	3,7	15,9
	03_22_B	Cluster 3	4,50	17,9	13,3	4,9	17,2
	03_22_C	Cluster 3	7,50	19,5	14,8	6,4	18,8
	03_23_A	Cluster 3	1,50	16,4	11,8	3,5	15,7
	03_23_B	Cluster 3	4,50	17,6	12,9	4,5	16,9
	03_23_C	Cluster 3	7,50	18,8	14,1	5,7	18,1
	03_24_A	Cluster 3	1,50	16,5	11,9	3,6	15,8
	03_24_B	Cluster 3	4,50	17,7	13,0	4,6	16,9
	03_24_C	Cluster 3	7,50	18,9	14,2	5,8	18,1
	03_25_A	Cluster 3	1,50	16,3	11,8	3,4	15,6
	03_25_B	Cluster 3	4,50	17,4	12,7	4,4	16,7
	03_25_C	Cluster 3	7,50	18,9	14,2	5,8	18,1
	03_26_A	Cluster 3	1,50	16,6	12,0	3,7	15,9
	03_26_B	Cluster 3	4,50	17,7	13,0	4,7	17,0
	03_26_C	Cluster 3	7,50	19,3	14,6	6,2	18,5
	03_27_A	Cluster 3	1,50	16,4	11,8	3,5	15,7
	03_27_B	Cluster 3	4,50	17,6	12,9	4,5	16,9
	03_27_C	Cluster 3	7,50	19,2	14,5	6,1	18,4
	03_28_A	Cluster 3	1,50	16,5	12,0	3,6	15,9
	03_28_B	Cluster 3	4,50	17,9	13,2	4,8	17,2
	03_28_C	Cluster 3	7,50	19,6	14,9	6,5	18,9
	03_29_A	Cluster 3	1,50	16,1	11,6	3,2	15,5
	03_29_B	Cluster 3	4,50	17,6	13,0	4,6	16,9
	03_29_C	Cluster 3	7,50	20,3	15,6	7,2	19,5
	03_30_A	Cluster 3	1,50	16,8	12,2	3,9	16,1
	03_30_B	Cluster 3	4,50	18,2	13,6	5,2	17,5
	03_30_C	Cluster 3	7,50	20,3	15,5	7,1	19,5
	03_31_A	Cluster 3	1,50	18,6	14,0	5,6	17,9
	03_31_B	Cluster 3	4,50	20,1	15,4	7,0	19,3
	03_31_C	Cluster 3	7,50	22,0	17,3	8,8	21,2
	03_32_A	Cluster 3	1,50	19,0	14,4	6,0	18,3
	03_32_B	Cluster 3	4,50	19,4	14,7	6,3	18,7
	03_32_C	Cluster 3	7,50	20,8	16,1	7,7	20,1
	03_33_A	Cluster 3	1,50	19,0	14,4	6,1	18,3
	03_33_B	Cluster 3	4,50	20,1	15,5	7,1	19,4
	03_33_C	Cluster 3	7,50	21,9	17,1	8,7	21,1
	03_34_A	Cluster 3	1,50	19,0	14,4	6,1	18,3
	03_34_B	Cluster 3	4,50	20,1	15,4	7,0	19,3
	03_34_C	Cluster 3	7,50	21,7	16,9	8,5	20,9
	03_35_A	Cluster 3	1,50	18,3	13,7	5,4	17,6
	03_35_B	Cluster 3	4,50	19,4	14,7	6,3	18,7
	03_35_C	Cluster 3	7,50	21,0	16,2	7,8	20,2
	03_36_A	Cluster 3	1,50	17,9	13,3	4,9	17,2
	03_36_B	Cluster 3	4,50	19,1	14,5	6,1	18,4
	03_36_C	Cluster 3	7,50	20,8	16,0	7,6	20,0
	03_37_A	Cluster 3	1,50	17,7	13,1	4,7	17,0
	03_37_B	Cluster 3	4,50	18,7	14,1	5,7	18,0
	03_37_C	Cluster 3	7,50	20,5	15,8	7,3	19,7
	03_38_A	Cluster 3	1,50	17,9	13,3	5,0	17,2
	03_38_B	Cluster 3	4,50	19,1	14,4	6,0	18,4
	03_38_C	Cluster 3	7,50	20,8	16,1	7,7	20,1
	03_39_A	Cluster 3	1,50	20,4	16,1	7,8	19,9
	03_39_B	Cluster 3	4,50	21,6	17,2	8,9	21,0
	03_39_C	Cluster 3	7,50	22,6	18,1	9,8	22,0

Alle getoonde dB-waarden zijn A-gewogen

Bijlage III-6 Rekenresultaten Van Calcarstraat

Rapport: Resultatentabel
 Model: Wegverkeermodel
 LAeq totaalresultaten voor toetspunten
 Groep: Van Calcarstraat
 Groepsreductie: Nee

Naam	Toetspunt	Omschrijving	Hoogte	Dag	Avond	Nacht	Lden
	03_40_A	Cluster 3	1,50	21,6	17,2	9,0	21,0
	03_40_B	Cluster 3	4,50	22,4	18,0	9,7	21,8
	03_40_C	Cluster 3	7,50	23,2	18,7	10,4	22,5
	03_41_A	Cluster 3	1,50	20,2	15,8	7,5	19,6
	03_41_B	Cluster 3	4,50	21,4	17,0	8,7	20,8
	03_41_C	Cluster 3	7,50	22,3	17,9	9,6	21,7
	03_42_A	Cluster 3	1,50	19,8	15,3	7,0	19,2
	03_42_B	Cluster 3	4,50	21,0	16,5	8,2	20,4
	03_42_C	Cluster 3	7,50	22,0	17,5	9,1	21,3
	03_43_A	Cluster 3	1,50	16,2	11,5	3,2	15,5
	03_43_B	Cluster 3	4,50	17,7	13,0	4,6	17,0
	03_43_C	Cluster 3	7,50	18,1	13,4	4,9	17,3
	03_44_A	Cluster 3	1,50	15,9	11,3	2,9	15,2
	03_44_B	Cluster 3	4,50	17,1	12,4	4,0	16,3
	03_44_C	Cluster 3	7,50	17,5	12,7	4,3	16,7
	03_45_A	Cluster 3	1,50	16,7	12,1	3,7	16,0
	03_45_B	Cluster 3	4,50	18,0	13,3	4,9	17,2
	03_45_C	Cluster 3	7,50	18,9	14,2	5,8	18,1
	03_46_A	Cluster 3	1,50	17,1	12,4	4,1	16,3
	03_46_B	Cluster 3	4,50	18,0	13,3	4,8	17,2
	03_46_C	Cluster 3	7,50	18,5	13,8	5,3	17,8
	03_47_A	Cluster 3	1,50	15,4	10,8	2,4	14,7
	03_47_B	Cluster 3	4,50	17,1	12,3	3,9	16,3
	03_47_C	Cluster 3	7,50	17,6	12,8	4,4	16,8
	03_48_A	Cluster 3	1,50	18,3	13,7	5,3	17,6
	03_48_B	Cluster 3	4,50	18,9	14,2	5,8	18,2
	03_48_C	Cluster 3	7,50	19,8	15,0	6,6	19,0
	03_49_A	Cluster 3	1,50	18,4	13,8	5,5	17,7
	03_49_B	Cluster 3	4,50	19,0	14,3	5,9	18,2
	03_49_C	Cluster 3	7,50	19,9	15,1	6,7	19,1
	03_50_A	Cluster 3	1,50	17,1	12,5	4,1	16,4
	03_50_B	Cluster 3	4,50	18,8	14,1	5,7	18,0
	03_50_C	Cluster 3	7,50	19,3	14,6	6,1	18,6
	03_51_A	Cluster 3	1,50	17,6	13,0	4,7	16,9
	03_51_B	Cluster 3	4,50	19,1	14,4	6,0	18,4
	03_52_A	Cluster 3	1,50	17,5	12,9	4,5	16,8
	03_52_B	Cluster 3	4,50	19,1	14,4	6,0	18,4
	03_53_A	Cluster 3	1,50	17,2	12,6	4,3	16,5
	03_53_B	Cluster 3	4,50	18,8	14,1	5,7	18,0
	03_53_C	Cluster 3	7,50	20,5	15,7	7,3	19,7
	03_54_A	Cluster 3	1,50	15,0	10,4	2,1	14,3
	03_54_B	Cluster 3	4,50	16,5	11,8	3,4	15,8
	03_54_C	Cluster 3	7,50	18,2	13,6	5,2	17,5
	03_55_A	Cluster 3	1,50	18,3	13,7	5,3	17,6
	03_55_B	Cluster 3	4,50	19,6	14,9	6,5	18,9
	03_55_C	Cluster 3	7,50	20,7	15,9	7,5	19,9
	03_56_A	Cluster 3	1,50	18,5	13,9	5,5	17,8
	03_56_B	Cluster 3	4,50	19,7	14,9	6,5	18,9
	03_56_C	Cluster 3	7,50	20,6	15,8	7,4	19,8
	03_57_A	Cluster 3	1,50	18,7	14,1	5,7	18,0
	03_57_B	Cluster 3	4,50	19,4	14,7	6,3	18,7
	03_57_C	Cluster 3	7,50	20,3	15,5	7,1	19,5
	03_58_A	Cluster 3	1,50	18,0	13,4	5,1	17,3
	03_58_B	Cluster 3	4,50	19,1	14,4	6,0	18,4
	03_58_C	Cluster 3	7,50	20,0	15,3	6,8	19,3
	03_59_A	Cluster 3	1,50	18,4	13,8	5,4	17,7
	03_59_B	Cluster 3	4,50	19,3	14,5	6,2	18,5
	03_59_C	Cluster 3	7,50	20,2	15,4	7,0	19,4
	03_60_A	Cluster 3	1,50	17,7	13,1	4,7	17,0
	03_60_B	Cluster 3	4,50	18,6	13,9	5,5	17,9
	03_60_C	Cluster 3	7,50	19,5	14,8	6,3	18,8
	03_61_A	Cluster 3	1,50	18,3	13,7	5,3	17,6
	03_61_B	Cluster 3	4,50	19,3	14,5	6,2	18,5
	03_61_C	Cluster 3	7,50	20,2	15,4	7,0	19,4
	03_62_A	Cluster 3	1,50	17,5	12,9	4,5	16,8
	03_62_B	Cluster 3	4,50	18,3	13,6	5,3	17,6
	03_62_C	Cluster 3	7,50	19,4	14,6	6,2	18,6
	03_63_A	Cluster 3	1,50	16,8	12,2	3,9	16,1
	03_63_B	Cluster 3	4,50	17,5	12,8	4,5	16,8
	03_63_C	Cluster 3	7,50	19,1	14,3	5,9	18,3
	03_64_A	Cluster 3	1,50	16,7	12,1	3,8	16,0
	03_64_B	Cluster 3	4,50	17,7	13,0	4,7	17,0
	03_64_C	Cluster 3	7,50	19,1	14,3	5,9	18,3
	03_65_A	Cluster 3	1,50	14,9	10,3	2,0	14,2

Alle getoonde dB-waarden zijn A-gewogen

Bijlage III-6 Rekenresultaten Van Calcarstraat

Rapport: Resultatentabel
 Model: Wegverkeermodel
 LAeq totaalresultaten voor toetspunten
 Groep: Van Calcarstraat
 Groepsreductie: Nee

Naam						
Toetspunt	Omschrijving	Hoogte	Dag	Avond	Nacht	Lden
03_65_B	Cluster 3	4,50	15,9	11,2	2,8	15,2
03_65_C	Cluster 3	7,50	16,5	11,8	3,4	15,8
03_66_A	Cluster 3	1,50	13,9	9,4	1,0	13,3
03_66_B	Cluster 3	4,50	15,1	10,4	2,0	14,4
03_66_C	Cluster 3	7,50	16,4	11,6	3,2	15,6
03_67_A	Cluster 3	1,50	13,7	9,1	0,8	13,0
03_67_B	Cluster 3	4,50	15,4	10,7	2,3	14,7
03_67_C	Cluster 3	7,50	17,2	12,4	4,0	16,4
03_68_A	Cluster 3	1,50	16,6	12,0	3,7	15,9
03_68_B	Cluster 3	4,50	16,9	12,2	3,8	16,2
03_68_C	Cluster 3	7,50	17,9	13,3	4,9	17,2
03_69_A	Cluster 3	1,50	16,7	12,1	3,7	16,0
03_69_B	Cluster 3	4,50	17,0	12,3	3,9	16,3
03_69_C	Cluster 3	7,50	17,7	12,9	4,5	16,9
03_70_A	Cluster 3	1,50	16,6	12,0	3,7	15,9
03_70_B	Cluster 3	4,50	16,9	12,2	3,8	16,2
03_70_C	Cluster 3	7,50	17,6	12,8	4,4	16,8
03_71_A	Cluster 3	1,50	16,7	12,2	3,8	16,1
03_71_B	Cluster 3	4,50	17,2	12,5	4,1	16,5
03_71_C	Cluster 3	7,50	18,2	13,4	5,0	17,4
03_72_A	Cluster 3	1,50	16,4	11,8	3,4	15,7
03_72_B	Cluster 3	4,50	16,7	12,0	3,6	15,9
03_72_C	Cluster 3	7,50	17,8	13,1	4,7	17,1
03_73_A	Cluster 3	1,50	16,0	11,5	3,1	15,4
03_73_B	Cluster 3	4,50	16,4	11,7	3,3	15,6
03_73_C	Cluster 3	7,50	17,8	13,1	4,7	17,1
03_74_A	Cluster 3	1,50	15,7	11,1	2,7	15,0
03_74_B	Cluster 3	4,50	16,4	11,7	3,3	15,6
03_74_C	Cluster 3	7,50	18,0	13,3	4,9	17,3
03_75_A	Cluster 3	1,50	16,7	12,1	3,7	16,0
03_75_B	Cluster 3	4,50	15,9	11,2	2,8	15,2
03_75_C	Cluster 3	7,50	16,5	11,8	3,4	15,8
03_76_A	Cluster 3	1,50	16,3	11,7	3,4	15,6
03_76_B	Cluster 3	4,50	15,6	10,9	2,5	14,8
03_76_C	Cluster 3	7,50	16,2	11,4	3,0	15,4
03_77_A	Cluster 3	1,50	17,1	12,5	4,1	16,4
03_77_B	Cluster 3	4,50	15,9	11,2	2,8	15,1
03_77_C	Cluster 3	7,50	16,6	11,9	3,4	15,8
03_78_A	Cluster 3	1,50	16,4	11,8	3,4	15,7
03_78_B	Cluster 3	4,50	15,5	10,8	2,4	14,8
03_78_C	Cluster 3	7,50	16,1	11,3	2,9	15,3
03_79_A	Cluster 3	1,50	16,8	12,1	3,8	16,0
03_79_B	Cluster 3	4,50	15,3	10,6	2,2	14,5
03_79_C	Cluster 3	7,50	15,7	11,0	2,5	15,0
03_80_A	Cluster 3	1,50	16,3	11,7	3,3	15,6
03_80_B	Cluster 3	4,50	15,5	10,7	2,3	14,7
03_80_C	Cluster 3	7,50	16,0	11,3	2,9	15,3
03_81_A	Cluster 3	1,50	17,1	12,4	4,1	16,4
03_81_B	Cluster 3	4,50	15,6	10,9	2,5	14,9
03_81_C	Cluster 3	7,50	16,2	11,4	3,0	15,4
03_82_A	Cluster 3	1,50	16,7	12,1	3,8	16,0
03_82_B	Cluster 3	4,50	15,1	10,4	2,0	14,4
03_82_C	Cluster 3	7,50	15,9	11,1	2,7	15,1
03_83_A	Cluster 3	1,50	16,2	11,6	3,2	15,5
03_83_B	Cluster 3	4,50	15,3	10,5	2,1	14,5
03_83_C	Cluster 3	7,50	16,2	11,4	3,0	15,4
03_84_A	Cluster 3	1,50	17,6	13,0	4,7	17,0
03_84_B	Cluster 3	4,50	19,1	14,4	6,1	18,4
03_84_C	Cluster 3	7,50	20,6	15,8	7,4	19,8
03_85_A	Cluster 3	1,50	17,5	13,0	4,6	16,8
03_85_B	Cluster 3	4,50	19,3	14,6	6,3	18,6
03_85_C	Cluster 3	7,50	21,0	16,2	7,8	20,2
03_86_A	Cluster 3	1,50	17,5	12,9	4,6	16,8
03_86_B	Cluster 3	4,50	19,3	14,6	6,2	18,5
03_86_C	Cluster 3	7,50	22,0	17,2	8,8	21,2
03_87_A	Cluster 3	1,50	18,7	14,1	5,7	18,0
03_87_B	Cluster 3	4,50	19,2	14,5	6,1	18,4
03_87_C	Cluster 3	7,50	20,2	15,4	7,0	19,4
04_01_A	Cluster 4	1,50	45,6	41,6	33,4	45,2
04_01_B	Cluster 4	4,50	46,8	42,7	34,5	46,4
04_01_C	Cluster 4	7,50	46,9	42,8	34,5	46,4
04_02_A	Cluster 4	1,50	30,6	26,4	18,2	30,1
04_02_B	Cluster 4	4,50	37,2	33,2	25,0	36,8
04_02_C	Cluster 4	7,50	39,0	34,8	26,6	38,5

Alle getoonde dB-waarden zijn A-gewogen

Bijlage III-6 Rekenresultaten Van Calcarstraat

Rapport: Resultatentabel
 Model: Wegverkeermodel
 LAeq totaalresultaten voor toetspunten
 Groep: Van Calcarstraat
 Groepsreductie: Nee

Naam						
Toetspunt	Omschrijving	Hoogte	Dag	Avond	Nacht	Lden
04_03_A	Cluster 4	1,50	49,6	45,5	37,3	49,2
04_03_B	Cluster 4	4,50	50,5	46,3	38,1	50,0
04_03_C	Cluster 4	7,50	50,5	46,3	38,1	50,0
04_04_A	Cluster 4	1,50	45,9	41,8	33,6	45,4
04_04_B	Cluster 4	4,50	46,9	42,7	34,5	46,4
04_04_C	Cluster 4	7,50	47,0	42,8	34,6	46,5
04_05_A	Cluster 4	1,50	40,6	36,6	28,5	40,2
04_05_B	Cluster 4	4,50	42,8	38,7	30,5	42,4
04_05_C	Cluster 4	7,50	43,3	39,2	31,0	42,9
04_06_A	Cluster 4	1,50	39,7	35,7	27,5	39,3
04_06_B	Cluster 4	4,50	41,8	37,7	29,5	41,4
04_06_C	Cluster 4	7,50	42,4	38,2	30,0	41,9
04_07_A	Cluster 4	1,50	21,5	17,1	8,8	20,9
04_07_B	Cluster 4	4,50	26,4	22,1	13,8	25,8
04_07_C	Cluster 4	7,50	29,1	24,6	16,3	28,4
04_08_A	Cluster 4	1,50	40,8	36,6	28,4	40,3
04_08_B	Cluster 4	4,50	42,7	38,5	30,3	42,2
04_08_C	Cluster 4	7,50	43,0	38,8	30,6	42,5
04_09_A	Cluster 4	1,50	42,5	38,4	30,2	42,0
04_09_B	Cluster 4	4,50	44,3	40,0	31,8	43,8
04_09_C	Cluster 4	7,50	44,4	40,2	32,0	43,9
04_10_A	Cluster 4	1,50	45,5	41,4	33,2	45,1
04_10_B	Cluster 4	4,50	46,0	41,8	33,6	45,5
04_10_C	Cluster 4	7,50	46,4	42,1	33,9	45,9
04_11_A	Cluster 4	1,50	35,5	31,5	23,4	35,1
04_11_B	Cluster 4	4,50	37,7	33,6	25,4	37,3
04_11_C	Cluster 4	7,50	38,6	34,4	26,2	38,1
04_12_A	Cluster 4	1,50	33,5	29,5	21,4	33,1
04_12_B	Cluster 4	4,50	35,6	31,5	23,4	35,2
04_12_C	Cluster 4	7,50	36,7	32,6	24,4	36,3
04_13_A	Cluster 4	1,50	39,3	35,2	27,0	38,8
04_13_B	Cluster 4	4,50	40,8	36,6	28,4	40,3
04_13_C	Cluster 4	7,50	41,5	37,2	29,0	40,9
04_14_A	Cluster 4	1,50	27,6	23,4	15,2	27,1
04_14_B	Cluster 4	4,50	26,9	22,6	14,4	26,4
04_14_C	Cluster 4	7,50	28,6	24,2	15,9	28,0
04_15_A	Cluster 4	1,50	37,9	33,8	25,6	37,5
04_15_B	Cluster 4	4,50	39,9	35,7	27,4	39,4
04_15_C	Cluster 4	7,50	40,4	36,2	28,0	39,9
04_16_A	Cluster 4	1,50	37,1	33,0	24,8	36,6
04_16_B	Cluster 4	4,50	38,8	34,6	26,4	38,3
04_16_C	Cluster 4	7,50	39,7	35,4	27,2	39,1
04_17_A	Cluster 4	1,50	--	--	--	--
04_17_B	Cluster 4	4,50	29,8	25,5	17,2	29,3
04_17_C	Cluster 4	7,50	32,9	28,4	20,2	32,3
04_18_A	Cluster 4	1,50	30,1	26,1	17,9	29,7
04_18_B	Cluster 4	4,50	32,0	27,9	19,7	31,5
04_18_C	Cluster 4	7,50	33,4	29,2	21,0	32,9
04_19_A	Cluster 4	1,50	20,2	16,1	7,9	19,8
04_19_B	Cluster 4	4,50	21,6	17,3	9,1	21,0
04_19_C	Cluster 4	7,50	22,7	18,4	10,1	22,2
04_20_A	Cluster 4	1,50	32,9	28,7	20,5	32,4
04_20_B	Cluster 4	4,50	34,4	30,2	22,0	33,9
04_20_C	Cluster 4	7,50	35,8	31,5	23,3	35,2
04_21_A	Cluster 4	1,50	21,4	16,8	8,5	20,7
04_21_B	Cluster 4	4,50	28,5	24,2	16,0	27,9
04_21_C	Cluster 4	7,50	30,5	26,1	17,9	29,9
04_22_A	Cluster 4	1,50	19,4	15,2	7,0	18,9
04_22_B	Cluster 4	4,50	20,8	16,4	8,2	20,2
04_22_C	Cluster 4	7,50	21,5	17,1	8,8	20,9
04_23_A	Cluster 4	1,50	19,0	14,7	6,5	18,4
04_23_B	Cluster 4	4,50	20,1	15,7	7,5	19,5
04_23_C	Cluster 4	7,50	20,7	16,3	8,0	20,1
04_24_A	Cluster 4	1,50	20,1	15,9	7,7	19,6
04_24_B	Cluster 4	4,50	21,4	17,1	8,8	20,8
04_24_C	Cluster 4	7,50	21,9	17,5	9,2	21,3
04_25_A	Cluster 4	1,50	19,9	15,8	7,6	19,4
04_25_B	Cluster 4	4,50	21,4	17,1	8,8	20,8
04_25_C	Cluster 4	7,50	22,1	17,6	9,4	21,4
04_26_A	Cluster 4	1,50	16,4	12,0	3,7	15,8
04_26_B	Cluster 4	4,50	17,5	12,9	4,6	16,8
04_26_C	Cluster 4	7,50	18,3	13,7	5,3	17,6
04_27_A	Cluster 4	1,50	14,3	9,8	1,4	13,7
04_27_B	Cluster 4	4,50	15,7	11,0	2,6	15,0

Alle getoonde dB-waarden zijn A-gewogen

Bijlage III-6 Rekenresultaten Van Calcarstraat

Rapport: Resultatentabel
 Model: Wegverkeermodel
 LAeq totaalresultaten voor toetspunten
 Groep: Van Calcarstraat
 Groepsreductie: Nee

Naam						
Toetspunt	Omschrijving	Hoogte	Dag	Avond	Nacht	Lden
04_27_C	Cluster 4	7,50	16,6	11,8	3,4	15,8
04_27_D	Cluster 4	10,50	17,4	12,8	4,4	16,7
04_28_A	Cluster 4	1,50	32,5	28,5	20,3	32,1
04_28_B	Cluster 4	4,50	34,0	29,9	21,7	33,5
04_28_C	Cluster 4	7,50	35,2	31,0	22,8	34,7
04_28_D	Cluster 4	10,50	35,7	31,5	23,3	35,2
04_29_A	Cluster 4	1,50	33,9	29,9	21,7	33,5
04_29_B	Cluster 4	4,50	35,4	31,3	23,1	35,0
04_29_C	Cluster 4	7,50	36,6	32,5	24,3	36,2
04_29_D	Cluster 4	10,50	37,0	32,8	24,6	36,5
04_30_A	Cluster 4	1,50	34,0	29,9	21,8	33,6
04_30_B	Cluster 4	4,50	35,5	31,4	23,2	35,1
04_30_C	Cluster 4	7,50	36,7	32,5	24,3	36,2
04_30_D	Cluster 4	10,50	37,0	32,9	24,7	36,6
04_31_A	Cluster 4	1,50	34,6	30,6	22,4	34,2
04_31_B	Cluster 4	4,50	36,2	32,1	23,9	35,7
04_31_C	Cluster 4	7,50	37,3	33,1	24,9	36,8
04_31_D	Cluster 4	10,50	37,6	33,4	25,2	37,1
04_32_A	Cluster 4	1,50	35,2	31,2	23,0	34,8
04_32_B	Cluster 4	4,50	36,9	32,8	24,6	36,4
04_32_C	Cluster 4	7,50	37,9	33,7	25,5	37,4
04_32_D	Cluster 4	10,50	38,1	33,9	25,7	37,6
04_33_A	Cluster 4	1,50	35,9	31,9	23,7	35,5
04_33_B	Cluster 4	4,50	37,8	33,7	25,5	37,3
04_33_C	Cluster 4	7,50	38,6	34,4	26,2	38,1
04_33_D	Cluster 4	10,50	38,8	34,6	26,4	38,3
04_34_A	Cluster 4	1,50	36,8	32,8	24,6	36,4
04_34_B	Cluster 4	4,50	38,8	34,7	26,5	38,3
04_34_C	Cluster 4	7,50	39,4	35,3	27,0	38,9
04_34_D	Cluster 4	10,50	39,6	35,4	27,2	39,1
04_35_A	Cluster 4	1,50	37,8	33,7	25,6	37,4
04_35_B	Cluster 4	4,50	39,8	35,7	27,5	39,4
04_35_C	Cluster 4	7,50	40,3	36,1	27,9	39,8
04_35_D	Cluster 4	10,50	40,4	36,3	28,1	40,0
04_36_A	Cluster 4	1,50	38,8	34,8	26,6	38,4
04_36_B	Cluster 4	4,50	40,8	36,6	28,5	40,3
04_36_C	Cluster 4	7,50	41,1	37,0	28,8	40,7
04_36_D	Cluster 4	10,50	41,2	37,1	28,8	40,7
04_37_A	Cluster 4	1,50	39,8	35,8	27,6	39,4
04_37_B	Cluster 4	4,50	41,7	37,6	29,4	41,3
04_37_C	Cluster 4	7,50	42,0	37,8	29,6	41,5
04_37_D	Cluster 4	10,50	42,0	37,8	29,6	41,5
04_38_A	Cluster 4	1,50	41,3	37,2	29,0	40,8
04_38_B	Cluster 4	4,50	42,9	38,8	30,6	42,4
04_38_C	Cluster 4	7,50	43,1	38,9	30,6	42,6
04_38_D	Cluster 4	10,50	43,0	38,8	30,6	42,5
04_39_A	Cluster 4	1,50	43,2	39,1	31,0	42,8
04_39_B	Cluster 4	4,50	44,4	40,3	32,1	44,0
04_40_A	Cluster 4	1,50	45,4	41,2	33,0	44,9
04_40_B	Cluster 4	4,50	46,1	41,9	33,7	45,6
04_41_A	Cluster 4	1,50	50,0	45,9	37,7	49,5
04_41_B	Cluster 4	4,50	50,7	46,5	38,3	50,2
04_42_A	Cluster 4	1,50	50,2	46,0	37,8	49,7
04_42_B	Cluster 4	4,50	50,9	46,7	38,5	50,4
04_43_A	Cluster 4	1,50	51,0	46,8	38,6	50,5
04_43_B	Cluster 4	4,50	51,6	47,4	39,2	51,1
04_43_C	Cluster 4	7,50	51,4	47,2	39,0	50,9
04_44_A	Cluster 4	1,50	47,7	43,5	35,3	47,2
04_44_B	Cluster 4	4,50	48,4	44,2	36,0	47,9
04_44_C	Cluster 4	7,50	48,4	44,2	35,9	47,9
04_45_A	Cluster 4	1,50	26,7	22,5	14,3	26,2
04_45_B	Cluster 4	4,50	29,1	25,0	16,8	28,6
04_45_C	Cluster 4	7,50	31,5	27,3	19,1	31,0
04_46_A	Cluster 4	1,50	26,3	22,0	13,8	25,8
04_46_B	Cluster 4	4,50	28,8	24,4	16,2	28,2
04_47_A	Cluster 4	1,50	28,2	23,8	15,6	27,6
04_47_B	Cluster 4	4,50	32,2	27,7	19,4	31,6
04_48_A	Cluster 4	1,50	36,8	32,7	24,5	36,3
04_48_B	Cluster 4	4,50	39,0	34,8	26,6	38,5
04_48_C	Cluster 4	7,50	40,4	36,1	27,9	39,9
04_48_D	Cluster 4	10,50	42,2	38,0	29,7	41,7
04_49_A	Cluster 4	1,50	39,9	35,7	27,6	39,4
04_49_B	Cluster 4	4,50	42,0	37,8	29,6	41,5
04_49_C	Cluster 4	7,50	43,0	38,8	30,6	42,5

Alle getoonde dB-waarden zijn A-gewogen

Bijlage III-6 Rekenresultaten Van Calcarstraat

Rapport: Resultatentabel
 Model: Wegverkeermodel
 LAeq totaalresultaten voor toetspunten
 Groep: Van Calcarstraat
 Groepsreductie: Nee

Naam						
Toetspunt	Omschrijving	Hoogte	Dag	Avond	Nacht	Lden
04_49_D	Cluster 4	10,50	43,9	39,7	31,4	43,4
04_50_A	Cluster 4	1,50	40,3	36,2	28,0	39,9
04_50_B	Cluster 4	4,50	42,3	38,1	29,9	41,8
04_50_C	Cluster 4	7,50	43,0	38,7	30,5	42,5
04_50_D	Cluster 4	10,50	43,2	39,0	30,8	42,7
04_51_A	Cluster 4	1,50	39,8	35,7	27,5	39,3
04_51_B	Cluster 4	4,50	41,7	37,5	29,3	41,2
04_51_C	Cluster 4	7,50	42,1	37,9	29,7	41,6
04_51_D	Cluster 4	10,50	42,5	38,2	30,0	42,0
04_52_A	Cluster 4	1,50	38,9	34,7	26,5	38,4
04_52_B	Cluster 4	4,50	40,9	36,7	28,5	40,4
04_52_C	Cluster 4	7,50	41,2	37,0	28,8	40,7
04_52_D	Cluster 4	10,50	41,6	37,4	29,1	41,1
04_53_A	Cluster 4	1,50	38,1	34,0	25,8	37,6
04_53_B	Cluster 4	4,50	39,9	35,7	27,5	39,4
04_53_C	Cluster 4	7,50	40,5	36,3	28,1	40,0
04_53_D	Cluster 4	10,50	40,9	36,7	28,4	40,4
04_54_A	Cluster 4	1,50	37,5	33,3	25,1	37,0
04_54_B	Cluster 4	4,50	39,0	34,8	26,6	38,5
04_54_C	Cluster 4	7,50	39,9	35,6	27,4	39,4
04_54_D	Cluster 4	10,50	39,8	35,6	27,3	39,3
04_55_A	Cluster 4	1,50	36,8	32,7	24,5	36,3
04_55_B	Cluster 4	4,50	38,3	34,1	25,9	37,8
04_55_C	Cluster 4	7,50	39,4	35,2	27,0	38,9
04_55_D	Cluster 4	10,50	39,2	35,0	26,8	38,7
04_56_A	Cluster 4	1,50	35,8	31,7	23,5	35,3
04_56_B	Cluster 4	4,50	37,8	33,6	25,4	37,3
04_56_C	Cluster 4	7,50	39,0	34,8	26,5	38,5
04_56_D	Cluster 4	10,50	38,6	34,3	26,1	38,0
04_57_A	Cluster 4	1,50	26,5	22,3	14,1	26,0
04_57_B	Cluster 4	4,50	29,9	25,7	17,5	29,4
04_57_C	Cluster 4	7,50	32,0	27,7	19,4	31,4
04_57_D	Cluster 4	10,50	30,0	25,4	17,1	29,3
04_58_A	Cluster 4	1,50	30,0	25,8	17,5	29,5
04_58_B	Cluster 4	4,50	34,5	30,3	22,1	34,0
04_58_C	Cluster 4	7,50	36,1	31,8	23,6	35,5
04_58_D	Cluster 4	10,50	35,1	30,8	22,6	34,6
04_59_A	Cluster 4	1,50	28,7	24,4	16,2	28,2
04_59_B	Cluster 4	4,50	35,0	30,9	22,7	34,5
04_59_C	Cluster 4	7,50	36,7	32,5	24,3	36,2
04_60_A	Cluster 4	1,50	34,0	29,8	21,6	33,5
04_60_B	Cluster 4	4,50	36,6	32,4	24,2	36,1
04_60_C	Cluster 4	7,50	38,0	33,8	25,5	37,5
04_61_A	Cluster 4	1,50	28,2	23,9	15,7	27,6
04_61_B	Cluster 4	4,50	30,6	26,5	18,3	30,2
04_61_C	Cluster 4	7,50	32,6	28,3	20,1	32,1
04_62_A	Cluster 4	1,50	32,1	27,9	19,7	31,6
04_62_B	Cluster 4	4,50	37,1	32,9	24,7	36,6
04_62_C	Cluster 4	7,50	38,8	34,5	26,3	38,2
04_63_A	Cluster 4	1,50	34,0	29,8	21,6	33,5
04_63_B	Cluster 4	4,50	37,3	33,1	24,9	36,8
04_63_C	Cluster 4	7,50	38,9	34,6	26,4	38,3
04_64_A	Cluster 4	1,50	34,8	30,6	22,4	34,3
04_64_B	Cluster 4	4,50	36,8	32,7	24,4	36,3
04_64_C	Cluster 4	7,50	38,3	34,0	25,8	37,8
05_01_A	Cluster 5	1,50	40,2	36,2	28,1	39,8
05_01_B	Cluster 5	4,50	42,4	38,3	30,1	42,0
05_01_C	Cluster 5	7,50	43,0	38,9	30,7	42,6
05_02_A	Cluster 5	1,50	30,4	26,4	18,2	30,0
05_02_B	Cluster 5	4,50	32,2	28,1	19,9	31,8
05_02_C	Cluster 5	7,50	33,5	29,3	21,1	33,0
05_03_A	Cluster 5	1,50	23,3	18,7	10,4	22,6
05_03_B	Cluster 5	4,50	26,0	21,6	13,3	25,4
05_03_C	Cluster 5	7,50	28,5	24,1	15,8	27,9
05_04_A	Cluster 5	1,50	33,2	28,9	20,7	32,7
05_04_B	Cluster 5	4,50	40,6	36,5	28,4	40,2
05_04_C	Cluster 5	7,50	41,6	37,4	29,2	41,1
05_05_A	Cluster 5	1,50	28,8	24,5	16,3	28,3
05_05_B	Cluster 5	4,50	33,0	28,8	20,6	32,5
05_05_C	Cluster 5	7,50	35,6	31,4	23,2	35,1
05_06_A	Cluster 5	1,50	24,1	20,0	11,8	23,6
05_06_B	Cluster 5	4,50	24,4	20,2	11,9	23,9
05_06_C	Cluster 5	7,50	25,3	21,1	12,8	24,8
05_07_A	Cluster 5	1,50	21,8	17,3	8,9	21,1

Alle getoonde dB-waarden zijn A-gewogen

Bijlage III-6 Rekenresultaten Van Calcarstraat

Rapport: Resultatentabel
 Model: Wegverkeermodel
 LAeq totaalresultaten voor toetspunten
 Groep: Van Calcarstraat
 Groepsreductie: Nee

Naam	Toetspunt	Omschrijving	Hoogte	Dag	Avond	Nacht	Lden
05_07_B	Cluster 5		4,50	25,9	21,7	13,5	25,4
05_07_C	Cluster 5		7,50	28,3	24,1	15,9	27,8
05_08_A	Cluster 5		1,50	25,7	21,1	12,8	25,0
05_08_B	Cluster 5		4,50	31,6	27,4	19,2	31,1
05_08_C	Cluster 5		7,50	34,4	30,1	21,8	33,8
05_09_A	Cluster 5		1,50	22,2	17,6	9,2	21,5
05_09_B	Cluster 5		4,50	25,4	20,8	12,4	24,7
05_09_C	Cluster 5		7,50	28,5	23,9	15,6	27,8
05_10_A	Cluster 5		1,50	17,4	12,7	4,3	16,6
05_10_B	Cluster 5		4,50	18,6	13,9	5,5	17,9
05_10_C	Cluster 5		7,50	20,1	15,3	6,9	19,3
05_11_A	Cluster 5		1,50	19,0	14,3	6,0	18,3
05_11_B	Cluster 5		4,50	21,0	16,2	7,8	20,2
05_11_C	Cluster 5		7,50	23,0	18,3	9,9	22,2
05_12_A	Cluster 5		1,50	23,1	18,5	10,1	22,4
05_12_B	Cluster 5		4,50	27,5	23,1	14,9	26,9
05_12_C	Cluster 5		7,50	30,2	25,8	17,5	29,6
05_13_A	Cluster 5		1,50	19,0	14,3	6,0	18,2
05_13_B	Cluster 5		4,50	21,1	16,4	8,0	20,3
05_13_C	Cluster 5		7,50	23,4	18,7	10,3	22,7
05_14_A	Cluster 5		1,50	15,5	10,8	2,5	14,8
05_14_B	Cluster 5		4,50	15,6	10,8	2,4	14,8
05_14_C	Cluster 5		7,50	17,5	12,8	4,4	16,8
05_15_A	Cluster 5		1,50	16,3	11,6	3,2	15,5
05_15_B	Cluster 5		4,50	16,5	11,7	3,3	15,7
05_15_C	Cluster 5		7,50	18,0	13,2	4,8	17,2
05_16_A	Cluster 5		1,50	23,5	18,9	10,6	22,8
05_16_B	Cluster 5		4,50	34,1	30,1	21,9	33,7
05_16_C	Cluster 5		7,50	35,6	31,3	23,1	35,1
05_17_A	Cluster 5		1,50	24,8	20,2	11,9	24,1
05_17_B	Cluster 5		4,50	30,3	26,1	17,9	29,8
05_17_C	Cluster 5		7,50	32,6	28,3	20,0	32,1
05_18_A	Cluster 5		1,50	25,0	20,4	12,1	24,3
05_18_B	Cluster 5		4,50	27,9	23,4	15,1	27,3
05_18_C	Cluster 5		7,50	30,6	26,0	17,7	29,9
05_19_A	Cluster 5		1,50	25,5	21,3	13,1	25,0
05_19_B	Cluster 5		4,50	27,1	22,8	14,6	26,6
05_19_C	Cluster 5		7,50	28,4	24,1	15,9	27,9
05_20_A	Cluster 5		1,50	23,3	18,7	10,4	22,6
05_20_B	Cluster 5		4,50	29,2	25,0	16,8	28,7
05_20_C	Cluster 5		7,50	31,6	27,3	19,1	31,0
05_21_A	Cluster 5		1,50	41,2	37,1	29,0	40,8
05_21_B	Cluster 5		4,50	42,1	37,9	29,7	41,6
05_21_C	Cluster 5		7,50	42,2	38,0	29,8	41,7
05_22_A	Cluster 5		1,50	41,2	37,2	29,0	40,8
05_22_B	Cluster 5		4,50	43,0	38,9	30,7	42,6
05_22_C	Cluster 5		7,50	43,4	39,2	31,0	42,9
05_23_A	Cluster 5		1,50	36,1	32,0	23,9	35,7
05_23_B	Cluster 5		4,50	38,3	34,1	25,9	37,8
05_23_C	Cluster 5		7,50	38,7	34,5	26,3	38,2
05_24_A	Cluster 5		1,50	46,4	42,2	34,0	45,9
05_24_B	Cluster 5		4,50	47,1	42,9	34,7	46,6
05_24_C	Cluster 5		7,50	47,1	42,9	34,7	46,6
05_25_A	Cluster 5		1,50	48,1	43,9	35,7	47,6
05_25_B	Cluster 5		4,50	48,6	44,4	36,2	48,1
05_25_C	Cluster 5		7,50	48,5	44,3	36,1	48,0
05_26_A	Cluster 5		1,50	49,4	45,2	37,0	48,9
05_26_B	Cluster 5		4,50	49,8	45,6	37,4	49,3
05_26_C	Cluster 5		7,50	49,6	45,4	37,2	49,1
05_27_A	Cluster 5		1,50	50,1	46,0	37,8	49,7
05_27_B	Cluster 5		4,50	50,5	46,3	38,1	50,0
05_27_C	Cluster 5		7,50	50,3	46,0	37,8	49,8
05_28_A	Cluster 5		1,50	50,7	46,5	38,3	50,2
05_28_B	Cluster 5		4,50	51,1	46,8	38,6	50,6
05_28_C	Cluster 5		7,50	50,8	46,6	38,4	50,3
05_29_A	Cluster 5		1,50	51,0	46,8	38,6	50,5
05_29_B	Cluster 5		4,50	51,4	47,2	39,0	50,9
05_29_C	Cluster 5		7,50	51,2	46,9	38,7	50,6
05_30_A	Cluster 5		1,50	46,1	42,0	33,8	45,7
05_30_B	Cluster 5		4,50	47,1	42,9	34,7	46,6
05_30_C	Cluster 5		7,50	47,2	43,0	34,8	46,7
05_31_A	Cluster 5		1,50	33,2	29,2	21,0	32,8
05_31_B	Cluster 5		4,50	33,2	29,2	21,0	32,8
05_31_C	Cluster 5		7,50	34,8	30,7	22,4	34,3

Alle getoonde dB-waarden zijn A-gewogen

Bijlage III-6 Rekenresultaten Van Calcarstraat

Rapport: Resultatentabel
 Model: Wegverkeermodel
 LAeq totaalresultaten voor toetspunten
 Groep: Van Calcarstraat
 Groepsreductie: Nee

Naam	Toetspunt	Omschrijving	Hoogte	Dag	Avond	Nacht	Lden
05_32_A	Cluster 5		1,50	32,3	28,2	20,0	31,8
05_32_B	Cluster 5		4,50	33,6	29,5	21,4	33,2
05_32_C	Cluster 5		7,50	35,3	31,1	22,9	34,8
05_33_A	Cluster 5		1,50	30,5	26,4	18,2	30,0
05_33_B	Cluster 5		4,50	33,4	29,4	21,2	33,0
05_33_C	Cluster 5		7,50	35,2	31,0	22,8	34,7
05_34_A	Cluster 5		1,50	29,9	25,7	17,5	29,4
05_34_B	Cluster 5		4,50	31,5	27,4	19,2	31,0
05_34_C	Cluster 5		7,50	34,0	29,8	21,6	33,5
05_35_A	Cluster 5		1,50	28,7	24,5	16,3	28,2
05_35_B	Cluster 5		4,50	29,6	25,4	17,2	29,1
05_35_C	Cluster 5		7,50	31,6	27,4	19,2	31,1
05_36_A	Cluster 5		1,50	25,7	21,4	13,1	25,2
05_36_B	Cluster 5		4,50	27,0	22,8	14,5	26,5
05_36_C	Cluster 5		7,50	28,8	24,4	16,2	28,2
S_01_A	SMCD		2,00	53,1	48,9	40,7	52,6
S_01_B	SMCD		5,00	53,3	49,0	40,8	52,7
S_02_A	SMCD		2,00	48,9	44,8	36,6	48,4
S_02_B	SMCD		5,00	49,2	45,0	36,8	48,7
S_03_A	SMCD		2,00	48,9	44,8	36,6	48,4
S_03_B	SMCD		5,00	49,4	45,2	37,0	48,9
S_04_A	SMCD		2,00	44,5	40,4	32,3	44,1
S_04_B	SMCD		5,00	45,3	41,2	33,0	44,9
S_05_A	SMCD		2,00	34,5	30,5	22,4	34,1
S_05_B	SMCD		5,00	36,3	32,2	24,0	35,8
S_06_A	SMCD		2,00	45,9	41,8	33,6	45,4
S_06_B	SMCD		5,00	47,1	42,9	34,7	46,6
S_07_A	SMCD		2,00	48,2	44,1	36,0	47,8
S_07_B	SMCD		5,00	49,3	45,1	36,9	48,8
S_08_A	SMCD		1,50	20,4	15,7	7,4	19,7
S_08_B	SMCD		5,00	22,6	17,9	9,5	21,8
S_08_C	SMCD		8,50	24,5	19,8	11,5	23,8
S_08_D	SMCD		12,00	24,3	19,8	11,4	23,6
S_09_A	SMCD		1,50	18,4	13,8	5,4	17,7
S_09_B	SMCD		5,00	20,1	15,4	7,0	19,3
S_09_C	SMCD		8,50	22,0	17,3	8,9	21,2
S_09_D	SMCD		12,00	23,2	18,6	10,3	22,5
S_10_A	SMCD		1,50	16,8	12,1	3,7	16,1
S_10_B	SMCD		5,00	18,0	13,3	4,9	17,2
S_10_C	SMCD		8,50	19,9	15,2	6,8	19,1
S_10_D	SMCD		12,00	21,8	17,3	9,0	21,1
S_11_A	SMCD		1,50	17,3	12,7	4,3	16,6
S_11_B	SMCD		5,00	18,4	13,7	5,3	17,6
S_11_C	SMCD		8,50	19,8	15,1	6,7	19,0
S_11_D	SMCD		12,00	17,9	13,3	5,0	17,2
S_12_A	SMCD		1,50	17,3	12,6	4,2	16,5
S_12_B	SMCD		5,00	18,6	13,9	5,5	17,8
S_12_C	SMCD		8,50	19,5	14,8	6,4	18,8
S_12_D	SMCD		12,00	17,3	12,7	4,3	16,6
S_13_A	SMCD		1,50	17,2	12,5	4,1	16,4
S_13_B	SMCD		5,00	18,3	13,5	5,1	17,5
S_13_C	SMCD		8,50	19,3	14,5	6,1	18,5
S_13_D	SMCD		12,00	17,4	12,7	4,3	16,6
S_14_A	SMCD		1,50	16,1	11,4	3,1	15,4
S_15_A	SMCD		1,50	16,5	11,9	3,6	15,8
S_16_A	SMCD		1,50	18,0	13,5	5,1	17,3
S_17_A	SMCD		5,00	17,1	12,3	3,9	16,3
S_17_B	SMCD		8,50	18,3	13,6	5,2	17,5
S_17_C	SMCD		12,00	10,9	6,3	-2,0	10,2
S_18_A	SMCD		1,50	16,3	11,7	3,4	15,6
S_18_B	SMCD		5,00	16,4	11,6	3,3	15,6
S_18_C	SMCD		8,50	17,5	12,7	4,3	16,7
S_18_D	SMCD		12,00	10,4	5,8	-2,5	9,7
S_19_A	SMCD		1,50	15,9	11,3	2,9	15,2
S_19_B	SMCD		5,00	16,2	11,5	3,1	15,4
S_19_C	SMCD		8,50	17,2	12,4	4,0	16,4
S_20_A	SMCD		1,50	14,8	10,3	1,9	14,1
S_20_B	SMCD		5,00	16,0	11,2	2,9	15,2
S_20_C	SMCD		8,50	17,0	12,2	3,8	16,2
S_21_A	SMCD		1,50	14,2	9,7	1,4	13,6
S_21_B	SMCD		5,00	15,6	10,9	2,5	14,8
S_21_C	SMCD		8,50	16,7	11,9	3,5	15,9
S_22_A	SMCD		1,50	14,1	9,6	1,3	13,5
S_22_B	SMCD		5,00	16,8	12,2	3,8	16,1

Alle getoonde dB-waarden zijn A-gewogen

Bijlage III-6 Rekenresultaten Van Calcarstraat

Rapport: Resultatentabel
 Model: Wegverkeermodel
 LAeq totaalresultaten voor toetspunten
 Groep: Van Calcarstraat
 Groepsreductie: Nee

Naam						
Toetspunt	Omschrijving	Hoogte	Dag	Avond	Nacht	Lden
S_22_C	SMCD	8,50	20,1	15,3	6,9	19,3
S_23_A	SMCD	1,50	15,8	11,2	2,8	15,1
S_23_B	SMCD	5,00	17,6	12,9	4,5	16,8
S_23_C	SMCD	8,50	19,3	14,6	6,2	18,6
S_24_A	SMCD	1,50	15,0	10,5	2,1	14,3
S_24_B	SMCD	5,00	16,7	12,0	3,6	16,0
S_24_C	SMCD	8,50	18,9	14,2	5,8	18,2
S_24_D	SMCD	12,00	20,3	15,5	7,1	19,5
S_25_A	SMCD	1,50	11,7	7,2	-1,2	11,0
S_25_B	SMCD	5,00	13,4	8,6	0,2	12,6
S_25_C	SMCD	8,50	13,8	9,1	0,7	13,1
S_25_D	SMCD	12,00	9,6	5,0	-3,3	8,9
S_26_A	SMCD	1,50	12,1	7,5	-0,8	11,4
S_26_B	SMCD	5,00	13,9	9,2	0,8	13,2
S_26_C	SMCD	8,50	15,0	10,3	2,0	14,3
S_26_D	SMCD	12,00	11,5	7,2	-1,1	11,0
S_27_A	SMCD	1,50	13,7	9,1	0,8	13,0
S_27_B	SMCD	5,00	15,0	10,2	1,8	14,2
S_27_C	SMCD	8,50	15,4	10,7	2,3	14,6
S_27_D	SMCD	12,00	8,9	4,2	-4,2	8,2
S_28_A	SMCD	1,50	15,0	10,3	2,0	14,3
S_28_B	SMCD	5,00	15,9	11,2	2,8	15,1
S_28_C	SMCD	8,50	16,4	11,8	3,5	15,7
S_28_D	SMCD	12,00	14,5	10,2	1,9	13,9
S_29_A	SMCD	1,50	16,0	11,3	3,0	15,3
S_29_B	SMCD	5,00	16,7	12,0	3,6	16,0
S_29_C	SMCD	8,50	17,0	12,3	4,0	16,3
S_29_D	SMCD	12,00	15,4	11,1	2,8	14,9
S_30_A	SMCD	1,50	16,1	11,4	3,1	15,4
S_30_B	SMCD	5,00	16,8	12,0	3,6	16,0
S_30_C	SMCD	8,50	18,4	13,9	5,5	17,7
S_30_D	SMCD	12,00	17,7	13,5	5,2	17,2
S_31_A	SMCD	1,50	16,6	12,1	3,8	16,0
S_31_B	SMCD	5,00	18,9	14,4	6,1	18,2
S_31_C	SMCD	8,50	20,6	16,2	7,9	20,0
S_31_D	SMCD	12,00	15,5	11,2	3,0	14,9
S_32_A	SMCD	1,50	24,1	20,0	11,9	23,7
S_32_B	SMCD	5,00	25,6	21,4	13,1	25,1
S_32_C	SMCD	8,50	26,9	22,6	14,3	26,3
S_32_D	SMCD	12,00	28,6	24,3	16,1	28,0
S_33_A	SMCD	1,50	25,1	21,0	12,8	24,6
S_33_B	SMCD	5,00	26,8	22,5	14,3	26,2
S_33_C	SMCD	8,50	28,3	23,9	15,7	27,7
S_33_D	SMCD	12,00	30,2	25,9	17,6	29,7
S_34_A	SMCD	1,50	23,0	18,8	10,6	22,5
S_34_B	SMCD	5,00	24,0	19,7	11,4	23,5
S_34_C	SMCD	8,50	25,5	21,0	12,7	24,8
S_34_D	SMCD	12,00	27,5	23,1	14,8	26,9
S_35_A	SMCD	1,50	21,4	17,2	9,0	20,9
S_35_B	SMCD	5,00	22,6	18,2	9,9	22,0
S_35_C	SMCD	8,50	24,4	19,8	11,5	23,7
S_35_D	SMCD	12,00	26,3	21,8	13,4	25,7
S_36_A	SMCD	1,50	21,5	17,3	9,1	21,0
S_36_B	SMCD	5,00	22,7	18,3	10,0	22,1
S_36_C	SMCD	8,50	24,5	20,0	11,6	23,8
S_36_D	SMCD	12,00	26,5	22,0	13,6	25,8
S_37_A	SMCD	1,50	21,1	16,9	8,6	20,6
S_37_B	SMCD	5,00	22,2	17,8	9,5	21,6
S_37_C	SMCD	8,50	24,1	19,6	11,2	23,4
S_37_D	SMCD	12,00	26,0	21,4	13,1	25,3
S_38_A	SMCD	1,50	21,3	17,2	9,0	20,9
S_38_B	SMCD	5,00	22,4	18,1	9,8	21,8
S_38_C	SMCD	8,50	24,4	19,9	11,6	23,8
S_38_D	SMCD	12,00	26,0	21,5	13,1	25,4
S_39_A	SMCD	1,50	17,7	13,5	5,3	17,2
S_39_B	SMCD	5,00	18,9	14,5	6,3	18,3
S_39_C	SMCD	8,50	21,2	16,7	8,3	20,5
S_40_A	SMCD	1,50	16,2	11,6	3,3	15,5
S_40_B	SMCD	5,00	17,9	13,2	4,8	17,1
S_40_C	SMCD	8,50	20,9	16,2	7,8	20,2
S_41_A	SMCD	1,50	16,1	11,5	3,2	15,4
S_41_B	SMCD	5,00	17,7	13,1	4,7	17,0
S_41_C	SMCD	8,50	20,7	15,9	7,5	19,9
S_42_A	SMCD	1,50	16,0	11,5	3,2	15,3

Alle getoonde dB-waarden zijn A-gewogen

Bijlage III-6 Rekenresultaten Van Calcarstraat

Rapport: Resultatentabel
 Model: Wegverkeermodel
 L'Aeq totaalresultaten voor toetspunten
 Groep: Van Calcarstraat
 Groepsreductie: Nee

Naam						
Toetspunt	Omschrijving	Hoogte	Dag	Avond	Nacht	Lden
S_42_B	SMCD	5,00	17,4	12,8	4,5	16,7
S_42_C	SMCD	8,50	19,8	15,1	6,7	19,0
S_43_A	SMCD	1,50	14,5	9,9	1,6	13,8
S_43_B	SMCD	5,00	16,0	11,3	3,0	15,3
S_43_C	SMCD	8,50	17,8	13,1	4,7	17,1
S_43_D	SMCD	12,00	18,5	13,7	5,3	17,7
S_44_A	SMCD	1,50	14,9	10,3	1,9	14,2
S_44_B	SMCD	5,00	16,3	11,6	3,2	15,6
S_44_C	SMCD	8,50	17,4	12,6	4,2	16,6
S_44_D	SMCD	12,00	18,1	13,4	5,0	17,4
S_45_A	SMCD	1,50	15,4	10,8	2,5	14,7
S_45_B	SMCD	5,00	16,8	12,1	3,7	16,1
S_45_C	SMCD	8,50	18,2	13,4	5,0	17,4
S_45_D	SMCD	12,00	18,5	13,7	5,3	17,7
S_46_A	SMCD	1,50	18,7	14,5	6,2	18,2
S_46_B	SMCD	5,00	20,1	15,7	7,4	19,5
S_46_C	SMCD	8,50	21,1	16,6	8,3	20,5
S_46_D	SMCD	12,00	21,6	17,2	8,8	21,0
S_47_A	SMCD	1,50	15,7	11,1	2,8	15,0
S_47_B	SMCD	5,00	17,0	12,3	4,0	16,3
S_47_C	SMCD	8,50	18,9	14,3	5,9	18,2
S_47_D	SMCD	12,00	18,5	13,9	5,6	17,8
S_48_A	SMCD	1,50	25,1	20,9	12,7	24,6
S_48_B	SMCD	5,00	27,7	23,5	15,2	27,2
S_48_C	SMCD	8,50	29,8	25,4	17,2	29,2
S_48_D	SMCD	12,00	31,7	27,4	19,2	31,2
S_49_A	SMCD	1,50	25,8	21,6	13,4	25,3
S_49_B	SMCD	5,00	27,7	23,3	15,1	27,1
S_49_C	SMCD	8,50	29,7	25,3	17,0	29,1
S_49_D	SMCD	12,00	32,6	28,3	20,1	32,1
S_50_A	SMCD	1,50	26,2	22,0	13,8	25,7
S_50_B	SMCD	5,00	28,6	24,3	16,1	28,1
S_50_C	SMCD	8,50	30,5	26,2	17,9	30,0
S_50_D	SMCD	12,00	32,5	28,1	19,9	31,9
S_51_A	SMCD	1,50	27,5	23,3	15,1	27,0
S_51_B	SMCD	5,00	28,9	24,6	16,4	28,4
S_51_C	SMCD	8,50	30,6	26,3	18,0	30,1
S_51_D	SMCD	12,00	32,6	28,3	20,1	32,1
S_52_A	SMCD	1,50	25,5	21,3	13,1	25,0
S_52_B	SMCD	5,00	27,3	22,9	14,7	26,7
S_52_C	SMCD	8,50	29,1	24,7	16,4	28,5
S_52_D	SMCD	12,00	31,4	27,0	18,7	30,8
S_53_A	SMCD	1,50	24,9	20,6	12,4	24,4
S_53_B	SMCD	5,00	26,6	22,2	14,0	26,0
S_53_C	SMCD	8,50	28,4	24,0	15,7	27,8
S_53_D	SMCD	12,00	31,0	26,6	18,3	30,4
S_54_A	SMCD	1,50	25,3	21,1	12,9	24,8
S_54_B	SMCD	5,00	27,1	22,8	14,5	26,5
S_54_C	SMCD	8,50	28,5	24,0	15,8	27,9
S_54_D	SMCD	12,00	30,8	26,4	18,2	30,2
S_55_A	SMCD	1,50	24,7	20,5	12,2	24,2
S_55_B	SMCD	5,00	26,6	22,2	13,9	26,0
S_55_C	SMCD	8,50	28,1	23,6	15,3	27,4
S_55_D	SMCD	12,00	30,4	26,0	17,7	29,8
S_56_A	SMCD	1,50	26,3	22,1	13,9	25,8
S_56_B	SMCD	5,00	28,2	23,9	15,7	27,7
S_56_C	SMCD	8,50	29,7	25,3	17,0	29,1
S_56_D	SMCD	12,00	31,7	27,4	19,2	31,2
S_57_A	SMCD	1,50	26,6	22,5	14,3	26,2
S_57_B	SMCD	5,00	28,3	24,0	15,7	27,7
S_57_C	SMCD	8,50	30,3	25,9	17,6	29,7
S_57_D	SMCD	12,00	32,2	27,9	19,7	31,7
S_58_A	SMCD	1,50	27,5	23,3	15,1	27,0
S_58_B	SMCD	5,00	28,7	24,4	16,2	28,2
S_58_C	SMCD	8,50	30,9	26,5	18,2	30,3
S_58_D	SMCD	12,00	33,0	28,6	20,4	32,4
S_59_A	SMCD	1,50	27,1	22,9	14,7	26,6
S_59_B	SMCD	5,00	29,3	25,0	16,7	28,8
S_59_C	SMCD	8,50	31,7	27,3	19,0	31,1
S_59_D	SMCD	12,00	34,4	30,0	21,8	33,8
S_60_A	SMCD	1,50	27,7	23,5	15,3	27,2
S_60_B	SMCD	5,00	29,9	25,6	17,4	29,4
S_60_C	SMCD	8,50	32,0	27,7	19,4	31,4
S_60_D	SMCD	12,00	33,9	29,6	21,3	33,4

Alle getoonde dB-waarden zijn A-gewogen

Bijlage III-6 Rekenresultaten Van Calcarstraat

Rapport: Resultatentabel
 Model: Wegverkeermodel
 L'Aeq totaalresultaten voor toetspunten
 Groep: Van Calcarstraat
 Groepsreductie: Nee

Naam						
Toetspunt	Omschrijving	Hoogte	Dag	Avond	Nacht	Lden
S_61_A	SMCD	1,50	28,4	24,2	16,1	27,9
S_61_B	SMCD	5,00	30,4	26,1	17,9	29,9
S_61_C	SMCD	8,50	32,5	28,2	19,9	31,9
S_61_D	SMCD	12,00	34,1	29,8	21,5	33,5
S_62_A	SMCD	1,50	29,1	25,0	16,9	28,7
S_62_B	SMCD	5,00	31,3	27,1	18,9	30,8
S_62_C	SMCD	8,50	32,6	28,3	20,1	32,0
S_63_A	SMCD	1,50	30,1	26,1	17,9	29,7
S_63_B	SMCD	5,00	31,9	27,6	19,4	31,3
S_63_C	SMCD	8,50	33,7	29,4	21,2	33,2
S_64_A	SMCD	1,50	31,1	27,0	18,8	30,6
S_64_B	SMCD	5,00	33,3	29,1	20,9	32,8
S_64_C	SMCD	8,50	35,3	31,0	22,8	34,7
S_65_A	SMCD	1,50	42,9	38,9	30,7	42,5
S_65_B	SMCD	5,00	45,0	40,9	32,7	44,6
S_65_C	SMCD	8,50	45,3	41,2	33,0	44,8
S_66_A	SMCD	1,50	43,3	39,2	31,1	42,9
S_66_B	SMCD	5,00	45,5	41,4	33,2	45,0
S_66_C	SMCD	8,50	45,8	41,6	33,4	45,3
S_67_A	SMCD	1,50	42,0	37,9	29,8	41,6
S_67_B	SMCD	5,00	44,3	40,2	32,0	43,9
S_67_C	SMCD	8,50	44,7	40,5	32,3	44,2
S_68_A	SMCD	1,50	40,6	36,5	28,4	40,2
S_68_B	SMCD	5,00	43,0	38,8	30,6	42,5
S_68_C	SMCD	8,50	43,4	39,2	31,0	42,9
S_69_A	SMCD	1,50	38,7	34,7	26,5	38,3
S_69_B	SMCD	5,00	41,2	37,1	28,9	40,7
S_69_C	SMCD	8,50	41,8	37,7	29,5	41,4
S_70_A	SMCD	1,50	39,8	35,8	27,6	39,4
S_70_B	SMCD	5,00	42,2	38,1	29,9	41,8
S_70_C	SMCD	8,50	43,0	38,8	30,6	42,5
S_70_D	SMCD	12,00	43,2	39,0	30,8	42,7
S_71_A	SMCD	1,50	39,2	35,1	27,0	38,8
S_71_B	SMCD	5,00	41,5	37,3	29,2	41,0
S_71_C	SMCD	8,50	42,3	38,2	30,0	41,9
S_71_D	SMCD	12,00	42,7	38,5	30,3	42,2
S_72_A	SMCD	1,50	38,7	34,7	26,5	38,3
S_72_B	SMCD	5,00	40,9	36,8	28,6	40,5
S_72_C	SMCD	8,50	41,7	37,6	29,4	41,3
S_72_D	SMCD	12,00	42,1	37,9	29,7	41,6
S_73_A	SMCD	1,50	38,5	34,4	26,3	38,1
S_73_B	SMCD	5,00	40,9	36,8	28,6	40,4
S_73_C	SMCD	8,50	41,6	37,4	29,2	41,1
S_73_D	SMCD	12,00	41,8	37,6	29,4	41,3
S_74_A	SMCD	1,50	34,3	30,2	22,1	33,9
S_74_B	SMCD	5,00	36,9	32,8	24,6	36,4
S_74_C	SMCD	8,50	38,2	34,0	25,8	37,7
S_74_D	SMCD	12,00	39,0	34,8	26,6	38,5
S_75_A	SMCD	1,50	30,2	26,1	17,9	29,7
S_75_B	SMCD	5,00	32,8	28,5	20,3	32,3
S_75_C	SMCD	8,50	35,1	30,8	22,6	34,6
S_75_D	SMCD	12,00	36,7	32,5	24,3	36,2
S_76_A	SMCD	1,50	19,5	15,0	6,7	18,9
S_76_B	SMCD	5,00	21,4	16,8	8,4	20,7
S_76_C	SMCD	8,50	24,3	19,6	11,2	23,5
S_76_D	SMCD	12,00	27,8	23,1	14,7	27,0
S_77_A	SMCD	1,50	20,1	15,5	7,2	19,4
S_77_B	SMCD	5,00	21,9	17,2	8,9	21,2
S_77_C	SMCD	8,50	24,6	19,8	11,4	23,8
S_77_D	SMCD	12,00	26,6	21,9	13,5	25,9
S_78_A	SMCD	1,50	19,6	15,0	6,7	18,9
S_78_B	SMCD	5,00	21,4	16,8	8,4	20,7
S_78_C	SMCD	8,50	23,9	19,2	10,8	23,2
S_78_D	SMCD	12,00	25,6	20,8	12,4	24,8
S_79_A	SMCD	1,50	19,5	15,0	6,6	18,9
S_79_B	SMCD	5,00	21,4	16,7	8,3	20,7
S_79_C	SMCD	8,50	23,8	19,0	10,6	23,0
S_79_D	SMCD	12,00	26,1	21,4	13,0	25,4
S_80_A	SMCD	1,50	19,8	15,3	6,9	19,2
S_80_B	SMCD	5,00	21,7	17,0	8,6	21,0
S_80_C	SMCD	8,50	24,2	19,4	11,0	23,4
S_81_A	SMCD	1,50	20,0	15,4	7,0	19,3
S_81_B	SMCD	5,00	21,8	17,1	8,7	21,1
S_81_C	SMCD	8,50	24,2	19,5	11,1	23,5

Alle getoonde dB-waarden zijn A-gewogen

Bijlage III-6 Rekenresultaten Van Calcarstraat

Rapport: Resultatentabel
 Model: Wegverkeermodel
 LAeq totaalresultaten voor toetspunten
 Groep: Van Calcarstraat
 Groepsreductie: Nee

Naam						
Toetspunt	Omschrijving	Hoogte	Dag	Avond	Nacht	Lden
S_82_A	SMCD	1,50	20,1	15,5	7,2	19,4
S_82_B	SMCD	5,00	22,0	17,3	8,9	21,2
S_82_C	SMCD	8,50	24,4	19,7	11,3	23,7
S_83_A	SMCD	1,50	20,1	15,6	7,2	19,5
S_83_B	SMCD	5,00	22,0	17,3	8,9	21,3
S_83_C	SMCD	8,50	24,6	19,8	11,4	23,8
S_84_A	SMCD	1,50	19,9	15,3	7,0	19,2
S_84_B	SMCD	5,00	21,7	17,0	8,6	20,9
S_84_C	SMCD	8,50	24,2	19,5	11,1	23,4
S_85_A	SMCD	1,50	19,6	15,0	6,6	18,9
S_85_B	SMCD	5,00	21,4	16,8	8,4	20,7
S_85_C	SMCD	8,50	23,8	19,1	10,7	23,1
S_85_D	SMCD	12,00	26,8	22,0	13,6	26,0
S_86_A	SMCD	1,50	18,4	13,8	5,5	17,8
S_86_B	SMCD	5,00	20,4	15,7	7,3	19,6
S_86_C	SMCD	8,50	22,7	17,9	9,5	21,9
S_86_D	SMCD	12,00	24,6	19,9	11,5	23,9
S_87_A	SMCD	1,50	18,3	13,8	5,4	17,7
S_87_B	SMCD	5,00	20,3	15,6	7,2	19,5
S_87_C	SMCD	8,50	23,0	18,2	9,8	22,2
S_87_D	SMCD	12,00	24,9	20,2	11,8	24,2
S_88_A	SMCD	1,50	18,6	14,0	5,7	17,9
S_88_B	SMCD	5,00	20,4	15,7	7,3	19,6
S_88_C	SMCD	8,50	23,4	18,7	10,3	22,6
S_88_D	SMCD	12,00	26,3	21,6	13,2	25,5
S_89_A	SMCD	1,50	18,6	14,1	5,8	17,9
S_89_B	SMCD	5,00	20,4	15,8	7,4	19,7
S_89_C	SMCD	8,50	23,7	19,0	10,6	23,0
S_89_D	SMCD	12,00	28,3	23,6	15,3	27,6
S_90_A	SMCD	1,50	14,7	10,1	1,8	14,0
S_90_B	SMCD	5,00	15,9	11,2	2,8	15,2
S_90_C	SMCD	8,50	17,9	13,1	4,7	17,1
S_90_D	SMCD	12,00	19,9	15,1	6,7	19,1
S_91_A	SMCD	1,50	15,6	10,9	2,6	14,8
S_91_B	SMCD	5,00	16,8	12,1	3,7	16,0
S_91_C	SMCD	8,50	18,6	13,8	5,4	17,8
S_91_D	SMCD	12,00	19,6	14,8	6,4	18,8
S_92_A	SMCD	1,50	15,5	10,9	2,6	14,8
S_92_B	SMCD	5,00	16,7	12,0	3,6	16,0
S_92_C	SMCD	8,50	18,3	13,6	5,1	17,6
S_92_D	SMCD	12,00	19,3	14,5	6,1	18,5
S_93_A	SMCD	1,50	15,8	11,2	2,8	15,1
S_93_B	SMCD	5,00	16,7	12,0	3,6	16,0
S_93_C	SMCD	8,50	18,1	13,3	4,9	17,3
S_93_D	SMCD	12,00	19,2	14,4	6,0	18,4
S_94_A	SMCD	1,50	16,3	11,6	3,3	15,5
S_94_B	SMCD	5,00	17,2	12,5	4,1	16,5
S_94_C	SMCD	8,50	18,4	13,6	5,2	17,6
S_94_D	SMCD	12,00	19,3	14,5	6,1	18,5
S_95_A	SMCD	1,50	16,1	11,5	3,1	15,4
S_95_B	SMCD	5,00	17,0	12,2	3,8	16,2
S_95_C	SMCD	8,50	18,1	13,3	4,9	17,3
S_95_D	SMCD	12,00	19,0	14,2	5,8	18,2

Alle getoonde dB-waarden zijn A-gewogen

Bijlage III-7 Rekenresultaten H.G. Gooszenstraat

Rapport: Resultatentabel
 Model: Wegverkeermodel
 LAeq totaalresultaten voor toetspunten
 Groep: H.G. Gooszenstraat
 Groepsreductie: Nee

Naam	Toetspunt	Omschrijving	Hoogte	Dag	Avond	Nacht	Lden
	01_01_A	Cluster 1	1,50	8,9	5,0	-3,1	8,6
	01_01_B	Cluster 1	4,50	10,1	6,1	-2,0	9,7
	01_01_C	Cluster 1	7,50	10,4	6,4	-1,7	10,0
	01_02_A	Cluster 1	1,50	8,2	4,3	-3,8	7,9
	01_02_B	Cluster 1	4,50	9,7	5,7	-2,5	9,3
	01_02_C	Cluster 1	7,50	10,2	6,1	-2,0	9,8
	01_03_A	Cluster 1	1,50	10,6	6,6	-1,5	10,2
	01_03_B	Cluster 1	4,50	11,9	7,8	-0,3	11,4
	01_03_C	Cluster 1	7,50	12,2	8,1	0,0	11,8
	01_04_A	Cluster 1	1,50	10,1	6,2	-2,0	9,7
	01_04_B	Cluster 1	4,50	11,3	7,2	-0,9	10,9
	01_04_C	Cluster 1	7,50	12,2	8,1	-0,1	11,7
	01_05_A	Cluster 1	1,50	9,0	5,1	-3,1	8,7
	01_05_B	Cluster 1	4,50	10,3	6,2	-1,9	9,9
	01_05_C	Cluster 1	7,50	11,4	7,3	-0,8	11,0
	01_06_A	Cluster 1	1,50	11,4	7,4	-0,7	11,0
	01_06_B	Cluster 1	4,50	14,4	10,4	2,2	14,0
	01_06_C	Cluster 1	7,50	17,6	13,6	5,5	17,2
	01_07_A	Cluster 1	1,50	11,7	7,8	-0,4	11,4
	01_07_B	Cluster 1	4,50	14,6	10,5	2,4	14,2
	01_07_C	Cluster 1	7,50	17,8	13,7	5,6	17,4
	01_08_A	Cluster 1	1,50	8,8	4,8	-3,3	8,4
	01_08_B	Cluster 1	4,50	10,0	5,9	-2,2	9,6
	01_08_C	Cluster 1	7,50	11,1	7,1	-1,0	10,7
	01_09_A	Cluster 1	1,50	8,6	4,6	-3,5	8,2
	01_09_B	Cluster 1	4,50	9,8	5,8	-2,4	9,4
	01_09_C	Cluster 1	7,50	11,0	7,0	-1,1	10,6
	01_10_A	Cluster 1	1,50	7,9	4,0	-4,2	7,6
	01_10_B	Cluster 1	4,50	9,2	5,2	-3,0	8,8
	01_10_C	Cluster 1	7,50	10,5	6,5	-1,6	10,1
	01_100_A	Cluster 1	1,50	11,2	7,2	-0,9	10,8
	01_100_B	Cluster 1	4,50	12,3	8,3	0,1	11,9
	01_100_C	Cluster 1	7,50	12,4	8,3	0,1	12,0
	01_101_A	Cluster 1	1,50	13,9	10,0	1,8	13,6
	01_101_B	Cluster 1	4,50	16,4	12,4	4,2	16,0
	01_101_C	Cluster 1	7,50	18,6	14,7	6,5	18,3
	01_11_A	Cluster 1	1,50	8,3	4,4	-3,8	7,9
	01_11_B	Cluster 1	4,50	9,5	5,5	-2,6	9,1
	01_11_C	Cluster 1	7,50	10,7	6,7	-1,5	10,3
	01_12_A	Cluster 1	1,50	8,6	4,7	-3,5	8,3
	01_12_B	Cluster 1	4,50	9,8	5,8	-2,4	9,4
	01_13_A	Cluster 1	1,50	9,8	5,8	-2,4	9,4
	01_13_B	Cluster 1	4,50	10,9	6,8	-1,3	10,4
	01_14_A	Cluster 1	1,50	9,2	5,2	-2,9	8,8
	01_14_B	Cluster 1	4,50	9,4	5,4	-2,8	9,0
	01_15_A	Cluster 1	1,50	10,0	6,0	-2,1	9,6
	01_15_B	Cluster 1	4,50	11,9	7,8	-0,3	11,4
	01_16_A	Cluster 1	1,50	10,0	6,1	-2,0	9,7
	01_16_B	Cluster 1	4,50	11,4	7,3	-0,9	10,9
	01_16_C	Cluster 1	7,50	11,9	7,7	-0,4	11,4
	01_17_A	Cluster 1	1,50	6,3	2,3	-5,9	5,9
	01_17_B	Cluster 1	4,50	8,4	4,4	-3,8	8,0
	01_17_C	Cluster 1	7,50	9,8	5,7	-2,5	9,4
	01_18_A	Cluster 1	1,50	10,8	6,9	-1,3	10,4
	01_18_B	Cluster 1	4,50	12,4	8,4	0,2	12,0
	01_18_C	Cluster 1	7,50	10,7	6,6	-1,5	10,3
	01_19_A	Cluster 1	1,50	12,6	8,6	0,5	12,2
	01_19_B	Cluster 1	4,50	14,3	10,2	2,1	13,9
	01_19_C	Cluster 1	7,50	14,9	10,8	2,7	14,5
	01_20_A	Cluster 1	1,50	12,4	8,4	0,3	12,0
	01_20_B	Cluster 1	4,50	14,1	10,0	1,9	13,7
	01_20_C	Cluster 1	7,50	14,8	10,7	2,5	14,3
	01_21_A	Cluster 1	1,50	7,2	3,3	-4,9	6,8
	01_21_B	Cluster 1	4,50	7,1	3,1	-5,1	6,7
	01_21_C	Cluster 1	7,50	7,7	3,6	-4,6	7,3
	01_22_A	Cluster 1	1,50	9,2	5,2	-2,9	8,8
	01_22_B	Cluster 1	4,50	10,5	6,4	-1,8	10,0
	01_22_C	Cluster 1	7,50	11,1	6,9	-1,2	10,6
	01_23_A	Cluster 1	1,50	9,1	5,1	-3,1	8,7
	01_23_B	Cluster 1	4,50	10,2	6,2	-2,0	9,8
	01_23_C	Cluster 1	7,50	10,9	6,7	-1,5	10,4
	01_24_A	Cluster 1	1,50	7,5	3,6	-4,6	7,2
	01_24_B	Cluster 1	4,50	7,2	3,1	-5,1	6,7
	01_24_C	Cluster 1	7,50	7,7	3,6	-4,6	7,2

Alle getoonde dB-waarden zijn A-gewogen

Bijlage III-7 Rekenresultaten H.G. Gooszenstraat

Rapport: Resultatentabel
 Model: Wegverkeermodel
 LAeq totaalresultaten voor toetspunten
 Groep: H.G. Gooszenstraat
 Groepsreductie: Nee

Naam	Toetspunt	Omschrijving	Hoogte	Dag	Avond	Nacht	Lden
	01_25_A	Cluster 1	1,50	9,9	5,9	-2,3	9,5
	01_25_B	Cluster 1	4,50	11,2	7,1	-1,1	10,8
	01_26_A	Cluster 1	1,50	15,8	11,8	3,6	15,4
	01_26_B	Cluster 1	4,50	17,1	13,0	4,8	16,7
	01_27_A	Cluster 1	1,50	9,3	5,2	-2,9	8,9
	01_27_B	Cluster 1	4,50	9,0	4,9	-3,3	8,6
	01_28_A	Cluster 1	1,50	11,5	7,5	-0,6	11,1
	01_28_B	Cluster 1	4,50	13,0	8,9	0,8	12,6
	01_29_A	Cluster 1	1,50	12,0	8,1	-0,1	11,7
	01_29_B	Cluster 1	4,50	13,6	9,5	1,4	13,2
	01_29_C	Cluster 1	7,50	14,0	9,9	1,7	13,5
	01_30_A	Cluster 1	1,50	11,3	7,3	-0,8	10,9
	01_30_B	Cluster 1	4,50	12,8	8,7	0,6	12,4
	01_30_C	Cluster 1	7,50	13,2	9,1	0,9	12,8
	01_31_A	Cluster 1	1,50	11,2	7,2	-1,0	10,8
	01_31_B	Cluster 1	4,50	12,7	8,6	0,5	12,3
	01_31_C	Cluster 1	7,50	13,8	9,7	1,5	13,3
	01_32_A	Cluster 1	1,50	12,2	8,2	0,0	11,8
	01_32_B	Cluster 1	4,50	13,8	9,7	1,6	13,4
	01_32_C	Cluster 1	7,50	14,6	10,4	2,3	14,1
	01_33_A	Cluster 1	1,50	13,0	9,0	0,8	12,6
	01_33_B	Cluster 1	4,50	14,6	10,5	2,3	14,1
	01_33_C	Cluster 1	7,50	15,5	11,4	3,2	15,0
	01_34_A	Cluster 1	1,50	12,9	8,9	0,7	12,5
	01_34_B	Cluster 1	4,50	14,3	10,2	2,1	13,9
	01_34_C	Cluster 1	7,50	15,2	11,0	2,9	14,7
	01_35_A	Cluster 1	1,50	12,3	8,3	0,2	11,9
	01_35_B	Cluster 1	4,50	14,0	9,9	1,7	13,5
	01_35_C	Cluster 1	7,50	15,2	11,0	2,9	14,7
	01_36_A	Cluster 1	1,50	10,0	6,0	-2,2	9,6
	01_36_B	Cluster 1	4,50	11,5	7,5	-0,7	11,1
	01_36_C	Cluster 1	7,50	12,0	7,9	-0,3	11,5
	01_37_A	Cluster 1	1,50	11,4	7,4	-0,7	11,0
	01_37_B	Cluster 1	4,50	13,2	9,2	1,0	12,8
	01_38_A	Cluster 1	1,50	11,4	7,4	-0,8	11,0
	01_38_B	Cluster 1	4,50	13,4	9,3	1,1	12,9
	01_39_A	Cluster 1	1,50	12,9	8,9	0,8	12,5
	01_39_B	Cluster 1	4,50	14,4	10,3	2,2	14,0
	01_40_A	Cluster 1	1,50	13,1	9,1	1,0	12,7
	01_40_B	Cluster 1	4,50	14,6	10,6	2,4	14,2
	01_41_A	Cluster 1	1,50	13,1	9,2	1,0	12,8
	01_41_B	Cluster 1	4,50	14,5	10,4	2,3	14,1
	01_41_C	Cluster 1	7,50	15,5	11,4	3,2	15,0
	01_42_A	Cluster 1	1,50	14,4	10,3	2,2	14,0
	01_42_B	Cluster 1	4,50	16,1	12,0	3,8	15,6
	01_42_C	Cluster 1	7,50	15,7	11,6	3,4	15,2
	01_43_A	Cluster 1	1,50	10,2	6,1	-2,0	9,8
	01_43_B	Cluster 1	4,50	11,1	7,0	-1,2	10,7
	01_43_C	Cluster 1	7,50	11,5	7,3	-0,9	11,0
	01_44_A	Cluster 1	1,50	12,2	8,2	0,0	11,8
	01_44_B	Cluster 1	4,50	14,7	10,6	2,4	14,2
	01_44_C	Cluster 1	7,50	15,7	11,5	3,3	15,2
	01_45_A	Cluster 1	1,50	14,6	10,5	2,4	14,2
	01_45_B	Cluster 1	4,50	16,7	12,6	4,4	16,2
	01_45_C	Cluster 1	7,50	17,8	13,6	5,4	17,3
	01_46_A	Cluster 1	1,50	15,8	11,8	3,6	15,4
	01_46_B	Cluster 1	4,50	17,6	13,5	5,4	17,2
	01_46_C	Cluster 1	7,50	18,7	14,5	6,4	18,2
	01_47_A	Cluster 1	1,50	16,6	12,6	4,4	16,2
	01_47_B	Cluster 1	4,50	18,4	14,3	6,1	17,9
	01_47_C	Cluster 1	7,50	19,4	15,3	7,1	18,9
	01_48_A	Cluster 1	1,50	15,9	11,9	3,8	15,5
	01_48_B	Cluster 1	4,50	17,5	13,5	5,3	17,1
	01_48_C	Cluster 1	7,50	18,5	14,4	6,2	18,1
	01_49_A	Cluster 1	1,50	12,7	8,7	0,6	12,3
	01_49_B	Cluster 1	4,50	14,2	10,1	2,0	13,7
	01_49_C	Cluster 1	7,50	15,2	11,1	2,9	14,7
	01_50_A	Cluster 1	1,50	14,9	10,8	2,7	14,5
	01_50_B	Cluster 1	4,50	16,5	12,4	4,3	16,1
	01_50_C	Cluster 1	7,50	17,7	13,6	5,4	17,3
	01_51_A	Cluster 1	1,50	14,7	10,7	2,6	14,3
	01_51_B	Cluster 1	4,50	16,3	12,2	4,0	15,8
	01_51_C	Cluster 1	7,50	17,3	13,2	5,0	16,9
	01_52_A	Cluster 1	1,50	15,0	11,0	2,9	14,6

Alle getoonde dB-waarden zijn A-gewogen

Bijlage III-7 Rekenresultaten H.G. Gooszenstraat

Rapport: Resultatentabel
 Model: Wegverkeermodel
 LAeq totaalresultaten voor toetspunten
 Groep: H.G. Gooszenstraat
 Groepsreductie: Nee

Naam	Toetspunt	Omschrijving	Hoogte	Dag	Avond	Nacht	Lden
	01_52_B	Cluster 1	4,50	17,1	13,1	4,9	16,7
	01_52_C	Cluster 1	7,50	18,5	14,4	6,2	18,0
	01_53_A	Cluster 1	1,50	15,1	11,1	3,0	14,7
	01_53_B	Cluster 1	4,50	17,3	13,2	5,0	16,8
	01_53_C	Cluster 1	7,50	18,2	14,1	6,0	17,8
	01_54_A	Cluster 1	1,50	15,3	11,3	3,2	14,9
	01_54_B	Cluster 1	4,50	17,2	13,1	5,0	16,7
	01_54_C	Cluster 1	7,50	18,2	14,2	6,0	17,8
	01_55_A	Cluster 1	1,50	15,3	11,3	3,2	14,9
	01_55_B	Cluster 1	4,50	17,7	13,7	5,5	17,3
	01_55_C	Cluster 1	7,50	18,8	14,7	6,6	18,4
	01_56_A	Cluster 1	1,50	16,0	12,0	3,9	15,6
	01_56_B	Cluster 1	4,50	17,4	13,4	5,3	17,0
	01_56_C	Cluster 1	7,50	18,9	14,9	6,8	18,5
	01_57_A	Cluster 1	1,50	13,0	9,0	0,9	12,6
	01_57_B	Cluster 1	4,50	16,0	12,0	3,8	15,6
	01_57_C	Cluster 1	7,50	18,1	14,0	5,8	17,6
	01_58_A	Cluster 1	1,50	13,4	9,5	1,3	13,1
	01_58_B	Cluster 1	4,50	16,9	12,8	4,7	16,5
	01_58_C	Cluster 1	7,50	18,2	14,1	5,9	17,8
	01_59_A	Cluster 1	1,50	13,3	9,3	1,2	12,9
	01_59_B	Cluster 1	4,50	15,4	11,4	3,2	15,0
	01_59_C	Cluster 1	7,50	15,2	11,1	2,9	14,8
	01_60_A	Cluster 1	1,50	13,6	9,6	1,5	13,2
	01_60_B	Cluster 1	4,50	15,2	11,2	3,0	14,8
	01_60_C	Cluster 1	7,50	15,0	10,8	2,7	14,5
	01_61_A	Cluster 1	1,50	14,7	10,7	2,5	14,3
	01_61_B	Cluster 1	4,50	16,1	12,0	3,8	15,6
	01_61_C	Cluster 1	7,50	15,9	11,8	3,6	15,5
	01_62_A	Cluster 1	1,50	14,5	10,5	2,4	14,1
	01_62_B	Cluster 1	4,50	15,9	11,9	3,7	15,5
	01_62_C	Cluster 1	7,50	15,9	11,7	3,5	15,4
	01_63_A	Cluster 1	1,50	13,1	9,1	1,0	12,7
	01_63_B	Cluster 1	4,50	14,6	10,5	2,3	14,1
	01_63_C	Cluster 1	7,50	14,6	10,5	2,3	14,2
	01_64_A	Cluster 1	1,50	11,5	7,5	-0,6	11,1
	01_64_B	Cluster 1	4,50	14,2	10,1	2,0	13,8
	01_64_C	Cluster 1	7,50	12,3	8,1	0,0	11,8
	01_65_A	Cluster 1	1,50	11,7	7,7	-0,5	11,3
	01_65_B	Cluster 1	4,50	14,5	10,5	2,3	14,1
	01_65_C	Cluster 1	7,50	15,2	11,1	2,9	14,7
	01_66_A	Cluster 1	1,50	12,8	8,8	0,7	12,4
	01_66_B	Cluster 1	4,50	16,0	11,9	3,8	15,6
	01_67_A	Cluster 1	1,50	12,6	8,6	0,4	12,2
	01_67_B	Cluster 1	4,50	14,9	10,9	2,7	14,5
	01_68_A	Cluster 1	1,50	12,8	8,8	0,7	12,4
	01_68_B	Cluster 1	4,50	14,1	10,1	1,9	13,7
	01_68_C	Cluster 1	7,50	14,9	10,8	2,7	14,5
	01_69_A	Cluster 1	1,50	13,4	9,4	1,2	13,0
	01_69_B	Cluster 1	4,50	14,1	10,0	1,9	13,6
	01_69_C	Cluster 1	7,50	15,7	11,7	3,6	15,3
	01_70_A	Cluster 1	1,50	15,6	11,6	3,4	15,2
	01_70_B	Cluster 1	4,50	16,6	12,5	4,3	16,1
	01_70_C	Cluster 1	7,50	17,3	13,1	5,0	16,8
	01_71_A	Cluster 1	1,50	15,7	11,6	3,5	15,3
	01_71_B	Cluster 1	4,50	16,9	12,8	4,7	16,5
	01_71_C	Cluster 1	7,50	18,2	14,2	6,0	17,8
	01_72_A	Cluster 1	1,50	14,7	10,7	2,5	14,3
	01_72_B	Cluster 1	4,50	15,9	11,8	3,6	15,4
	01_72_C	Cluster 1	7,50	16,6	12,5	4,3	16,2
	01_73_A	Cluster 1	1,50	11,4	7,4	-0,7	11,0
	01_73_B	Cluster 1	4,50	12,5	8,4	0,2	12,1
	01_73_C	Cluster 1	7,50	13,1	9,0	0,8	12,7
	01_74_A	Cluster 1	1,50	11,1	7,1	-1,1	10,7
	01_74_B	Cluster 1	4,50	12,2	8,1	0,0	11,8
	01_74_C	Cluster 1	7,50	12,8	8,7	0,5	12,4
	01_75_A	Cluster 1	1,50	11,7	7,6	-0,5	11,3
	01_75_B	Cluster 1	4,50	12,7	8,6	0,4	12,2
	01_75_C	Cluster 1	7,50	13,3	9,2	1,0	12,9
	01_76_A	Cluster 1	1,50	11,7	7,7	-0,5	11,3
	01_76_B	Cluster 1	4,50	12,8	8,7	0,5	12,3
	01_76_C	Cluster 1	7,50	13,5	9,4	1,2	13,0
	01_77_A	Cluster 1	1,50	12,2	8,1	0,0	11,8
	01_77_B	Cluster 1	4,50	13,3	9,2	1,1	12,9

Alle getoonde dB-waarden zijn A-gewogen

Bijlage III-7 Rekenresultaten H.G. Gooszenstraat

Rapport: Resultatentabel
 Model: Wegverkeermodel
 LAgg totaalresultaten voor toetspunten
 Groep: H.G. Gooszenstraat
 Groepsreductie: Nee

Naam	Toetspunt	Omschrijving	Hoogte	Dag	Avond	Nacht	Lden
01_78_A	Cluster 1	1,50	13,7	9,7	1,5	13,3	
01_78_B	Cluster 1	4,50	13,3	9,2	1,1	12,9	
01_79_A	Cluster 1	1,50	13,6	9,7	1,5	13,3	
01_79_B	Cluster 1	4,50	13,4	9,3	1,1	13,0	
01_79_C	Cluster 1	7,50	14,2	10,1	1,9	13,7	
01_80_A	Cluster 1	1,50	13,6	9,7	1,5	13,3	
01_80_B	Cluster 1	4,50	13,5	9,4	1,2	13,0	
01_80_C	Cluster 1	7,50	14,3	10,1	2,0	13,8	
01_81_A	Cluster 1	1,50	13,6	9,7	1,5	13,2	
01_81_B	Cluster 1	4,50	13,5	9,4	1,3	13,1	
01_81_C	Cluster 1	7,50	14,4	10,2	2,0	13,9	
01_82_A	Cluster 1	1,50	13,6	9,7	1,5	13,3	
01_82_B	Cluster 1	4,50	13,7	9,6	1,4	13,2	
01_82_C	Cluster 1	7,50	14,5	10,4	2,2	14,0	
01_83_A	Cluster 1	1,50	13,7	9,7	1,5	13,3	
01_83_B	Cluster 1	4,50	13,9	9,8	1,7	13,5	
01_83_C	Cluster 1	7,50	14,8	10,6	2,5	14,3	
01_84_A	Cluster 1	1,50	13,5	9,5	1,3	13,1	
01_84_B	Cluster 1	4,50	13,9	9,8	1,6	13,4	
01_84_C	Cluster 1	7,50	14,8	10,7	2,5	14,3	
01_85_A	Cluster 1	1,50	14,0	10,0	1,8	13,6	
01_85_B	Cluster 1	4,50	13,5	9,4	1,2	13,0	
01_85_C	Cluster 1	7,50	14,7	10,6	2,4	14,3	
01_86_A	Cluster 1	1,50	13,0	9,0	0,8	12,6	
01_86_B	Cluster 1	4,50	15,9	11,8	3,7	15,5	
01_86_C	Cluster 1	7,50	17,3	13,2	5,0	16,8	
01_87_A	Cluster 1	1,50	13,8	9,8	1,6	13,4	
01_87_B	Cluster 1	4,50	16,5	12,4	4,2	16,0	
01_88_A	Cluster 1	1,50	11,2	7,1	-1,0	10,8	
01_88_B	Cluster 1	4,50	4,4	0,2	-7,9	3,9	
01_89_A	Cluster 1	1,50	17,0	13,0	4,8	16,6	
01_89_B	Cluster 1	4,50	14,0	9,9	1,7	13,6	
01_89_C	Cluster 1	7,50	11,4	7,3	-0,9	11,0	
01_90_A	Cluster 1	1,50	10,7	6,6	-1,6	10,3	
01_90_B	Cluster 1	4,50	11,4	7,3	-0,9	11,0	
01_90_C	Cluster 1	7,50	11,3	7,1	-1,1	10,8	
01_91_A	Cluster 1	1,50	13,9	9,8	1,7	13,5	
01_91_B	Cluster 1	4,50	12,2	8,0	-0,2	11,7	
01_91_C	Cluster 1	7,50	12,0	7,9	-0,3	11,6	
01_92_A	Cluster 1	1,50	14,4	10,3	2,2	14,0	
01_92_B	Cluster 1	4,50	12,8	8,7	0,5	12,4	
01_92_C	Cluster 1	7,50	13,3	9,1	0,9	12,8	
01_93_A	Cluster 1	1,50	14,3	10,3	2,1	13,9	
01_93_B	Cluster 1	4,50	14,7	10,6	2,4	14,3	
01_93_C	Cluster 1	7,50	14,0	9,9	1,7	13,5	
01_94_A	Cluster 1	1,50	14,4	10,4	2,2	14,0	
01_94_B	Cluster 1	4,50	13,3	9,2	1,0	12,9	
01_94_C	Cluster 1	7,50	13,8	9,7	1,5	13,3	
01_95_A	Cluster 1	1,50	11,0	7,0	-1,2	10,6	
01_95_B	Cluster 1	4,50	11,7	7,6	-0,5	11,3	
01_95_C	Cluster 1	7,50	12,2	8,1	-0,1	11,8	
01_96_A	Cluster 1	1,50	14,4	10,4	2,2	14,0	
01_96_B	Cluster 1	4,50	11,0	6,9	-1,3	10,6	
01_96_C	Cluster 1	7,50	11,5	7,4	-0,8	11,0	
01_97_A	Cluster 1	1,50	11,0	7,0	-1,2	10,6	
01_97_B	Cluster 1	4,50	11,8	7,7	-0,5	11,3	
01_97_C	Cluster 1	7,50	12,3	8,1	-0,1	11,8	
01_98_A	Cluster 1	1,50	12,4	8,4	0,2	12,0	
01_98_B	Cluster 1	4,50	12,7	8,6	0,4	12,3	
01_98_C	Cluster 1	7,50	13,1	9,0	0,8	12,7	
01_99_A	Cluster 1	1,50	15,8	11,7	3,6	15,4	
01_99_B	Cluster 1	4,50	13,2	9,2	1,0	12,8	
01_99_C	Cluster 1	7,50	13,6	9,5	1,3	13,1	
02_01_A	Cluster 2	1,50	12,9	8,9	0,8	12,5	
02_01_B	Cluster 2	4,50	14,4	10,4	2,2	14,0	
02_01_C	Cluster 2	7,50	15,3	11,2	3,0	14,8	
02_02_A	Cluster 2	1,50	9,6	5,5	-2,6	9,1	
02_02_B	Cluster 2	4,50	7,9	3,7	-4,5	7,4	
02_02_C	Cluster 2	7,50	6,2	2,0	-6,2	5,7	
02_03_A	Cluster 2	1,50	11,4	7,4	-0,7	11,0	
02_03_B	Cluster 2	4,50	10,9	6,8	-1,4	10,4	
02_03_C	Cluster 2	7,50	10,8	6,6	-1,6	10,3	
02_04_A	Cluster 2	1,50	13,5	9,6	1,5	13,2	
02_04_B	Cluster 2	4,50	9,7	5,6	-2,6	9,2	

Alle getoonde dB-waarden zijn A-gewogen

Bijlage III-7 Rekenresultaten H.G. Gooszenstraat

Rapport: Resultatentabel
 Model: Wegverkeermodel
 LAeq totaalresultaten voor toetspunten
 Groep: H.G. Gooszenstraat
 Groepsreductie: Nee

Naam							
Toetspunt	Omschrijving	Hoogte	Dag	Avond	Nacht	Lden	
02_04_C	Cluster 2	7,50	9,1	4,9	-3,3	8,6	
02_05_A	Cluster 2	1,50	10,7	6,7	-1,5	10,3	
02_05_B	Cluster 2	4,50	12,1	8,0	-0,2	11,6	
02_05_C	Cluster 2	7,50	12,9	8,7	0,5	12,4	
02_06_A	Cluster 2	1,50	3,1	-0,9	-9,1	2,7	
02_06_B	Cluster 2	4,50	4,5	0,4	-7,8	4,1	
02_06_C	Cluster 2	7,50	-2,8	-6,9	-15,0	-3,2	
02_07_A	Cluster 2	1,50	10,2	6,2	-1,9	9,8	
02_07_B	Cluster 2	4,50	12,1	8,0	-0,2	11,6	
02_07_C	Cluster 2	7,50	12,9	8,7	0,5	12,4	
02_08_A	Cluster 2	1,50	7,2	3,2	-5,0	6,8	
02_08_B	Cluster 2	4,50	8,4	4,3	-3,9	8,0	
02_08_C	Cluster 2	7,50	9,1	5,0	-3,3	8,6	
02_09_A	Cluster 2	1,50	10,7	6,7	-1,4	10,3	
02_09_B	Cluster 2	4,50	10,5	6,4	-1,8	10,1	
02_09_C	Cluster 2	7,50	10,3	6,2	-2,0	9,9	
02_10_A	Cluster 2	1,50	9,4	5,4	-2,7	9,0	
02_10_B	Cluster 2	4,50	3,8	-0,4	-8,6	3,3	
02_10_C	Cluster 2	7,50	--	--	--	--	
02_100_A	Cluster 2	1,50	9,7	5,7	-2,5	9,3	
02_100_B	Cluster 2	4,50	11,3	7,2	-1,0	10,9	
02_100_C	Cluster 2	7,50	12,3	8,2	0,0	11,8	
02_101_A	Cluster 2	1,50	5,3	1,3	-6,8	4,9	
02_101_B	Cluster 2	4,50	5,6	1,5	-6,6	5,2	
02_101_C	Cluster 2	7,50	5,4	1,3	-6,9	5,0	
02_102_A	Cluster 2	1,50	6,5	2,5	-5,7	6,1	
02_102_B	Cluster 2	4,50	4,4	0,3	-7,9	3,9	
02_102_C	Cluster 2	7,50	6,0	1,9	-6,3	5,5	
02_103_A	Cluster 2	1,50	0,4	-3,7	-11,8	-0,1	
02_103_B	Cluster 2	4,50	1,5	-2,6	-10,8	1,1	
02_103_C	Cluster 2	7,50	2,6	-1,6	-9,7	2,1	
02_104_A	Cluster 2	1,50	8,6	4,6	-3,5	8,2	
02_104_B	Cluster 2	4,50	2,4	-1,7	-9,9	1,9	
02_104_C	Cluster 2	7,50	4,3	0,2	-7,9	3,9	
02_105_A	Cluster 2	1,50	3,6	-0,5	-8,7	3,1	
02_105_B	Cluster 2	4,50	5,4	1,4	-6,8	5,0	
02_105_C	Cluster 2	7,50	7,0	2,9	-5,3	6,6	
02_106_A	Cluster 2	1,50	11,7	7,6	-0,5	11,3	
02_106_B	Cluster 2	4,50	8,8	4,7	-3,5	8,3	
02_106_C	Cluster 2	7,50	8,5	4,4	-3,8	8,1	
02_107_A	Cluster 2	1,50	8,7	4,6	-3,5	8,3	
02_107_B	Cluster 2	4,50	9,8	5,7	-2,5	9,3	
02_107_C	Cluster 2	7,50	9,1	5,0	-3,2	8,7	
02_108_A	Cluster 2	1,50	13,2	9,1	1,0	12,8	
02_108_B	Cluster 2	4,50	11,7	7,6	-0,6	11,2	
02_108_C	Cluster 2	7,50	11,6	7,5	-0,7	11,1	
02_11_A	Cluster 2	1,50	12,1	8,1	-0,1	11,7	
02_11_B	Cluster 2	4,50	12,6	8,5	0,3	12,2	
02_11_C	Cluster 2	7,50	12,9	8,7	0,5	12,4	
02_12_A	Cluster 2	1,50	12,9	8,8	0,7	12,5	
02_12_B	Cluster 2	4,50	13,8	9,7	1,5	13,3	
02_13_A	Cluster 2	1,50	13,5	9,4	1,3	13,1	
02_13_B	Cluster 2	4,50	15,2	11,1	2,9	14,7	
02_14_A	Cluster 2	1,50	5,7	1,6	-6,5	5,3	
02_14_B	Cluster 2	4,50	8,4	4,3	-3,9	8,0	
02_15_A	Cluster 2	1,50	5,0	0,9	-7,2	4,6	
02_15_B	Cluster 2	4,50	7,5	3,4	-4,8	7,1	
02_16_A	Cluster 2	1,50	6,1	2,0	-6,1	5,7	
02_16_B	Cluster 2	4,50	8,1	4,0	-4,1	7,7	
02_16_C	Cluster 2	7,50	9,3	5,2	-3,0	8,9	
02_16_D	Cluster 2	10,50	9,3	5,1	-3,1	8,8	
02_17_A	Cluster 2	1,50	6,3	2,3	-5,9	5,9	
02_17_B	Cluster 2	4,50	8,2	4,1	-4,1	7,8	
02_17_C	Cluster 2	7,50	9,1	4,9	-3,3	8,6	
02_17_D	Cluster 2	10,50	8,8	4,6	-3,6	8,3	
02_18_A	Cluster 2	1,50	8,7	4,7	-3,5	8,3	
02_18_B	Cluster 2	4,50	8,7	4,6	-3,5	8,3	
02_18_C	Cluster 2	7,50	9,5	5,3	-2,9	9,0	
02_18_D	Cluster 2	10,50	9,6	5,5	-2,7	9,1	
02_19_A	Cluster 2	1,50	10,5	6,5	-1,7	10,1	
02_19_B	Cluster 2	4,50	9,5	5,4	-2,8	9,0	
02_19_C	Cluster 2	7,50	10,3	6,1	-2,1	9,8	
02_19_D	Cluster 2	10,50	9,5	5,3	-2,9	9,0	
02_20_A	Cluster 2	1,50	9,6	5,6	-2,5	9,2	

Alle getoonde dB-waarden zijn A-gewogen

Bijlage III-7 Rekenresultaten H.G. Gooszenstraat

Rapport: Resultatentabel
 Model: Wegverkeermodel
 LAeq totaalresultaten voor toetspunten
 Groep: H.G. Gooszenstraat
 Groepsreductie: Nee

Naam							
Toetspunt	Omschrijving	Hoogte	Dag	Avond	Nacht	Lden	
02_20_B	Cluster 2	4,50	10,1	6,0	-2,2	9,6	
02_20_C	Cluster 2	7,50	10,7	6,6	-1,6	10,2	
02_20_D	Cluster 2	10,50	10,2	6,0	-2,2	9,7	
02_21_A	Cluster 2	1,50	12,3	8,2	0,1	11,9	
02_21_B	Cluster 2	4,50	12,3	8,2	0,0	11,9	
02_21_C	Cluster 2	7,50	12,9	8,8	0,6	12,5	
02_21_D	Cluster 2	10,50	13,0	8,8	0,6	12,5	
02_22_A	Cluster 2	1,50	13,2	9,1	1,0	12,7	
02_22_B	Cluster 2	4,50	14,1	10,0	1,8	13,6	
02_22_C	Cluster 2	7,50	14,5	10,4	2,2	14,0	
02_22_D	Cluster 2	10,50	14,5	10,4	2,2	14,0	
02_23_A	Cluster 2	1,50	13,5	9,5	1,4	13,1	
02_23_B	Cluster 2	4,50	14,4	10,3	2,1	14,0	
02_23_C	Cluster 2	7,50	14,9	10,7	2,6	14,4	
02_23_D	Cluster 2	10,50	15,0	10,8	2,6	14,5	
02_24_A	Cluster 2	1,50	13,5	9,5	1,4	13,1	
02_24_B	Cluster 2	4,50	14,6	10,5	2,3	14,2	
02_24_C	Cluster 2	7,50	15,2	11,1	2,9	14,7	
02_24_D	Cluster 2	10,50	15,4	11,2	3,1	14,9	
02_25_A	Cluster 2	1,50	12,7	8,7	0,5	12,3	
02_25_B	Cluster 2	4,50	13,8	9,7	1,5	13,3	
02_25_C	Cluster 2	7,50	14,6	10,4	2,2	14,1	
02_25_D	Cluster 2	10,50	14,9	10,8	2,6	14,4	
02_26_A	Cluster 2	1,50	12,0	8,0	-0,2	11,6	
02_26_B	Cluster 2	4,50	13,1	9,1	0,9	12,7	
02_26_C	Cluster 2	7,50	15,1	11,1	2,9	14,7	
02_26_D	Cluster 2	10,50	17,8	13,7	5,5	17,3	
02_27_A	Cluster 2	1,50	11,5	7,5	-0,6	11,1	
02_27_B	Cluster 2	4,50	12,8	8,8	0,6	12,4	
02_27_C	Cluster 2	7,50	15,4	11,3	3,1	14,9	
02_27_D	Cluster 2	10,50	14,3	10,2	2,0	13,8	
02_28_A	Cluster 2	1,50	10,6	6,6	-1,6	10,2	
02_28_B	Cluster 2	4,50	11,4	7,3	-0,9	11,0	
02_28_C	Cluster 2	7,50	11,8	7,7	-0,5	11,4	
02_28_D	Cluster 2	10,50	12,1	7,9	-0,3	11,6	
02_29_A	Cluster 2	1,50	11,1	7,0	-1,1	10,7	
02_29_B	Cluster 2	4,50	11,8	7,7	-0,5	11,3	
02_29_C	Cluster 2	7,50	12,3	8,2	0,0	11,9	
02_29_D	Cluster 2	10,50	12,2	8,1	-0,1	11,7	
02_30_A	Cluster 2	1,50	10,3	6,3	-1,8	9,9	
02_30_B	Cluster 2	4,50	10,8	6,7	-1,4	10,4	
02_30_C	Cluster 2	7,50	11,6	7,4	-0,8	11,1	
02_30_D	Cluster 2	10,50	12,7	8,5	0,3	12,2	
02_31_A	Cluster 2	1,50	12,2	8,2	0,1	11,8	
02_31_B	Cluster 2	4,50	13,2	9,1	1,0	12,8	
02_31_C	Cluster 2	7,50	13,7	9,6	1,4	13,2	
02_31_D	Cluster 2	10,50	13,2	9,1	0,9	12,7	
02_32_A	Cluster 2	1,50	15,0	11,1	2,9	14,6	
02_32_B	Cluster 2	4,50	16,5	12,5	4,4	16,1	
02_32_C	Cluster 2	7,50	17,6	13,5	5,4	17,2	
02_32_D	Cluster 2	10,50	18,2	14,1	5,9	17,7	
02_33_A	Cluster 2	1,50	15,0	11,0	2,9	14,6	
02_33_B	Cluster 2	4,50	16,4	12,4	4,3	16,0	
02_33_C	Cluster 2	7,50	17,5	13,4	5,2	17,1	
02_34_A	Cluster 2	1,50	14,8	10,8	2,7	14,4	
02_34_B	Cluster 2	4,50	16,4	12,3	4,1	15,9	
02_34_C	Cluster 2	7,50	18,0	13,9	5,7	17,5	
02_35_A	Cluster 2	1,50	13,7	9,8	1,6	13,4	
02_35_B	Cluster 2	4,50	15,3	11,2	3,1	14,8	
02_35_C	Cluster 2	7,50	16,5	12,4	4,2	16,1	
02_36_A	Cluster 2	1,50	14,0	10,0	1,9	13,6	
02_36_B	Cluster 2	4,50	15,4	11,4	3,2	15,0	
02_36_C	Cluster 2	7,50	17,0	12,9	4,7	16,5	
02_37_A	Cluster 2	1,50	14,0	10,0	1,9	13,6	
02_37_B	Cluster 2	4,50	15,5	11,4	3,3	15,1	
02_37_C	Cluster 2	7,50	17,2	13,1	5,0	16,8	
02_38_A	Cluster 2	1,50	11,9	7,9	-0,2	11,5	
02_38_B	Cluster 2	4,50	13,2	9,2	1,0	12,8	
02_38_C	Cluster 2	7,50	14,7	10,7	2,5	14,3	
02_39_A	Cluster 2	1,50	12,3	8,3	0,2	11,9	
02_39_B	Cluster 2	4,50	13,7	9,7	1,5	13,3	
02_39_C	Cluster 2	7,50	15,5	11,4	3,2	15,0	
02_40_A	Cluster 2	1,50	11,5	7,6	-0,6	11,1	
02_40_B	Cluster 2	4,50	12,9	8,9	0,7	12,5	

Alle getoonde dB-waarden zijn A-gewogen

Bijlage III-7 Rekenresultaten H.G. Gooszenstraat

Rapport: Resultatentabel
 Model: Wegverkeermodel
 LAeq totaalresultaten voor toetspunten
 Groep: H.G. Gooszenstraat
 Groepsreductie: Nee

Naam							
Toetspunt	Omschrijving	Hoogte	Dag	Avond	Nacht	Lden	
02_40_C	Cluster 2	7,50	14,8	10,7	2,5	14,3	
02_41_A	Cluster 2	1,50	13,4	9,5	1,3	13,1	
02_41_B	Cluster 2	4,50	13,2	9,1	1,0	12,8	
02_41_C	Cluster 2	7,50	15,5	11,4	3,2	15,0	
02_42_A	Cluster 2	1,50	7,8	3,9	-4,3	7,5	
02_42_B	Cluster 2	4,50	9,8	5,8	-2,4	9,4	
02_42_C	Cluster 2	7,50	12,8	8,7	0,5	12,4	
02_43_A	Cluster 2	1,50	11,9	8,0	-0,1	11,5	
02_43_B	Cluster 2	4,50	13,2	9,2	1,0	12,8	
02_43_C	Cluster 2	7,50	14,9	10,8	2,6	14,4	
02_44_A	Cluster 2	1,50	12,1	8,1	0,0	11,7	
02_44_B	Cluster 2	4,50	13,6	9,5	1,3	13,1	
02_45_A	Cluster 2	1,50	11,1	7,2	-0,9	10,7	
02_45_B	Cluster 2	4,50	12,5	8,5	0,3	12,1	
02_46_A	Cluster 2	1,50	13,7	9,7	1,6	13,3	
02_46_B	Cluster 2	4,50	15,2	11,1	3,0	14,8	
02_47_A	Cluster 2	1,50	12,8	8,8	0,7	12,4	
02_47_B	Cluster 2	4,50	14,5	10,4	2,2	14,0	
02_48_A	Cluster 2	1,50	14,2	10,2	2,1	13,9	
02_48_B	Cluster 2	4,50	15,8	11,7	3,5	15,4	
02_48_C	Cluster 2	7,50	17,4	13,2	5,1	16,9	
02_49_A	Cluster 2	1,50	14,2	10,2	2,1	13,8	
02_49_B	Cluster 2	4,50	15,7	11,6	3,5	15,3	
02_49_C	Cluster 2	7,50	17,2	13,1	4,9	16,7	
02_50_A	Cluster 2	1,50	14,3	10,3	2,2	13,9	
02_50_B	Cluster 2	4,50	15,9	11,8	3,6	15,5	
02_50_C	Cluster 2	7,50	17,3	13,2	5,0	16,9	
02_51_A	Cluster 2	1,50	13,0	9,0	0,9	12,6	
02_51_B	Cluster 2	4,50	14,6	10,5	2,3	14,2	
02_51_C	Cluster 2	7,50	16,1	12,0	3,8	15,7	
02_52_A	Cluster 2	1,50	13,0	9,0	0,8	12,6	
02_52_B	Cluster 2	4,50	14,6	10,5	2,3	14,1	
02_52_C	Cluster 2	7,50	16,0	11,9	3,7	15,5	
02_53_A	Cluster 2	1,50	13,0	9,0	0,8	12,6	
02_53_B	Cluster 2	4,50	14,6	10,5	2,3	14,2	
02_53_C	Cluster 2	7,50	15,9	11,8	3,6	15,5	
02_54_A	Cluster 2	1,50	13,4	9,4	1,3	13,0	
02_54_B	Cluster 2	4,50	14,9	10,8	2,7	14,5	
02_54_C	Cluster 2	7,50	15,9	11,7	3,6	15,4	
02_55_A	Cluster 2	1,50	14,5	10,5	2,4	14,1	
02_55_B	Cluster 2	4,50	15,0	10,9	2,7	14,5	
02_55_C	Cluster 2	7,50	15,9	11,8	3,6	15,4	
02_56_A	Cluster 2	1,50	14,5	10,5	2,4	14,1	
02_56_B	Cluster 2	4,50	15,0	10,9	2,8	14,6	
02_56_C	Cluster 2	7,50	15,9	11,7	3,6	15,4	
02_57_A	Cluster 2	1,50	14,4	10,4	2,3	14,0	
02_57_B	Cluster 2	4,50	14,8	10,7	2,5	14,4	
02_57_C	Cluster 2	7,50	15,7	11,5	3,3	15,2	
02_58_A	Cluster 2	1,50	13,1	9,1	1,0	12,7	
02_58_B	Cluster 2	4,50	14,6	10,5	2,4	14,2	
02_58_C	Cluster 2	7,50	15,5	11,4	3,2	15,0	
02_59_A	Cluster 2	1,50	11,8	7,8	-0,3	11,4	
02_59_B	Cluster 2	4,50	14,2	10,1	1,9	13,7	
02_59_C	Cluster 2	7,50	14,9	10,7	2,5	14,4	
02_60_A	Cluster 2	1,50	14,0	10,0	1,8	13,6	
02_60_B	Cluster 2	4,50	14,1	10,0	1,8	13,6	
02_60_C	Cluster 2	7,50	14,8	10,7	2,5	14,4	
02_61_A	Cluster 2	1,50	14,4	10,4	2,2	14,0	
02_61_B	Cluster 2	4,50	15,8	11,7	3,6	15,4	
02_61_C	Cluster 2	7,50	16,7	12,6	4,4	16,2	
02_62_A	Cluster 2	1,50	14,1	10,1	1,9	13,7	
02_62_B	Cluster 2	4,50	15,8	11,7	3,6	15,4	
02_62_C	Cluster 2	7,50	16,7	12,6	4,4	16,3	
02_63_A	Cluster 2	1,50	13,8	9,8	1,7	13,4	
02_63_B	Cluster 2	4,50	15,1	11,0	2,9	14,7	
02_63_C	Cluster 2	7,50	16,0	11,8	3,6	15,5	
02_64_A	Cluster 2	1,50	14,1	10,0	1,9	13,6	
02_64_B	Cluster 2	4,50	15,5	11,4	3,3	15,1	
02_64_C	Cluster 2	7,50	16,4	12,3	4,1	15,9	
02_65_A	Cluster 2	1,50	14,3	10,2	2,1	13,8	
02_65_B	Cluster 2	4,50	15,6	11,5	3,4	15,2	
02_65_C	Cluster 2	7,50	16,6	12,4	4,2	16,1	
02_66_A	Cluster 2	1,50	14,1	10,0	1,8	13,6	
02_66_B	Cluster 2	4,50	15,4	11,3	3,1	14,9	

Alle getoonde dB-waarden zijn A-gewogen

Bijlage III-7 Rekenresultaten H.G. Gooszenstraat

Rapport: Resultatentabel
 Model: Wegverkeermodel
 LAeq totaalresultaten voor toetspunten
 Groep: H.G. Gooszenstraat
 Groepsreductie: Nee

Naam						
Toetspunt	Omschrijving	Hoogte	Dag	Avond	Nacht	Lden
02_66_C	Cluster 2	7,50	16,4	12,3	4,1	16,0
02_67_A	Cluster 2	1,50	14,0	9,9	1,7	13,5
02_67_B	Cluster 2	4,50	15,2	11,1	2,9	14,7
02_67_C	Cluster 2	7,50	16,2	12,1	3,9	15,8
02_68_A	Cluster 2	1,50	14,7	10,6	2,4	14,2
02_68_B	Cluster 2	4,50	15,8	11,7	3,5	15,4
02_68_C	Cluster 2	7,50	17,1	12,9	4,7	16,6
02_69_A	Cluster 2	1,50	10,0	6,0	-2,2	9,6
02_69_B	Cluster 2	4,50	11,1	7,0	-1,1	10,7
02_69_C	Cluster 2	7,50	12,1	8,0	-0,2	11,7
02_70_A	Cluster 2	1,50	13,9	9,8	1,7	13,5
02_70_B	Cluster 2	4,50	12,8	8,7	0,5	12,3
02_70_C	Cluster 2	7,50	13,8	9,6	1,4	13,3
02_71_A	Cluster 2	1,50	12,7	8,6	0,5	12,2
02_71_B	Cluster 2	4,50	13,6	9,5	1,3	13,1
02_72_A	Cluster 2	1,50	14,6	10,6	2,4	14,2
02_72_B	Cluster 2	4,50	16,5	12,4	4,3	16,1
02_73_A	Cluster 2	1,50	14,3	10,2	2,1	13,9
02_73_B	Cluster 2	4,50	15,4	11,4	3,2	15,0
02_73_C	Cluster 2	7,50	15,1	10,9	2,8	14,6
02_73_D	Cluster 2	10,50	17,7	13,6	5,4	17,2
02_74_A	Cluster 2	1,50	16,6	12,5	4,3	16,2
02_74_B	Cluster 2	4,50	17,2	13,1	4,9	16,7
02_74_C	Cluster 2	7,50	18,3	14,2	6,0	17,9
02_74_D	Cluster 2	10,50	17,7	13,6	5,5	17,3
02_75_A	Cluster 2	1,50	16,3	12,2	4,0	15,8
02_75_B	Cluster 2	4,50	17,2	13,1	4,9	16,8
02_75_C	Cluster 2	7,50	18,3	14,1	5,9	17,8
02_75_D	Cluster 2	10,50	17,6	13,5	5,4	17,2
02_76_A	Cluster 2	1,50	15,8	11,7	3,5	15,3
02_76_B	Cluster 2	4,50	16,0	11,9	3,7	15,6
02_76_C	Cluster 2	7,50	17,1	13,0	4,8	16,6
02_76_D	Cluster 2	10,50	15,7	11,7	3,5	15,3
02_77_A	Cluster 2	1,50	15,6	11,5	3,4	15,2
02_77_B	Cluster 2	4,50	15,9	11,8	3,7	15,5
02_77_C	Cluster 2	7,50	16,9	12,8	4,6	16,4
02_77_D	Cluster 2	10,50	15,5	11,4	3,2	15,1
02_78_A	Cluster 2	1,50	17,5	13,4	5,3	17,1
02_78_B	Cluster 2	4,50	15,5	11,4	3,3	15,1
02_78_C	Cluster 2	7,50	16,5	12,4	4,2	16,1
02_78_D	Cluster 2	10,50	14,7	10,6	2,4	14,3
02_79_A	Cluster 2	1,50	17,0	12,9	4,8	16,6
02_79_B	Cluster 2	4,50	16,3	12,2	4,1	15,9
02_79_C	Cluster 2	7,50	17,4	13,3	5,1	17,0
02_79_D	Cluster 2	10,50	16,4	12,4	4,2	16,0
02_80_A	Cluster 2	1,50	15,3	11,2	3,1	14,8
02_80_B	Cluster 2	4,50	16,1	12,0	3,9	15,7
02_80_C	Cluster 2	7,50	17,5	13,4	5,2	17,0
02_80_D	Cluster 2	10,50	17,8	13,7	5,5	17,3
02_81_A	Cluster 2	1,50	15,8	11,8	3,6	15,4
02_81_B	Cluster 2	4,50	16,7	12,6	4,4	16,3
02_81_C	Cluster 2	7,50	18,0	13,9	5,7	17,6
02_81_D	Cluster 2	10,50	18,4	14,3	6,1	17,9
02_82_A	Cluster 2	1,50	16,2	12,2	4,1	15,8
02_82_B	Cluster 2	4,50	17,0	12,9	4,7	16,6
02_82_C	Cluster 2	7,50	18,1	14,0	5,8	17,7
02_82_D	Cluster 2	10,50	18,4	14,3	6,1	17,9
02_83_A	Cluster 2	1,50	15,5	11,4	3,2	15,0
02_83_B	Cluster 2	4,50	16,5	12,4	4,3	16,1
02_83_C	Cluster 2	7,50	17,7	13,6	5,4	17,3
02_83_D	Cluster 2	10,50	17,8	13,7	5,5	17,4
02_84_A	Cluster 2	1,50	15,3	11,3	3,2	14,9
02_84_B	Cluster 2	4,50	17,0	12,9	4,8	16,6
02_84_C	Cluster 2	7,50	18,9	14,8	6,6	18,4
02_84_D	Cluster 2	10,50	20,5	16,4	8,2	20,0
02_85_A	Cluster 2	1,50	14,0	10,0	1,8	13,6
02_85_B	Cluster 2	4,50	14,9	10,8	2,7	14,5
02_85_C	Cluster 2	7,50	19,0	14,9	6,8	18,5
02_85_D	Cluster 2	10,50	20,6	16,7	8,6	20,3
02_86_A	Cluster 2	1,50	14,6	10,6	2,4	14,2
02_86_B	Cluster 2	4,50	13,1	8,9	0,7	12,6
02_86_C	Cluster 2	7,50	14,1	9,9	1,7	13,6
02_87_A	Cluster 2	1,50	11,5	7,4	-0,8	11,0
02_87_B	Cluster 2	4,50	12,7	8,5	0,3	12,2

Alle getoonde dB-waarden zijn A-gewogen

Bijlage III-7 Rekenresultaten H.G. Gooszenstraat

Rapport: Resultatentabel
 Model: Wegverkeermodel
 LAeq totaalresultaten voor toetspunten
 Groep: H.G. Gooszenstraat
 Groepsreductie: Nee

Naam	Toetspunt	Omschrijving	Hoogte	Dag	Avond	Nacht	Lden
02_87_C	Cluster 2		7,50	13,0	8,8	0,6	12,5
02_88_A	Cluster 2		1,50	7,8	3,8	-4,4	7,4
02_88_B	Cluster 2		4,50	9,4	5,3	-2,9	9,0
02_88_C	Cluster 2		7,50	10,0	5,9	-2,3	9,5
02_89_A	Cluster 2		1,50	11,0	6,8	-1,3	10,5
02_89_B	Cluster 2		4,50	11,4	7,3	-0,9	10,9
02_89_C	Cluster 2		7,50	11,3	7,2	-1,0	10,9
02_90_A	Cluster 2		1,50	16,7	12,6	4,4	16,2
02_90_B	Cluster 2		4,50	12,1	7,9	-0,3	11,6
02_90_C	Cluster 2		7,50	12,0	7,9	-0,3	11,6
02_91_A	Cluster 2		1,50	13,9	9,8	1,7	13,5
02_91_B	Cluster 2		4,50	11,6	7,5	-0,7	11,2
02_91_C	Cluster 2		7,50	11,5	7,4	-0,8	11,0
02_92_A	Cluster 2		1,50	16,2	12,1	3,9	15,7
02_92_B	Cluster 2		4,50	15,4	11,2	3,1	14,9
02_92_C	Cluster 2		7,50	15,8	11,6	3,4	15,3
02_93_A	Cluster 2		1,50	13,2	9,2	1,0	12,8
02_93_B	Cluster 2		4,50	11,7	7,6	-0,6	11,3
02_93_C	Cluster 2		7,50	11,8	7,7	-0,5	11,4
02_94_A	Cluster 2		1,50	9,5	5,5	-2,7	9,1
02_94_B	Cluster 2		4,50	8,7	4,6	-3,6	8,2
02_94_C	Cluster 2		7,50	9,3	5,2	-3,0	8,8
02_95_A	Cluster 2		1,50	8,9	4,9	-3,2	8,5
02_95_B	Cluster 2		4,50	10,7	6,6	-1,5	10,3
02_95_C	Cluster 2		7,50	12,7	8,5	0,3	12,2
02_96_A	Cluster 2		1,50	2,4	-1,7	-9,8	2,0
02_96_B	Cluster 2		4,50	3,3	-0,9	-9,1	2,8
02_97_A	Cluster 2		1,50	9,7	5,7	-2,5	9,3
02_97_B	Cluster 2		4,50	11,7	7,7	-0,5	11,3
02_98_A	Cluster 2		1,50	10,0	6,0	-2,1	9,6
02_98_B	Cluster 2		4,50	12,1	8,0	-0,2	11,6
02_98_C	Cluster 2		7,50	13,5	9,4	1,3	13,1
02_99_A	Cluster 2		1,50	11,5	7,5	-0,7	11,1
02_99_B	Cluster 2		4,50	12,8	8,8	0,6	12,4
02_99_C	Cluster 2		7,50	14,1	10,0	1,8	13,6
03_01_A	Cluster 3		1,50	15,3	11,3	3,2	14,9
03_01_B	Cluster 3		4,50	17,3	13,3	5,1	16,9
03_01_C	Cluster 3		7,50	19,8	15,8	7,7	19,4
03_02_A	Cluster 3		1,50	11,8	7,8	-0,3	11,4
03_02_B	Cluster 3		4,50	12,5	8,5	0,3	12,1
03_02_C	Cluster 3		7,50	13,0	8,9	0,7	12,5
03_03_A	Cluster 3		1,50	12,4	8,4	0,2	12,0
03_03_B	Cluster 3		4,50	13,0	9,0	0,8	12,6
03_03_C	Cluster 3		7,50	13,6	9,6	1,4	13,2
03_04_A	Cluster 3		1,50	9,5	5,6	-2,6	9,2
03_04_B	Cluster 3		4,50	10,2	6,2	-2,0	9,8
03_04_C	Cluster 3		7,50	10,6	6,5	-1,6	10,2
03_05_A	Cluster 3		1,50	7,6	3,7	-4,4	7,3
03_05_B	Cluster 3		4,50	9,1	5,1	-3,1	8,7
03_06_A	Cluster 3		1,50	8,2	4,3	-3,8	7,9
03_06_B	Cluster 3		4,50	9,8	5,8	-2,4	9,4
03_07_A	Cluster 3		1,50	7,6	3,7	-4,5	7,3
03_07_B	Cluster 3		4,50	9,4	5,3	-2,8	9,0
03_08_A	Cluster 3		1,50	13,9	10,0	1,9	13,6
03_08_B	Cluster 3		4,50	15,9	11,9	3,7	15,5
03_09_A	Cluster 3		1,50	14,5	10,5	2,4	14,1
03_09_B	Cluster 3		4,50	17,2	13,2	5,0	16,8
03_09_C	Cluster 3		7,50	18,9	14,9	6,8	18,5
03_10_A	Cluster 3		1,50	13,5	9,5	1,3	13,1
03_10_B	Cluster 3		4,50	14,6	10,6	2,4	14,2
03_10_C	Cluster 3		7,50	15,1	11,0	2,8	14,6
03_11_A	Cluster 3		1,50	15,2	11,2	3,1	14,8
03_11_B	Cluster 3		4,50	15,8	11,7	3,6	15,4
03_11_C	Cluster 3		7,50	16,3	12,2	4,1	15,9
03_12_A	Cluster 3		1,50	13,8	9,8	1,6	13,4
03_12_B	Cluster 3		4,50	15,1	11,0	2,8	14,6
03_12_C	Cluster 3		7,50	15,8	11,7	3,5	15,3
03_13_A	Cluster 3		1,50	12,6	8,6	0,5	12,2
03_13_B	Cluster 3		4,50	14,5	10,4	2,3	14,1
03_13_C	Cluster 3		7,50	15,5	11,4	3,2	15,0
03_14_A	Cluster 3		1,50	14,2	10,2	2,1	13,9
03_14_B	Cluster 3		4,50	14,3	10,2	2,1	13,9
03_14_C	Cluster 3		7,50	15,3	11,2	3,0	14,9
03_15_A	Cluster 3		1,50	14,8	10,8	2,6	14,4

Alle getoonde dB-waarden zijn A-gewogen

Bijlage III-7 Rekenresultaten H.G. Gooszenstraat

Rapport: Resultatentabel
 Model: Wegverkeermodel
 LAgg totaalresultaten voor toetspunten
 Groep: H.G. Gooszenstraat
 Groepsreductie: Nee

Naam	Toetspunt	Omschrijving	Hoogte	Dag	Avond	Nacht	Lden
03_15_B	Cluster 3		4,50	15,5	11,4	3,2	15,0
03_15_C	Cluster 3		7,50	16,1	12,0	3,8	15,7
03_16_A	Cluster 3		1,50	14,8	10,8	2,7	14,4
03_16_B	Cluster 3		4,50	15,4	11,3	3,2	15,0
03_16_C	Cluster 3		7,50	15,9	11,8	3,6	15,4
03_17_A	Cluster 3		1,50	14,2	10,2	2,0	13,8
03_17_B	Cluster 3		4,50	14,7	10,6	2,4	14,3
03_17_C	Cluster 3		7,50	15,4	11,3	3,1	15,0
03_18_A	Cluster 3		1,50	13,8	9,8	1,7	13,4
03_18_B	Cluster 3		4,50	15,4	11,3	3,1	14,9
03_18_C	Cluster 3		7,50	15,9	11,7	3,5	15,4
03_19_A	Cluster 3		1,50	14,9	10,9	2,7	14,5
03_19_B	Cluster 3		4,50	14,8	10,7	2,5	14,4
03_19_C	Cluster 3		7,50	15,3	11,2	3,0	14,9
03_20_A	Cluster 3		1,50	14,6	10,6	2,4	14,2
03_20_B	Cluster 3		4,50	14,7	10,6	2,5	14,3
03_20_C	Cluster 3		7,50	15,3	11,1	2,9	14,8
03_21_A	Cluster 3		1,50	13,6	9,7	1,5	13,3
03_21_B	Cluster 3		4,50	15,3	11,2	3,1	14,9
03_21_C	Cluster 3		7,50	16,0	11,9	3,7	15,5
03_22_A	Cluster 3		1,50	12,8	8,8	0,7	12,4
03_22_B	Cluster 3		4,50	14,5	10,5	2,3	14,1
03_22_C	Cluster 3		7,50	15,7	11,5	3,4	15,2
03_23_A	Cluster 3		1,50	12,6	8,6	0,4	12,2
03_23_B	Cluster 3		4,50	14,4	10,3	2,2	14,0
03_23_C	Cluster 3		7,50	15,3	11,2	3,0	14,9
03_24_A	Cluster 3		1,50	9,7	5,7	-2,4	9,3
03_24_B	Cluster 3		4,50	11,6	7,6	-0,6	11,2
03_24_C	Cluster 3		7,50	12,2	8,1	-0,1	11,8
03_25_A	Cluster 3		1,50	14,0	10,0	1,9	13,6
03_25_B	Cluster 3		4,50	15,6	11,5	3,4	15,2
03_25_C	Cluster 3		7,50	16,7	12,6	4,4	16,3
03_26_A	Cluster 3		1,50	14,5	10,5	2,4	14,1
03_26_B	Cluster 3		4,50	16,0	12,0	3,8	15,6
03_26_C	Cluster 3		7,50	17,4	13,3	5,1	16,9
03_27_A	Cluster 3		1,50	14,6	10,6	2,4	14,2
03_27_B	Cluster 3		4,50	16,0	11,9	3,8	15,6
03_27_C	Cluster 3		7,50	17,4	13,3	5,1	17,0
03_28_A	Cluster 3		1,50	14,9	10,9	2,7	14,5
03_28_B	Cluster 3		4,50	16,4	12,4	4,2	16,0
03_28_C	Cluster 3		7,50	18,2	14,1	5,9	17,7
03_29_A	Cluster 3		1,50	14,0	10,0	1,9	13,6
03_29_B	Cluster 3		4,50	15,5	11,5	3,3	15,1
03_29_C	Cluster 3		7,50	17,3	13,2	5,0	16,8
03_30_A	Cluster 3		1,50	15,2	11,2	3,0	14,8
03_30_B	Cluster 3		4,50	17,1	13,1	4,9	16,7
03_30_C	Cluster 3		7,50	18,9	14,8	6,6	18,5
03_31_A	Cluster 3		1,50	16,5	12,5	4,3	16,1
03_31_B	Cluster 3		4,50	18,5	14,4	6,3	18,1
03_31_C	Cluster 3		7,50	20,5	16,4	8,2	20,0
03_32_A	Cluster 3		1,50	14,5	10,5	2,4	14,1
03_32_B	Cluster 3		4,50	16,3	12,3	4,1	15,9
03_32_C	Cluster 3		7,50	17,6	13,5	5,4	17,2
03_33_A	Cluster 3		1,50	16,7	12,7	4,6	16,3
03_33_B	Cluster 3		4,50	19,0	14,9	6,8	18,6
03_33_C	Cluster 3		7,50	20,7	16,6	8,4	20,3
03_34_A	Cluster 3		1,50	15,8	11,9	3,7	15,4
03_34_B	Cluster 3		4,50	17,5	13,5	5,4	17,1
03_34_C	Cluster 3		7,50	19,1	15,0	6,8	18,6
03_35_A	Cluster 3		1,50	15,4	11,5	3,4	15,1
03_35_B	Cluster 3		4,50	17,1	13,1	4,9	16,7
03_35_C	Cluster 3		7,50	18,6	14,5	6,3	18,2
03_36_A	Cluster 3		1,50	15,3	11,4	3,3	15,0
03_36_B	Cluster 3		4,50	17,0	13,0	4,8	16,6
03_36_C	Cluster 3		7,50	18,4	14,3	6,1	17,9
03_37_A	Cluster 3		1,50	14,7	10,8	2,7	14,4
03_37_B	Cluster 3		4,50	16,2	12,2	4,0	15,8
03_37_C	Cluster 3		7,50	17,6	13,6	5,4	17,2
03_38_A	Cluster 3		1,50	17,8	13,8	5,7	17,4
03_38_B	Cluster 3		4,50	19,0	15,0	6,9	18,6
03_38_C	Cluster 3		7,50	20,3	16,2	8,1	19,8
03_39_A	Cluster 3		1,50	23,5	19,8	11,7	23,2
03_39_B	Cluster 3		4,50	23,9	20,2	12,1	23,7
03_39_C	Cluster 3		7,50	24,5	20,7	12,6	24,2

Alle getoonde dB-waarden zijn A-gewogen

Bijlage III-7 Rekenresultaten H.G. Gooszenstraat

Rapport: Resultatentabel
 Model: Wegverkeermodel
 LAeq totaalresultaten voor toetspunten
 Groep: H.G. Gooszenstraat
 Groepsreductie: Nee

Naam	Toetspunt	Omschrijving	Hoogte	Dag	Avond	Nacht	Lden
	03_40_A	Cluster 3	1,50	25,8	22,1	14,1	25,6
	03_40_B	Cluster 3	4,50	26,2	22,5	14,4	26,0
	03_40_C	Cluster 3	7,50	26,7	22,9	14,8	26,4
	03_41_A	Cluster 3	1,50	27,4	23,8	15,7	27,2
	03_41_B	Cluster 3	4,50	27,7	24,0	16,0	27,5
	03_41_C	Cluster 3	7,50	28,0	24,3	16,3	27,8
	03_42_A	Cluster 3	1,50	25,1	21,4	13,4	24,8
	03_42_B	Cluster 3	4,50	26,6	23,0	15,0	26,4
	03_42_C	Cluster 3	7,50	27,5	23,8	15,8	27,3
	03_43_A	Cluster 3	1,50	21,1	17,4	9,4	20,9
	03_43_B	Cluster 3	4,50	21,6	17,8	9,8	21,3
	03_43_C	Cluster 3	7,50	22,1	18,3	10,2	21,8
	03_44_A	Cluster 3	1,50	20,6	17,0	9,0	20,4
	03_44_B	Cluster 3	4,50	21,2	17,5	9,4	20,9
	03_44_C	Cluster 3	7,50	21,7	18,0	9,9	21,5
	03_45_A	Cluster 3	1,50	13,8	9,8	1,7	13,4
	03_45_B	Cluster 3	4,50	15,3	11,2	3,1	14,8
	03_45_C	Cluster 3	7,50	16,6	12,6	4,4	16,2
	03_46_A	Cluster 3	1,50	12,8	8,8	0,7	12,4
	03_46_B	Cluster 3	4,50	14,0	9,9	1,8	13,6
	03_46_C	Cluster 3	7,50	15,0	10,9	2,8	14,6
	03_47_A	Cluster 3	1,50	14,1	10,1	2,0	13,7
	03_47_B	Cluster 3	4,50	17,2	13,1	5,0	16,8
	03_47_C	Cluster 3	7,50	20,4	16,4	8,3	20,0
	03_48_A	Cluster 3	1,50	18,7	14,7	6,6	18,3
	03_48_B	Cluster 3	4,50	20,5	16,4	8,3	20,0
	03_48_C	Cluster 3	7,50	21,2	17,1	9,0	20,7
	03_49_A	Cluster 3	1,50	18,5	14,5	6,3	18,1
	03_49_B	Cluster 3	4,50	20,2	16,1	8,0	19,7
	03_49_C	Cluster 3	7,50	20,5	16,4	8,3	20,1
	03_50_A	Cluster 3	1,50	16,6	12,6	4,5	16,2
	03_50_B	Cluster 3	4,50	19,5	15,5	7,3	19,1
	03_50_C	Cluster 3	7,50	21,5	17,6	9,5	21,2
	03_51_A	Cluster 3	1,50	16,8	12,8	4,7	16,4
	03_51_B	Cluster 3	4,50	20,0	16,0	7,8	19,6
	03_52_A	Cluster 3	1,50	15,0	11,0	2,9	14,6
	03_52_B	Cluster 3	4,50	17,1	13,0	4,9	16,7
	03_53_A	Cluster 3	1,50	17,0	13,0	4,9	16,6
	03_53_B	Cluster 3	4,50	18,4	14,4	6,2	18,0
	03_53_C	Cluster 3	7,50	19,8	15,7	7,6	19,3
	03_54_A	Cluster 3	1,50	15,8	11,8	3,6	15,4
	03_54_B	Cluster 3	4,50	17,2	13,2	5,0	16,8
	03_54_C	Cluster 3	7,50	19,5	15,6	7,5	19,1
	03_55_A	Cluster 3	1,50	17,8	13,8	5,6	17,4
	03_55_B	Cluster 3	4,50	19,0	15,0	6,8	18,6
	03_55_C	Cluster 3	7,50	20,1	16,0	7,9	19,6
	03_56_A	Cluster 3	1,50	17,6	13,6	5,5	17,2
	03_56_B	Cluster 3	4,50	19,0	15,0	6,8	18,6
	03_56_C	Cluster 3	7,50	20,2	16,1	8,0	19,7
	03_57_A	Cluster 3	1,50	16,2	12,2	4,1	15,8
	03_57_B	Cluster 3	4,50	17,6	13,5	5,4	17,2
	03_57_C	Cluster 3	7,50	18,7	14,6	6,4	18,2
	03_58_A	Cluster 3	1,50	16,2	12,2	4,1	15,8
	03_58_B	Cluster 3	4,50	17,6	13,5	5,3	17,1
	03_58_C	Cluster 3	7,50	18,7	14,5	6,4	18,2
	03_59_A	Cluster 3	1,50	17,0	13,0	4,8	16,6
	03_59_B	Cluster 3	4,50	18,4	14,3	6,2	18,0
	03_59_C	Cluster 3	7,50	19,4	15,3	7,1	19,0
	03_60_A	Cluster 3	1,50	16,5	12,5	4,4	16,1
	03_60_B	Cluster 3	4,50	18,0	13,9	5,8	17,6
	03_60_C	Cluster 3	7,50	19,2	15,1	7,0	18,8
	03_61_A	Cluster 3	1,50	16,4	12,4	4,2	16,0
	03_61_B	Cluster 3	4,50	17,4	13,3	5,2	17,0
	03_61_C	Cluster 3	7,50	19,1	14,9	6,8	18,6
	03_62_A	Cluster 3	1,50	17,3	13,3	5,2	16,9
	03_62_B	Cluster 3	4,50	18,8	14,7	6,6	18,4
	03_62_C	Cluster 3	7,50	20,1	16,0	7,8	19,6
	03_63_A	Cluster 3	1,50	17,3	13,3	5,2	16,9
	03_63_B	Cluster 3	4,50	19,1	15,0	6,9	18,7
	03_63_C	Cluster 3	7,50	20,4	16,3	8,1	19,9
	03_64_A	Cluster 3	1,50	15,5	11,5	3,3	15,1
	03_64_B	Cluster 3	4,50	17,6	13,6	5,4	17,2
	03_64_C	Cluster 3	7,50	19,0	14,8	6,6	18,5
	03_65_A	Cluster 3	1,50	16,2	12,2	4,1	15,8

Alle getoonde dB-waarden zijn A-gewogen

Bijlage III-7 Rekenresultaten H.G. Gooszenstraat

Rapport: Resultatentabel
 Model: Wegverkeermodel
 LAeq totaalresultaten voor toetspunten
 Groep: H.G. Gooszenstraat
 Groepsreductie: Nee

Naam	Toetspunt	Omschrijving	Hoogte	Dag	Avond	Nacht	Lden
	03_65_B	Cluster 3	4,50	18,3	14,2	6,1	17,9
	03_65_C	Cluster 3	7,50	20,1	16,0	7,8	19,7
	03_66_A	Cluster 3	1,50	16,4	12,4	4,2	16,0
	03_66_B	Cluster 3	4,50	18,2	14,1	6,0	17,8
	03_66_C	Cluster 3	7,50	20,1	16,0	7,8	19,7
	03_67_A	Cluster 3	1,50	15,6	11,6	3,4	15,2
	03_67_B	Cluster 3	4,50	16,9	12,8	4,6	16,5
	03_67_C	Cluster 3	7,50	17,6	13,5	5,3	17,2
	03_68_A	Cluster 3	1,50	17,8	13,8	5,7	17,4
	03_68_B	Cluster 3	4,50	19,0	14,9	6,7	18,5
	03_68_C	Cluster 3	7,50	20,0	15,8	7,7	19,5
	03_69_A	Cluster 3	1,50	17,9	13,9	5,7	17,5
	03_69_B	Cluster 3	4,50	19,1	15,0	6,9	18,7
	03_69_C	Cluster 3	7,50	20,2	16,0	7,9	19,7
	03_70_A	Cluster 3	1,50	19,8	15,8	7,6	19,4
	03_70_B	Cluster 3	4,50	19,1	15,0	6,9	18,7
	03_70_C	Cluster 3	7,50	20,2	16,0	7,9	19,7
	03_71_A	Cluster 3	1,50	19,4	15,4	7,2	19,0
	03_71_B	Cluster 3	4,50	18,5	14,5	6,3	18,1
	03_71_C	Cluster 3	7,50	19,6	15,5	7,3	19,2
	03_72_A	Cluster 3	1,50	17,9	13,9	5,7	17,5
	03_72_B	Cluster 3	4,50	18,3	14,2	6,0	17,8
	03_72_C	Cluster 3	7,50	19,5	15,4	7,2	19,0
	03_73_A	Cluster 3	1,50	17,6	13,6	5,5	17,2
	03_73_B	Cluster 3	4,50	18,8	14,7	6,6	18,4
	03_73_C	Cluster 3	7,50	20,0	15,9	7,7	19,6
	03_74_A	Cluster 3	1,50	17,4	13,4	5,2	17,0
	03_74_B	Cluster 3	4,50	19,0	14,9	6,7	18,5
	03_74_C	Cluster 3	7,50	20,3	16,1	8,0	19,8
	03_75_A	Cluster 3	1,50	15,1	11,1	3,0	14,7
	03_75_B	Cluster 3	4,50	15,9	11,8	3,6	15,4
	03_75_C	Cluster 3	7,50	16,4	12,3	4,1	16,0
	03_76_A	Cluster 3	1,50	17,7	13,7	5,6	17,3
	03_76_B	Cluster 3	4,50	15,9	11,9	3,7	15,5
	03_76_C	Cluster 3	7,50	16,6	12,5	4,3	16,2
	03_77_A	Cluster 3	1,50	14,8	10,8	2,6	14,4
	03_77_B	Cluster 3	4,50	15,8	11,7	3,5	15,3
	03_77_C	Cluster 3	7,50	16,5	12,4	4,2	16,0
	03_78_A	Cluster 3	1,50	17,9	13,9	5,7	17,5
	03_78_B	Cluster 3	4,50	16,4	12,3	4,2	16,0
	03_78_C	Cluster 3	7,50	17,0	12,9	4,7	16,5
	03_79_A	Cluster 3	1,50	15,0	11,0	2,8	14,6
	03_79_B	Cluster 3	4,50	16,0	12,0	3,8	15,6
	03_79_C	Cluster 3	7,50	16,6	12,5	4,3	16,2
	03_80_A	Cluster 3	1,50	19,2	15,1	7,0	18,8
	03_80_B	Cluster 3	4,50	17,2	13,1	5,0	16,8
	03_80_C	Cluster 3	7,50	17,7	13,6	5,4	17,2
	03_81_A	Cluster 3	1,50	17,4	13,4	5,3	17,0
	03_81_B	Cluster 3	4,50	16,4	12,4	4,2	16,0
	03_81_C	Cluster 3	7,50	16,8	12,7	4,5	16,4
	03_82_A	Cluster 3	1,50	17,6	13,6	5,5	17,2
	03_82_B	Cluster 3	4,50	17,3	13,3	5,2	16,9
	03_82_C	Cluster 3	7,50	19,7	15,9	7,8	19,4
	03_83_A	Cluster 3	1,50	16,3	12,3	4,2	15,9
	03_83_B	Cluster 3	4,50	18,7	14,7	6,5	18,3
	03_83_C	Cluster 3	7,50	20,0	15,9	7,8	19,6
	03_84_A	Cluster 3	1,50	16,7	12,8	4,6	16,4
	03_84_B	Cluster 3	4,50	19,9	15,8	7,7	19,5
	03_84_C	Cluster 3	7,50	24,0	20,0	11,9	23,6
	03_85_A	Cluster 3	1,50	16,4	12,4	4,3	16,0
	03_85_B	Cluster 3	4,50	19,4	15,3	7,2	19,0
	03_85_C	Cluster 3	7,50	23,8	19,9	11,8	23,4
	03_86_A	Cluster 3	1,50	16,5	12,5	4,3	16,1
	03_86_B	Cluster 3	4,50	18,8	14,7	6,6	18,3
	03_86_C	Cluster 3	7,50	21,5	17,5	9,4	21,1
	03_87_A	Cluster 3	1,50	17,9	13,9	5,8	17,5
	03_87_B	Cluster 3	4,50	19,7	15,7	7,5	19,3
	03_87_C	Cluster 3	7,50	20,5	16,4	8,3	20,1
	04_01_A	Cluster 4	1,50	28,2	24,6	16,5	28,0
	04_01_B	Cluster 4	4,50	29,4	25,7	17,7	29,2
	04_01_C	Cluster 4	7,50	30,5	26,8	18,7	30,2
	04_02_A	Cluster 4	1,50	11,2	7,3	-0,8	10,9
	04_02_B	Cluster 4	4,50	13,3	9,3	1,2	12,9
	04_02_C	Cluster 4	7,50	15,7	11,6	3,4	15,2

Alle getoonde dB-waarden zijn A-gewogen

Bijlage III-7 Rekenresultaten H.G. Gooszenstraat

Rapport: Resultatentabel
 Model: Wegverkeermodel
 LAeq totaalresultaten voor toetspunten
 Groep: H.G. Gooszenstraat
 Groepsreductie: Nee

Naam						
Toetspunt	Omschrijving	Hoogte	Dag	Avond	Nacht	Lden
04_03_A	Cluster 4	1,50	27,8	24,2	16,1	27,6
04_03_B	Cluster 4	4,50	29,0	25,3	17,3	28,8
04_03_C	Cluster 4	7,50	30,0	26,3	18,2	29,8
04_04_A	Cluster 4	1,50	22,2	18,6	10,6	22,0
04_04_B	Cluster 4	4,50	22,6	18,9	10,9	22,4
04_04_C	Cluster 4	7,50	23,2	19,4	11,4	22,9
04_05_A	Cluster 4	1,50	25,6	21,9	13,9	25,4
04_05_B	Cluster 4	4,50	27,1	23,4	15,4	26,9
04_05_C	Cluster 4	7,50	28,6	24,8	16,8	28,3
04_06_A	Cluster 4	1,50	20,1	16,1	8,0	19,7
04_06_B	Cluster 4	4,50	21,8	17,8	9,7	21,4
04_06_C	Cluster 4	7,50	23,6	19,6	11,4	23,2
04_07_A	Cluster 4	1,50	12,1	8,0	-0,1	11,7
04_07_B	Cluster 4	4,50	14,1	10,0	1,9	13,7
04_07_C	Cluster 4	7,50	15,7	11,6	3,4	15,3
04_08_A	Cluster 4	1,50	15,6	11,6	3,5	15,2
04_08_B	Cluster 4	4,50	16,8	12,7	4,5	16,3
04_08_C	Cluster 4	7,50	17,5	13,4	5,3	17,1
04_09_A	Cluster 4	1,50	15,9	11,9	3,8	15,5
04_09_B	Cluster 4	4,50	16,9	12,9	4,7	16,5
04_09_C	Cluster 4	7,50	17,6	13,5	5,3	17,1
04_10_A	Cluster 4	1,50	19,6	15,6	7,5	19,2
04_10_B	Cluster 4	4,50	27,8	24,1	16,1	27,6
04_10_C	Cluster 4	7,50	29,1	25,3	17,3	28,8
04_11_A	Cluster 4	1,50	19,4	15,5	7,3	19,0
04_11_B	Cluster 4	4,50	21,3	17,3	9,1	20,9
04_11_C	Cluster 4	7,50	23,6	19,5	11,3	23,1
04_12_A	Cluster 4	1,50	19,1	15,2	7,0	18,7
04_12_B	Cluster 4	4,50	21,1	17,0	8,9	20,7
04_12_C	Cluster 4	7,50	23,4	19,3	11,2	23,0
04_13_A	Cluster 4	1,50	19,7	15,8	7,7	19,4
04_13_B	Cluster 4	4,50	22,5	18,6	10,5	22,1
04_13_C	Cluster 4	7,50	24,3	20,3	12,2	23,9
04_14_A	Cluster 4	1,50	15,6	11,6	3,5	15,2
04_14_B	Cluster 4	4,50	18,2	14,1	6,0	17,8
04_14_C	Cluster 4	7,50	20,5	16,4	8,2	20,0
04_15_A	Cluster 4	1,50	16,7	12,7	4,6	16,3
04_15_B	Cluster 4	4,50	18,1	14,1	5,9	17,7
04_15_C	Cluster 4	7,50	19,5	15,5	7,3	19,1
04_16_A	Cluster 4	1,50	16,5	12,5	4,4	16,1
04_16_B	Cluster 4	4,50	17,9	13,8	5,7	17,5
04_16_C	Cluster 4	7,50	18,9	14,9	6,7	18,5
04_17_A	Cluster 4	1,50	--	--	--	--
04_17_B	Cluster 4	4,50	21,3	17,3	9,1	20,9
04_17_C	Cluster 4	7,50	23,2	19,2	11,0	22,8
04_18_A	Cluster 4	1,50	18,9	15,0	6,8	18,6
04_18_B	Cluster 4	4,50	20,9	16,8	8,7	20,5
04_18_C	Cluster 4	7,50	23,2	19,2	11,0	22,8
04_19_A	Cluster 4	1,50	15,0	11,0	2,8	14,6
04_19_B	Cluster 4	4,50	16,8	12,7	4,6	16,3
04_19_C	Cluster 4	7,50	18,7	14,6	6,5	18,3
04_20_A	Cluster 4	1,50	16,6	12,6	4,5	16,2
04_20_B	Cluster 4	4,50	18,0	14,0	5,8	17,6
04_20_C	Cluster 4	7,50	19,3	15,2	7,1	18,9
04_21_A	Cluster 4	1,50	16,6	12,7	4,5	16,2
04_21_B	Cluster 4	4,50	18,9	14,9	6,7	18,5
04_21_C	Cluster 4	7,50	22,2	18,1	10,0	21,8
04_22_A	Cluster 4	1,50	14,0	10,1	2,0	13,7
04_22_B	Cluster 4	4,50	15,5	11,5	3,3	15,1
04_22_C	Cluster 4	7,50	16,5	12,4	4,3	16,1
04_23_A	Cluster 4	1,50	15,0	11,0	2,9	14,6
04_23_B	Cluster 4	4,50	16,6	12,5	4,3	16,1
04_23_C	Cluster 4	7,50	17,4	13,3	5,1	17,0
04_24_A	Cluster 4	1,50	15,4	11,4	3,2	15,0
04_24_B	Cluster 4	4,50	16,8	12,8	4,6	16,4
04_24_C	Cluster 4	7,50	17,8	13,6	5,5	17,3
04_25_A	Cluster 4	1,50	14,3	10,4	2,2	14,0
04_25_B	Cluster 4	4,50	15,8	11,8	3,6	15,4
04_25_C	Cluster 4	7,50	16,7	12,6	4,4	16,3
04_26_A	Cluster 4	1,50	14,2	10,3	2,1	13,9
04_26_B	Cluster 4	4,50	15,7	11,6	3,5	15,3
04_26_C	Cluster 4	7,50	16,4	12,3	4,1	16,0
04_27_A	Cluster 4	1,50	14,4	10,4	2,3	14,0
04_27_B	Cluster 4	4,50	14,6	10,5	2,3	14,1

Alle getoonde dB-waarden zijn A-gewogen

Bijlage III-7 Rekenresultaten H.G. Gooszenstraat

Rapport: Resultatentabel
 Model: Wegverkeermodel
 LAgg totaalresultaten voor toetspunten
 Groep: H.G. Gooszenstraat
 Groepsreductie: Nee

Naam						
Toetspunt	Omschrijving	Hoogte	Dag	Avond	Nacht	Lden
04_27_C	Cluster 4	7,50	15,5	11,4	3,2	15,1
04_27_D	Cluster 4	10,50	15,0	10,8	2,7	14,5
04_28_A	Cluster 4	1,50	14,9	11,0	2,8	14,6
04_28_B	Cluster 4	4,50	15,8	11,7	3,6	15,4
04_28_C	Cluster 4	7,50	16,6	12,5	4,3	16,1
04_28_D	Cluster 4	10,50	16,1	12,0	3,9	15,7
04_29_A	Cluster 4	1,50	14,5	10,6	2,4	14,2
04_29_B	Cluster 4	4,50	14,8	10,7	2,6	14,4
04_29_C	Cluster 4	7,50	15,4	11,3	3,2	15,0
04_29_D	Cluster 4	10,50	14,7	10,6	2,4	14,2
04_30_A	Cluster 4	1,50	14,6	10,6	2,5	14,2
04_30_B	Cluster 4	4,50	15,1	11,1	2,9	14,7
04_30_C	Cluster 4	7,50	15,9	11,8	3,6	15,4
04_30_D	Cluster 4	10,50	15,2	11,2	3,0	14,8
04_31_A	Cluster 4	1,50	14,8	10,8	2,7	14,4
04_31_B	Cluster 4	4,50	15,3	11,2	3,1	14,9
04_31_C	Cluster 4	7,50	16,1	12,0	3,8	15,7
04_31_D	Cluster 4	10,50	15,9	11,8	3,7	15,4
04_32_A	Cluster 4	1,50	14,7	10,7	2,6	14,3
04_32_B	Cluster 4	4,50	15,1	11,0	2,9	14,7
04_32_C	Cluster 4	7,50	15,7	11,6	3,4	15,2
04_32_D	Cluster 4	10,50	14,7	10,6	2,4	14,2
04_33_A	Cluster 4	1,50	15,1	11,1	3,0	14,7
04_33_B	Cluster 4	4,50	15,3	11,2	3,0	14,8
04_33_C	Cluster 4	7,50	15,7	11,6	3,4	15,3
04_33_D	Cluster 4	10,50	15,1	10,9	2,8	14,6
04_34_A	Cluster 4	1,50	16,3	12,3	4,2	15,9
04_34_B	Cluster 4	4,50	16,7	12,6	4,5	16,3
04_34_C	Cluster 4	7,50	17,4	13,3	5,2	17,0
04_34_D	Cluster 4	10,50	17,6	13,6	5,4	17,2
04_35_A	Cluster 4	1,50	16,1	12,2	4,0	15,7
04_35_B	Cluster 4	4,50	16,5	12,4	4,2	16,0
04_35_C	Cluster 4	7,50	17,4	13,3	5,1	16,9
04_35_D	Cluster 4	10,50	17,3	13,2	5,1	16,9
04_36_A	Cluster 4	1,50	15,9	12,0	3,8	15,6
04_36_B	Cluster 4	4,50	16,3	12,2	4,0	15,8
04_36_C	Cluster 4	7,50	16,8	12,7	4,6	16,4
04_36_D	Cluster 4	10,50	17,0	12,9	4,8	16,6
04_37_A	Cluster 4	1,50	15,7	11,7	3,6	15,3
04_37_B	Cluster 4	4,50	16,1	12,0	3,9	15,6
04_37_C	Cluster 4	7,50	16,9	12,9	4,7	16,5
04_37_D	Cluster 4	10,50	17,8	13,9	5,7	17,5
04_38_A	Cluster 4	1,50	16,0	12,0	3,9	15,6
04_38_B	Cluster 4	4,50	16,6	12,6	4,5	16,2
04_38_C	Cluster 4	7,50	19,0	15,1	7,1	18,7
04_38_D	Cluster 4	10,50	19,5	15,7	7,7	19,2
04_39_A	Cluster 4	1,50	19,0	15,3	7,3	18,8
04_39_B	Cluster 4	4,50	19,2	15,4	7,3	18,9
04_40_A	Cluster 4	1,50	15,2	11,2	3,1	14,8
04_40_B	Cluster 4	4,50	15,3	11,2	3,0	14,8
04_41_A	Cluster 4	1,50	25,1	21,4	13,4	24,9
04_41_B	Cluster 4	4,50	25,4	21,6	13,5	25,1
04_42_A	Cluster 4	1,50	21,2	17,4	9,3	20,9
04_42_B	Cluster 4	4,50	21,9	18,0	9,9	21,5
04_43_A	Cluster 4	1,50	25,9	22,2	14,2	25,6
04_43_B	Cluster 4	4,50	26,1	22,3	14,3	25,8
04_43_C	Cluster 4	7,50	26,9	23,1	15,0	26,6
04_44_A	Cluster 4	1,50	26,3	22,7	14,6	26,1
04_44_B	Cluster 4	4,50	26,8	23,1	15,0	26,6
04_44_C	Cluster 4	7,50	27,8	24,0	15,9	27,5
04_45_A	Cluster 4	1,50	18,2	14,3	6,2	17,9
04_45_B	Cluster 4	4,50	22,3	18,7	10,6	22,1
04_45_C	Cluster 4	7,50	24,3	20,6	12,5	24,1
04_46_A	Cluster 4	1,50	15,3	11,4	3,2	15,0
04_46_B	Cluster 4	4,50	16,6	12,5	4,3	16,1
04_47_A	Cluster 4	1,50	23,6	20,0	12,0	23,4
04_47_B	Cluster 4	4,50	24,8	21,0	13,0	24,5
04_48_A	Cluster 4	1,50	18,3	14,3	6,2	17,9
04_48_B	Cluster 4	4,50	19,8	15,8	7,6	19,4
04_48_C	Cluster 4	7,50	21,9	17,8	9,7	21,4
04_48_D	Cluster 4	10,50	24,9	20,9	12,8	24,5
04_49_A	Cluster 4	1,50	19,8	15,9	7,7	19,5
04_49_B	Cluster 4	4,50	21,0	16,9	8,8	20,5
04_49_C	Cluster 4	7,50	22,5	18,5	10,3	22,1

Alle getoonde dB-waarden zijn A-gewogen

Bijlage III-7 Rekenresultaten H.G. Gooszenstraat

Rapport: Resultatentabel
 Model: Wegverkeermodel
 LAeq totaalresultaten voor toetspunten
 Groep: H.G. Gooszenstraat
 Groepsreductie: Nee

Naam						
Toetspunt	Omschrijving	Hoogte	Dag	Avond	Nacht	Lden
04_49_D	Cluster 4	10,50	25,6	21,7	13,6	25,2
04_50_A	Cluster 4	1,50	19,9	16,0	7,8	19,6
04_50_B	Cluster 4	4,50	21,4	17,4	9,2	21,0
04_50_C	Cluster 4	7,50	23,0	18,9	10,8	22,6
04_50_D	Cluster 4	10,50	25,7	21,9	13,8	25,4
04_51_A	Cluster 4	1,50	20,0	16,1	7,9	19,7
04_51_B	Cluster 4	4,50	21,6	17,6	9,4	21,2
04_51_C	Cluster 4	7,50	23,2	19,2	11,1	22,8
04_51_D	Cluster 4	10,50	26,4	22,6	14,5	26,1
04_52_A	Cluster 4	1,50	19,8	15,9	7,7	19,5
04_52_B	Cluster 4	4,50	21,4	17,3	9,2	20,9
04_52_C	Cluster 4	7,50	23,0	19,0	10,9	22,6
04_52_D	Cluster 4	10,50	25,8	22,0	13,9	25,5
04_53_A	Cluster 4	1,50	20,4	16,4	8,3	20,0
04_53_B	Cluster 4	4,50	21,8	17,8	9,6	21,4
04_53_C	Cluster 4	7,50	23,2	19,2	11,0	22,8
04_53_D	Cluster 4	10,50	25,0	21,2	13,1	24,7
04_54_A	Cluster 4	1,50	21,0	17,1	8,9	20,7
04_54_B	Cluster 4	4,50	21,7	17,7	9,5	21,3
04_54_C	Cluster 4	7,50	22,9	18,9	10,7	22,5
04_54_D	Cluster 4	10,50	23,5	19,5	11,4	23,1
04_55_A	Cluster 4	1,50	20,4	16,4	8,3	20,0
04_55_B	Cluster 4	4,50	21,8	17,7	9,6	21,4
04_55_C	Cluster 4	7,50	22,9	18,8	10,7	22,5
04_55_D	Cluster 4	10,50	23,0	19,0	10,9	22,6
04_56_A	Cluster 4	1,50	20,7	16,7	8,6	20,3
04_56_B	Cluster 4	4,50	21,5	17,5	9,3	21,1
04_56_C	Cluster 4	7,50	22,7	18,6	10,4	22,2
04_56_D	Cluster 4	10,50	22,8	18,8	10,6	22,4
04_57_A	Cluster 4	1,50	18,5	14,6	6,5	18,2
04_57_B	Cluster 4	4,50	20,4	16,4	8,2	20,0
04_57_C	Cluster 4	7,50	21,7	17,6	9,4	21,2
04_57_D	Cluster 4	10,50	22,8	18,8	10,6	22,4
04_58_A	Cluster 4	1,50	18,8	14,9	6,8	18,5
04_58_B	Cluster 4	4,50	20,4	16,4	8,3	20,0
04_58_C	Cluster 4	7,50	22,0	18,0	9,8	21,6
04_58_D	Cluster 4	10,50	22,2	18,2	10,0	21,8
04_59_A	Cluster 4	1,50	19,4	15,5	7,3	19,0
04_59_B	Cluster 4	4,50	20,8	16,8	8,6	20,4
04_59_C	Cluster 4	7,50	22,0	17,9	9,8	21,6
04_60_A	Cluster 4	1,50	17,1	13,2	5,1	16,8
04_60_B	Cluster 4	4,50	19,2	15,2	7,0	18,8
04_60_C	Cluster 4	7,50	21,8	17,7	9,6	21,4
04_61_A	Cluster 4	1,50	13,9	10,0	1,9	13,6
04_61_B	Cluster 4	4,50	14,8	10,8	2,7	14,4
04_61_C	Cluster 4	7,50	17,5	13,4	5,2	17,0
04_62_A	Cluster 4	1,50	19,7	15,8	7,7	19,4
04_62_B	Cluster 4	4,50	20,5	16,4	8,3	20,1
04_62_C	Cluster 4	7,50	21,8	17,7	9,5	21,3
04_63_A	Cluster 4	1,50	19,2	15,3	7,2	18,9
04_63_B	Cluster 4	4,50	21,0	17,0	8,8	20,6
04_63_C	Cluster 4	7,50	22,4	18,3	10,2	22,0
04_64_A	Cluster 4	1,50	18,5	14,5	6,4	18,1
04_64_B	Cluster 4	4,50	20,6	16,5	8,4	20,1
04_64_C	Cluster 4	7,50	22,7	18,6	10,5	22,3
05_01_A	Cluster 5	1,50	29,9	26,3	18,3	29,7
05_01_B	Cluster 5	4,50	31,7	28,1	20,1	31,5
05_01_C	Cluster 5	7,50	33,1	29,5	21,4	32,9
05_02_A	Cluster 5	1,50	20,7	16,7	8,6	20,3
05_02_B	Cluster 5	4,50	23,1	19,1	11,0	22,7
05_02_C	Cluster 5	7,50	26,4	22,5	14,3	26,1
05_03_A	Cluster 5	1,50	24,5	20,5	12,4	24,1
05_03_B	Cluster 5	4,50	27,9	23,8	15,7	27,4
05_03_C	Cluster 5	7,50	32,1	28,1	20,0	31,7
05_04_A	Cluster 5	1,50	24,7	20,7	12,6	24,3
05_04_B	Cluster 5	4,50	30,8	27,0	18,9	30,5
05_04_C	Cluster 5	7,50	34,2	30,4	22,3	33,9
05_05_A	Cluster 5	1,50	21,7	17,8	9,6	21,4
05_05_B	Cluster 5	4,50	26,0	22,2	14,1	25,7
05_05_C	Cluster 5	7,50	28,3	24,5	16,4	28,0
05_06_A	Cluster 5	1,50	17,8	13,8	5,6	17,4
05_06_B	Cluster 5	4,50	19,2	15,2	7,0	18,8
05_06_C	Cluster 5	7,50	21,9	18,1	10,0	21,6
05_07_A	Cluster 5	1,50	31,5	27,9	19,9	31,4

Alle getoonde dB-waarden zijn A-gewogen

Bijlage III-7 Rekenresultaten H.G. Gooszenstraat

Rapport: Resultatentabel
 Model: Wegverkeermodel
 LAeq totaalresultaten voor toetspunten
 Groep: H.G. Gooszenstraat
 Groepsreductie: Nee

Naam	Toetspunt	Omschrijving	Hoogte	Dag	Avond	Nacht	Lden
05_07_B	Cluster 5		4,50	32,3	28,7	20,7	32,1
05_07_C	Cluster 5		7,50	35,1	31,5	23,5	34,9
05_08_A	Cluster 5		1,50	27,6	23,8	15,7	27,3
05_08_B	Cluster 5		4,50	33,8	30,1	22,1	33,6
05_08_C	Cluster 5		7,50	36,7	33,1	25,0	36,5
05_09_A	Cluster 5		1,50	24,5	20,6	12,4	24,2
05_09_B	Cluster 5		4,50	34,8	31,3	23,3	34,7
05_09_C	Cluster 5		7,50	37,3	33,7	25,6	37,1
05_10_A	Cluster 5		1,50	23,1	19,4	11,4	22,9
05_10_B	Cluster 5		4,50	24,1	20,4	12,4	23,9
05_10_C	Cluster 5		7,50	24,6	20,9	12,8	24,4
05_11_A	Cluster 5		1,50	18,1	14,1	6,0	17,7
05_11_B	Cluster 5		4,50	18,3	14,3	6,2	17,9
05_11_C	Cluster 5		7,50	20,1	16,1	8,0	19,7
05_12_A	Cluster 5		1,50	22,1	18,2	10,1	21,8
05_12_B	Cluster 5		4,50	25,6	21,7	13,6	25,3
05_12_C	Cluster 5		7,50	30,7	26,7	18,6	30,3
05_13_A	Cluster 5		1,50	19,4	15,4	7,3	19,0
05_13_B	Cluster 5		4,50	22,8	18,8	10,6	22,4
05_13_C	Cluster 5		7,50	27,5	23,5	15,4	27,1
05_14_A	Cluster 5		1,50	19,4	15,4	7,3	19,0
05_14_B	Cluster 5		4,50	20,4	16,4	8,2	20,0
05_14_C	Cluster 5		7,50	22,5	18,4	10,3	22,1
05_15_A	Cluster 5		1,50	25,1	21,4	13,3	24,9
05_15_B	Cluster 5		4,50	26,0	22,3	14,2	25,8
05_15_C	Cluster 5		7,50	27,5	23,8	15,7	27,3
05_16_A	Cluster 5		1,50	29,3	25,5	17,5	29,0
05_16_B	Cluster 5		4,50	33,7	30,1	22,0	33,5
05_16_C	Cluster 5		7,50	35,9	32,1	24,1	35,6
05_17_A	Cluster 5		1,50	31,9	28,1	20,1	31,6
05_17_B	Cluster 5		4,50	41,8	38,3	30,3	41,7
05_17_C	Cluster 5		7,50	42,9	39,3	31,2	42,7
05_18_A	Cluster 5		1,50	31,0	27,3	19,2	30,8
05_18_B	Cluster 5		4,50	37,8	34,2	26,2	37,6
05_18_C	Cluster 5		7,50	39,9	36,3	28,2	39,7
05_19_A	Cluster 5		1,50	30,2	26,5	18,5	30,0
05_19_B	Cluster 5		4,50	31,6	27,9	19,8	31,3
05_19_C	Cluster 5		7,50	32,9	29,1	21,1	32,6
05_20_A	Cluster 5		1,50	30,8	27,1	19,0	30,6
05_20_B	Cluster 5		4,50	37,3	33,7	25,7	37,1
05_20_C	Cluster 5		7,50	39,2	35,6	27,5	39,0
05_21_A	Cluster 5		1,50	45,3	41,7	33,6	45,1
05_21_B	Cluster 5		4,50	45,5	41,8	33,8	45,3
05_21_C	Cluster 5		7,50	45,8	42,1	34,1	45,6
05_22_A	Cluster 5		1,50	43,9	40,3	32,2	43,7
05_22_B	Cluster 5		4,50	45,8	42,1	34,1	45,6
05_22_C	Cluster 5		7,50	46,1	42,4	34,4	45,9
05_23_A	Cluster 5		1,50	32,7	29,1	21,1	32,5
05_23_B	Cluster 5		4,50	34,5	30,9	22,9	34,4
05_23_C	Cluster 5		7,50	35,9	32,2	24,2	35,7
05_24_A	Cluster 5		1,50	46,2	42,6	34,5	46,0
05_24_B	Cluster 5		4,50	47,5	43,8	35,8	47,3
05_24_C	Cluster 5		7,50	47,6	43,9	35,9	47,4
05_25_A	Cluster 5		1,50	47,0	43,3	35,3	46,8
05_25_B	Cluster 5		4,50	48,0	44,4	36,3	47,8
05_25_C	Cluster 5		7,50	48,1	44,4	36,4	47,9
05_26_A	Cluster 5		1,50	47,2	43,6	35,5	47,0
05_26_B	Cluster 5		4,50	48,2	44,6	36,5	48,0
05_26_C	Cluster 5		7,50	48,3	44,7	36,6	48,1
05_27_A	Cluster 5		1,50	46,7	43,1	35,0	46,5
05_27_B	Cluster 5		4,50	47,8	44,1	36,0	47,5
05_27_C	Cluster 5		7,50	47,9	44,2	36,2	47,7
05_28_A	Cluster 5		1,50	45,9	42,3	34,2	45,7
05_28_B	Cluster 5		4,50	47,1	43,4	35,4	46,9
05_28_C	Cluster 5		7,50	47,3	43,6	35,6	47,1
05_29_A	Cluster 5		1,50	45,2	41,5	33,5	44,9
05_29_B	Cluster 5		4,50	46,4	42,7	34,7	46,2
05_29_C	Cluster 5		7,50	46,7	43,0	34,9	46,4
05_30_A	Cluster 5		1,50	21,0	17,1	8,9	20,6
05_30_B	Cluster 5		4,50	22,3	18,2	10,1	21,9
05_30_C	Cluster 5		7,50	23,1	19,1	10,9	22,7
05_31_A	Cluster 5		1,50	24,0	20,0	11,9	23,6
05_31_B	Cluster 5		4,50	27,2	23,2	15,1	26,8
05_31_C	Cluster 5		7,50	31,0	27,1	19,0	30,7

Alle getoonde dB-waarden zijn A-gewogen

Bijlage III-7 Rekenresultaten H.G. Gooszenstraat

Rapport: Resultatentabel
 Model: Wegverkeermodel
 LAeq totaalresultaten voor toetspunten
 Groep: H.G. Gooszenstraat
 Groepsreductie: Nee

Naam						
Toetspunt	Omschrijving	Hoogte	Dag	Avond	Nacht	Lden
05_32_A	Cluster 5	1,50	24,6	20,6	12,4	24,2
05_32_B	Cluster 5	4,50	25,0	21,1	13,0	24,7
05_32_C	Cluster 5	7,50	27,4	23,5	15,4	27,1
05_33_A	Cluster 5	1,50	21,4	17,4	9,3	21,0
05_33_B	Cluster 5	4,50	24,8	20,9	12,9	24,5
05_33_C	Cluster 5	7,50	27,1	23,2	15,1	26,8
05_34_A	Cluster 5	1,50	20,2	16,2	8,1	19,8
05_34_B	Cluster 5	4,50	24,2	20,4	12,3	23,9
05_34_C	Cluster 5	7,50	26,2	22,3	14,2	25,9
05_35_A	Cluster 5	1,50	23,5	19,5	11,3	23,1
05_35_B	Cluster 5	4,50	26,3	22,5	14,4	26,0
05_35_C	Cluster 5	7,50	28,4	24,6	16,5	28,1
05_36_A	Cluster 5	1,50	22,1	18,1	9,9	21,7
05_36_B	Cluster 5	4,50	26,7	22,9	14,9	26,4
05_36_C	Cluster 5	7,50	28,6	24,8	16,7	28,3
S_01_A	SMCD	2,00	36,0	32,4	24,3	35,8
S_01_B	SMCD	5,00	37,8	34,2	26,1	37,6
S_02_A	SMCD	2,00	37,8	34,2	26,2	37,6
S_02_B	SMCD	5,00	39,6	36,0	27,9	39,4
S_03_A	SMCD	2,00	39,1	35,5	27,5	38,9
S_03_B	SMCD	5,00	40,9	37,3	29,2	40,7
S_04_A	SMCD	2,00	37,9	34,4	26,4	37,8
S_04_B	SMCD	5,00	39,7	36,1	28,0	39,5
S_05_A	SMCD	2,00	28,3	24,7	16,7	28,1
S_05_B	SMCD	5,00	29,1	25,3	17,2	28,8
S_06_A	SMCD	2,00	18,6	14,7	6,5	18,2
S_06_B	SMCD	5,00	20,2	16,2	8,1	19,8
S_07_A	SMCD	2,00	19,8	15,9	7,8	19,5
S_07_B	SMCD	5,00	20,9	17,0	8,8	20,6
S_08_A	SMCD	1,50	23,5	19,5	11,3	23,1
S_08_B	SMCD	5,00	25,8	21,8	13,6	25,4
S_08_C	SMCD	8,50	29,0	25,0	16,9	28,6
S_08_D	SMCD	12,00	34,3	30,6	22,6	34,1
S_09_A	SMCD	1,50	22,7	18,7	10,6	22,3
S_09_B	SMCD	5,00	24,7	20,6	12,5	24,3
S_09_C	SMCD	8,50	27,9	24,0	15,8	27,6
S_09_D	SMCD	12,00	33,6	29,9	21,9	33,4
S_10_A	SMCD	1,50	24,5	20,7	12,6	24,2
S_10_B	SMCD	5,00	27,1	23,3	15,2	26,8
S_10_C	SMCD	8,50	29,2	25,5	17,4	29,0
S_10_D	SMCD	12,00	31,1	27,4	19,3	30,9
S_11_A	SMCD	1,50	26,7	23,0	14,9	26,4
S_11_B	SMCD	5,00	28,9	25,2	17,1	28,7
S_11_C	SMCD	8,50	30,6	26,9	18,8	30,4
S_11_D	SMCD	12,00	32,2	28,5	20,4	31,9
S_12_A	SMCD	1,50	26,4	22,7	14,7	26,2
S_12_B	SMCD	5,00	28,6	24,9	16,8	28,3
S_12_C	SMCD	8,50	30,1	26,4	18,3	29,9
S_12_D	SMCD	12,00	31,5	27,8	19,8	31,3
S_13_A	SMCD	1,50	27,2	23,5	15,5	27,0
S_13_B	SMCD	5,00	28,5	24,8	16,7	28,3
S_13_C	SMCD	8,50	29,7	26,0	17,9	29,5
S_13_D	SMCD	12,00	30,8	27,2	19,1	30,6
S_14_A	SMCD	1,50	21,4	17,4	9,3	21,0
S_15_A	SMCD	1,50	14,2	10,2	2,0	13,8
S_16_A	SMCD	1,50	8,5	4,6	-3,5	8,2
S_17_A	SMCD	5,00	17,8	13,7	5,6	17,4
S_17_B	SMCD	8,50	18,5	14,4	6,2	18,0
S_17_C	SMCD	12,00	-0,7	-4,8	-13,0	-1,1
S_18_A	SMCD	1,50	16,1	12,1	4,0	15,7
S_18_B	SMCD	5,00	17,3	13,2	5,0	16,9
S_18_C	SMCD	8,50	17,2	13,1	4,9	16,7
S_18_D	SMCD	12,00	4,6	0,5	-7,7	4,2
S_19_A	SMCD	1,50	16,4	12,4	4,3	16,0
S_19_B	SMCD	5,00	17,3	13,2	5,1	16,9
S_19_C	SMCD	8,50	18,7	14,5	6,4	18,2
S_20_A	SMCD	1,50	17,5	13,5	5,3	17,1
S_20_B	SMCD	5,00	15,5	11,4	3,2	15,1
S_20_C	SMCD	8,50	16,3	12,1	3,9	15,8
S_21_A	SMCD	1,50	17,7	13,7	5,5	17,3
S_21_B	SMCD	5,00	19,6	15,5	7,3	19,1
S_21_C	SMCD	8,50	21,0	16,9	8,7	20,6
S_22_A	SMCD	1,50	15,7	11,7	3,6	15,3
S_22_B	SMCD	5,00	17,6	13,6	5,4	17,2

Alle getoonde dB-waarden zijn A-gewogen

Bijlage III-7 Rekenresultaten H.G. Gooszenstraat

Rapport: Resultatentabel
 Model: Wegverkeermodel
 LAgg totaalresultaten voor toetspunten
 Groep: H.G. Gooszenstraat
 Groepsreductie: Nee

Naam						
Toetspunt	Omschrijving	Hoogte	Dag	Avond	Nacht	Lden
S_22_C	SMCD	8,50	20,3	16,2	8,0	19,9
S_23_A	SMCD	1,50	16,8	12,9	4,7	16,5
S_23_B	SMCD	5,00	19,0	14,9	6,8	18,6
S_23_C	SMCD	8,50	20,6	16,5	8,3	20,2
S_24_A	SMCD	1,50	14,4	10,4	2,3	14,0
S_24_B	SMCD	5,00	16,1	12,0	3,9	15,7
S_24_C	SMCD	8,50	18,6	14,5	6,3	18,2
S_24_D	SMCD	12,00	20,0	15,9	7,8	19,6
S_25_A	SMCD	1,50	9,0	5,0	-3,1	8,6
S_25_B	SMCD	5,00	10,3	6,2	-2,0	9,8
S_25_C	SMCD	8,50	-4,7	-8,9	-17,1	-5,2
S_25_D	SMCD	12,00	-4,5	-8,6	-16,8	-4,9
S_26_A	SMCD	1,50	12,5	8,6	0,5	12,2
S_26_B	SMCD	5,00	13,3	9,2	1,0	12,8
S_26_C	SMCD	8,50	13,2	9,1	0,9	12,8
S_26_D	SMCD	12,00	-4,6	-8,7	-16,9	-5,0
S_27_A	SMCD	1,50	13,0	9,1	1,0	12,7
S_27_B	SMCD	5,00	14,8	10,7	2,6	14,4
S_27_C	SMCD	8,50	12,9	8,7	0,6	12,4
S_27_D	SMCD	12,00	-6,8	-11,0	-19,2	-7,3
S_28_A	SMCD	1,50	14,5	10,6	2,5	14,2
S_28_B	SMCD	5,00	16,3	12,2	4,1	15,9
S_28_C	SMCD	8,50	15,5	11,4	3,2	15,1
S_28_D	SMCD	12,00	-4,7	-8,8	-17,0	-5,2
S_29_A	SMCD	1,50	12,9	8,9	0,7	12,5
S_29_B	SMCD	5,00	14,4	10,3	2,1	13,9
S_29_C	SMCD	8,50	15,0	10,8	2,7	14,5
S_29_D	SMCD	12,00	-4,9	-9,1	-17,2	-5,4
S_30_A	SMCD	1,50	15,3	11,2	3,1	14,9
S_30_B	SMCD	5,00	17,0	12,9	4,7	16,6
S_30_C	SMCD	8,50	16,1	11,9	3,7	15,6
S_30_D	SMCD	12,00	-6,4	-10,5	-18,7	-6,8
S_31_A	SMCD	1,50	12,2	8,1	0,0	11,7
S_31_B	SMCD	5,00	13,9	9,8	1,7	13,5
S_31_C	SMCD	8,50	15,3	11,2	3,0	14,9
S_31_D	SMCD	12,00	9,8	5,6	-2,6	9,3
S_32_A	SMCD	1,50	7,9	4,0	-4,2	7,6
S_32_B	SMCD	5,00	9,5	5,4	-2,8	9,1
S_32_C	SMCD	8,50	9,1	5,0	-3,2	8,6
S_32_D	SMCD	12,00	3,5	-0,6	-8,7	3,1
S_33_A	SMCD	1,50	13,0	9,0	0,9	12,6
S_33_B	SMCD	5,00	14,8	10,8	2,7	14,4
S_33_C	SMCD	8,50	17,4	13,3	5,2	17,0
S_33_D	SMCD	12,00	20,2	16,2	8,0	19,8
S_34_A	SMCD	1,50	13,7	9,7	1,6	13,3
S_34_B	SMCD	5,00	15,6	11,6	3,4	15,2
S_34_C	SMCD	8,50	18,4	14,3	6,1	18,0
S_34_D	SMCD	12,00	21,7	17,7	9,6	21,3
S_35_A	SMCD	1,50	13,8	9,9	1,8	13,5
S_35_B	SMCD	5,00	15,6	11,5	3,4	15,2
S_35_C	SMCD	8,50	17,9	13,8	5,6	17,5
S_35_D	SMCD	12,00	20,6	16,5	8,4	20,2
S_36_A	SMCD	1,50	14,4	10,4	2,3	14,0
S_36_B	SMCD	5,00	16,2	12,1	3,9	15,7
S_36_C	SMCD	8,50	18,7	14,5	6,4	18,2
S_36_D	SMCD	12,00	21,8	17,8	9,6	21,4
S_37_A	SMCD	1,50	14,0	10,0	1,9	13,6
S_37_B	SMCD	5,00	15,8	11,8	3,6	15,4
S_37_C	SMCD	8,50	18,7	14,5	6,4	18,2
S_37_D	SMCD	12,00	21,2	17,2	9,0	20,8
S_38_A	SMCD	1,50	12,0	8,1	0,0	11,7
S_38_B	SMCD	5,00	13,8	9,8	1,6	13,4
S_38_C	SMCD	8,50	17,9	13,8	5,6	17,4
S_38_D	SMCD	12,00	20,5	16,5	8,3	20,1
S_39_A	SMCD	1,50	10,2	6,2	-1,9	9,8
S_39_B	SMCD	5,00	11,8	7,8	-0,3	11,4
S_39_C	SMCD	8,50	14,0	9,9	1,7	13,5
S_40_A	SMCD	1,50	10,5	6,6	-1,5	10,2
S_40_B	SMCD	5,00	12,6	8,6	0,5	12,2
S_40_C	SMCD	8,50	14,8	10,8	2,6	14,4
S_41_A	SMCD	1,50	9,8	5,9	-2,3	9,4
S_41_B	SMCD	5,00	11,7	7,7	-0,4	11,3
S_41_C	SMCD	8,50	14,5	10,4	2,3	14,1
S_42_A	SMCD	1,50	8,9	5,1	-3,0	8,6

Alle getoonde dB-waarden zijn A-gewogen

Bijlage III-7 Rekenresultaten H.G. Gooszenstraat

Rapport: Resultatentabel
 Model: Wegverkeermodel
 LAgg totaalresultaten voor toetspunten
 Groep: H.G. Gooszenstraat
 Groepsreductie: Nee

Naam							
Toetspunt	Omschrijving	Hoogte	Dag	Avond	Nacht	Lden	
S_42_B	SMCD	5,00	10,4	6,5	-1,6	10,1	
S_42_C	SMCD	8,50	13,6	9,6	1,4	13,2	
S_43_A	SMCD	1,50	11,6	7,6	-0,5	11,2	
S_43_B	SMCD	5,00	13,9	9,8	1,7	13,5	
S_43_C	SMCD	8,50	17,3	13,2	5,0	16,9	
S_43_D	SMCD	12,00	18,2	14,1	6,0	17,8	
S_44_A	SMCD	1,50	14,3	10,3	2,2	13,9	
S_44_B	SMCD	5,00	16,5	12,4	4,3	16,1	
S_44_C	SMCD	8,50	18,4	14,3	6,1	18,0	
S_44_D	SMCD	12,00	19,7	15,6	7,4	19,2	
S_45_A	SMCD	1,50	14,3	10,3	2,1	13,9	
S_45_B	SMCD	5,00	16,3	12,2	4,0	15,8	
S_45_C	SMCD	8,50	17,7	13,5	5,4	17,2	
S_45_D	SMCD	12,00	17,6	13,5	5,4	17,2	
S_46_A	SMCD	1,50	15,0	11,0	2,8	14,6	
S_46_B	SMCD	5,00	16,9	12,8	4,7	16,5	
S_46_C	SMCD	8,50	18,1	14,0	5,8	17,6	
S_46_D	SMCD	12,00	17,4	13,4	5,2	17,0	
S_47_A	SMCD	1,50	13,3	9,4	1,2	12,9	
S_47_B	SMCD	5,00	15,2	11,1	2,9	14,7	
S_47_C	SMCD	8,50	16,3	12,2	4,0	15,9	
S_47_D	SMCD	12,00	16,9	12,9	4,7	16,5	
S_48_A	SMCD	1,50	15,3	11,5	3,3	15,0	
S_48_B	SMCD	5,00	16,8	12,8	4,6	16,4	
S_48_C	SMCD	8,50	17,0	12,9	4,7	16,6	
S_48_D	SMCD	12,00	16,2	12,1	4,0	15,8	
S_49_A	SMCD	1,50	18,7	14,7	6,6	18,3	
S_49_B	SMCD	5,00	20,7	16,6	8,5	20,3	
S_49_C	SMCD	8,50	22,3	18,3	10,1	21,9	
S_49_D	SMCD	12,00	23,5	19,4	11,3	23,1	
S_50_A	SMCD	1,50	18,6	14,6	6,5	18,2	
S_50_B	SMCD	5,00	20,4	16,4	8,2	20,0	
S_50_C	SMCD	8,50	22,4	18,3	10,2	22,0	
S_50_D	SMCD	12,00	24,8	21,0	12,8	24,5	
S_51_A	SMCD	1,50	18,2	14,3	6,1	17,8	
S_51_B	SMCD	5,00	19,6	15,6	7,4	19,2	
S_51_C	SMCD	8,50	21,9	17,8	9,6	21,4	
S_51_D	SMCD	12,00	24,0	20,0	11,8	23,6	
S_52_A	SMCD	1,50	17,3	13,4	5,2	16,9	
S_52_B	SMCD	5,00	18,6	14,5	6,4	18,2	
S_52_C	SMCD	8,50	20,7	16,7	8,5	20,3	
S_52_D	SMCD	12,00	23,8	19,8	11,6	23,4	
S_53_A	SMCD	1,50	16,9	13,0	4,9	16,6	
S_53_B	SMCD	5,00	17,5	13,5	5,4	17,1	
S_53_C	SMCD	8,50	18,9	14,9	6,7	18,5	
S_53_D	SMCD	12,00	22,2	18,1	10,0	21,8	
S_54_A	SMCD	1,50	15,8	11,9	3,8	15,5	
S_54_B	SMCD	5,00	16,2	12,1	4,0	15,7	
S_54_C	SMCD	8,50	17,2	13,1	5,0	16,8	
S_54_D	SMCD	12,00	16,0	11,9	3,8	15,6	
S_55_A	SMCD	1,50	16,6	12,6	4,5	16,2	
S_55_B	SMCD	5,00	17,4	13,3	5,2	16,9	
S_55_C	SMCD	8,50	18,3	14,2	6,1	17,9	
S_55_D	SMCD	12,00	17,0	13,0	4,8	16,6	
S_56_A	SMCD	1,50	17,1	13,2	5,0	16,7	
S_56_B	SMCD	5,00	17,9	13,9	5,7	17,5	
S_56_C	SMCD	8,50	18,5	14,4	6,3	18,1	
S_56_D	SMCD	12,00	17,4	13,4	5,2	17,0	
S_57_A	SMCD	1,50	16,7	12,8	4,7	16,4	
S_57_B	SMCD	5,00	17,6	13,6	5,4	17,2	
S_57_C	SMCD	8,50	18,4	14,3	6,2	17,9	
S_57_D	SMCD	12,00	18,1	14,3	6,2	17,8	
S_58_A	SMCD	1,50	16,2	12,3	4,2	15,8	
S_58_B	SMCD	5,00	17,4	13,3	5,2	16,9	
S_58_C	SMCD	8,50	18,4	14,4	6,2	18,0	
S_58_D	SMCD	12,00	18,9	15,2	7,1	18,7	
S_59_A	SMCD	1,50	17,9	14,1	6,0	17,6	
S_59_B	SMCD	5,00	18,9	14,9	6,8	18,5	
S_59_C	SMCD	8,50	20,5	16,5	8,3	20,1	
S_59_D	SMCD	12,00	24,0	20,0	11,9	23,6	
S_60_A	SMCD	1,50	16,7	12,8	4,7	16,4	
S_60_B	SMCD	5,00	17,4	13,3	5,2	16,9	
S_60_C	SMCD	8,50	18,1	14,1	5,9	17,7	
S_60_D	SMCD	12,00	19,5	15,7	7,6	19,2	

Alle getoonde dB-waarden zijn A-gewogen

Bijlage III-7 Rekenresultaten H.G. Gooszenstraat

Rapport: Resultatentabel
 Model: Wegverkeermodel
 LAeq totaalresultaten voor toetspunten
 Groep: H.G. Gooszenstraat
 Groepsreductie: Nee

Naam							
Toetspunt	Omschrijving	Hoogte	Dag	Avond	Nacht	Lden	
S_61_A	SMCD	1,50	17,1	13,2	5,1	16,8	
S_61_B	SMCD	5,00	17,5	13,5	5,3	17,1	
S_61_C	SMCD	8,50	18,9	14,9	6,8	18,5	
S_61_D	SMCD	12,00	19,6	15,9	7,8	19,4	
S_62_A	SMCD	1,50	18,9	15,0	6,9	18,5	
S_62_B	SMCD	5,00	21,4	17,6	9,5	21,1	
S_62_C	SMCD	8,50	22,9	19,0	10,9	22,6	
S_63_A	SMCD	1,50	19,0	15,1	6,9	18,6	
S_63_B	SMCD	5,00	20,2	16,1	8,0	19,7	
S_63_C	SMCD	8,50	22,2	18,1	10,0	21,8	
S_64_A	SMCD	1,50	22,5	18,8	10,8	22,3	
S_64_B	SMCD	5,00	23,3	19,5	11,5	23,0	
S_64_C	SMCD	8,50	24,7	20,9	12,8	24,4	
S_65_A	SMCD	1,50	25,1	21,5	13,4	24,9	
S_65_B	SMCD	5,00	20,8	16,8	8,7	20,4	
S_65_C	SMCD	8,50	22,3	18,3	10,2	21,9	
S_66_A	SMCD	1,50	22,0	18,0	9,9	21,6	
S_66_B	SMCD	5,00	24,6	20,6	12,5	24,2	
S_66_C	SMCD	8,50	29,1	25,3	17,2	28,8	
S_67_A	SMCD	1,50	21,8	17,8	9,7	21,4	
S_67_B	SMCD	5,00	24,6	20,6	12,4	24,2	
S_67_C	SMCD	8,50	28,5	24,7	16,6	28,2	
S_68_A	SMCD	1,50	21,8	17,8	9,7	21,4	
S_68_B	SMCD	5,00	24,6	20,6	12,4	24,2	
S_68_C	SMCD	8,50	28,2	24,4	16,3	27,9	
S_69_A	SMCD	1,50	27,1	23,5	15,4	26,9	
S_69_B	SMCD	5,00	29,4	25,7	17,6	29,2	
S_69_C	SMCD	8,50	32,9	29,2	21,2	32,7	
S_70_A	SMCD	1,50	32,8	29,3	21,3	32,7	
S_70_B	SMCD	5,00	34,5	30,8	22,8	34,3	
S_70_C	SMCD	8,50	35,8	32,1	24,1	35,6	
S_70_D	SMCD	12,00	36,5	32,8	24,8	36,3	
S_71_A	SMCD	1,50	34,0	30,4	22,4	33,8	
S_71_B	SMCD	5,00	35,5	31,9	23,9	35,3	
S_71_C	SMCD	8,50	36,7	33,1	25,0	36,5	
S_71_D	SMCD	12,00	37,2	33,6	25,5	37,0	
S_72_A	SMCD	1,50	31,3	27,7	19,7	31,1	
S_72_B	SMCD	5,00	31,8	28,0	20,0	31,5	
S_72_C	SMCD	8,50	33,1	29,3	21,3	32,8	
S_72_D	SMCD	12,00	36,2	32,5	24,4	36,0	
S_73_A	SMCD	1,50	22,0	18,0	9,9	21,7	
S_73_B	SMCD	5,00	25,5	21,4	13,2	25,1	
S_73_C	SMCD	8,50	30,4	26,4	18,3	30,0	
S_73_D	SMCD	12,00	38,3	34,7	26,7	38,2	
S_74_A	SMCD	1,50	28,1	24,6	16,5	28,0	
S_74_B	SMCD	5,00	30,5	26,8	18,7	30,2	
S_74_C	SMCD	8,50	33,5	29,7	21,6	33,2	
S_74_D	SMCD	12,00	37,6	34,0	25,9	37,4	
S_75_A	SMCD	1,50	24,2	20,4	12,3	23,9	
S_75_B	SMCD	5,00	27,3	23,4	15,3	26,9	
S_75_C	SMCD	8,50	31,1	27,2	19,1	30,7	
S_75_D	SMCD	12,00	37,3	33,7	25,7	37,1	
S_76_A	SMCD	1,50	12,0	8,1	0,0	11,7	
S_76_B	SMCD	5,00	13,8	9,8	1,7	13,4	
S_76_C	SMCD	8,50	16,0	11,9	3,7	15,5	
S_76_D	SMCD	12,00	17,2	13,2	5,0	16,8	
S_77_A	SMCD	1,50	13,0	9,0	0,9	12,6	
S_77_B	SMCD	5,00	14,8	10,7	2,6	14,4	
S_77_C	SMCD	8,50	16,4	12,3	4,1	15,9	
S_77_D	SMCD	12,00	16,1	12,0	3,8	15,7	
S_78_A	SMCD	1,50	12,0	8,0	-0,1	11,6	
S_78_B	SMCD	5,00	13,7	9,7	1,5	13,3	
S_78_C	SMCD	8,50	14,3	10,2	2,0	13,9	
S_78_D	SMCD	12,00	15,6	11,6	3,4	15,2	
S_79_A	SMCD	1,50	16,0	12,1	3,9	15,7	
S_79_B	SMCD	5,00	17,7	13,7	5,6	17,3	
S_79_C	SMCD	8,50	20,5	16,4	8,2	20,0	
S_79_D	SMCD	12,00	23,9	19,8	11,7	23,5	
S_80_A	SMCD	1,50	17,4	13,4	5,2	17,0	
S_80_B	SMCD	5,00	18,8	14,8	6,6	18,4	
S_80_C	SMCD	8,50	21,4	17,3	9,1	20,9	
S_81_A	SMCD	1,50	18,0	14,0	5,8	17,6	
S_81_B	SMCD	5,00	19,4	15,4	7,2	19,0	
S_81_C	SMCD	8,50	21,9	17,8	9,6	21,4	

Alle getoonde dB-waarden zijn A-gewogen

Bijlage III-7 Rekenresultaten H.G. Gooszenstraat

Rapport: Resultatentabel
 Model: Wegverkeermodel
 L'Aeq totaalresultaten voor toetspunten
 Groep: H.G. Gooszenstraat
 Groepsreductie: Nee

Naam						
Toetspunt	Omschrijving	Hoogte	Dag	Avond	Nacht	Lden
S_82_A	SMCD	1,50	18,2	14,2	6,0	17,8
S_82_B	SMCD	5,00	19,7	15,6	7,5	19,3
S_82_C	SMCD	8,50	22,3	18,2	10,0	21,8
S_83_A	SMCD	1,50	17,6	13,6	5,5	17,2
S_83_B	SMCD	5,00	19,3	15,3	7,1	18,9
S_83_C	SMCD	8,50	22,1	18,0	9,8	21,7
S_84_A	SMCD	1,50	17,4	13,4	5,3	17,0
S_84_B	SMCD	5,00	19,2	15,1	6,9	18,7
S_84_C	SMCD	8,50	21,9	17,8	9,6	21,4
S_85_A	SMCD	1,50	17,7	13,7	5,5	17,3
S_85_B	SMCD	5,00	19,5	15,4	7,2	19,1
S_85_C	SMCD	8,50	22,3	18,2	10,0	21,8
S_85_D	SMCD	12,00	25,5	21,5	13,3	25,1
S_86_A	SMCD	1,50	17,5	13,6	5,5	17,2
S_86_B	SMCD	5,00	19,2	15,2	7,0	18,8
S_86_C	SMCD	8,50	22,2	18,0	9,9	21,7
S_86_D	SMCD	12,00	24,5	20,4	12,3	24,1
S_87_A	SMCD	1,50	19,5	15,5	7,3	19,1
S_87_B	SMCD	5,00	21,8	17,8	9,6	21,4
S_87_C	SMCD	8,50	24,1	20,0	11,8	23,7
S_87_D	SMCD	12,00	24,3	20,3	12,2	23,9
S_88_A	SMCD	1,50	19,9	15,9	7,8	19,5
S_88_B	SMCD	5,00	21,8	17,7	9,5	21,3
S_88_C	SMCD	8,50	23,8	19,7	11,6	23,4
S_88_D	SMCD	12,00	24,3	20,3	12,2	23,9
S_89_A	SMCD	1,50	19,4	15,4	7,3	19,0
S_89_B	SMCD	5,00	20,8	16,8	8,6	20,4
S_89_C	SMCD	8,50	23,0	18,9	10,7	22,5
S_89_D	SMCD	12,00	26,2	22,2	14,1	25,8
S_90_A	SMCD	1,50	16,5	12,5	4,4	16,1
S_90_B	SMCD	5,00	17,9	13,7	5,6	17,4
S_90_C	SMCD	8,50	19,0	14,9	6,7	18,6
S_90_D	SMCD	12,00	18,5	14,4	6,3	18,1
S_91_A	SMCD	1,50	17,0	12,9	4,8	16,6
S_91_B	SMCD	5,00	18,4	14,3	6,2	18,0
S_91_C	SMCD	8,50	19,6	15,5	7,3	19,2
S_91_D	SMCD	12,00	19,3	15,2	7,0	18,8
S_92_A	SMCD	1,50	17,8	13,8	5,7	17,4
S_92_B	SMCD	5,00	19,1	15,0	6,8	18,7
S_92_C	SMCD	8,50	20,3	16,2	8,0	19,8
S_92_D	SMCD	12,00	19,3	15,3	7,1	18,9
S_93_A	SMCD	1,50	17,4	13,4	5,3	17,0
S_93_B	SMCD	5,00	18,1	14,0	5,9	17,7
S_93_C	SMCD	8,50	19,4	15,3	7,1	18,9
S_93_D	SMCD	12,00	18,3	14,3	6,1	17,9
S_94_A	SMCD	1,50	16,7	12,7	4,6	16,3
S_94_B	SMCD	5,00	18,1	14,0	5,8	17,7
S_94_C	SMCD	8,50	19,9	15,7	7,6	19,4
S_94_D	SMCD	12,00	18,8	14,8	6,6	18,4
S_95_A	SMCD	1,50	14,7	10,7	2,6	14,3
S_95_B	SMCD	5,00	15,4	11,4	3,2	15,0
S_95_C	SMCD	8,50	16,8	12,7	4,5	16,4
S_95_D	SMCD	12,00	7,0	3,0	-5,2	6,6

Alle getoonde dB-waarden zijn A-gewogen

Bijlage III-8 Totale geluidbelasting wegverkeerslawaa

Rapport: Resultatentabel
 Model: Kopie van Wegverkeermodel
 LAeq totaalresultaten voor toetspunten
 Groep: Wegen
 Groepsreductie: Nee

Naam	Toetspunt	Omschrijving	Hoogte	Dag	Avond	Nacht	Lden
	01_01_A	Cluster 1	1,50	52,0	48,6	40,9	52,0
	01_01_B	Cluster 1	4,50	52,6	49,2	41,5	52,6
	01_01_C	Cluster 1	7,50	52,7	49,2	41,6	52,7
	01_02_A	Cluster 1	1,50	51,9	48,6	40,8	51,9
	01_02_B	Cluster 1	4,50	52,6	49,2	41,5	52,6
	01_02_C	Cluster 1	7,50	52,7	49,3	41,7	52,7
	01_03_A	Cluster 1	1,50	52,0	48,7	40,9	52,0
	01_03_B	Cluster 1	4,50	52,7	49,3	41,6	52,7
	01_03_C	Cluster 1	7,50	52,8	49,4	41,7	52,8
	01_04_A	Cluster 1	1,50	52,2	48,8	41,1	52,2
	01_04_B	Cluster 1	4,50	52,9	49,5	41,8	52,9
	01_04_C	Cluster 1	7,50	53,0	49,6	41,9	53,0
	01_05_A	Cluster 1	1,50	52,4	49,0	41,3	52,4
	01_05_B	Cluster 1	4,50	53,1	49,7	42,0	53,1
	01_05_C	Cluster 1	7,50	53,2	49,8	42,2	53,2
	01_06_A	Cluster 1	1,50	48,2	44,7	37,0	48,1
	01_06_B	Cluster 1	4,50	48,8	45,3	37,6	48,7
	01_06_C	Cluster 1	7,50	49,2	45,7	38,2	49,2
	01_07_A	Cluster 1	1,50	47,8	44,4	36,6	47,8
	01_07_B	Cluster 1	4,50	48,4	45,0	37,2	48,4
	01_07_C	Cluster 1	7,50	48,8	45,3	37,6	48,7
	01_08_A	Cluster 1	1,50	52,4	49,0	41,3	52,4
	01_08_B	Cluster 1	4,50	53,1	49,7	42,0	53,1
	01_08_C	Cluster 1	7,50	53,3	49,9	42,4	53,4
	01_09_A	Cluster 1	1,50	52,4	49,0	41,4	52,4
	01_09_B	Cluster 1	4,50	53,2	49,8	42,2	53,2
	01_09_C	Cluster 1	7,50	53,4	50,0	42,5	53,5
	01_10_A	Cluster 1	1,50	52,5	49,1	41,5	52,5
	01_10_B	Cluster 1	4,50	53,2	49,8	42,2	53,3
	01_10_C	Cluster 1	7,50	53,4	50,0	42,5	53,5
	01_100_A	Cluster 1	1,50	37,3	33,7	27,3	37,6
	01_100_B	Cluster 1	4,50	39,5	35,8	29,4	39,7
	01_100_C	Cluster 1	7,50	42,9	39,3	32,9	43,2
	01_101_A	Cluster 1	1,50	37,6	34,0	27,7	37,9
	01_101_B	Cluster 1	4,50	38,5	34,8	28,4	38,7
	01_101_C	Cluster 1	7,50	42,7	39,1	32,6	43,0
	01_11_A	Cluster 1	1,50	52,6	49,3	41,7	52,7
	01_11_B	Cluster 1	4,50	53,5	50,1	42,5	53,5
	01_11_C	Cluster 1	7,50	53,8	50,3	42,9	53,8
	01_12_A	Cluster 1	1,50	52,6	49,2	41,6	52,6
	01_12_B	Cluster 1	4,50	53,4	50,0	42,5	53,5
	01_13_A	Cluster 1	1,50	52,7	49,3	41,7	52,7
	01_13_B	Cluster 1	4,50	53,6	50,2	42,6	53,6
	01_14_A	Cluster 1	1,50	49,8	46,4	39,1	50,0
	01_14_B	Cluster 1	4,50	51,1	47,6	40,4	51,2
	01_15_A	Cluster 1	1,50	48,8	45,4	38,3	49,0
	01_15_B	Cluster 1	4,50	50,1	46,7	39,5	50,2
	01_16_A	Cluster 1	1,50	46,0	42,6	35,4	46,1
	01_16_B	Cluster 1	4,50	47,8	44,3	37,2	47,9
	01_16_C	Cluster 1	7,50	48,6	45,2	38,2	48,8
	01_17_A	Cluster 1	1,50	43,9	40,5	33,3	44,0
	01_17_B	Cluster 1	4,50	45,9	42,5	35,3	46,0
	01_17_C	Cluster 1	7,50	47,0	43,5	36,5	47,1
	01_18_A	Cluster 1	1,50	44,0	40,6	33,7	44,2
	01_18_B	Cluster 1	4,50	45,6	42,2	35,2	45,8
	01_18_C	Cluster 1	7,50	46,7	43,2	36,3	46,8
	01_19_A	Cluster 1	1,50	44,1	40,6	33,9	44,4
	01_19_B	Cluster 1	4,50	46,5	43,1	36,3	46,8
	01_19_C	Cluster 1	7,50	48,2	44,7	38,1	48,5
	01_20_A	Cluster 1	1,50	43,0	39,6	33,0	43,3
	01_20_B	Cluster 1	4,50	45,6	42,1	35,5	45,9
	01_20_C	Cluster 1	7,50	47,5	44,0	37,4	47,7
	01_21_A	Cluster 1	1,50	42,6	39,2	32,6	42,9
	01_21_B	Cluster 1	4,50	45,3	41,8	35,2	45,6
	01_21_C	Cluster 1	7,50	47,3	43,8	37,2	47,6
	01_22_A	Cluster 1	1,50	41,9	38,4	31,8	42,2
	01_22_B	Cluster 1	4,50	44,1	40,6	34,0	44,4
	01_22_C	Cluster 1	7,50	46,5	43,0	36,5	46,8
	01_23_A	Cluster 1	1,50	42,2	38,7	32,2	42,5
	01_23_B	Cluster 1	4,50	44,2	40,7	34,1	44,4
	01_23_C	Cluster 1	7,50	46,8	43,3	36,7	47,0
	01_24_A	Cluster 1	1,50	41,1	37,6	31,1	41,4
	01_24_B	Cluster 1	4,50	43,5	40,0	33,4	43,8
	01_24_C	Cluster 1	7,50	45,9	42,4	35,9	46,2

Alle getoonde dB-waarden zijn A-gewogen

Bijlage III-8 Totale geluidbelasting wegverkeerslawaa

Rapport: Resultatentabel
 Model: Kopie van Wegverkeermodel
 LAeq totaalresultaten voor toetspunten
 Groep: Wegen
 Groepsreductie: Nee

Naam	Toetspunt	Omschrijving	Hoogte	Dag	Avond	Nacht	Lden
	01_25_A	Cluster 1	1,50	41,6	38,2	31,7	42,0
	01_25_B	Cluster 1	4,50	44,1	40,7	34,2	44,5
	01_26_A	Cluster 1	1,50	39,7	36,1	29,7	40,0
	01_26_B	Cluster 1	4,50	44,1	40,7	34,2	44,5
	01_27_A	Cluster 1	1,50	42,4	39,0	32,5	42,8
	01_27_B	Cluster 1	4,50	46,3	42,8	36,4	46,6
	01_28_A	Cluster 1	1,50	42,6	39,3	32,7	43,0
	01_28_B	Cluster 1	4,50	45,4	42,0	35,5	45,7
	01_29_A	Cluster 1	1,50	40,2	36,8	30,3	40,5
	01_29_B	Cluster 1	4,50	43,4	39,9	33,4	43,7
	01_29_C	Cluster 1	7,50	46,4	43,0	36,5	46,8
	01_30_A	Cluster 1	1,50	40,6	37,1	30,6	40,9
	01_30_B	Cluster 1	4,50	42,8	39,2	32,8	43,1
	01_30_C	Cluster 1	7,50	45,4	41,9	35,4	45,7
	01_31_A	Cluster 1	1,50	40,9	37,3	30,9	41,2
	01_31_B	Cluster 1	4,50	43,1	39,6	33,1	43,4
	01_31_C	Cluster 1	7,50	45,4	41,9	35,4	45,7
	01_32_A	Cluster 1	1,50	39,4	35,8	29,3	39,6
	01_32_B	Cluster 1	4,50	41,7	38,1	31,7	42,0
	01_32_C	Cluster 1	7,50	44,5	41,0	34,5	44,8
	01_33_A	Cluster 1	1,50	38,8	35,2	28,8	39,0
	01_33_B	Cluster 1	4,50	41,0	37,4	30,9	41,2
	01_33_C	Cluster 1	7,50	43,7	40,2	33,7	44,0
	01_34_A	Cluster 1	1,50	37,6	33,9	27,5	37,8
	01_34_B	Cluster 1	4,50	39,9	36,2	29,8	40,1
	01_34_C	Cluster 1	7,50	43,0	39,4	33,0	43,2
	01_35_A	Cluster 1	1,50	38,0	34,3	27,9	38,2
	01_35_B	Cluster 1	4,50	40,2	36,6	30,2	40,5
	01_35_C	Cluster 1	7,50	43,1	39,6	33,1	43,4
	01_36_A	Cluster 1	1,50	37,9	34,2	27,9	38,1
	01_36_B	Cluster 1	4,50	40,3	36,7	30,3	40,6
	01_36_C	Cluster 1	7,50	42,8	39,2	32,8	43,1
	01_37_A	Cluster 1	1,50	37,4	33,7	27,3	37,6
	01_37_B	Cluster 1	4,50	39,7	36,0	29,6	39,9
	01_38_A	Cluster 1	1,50	39,1	35,5	29,1	39,3
	01_38_B	Cluster 1	4,50	41,2	37,6	31,2	41,4
	01_39_A	Cluster 1	1,50	36,8	33,2	26,6	37,0
	01_39_B	Cluster 1	4,50	38,5	34,9	28,3	38,7
	01_40_A	Cluster 1	1,50	36,9	33,3	26,7	37,1
	01_40_B	Cluster 1	4,50	38,6	34,9	28,4	38,8
	01_41_A	Cluster 1	1,50	37,2	33,6	26,9	37,4
	01_41_B	Cluster 1	4,50	38,8	35,2	28,5	39,0
	01_41_C	Cluster 1	7,50	40,6	36,9	30,3	40,7
	01_42_A	Cluster 1	1,50	34,1	30,5	24,1	34,3
	01_42_B	Cluster 1	4,50	35,6	31,9	25,5	35,8
	01_42_C	Cluster 1	7,50	40,8	37,1	30,9	41,1
	01_43_A	Cluster 1	1,50	34,6	31,1	24,7	34,9
	01_43_B	Cluster 1	4,50	36,3	32,7	26,3	36,6
	01_43_C	Cluster 1	7,50	40,7	37,0	30,7	40,9
	01_44_A	Cluster 1	1,50	37,7	34,1	27,3	37,8
	01_44_B	Cluster 1	4,50	39,3	35,7	29,0	39,5
	01_44_C	Cluster 1	7,50	40,8	37,2	30,4	41,0
	01_45_A	Cluster 1	1,50	37,7	34,1	27,3	37,8
	01_45_B	Cluster 1	4,50	39,4	35,8	29,1	39,6
	01_45_C	Cluster 1	7,50	41,0	37,4	30,7	41,2
	01_46_A	Cluster 1	1,50	38,1	34,6	27,7	38,3
	01_46_B	Cluster 1	4,50	39,9	36,3	29,5	40,0
	01_46_C	Cluster 1	7,50	41,3	37,6	30,8	41,4
	01_47_A	Cluster 1	1,50	38,6	35,0	28,1	38,7
	01_47_B	Cluster 1	4,50	40,3	36,7	29,8	40,4
	01_47_C	Cluster 1	7,50	41,7	38,2	31,3	41,9
	01_48_A	Cluster 1	1,50	38,8	35,3	28,3	39,0
	01_48_B	Cluster 1	4,50	40,7	37,1	30,2	40,8
	01_48_C	Cluster 1	7,50	42,0	38,4	31,5	42,1
	01_49_A	Cluster 1	1,50	39,3	35,8	28,7	39,4
	01_49_B	Cluster 1	4,50	41,3	37,7	30,7	41,4
	01_49_C	Cluster 1	7,50	42,5	38,9	31,9	42,6
	01_50_A	Cluster 1	1,50	39,8	36,3	29,2	39,9
	01_50_B	Cluster 1	4,50	41,9	38,3	31,2	41,9
	01_50_C	Cluster 1	7,50	42,8	39,2	32,2	42,9
	01_51_A	Cluster 1	1,50	40,5	37,0	29,8	40,5
	01_51_B	Cluster 1	4,50	42,6	39,1	31,8	42,6
	01_51_C	Cluster 1	7,50	43,4	39,8	32,8	43,5
	01_52_A	Cluster 1	1,50	41,3	37,8	30,5	41,4

Alle getoonde dB-waarden zijn A-gewogen

Bijlage III-8 Totale geluidbelasting wegverkeerslawaa

Rapport: Resultatentabel
 Model: Kopie van Wegverkeermodel
 LAeq totaalresultaten voor toetspunten
 Groep: Wegen
 Groepsreductie: Nee

Naam	Toetspunt	Omschrijving	Hoogte	Dag	Avond	Nacht	Lden
	01_52_B	Cluster 1	4,50	43,3	39,9	32,5	43,4
	01_52_C	Cluster 1	7,50	43,9	40,4	33,2	44,0
	01_53_A	Cluster 1	1,50	42,5	39,1	31,6	42,6
	01_53_B	Cluster 1	4,50	44,4	41,0	33,5	44,4
	01_53_C	Cluster 1	7,50	44,9	41,4	34,1	45,0
	01_54_A	Cluster 1	1,50	44,9	41,5	33,8	44,9
	01_54_B	Cluster 1	4,50	46,3	42,8	35,2	46,3
	01_54_C	Cluster 1	7,50	46,4	42,9	35,3	46,4
	01_55_A	Cluster 1	1,50	43,6	40,2	32,6	43,6
	01_55_B	Cluster 1	4,50	45,2	41,8	34,2	45,3
	01_55_C	Cluster 1	7,50	45,6	42,1	34,6	45,6
	01_56_A	Cluster 1	1,50	47,7	44,3	36,6	47,7
	01_56_B	Cluster 1	4,50	48,5	45,1	37,4	48,5
	01_56_C	Cluster 1	7,50	48,4	44,9	37,2	48,3
	01_57_A	Cluster 1	1,50	37,9	34,2	28,0	38,2
	01_57_B	Cluster 1	4,50	38,2	34,5	28,3	38,5
	01_57_C	Cluster 1	7,50	40,3	36,7	30,4	40,6
	01_58_A	Cluster 1	1,50	37,4	33,7	27,4	37,7
	01_58_B	Cluster 1	4,50	37,9	34,2	27,9	38,1
	01_58_C	Cluster 1	7,50	39,9	36,2	29,8	40,1
	01_59_A	Cluster 1	1,50	38,3	34,6	28,3	38,5
	01_59_B	Cluster 1	4,50	38,7	35,0	28,7	38,9
	01_59_C	Cluster 1	7,50	40,3	36,7	30,4	40,6
	01_60_A	Cluster 1	1,50	38,5	34,8	28,5	38,8
	01_60_B	Cluster 1	4,50	38,7	35,0	28,7	39,0
	01_60_C	Cluster 1	7,50	40,4	36,8	30,5	40,7
	01_61_A	Cluster 1	1,50	39,4	35,8	29,1	39,6
	01_61_B	Cluster 1	4,50	38,6	34,9	28,6	38,8
	01_61_C	Cluster 1	7,50	40,1	36,4	30,1	40,3
	01_62_A	Cluster 1	1,50	38,6	34,9	28,5	38,8
	01_62_B	Cluster 1	4,50	38,7	35,0	28,7	38,9
	01_62_C	Cluster 1	7,50	40,1	36,4	30,1	40,3
	01_63_A	Cluster 1	1,50	38,0	34,3	27,9	38,2
	01_63_B	Cluster 1	4,50	38,7	35,0	28,7	39,0
	01_63_C	Cluster 1	7,50	40,6	37,0	30,6	40,9
	01_64_A	Cluster 1	1,50	37,7	34,1	27,7	37,9
	01_64_B	Cluster 1	4,50	39,2	35,6	29,2	39,5
	01_64_C	Cluster 1	7,50	43,6	40,0	33,6	43,9
	01_65_A	Cluster 1	1,50	37,6	33,9	27,6	37,8
	01_65_B	Cluster 1	4,50	39,0	35,3	28,9	39,2
	01_65_C	Cluster 1	7,50	42,5	38,9	32,5	42,8
	01_66_A	Cluster 1	1,50	37,1	33,5	27,1	37,4
	01_66_B	Cluster 1	4,50	39,1	35,4	29,0	39,3
	01_67_A	Cluster 1	1,50	36,4	32,7	26,2	36,6
	01_67_B	Cluster 1	4,50	38,8	35,1	28,5	38,9
	01_68_A	Cluster 1	1,50	36,5	32,8	26,3	36,7
	01_68_B	Cluster 1	4,50	38,8	35,1	28,5	38,9
	01_68_C	Cluster 1	7,50	42,0	38,4	31,6	42,1
	01_69_A	Cluster 1	1,50	37,0	33,3	26,8	37,2
	01_69_B	Cluster 1	4,50	38,3	34,5	28,0	38,4
	01_69_C	Cluster 1	7,50	40,4	36,7	30,2	40,6
	01_70_A	Cluster 1	1,50	37,5	33,8	27,3	37,7
	01_70_B	Cluster 1	4,50	38,3	34,5	28,1	38,5
	01_70_C	Cluster 1	7,50	39,8	36,1	29,6	40,0
	01_71_A	Cluster 1	1,50	37,9	34,2	27,8	38,1
	01_71_B	Cluster 1	4,50	38,7	35,0	28,5	38,9
	01_71_C	Cluster 1	7,50	39,8	36,1	29,5	40,0
	01_72_A	Cluster 1	1,50	38,1	34,5	28,0	38,4
	01_72_B	Cluster 1	4,50	38,9	35,2	28,8	39,1
	01_72_C	Cluster 1	7,50	39,9	36,2	29,7	40,1
	01_73_A	Cluster 1	1,50	38,4	34,7	28,3	38,6
	01_73_B	Cluster 1	4,50	39,2	35,5	29,1	39,4
	01_73_C	Cluster 1	7,50	40,2	36,6	30,1	40,4
	01_74_A	Cluster 1	1,50	38,2	34,5	28,2	38,5
	01_74_B	Cluster 1	4,50	39,2	35,5	29,1	39,4
	01_74_C	Cluster 1	7,50	40,6	37,0	30,5	40,9
	01_75_A	Cluster 1	1,50	38,5	34,8	28,5	38,8
	01_75_B	Cluster 1	4,50	39,5	35,8	29,4	39,7
	01_75_C	Cluster 1	7,50	41,5	37,8	31,4	41,7
	01_76_A	Cluster 1	1,50	38,4	34,7	28,4	38,7
	01_76_B	Cluster 1	4,50	39,4	35,7	29,3	39,6
	01_76_C	Cluster 1	7,50	40,8	37,2	30,7	41,1
	01_77_A	Cluster 1	1,50	38,5	34,8	28,5	38,7
	01_77_B	Cluster 1	4,50	39,2	35,6	29,2	39,5

Alle getoonde dB-waarden zijn A-gewogen

Bijlage III-8 Totale geluidbelasting wegverkeerslawaa

Rapport: Resultatentabel
 Model: Kopie van Wegverkeermodel
 LAeq totaalresultaten voor toetspunten
 Groep: Wegen
 Groepsreductie: Nee

Naam	Toetspunt	Omschrijving	Hoogte	Dag	Avond	Nacht	Lden
	01_78_A	Cluster 1	1,50	39,4	35,7	29,5	39,7
	01_78_B	Cluster 1	4,50	41,1	37,5	31,2	41,4
	01_79_A	Cluster 1	1,50	39,2	35,5	29,2	39,4
	01_79_B	Cluster 1	4,50	41,0	37,4	31,1	41,3
	01_79_C	Cluster 1	7,50	43,0	39,4	33,1	43,3
	01_80_A	Cluster 1	1,50	39,3	35,7	29,4	39,6
	01_80_B	Cluster 1	4,50	41,2	37,5	31,2	41,4
	01_80_C	Cluster 1	7,50	43,3	39,7	33,4	43,6
	01_81_A	Cluster 1	1,50	39,7	36,0	29,7	40,0
	01_81_B	Cluster 1	4,50	41,1	37,5	31,1	41,4
	01_81_C	Cluster 1	7,50	43,0	39,4	33,1	43,3
	01_82_A	Cluster 1	1,50	39,8	36,1	29,8	40,0
	01_82_B	Cluster 1	4,50	41,1	37,4	31,1	41,3
	01_82_C	Cluster 1	7,50	42,6	38,9	32,6	42,8
	01_83_A	Cluster 1	1,50	39,8	36,1	29,8	40,1
	01_83_B	Cluster 1	4,50	41,1	37,5	31,1	41,4
	01_83_C	Cluster 1	7,50	42,9	39,2	32,9	43,1
	01_84_A	Cluster 1	1,50	39,6	35,8	29,4	39,8
	01_84_B	Cluster 1	4,50	41,0	37,3	31,0	41,2
	01_84_C	Cluster 1	7,50	42,6	39,0	32,6	42,9
	01_85_A	Cluster 1	1,50	38,8	35,1	28,8	39,0
	01_85_B	Cluster 1	4,50	40,4	36,7	30,5	40,7
	01_85_C	Cluster 1	7,50	42,0	38,4	32,1	42,3
	01_86_A	Cluster 1	1,50	37,2	33,5	27,3	37,5
	01_86_B	Cluster 1	4,50	38,7	35,0	28,8	39,0
	01_86_C	Cluster 1	7,50	41,0	37,3	31,0	41,2
	01_87_A	Cluster 1	1,50	37,9	34,2	28,0	38,1
	01_87_B	Cluster 1	4,50	39,1	35,5	29,2	39,4
	01_88_A	Cluster 1	1,50	38,2	34,5	28,3	38,5
	01_88_B	Cluster 1	4,50	39,9	36,3	30,0	40,2
	01_89_A	Cluster 1	1,50	37,9	34,2	27,9	38,1
	01_89_B	Cluster 1	4,50	39,7	36,1	29,8	40,0
	01_89_C	Cluster 1	7,50	42,4	38,8	32,5	42,7
	01_90_A	Cluster 1	1,50	39,3	35,7	29,4	39,6
	01_90_B	Cluster 1	4,50	40,4	36,7	30,4	40,6
	01_90_C	Cluster 1	7,50	42,4	38,8	32,5	42,7
	01_91_A	Cluster 1	1,50	39,0	35,3	29,0	39,3
	01_91_B	Cluster 1	4,50	40,5	36,8	30,5	40,7
	01_91_C	Cluster 1	7,50	42,4	38,7	32,4	42,6
	01_92_A	Cluster 1	1,50	39,3	35,6	29,3	39,6
	01_92_B	Cluster 1	4,50	41,0	37,3	31,0	41,2
	01_92_C	Cluster 1	7,50	42,9	39,2	32,9	43,1
	01_93_A	Cluster 1	1,50	39,2	35,6	29,3	39,5
	01_93_B	Cluster 1	4,50	40,9	37,2	30,9	41,1
	01_93_C	Cluster 1	7,50	42,9	39,3	32,9	43,2
	01_94_A	Cluster 1	1,50	39,5	35,9	29,5	39,8
	01_94_B	Cluster 1	4,50	40,6	37,0	30,6	40,9
	01_94_C	Cluster 1	7,50	42,2	38,6	32,2	42,5
	01_95_A	Cluster 1	1,50	39,5	35,9	29,5	39,8
	01_95_B	Cluster 1	4,50	40,6	36,9	30,6	40,8
	01_95_C	Cluster 1	7,50	42,2	38,6	32,2	42,5
	01_96_A	Cluster 1	1,50	39,3	35,7	29,4	39,6
	01_96_B	Cluster 1	4,50	40,5	36,8	30,5	40,8
	01_96_C	Cluster 1	7,50	42,3	38,7	32,3	42,6
	01_97_A	Cluster 1	1,50	39,2	35,5	29,2	39,4
	01_97_B	Cluster 1	4,50	40,3	36,6	30,3	40,5
	01_97_C	Cluster 1	7,50	42,1	38,4	32,1	42,3
	01_98_A	Cluster 1	1,50	39,0	35,3	29,1	39,3
	01_98_B	Cluster 1	4,50	40,1	36,4	30,1	40,3
	01_98_C	Cluster 1	7,50	42,0	38,4	32,1	42,3
	01_99_A	Cluster 1	1,50	38,6	35,0	28,6	38,9
	01_99_B	Cluster 1	4,50	39,9	36,2	29,9	40,2
	01_99_C	Cluster 1	7,50	42,0	38,4	32,1	42,3
	02_01_A	Cluster 2	1,50	40,0	36,5	30,1	40,3
	02_01_B	Cluster 2	4,50	43,3	39,7	33,4	43,6
	02_01_C	Cluster 2	7,50	45,3	41,7	35,4	45,6
	02_02_A	Cluster 2	1,50	46,2	42,8	36,3	46,5
	02_02_B	Cluster 2	4,50	48,2	44,7	38,3	48,5
	02_02_C	Cluster 2	7,50	49,9	46,4	40,0	50,2
	02_03_A	Cluster 2	1,50	47,2	43,9	37,4	47,6
	02_03_B	Cluster 2	4,50	49,2	45,8	39,3	49,6
	02_03_C	Cluster 2	7,50	50,8	47,4	40,9	51,2
	02_04_A	Cluster 2	1,50	47,9	44,5	38,0	48,2
	02_04_B	Cluster 2	4,50	49,9	46,5	40,0	50,2

Alle getoonde dB-waarden zijn A-gewogen

Bijlage III-8 Totale geluidbelasting wegverkeerslawaa

Rapport: Resultatentabel
 Model: Kopie van Wegverkeermodel
 LAeq totaalresultaten voor toetspunten
 Groep: Wegen
 Groepsreductie: Nee

Naam	Toetspunt	Omschrijving	Hoogte	Dag	Avond	Nacht	Lden
02_04_C	Cluster 2		7,50	51,2	47,8	41,3	51,6
02_05_A	Cluster 2		1,50	49,0	45,6	39,1	49,4
02_05_B	Cluster 2		4,50	50,4	47,0	40,5	50,8
02_05_C	Cluster 2		7,50	51,7	48,3	41,8	52,1
02_06_A	Cluster 2		1,50	49,1	45,7	39,2	49,4
02_06_B	Cluster 2		4,50	50,5	47,1	40,6	50,9
02_06_C	Cluster 2		7,50	51,7	48,3	41,8	52,1
02_07_A	Cluster 2		1,50	49,1	45,7	39,2	49,4
02_07_B	Cluster 2		4,50	50,8	47,4	40,9	51,1
02_07_C	Cluster 2		7,50	52,0	48,6	42,1	52,4
02_08_A	Cluster 2		1,50	50,2	46,8	40,3	50,5
02_08_B	Cluster 2		4,50	52,0	48,6	42,1	52,3
02_08_C	Cluster 2		7,50	53,0	49,6	43,1	53,4
02_09_A	Cluster 2		1,50	50,8	47,5	41,0	51,2
02_09_B	Cluster 2		4,50	52,8	49,5	42,9	53,2
02_09_C	Cluster 2		7,50	53,8	50,4	43,9	54,2
02_10_A	Cluster 2		1,50	50,7	47,3	40,8	51,0
02_10_B	Cluster 2		4,50	52,8	49,4	42,9	53,1
02_10_C	Cluster 2		7,50	53,8	50,4	43,9	54,2
02_100_A	Cluster 2		1,50	41,8	38,4	31,9	42,1
02_100_B	Cluster 2		4,50	43,2	39,8	33,3	43,6
02_100_C	Cluster 2		7,50	45,5	42,1	35,6	45,9
02_101_A	Cluster 2		1,50	39,8	36,2	29,6	40,0
02_101_B	Cluster 2		4,50	43,3	39,4	32,5	43,2
02_101_C	Cluster 2		7,50	45,4	41,5	34,7	45,4
02_102_A	Cluster 2		1,50	43,8	39,6	32,5	43,5
02_102_B	Cluster 2		4,50	44,8	40,7	33,6	44,6
02_102_C	Cluster 2		7,50	46,3	42,3	35,3	46,2
02_103_A	Cluster 2		1,50	38,7	35,0	28,5	38,9
02_103_B	Cluster 2		4,50	41,6	38,1	31,5	41,9
02_103_C	Cluster 2		7,50	44,0	40,5	33,9	44,2
02_104_A	Cluster 2		1,50	40,1	36,6	30,1	40,4
02_104_B	Cluster 2		4,50	41,3	37,7	31,3	41,5
02_104_C	Cluster 2		7,50	43,4	40,0	33,5	43,7
02_105_A	Cluster 2		1,50	40,1	36,6	30,1	40,4
02_105_B	Cluster 2		4,50	41,9	38,4	31,9	42,2
02_105_C	Cluster 2		7,50	44,0	40,6	34,1	44,3
02_106_A	Cluster 2		1,50	38,5	34,9	28,4	38,7
02_106_B	Cluster 2		4,50	41,3	37,7	31,2	41,5
02_106_C	Cluster 2		7,50	44,2	40,7	34,3	44,5
02_107_A	Cluster 2		1,50	39,5	35,9	29,5	39,8
02_107_B	Cluster 2		4,50	40,8	37,3	30,8	41,1
02_107_C	Cluster 2		7,50	44,1	40,6	34,1	44,4
02_108_A	Cluster 2		1,50	38,5	34,8	28,4	38,7
02_108_B	Cluster 2		4,50	40,2	36,5	30,1	40,4
02_108_C	Cluster 2		7,50	43,3	39,8	33,3	43,6
02_11_A	Cluster 2		1,50	52,6	49,3	42,7	53,0
02_11_B	Cluster 2		4,50	54,7	51,4	44,8	55,1
02_11_C	Cluster 2		7,50	55,5	52,1	45,6	55,8
02_12_A	Cluster 2		1,50	55,1	51,8	45,2	55,5
02_12_B	Cluster 2		4,50	56,7	53,4	46,8	57,1
02_13_A	Cluster 2		1,50	55,6	52,3	45,8	56,0
02_13_B	Cluster 2		4,50	57,1	53,8	47,2	57,5
02_14_A	Cluster 2		1,50	58,8	55,5	48,9	59,1
02_14_B	Cluster 2		4,50	60,1	56,8	50,3	60,5
02_15_A	Cluster 2		1,50	58,6	55,4	48,8	59,0
02_15_B	Cluster 2		4,50	60,0	56,7	50,2	60,4
02_16_A	Cluster 2		1,50	58,9	55,6	49,1	59,3
02_16_B	Cluster 2		4,50	60,2	56,9	50,4	60,6
02_16_C	Cluster 2		7,50	60,6	57,2	50,7	60,9
02_16_D	Cluster 2		10,50	60,6	57,3	50,8	61,0
02_17_A	Cluster 2		1,50	58,9	55,6	49,0	59,3
02_17_B	Cluster 2		4,50	60,2	56,9	50,4	60,6
02_17_C	Cluster 2		7,50	60,5	57,2	50,7	60,9
02_17_D	Cluster 2		10,50	60,6	57,3	50,7	61,0
02_18_A	Cluster 2		1,50	58,9	55,6	49,0	59,3
02_18_B	Cluster 2		4,50	60,2	56,9	50,3	60,6
02_18_C	Cluster 2		7,50	60,5	57,2	50,6	60,9
02_18_D	Cluster 2		10,50	60,6	57,2	50,7	60,9
02_19_A	Cluster 2		1,50	58,9	55,6	49,0	59,3
02_19_B	Cluster 2		4,50	60,2	56,9	50,3	60,6
02_19_C	Cluster 2		7,50	60,5	57,2	50,6	60,8
02_19_D	Cluster 2		10,50	60,5	57,2	50,6	60,9
02_20_A	Cluster 2		1,50	58,9	55,6	49,0	59,3

Alle getoonde dB-waarden zijn A-gewogen

Bijlage III-8 Totale geluidbelasting wegverkeerslawaa

Rapport: Resultatentabel
 Model: Kopie van Wegverkeermodel
 LAeq totaalresultaten voor toetspunten
 Groep: Wegen
 Groepsreductie: Nee

Naam	Toetspunt	Omschrijving	Hoogte	Dag	Avond	Nacht	Lden
	02_20_B	Cluster 2	4,50	60,2	56,9	50,3	60,6
	02_20_C	Cluster 2	7,50	60,5	57,1	50,6	60,8
	02_20_D	Cluster 2	10,50	60,5	57,2	50,6	60,9
	02_21_A	Cluster 2	1,50	59,0	55,8	49,2	59,4
	02_21_B	Cluster 2	4,50	60,2	56,9	50,3	60,6
	02_21_C	Cluster 2	7,50	60,5	57,1	50,6	60,8
	02_21_D	Cluster 2	10,50	60,5	57,2	50,6	60,8
	02_22_A	Cluster 2	1,50	59,2	55,9	49,3	59,5
	02_22_B	Cluster 2	4,50	60,2	56,9	50,3	60,6
	02_22_C	Cluster 2	7,50	60,5	57,1	50,5	60,8
	02_22_D	Cluster 2	10,50	60,5	57,1	50,5	60,8
	02_23_A	Cluster 2	1,50	59,2	55,9	49,2	59,5
	02_23_B	Cluster 2	4,50	60,3	56,9	50,3	60,6
	02_23_C	Cluster 2	7,50	60,5	57,1	50,5	60,8
	02_23_D	Cluster 2	10,50	60,5	57,1	50,5	60,8
	02_24_A	Cluster 2	1,50	59,3	56,0	49,3	59,6
	02_24_B	Cluster 2	4,50	60,4	57,0	50,4	60,7
	02_24_C	Cluster 2	7,50	60,6	57,2	50,6	60,9
	02_24_D	Cluster 2	10,50	60,5	57,2	50,5	60,9
	02_25_A	Cluster 2	1,50	59,4	56,0	49,4	59,7
	02_25_B	Cluster 2	4,50	60,4	57,1	50,4	60,8
	02_25_C	Cluster 2	7,50	60,6	57,3	50,6	60,9
	02_25_D	Cluster 2	10,50	60,6	57,2	50,6	60,9
	02_26_A	Cluster 2	1,50	55,3	51,8	45,0	55,5
	02_26_B	Cluster 2	4,50	56,5	53,0	46,2	56,7
	02_26_C	Cluster 2	7,50	56,7	53,2	46,4	56,9
	02_26_D	Cluster 2	10,50	56,7	53,2	46,4	56,9
	02_27_A	Cluster 2	1,50	54,9	51,6	45,0	55,3
	02_27_B	Cluster 2	4,50	56,1	52,9	46,3	56,5
	02_27_C	Cluster 2	7,50	56,3	53,1	46,5	56,7
	02_27_D	Cluster 2	10,50	56,5	53,2	46,7	56,9
	02_28_A	Cluster 2	1,50	59,8	56,4	49,7	60,1
	02_28_B	Cluster 2	4,50	60,8	57,4	50,7	61,1
	02_28_C	Cluster 2	7,50	60,9	57,5	50,8	61,2
	02_28_D	Cluster 2	10,50	60,8	57,5	50,8	61,1
	02_29_A	Cluster 2	1,50	59,6	56,2	49,5	59,9
	02_29_B	Cluster 2	4,50	60,6	57,3	50,6	60,9
	02_29_C	Cluster 2	7,50	60,8	57,4	50,7	61,1
	02_29_D	Cluster 2	10,50	60,7	57,3	50,6	61,0
	02_30_A	Cluster 2	1,50	59,2	55,9	49,2	59,5
	02_30_B	Cluster 2	4,50	60,3	56,9	50,2	60,6
	02_30_C	Cluster 2	7,50	60,4	57,1	50,4	60,7
	02_30_D	Cluster 2	10,50	60,4	57,1	50,4	60,7
	02_31_A	Cluster 2	1,50	58,9	55,7	49,0	59,3
	02_31_B	Cluster 2	4,50	60,1	56,8	50,1	60,4
	02_31_C	Cluster 2	7,50	60,2	57,0	50,3	60,6
	02_31_D	Cluster 2	10,50	60,2	56,9	50,2	60,6
	02_32_A	Cluster 2	1,50	54,4	51,3	44,7	54,9
	02_32_B	Cluster 2	4,50	55,7	52,6	45,9	56,1
	02_32_C	Cluster 2	7,50	55,9	52,8	46,1	56,3
	02_32_D	Cluster 2	10,50	55,9	52,8	46,1	56,3
	02_33_A	Cluster 2	1,50	53,0	49,9	43,2	53,4
	02_33_B	Cluster 2	4,50	54,3	51,2	44,5	54,8
	02_33_C	Cluster 2	7,50	54,6	51,5	44,8	55,1
	02_34_A	Cluster 2	1,50	52,3	49,2	42,5	52,7
	02_34_B	Cluster 2	4,50	53,7	50,6	43,9	54,2
	02_34_C	Cluster 2	7,50	54,1	51,0	44,3	54,6
	02_35_A	Cluster 2	1,50	51,4	48,3	41,7	51,9
	02_35_B	Cluster 2	4,50	53,0	49,8	43,2	53,4
	02_35_C	Cluster 2	7,50	53,4	50,3	43,7	53,9
	02_36_A	Cluster 2	1,50	50,4	47,3	40,6	50,8
	02_36_B	Cluster 2	4,50	51,9	48,8	42,1	52,3
	02_36_C	Cluster 2	7,50	52,5	49,4	42,7	52,9
	02_37_A	Cluster 2	1,50	49,7	46,6	40,0	50,2
	02_37_B	Cluster 2	4,50	51,2	48,1	41,4	51,6
	02_37_C	Cluster 2	7,50	51,9	48,8	42,1	52,3
	02_38_A	Cluster 2	1,50	48,9	45,8	39,1	49,3
	02_38_B	Cluster 2	4,50	50,2	47,1	40,5	50,7
	02_38_C	Cluster 2	7,50	51,1	48,0	41,3	51,5
	02_39_A	Cluster 2	1,50	48,3	45,2	38,5	48,7
	02_39_B	Cluster 2	4,50	49,6	46,4	39,8	50,0
	02_39_C	Cluster 2	7,50	50,5	47,3	40,7	50,9
	02_40_A	Cluster 2	1,50	47,7	44,6	37,9	48,1
	02_40_B	Cluster 2	4,50	48,9	45,8	39,1	49,4

Alle getoonde dB-waarden zijn A-gewogen

Bijlage III-8 Totale geluidbelasting wegverkeerslawaa

Rapport: Resultatentabel
 Model: Kopie van Wegverkeermodel
 LAeq totaalresultaten voor toetspunten
 Groep: Wegen
 Groepsreductie: Nee

Naam	Toetspunt	Omschrijving	Hoogte	Dag	Avond	Nacht	Lden
	02_40_C	Cluster 2	7,50	49,9	46,8	40,1	50,3
	02_41_A	Cluster 2	1,50	35,9	32,5	26,0	36,3
	02_41_B	Cluster 2	4,50	37,2	33,8	27,2	37,5
	02_41_C	Cluster 2	7,50	40,6	37,2	30,6	40,9
	02_42_A	Cluster 2	1,50	38,8	35,5	28,9	39,2
	02_42_B	Cluster 2	4,50	40,0	36,6	30,0	40,3
	02_42_C	Cluster 2	7,50	44,0	40,6	34,0	44,3
	02_43_A	Cluster 2	1,50	46,4	43,3	36,6	46,8
	02_43_B	Cluster 2	4,50	47,5	44,4	37,7	48,0
	02_43_C	Cluster 2	7,50	48,6	45,4	38,8	49,0
	02_44_A	Cluster 2	1,50	44,5	41,4	34,7	45,0
	02_44_B	Cluster 2	4,50	45,7	42,6	35,9	46,2
	02_45_A	Cluster 2	1,50	43,9	40,7	34,1	44,3
	02_45_B	Cluster 2	4,50	45,1	41,9	35,3	45,5
	02_46_A	Cluster 2	1,50	37,5	34,1	27,6	37,8
	02_46_B	Cluster 2	4,50	39,0	35,5	29,1	39,3
	02_47_A	Cluster 2	1,50	36,9	33,4	27,0	37,2
	02_47_B	Cluster 2	4,50	38,2	34,7	28,3	38,5
	02_48_A	Cluster 2	1,50	37,3	33,8	27,4	37,7
	02_48_B	Cluster 2	4,50	38,9	35,3	29,0	39,2
	02_48_C	Cluster 2	7,50	40,1	36,6	30,2	40,5
	02_49_A	Cluster 2	1,50	37,9	34,4	27,9	38,2
	02_49_B	Cluster 2	4,50	39,4	35,9	29,5	39,7
	02_49_C	Cluster 2	7,50	40,7	37,2	30,8	41,0
	02_50_A	Cluster 2	1,50	37,6	34,1	27,6	37,9
	02_50_B	Cluster 2	4,50	39,3	35,8	29,3	39,6
	02_50_C	Cluster 2	7,50	40,6	37,1	30,6	40,9
	02_51_A	Cluster 2	1,50	38,1	34,6	28,1	38,4
	02_51_B	Cluster 2	4,50	39,7	36,1	29,7	39,9
	02_51_C	Cluster 2	7,50	40,9	37,4	31,0	41,2
	02_52_A	Cluster 2	1,50	37,5	34,0	27,5	37,8
	02_52_B	Cluster 2	4,50	39,4	35,8	29,4	39,6
	02_52_C	Cluster 2	7,50	40,8	37,2	30,8	41,0
	02_53_A	Cluster 2	1,50	37,2	33,7	27,3	37,5
	02_53_B	Cluster 2	4,50	39,5	36,0	29,6	39,8
	02_53_C	Cluster 2	7,50	41,1	37,6	31,2	41,4
	02_54_A	Cluster 2	1,50	36,9	33,2	26,8	37,1
	02_54_B	Cluster 2	4,50	39,2	35,4	29,1	39,4
	02_54_C	Cluster 2	7,50	40,9	37,2	30,8	41,1
	02_55_A	Cluster 2	1,50	37,2	33,5	27,2	37,5
	02_55_B	Cluster 2	4,50	39,8	36,1	29,8	40,0
	02_55_C	Cluster 2	7,50	41,7	38,1	31,8	42,0
	02_56_A	Cluster 2	1,50	38,4	34,8	28,4	38,7
	02_56_B	Cluster 2	4,50	40,5	36,8	30,5	40,7
	02_56_C	Cluster 2	7,50	42,1	38,5	32,2	42,4
	02_57_A	Cluster 2	1,50	37,5	33,8	27,5	37,7
	02_57_B	Cluster 2	4,50	40,0	36,4	30,1	40,3
	02_57_C	Cluster 2	7,50	42,1	38,5	32,2	42,4
	02_58_A	Cluster 2	1,50	37,5	33,8	27,5	37,8
	02_58_B	Cluster 2	4,50	40,1	36,5	30,2	40,4
	02_58_C	Cluster 2	7,50	42,2	38,6	32,3	42,5
	02_59_A	Cluster 2	1,50	38,7	35,0	28,7	39,0
	02_59_B	Cluster 2	4,50	40,4	36,7	30,4	40,6
	02_59_C	Cluster 2	7,50	42,8	39,2	32,9	43,1
	02_60_A	Cluster 2	1,50	37,0	33,2	26,8	37,2
	02_60_B	Cluster 2	4,50	38,7	35,0	28,6	38,9
	02_60_C	Cluster 2	7,50	40,7	37,0	30,6	40,9
	02_61_A	Cluster 2	1,50	37,1	33,4	27,0	37,3
	02_61_B	Cluster 2	4,50	38,5	34,8	28,4	38,7
	02_61_C	Cluster 2	7,50	40,2	36,5	30,2	40,4
	02_62_A	Cluster 2	1,50	37,0	33,3	26,9	37,2
	02_62_B	Cluster 2	4,50	38,4	34,7	28,3	38,6
	02_62_C	Cluster 2	7,50	40,3	36,7	30,3	40,6
	02_63_A	Cluster 2	1,50	37,3	33,6	27,2	37,5
	02_63_B	Cluster 2	4,50	38,6	35,0	28,6	38,9
	02_63_C	Cluster 2	7,50	40,7	37,1	30,7	41,0
	02_64_A	Cluster 2	1,50	37,4	33,7	27,2	37,6
	02_64_B	Cluster 2	4,50	38,6	35,0	28,6	38,9
	02_64_C	Cluster 2	7,50	40,9	37,3	30,9	41,2
	02_65_A	Cluster 2	1,50	37,5	33,8	27,4	37,7
	02_65_B	Cluster 2	4,50	38,8	35,1	28,7	39,0
	02_65_C	Cluster 2	7,50	41,3	37,8	31,3	41,6
	02_66_A	Cluster 2	1,50	37,7	33,9	27,5	37,8
	02_66_B	Cluster 2	4,50	38,7	35,0	28,6	38,9

Alle getoonde dB-waarden zijn A-gewogen

Bijlage III-8 Totale geluidbelasting wegverkeerslawaa

Rapport: Resultatentabel
 Model: Kopie van Wegverkeermodel
 LAeq totaalresultaten voor toetspunten
 Groep: Wegen
 Groepsreductie: Nee

Naam	Toetspunt	Omschrijving	Hoogte	Dag	Avond	Nacht	Lden
02_66_C	Cluster 2		7,50	41,5	38,0	31,5	41,8
02_67_A	Cluster 2		1,50	37,5	33,8	27,3	37,7
02_67_B	Cluster 2		4,50	38,5	34,8	28,3	38,7
02_67_C	Cluster 2		7,50	41,5	38,0	31,5	41,8
02_68_A	Cluster 2		1,50	37,1	33,3	26,8	37,2
02_68_B	Cluster 2		4,50	37,8	34,1	27,6	38,0
02_68_C	Cluster 2		7,50	40,5	36,8	30,3	40,7
02_69_A	Cluster 2		1,50	37,2	33,6	27,2	37,5
02_69_B	Cluster 2		4,50	40,1	36,5	30,1	40,3
02_69_C	Cluster 2		7,50	46,2	42,8	36,3	46,6
02_70_A	Cluster 2		1,50	36,3	32,6	26,2	36,5
02_70_B	Cluster 2		4,50	38,9	35,3	28,9	39,2
02_70_C	Cluster 2		7,50	45,8	42,4	35,9	46,2
02_71_A	Cluster 2		1,50	36,7	33,1	26,6	37,0
02_71_B	Cluster 2		4,50	39,8	36,2	29,8	40,1
02_72_A	Cluster 2		1,50	37,4	33,6	27,3	37,6
02_72_B	Cluster 2		4,50	39,6	35,9	29,5	39,8
02_73_A	Cluster 2		1,50	37,3	33,5	27,2	37,5
02_73_B	Cluster 2		4,50	38,9	35,1	28,8	39,1
02_73_C	Cluster 2		7,50	40,9	37,1	30,8	41,1
02_73_D	Cluster 2		10,50	43,9	40,3	33,9	44,2
02_74_A	Cluster 2		1,50	38,4	34,7	28,3	38,6
02_74_B	Cluster 2		4,50	39,4	35,7	29,3	39,6
02_74_C	Cluster 2		7,50	40,9	37,2	30,9	41,1
02_74_D	Cluster 2		10,50	43,8	40,2	33,9	44,1
02_75_A	Cluster 2		1,50	37,8	34,1	27,7	38,0
02_75_B	Cluster 2		4,50	38,9	35,1	28,8	39,1
02_75_C	Cluster 2		7,50	40,2	36,5	30,2	40,5
02_75_D	Cluster 2		10,50	42,4	38,8	32,4	42,7
02_76_A	Cluster 2		1,50	38,2	34,4	28,0	38,4
02_76_B	Cluster 2		4,50	39,3	35,6	29,3	39,6
02_76_C	Cluster 2		7,50	40,6	36,8	30,5	40,8
02_76_D	Cluster 2		10,50	43,0	39,4	33,1	43,3
02_77_A	Cluster 2		1,50	37,9	34,1	27,8	38,1
02_77_B	Cluster 2		4,50	39,2	35,5	29,1	39,4
02_77_C	Cluster 2		7,50	40,6	36,9	30,5	40,8
02_77_D	Cluster 2		10,50	43,4	39,7	33,3	43,6
02_78_A	Cluster 2		1,50	38,1	34,3	27,9	38,2
02_78_B	Cluster 2		4,50	39,3	35,5	29,1	39,5
02_78_C	Cluster 2		7,50	40,7	37,0	30,5	40,9
02_78_D	Cluster 2		10,50	42,9	39,3	32,9	43,1
02_79_A	Cluster 2		1,50	38,3	34,5	28,0	38,4
02_79_B	Cluster 2		4,50	39,6	35,8	29,4	39,8
02_79_C	Cluster 2		7,50	41,1	37,2	30,8	41,2
02_79_D	Cluster 2		10,50	42,6	38,9	32,5	42,8
02_80_A	Cluster 2		1,50	40,3	36,2	29,4	40,2
02_80_B	Cluster 2		4,50	40,8	36,7	30,1	40,7
02_80_C	Cluster 2		7,50	42,0	38,1	31,4	42,0
02_80_D	Cluster 2		10,50	42,8	39,1	32,6	43,0
02_81_A	Cluster 2		1,50	39,1	35,3	28,9	39,3
02_81_B	Cluster 2		4,50	40,3	36,5	30,0	40,5
02_81_C	Cluster 2		7,50	41,9	38,1	31,6	42,0
02_81_D	Cluster 2		10,50	42,4	38,8	32,3	42,6
02_82_A	Cluster 2		1,50	38,5	34,9	28,6	38,8
02_82_B	Cluster 2		4,50	38,9	35,3	29,0	39,2
02_82_C	Cluster 2		7,50	40,4	36,7	30,4	40,6
02_82_D	Cluster 2		10,50	41,4	37,8	31,4	41,7
02_83_A	Cluster 2		1,50	43,0	39,6	33,1	43,3
02_83_B	Cluster 2		4,50	38,7	35,1	28,8	39,0
02_83_C	Cluster 2		7,50	40,4	36,8	30,5	40,7
02_83_D	Cluster 2		10,50	41,0	37,5	31,1	41,3
02_84_A	Cluster 2		1,50	36,5	32,7	26,3	36,7
02_84_B	Cluster 2		4,50	37,8	34,1	27,8	38,1
02_84_C	Cluster 2		7,50	39,4	35,8	29,5	39,7
02_84_D	Cluster 2		10,50	40,6	37,0	30,6	40,9
02_85_A	Cluster 2		1,50	36,5	32,8	26,5	36,7
02_85_B	Cluster 2		4,50	37,7	34,0	27,7	37,9
02_85_C	Cluster 2		7,50	39,6	35,9	29,5	39,8
02_85_D	Cluster 2		10,50	40,5	36,9	30,6	40,8
02_86_A	Cluster 2		1,50	37,3	33,7	27,3	37,6
02_86_B	Cluster 2		4,50	38,6	34,9	28,4	38,8
02_86_C	Cluster 2		7,50	40,8	37,0	30,5	41,0
02_87_A	Cluster 2		1,50	36,7	33,1	26,6	36,9
02_87_B	Cluster 2		4,50	38,5	34,7	28,2	38,6

Alle getoonde dB-waarden zijn A-gewogen

Bijlage III-8 Totale geluidbelasting wegverkeerslawaa

Rapport: Resultatentabel
 Model: Kopie van Wegverkeermodel
 LAeq totaalresultaten voor toetspunten
 Groep: Wegen
 Groepsreductie: Nee

Naam	Toetspunt	Omschrijving	Hoogte	Dag	Avond	Nacht	Lden
	02_87_C	Cluster 2	7,50	41,9	38,2	31,7	42,1
	02_88_A	Cluster 2	1,50	36,5	32,9	26,4	36,7
	02_88_B	Cluster 2	4,50	38,4	34,8	28,2	38,6
	02_88_C	Cluster 2	7,50	43,1	39,6	33,0	43,3
	02_89_A	Cluster 2	1,50	38,5	34,9	28,5	38,8
	02_89_B	Cluster 2	4,50	40,0	36,4	29,9	40,2
	02_89_C	Cluster 2	7,50	42,0	38,3	31,8	42,2
	02_90_A	Cluster 2	1,50	38,6	34,9	28,5	38,8
	02_90_B	Cluster 2	4,50	41,9	38,5	31,9	42,2
	02_90_C	Cluster 2	7,50	43,6	40,1	33,6	43,9
	02_91_A	Cluster 2	1,50	38,8	35,2	28,8	39,1
	02_91_B	Cluster 2	4,50	42,3	38,9	32,4	42,6
	02_91_C	Cluster 2	7,50	44,3	41,0	34,4	44,7
	02_92_A	Cluster 2	1,50	39,4	35,8	29,4	39,6
	02_92_B	Cluster 2	4,50	43,5	40,2	33,6	43,9
	02_92_C	Cluster 2	7,50	45,9	42,5	36,0	46,2
	02_93_A	Cluster 2	1,50	39,9	36,4	29,9	40,2
	02_93_B	Cluster 2	4,50	43,2	39,7	33,2	43,5
	02_93_C	Cluster 2	7,50	45,7	42,3	35,7	46,0
	02_94_A	Cluster 2	1,50	39,1	35,6	29,1	39,4
	02_94_B	Cluster 2	4,50	43,0	39,6	33,1	43,3
	02_94_C	Cluster 2	7,50	45,9	42,5	35,9	46,2
	02_95_A	Cluster 2	1,50	37,7	34,1	27,6	37,9
	02_95_B	Cluster 2	4,50	39,8	36,2	29,8	40,1
	02_95_C	Cluster 2	7,50	43,0	39,5	33,1	43,3
	02_96_A	Cluster 2	1,50	38,4	34,8	28,3	38,6
	02_96_B	Cluster 2	4,50	41,6	38,1	31,6	41,9
	02_97_A	Cluster 2	1,50	38,2	34,6	28,1	38,5
	02_97_B	Cluster 2	4,50	41,5	38,0	31,4	41,8
	02_98_A	Cluster 2	1,50	37,2	33,5	27,0	37,4
	02_98_B	Cluster 2	4,50	42,0	38,4	31,7	42,2
	02_98_C	Cluster 2	7,50	45,1	41,6	34,9	45,4
	02_99_A	Cluster 2	1,50	38,5	34,9	28,4	38,7
	02_99_B	Cluster 2	4,50	41,9	38,5	32,0	42,3
	02_99_C	Cluster 2	7,50	44,5	41,1	34,6	44,9
	03_01_A	Cluster 3	1,50	48,9	45,4	37,6	48,8
	03_01_B	Cluster 3	4,50	49,3	45,8	38,0	49,2
	03_01_C	Cluster 3	7,50	49,3	45,8	38,1	49,3
	03_02_A	Cluster 3	1,50	54,0	50,5	42,8	53,9
	03_02_B	Cluster 3	4,50	54,2	50,8	43,0	54,2
	03_02_C	Cluster 3	7,50	53,9	50,5	42,8	53,9
	03_03_A	Cluster 3	1,50	54,0	50,6	42,8	54,0
	03_03_B	Cluster 3	4,50	54,2	50,8	43,0	54,2
	03_03_C	Cluster 3	7,50	53,9	50,4	42,7	53,8
	03_04_A	Cluster 3	1,50	54,5	51,1	43,2	54,4
	03_04_B	Cluster 3	4,50	54,6	51,2	43,4	54,6
	03_04_C	Cluster 3	7,50	54,2	50,8	43,0	54,2
	03_05_A	Cluster 3	1,50	54,3	50,9	43,1	54,3
	03_05_B	Cluster 3	4,50	54,5	51,1	43,3	54,5
	03_06_A	Cluster 3	1,50	54,3	50,9	43,1	54,3
	03_06_B	Cluster 3	4,50	54,5	51,1	43,3	54,5
	03_07_A	Cluster 3	1,50	50,4	47,0	39,3	50,4
	03_07_B	Cluster 3	4,50	50,9	47,5	39,8	50,9
	03_08_A	Cluster 3	1,50	48,4	45,0	37,2	48,4
	03_08_B	Cluster 3	4,50	49,1	45,7	38,0	49,1
	03_09_A	Cluster 3	1,50	45,8	42,4	34,8	45,9
	03_09_B	Cluster 3	4,50	47,0	43,6	36,0	47,0
	03_09_C	Cluster 3	7,50	47,4	43,9	36,4	47,4
	03_10_A	Cluster 3	1,50	43,7	40,3	32,8	43,8
	03_10_B	Cluster 3	4,50	45,4	41,9	34,5	45,4
	03_10_C	Cluster 3	7,50	46,0	42,5	35,2	46,1
	03_11_A	Cluster 3	1,50	42,8	39,3	31,9	42,8
	03_11_B	Cluster 3	4,50	44,6	41,1	33,7	44,6
	03_11_C	Cluster 3	7,50	45,3	41,8	34,5	45,3
	03_12_A	Cluster 3	1,50	41,7	38,2	30,9	41,8
	03_12_B	Cluster 3	4,50	43,7	40,3	33,0	43,8
	03_12_C	Cluster 3	7,50	44,5	41,0	33,9	44,6
	03_13_A	Cluster 3	1,50	40,9	37,4	30,2	41,0
	03_13_B	Cluster 3	4,50	43,0	39,5	32,3	43,1
	03_13_C	Cluster 3	7,50	43,8	40,3	33,3	44,0
	03_14_A	Cluster 3	1,50	40,5	37,0	29,9	40,6
	03_14_B	Cluster 3	4,50	42,6	39,1	32,0	42,7
	03_14_C	Cluster 3	7,50	43,7	40,2	33,3	43,9
	03_15_A	Cluster 3	1,50	40,0	36,5	29,5	40,1

Alle getoonde dB-waarden zijn A-gewogen

Bijlage III-8 Totale geluidbelasting wegverkeerslawaa

Rapport: Resultatentabel
 Model: Kopie van Wegverkeermodel
 LAeq totaalresultaten voor toetspunten
 Groep: Wegen
 Groepsreductie: Nee

Naam	Toetspunt	Omschrijving	Hoogte	Dag	Avond	Nacht	Lden
	03_15_B	Cluster 3	4,50	42,0	38,5	31,5	42,1
	03_15_C	Cluster 3	7,50	43,2	39,7	32,8	43,4
	03_16_A	Cluster 3	1,50	39,6	36,0	29,1	39,7
	03_16_B	Cluster 3	4,50	41,5	38,0	31,1	41,7
	03_16_C	Cluster 3	7,50	42,9	39,4	32,6	43,1
	03_17_A	Cluster 3	1,50	39,3	35,7	28,9	39,4
	03_17_B	Cluster 3	4,50	41,1	37,5	30,8	41,3
	03_17_C	Cluster 3	7,50	42,6	39,1	32,4	42,8
	03_18_A	Cluster 3	1,50	38,9	35,4	28,6	39,1
	03_18_B	Cluster 3	4,50	40,8	37,2	30,5	41,0
	03_18_C	Cluster 3	7,50	42,5	38,9	32,3	42,7
	03_19_A	Cluster 3	1,50	39,0	35,4	28,7	39,2
	03_19_B	Cluster 3	4,50	40,7	37,2	30,5	40,9
	03_19_C	Cluster 3	7,50	42,4	38,8	32,1	42,6
	03_20_A	Cluster 3	1,50	38,6	35,1	28,4	38,8
	03_20_B	Cluster 3	4,50	40,3	36,7	30,2	40,6
	03_20_C	Cluster 3	7,50	41,9	38,3	31,7	42,1
	03_21_A	Cluster 3	1,50	37,0	33,4	27,0	37,3
	03_21_B	Cluster 3	4,50	38,6	35,0	28,6	38,9
	03_21_C	Cluster 3	7,50	40,5	37,0	30,5	40,8
	03_22_A	Cluster 3	1,50	37,3	33,8	27,4	37,6
	03_22_B	Cluster 3	4,50	38,8	35,3	28,9	39,1
	03_22_C	Cluster 3	7,50	40,9	37,4	30,9	41,2
	03_23_A	Cluster 3	1,50	38,1	34,7	28,2	38,4
	03_23_B	Cluster 3	4,50	39,5	36,1	29,6	39,9
	03_23_C	Cluster 3	7,50	41,2	37,8	31,4	41,6
	03_24_A	Cluster 3	1,50	39,4	36,1	29,6	39,8
	03_24_B	Cluster 3	4,50	40,6	37,3	30,8	41,0
	03_24_C	Cluster 3	7,50	42,0	38,6	32,1	42,3
	03_25_A	Cluster 3	1,50	40,3	37,1	30,5	40,7
	03_25_B	Cluster 3	4,50	41,4	38,1	31,6	41,8
	03_25_C	Cluster 3	7,50	42,5	39,2	32,7	42,9
	03_26_A	Cluster 3	1,50	40,0	36,7	30,2	40,4
	03_26_B	Cluster 3	4,50	41,1	37,8	31,2	41,5
	03_26_C	Cluster 3	7,50	42,0	38,7	32,2	42,4
	03_27_A	Cluster 3	1,50	40,7	37,4	30,8	41,1
	03_27_B	Cluster 3	4,50	41,8	38,5	31,9	42,2
	03_27_C	Cluster 3	7,50	42,7	39,4	32,8	43,1
	03_28_A	Cluster 3	1,50	40,1	36,8	30,3	40,5
	03_28_B	Cluster 3	4,50	41,1	37,8	31,2	41,4
	03_28_C	Cluster 3	7,50	42,1	38,8	32,2	42,4
	03_29_A	Cluster 3	1,50	37,5	34,1	27,6	37,8
	03_29_B	Cluster 3	4,50	38,3	34,8	28,3	38,6
	03_29_C	Cluster 3	7,50	39,6	36,1	29,6	39,9
	03_30_A	Cluster 3	1,50	34,2	30,6	24,1	34,4
	03_30_B	Cluster 3	4,50	36,0	32,4	25,9	36,2
	03_30_C	Cluster 3	7,50	38,3	34,7	28,3	38,6
	03_31_A	Cluster 3	1,50	34,9	31,3	24,6	35,1
	03_31_B	Cluster 3	4,50	36,8	33,2	26,5	37,0
	03_31_C	Cluster 3	7,50	38,8	35,2	28,5	39,0
	03_32_A	Cluster 3	1,50	35,5	31,8	25,4	35,7
	03_32_B	Cluster 3	4,50	37,5	33,8	27,5	37,7
	03_32_C	Cluster 3	7,50	39,4	35,7	29,4	39,6
	03_33_A	Cluster 3	1,50	36,3	32,8	25,8	36,4
	03_33_B	Cluster 3	4,50	38,3	34,7	27,7	38,4
	03_33_C	Cluster 3	7,50	40,1	36,5	29,4	40,2
	03_34_A	Cluster 3	1,50	38,1	34,6	27,4	38,2
	03_34_B	Cluster 3	4,50	40,1	36,6	29,3	40,1
	03_34_C	Cluster 3	7,50	41,8	38,3	30,9	41,8
	03_35_A	Cluster 3	1,50	39,1	35,6	28,5	39,2
	03_35_B	Cluster 3	4,50	41,2	37,7	30,4	41,2
	03_35_C	Cluster 3	7,50	42,7	39,2	31,9	42,8
	03_36_A	Cluster 3	1,50	39,9	36,4	29,1	39,9
	03_36_B	Cluster 3	4,50	42,2	38,7	31,3	42,2
	03_36_C	Cluster 3	7,50	43,9	40,4	33,2	44,0
	03_37_A	Cluster 3	1,50	41,4	37,9	30,5	41,4
	03_37_B	Cluster 3	4,50	43,4	39,9	32,4	43,4
	03_37_C	Cluster 3	7,50	44,5	41,0	33,6	44,5
	03_38_A	Cluster 3	1,50	42,8	39,4	31,8	42,8
	03_38_B	Cluster 3	4,50	44,5	41,0	33,4	44,5
	03_38_C	Cluster 3	7,50	45,1	41,6	34,0	45,1
	03_39_A	Cluster 3	1,50	43,8	40,4	32,7	43,8
	03_39_B	Cluster 3	4,50	45,2	41,7	34,0	45,2
	03_39_C	Cluster 3	7,50	45,7	42,2	34,7	45,7

Alle getoonde dB-waarden zijn A-gewogen

Bijlage III-8 Totale geluidbelasting wegverkeerslawaa

Rapport: Resultatentabel
 Model: Kopie van Wegverkeermodel
 LAeq totaalresultaten voor toetspunten
 Groep: Wegen
 Groepsreductie: Nee

Naam	Toetspunt	Omschrijving	Hoogte	Dag	Avond	Nacht	Lden
03_40_A	Cluster 3		1,50	45,3	41,9	34,1	45,3
03_40_B	Cluster 3		4,50	46,5	43,1	35,3	46,5
03_40_C	Cluster 3		7,50	46,5	43,1	35,4	46,5
03_41_A	Cluster 3		1,50	46,3	42,8	35,1	46,2
03_41_B	Cluster 3		4,50	47,2	43,7	35,9	47,1
03_41_C	Cluster 3		7,50	47,3	43,8	36,1	47,2
03_42_A	Cluster 3		1,50	48,2	44,8	36,9	48,1
03_42_B	Cluster 3		4,50	48,9	45,4	37,6	48,8
03_42_C	Cluster 3		7,50	48,9	45,4	37,7	48,8
03_43_A	Cluster 3		1,50	52,6	49,2	41,3	52,5
03_43_B	Cluster 3		4,50	53,0	49,6	41,8	53,0
03_43_C	Cluster 3		7,50	52,9	49,4	41,7	52,8
03_44_A	Cluster 3		1,50	52,7	49,3	41,5	52,7
03_44_B	Cluster 3		4,50	53,2	49,7	41,9	53,1
03_44_C	Cluster 3		7,50	53,0	49,5	41,7	52,9
03_45_A	Cluster 3		1,50	53,0	49,6	41,7	53,0
03_45_B	Cluster 3		4,50	53,4	50,0	42,1	53,4
03_45_C	Cluster 3		7,50	53,2	49,7	42,0	53,1
03_46_A	Cluster 3		1,50	53,4	49,9	42,1	53,3
03_46_B	Cluster 3		4,50	53,7	50,2	42,4	53,6
03_46_C	Cluster 3		7,50	53,5	50,0	42,2	53,4
03_47_A	Cluster 3		1,50	48,9	45,4	37,6	48,8
03_47_B	Cluster 3		4,50	49,1	45,6	37,9	49,1
03_47_C	Cluster 3		7,50	49,2	45,7	38,1	49,2
03_48_A	Cluster 3		1,50	37,0	33,3	26,9	37,2
03_48_B	Cluster 3		4,50	37,9	34,2	27,8	38,1
03_48_C	Cluster 3		7,50	39,3	35,7	29,4	39,6
03_49_A	Cluster 3		1,50	36,5	32,8	26,4	36,7
03_49_B	Cluster 3		4,50	37,6	33,9	27,5	37,8
03_49_C	Cluster 3		7,50	39,3	35,6	29,3	39,5
03_50_A	Cluster 3		1,50	35,6	31,9	25,5	35,8
03_50_B	Cluster 3		4,50	37,3	33,6	27,1	37,5
03_50_C	Cluster 3		7,50	40,5	36,9	30,3	40,7
03_51_A	Cluster 3		1,50	35,3	31,6	25,1	35,5
03_51_B	Cluster 3		4,50	37,5	33,9	27,4	37,7
03_52_A	Cluster 3		1,50	36,0	32,4	25,8	36,2
03_52_B	Cluster 3		4,50	38,6	34,9	28,3	38,7
03_53_A	Cluster 3		1,50	36,1	32,4	25,8	36,3
03_53_B	Cluster 3		4,50	38,3	34,6	28,0	38,4
03_53_C	Cluster 3		7,50	41,6	37,9	31,5	41,8
03_54_A	Cluster 3		1,50	36,5	32,8	26,2	36,6
03_54_B	Cluster 3		4,50	38,7	35,0	28,5	38,9
03_54_C	Cluster 3		7,50	42,0	38,4	31,9	42,3
03_55_A	Cluster 3		1,50	36,9	33,2	26,7	37,1
03_55_B	Cluster 3		4,50	38,3	34,6	28,2	38,5
03_55_C	Cluster 3		7,50	40,3	36,6	30,2	40,5
03_56_A	Cluster 3		1,50	37,3	33,6	27,2	37,5
03_56_B	Cluster 3		4,50	38,4	34,7	28,3	38,6
03_56_C	Cluster 3		7,50	39,8	36,1	29,7	40,0
03_57_A	Cluster 3		1,50	37,4	33,8	27,4	37,7
03_57_B	Cluster 3		4,50	38,5	34,9	28,4	38,7
03_57_C	Cluster 3		7,50	40,1	36,4	29,9	40,3
03_58_A	Cluster 3		1,50	37,6	33,9	27,5	37,8
03_58_B	Cluster 3		4,50	38,2	34,5	28,0	38,4
03_58_C	Cluster 3		7,50	39,7	36,1	29,5	39,9
03_59_A	Cluster 3		1,50	37,3	33,7	27,3	37,6
03_59_B	Cluster 3		4,50	38,3	34,7	28,2	38,6
03_59_C	Cluster 3		7,50	40,0	36,4	29,9	40,2
03_60_A	Cluster 3		1,50	37,1	33,4	27,0	37,3
03_60_B	Cluster 3		4,50	38,1	34,5	27,9	38,3
03_60_C	Cluster 3		7,50	39,9	36,3	29,7	40,1
03_61_A	Cluster 3		1,50	37,3	33,7	27,3	37,6
03_61_B	Cluster 3		4,50	38,1	34,4	27,8	38,2
03_61_C	Cluster 3		7,50	39,6	35,9	29,3	39,7
03_62_A	Cluster 3		1,50	37,3	33,7	27,3	37,6
03_62_B	Cluster 3		4,50	38,2	34,6	28,1	38,5
03_62_C	Cluster 3		7,50	40,1	36,5	30,0	40,3
03_63_A	Cluster 3		1,50	35,8	32,1	25,8	36,1
03_63_B	Cluster 3		4,50	37,1	33,4	27,0	37,3
03_63_C	Cluster 3		7,50	39,4	35,7	29,3	39,6
03_64_A	Cluster 3		1,50	36,6	32,9	26,6	36,9
03_64_B	Cluster 3		4,50	37,7	34,0	27,6	37,9
03_64_C	Cluster 3		7,50	39,6	36,0	29,6	39,9
03_65_A	Cluster 3		1,50	36,9	33,2	26,9	37,1

Alle getoonde dB-waarden zijn A-gewogen

Bijlage III-8 Totale geluidbelasting wegverkeerslawaa

Rapport: Resultatentabel
 Model: Kopie van Wegverkeermodel
 LAeq totaalresultaten voor toetspunten
 Groep: Wegen
 Groepsreductie: Nee

Naam	Toetspunt	Omschrijving	Hoogte	Dag	Avond	Nacht	Lden
	03_65_B	Cluster 3	4,50	38,2	34,5	28,2	38,4
	03_65_C	Cluster 3	7,50	40,7	37,1	30,7	41,0
	03_66_A	Cluster 3	1,50	36,5	32,8	26,5	36,7
	03_66_B	Cluster 3	4,50	38,3	34,7	28,2	38,5
	03_66_C	Cluster 3	7,50	41,4	37,7	31,4	41,6
	03_67_A	Cluster 3	1,50	35,5	31,9	25,5	35,8
	03_67_B	Cluster 3	4,50	37,6	33,9	27,6	37,9
	03_67_C	Cluster 3	7,50	41,2	37,5	31,3	41,5
	03_68_A	Cluster 3	1,50	37,8	34,1	27,8	38,1
	03_68_B	Cluster 3	4,50	39,1	35,5	29,1	39,4
	03_68_C	Cluster 3	7,50	41,2	37,6	31,3	41,5
	03_69_A	Cluster 3	1,50	37,7	34,0	27,7	38,0
	03_69_B	Cluster 3	4,50	39,1	35,5	29,1	39,4
	03_69_C	Cluster 3	7,50	41,2	37,6	31,3	41,5
	03_70_A	Cluster 3	1,50	37,6	33,9	27,6	37,8
	03_70_B	Cluster 3	4,50	38,9	35,2	28,8	39,1
	03_70_C	Cluster 3	7,50	40,8	37,1	30,8	41,0
	03_71_A	Cluster 3	1,50	38,6	35,0	28,6	38,9
	03_71_B	Cluster 3	4,50	39,4	35,7	29,4	39,7
	03_71_C	Cluster 3	7,50	40,7	37,1	30,7	41,0
	03_72_A	Cluster 3	1,50	36,8	33,1	26,7	37,0
	03_72_B	Cluster 3	4,50	38,3	34,6	28,2	38,5
	03_72_C	Cluster 3	7,50	40,2	36,5	30,2	40,4
	03_73_A	Cluster 3	1,50	36,6	32,9	26,6	36,8
	03_73_B	Cluster 3	4,50	37,9	34,3	27,9	38,2
	03_73_C	Cluster 3	7,50	39,8	36,2	29,8	40,1
	03_74_A	Cluster 3	1,50	36,3	32,6	26,2	36,5
	03_74_B	Cluster 3	4,50	37,6	33,9	27,6	37,9
	03_74_C	Cluster 3	7,50	39,6	36,0	29,5	39,9
	03_75_A	Cluster 3	1,50	38,2	34,5	28,2	38,4
	03_75_B	Cluster 3	4,50	39,6	35,9	29,5	39,8
	03_75_C	Cluster 3	7,50	41,5	37,9	31,4	41,7
	03_76_A	Cluster 3	1,50	38,3	34,6	28,3	38,5
	03_76_B	Cluster 3	4,50	39,7	36,0	29,7	39,9
	03_76_C	Cluster 3	7,50	41,5	37,8	31,5	41,7
	03_77_A	Cluster 3	1,50	38,3	34,6	28,2	38,5
	03_77_B	Cluster 3	4,50	39,7	36,0	29,6	39,9
	03_77_C	Cluster 3	7,50	41,5	37,9	31,4	41,7
	03_78_A	Cluster 3	1,50	38,4	34,7	28,4	38,7
	03_78_B	Cluster 3	4,50	39,8	36,2	29,7	40,1
	03_78_C	Cluster 3	7,50	41,6	38,0	31,5	41,9
	03_79_A	Cluster 3	1,50	38,4	34,7	28,3	38,6
	03_79_B	Cluster 3	4,50	40,1	36,4	29,9	40,3
	03_79_C	Cluster 3	7,50	42,0	38,4	31,8	42,2
	03_80_A	Cluster 3	1,50	38,9	35,3	28,8	39,1
	03_80_B	Cluster 3	4,50	40,5	36,8	30,3	40,7
	03_80_C	Cluster 3	7,50	42,0	38,4	31,9	42,3
	03_81_A	Cluster 3	1,50	37,9	34,2	27,9	38,2
	03_81_B	Cluster 3	4,50	39,6	35,9	29,6	39,9
	03_81_C	Cluster 3	7,50	41,5	37,9	31,5	41,8
	03_82_A	Cluster 3	1,50	36,6	32,9	26,4	36,8
	03_82_B	Cluster 3	4,50	38,5	34,7	28,3	38,6
	03_82_C	Cluster 3	7,50	41,7	38,0	31,6	41,9
	03_83_A	Cluster 3	1,50	36,9	33,3	26,9	37,2
	03_83_B	Cluster 3	4,50	38,1	34,4	28,0	38,3
	03_83_C	Cluster 3	7,50	41,7	38,1	31,5	41,9
	03_84_A	Cluster 3	1,50	36,9	33,2	26,9	37,1
	03_84_B	Cluster 3	4,50	37,6	33,9	27,6	37,9
	03_84_C	Cluster 3	7,50	39,1	35,5	29,1	39,4
	03_85_A	Cluster 3	1,50	36,6	32,9	26,6	36,8
	03_85_B	Cluster 3	4,50	37,6	33,9	27,5	37,8
	03_85_C	Cluster 3	7,50	38,9	35,3	28,9	39,2
	03_86_A	Cluster 3	1,50	34,0	30,4	23,8	34,2
	03_86_B	Cluster 3	4,50	35,8	32,1	25,4	35,9
	03_86_C	Cluster 3	7,50	40,3	36,6	30,0	40,4
	03_87_A	Cluster 3	1,50	39,0	35,4	28,6	39,1
	03_87_B	Cluster 3	4,50	38,4	34,7	28,4	38,6
	03_87_C	Cluster 3	7,50	39,7	36,0	29,7	39,9
	04_01_A	Cluster 4	1,50	46,3	42,3	34,4	46,0
	04_01_B	Cluster 4	4,50	47,7	43,7	36,0	47,4
	04_01_C	Cluster 4	7,50	48,1	44,1	36,4	47,8
	04_02_A	Cluster 4	1,50	36,1	32,4	25,5	36,2
	04_02_B	Cluster 4	4,50	41,9	38,4	31,4	42,0
	04_02_C	Cluster 4	7,50	44,0	40,4	33,5	44,1

Alle getoonde dB-waarden zijn A-gewogen

Bijlage III-8 Totale geluidbelasting wegverkeerslawaa

Rapport: Resultatentabel
 Model: Kopie van Wegverkeermodel
 LAeq totaalresultaten voor toetspunten
 Groep: Wegen
 Groepsreductie: Nee

Naam	Toetspunt	Omschrijving	Hoogte	Dag	Avond	Nacht	Lden
	04_03_A	Cluster 4	1,50	51,4	47,7	40,1	51,3
	04_03_B	Cluster 4	4,50	52,4	48,7	41,1	52,3
	04_03_C	Cluster 4	7,50	52,8	49,1	41,7	52,7
	04_04_A	Cluster 4	1,50	49,5	45,9	38,7	49,5
	04_04_B	Cluster 4	4,50	50,6	47,0	39,8	50,6
	04_04_C	Cluster 4	7,50	51,4	47,9	40,8	51,5
	04_05_A	Cluster 4	1,50	42,4	38,6	31,1	42,3
	04_05_B	Cluster 4	4,50	44,4	40,5	33,0	44,2
	04_05_C	Cluster 4	7,50	45,3	41,4	34,0	45,1
	04_06_A	Cluster 4	1,50	41,3	37,5	30,0	41,2
	04_06_B	Cluster 4	4,50	43,2	39,3	31,7	43,0
	04_06_C	Cluster 4	7,50	44,0	40,0	32,5	43,7
	04_07_A	Cluster 4	1,50	36,6	33,1	26,5	36,9
	04_07_B	Cluster 4	4,50	38,4	34,9	28,2	38,6
	04_07_C	Cluster 4	7,50	41,1	37,6	30,9	41,3
	04_08_A	Cluster 4	1,50	44,3	40,7	33,5	44,3
	04_08_B	Cluster 4	4,50	45,7	42,0	34,7	45,7
	04_08_C	Cluster 4	7,50	47,0	43,3	36,2	47,0
	04_09_A	Cluster 4	1,50	46,0	42,4	35,2	46,0
	04_09_B	Cluster 4	4,50	47,3	43,6	36,3	47,3
	04_09_C	Cluster 4	7,50	48,4	44,8	37,7	48,4
	04_10_A	Cluster 4	1,50	48,5	44,9	37,6	48,5
	04_10_B	Cluster 4	4,50	48,8	45,2	37,8	48,8
	04_10_C	Cluster 4	7,50	49,7	46,1	38,9	49,8
	04_11_A	Cluster 4	1,50	39,2	35,6	28,4	39,2
	04_11_B	Cluster 4	4,50	40,9	37,2	30,0	40,9
	04_11_C	Cluster 4	7,50	42,1	38,3	31,2	42,0
	04_12_A	Cluster 4	1,50	39,5	36,0	29,1	39,7
	04_12_B	Cluster 4	4,50	40,9	37,3	30,4	41,0
	04_12_C	Cluster 4	7,50	42,1	38,4	31,5	42,1
	04_13_A	Cluster 4	1,50	42,8	39,1	31,9	42,8
	04_13_B	Cluster 4	4,50	43,8	40,1	32,8	43,8
	04_13_C	Cluster 4	7,50	45,0	41,3	34,1	45,0
	04_14_A	Cluster 4	1,50	35,8	32,1	25,3	35,9
	04_14_B	Cluster 4	4,50	39,2	35,7	29,1	39,4
	04_14_C	Cluster 4	7,50	41,7	38,2	31,6	42,0
	04_15_A	Cluster 4	1,50	41,5	37,8	30,6	41,5
	04_15_B	Cluster 4	4,50	43,2	39,5	32,2	43,2
	04_15_C	Cluster 4	7,50	45,1	41,4	34,4	45,1
	04_16_A	Cluster 4	1,50	40,7	37,0	29,8	40,7
	04_16_B	Cluster 4	4,50	42,3	38,5	31,3	42,2
	04_16_C	Cluster 4	7,50	44,3	40,7	33,7	44,4
	04_17_A	Cluster 4	1,50	--	--	--	--
	04_17_B	Cluster 4	4,50	38,7	35,1	28,3	38,8
	04_17_C	Cluster 4	7,50	41,4	37,8	31,1	41,5
	04_18_A	Cluster 4	1,50	39,9	36,5	29,8	40,2
	04_18_B	Cluster 4	4,50	40,9	37,5	30,7	41,1
	04_18_C	Cluster 4	7,50	41,9	38,4	31,7	42,1
	04_19_A	Cluster 4	1,50	45,0	41,7	35,1	45,4
	04_19_B	Cluster 4	4,50	45,9	42,6	36,0	46,2
	04_19_C	Cluster 4	7,50	46,6	43,3	36,7	47,0
	04_20_A	Cluster 4	1,50	40,0	36,6	29,8	40,3
	04_20_B	Cluster 4	4,50	41,4	37,9	31,1	41,6
	04_20_C	Cluster 4	7,50	43,6	40,1	33,3	43,8
	04_21_A	Cluster 4	1,50	37,0	33,6	27,0	37,3
	04_21_B	Cluster 4	4,50	38,5	35,0	28,3	38,7
	04_21_C	Cluster 4	7,50	40,3	36,8	30,1	40,5
	04_22_A	Cluster 4	1,50	49,9	46,7	40,0	50,3
	04_22_B	Cluster 4	4,50	51,2	48,0	41,4	51,6
	04_22_C	Cluster 4	7,50	51,9	48,7	42,0	52,3
	04_23_A	Cluster 4	1,50	51,5	48,3	41,7	51,9
	04_23_B	Cluster 4	4,50	53,0	49,8	43,1	53,4
	04_23_C	Cluster 4	7,50	53,5	50,3	43,7	53,9
	04_24_A	Cluster 4	1,50	51,9	48,7	42,0	52,3
	04_24_B	Cluster 4	4,50	53,3	50,2	43,5	53,7
	04_24_C	Cluster 4	7,50	53,8	50,6	43,9	54,2
	04_25_A	Cluster 4	1,50	52,5	49,3	42,6	52,9
	04_25_B	Cluster 4	4,50	53,9	50,8	44,1	54,3
	04_25_C	Cluster 4	7,50	54,3	51,1	44,4	54,7
	04_26_A	Cluster 4	1,50	53,2	50,0	43,4	53,6
	04_26_B	Cluster 4	4,50	54,6	51,4	44,7	55,0
	04_26_C	Cluster 4	7,50	54,8	51,7	45,0	55,3
	04_27_A	Cluster 4	1,50	54,8	51,6	44,9	55,2
	04_27_B	Cluster 4	4,50	55,9	52,7	46,0	56,3

Alle getoonde dB-waarden zijn A-gewogen

Bijlage III-8 Totale geluidbelasting wegverkeerslawaa

Rapport: Resultatentabel
 Model: Kopie van Wegverkeermodel
 LAeq totaalresultaten voor toetspunten
 Groep: Wegen
 Groepsreductie: Nee

Naam	Toetspunt	Omschrijving	Hoogte	Dag	Avond	Nacht	Lden
04_27_C	Cluster 4		7,50	56,1	52,9	46,2	56,5
04_27_D	Cluster 4		10,50	56,1	52,9	46,3	56,5
04_28_A	Cluster 4		1,50	58,2	55,0	48,4	58,6
04_28_B	Cluster 4		4,50	59,2	56,1	49,4	59,7
04_28_C	Cluster 4		7,50	59,4	56,2	49,6	59,8
04_28_D	Cluster 4		10,50	59,4	56,2	49,5	59,8
04_29_A	Cluster 4		1,50	58,2	55,1	48,4	58,6
04_29_B	Cluster 4		4,50	59,2	56,1	49,4	59,7
04_29_C	Cluster 4		7,50	59,4	56,3	49,6	59,8
04_29_D	Cluster 4		10,50	59,4	56,2	49,6	59,8
04_30_A	Cluster 4		1,50	58,2	55,1	48,4	58,6
04_30_B	Cluster 4		4,50	59,2	56,1	49,4	59,6
04_30_C	Cluster 4		7,50	59,4	56,2	49,6	59,8
04_30_D	Cluster 4		10,50	59,4	56,2	49,5	59,8
04_31_A	Cluster 4		1,50	58,1	54,9	48,3	58,5
04_31_B	Cluster 4		4,50	59,1	56,0	49,3	59,6
04_31_C	Cluster 4		7,50	59,3	56,2	49,5	59,7
04_31_D	Cluster 4		10,50	59,3	56,1	49,5	59,7
04_32_A	Cluster 4		1,50	58,0	54,9	48,2	58,4
04_32_B	Cluster 4		4,50	59,1	55,9	49,3	59,5
04_32_C	Cluster 4		7,50	59,3	56,1	49,4	59,7
04_32_D	Cluster 4		10,50	59,2	56,1	49,4	59,7
04_33_A	Cluster 4		1,50	57,8	54,7	48,0	58,2
04_33_B	Cluster 4		4,50	58,9	55,8	49,1	59,4
04_33_C	Cluster 4		7,50	59,1	56,0	49,3	59,6
04_33_D	Cluster 4		10,50	59,1	56,0	49,3	59,5
04_34_A	Cluster 4		1,50	57,8	54,6	48,0	58,2
04_34_B	Cluster 4		4,50	58,9	55,8	49,1	59,4
04_34_C	Cluster 4		7,50	59,1	56,0	49,3	59,6
04_34_D	Cluster 4		10,50	59,1	56,0	49,3	59,5
04_35_A	Cluster 4		1,50	57,6	54,5	47,8	58,0
04_35_B	Cluster 4		4,50	58,8	55,7	49,0	59,2
04_35_C	Cluster 4		7,50	59,0	55,9	49,2	59,5
04_35_D	Cluster 4		10,50	59,0	55,9	49,2	59,4
04_36_A	Cluster 4		1,50	57,5	54,4	47,7	57,9
04_36_B	Cluster 4		4,50	58,7	55,6	48,9	59,1
04_36_C	Cluster 4		7,50	59,0	55,8	49,1	59,4
04_36_D	Cluster 4		10,50	58,9	55,8	49,1	59,4
04_37_A	Cluster 4		1,50	57,4	54,3	47,6	57,8
04_37_B	Cluster 4		4,50	58,7	55,6	48,9	59,1
04_37_C	Cluster 4		7,50	58,9	55,8	49,1	59,4
04_37_D	Cluster 4		10,50	58,9	55,8	49,1	59,3
04_38_A	Cluster 4		1,50	57,4	54,2	47,5	57,8
04_38_B	Cluster 4		4,50	58,7	55,5	48,8	59,1
04_38_C	Cluster 4		7,50	58,9	55,8	49,1	59,3
04_38_D	Cluster 4		10,50	58,9	55,7	49,0	59,3
04_39_A	Cluster 4		1,50	57,2	54,1	47,3	57,6
04_39_B	Cluster 4		4,50	58,6	55,4	48,7	59,0
04_40_A	Cluster 4		1,50	57,3	54,1	47,4	57,7
04_40_B	Cluster 4		4,50	58,6	55,4	48,7	59,0
04_41_A	Cluster 4		1,50	55,1	51,7	44,6	55,3
04_41_B	Cluster 4		4,50	56,3	53,0	46,0	56,5
04_42_A	Cluster 4		1,50	54,7	51,3	44,2	54,9
04_42_B	Cluster 4		4,50	56,0	52,6	45,5	56,2
04_43_A	Cluster 4		1,50	54,3	50,7	43,5	54,3
04_43_B	Cluster 4		4,50	55,4	51,9	44,7	55,5
04_43_C	Cluster 4		7,50	55,7	52,1	45,0	55,8
04_44_A	Cluster 4		1,50	48,0	43,8	35,7	47,5
04_44_B	Cluster 4		4,50	48,7	44,6	36,5	48,3
04_44_C	Cluster 4		7,50	48,8	44,7	36,7	48,4
04_45_A	Cluster 4		1,50	35,5	31,9	25,2	35,7
04_45_B	Cluster 4		4,50	38,4	34,8	28,2	38,6
04_45_C	Cluster 4		7,50	45,5	42,3	35,6	45,9
04_46_A	Cluster 4		1,50	35,5	31,8	25,2	35,6
04_46_B	Cluster 4		4,50	38,7	35,2	28,5	38,9
04_47_A	Cluster 4		1,50	36,2	32,6	25,8	36,4
04_47_B	Cluster 4		4,50	38,9	35,2	28,4	39,0
04_48_A	Cluster 4		1,50	40,2	36,5	29,3	40,2
04_48_B	Cluster 4		4,50	42,0	38,2	30,9	41,9
04_48_C	Cluster 4		7,50	43,4	39,6	32,4	43,3
04_48_D	Cluster 4		10,50	45,2	41,5	34,2	45,2
04_49_A	Cluster 4		1,50	42,6	38,9	31,4	42,5
04_49_B	Cluster 4		4,50	44,3	40,6	33,1	44,2
04_49_C	Cluster 4		7,50	45,4	41,6	34,1	45,3

Alle getoonde dB-waarden zijn A-gewogen

Bijlage III-8 Totale geluidbelasting wegverkeerslawaa

Rapport: Resultatentabel
 Model: Kopie van Wegverkeermodel
 LAeq totaalresultaten voor toetspunten
 Groep: Wegen
 Groepsreductie: Nee

Naam	Toetspunt	Omschrijving	Hoogte	Dag	Avond	Nacht	Lden
04_49_D	Cluster 4		10,50	46,6	42,8	35,5	46,5
04_50_A	Cluster 4		1,50	43,2	39,4	32,1	43,1
04_50_B	Cluster 4		4,50	44,9	41,2	33,8	44,9
04_50_C	Cluster 4		7,50	45,9	42,2	34,9	45,8
04_50_D	Cluster 4		10,50	46,8	43,1	36,0	46,8
04_51_A	Cluster 4		1,50	42,4	38,6	31,3	42,3
04_51_B	Cluster 4		4,50	43,4	39,5	32,0	43,2
04_51_C	Cluster 4		7,50	44,4	40,5	33,2	44,2
04_51_D	Cluster 4		10,50	45,5	41,7	34,5	45,4
04_52_A	Cluster 4		1,50	41,6	37,8	30,5	41,5
04_52_B	Cluster 4		4,50	42,3	38,2	30,6	42,0
04_52_C	Cluster 4		7,50	43,3	39,3	31,9	43,1
04_52_D	Cluster 4		10,50	44,7	40,9	33,7	44,7
04_53_A	Cluster 4		1,50	40,3	36,5	29,1	40,2
04_53_B	Cluster 4		4,50	42,2	38,4	31,0	42,1
04_53_C	Cluster 4		7,50	43,5	39,6	32,4	43,4
04_53_D	Cluster 4		10,50	45,0	41,3	34,3	45,0
04_54_A	Cluster 4		1,50	39,9	36,0	28,7	39,7
04_54_B	Cluster 4		4,50	41,5	37,6	30,3	41,3
04_54_C	Cluster 4		7,50	42,8	39,0	31,7	42,7
04_54_D	Cluster 4		10,50	44,0	40,3	33,3	44,0
04_55_A	Cluster 4		1,50	38,9	34,9	27,5	38,7
04_55_B	Cluster 4		4,50	40,4	36,4	29,1	40,2
04_55_C	Cluster 4		7,50	42,1	38,2	31,0	42,0
04_55_D	Cluster 4		10,50	43,8	40,1	33,1	43,8
04_56_A	Cluster 4		1,50	38,3	34,4	27,0	38,1
04_56_B	Cluster 4		4,50	40,2	36,2	28,9	40,0
04_56_C	Cluster 4		7,50	42,1	38,3	31,1	42,0
04_56_D	Cluster 4		10,50	43,2	39,6	32,6	43,3
04_57_A	Cluster 4		1,50	34,8	31,1	24,4	34,9
04_57_B	Cluster 4		4,50	36,5	32,7	25,9	36,5
04_57_C	Cluster 4		7,50	39,1	35,4	28,7	39,2
04_57_D	Cluster 4		10,50	40,9	37,4	30,8	41,2
04_58_A	Cluster 4		1,50	35,4	31,7	24,8	35,5
04_58_B	Cluster 4		4,50	38,2	34,4	27,3	38,2
04_58_C	Cluster 4		7,50	40,6	36,8	29,9	40,6
04_58_D	Cluster 4		10,50	42,0	38,5	31,7	42,2
04_59_A	Cluster 4		1,50	36,0	32,4	25,6	36,1
04_59_B	Cluster 4		4,50	38,7	34,9	27,9	38,7
04_59_C	Cluster 4		7,50	40,8	37,0	30,0	40,8
04_60_A	Cluster 4		1,50	37,4	33,6	26,5	37,3
04_60_B	Cluster 4		4,50	39,3	35,5	28,2	39,2
04_60_C	Cluster 4		7,50	41,6	37,8	30,7	41,5
04_61_A	Cluster 4		1,50	35,5	31,9	25,1	35,6
04_61_B	Cluster 4		4,50	37,4	33,8	27,0	37,5
04_61_C	Cluster 4		7,50	42,2	38,8	32,0	42,5
04_62_A	Cluster 4		1,50	36,9	33,1	26,1	36,9
04_62_B	Cluster 4		4,50	40,2	36,4	29,2	40,1
04_62_C	Cluster 4		7,50	42,1	38,2	31,1	42,0
04_63_A	Cluster 4		1,50	37,5	33,7	26,5	37,4
04_63_B	Cluster 4		4,50	40,0	36,2	28,9	39,9
04_63_C	Cluster 4		7,50	41,9	38,1	30,9	41,8
04_64_A	Cluster 4		1,50	37,9	34,1	26,9	37,8
04_64_B	Cluster 4		4,50	40,0	36,2	29,0	39,9
04_64_C	Cluster 4		7,50	42,8	39,2	32,2	42,9
05_01_A	Cluster 5		1,50	41,4	37,5	29,7	41,2
05_01_B	Cluster 5		4,50	43,5	39,5	31,6	43,2
05_01_C	Cluster 5		7,50	44,5	40,5	32,7	44,1
05_02_A	Cluster 5		1,50	36,8	33,2	25,8	36,8
05_02_B	Cluster 5		4,50	38,5	34,9	27,5	38,5
05_02_C	Cluster 5		7,50	40,1	36,4	29,1	40,1
05_03_A	Cluster 5		1,50	39,5	35,9	29,0	39,6
05_03_B	Cluster 5		4,50	40,6	37,0	30,0	40,7
05_03_C	Cluster 5		7,50	43,0	39,4	32,4	43,1
05_04_A	Cluster 5		1,50	38,3	34,5	27,5	38,3
05_04_B	Cluster 5		4,50	42,9	39,1	31,6	42,8
05_04_C	Cluster 5		7,50	44,7	40,8	33,3	44,5
05_05_A	Cluster 5		1,50	36,5	32,8	25,7	36,5
05_05_B	Cluster 5		4,50	38,5	34,8	27,5	38,4
05_05_C	Cluster 5		7,50	40,4	36,6	29,3	40,3
05_06_A	Cluster 5		1,50	44,1	40,6	33,1	44,1
05_06_B	Cluster 5		4,50	45,7	42,3	34,6	45,7
05_06_C	Cluster 5		7,50	46,4	42,9	35,4	46,4
05_07_A	Cluster 5		1,50	43,3	39,8	32,3	43,3

Alle getoonde dB-waarden zijn A-gewogen

Bijlage III-8 Totale geluidbelasting wegverkeerslawaa

Rapport: Resultatentabel
 Model: Kopie van Wegverkeermodel
 LAeq totaalresultaten voor toetspunten
 Groep: Wegen
 Groepsreductie: Nee

Naam	Toetspunt	Omschrijving	Hoogte	Dag	Avond	Nacht	Lden
	05_07_B	Cluster 5	4,50	45,6	42,1	34,6	45,6
	05_07_C	Cluster 5	7,50	47,1	43,6	36,2	47,1
	05_08_A	Cluster 5	1,50	38,6	35,0	28,0	38,7
	05_08_B	Cluster 5	4,50	42,1	38,5	31,1	42,0
	05_08_C	Cluster 5	7,50	44,5	40,9	33,5	44,5
	05_09_A	Cluster 5	1,50	39,0	35,5	28,2	39,0
	05_09_B	Cluster 5	4,50	42,2	38,6	31,1	42,2
	05_09_C	Cluster 5	7,50	43,9	40,4	32,8	43,9
	05_10_A	Cluster 5	1,50	47,0	43,6	35,9	47,0
	05_10_B	Cluster 5	4,50	48,0	44,6	36,9	48,0
	05_10_C	Cluster 5	7,50	48,3	44,9	37,2	48,3
	05_11_A	Cluster 5	1,50	51,7	48,3	40,4	51,7
	05_11_B	Cluster 5	4,50	52,4	48,9	41,1	52,3
	05_11_C	Cluster 5	7,50	52,3	48,9	41,1	52,3
	05_12_A	Cluster 5	1,50	47,9	44,4	36,6	47,8
	05_12_B	Cluster 5	4,50	47,7	44,2	36,5	47,6
	05_12_C	Cluster 5	7,50	48,2	44,7	37,1	48,2
	05_13_A	Cluster 5	1,50	47,9	44,5	36,6	47,9
	05_13_B	Cluster 5	4,50	48,0	44,5	36,7	47,9
	05_13_C	Cluster 5	7,50	48,2	44,8	37,1	48,2
	05_14_A	Cluster 5	1,50	51,5	48,0	40,2	51,4
	05_14_B	Cluster 5	4,50	52,1	48,6	40,8	52,0
	05_14_C	Cluster 5	7,50	52,1	48,6	40,9	52,0
	05_15_A	Cluster 5	1,50	51,5	48,0	40,2	51,4
	05_15_B	Cluster 5	4,50	52,0	48,6	40,7	52,0
	05_15_C	Cluster 5	7,50	52,0	48,5	40,8	51,9
	05_16_A	Cluster 5	1,50	47,8	44,3	36,6	47,8
	05_16_B	Cluster 5	4,50	48,0	44,5	36,8	47,9
	05_16_C	Cluster 5	7,50	48,5	45,0	37,4	48,5
	05_17_A	Cluster 5	1,50	38,7	35,1	27,8	38,7
	05_17_B	Cluster 5	4,50	45,4	41,9	34,1	45,3
	05_17_C	Cluster 5	7,50	46,7	43,1	35,3	46,6
	05_18_A	Cluster 5	1,50	38,8	35,2	27,9	38,8
	05_18_B	Cluster 5	4,50	43,1	39,6	31,9	43,0
	05_18_C	Cluster 5	7,50	45,0	41,4	33,7	44,9
	05_19_A	Cluster 5	1,50	52,9	49,5	41,6	52,8
	05_19_B	Cluster 5	4,50	53,3	49,8	42,0	53,2
	05_19_C	Cluster 5	7,50	53,1	49,7	41,9	53,1
	05_20_A	Cluster 5	1,50	48,3	44,8	37,0	48,2
	05_20_B	Cluster 5	4,50	48,7	45,2	37,4	48,6
	05_20_C	Cluster 5	7,50	49,2	45,7	37,9	49,1
	05_21_A	Cluster 5	1,50	49,9	46,3	38,3	49,7
	05_21_B	Cluster 5	4,50	49,7	46,0	38,1	49,5
	05_21_C	Cluster 5	7,50	49,9	46,2	38,3	49,7
	05_22_A	Cluster 5	1,50	53,4	49,9	41,9	53,3
	05_22_B	Cluster 5	4,50	53,9	50,4	42,4	53,8
	05_22_C	Cluster 5	7,50	53,7	50,1	42,2	53,5
	05_23_A	Cluster 5	1,50	47,6	44,1	36,2	47,5
	05_23_B	Cluster 5	4,50	48,9	45,3	37,5	48,7
	05_23_C	Cluster 5	7,50	49,2	45,6	37,9	49,1
	05_24_A	Cluster 5	1,50	52,6	49,0	41,0	52,4
	05_24_B	Cluster 5	4,50	53,3	49,6	41,7	53,1
	05_24_C	Cluster 5	7,50	53,3	49,6	41,7	53,1
	05_25_A	Cluster 5	1,50	52,9	49,2	41,2	52,7
	05_25_B	Cluster 5	4,50	53,5	49,8	41,8	53,3
	05_25_C	Cluster 5	7,50	53,5	49,8	41,8	53,3
	05_26_A	Cluster 5	1,50	53,1	49,3	41,3	52,8
	05_26_B	Cluster 5	4,50	53,7	49,8	41,8	53,4
	05_26_C	Cluster 5	7,50	53,7	49,9	41,9	53,4
	05_27_A	Cluster 5	1,50	53,1	49,2	41,2	52,8
	05_27_B	Cluster 5	4,50	53,6	49,8	41,7	53,3
	05_27_C	Cluster 5	7,50	53,6	49,8	41,8	53,4
	05_28_A	Cluster 5	1,50	52,9	49,0	41,0	52,6
	05_28_B	Cluster 5	4,50	53,5	49,6	41,6	53,2
	05_28_C	Cluster 5	7,50	53,6	49,6	41,7	53,2
	05_29_A	Cluster 5	1,50	52,9	48,9	40,9	52,5
	05_29_B	Cluster 5	4,50	53,5	49,5	41,5	53,1
	05_29_C	Cluster 5	7,50	53,5	49,6	41,6	53,2
	05_30_A	Cluster 5	1,50	46,5	42,4	34,3	46,0
	05_30_B	Cluster 5	4,50	47,5	43,4	35,3	47,1
	05_30_C	Cluster 5	7,50	47,9	43,9	35,9	47,6
	05_31_A	Cluster 5	1,50	37,7	33,8	26,8	37,6
	05_31_B	Cluster 5	4,50	39,3	35,5	28,4	39,3
	05_31_C	Cluster 5	7,50	41,4	37,7	30,5	41,4

Alle getoonde dB-waarden zijn A-gewogen

Bijlage III-8 Totale geluidbelasting wegverkeerslawaa

Rapport: Resultatentabel
 Model: Kopie van Wegverkeermodel
 LAeq totaalresultaten voor toetspunten
 Groep: Wegen
 Groepsreductie: Nee

Naam	Toetspunt	Omschrijving	Hoogte	Dag	Avond	Nacht	Lden
05_32_A	Cluster 5		1,50	37,7	33,9	27,0	37,7
05_32_B	Cluster 5		4,50	39,8	36,1	29,0	39,8
05_32_C	Cluster 5		7,50	41,8	38,0	30,9	41,8
05_33_A	Cluster 5		1,50	37,6	33,9	27,0	37,6
05_33_B	Cluster 5		4,50	40,1	36,4	29,3	40,1
05_33_C	Cluster 5		7,50	42,1	38,4	31,2	42,1
05_34_A	Cluster 5		1,50	37,3	33,5	26,8	37,4
05_34_B	Cluster 5		4,50	39,9	36,2	29,1	39,9
05_34_C	Cluster 5		7,50	42,2	38,5	31,4	42,2
05_35_A	Cluster 5		1,50	37,8	34,1	27,3	37,9
05_35_B	Cluster 5		4,50	40,5	36,9	29,7	40,6
05_35_C	Cluster 5		7,50	42,5	38,9	31,7	42,6
05_36_A	Cluster 5		1,50	38,5	34,8	27,8	38,5
05_36_B	Cluster 5		4,50	41,5	37,9	30,7	41,5
05_36_C	Cluster 5		7,50	43,5	39,9	32,6	43,5
S_01_A	SMCD		2,00	53,6	49,4	41,4	53,1
S_01_B	SMCD		5,00	53,8	49,7	41,6	53,4
S_02_A	SMCD		2,00	49,6	45,5	37,4	49,2
S_02_B	SMCD		5,00	50,1	46,1	38,0	49,7
S_03_A	SMCD		2,00	49,7	45,7	37,6	49,3
S_03_B	SMCD		5,00	50,5	46,5	38,4	50,1
S_04_A	SMCD		2,00	45,9	41,9	34,0	45,6
S_04_B	SMCD		5,00	47,0	43,0	35,0	46,6
S_05_A	SMCD		2,00	38,1	34,4	27,1	38,1
S_05_B	SMCD		5,00	39,6	35,8	28,4	39,5
S_06_A	SMCD		2,00	47,2	43,4	35,7	47,0
S_06_B	SMCD		5,00	48,2	44,3	36,5	47,9
S_07_A	SMCD		2,00	49,1	45,3	37,5	48,9
S_07_B	SMCD		5,00	50,1	46,1	38,2	49,8
S_08_A	SMCD		1,50	44,6	41,1	33,6	44,6
S_08_B	SMCD		5,00	46,6	43,1	35,5	46,6
S_08_C	SMCD		8,50	47,4	43,9	36,5	47,5
S_08_D	SMCD		12,00	47,3	43,8	36,3	47,3
S_09_A	SMCD		1,50	45,1	41,6	34,0	45,1
S_09_B	SMCD		5,00	46,9	43,5	35,8	46,9
S_09_C	SMCD		8,50	47,7	44,2	36,7	47,7
S_09_D	SMCD		12,00	47,6	44,1	36,6	47,6
S_10_A	SMCD		1,50	45,5	42,0	34,4	45,5
S_10_B	SMCD		5,00	47,3	43,8	36,1	47,2
S_10_C	SMCD		8,50	48,0	44,5	37,0	48,0
S_10_D	SMCD		12,00	47,9	44,4	36,8	47,8
S_11_A	SMCD		1,50	45,5	42,1	34,4	45,5
S_11_B	SMCD		5,00	47,3	43,8	36,1	47,3
S_11_C	SMCD		8,50	47,9	44,4	36,8	47,9
S_11_D	SMCD		12,00	47,9	44,5	36,9	47,9
S_12_A	SMCD		1,50	45,7	42,3	34,7	45,7
S_12_B	SMCD		5,00	47,6	44,1	36,4	47,5
S_12_C	SMCD		8,50	48,1	44,6	37,1	48,1
S_12_D	SMCD		12,00	48,1	44,7	37,1	48,1
S_13_A	SMCD		1,50	45,8	42,4	34,7	45,8
S_13_B	SMCD		5,00	47,7	44,2	36,5	47,6
S_13_C	SMCD		8,50	48,2	44,8	37,2	48,2
S_13_D	SMCD		12,00	48,0	44,5	36,9	48,0
S_14_A	SMCD		1,50	45,4	42,0	34,4	45,4
S_15_A	SMCD		1,50	40,5	37,1	29,7	40,6
S_16_A	SMCD		1,50	34,4	30,7	24,4	34,6
S_17_A	SMCD		5,00	42,2	38,7	31,6	42,3
S_17_B	SMCD		8,50	44,7	41,2	34,1	44,8
S_17_C	SMCD		12,00	44,3	40,9	33,7	44,5
S_18_A	SMCD		1,50	36,3	32,7	26,2	36,6
S_18_B	SMCD		5,00	40,7	37,2	30,2	40,9
S_18_C	SMCD		8,50	43,6	40,1	33,0	43,7
S_18_D	SMCD		12,00	42,9	39,4	32,5	43,1
S_19_A	SMCD		1,50	36,7	33,1	26,5	36,9
S_19_B	SMCD		5,00	39,5	35,9	29,2	39,7
S_19_C	SMCD		8,50	41,8	38,2	31,4	42,0
S_20_A	SMCD		1,50	36,3	32,7	26,0	36,5
S_20_B	SMCD		5,00	38,6	35,0	28,3	38,8
S_20_C	SMCD		8,50	41,0	37,4	30,7	41,2
S_21_A	SMCD		1,50	36,1	32,5	26,0	36,3
S_21_B	SMCD		5,00	38,4	34,8	28,3	38,7
S_21_C	SMCD		8,50	40,7	37,1	30,5	40,9
S_22_A	SMCD		1,50	35,2	31,6	25,1	35,5
S_22_B	SMCD		5,00	37,8	34,1	27,7	38,0

Alle getoonde dB-waarden zijn A-gewogen

Bijlage III-8 Totale geluidbelasting wegverkeerslawaa

Rapport: Resultatentabel
 Model: Kopie van Wegverkeermodel
 LAeq totaalresultaten voor toetspunten
 Groep: Wegen
 Groepsreductie: Nee

Naam						
Toetspunt	Omschrijving	Hoogte	Dag	Avond	Nacht	Lden
S_22_C	SMCD	8,50	40,4	36,8	30,4	40,7
S_23_A	SMCD	1,50	35,5	31,9	25,3	35,7
S_23_B	SMCD	5,00	38,0	34,3	27,8	38,2
S_23_C	SMCD	8,50	40,1	36,5	30,0	40,4
S_24_A	SMCD	1,50	35,2	31,5	25,1	35,4
S_24_B	SMCD	5,00	37,7	34,0	27,7	37,9
S_24_C	SMCD	8,50	40,1	36,4	30,2	40,4
S_24_D	SMCD	12,00	40,9	37,4	31,1	41,3
S_25_A	SMCD	1,50	43,1	39,8	33,2	43,4
S_25_B	SMCD	5,00	44,3	41,0	34,4	44,7
S_25_C	SMCD	8,50	44,8	41,5	34,9	45,2
S_25_D	SMCD	12,00	45,5	42,1	35,6	45,8
S_26_A	SMCD	1,50	43,4	40,1	33,5	43,7
S_26_B	SMCD	5,00	44,6	41,3	34,7	45,0
S_26_C	SMCD	8,50	45,3	41,9	35,3	45,6
S_26_D	SMCD	12,00	45,4	42,0	35,4	45,7
S_27_A	SMCD	1,50	42,9	39,7	33,0	43,3
S_27_B	SMCD	5,00	44,3	41,0	34,4	44,6
S_27_C	SMCD	8,50	45,6	42,3	35,7	46,0
S_27_D	SMCD	12,00	45,7	42,3	35,7	46,0
S_28_A	SMCD	1,50	42,1	38,9	32,3	42,5
S_28_B	SMCD	5,00	43,7	40,4	33,8	44,0
S_28_C	SMCD	8,50	45,4	42,1	35,5	45,8
S_28_D	SMCD	12,00	44,9	41,6	35,0	45,3
S_29_A	SMCD	1,50	44,6	41,4	34,7	45,0
S_29_B	SMCD	5,00	46,1	42,9	36,2	46,5
S_29_C	SMCD	8,50	47,6	44,4	37,7	48,0
S_29_D	SMCD	12,00	47,1	43,8	37,2	47,5
S_30_A	SMCD	1,50	46,1	42,9	36,2	46,5
S_30_B	SMCD	5,00	47,6	44,4	37,7	48,0
S_30_C	SMCD	8,50	49,1	45,8	39,2	49,4
S_30_D	SMCD	12,00	48,6	45,3	38,6	49,0
S_31_A	SMCD	1,50	46,4	43,2	36,5	46,8
S_31_B	SMCD	5,00	48,0	44,8	38,1	48,4
S_31_C	SMCD	8,50	49,3	46,1	39,4	49,7
S_31_D	SMCD	12,00	48,4	45,1	38,4	48,8
S_32_A	SMCD	1,50	49,9	46,8	40,1	50,3
S_32_B	SMCD	5,00	51,4	48,3	41,6	51,8
S_32_C	SMCD	8,50	52,6	49,4	42,7	52,9
S_32_D	SMCD	12,00	52,4	49,1	42,4	52,7
S_33_A	SMCD	1,50	47,2	44,0	37,4	47,6
S_33_B	SMCD	5,00	48,5	45,4	38,7	48,9
S_33_C	SMCD	8,50	49,6	46,4	39,7	50,0
S_33_D	SMCD	12,00	49,9	46,8	40,1	50,4
S_34_A	SMCD	1,50	46,8	43,7	37,0	47,2
S_34_B	SMCD	5,00	48,1	45,0	38,3	48,6
S_34_C	SMCD	8,50	49,2	46,1	39,4	49,7
S_34_D	SMCD	12,00	49,7	46,5	39,9	50,1
S_35_A	SMCD	1,50	45,6	42,5	35,8	46,1
S_35_B	SMCD	5,00	46,9	43,7	37,1	47,3
S_35_C	SMCD	8,50	48,0	44,9	38,2	48,5
S_35_D	SMCD	12,00	48,7	45,5	38,9	49,1
S_36_A	SMCD	1,50	42,3	39,1	32,5	42,7
S_36_B	SMCD	5,00	43,4	40,3	33,6	43,9
S_36_C	SMCD	8,50	44,7	41,5	34,8	45,1
S_36_D	SMCD	12,00	45,7	42,5	35,9	46,1
S_37_A	SMCD	1,50	43,7	40,6	33,9	44,1
S_37_B	SMCD	5,00	44,9	41,8	35,1	45,4
S_37_C	SMCD	8,50	46,1	43,0	36,3	46,6
S_37_D	SMCD	12,00	47,0	43,8	37,1	47,4
S_38_A	SMCD	1,50	44,9	41,7	35,0	45,3
S_38_B	SMCD	5,00	46,0	42,9	36,2	46,5
S_38_C	SMCD	8,50	47,2	44,0	37,3	47,6
S_38_D	SMCD	12,00	46,7	43,5	36,8	47,1
S_39_A	SMCD	1,50	44,7	41,5	34,8	45,1
S_39_B	SMCD	5,00	45,8	42,7	36,0	46,2
S_39_C	SMCD	8,50	46,9	43,7	37,0	47,3
S_40_A	SMCD	1,50	44,6	41,5	34,8	45,0
S_40_B	SMCD	5,00	45,9	42,7	36,0	46,3
S_40_C	SMCD	8,50	47,0	43,8	37,1	47,4
S_41_A	SMCD	1,50	45,1	41,9	35,2	45,4
S_41_B	SMCD	5,00	46,2	43,0	36,3	46,6
S_41_C	SMCD	8,50	47,3	44,1	37,4	47,7
S_42_A	SMCD	1,50	45,1	41,8	35,1	45,4

Alle getoonde dB-waarden zijn A-gewogen

Bijlage III-8 Totale geluidbelasting wegverkeerslawaa

Rapport: Resultatentabel
 Model: Kopie van Wegverkeermodel
 LAeq totaalresultaten voor toetspunten
 Groep: Wegen
 Groepsreductie: Nee

Naam	Toetspunt	Omschrijving	Hoogte	Dag	Avond	Nacht	Lden
S_42_B	SMCD		5,00	46,3	43,0	36,2	46,6
S_42_C	SMCD		8,50	47,4	44,1	37,3	47,7
S_43_A	SMCD		1,50	45,2	42,0	35,2	45,6
S_43_B	SMCD		5,00	46,4	43,1	36,4	46,7
S_43_C	SMCD		8,50	47,5	44,2	37,5	47,8
S_43_D	SMCD		12,00	47,0	43,7	37,0	47,3
S_44_A	SMCD		1,50	44,2	40,9	34,1	44,5
S_44_B	SMCD		5,00	45,4	42,1	35,3	45,7
S_44_C	SMCD		8,50	46,6	43,2	36,4	46,8
S_44_D	SMCD		12,00	47,4	44,1	37,3	47,7
S_45_A	SMCD		1,50	46,1	42,9	36,2	46,5
S_45_B	SMCD		5,00	47,4	44,2	37,4	47,8
S_45_C	SMCD		8,50	48,6	45,3	38,6	48,9
S_45_D	SMCD		12,00	49,3	46,0	39,3	49,6
S_46_A	SMCD		1,50	47,2	44,0	37,3	47,6
S_46_B	SMCD		5,00	48,5	45,3	38,6	48,9
S_46_C	SMCD		8,50	49,7	46,4	39,7	50,0
S_46_D	SMCD		12,00	50,0	46,8	40,1	50,4
S_47_A	SMCD		1,50	47,8	44,6	37,9	48,2
S_47_B	SMCD		5,00	49,1	45,9	39,2	49,5
S_47_C	SMCD		8,50	50,3	47,1	40,4	50,7
S_47_D	SMCD		12,00	50,6	47,3	40,6	50,9
S_48_A	SMCD		1,50	50,1	47,0	40,3	50,5
S_48_B	SMCD		5,00	51,6	48,4	41,7	52,0
S_48_C	SMCD		8,50	52,6	49,4	42,7	53,0
S_48_D	SMCD		12,00	52,6	49,4	42,7	53,0
S_49_A	SMCD		1,50	45,8	42,6	35,9	46,2
S_49_B	SMCD		5,00	47,4	44,2	37,5	47,8
S_49_C	SMCD		8,50	48,7	45,5	38,8	49,1
S_49_D	SMCD		12,00	48,5	45,3	38,6	48,9
S_50_A	SMCD		1,50	45,3	42,1	35,4	45,7
S_50_B	SMCD		5,00	46,8	43,7	37,0	47,2
S_50_C	SMCD		8,50	48,1	44,9	38,3	48,5
S_50_D	SMCD		12,00	48,4	45,2	38,5	48,8
S_51_A	SMCD		1,50	43,4	40,3	33,6	43,8
S_51_B	SMCD		5,00	44,9	41,7	35,0	45,3
S_51_C	SMCD		8,50	46,3	43,1	36,4	46,7
S_51_D	SMCD		12,00	46,6	43,4	36,7	47,0
S_52_A	SMCD		1,50	40,1	36,8	30,1	40,4
S_52_B	SMCD		5,00	41,6	38,4	31,7	42,0
S_52_C	SMCD		8,50	43,4	40,1	33,4	43,7
S_52_D	SMCD		12,00	44,8	41,6	34,9	45,2
S_53_A	SMCD		1,50	41,5	38,4	31,7	41,9
S_53_B	SMCD		5,00	43,1	39,9	33,2	43,5
S_53_C	SMCD		8,50	44,5	41,3	34,6	44,9
S_53_D	SMCD		12,00	45,7	42,5	35,8	46,1
S_54_A	SMCD		1,50	41,3	38,1	31,4	41,7
S_54_B	SMCD		5,00	42,8	39,6	32,9	43,2
S_54_C	SMCD		8,50	44,2	41,0	34,3	44,6
S_54_D	SMCD		12,00	45,8	42,6	35,9	46,2
S_55_A	SMCD		1,50	41,2	38,0	31,3	41,6
S_55_B	SMCD		5,00	42,7	39,5	32,8	43,1
S_55_C	SMCD		8,50	44,1	40,9	34,2	44,5
S_55_D	SMCD		12,00	45,7	42,5	35,8	46,1
S_56_A	SMCD		1,50	42,2	39,0	32,4	42,6
S_56_B	SMCD		5,00	43,6	40,4	33,7	44,0
S_56_C	SMCD		8,50	44,9	41,7	35,0	45,3
S_56_D	SMCD		12,00	46,3	43,1	36,4	46,7
S_57_A	SMCD		1,50	42,2	39,0	32,2	42,6
S_57_B	SMCD		5,00	43,6	40,3	33,6	43,9
S_57_C	SMCD		8,50	44,9	41,6	34,9	45,2
S_57_D	SMCD		12,00	46,3	43,1	36,4	46,7
S_58_A	SMCD		1,50	42,2	38,9	32,1	42,5
S_58_B	SMCD		5,00	43,3	40,0	33,3	43,7
S_58_C	SMCD		8,50	44,6	41,3	34,5	44,9
S_58_D	SMCD		12,00	46,4	43,1	36,3	46,7
S_59_A	SMCD		1,50	34,0	30,4	23,6	34,1
S_59_B	SMCD		5,00	35,8	32,2	25,3	35,9
S_59_C	SMCD		8,50	38,5	34,9	28,0	38,6
S_59_D	SMCD		12,00	42,8	39,4	32,5	43,0
S_60_A	SMCD		1,50	38,4	35,1	28,4	38,7
S_60_B	SMCD		5,00	39,8	36,5	29,7	40,1
S_60_C	SMCD		8,50	41,3	38,0	31,2	41,6
S_60_D	SMCD		12,00	43,9	40,6	33,8	44,2

Alle getoonde dB-waarden zijn A-gewogen

Bijlage III-8 Totale geluidbelasting wegverkeerslawaa

Rapport: Resultatentabel
 Model: Kopie van Wegverkeermodel
 LAeq totaalresultaten voor toetspunten
 Groep: Wegen
 Groepsreductie: Nee

Naam							
Toetspunt	Omschrijving	Hoogte	Dag	Avond	Nacht	Lden	
S_61_A	SMCD	1,50	42,1	38,8	32,1	42,5	
S_61_B	SMCD	5,00	43,3	39,9	33,2	43,6	
S_61_C	SMCD	8,50	44,4	41,1	34,3	44,7	
S_61_D	SMCD	12,00	46,3	43,0	36,2	46,6	
S_62_A	SMCD	1,50	43,0	39,7	33,0	43,3	
S_62_B	SMCD	5,00	44,1	40,7	34,0	44,4	
S_62_C	SMCD	8,50	45,0	41,6	34,9	45,3	
S_63_A	SMCD	1,50	41,7	38,4	31,7	42,0	
S_63_B	SMCD	5,00	42,8	39,4	32,7	43,1	
S_63_C	SMCD	8,50	44,1	40,6	33,9	44,3	
S_64_A	SMCD	1,50	39,1	35,6	28,8	39,3	
S_64_B	SMCD	5,00	41,1	37,6	30,7	41,3	
S_64_C	SMCD	8,50	43,4	40,0	33,1	43,6	
S_65_A	SMCD	1,50	43,7	39,8	31,9	43,4	
S_65_B	SMCD	5,00	46,1	42,2	34,4	45,9	
S_65_C	SMCD	8,50	47,0	43,2	35,6	46,8	
S_66_A	SMCD	1,50	44,3	40,4	32,6	44,0	
S_66_B	SMCD	5,00	46,4	42,3	34,5	46,0	
S_66_C	SMCD	8,50	46,8	42,8	35,0	46,5	
S_67_A	SMCD	1,50	42,8	38,8	31,0	42,5	
S_67_B	SMCD	5,00	45,0	41,0	33,1	44,7	
S_67_C	SMCD	8,50	45,7	41,6	33,8	45,3	
S_68_A	SMCD	1,50	41,6	37,6	29,9	41,3	
S_68_B	SMCD	5,00	43,9	39,8	32,0	43,5	
S_68_C	SMCD	8,50	44,6	40,5	32,8	44,3	
S_69_A	SMCD	1,50	40,0	36,0	28,3	39,7	
S_69_B	SMCD	5,00	42,2	38,2	30,4	41,9	
S_69_C	SMCD	8,50	43,1	39,1	31,3	42,8	
S_70_A	SMCD	1,50	42,1	38,3	30,7	41,9	
S_70_B	SMCD	5,00	44,1	40,2	32,5	43,9	
S_70_C	SMCD	8,50	45,1	41,2	33,5	44,8	
S_70_D	SMCD	12,00	45,4	41,6	33,9	45,2	
S_71_A	SMCD	1,50	42,2	38,5	31,1	42,1	
S_71_B	SMCD	5,00	44,0	40,2	32,7	43,9	
S_71_C	SMCD	8,50	45,1	41,3	33,8	45,0	
S_71_D	SMCD	12,00	45,6	41,8	34,2	45,4	
S_72_A	SMCD	1,50	41,5	37,7	30,3	41,4	
S_72_B	SMCD	5,00	43,3	39,4	31,9	43,1	
S_72_C	SMCD	8,50	44,3	40,5	32,9	44,2	
S_72_D	SMCD	12,00	45,2	41,5	33,9	45,1	
S_73_A	SMCD	1,50	40,9	37,1	29,7	40,8	
S_73_B	SMCD	5,00	43,0	39,1	31,6	42,8	
S_73_C	SMCD	8,50	44,3	40,4	33,0	44,1	
S_73_D	SMCD	12,00	45,5	41,7	34,2	45,4	
S_74_A	SMCD	1,50	39,4	35,8	28,7	39,5	
S_74_B	SMCD	5,00	41,2	37,4	30,2	41,1	
S_74_C	SMCD	8,50	43,0	39,3	32,0	42,9	
S_74_D	SMCD	12,00	44,3	40,6	33,1	44,2	
S_75_A	SMCD	1,50	38,3	34,7	27,6	38,3	
S_75_B	SMCD	5,00	40,8	37,2	29,9	40,8	
S_75_C	SMCD	8,50	43,0	39,3	32,2	43,0	
S_75_D	SMCD	12,00	43,9	40,3	32,9	43,9	
S_76_A	SMCD	1,50	33,0	29,4	22,9	33,2	
S_76_B	SMCD	5,00	34,8	31,2	24,7	35,0	
S_76_C	SMCD	8,50	36,8	33,1	26,6	37,0	
S_76_D	SMCD	12,00	38,5	34,8	28,2	38,6	
S_77_A	SMCD	1,50	33,3	29,7	23,2	33,5	
S_77_B	SMCD	5,00	35,3	31,6	25,2	35,5	
S_77_C	SMCD	8,50	37,2	33,5	27,0	37,4	
S_77_D	SMCD	12,00	38,1	34,4	27,9	38,3	
S_78_A	SMCD	1,50	32,6	28,9	22,4	32,8	
S_78_B	SMCD	5,00	34,4	30,7	24,2	34,6	
S_78_C	SMCD	8,50	36,7	33,0	26,6	36,9	
S_78_D	SMCD	12,00	38,1	34,4	27,9	38,3	
S_79_A	SMCD	1,50	31,8	28,2	21,7	32,0	
S_79_B	SMCD	5,00	33,1	29,4	22,8	33,3	
S_79_C	SMCD	8,50	35,0	31,3	24,7	35,2	
S_79_D	SMCD	12,00	37,1	33,4	26,7	37,2	
S_80_A	SMCD	1,50	32,2	28,5	21,9	32,3	
S_80_B	SMCD	5,00	33,6	29,9	23,3	33,7	
S_80_C	SMCD	8,50	35,7	31,9	25,4	35,8	
S_81_A	SMCD	1,50	32,6	28,9	22,4	32,8	
S_81_B	SMCD	5,00	34,1	30,4	23,9	34,3	
S_81_C	SMCD	8,50	36,4	32,7	26,2	36,6	

Alle getoonde dB-waarden zijn A-gewogen

Bijlage III-8 Totale geluidbelasting wegverkeerslawaaï

Rapport: Resultatentabel
 Model: Kopie van Wegverkeermodel
 LAeq totaalresultaten voor toetspunten
 Groep: Wegen
 Groepsreductie: Nee

Naam							
Toetspunt	Omschrijving	Hoogte	Dag	Avond	Nacht	Lden	
S_82_A	SMCD	1,50	33,1	29,4	22,9	33,3	
S_82_B	SMCD	5,00	34,7	31,0	24,5	34,9	
S_82_C	SMCD	8,50	37,1	33,4	27,0	37,3	
S_83_A	SMCD	1,50	33,0	29,3	22,8	33,2	
S_83_B	SMCD	5,00	34,6	30,9	24,4	34,8	
S_83_C	SMCD	8,50	37,0	33,2	26,8	37,2	
S_84_A	SMCD	1,50	32,6	29,0	22,5	32,9	
S_84_B	SMCD	5,00	34,2	30,5	24,0	34,4	
S_84_C	SMCD	8,50	36,6	32,8	26,4	36,8	
S_85_A	SMCD	1,50	33,0	29,3	22,8	33,2	
S_85_B	SMCD	5,00	34,6	30,9	24,4	34,8	
S_85_C	SMCD	8,50	37,3	33,6	27,2	37,5	
S_85_D	SMCD	12,00	38,5	34,8	28,2	38,7	
S_86_A	SMCD	1,50	33,4	29,6	23,2	33,6	
S_86_B	SMCD	5,00	35,5	31,7	25,4	35,7	
S_86_C	SMCD	8,50	38,0	34,3	28,0	38,2	
S_86_D	SMCD	12,00	39,3	35,6	29,2	39,5	
S_87_A	SMCD	1,50	33,7	30,0	23,5	33,9	
S_87_B	SMCD	5,00	35,8	32,1	25,7	36,0	
S_87_C	SMCD	8,50	37,9	34,1	27,7	38,1	
S_87_D	SMCD	12,00	38,6	34,9	28,5	38,8	
S_88_A	SMCD	1,50	33,7	30,0	23,6	33,9	
S_88_B	SMCD	5,00	35,7	32,0	25,6	35,9	
S_88_C	SMCD	8,50	37,7	33,9	27,6	37,9	
S_88_D	SMCD	12,00	38,7	35,0	28,6	38,9	
S_89_A	SMCD	1,50	33,5	29,8	23,4	33,7	
S_89_B	SMCD	5,00	35,4	31,6	25,2	35,6	
S_89_C	SMCD	8,50	37,3	33,6	27,2	37,5	
S_89_D	SMCD	12,00	38,9	35,1	28,6	39,0	
S_90_A	SMCD	1,50	33,5	29,8	23,4	33,7	
S_90_B	SMCD	5,00	35,2	31,5	25,1	35,4	
S_90_C	SMCD	8,50	37,1	33,4	27,1	37,4	
S_90_D	SMCD	12,00	39,2	35,5	29,1	39,4	
S_91_A	SMCD	1,50	33,7	30,0	23,6	33,9	
S_91_B	SMCD	5,00	35,6	31,9	25,5	35,8	
S_91_C	SMCD	8,50	37,7	34,0	27,6	37,9	
S_91_D	SMCD	12,00	39,5	35,9	29,6	39,8	
S_92_A	SMCD	1,50	33,7	30,0	23,5	33,9	
S_92_B	SMCD	5,00	35,5	31,8	25,4	35,7	
S_92_C	SMCD	8,50	37,5	33,8	27,4	37,7	
S_92_D	SMCD	12,00	39,2	35,6	29,2	39,5	
S_93_A	SMCD	1,50	33,6	29,9	23,4	33,8	
S_93_B	SMCD	5,00	35,4	31,6	25,2	35,6	
S_93_C	SMCD	8,50	37,4	33,7	27,3	37,6	
S_93_D	SMCD	12,00	39,2	35,5	29,1	39,4	
S_94_A	SMCD	1,50	33,4	29,7	23,3	33,6	
S_94_B	SMCD	5,00	35,1	31,4	25,0	35,3	
S_94_C	SMCD	8,50	37,1	33,4	27,0	37,3	
S_94_D	SMCD	12,00	39,2	35,6	29,2	39,5	
S_95_A	SMCD	1,50	33,1	29,5	23,0	33,3	
S_95_B	SMCD	5,00	34,7	31,1	24,7	35,0	
S_95_C	SMCD	8,50	36,6	32,9	26,5	36,8	
S_95_D	SMCD	12,00	39,1	35,5	29,1	39,4	

Alle getoonde dB-waarden zijn A-gewogen

Bijlage IV	Rekenresultaten geluidimmissie stadion De Adelaarshorst
Bijlage IV-1	Rekenresultaten $L_{Ar,LT}$ en L_{Amax} niet-wedstrijddag
Bijlage IV-2	Rekenresultaten $L_{Ar,LT}$ en L_{Amax} dagperiode wedstrijddag
Bijlage IV-3	Rekenresultaten $L_{Ar,LT}$ en L_{Amax} avondperiode wedstrijddag
Bijlage IV-4	Rekenresultaten indirecte hinder avondperiode wedstrijddag

Bijlage IV-1 Rekenresultaten L_{Ar,LT} en L_{Amax} niet-wedstrijddag

Rekenresultaten L _{Ar,LT} niet-wedstrijddag							Rekenresultaten L _{Amax} niet-wedstrijddag					
Naam	Omschrijving	Hoogte	Dag	Avond	Nacht	Etmaal	Naam	Omschrijv	Hoogte	Dag	Avond	Nacht
01_01_A	Cluster 1	1,5	30,1	12,1	18	30,1	01_01_A	Cluster 1	1,5	44,7	27,5	27,5
01_01_B	Cluster 1	4,5	30,7	11,3	18,4	30,7	01_01_B	Cluster 1	4,5	45,1	22,1	25,5
01_01_C	Cluster 1	7,5	30,2	12,4	16,9	30,2	01_01_C	Cluster 1	7,5	44,1	22,2	26,3
01_02_A	Cluster 1	1,5	29,8	8,4	17,4	29,8	01_02_A	Cluster 1	1,5	44,7	22,2	25,4
01_02_B	Cluster 1	4,5	29,5	8,2	17,2	29,5	01_02_B	Cluster 1	4,5	44,3	22,3	25,7
01_02_C	Cluster 1	7,5	30,3	11,9	17,7	30,3	01_02_C	Cluster 1	7,5	44,4	22,5	26,5
01_03_A	Cluster 1	1,5	29,9	8,1	17,6	29,9	01_03_A	Cluster 1	1,5	44,9	22,3	26
01_03_B	Cluster 1	4,5	29,5	8,5	16,7	29,5	01_03_B	Cluster 1	4,5	44,6	22,4	26
01_03_C	Cluster 1	7,5	30,3	11,9	16,9	30,3	01_03_C	Cluster 1	7,5	44,8	22,7	26,8
01_04_A	Cluster 1	1,5	29,9	8,8	17,6	29,9	01_04_A	Cluster 1	1,5	45	22,5	26,8
01_04_B	Cluster 1	4,5	29,9	9	17,3	29,9	01_04_B	Cluster 1	4,5	45	22,6	26,5
01_04_C	Cluster 1	7,5	30,5	12,2	17,1	30,5	01_04_C	Cluster 1	7,5	45,1	22,9	27,1
01_05_A	Cluster 1	1,5	30	11,2	17,7	30	01_05_A	Cluster 1	1,5	45	20,9	27,1
01_05_B	Cluster 1	4,5	30	11,3	17,6	30	01_05_B	Cluster 1	4,5	44,9	21,1	26,9
01_05_C	Cluster 1	7,5	31	13,8	17,2	31	01_05_C	Cluster 1	7,5	45,4	21,5	27,1
01_06_A	Cluster 1	1,5	22,3	12,5	10	22,3	01_06_A	Cluster 1	1,5	35,1	26	26
01_06_B	Cluster 1	4,5	23,3	13,3	10,7	23,3	01_06_B	Cluster 1	4,5	36,8	26,7	26,7
01_06_C	Cluster 1	7,5	29,1	19	15,6	29,1	01_06_C	Cluster 1	7,5	41,4	30,3	30,3
01_07_A	Cluster 1	1,5	23,8	13,1	11,8	23,8	01_07_A	Cluster 1	1,5	37	28,4	28,4
01_07_B	Cluster 1	4,5	24,3	15	12,6	24,3	01_07_B	Cluster 1	4,5	38	28,6	28,6
01_07_C	Cluster 1	7,5	28	21,2	16,9	28	01_07_C	Cluster 1	7,5	40,9	30,8	30,8
01_08_A	Cluster 1	1,5	29,5	11,1	17,6	29,5	01_08_A	Cluster 1	1,5	45	28,8	28,8
01_08_B	Cluster 1	4,5	30	16,8	17,8	30	01_08_B	Cluster 1	4,5	45,5	21,5	26,1
01_08_C	Cluster 1	7,5	30,8	12,2	17	30,8	01_08_C	Cluster 1	7,5	46,1	22	27,6
01_09_A	Cluster 1	1,5	29,5	9,9	17,1	29,5	01_09_A	Cluster 1	1,5	45,4	21,5	26
01_09_B	Cluster 1	4,5	29,9	11,8	17,4	29,9	01_09_B	Cluster 1	4,5	45,8	21,8	26,3
01_09_C	Cluster 1	7,5	30,9	12	16,9	30,9	01_09_C	Cluster 1	7,5	46,5	22,2	27,9
01_10_A	Cluster 1	1,5	29,2	11,7	16,9	29,2	01_10_A	Cluster 1	1,5	45,7	28,8	28,8
01_10_B	Cluster 1	4,5	29,6	17,3	16,8	29,6	01_10_B	Cluster 1	4,5	46,1	29,6	29,6
01_10_C	Cluster 1	7,5	30,9	12,3	17,1	30,9	01_10_C	Cluster 1	7,5	46,8	22,6	28,2
01_100_A	Cluster 1	1,5	23,7	16,9	12	23,7	01_100_A	Cluster 1	1,5	35,4	28	28
01_100_B	Cluster 1	4,5	25,8	21	15,1	26	01_100_B	Cluster 1	4,5	37,3	31,8	31,8
01_100_C	Cluster 1	7,5	31,2	22,5	17,7	31,2	01_100_C	Cluster 1	7,5	41,1	33,2	33,2
01_101_A	Cluster 1	1,5	23	14	10,6	23	01_101_A	Cluster 1	1,5	34,2	30,2	30,2
01_101_B	Cluster 1	4,5	25	17	13,4	25	01_101_B	Cluster 1	4,5	35,8	32,6	32,6
01_101_C	Cluster 1	7,5	30,7	24,3	18,7	30,7	01_101_C	Cluster 1	7,5	41,3	34,2	34,2
01_11_A	Cluster 1	1,5	29,1	12,4	16,4	29,1	01_11_A	Cluster 1	1,5	45,9	29,2	29,2
01_11_B	Cluster 1	4,5	29,5	13,9	16,4	29,5	01_11_B	Cluster 1	4,5	46,3	29,9	29,9
01_11_C	Cluster 1	7,5	31,1	12,5	17	31,1	01_11_C	Cluster 1	7,5	47,2	22,6	28,7
01_12_A	Cluster 1	1,5	28,3	12,1	15,8	28,3	01_12_A	Cluster 1	1,5	42,4	22,2	28,5
01_12_B	Cluster 1	4,5	28,9	13,4	16,3	28,9	01_12_B	Cluster 1	4,5	42,6	22,5	28,5
01_13_A	Cluster 1	1,5	27,7	14,4	15	27,7	01_13_A	Cluster 1	1,5	42,2	30,1	30,1
01_13_B	Cluster 1	4,5	28,4	18	15,9	28,4	01_13_B	Cluster 1	4,5	43	30,7	30,7
01_14_A	Cluster 1	1,5	29,1	16,1	16,2	29,1	01_14_A	Cluster 1	1,5	42,8	32,8	32,8
01_14_B	Cluster 1	4,5	30,3	19,7	17,4	30,3	01_14_B	Cluster 1	4,5	43,6	33,8	33,8
01_15_A	Cluster 1	1,5	28,8	16,4	16,1	28,8	01_15_A	Cluster 1	1,5	43,5	31,6	31,6
01_15_B	Cluster 1	4,5	29,7	18	17,1	29,7	01_15_B	Cluster 1	4,5	42,9	32,4	32,4
01_16_A	Cluster 1	1,5	28,3	17,1	16,3	28,3	01_16_A	Cluster 1	1,5	41,5	32,3	32,3
01_16_B	Cluster 1	4,5	29,2	18,4	16,8	29,2	01_16_B	Cluster 1	4,5	41,5	32,9	32,9
01_16_C	Cluster 1	7,5	30,5	20,3	17,3	30,5	01_16_C	Cluster 1	7,5	40,7	33,5	33,5
01_17_A	Cluster 1	1,5	28,5	18,4	16,3	28,5	01_17_A	Cluster 1	1,5	41,6	33,5	33,5
01_17_B	Cluster 1	4,5	29,5	19,7	16,9	29,5	01_17_B	Cluster 1	4,5	40,2	34,2	34,2
01_17_C	Cluster 1	7,5	31,3	20,9	17,7	31,3	01_17_C	Cluster 1	7,5	41,5	33,9	33,9
01_18_A	Cluster 1	1,5	28,4	16,9	15,4	28,4	01_18_A	Cluster 1	1,5	40,8	32,4	32,4
01_18_B	Cluster 1	4,5	29,7	18,4	16,2	29,7	01_18_B	Cluster 1	4,5	39,6	33,5	33,5
01_18_C	Cluster 1	7,5	31,7	20,6	17,3	31,7	01_18_C	Cluster 1	7,5	41,7	33,6	33,6
01_19_A	Cluster 1	1,5	28,4	15,4	14,8	28,4	01_19_A	Cluster 1	1,5	40,6	31,8	31,8
01_19_B	Cluster 1	4,5	29,6	23,2	17,4	29,6	01_19_B	Cluster 1	4,5	41,3	32,5	32,5
01_19_C	Cluster 1	7,5	31,3	23,8	18,5	31,3	01_19_C	Cluster 1	7,5	41,7	33,5	33,5
01_20_A	Cluster 1	1,5	28,3	18,7	15,6	28,3	01_20_A	Cluster 1	1,5	39,8	33,1	33,1
01_20_B	Cluster 1	4,5	29,7	19,7	16	29,7	01_20_B	Cluster 1	4,5	42,2	33,8	33,8
01_20_C	Cluster 1	7,5	32	22	17,4	32	01_20_C	Cluster 1	7,5	44,7	33,1	33,1
01_21_A	Cluster 1	1,5	28,3	20,3	16,6	28,3	01_21_A	Cluster 1	1,5	39,4	36,2	36,2
01_21_B	Cluster 1	4,5	29,3	21	16,8	29,3	01_21_B	Cluster 1	4,5	40,8	36,9	36,9
01_21_C	Cluster 1	7,5	31,8	24,7	18,9	31,8	01_21_C	Cluster 1	7,5	43	34,8	34,8
01_22_A	Cluster 1	1,5	28,1	19,5	15,9	28,1	01_22_A	Cluster 1	1,5	40,1	34,2	34,2

Bijlage IV-1 Rekenresultaten L_{Ar,LT} en L_{Amax} niet-wedstrijddag

Rekenresultaten L _{Ar,LT} niet-wedstrijddag							Rekenresultaten L _{Amax} niet-wedstrijddag					
Naam	Omschrijving	Hoogte	Dag	Avond	Nacht	Etmaal	Naam	Omschrijv	Hoogte	Dag	Avond	Nacht
01_22_B	Cluster 1	4,5	29	20,8	16,8	29	01_22_B	Cluster 1	4,5	40,7	35,1	35,1
01_22_C	Cluster 1	7,5	31,5	22,8	18	31,5	01_22_C	Cluster 1	7,5	42,7	33	33
01_23_A	Cluster 1	1,5	27,9	21,7	16,6	27,9	01_23_A	Cluster 1	1,5	38,3	35,2	35,2
01_23_B	Cluster 1	4,5	29,1	25	18,5	30	01_23_B	Cluster 1	4,5	40,5	35,9	35,9
01_23_C	Cluster 1	7,5	31,2	25,3	19	31,2	01_23_C	Cluster 1	7,5	42	35,9	35,9
01_24_A	Cluster 1	1,5	29,4	20,5	16,6	29,4	01_24_A	Cluster 1	1,5	42,7	36,8	36,8
01_24_B	Cluster 1	4,5	30,9	21,6	17,3	30,9	01_24_B	Cluster 1	4,5	45,6	37,8	37,8
01_24_C	Cluster 1	7,5	32,9	23,1	18	32,9	01_24_C	Cluster 1	7,5	47,2	39,3	39,3
01_25_A	Cluster 1	1,5	28,1	20,2	16	28,1	01_25_A	Cluster 1	1,5	39,2	35,9	35,9
01_25_B	Cluster 1	4,5	29,3	21,6	16,9	29,3	01_25_B	Cluster 1	4,5	40,8	36,5	36,5
01_26_A	Cluster 1	1,5	27,1	22,7	16,8	27,7	01_26_A	Cluster 1	1,5	40,4	37,9	37,9
01_26_B	Cluster 1	4,5	27,6	21,9	16,3	27,6	01_26_B	Cluster 1	4,5	41,3	37	37
01_27_A	Cluster 1	1,5	29	20,1	15,6	29	01_27_A	Cluster 1	1,5	40,6	36,2	36,2
01_27_B	Cluster 1	4,5	30,1	21,3	16,6	30,1	01_27_B	Cluster 1	4,5	41,7	38,1	38,1
01_28_A	Cluster 1	1,5	26,7	22	16,7	27	01_28_A	Cluster 1	1,5	40,8	36,6	36,6
01_28_B	Cluster 1	4,5	27,8	23,5	18,2	28,5	01_28_B	Cluster 1	4,5	41,9	40,4	40,4
01_29_A	Cluster 1	1,5	25,9	22,2	17	27,2	01_29_A	Cluster 1	1,5	40,1	39,6	39,6
01_29_B	Cluster 1	4,5	27	23,6	18,3	28,6	01_29_B	Cluster 1	4,5	40,8	39,2	39,2
01_29_C	Cluster 1	7,5	27,8	25	19,4	30	01_29_C	Cluster 1	7,5	42,5	40,1	40,1
01_30_A	Cluster 1	1,5	24,7	22,4	17,1	27,4	01_30_A	Cluster 1	1,5	39,1	39,1	39,1
01_30_B	Cluster 1	4,5	25,6	23,7	18,2	28,7	01_30_B	Cluster 1	4,5	38,5	38,3	38,3
01_30_C	Cluster 1	7,5	27,1	26,5	20,5	31,5	01_30_C	Cluster 1	7,5	40,5	39,4	39,4
01_31_A	Cluster 1	1,5	23,7	22,5	17,2	27,5	01_31_A	Cluster 1	1,5	37	37	37
01_31_B	Cluster 1	4,5	24,7	23,6	18,2	28,6	01_31_B	Cluster 1	4,5	37,5	37,5	37,5
01_31_C	Cluster 1	7,5	26,5	26,4	20,4	31,4	01_31_C	Cluster 1	7,5	38,6	38,6	38,6
01_32_A	Cluster 1	1,5	23,6	22,4	17,3	27,4	01_32_A	Cluster 1	1,5	36,4	36,3	36,3
01_32_B	Cluster 1	4,5	24,7	23,8	18,4	28,8	01_32_B	Cluster 1	4,5	37,2	36,8	36,8
01_32_C	Cluster 1	7,5	27,1	26,8	20,7	31,8	01_32_C	Cluster 1	7,5	40	37,9	37,9
01_33_A	Cluster 1	1,5	23,7	22,9	17,2	27,9	01_33_A	Cluster 1	1,5	37,2	34	34
01_33_B	Cluster 1	4,5	24,8	24,7	18,6	29,7	01_33_B	Cluster 1	4,5	37,9	34,3	34,3
01_33_C	Cluster 1	7,5	26,4	28,9	21,8	33,9	01_33_C	Cluster 1	7,5	40,8	35,2	35,2
01_34_A	Cluster 1	1,5	23,1	22,7	16,8	27,7	01_34_A	Cluster 1	1,5	36,6	33,2	33,2
01_34_B	Cluster 1	4,5	24,2	24,6	18,3	29,6	01_34_B	Cluster 1	4,5	38,9	33,6	33,6
01_34_C	Cluster 1	7,5	26,6	29,1	22	34,1	01_34_C	Cluster 1	7,5	40,7	34,7	34,7
01_35_A	Cluster 1	1,5	23,2	22,7	16,7	27,7	01_35_A	Cluster 1	1,5	35,6	32,5	32,5
01_35_B	Cluster 1	4,5	23,9	24,5	18,2	29,5	01_35_B	Cluster 1	4,5	38,4	32,9	32,9
01_35_C	Cluster 1	7,5	27,3	29,3	22,1	34,3	01_35_C	Cluster 1	7,5	41,5	33,7	33,7
01_36_A	Cluster 1	1,5	23,1	22,8	16,8	27,8	01_36_A	Cluster 1	1,5	34,8	32,2	32,2
01_36_B	Cluster 1	4,5	24,3	24,7	18,4	29,7	01_36_B	Cluster 1	4,5	37,1	32,8	32,8
01_36_C	Cluster 1	7,5	27,1	28,1	21,4	33,1	01_36_C	Cluster 1	7,5	41	33,9	33,9
01_37_A	Cluster 1	1,5	21,8	21	15,3	26	01_37_A	Cluster 1	1,5	34,2	32,4	32,4
01_37_B	Cluster 1	4,5	23,3	22,9	17	27,9	01_37_B	Cluster 1	4,5	35,9	33	33
01_38_A	Cluster 1	1,5	22,5	21,9	16,1	26,9	01_38_A	Cluster 1	1,5	33,5	32,1	32,1
01_38_B	Cluster 1	4,5	24,1	23,8	17,9	28,8	01_38_B	Cluster 1	4,5	34,8	32,8	32,8
01_39_A	Cluster 1	1,5	20,4	10,9	8,4	20,4	01_39_A	Cluster 1	1,5	30,8	28,3	28,3
01_39_B	Cluster 1	4,5	22,5	15	11,6	22,5	01_39_B	Cluster 1	4,5	35,1	29,1	29,1
01_40_A	Cluster 1	1,5	20	13,8	10,8	20,8	01_40_A	Cluster 1	1,5	30,4	27,8	27,8
01_40_B	Cluster 1	4,5	21,5	16,1	12,7	22,7	01_40_B	Cluster 1	4,5	31,8	28,7	28,7
01_41_A	Cluster 1	1,5	21,8	17,7	11,3	22,7	01_41_A	Cluster 1	1,5	32,6	24,5	24,5
01_41_B	Cluster 1	4,5	23,4	19,8	13,2	24,8	01_41_B	Cluster 1	4,5	33,7	22,7	22,7
01_41_C	Cluster 1	7,5	23,5	15,9	12,3	23,5	01_41_C	Cluster 1	7,5	35,3	23,7	23,9
01_42_A	Cluster 1	1,5	26,5	22,6	14,8	27,6	01_42_A	Cluster 1	1,5	37,9	31,5	31,5
01_42_B	Cluster 1	4,5	27,5	22,8	15,2	27,8	01_42_B	Cluster 1	4,5	39,6	22,7	22,7
01_42_C	Cluster 1	7,5	31	22,1	16,3	31	01_42_C	Cluster 1	7,5	41,8	24,8	24,8
01_43_A	Cluster 1	1,5	26,1	25,2	17,3	30,2	01_43_A	Cluster 1	1,5	37,7	29,2	29,2
01_43_B	Cluster 1	4,5	27,3	26,4	18,6	31,4	01_43_B	Cluster 1	4,5	39,6	31,4	31,4
01_43_C	Cluster 1	7,5	29	26,5	19,4	31,5	01_43_C	Cluster 1	7,5	41,7	33,3	33,3
01_44_A	Cluster 1	1,5	22,2	19,5	12,1	24,5	01_44_A	Cluster 1	1,5	35,5	24,8	24,8
01_44_B	Cluster 1	4,5	23,4	20,5	13	25,5	01_44_B	Cluster 1	4,5	36,8	24,4	24,4
01_44_C	Cluster 1	7,5	25,8	23,6	15,6	28,6	01_44_C	Cluster 1	7,5	37,6	21,7	21,7
01_45_A	Cluster 1	1,5	20,5	15,9	10,3	20,9	01_45_A	Cluster 1	1,5	32,6	32,6	32,6
01_45_B	Cluster 1	4,5	22	19,4	12,9	24,4	01_45_B	Cluster 1	4,5	33,5	30,7	30,7
01_45_C	Cluster 1	7,5	24,2	23,9	16,5	28,9	01_45_C	Cluster 1	7,5	32,8	31,6	31,6
01_46_A	Cluster 1	1,5	20,1	13,8	8,8	20,1	01_46_A	Cluster 1	1,5	32	26,5	26,5
01_46_B	Cluster 1	4,5	21,5	16,7	11	21,7	01_46_B	Cluster 1	4,5	33,1	27,7	27,7
01_46_C	Cluster 1	7,5	22,7	12,7	9,5	22,7	01_46_C	Cluster 1	7,5	33,5	21,3	21,3

Bijlage IV-1 Rekenresultaten $L_{Ar,LT}$ en L_{Amax} niet-wedstrijddag

Rekenresultaten $L_{Ar,LT}$ niet-wedstrijddag							Rekenresultaten L_{Amax} niet-wedstrijddag					
Naam	Omschrijving	Hoogte	Dag	Avond	Nacht	Etmaal	Naam	Omschrijv	Hoogte	Dag	Avond	Nacht
01_47_A	Cluster 1	1,5	19,8	13	8,2	19,8	01_47_A	Cluster 1	1,5	31,4	26,2	26,2
01_47_B	Cluster 1	4,5	21,3	16,4	10,6	21,4	01_47_B	Cluster 1	4,5	33,8	27,6	27,6
01_47_C	Cluster 1	7,5	23,5	12,3	10,2	23,5	01_47_C	Cluster 1	7,5	34,2	21,1	21,1
01_48_A	Cluster 1	1,5	19,5	12,4	8	19,5	01_48_A	Cluster 1	1,5	29,1	25,5	25,5
01_48_B	Cluster 1	4,5	21	16,1	10,5	21,1	01_48_B	Cluster 1	4,5	30,9	26,7	26,7
01_48_C	Cluster 1	7,5	23,2	10,2	9,7	23,2	01_48_C	Cluster 1	7,5	33,8	21,1	21,1
01_49_A	Cluster 1	1,5	19,3	11,2	7,5	19,3	01_49_A	Cluster 1	1,5	28,7	25,3	25,3
01_49_B	Cluster 1	4,5	20,8	14	9,6	20,8	01_49_B	Cluster 1	4,5	30,9	26,4	26,4
01_49_C	Cluster 1	7,5	22,1	9,7	8,1	22,1	01_49_C	Cluster 1	7,5	33,3	21	21
01_50_A	Cluster 1	1,5	19,4	12,3	8	19,4	01_50_A	Cluster 1	1,5	28,3	25,9	25,9
01_50_B	Cluster 1	4,5	20,7	15,4	10,2	20,7	01_50_B	Cluster 1	4,5	29,6	27	27
01_50_C	Cluster 1	7,5	21,7	9,6	8,7	21,7	01_50_C	Cluster 1	7,5	33,9	22,8	22,8
01_51_A	Cluster 1	1,5	19,5	10,9	7,8	19,5	01_51_A	Cluster 1	1,5	28,7	26	26
01_51_B	Cluster 1	4,5	20,8	13,8	9,7	20,8	01_51_B	Cluster 1	4,5	30,2	27,2	27,2
01_51_C	Cluster 1	7,5	21,9	9,6	6	21,9	01_51_C	Cluster 1	7,5	34,6	22,7	22,7
01_52_A	Cluster 1	1,5	19,8	11	8,2	19,8	01_52_A	Cluster 1	1,5	30	25,9	25,9
01_52_B	Cluster 1	4,5	21	13,9	10	21	01_52_B	Cluster 1	4,5	31,2	27	27
01_52_C	Cluster 1	7,5	21,9	17,8	10,4	22,8	01_52_C	Cluster 1	7,5	32,7	22,7	22,7
01_53_A	Cluster 1	1,5	20,3	10,4	8,4	20,3	01_53_A	Cluster 1	1,5	32,4	25,6	25,6
01_53_B	Cluster 1	4,5	21,3	13,1	10	21,3	01_53_B	Cluster 1	4,5	32,2	26,7	26,7
01_53_C	Cluster 1	7,5	21,6	17,3	10,4	22,3	01_53_C	Cluster 1	7,5	32,3	22,6	22,6
01_54_A	Cluster 1	1,5	23	10,5	10,6	23	01_54_A	Cluster 1	1,5	35,9	25,3	25,3
01_54_B	Cluster 1	4,5	23,8	12,8	11,7	23,8	01_54_B	Cluster 1	4,5	36,7	26,3	26,3
01_54_C	Cluster 1	7,5	24,6	17,3	12,7	24,6	01_54_C	Cluster 1	7,5	38,5	22,4	22,4
01_55_A	Cluster 1	1,5	21,9	10,2	9,7	21,9	01_55_A	Cluster 1	1,5	35,5	25,4	25,4
01_55_B	Cluster 1	4,5	22	12,9	10,5	22	01_55_B	Cluster 1	4,5	35,2	26,4	26,4
01_55_C	Cluster 1	7,5	25,3	17,2	12,4	25,3	01_55_C	Cluster 1	7,5	41,4	22,4	25,6
01_56_A	Cluster 1	1,5	26,3	11	13,4	26,3	01_56_A	Cluster 1	1,5	41,1	25,1	25,1
01_56_B	Cluster 1	4,5	27,2	13,1	14,6	27,2	01_56_B	Cluster 1	4,5	41,8	26,1	26,1
01_56_C	Cluster 1	7,5	22,7	19,3	12,8	24,3	01_56_C	Cluster 1	7,5	33,2	28,8	28,8
01_57_A	Cluster 1	1,5	21,9	14,2	10,4	21,9	01_57_A	Cluster 1	1,5	33,3	31,3	31,3
01_57_B	Cluster 1	4,5	23,3	20,6	14,8	25,6	01_57_B	Cluster 1	4,5	34,8	32,9	32,9
01_57_C	Cluster 1	7,5	28,1	24,4	18,3	29,4	01_57_C	Cluster 1	7,5	39,4	34,4	34,4
01_58_A	Cluster 1	1,5	21,2	11,9	8,3	21,2	01_58_A	Cluster 1	1,5	31,2	27,9	27,9
01_58_B	Cluster 1	4,5	22,4	19,6	13	24,6	01_58_B	Cluster 1	4,5	31,9	28,9	28,9
01_58_C	Cluster 1	7,5	24,8	14,9	10,2	24,8	01_58_C	Cluster 1	7,5	37	27,2	27,2
01_59_A	Cluster 1	1,5	24,8	14,4	11	24,8	01_59_A	Cluster 1	1,5	37	31,2	31,2
01_59_B	Cluster 1	4,5	26,1	20,7	14,5	26,1	01_59_B	Cluster 1	4,5	36,1	31,7	31,7
01_59_C	Cluster 1	7,5	30,1	22,6	16,9	30,1	01_59_C	Cluster 1	7,5	40,5	33,4	33,4
01_60_A	Cluster 1	1,5	24,6	17,9	12	24,6	01_60_A	Cluster 1	1,5	36,5	31,2	31,2
01_60_B	Cluster 1	4,5	25,7	20,7	14,1	25,7	01_60_B	Cluster 1	4,5	37,9	32,7	32,7
01_60_C	Cluster 1	7,5	30,2	22,7	17	30,2	01_60_C	Cluster 1	7,5	41,8	33,9	33,9
01_61_A	Cluster 1	1,5	24,2	14,2	10,7	24,2	01_61_A	Cluster 1	1,5	36,2	29,1	29,1
01_61_B	Cluster 1	4,5	25,6	20,6	14,4	25,6	01_61_B	Cluster 1	4,5	37,6	30,8	30,8
01_61_C	Cluster 1	7,5	29,5	22,9	17,3	29,5	01_61_C	Cluster 1	7,5	42,2	32,7	32,7
01_62_A	Cluster 1	1,5	24,2	14	10,7	24,2	01_62_A	Cluster 1	1,5	37,8	29	29
01_62_B	Cluster 1	4,5	25,6	20,4	14,2	25,6	01_62_B	Cluster 1	4,5	37,2	30,4	30,4
01_62_C	Cluster 1	7,5	29,1	23	17,3	29,1	01_62_C	Cluster 1	7,5	42,4	32,3	32,3
01_63_A	Cluster 1	1,5	23,8	14,1	11	23,8	01_63_A	Cluster 1	1,5	36	28,7	28,7
01_63_B	Cluster 1	4,5	25,1	20,2	14,1	25,2	01_63_B	Cluster 1	4,5	36	30	30
01_63_C	Cluster 1	7,5	28,2	20,6	15,9	28,2	01_63_C	Cluster 1	7,5	38,8	32,3	32,3
01_64_A	Cluster 1	1,5	22	12,6	9,9	22	01_64_A	Cluster 1	1,5	32,1	27,1	27,1
01_64_B	Cluster 1	4,5	24,2	15,6	12	24,2	01_64_B	Cluster 1	4,5	34,9	28,6	28,6
01_64_C	Cluster 1	7,5	30,1	20,1	16,8	30,1	01_64_C	Cluster 1	7,5	39,5	32,5	32,5
01_65_A	Cluster 1	1,5	21,2	12,3	8,8	21,2	01_65_A	Cluster 1	1,5	31,4	26,9	26,9
01_65_B	Cluster 1	4,5	23,3	15,6	10,5	23,3	01_65_B	Cluster 1	4,5	33,7	28,3	28,3
01_65_C	Cluster 1	7,5	29,3	19,8	14,7	29,3	01_65_C	Cluster 1	7,5	40,2	32,1	32,1
01_66_A	Cluster 1	1,5	20,8	11,8	9,1	20,8	01_66_A	Cluster 1	1,5	30,8	27,8	27,8
01_66_B	Cluster 1	4,5	22,5	14	10,5	22,5	01_66_B	Cluster 1	4,5	31,5	29	29
01_67_A	Cluster 1	1,5	22,2	18,4	12,6	23,4	01_67_A	Cluster 1	1,5	31,5	28	28
01_67_B	Cluster 1	4,5	23,3	18,8	12,8	23,8	01_67_B	Cluster 1	4,5	33,8	28,8	28,8
01_68_A	Cluster 1	1,5	23,7	11,4	11,7	23,7	01_68_A	Cluster 1	1,5	37,3	26,3	26,3
01_68_B	Cluster 1	4,5	24,7	19,2	14,1	24,7	01_68_B	Cluster 1	4,5	38,4	29,1	29,1
01_68_C	Cluster 1	7,5	21,5	10,5	7,7	21,5	01_68_C	Cluster 1	7,5	32,5	23,3	23,3
01_69_A	Cluster 1	1,5	24	12,7	11,8	24	01_69_A	Cluster 1	1,5	34,8	26,9	26,9
01_69_B	Cluster 1	4,5	25	20,1	14,7	25,1	01_69_B	Cluster 1	4,5	36	29,5	29,5

Bijlage IV-1 Rekenresultaten L_{Ar,LT} en L_{Amax} niet-wedstrijddag

Rekenresultaten L _{Ar,LT} niet-wedstrijddag							Rekenresultaten L _{Amax} niet-wedstrijddag					
Naam	Omschrijving	Hoogte	Dag	Avond	Nacht	Etmaal	Naam	Omschrijv	Hoogte	Dag	Avond	Nacht
01_69_C	Cluster 1	7,5	22,4	12,3	8,8	22,4	01_69_C	Cluster 1	7,5	33,5	23,5	23,5
01_70_A	Cluster 1	1,5	24,6	18,9	14,1	24,6	01_70_A	Cluster 1	1,5	37	30,1	30,1
01_70_B	Cluster 1	4,5	25,2	19,3	14,5	25,2	01_70_B	Cluster 1	4,5	35,2	30,4	30,4
01_70_C	Cluster 1	7,5	22,2	11,9	8,3	22,2	01_70_C	Cluster 1	7,5	35,7	23,6	23,6
01_71_A	Cluster 1	1,5	24,2	16,5	12,3	24,2	01_71_A	Cluster 1	1,5	34,8	27,3	27,3
01_71_B	Cluster 1	4,5	25	20,8	15,1	25,8	01_71_B	Cluster 1	4,5	34,9	32,9	32,9
01_71_C	Cluster 1	7,5	21,8	12,1	8,3	21,8	01_71_C	Cluster 1	7,5	34,1	23,7	23,7
01_72_A	Cluster 1	1,5	23,8	17,3	12,8	23,8	01_72_A	Cluster 1	1,5	36,4	32,5	32,5
01_72_B	Cluster 1	4,5	25	20,9	14,9	25,9	01_72_B	Cluster 1	4,5	34,5	32,6	32,6
01_72_C	Cluster 1	7,5	22,2	12,4	8,3	22,2	01_72_C	Cluster 1	7,5	34,9	23,9	23,9
01_73_A	Cluster 1	1,5	24,6	17,8	12,6	24,6	01_73_A	Cluster 1	1,5	35,9	27,4	27,4
01_73_B	Cluster 1	4,5	25,3	21,1	15,1	26,1	01_73_B	Cluster 1	4,5	34,6	30,1	30,1
01_73_C	Cluster 1	7,5	22	12,7	8,4	22	01_73_C	Cluster 1	7,5	35,4	24	24
01_74_A	Cluster 1	1,5	24,7	20,5	14,2	25,5	01_74_A	Cluster 1	1,5	37	31,8	31,8
01_74_B	Cluster 1	4,5	25,7	23,7	16,5	28,7	01_74_B	Cluster 1	4,5	37,6	32,1	32,1
01_74_C	Cluster 1	7,5	22	12,7	8,2	22	01_74_C	Cluster 1	7,5	34,5	25,9	25,9
01_75_A	Cluster 1	1,5	25,8	19	13,5	25,8	01_75_A	Cluster 1	1,5	39,1	30,4	30,4
01_75_B	Cluster 1	4,5	26,5	21,1	14,9	26,5	01_75_B	Cluster 1	4,5	39,2	32,1	32,1
01_75_C	Cluster 1	7,5	22,3	13,5	8,4	22,3	01_75_C	Cluster 1	7,5	36,2	26,1	26,1
01_76_A	Cluster 1	1,5	26,3	20,6	14,2	26,3	01_76_A	Cluster 1	1,5	37,9	32,6	32,6
01_76_B	Cluster 1	4,5	27,3	23,8	16,5	28,8	01_76_B	Cluster 1	4,5	38,6	31,5	31,5
01_76_C	Cluster 1	7,5	21,4	12,1	7,6	21,4	01_76_C	Cluster 1	7,5	32,2	26,2	26,2
01_77_A	Cluster 1	1,5	25,6	22,1	15,5	27,1	01_77_A	Cluster 1	1,5	36,9	35,1	35,1
01_77_B	Cluster 1	4,5	26,7	23,6	16,4	28,6	01_77_B	Cluster 1	4,5	37,3	33,5	33,5
01_78_A	Cluster 1	1,5	28,6	24,1	17	29,1	01_78_A	Cluster 1	1,5	40,1	28,6	28,6
01_78_B	Cluster 1	4,5	29,7	24,7	17,6	29,7	01_78_B	Cluster 1	4,5	41	27,6	27,6
01_79_A	Cluster 1	1,5	28,5	22,1	15,9	28,5	01_79_A	Cluster 1	1,5	40	31,7	31,7
01_79_B	Cluster 1	4,5	29,7	22,8	16,6	29,7	01_79_B	Cluster 1	4,5	41,1	32,3	32,3
01_79_C	Cluster 1	7,5	31,6	23,4	16,6	31,6	01_79_C	Cluster 1	7,5	44,7	28,2	28,2
01_80_A	Cluster 1	1,5	28,3	16,1	13,1	28,3	01_80_A	Cluster 1	1,5	40	30,8	30,8
01_80_B	Cluster 1	4,5	29,4	17,3	14,2	29,4	01_80_B	Cluster 1	4,5	40,7	31,6	31,6
01_80_C	Cluster 1	7,5	31,4	18,6	14,4	31,4	01_80_C	Cluster 1	7,5	44,7	27	27
01_81_A	Cluster 1	1,5	28,2	14,9	12,9	28,2	01_81_A	Cluster 1	1,5	40,7	23,5	28,3
01_81_B	Cluster 1	4,5	29,2	16	13,6	29,2	01_81_B	Cluster 1	4,5	40,1	24,2	26,9
01_81_C	Cluster 1	7,5	31,1	17,7	13,7	31,1	01_81_C	Cluster 1	7,5	44,6	26,3	26,3
01_82_A	Cluster 1	1,5	28,2	15	13,1	28,2	01_82_A	Cluster 1	1,5	39,7	23,1	27,3
01_82_B	Cluster 1	4,5	29	15,2	13	29	01_82_B	Cluster 1	4,5	39,9	24	26,2
01_82_C	Cluster 1	7,5	31,1	17	13,3	31,1	01_82_C	Cluster 1	7,5	44,4	26	26
01_83_A	Cluster 1	1,5	28,1	15,1	12,9	28,1	01_83_A	Cluster 1	1,5	39,8	22,8	26,5
01_83_B	Cluster 1	4,5	29,1	14,8	12,8	29,1	01_83_B	Cluster 1	4,5	40,7	24	25,8
01_83_C	Cluster 1	7,5	31,5	21,7	15,3	31,5	01_83_C	Cluster 1	7,5	44,3	26,1	26,1
01_84_A	Cluster 1	1,5	27,9	13	11,7	27,9	01_84_A	Cluster 1	1,5	39,7	22,4	24,7
01_84_B	Cluster 1	4,5	28,9	14,7	12,8	28,9	01_84_B	Cluster 1	4,5	40,6	28,4	28,4
01_84_C	Cluster 1	7,5	31,4	21,2	14,9	31,4	01_84_C	Cluster 1	7,5	44,2	32,8	32,8
01_85_A	Cluster 1	1,5	27,8	12,9	11,4	27,8	01_85_A	Cluster 1	1,5	39,7	22,1	26,3
01_85_B	Cluster 1	4,5	29,1	16	12,6	29,1	01_85_B	Cluster 1	4,5	40,5	22,6	26,1
01_85_C	Cluster 1	7,5	31,9	21,3	15,2	31,9	01_85_C	Cluster 1	7,5	44,1	24,2	25,3
01_86_A	Cluster 1	1,5	23,1	11	9,7	23,1	01_86_A	Cluster 1	1,5	35,9	25	25,2
01_86_B	Cluster 1	4,5	23,9	11,6	10,1	23,9	01_86_B	Cluster 1	4,5	35,2	23,2	25
01_86_C	Cluster 1	7,5	27,8	20,7	15,1	27,8	01_86_C	Cluster 1	7,5	38,4	24,5	26,9
01_87_A	Cluster 1	1,5	24,4	10,1	10	24,4	01_87_A	Cluster 1	1,5	35,6	21,6	24,3
01_87_B	Cluster 1	4,5	25,6	12	10,9	25,6	01_87_B	Cluster 1	4,5	36,3	22	25
01_88_A	Cluster 1	1,5	25,2	12,1	10,7	25,2	01_88_A	Cluster 1	1,5	36,1	25,5	26
01_88_B	Cluster 1	4,5	26,5	14,3	11,6	26,5	01_88_B	Cluster 1	4,5	36,1	26,7	26,7
01_89_A	Cluster 1	1,5	26,4	24,1	16,2	29,1	01_89_A	Cluster 1	1,5	38,2	29,3	29,3
01_89_B	Cluster 1	4,5	28,1	25,3	17,4	30,3	01_89_B	Cluster 1	4,5	39,2	31,6	31,6
01_89_C	Cluster 1	7,5	31,6	26,4	19,7	31,6	01_89_C	Cluster 1	7,5	42	37	37
01_90_A	Cluster 1	1,5	27,8	22,7	16,3	27,8	01_90_A	Cluster 1	1,5	38,8	30,1	30,1
01_90_B	Cluster 1	4,5	29,3	25	17,8	30	01_90_B	Cluster 1	4,5	39,6	32,4	32,4
01_90_C	Cluster 1	7,5	32	26,4	19,5	32	01_90_C	Cluster 1	7,5	42,1	33	33
01_91_A	Cluster 1	1,5	27	18,9	14,5	27	01_91_A	Cluster 1	1,5	38,3	31	31
01_91_B	Cluster 1	4,5	28,4	23,7	17,2	28,7	01_91_B	Cluster 1	4,5	39,5	32,5	32,5
01_91_C	Cluster 1	7,5	31,8	26,4	19,4	31,8	01_91_C	Cluster 1	7,5	42,6	33,2	33,2
01_92_A	Cluster 1	1,5	27,3	20,1	15,1	27,3	01_92_A	Cluster 1	1,5	40,1	31,1	31,1
01_92_B	Cluster 1	4,5	28,5	24,5	17,8	29,5	01_92_B	Cluster 1	4,5	41,1	31,2	31,2
01_92_C	Cluster 1	7,5	32,2	26,2	19,2	32,2	01_92_C	Cluster 1	7,5	43,6	31,6	31,6

Bijlage IV-1 Rekenresultaten L_{Ar,LT} en L_{Amax} niet-wedstrijddag

Rekenresultaten L _{Ar,LT} niet-wedstrijddag							Rekenresultaten L _{Amax} niet-wedstrijddag					
Naam	Omschrijving	Hoogte	Dag	Avond	Nacht	Etmaal	Naam	Omschrijv	Hoogte	Dag	Avond	Nacht
01_93_A	Cluster 1	1,5	26,4	17,3	13,6	26,4	01_93_A	Cluster 1	1,5	39,5	28,5	29,7
01_93_B	Cluster 1	4,5	27,5	22,4	16,6	27,5	01_93_B	Cluster 1	4,5	38,8	31,4	31,4
01_93_C	Cluster 1	7,5	32,1	26,2	19,3	32,1	01_93_C	Cluster 1	7,5	42,4	31,6	31,6
01_94_A	Cluster 1	1,5	25,3	17,8	13,9	25,3	01_94_A	Cluster 1	1,5	37,5	30,6	30,6
01_94_B	Cluster 1	4,5	26,4	19,2	15,2	26,4	01_94_B	Cluster 1	4,5	37,2	34,8	34,8
01_94_C	Cluster 1	7,5	31,4	23,6	17,8	31,4	01_94_C	Cluster 1	7,5	41,2	34,9	34,9
01_95_A	Cluster 1	1,5	25,2	19	14,4	25,2	01_95_A	Cluster 1	1,5	37,8	30,7	30,7
01_95_B	Cluster 1	4,5	25,9	19,7	15,2	25,9	01_95_B	Cluster 1	4,5	35,2	32,4	32,4
01_95_C	Cluster 1	7,5	31,1	23,3	17,7	31,1	01_95_C	Cluster 1	7,5	40,5	33,4	33,4
01_96_A	Cluster 1	1,5	24,8	16,5	13,4	24,8	01_96_A	Cluster 1	1,5	35,6	32,4	32,4
01_96_B	Cluster 1	4,5	26,2	19,3	15	26,2	01_96_B	Cluster 1	4,5	36,2	33,3	33,3
01_96_C	Cluster 1	7,5	31,3	23,2	17,7	31,3	01_96_C	Cluster 1	7,5	42,3	32,7	32,7
01_97_A	Cluster 1	1,5	24,8	18,7	14	24,8	01_97_A	Cluster 1	1,5	34,9	33,1	33,1
01_97_B	Cluster 1	4,5	26,3	19,3	15	26,3	01_97_B	Cluster 1	4,5	36,3	34,8	34,8
01_97_C	Cluster 1	7,5	31,3	23,1	17,8	31,3	01_97_C	Cluster 1	7,5	42,2	35,6	35,6
01_98_A	Cluster 1	1,5	24,8	17,8	13,6	24,8	01_98_A	Cluster 1	1,5	36,2	31,8	31,8
01_98_B	Cluster 1	4,5	26,5	19,2	15,2	26,5	01_98_B	Cluster 1	4,5	36,7	35,4	35,4
01_98_C	Cluster 1	7,5	31,4	23,2	18,1	31,4	01_98_C	Cluster 1	7,5	42	34,1	34,1
01_99_A	Cluster 1	1,5	24,5	18,4	13,7	24,5	01_99_A	Cluster 1	1,5	35	32,7	32,7
01_99_B	Cluster 1	4,5	26,7	21,7	16,2	26,7	01_99_B	Cluster 1	4,5	36,3	33,5	33,5
01_99_C	Cluster 1	7,5	31,4	23	18,2	31,4	01_99_C	Cluster 1	7,5	40,9	33,5	33,5
02_01_A	Cluster 2	1,5	27,8	20,1	14,9	27,8	02_01_A	Cluster 2	1,5	40,3	27,9	27,9
02_01_B	Cluster 2	4,5	29	21,2	15,7	29	02_01_B	Cluster 2	4,5	41,2	27	27
02_01_C	Cluster 2	7,5	31	23,4	17,3	31	02_01_C	Cluster 2	7,5	42,7	29,5	29,5
02_02_A	Cluster 2	1,5	28,5	19,9	15,7	28,5	02_02_A	Cluster 2	1,5	40,6	32,6	32,6
02_02_B	Cluster 2	4,5	29,8	21,2	17,1	29,8	02_02_B	Cluster 2	4,5	42,5	33,1	33,1
02_02_C	Cluster 2	7,5	31,6	25,7	20,6	31,6	02_02_C	Cluster 2	7,5	44,2	34,7	34,7
02_03_A	Cluster 2	1,5	28,5	19	14,7	28,5	02_03_A	Cluster 2	1,5	42,1	32,7	32,7
02_03_B	Cluster 2	4,5	29,5	20,2	15,8	29,5	02_03_B	Cluster 2	4,5	43	33,7	33,7
02_03_C	Cluster 2	7,5	30,9	24,2	19,2	30,9	02_03_C	Cluster 2	7,5	43,4	35,9	35,9
02_04_A	Cluster 2	1,5	27,4	20,6	16,1	27,4	02_04_A	Cluster 2	1,5	38,1	32,9	32,9
02_04_B	Cluster 2	4,5	28,6	23	17,7	28,6	02_04_B	Cluster 2	4,5	38,9	33,3	33,3
02_04_C	Cluster 2	7,5	30,5	25,8	20,6	30,8	02_04_C	Cluster 2	7,5	41,6	34,9	34,9
02_05_A	Cluster 2	1,5	27,8	23,9	18,9	28,9	02_05_A	Cluster 2	1,5	36,7	31,6	31,6
02_05_B	Cluster 2	4,5	29,2	27,3	21,3	32,3	02_05_B	Cluster 2	4,5	37,8	32,4	32,4
02_05_C	Cluster 2	7,5	31,1	27,2	21,9	32,2	02_05_C	Cluster 2	7,5	39,4	34,6	34,6
02_06_A	Cluster 2	1,5	27,1	22	17,7	27,7	02_06_A	Cluster 2	1,5	38,9	38	38
02_06_B	Cluster 2	4,5	28,5	23,4	18,9	28,9	02_06_B	Cluster 2	4,5	42,7	42,7	42,7
02_06_C	Cluster 2	7,5	30,8	26,7	21,4	31,7	02_06_C	Cluster 2	7,5	43,7	43,7	43,7
02_07_A	Cluster 2	1,5	26,3	22,3	17,2	27,3	02_07_A	Cluster 2	1,5	42,8	33,1	33,1
02_07_B	Cluster 2	4,5	27,6	24,3	18,8	29,3	02_07_B	Cluster 2	4,5	44	33,6	33,6
02_07_C	Cluster 2	7,5	30,5	26,3	21,1	31,3	02_07_C	Cluster 2	7,5	45	35,5	35,5
02_08_A	Cluster 2	1,5	26	22,4	17,7	27,7	02_08_A	Cluster 2	1,5	39,3	39,3	39,3
02_08_B	Cluster 2	4,5	27,3	23,7	18,7	28,7	02_08_B	Cluster 2	4,5	39,7	39,7	39,7
02_08_C	Cluster 2	7,5	30,1	25,5	20,9	30,9	02_08_C	Cluster 2	7,5	41	41	41
02_09_A	Cluster 2	1,5	26	22,1	17,2	27,2	02_09_A	Cluster 2	1,5	35,5	35,3	35,3
02_09_B	Cluster 2	4,5	27,5	25	19,1	30	02_09_B	Cluster 2	4,5	36,3	36	36
02_09_C	Cluster 2	7,5	30,4	25,8	20,5	30,8	02_09_C	Cluster 2	7,5	38,5	37,8	37,8
02_10_A	Cluster 2	1,5	25,4	19,7	15,4	25,4	02_10_A	Cluster 2	1,5	36,1	35,8	35,8
02_10_B	Cluster 2	4,5	26,9	21,2	16,6	26,9	02_10_B	Cluster 2	4,5	37	35,8	35,8
02_10_C	Cluster 2	7,5	29,8	24,9	19,5	29,9	02_10_C	Cluster 2	7,5	38,7	37,3	37,3
02_100_A	Cluster 2	1,5	19,7	17	12,5	22,5	02_100_A	Cluster 2	1,5	33,6	30,8	30,8
02_100_B	Cluster 2	4,5	21,9	20,9	16,1	26,1	02_100_B	Cluster 2	4,5	37,5	32,3	32,3
02_100_C	Cluster 2	7,5	30,2	25,9	20,9	30,9	02_100_C	Cluster 2	7,5	41,6	33,3	33,3
02_101_A	Cluster 2	1,5	19,7	16,3	12,3	22,3	02_101_A	Cluster 2	1,5	33,7	30,9	30,9
02_101_B	Cluster 2	4,5	21,4	19,9	15,6	25,6	02_101_B	Cluster 2	4,5	37,3	32,4	32,4
02_101_C	Cluster 2	7,5	27,7	25,8	20,7	30,8	02_101_C	Cluster 2	7,5	41,5	33,5	33,5
02_102_A	Cluster 2	1,5	19,2	16,3	12,1	22,1	02_102_A	Cluster 2	1,5	32,9	31	31
02_102_B	Cluster 2	4,5	21,1	19,7	15,4	25,4	02_102_B	Cluster 2	4,5	36,9	30,7	30,7
02_102_C	Cluster 2	7,5	26,1	24,7	19,5	29,7	02_102_C	Cluster 2	7,5	39,7	33,6	33,6
02_103_A	Cluster 2	1,5	19	15,5	11,2	21,2	02_103_A	Cluster 2	1,5	31,1	31,1	31,1
02_103_B	Cluster 2	4,5	20,4	19,4	14,7	24,7	02_103_B	Cluster 2	4,5	32,8	32,5	32,5
02_103_C	Cluster 2	7,5	25,2	24,5	19,2	29,5	02_103_C	Cluster 2	7,5	39,7	33,8	33,8
02_104_A	Cluster 2	1,5	18,8	15,1	10,9	20,9	02_104_A	Cluster 2	1,5	32,5	31,1	31,1
02_104_B	Cluster 2	4,5	20,2	19,2	14,5	24,5	02_104_B	Cluster 2	4,5	34	32,6	32,6
02_104_C	Cluster 2	7,5	24,8	24,5	19,3	29,5	02_104_C	Cluster 2	7,5	40,3	34	34

Bijlage IV-1 Rekenresultaten $L_{Ar,LT}$ en L_{Amax} niet-wedstrijddag

Rekenresultaten $L_{Ar,LT}$ niet-wedstrijddag							Rekenresultaten L_{Amax} niet-wedstrijddag					
Naam	Omschrijving	Hoogte	Dag	Avond	Nacht	Etmaal	Naam	Omschrijv	Hoogte	Dag	Avond	Nacht
02_105_A	Cluster 2	1,5	19,7	15,2	11	21	02_105_A	Cluster 2	1,5	31,9	31	31
02_105_B	Cluster 2	4,5	21	19,2	14,8	24,8	02_105_B	Cluster 2	4,5	35,9	32,4	32,4
02_105_C	Cluster 2	7,5	24,4	24,1	19,1	29,1	02_105_C	Cluster 2	7,5	40,5	34,2	34,2
02_106_A	Cluster 2	1,5	20,6	15,3	11,3	21,3	02_106_A	Cluster 2	1,5	32	30,9	30,9
02_106_B	Cluster 2	4,5	21,8	19,1	14,8	24,8	02_106_B	Cluster 2	4,5	35,4	32,3	32,3
02_106_C	Cluster 2	7,5	24,5	24,2	19,2	29,2	02_106_C	Cluster 2	7,5	40,6	34,4	34,4
02_107_A	Cluster 2	1,5	20,9	15,5	11,6	21,6	02_107_A	Cluster 2	1,5	32,7	30,7	30,7
02_107_B	Cluster 2	4,5	22,5	19,4	14,8	24,8	02_107_B	Cluster 2	4,5	36,1	32,1	32,1
02_107_C	Cluster 2	7,5	24,6	24,1	19,1	29,1	02_107_C	Cluster 2	7,5	40	34,6	34,6
02_108_A	Cluster 2	1,5	21,8	15,6	11,7	21,8	02_108_A	Cluster 2	1,5	35,2	30,6	30,6
02_108_B	Cluster 2	4,5	22,8	19,2	14,6	24,6	02_108_B	Cluster 2	4,5	35,4	31,9	31,9
02_108_C	Cluster 2	7,5	24,9	24,2	19	29,2	02_108_C	Cluster 2	7,5	39,4	34	34
02_11_A	Cluster 2	1,5	26,1	20,5	16,4	26,4	02_11_A	Cluster 2	1,5	38,1	36	36
02_11_B	Cluster 2	4,5	27,3	22,3	17,5	27,5	02_11_B	Cluster 2	4,5	39	39	39
02_11_C	Cluster 2	7,5	30,1	25,2	19,9	30,2	02_11_C	Cluster 2	7,5	40,1	40,1	40,1
02_12_A	Cluster 2	1,5	26,1	19,4	15,3	26,1	02_12_A	Cluster 2	1,5	38,1	33,3	33,3
02_12_B	Cluster 2	4,5	27,4	21,3	16,5	27,4	02_12_B	Cluster 2	4,5	38,8	33,8	33,8
02_13_A	Cluster 2	1,5	25,6	18,3	14,2	25,6	02_13_A	Cluster 2	1,5	37,1	32,5	32,5
02_13_B	Cluster 2	4,5	26,9	19,2	15	26,9	02_13_B	Cluster 2	4,5	38,4	33,3	33,3
02_14_A	Cluster 2	1,5	22,1	16,1	11,8	22,1	02_14_A	Cluster 2	1,5	36,8	26,3	26,3
02_14_B	Cluster 2	4,5	23,1	16,5	12,5	23,1	02_14_B	Cluster 2	4,5	37,5	26,1	26,1
02_15_A	Cluster 2	1,5	21,3	14,3	10,1	21,3	02_15_A	Cluster 2	1,5	37,3	26,1	26,1
02_15_B	Cluster 2	4,5	22,2	14,8	10,9	22,2	02_15_B	Cluster 2	4,5	38	26,5	26,5
02_16_A	Cluster 2	1,5	20,8	13,8	10	20,8	02_16_A	Cluster 2	1,5	31,5	23,4	23,4
02_16_B	Cluster 2	4,5	22	14,5	10,7	22	02_16_B	Cluster 2	4,5	31,9	23,7	23,7
02_16_C	Cluster 2	7,5	24,5	16,9	13,1	24,5	02_16_C	Cluster 2	7,5	36,6	24,8	24,8
02_16_D	Cluster 2	10,5	26,1	21,5	17,5	27,5	02_16_D	Cluster 2	10,5	37,7	29,3	29,3
02_17_A	Cluster 2	1,5	21,2	11,9	8,1	21,2	02_17_A	Cluster 2	1,5	33	23	23
02_17_B	Cluster 2	4,5	22,2	11,8	8,5	22,2	02_17_B	Cluster 2	4,5	33,8	23,2	23,2
02_17_C	Cluster 2	7,5	24,5	12,9	10,7	24,5	02_17_C	Cluster 2	7,5	38,9	23,8	23,8
02_17_D	Cluster 2	10,5	25,4	18,4	15	25,4	02_17_D	Cluster 2	10,5	35,5	25,8	25,8
02_18_A	Cluster 2	1,5	21	15,5	10	21	02_18_A	Cluster 2	1,5	31,8	29,3	29,3
02_18_B	Cluster 2	4,5	22,2	19,1	12,5	24,1	02_18_B	Cluster 2	4,5	31,7	29,7	29,7
02_18_C	Cluster 2	7,5	24,5	19,4	13,7	24,5	02_18_C	Cluster 2	7,5	37,2	30,1	30,1
02_18_D	Cluster 2	10,5	25,1	19	15,5	25,5	02_18_D	Cluster 2	10,5	36,2	31,6	31,6
02_19_A	Cluster 2	1,5	21,3	16,4	11,4	21,4	02_19_A	Cluster 2	1,5	30,2	29	29
02_19_B	Cluster 2	4,5	22,4	19,6	13,5	24,6	02_19_B	Cluster 2	4,5	30,9	29,4	29,4
02_19_C	Cluster 2	7,5	24,5	19,8	14,3	24,8	02_19_C	Cluster 2	7,5	35,9	29,9	29,9
02_19_D	Cluster 2	10,5	25	19,5	15,7	25,7	02_19_D	Cluster 2	10,5	35,3	31,3	31,3
02_20_A	Cluster 2	1,5	21	16,4	11,4	21,4	02_20_A	Cluster 2	1,5	29,8	28,8	28,8
02_20_B	Cluster 2	4,5	22,2	19,5	13,5	24,5	02_20_B	Cluster 2	4,5	30,9	29,3	29,3
02_20_C	Cluster 2	7,5	24,1	19,9	14,4	24,9	02_20_C	Cluster 2	7,5	35,7	29,7	29,7
02_20_D	Cluster 2	10,5	24,3	19,5	15,4	25,4	02_20_D	Cluster 2	10,5	35	31,1	31,1
02_21_A	Cluster 2	1,5	21,4	17,1	11,9	22,1	02_21_A	Cluster 2	1,5	30	28,8	28,8
02_21_B	Cluster 2	4,5	22,5	19,7	13,8	24,7	02_21_B	Cluster 2	4,5	31,5	29,2	29,2
02_21_C	Cluster 2	7,5	24,8	20,2	14,8	25,2	02_21_C	Cluster 2	7,5	37,3	29,6	29,6
02_21_D	Cluster 2	10,5	24,6	19,8	16	26	02_21_D	Cluster 2	10,5	35,8	31,1	31,1
02_22_A	Cluster 2	1,5	21,7	17,7	12,4	22,7	02_22_A	Cluster 2	1,5	30,2	29,5	29,5
02_22_B	Cluster 2	4,5	22,8	19,6	13,7	24,6	02_22_B	Cluster 2	4,5	32,7	30	30
02_22_C	Cluster 2	7,5	25,2	20,1	14,9	25,2	02_22_C	Cluster 2	7,5	37,1	30,7	30,7
02_22_D	Cluster 2	10,5	26,1	21,2	16,7	26,7	02_22_D	Cluster 2	10,5	36,4	32	32
02_23_A	Cluster 2	1,5	21,4	18,6	12,9	23,6	02_23_A	Cluster 2	1,5	31	29,5	29,5
02_23_B	Cluster 2	4,5	22,7	19,5	13,6	24,5	02_23_B	Cluster 2	4,5	31,6	30,2	30,2
02_23_C	Cluster 2	7,5	25,6	20,1	15,1	25,6	02_23_C	Cluster 2	7,5	38,1	29,7	29,7
02_23_D	Cluster 2	10,5	26,5	21,1	16,9	26,9	02_23_D	Cluster 2	10,5	36,4	32	32
02_24_A	Cluster 2	1,5	21,1	19	13,1	24	02_24_A	Cluster 2	1,5	31,4	30,3	30,3
02_24_B	Cluster 2	4,5	22,7	19,6	13,6	24,6	02_24_B	Cluster 2	4,5	33,1	29,4	29,4
02_24_C	Cluster 2	7,5	25,5	20,2	14,9	25,5	02_24_C	Cluster 2	7,5	36,9	29,8	29,8
02_24_D	Cluster 2	10,5	26,6	20,9	16,7	26,7	02_24_D	Cluster 2	10,5	36,4	32,2	32,2
02_25_A	Cluster 2	1,5	21,2	19,1	13,2	24,1	02_25_A	Cluster 2	1,5	31,4	30,4	30,4
02_25_B	Cluster 2	4,5	22,5	19,6	13,6	24,6	02_25_B	Cluster 2	4,5	31,6	30,3	30,3
02_25_C	Cluster 2	7,5	25,6	20,4	15,1	25,6	02_25_C	Cluster 2	7,5	36,8	30,8	30,8
02_25_D	Cluster 2	10,5	27,7	22,9	18,4	28,4	02_25_D	Cluster 2	10,5	37,6	36,6	36,6
02_26_A	Cluster 2	1,5	21,2	12,8	8,8	21,2	02_26_A	Cluster 2	1,5	31,9	25,7	25,7
02_26_B	Cluster 2	4,5	23,2	14,6	10,4	23,2	02_26_B	Cluster 2	4,5	35,2	26,3	26,3
02_26_C	Cluster 2	7,5	24,2	15,2	10,5	24,2	02_26_C	Cluster 2	7,5	37,4	27,1	27,1

Bijlage IV-1 Rekenresultaten $L_{Ar,LT}$ en L_{Amax} niet-wedstrijddag

Rekenresultaten $L_{Ar,LT}$ niet-wedstrijddag							Rekenresultaten L_{Amax} niet-wedstrijddag					
Naam	Omschrijving	Hoogte	Dag	Avond	Nacht	Etmaal	Naam	Omschrijv	Hoogte	Dag	Avond	Nacht
02_26_D	Cluster 2	10,5	30,2	24	18,6	30,2	02_26_D	Cluster 2	10,5	41,2	36,7	36,7
02_27_A	Cluster 2	1,5	23	18,1	12,6	23,1	02_27_A	Cluster 2	1,5	34,3	29,6	29,6
02_27_B	Cluster 2	4,5	24,2	18,5	13,1	24,2	02_27_B	Cluster 2	4,5	35,2	30,1	30,1
02_27_C	Cluster 2	7,5	27,2	18,8	14,1	27,2	02_27_C	Cluster 2	7,5	38,8	30,5	30,5
02_27_D	Cluster 2	10,5	30,9	22,8	18,1	30,9	02_27_D	Cluster 2	10,5	40,9	38,3	38,3
02_28_A	Cluster 2	1,5	21,6	15,4	11,2	21,6	02_28_A	Cluster 2	1,5	32,9	30,1	30,1
02_28_B	Cluster 2	4,5	22,7	15,8	11,6	22,7	02_28_B	Cluster 2	4,5	33,2	30,5	30,5
02_28_C	Cluster 2	7,5	25,6	17,6	13,5	25,6	02_28_C	Cluster 2	7,5	37,1	32,3	32,3
02_28_D	Cluster 2	10,5	25,1	20,4	16,2	26,2	02_28_D	Cluster 2	10,5	36	35,9	35,9
02_29_A	Cluster 2	1,5	21,2	18,7	12,4	23,7	02_29_A	Cluster 2	1,5	32,4	21,6	21,6
02_29_B	Cluster 2	4,5	22	19,1	12,8	24,1	02_29_B	Cluster 2	4,5	31,7	21,7	21,7
02_29_C	Cluster 2	7,5	25	19,7	14,2	25	02_29_C	Cluster 2	7,5	34,8	23,8	24,4
02_29_D	Cluster 2	10,5	24,5	19,6	15,4	25,4	02_29_D	Cluster 2	10,5	35,8	27,2	27,2
02_30_A	Cluster 2	1,5	21,3	18,2	11,7	23,2	02_30_A	Cluster 2	1,5	30,9	30,9	30,9
02_30_B	Cluster 2	4,5	22	18,3	11,9	23,3	02_30_B	Cluster 2	4,5	30,8	30,8	30,8
02_30_C	Cluster 2	7,5	25,5	18,4	12,6	25,5	02_30_C	Cluster 2	7,5	34,9	31	31
02_30_D	Cluster 2	10,5	23,3	17,2	13,1	23,3	02_30_D	Cluster 2	10,5	34,5	31,8	31,8
02_31_A	Cluster 2	1,5	20,9	19	13,2	24	02_31_A	Cluster 2	1,5	31,3	31,3	31,3
02_31_B	Cluster 2	4,5	21,6	19	13,3	24	02_31_B	Cluster 2	4,5	31,4	31,4	31,4
02_31_C	Cluster 2	7,5	24,7	19,1	13,9	24,7	02_31_C	Cluster 2	7,5	35,1	31,5	31,5
02_31_D	Cluster 2	10,5	22,9	17,4	13,4	23,4	02_31_D	Cluster 2	10,5	34,5	32,1	32,1
02_32_A	Cluster 2	1,5	19,2	15,1	9,4	20,1	02_32_A	Cluster 2	1,5	31,1	25,5	25,5
02_32_B	Cluster 2	4,5	16,5	9,5	4,8	16,5	02_32_B	Cluster 2	4,5	29,3	19,6	19,6
02_32_C	Cluster 2	7,5	17,1	9,2	4,9	17,1	02_32_C	Cluster 2	7,5	30,4	19,7	19,7
02_32_D	Cluster 2	10,5	18,7	10,3	6,2	18,7	02_32_D	Cluster 2	10,5	30,7	20,1	20,1
02_33_A	Cluster 2	1,5	19,1	15,4	9,7	20,4	02_33_A	Cluster 2	1,5	31,2	24,3	24,3
02_33_B	Cluster 2	4,5	15,7	10,6	6,1	16,1	02_33_B	Cluster 2	4,5	25,1	19,8	19,8
02_33_C	Cluster 2	7,5	19,5	12,2	7,5	19,5	02_33_C	Cluster 2	7,5	33	19,9	20,3
02_34_A	Cluster 2	1,5	18,3	15,1	9,4	20,1	02_34_A	Cluster 2	1,5	28,9	24,3	24,3
02_34_B	Cluster 2	4,5	16,2	7,6	4,1	16,2	02_34_B	Cluster 2	4,5	29,3	19,9	19,9
02_34_C	Cluster 2	7,5	20,2	11,5	7,7	20,2	02_34_C	Cluster 2	7,5	32,9	20	20,8
02_35_A	Cluster 2	1,5	17,6	13,3	8,8	18,8	02_35_A	Cluster 2	1,5	27,7	24,2	24,2
02_35_B	Cluster 2	4,5	16	9	4,3	16	02_35_B	Cluster 2	4,5	26,7	20,1	20,1
02_35_C	Cluster 2	7,5	21	14	9,6	21	02_35_C	Cluster 2	7,5	33,3	20,8	20,8
02_36_A	Cluster 2	1,5	17	12,4	7,5	17,5	02_36_A	Cluster 2	1,5	27,1	25	25
02_36_B	Cluster 2	4,5	16	8	3,9	16	02_36_B	Cluster 2	4,5	26,8	22,6	22,6
02_36_C	Cluster 2	7,5	19,7	10,7	7,1	19,7	02_36_C	Cluster 2	7,5	30,1	20	20
02_37_A	Cluster 2	1,5	16,6	11,3	6,9	16,9	02_37_A	Cluster 2	1,5	27,3	23,6	23,6
02_37_B	Cluster 2	4,5	16,4	8,1	4,3	16,4	02_37_B	Cluster 2	4,5	27,1	19,8	21,6
02_37_C	Cluster 2	7,5	19,8	11,2	7,6	19,8	02_37_C	Cluster 2	7,5	31	19,9	22,8
02_38_A	Cluster 2	1,5	18,5	10,3	7,4	18,5	02_38_A	Cluster 2	1,5	29,9	22,7	22,7
02_38_B	Cluster 2	4,5	19,2	7,7	6,4	19,2	02_38_B	Cluster 2	4,5	30,5	19,9	21,8
02_38_C	Cluster 2	7,5	23	11,6	9,6	23	02_38_C	Cluster 2	7,5	33,4	20	23
02_39_A	Cluster 2	1,5	20	12	8	20	02_39_A	Cluster 2	1,5	34,2	22,6	22,6
02_39_B	Cluster 2	4,5	21,6	12,3	8,8	21,6	02_39_B	Cluster 2	4,5	35	19,9	22,1
02_39_C	Cluster 2	7,5	25,2	14,6	11,2	25,2	02_39_C	Cluster 2	7,5	36,7	20	23,3
02_40_A	Cluster 2	1,5	20,6	18,5	11,9	23,5	02_40_A	Cluster 2	1,5	31,9	27	27
02_40_B	Cluster 2	4,5	22,7	19,3	12,9	24,3	02_40_B	Cluster 2	4,5	33,8	27	27
02_40_C	Cluster 2	7,5	26	21,8	16,5	26,8	02_40_C	Cluster 2	7,5	35,2	29,7	29,7
02_41_A	Cluster 2	1,5	22,9	18,7	12,9	23,7	02_41_A	Cluster 2	1,5	34,4	30,5	30,5
02_41_B	Cluster 2	4,5	25,2	22,4	16	27,4	02_41_B	Cluster 2	4,5	36,3	31,4	31,4
02_41_C	Cluster 2	7,5	30,8	24,4	18,7	30,8	02_41_C	Cluster 2	7,5	42,2	32,7	32,7
02_42_A	Cluster 2	1,5	19,7	16,4	12	22	02_42_A	Cluster 2	1,5	31,8	30,1	30,1
02_42_B	Cluster 2	4,5	22,3	21,9	16,5	26,9	02_42_B	Cluster 2	4,5	36,6	30,9	30,9
02_42_C	Cluster 2	7,5	27,4	25	20,2	30,2	02_42_C	Cluster 2	7,5	39,7	31,8	31,8
02_43_A	Cluster 2	1,5	20,2	15,2	9,9	20,2	02_43_A	Cluster 2	1,5	30,7	24,8	24,8
02_43_B	Cluster 2	4,5	22,5	18,2	12,8	23,2	02_43_B	Cluster 2	4,5	32,8	25,8	25,8
02_43_C	Cluster 2	7,5	26,1	21,9	16,4	26,9	02_43_C	Cluster 2	7,5	35,7	27,1	27,1
02_44_A	Cluster 2	1,5	20,4	12,5	8,8	20,4	02_44_A	Cluster 2	1,5	30,5	26,9	26,9
02_44_B	Cluster 2	4,5	23	17,6	12,3	23	02_44_B	Cluster 2	4,5	32,7	27,7	27,7
02_45_A	Cluster 2	1,5	21,5	16,2	10,1	21,5	02_45_A	Cluster 2	1,5	34,2	24,1	24,1
02_45_B	Cluster 2	4,5	23,6	18,2	12,5	23,6	02_45_B	Cluster 2	4,5	35,2	26,4	26,4
02_46_A	Cluster 2	1,5	26,2	19,7	13,8	26,2	02_46_A	Cluster 2	1,5	38	21,1	23
02_46_B	Cluster 2	4,5	28,4	21	15,1	28,4	02_46_B	Cluster 2	4,5	38,9	23,7	25,3
02_47_A	Cluster 2	1,5	24,6	19,5	13,7	24,6	02_47_A	Cluster 2	1,5	35,1	23,8	23,8
02_47_B	Cluster 2	4,5	27,1	20,4	14,5	27,1	02_47_B	Cluster 2	4,5	37,5	24,5	26

Bijlage IV-1 Rekenresultaten $L_{Ar,LT}$ en L_{Amax} niet-wedstrijddag

Rekenresultaten $L_{Ar,LT}$ niet-wedstrijddag							Rekenresultaten L_{Amax} niet-wedstrijddag					
Naam	Omschrijving	Hoogte	Dag	Avond	Nacht	Etmaal	Naam	Omschrijv	Hoogte	Dag	Avond	Nacht
02_48_A	Cluster 2	1,5	26,7	22,1	15,8	27,1	02_48_A	Cluster 2	1,5	38,2	26,4	26,4
02_48_B	Cluster 2	4,5	28,7	24,8	17,7	29,8	02_48_B	Cluster 2	4,5	39,1	27,9	27,9
02_48_C	Cluster 2	7,5	31,5	24,9	18,6	31,5	02_48_C	Cluster 2	7,5	42,1	29,4	29,4
02_49_A	Cluster 2	1,5	26,8	22,6	16,2	27,6	02_49_A	Cluster 2	1,5	37,3	26,3	26,3
02_49_B	Cluster 2	4,5	28,6	25,2	18	30,2	02_49_B	Cluster 2	4,5	38,2	25,8	25,8
02_49_C	Cluster 2	7,5	31,9	27	21	32	02_49_C	Cluster 2	7,5	41,9	33,5	33,5
02_50_A	Cluster 2	1,5	26,6	22,2	16,1	27,2	02_50_A	Cluster 2	1,5	37,4	26,8	26,8
02_50_B	Cluster 2	4,5	28,2	24,4	17,6	29,4	02_50_B	Cluster 2	4,5	38,3	26,7	26,7
02_50_C	Cluster 2	7,5	31,5	25,9	20	31,5	02_50_C	Cluster 2	7,5	41,5	33,5	33,5
02_51_A	Cluster 2	1,5	26,7	22,3	16,3	27,3	02_51_A	Cluster 2	1,5	36,8	25,3	25,3
02_51_B	Cluster 2	4,5	28,2	24,9	18,1	29,9	02_51_B	Cluster 2	4,5	37,8	26,3	26,3
02_51_C	Cluster 2	7,5	31,4	25,6	19,5	31,4	02_51_C	Cluster 2	7,5	42,1	31,4	31,4
02_52_A	Cluster 2	1,5	26,8	22,2	16,2	27,2	02_52_A	Cluster 2	1,5	37	23,6	24,5
02_52_B	Cluster 2	4,5	28,1	24,7	17,9	29,7	02_52_B	Cluster 2	4,5	38,1	24,7	24,7
02_52_C	Cluster 2	7,5	31,5	25,5	19,3	31,5	02_52_C	Cluster 2	7,5	42,1	30,7	30,7
02_53_A	Cluster 2	1,5	26,9	22,1	16,1	27,1	02_53_A	Cluster 2	1,5	37,6	23,7	23,7
02_53_B	Cluster 2	4,5	28	24,3	17,4	29,3	02_53_B	Cluster 2	4,5	38,5	24,7	24,7
02_53_C	Cluster 2	7,5	31,4	25,4	19,2	31,4	02_53_C	Cluster 2	7,5	42,2	28,7	28,7
02_54_A	Cluster 2	1,5	26,9	21,7	15,8	26,9	02_54_A	Cluster 2	1,5	38,1	23,9	23,9
02_54_B	Cluster 2	4,5	27,9	23,7	17	28,7	02_54_B	Cluster 2	4,5	38,6	23,1	23,1
02_54_C	Cluster 2	7,5	31,2	25,2	18,7	31,2	02_54_C	Cluster 2	7,5	42,7	28,2	28,2
02_55_A	Cluster 2	1,5	27	21,4	15,5	27	02_55_A	Cluster 2	1,5	38,2	23	23
02_55_B	Cluster 2	4,5	27,8	22,5	16,2	27,8	02_55_B	Cluster 2	4,5	38,7	23,6	23,6
02_55_C	Cluster 2	7,5	30,9	25,2	18,6	30,9	02_55_C	Cluster 2	7,5	41,2	26,8	26,8
02_56_A	Cluster 2	1,5	26,9	21,2	15,5	26,9	02_56_A	Cluster 2	1,5	37,6	23,5	23,5
02_56_B	Cluster 2	4,5	27,8	22,3	16	27,8	02_56_B	Cluster 2	4,5	38,7	24,2	24,2
02_56_C	Cluster 2	7,5	30,8	25,3	18,7	30,8	02_56_C	Cluster 2	7,5	40,9	27,2	27,2
02_57_A	Cluster 2	1,5	27,1	20,9	15,3	27,1	02_57_A	Cluster 2	1,5	37,9	24,2	24,2
02_57_B	Cluster 2	4,5	27,9	22	15,9	27,9	02_57_B	Cluster 2	4,5	39	24,9	24,9
02_57_C	Cluster 2	7,5	30,6	25,4	18,6	30,6	02_57_C	Cluster 2	7,5	40,7	27,8	27,8
02_58_A	Cluster 2	1,5	27	20,5	14,8	27	02_58_A	Cluster 2	1,5	37,6	26,4	26,4
02_58_B	Cluster 2	4,5	28	21,6	15,4	28	02_58_B	Cluster 2	4,5	39,4	27,3	27,3
02_58_C	Cluster 2	7,5	30,7	25,6	18,8	30,7	02_58_C	Cluster 2	7,5	41	29,4	29,4
02_59_A	Cluster 2	1,5	24,9	14,8	11,6	24,9	02_59_A	Cluster 2	1,5	37,3	30,6	30,6
02_59_B	Cluster 2	4,5	26,1	16	12,9	26,1	02_59_B	Cluster 2	4,5	36,7	31	31
02_59_C	Cluster 2	7,5	29,6	22,9	18	29,6	02_59_C	Cluster 2	7,5	40,4	32,4	32,4
02_60_A	Cluster 2	1,5	24	16,3	11,3	24	02_60_A	Cluster 2	1,5	37,9	30,2	30,2
02_60_B	Cluster 2	4,5	23,8	17,3	12	23,8	02_60_B	Cluster 2	4,5	38,4	30,7	30,7
02_60_C	Cluster 2	7,5	25,7	23,8	17,7	28,8	02_60_C	Cluster 2	7,5	39,5	32	32
02_61_A	Cluster 2	1,5	23,9	16,5	11,5	23,9	02_61_A	Cluster 2	1,5	37	26,7	26,7
02_61_B	Cluster 2	4,5	24,1	17,6	12,1	24,1	02_61_B	Cluster 2	4,5	37,5	27,8	27,8
02_61_C	Cluster 2	7,5	27,4	24,2	17,5	29,2	02_61_C	Cluster 2	7,5	42,3	27,9	27,9
02_62_A	Cluster 2	1,5	21,7	14	10,8	21,7	02_62_A	Cluster 2	1,5	33,7	26,8	26,8
02_62_B	Cluster 2	4,5	22,5	14,4	11,4	22,5	02_62_B	Cluster 2	4,5	32,8	27,7	27,7
02_62_C	Cluster 2	7,5	26,7	18,6	14,8	26,7	02_62_C	Cluster 2	7,5	37,1	29,4	29,4
02_63_A	Cluster 2	1,5	20,4	16,7	11,5	21,7	02_63_A	Cluster 2	1,5	31,1	29,8	29,8
02_63_B	Cluster 2	4,5	20,8	16,3	11,1	21,3	02_63_B	Cluster 2	4,5	32,2	28,3	28,3
02_63_C	Cluster 2	7,5	24	19,9	14,6	24,9	02_63_C	Cluster 2	7,5	36,4	29,6	29,6
02_64_A	Cluster 2	1,5	20,5	16	11,2	21,2	02_64_A	Cluster 2	1,5	32,1	29,6	29,6
02_64_B	Cluster 2	4,5	20,3	17,7	11,2	22,7	02_64_B	Cluster 2	4,5	31,7	28,1	28,1
02_64_C	Cluster 2	7,5	22,5	19,6	13,7	24,6	02_64_C	Cluster 2	7,5	32,3	29,6	29,6
02_65_A	Cluster 2	1,5	21,5	20	13,5	25	02_65_A	Cluster 2	1,5	32,2	29	29
02_65_B	Cluster 2	4,5	20,9	18,3	11,6	23,3	02_65_B	Cluster 2	4,5	32,7	26	26
02_65_C	Cluster 2	7,5	23,2	18,9	12,7	23,9	02_65_C	Cluster 2	7,5	35,5	24,8	24,8
02_66_A	Cluster 2	1,5	19,9	16,9	11,1	21,9	02_66_A	Cluster 2	1,5	32,7	29	29
02_66_B	Cluster 2	4,5	20,6	12,7	7,2	20,6	02_66_B	Cluster 2	4,5	32,7	24	24
02_66_C	Cluster 2	7,5	22,9	13,1	8,3	22,9	02_66_C	Cluster 2	7,5	35,5	24,9	24,9
02_67_A	Cluster 2	1,5	22	18,7	12,2	23,7	02_67_A	Cluster 2	1,5	36,1	28,6	28,6
02_67_B	Cluster 2	4,5	19,9	9,5	5	19,9	02_67_B	Cluster 2	4,5	33,1	23,8	23,8
02_67_C	Cluster 2	7,5	22,5	13,7	9,4	22,5	02_67_C	Cluster 2	7,5	36,1	24,7	24,7
02_68_A	Cluster 2	1,5	18	16,3	10	21,3	02_68_A	Cluster 2	1,5	28,5	27,3	27,3
02_68_B	Cluster 2	4,5	18,9	9,4	5	18,9	02_68_B	Cluster 2	4,5	30,4	23,9	23,9
02_68_C	Cluster 2	7,5	20,1	13,2	7,9	20,1	02_68_C	Cluster 2	7,5	31,7	24,7	24,7
02_69_A	Cluster 2	1,5	17,2	12,8	8,1	18,1	02_69_A	Cluster 2	1,5	27,1	24,1	24,1
02_69_B	Cluster 2	4,5	17,3	9,9	5,6	17,3	02_69_B	Cluster 2	4,5	27,3	24,4	24,4
02_69_C	Cluster 2	7,5	20,6	14,9	10,3	20,6	02_69_C	Cluster 2	7,5	30,2	26,3	26,3

Bijlage IV-1 Rekenresultaten L_{Ar,LT} en L_{Amax} niet-wedstrijddag

Rekenresultaten L _{Ar,LT} niet-wedstrijddag							Rekenresultaten L _{Amax} niet-wedstrijddag					
Naam	Omschrijving	Hoogte	Dag	Avond	Nacht	Etmaal	Naam	Omschrijv	Hoogte	Dag	Avond	Nacht
02_70_A	Cluster 2	1,5	21,9	18,3	12,1	23,3	02_70_A	Cluster 2	1,5	35,3	29,3	29,3
02_70_B	Cluster 2	4,5	18,3	9,7	5,4	18,3	02_70_B	Cluster 2	4,5	28,9	26,3	26,3
02_70_C	Cluster 2	7,5	19	11,4	6,8	19	02_70_C	Cluster 2	7,5	30,2	30,2	30,2
02_71_A	Cluster 2	1,5	21,8	18,7	13	23,7	02_71_A	Cluster 2	1,5	34,1	28,5	28,5
02_71_B	Cluster 2	4,5	19,7	14,7	10	20	02_71_B	Cluster 2	4,5	31,5	24,8	24,8
02_72_A	Cluster 2	1,5	20,4	18	13,1	23,1	02_72_A	Cluster 2	1,5	34,6	32,6	32,6
02_72_B	Cluster 2	4,5	21,6	18,4	13,8	23,8	02_72_B	Cluster 2	4,5	36,2	33,1	33,1
02_73_A	Cluster 2	1,5	21,7	18	13,1	23,1	02_73_A	Cluster 2	1,5	35,7	32,5	32,5
02_73_B	Cluster 2	4,5	23,3	20	14,7	25	02_73_B	Cluster 2	4,5	36,9	34,8	34,8
02_73_C	Cluster 2	7,5	27,9	23,8	19	29	02_73_C	Cluster 2	7,5	39,6	38,2	38,2
02_73_D	Cluster 2	10,5	35,6	28,6	23,6	35,6	02_73_D	Cluster 2	10,5	45,7	40,8	40,8
02_74_A	Cluster 2	1,5	22,5	19,5	13,7	24,5	02_74_A	Cluster 2	1,5	34,7	32,4	32,4
02_74_B	Cluster 2	4,5	21,6	16,4	12	22	02_74_B	Cluster 2	4,5	32,2	32,2	32,2
02_74_C	Cluster 2	7,5	29,1	20,9	16,6	29,1	02_74_C	Cluster 2	7,5	38,7	35	35
02_74_D	Cluster 2	10,5	34,3	26,5	21,5	34,3	02_74_D	Cluster 2	10,5	44,1	41,7	41,7
02_75_A	Cluster 2	1,5	23	19,6	13,9	24,6	02_75_A	Cluster 2	1,5	34,5	32,8	32,8
02_75_B	Cluster 2	4,5	23,1	20,3	14,8	25,3	02_75_B	Cluster 2	4,5	34,4	34,4	34,4
02_75_C	Cluster 2	7,5	30,1	21	16,2	30,1	02_75_C	Cluster 2	7,5	40,1	36,9	36,9
02_75_D	Cluster 2	10,5	33,8	26	21	33,8	02_75_D	Cluster 2	10,5	43,7	43,6	43,6
02_76_A	Cluster 2	1,5	23,3	19,7	14,1	24,7	02_76_A	Cluster 2	1,5	34,6	32,3	32,3
02_76_B	Cluster 2	4,5	25	20,8	15,5	25,8	02_76_B	Cluster 2	4,5	35,9	34,1	34,1
02_76_C	Cluster 2	7,5	30,5	22,8	17,1	30,5	02_76_C	Cluster 2	7,5	40,7	37,8	37,8
02_76_D	Cluster 2	10,5	33,5	25,5	20,6	33,5	02_76_D	Cluster 2	10,5	43,7	43,3	43,3
02_77_A	Cluster 2	1,5	23,6	19,7	14,2	24,7	02_77_A	Cluster 2	1,5	34,5	32,1	32,1
02_77_B	Cluster 2	4,5	25,9	21	15,8	26	02_77_B	Cluster 2	4,5	35,8	34	34
02_77_C	Cluster 2	7,5	30,5	22,9	17,6	30,5	02_77_C	Cluster 2	7,5	40,6	39	39
02_77_D	Cluster 2	10,5	33,2	25,3	20,4	33,2	02_77_D	Cluster 2	10,5	43,4	43	43
02_78_A	Cluster 2	1,5	24,1	19,8	14,5	24,8	02_78_A	Cluster 2	1,5	34,6	31,8	31,8
02_78_B	Cluster 2	4,5	26,5	21,3	16,2	26,5	02_78_B	Cluster 2	4,5	35,9	33,6	33,6
02_78_C	Cluster 2	7,5	30,9	22,9	17,7	30,9	02_78_C	Cluster 2	7,5	41,5	36,3	36,3
02_78_D	Cluster 2	10,5	33,1	25,2	20,3	33,1	02_78_D	Cluster 2	10,5	43,3	39,7	39,7
02_79_A	Cluster 2	1,5	24,4	20,2	14,8	25,2	02_79_A	Cluster 2	1,5	34,6	31,6	31,6
02_79_B	Cluster 2	4,5	26,9	21,7	16,5	26,9	02_79_B	Cluster 2	4,5	35,9	33,6	33,6
02_79_C	Cluster 2	7,5	30,9	22,9	17,8	30,9	02_79_C	Cluster 2	7,5	41,2	35	35
02_79_D	Cluster 2	10,5	33	25,2	20,3	33	02_79_D	Cluster 2	10,5	43,1	39,2	39,2
02_80_A	Cluster 2	1,5	25,3	20,1	14,8	25,3	02_80_A	Cluster 2	1,5	37,1	31,7	31,7
02_80_B	Cluster 2	4,5	27,4	22,8	17	27,8	02_80_B	Cluster 2	4,5	36,3	33,6	33,6
02_80_C	Cluster 2	7,5	30,6	22,7	17,7	30,6	02_80_C	Cluster 2	7,5	40,9	34,2	34,2
02_80_D	Cluster 2	10,5	32,7	25,2	20,4	32,7	02_80_D	Cluster 2	10,5	42,9	39,1	39,1
02_81_A	Cluster 2	1,5	25,3	19,1	14,4	25,3	02_81_A	Cluster 2	1,5	37,1	32,7	32,7
02_81_B	Cluster 2	4,5	27,6	22,8	17,2	27,8	02_81_B	Cluster 2	4,5	36,5	33,5	33,5
02_81_C	Cluster 2	7,5	30,5	22,6	17,5	30,5	02_81_C	Cluster 2	7,5	40,7	33,4	33,4
02_81_D	Cluster 2	10,5	32,5	24,9	20,1	32,5	02_81_D	Cluster 2	10,5	42,7	38,6	38,6
02_82_A	Cluster 2	1,5	25,7	21,1	15,6	26,1	02_82_A	Cluster 2	1,5	35,9	32,6	32,6
02_82_B	Cluster 2	4,5	28	23,4	17,6	28,4	02_82_B	Cluster 2	4,5	37,3	33,3	33,3
02_82_C	Cluster 2	7,5	30,5	22,4	17,2	30,5	02_82_C	Cluster 2	7,5	40,8	32,9	32,9
02_82_D	Cluster 2	10,5	32,3	24,7	19,9	32,3	02_82_D	Cluster 2	10,5	42,5	38,1	38,1
02_83_A	Cluster 2	1,5	25,3	20,9	15,4	25,9	02_83_A	Cluster 2	1,5	35,6	31,5	31,5
02_83_B	Cluster 2	4,5	28,5	23,5	17,7	28,5	02_83_B	Cluster 2	4,5	37,7	33,2	33,2
02_83_C	Cluster 2	7,5	30,1	22,2	16,9	30,1	02_83_C	Cluster 2	7,5	41,8	32,1	32,1
02_83_D	Cluster 2	10,5	31,9	24	19,2	31,9	02_83_D	Cluster 2	10,5	42,1	36,5	36,5
02_84_A	Cluster 2	1,5	22	17,2	11,6	22,2	02_84_A	Cluster 2	1,5	33,6	28,7	28,7
02_84_B	Cluster 2	4,5	23,9	19,2	13,5	24,2	02_84_B	Cluster 2	4,5	34,5	30,1	30,1
02_84_C	Cluster 2	7,5	24,4	19,6	13,9	24,6	02_84_C	Cluster 2	7,5	36,4	33,9	33,9
02_84_D	Cluster 2	10,5	26	16,9	13,1	26	02_84_D	Cluster 2	10,5	37,2	26,6	26,6
02_85_A	Cluster 2	1,5	23,5	12,9	10,1	23,5	02_85_A	Cluster 2	1,5	37,1	24,1	24,7
02_85_B	Cluster 2	4,5	26,3	18,5	12,7	26,3	02_85_B	Cluster 2	4,5	37,6	24,6	24,6
02_85_C	Cluster 2	7,5	29,3	18,7	13,5	29,3	02_85_C	Cluster 2	7,5	42,7	22,5	25,1
02_85_D	Cluster 2	10,5	30	19	15	30	02_85_D	Cluster 2	10,5	41,7	29,5	29,5
02_86_A	Cluster 2	1,5	23,8	16,3	12	23,8	02_86_A	Cluster 2	1,5	35,4	28,8	28,8
02_86_B	Cluster 2	4,5	27,8	20,8	15,4	27,8	02_86_B	Cluster 2	4,5	39,2	30,6	30,6
02_86_C	Cluster 2	7,5	30,4	21,6	16,6	30,4	02_86_C	Cluster 2	7,5	41,6	31,6	31,6
02_87_A	Cluster 2	1,5	24	15,8	11,7	24	02_87_A	Cluster 2	1,5	35,7	30,6	30,6
02_87_B	Cluster 2	4,5	27,5	22	16,7	27,5	02_87_B	Cluster 2	4,5	37,8	33,4	33,4
02_87_C	Cluster 2	7,5	30,1	23,2	18,2	30,1	02_87_C	Cluster 2	7,5	42,6	34,3	34,3
02_88_A	Cluster 2	1,5	20,7	17	12,2	22,2	02_88_A	Cluster 2	1,5	32,2	29,7	29,7

Bijlage IV-1 Rekenresultaten $L_{Ar,LT}$ en L_{Amax} niet-wedstrijddag

Rekenresultaten $L_{Ar,LT}$ niet-wedstrijddag							Rekenresultaten L_{Amax} niet-wedstrijddag					
Naam	Omschrijving	Hoogte	Dag	Avond	Nacht	Etmaal	Naam	Omschrijv	Hoogte	Dag	Avond	Nacht
02_88_B	Cluster 2	4,5	23,2	21,8	15,9	26,8	02_88_B	Cluster 2	4,5	34,5	31,4	31,4
02_88_C	Cluster 2	7,5	26	23,3	17,9	28,3	02_88_C	Cluster 2	7,5	36,2	35,5	35,5
02_89_A	Cluster 2	1,5	24,9	18,4	13,3	24,9	02_89_A	Cluster 2	1,5	35,1	31,7	31,7
02_89_B	Cluster 2	4,5	28,1	23,6	17,6	28,6	02_89_B	Cluster 2	4,5	37,5	35,1	35,1
02_89_C	Cluster 2	7,5	31	24,4	19	31	02_89_C	Cluster 2	7,5	42,4	35,5	35,5
02_90_A	Cluster 2	1,5	24,7	18,1	13,2	24,7	02_90_A	Cluster 2	1,5	35,3	34	34
02_90_B	Cluster 2	4,5	28,1	23,5	17,5	28,5	02_90_B	Cluster 2	4,5	38	36	36
02_90_C	Cluster 2	7,5	30,8	23,3	18,2	30,8	02_90_C	Cluster 2	7,5	41,8	32,1	32,1
02_91_A	Cluster 2	1,5	25,3	17,6	12,6	25,3	02_91_A	Cluster 2	1,5	37,8	28,7	28,7
02_91_B	Cluster 2	4,5	28,4	23,4	17,2	28,4	02_91_B	Cluster 2	4,5	38,6	30,2	30,2
02_91_C	Cluster 2	7,5	31	23,8	18,8	31	02_91_C	Cluster 2	7,5	41,8	31,3	31,3
02_92_A	Cluster 2	1,5	24,6	16	12,1	24,6	02_92_A	Cluster 2	1,5	36,4	28,5	28,5
02_92_B	Cluster 2	4,5	28,3	22,3	16,8	28,3	02_92_B	Cluster 2	4,5	40,2	29,9	29,9
02_92_C	Cluster 2	7,5	31,5	23,9	19	31,5	02_92_C	Cluster 2	7,5	44,1	31	31
02_93_A	Cluster 2	1,5	25,2	17,1	12,7	25,2	02_93_A	Cluster 2	1,5	38	28,9	28,9
02_93_B	Cluster 2	4,5	27,4	22,5	17	27,5	02_93_B	Cluster 2	4,5	37,7	29,4	29,4
02_93_C	Cluster 2	7,5	30,6	24,3	19,3	30,6	02_93_C	Cluster 2	7,5	40,8	30,5	30,5
02_94_A	Cluster 2	1,5	23,4	15,1	11,4	23,4	02_94_A	Cluster 2	1,5	35,7	26,4	26,4
02_94_B	Cluster 2	4,5	26,6	22,8	17,3	27,8	02_94_B	Cluster 2	4,5	37,5	29,2	29,2
02_94_C	Cluster 2	7,5	30,6	24,8	19,7	30,6	02_94_C	Cluster 2	7,5	41,6	30,3	30,3
02_95_A	Cluster 2	1,5	22,1	15,9	12,1	22,1	02_95_A	Cluster 2	1,5	33,6	26,8	26,8
02_95_B	Cluster 2	4,5	25	23,1	17,9	28,1	02_95_B	Cluster 2	4,5	38,7	29	29
02_95_C	Cluster 2	7,5	30,1	24,7	19,5	30,1	02_95_C	Cluster 2	7,5	41,4	30,1	30,1
02_96_A	Cluster 2	1,5	20,8	14,5	11,1	21,1	02_96_A	Cluster 2	1,5	32,3	27,7	27,7
02_96_B	Cluster 2	4,5	23,6	20,1	15,7	25,7	02_96_B	Cluster 2	4,5	38,1	29	29
02_97_A	Cluster 2	1,5	19	13,2	9,5	19,5	02_97_A	Cluster 2	1,5	32,3	26,8	26,8
02_97_B	Cluster 2	4,5	21,5	16,6	12,3	22,3	02_97_B	Cluster 2	4,5	34,8	28,1	28,1
02_98_A	Cluster 2	1,5	16,3	12,6	8	18	02_98_A	Cluster 2	1,5	29,6	26,1	26,1
02_98_B	Cluster 2	4,5	20,9	16,4	12,2	22,2	02_98_B	Cluster 2	4,5	34,6	28,5	28,5
02_98_C	Cluster 2	7,5	24,9	23,8	18,5	28,8	02_98_C	Cluster 2	7,5	39,3	34,5	34,5
02_99_A	Cluster 2	1,5	20,1	17,1	12,7	22,7	02_99_A	Cluster 2	1,5	33,1	30,6	30,6
02_99_B	Cluster 2	4,5	22,4	21,4	16,6	26,6	02_99_B	Cluster 2	4,5	38,1	32,2	32,2
02_99_C	Cluster 2	7,5	30,4	26	21	31	02_99_C	Cluster 2	7,5	42,1	33,7	33,7
03_01_A	Cluster 3	1,5	20,6	13	10,3	20,6	03_01_A	Cluster 3	1,5	33,2	24,7	24,7
03_01_B	Cluster 3	4,5	21,3	13,6	10,9	21,3	03_01_B	Cluster 3	4,5	34,3	24,6	24,7
03_01_C	Cluster 3	7,5	25,4	19,7	15,3	25,4	03_01_C	Cluster 3	7,5	37,1	27,5	27,5
03_02_A	Cluster 3	1,5	26,8	7,5	16,3	26,8	03_02_A	Cluster 3	1,5	40,5	20,5	25,3
03_02_B	Cluster 3	4,5	27,1	7,2	15,8	27,1	03_02_B	Cluster 3	4,5	40,8	20,7	25,3
03_02_C	Cluster 3	7,5	28,3	10,7	16,1	28,3	03_02_C	Cluster 3	7,5	40,7	20,9	25,5
03_03_A	Cluster 3	1,5	24,3	9,8	10,1	24,3	03_03_A	Cluster 3	1,5	37,9	26,9	26,9
03_03_B	Cluster 3	4,5	24,9	7,8	9,6	24,9	03_03_B	Cluster 3	4,5	38,2	20,8	25,3
03_03_C	Cluster 3	7,5	26,8	11,1	11,8	26,8	03_03_C	Cluster 3	7,5	38,5	21,1	25,7
03_04_A	Cluster 3	1,5	27,7	12,5	16,4	27,7	03_04_A	Cluster 3	1,5	41,4	27,3	27,3
03_04_B	Cluster 3	4,5	28,2	10,6	16,7	28,2	03_04_B	Cluster 3	4,5	42	21,2	25,4
03_04_C	Cluster 3	7,5	29,3	11,8	16,7	29,3	03_04_C	Cluster 3	7,5	41,1	21,3	26,4
03_05_A	Cluster 3	1,5	28,7	12,5	17,9	28,7	03_05_A	Cluster 3	1,5	43,4	25,1	25,3
03_05_B	Cluster 3	4,5	29,3	12,2	18,5	29,3	03_05_B	Cluster 3	4,5	44	21,3	25,4
03_06_A	Cluster 3	1,5	27,7	11,4	16	27,7	03_06_A	Cluster 3	1,5	41	21,3	25,6
03_06_B	Cluster 3	4,5	28,4	11,5	16,6	28,4	03_06_B	Cluster 3	4,5	41,7	21,5	25,6
03_07_A	Cluster 3	1,5	27,8	13	15,4	27,8	03_07_A	Cluster 3	1,5	41,1	28,9	28,9
03_07_B	Cluster 3	4,5	28,6	13,1	16	28,6	03_07_B	Cluster 3	4,5	41,7	27,1	28,8
03_08_A	Cluster 3	1,5	25,1	12,1	11,8	25,1	03_08_A	Cluster 3	1,5	38,4	28,5	28,5
03_08_B	Cluster 3	4,5	25,9	12,5	12,1	25,9	03_08_B	Cluster 3	4,5	38,6	26,6	26,6
03_09_A	Cluster 3	1,5	21,8	9,5	8,9	21,8	03_09_A	Cluster 3	1,5	36,2	24,8	24,8
03_09_B	Cluster 3	4,5	22,9	11,2	9,9	22,9	03_09_B	Cluster 3	4,5	35,7	26,5	26,5
03_09_C	Cluster 3	7,5	29,4	22	16,9	29,4	03_09_C	Cluster 3	7,5	40,4	34,8	34,8
03_10_A	Cluster 3	1,5	20,5	8,6	7,8	20,5	03_10_A	Cluster 3	1,5	34,6	24,1	24,1
03_10_B	Cluster 3	4,5	21,8	11,3	9,3	21,8	03_10_B	Cluster 3	4,5	33,8	25,5	25,5
03_10_C	Cluster 3	7,5	30,3	22,2	17,5	30,3	03_10_C	Cluster 3	7,5	40,4	31	31
03_11_A	Cluster 3	1,5	19,4	9,5	7,1	19,4	03_11_A	Cluster 3	1,5	32,6	25,4	25,4
03_11_B	Cluster 3	4,5	20,9	11,9	8,8	20,9	03_11_B	Cluster 3	4,5	32,6	26,9	26,9
03_11_C	Cluster 3	7,5	30,3	22,2	17,3	30,3	03_11_C	Cluster 3	7,5	40,5	31,1	31,1
03_12_A	Cluster 3	1,5	18,5	8,4	5,9	18,5	03_12_A	Cluster 3	1,5	29,6	22,4	22,4
03_12_B	Cluster 3	4,5	20,4	11,1	7,9	20,4	03_12_B	Cluster 3	4,5	31,8	23,8	23,8
03_12_C	Cluster 3	7,5	29,6	22,2	16,7	29,6	03_12_C	Cluster 3	7,5	40,4	28,9	28,9
03_13_A	Cluster 3	1,5	18,3	9	5,9	18,3	03_13_A	Cluster 3	1,5	28,6	22,8	22,8

Bijlage IV-1 Rekenresultaten L_{Ar,LT} en L_{Amax} niet-wedstrijddag

Rekenresultaten L _{Ar,LT} niet-wedstrijddag							Rekenresultaten L _{Amax} niet-wedstrijddag					
Naam	Omschrijving	Hoogte	Dag	Avond	Nacht	Etmaal	Naam	Omschrijv	Hoogte	Dag	Avond	Nacht
03_13_B	Cluster 3	4,5	20,2	11,6	7,8	20,2	03_13_B	Cluster 3	4,5	30,5	24,2	24,2
03_13_C	Cluster 3	7,5	29,2	22,4	16,6	29,2	03_13_C	Cluster 3	7,5	39,5	29,6	29,6
03_14_A	Cluster 3	1,5	18,1	9,3	5,9	18,1	03_14_A	Cluster 3	1,5	28,1	23	23
03_14_B	Cluster 3	4,5	19,9	12,4	8,1	19,9	03_14_B	Cluster 3	4,5	29,7	24,5	24,5
03_14_C	Cluster 3	7,5	29,3	22,6	17	29,3	03_14_C	Cluster 3	7,5	38,7	30,2	30,2
03_15_A	Cluster 3	1,5	18	9,7	6	18	03_15_A	Cluster 3	1,5	26,9	22,9	22,9
03_15_B	Cluster 3	4,5	20	12,2	8,1	20	03_15_B	Cluster 3	4,5	30,1	24,3	24,3
03_15_C	Cluster 3	7,5	29,7	23	17,4	29,7	03_15_C	Cluster 3	7,5	38,5	29,8	29,8
03_16_A	Cluster 3	1,5	18,2	9,7	6,1	18,2	03_16_A	Cluster 3	1,5	27,9	22,9	22,9
03_16_B	Cluster 3	4,5	20,1	12,4	8,3	20,1	03_16_B	Cluster 3	4,5	31	24,4	24,4
03_16_C	Cluster 3	7,5	30,1	23,2	17,7	30,1	03_16_C	Cluster 3	7,5	38,8	29,9	29,9
03_17_A	Cluster 3	1,5	18,3	10,7	6,3	18,3	03_17_A	Cluster 3	1,5	28,6	23,4	23,4
03_17_B	Cluster 3	4,5	20,4	14	8,8	20,4	03_17_B	Cluster 3	4,5	31,7	24,8	24,8
03_17_C	Cluster 3	7,5	30,6	24,5	18,3	30,6	03_17_C	Cluster 3	7,5	41,2	30,7	30,7
03_18_A	Cluster 3	1,5	19,3	11,4	7,2	19,3	03_18_A	Cluster 3	1,5	31,2	24,4	24,4
03_18_B	Cluster 3	4,5	21	13,6	9,1	21	03_18_B	Cluster 3	4,5	32,9	25,9	25,9
03_18_C	Cluster 3	7,5	30,9	24	18,2	30,9	03_18_C	Cluster 3	7,5	42	32,6	32,6
03_19_A	Cluster 3	1,5	20,1	12,1	7,8	20,1	03_19_A	Cluster 3	1,5	31	24,9	24,9
03_19_B	Cluster 3	4,5	21,4	15,3	10	21,4	03_19_B	Cluster 3	4,5	32,7	26,3	26,3
03_19_C	Cluster 3	7,5	31,1	24,8	18,7	31,1	03_19_C	Cluster 3	7,5	41,5	33,1	33,1
03_20_A	Cluster 3	1,5	20,7	15,8	10,2	20,8	03_20_A	Cluster 3	1,5	31,7	31,7	31,7
03_20_B	Cluster 3	4,5	22,1	17,6	11,8	22,6	03_20_B	Cluster 3	4,5	32,2	28,9	28,9
03_20_C	Cluster 3	7,5	31	24,7	18,3	31	03_20_C	Cluster 3	7,5	41,1	32,6	32,6
03_21_A	Cluster 3	1,5	24,4	23,4	15,8	28,4	03_21_A	Cluster 3	1,5	36,6	31,3	31,3
03_21_B	Cluster 3	4,5	24,7	23,6	16,2	28,6	03_21_B	Cluster 3	4,5	37,7	30,6	30,6
03_21_C	Cluster 3	7,5	28,2	24,9	17,2	29,9	03_21_C	Cluster 3	7,5	42,6	32,3	32,3
03_22_A	Cluster 3	1,5	23,5	23,1	15,6	28,1	03_22_A	Cluster 3	1,5	35,6	31	31
03_22_B	Cluster 3	4,5	24	23,2	15,8	28,2	03_22_B	Cluster 3	4,5	37	30,7	30,7
03_22_C	Cluster 3	7,5	24,8	21,9	15,5	26,9	03_22_C	Cluster 3	7,5	38	35	35
03_23_A	Cluster 3	1,5	24,6	25,3	17,4	30,3	03_23_A	Cluster 3	1,5	36,6	32,2	32,2
03_23_B	Cluster 3	4,5	25,2	25,7	17,8	30,7	03_23_B	Cluster 3	4,5	37,9	31,8	31,8
03_23_C	Cluster 3	7,5	26,2	25,2	18,1	30,2	03_23_C	Cluster 3	7,5	39,1	32,3	32,3
03_24_A	Cluster 3	1,5	24	25,2	17,2	30,2	03_24_A	Cluster 3	1,5	36,6	31,5	31,5
03_24_B	Cluster 3	4,5	25	25,7	17,8	30,7	03_24_B	Cluster 3	4,5	38	31,9	31,9
03_24_C	Cluster 3	7,5	26,9	25,3	18,5	30,3	03_24_C	Cluster 3	7,5	40,9	31,9	31,9
03_25_A	Cluster 3	1,5	23,7	23,2	15,7	28,2	03_25_A	Cluster 3	1,5	36,8	31,5	31,5
03_25_B	Cluster 3	4,5	24,8	24,1	16,6	29,1	03_25_B	Cluster 3	4,5	38,1	32	32
03_25_C	Cluster 3	7,5	27,5	25,5	18,7	30,5	03_25_C	Cluster 3	7,5	42,3	31,5	31,5
03_26_A	Cluster 3	1,5	23,8	21,9	14,8	26,9	03_26_A	Cluster 3	1,5	37,2	31,6	31,6
03_26_B	Cluster 3	4,5	24,9	23	16,1	28	03_26_B	Cluster 3	4,5	37,7	32,3	32,3
03_26_C	Cluster 3	7,5	28,4	25,4	18,7	30,4	03_26_C	Cluster 3	7,5	43,6	31,1	31,1
03_27_A	Cluster 3	1,5	23,8	21,6	14,4	26,6	03_27_A	Cluster 3	1,5	37,3	30,6	30,6
03_27_B	Cluster 3	4,5	24,8	22,9	16,1	27,9	03_27_B	Cluster 3	4,5	37,7	32,2	32,2
03_27_C	Cluster 3	7,5	28,8	26,3	19,6	31,3	03_27_C	Cluster 3	7,5	43,7	35,5	35,5
03_28_A	Cluster 3	1,5	24	22,2	15,2	27,2	03_28_A	Cluster 3	1,5	37	29,1	29,1
03_28_B	Cluster 3	4,5	25	24,6	17,4	29,6	03_28_B	Cluster 3	4,5	38,6	31,1	31,1
03_28_C	Cluster 3	7,5	28,9	27,5	20,5	32,5	03_28_C	Cluster 3	7,5	43,6	35,2	35,2
03_29_A	Cluster 3	1,5	23,9	22	15	27	03_29_A	Cluster 3	1,5	36,4	30,4	30,4
03_29_B	Cluster 3	4,5	24,9	24,2	17,2	29,2	03_29_B	Cluster 3	4,5	38	32,2	32,2
03_29_C	Cluster 3	7,5	28,9	27,4	20,5	32,4	03_29_C	Cluster 3	7,5	43,4	36,2	36,2
03_30_A	Cluster 3	1,5	24,4	21,2	14,6	26,2	03_30_A	Cluster 3	1,5	38,9	29,1	29,1
03_30_B	Cluster 3	4,5	26,2	25,2	18,1	30,2	03_30_B	Cluster 3	4,5	39,9	30,5	30,5
03_30_C	Cluster 3	7,5	28,7	26,8	20,1	31,8	03_30_C	Cluster 3	7,5	43	34,5	34,5
03_31_A	Cluster 3	1,5	19,7	13,7	9,5	19,7	03_31_A	Cluster 3	1,5	30,7	25,5	25,5
03_31_B	Cluster 3	4,5	22,9	17,6	12,6	22,9	03_31_B	Cluster 3	4,5	34	27,1	27,1
03_31_C	Cluster 3	7,5	25,6	22,2	16,2	27,2	03_31_C	Cluster 3	7,5	34,9	30,8	30,8
03_32_A	Cluster 3	1,5	21,6	16,3	10,7	21,6	03_32_A	Cluster 3	1,5	34,2	28,7	28,7
03_32_B	Cluster 3	4,5	24,3	22,3	15	27,3	03_32_B	Cluster 3	4,5	36,6	30,2	30,2
03_32_C	Cluster 3	7,5	29,7	25,7	19	30,7	03_32_C	Cluster 3	7,5	43,2	35,3	35,3
03_33_A	Cluster 3	1,5	18,4	12,7	6,8	18,4	03_33_A	Cluster 3	1,5	31,5	26,5	26,5
03_33_B	Cluster 3	4,5	20,7	19,7	12,5	24,7	03_33_B	Cluster 3	4,5	33,4	27,7	27,7
03_33_C	Cluster 3	7,5	25,3	21,6	15,7	26,6	03_33_C	Cluster 3	7,5	36	31,7	31,7
03_34_A	Cluster 3	1,5	16,9	12,3	7	17,3	03_34_A	Cluster 3	1,5	26,6	26,2	26,2
03_34_B	Cluster 3	4,5	19	15,4	9,7	20,4	03_34_B	Cluster 3	4,5	29,4	28,2	28,2
03_34_C	Cluster 3	7,5	26,3	22,3	16,4	27,3	03_34_C	Cluster 3	7,5	36,8	29,8	29,8
03_35_A	Cluster 3	1,5	17	10,2	6,2	17	03_35_A	Cluster 3	1,5	26,6	21,2	21,2

Bijlage IV-1 Rekenresultaten $L_{Ar,LT}$ en L_{Amax} niet-wedstrijddag

Rekenresultaten $L_{Ar,LT}$ niet-wedstrijddag							Rekenresultaten L_{Amax} niet-wedstrijddag					
Naam	Omschrijving	Hoogte	Dag	Avond	Nacht	Etmaal	Naam	Omschrijv	Hoogte	Dag	Avond	Nacht
03_35_B	Cluster 3	4,5	18,9	14	8,3	19	03_35_B	Cluster 3	4,5	29,4	21,6	21,6
03_35_C	Cluster 3	7,5	26,1	21	14,8	26,1	03_35_C	Cluster 3	7,5	38,5	23,1	25,1
03_36_A	Cluster 3	1,5	18,1	10,4	7,1	18,1	03_36_A	Cluster 3	1,5	29,4	21	21
03_36_B	Cluster 3	4,5	19	12,7	8,2	19	03_36_B	Cluster 3	4,5	30,8	25,1	25,1
03_36_C	Cluster 3	7,5	26,2	20,1	15,2	26,2	03_36_C	Cluster 3	7,5	38,8	29,5	29,5
03_37_A	Cluster 3	1,5	17,9	10,6	6,9	17,9	03_37_A	Cluster 3	1,5	29,4	24,6	24,6
03_37_B	Cluster 3	4,5	18,4	12,6	7,8	18,4	03_37_B	Cluster 3	4,5	29,4	24,2	24,2
03_37_C	Cluster 3	7,5	25,7	20,3	15,3	25,7	03_37_C	Cluster 3	7,5	38,8	29,8	29,8
03_38_A	Cluster 3	1,5	16,3	10	5,3	16,3	03_38_A	Cluster 3	1,5	27,1	24,5	24,5
03_38_B	Cluster 3	4,5	16,3	11,8	6,1	16,8	03_38_B	Cluster 3	4,5	27,3	23,7	23,7
03_38_C	Cluster 3	7,5	22,2	19,7	13,6	24,7	03_38_C	Cluster 3	7,5	34,1	30,2	30,2
03_39_A	Cluster 3	1,5	16,8	5,7	5,4	16,8	03_39_A	Cluster 3	1,5	33,6	23,8	24,9
03_39_B	Cluster 3	4,5	14,4	8	4,2	14,4	03_39_B	Cluster 3	4,5	24,5	23,5	23,5
03_39_C	Cluster 3	7,5	19,6	15,8	11,5	21,5	03_39_C	Cluster 3	7,5	34,2	30	30
03_40_A	Cluster 3	1,5	20	4,2	6,5	20	03_40_A	Cluster 3	1,5	34,5	18,2	18,2
03_40_B	Cluster 3	4,5	13,9	4,8	2	13,9	03_40_B	Cluster 3	4,5	22,8	18,1	18,1
03_40_C	Cluster 3	7,5	18,1	8,7	5,4	18,1	03_40_C	Cluster 3	7,5	29,7	18,1	18,1
03_41_A	Cluster 3	1,5	20,9	4,2	6,5	20,9	03_41_A	Cluster 3	1,5	33,5	18,1	18,1
03_41_B	Cluster 3	4,5	14	4,5	2	14	03_41_B	Cluster 3	4,5	23,5	18	18
03_41_C	Cluster 3	7,5	18	8,5	5,2	18	03_41_C	Cluster 3	7,5	29,7	18	18,4
03_42_A	Cluster 3	1,5	21,5	4,2	12,8	22,8	03_42_A	Cluster 3	1,5	34,8	18	18
03_42_B	Cluster 3	4,5	14,5	4,6	2,5	14,5	03_42_B	Cluster 3	4,5	24,3	17,9	17,9
03_42_C	Cluster 3	7,5	17	7	4,3	17	03_42_C	Cluster 3	7,5	28,7	17,9	19
03_43_A	Cluster 3	1,5	26,8	10,1	16,8	26,8	03_43_A	Cluster 3	1,5	40,6	17,8	24,9
03_43_B	Cluster 3	4,5	27	10,4	16,1	27	03_43_B	Cluster 3	4,5	40,7	17,9	25,1
03_43_C	Cluster 3	7,5	28,5	11,6	16,5	28,5	03_43_C	Cluster 3	7,5	40,6	18,1	25,6
03_44_A	Cluster 3	1,5	27,4	12,3	17,6	27,6	03_44_A	Cluster 3	1,5	42,1	28,2	28,2
03_44_B	Cluster 3	4,5	27,9	11,7	17,9	27,9	03_44_B	Cluster 3	4,5	42,6	18,1	25,2
03_44_C	Cluster 3	7,5	29,2	13,9	18,2	29,2	03_44_C	Cluster 3	7,5	42,4	18,4	25,5
03_45_A	Cluster 3	1,5	26,6	12,4	16,3	26,6	03_45_A	Cluster 3	1,5	40,1	28,5	28,5
03_45_B	Cluster 3	4,5	26,8	11	15,9	26,8	03_45_B	Cluster 3	4,5	40,2	18,2	25,5
03_45_C	Cluster 3	7,5	28,5	13,2	16,4	28,5	03_45_C	Cluster 3	7,5	40,1	18,6	25,5
03_46_A	Cluster 3	1,5	26,7	11,5	16,7	26,7	03_46_A	Cluster 3	1,5	40,1	25	25,5
03_46_B	Cluster 3	4,5	26,9	10,6	16,1	26,9	03_46_B	Cluster 3	4,5	40,4	18,4	25,4
03_46_C	Cluster 3	7,5	28,6	13,1	16,5	28,6	03_46_C	Cluster 3	7,5	40,3	18,8	25,5
03_47_A	Cluster 3	1,5	18,2	9,1	6,9	18,2	03_47_A	Cluster 3	1,5	31,8	20,7	21,1
03_47_B	Cluster 3	4,5	19,3	10	7,6	19,3	03_47_B	Cluster 3	4,5	32,3	21,2	21,5
03_47_C	Cluster 3	7,5	25,5	16,5	13	25,5	03_47_C	Cluster 3	7,5	36,6	24,8	24,8
03_48_A	Cluster 3	1,5	22,1	11,9	9,7	22,1	03_48_A	Cluster 3	1,5	35,8	26,4	26,4
03_48_B	Cluster 3	4,5	23,6	16	11,8	23,6	03_48_B	Cluster 3	4,5	35,3	28,3	28,3
03_48_C	Cluster 3	7,5	26,3	20,8	16,2	26,3	03_48_C	Cluster 3	7,5	37	31,3	31,3
03_49_A	Cluster 3	1,5	21,7	13,9	10	21,7	03_49_A	Cluster 3	1,5	35,4	27,5	27,5
03_49_B	Cluster 3	4,5	23,8	19	13,3	24	03_49_B	Cluster 3	4,5	36,9	29,4	29,4
03_49_C	Cluster 3	7,5	26,4	18,9	14,9	26,4	03_49_C	Cluster 3	7,5	37,5	31,8	31,8
03_50_A	Cluster 3	1,5	18,8	11,2	7,5	18,8	03_50_A	Cluster 3	1,5	30,7	24,9	24,9
03_50_B	Cluster 3	4,5	20,7	14,7	9,4	20,7	03_50_B	Cluster 3	4,5	31,1	26,6	26,6
03_50_C	Cluster 3	7,5	28,1	19	13,7	28,1	03_50_C	Cluster 3	7,5	40,4	28,4	28,4
03_51_A	Cluster 3	1,5	19,2	14,8	9,5	19,8	03_51_A	Cluster 3	1,5	30,1	26,1	26,1
03_51_B	Cluster 3	4,5	20,6	15,1	10,9	20,9	03_51_B	Cluster 3	4,5	33,1	29,6	29,6
03_52_A	Cluster 3	1,5	20,5	10,7	9,4	20,5	03_52_A	Cluster 3	1,5	34,4	27,1	27,1
03_52_B	Cluster 3	4,5	21,4	18,2	12,8	23,2	03_52_B	Cluster 3	4,5	34,7	28,4	28,4
03_53_A	Cluster 3	1,5	22,5	15,7	11,6	22,5	03_53_A	Cluster 3	1,5	35,2	26,5	26,5
03_53_B	Cluster 3	4,5	23,1	18,9	13,7	23,9	03_53_B	Cluster 3	4,5	36	28,2	28,2
03_53_C	Cluster 3	7,5	19,9	18,9	13	23,9	03_53_C	Cluster 3	7,5	33,3	29,7	29,7
03_54_A	Cluster 3	1,5	22,1	9,6	10,6	22,1	03_54_A	Cluster 3	1,5	35,9	21,3	26,1
03_54_B	Cluster 3	4,5	23,1	10,3	11,4	23,1	03_54_B	Cluster 3	4,5	36,2	21,5	25,6
03_54_C	Cluster 3	7,5	24,2	13,1	9,5	24,2	03_54_C	Cluster 3	7,5	36	21,7	21,7
03_55_A	Cluster 3	1,5	21,9	13,7	11	21,9	03_55_A	Cluster 3	1,5	33,8	25,5	26,2
03_55_B	Cluster 3	4,5	23,6	18,9	14	24	03_55_B	Cluster 3	4,5	38	28,1	28,1
03_55_C	Cluster 3	7,5	21,7	19,2	13,3	24,2	03_55_C	Cluster 3	7,5	33,3	29,5	29,5
03_56_A	Cluster 3	1,5	20,5	11,7	9,6	20,5	03_56_A	Cluster 3	1,5	32,1	25,9	25,9
03_56_B	Cluster 3	4,5	23	19	13,3	24	03_56_B	Cluster 3	4,5	36,1	27,9	27,9
03_56_C	Cluster 3	7,5	21,5	18,5	12,2	23,5	03_56_C	Cluster 3	7,5	31,7	29	29
03_57_A	Cluster 3	1,5	21,6	13,7	9,9	21,6	03_57_A	Cluster 3	1,5	34,8	23,5	23,5
03_57_B	Cluster 3	4,5	23,3	19,1	13,2	24,1	03_57_B	Cluster 3	4,5	35,8	26,7	26,7
03_57_C	Cluster 3	7,5	21,8	17,6	10,6	22,6	03_57_C	Cluster 3	7,5	32,8	19,8	19,8

Bijlage IV-1 Rekenresultaten $L_{Ar,LT}$ en L_{Amax} niet-wedstrijddag

Rekenresultaten $L_{Ar,LT}$ niet-wedstrijddag							Rekenresultaten L_{Amax} niet-wedstrijddag					
Naam	Omschrijving	Hoogte	Dag	Avond	Nacht	Etmaal	Naam	Omschrijv	Hoogte	Dag	Avond	Nacht
03_58_A	Cluster 3	1,5	20,1	13,1	9,6	20,1	03_58_A	Cluster 3	1,5	29,4	26,6	26,6
03_58_B	Cluster 3	4,5	23	19,6	13,5	24,6	03_58_B	Cluster 3	4,5	34,3	28,6	28,6
03_58_C	Cluster 3	7,5	22,7	19,9	12,9	24,9	03_58_C	Cluster 3	7,5	34,1	19,9	19,9
03_59_A	Cluster 3	1,5	21,2	12,8	9,5	21,2	03_59_A	Cluster 3	1,5	32,4	29,2	29,2
03_59_B	Cluster 3	4,5	23	21,5	14,6	26,5	03_59_B	Cluster 3	4,5	33,5	28,9	28,9
03_59_C	Cluster 3	7,5	23,6	9,5	9,7	23,6	03_59_C	Cluster 3	7,5	37,7	20	20
03_60_A	Cluster 3	1,5	20,9	14,9	10,3	20,9	03_60_A	Cluster 3	1,5	32	28,6	28,6
03_60_B	Cluster 3	4,5	23,5	21,7	14,5	26,7	03_60_B	Cluster 3	4,5	34	26,7	26,7
03_60_C	Cluster 3	7,5	24,5	10	10,3	24,5	03_60_C	Cluster 3	7,5	37,7	20	20
03_61_A	Cluster 3	1,5	22,5	15,9	10,3	22,5	03_61_A	Cluster 3	1,5	39,3	28,4	28,4
03_61_B	Cluster 3	4,5	24,6	20,7	13,9	25,7	03_61_B	Cluster 3	4,5	35,7	28,1	28,1
03_61_C	Cluster 3	7,5	24,3	10,5	10,9	24,3	03_61_C	Cluster 3	7,5	37,6	20,1	20,1
03_62_A	Cluster 3	1,5	21,2	17,4	11,6	22,4	03_62_A	Cluster 3	1,5	30,4	25	25
03_62_B	Cluster 3	4,5	24,6	20,6	13,8	25,6	03_62_B	Cluster 3	4,5	35,2	26,4	26,4
03_62_C	Cluster 3	7,5	24,2	12,6	11,1	24,2	03_62_C	Cluster 3	7,5	36,5	20,2	23
03_63_A	Cluster 3	1,5	20,2	18,1	11,5	23,1	03_63_A	Cluster 3	1,5	32,9	27,8	27,8
03_63_B	Cluster 3	4,5	24,2	21,5	14,2	26,5	03_63_B	Cluster 3	4,5	34,4	27,4	27,4
03_63_C	Cluster 3	7,5	23	10	9,3	23	03_63_C	Cluster 3	7,5	34,1	20,5	24,7
03_64_A	Cluster 3	1,5	21,4	14,6	9,5	21,4	03_64_A	Cluster 3	1,5	34	26,8	26,8
03_64_B	Cluster 3	4,5	23,6	17,5	11,6	23,6	03_64_B	Cluster 3	4,5	36,5	26,7	26,7
03_64_C	Cluster 3	7,5	26,1	22,8	15,6	27,8	03_64_C	Cluster 3	7,5	39,5	29,2	29,2
03_65_A	Cluster 3	1,5	19,6	12,5	7,9	19,6	03_65_A	Cluster 3	1,5	30,8	30,8	30,8
03_65_B	Cluster 3	4,5	20,7	16,1	9,8	21,1	03_65_B	Cluster 3	4,5	31,6	21,2	22,8
03_65_C	Cluster 3	7,5	27	18	12,9	27	03_65_C	Cluster 3	7,5	37,9	22,4	25,7
03_66_A	Cluster 3	1,5	19,4	12,7	8,3	19,4	03_66_A	Cluster 3	1,5	31,8	31,8	31,8
03_66_B	Cluster 3	4,5	21,1	15,9	10,1	21,1	03_66_B	Cluster 3	4,5	32	23,3	23,3
03_66_C	Cluster 3	7,5	29	21,4	15,4	29	03_66_C	Cluster 3	7,5	38,8	21,7	26,5
03_67_A	Cluster 3	1,5	18	10,6	6,1	18	03_67_A	Cluster 3	1,5	27,7	24,7	24,7
03_67_B	Cluster 3	4,5	20	13,9	8,5	20	03_67_B	Cluster 3	4,5	29,7	24,5	24,5
03_67_C	Cluster 3	7,5	29,4	21,7	15,7	29,4	03_67_C	Cluster 3	7,5	38,7	28	28
03_68_A	Cluster 3	1,5	20,9	10,8	7,9	20,9	03_68_A	Cluster 3	1,5	33,3	30,1	30,1
03_68_B	Cluster 3	4,5	23,4	16,9	11,1	23,4	03_68_B	Cluster 3	4,5	34	20,6	22
03_68_C	Cluster 3	7,5	29,5	20,1	14,8	29,5	03_68_C	Cluster 3	7,5	39,5	21,7	25,8
03_69_A	Cluster 3	1,5	20,8	10,4	7,6	20,8	03_69_A	Cluster 3	1,5	32,4	27,4	27,4
03_69_B	Cluster 3	4,5	23,5	17,9	11,5	23,5	03_69_B	Cluster 3	4,5	36,6	20	22,6
03_69_C	Cluster 3	7,5	29,4	18,7	14	29,4	03_69_C	Cluster 3	7,5	40,4	21	25,5
03_70_A	Cluster 3	1,5	21,3	12,6	8,1	21,3	03_70_A	Cluster 3	1,5	35,1	25,9	25,9
03_70_B	Cluster 3	4,5	23,9	18,4	11,8	23,9	03_70_B	Cluster 3	4,5	36,7	19,7	21,9
03_70_C	Cluster 3	7,5	29,9	21	14,9	29,9	03_70_C	Cluster 3	7,5	40,7	20,7	25,5
03_71_A	Cluster 3	1,5	21,4	13	8,4	21,4	03_71_A	Cluster 3	1,5	34,9	24,8	24,8
03_71_B	Cluster 3	4,5	24,1	19	12,2	24,1	03_71_B	Cluster 3	4,5	36,7	19,5	19,5
03_71_C	Cluster 3	7,5	30,6	21,1	15,6	30,6	03_71_C	Cluster 3	7,5	40,6	20,5	23,7
03_72_A	Cluster 3	1,5	21,8	13,8	9,1	21,8	03_72_A	Cluster 3	1,5	35	24,1	24,1
03_72_B	Cluster 3	4,5	24,4	19,2	12,5	24,4	03_72_B	Cluster 3	4,5	36,9	19,4	21,8
03_72_C	Cluster 3	7,5	30,6	21,2	15,9	30,6	03_72_C	Cluster 3	7,5	40,5	20,4	27,3
03_73_A	Cluster 3	1,5	22	12,5	9,2	22	03_73_A	Cluster 3	1,5	33,3	29,1	29,1
03_73_B	Cluster 3	4,5	24,9	19,2	12,9	24,9	03_73_B	Cluster 3	4,5	36,5	22,2	22,2
03_73_C	Cluster 3	7,5	30,8	21,9	16,3	30,8	03_73_C	Cluster 3	7,5	40,4	33,3	33,3
03_74_A	Cluster 3	1,5	21,7	11,7	8,8	21,7	03_74_A	Cluster 3	1,5	31,8	28,8	28,8
03_74_B	Cluster 3	4,5	24,6	16,9	11,6	24,6	03_74_B	Cluster 3	4,5	35,3	19,2	21,2
03_74_C	Cluster 3	7,5	30,5	20,5	15,5	30,5	03_74_C	Cluster 3	7,5	39,1	20,5	26,2
03_75_A	Cluster 3	1,5	20,1	12,5	8,2	20,1	03_75_A	Cluster 3	1,5	31,1	25	25
03_75_B	Cluster 3	4,5	22,7	16,5	11,1	22,7	03_75_B	Cluster 3	4,5	33,1	26,8	26,8
03_75_C	Cluster 3	7,5	30,6	24,5	18,3	30,6	03_75_C	Cluster 3	7,5	40,6	31,5	31,5
03_76_A	Cluster 3	1,5	20,2	12,7	8,6	20,2	03_76_A	Cluster 3	1,5	34,8	24,4	24,7
03_76_B	Cluster 3	4,5	22,2	16,5	11	22,2	03_76_B	Cluster 3	4,5	32,7	26,2	26,2
03_76_C	Cluster 3	7,5	30,4	24,6	18,5	30,4	03_76_C	Cluster 3	7,5	41,1	31,4	31,4
03_77_A	Cluster 3	1,5	19,7	10,8	7,6	19,7	03_77_A	Cluster 3	1,5	32	23,7	23,7
03_77_B	Cluster 3	4,5	21,9	14,2	10	21,9	03_77_B	Cluster 3	4,5	31,9	25,5	25,5
03_77_C	Cluster 3	7,5	30	22,6	17,7	30	03_77_C	Cluster 3	7,5	38,6	32	32
03_78_A	Cluster 3	1,5	19,9	10,2	7,9	19,9	03_78_A	Cluster 3	1,5	33,1	23,5	23,5
03_78_B	Cluster 3	4,5	22	13,8	9,8	22	03_78_B	Cluster 3	4,5	32,8	25,3	25,3
03_78_C	Cluster 3	7,5	29,9	22,2	17,3	29,9	03_78_C	Cluster 3	7,5	38,6	31,9	31,9
03_79_A	Cluster 3	1,5	20,3	10,3	7,9	20,3	03_79_A	Cluster 3	1,5	33,4	23,5	23,5
03_79_B	Cluster 3	4,5	22,5	13,7	10,1	22,5	03_79_B	Cluster 3	4,5	34,3	25,3	25,3
03_79_C	Cluster 3	7,5	30,3	22,1	17,3	30,3	03_79_C	Cluster 3	7,5	41,2	32,1	32,1

Bijlage IV-1 Rekenresultaten $L_{Ar,LT}$ en L_{Amax} niet-wedstrijddag

Rekenresultaten $L_{Ar,LT}$ niet-wedstrijddag							Rekenresultaten L_{Amax} niet-wedstrijddag					
Naam	Omschrijving	Hoogte	Dag	Avond	Nacht	Etmaal	Naam	Omschrijv	Hoogte	Dag	Avond	Nacht
03_80_A	Cluster 3	1,5	20,4	10,9	9	20,4	03_80_A	Cluster 3	1,5	34,4	23,8	23,8
03_80_B	Cluster 3	4,5	23,4	14,2	11,2	23,4	03_80_B	Cluster 3	4,5	35,3	25,6	25,6
03_80_C	Cluster 3	7,5	30,4	21,8	17,1	30,4	03_80_C	Cluster 3	7,5	41	32,8	32,8
03_81_A	Cluster 3	1,5	21,5	11	9,7	21,5	03_81_A	Cluster 3	1,5	34,3	25,1	25,1
03_81_B	Cluster 3	4,5	24,4	14,1	11,8	24,4	03_81_B	Cluster 3	4,5	36,8	27,1	27,1
03_81_C	Cluster 3	7,5	30,2	21,5	16,8	30,2	03_81_C	Cluster 3	7,5	41	29,2	29,2
03_82_A	Cluster 3	1,5	21,5	15,3	10,4	21,5	03_82_A	Cluster 3	1,5	32,3	23,4	23,4
03_82_B	Cluster 3	4,5	23,5	15,3	11,8	23,5	03_82_B	Cluster 3	4,5	34,3	25,1	25,1
03_82_C	Cluster 3	7,5	29,9	21,3	17,5	29,9	03_82_C	Cluster 3	7,5	40,8	30,9	30,9
03_83_A	Cluster 3	1,5	20,8	13,2	9	20,8	03_83_A	Cluster 3	1,5	31,8	24,5	24,5
03_83_B	Cluster 3	4,5	22,9	15,6	10,9	22,9	03_83_B	Cluster 3	4,5	33,5	26,4	26,4
03_83_C	Cluster 3	7,5	29,3	23	17,6	29,3	03_83_C	Cluster 3	7,5	40,8	31	31
03_84_A	Cluster 3	1,5	20,9	14,9	10,3	20,9	03_84_A	Cluster 3	1,5	33,6	25,5	25,5
03_84_B	Cluster 3	4,5	22,4	16,6	11,8	22,4	03_84_B	Cluster 3	4,5	33,9	27,3	27,3
03_84_C	Cluster 3	7,5	27,6	22,5	17,4	27,6	03_84_C	Cluster 3	7,5	38,5	31,5	31,5
03_85_A	Cluster 3	1,5	19,5	12	8,5	19,5	03_85_A	Cluster 3	1,5	31,5	24	24
03_85_B	Cluster 3	4,5	20,6	14,5	10	20,6	03_85_B	Cluster 3	4,5	32,6	25,5	25,5
03_85_C	Cluster 3	7,5	25,2	14,6	11,7	25,2	03_85_C	Cluster 3	7,5	36,4	22,2	22,3
03_86_A	Cluster 3	1,5	19,9	11,4	8,5	19,9	03_86_A	Cluster 3	1,5	31,7	23,9	23,9
03_86_B	Cluster 3	4,5	21	14,3	10,3	21	03_86_B	Cluster 3	4,5	32,4	25,4	25,4
03_86_C	Cluster 3	7,5	22,1	10,2	8,5	22,1	03_86_C	Cluster 3	7,5	34,8	18,5	24,5
03_87_A	Cluster 3	1,5	22,1	13,5	9,8	22,1	03_87_A	Cluster 3	1,5	34,5	25,6	25,6
03_87_B	Cluster 3	4,5	23,5	16,4	11,4	23,5	03_87_B	Cluster 3	4,5	33,5	27,4	27,4
03_87_C	Cluster 3	7,5	27,8	21,6	16,4	27,8	03_87_C	Cluster 3	7,5	40,6	28,1	28,1
04_01_A	Cluster 4	1,5	17,1	11,7	7,1	17,1	04_01_A	Cluster 4	1,5	26,9	23,6	23,6
04_01_B	Cluster 4	4,5	18,8	13,9	9,3	19,3	04_01_B	Cluster 4	4,5	28,5	24,1	24,1
04_01_C	Cluster 4	7,5	19	13,2	8,6	19	04_01_C	Cluster 4	7,5	29,4	22,5	22,5
04_02_A	Cluster 4	1,5	16,4	9,4	5,1	16,4	04_02_A	Cluster 4	1,5	27,1	21,5	21,5
04_02_B	Cluster 4	4,5	17,9	12,9	8,4	18,4	04_02_B	Cluster 4	4,5	28	22,1	22,1
04_02_C	Cluster 4	7,5	19,8	16,6	12	22	04_02_C	Cluster 4	7,5	29,4	23,3	23,3
04_03_A	Cluster 4	1,5	15,2	8,8	4,4	15,2	04_03_A	Cluster 4	1,5	26,1	20,9	20,9
04_03_B	Cluster 4	4,5	16,1	10,4	5,8	16,1	04_03_B	Cluster 4	4,5	26,7	21,6	21,6
04_03_C	Cluster 4	7,5	12,3	2,9	0,1	12,3	04_03_C	Cluster 4	7,5	23,1	15,6	15,6
04_04_A	Cluster 4	1,5	15,6	7,5	5,1	15,6	04_04_A	Cluster 4	1,5	28,6	21,3	21,3
04_04_B	Cluster 4	4,5	17,9	11,8	8	18	04_04_B	Cluster 4	4,5	29,9	23,3	23,3
04_04_C	Cluster 4	7,5	18,4	13,7	9,7	19,7	04_04_C	Cluster 4	7,5	30,4	23,6	23,6
04_05_A	Cluster 4	1,5	17,5	10,6	5,9	17,5	04_05_A	Cluster 4	1,5	28	24,3	24,3
04_05_B	Cluster 4	4,5	19,1	13,8	9,4	19,4	04_05_B	Cluster 4	4,5	29	24,8	24,8
04_05_C	Cluster 4	7,5	20,5	16,2	11,5	21,5	04_05_C	Cluster 4	7,5	30,3	25,3	25,3
04_06_A	Cluster 4	1,5	18,8	12,4	7,6	18,8	04_06_A	Cluster 4	1,5	30,7	26,1	26,1
04_06_B	Cluster 4	4,5	20,1	14,7	10,1	20,1	04_06_B	Cluster 4	4,5	30,1	26	26
04_06_C	Cluster 4	7,5	21,3	17,2	12,4	22,4	04_06_C	Cluster 4	7,5	31,5	26,7	26,7
04_07_A	Cluster 4	1,5	17,1	11	6,2	17,1	04_07_A	Cluster 4	1,5	27,2	23,6	23,6
04_07_B	Cluster 4	4,5	18,5	13,3	8,6	18,6	04_07_B	Cluster 4	4,5	28,5	24	24
04_07_C	Cluster 4	7,5	20,1	16,1	11,3	21,3	04_07_C	Cluster 4	7,5	30,2	24,6	24,6
04_08_A	Cluster 4	1,5	15,5	6,9	4,7	15,5	04_08_A	Cluster 4	1,5	27,8	22	22
04_08_B	Cluster 4	4,5	17,7	11,6	8,1	18,1	04_08_B	Cluster 4	4,5	28,4	22,6	22,6
04_08_C	Cluster 4	7,5	19,6	15,3	11,2	21,2	04_08_C	Cluster 4	7,5	30,1	25	25
04_09_A	Cluster 4	1,5	15,8	8,4	5,5	15,8	04_09_A	Cluster 4	1,5	29,2	24,8	24,8
04_09_B	Cluster 4	4,5	17,1	12,1	8,5	18,5	04_09_B	Cluster 4	4,5	28,3	23	23
04_09_C	Cluster 4	7,5	19,4	16,9	12,7	22,7	04_09_C	Cluster 4	7,5	29,7	25,2	25,2
04_10_A	Cluster 4	1,5	15,6	9,2	5,7	15,7	04_10_A	Cluster 4	1,5	26,6	22,4	22,4
04_10_B	Cluster 4	4,5	17,2	12,1	8	18	04_10_B	Cluster 4	4,5	28,6	22,9	22,9
04_10_C	Cluster 4	7,5	16,7	6	4,6	16,7	04_10_C	Cluster 4	7,5	27,8	19,4	19,4
04_11_A	Cluster 4	1,5	18,1	13,3	7,8	18,3	04_11_A	Cluster 4	1,5	31,4	26,9	26,9
04_11_B	Cluster 4	4,5	20,1	15,8	10,8	20,8	04_11_B	Cluster 4	4,5	33,5	27,5	27,5
04_11_C	Cluster 4	7,5	19,5	15,8	10,7	20,8	04_11_C	Cluster 4	7,5	30,2	25,4	25,4
04_12_A	Cluster 4	1,5	17,4	13,4	8,2	18,4	04_12_A	Cluster 4	1,5	29,2	27	27
04_12_B	Cluster 4	4,5	19,1	15,4	10,5	20,5	04_12_B	Cluster 4	4,5	30,7	27,6	27,6
04_12_C	Cluster 4	7,5	18,9	15,9	10,9	20,9	04_12_C	Cluster 4	7,5	29	25,4	25,4
04_13_A	Cluster 4	1,5	16,3	8,2	5	16,3	04_13_A	Cluster 4	1,5	28,3	22	22
04_13_B	Cluster 4	4,5	17,4	11,9	7,9	17,9	04_13_B	Cluster 4	4,5	27,6	24,4	24,4
04_13_C	Cluster 4	7,5	19,5	16,3	11,6	21,6	04_13_C	Cluster 4	7,5	29,2	28,3	28,3
04_14_A	Cluster 4	1,5	17,4	14,3	9	19,3	04_14_A	Cluster 4	1,5	29	23,2	23,2
04_14_B	Cluster 4	4,5	20,2	18	13,2	23,2	04_14_B	Cluster 4	4,5	29,5	27,9	27,9
04_14_C	Cluster 4	7,5	21,8	19,1	14,4	24,4	04_14_C	Cluster 4	7,5	30,9	28,3	28,3

Bijlage IV-1 Rekenresultaten $L_{Ar,LT}$ en L_{Amax} niet-wedstrijddag

Rekenresultaten $L_{Ar,LT}$ niet-wedstrijddag							Rekenresultaten L_{Amax} niet-wedstrijddag					
Naam	Omschrijving	Hoogte	Dag	Avond	Nacht	Etmaal	Naam	Omschrijv	Hoogte	Dag	Avond	Nacht
04_15_A	Cluster 4	1,5	15,9	10,4	6,3	16,3	04_15_A	Cluster 4	1,5	28,7	23,4	23,4
04_15_B	Cluster 4	4,5	18,1	15,3	11,1	21,1	04_15_B	Cluster 4	4,5	30	23,7	23,7
04_15_C	Cluster 4	7,5	19,8	16,8	12,6	22,6	04_15_C	Cluster 4	7,5	29,5	25,5	25,5
04_16_A	Cluster 4	1,5	17,1	11,3	7,5	17,5	04_16_A	Cluster 4	1,5	29	23,7	23,7
04_16_B	Cluster 4	4,5	19,3	16,1	11,9	21,9	04_16_B	Cluster 4	4,5	29,2	24,1	24,1
04_16_C	Cluster 4	7,5	21	17,7	13,5	23,5	04_16_C	Cluster 4	7,5	30,8	25,8	25,8
04_17_A	Cluster 4	1,5	--	--	--	--	04_17_A	Cluster 4	1,5	--	--	--
04_17_B	Cluster 4	4,5	17,2	11,9	7,2	17,2	04_17_B	Cluster 4	4,5	29,6	22,4	22,4
04_17_C	Cluster 4	7,5	15,9	7	3,7	15,9	04_17_C	Cluster 4	7,5	28,3	17,7	17,7
04_18_A	Cluster 4	1,5	15,6	12,1	6,7	17,1	04_18_A	Cluster 4	1,5	27,9	27,9	27,9
04_18_B	Cluster 4	4,5	17,5	14,6	9,5	19,6	04_18_B	Cluster 4	4,5	28,4	28,4	28,4
04_18_C	Cluster 4	7,5	18,5	14,3	9,8	19,8	04_18_C	Cluster 4	7,5	29,1	23,9	23,9
04_19_A	Cluster 4	1,5	17,7	17,1	11	22,1	04_19_A	Cluster 4	1,5	29,1	29,1	29,1
04_19_B	Cluster 4	4,5	18,8	16,9	12	22	04_19_B	Cluster 4	4,5	31	25,5	25,5
04_19_C	Cluster 4	7,5	20,7	19,3	14,6	24,6	04_19_C	Cluster 4	7,5	31,7	28,5	28,5
04_20_A	Cluster 4	1,5	16,1	11,9	7,8	17,8	04_20_A	Cluster 4	1,5	28,1	24	24
04_20_B	Cluster 4	4,5	20,2	19,4	14,7	24,7	04_20_B	Cluster 4	4,5	31,6	26,8	26,8
04_20_C	Cluster 4	7,5	21,1	19,6	14,9	24,9	04_20_C	Cluster 4	7,5	32	26,3	26,3
04_21_A	Cluster 4	1,5	18,9	14	7,9	19	04_21_A	Cluster 4	1,5	30,2	24,1	24,1
04_21_B	Cluster 4	4,5	22,3	19,7	13,7	24,7	04_21_B	Cluster 4	4,5	32,6	25,7	25,7
04_21_C	Cluster 4	7,5	22,9	19,9	14,2	24,9	04_21_C	Cluster 4	7,5	33,7	29,2	29,2
04_22_A	Cluster 4	1,5	19,8	16,6	11	21,6	04_22_A	Cluster 4	1,5	32,1	29	29
04_22_B	Cluster 4	4,5	23,3	20,4	14,3	25,4	04_22_B	Cluster 4	4,5	33,9	30,7	30,7
04_22_C	Cluster 4	7,5	25,2	21	15,6	26	04_22_C	Cluster 4	7,5	36,8	29,8	29,8
04_23_A	Cluster 4	1,5	19,6	14,4	10,1	20,1	04_23_A	Cluster 4	1,5	29,7	28,9	28,9
04_23_B	Cluster 4	4,5	24,2	19,4	13,7	24,4	04_23_B	Cluster 4	4,5	33,5	30,5	30,5
04_23_C	Cluster 4	7,5	26,4	20,8	15,3	26,4	04_23_C	Cluster 4	7,5	37,4	30,4	30,4
04_24_A	Cluster 4	1,5	19,3	13,2	8,5	19,3	04_24_A	Cluster 4	1,5	30,5	23,9	23,9
04_24_B	Cluster 4	4,5	24,4	18,9	13	24,4	04_24_B	Cluster 4	4,5	34,4	26,8	26,8
04_24_C	Cluster 4	7,5	26,7	20,6	15,1	26,7	04_24_C	Cluster 4	7,5	38,8	28,6	28,6
04_25_A	Cluster 4	1,5	19,4	13	8,5	19,4	04_25_A	Cluster 4	1,5	30,5	24,3	24,3
04_25_B	Cluster 4	4,5	24,6	18,7	12,8	24,6	04_25_B	Cluster 4	4,5	35	27,4	27,4
04_25_C	Cluster 4	7,5	27	20,4	15,1	27	04_25_C	Cluster 4	7,5	38,9	29,2	29,2
04_26_A	Cluster 4	1,5	19,5	12,9	8,5	19,5	04_26_A	Cluster 4	1,5	30,3	24,9	24,9
04_26_B	Cluster 4	4,5	25	18,5	12,7	25	04_26_B	Cluster 4	4,5	35,8	28	28
04_26_C	Cluster 4	7,5	27,8	20,1	14,8	27,8	04_26_C	Cluster 4	7,5	40,9	33,1	33,1
04_27_A	Cluster 4	1,5	19,7	13,8	9,2	19,7	04_27_A	Cluster 4	1,5	30,4	25,5	25,5
04_27_B	Cluster 4	4,5	25	18,8	13,3	25	04_27_B	Cluster 4	4,5	35,3	27,7	27,7
04_27_C	Cluster 4	7,5	27,5	19,8	14,7	27,5	04_27_C	Cluster 4	7,5	39,2	32,3	32,3
04_27_D	Cluster 4	10,5	28,6	21	16	28,6	04_27_D	Cluster 4	10,5	39,4	32,5	32,5
04_28_A	Cluster 4	1,5	19,5	13,8	9	19,5	04_28_A	Cluster 4	1,5	35,5	27,1	27,1
04_28_B	Cluster 4	4,5	20,8	17,7	12,4	22,7	04_28_B	Cluster 4	4,5	34,4	27,5	27,5
04_28_C	Cluster 4	7,5	22,1	18,3	13,1	23,3	04_28_C	Cluster 4	7,5	35,6	28,1	28,1
04_28_D	Cluster 4	10,5	21	17,1	12,4	22,4	04_28_D	Cluster 4	10,5	33,7	25,8	25,8
04_29_A	Cluster 4	1,5	18,9	12	7,2	18,9	04_29_A	Cluster 4	1,5	35,8	26,5	26,5
04_29_B	Cluster 4	4,5	19,9	15,2	10	20,2	04_29_B	Cluster 4	4,5	35,6	27	27
04_29_C	Cluster 4	7,5	21,3	16	10,8	21,3	04_29_C	Cluster 4	7,5	35,8	28,2	28,2
04_29_D	Cluster 4	10,5	20,8	14,3	10,1	20,8	04_29_D	Cluster 4	10,5	32,8	22,4	22,4
04_30_A	Cluster 4	1,5	19,2	12,4	7,9	19,2	04_30_A	Cluster 4	1,5	36,2	27,2	27,2
04_30_B	Cluster 4	4,5	20,1	15,8	10,7	20,8	04_30_B	Cluster 4	4,5	36,1	27,7	27,7
04_30_C	Cluster 4	7,5	21,6	16,8	11,6	21,8	04_30_C	Cluster 4	7,5	36,3	30,1	30,1
04_30_D	Cluster 4	10,5	22,7	17,8	12,7	22,8	04_30_D	Cluster 4	10,5	34,5	31	31
04_31_A	Cluster 4	1,5	18,7	12,1	7,6	18,7	04_31_A	Cluster 4	1,5	35,8	27,3	27,3
04_31_B	Cluster 4	4,5	19,8	15,2	10,3	20,3	04_31_B	Cluster 4	4,5	35,5	27,8	27,8
04_31_C	Cluster 4	7,5	21,3	16,5	11,4	21,5	04_31_C	Cluster 4	7,5	35,8	30,2	30,2
04_31_D	Cluster 4	10,5	23,6	18	12,8	23,6	04_31_D	Cluster 4	10,5	36,7	31,1	31,1
04_32_A	Cluster 4	1,5	18	13,2	8	18,2	04_32_A	Cluster 4	1,5	35,4	26,2	26,2
04_32_B	Cluster 4	4,5	19,2	15,2	10,2	20,2	04_32_B	Cluster 4	4,5	35	26,8	26,8
04_32_C	Cluster 4	7,5	20,9	16,9	11,6	21,9	04_32_C	Cluster 4	7,5	35,3	29,7	29,7
04_32_D	Cluster 4	10,5	22,8	17,9	12,7	22,9	04_32_D	Cluster 4	10,5	36,3	30,6	30,6
04_33_A	Cluster 4	1,5	17,8	13,1	7,9	18,1	04_33_A	Cluster 4	1,5	35,4	25,5	25,5
04_33_B	Cluster 4	4,5	18,8	14,7	9,8	19,8	04_33_B	Cluster 4	4,5	35,4	26,2	26,2
04_33_C	Cluster 4	7,5	20,4	16,8	11,5	21,8	04_33_C	Cluster 4	7,5	35,7	29,5	29,5
04_33_D	Cluster 4	10,5	22,6	17,9	12,8	22,9	04_33_D	Cluster 4	10,5	36,9	30,4	30,4
04_34_A	Cluster 4	1,5	17,8	13,1	8	18,1	04_34_A	Cluster 4	1,5	33,9	25,1	25,1
04_34_B	Cluster 4	4,5	18,9	14,7	9,9	19,9	04_34_B	Cluster 4	4,5	35,2	25,8	25,8

Bijlage IV-1 Rekenresultaten L_{Ar,LT} en L_{Amax} niet-wedstrijddag

Rekenresultaten L _{Ar,LT} niet-wedstrijddag							Rekenresultaten L _{Amax} niet-wedstrijddag					
Naam	Omschrijving	Hoogte	Dag	Avond	Nacht	Etmaal	Naam	Omschrijv	Hoogte	Dag	Avond	Nacht
04_34_C	Cluster 4	7,5	20,4	16,8	11,5	21,8	04_34_C	Cluster 4	7,5	35,5	29,5	29,5
04_34_D	Cluster 4	10,5	22,9	18,7	13,7	23,7	04_34_D	Cluster 4	10,5	36,8	30,3	30,3
04_35_A	Cluster 4	1,5	17,5	13,2	8,1	18,2	04_35_A	Cluster 4	1,5	32,5	24,7	24,7
04_35_B	Cluster 4	4,5	19	14,8	10	20	04_35_B	Cluster 4	4,5	35,1	25,5	25,5
04_35_C	Cluster 4	7,5	20,5	16,9	11,7	21,9	04_35_C	Cluster 4	7,5	35,5	26,1	26,1
04_35_D	Cluster 4	10,5	23,1	19	14	24	04_35_D	Cluster 4	10,5	36,7	30,3	30,3
04_36_A	Cluster 4	1,5	17,7	13,5	8,3	18,5	04_36_A	Cluster 4	1,5	32,8	24,4	24,4
04_36_B	Cluster 4	4,5	19,4	15	10,2	20,2	04_36_B	Cluster 4	4,5	34,5	25,1	25,1
04_36_C	Cluster 4	7,5	20,7	17,3	12	22,3	04_36_C	Cluster 4	7,5	35,2	26	26
04_36_D	Cluster 4	10,5	23,2	19,2	14,2	24,2	04_36_D	Cluster 4	10,5	35,9	30,2	30,2
04_37_A	Cluster 4	1,5	17,6	13,6	8,4	18,6	04_37_A	Cluster 4	1,5	32,4	27,7	27,7
04_37_B	Cluster 4	4,5	19,8	15	10,2	20,2	04_37_B	Cluster 4	4,5	34,9	28	28
04_37_C	Cluster 4	7,5	20,7	17,2	12	22,2	04_37_C	Cluster 4	7,5	35	29	29
04_37_D	Cluster 4	10,5	23,2	19,2	14,1	24,2	04_37_D	Cluster 4	10,5	35,9	31,5	31,5
04_38_A	Cluster 4	1,5	16,7	13,2	8,3	18,3	04_38_A	Cluster 4	1,5	31,4	25,5	25,5
04_38_B	Cluster 4	4,5	19	14,3	9,6	19,6	04_38_B	Cluster 4	4,5	33,9	25,9	25,9
04_38_C	Cluster 4	7,5	20,1	16,2	11,1	21,2	04_38_C	Cluster 4	7,5	34,6	27,1	27,1
04_38_D	Cluster 4	10,5	22,8	18,5	13,5	23,5	04_38_D	Cluster 4	10,5	36	30,3	30,3
04_39_A	Cluster 4	1,5	16,6	13,2	8,3	18,3	04_39_A	Cluster 4	1,5	31,1	25,4	25,4
04_39_B	Cluster 4	4,5	19,5	14,4	9,7	19,7	04_39_B	Cluster 4	4,5	35,1	26,1	26,1
04_40_A	Cluster 4	1,5	16,9	13,2	8,4	18,4	04_40_A	Cluster 4	1,5	30,9	25,3	25,3
04_40_B	Cluster 4	4,5	19,9	14,4	9,8	19,9	04_40_B	Cluster 4	4,5	35,2	26	26
04_41_A	Cluster 4	1,5	17,4	12,6	7,7	17,7	04_41_A	Cluster 4	1,5	29,6	27	27
04_41_B	Cluster 4	4,5	18,6	13,4	8,5	18,6	04_41_B	Cluster 4	4,5	30,6	26,9	26,9
04_42_A	Cluster 4	1,5	18	13	8,1	18,1	04_42_A	Cluster 4	1,5	30,3	24,7	24,7
04_42_B	Cluster 4	4,5	18,7	13,7	8,7	18,7	04_42_B	Cluster 4	4,5	31	25,9	25,9
04_43_A	Cluster 4	1,5	17,2	13	7,9	18	04_43_A	Cluster 4	1,5	28,9	24,6	24,6
04_43_B	Cluster 4	4,5	18,3	14,1	9	19,1	04_43_B	Cluster 4	4,5	30,4	25,2	25,2
04_43_C	Cluster 4	7,5	19,7	16,3	10,9	21,3	04_43_C	Cluster 4	7,5	30,4	28	28
04_44_A	Cluster 4	1,5	20,2	15,1	9,5	20,2	04_44_A	Cluster 4	1,5	31,7	23,1	23,1
04_44_B	Cluster 4	4,5	21,9	17,7	12,2	22,7	04_44_B	Cluster 4	4,5	33	24,3	24,3
04_44_C	Cluster 4	7,5	24,4	19,7	14	24,7	04_44_C	Cluster 4	7,5	35,9	29,1	29,1
04_45_A	Cluster 4	1,5	20	14,5	9,5	20	04_45_A	Cluster 4	1,5	30,7	26,1	26,1
04_45_B	Cluster 4	4,5	21,8	17,7	12	22,7	04_45_B	Cluster 4	4,5	32	27,5	27,5
04_45_C	Cluster 4	7,5	25,7	20,6	14,9	25,7	04_45_C	Cluster 4	7,5	36,6	32,4	32,4
04_46_A	Cluster 4	1,5	18,7	11,6	6,9	18,7	04_46_A	Cluster 4	1,5	29,1	25,9	25,9
04_46_B	Cluster 4	4,5	20,8	14,5	9,4	20,8	04_46_B	Cluster 4	4,5	31,1	26,8	26,8
04_47_A	Cluster 4	1,5	17	6,1	4,2	17	04_47_A	Cluster 4	1,5	29,2	18,5	18,5
04_47_B	Cluster 4	4,5	19,6	11,8	7,6	19,6	04_47_B	Cluster 4	4,5	30	24,3	24,3
04_48_A	Cluster 4	1,5	15,6	5,7	2,2	15,6	04_48_A	Cluster 4	1,5	26	17,6	17,6
04_48_B	Cluster 4	4,5	18	10,3	5,5	18	04_48_B	Cluster 4	4,5	29,2	23	23
04_48_C	Cluster 4	7,5	18,9	5,9	3,6	18,9	04_48_C	Cluster 4	7,5	33	17	17
04_48_D	Cluster 4	10,5	23,8	13,3	9,6	23,8	04_48_D	Cluster 4	10,5	34,4	24,2	24,2
04_49_A	Cluster 4	1,5	16	10,2	4,9	16	04_49_A	Cluster 4	1,5	25,5	24,1	24,1
04_49_B	Cluster 4	4,5	18,9	15,6	9,2	20,6	04_49_B	Cluster 4	4,5	30,5	26,5	26,5
04_49_C	Cluster 4	7,5	21,5	15,2	9,9	21,5	04_49_C	Cluster 4	7,5	33,2	26,4	26,4
04_49_D	Cluster 4	10,5	23,4	16,9	11,9	23,4	04_49_D	Cluster 4	10,5	33,9	29,3	29,3
04_50_A	Cluster 4	1,5	21,1	15,2	10,1	21,1	04_50_A	Cluster 4	1,5	32,8	28,4	28,4
04_50_B	Cluster 4	4,5	23	18,1	12,5	23,1	04_50_B	Cluster 4	4,5	34,4	29,4	29,4
04_50_C	Cluster 4	7,5	26,8	20,5	14,8	26,8	04_50_C	Cluster 4	7,5	38,7	32,9	32,9
04_50_D	Cluster 4	10,5	27,8	20,1	14,9	27,8	04_50_D	Cluster 4	10,5	38,6	31,1	31,1
04_51_A	Cluster 4	1,5	20,9	16	10,5	21	04_51_A	Cluster 4	1,5	33,9	28,6	28,6
04_51_B	Cluster 4	4,5	23,1	18,7	12,8	23,7	04_51_B	Cluster 4	4,5	34	29,7	29,7
04_51_C	Cluster 4	7,5	26,5	20,5	14,8	26,5	04_51_C	Cluster 4	7,5	37,5	33	33
04_51_D	Cluster 4	10,5	27,7	20	14,8	27,7	04_51_D	Cluster 4	10,5	38,4	31,3	31,3
04_52_A	Cluster 4	1,5	20,7	15,6	10,2	20,7	04_52_A	Cluster 4	1,5	34,2	28,2	28,2
04_52_B	Cluster 4	4,5	23	18,3	12,6	23,3	04_52_B	Cluster 4	4,5	33,6	29,4	29,4
04_52_C	Cluster 4	7,5	25,6	18,9	13,5	25,6	04_52_C	Cluster 4	7,5	37,1	31,3	31,3
04_52_D	Cluster 4	10,5	27,7	20,1	14,9	27,7	04_52_D	Cluster 4	10,5	38,2	31,6	31,6
04_53_A	Cluster 4	1,5	20,5	14,7	9,5	20,5	04_53_A	Cluster 4	1,5	34,6	28	28
04_53_B	Cluster 4	4,5	22,6	17,7	12,2	22,7	04_53_B	Cluster 4	4,5	33,2	29,4	29,4
04_53_C	Cluster 4	7,5	25,9	19	13,5	25,9	04_53_C	Cluster 4	7,5	37,4	31,5	31,5
04_53_D	Cluster 4	10,5	27,7	20,1	14,9	27,7	04_53_D	Cluster 4	10,5	38,3	31,8	31,8
04_54_A	Cluster 4	1,5	19,7	14,3	9,1	19,7	04_54_A	Cluster 4	1,5	34,2	26,7	26,7
04_54_B	Cluster 4	4,5	21,9	17,4	11,8	22,4	04_54_B	Cluster 4	4,5	32,2	30,1	30,1
04_54_C	Cluster 4	7,5	26	19,1	13,6	26	04_54_C	Cluster 4	7,5	37,6	31,8	31,8

Bijlage IV-1 Rekenresultaten L_{Ar,LT} en L_{Amax} niet-wedstrijddag

Rekenresultaten L _{Ar,LT} niet-wedstrijddag							Rekenresultaten L _{Amax} niet-wedstrijddag					
Naam	Omschrijving	Hoogte	Dag	Avond	Nacht	Etmaal	Naam	Omschrijv	Hoogte	Dag	Avond	Nacht
04_54_D	Cluster 4	10,5	27,7	20,3	15	27,7	04_54_D	Cluster 4	10,5	38,6	32,1	32,1
04_55_A	Cluster 4	1,5	18,8	14	8,7	19	04_55_A	Cluster 4	1,5	32,8	26,4	26,4
04_55_B	Cluster 4	4,5	21,1	17,3	11,7	22,3	04_55_B	Cluster 4	4,5	32	30,1	30,1
04_55_C	Cluster 4	7,5	26,1	19,2	13,6	26,1	04_55_C	Cluster 4	7,5	38,6	32,1	32,1
04_55_D	Cluster 4	10,5	27,9	20,4	15,2	27,9	04_55_D	Cluster 4	10,5	39,3	32,3	32,3
04_56_A	Cluster 4	1,5	18,3	13,2	8,4	18,4	04_56_A	Cluster 4	1,5	30,2	25	25
04_56_B	Cluster 4	4,5	20,4	16,8	11,3	21,8	04_56_B	Cluster 4	4,5	30,5	29	29
04_56_C	Cluster 4	7,5	25,6	18,2	12,7	25,6	04_56_C	Cluster 4	7,5	36,9	28,4	28,4
04_56_D	Cluster 4	10,5	28	20,7	15,5	28	04_56_D	Cluster 4	10,5	39,4	32,6	32,6
04_57_A	Cluster 4	1,5	17,9	9,9	6,5	17,9	04_57_A	Cluster 4	1,5	32,6	22,4	22,4
04_57_B	Cluster 4	4,5	20	14,3	10,3	20,3	04_57_B	Cluster 4	4,5	31,3	24	24
04_57_C	Cluster 4	7,5	25,5	19,6	14,3	25,5	04_57_C	Cluster 4	7,5	38,9	32,5	32,5
04_57_D	Cluster 4	10,5	29,7	22,6	17,2	29,7	04_57_D	Cluster 4	10,5	43,3	35,4	35,4
04_58_A	Cluster 4	1,5	17,8	11,6	6,5	17,8	04_58_A	Cluster 4	1,5	33,7	22,5	22,5
04_58_B	Cluster 4	4,5	18,8	14,6	9,8	19,8	04_58_B	Cluster 4	4,5	29,5	23,6	23,6
04_58_C	Cluster 4	7,5	24,9	19,5	14,1	24,9	04_58_C	Cluster 4	7,5	38,7	32,1	32,1
04_58_D	Cluster 4	10,5	28,3	20,4	15,2	28,3	04_58_D	Cluster 4	10,5	41	32,9	32,9
04_59_A	Cluster 4	1,5	16,3	9,8	6,8	16,8	04_59_A	Cluster 4	1,5	28,4	22,7	22,7
04_59_B	Cluster 4	4,5	16,4	12	8,1	18,1	04_59_B	Cluster 4	4,5	28,1	27,6	27,6
04_59_C	Cluster 4	7,5	18,9	14,1	9,9	19,9	04_59_C	Cluster 4	7,5	30,7	21,3	21,3
04_60_A	Cluster 4	1,5	18	10,8	7,1	18	04_60_A	Cluster 4	1,5	31,7	23,9	23,9
04_60_B	Cluster 4	4,5	18,9	14,8	9,5	19,8	04_60_B	Cluster 4	4,5	30,5	23,4	23,4
04_60_C	Cluster 4	7,5	20,6	14,4	8,9	20,6	04_60_C	Cluster 4	7,5	33,3	24,2	24,2
04_61_A	Cluster 4	1,5	17,3	12,3	7,1	17,3	04_61_A	Cluster 4	1,5	32,4	23,8	23,8
04_61_B	Cluster 4	4,5	18,9	15,4	10,2	20,4	04_61_B	Cluster 4	4,5	30	23,8	23,8
04_61_C	Cluster 4	7,5	21,6	17,3	12	22,3	04_61_C	Cluster 4	7,5	32,3	28,2	28,2
04_62_A	Cluster 4	1,5	18	11,2	7,8	18	04_62_A	Cluster 4	1,5	31	24,1	24,1
04_62_B	Cluster 4	4,5	18,2	12,6	8,4	18,4	04_62_B	Cluster 4	4,5	28,6	24,8	24,8
04_62_C	Cluster 4	7,5	20,1	16	10,7	21	04_62_C	Cluster 4	7,5	30,6	27,4	27,4
04_63_A	Cluster 4	1,5	16,4	11,2	7,2	17,2	04_63_A	Cluster 4	1,5	28,9	23,4	23,4
04_63_B	Cluster 4	4,5	17,6	14,4	9,2	19,4	04_63_B	Cluster 4	4,5	29,8	24,7	24,7
04_63_C	Cluster 4	7,5	18,8	16,1	10,7	21,1	04_63_C	Cluster 4	7,5	28	26,9	26,9
04_64_A	Cluster 4	1,5	16,5	7,7	4,8	16,5	04_64_A	Cluster 4	1,5	28,3	25,9	25,9
04_64_B	Cluster 4	4,5	17,1	10,9	7,2	17,2	04_64_B	Cluster 4	4,5	29,1	26,3	26,3
04_64_C	Cluster 4	7,5	16,1	12,7	8,5	18,5	04_64_C	Cluster 4	7,5	26,7	26,7	26,7
05_01_A	Cluster 5	1,5	13,7	3,5	4,4	14,4	05_01_A	Cluster 5	1,5	27,5	15,9	18,1
05_01_B	Cluster 5	4,5	14,4	4,4	4,7	14,7	05_01_B	Cluster 5	4,5	27,7	17,7	18,2
05_01_C	Cluster 5	7,5	15,5	6,3	5,6	15,6	05_01_C	Cluster 5	7,5	28,1	19,7	19,7
05_02_A	Cluster 5	1,5	11,8	5,2	0,4	11,8	05_02_A	Cluster 5	1,5	21,9	16,3	16,3
05_02_B	Cluster 5	4,5	12,7	5,8	1	12,7	05_02_B	Cluster 5	4,5	22,9	17,2	17,2
05_02_C	Cluster 5	7,5	13,9	5,7	1,6	13,9	05_02_C	Cluster 5	7,5	24,5	17,7	17,7
05_03_A	Cluster 5	1,5	19,8	6	6,6	19,8	05_03_A	Cluster 5	1,5	34,2	26,1	26,1
05_03_B	Cluster 5	4,5	20,6	6,5	7,3	20,6	05_03_B	Cluster 5	4,5	32,4	15,9	27,1
05_03_C	Cluster 5	7,5	15,3	7,5	4,1	15,3	05_03_C	Cluster 5	7,5	25,3	16,2	17,9
05_04_A	Cluster 5	1,5	15,7	7,5	4,7	15,7	05_04_A	Cluster 5	1,5	27,7	20,2	22,9
05_04_B	Cluster 5	4,5	16,5	8,5	5,3	16,5	05_04_B	Cluster 5	4,5	27,3	20,7	27,3
05_04_C	Cluster 5	7,5	15,7	10,2	4,7	15,7	05_04_C	Cluster 5	7,5	27,8	22,2	22,2
05_05_A	Cluster 5	1,5	21,7	11,5	9,3	21,7	05_05_A	Cluster 5	1,5	32,1	20,7	24,5
05_05_B	Cluster 5	4,5	25,8	8,7	9,9	25,8	05_05_B	Cluster 5	4,5	37,4	21,3	24,7
05_05_C	Cluster 5	7,5	26,5	7,4	10,9	26,5	05_05_C	Cluster 5	7,5	37,5	18,9	24,8
05_06_A	Cluster 5	1,5	22,1	8,6	8,6	22,1	05_06_A	Cluster 5	1,5	32,9	18,9	26,6
05_06_B	Cluster 5	4,5	26,8	9	11,5	26,8	05_06_B	Cluster 5	4,5	36,6	19,3	27,3
05_06_C	Cluster 5	7,5	28,2	9,8	13,4	28,2	05_06_C	Cluster 5	7,5	38,4	20,3	27,4
05_07_A	Cluster 5	1,5	24	10,1	11	24	05_07_A	Cluster 5	1,5	37,2	21,7	24,1
05_07_B	Cluster 5	4,5	25,4	9,7	13	25,4	05_07_B	Cluster 5	4,5	37	21,7	27,6
05_07_C	Cluster 5	7,5	26,8	10,3	14,8	26,8	05_07_C	Cluster 5	7,5	39,3	22,3	27,8
05_08_A	Cluster 5	1,5	21,2	9,9	8,8	21,2	05_08_A	Cluster 5	1,5	34,3	20,6	21,7
05_08_B	Cluster 5	4,5	23,1	13,1	10,8	23,1	05_08_B	Cluster 5	4,5	35,3	21,1	26,7
05_08_C	Cluster 5	7,5	23,6	5,8	11,1	23,6	05_08_C	Cluster 5	7,5	35,4	19	27,2
05_09_A	Cluster 5	1,5	22,9	10,9	12,9	22,9	05_09_A	Cluster 5	1,5	35,4	25,8	25,8
05_09_B	Cluster 5	4,5	26,7	17,5	14,1	26,7	05_09_B	Cluster 5	4,5	38	25,2	25,2
05_09_C	Cluster 5	7,5	27,4	17,6	13,5	27,4	05_09_C	Cluster 5	7,5	38,6	25,4	25,4
05_10_A	Cluster 5	1,5	24,7	8,9	14,2	24,7	05_10_A	Cluster 5	1,5	37,1	22,9	24,1
05_10_B	Cluster 5	4,5	27,6	18,4	16,4	27,6	05_10_B	Cluster 5	4,5	37,8	29,7	29,7
05_10_C	Cluster 5	7,5	28,9	19	17	28,9	05_10_C	Cluster 5	7,5	39,1	29,7	29,7
05_11_A	Cluster 5	1,5	24,2	9,9	14	24,2	05_11_A	Cluster 5	1,5	36,4	22,2	28,2

Bijlage IV-1 Rekenresultaten $L_{Ar,LT}$ en L_{Amax} niet-wedstrijddag

Rekenresultaten $L_{Ar,LT}$ niet-wedstrijddag							Rekenresultaten L_{Amax} niet-wedstrijddag					
Naam	Omschrijving	Hoogte	Dag	Avond	Nacht	Etmaal	Naam	Omschrijv	Hoogte	Dag	Avond	Nacht
05_11_B	Cluster 5	4,5	26	10,2	15	26	05_11_B	Cluster 5	4,5	37,2	22,2	30,2
05_11_C	Cluster 5	7,5	26	10,6	15	26	05_11_C	Cluster 5	7,5	37,1	22,6	30,4
05_12_A	Cluster 5	1,5	18,7	9,3	7,9	18,7	05_12_A	Cluster 5	1,5	31,2	23,9	24,4
05_12_B	Cluster 5	4,5	18,4	9,9	8,2	18,4	05_12_B	Cluster 5	4,5	30,6	24,1	25
05_12_C	Cluster 5	7,5	17,5	8,8	7,8	17,8	05_12_C	Cluster 5	7,5	29,4	25,4	25,4
05_13_A	Cluster 5	1,5	14,7	6,1	4,1	14,7	05_13_A	Cluster 5	1,5	26,2	20,4	20,4
05_13_B	Cluster 5	4,5	16,6	7,3	5,1	16,6	05_13_B	Cluster 5	4,5	28,6	20,8	20,8
05_13_C	Cluster 5	7,5	19,9	10,7	8,4	19,9	05_13_C	Cluster 5	7,5	31,2	23	23
05_14_A	Cluster 5	1,5	22,7	10,9	14,3	24,3	05_14_A	Cluster 5	1,5	35,7	25,4	25,4
05_14_B	Cluster 5	4,5	24	10,5	14,3	24,3	05_14_B	Cluster 5	4,5	35,6	22	27,7
05_14_C	Cluster 5	7,5	25,1	12	14,7	25,1	05_14_C	Cluster 5	7,5	35,9	23,6	27
05_15_A	Cluster 5	1,5	23,2	13	14,7	24,7	05_15_A	Cluster 5	1,5	37,4	25,9	25,9
05_15_B	Cluster 5	4,5	24,4	9,1	14,6	24,6	05_15_B	Cluster 5	4,5	37,6	26,2	27
05_15_C	Cluster 5	7,5	25,8	13,3	15,5	25,8	05_15_C	Cluster 5	7,5	37,6	27,1	29,9
05_16_A	Cluster 5	1,5	15,9	8,9	6,1	16,1	05_16_A	Cluster 5	1,5	27,5	23,6	23,6
05_16_B	Cluster 5	4,5	17,1	9,8	6,9	17,1	05_16_B	Cluster 5	4,5	28,3	24,1	24,1
05_16_C	Cluster 5	7,5	22,5	16,3	12,3	22,5	05_16_C	Cluster 5	7,5	32,7	23,8	24
05_17_A	Cluster 5	1,5	22,3	14,9	12,3	22,3	05_17_A	Cluster 5	1,5	34,7	26,9	26,9
05_17_B	Cluster 5	4,5	26	16,7	12,5	26	05_17_B	Cluster 5	4,5	37,1	22,2	22,2
05_17_C	Cluster 5	7,5	27,3	16,9	13,8	27,3	05_17_C	Cluster 5	7,5	38,2	22,7	24,8
05_18_A	Cluster 5	1,5	20,2	14,9	11	21	05_18_A	Cluster 5	1,5	32,8	25	25
05_18_B	Cluster 5	4,5	26,3	16,9	12,8	26,3	05_18_B	Cluster 5	4,5	37,2	23	23
05_18_C	Cluster 5	7,5	27,4	17,1	13,8	27,4	05_18_C	Cluster 5	7,5	38,3	23,4	23,4
05_19_A	Cluster 5	1,5	23,1	12,6	14	24	05_19_A	Cluster 5	1,5	36,5	25,7	25,7
05_19_B	Cluster 5	4,5	24,1	10,8	14,2	24,2	05_19_B	Cluster 5	4,5	36,5	23,9	29,3
05_19_C	Cluster 5	7,5	25,3	13,1	14,7	25,3	05_19_C	Cluster 5	7,5	36,5	24,2	29,8
05_20_A	Cluster 5	1,5	14,7	5,7	3,8	14,7	05_20_A	Cluster 5	1,5	26,1	19,9	19,9
05_20_B	Cluster 5	4,5	16,8	7,3	4,9	16,8	05_20_B	Cluster 5	4,5	27,2	20,7	20,7
05_20_C	Cluster 5	7,5	23,7	13,4	10,8	23,7	05_20_C	Cluster 5	7,5	33,8	24,8	24,8
05_21_A	Cluster 5	1,5	17,7	8,3	7,2	17,7	05_21_A	Cluster 5	1,5	30,2	23,4	23,4
05_21_B	Cluster 5	4,5	25,7	16,1	10,9	25,7	05_21_B	Cluster 5	4,5	37	21,1	27,2
05_21_C	Cluster 5	7,5	26,5	16,4	12,2	26,5	05_21_C	Cluster 5	7,5	38	21,9	25
05_22_A	Cluster 5	1,5	20,5	10,8	11,4	21,4	05_22_A	Cluster 5	1,5	31,4	23,7	23,7
05_22_B	Cluster 5	4,5	14,9	13	6,5	18	05_22_B	Cluster 5	4,5	27,5	21,1	21,1
05_22_C	Cluster 5	7,5	16,5	14,1	8	19,1	05_22_C	Cluster 5	7,5	28,6	22	22
05_23_A	Cluster 5	1,5	24,7	10,7	13,4	24,7	05_23_A	Cluster 5	1,5	36,6	23,6	23,6
05_23_B	Cluster 5	4,5	25,6	11,6	12,8	25,6	05_23_B	Cluster 5	4,5	36,6	24	24
05_23_C	Cluster 5	7,5	26,1	10,7	13,1	26,1	05_23_C	Cluster 5	7,5	36,5	22,7	23,6
05_24_A	Cluster 5	1,5	19,9	11,9	9,2	19,9	05_24_A	Cluster 5	1,5	31,2	20,6	20,6
05_24_B	Cluster 5	4,5	16,5	12,8	8,3	18,3	05_24_B	Cluster 5	4,5	28,5	21,5	21,5
05_24_C	Cluster 5	7,5	17,3	8,7	7,8	17,8	05_24_C	Cluster 5	7,5	28,8	23,3	23,3
05_25_A	Cluster 5	1,5	16,3	6,2	4,9	16,3	05_25_A	Cluster 5	1,5	29,6	20,5	20,5
05_25_B	Cluster 5	4,5	18	13,6	9,1	19,1	05_25_B	Cluster 5	4,5	29,7	21,2	21,2
05_25_C	Cluster 5	7,5	16,8	14,8	8,4	19,8	05_25_C	Cluster 5	7,5	31,1	22,9	22,9
05_26_A	Cluster 5	1,5	16,3	5,8	4,7	16,3	05_26_A	Cluster 5	1,5	26,4	20,5	20,5
05_26_B	Cluster 5	4,5	20,3	13,5	9,8	20,3	05_26_B	Cluster 5	4,5	30	21,3	21,3
05_26_C	Cluster 5	7,5	18,3	14,7	8,3	19,7	05_26_C	Cluster 5	7,5	29,5	22,4	22,4
05_27_A	Cluster 5	1,5	16,5	5,1	2,1	16,5	05_27_A	Cluster 5	1,5	25,8	15,5	15,5
05_27_B	Cluster 5	4,5	19,7	6,2	4,9	19,7	05_27_B	Cluster 5	4,5	30	14,9	14,9
05_27_C	Cluster 5	7,5	18,3	13,8	7,1	18,8	05_27_C	Cluster 5	7,5	29	14,9	17,3
05_28_A	Cluster 5	1,5	17,6	2,4	7,2	17,6	05_28_A	Cluster 5	1,5	29,2	15,7	17,8
05_28_B	Cluster 5	4,5	19,5	3,5	10	20	05_28_B	Cluster 5	4,5	31	14,8	21,5
05_28_C	Cluster 5	7,5	19,8	8,6	10,3	20,3	05_28_C	Cluster 5	7,5	31,1	14,9	17
05_29_A	Cluster 5	1,5	17,9	2,7	6,5	17,9	05_29_A	Cluster 5	1,5	29,7	17,2	21,6
05_29_B	Cluster 5	4,5	19,6	3,1	9,8	19,8	05_29_B	Cluster 5	4,5	31,2	17,1	21,7
05_29_C	Cluster 5	7,5	20,5	7,2	10	20,5	05_29_C	Cluster 5	7,5	31,2	19,4	19,4
05_30_A	Cluster 5	1,5	14,3	4,4	4,3	14,3	05_30_A	Cluster 5	1,5	26,8	17,3	17,9
05_30_B	Cluster 5	4,5	15,3	5,6	5	15,3	05_30_B	Cluster 5	4,5	26,9	17,1	18
05_30_C	Cluster 5	7,5	16,7	8,4	6,1	16,7	05_30_C	Cluster 5	7,5	27,3	19	19
05_31_A	Cluster 5	1,5	14,3	4,4	2,4	14,3	05_31_A	Cluster 5	1,5	25,8	17,2	19,8
05_31_B	Cluster 5	4,5	14,9	5,4	2,7	14,9	05_31_B	Cluster 5	4,5	25,2	19,4	19,4
05_31_C	Cluster 5	7,5	16,4	8,1	4,1	16,4	05_31_C	Cluster 5	7,5	27	21,6	21,6
05_32_A	Cluster 5	1,5	15,3	5	3,4	15,3	05_32_A	Cluster 5	1,5	26,9	17,8	23,2
05_32_B	Cluster 5	4,5	16,3	6,3	4,2	16,3	05_32_B	Cluster 5	4,5	27,1	18,9	23,4
05_32_C	Cluster 5	7,5	17,5	8,4	5,4	17,5	05_32_C	Cluster 5	7,5	27,6	20	23,5
05_33_A	Cluster 5	1,5	18	5,5	5,9	18	05_33_A	Cluster 5	1,5	28,7	18,1	26

Bijlage IV-1 Rekenresultaten L_{Ar,LT} en L_{Amax} niet-wedstrijddag

Rekenresultaten L _{Ar,LT} niet-wedstrijddag							Rekenresultaten L _{Amax} niet-wedstrijddag					
Naam	Omschrijving	Hoogte	Dag	Avond	Nacht	Etmaal	Naam	Omschrijv	Hoogte	Dag	Avond	Nacht
05_33_B	Cluster 5	4,5	21,1	6,7	7,7	21,1	05_33_B	Cluster 5	4,5	33,4	18,8	24,3
05_33_C	Cluster 5	7,5	22	8,5	8,8	22	05_33_C	Cluster 5	7,5	34	19,8	28,4
05_34_A	Cluster 5	1,5	19,7	4,6	7,3	19,7	05_34_A	Cluster 5	1,5	30,9	19,1	21,4
05_34_B	Cluster 5	4,5	23,5	5,7	10,8	23,5	05_34_B	Cluster 5	4,5	36,6	19,8	22
05_34_C	Cluster 5	7,5	24,3	7,2	11,7	24,3	05_34_C	Cluster 5	7,5	36,6	19,7	24,4
05_35_A	Cluster 5	1,5	18,9	5,2	5,6	18,9	05_35_A	Cluster 5	1,5	29,4	18,1	19,9
05_35_B	Cluster 5	4,5	23	6,1	8,5	23	05_35_B	Cluster 5	4,5	36	18,7	20,4
05_35_C	Cluster 5	7,5	24	7,5	9,7	24	05_35_C	Cluster 5	7,5	36,6	19,7	22
05_36_A	Cluster 5	1,5	20,7	9,4	8,7	20,7	05_36_A	Cluster 5	1,5	33,3	18,2	20,1
05_36_B	Cluster 5	4,5	25,1	10	11,8	25,1	05_36_B	Cluster 5	4,5	36,5	18,9	27,4
05_36_C	Cluster 5	7,5	26,4	9,3	13	26,4	05_36_C	Cluster 5	7,5	36,6	20,1	27,7
S_01_A	SMCD	2	17	9,2	6,2	17	S_01_A	SMCD	2	28,7	17,7	20,1
S_01_B	SMCD	5	17,8	9,9	6,7	17,8	S_01_B	SMCD	5	28,9	19,2	26,3
S_02_A	SMCD	2	17,3	9,3	5	17,3	S_02_A	SMCD	2	28,8	19,9	20,1
S_02_B	SMCD	5	19,1	11,1	6,7	19,1	S_02_B	SMCD	5	29,8	21,4	21,4
S_03_A	SMCD	2	17,6	10,5	6,1	17,6	S_03_A	SMCD	2	29,4	21,3	21,3
S_03_B	SMCD	5	18,7	12	7,7	18,7	S_03_B	SMCD	5	30,1	22,3	23,4
S_04_A	SMCD	2	18,7	11	6,7	18,7	S_04_A	SMCD	2	29,9	24,7	24,7
S_04_B	SMCD	5	19,9	12,3	8,2	19,9	S_04_B	SMCD	5	30,2	24,5	24,5
S_05_A	SMCD	2	12,8	4,9	0,9	12,8	S_05_A	SMCD	2	22,2	13,9	13,9
S_05_B	SMCD	5	13,7	5,9	1,8	13,7	S_05_B	SMCD	5	24,2	15,4	15,4
S_06_A	SMCD	2	16,2	7,3	4,5	16,2	S_06_A	SMCD	2	28,7	19,1	19,1
S_06_B	SMCD	5	16,8	8,6	5,4	16,8	S_06_B	SMCD	5	29,1	20,3	20,3
S_07_A	SMCD	2	14,4	8,4	3,5	14,4	S_07_A	SMCD	2	26,5	17,5	17,5
S_07_B	SMCD	5	15,3	10,4	5,1	15,4	S_07_B	SMCD	5	27,7	20,4	20,4
S_08_A	SMCD	1,5	21,4	4,6	9,9	21,4	S_08_A	SMCD	1,5	32,6	15,9	24,5
S_08_B	SMCD	5	25,2	4,1	11,9	25,2	S_08_B	SMCD	5	37,8	15,9	25
S_08_C	SMCD	8,5	26,2	4,9	12,5	26,2	S_08_C	SMCD	8,5	37,5	16,5	24,1
S_08_D	SMCD	12	27	6,6	12,8	27	S_08_D	SMCD	12	39,4	18,3	28,2
S_09_A	SMCD	1,5	20,9	4,6	8,8	20,9	S_09_A	SMCD	1,5	32,7	16,5	26,6
S_09_B	SMCD	5	25	4,7	11	25	S_09_B	SMCD	5	34,9	16,4	27,1
S_09_C	SMCD	8,5	26,5	5,5	12,7	26,5	S_09_C	SMCD	8,5	38,8	16,9	24
S_09_D	SMCD	12	27,4	7,1	13,1	27,4	S_09_D	SMCD	12	39,7	18,6	27,8
S_10_A	SMCD	1,5	21,9	5,3	9,2	21,9	S_10_A	SMCD	1,5	34,5	17,2	27,7
S_10_B	SMCD	5	24,5	5,4	10,5	24,5	S_10_B	SMCD	5	35,2	17,1	28,4
S_10_C	SMCD	8,5	28,3	6,3	14,5	28,3	S_10_C	SMCD	8,5	41,5	17,5	25,6
S_10_D	SMCD	12	29,2	7,7	14,8	29,2	S_10_D	SMCD	12	41,7	19	29,4
S_11_A	SMCD	1,5	21,4	6,3	8,6	21,4	S_11_A	SMCD	1,5	33,7	18,2	22,9
S_11_B	SMCD	5	23,7	6,4	8,8	23,7	S_11_B	SMCD	5	35,3	18,1	23,7
S_11_C	SMCD	8,5	27,1	7,3	13,1	27,1	S_11_C	SMCD	8,5	39,3	18,4	27
S_11_D	SMCD	12	28,1	8,6	13,5	28,1	S_11_D	SMCD	12	40,2	19,8	27,2
S_12_A	SMCD	1,5	21,5	7,7	8,4	21,5	S_12_A	SMCD	1,5	33,4	20,7	23,4
S_12_B	SMCD	5	23,8	7,9	9,4	23,8	S_12_B	SMCD	5	35,8	19,5	20,7
S_12_C	SMCD	8,5	27,5	8,8	13,3	27,5	S_12_C	SMCD	8,5	39,6	19,7	26,8
S_12_D	SMCD	12	28,6	9,8	13,8	28,6	S_12_D	SMCD	12	40,5	20,8	27
S_13_A	SMCD	1,5	20,9	10,4	9,3	20,9	S_13_A	SMCD	1,5	33,3	17,2	20,5
S_13_B	SMCD	5	23	10,3	10,3	23	S_13_B	SMCD	5	35,3	17,3	19,6
S_13_C	SMCD	8,5	27,9	11,3	13,5	27,9	S_13_C	SMCD	8,5	39,8	17,4	26,6
S_13_D	SMCD	12	29,1	12,1	14,1	29,1	S_13_D	SMCD	12	40,7	17,8	26,9
S_14_A	SMCD	1,5	17,8	10,7	8	18	S_14_A	SMCD	1,5	30,3	17,7	25
S_15_A	SMCD	1,5	14,7	6,1	2,6	14,7	S_15_A	SMCD	1,5	25,3	19,2	19,2
S_16_A	SMCD	1,5	15,8	9,6	4,7	15,8	S_16_A	SMCD	1,5	27,3	23,2	23,2
S_17_A	SMCD	5	19,4	11,3	7,1	19,4	S_17_A	SMCD	5	29,9	22,4	22,4
S_17_B	SMCD	8,5	29,8	21,8	17,3	29,8	S_17_B	SMCD	8,5	39,8	31,4	31,4
S_17_C	SMCD	12	31,1	22,6	18,2	31,1	S_17_C	SMCD	12	41	31,7	31,7
S_18_A	SMCD	1,5	17	9,2	5,6	17	S_18_A	SMCD	1,5	30,3	21,6	21,7
S_18_B	SMCD	5	20,1	13,6	8,4	20,1	S_18_B	SMCD	5	31	23,9	23,9
S_18_C	SMCD	8,5	29,9	23,6	18	29,9	S_18_C	SMCD	8,5	39,9	31,7	31,7
S_18_D	SMCD	12	31,3	24,3	18,9	31,3	S_18_D	SMCD	12	41	32,8	32,8
S_19_A	SMCD	1,5	20,4	12,2	8,1	20,4	S_19_A	SMCD	1,5	31,7	26,2	26,2
S_19_B	SMCD	5	25,9	20,9	14,2	25,9	S_19_B	SMCD	5	36,9	28,5	28,5
S_19_C	SMCD	8,5	30,5	23,4	18,1	30,5	S_19_C	SMCD	8,5	41,6	32,7	32,7
S_20_A	SMCD	1,5	21,1	13,9	8,9	21,1	S_20_A	SMCD	1,5	31,2	26,7	26,7
S_20_B	SMCD	5	26,6	16	10,8	26,6	S_20_B	SMCD	5	36,4	24,4	24,4
S_20_C	SMCD	8,5	30,5	23,4	17,5	30,5	S_20_C	SMCD	8,5	41,9	33,9	33,9
S_21_A	SMCD	1,5	22,1	18,7	12,9	23,7	S_21_A	SMCD	1,5	35,3	25,9	25,9

Bijlage IV-1 Rekenresultaten L_{Ar,LT} en L_{Amax} niet-wedstrijddag

Rekenresultaten L _{Ar,LT} niet-wedstrijddag							Rekenresultaten L _{Amax} niet-wedstrijddag					
Naam	Omschrijving	Hoogte	Dag	Avond	Nacht	Etmaal	Naam	Omschrijv	Hoogte	Dag	Avond	Nacht
S_21_B	SMCD	5	25,2	23,5	16,9	28,5	S_21_B	SMCD	5	38	27,8	27,8
S_21_C	SMCD	8,5	30,6	24,6	19,1	30,6	S_21_C	SMCD	8,5	40,9	31,7	31,7
S_22_A	SMCD	1,5	23,1	10,4	8,1	23,1	S_22_A	SMCD	1,5	35,2	17,5	20,7
S_22_B	SMCD	5	27,2	14	11,1	27,2	S_22_B	SMCD	5	40,9	22,4	22,4
S_22_C	SMCD	8,5	31,4	10,2	12,3	31,4	S_22_C	SMCD	8,5	42,7	18,1	25,1
S_23_A	SMCD	1,5	23,2	9,8	8,3	23,2	S_23_A	SMCD	1,5	34	17,9	20,1
S_23_B	SMCD	5	27,3	12,6	10,6	27,3	S_23_B	SMCD	5	41,2	20,4	24,2
S_23_C	SMCD	8,5	31,6	10,4	12,5	31,6	S_23_C	SMCD	8,5	42,9	18,5	26
S_24_A	SMCD	1,5	23	16,2	10,1	23	S_24_A	SMCD	1,5	33	19,7	21
S_24_B	SMCD	5	27,6	20,5	13,9	27,6	S_24_B	SMCD	5	39,9	20,4	24,4
S_24_C	SMCD	8,5	31,5	21,1	14,8	31,5	S_24_C	SMCD	8,5	43,1	20,2	23,4
S_24_D	SMCD	12	32,3	23,1	17	32,3	S_24_D	SMCD	12	43,2	21,3	23,9
S_25_A	SMCD	1,5	23,7	16,7	12,7	23,7	S_25_A	SMCD	1,5	33,2	29,6	29,6
S_25_B	SMCD	5	27,3	23,8	17,3	28,8	S_25_B	SMCD	5	37,3	31,2	31,2
S_25_C	SMCD	8,5	31	25,3	19,5	31	S_25_C	SMCD	8,5	41,6	32,3	32,3
S_25_D	SMCD	12	32,3	25,9	20,4	32,3	S_25_D	SMCD	12	42	33,7	33,7
S_26_A	SMCD	1,5	24,5	18,3	13	24,5	S_26_A	SMCD	1,5	35,8	28,2	28,2
S_26_B	SMCD	5	27,1	23,2	16,7	28,2	S_26_B	SMCD	5	36,8	28,8	28,8
S_26_C	SMCD	8,5	30,6	25,1	19,4	30,6	S_26_C	SMCD	8,5	41,4	31,1	31,1
S_26_D	SMCD	12	32,3	25,9	20,4	32,3	S_26_D	SMCD	12	41,9	33,5	33,5
S_27_A	SMCD	1,5	25,2	19,7	13,6	25,2	S_27_A	SMCD	1,5	37,3	25,8	25,8
S_27_B	SMCD	5	27,7	22,4	15,9	27,7	S_27_B	SMCD	5	36,9	28,1	28,1
S_27_C	SMCD	8,5	30,7	24,8	19,2	30,7	S_27_C	SMCD	8,5	41,3	30,9	30,9
S_27_D	SMCD	12	32,2	25,6	20,2	32,2	S_27_D	SMCD	12	42	33,3	33,3
S_28_A	SMCD	1,5	24,6	19,4	13,2	24,6	S_28_A	SMCD	1,5	35,6	23,8	23,8
S_28_B	SMCD	5	27,6	21,9	15,6	27,6	S_28_B	SMCD	5	37,2	26,4	26,9
S_28_C	SMCD	8,5	30,6	24,5	19,1	30,6	S_28_C	SMCD	8,5	41,2	32	32
S_28_D	SMCD	12	31,9	25,3	20,1	31,9	S_28_D	SMCD	12	41,6	33,6	33,6
S_29_A	SMCD	1,5	21,1	12,2	8,7	21,1	S_29_A	SMCD	1,5	31	22,2	22,2
S_29_B	SMCD	5	25,1	18,2	13,7	25,1	S_29_B	SMCD	5	35,6	26,6	26,6
S_29_C	SMCD	8,5	30,5	24,3	19,1	30,5	S_29_C	SMCD	8,5	41,3	32	32
S_29_D	SMCD	12	31,8	25	20	31,8	S_29_D	SMCD	12	41,6	33,5	33,5
S_30_A	SMCD	1,5	20,3	12,9	9	20,3	S_30_A	SMCD	1,5	31,9	24	24
S_30_B	SMCD	5	24,3	18	12,5	24,3	S_30_B	SMCD	5	34,1	24,9	24,9
S_30_C	SMCD	8,5	30,3	23,3	18	30,3	S_30_C	SMCD	8,5	41,2	30,5	30,5
S_30_D	SMCD	12	31,8	24,9	19,9	31,8	S_30_D	SMCD	12	41,5	33,4	33,4
S_31_A	SMCD	1,5	21,4	20	13,1	25	S_31_A	SMCD	1,5	31	24,1	24,1
S_31_B	SMCD	5	23,4	20,2	13,5	25,2	S_31_B	SMCD	5	32,9	25,6	25,6
S_31_C	SMCD	8,5	30	23,9	18,9	30	S_31_C	SMCD	8,5	40,8	30,7	30,7
S_31_D	SMCD	12	31,6	24,9	20	31,6	S_31_D	SMCD	12	41,6	33,7	33,7
S_32_A	SMCD	1,5	16,8	9,4	5,1	16,8	S_32_A	SMCD	1,5	30,9	23,3	23,3
S_32_B	SMCD	5	17,6	10,4	6,8	17,6	S_32_B	SMCD	5	30,1	24,2	24,2
S_32_C	SMCD	8,5	20,3	16,9	12,4	22,4	S_32_C	SMCD	8,5	37,2	28,3	28,3
S_32_D	SMCD	12	22,1	18	13,5	23,5	S_32_D	SMCD	12	39,7	29	29
S_33_A	SMCD	1,5	16,9	12,5	7,8	17,8	S_33_A	SMCD	1,5	27,8	23	23
S_33_B	SMCD	5	17,8	14,5	10	20	S_33_B	SMCD	5	28	23,2	23,2
S_33_C	SMCD	8,5	19,8	16,2	11,7	21,7	S_33_C	SMCD	8,5	30,6	23,9	23,9
S_33_D	SMCD	12	16,6	9,1	4,9	16,6	S_33_D	SMCD	12	28	19,4	19,4
S_34_A	SMCD	1,5	16,1	10,3	5,9	16,1	S_34_A	SMCD	1,5	25,8	21,4	21,4
S_34_B	SMCD	5	16,7	11,1	6,9	16,9	S_34_B	SMCD	5	26,1	21,7	21,7
S_34_C	SMCD	8,5	18,8	13,2	8,9	18,9	S_34_C	SMCD	8,5	30,1	22,6	22,6
S_34_D	SMCD	12	18,8	8,4	4,2	18,8	S_34_D	SMCD	12	31,2	19,4	19,4
S_35_A	SMCD	1,5	16,1	9,8	5,2	16,1	S_35_A	SMCD	1,5	28,6	20,4	20,4
S_35_B	SMCD	5	16,6	10,2	5,7	16,6	S_35_B	SMCD	5	28,7	20,9	20,9
S_35_C	SMCD	8,5	18,9	12,4	7,9	18,9	S_35_C	SMCD	8,5	30,8	21,9	21,9
S_35_D	SMCD	12	21,4	19,5	12,8	24,5	S_35_D	SMCD	12	34,2	24,3	24,3
S_36_A	SMCD	1,5	15,9	9,8	5	15,9	S_36_A	SMCD	1,5	27,2	22,3	22,3
S_36_B	SMCD	5	16,4	10,2	5,5	16,4	S_36_B	SMCD	5	27,5	22,8	22,8
S_36_C	SMCD	8,5	18,8	12,6	7,8	18,8	S_36_C	SMCD	8,5	29,7	24,1	24,1
S_36_D	SMCD	12	16,8	12,8	8,4	18,4	S_36_D	SMCD	12	30	19,3	19,3
S_37_A	SMCD	1,5	15,9	10	5	15,9	S_37_A	SMCD	1,5	27,3	20,4	20,4
S_37_B	SMCD	5	16,4	10,5	5,5	16,4	S_37_B	SMCD	5	27,5	20,9	20,9
S_37_C	SMCD	8,5	18,7	12,9	7,7	18,7	S_37_C	SMCD	8,5	29,7	21,9	21,9
S_37_D	SMCD	12	19,1	8,8	4,8	19,1	S_37_D	SMCD	12	31,4	19,3	21,3
S_38_A	SMCD	1,5	14,8	9,9	4,8	14,9	S_38_A	SMCD	1,5	26,5	22,1	22,1
S_38_B	SMCD	5	15,2	10,5	5,2	15,5	S_38_B	SMCD	5	27,2	22,6	22,6

Bijlage IV-1 Rekenresultaten L_{Ar,LT} en L_{Amax} niet-wedstrijddag

Rekenresultaten L _{Ar,LT} niet-wedstrijddag							Rekenresultaten L _{Amax} niet-wedstrijddag					
Naam	Omschrijving	Hoogte	Dag	Avond	Nacht	Etmaal	Naam	Omschrijv	Hoogte	Dag	Avond	Nacht
S_38_C	SMCD	8,5	17,6	12,9	7,1	17,9	S_38_C	SMCD	8,5	30,6	23,8	23,8
S_38_D	SMCD	12	25,1	20,3	14,2	25,3	S_38_D	SMCD	12	34,8	26,1	26,1
S_39_A	SMCD	1,5	13,3	8,3	2,7	13,3	S_39_A	SMCD	1,5	22,7	20,5	20,5
S_39_B	SMCD	5	13,6	8,7	3,1	13,7	S_39_B	SMCD	5	22,6	20,8	20,8
S_39_C	SMCD	8,5	15,2	9,9	4	15,2	S_39_C	SMCD	8,5	26,5	21,1	21,1
S_40_A	SMCD	1,5	13,7	9	4,3	14,3	S_40_A	SMCD	1,5	23,7	22,2	22,2
S_40_B	SMCD	5	14	9,6	4,8	14,8	S_40_B	SMCD	5	24	22,8	22,8
S_40_C	SMCD	8,5	15,9	12,2	6,9	17,2	S_40_C	SMCD	8,5	26,2	24	24
S_41_A	SMCD	1,5	13,7	9,9	4,7	14,9	S_41_A	SMCD	1,5	23,4	22,3	22,3
S_41_B	SMCD	5	14	10,6	5,2	15,6	S_41_B	SMCD	5	24	22,9	22,9
S_41_C	SMCD	8,5	16	14,1	7,9	19,1	S_41_C	SMCD	8,5	26,6	24,2	24,2
S_42_A	SMCD	1,5	14,2	9,2	4,9	14,9	S_42_A	SMCD	1,5	25	22,4	22,4
S_42_B	SMCD	5	13,8	10,1	5,1	15,1	S_42_B	SMCD	5	24,1	22,9	22,9
S_42_C	SMCD	8,5	16	13,6	7,8	18,6	S_42_C	SMCD	8,5	26,9	24,3	24,3
S_43_A	SMCD	1,5	15,6	8,5	4	15,6	S_43_A	SMCD	1,5	24,9	19,9	19,9
S_43_B	SMCD	5	15,4	9	4,2	15,4	S_43_B	SMCD	5	25,8	20,4	20,4
S_43_C	SMCD	8,5	18,4	11,8	6,9	18,4	S_43_C	SMCD	8,5	30,9	21,8	21,8
S_43_D	SMCD	12	25,1	17,2	12,7	25,1	S_43_D	SMCD	12	35,4	25,4	25,4
S_44_A	SMCD	1,5	17,1	11,4	5,8	17,1	S_44_A	SMCD	1,5	26,9	20,1	20,1
S_44_B	SMCD	5	16,2	8,4	4,6	16,2	S_44_B	SMCD	5	26,5	20,6	20,6
S_44_C	SMCD	8,5	18,9	11,3	7,2	18,9	S_44_C	SMCD	8,5	30,1	22,1	22,1
S_44_D	SMCD	12	23,8	17,1	12,3	23,8	S_44_D	SMCD	12	34	26	26
S_45_A	SMCD	1,5	17,4	10,2	5,3	17,4	S_45_A	SMCD	1,5	28	24	24
S_45_B	SMCD	5	17,2	8,5	5	17,2	S_45_B	SMCD	5	29,8	20,3	20,3
S_45_C	SMCD	8,5	18,5	11,7	7,6	18,5	S_45_C	SMCD	8,5	29,6	26,5	26,5
S_45_D	SMCD	12	23,3	16,8	11,9	23,3	S_45_D	SMCD	12	33,6	29,8	29,8
S_46_A	SMCD	1,5	17,8	8,4	4,4	17,8	S_46_A	SMCD	1,5	31,2	20,5	20,5
S_46_B	SMCD	5	17,1	9,2	5,3	17,1	S_46_B	SMCD	5	27,8	21	21
S_46_C	SMCD	8,5	18,6	11,8	7,6	18,6	S_46_C	SMCD	8,5	29,8	22,3	22,3
S_46_D	SMCD	12	23,4	17	12,1	23,4	S_46_D	SMCD	12	33,9	25,7	25,7
S_47_A	SMCD	1,5	18,8	11,8	6,8	18,8	S_47_A	SMCD	1,5	31,4	21,9	21,9
S_47_B	SMCD	5	19,3	13	8,4	19,3	S_47_B	SMCD	5	33,7	22,3	22,3
S_47_C	SMCD	8,5	20,3	17,8	13,3	23,3	S_47_C	SMCD	8,5	36,4	27,2	27,2
S_47_D	SMCD	12	24,2	20	15,3	25,3	S_47_D	SMCD	12	38,4	27,4	27,4
S_48_A	SMCD	1,5	18,6	15,1	8,4	20,1	S_48_A	SMCD	1,5	32,7	30,7	30,7
S_48_B	SMCD	5	18,9	10,8	6,6	18,9	S_48_B	SMCD	5	33,5	31,5	31,5
S_48_C	SMCD	8,5	18,1	11	6,9	18,1	S_48_C	SMCD	8,5	31,7	31,7	31,7
S_48_D	SMCD	12	20,3	13,4	9,1	20,3	S_48_D	SMCD	12	32,4	31,9	31,9
S_49_A	SMCD	1,5	13,1	9,9	5,3	15,3	S_49_A	SMCD	1,5	28,1	22,3	22,3
S_49_B	SMCD	5	13,5	10,9	6,4	16,4	S_49_B	SMCD	5	30	19,9	19,9
S_49_C	SMCD	8,5	13,4	6	1,7	13,4	S_49_C	SMCD	8,5	24,5	17,8	17,8
S_49_D	SMCD	12	15,5	7,9	3,8	15,5	S_49_D	SMCD	12	27	18,1	18,1
S_50_A	SMCD	1,5	12,1	7,5	3	13	S_50_A	SMCD	1,5	27	17,6	17,6
S_50_B	SMCD	5	11,7	4,5	0	11,7	S_50_B	SMCD	5	22,7	17,6	17,6
S_50_C	SMCD	8,5	12,7	5,2	0,8	12,7	S_50_C	SMCD	8,5	23,2	17,7	17,7
S_50_D	SMCD	12	14,9	7,3	3,1	14,9	S_50_D	SMCD	12	26,1	18	18
S_51_A	SMCD	1,5	11,5	4,3	-0,2	11,5	S_51_A	SMCD	1,5	22,2	17,4	17,4
S_51_B	SMCD	5	11,6	4,2	-0,3	11,6	S_51_B	SMCD	5	20,6	17,4	17,4
S_51_C	SMCD	8,5	12,6	5,2	0,8	12,6	S_51_C	SMCD	8,5	23	17,6	17,6
S_51_D	SMCD	12	14,9	7,2	3,2	14,9	S_51_D	SMCD	12	26,1	17,9	17,9
S_52_A	SMCD	1,5	11,7	4,9	-0,2	11,7	S_52_A	SMCD	1,5	21,2	17,3	17,3
S_52_B	SMCD	5	11,8	4,5	-0,3	11,8	S_52_B	SMCD	5	20,8	17,3	17,3
S_52_C	SMCD	8,5	12,7	5,4	0,7	12,7	S_52_C	SMCD	8,5	22,9	17,6	17,6
S_52_D	SMCD	12	15	7,5	3,1	15	S_52_D	SMCD	12	26,1	17,9	17,9
S_53_A	SMCD	1,5	11,6	4,5	-0,5	11,6	S_53_A	SMCD	1,5	20,9	17,3	17,3
S_53_B	SMCD	5	11,8	4,5	-0,5	11,8	S_53_B	SMCD	5	21,3	17,3	17,3
S_53_C	SMCD	8,5	12,7	5,1	0,1	12,7	S_53_C	SMCD	8,5	22,8	17,6	17,6
S_53_D	SMCD	12	15	7,5	3,1	15	S_53_D	SMCD	12	26	17,9	17,9
S_54_A	SMCD	1,5	11,6	4,4	-0,5	11,6	S_54_A	SMCD	1,5	20,9	17,1	17,1
S_54_B	SMCD	5	11,8	4,6	-0,4	11,8	S_54_B	SMCD	5	21,3	17,3	17,3
S_54_C	SMCD	8,5	12,8	5,8	0,7	12,8	S_54_C	SMCD	8,5	23,1	17,8	17,8
S_54_D	SMCD	12	16,2	11,7	6,4	16,7	S_54_D	SMCD	12	28,3	19,2	19,2
S_55_A	SMCD	1,5	11,4	4,6	-0,2	11,4	S_55_A	SMCD	1,5	20,7	17,5	17,5
S_55_B	SMCD	5	11,6	4,9	0,1	11,6	S_55_B	SMCD	5	21,1	17,8	17,8
S_55_C	SMCD	8,5	12,8	7	2	12,8	S_55_C	SMCD	8,5	22,5	18,6	18,6
S_55_D	SMCD	12	16,6	13,7	8,3	18,7	S_55_D	SMCD	12	28,2	21,6	21,6

Bijlage IV-1 Rekenresultaten $L_{Ar,LT}$ en L_{Amax} niet-wedstrijddag

Rekenresultaten $L_{Ar,LT}$ niet-wedstrijddag							Rekenresultaten L_{Amax} niet-wedstrijddag					
Naam	Omschrijving	Hoogte	Dag	Avond	Nacht	Etmaal	Naam	Omschrijv	Hoogte	Dag	Avond	Nacht
S_56_A	SMCD	1,5	11,2	4,8	0,2	11,2	S_56_A	SMCD	1,5	20,5	12,9	12,9
S_56_B	SMCD	5	11,4	5,3	0,6	11,4	S_56_B	SMCD	5	20,8	14,3	14,3
S_56_C	SMCD	8,5	12,8	7,8	2,9	12,9	S_56_C	SMCD	8,5	23,5	17,1	17,1
S_56_D	SMCD	12	16,8	14,3	9	19,3	S_56_D	SMCD	12	29,1	21,8	21,8
S_57_A	SMCD	1,5	11,1	5,1	0,5	11,1	S_57_A	SMCD	1,5	20,2	13,9	13,9
S_57_B	SMCD	5	11,4	5,8	1,2	11,4	S_57_B	SMCD	5	21,2	15,1	15,1
S_57_C	SMCD	8,5	12,8	8,4	3,7	13,7	S_57_C	SMCD	8,5	24,3	17,8	17,8
S_57_D	SMCD	12	16,9	14,7	9,6	19,7	S_57_D	SMCD	12	29,7	22,1	22,1
S_58_A	SMCD	1,5	14	5,4	0,9	14	S_58_A	SMCD	1,5	29,5	14,6	14,6
S_58_B	SMCD	5	11,3	6,2	1,6	11,6	S_58_B	SMCD	5	21,8	15,9	15,9
S_58_C	SMCD	8,5	12,9	9	4,3	14,3	S_58_C	SMCD	8,5	24,8	18,3	18,3
S_58_D	SMCD	12	16,8	15	9,9	20	S_58_D	SMCD	12	30,4	22,2	22,2
S_59_A	SMCD	1,5	10,4	3,2	-1,6	10,4	S_59_A	SMCD	1,5	20	15,2	15,2
S_59_B	SMCD	5	10,6	3,3	-1,5	10,6	S_59_B	SMCD	5	20,2	10,9	10,9
S_59_C	SMCD	8,5	11,8	3,9	-0,7	11,8	S_59_C	SMCD	8,5	22	12,4	12,4
S_59_D	SMCD	12	14,3	6,1	1,4	14,3	S_59_D	SMCD	12	26,2	15,2	15,2
S_60_A	SMCD	1,5	10,5	3,2	-1,6	10,5	S_60_A	SMCD	1,5	20	15,3	15,3
S_60_B	SMCD	5	10,7	3,4	-1,4	10,7	S_60_B	SMCD	5	20,3	11,4	11,4
S_60_C	SMCD	8,5	12,1	4,3	-0,3	12,1	S_60_C	SMCD	8,5	22,2	13	13
S_60_D	SMCD	12	15,4	8,4	3,3	15,4	S_60_D	SMCD	12	27,7	17,3	17,3
S_61_A	SMCD	1,5	12,2	4,6	-0,1	12,2	S_61_A	SMCD	1,5	25,4	14	14
S_61_B	SMCD	5	11,1	5,4	0,7	11,1	S_61_B	SMCD	5	23,5	15	15
S_61_C	SMCD	8,5	12,9	7,9	3,1	13,1	S_61_C	SMCD	8,5	25,7	15,9	15,9
S_61_D	SMCD	12	18	14,2	9,1	19,2	S_61_D	SMCD	12	31,4	21	21
S_62_A	SMCD	1,5	13,8	7,9	3,1	13,8	S_62_A	SMCD	1,5	25,2	15,7	15,7
S_62_B	SMCD	5	14,2	9,3	4,4	14,4	S_62_B	SMCD	5	25,2	16,8	16,8
S_62_C	SMCD	8,5	17,2	12,9	7,7	17,9	S_62_C	SMCD	8,5	28	18,9	18,9
S_63_A	SMCD	1,5	14,9	8,2	3,6	14,9	S_63_A	SMCD	1,5	25,2	16,7	16,7
S_63_B	SMCD	5	15,2	9,7	5	15,2	S_63_B	SMCD	5	25,8	17,2	17,2
S_63_C	SMCD	8,5	18,2	13	7,9	18,2	S_63_C	SMCD	8,5	29,2	19,2	19,2
S_64_A	SMCD	1,5	15,3	9,2	4,8	15,3	S_64_A	SMCD	1,5	27,7	16,8	16,8
S_64_B	SMCD	5	16,2	9,6	5,5	16,2	S_64_B	SMCD	5	26,5	17,6	17,6
S_64_C	SMCD	8,5	18,7	12,6	7,8	18,7	S_64_C	SMCD	8,5	29,9	19,4	19,4
S_65_A	SMCD	1,5	14,2	8,8	4,6	14,6	S_65_A	SMCD	1,5	23,8	18,2	18,2
S_65_B	SMCD	5	15,8	12	6,9	17	S_65_B	SMCD	5	28,4	19,3	19,3
S_65_C	SMCD	8,5	12	3,8	0	12	S_65_C	SMCD	8,5	21,6	15,7	15,7
S_66_A	SMCD	1,5	15	7,5	3,5	15	S_66_A	SMCD	1,5	27,8	16,6	16,6
S_66_B	SMCD	5	15,1	11,4	5,5	16,4	S_66_B	SMCD	5	26,1	18,2	18,2
S_66_C	SMCD	8,5	11,8	3	-0,8	11,8	S_66_C	SMCD	8,5	21,7	13,7	13,7
S_67_A	SMCD	1,5	14,1	7,3	3,7	14,1	S_67_A	SMCD	1,5	25,5	9,5	10,6
S_67_B	SMCD	5	14,9	10,4	5	15,4	S_67_B	SMCD	5	25,5	11,7	11,7
S_67_C	SMCD	8,5	12,2	3,2	-0,6	12,2	S_67_C	SMCD	8,5	21,9	13,5	13,5
S_68_A	SMCD	1,5	14,9	8,3	3,6	14,9	S_68_A	SMCD	1,5	26	17,7	17,7
S_68_B	SMCD	5	15,1	11	5,2	16	S_68_B	SMCD	5	27,7	20,1	20,1
S_68_C	SMCD	8,5	12,4	3,5	-0,3	12,4	S_68_C	SMCD	8,5	23,2	13,6	13,6
S_69_A	SMCD	1,5	16,2	3,8	2,8	16,2	S_69_A	SMCD	1,5	28,4	14,9	14,9
S_69_B	SMCD	5	12,6	3	-1,8	12,6	S_69_B	SMCD	5	26,2	10,7	10,7
S_69_C	SMCD	8,5	12,6	3,6	-0,3	12,6	S_69_C	SMCD	8,5	23,1	13,9	13,9
S_70_A	SMCD	1,5	19,5	8,8	8,4	19,5	S_70_A	SMCD	1,5	29,7	17,9	17,9
S_70_B	SMCD	5	11,8	10,5	3,8	15,5	S_70_B	SMCD	5	20,6	19,6	19,6
S_70_C	SMCD	8,5	12,1	3,9	-0,9	12,1	S_70_C	SMCD	8,5	22,5	12,4	12,4
S_70_D	SMCD	12	15,2	7,6	3,2	15,2	S_70_D	SMCD	12	27	16,3	16,3
S_71_A	SMCD	1,5	13,8	7,7	4,9	14,9	S_71_A	SMCD	1,5	24,6	20,4	20,4
S_71_B	SMCD	5	10,8	6	1,2	11,2	S_71_B	SMCD	5	22,6	20,8	20,8
S_71_C	SMCD	8,5	11,4	3,9	-0,9	11,4	S_71_C	SMCD	8,5	20,7	12,8	12,8
S_71_D	SMCD	12	14	6,9	2,6	14	S_71_D	SMCD	12	25,5	15,8	15,8
S_72_A	SMCD	1,5	11,7	8,4	2,8	13,4	S_72_A	SMCD	1,5	22,1	18,2	18,2
S_72_B	SMCD	5	11,1	4	-0,8	11,1	S_72_B	SMCD	5	22	12,4	12,4
S_72_C	SMCD	8,5	11,8	3,8	-0,8	11,8	S_72_C	SMCD	8,5	23,1	13,3	13,3
S_72_D	SMCD	12	14,4	6,1	1,6	14,4	S_72_D	SMCD	12	26,4	16,2	16,2
S_73_A	SMCD	1,5	12,7	3,7	0,8	12,7	S_73_A	SMCD	1,5	24	14,5	19
S_73_B	SMCD	5	13,1	3,5	0,9	13,1	S_73_B	SMCD	5	24,1	13,4	19,2
S_73_C	SMCD	8,5	11,9	4,1	-0,5	11,9	S_73_C	SMCD	8,5	22,1	14,2	14,2
S_73_D	SMCD	12	14,3	5,9	1,6	14,3	S_73_D	SMCD	12	26,3	16,7	16,7
S_74_A	SMCD	1,5	16,6	7,5	5,4	16,6	S_74_A	SMCD	1,5	27,1	18,7	23,1
S_74_B	SMCD	5	14,1	6,7	3,3	14,1	S_74_B	SMCD	5	24,9	19,7	23,5

Bijlage IV-1 Rekenresultaten L_{Ar,LT} en L_{Amax} niet-wedstrijddag

Rekenresultaten L _{Ar,LT} niet-wedstrijddag							Rekenresultaten L _{Amax} niet-wedstrijddag					
Naam	Omschrijving	Hoogte	Dag	Avond	Nacht	Etmaal	Naam	Omschrijv	Hoogte	Dag	Avond	Nacht
S_74_C	SMCD	8,5	11,5	4,3	-0,2	11,5	S_74_C	SMCD	8,5	21,3	16,1	16,1
S_74_D	SMCD	12	13,9	6,5	2	13,9	S_74_D	SMCD	12	25,2	16,1	16,1
S_75_A	SMCD	1,5	19	6,6	7,3	19	S_75_A	SMCD	1,5	32	20	22,3
S_75_B	SMCD	5	20,8	2,8	9,4	20,8	S_75_B	SMCD	5	35	15,8	25,9
S_75_C	SMCD	8,5	12,3	2,9	0	12,3	S_75_C	SMCD	8,5	22,1	16	16
S_75_D	SMCD	12	14,3	4,9	1,8	14,3	S_75_D	SMCD	12	26	16	16
S_76_A	SMCD	1,5	13,3	8,7	3	13,7	S_76_A	SMCD	1,5	25,2	22,6	22,6
S_76_B	SMCD	5	14,4	10,7	4,9	15,7	S_76_B	SMCD	5	26,4	24	24
S_76_C	SMCD	8,5	18,5	17,6	12,4	22,6	S_76_C	SMCD	8,5	34,1	27,5	27,5
S_76_D	SMCD	12	23,5	23,8	17,6	28,8	S_76_D	SMCD	12	38,3	32	32
S_77_A	SMCD	1,5	13,5	8,2	2,9	13,5	S_77_A	SMCD	1,5	24,8	22,7	22,7
S_77_B	SMCD	5	14,5	10	4,6	15	S_77_B	SMCD	5	26	24,2	24,2
S_77_C	SMCD	8,5	18,4	16,9	11,9	21,9	S_77_C	SMCD	8,5	32,9	30,2	30,2
S_77_D	SMCD	12	23,6	21,7	15,2	26,7	S_77_D	SMCD	12	35,6	32,1	32,1
S_78_A	SMCD	1,5	13,7	9,5	3,5	14,5	S_78_A	SMCD	1,5	25,8	22,9	22,9
S_78_B	SMCD	5	14,7	13,4	6,5	18,4	S_78_B	SMCD	5	26,7	24,4	24,4
S_78_C	SMCD	8,5	18,3	20,5	13,6	25,5	S_78_C	SMCD	8,5	32,7	30,3	30,3
S_78_D	SMCD	12	18,7	11,7	6,6	18,7	S_78_D	SMCD	12	30,7	21,4	21,4
S_79_A	SMCD	1,5	15,2	9,6	3,7	15,2	S_79_A	SMCD	1,5	27,9	23,1	23,1
S_79_B	SMCD	5	16,3	14,5	7,5	19,5	S_79_B	SMCD	5	29,3	25,5	25,5
S_79_C	SMCD	8,5	21,8	20,8	14	25,8	S_79_C	SMCD	8,5	37,7	31,2	31,2
S_79_D	SMCD	12	15	5,4	1,8	15	S_79_D	SMCD	12	25,8	17,8	17,8
S_80_A	SMCD	1,5	16,8	10,6	4,8	16,8	S_80_A	SMCD	1,5	28,8	23	23
S_80_B	SMCD	5	18,9	16,1	9,2	21,1	S_80_B	SMCD	5	31,7	25,1	25,1
S_80_C	SMCD	8,5	24,8	21,2	14,5	26,2	S_80_C	SMCD	8,5	38,3	31,2	31,2
S_81_A	SMCD	1,5	16,7	10	5	16,7	S_81_A	SMCD	1,5	27,6	21,6	21,6
S_81_B	SMCD	5	18,4	15,6	8,8	20,6	S_81_B	SMCD	5	29,6	23,6	23,6
S_81_C	SMCD	8,5	23,9	20,1	13,3	25,1	S_81_C	SMCD	8,5	37,6	29,3	29,3
S_82_A	SMCD	1,5	16,7	10,3	5,4	16,7	S_82_A	SMCD	1,5	27,4	21,5	21,5
S_82_B	SMCD	5	18,4	15,8	9,1	20,8	S_82_B	SMCD	5	29,3	23,2	23,2
S_82_C	SMCD	8,5	23,3	20	13,3	25	S_82_C	SMCD	8,5	36,4	28,1	28,1
S_83_A	SMCD	1,5	16,6	10,6	5,6	16,6	S_83_A	SMCD	1,5	26,6	21,5	21,5
S_83_B	SMCD	5	18,4	15,2	8,7	20,2	S_83_B	SMCD	5	28,7	22,2	22,2
S_83_C	SMCD	8,5	24,5	19,8	13,3	24,8	S_83_C	SMCD	8,5	36,8	23,7	23,7
S_84_A	SMCD	1,5	16,9	10	5	16,9	S_84_A	SMCD	1,5	27,4	19,2	19,2
S_84_B	SMCD	5	18,6	16,4	9,3	21,4	S_84_B	SMCD	5	28,9	20	20
S_84_C	SMCD	8,5	24,5	19,1	12,2	24,5	S_84_C	SMCD	8,5	36,9	21,5	21,5
S_85_A	SMCD	1,5	16,6	4,3	2,4	16,6	S_85_A	SMCD	1,5	26,9	16,9	16,9
S_85_B	SMCD	5	18,3	4,5	3,2	18,3	S_85_B	SMCD	5	29,3	17,1	17,5
S_85_C	SMCD	8,5	24,5	5,3	7,4	24,5	S_85_C	SMCD	8,5	36,9	17,4	18,3
S_85_D	SMCD	12	17	11,4	6,2	17	S_85_D	SMCD	12	29,7	17,8	17,8
S_86_A	SMCD	1,5	15,2	4,2	2	15,2	S_86_A	SMCD	1,5	25,1	16,7	16,7
S_86_B	SMCD	5	16,6	4,5	3,1	16,6	S_86_B	SMCD	5	26,5	16,9	16,9
S_86_C	SMCD	8,5	22,5	6,4	8	22,5	S_86_C	SMCD	8,5	33,1	17,3	19,2
S_86_D	SMCD	12	22,2	12,5	9,2	22,2	S_86_D	SMCD	12	33,8	18	23,9
S_87_A	SMCD	1,5	15,3	3,9	1,7	15,3	S_87_A	SMCD	1,5	25,9	10,3	12,8
S_87_B	SMCD	5	17	4,2	3,2	17	S_87_B	SMCD	5	27,8	11,2	15,2
S_87_C	SMCD	8,5	23,8	6,3	8,6	23,8	S_87_C	SMCD	8,5	34,2	13,2	21,5
S_87_D	SMCD	12	26,6	13,2	12,1	26,6	S_87_D	SMCD	12	37,8	19,9	23,6
S_88_A	SMCD	1,5	15,7	3,6	2,2	15,7	S_88_A	SMCD	1,5	26	10,2	15,5
S_88_B	SMCD	5	17,5	3,9	3,8	17,5	S_88_B	SMCD	5	28	11	17,5
S_88_C	SMCD	8,5	24,8	6	9,7	24,8	S_88_C	SMCD	8,5	35,5	13	23,3
S_88_D	SMCD	12	28,6	12,7	13,1	28,6	S_88_D	SMCD	12	39,8	19,7	25,7
S_89_A	SMCD	1,5	15,5	3,3	1,9	15,5	S_89_A	SMCD	1,5	26,1	10,3	15,7
S_89_B	SMCD	5	17,3	3,6	3,3	17,3	S_89_B	SMCD	5	28,1	11	17,6
S_89_C	SMCD	8,5	26,5	5,8	10,3	26,5	S_89_C	SMCD	8,5	37,4	12,8	25,6
S_89_D	SMCD	12	28	12,6	12,2	28	S_89_D	SMCD	12	40,3	19,4	25,6
S_90_A	SMCD	1,5	16,9	9,1	5	16,9	S_90_A	SMCD	1,5	26,3	15,8	15,8
S_90_B	SMCD	5	19	11,8	7	19	S_90_B	SMCD	5	28,7	17,4	17,7
S_90_C	SMCD	8,5	29,1	21,1	15,4	29,1	S_90_C	SMCD	8,5	38,4	20,2	25,6
S_90_D	SMCD	12	30,3	23,4	17,4	30,3	S_90_D	SMCD	12	39,4	25,4	25,6
S_91_A	SMCD	1,5	16,2	8,6	4,6	16,2	S_91_A	SMCD	1,5	26,6	17,5	17,5
S_91_B	SMCD	5	18,4	11,3	6,7	18,4	S_91_B	SMCD	5	28,7	19,6	19,6
S_91_C	SMCD	8,5	27,9	21,2	15,3	27,9	S_91_C	SMCD	8,5	38	24,2	25,8
S_91_D	SMCD	12	29,4	22,8	17,2	29,4	S_91_D	SMCD	12	39,4	29,8	29,8
S_92_A	SMCD	1,5	15,6	8,1	3,8	15,6	S_92_A	SMCD	1,5	26,8	17,8	17,8

Bijlage IV-1 Rekenresultaten $L_{Ar,LT}$ en L_{Amax} niet-wedstrijddag

Rekenresultaten $L_{Ar,LT}$ niet-wedstrijddag							Rekenresultaten L_{Amax} niet-wedstrijddag					
Naam	Omschrijving	Hoogte	Dag	Avond	Nacht	Etmaal	Naam	Omschrijv	Hoogte	Dag	Avond	Nacht
S_92_B	SMCD	5	17,8	11,3	6,4	17,8	S_92_B	SMCD	5	28,7	20,1	20,1
S_92_C	SMCD	8,5	27,4	21,5	15,2	27,4	S_92_C	SMCD	8,5	38,5	25	25
S_92_D	SMCD	12	29,4	23,1	17,6	29,4	S_92_D	SMCD	12	41,3	30,6	30,6
S_93_A	SMCD	1,5	15,8	8	3,2	15,8	S_93_A	SMCD	1,5	27,7	20,2	20,2
S_93_B	SMCD	5	17,9	11,3	5,8	17,9	S_93_B	SMCD	5	29,9	21,1	21,1
S_93_C	SMCD	8,5	26,3	21,7	14,9	26,7	S_93_C	SMCD	8,5	37,4	26,7	26,7
S_93_D	SMCD	12	29,4	23	17	29,4	S_93_D	SMCD	12	41	32,4	32,4
S_94_A	SMCD	1,5	15,4	7,9	3,5	15,4	S_94_A	SMCD	1,5	26,9	21,2	21,2
S_94_B	SMCD	5	17,2	10,3	5,4	17,2	S_94_B	SMCD	5	28,8	23,5	23,5
S_94_C	SMCD	8,5	24,4	21,9	14,7	26,9	S_94_C	SMCD	8,5	35,1	28,8	28,8
S_94_D	SMCD	12	28,1	23	16,8	28,1	S_94_D	SMCD	12	39,2	33,1	33,1
S_95_A	SMCD	1,5	14	9	3,5	14	S_95_A	SMCD	1,5	24,7	20,7	20,7
S_95_B	SMCD	5	15,1	11,7	5,8	16,7	S_95_B	SMCD	5	26,7	22,4	22,4
S_95_C	SMCD	8,5	19,7	21,6	14,8	26,6	S_95_C	SMCD	8,5	34,8	26,9	26,9
S_95_D	SMCD	12	24,7	23,4	17,4	28,4	S_95_D	SMCD	12	38,3	31,3	31,3

Bijlage IV-2 Rekenresultaten L_{Ar,LT} en L_{Amax} dagperiode wedstrijd

Rekenresultaten L _{Ar,LT} dag wedstrijd				Rekenresultaten L _{Amax} dag wedstrijd			
Naam	Omschrijving	Hoogte	Dag	Naam	Omschrijving	Hoogte	Dag
01_01_A	Cluster 1	1,5	44,7	01_01_A	Cluster 1	1,5	59,7
01_01_B	Cluster 1	4,5	48,6	01_01_B	Cluster 1	4,5	63,6
01_01_C	Cluster 1	7,5	52,4	01_01_C	Cluster 1	7,5	67,4
01_02_A	Cluster 1	1,5	43,3	01_02_A	Cluster 1	1,5	58,3
01_02_B	Cluster 1	4,5	45,8	01_02_B	Cluster 1	4,5	60,8
01_02_C	Cluster 1	7,5	52,8	01_02_C	Cluster 1	7,5	67,8
01_03_A	Cluster 1	1,5	44,5	01_03_A	Cluster 1	1,5	59,5
01_03_B	Cluster 1	4,5	45,6	01_03_B	Cluster 1	4,5	60,6
01_03_C	Cluster 1	7,5	53,1	01_03_C	Cluster 1	7,5	68,1
01_04_A	Cluster 1	1,5	44,6	01_04_A	Cluster 1	1,5	59,6
01_04_B	Cluster 1	4,5	46,9	01_04_B	Cluster 1	4,5	61,9
01_04_C	Cluster 1	7,5	53,3	01_04_C	Cluster 1	7,5	68,3
01_05_A	Cluster 1	1,5	44,8	01_05_A	Cluster 1	1,5	59,8
01_05_B	Cluster 1	4,5	46,3	01_05_B	Cluster 1	4,5	61,3
01_05_C	Cluster 1	7,5	53,9	01_05_C	Cluster 1	7,5	68,9
01_06_A	Cluster 1	1,5	40	01_06_A	Cluster 1	1,5	55
01_06_B	Cluster 1	4,5	43,4	01_06_B	Cluster 1	4,5	58,4
01_06_C	Cluster 1	7,5	52,5	01_06_C	Cluster 1	7,5	67,5
01_07_A	Cluster 1	1,5	42,7	01_07_A	Cluster 1	1,5	57,7
01_07_B	Cluster 1	4,5	45,8	01_07_B	Cluster 1	4,5	60,8
01_07_C	Cluster 1	7,5	53	01_07_C	Cluster 1	7,5	68
01_08_A	Cluster 1	1,5	45	01_08_A	Cluster 1	1,5	60
01_08_B	Cluster 1	4,5	48,6	01_08_B	Cluster 1	4,5	63,6
01_08_C	Cluster 1	7,5	52	01_08_C	Cluster 1	7,5	67
01_09_A	Cluster 1	1,5	44,6	01_09_A	Cluster 1	1,5	59,6
01_09_B	Cluster 1	4,5	49,1	01_09_B	Cluster 1	4,5	64,1
01_09_C	Cluster 1	7,5	52,2	01_09_C	Cluster 1	7,5	67,2
01_10_A	Cluster 1	1,5	44,9	01_10_A	Cluster 1	1,5	59,9
01_10_B	Cluster 1	4,5	49,6	01_10_B	Cluster 1	4,5	64,6
01_10_C	Cluster 1	7,5	52,2	01_10_C	Cluster 1	7,5	67,2
01_100_A	Cluster 1	1,5	46,3	01_100_A	Cluster 1	1,5	61,3
01_100_B	Cluster 1	4,5	51,4	01_100_B	Cluster 1	4,5	66,4
01_100_C	Cluster 1	7,5	56,3	01_100_C	Cluster 1	7,5	71,3
01_101_A	Cluster 1	1,5	44,7	01_101_A	Cluster 1	1,5	59,7
01_101_B	Cluster 1	4,5	48,9	01_101_B	Cluster 1	4,5	63,9
01_101_C	Cluster 1	7,5	55,7	01_101_C	Cluster 1	7,5	70,7
01_11_A	Cluster 1	1,5	44	01_11_A	Cluster 1	1,5	59
01_11_B	Cluster 1	4,5	50	01_11_B	Cluster 1	4,5	65
01_11_C	Cluster 1	7,5	53,5	01_11_C	Cluster 1	7,5	68,5
01_12_A	Cluster 1	1,5	44,6	01_12_A	Cluster 1	1,5	59,6
01_12_B	Cluster 1	4,5	49,8	01_12_B	Cluster 1	4,5	64,8
01_13_A	Cluster 1	1,5	46	01_13_A	Cluster 1	1,5	61
01_13_B	Cluster 1	4,5	50,9	01_13_B	Cluster 1	4,5	65,9
01_14_A	Cluster 1	1,5	48,5	01_14_A	Cluster 1	1,5	63,5
01_14_B	Cluster 1	4,5	53,4	01_14_B	Cluster 1	4,5	68,4
01_15_A	Cluster 1	1,5	47,9	01_15_A	Cluster 1	1,5	62,9
01_15_B	Cluster 1	4,5	51,2	01_15_B	Cluster 1	4,5	66,2
01_16_A	Cluster 1	1,5	47,1	01_16_A	Cluster 1	1,5	62,1
01_16_B	Cluster 1	4,5	50	01_16_B	Cluster 1	4,5	65
01_16_C	Cluster 1	7,5	54,2	01_16_C	Cluster 1	7,5	69,2
01_17_A	Cluster 1	1,5	47,5	01_17_A	Cluster 1	1,5	62,5
01_17_B	Cluster 1	4,5	51,8	01_17_B	Cluster 1	4,5	66,8
01_17_C	Cluster 1	7,5	54,8	01_17_C	Cluster 1	7,5	69,8
01_18_A	Cluster 1	1,5	47,9	01_18_A	Cluster 1	1,5	62,9
01_18_B	Cluster 1	4,5	53,3	01_18_B	Cluster 1	4,5	68,3
01_18_C	Cluster 1	7,5	55,3	01_18_C	Cluster 1	7,5	70,3
01_19_A	Cluster 1	1,5	49	01_19_A	Cluster 1	1,5	64
01_19_B	Cluster 1	4,5	52,9	01_19_B	Cluster 1	4,5	67,9
01_19_C	Cluster 1	7,5	56,4	01_19_C	Cluster 1	7,5	71,4
01_20_A	Cluster 1	1,5	49,6	01_20_A	Cluster 1	1,5	64,6
01_20_B	Cluster 1	4,5	52,9	01_20_B	Cluster 1	4,5	67,9
01_20_C	Cluster 1	7,5	55,7	01_20_C	Cluster 1	7,5	70,7
01_21_A	Cluster 1	1,5	48,7	01_21_A	Cluster 1	1,5	63,7
01_21_B	Cluster 1	4,5	52,6	01_21_B	Cluster 1	4,5	67,6
01_21_C	Cluster 1	7,5	55,6	01_21_C	Cluster 1	7,5	70,6
01_22_A	Cluster 1	1,5	48,8	01_22_A	Cluster 1	1,5	63,8

Bijlage IV-2 Rekenresultaten L_{Ar,LT} en L_{Amax} dagperiode wedstrijd

Rekenresultaten L _{Ar,LT} dag wedstrijd				Rekenresultaten L _{Amax} dag wedstrijd			
Naam	Omschrijving	Hoogte	Dag	Naam	Omschrijving	Hoogte	Dag
01_22_B	Cluster 1	4,5	51,8	01_22_B	Cluster 1	4,5	66,8
01_22_C	Cluster 1	7,5	55,6	01_22_C	Cluster 1	7,5	70,6
01_23_A	Cluster 1	1,5	51,1	01_23_A	Cluster 1	1,5	66,1
01_23_B	Cluster 1	4,5	54,9	01_23_B	Cluster 1	4,5	69,9
01_23_C	Cluster 1	7,5	57,7	01_23_C	Cluster 1	7,5	72,7
01_24_A	Cluster 1	1,5	48,8	01_24_A	Cluster 1	1,5	63,8
01_24_B	Cluster 1	4,5	52,7	01_24_B	Cluster 1	4,5	67,7
01_24_C	Cluster 1	7,5	56,7	01_24_C	Cluster 1	7,5	71,7
01_25_A	Cluster 1	1,5	49,6	01_25_A	Cluster 1	1,5	64,6
01_25_B	Cluster 1	4,5	53	01_25_B	Cluster 1	4,5	68
01_26_A	Cluster 1	1,5	48	01_26_A	Cluster 1	1,5	63
01_26_B	Cluster 1	4,5	51,1	01_26_B	Cluster 1	4,5	66,1
01_27_A	Cluster 1	1,5	49,2	01_27_A	Cluster 1	1,5	64,2
01_27_B	Cluster 1	4,5	53,1	01_27_B	Cluster 1	4,5	68,1
01_28_A	Cluster 1	1,5	45,9	01_28_A	Cluster 1	1,5	60,9
01_28_B	Cluster 1	4,5	49,6	01_28_B	Cluster 1	4,5	64,6
01_29_A	Cluster 1	1,5	46,9	01_29_A	Cluster 1	1,5	61,9
01_29_B	Cluster 1	4,5	50,3	01_29_B	Cluster 1	4,5	65,3
01_29_C	Cluster 1	7,5	48,8	01_29_C	Cluster 1	7,5	63,8
01_30_A	Cluster 1	1,5	43,8	01_30_A	Cluster 1	1,5	58,8
01_30_B	Cluster 1	4,5	47,7	01_30_B	Cluster 1	4,5	62,7
01_30_C	Cluster 1	7,5	47,7	01_30_C	Cluster 1	7,5	62,7
01_31_A	Cluster 1	1,5	42,3	01_31_A	Cluster 1	1,5	57,3
01_31_B	Cluster 1	4,5	44,5	01_31_B	Cluster 1	4,5	59,5
01_31_C	Cluster 1	7,5	47,5	01_31_C	Cluster 1	7,5	62,5
01_32_A	Cluster 1	1,5	42,6	01_32_A	Cluster 1	1,5	57,6
01_32_B	Cluster 1	4,5	44,1	01_32_B	Cluster 1	4,5	59,1
01_32_C	Cluster 1	7,5	48,6	01_32_C	Cluster 1	7,5	63,6
01_33_A	Cluster 1	1,5	42,9	01_33_A	Cluster 1	1,5	57,9
01_33_B	Cluster 1	4,5	43,6	01_33_B	Cluster 1	4,5	58,6
01_33_C	Cluster 1	7,5	48,9	01_33_C	Cluster 1	7,5	63,9
01_34_A	Cluster 1	1,5	43,1	01_34_A	Cluster 1	1,5	58,1
01_34_B	Cluster 1	4,5	44,1	01_34_B	Cluster 1	4,5	59,1
01_34_C	Cluster 1	7,5	49,9	01_34_C	Cluster 1	7,5	64,9
01_35_A	Cluster 1	1,5	43,7	01_35_A	Cluster 1	1,5	58,7
01_35_B	Cluster 1	4,5	43,9	01_35_B	Cluster 1	4,5	58,9
01_35_C	Cluster 1	7,5	50,1	01_35_C	Cluster 1	7,5	65,1
01_36_A	Cluster 1	1,5	41,8	01_36_A	Cluster 1	1,5	56,8
01_36_B	Cluster 1	4,5	42,7	01_36_B	Cluster 1	4,5	57,7
01_36_C	Cluster 1	7,5	48,8	01_36_C	Cluster 1	7,5	63,8
01_37_A	Cluster 1	1,5	41,4	01_37_A	Cluster 1	1,5	56,4
01_37_B	Cluster 1	4,5	42,7	01_37_B	Cluster 1	4,5	57,7
01_38_A	Cluster 1	1,5	41,5	01_38_A	Cluster 1	1,5	56,5
01_38_B	Cluster 1	4,5	44,5	01_38_B	Cluster 1	4,5	59,5
01_39_A	Cluster 1	1,5	44,6	01_39_A	Cluster 1	1,5	59,6
01_39_B	Cluster 1	4,5	47,4	01_39_B	Cluster 1	4,5	62,4
01_40_A	Cluster 1	1,5	42,6	01_40_A	Cluster 1	1,5	57,6
01_40_B	Cluster 1	4,5	46,2	01_40_B	Cluster 1	4,5	61,2
01_41_A	Cluster 1	1,5	43,9	01_41_A	Cluster 1	1,5	58,9
01_41_B	Cluster 1	4,5	46,8	01_41_B	Cluster 1	4,5	61,8
01_41_C	Cluster 1	7,5	40,4	01_41_C	Cluster 1	7,5	55,4
01_42_A	Cluster 1	1,5	49,7	01_42_A	Cluster 1	1,5	64,7
01_42_B	Cluster 1	4,5	53,3	01_42_B	Cluster 1	4,5	68,3
01_42_C	Cluster 1	7,5	55,7	01_42_C	Cluster 1	7,5	70,7
01_43_A	Cluster 1	1,5	48,3	01_43_A	Cluster 1	1,5	63,3
01_43_B	Cluster 1	4,5	51,3	01_43_B	Cluster 1	4,5	66,3
01_43_C	Cluster 1	7,5	51,8	01_43_C	Cluster 1	7,5	66,8
01_44_A	Cluster 1	1,5	44,9	01_44_A	Cluster 1	1,5	59,9
01_44_B	Cluster 1	4,5	48,2	01_44_B	Cluster 1	4,5	63,2
01_44_C	Cluster 1	7,5	51,9	01_44_C	Cluster 1	7,5	66,9
01_45_A	Cluster 1	1,5	41,4	01_45_A	Cluster 1	1,5	56,4
01_45_B	Cluster 1	4,5	45	01_45_B	Cluster 1	4,5	60
01_45_C	Cluster 1	7,5	46,3	01_45_C	Cluster 1	7,5	61,3
01_46_A	Cluster 1	1,5	41	01_46_A	Cluster 1	1,5	56
01_46_B	Cluster 1	4,5	44,2	01_46_B	Cluster 1	4,5	59,2
01_46_C	Cluster 1	7,5	42,8	01_46_C	Cluster 1	7,5	57,8

Bijlage IV-2 Rekenresultaten L_{Ar,LT} en L_{Amax} dagperiode wedstrijd

Rekenresultaten L _{Ar,LT} dag wedstrijd				Rekenresultaten L _{Amax} dag wedstrijd			
Naam	Omschrijving	Hoogte	Dag	Naam	Omschrijving	Hoogte	Dag
01_47_A	Cluster 1	1,5	40,8	01_47_A	Cluster 1	1,5	55,8
01_47_B	Cluster 1	4,5	44,2	01_47_B	Cluster 1	4,5	59,2
01_47_C	Cluster 1	7,5	42,6	01_47_C	Cluster 1	7,5	57,6
01_48_A	Cluster 1	1,5	40,7	01_48_A	Cluster 1	1,5	55,7
01_48_B	Cluster 1	4,5	44,2	01_48_B	Cluster 1	4,5	59,2
01_48_C	Cluster 1	7,5	44,6	01_48_C	Cluster 1	7,5	59,6
01_49_A	Cluster 1	1,5	41,1	01_49_A	Cluster 1	1,5	56,1
01_49_B	Cluster 1	4,5	44,6	01_49_B	Cluster 1	4,5	59,6
01_49_C	Cluster 1	7,5	45,6	01_49_C	Cluster 1	7,5	60,6
01_50_A	Cluster 1	1,5	40,8	01_50_A	Cluster 1	1,5	55,8
01_50_B	Cluster 1	4,5	44,3	01_50_B	Cluster 1	4,5	59,3
01_50_C	Cluster 1	7,5	46,7	01_50_C	Cluster 1	7,5	61,7
01_51_A	Cluster 1	1,5	40,8	01_51_A	Cluster 1	1,5	55,8
01_51_B	Cluster 1	4,5	44	01_51_B	Cluster 1	4,5	59
01_51_C	Cluster 1	7,5	47,6	01_51_C	Cluster 1	7,5	62,6
01_52_A	Cluster 1	1,5	40,7	01_52_A	Cluster 1	1,5	55,7
01_52_B	Cluster 1	4,5	44,2	01_52_B	Cluster 1	4,5	59,2
01_52_C	Cluster 1	7,5	48,5	01_52_C	Cluster 1	7,5	63,5
01_53_A	Cluster 1	1,5	40,6	01_53_A	Cluster 1	1,5	55,6
01_53_B	Cluster 1	4,5	44	01_53_B	Cluster 1	4,5	59
01_53_C	Cluster 1	7,5	47,7	01_53_C	Cluster 1	7,5	62,7
01_54_A	Cluster 1	1,5	40,8	01_54_A	Cluster 1	1,5	55,8
01_54_B	Cluster 1	4,5	45,2	01_54_B	Cluster 1	4,5	60,2
01_54_C	Cluster 1	7,5	51,7	01_54_C	Cluster 1	7,5	66,7
01_55_A	Cluster 1	1,5	40,7	01_55_A	Cluster 1	1,5	55,7
01_55_B	Cluster 1	4,5	44,1	01_55_B	Cluster 1	4,5	59,1
01_55_C	Cluster 1	7,5	47,2	01_55_C	Cluster 1	7,5	62,2
01_56_A	Cluster 1	1,5	41	01_56_A	Cluster 1	1,5	56
01_56_B	Cluster 1	4,5	46,3	01_56_B	Cluster 1	4,5	61,3
01_56_C	Cluster 1	7,5	50,7	01_56_C	Cluster 1	7,5	65,7
01_57_A	Cluster 1	1,5	43,7	01_57_A	Cluster 1	1,5	58,7
01_57_B	Cluster 1	4,5	48,7	01_57_B	Cluster 1	4,5	63,7
01_57_C	Cluster 1	7,5	55,4	01_57_C	Cluster 1	7,5	70,4
01_58_A	Cluster 1	1,5	44,4	01_58_A	Cluster 1	1,5	59,4
01_58_B	Cluster 1	4,5	50,1	01_58_B	Cluster 1	4,5	65,1
01_58_C	Cluster 1	7,5	52,6	01_58_C	Cluster 1	7,5	67,6
01_59_A	Cluster 1	1,5	48,4	01_59_A	Cluster 1	1,5	63,4
01_59_B	Cluster 1	4,5	52,7	01_59_B	Cluster 1	4,5	67,7
01_59_C	Cluster 1	7,5	56,3	01_59_C	Cluster 1	7,5	71,3
01_60_A	Cluster 1	1,5	48,3	01_60_A	Cluster 1	1,5	63,3
01_60_B	Cluster 1	4,5	52,7	01_60_B	Cluster 1	4,5	67,7
01_60_C	Cluster 1	7,5	56,2	01_60_C	Cluster 1	7,5	71,2
01_61_A	Cluster 1	1,5	48,1	01_61_A	Cluster 1	1,5	63,1
01_61_B	Cluster 1	4,5	53,3	01_61_B	Cluster 1	4,5	68,3
01_61_C	Cluster 1	7,5	55,2	01_61_C	Cluster 1	7,5	70,2
01_62_A	Cluster 1	1,5	47,3	01_62_A	Cluster 1	1,5	62,3
01_62_B	Cluster 1	4,5	52,7	01_62_B	Cluster 1	4,5	67,7
01_62_C	Cluster 1	7,5	54,5	01_62_C	Cluster 1	7,5	69,5
01_63_A	Cluster 1	1,5	47	01_63_A	Cluster 1	1,5	62
01_63_B	Cluster 1	4,5	52,8	01_63_B	Cluster 1	4,5	67,8
01_63_C	Cluster 1	7,5	53,8	01_63_C	Cluster 1	7,5	68,8
01_64_A	Cluster 1	1,5	41,3	01_64_A	Cluster 1	1,5	56,3
01_64_B	Cluster 1	4,5	48,2	01_64_B	Cluster 1	4,5	63,2
01_64_C	Cluster 1	7,5	55,6	01_64_C	Cluster 1	7,5	70,6
01_65_A	Cluster 1	1,5	41,9	01_65_A	Cluster 1	1,5	56,9
01_65_B	Cluster 1	4,5	48,8	01_65_B	Cluster 1	4,5	63,8
01_65_C	Cluster 1	7,5	58,1	01_65_C	Cluster 1	7,5	73,1
01_66_A	Cluster 1	1,5	41,5	01_66_A	Cluster 1	1,5	56,5
01_66_B	Cluster 1	4,5	48	01_66_B	Cluster 1	4,5	63
01_67_A	Cluster 1	1,5	46	01_67_A	Cluster 1	1,5	61
01_67_B	Cluster 1	4,5	50,8	01_67_B	Cluster 1	4,5	65,8
01_68_A	Cluster 1	1,5	45,6	01_68_A	Cluster 1	1,5	60,6
01_68_B	Cluster 1	4,5	51,8	01_68_B	Cluster 1	4,5	66,8
01_68_C	Cluster 1	7,5	43,4	01_68_C	Cluster 1	7,5	58,4
01_69_A	Cluster 1	1,5	46,2	01_69_A	Cluster 1	1,5	61,2
01_69_B	Cluster 1	4,5	52,1	01_69_B	Cluster 1	4,5	67,1

Bijlage IV-2 Rekenresultaten L_{Ar,LT} en L_{Amax} dagperiode wedstrijddag

Rekenresultaten L _{Ar,LT} dag wedstrijddag				Rekenresultaten L _{Amax} dag wedstrijddag			
Naam	Omschrijving	Hoogte	Dag	Naam	Omschrijving	Hoogte	Dag
01_69_C	Cluster 1	7,5	44,3	01_69_C	Cluster 1	7,5	59,3
01_70_A	Cluster 1	1,5	47,6	01_70_A	Cluster 1	1,5	62,6
01_70_B	Cluster 1	4,5	52,2	01_70_B	Cluster 1	4,5	67,2
01_70_C	Cluster 1	7,5	44,9	01_70_C	Cluster 1	7,5	59,9
01_71_A	Cluster 1	1,5	46,6	01_71_A	Cluster 1	1,5	61,6
01_71_B	Cluster 1	4,5	52,2	01_71_B	Cluster 1	4,5	67,2
01_71_C	Cluster 1	7,5	45,6	01_71_C	Cluster 1	7,5	60,6
01_72_A	Cluster 1	1,5	47,7	01_72_A	Cluster 1	1,5	62,7
01_72_B	Cluster 1	4,5	52,5	01_72_B	Cluster 1	4,5	67,5
01_72_C	Cluster 1	7,5	44,8	01_72_C	Cluster 1	7,5	59,8
01_73_A	Cluster 1	1,5	46,8	01_73_A	Cluster 1	1,5	61,8
01_73_B	Cluster 1	4,5	52	01_73_B	Cluster 1	4,5	67
01_73_C	Cluster 1	7,5	44,6	01_73_C	Cluster 1	7,5	59,6
01_74_A	Cluster 1	1,5	47,5	01_74_A	Cluster 1	1,5	62,5
01_74_B	Cluster 1	4,5	51,5	01_74_B	Cluster 1	4,5	66,5
01_74_C	Cluster 1	7,5	44,2	01_74_C	Cluster 1	7,5	59,2
01_75_A	Cluster 1	1,5	48,3	01_75_A	Cluster 1	1,5	63,3
01_75_B	Cluster 1	4,5	51,5	01_75_B	Cluster 1	4,5	66,5
01_75_C	Cluster 1	7,5	45,9	01_75_C	Cluster 1	7,5	60,9
01_76_A	Cluster 1	1,5	48,4	01_76_A	Cluster 1	1,5	63,4
01_76_B	Cluster 1	4,5	51	01_76_B	Cluster 1	4,5	66
01_76_C	Cluster 1	7,5	43,3	01_76_C	Cluster 1	7,5	58,3
01_77_A	Cluster 1	1,5	47,3	01_77_A	Cluster 1	1,5	62,3
01_77_B	Cluster 1	4,5	50,6	01_77_B	Cluster 1	4,5	65,6
01_78_A	Cluster 1	1,5	48,8	01_78_A	Cluster 1	1,5	63,8
01_78_B	Cluster 1	4,5	52,6	01_78_B	Cluster 1	4,5	67,6
01_79_A	Cluster 1	1,5	49,5	01_79_A	Cluster 1	1,5	64,5
01_79_B	Cluster 1	4,5	52,7	01_79_B	Cluster 1	4,5	67,7
01_79_C	Cluster 1	7,5	55	01_79_C	Cluster 1	7,5	70
01_80_A	Cluster 1	1,5	49,7	01_80_A	Cluster 1	1,5	64,7
01_80_B	Cluster 1	4,5	52,8	01_80_B	Cluster 1	4,5	67,8
01_80_C	Cluster 1	7,5	55,6	01_80_C	Cluster 1	7,5	70,6
01_81_A	Cluster 1	1,5	50,1	01_81_A	Cluster 1	1,5	65,1
01_81_B	Cluster 1	4,5	53,2	01_81_B	Cluster 1	4,5	68,2
01_81_C	Cluster 1	7,5	55,5	01_81_C	Cluster 1	7,5	70,5
01_82_A	Cluster 1	1,5	49,9	01_82_A	Cluster 1	1,5	64,9
01_82_B	Cluster 1	4,5	53,1	01_82_B	Cluster 1	4,5	68,1
01_82_C	Cluster 1	7,5	55,4	01_82_C	Cluster 1	7,5	70,4
01_83_A	Cluster 1	1,5	50,2	01_83_A	Cluster 1	1,5	65,2
01_83_B	Cluster 1	4,5	53,7	01_83_B	Cluster 1	4,5	68,7
01_83_C	Cluster 1	7,5	56,8	01_83_C	Cluster 1	7,5	71,8
01_84_A	Cluster 1	1,5	49,8	01_84_A	Cluster 1	1,5	64,8
01_84_B	Cluster 1	4,5	53,3	01_84_B	Cluster 1	4,5	68,3
01_84_C	Cluster 1	7,5	56,7	01_84_C	Cluster 1	7,5	71,7
01_85_A	Cluster 1	1,5	50,1	01_85_A	Cluster 1	1,5	65,1
01_85_B	Cluster 1	4,5	53,2	01_85_B	Cluster 1	4,5	68,2
01_85_C	Cluster 1	7,5	56,7	01_85_C	Cluster 1	7,5	71,7
01_86_A	Cluster 1	1,5	44,2	01_86_A	Cluster 1	1,5	59,2
01_86_B	Cluster 1	4,5	48,4	01_86_B	Cluster 1	4,5	63,4
01_86_C	Cluster 1	7,5	49,3	01_86_C	Cluster 1	7,5	64,3
01_87_A	Cluster 1	1,5	44,3	01_87_A	Cluster 1	1,5	59,3
01_87_B	Cluster 1	4,5	47,9	01_87_B	Cluster 1	4,5	62,9
01_88_A	Cluster 1	1,5	47,2	01_88_A	Cluster 1	1,5	62,2
01_88_B	Cluster 1	4,5	50,6	01_88_B	Cluster 1	4,5	65,6
01_89_A	Cluster 1	1,5	47,8	01_89_A	Cluster 1	1,5	62,8
01_89_B	Cluster 1	4,5	52,9	01_89_B	Cluster 1	4,5	67,9
01_89_C	Cluster 1	7,5	55,3	01_89_C	Cluster 1	7,5	70,3
01_90_A	Cluster 1	1,5	48,4	01_90_A	Cluster 1	1,5	63,4
01_90_B	Cluster 1	4,5	51,7	01_90_B	Cluster 1	4,5	66,7
01_90_C	Cluster 1	7,5	55,5	01_90_C	Cluster 1	7,5	70,5
01_91_A	Cluster 1	1,5	49,4	01_91_A	Cluster 1	1,5	64,4
01_91_B	Cluster 1	4,5	52	01_91_B	Cluster 1	4,5	67
01_91_C	Cluster 1	7,5	55,7	01_91_C	Cluster 1	7,5	70,7
01_92_A	Cluster 1	1,5	47,8	01_92_A	Cluster 1	1,5	62,8
01_92_B	Cluster 1	4,5	50,9	01_92_B	Cluster 1	4,5	65,9
01_92_C	Cluster 1	7,5	56,3	01_92_C	Cluster 1	7,5	71,3

Bijlage IV-2 Rekenresultaten L_{Ar,LT} en L_{Amax} dagperiode wedstrijd

Rekenresultaten L _{Ar,LT} dag wedstrijd				Rekenresultaten L _{Amax} dag wedstrijd			
Naam	Omschrijving	Hoogte	Dag	Naam	Omschrijving	Hoogte	Dag
01_93_A	Cluster 1	1,5	46,1	01_93_A	Cluster 1	1,5	61,1
01_93_B	Cluster 1	4,5	50,3	01_93_B	Cluster 1	4,5	65,3
01_93_C	Cluster 1	7,5	56,3	01_93_C	Cluster 1	7,5	71,3
01_94_A	Cluster 1	1,5	46,9	01_94_A	Cluster 1	1,5	61,9
01_94_B	Cluster 1	4,5	50,2	01_94_B	Cluster 1	4,5	65,2
01_94_C	Cluster 1	7,5	56,3	01_94_C	Cluster 1	7,5	71,3
01_95_A	Cluster 1	1,5	45,6	01_95_A	Cluster 1	1,5	60,6
01_95_B	Cluster 1	4,5	49,6	01_95_B	Cluster 1	4,5	64,6
01_95_C	Cluster 1	7,5	56,7	01_95_C	Cluster 1	7,5	71,7
01_96_A	Cluster 1	1,5	45,4	01_96_A	Cluster 1	1,5	60,4
01_96_B	Cluster 1	4,5	49,9	01_96_B	Cluster 1	4,5	64,9
01_96_C	Cluster 1	7,5	56,7	01_96_C	Cluster 1	7,5	71,7
01_97_A	Cluster 1	1,5	45,2	01_97_A	Cluster 1	1,5	60,2
01_97_B	Cluster 1	4,5	49,5	01_97_B	Cluster 1	4,5	64,5
01_97_C	Cluster 1	7,5	56,5	01_97_C	Cluster 1	7,5	71,5
01_98_A	Cluster 1	1,5	46,1	01_98_A	Cluster 1	1,5	61,1
01_98_B	Cluster 1	4,5	49,9	01_98_B	Cluster 1	4,5	64,9
01_98_C	Cluster 1	7,5	56,6	01_98_C	Cluster 1	7,5	71,6
01_99_A	Cluster 1	1,5	45,3	01_99_A	Cluster 1	1,5	60,3
01_99_B	Cluster 1	4,5	50,1	01_99_B	Cluster 1	4,5	65,1
01_99_C	Cluster 1	7,5	56,4	01_99_C	Cluster 1	7,5	71,4
02_01_A	Cluster 2	1,5	48,2	02_01_A	Cluster 2	1,5	63,2
02_01_B	Cluster 2	4,5	50,5	02_01_B	Cluster 2	4,5	65,5
02_01_C	Cluster 2	7,5	54	02_01_C	Cluster 2	7,5	69
02_02_A	Cluster 2	1,5	48,2	02_02_A	Cluster 2	1,5	63,2
02_02_B	Cluster 2	4,5	50,8	02_02_B	Cluster 2	4,5	65,8
02_02_C	Cluster 2	7,5	52,8	02_02_C	Cluster 2	7,5	67,8
02_03_A	Cluster 2	1,5	48,7	02_03_A	Cluster 2	1,5	63,7
02_03_B	Cluster 2	4,5	51	02_03_B	Cluster 2	4,5	66
02_03_C	Cluster 2	7,5	53,3	02_03_C	Cluster 2	7,5	68,3
02_04_A	Cluster 2	1,5	48	02_04_A	Cluster 2	1,5	63
02_04_B	Cluster 2	4,5	51	02_04_B	Cluster 2	4,5	66
02_04_C	Cluster 2	7,5	52,7	02_04_C	Cluster 2	7,5	67,7
02_05_A	Cluster 2	1,5	49,3	02_05_A	Cluster 2	1,5	64,3
02_05_B	Cluster 2	4,5	51,6	02_05_B	Cluster 2	4,5	66,6
02_05_C	Cluster 2	7,5	53,6	02_05_C	Cluster 2	7,5	68,6
02_06_A	Cluster 2	1,5	48,4	02_06_A	Cluster 2	1,5	63,4
02_06_B	Cluster 2	4,5	51,6	02_06_B	Cluster 2	4,5	66,6
02_06_C	Cluster 2	7,5	54,6	02_06_C	Cluster 2	7,5	69,6
02_07_A	Cluster 2	1,5	47,6	02_07_A	Cluster 2	1,5	62,6
02_07_B	Cluster 2	4,5	51	02_07_B	Cluster 2	4,5	66
02_07_C	Cluster 2	7,5	54,7	02_07_C	Cluster 2	7,5	69,7
02_08_A	Cluster 2	1,5	46,4	02_08_A	Cluster 2	1,5	61,4
02_08_B	Cluster 2	4,5	49,2	02_08_B	Cluster 2	4,5	64,2
02_08_C	Cluster 2	7,5	53,6	02_08_C	Cluster 2	7,5	68,6
02_09_A	Cluster 2	1,5	46,7	02_09_A	Cluster 2	1,5	61,7
02_09_B	Cluster 2	4,5	50,2	02_09_B	Cluster 2	4,5	65,2
02_09_C	Cluster 2	7,5	54	02_09_C	Cluster 2	7,5	69
02_10_A	Cluster 2	1,5	46,2	02_10_A	Cluster 2	1,5	61,2
02_10_B	Cluster 2	4,5	51,2	02_10_B	Cluster 2	4,5	66,2
02_10_C	Cluster 2	7,5	54,3	02_10_C	Cluster 2	7,5	69,3
02_100_A	Cluster 2	1,5	40,1	02_100_A	Cluster 2	1,5	55,1
02_100_B	Cluster 2	4,5	42,3	02_100_B	Cluster 2	4,5	57,3
02_100_C	Cluster 2	7,5	52	02_100_C	Cluster 2	7,5	67
02_101_A	Cluster 2	1,5	39,3	02_101_A	Cluster 2	1,5	54,3
02_101_B	Cluster 2	4,5	42,1	02_101_B	Cluster 2	4,5	57,1
02_101_C	Cluster 2	7,5	51,1	02_101_C	Cluster 2	7,5	66,1
02_102_A	Cluster 2	1,5	38,8	02_102_A	Cluster 2	1,5	53,8
02_102_B	Cluster 2	4,5	41,7	02_102_B	Cluster 2	4,5	56,7
02_102_C	Cluster 2	7,5	50,7	02_102_C	Cluster 2	7,5	65,7
02_103_A	Cluster 2	1,5	38,7	02_103_A	Cluster 2	1,5	53,7
02_103_B	Cluster 2	4,5	41,8	02_103_B	Cluster 2	4,5	56,8
02_103_C	Cluster 2	7,5	49,6	02_103_C	Cluster 2	7,5	64,6
02_104_A	Cluster 2	1,5	38,8	02_104_A	Cluster 2	1,5	53,8
02_104_B	Cluster 2	4,5	41,5	02_104_B	Cluster 2	4,5	56,5
02_104_C	Cluster 2	7,5	48,1	02_104_C	Cluster 2	7,5	63,1

Bijlage IV-2 Rekenresultaten L_{Ar,LT} en L_{Amax} dagperiode wedstrijd

Rekenresultaten L _{Ar,LT} dag wedstrijd				Rekenresultaten L _{Amax} dag wedstrijd			
Naam	Omschrijving	Hoogte	Dag	Naam	Omschrijving	Hoogte	Dag
02_105_A	Cluster 2	1,5	39,4	02_105_A	Cluster 2	1,5	54,4
02_105_B	Cluster 2	4,5	41,7	02_105_B	Cluster 2	4,5	56,7
02_105_C	Cluster 2	7,5	47,6	02_105_C	Cluster 2	7,5	62,6
02_106_A	Cluster 2	1,5	39,5	02_106_A	Cluster 2	1,5	54,5
02_106_B	Cluster 2	4,5	43,1	02_106_B	Cluster 2	4,5	58,1
02_106_C	Cluster 2	7,5	47,1	02_106_C	Cluster 2	7,5	62,1
02_107_A	Cluster 2	1,5	38,9	02_107_A	Cluster 2	1,5	53,9
02_107_B	Cluster 2	4,5	41,5	02_107_B	Cluster 2	4,5	56,5
02_107_C	Cluster 2	7,5	46,8	02_107_C	Cluster 2	7,5	61,8
02_108_A	Cluster 2	1,5	39,9	02_108_A	Cluster 2	1,5	54,9
02_108_B	Cluster 2	4,5	40,8	02_108_B	Cluster 2	4,5	55,8
02_108_C	Cluster 2	7,5	47,8	02_108_C	Cluster 2	7,5	62,8
02_11_A	Cluster 2	1,5	46,3	02_11_A	Cluster 2	1,5	61,3
02_11_B	Cluster 2	4,5	49,8	02_11_B	Cluster 2	4,5	64,8
02_11_C	Cluster 2	7,5	53,7	02_11_C	Cluster 2	7,5	68,7
02_12_A	Cluster 2	1,5	47,8	02_12_A	Cluster 2	1,5	62,8
02_12_B	Cluster 2	4,5	51,6	02_12_B	Cluster 2	4,5	66,6
02_13_A	Cluster 2	1,5	46,8	02_13_A	Cluster 2	1,5	61,8
02_13_B	Cluster 2	4,5	49,6	02_13_B	Cluster 2	4,5	64,6
02_14_A	Cluster 2	1,5	42,3	02_14_A	Cluster 2	1,5	57,3
02_14_B	Cluster 2	4,5	46,9	02_14_B	Cluster 2	4,5	61,9
02_15_A	Cluster 2	1,5	42	02_15_A	Cluster 2	1,5	57
02_15_B	Cluster 2	4,5	45,3	02_15_B	Cluster 2	4,5	60,3
02_16_A	Cluster 2	1,5	43	02_16_A	Cluster 2	1,5	58
02_16_B	Cluster 2	4,5	45,7	02_16_B	Cluster 2	4,5	60,7
02_16_C	Cluster 2	7,5	48,7	02_16_C	Cluster 2	7,5	63,7
02_16_D	Cluster 2	10,5	47,2	02_16_D	Cluster 2	10,5	62,2
02_17_A	Cluster 2	1,5	44	02_17_A	Cluster 2	1,5	59
02_17_B	Cluster 2	4,5	47,9	02_17_B	Cluster 2	4,5	62,9
02_17_C	Cluster 2	7,5	49,2	02_17_C	Cluster 2	7,5	64,2
02_17_D	Cluster 2	10,5	46,7	02_17_D	Cluster 2	10,5	61,7
02_18_A	Cluster 2	1,5	44,8	02_18_A	Cluster 2	1,5	59,8
02_18_B	Cluster 2	4,5	49	02_18_B	Cluster 2	4,5	64
02_18_C	Cluster 2	7,5	50,3	02_18_C	Cluster 2	7,5	65,3
02_18_D	Cluster 2	10,5	46,2	02_18_D	Cluster 2	10,5	61,2
02_19_A	Cluster 2	1,5	46	02_19_A	Cluster 2	1,5	61
02_19_B	Cluster 2	4,5	50,2	02_19_B	Cluster 2	4,5	65,2
02_19_C	Cluster 2	7,5	51,2	02_19_C	Cluster 2	7,5	66,2
02_19_D	Cluster 2	10,5	45,9	02_19_D	Cluster 2	10,5	60,9
02_20_A	Cluster 2	1,5	45,6	02_20_A	Cluster 2	1,5	60,6
02_20_B	Cluster 2	4,5	49,9	02_20_B	Cluster 2	4,5	64,9
02_20_C	Cluster 2	7,5	51	02_20_C	Cluster 2	7,5	66
02_20_D	Cluster 2	10,5	45,4	02_20_D	Cluster 2	10,5	60,4
02_21_A	Cluster 2	1,5	45,9	02_21_A	Cluster 2	1,5	60,9
02_21_B	Cluster 2	4,5	49,8	02_21_B	Cluster 2	4,5	64,8
02_21_C	Cluster 2	7,5	50,7	02_21_C	Cluster 2	7,5	65,7
02_21_D	Cluster 2	10,5	43,9	02_21_D	Cluster 2	10,5	58,9
02_22_A	Cluster 2	1,5	46,3	02_22_A	Cluster 2	1,5	61,3
02_22_B	Cluster 2	4,5	50	02_22_B	Cluster 2	4,5	65
02_22_C	Cluster 2	7,5	50,6	02_22_C	Cluster 2	7,5	65,6
02_22_D	Cluster 2	10,5	47,8	02_22_D	Cluster 2	10,5	62,8
02_23_A	Cluster 2	1,5	46,4	02_23_A	Cluster 2	1,5	61,4
02_23_B	Cluster 2	4,5	49,6	02_23_B	Cluster 2	4,5	64,6
02_23_C	Cluster 2	7,5	50,1	02_23_C	Cluster 2	7,5	65,1
02_23_D	Cluster 2	10,5	47,8	02_23_D	Cluster 2	10,5	62,8
02_24_A	Cluster 2	1,5	46,8	02_24_A	Cluster 2	1,5	61,8
02_24_B	Cluster 2	4,5	49,6	02_24_B	Cluster 2	4,5	64,6
02_24_C	Cluster 2	7,5	50,2	02_24_C	Cluster 2	7,5	65,2
02_24_D	Cluster 2	10,5	47,8	02_24_D	Cluster 2	10,5	62,8
02_25_A	Cluster 2	1,5	46,2	02_25_A	Cluster 2	1,5	61,2
02_25_B	Cluster 2	4,5	49	02_25_B	Cluster 2	4,5	64
02_25_C	Cluster 2	7,5	49,9	02_25_C	Cluster 2	7,5	64,9
02_25_D	Cluster 2	10,5	50	02_25_D	Cluster 2	10,5	65
02_26_A	Cluster 2	1,5	43,2	02_26_A	Cluster 2	1,5	58,2
02_26_B	Cluster 2	4,5	48,1	02_26_B	Cluster 2	4,5	63,1
02_26_C	Cluster 2	7,5	49,7	02_26_C	Cluster 2	7,5	64,7

Bijlage IV-2 Rekenresultaten L_{Ar,LT} en L_{Amax} dagperiode wedstrijd

Rekenresultaten L _{Ar,LT} dag wedstrijd				Rekenresultaten L _{Amax} dag wedstrijd			
Naam	Omschrijving	Hoogte	Dag	Naam	Omschrijving	Hoogte	Dag
02_26_D	Cluster 2	10,5	53,5	02_26_D	Cluster 2	10,5	68,5
02_27_A	Cluster 2	1,5	47,7	02_27_A	Cluster 2	1,5	62,7
02_27_B	Cluster 2	4,5	49,9	02_27_B	Cluster 2	4,5	64,9
02_27_C	Cluster 2	7,5	51,2	02_27_C	Cluster 2	7,5	66,2
02_27_D	Cluster 2	10,5	52,1	02_27_D	Cluster 2	10,5	67,1
02_28_A	Cluster 2	1,5	47,6	02_28_A	Cluster 2	1,5	62,6
02_28_B	Cluster 2	4,5	49,9	02_28_B	Cluster 2	4,5	64,9
02_28_C	Cluster 2	7,5	51,1	02_28_C	Cluster 2	7,5	66,1
02_28_D	Cluster 2	10,5	45,6	02_28_D	Cluster 2	10,5	60,6
02_29_A	Cluster 2	1,5	48,1	02_29_A	Cluster 2	1,5	63,1
02_29_B	Cluster 2	4,5	50,1	02_29_B	Cluster 2	4,5	65,1
02_29_C	Cluster 2	7,5	50,8	02_29_C	Cluster 2	7,5	65,8
02_29_D	Cluster 2	10,5	45	02_29_D	Cluster 2	10,5	60
02_30_A	Cluster 2	1,5	48,4	02_30_A	Cluster 2	1,5	63,4
02_30_B	Cluster 2	4,5	50,2	02_30_B	Cluster 2	4,5	65,2
02_30_C	Cluster 2	7,5	50,7	02_30_C	Cluster 2	7,5	65,7
02_30_D	Cluster 2	10,5	44,7	02_30_D	Cluster 2	10,5	59,7
02_31_A	Cluster 2	1,5	48,2	02_31_A	Cluster 2	1,5	63,2
02_31_B	Cluster 2	4,5	50	02_31_B	Cluster 2	4,5	65
02_31_C	Cluster 2	7,5	50,5	02_31_C	Cluster 2	7,5	65,5
02_31_D	Cluster 2	10,5	42,7	02_31_D	Cluster 2	10,5	57,7
02_32_A	Cluster 2	1,5	43,3	02_32_A	Cluster 2	1,5	58,3
02_32_B	Cluster 2	4,5	39,7	02_32_B	Cluster 2	4,5	54,7
02_32_C	Cluster 2	7,5	39,6	02_32_C	Cluster 2	7,5	54,6
02_32_D	Cluster 2	10,5	39	02_32_D	Cluster 2	10,5	54
02_33_A	Cluster 2	1,5	42,9	02_33_A	Cluster 2	1,5	57,9
02_33_B	Cluster 2	4,5	38,8	02_33_B	Cluster 2	4,5	53,8
02_33_C	Cluster 2	7,5	43,7	02_33_C	Cluster 2	7,5	58,7
02_34_A	Cluster 2	1,5	41,2	02_34_A	Cluster 2	1,5	56,2
02_34_B	Cluster 2	4,5	38,1	02_34_B	Cluster 2	4,5	53,1
02_34_C	Cluster 2	7,5	43,2	02_34_C	Cluster 2	7,5	58,2
02_35_A	Cluster 2	1,5	38,4	02_35_A	Cluster 2	1,5	53,4
02_35_B	Cluster 2	4,5	38,1	02_35_B	Cluster 2	4,5	53,1
02_35_C	Cluster 2	7,5	44,2	02_35_C	Cluster 2	7,5	59,2
02_36_A	Cluster 2	1,5	38,3	02_36_A	Cluster 2	1,5	53,3
02_36_B	Cluster 2	4,5	37,7	02_36_B	Cluster 2	4,5	52,7
02_36_C	Cluster 2	7,5	42,2	02_36_C	Cluster 2	7,5	57,2
02_37_A	Cluster 2	1,5	37,6	02_37_A	Cluster 2	1,5	52,6
02_37_B	Cluster 2	4,5	38,1	02_37_B	Cluster 2	4,5	53,1
02_37_C	Cluster 2	7,5	42	02_37_C	Cluster 2	7,5	57
02_38_A	Cluster 2	1,5	37,9	02_38_A	Cluster 2	1,5	52,9
02_38_B	Cluster 2	4,5	39,2	02_38_B	Cluster 2	4,5	54,2
02_38_C	Cluster 2	7,5	42,6	02_38_C	Cluster 2	7,5	57,6
02_39_A	Cluster 2	1,5	41,4	02_39_A	Cluster 2	1,5	56,4
02_39_B	Cluster 2	4,5	44,2	02_39_B	Cluster 2	4,5	59,2
02_39_C	Cluster 2	7,5	48,7	02_39_C	Cluster 2	7,5	63,7
02_40_A	Cluster 2	1,5	41,5	02_40_A	Cluster 2	1,5	56,5
02_40_B	Cluster 2	4,5	44,8	02_40_B	Cluster 2	4,5	59,8
02_40_C	Cluster 2	7,5	49,8	02_40_C	Cluster 2	7,5	64,8
02_41_A	Cluster 2	1,5	43,8	02_41_A	Cluster 2	1,5	58,8
02_41_B	Cluster 2	4,5	49,1	02_41_B	Cluster 2	4,5	64,1
02_41_C	Cluster 2	7,5	54,4	02_41_C	Cluster 2	7,5	69,4
02_42_A	Cluster 2	1,5	40,9	02_42_A	Cluster 2	1,5	55,9
02_42_B	Cluster 2	4,5	47,3	02_42_B	Cluster 2	4,5	62,3
02_42_C	Cluster 2	7,5	50,4	02_42_C	Cluster 2	7,5	65,4
02_43_A	Cluster 2	1,5	40,5	02_43_A	Cluster 2	1,5	55,5
02_43_B	Cluster 2	4,5	45,4	02_43_B	Cluster 2	4,5	60,4
02_43_C	Cluster 2	7,5	49,1	02_43_C	Cluster 2	7,5	64,1
02_44_A	Cluster 2	1,5	42,8	02_44_A	Cluster 2	1,5	57,8
02_44_B	Cluster 2	4,5	47,2	02_44_B	Cluster 2	4,5	62,2
02_45_A	Cluster 2	1,5	44,9	02_45_A	Cluster 2	1,5	59,9
02_45_B	Cluster 2	4,5	48,9	02_45_B	Cluster 2	4,5	63,9
02_46_A	Cluster 2	1,5	48,6	02_46_A	Cluster 2	1,5	63,6
02_46_B	Cluster 2	4,5	53,6	02_46_B	Cluster 2	4,5	68,6
02_47_A	Cluster 2	1,5	48,1	02_47_A	Cluster 2	1,5	63,1
02_47_B	Cluster 2	4,5	52,6	02_47_B	Cluster 2	4,5	67,6

Bijlage IV-2 Rekenresultaten L_{Ar,LT} en L_{Amax} dagperiode wedstrijd

Rekenresultaten L _{Ar,LT} dag wedstrijd				Rekenresultaten L _{Amax} dag wedstrijd			
Naam	Omschrijving	Hoogte	Dag	Naam	Omschrijving	Hoogte	Dag
02_48_A	Cluster 2	1,5	48,8	02_48_A	Cluster 2	1,5	63,8
02_48_B	Cluster 2	4,5	53,3	02_48_B	Cluster 2	4,5	68,3
02_48_C	Cluster 2	7,5	54,8	02_48_C	Cluster 2	7,5	69,8
02_49_A	Cluster 2	1,5	48,2	02_49_A	Cluster 2	1,5	63,2
02_49_B	Cluster 2	4,5	52,4	02_49_B	Cluster 2	4,5	67,4
02_49_C	Cluster 2	7,5	54,8	02_49_C	Cluster 2	7,5	69,8
02_50_A	Cluster 2	1,5	48,9	02_50_A	Cluster 2	1,5	63,9
02_50_B	Cluster 2	4,5	52,2	02_50_B	Cluster 2	4,5	67,2
02_50_C	Cluster 2	7,5	55,2	02_50_C	Cluster 2	7,5	70,2
02_51_A	Cluster 2	1,5	48,6	02_51_A	Cluster 2	1,5	63,6
02_51_B	Cluster 2	4,5	51,9	02_51_B	Cluster 2	4,5	66,9
02_51_C	Cluster 2	7,5	55,2	02_51_C	Cluster 2	7,5	70,2
02_52_A	Cluster 2	1,5	49	02_52_A	Cluster 2	1,5	64
02_52_B	Cluster 2	4,5	52,5	02_52_B	Cluster 2	4,5	67,5
02_52_C	Cluster 2	7,5	55,6	02_52_C	Cluster 2	7,5	70,6
02_53_A	Cluster 2	1,5	49	02_53_A	Cluster 2	1,5	64
02_53_B	Cluster 2	4,5	52,3	02_53_B	Cluster 2	4,5	67,3
02_53_C	Cluster 2	7,5	55,7	02_53_C	Cluster 2	7,5	70,7
02_54_A	Cluster 2	1,5	49,4	02_54_A	Cluster 2	1,5	64,4
02_54_B	Cluster 2	4,5	52,3	02_54_B	Cluster 2	4,5	67,3
02_54_C	Cluster 2	7,5	55,8	02_54_C	Cluster 2	7,5	70,8
02_55_A	Cluster 2	1,5	50	02_55_A	Cluster 2	1,5	65
02_55_B	Cluster 2	4,5	52,4	02_55_B	Cluster 2	4,5	67,4
02_55_C	Cluster 2	7,5	55,9	02_55_C	Cluster 2	7,5	70,9
02_56_A	Cluster 2	1,5	49,4	02_56_A	Cluster 2	1,5	64,4
02_56_B	Cluster 2	4,5	51,8	02_56_B	Cluster 2	4,5	66,8
02_56_C	Cluster 2	7,5	55,5	02_56_C	Cluster 2	7,5	70,5
02_57_A	Cluster 2	1,5	49	02_57_A	Cluster 2	1,5	64
02_57_B	Cluster 2	4,5	51,4	02_57_B	Cluster 2	4,5	66,4
02_57_C	Cluster 2	7,5	55,3	02_57_C	Cluster 2	7,5	70,3
02_58_A	Cluster 2	1,5	49	02_58_A	Cluster 2	1,5	64
02_58_B	Cluster 2	4,5	51,4	02_58_B	Cluster 2	4,5	66,4
02_58_C	Cluster 2	7,5	54,9	02_58_C	Cluster 2	7,5	69,9
02_59_A	Cluster 2	1,5	44,5	02_59_A	Cluster 2	1,5	59,5
02_59_B	Cluster 2	4,5	46,9	02_59_B	Cluster 2	4,5	61,9
02_59_C	Cluster 2	7,5	52,1	02_59_C	Cluster 2	7,5	67,1
02_60_A	Cluster 2	1,5	44,9	02_60_A	Cluster 2	1,5	59,9
02_60_B	Cluster 2	4,5	46,4	02_60_B	Cluster 2	4,5	61,4
02_60_C	Cluster 2	7,5	50,7	02_60_C	Cluster 2	7,5	65,7
02_61_A	Cluster 2	1,5	44	02_61_A	Cluster 2	1,5	59
02_61_B	Cluster 2	4,5	46,8	02_61_B	Cluster 2	4,5	61,8
02_61_C	Cluster 2	7,5	52,2	02_61_C	Cluster 2	7,5	67,2
02_62_A	Cluster 2	1,5	40,9	02_62_A	Cluster 2	1,5	55,9
02_62_B	Cluster 2	4,5	43,1	02_62_B	Cluster 2	4,5	58,1
02_62_C	Cluster 2	7,5	50	02_62_C	Cluster 2	7,5	65
02_63_A	Cluster 2	1,5	39,5	02_63_A	Cluster 2	1,5	54,5
02_63_B	Cluster 2	4,5	42,1	02_63_B	Cluster 2	4,5	57,1
02_63_C	Cluster 2	7,5	48,4	02_63_C	Cluster 2	7,5	63,4
02_64_A	Cluster 2	1,5	41,2	02_64_A	Cluster 2	1,5	56,2
02_64_B	Cluster 2	4,5	43,8	02_64_B	Cluster 2	4,5	58,8
02_64_C	Cluster 2	7,5	47,3	02_64_C	Cluster 2	7,5	62,3
02_65_A	Cluster 2	1,5	45,7	02_65_A	Cluster 2	1,5	60,7
02_65_B	Cluster 2	4,5	44,2	02_65_B	Cluster 2	4,5	59,2
02_65_C	Cluster 2	7,5	47,1	02_65_C	Cluster 2	7,5	62,1
02_66_A	Cluster 2	1,5	43,1	02_66_A	Cluster 2	1,5	58,1
02_66_B	Cluster 2	4,5	45,2	02_66_B	Cluster 2	4,5	60,2
02_66_C	Cluster 2	7,5	47,2	02_66_C	Cluster 2	7,5	62,2
02_67_A	Cluster 2	1,5	47,9	02_67_A	Cluster 2	1,5	62,9
02_67_B	Cluster 2	4,5	45,3	02_67_B	Cluster 2	4,5	60,3
02_67_C	Cluster 2	7,5	46,8	02_67_C	Cluster 2	7,5	61,8
02_68_A	Cluster 2	1,5	43,6	02_68_A	Cluster 2	1,5	58,6
02_68_B	Cluster 2	4,5	44,5	02_68_B	Cluster 2	4,5	59,5
02_68_C	Cluster 2	7,5	46,1	02_68_C	Cluster 2	7,5	61,1
02_69_A	Cluster 2	1,5	36,8	02_69_A	Cluster 2	1,5	51,8
02_69_B	Cluster 2	4,5	36,8	02_69_B	Cluster 2	4,5	51,8
02_69_C	Cluster 2	7,5	43,9	02_69_C	Cluster 2	7,5	58,9

Bijlage IV-2 Rekenresultaten L_{Ar,LT} en L_{Amax} dagperiode wedstrijd

Rekenresultaten L _{Ar,LT} dag wedstrijd				Rekenresultaten L _{Amax} dag wedstrijd			
Naam	Omschrijving	Hoogte	Dag	Naam	Omschrijving	Hoogte	Dag
02_70_A	Cluster 2	1,5	47,7	02_70_A	Cluster 2	1,5	62,7
02_70_B	Cluster 2	4,5	45	02_70_B	Cluster 2	4,5	60
02_70_C	Cluster 2	7,5	41,2	02_70_C	Cluster 2	7,5	56,2
02_71_A	Cluster 2	1,5	46,5	02_71_A	Cluster 2	1,5	61,5
02_71_B	Cluster 2	4,5	44,2	02_71_B	Cluster 2	4,5	59,2
02_72_A	Cluster 2	1,5	39,7	02_72_A	Cluster 2	1,5	54,7
02_72_B	Cluster 2	4,5	44,2	02_72_B	Cluster 2	4,5	59,2
02_73_A	Cluster 2	1,5	43,1	02_73_A	Cluster 2	1,5	58,1
02_73_B	Cluster 2	4,5	45,7	02_73_B	Cluster 2	4,5	60,7
02_73_C	Cluster 2	7,5	51,2	02_73_C	Cluster 2	7,5	66,2
02_73_D	Cluster 2	10,5	58	02_73_D	Cluster 2	10,5	73
02_74_A	Cluster 2	1,5	48	02_74_A	Cluster 2	1,5	63
02_74_B	Cluster 2	4,5	43,9	02_74_B	Cluster 2	4,5	58,9
02_74_C	Cluster 2	7,5	52,5	02_74_C	Cluster 2	7,5	67,5
02_74_D	Cluster 2	10,5	56,2	02_74_D	Cluster 2	10,5	71,2
02_75_A	Cluster 2	1,5	47,9	02_75_A	Cluster 2	1,5	62,9
02_75_B	Cluster 2	4,5	43,3	02_75_B	Cluster 2	4,5	58,3
02_75_C	Cluster 2	7,5	53,8	02_75_C	Cluster 2	7,5	68,8
02_75_D	Cluster 2	10,5	55,8	02_75_D	Cluster 2	10,5	70,8
02_76_A	Cluster 2	1,5	47,9	02_76_A	Cluster 2	1,5	62,9
02_76_B	Cluster 2	4,5	50	02_76_B	Cluster 2	4,5	65
02_76_C	Cluster 2	7,5	54,3	02_76_C	Cluster 2	7,5	69,3
02_76_D	Cluster 2	10,5	55,5	02_76_D	Cluster 2	10,5	70,5
02_77_A	Cluster 2	1,5	48	02_77_A	Cluster 2	1,5	63
02_77_B	Cluster 2	4,5	50,2	02_77_B	Cluster 2	4,5	65,2
02_77_C	Cluster 2	7,5	54,4	02_77_C	Cluster 2	7,5	69,4
02_77_D	Cluster 2	10,5	55,3	02_77_D	Cluster 2	10,5	70,3
02_78_A	Cluster 2	1,5	48,2	02_78_A	Cluster 2	1,5	63,2
02_78_B	Cluster 2	4,5	50,6	02_78_B	Cluster 2	4,5	65,6
02_78_C	Cluster 2	7,5	54,3	02_78_C	Cluster 2	7,5	69,3
02_78_D	Cluster 2	10,5	55,2	02_78_D	Cluster 2	10,5	70,2
02_79_A	Cluster 2	1,5	48,4	02_79_A	Cluster 2	1,5	63,4
02_79_B	Cluster 2	4,5	51,1	02_79_B	Cluster 2	4,5	66,1
02_79_C	Cluster 2	7,5	54,2	02_79_C	Cluster 2	7,5	69,2
02_79_D	Cluster 2	10,5	55	02_79_D	Cluster 2	10,5	70
02_80_A	Cluster 2	1,5	49,3	02_80_A	Cluster 2	1,5	64,3
02_80_B	Cluster 2	4,5	51,9	02_80_B	Cluster 2	4,5	66,9
02_80_C	Cluster 2	7,5	54,2	02_80_C	Cluster 2	7,5	69,2
02_80_D	Cluster 2	10,5	54,8	02_80_D	Cluster 2	10,5	69,8
02_81_A	Cluster 2	1,5	48,8	02_81_A	Cluster 2	1,5	63,8
02_81_B	Cluster 2	4,5	53,1	02_81_B	Cluster 2	4,5	68,1
02_81_C	Cluster 2	7,5	54	02_81_C	Cluster 2	7,5	69
02_81_D	Cluster 2	10,5	54,7	02_81_D	Cluster 2	10,5	69,7
02_82_A	Cluster 2	1,5	49,1	02_82_A	Cluster 2	1,5	64,1
02_82_B	Cluster 2	4,5	53,4	02_82_B	Cluster 2	4,5	68,4
02_82_C	Cluster 2	7,5	53,9	02_82_C	Cluster 2	7,5	68,9
02_82_D	Cluster 2	10,5	54,5	02_82_D	Cluster 2	10,5	69,5
02_83_A	Cluster 2	1,5	48,2	02_83_A	Cluster 2	1,5	63,2
02_83_B	Cluster 2	4,5	53,8	02_83_B	Cluster 2	4,5	68,8
02_83_C	Cluster 2	7,5	53,7	02_83_C	Cluster 2	7,5	68,7
02_83_D	Cluster 2	10,5	54,5	02_83_D	Cluster 2	10,5	69,5
02_84_A	Cluster 2	1,5	43,7	02_84_A	Cluster 2	1,5	58,7
02_84_B	Cluster 2	4,5	49,4	02_84_B	Cluster 2	4,5	64,4
02_84_C	Cluster 2	7,5	49	02_84_C	Cluster 2	7,5	64
02_84_D	Cluster 2	10,5	48	02_84_D	Cluster 2	10,5	63
02_85_A	Cluster 2	1,5	45	02_85_A	Cluster 2	1,5	60
02_85_B	Cluster 2	4,5	51,9	02_85_B	Cluster 2	4,5	66,9
02_85_C	Cluster 2	7,5	53,6	02_85_C	Cluster 2	7,5	68,6
02_85_D	Cluster 2	10,5	53	02_85_D	Cluster 2	10,5	68
02_86_A	Cluster 2	1,5	43,7	02_86_A	Cluster 2	1,5	58,7
02_86_B	Cluster 2	4,5	52,4	02_86_B	Cluster 2	4,5	67,4
02_86_C	Cluster 2	7,5	53,6	02_86_C	Cluster 2	7,5	68,6
02_87_A	Cluster 2	1,5	45,4	02_87_A	Cluster 2	1,5	60,4
02_87_B	Cluster 2	4,5	53,1	02_87_B	Cluster 2	4,5	68,1
02_87_C	Cluster 2	7,5	54,1	02_87_C	Cluster 2	7,5	69,1
02_88_A	Cluster 2	1,5	41,9	02_88_A	Cluster 2	1,5	56,9

Bijlage IV-2 Rekenresultaten L_{Ar,LT} en L_{Amax} dagperiode wedstrijd

Rekenresultaten L _{Ar,LT} dag wedstrijd				Rekenresultaten L _{Amax} dag wedstrijd			
Naam	Omschrijving	Hoogte	Dag	Naam	Omschrijving	Hoogte	Dag
02_88_B	Cluster 2	4,5	48,8	02_88_B	Cluster 2	4,5	63,8
02_88_C	Cluster 2	7,5	50,8	02_88_C	Cluster 2	7,5	65,8
02_89_A	Cluster 2	1,5	47,3	02_89_A	Cluster 2	1,5	62,3
02_89_B	Cluster 2	4,5	53,9	02_89_B	Cluster 2	4,5	68,9
02_89_C	Cluster 2	7,5	54,9	02_89_C	Cluster 2	7,5	69,9
02_90_A	Cluster 2	1,5	46,5	02_90_A	Cluster 2	1,5	61,5
02_90_B	Cluster 2	4,5	54,3	02_90_B	Cluster 2	4,5	69,3
02_90_C	Cluster 2	7,5	55,1	02_90_C	Cluster 2	7,5	70,1
02_91_A	Cluster 2	1,5	48	02_91_A	Cluster 2	1,5	63
02_91_B	Cluster 2	4,5	54,1	02_91_B	Cluster 2	4,5	69,1
02_91_C	Cluster 2	7,5	54,2	02_91_C	Cluster 2	7,5	69,2
02_92_A	Cluster 2	1,5	45,9	02_92_A	Cluster 2	1,5	60,9
02_92_B	Cluster 2	4,5	53,5	02_92_B	Cluster 2	4,5	68,5
02_92_C	Cluster 2	7,5	53,6	02_92_C	Cluster 2	7,5	68,6
02_93_A	Cluster 2	1,5	46,6	02_93_A	Cluster 2	1,5	61,6
02_93_B	Cluster 2	4,5	52,3	02_93_B	Cluster 2	4,5	67,3
02_93_C	Cluster 2	7,5	53,6	02_93_C	Cluster 2	7,5	68,6
02_94_A	Cluster 2	1,5	42,5	02_94_A	Cluster 2	1,5	57,5
02_94_B	Cluster 2	4,5	50,4	02_94_B	Cluster 2	4,5	65,4
02_94_C	Cluster 2	7,5	53,6	02_94_C	Cluster 2	7,5	68,6
02_95_A	Cluster 2	1,5	41,7	02_95_A	Cluster 2	1,5	56,7
02_95_B	Cluster 2	4,5	46,4	02_95_B	Cluster 2	4,5	61,4
02_95_C	Cluster 2	7,5	52,9	02_95_C	Cluster 2	7,5	67,9
02_96_A	Cluster 2	1,5	40,7	02_96_A	Cluster 2	1,5	55,7
02_96_B	Cluster 2	4,5	44,6	02_96_B	Cluster 2	4,5	59,6
02_97_A	Cluster 2	1,5	40,1	02_97_A	Cluster 2	1,5	55,1
02_97_B	Cluster 2	4,5	42,3	02_97_B	Cluster 2	4,5	57,3
02_98_A	Cluster 2	1,5	37,9	02_98_A	Cluster 2	1,5	52,9
02_98_B	Cluster 2	4,5	40	02_98_B	Cluster 2	4,5	55
02_98_C	Cluster 2	7,5	47,8	02_98_C	Cluster 2	7,5	62,8
02_99_A	Cluster 2	1,5	40,5	02_99_A	Cluster 2	1,5	55,5
02_99_B	Cluster 2	4,5	43,9	02_99_B	Cluster 2	4,5	58,9
02_99_C	Cluster 2	7,5	52	02_99_C	Cluster 2	7,5	67
03_01_A	Cluster 3	1,5	39,9	03_01_A	Cluster 3	1,5	54,9
03_01_B	Cluster 3	4,5	44,1	03_01_B	Cluster 3	4,5	59,1
03_01_C	Cluster 3	7,5	50,6	03_01_C	Cluster 3	7,5	65,6
03_02_A	Cluster 3	1,5	42	03_02_A	Cluster 3	1,5	57
03_02_B	Cluster 3	4,5	48,7	03_02_B	Cluster 3	4,5	63,7
03_02_C	Cluster 3	7,5	48,3	03_02_C	Cluster 3	7,5	63,3
03_03_A	Cluster 3	1,5	39,1	03_03_A	Cluster 3	1,5	54,1
03_03_B	Cluster 3	4,5	46,3	03_03_B	Cluster 3	4,5	61,3
03_03_C	Cluster 3	7,5	47,8	03_03_C	Cluster 3	7,5	62,8
03_04_A	Cluster 3	1,5	44,4	03_04_A	Cluster 3	1,5	59,4
03_04_B	Cluster 3	4,5	50,9	03_04_B	Cluster 3	4,5	65,9
03_04_C	Cluster 3	7,5	49,8	03_04_C	Cluster 3	7,5	64,8
03_05_A	Cluster 3	1,5	42,5	03_05_A	Cluster 3	1,5	57,5
03_05_B	Cluster 3	4,5	49,1	03_05_B	Cluster 3	4,5	64,1
03_06_A	Cluster 3	1,5	45,5	03_06_A	Cluster 3	1,5	60,5
03_06_B	Cluster 3	4,5	50,1	03_06_B	Cluster 3	4,5	65,1
03_07_A	Cluster 3	1,5	45,6	03_07_A	Cluster 3	1,5	60,6
03_07_B	Cluster 3	4,5	50,1	03_07_B	Cluster 3	4,5	65,1
03_08_A	Cluster 3	1,5	42,6	03_08_A	Cluster 3	1,5	57,6
03_08_B	Cluster 3	4,5	46,7	03_08_B	Cluster 3	4,5	61,7
03_09_A	Cluster 3	1,5	40,3	03_09_A	Cluster 3	1,5	55,3
03_09_B	Cluster 3	4,5	44,6	03_09_B	Cluster 3	4,5	59,6
03_09_C	Cluster 3	7,5	54,2	03_09_C	Cluster 3	7,5	69,2
03_10_A	Cluster 3	1,5	39,9	03_10_A	Cluster 3	1,5	54,9
03_10_B	Cluster 3	4,5	43,6	03_10_B	Cluster 3	4,5	58,6
03_10_C	Cluster 3	7,5	54,1	03_10_C	Cluster 3	7,5	69,1
03_11_A	Cluster 3	1,5	38,8	03_11_A	Cluster 3	1,5	53,8
03_11_B	Cluster 3	4,5	42,4	03_11_B	Cluster 3	4,5	57,4
03_11_C	Cluster 3	7,5	53,9	03_11_C	Cluster 3	7,5	68,9
03_12_A	Cluster 3	1,5	38,6	03_12_A	Cluster 3	1,5	53,6
03_12_B	Cluster 3	4,5	42,3	03_12_B	Cluster 3	4,5	57,3
03_12_C	Cluster 3	7,5	53,7	03_12_C	Cluster 3	7,5	68,7
03_13_A	Cluster 3	1,5	38,9	03_13_A	Cluster 3	1,5	53,9

Bijlage IV-2 Rekenresultaten L_{Ar,LT} en L_{Amax} dagperiode wedstrijd

Rekenresultaten L _{Ar,LT} dag wedstrijd				Rekenresultaten L _{Amax} dag wedstrijd			
Naam	Omschrijving	Hoogte	Dag	Naam	Omschrijving	Hoogte	Dag
03_13_B	Cluster 3	4,5	42,3	03_13_B	Cluster 3	4,5	57,3
03_13_C	Cluster 3	7,5	53,7	03_13_C	Cluster 3	7,5	68,7
03_14_A	Cluster 3	1,5	38,7	03_14_A	Cluster 3	1,5	53,7
03_14_B	Cluster 3	4,5	42,3	03_14_B	Cluster 3	4,5	57,3
03_14_C	Cluster 3	7,5	53,9	03_14_C	Cluster 3	7,5	68,9
03_15_A	Cluster 3	1,5	39,1	03_15_A	Cluster 3	1,5	54,1
03_15_B	Cluster 3	4,5	42,5	03_15_B	Cluster 3	4,5	57,5
03_15_C	Cluster 3	7,5	53,8	03_15_C	Cluster 3	7,5	68,8
03_16_A	Cluster 3	1,5	39	03_16_A	Cluster 3	1,5	54
03_16_B	Cluster 3	4,5	42,3	03_16_B	Cluster 3	4,5	57,3
03_16_C	Cluster 3	7,5	53,9	03_16_C	Cluster 3	7,5	68,9
03_17_A	Cluster 3	1,5	38,8	03_17_A	Cluster 3	1,5	53,8
03_17_B	Cluster 3	4,5	42,2	03_17_B	Cluster 3	4,5	57,2
03_17_C	Cluster 3	7,5	54,1	03_17_C	Cluster 3	7,5	69,1
03_18_A	Cluster 3	1,5	39,2	03_18_A	Cluster 3	1,5	54,2
03_18_B	Cluster 3	4,5	42,4	03_18_B	Cluster 3	4,5	57,4
03_18_C	Cluster 3	7,5	54,2	03_18_C	Cluster 3	7,5	69,2
03_19_A	Cluster 3	1,5	39,2	03_19_A	Cluster 3	1,5	54,2
03_19_B	Cluster 3	4,5	42,8	03_19_B	Cluster 3	4,5	57,8
03_19_C	Cluster 3	7,5	53,5	03_19_C	Cluster 3	7,5	68,5
03_20_A	Cluster 3	1,5	41,9	03_20_A	Cluster 3	1,5	56,9
03_20_B	Cluster 3	4,5	44,6	03_20_B	Cluster 3	4,5	59,6
03_20_C	Cluster 3	7,5	53,5	03_20_C	Cluster 3	7,5	68,5
03_21_A	Cluster 3	1,5	45,9	03_21_A	Cluster 3	1,5	60,9
03_21_B	Cluster 3	4,5	49	03_21_B	Cluster 3	4,5	64
03_21_C	Cluster 3	7,5	50,2	03_21_C	Cluster 3	7,5	65,2
03_22_A	Cluster 3	1,5	45,1	03_22_A	Cluster 3	1,5	60,1
03_22_B	Cluster 3	4,5	48,3	03_22_B	Cluster 3	4,5	63,3
03_22_C	Cluster 3	7,5	47,3	03_22_C	Cluster 3	7,5	62,3
03_23_A	Cluster 3	1,5	45	03_23_A	Cluster 3	1,5	60
03_23_B	Cluster 3	4,5	48,6	03_23_B	Cluster 3	4,5	63,6
03_23_C	Cluster 3	7,5	49	03_23_C	Cluster 3	7,5	64
03_24_A	Cluster 3	1,5	44,5	03_24_A	Cluster 3	1,5	59,5
03_24_B	Cluster 3	4,5	47,9	03_24_B	Cluster 3	4,5	62,9
03_24_C	Cluster 3	7,5	48,9	03_24_C	Cluster 3	7,5	63,9
03_25_A	Cluster 3	1,5	44,2	03_25_A	Cluster 3	1,5	59,2
03_25_B	Cluster 3	4,5	47,9	03_25_B	Cluster 3	4,5	62,9
03_25_C	Cluster 3	7,5	49,2	03_25_C	Cluster 3	7,5	64,2
03_26_A	Cluster 3	1,5	44,2	03_26_A	Cluster 3	1,5	59,2
03_26_B	Cluster 3	4,5	48	03_26_B	Cluster 3	4,5	63
03_26_C	Cluster 3	7,5	50,6	03_26_C	Cluster 3	7,5	65,6
03_27_A	Cluster 3	1,5	44	03_27_A	Cluster 3	1,5	59
03_27_B	Cluster 3	4,5	47,7	03_27_B	Cluster 3	4,5	62,7
03_27_C	Cluster 3	7,5	51,4	03_27_C	Cluster 3	7,5	66,4
03_28_A	Cluster 3	1,5	43,8	03_28_A	Cluster 3	1,5	58,8
03_28_B	Cluster 3	4,5	47,8	03_28_B	Cluster 3	4,5	62,8
03_28_C	Cluster 3	7,5	51,1	03_28_C	Cluster 3	7,5	66,1
03_29_A	Cluster 3	1,5	44,3	03_29_A	Cluster 3	1,5	59,3
03_29_B	Cluster 3	4,5	47,6	03_29_B	Cluster 3	4,5	62,6
03_29_C	Cluster 3	7,5	51,1	03_29_C	Cluster 3	7,5	66,1
03_30_A	Cluster 3	1,5	45	03_30_A	Cluster 3	1,5	60
03_30_B	Cluster 3	4,5	48,6	03_30_B	Cluster 3	4,5	63,6
03_30_C	Cluster 3	7,5	50,6	03_30_C	Cluster 3	7,5	65,6
03_31_A	Cluster 3	1,5	41,2	03_31_A	Cluster 3	1,5	56,2
03_31_B	Cluster 3	4,5	45,7	03_31_B	Cluster 3	4,5	60,7
03_31_C	Cluster 3	7,5	49,2	03_31_C	Cluster 3	7,5	64,2
03_32_A	Cluster 3	1,5	43,1	03_32_A	Cluster 3	1,5	58,1
03_32_B	Cluster 3	4,5	50	03_32_B	Cluster 3	4,5	65
03_32_C	Cluster 3	7,5	54	03_32_C	Cluster 3	7,5	69
03_33_A	Cluster 3	1,5	41,2	03_33_A	Cluster 3	1,5	56,2
03_33_B	Cluster 3	4,5	47,3	03_33_B	Cluster 3	4,5	62,3
03_33_C	Cluster 3	7,5	51,7	03_33_C	Cluster 3	7,5	66,7
03_34_A	Cluster 3	1,5	38	03_34_A	Cluster 3	1,5	53
03_34_B	Cluster 3	4,5	42,6	03_34_B	Cluster 3	4,5	57,6
03_34_C	Cluster 3	7,5	50,4	03_34_C	Cluster 3	7,5	65,4
03_35_A	Cluster 3	1,5	38,4	03_35_A	Cluster 3	1,5	53,4

Bijlage IV-2 Rekenresultaten L_{Ar,LT} en L_{Amax} dagperiode wedstrijd

Rekenresultaten L _{Ar,LT} dag wedstrijd				Rekenresultaten L _{Amax} dag wedstrijd			
Naam	Omschrijving	Hoogte	Dag	Naam	Omschrijving	Hoogte	Dag
03_35_B	Cluster 3	4,5	42,8	03_35_B	Cluster 3	4,5	57,8
03_35_C	Cluster 3	7,5	51,1	03_35_C	Cluster 3	7,5	66,1
03_36_A	Cluster 3	1,5	38,9	03_36_A	Cluster 3	1,5	53,9
03_36_B	Cluster 3	4,5	42,7	03_36_B	Cluster 3	4,5	57,7
03_36_C	Cluster 3	7,5	51,1	03_36_C	Cluster 3	7,5	66,1
03_37_A	Cluster 3	1,5	38,7	03_37_A	Cluster 3	1,5	53,7
03_37_B	Cluster 3	4,5	42,7	03_37_B	Cluster 3	4,5	57,7
03_37_C	Cluster 3	7,5	51,1	03_37_C	Cluster 3	7,5	66,1
03_38_A	Cluster 3	1,5	38,3	03_38_A	Cluster 3	1,5	53,3
03_38_B	Cluster 3	4,5	41,7	03_38_B	Cluster 3	4,5	56,7
03_38_C	Cluster 3	7,5	50,4	03_38_C	Cluster 3	7,5	65,4
03_39_A	Cluster 3	1,5	34,5	03_39_A	Cluster 3	1,5	49,5
03_39_B	Cluster 3	4,5	35,1	03_39_B	Cluster 3	4,5	50,1
03_39_C	Cluster 3	7,5	41,2	03_39_C	Cluster 3	7,5	56,2
03_40_A	Cluster 3	1,5	34,6	03_40_A	Cluster 3	1,5	49,6
03_40_B	Cluster 3	4,5	35,2	03_40_B	Cluster 3	4,5	50,2
03_40_C	Cluster 3	7,5	41	03_40_C	Cluster 3	7,5	56
03_41_A	Cluster 3	1,5	34	03_41_A	Cluster 3	1,5	49
03_41_B	Cluster 3	4,5	34,9	03_41_B	Cluster 3	4,5	49,9
03_41_C	Cluster 3	7,5	40,8	03_41_C	Cluster 3	7,5	55,8
03_42_A	Cluster 3	1,5	33,9	03_42_A	Cluster 3	1,5	48,9
03_42_B	Cluster 3	4,5	35,7	03_42_B	Cluster 3	4,5	50,7
03_42_C	Cluster 3	7,5	39,1	03_42_C	Cluster 3	7,5	54,1
03_43_A	Cluster 3	1,5	41,3	03_43_A	Cluster 3	1,5	56,3
03_43_B	Cluster 3	4,5	46,6	03_43_B	Cluster 3	4,5	61,6
03_43_C	Cluster 3	7,5	49,4	03_43_C	Cluster 3	7,5	64,4
03_44_A	Cluster 3	1,5	40,7	03_44_A	Cluster 3	1,5	55,7
03_44_B	Cluster 3	4,5	47,7	03_44_B	Cluster 3	4,5	62,7
03_44_C	Cluster 3	7,5	51,3	03_44_C	Cluster 3	7,5	66,3
03_45_A	Cluster 3	1,5	41,1	03_45_A	Cluster 3	1,5	56,1
03_45_B	Cluster 3	4,5	47,5	03_45_B	Cluster 3	4,5	62,5
03_45_C	Cluster 3	7,5	51,5	03_45_C	Cluster 3	7,5	66,5
03_46_A	Cluster 3	1,5	42,1	03_46_A	Cluster 3	1,5	57,1
03_46_B	Cluster 3	4,5	48,4	03_46_B	Cluster 3	4,5	63,4
03_46_C	Cluster 3	7,5	52,4	03_46_C	Cluster 3	7,5	67,4
03_47_A	Cluster 3	1,5	37,2	03_47_A	Cluster 3	1,5	52,2
03_47_B	Cluster 3	4,5	41,2	03_47_B	Cluster 3	4,5	56,2
03_47_C	Cluster 3	7,5	49,7	03_47_C	Cluster 3	7,5	64,7
03_48_A	Cluster 3	1,5	44,7	03_48_A	Cluster 3	1,5	59,7
03_48_B	Cluster 3	4,5	50,8	03_48_B	Cluster 3	4,5	65,8
03_48_C	Cluster 3	7,5	52,3	03_48_C	Cluster 3	7,5	67,3
03_49_A	Cluster 3	1,5	44,5	03_49_A	Cluster 3	1,5	59,5
03_49_B	Cluster 3	4,5	50	03_49_B	Cluster 3	4,5	65
03_49_C	Cluster 3	7,5	51,4	03_49_C	Cluster 3	7,5	66,4
03_50_A	Cluster 3	1,5	39,9	03_50_A	Cluster 3	1,5	54,9
03_50_B	Cluster 3	4,5	46,9	03_50_B	Cluster 3	4,5	61,9
03_50_C	Cluster 3	7,5	54,8	03_50_C	Cluster 3	7,5	69,8
03_51_A	Cluster 3	1,5	41,3	03_51_A	Cluster 3	1,5	56,3
03_51_B	Cluster 3	4,5	46,6	03_51_B	Cluster 3	4,5	61,6
03_52_A	Cluster 3	1,5	43,4	03_52_A	Cluster 3	1,5	58,4
03_52_B	Cluster 3	4,5	49	03_52_B	Cluster 3	4,5	64
03_53_A	Cluster 3	1,5	43	03_53_A	Cluster 3	1,5	58
03_53_B	Cluster 3	4,5	50	03_53_B	Cluster 3	4,5	65
03_53_C	Cluster 3	7,5	46,5	03_53_C	Cluster 3	7,5	61,5
03_54_A	Cluster 3	1,5	42,5	03_54_A	Cluster 3	1,5	57,5
03_54_B	Cluster 3	4,5	48,8	03_54_B	Cluster 3	4,5	63,8
03_54_C	Cluster 3	7,5	50,5	03_54_C	Cluster 3	7,5	65,5
03_55_A	Cluster 3	1,5	42,5	03_55_A	Cluster 3	1,5	57,5
03_55_B	Cluster 3	4,5	50,1	03_55_B	Cluster 3	4,5	65,1
03_55_C	Cluster 3	7,5	48,3	03_55_C	Cluster 3	7,5	63,3
03_56_A	Cluster 3	1,5	43	03_56_A	Cluster 3	1,5	58
03_56_B	Cluster 3	4,5	49,9	03_56_B	Cluster 3	4,5	64,9
03_56_C	Cluster 3	7,5	48,8	03_56_C	Cluster 3	7,5	63,8
03_57_A	Cluster 3	1,5	42,6	03_57_A	Cluster 3	1,5	57,6
03_57_B	Cluster 3	4,5	49,8	03_57_B	Cluster 3	4,5	64,8
03_57_C	Cluster 3	7,5	50,4	03_57_C	Cluster 3	7,5	65,4

Bijlage IV-2 Rekenresultaten L_{Ar,LT} en L_{Amax} dagperiode wedstrijd

Rekenresultaten L _{Ar,LT} dag wedstrijd				Rekenresultaten L _{Amax} dag wedstrijd			
Naam	Omschrijving	Hoogte	Dag	Naam	Omschrijving	Hoogte	Dag
03_58_A	Cluster 3	1,5	43,2	03_58_A	Cluster 3	1,5	58,2
03_58_B	Cluster 3	4,5	50,1	03_58_B	Cluster 3	4,5	65,1
03_58_C	Cluster 3	7,5	50,3	03_58_C	Cluster 3	7,5	65,3
03_59_A	Cluster 3	1,5	42,4	03_59_A	Cluster 3	1,5	57,4
03_59_B	Cluster 3	4,5	50	03_59_B	Cluster 3	4,5	65
03_59_C	Cluster 3	7,5	48,8	03_59_C	Cluster 3	7,5	63,8
03_60_A	Cluster 3	1,5	42,8	03_60_A	Cluster 3	1,5	57,8
03_60_B	Cluster 3	4,5	50,1	03_60_B	Cluster 3	4,5	65,1
03_60_C	Cluster 3	7,5	47	03_60_C	Cluster 3	7,5	62
03_61_A	Cluster 3	1,5	43,1	03_61_A	Cluster 3	1,5	58,1
03_61_B	Cluster 3	4,5	49,7	03_61_B	Cluster 3	4,5	64,7
03_61_C	Cluster 3	7,5	45,1	03_61_C	Cluster 3	7,5	60,1
03_62_A	Cluster 3	1,5	45,3	03_62_A	Cluster 3	1,5	60,3
03_62_B	Cluster 3	4,5	49,1	03_62_B	Cluster 3	4,5	64,1
03_62_C	Cluster 3	7,5	42,5	03_62_C	Cluster 3	7,5	57,5
03_63_A	Cluster 3	1,5	44,3	03_63_A	Cluster 3	1,5	59,3
03_63_B	Cluster 3	4,5	47,9	03_63_B	Cluster 3	4,5	62,9
03_63_C	Cluster 3	7,5	42,6	03_63_C	Cluster 3	7,5	57,6
03_64_A	Cluster 3	1,5	46,4	03_64_A	Cluster 3	1,5	61,4
03_64_B	Cluster 3	4,5	48,4	03_64_B	Cluster 3	4,5	63,4
03_64_C	Cluster 3	7,5	46,7	03_64_C	Cluster 3	7,5	61,7
03_65_A	Cluster 3	1,5	42,6	03_65_A	Cluster 3	1,5	57,6
03_65_B	Cluster 3	4,5	45	03_65_B	Cluster 3	4,5	60
03_65_C	Cluster 3	7,5	51,6	03_65_C	Cluster 3	7,5	66,6
03_66_A	Cluster 3	1,5	40	03_66_A	Cluster 3	1,5	55
03_66_B	Cluster 3	4,5	44,5	03_66_B	Cluster 3	4,5	59,5
03_66_C	Cluster 3	7,5	52,8	03_66_C	Cluster 3	7,5	67,8
03_67_A	Cluster 3	1,5	38,6	03_67_A	Cluster 3	1,5	53,6
03_67_B	Cluster 3	4,5	42	03_67_B	Cluster 3	4,5	57
03_67_C	Cluster 3	7,5	52,2	03_67_C	Cluster 3	7,5	67,2
03_68_A	Cluster 3	1,5	45,4	03_68_A	Cluster 3	1,5	60,4
03_68_B	Cluster 3	4,5	48,7	03_68_B	Cluster 3	4,5	63,7
03_68_C	Cluster 3	7,5	52,2	03_68_C	Cluster 3	7,5	67,2
03_69_A	Cluster 3	1,5	45,9	03_69_A	Cluster 3	1,5	60,9
03_69_B	Cluster 3	4,5	49,4	03_69_B	Cluster 3	4,5	64,4
03_69_C	Cluster 3	7,5	52,7	03_69_C	Cluster 3	7,5	67,7
03_70_A	Cluster 3	1,5	45,3	03_70_A	Cluster 3	1,5	60,3
03_70_B	Cluster 3	4,5	49,6	03_70_B	Cluster 3	4,5	64,6
03_70_C	Cluster 3	7,5	54,4	03_70_C	Cluster 3	7,5	69,4
03_71_A	Cluster 3	1,5	45,8	03_71_A	Cluster 3	1,5	60,8
03_71_B	Cluster 3	4,5	49,9	03_71_B	Cluster 3	4,5	64,9
03_71_C	Cluster 3	7,5	54,5	03_71_C	Cluster 3	7,5	69,5
03_72_A	Cluster 3	1,5	45,5	03_72_A	Cluster 3	1,5	60,5
03_72_B	Cluster 3	4,5	50,3	03_72_B	Cluster 3	4,5	65,3
03_72_C	Cluster 3	7,5	54,6	03_72_C	Cluster 3	7,5	69,6
03_73_A	Cluster 3	1,5	45,5	03_73_A	Cluster 3	1,5	60,5
03_73_B	Cluster 3	4,5	50,2	03_73_B	Cluster 3	4,5	65,2
03_73_C	Cluster 3	7,5	54,4	03_73_C	Cluster 3	7,5	69,4
03_74_A	Cluster 3	1,5	44,5	03_74_A	Cluster 3	1,5	59,5
03_74_B	Cluster 3	4,5	50,1	03_74_B	Cluster 3	4,5	65,1
03_74_C	Cluster 3	7,5	54,2	03_74_C	Cluster 3	7,5	69,2
03_75_A	Cluster 3	1,5	40,1	03_75_A	Cluster 3	1,5	55,1
03_75_B	Cluster 3	4,5	45,3	03_75_B	Cluster 3	4,5	60,3
03_75_C	Cluster 3	7,5	54,1	03_75_C	Cluster 3	7,5	69,1
03_76_A	Cluster 3	1,5	40	03_76_A	Cluster 3	1,5	55
03_76_B	Cluster 3	4,5	45	03_76_B	Cluster 3	4,5	60
03_76_C	Cluster 3	7,5	54,2	03_76_C	Cluster 3	7,5	69,2
03_77_A	Cluster 3	1,5	40,3	03_77_A	Cluster 3	1,5	55,3
03_77_B	Cluster 3	4,5	45	03_77_B	Cluster 3	4,5	60
03_77_C	Cluster 3	7,5	54,2	03_77_C	Cluster 3	7,5	69,2
03_78_A	Cluster 3	1,5	40,3	03_78_A	Cluster 3	1,5	55,3
03_78_B	Cluster 3	4,5	45,1	03_78_B	Cluster 3	4,5	60,1
03_78_C	Cluster 3	7,5	54,2	03_78_C	Cluster 3	7,5	69,2
03_79_A	Cluster 3	1,5	40,4	03_79_A	Cluster 3	1,5	55,4
03_79_B	Cluster 3	4,5	45,1	03_79_B	Cluster 3	4,5	60,1
03_79_C	Cluster 3	7,5	54,3	03_79_C	Cluster 3	7,5	69,3

Bijlage IV-2 Rekenresultaten L_{Ar,LT} en L_{Amax} dagperiode wedstrijd

Rekenresultaten L _{Ar,LT} dag wedstrijd				Rekenresultaten L _{Amax} dag wedstrijd			
Naam	Omschrijving	Hoogte	Dag	Naam	Omschrijving	Hoogte	Dag
03_80_A	Cluster 3	1,5	40,4	03_80_A	Cluster 3	1,5	55,4
03_80_B	Cluster 3	4,5	45,2	03_80_B	Cluster 3	4,5	60,2
03_80_C	Cluster 3	7,5	54,2	03_80_C	Cluster 3	7,5	69,2
03_81_A	Cluster 3	1,5	42,1	03_81_A	Cluster 3	1,5	57,1
03_81_B	Cluster 3	4,5	46,3	03_81_B	Cluster 3	4,5	61,3
03_81_C	Cluster 3	7,5	54,1	03_81_C	Cluster 3	7,5	69,1
03_82_A	Cluster 3	1,5	43,6	03_82_A	Cluster 3	1,5	58,6
03_82_B	Cluster 3	4,5	48,7	03_82_B	Cluster 3	4,5	63,7
03_82_C	Cluster 3	7,5	54,1	03_82_C	Cluster 3	7,5	69,1
03_83_A	Cluster 3	1,5	42,6	03_83_A	Cluster 3	1,5	57,6
03_83_B	Cluster 3	4,5	48,7	03_83_B	Cluster 3	4,5	63,7
03_83_C	Cluster 3	7,5	53,6	03_83_C	Cluster 3	7,5	68,6
03_84_A	Cluster 3	1,5	42,5	03_84_A	Cluster 3	1,5	57,5
03_84_B	Cluster 3	4,5	47,5	03_84_B	Cluster 3	4,5	62,5
03_84_C	Cluster 3	7,5	53,3	03_84_C	Cluster 3	7,5	68,3
03_85_A	Cluster 3	1,5	41,8	03_85_A	Cluster 3	1,5	56,8
03_85_B	Cluster 3	4,5	46,2	03_85_B	Cluster 3	4,5	61,2
03_85_C	Cluster 3	7,5	51,8	03_85_C	Cluster 3	7,5	66,8
03_86_A	Cluster 3	1,5	41,9	03_86_A	Cluster 3	1,5	56,9
03_86_B	Cluster 3	4,5	46,5	03_86_B	Cluster 3	4,5	61,5
03_86_C	Cluster 3	7,5	42,8	03_86_C	Cluster 3	7,5	57,8
03_87_A	Cluster 3	1,5	44,7	03_87_A	Cluster 3	1,5	59,7
03_87_B	Cluster 3	4,5	50,9	03_87_B	Cluster 3	4,5	65,9
03_87_C	Cluster 3	7,5	53,7	03_87_C	Cluster 3	7,5	68,7
04_01_A	Cluster 4	1,5	37,2	04_01_A	Cluster 4	1,5	52,2
04_01_B	Cluster 4	4,5	39,4	04_01_B	Cluster 4	4,5	54,4
04_01_C	Cluster 4	7,5	40,1	04_01_C	Cluster 4	7,5	55,1
04_02_A	Cluster 4	1,5	36,3	04_02_A	Cluster 4	1,5	51,3
04_02_B	Cluster 4	4,5	38,1	04_02_B	Cluster 4	4,5	53,1
04_02_C	Cluster 4	7,5	40,1	04_02_C	Cluster 4	7,5	55,1
04_03_A	Cluster 4	1,5	34,9	04_03_A	Cluster 4	1,5	49,9
04_03_B	Cluster 4	4,5	36,5	04_03_B	Cluster 4	4,5	51,5
04_03_C	Cluster 4	7,5	30,1	04_03_C	Cluster 4	7,5	45,1
04_04_A	Cluster 4	1,5	29,7	04_04_A	Cluster 4	1,5	44,7
04_04_B	Cluster 4	4,5	33	04_04_B	Cluster 4	4,5	48
04_04_C	Cluster 4	7,5	34	04_04_C	Cluster 4	7,5	49
04_05_A	Cluster 4	1,5	37,8	04_05_A	Cluster 4	1,5	52,8
04_05_B	Cluster 4	4,5	39,4	04_05_B	Cluster 4	4,5	54,4
04_05_C	Cluster 4	7,5	41,8	04_05_C	Cluster 4	7,5	56,8
04_06_A	Cluster 4	1,5	38,9	04_06_A	Cluster 4	1,5	53,9
04_06_B	Cluster 4	4,5	41	04_06_B	Cluster 4	4,5	56
04_06_C	Cluster 4	7,5	42,5	04_06_C	Cluster 4	7,5	57,5
04_07_A	Cluster 4	1,5	37,4	04_07_A	Cluster 4	1,5	52,4
04_07_B	Cluster 4	4,5	38,8	04_07_B	Cluster 4	4,5	53,8
04_07_C	Cluster 4	7,5	41,1	04_07_C	Cluster 4	7,5	56,1
04_08_A	Cluster 4	1,5	33,2	04_08_A	Cluster 4	1,5	48,2
04_08_B	Cluster 4	4,5	35,2	04_08_B	Cluster 4	4,5	50,2
04_08_C	Cluster 4	7,5	37,6	04_08_C	Cluster 4	7,5	52,6
04_09_A	Cluster 4	1,5	32,6	04_09_A	Cluster 4	1,5	47,6
04_09_B	Cluster 4	4,5	34,1	04_09_B	Cluster 4	4,5	49,1
04_09_C	Cluster 4	7,5	36,4	04_09_C	Cluster 4	7,5	51,4
04_10_A	Cluster 4	1,5	32,3	04_10_A	Cluster 4	1,5	47,3
04_10_B	Cluster 4	4,5	34,2	04_10_B	Cluster 4	4,5	49,2
04_10_C	Cluster 4	7,5	35,5	04_10_C	Cluster 4	7,5	50,5
04_11_A	Cluster 4	1,5	37,9	04_11_A	Cluster 4	1,5	52,9
04_11_B	Cluster 4	4,5	40,1	04_11_B	Cluster 4	4,5	55,1
04_11_C	Cluster 4	7,5	39,7	04_11_C	Cluster 4	7,5	54,7
04_12_A	Cluster 4	1,5	36,7	04_12_A	Cluster 4	1,5	51,7
04_12_B	Cluster 4	4,5	38,7	04_12_B	Cluster 4	4,5	53,7
04_12_C	Cluster 4	7,5	38,5	04_12_C	Cluster 4	7,5	53,5
04_13_A	Cluster 4	1,5	34,1	04_13_A	Cluster 4	1,5	49,1
04_13_B	Cluster 4	4,5	35,4	04_13_B	Cluster 4	4,5	50,4
04_13_C	Cluster 4	7,5	38,7	04_13_C	Cluster 4	7,5	53,7
04_14_A	Cluster 4	1,5	37,4	04_14_A	Cluster 4	1,5	52,4
04_14_B	Cluster 4	4,5	39,1	04_14_B	Cluster 4	4,5	54,1
04_14_C	Cluster 4	7,5	41	04_14_C	Cluster 4	7,5	56

Bijlage IV-2 Rekenresultaten L_{Ar,LT} en L_{Amax} dagperiode wedstrijd

Rekenresultaten L _{Ar,LT} dag wedstrijd				Rekenresultaten L _{Amax} dag wedstrijd			
Naam	Omschrijving	Hoogte	Dag	Naam	Omschrijving	Hoogte	Dag
04_15_A	Cluster 4	1,5	35,1	04_15_A	Cluster 4	1,5	50,1
04_15_B	Cluster 4	4,5	35,9	04_15_B	Cluster 4	4,5	50,9
04_15_C	Cluster 4	7,5	37,6	04_15_C	Cluster 4	7,5	52,6
04_16_A	Cluster 4	1,5	36,6	04_16_A	Cluster 4	1,5	51,6
04_16_B	Cluster 4	4,5	37,6	04_16_B	Cluster 4	4,5	52,6
04_16_C	Cluster 4	7,5	39,4	04_16_C	Cluster 4	7,5	54,4
04_17_A	Cluster 4	1,5	--	04_17_A	Cluster 4	1,5	#WAARDE!
04_17_B	Cluster 4	4,5	37,4	04_17_B	Cluster 4	4,5	52,4
04_17_C	Cluster 4	7,5	35,3	04_17_C	Cluster 4	7,5	50,3
04_18_A	Cluster 4	1,5	35,9	04_18_A	Cluster 4	1,5	50,9
04_18_B	Cluster 4	4,5	36,7	04_18_B	Cluster 4	4,5	51,7
04_18_C	Cluster 4	7,5	38,4	04_18_C	Cluster 4	7,5	53,4
04_19_A	Cluster 4	1,5	40,3	04_19_A	Cluster 4	1,5	55,3
04_19_B	Cluster 4	4,5	38	04_19_B	Cluster 4	4,5	53
04_19_C	Cluster 4	7,5	39,7	04_19_C	Cluster 4	7,5	54,7
04_20_A	Cluster 4	1,5	36,1	04_20_A	Cluster 4	1,5	51,1
04_20_B	Cluster 4	4,5	39,5	04_20_B	Cluster 4	4,5	54,5
04_20_C	Cluster 4	7,5	41,3	04_20_C	Cluster 4	7,5	56,3
04_21_A	Cluster 4	1,5	42,9	04_21_A	Cluster 4	1,5	57,9
04_21_B	Cluster 4	4,5	43,6	04_21_B	Cluster 4	4,5	58,6
04_21_C	Cluster 4	7,5	43,5	04_21_C	Cluster 4	7,5	58,5
04_22_A	Cluster 4	1,5	43,7	04_22_A	Cluster 4	1,5	58,7
04_22_B	Cluster 4	4,5	47,3	04_22_B	Cluster 4	4,5	62,3
04_22_C	Cluster 4	7,5	47,1	04_22_C	Cluster 4	7,5	62,1
04_23_A	Cluster 4	1,5	43,7	04_23_A	Cluster 4	1,5	58,7
04_23_B	Cluster 4	4,5	49,3	04_23_B	Cluster 4	4,5	64,3
04_23_C	Cluster 4	7,5	50	04_23_C	Cluster 4	7,5	65
04_24_A	Cluster 4	1,5	42,8	04_24_A	Cluster 4	1,5	57,8
04_24_B	Cluster 4	4,5	50	04_24_B	Cluster 4	4,5	65
04_24_C	Cluster 4	7,5	50,9	04_24_C	Cluster 4	7,5	65,9
04_25_A	Cluster 4	1,5	41,9	04_25_A	Cluster 4	1,5	56,9
04_25_B	Cluster 4	4,5	50,1	04_25_B	Cluster 4	4,5	65,1
04_25_C	Cluster 4	7,5	50,9	04_25_C	Cluster 4	7,5	65,9
04_26_A	Cluster 4	1,5	41,1	04_26_A	Cluster 4	1,5	56,1
04_26_B	Cluster 4	4,5	50,1	04_26_B	Cluster 4	4,5	65,1
04_26_C	Cluster 4	7,5	50,8	04_26_C	Cluster 4	7,5	65,8
04_27_A	Cluster 4	1,5	41,3	04_27_A	Cluster 4	1,5	56,3
04_27_B	Cluster 4	4,5	50,1	04_27_B	Cluster 4	4,5	65,1
04_27_C	Cluster 4	7,5	50,9	04_27_C	Cluster 4	7,5	65,9
04_27_D	Cluster 4	10,5	51,3	04_27_D	Cluster 4	10,5	66,3
04_28_A	Cluster 4	1,5	44,2	04_28_A	Cluster 4	1,5	59,2
04_28_B	Cluster 4	4,5	46	04_28_B	Cluster 4	4,5	61
04_28_C	Cluster 4	7,5	46,8	04_28_C	Cluster 4	7,5	61,8
04_28_D	Cluster 4	10,5	42,6	04_28_D	Cluster 4	10,5	57,6
04_29_A	Cluster 4	1,5	43,1	04_29_A	Cluster 4	1,5	58,1
04_29_B	Cluster 4	4,5	44,6	04_29_B	Cluster 4	4,5	59,6
04_29_C	Cluster 4	7,5	45,5	04_29_C	Cluster 4	7,5	60,5
04_29_D	Cluster 4	10,5	41,6	04_29_D	Cluster 4	10,5	56,6
04_30_A	Cluster 4	1,5	43	04_30_A	Cluster 4	1,5	58
04_30_B	Cluster 4	4,5	44,6	04_30_B	Cluster 4	4,5	59,6
04_30_C	Cluster 4	7,5	45,6	04_30_C	Cluster 4	7,5	60,6
04_30_D	Cluster 4	10,5	45,1	04_30_D	Cluster 4	10,5	60,1
04_31_A	Cluster 4	1,5	42,9	04_31_A	Cluster 4	1,5	57,9
04_31_B	Cluster 4	4,5	44	04_31_B	Cluster 4	4,5	59
04_31_C	Cluster 4	7,5	45,1	04_31_C	Cluster 4	7,5	60,1
04_31_D	Cluster 4	10,5	47,1	04_31_D	Cluster 4	10,5	62,1
04_32_A	Cluster 4	1,5	42,8	04_32_A	Cluster 4	1,5	57,8
04_32_B	Cluster 4	4,5	44,1	04_32_B	Cluster 4	4,5	59,1
04_32_C	Cluster 4	7,5	45,1	04_32_C	Cluster 4	7,5	60,1
04_32_D	Cluster 4	10,5	46,3	04_32_D	Cluster 4	10,5	61,3
04_33_A	Cluster 4	1,5	42,9	04_33_A	Cluster 4	1,5	57,9
04_33_B	Cluster 4	4,5	43,7	04_33_B	Cluster 4	4,5	58,7
04_33_C	Cluster 4	7,5	44,9	04_33_C	Cluster 4	7,5	59,9
04_33_D	Cluster 4	10,5	46	04_33_D	Cluster 4	10,5	61
04_34_A	Cluster 4	1,5	42,7	04_34_A	Cluster 4	1,5	57,7
04_34_B	Cluster 4	4,5	43,6	04_34_B	Cluster 4	4,5	58,6

Bijlage IV-2 Rekenresultaten L_{Ar,LT} en L_{Amax} dagperiode wedstrijd

Rekenresultaten L _{Ar,LT} dag wedstrijd				Rekenresultaten L _{Amax} dag wedstrijd			
Naam	Omschrijving	Hoogte	Dag	Naam	Omschrijving	Hoogte	Dag
04_34_C	Cluster 4	7,5	44,8	04_34_C	Cluster 4	7,5	59,8
04_34_D	Cluster 4	10,5	46,2	04_34_D	Cluster 4	10,5	61,2
04_35_A	Cluster 4	1,5	42,6	04_35_A	Cluster 4	1,5	57,6
04_35_B	Cluster 4	4,5	43,6	04_35_B	Cluster 4	4,5	58,6
04_35_C	Cluster 4	7,5	44,8	04_35_C	Cluster 4	7,5	59,8
04_35_D	Cluster 4	10,5	46,2	04_35_D	Cluster 4	10,5	61,2
04_36_A	Cluster 4	1,5	42,6	04_36_A	Cluster 4	1,5	57,6
04_36_B	Cluster 4	4,5	43,6	04_36_B	Cluster 4	4,5	58,6
04_36_C	Cluster 4	7,5	44,9	04_36_C	Cluster 4	7,5	59,9
04_36_D	Cluster 4	10,5	46,2	04_36_D	Cluster 4	10,5	61,2
04_37_A	Cluster 4	1,5	42,5	04_37_A	Cluster 4	1,5	57,5
04_37_B	Cluster 4	4,5	43,7	04_37_B	Cluster 4	4,5	58,7
04_37_C	Cluster 4	7,5	44,9	04_37_C	Cluster 4	7,5	59,9
04_37_D	Cluster 4	10,5	46,2	04_37_D	Cluster 4	10,5	61,2
04_38_A	Cluster 4	1,5	39,8	04_38_A	Cluster 4	1,5	54,8
04_38_B	Cluster 4	4,5	41	04_38_B	Cluster 4	4,5	56
04_38_C	Cluster 4	7,5	43	04_38_C	Cluster 4	7,5	58
04_38_D	Cluster 4	10,5	44,8	04_38_D	Cluster 4	10,5	59,8
04_39_A	Cluster 4	1,5	39	04_39_A	Cluster 4	1,5	54
04_39_B	Cluster 4	4,5	41,4	04_39_B	Cluster 4	4,5	56,4
04_40_A	Cluster 4	1,5	39,3	04_40_A	Cluster 4	1,5	54,3
04_40_B	Cluster 4	4,5	42	04_40_B	Cluster 4	4,5	57
04_41_A	Cluster 4	1,5	39,4	04_41_A	Cluster 4	1,5	54,4
04_41_B	Cluster 4	4,5	42,5	04_41_B	Cluster 4	4,5	57,5
04_42_A	Cluster 4	1,5	39	04_42_A	Cluster 4	1,5	54
04_42_B	Cluster 4	4,5	40,9	04_42_B	Cluster 4	4,5	55,9
04_43_A	Cluster 4	1,5	40,3	04_43_A	Cluster 4	1,5	55,3
04_43_B	Cluster 4	4,5	42,8	04_43_B	Cluster 4	4,5	57,8
04_43_C	Cluster 4	7,5	45	04_43_C	Cluster 4	7,5	60
04_44_A	Cluster 4	1,5	43,3	04_44_A	Cluster 4	1,5	58,3
04_44_B	Cluster 4	4,5	45,8	04_44_B	Cluster 4	4,5	60,8
04_44_C	Cluster 4	7,5	48,5	04_44_C	Cluster 4	7,5	63,5
04_45_A	Cluster 4	1,5	42,8	04_45_A	Cluster 4	1,5	57,8
04_45_B	Cluster 4	4,5	45,7	04_45_B	Cluster 4	4,5	60,7
04_45_C	Cluster 4	7,5	49,7	04_45_C	Cluster 4	7,5	64,7
04_46_A	Cluster 4	1,5	40,9	04_46_A	Cluster 4	1,5	55,9
04_46_B	Cluster 4	4,5	44,5	04_46_B	Cluster 4	4,5	59,5
04_47_A	Cluster 4	1,5	38,5	04_47_A	Cluster 4	1,5	53,5
04_47_B	Cluster 4	4,5	43,5	04_47_B	Cluster 4	4,5	58,5
04_48_A	Cluster 4	1,5	39,3	04_48_A	Cluster 4	1,5	54,3
04_48_B	Cluster 4	4,5	43,7	04_48_B	Cluster 4	4,5	58,7
04_48_C	Cluster 4	7,5	43,7	04_48_C	Cluster 4	7,5	58,7
04_48_D	Cluster 4	10,5	46,9	04_48_D	Cluster 4	10,5	61,9
04_49_A	Cluster 4	1,5	38,7	04_49_A	Cluster 4	1,5	53,7
04_49_B	Cluster 4	4,5	44,1	04_49_B	Cluster 4	4,5	59,1
04_49_C	Cluster 4	7,5	46,1	04_49_C	Cluster 4	7,5	61,1
04_49_D	Cluster 4	10,5	46,3	04_49_D	Cluster 4	10,5	61,3
04_50_A	Cluster 4	1,5	43,2	04_50_A	Cluster 4	1,5	58,2
04_50_B	Cluster 4	4,5	46,8	04_50_B	Cluster 4	4,5	61,8
04_50_C	Cluster 4	7,5	51,1	04_50_C	Cluster 4	7,5	66,1
04_50_D	Cluster 4	10,5	51,4	04_50_D	Cluster 4	10,5	66,4
04_51_A	Cluster 4	1,5	43,5	04_51_A	Cluster 4	1,5	58,5
04_51_B	Cluster 4	4,5	46,9	04_51_B	Cluster 4	4,5	61,9
04_51_C	Cluster 4	7,5	51	04_51_C	Cluster 4	7,5	66
04_51_D	Cluster 4	10,5	51,4	04_51_D	Cluster 4	10,5	66,4
04_52_A	Cluster 4	1,5	43,6	04_52_A	Cluster 4	1,5	58,6
04_52_B	Cluster 4	4,5	46,8	04_52_B	Cluster 4	4,5	61,8
04_52_C	Cluster 4	7,5	50	04_52_C	Cluster 4	7,5	65
04_52_D	Cluster 4	10,5	51,4	04_52_D	Cluster 4	10,5	66,4
04_53_A	Cluster 4	1,5	43,6	04_53_A	Cluster 4	1,5	58,6
04_53_B	Cluster 4	4,5	46,6	04_53_B	Cluster 4	4,5	61,6
04_53_C	Cluster 4	7,5	50,4	04_53_C	Cluster 4	7,5	65,4
04_53_D	Cluster 4	10,5	51,4	04_53_D	Cluster 4	10,5	66,4
04_54_A	Cluster 4	1,5	43,2	04_54_A	Cluster 4	1,5	58,2
04_54_B	Cluster 4	4,5	46,4	04_54_B	Cluster 4	4,5	61,4
04_54_C	Cluster 4	7,5	50,6	04_54_C	Cluster 4	7,5	65,6

Bijlage IV-2 Rekenresultaten L_{Ar,LT} en L_{Amax} dagperiode wedstrijd

Rekenresultaten L _{Ar,LT} dag wedstrijd				Rekenresultaten L _{Amax} dag wedstrijd			
Naam	Omschrijving	Hoogte	Dag	Naam	Omschrijving	Hoogte	Dag
04_54_D	Cluster 4	10,5	51,5	04_54_D	Cluster 4	10,5	66,5
04_55_A	Cluster 4	1,5	41,7	04_55_A	Cluster 4	1,5	56,7
04_55_B	Cluster 4	4,5	44,9	04_55_B	Cluster 4	4,5	59,9
04_55_C	Cluster 4	7,5	50,6	04_55_C	Cluster 4	7,5	65,6
04_55_D	Cluster 4	10,5	51,7	04_55_D	Cluster 4	10,5	66,7
04_56_A	Cluster 4	1,5	40,1	04_56_A	Cluster 4	1,5	55,1
04_56_B	Cluster 4	4,5	44,2	04_56_B	Cluster 4	4,5	59,2
04_56_C	Cluster 4	7,5	49,5	04_56_C	Cluster 4	7,5	64,5
04_56_D	Cluster 4	10,5	51,7	04_56_D	Cluster 4	10,5	66,7
04_57_A	Cluster 4	1,5	38,4	04_57_A	Cluster 4	1,5	53,4
04_57_B	Cluster 4	4,5	41,5	04_57_B	Cluster 4	4,5	56,5
04_57_C	Cluster 4	7,5	48,8	04_57_C	Cluster 4	7,5	63,8
04_57_D	Cluster 4	10,5	52,8	04_57_D	Cluster 4	10,5	67,8
04_58_A	Cluster 4	1,5	39,6	04_58_A	Cluster 4	1,5	54,6
04_58_B	Cluster 4	4,5	42	04_58_B	Cluster 4	4,5	57
04_58_C	Cluster 4	7,5	48,5	04_58_C	Cluster 4	7,5	63,5
04_58_D	Cluster 4	10,5	51	04_58_D	Cluster 4	10,5	66
04_59_A	Cluster 4	1,5	35,9	04_59_A	Cluster 4	1,5	50,9
04_59_B	Cluster 4	4,5	39,8	04_59_B	Cluster 4	4,5	54,8
04_59_C	Cluster 4	7,5	43	04_59_C	Cluster 4	7,5	58
04_60_A	Cluster 4	1,5	36,6	04_60_A	Cluster 4	1,5	51,6
04_60_B	Cluster 4	4,5	41,1	04_60_B	Cluster 4	4,5	56,1
04_60_C	Cluster 4	7,5	44,9	04_60_C	Cluster 4	7,5	59,9
04_61_A	Cluster 4	1,5	38,9	04_61_A	Cluster 4	1,5	53,9
04_61_B	Cluster 4	4,5	43,2	04_61_B	Cluster 4	4,5	58,2
04_61_C	Cluster 4	7,5	45,8	04_61_C	Cluster 4	7,5	60,8
04_62_A	Cluster 4	1,5	38	04_62_A	Cluster 4	1,5	53
04_62_B	Cluster 4	4,5	41	04_62_B	Cluster 4	4,5	56
04_62_C	Cluster 4	7,5	43,3	04_62_C	Cluster 4	7,5	58,3
04_63_A	Cluster 4	1,5	34,5	04_63_A	Cluster 4	1,5	49,5
04_63_B	Cluster 4	4,5	40,5	04_63_B	Cluster 4	4,5	55,5
04_63_C	Cluster 4	7,5	41,7	04_63_C	Cluster 4	7,5	56,7
04_64_A	Cluster 4	1,5	36,4	04_64_A	Cluster 4	1,5	51,4
04_64_B	Cluster 4	4,5	37,3	04_64_B	Cluster 4	4,5	52,3
04_64_C	Cluster 4	7,5	35,8	04_64_C	Cluster 4	7,5	50,8
05_01_A	Cluster 5	1,5	36,3	05_01_A	Cluster 5	1,5	51,3
05_01_B	Cluster 5	4,5	37	05_01_B	Cluster 5	4,5	52
05_01_C	Cluster 5	7,5	35,1	05_01_C	Cluster 5	7,5	50,1
05_02_A	Cluster 5	1,5	32,6	05_02_A	Cluster 5	1,5	47,6
05_02_B	Cluster 5	4,5	33,5	05_02_B	Cluster 5	4,5	48,5
05_02_C	Cluster 5	7,5	34,8	05_02_C	Cluster 5	7,5	49,8
05_03_A	Cluster 5	1,5	37,9	05_03_A	Cluster 5	1,5	52,9
05_03_B	Cluster 5	4,5	38,8	05_03_B	Cluster 5	4,5	53,8
05_03_C	Cluster 5	7,5	37,6	05_03_C	Cluster 5	7,5	52,6
05_04_A	Cluster 5	1,5	35,7	05_04_A	Cluster 5	1,5	50,7
05_04_B	Cluster 5	4,5	37,5	05_04_B	Cluster 5	4,5	52,5
05_04_C	Cluster 5	7,5	39,1	05_04_C	Cluster 5	7,5	54,1
05_05_A	Cluster 5	1,5	47,7	05_05_A	Cluster 5	1,5	62,7
05_05_B	Cluster 5	4,5	50,7	05_05_B	Cluster 5	4,5	65,7
05_05_C	Cluster 5	7,5	49,9	05_05_C	Cluster 5	7,5	64,9
05_06_A	Cluster 5	1,5	43,2	05_06_A	Cluster 5	1,5	58,2
05_06_B	Cluster 5	4,5	50,7	05_06_B	Cluster 5	4,5	65,7
05_06_C	Cluster 5	7,5	51,1	05_06_C	Cluster 5	7,5	66,1
05_07_A	Cluster 5	1,5	45,7	05_07_A	Cluster 5	1,5	60,7
05_07_B	Cluster 5	4,5	49,1	05_07_B	Cluster 5	4,5	64,1
05_07_C	Cluster 5	7,5	49,9	05_07_C	Cluster 5	7,5	64,9
05_08_A	Cluster 5	1,5	43,5	05_08_A	Cluster 5	1,5	58,5
05_08_B	Cluster 5	4,5	45,7	05_08_B	Cluster 5	4,5	60,7
05_08_C	Cluster 5	7,5	42,9	05_08_C	Cluster 5	7,5	57,9
05_09_A	Cluster 5	1,5	46,8	05_09_A	Cluster 5	1,5	61,8
05_09_B	Cluster 5	4,5	51,3	05_09_B	Cluster 5	4,5	66,3
05_09_C	Cluster 5	7,5	52,1	05_09_C	Cluster 5	7,5	67,1
05_10_A	Cluster 5	1,5	46,4	05_10_A	Cluster 5	1,5	61,4
05_10_B	Cluster 5	4,5	51,3	05_10_B	Cluster 5	4,5	66,3
05_10_C	Cluster 5	7,5	52,2	05_10_C	Cluster 5	7,5	67,2
05_11_A	Cluster 5	1,5	45,7	05_11_A	Cluster 5	1,5	60,7

Bijlage IV-2 Rekenresultaten L_{Ar,LT} en L_{Amax} dagperiode wedstrijddag

Rekenresultaten L _{Ar,LT} dag wedstrijddag				Rekenresultaten L _{Amax} dag wedstrijddag			
Naam	Omschrijving	Hoogte	Dag	Naam	Omschrijving	Hoogte	Dag
05_11_B	Cluster 5	4,5	47,9	05_11_B	Cluster 5	4,5	62,9
05_11_C	Cluster 5	7,5	46,7	05_11_C	Cluster 5	7,5	61,7
05_12_A	Cluster 5	1,5	39,2	05_12_A	Cluster 5	1,5	54,2
05_12_B	Cluster 5	4,5	41,2	05_12_B	Cluster 5	4,5	56,2
05_12_C	Cluster 5	7,5	43,5	05_12_C	Cluster 5	7,5	58,5
05_13_A	Cluster 5	1,5	36,6	05_13_A	Cluster 5	1,5	51,6
05_13_B	Cluster 5	4,5	39	05_13_B	Cluster 5	4,5	54
05_13_C	Cluster 5	7,5	43,5	05_13_C	Cluster 5	7,5	58,5
05_14_A	Cluster 5	1,5	43,4	05_14_A	Cluster 5	1,5	58,4
05_14_B	Cluster 5	4,5	45,2	05_14_B	Cluster 5	4,5	60,2
05_14_C	Cluster 5	7,5	47,6	05_14_C	Cluster 5	7,5	62,6
05_15_A	Cluster 5	1,5	43,6	05_15_A	Cluster 5	1,5	58,6
05_15_B	Cluster 5	4,5	45,2	05_15_B	Cluster 5	4,5	60,2
05_15_C	Cluster 5	7,5	48,3	05_15_C	Cluster 5	7,5	63,3
05_16_A	Cluster 5	1,5	39,7	05_16_A	Cluster 5	1,5	54,7
05_16_B	Cluster 5	4,5	40,6	05_16_B	Cluster 5	4,5	55,6
05_16_C	Cluster 5	7,5	47,9	05_16_C	Cluster 5	7,5	62,9
05_17_A	Cluster 5	1,5	45,9	05_17_A	Cluster 5	1,5	60,9
05_17_B	Cluster 5	4,5	51,4	05_17_B	Cluster 5	4,5	66,4
05_17_C	Cluster 5	7,5	51,8	05_17_C	Cluster 5	7,5	66,8
05_18_A	Cluster 5	1,5	44,6	05_18_A	Cluster 5	1,5	59,6
05_18_B	Cluster 5	4,5	51,5	05_18_B	Cluster 5	4,5	66,5
05_18_C	Cluster 5	7,5	51,9	05_18_C	Cluster 5	7,5	66,9
05_19_A	Cluster 5	1,5	47,6	05_19_A	Cluster 5	1,5	62,6
05_19_B	Cluster 5	4,5	44,2	05_19_B	Cluster 5	4,5	59,2
05_19_C	Cluster 5	7,5	46,7	05_19_C	Cluster 5	7,5	61,7
05_20_A	Cluster 5	1,5	36,5	05_20_A	Cluster 5	1,5	51,5
05_20_B	Cluster 5	4,5	38,7	05_20_B	Cluster 5	4,5	53,7
05_20_C	Cluster 5	7,5	47	05_20_C	Cluster 5	7,5	62
05_21_A	Cluster 5	1,5	39,9	05_21_A	Cluster 5	1,5	54,9
05_21_B	Cluster 5	4,5	51,2	05_21_B	Cluster 5	4,5	66,2
05_21_C	Cluster 5	7,5	51,6	05_21_C	Cluster 5	7,5	66,6
05_22_A	Cluster 5	1,5	44,6	05_22_A	Cluster 5	1,5	59,6
05_22_B	Cluster 5	4,5	40,8	05_22_B	Cluster 5	4,5	55,8
05_22_C	Cluster 5	7,5	42,8	05_22_C	Cluster 5	7,5	57,8
05_23_A	Cluster 5	1,5	47,4	05_23_A	Cluster 5	1,5	62,4
05_23_B	Cluster 5	4,5	49	05_23_B	Cluster 5	4,5	64
05_23_C	Cluster 5	7,5	49,6	05_23_C	Cluster 5	7,5	64,6
05_24_A	Cluster 5	1,5	40,8	05_24_A	Cluster 5	1,5	55,8
05_24_B	Cluster 5	4,5	45,4	05_24_B	Cluster 5	4,5	60,4
05_24_C	Cluster 5	7,5	44,4	05_24_C	Cluster 5	7,5	59,4
05_25_A	Cluster 5	1,5	42,7	05_25_A	Cluster 5	1,5	57,7
05_25_B	Cluster 5	4,5	44,8	05_25_B	Cluster 5	4,5	59,8
05_25_C	Cluster 5	7,5	43,8	05_25_C	Cluster 5	7,5	58,8
05_26_A	Cluster 5	1,5	42,2	05_26_A	Cluster 5	1,5	57,2
05_26_B	Cluster 5	4,5	43,9	05_26_B	Cluster 5	4,5	58,9
05_26_C	Cluster 5	7,5	45,7	05_26_C	Cluster 5	7,5	60,7
05_27_A	Cluster 5	1,5	44	05_27_A	Cluster 5	1,5	59
05_27_B	Cluster 5	4,5	45,8	05_27_B	Cluster 5	4,5	60,8
05_27_C	Cluster 5	7,5	47,1	05_27_C	Cluster 5	7,5	62,1
05_28_A	Cluster 5	1,5	43,4	05_28_A	Cluster 5	1,5	58,4
05_28_B	Cluster 5	4,5	45,1	05_28_B	Cluster 5	4,5	60,1
05_28_C	Cluster 5	7,5	45,7	05_28_C	Cluster 5	7,5	60,7
05_29_A	Cluster 5	1,5	42	05_29_A	Cluster 5	1,5	57
05_29_B	Cluster 5	4,5	42,7	05_29_B	Cluster 5	4,5	57,7
05_29_C	Cluster 5	7,5	43,3	05_29_C	Cluster 5	7,5	58,3
05_30_A	Cluster 5	1,5	36,6	05_30_A	Cluster 5	1,5	51,6
05_30_B	Cluster 5	4,5	37,1	05_30_B	Cluster 5	4,5	52,1
05_30_C	Cluster 5	7,5	39,1	05_30_C	Cluster 5	7,5	54,1
05_31_A	Cluster 5	1,5	34	05_31_A	Cluster 5	1,5	49
05_31_B	Cluster 5	4,5	35,9	05_31_B	Cluster 5	4,5	50,9
05_31_C	Cluster 5	7,5	38	05_31_C	Cluster 5	7,5	53
05_32_A	Cluster 5	1,5	35	05_32_A	Cluster 5	1,5	50
05_32_B	Cluster 5	4,5	36,5	05_32_B	Cluster 5	4,5	51,5
05_32_C	Cluster 5	7,5	39,3	05_32_C	Cluster 5	7,5	54,3
05_33_A	Cluster 5	1,5	36,8	05_33_A	Cluster 5	1,5	51,8

Bijlage IV-2 Rekenresultaten L_{Ar,LT} en L_{Amax} dagperiode wedstrijd

Rekenresultaten L _{Ar,LT} dag wedstrijd				Rekenresultaten L _{Amax} dag wedstrijd			
Naam	Omschrijving	Hoogte	Dag	Naam	Omschrijving	Hoogte	Dag
05_33_B	Cluster 5	4,5	38	05_33_B	Cluster 5	4,5	53
05_33_C	Cluster 5	7,5	39,8	05_33_C	Cluster 5	7,5	54,8
05_34_A	Cluster 5	1,5	43	05_34_A	Cluster 5	1,5	58
05_34_B	Cluster 5	4,5	44	05_34_B	Cluster 5	4,5	59
05_34_C	Cluster 5	7,5	44,7	05_34_C	Cluster 5	7,5	59,7
05_35_A	Cluster 5	1,5	45,4	05_35_A	Cluster 5	1,5	60,4
05_35_B	Cluster 5	4,5	47,6	05_35_B	Cluster 5	4,5	62,6
05_35_C	Cluster 5	7,5	48,2	05_35_C	Cluster 5	7,5	63,2
05_36_A	Cluster 5	1,5	43,6	05_36_A	Cluster 5	1,5	58,6
05_36_B	Cluster 5	4,5	45,1	05_36_B	Cluster 5	4,5	60,1
05_36_C	Cluster 5	7,5	47	05_36_C	Cluster 5	7,5	62
S_01_A	SMCD	2	37	S_01_A	SMCD	2	52
S_01_B	SMCD	5	38,7	S_01_B	SMCD	5	53,7
S_02_A	SMCD	2	38,3	S_02_A	SMCD	2	53,3
S_02_B	SMCD	5	40,1	S_02_B	SMCD	5	55,1
S_03_A	SMCD	2	38,4	S_03_A	SMCD	2	53,4
S_03_B	SMCD	5	40	S_03_B	SMCD	5	55
S_04_A	SMCD	2	37,4	S_04_A	SMCD	2	52,4
S_04_B	SMCD	5	39	S_04_B	SMCD	5	54
S_05_A	SMCD	2	32,1	S_05_A	SMCD	2	47,1
S_05_B	SMCD	5	33,4	S_05_B	SMCD	5	48,4
S_06_A	SMCD	2	35	S_06_A	SMCD	2	50
S_06_B	SMCD	5	35,9	S_06_B	SMCD	5	50,9
S_07_A	SMCD	2	36	S_07_A	SMCD	2	51
S_07_B	SMCD	5	35,8	S_07_B	SMCD	5	50,8
S_08_A	SMCD	1,5	43,6	S_08_A	SMCD	1,5	58,6
S_08_B	SMCD	5	49,3	S_08_B	SMCD	5	64,3
S_08_C	SMCD	8,5	49,1	S_08_C	SMCD	8,5	64,1
S_08_D	SMCD	12	49,8	S_08_D	SMCD	12	64,8
S_09_A	SMCD	1,5	43	S_09_A	SMCD	1,5	58
S_09_B	SMCD	5	49,1	S_09_B	SMCD	5	64,1
S_09_C	SMCD	8,5	49,3	S_09_C	SMCD	8,5	64,3
S_09_D	SMCD	12	50,1	S_09_D	SMCD	12	65,1
S_10_A	SMCD	1,5	42,1	S_10_A	SMCD	1,5	57,1
S_10_B	SMCD	5	46,7	S_10_B	SMCD	5	61,7
S_10_C	SMCD	8,5	50	S_10_C	SMCD	8,5	65
S_10_D	SMCD	12	50,9	S_10_D	SMCD	12	65,9
S_11_A	SMCD	1,5	41,6	S_11_A	SMCD	1,5	56,6
S_11_B	SMCD	5	44,7	S_11_B	SMCD	5	59,7
S_11_C	SMCD	8,5	49,9	S_11_C	SMCD	8,5	64,9
S_11_D	SMCD	12	50,8	S_11_D	SMCD	12	65,8
S_12_A	SMCD	1,5	40,9	S_12_A	SMCD	1,5	55,9
S_12_B	SMCD	5	43,9	S_12_B	SMCD	5	58,9
S_12_C	SMCD	8,5	50,2	S_12_C	SMCD	8,5	65,2
S_12_D	SMCD	12	51,2	S_12_D	SMCD	12	66,2
S_13_A	SMCD	1,5	40,6	S_13_A	SMCD	1,5	55,6
S_13_B	SMCD	5	43,2	S_13_B	SMCD	5	58,2
S_13_C	SMCD	8,5	50,7	S_13_C	SMCD	8,5	65,7
S_13_D	SMCD	12	51,8	S_13_D	SMCD	12	66,8
S_14_A	SMCD	1,5	40,2	S_14_A	SMCD	1,5	55,2
S_15_A	SMCD	1,5	36,1	S_15_A	SMCD	1,5	51,1
S_16_A	SMCD	1,5	38,3	S_16_A	SMCD	1,5	53,3
S_17_A	SMCD	5	42,6	S_17_A	SMCD	5	57,6
S_17_B	SMCD	8,5	53,3	S_17_B	SMCD	8,5	68,3
S_17_C	SMCD	12	54,6	S_17_C	SMCD	12	69,6
S_18_A	SMCD	1,5	37,2	S_18_A	SMCD	1,5	52,2
S_18_B	SMCD	5	42,9	S_18_B	SMCD	5	57,9
S_18_C	SMCD	8,5	53,2	S_18_C	SMCD	8,5	68,2
S_18_D	SMCD	12	54,5	S_18_D	SMCD	12	69,5
S_19_A	SMCD	1,5	41,7	S_19_A	SMCD	1,5	56,7
S_19_B	SMCD	5	50	S_19_B	SMCD	5	65
S_19_C	SMCD	8,5	53,4	S_19_C	SMCD	8,5	68,4
S_20_A	SMCD	1,5	42,3	S_20_A	SMCD	1,5	57,3
S_20_B	SMCD	5	51,4	S_20_B	SMCD	5	66,4
S_20_C	SMCD	8,5	52,9	S_20_C	SMCD	8,5	67,9
S_21_A	SMCD	1,5	42,4	S_21_A	SMCD	1,5	57,4

Bijlage IV-2 Rekenresultaten L_{Ar,LT} en L_{Amax} dagperiode wedstrijddag

Rekenresultaten L _{Ar,LT} dag wedstrijddag				Rekenresultaten L _{Amax} dag wedstrijddag			
Naam	Omschrijving	Hoogte	Dag	Naam	Omschrijving	Hoogte	Dag
S_21_B	SMCD	5	44,4	S_21_B	SMCD	5	59,4
S_21_C	SMCD	8,5	51,7	S_21_C	SMCD	8,5	66,7
S_22_A	SMCD	1,5	48,1	S_22_A	SMCD	1,5	63,1
S_22_B	SMCD	5	52,9	S_22_B	SMCD	5	67,9
S_22_C	SMCD	8,5	54,4	S_22_C	SMCD	8,5	69,4
S_23_A	SMCD	1,5	47,9	S_23_A	SMCD	1,5	62,9
S_23_B	SMCD	5	53	S_23_B	SMCD	5	68
S_23_C	SMCD	8,5	54,6	S_23_C	SMCD	8,5	69,6
S_24_A	SMCD	1,5	48	S_24_A	SMCD	1,5	63
S_24_B	SMCD	5	53,2	S_24_B	SMCD	5	68,2
S_24_C	SMCD	8,5	54,9	S_24_C	SMCD	8,5	69,9
S_24_D	SMCD	12	54,4	S_24_D	SMCD	12	69,4
S_25_A	SMCD	1,5	46,7	S_25_A	SMCD	1,5	61,7
S_25_B	SMCD	5	50,1	S_25_B	SMCD	5	65,1
S_25_C	SMCD	8,5	52,9	S_25_C	SMCD	8,5	67,9
S_25_D	SMCD	12	54	S_25_D	SMCD	12	69
S_26_A	SMCD	1,5	46,9	S_26_A	SMCD	1,5	61,9
S_26_B	SMCD	5	51,3	S_26_B	SMCD	5	66,3
S_26_C	SMCD	8,5	53	S_26_C	SMCD	8,5	68
S_26_D	SMCD	12	53,8	S_26_D	SMCD	12	68,8
S_27_A	SMCD	1,5	46,1	S_27_A	SMCD	1,5	61,1
S_27_B	SMCD	5	51,2	S_27_B	SMCD	5	66,2
S_27_C	SMCD	8,5	52,7	S_27_C	SMCD	8,5	67,7
S_27_D	SMCD	12	53,7	S_27_D	SMCD	12	68,7
S_28_A	SMCD	1,5	45,1	S_28_A	SMCD	1,5	60,1
S_28_B	SMCD	5	51,5	S_28_B	SMCD	5	66,5
S_28_C	SMCD	8,5	52,8	S_28_C	SMCD	8,5	67,8
S_28_D	SMCD	12	53,7	S_28_D	SMCD	12	68,7
S_29_A	SMCD	1,5	40,9	S_29_A	SMCD	1,5	55,9
S_29_B	SMCD	5	48,1	S_29_B	SMCD	5	63,1
S_29_C	SMCD	8,5	52,7	S_29_C	SMCD	8,5	67,7
S_29_D	SMCD	12	53,6	S_29_D	SMCD	12	68,6
S_30_A	SMCD	1,5	40,1	S_30_A	SMCD	1,5	55,1
S_30_B	SMCD	5	47,5	S_30_B	SMCD	5	62,5
S_30_C	SMCD	8,5	52,5	S_30_C	SMCD	8,5	67,5
S_30_D	SMCD	12	53,4	S_30_D	SMCD	12	68,4
S_31_A	SMCD	1,5	41,6	S_31_A	SMCD	1,5	56,6
S_31_B	SMCD	5	45,9	S_31_B	SMCD	5	60,9
S_31_C	SMCD	8,5	52,1	S_31_C	SMCD	8,5	67,1
S_31_D	SMCD	12	53,8	S_31_D	SMCD	12	68,8
S_32_A	SMCD	1,5	38,5	S_32_A	SMCD	1,5	53,5
S_32_B	SMCD	5	42,6	S_32_B	SMCD	5	57,6
S_32_C	SMCD	8,5	42,2	S_32_C	SMCD	8,5	57,2
S_32_D	SMCD	12	43,6	S_32_D	SMCD	12	58,6
S_33_A	SMCD	1,5	37	S_33_A	SMCD	1,5	52
S_33_B	SMCD	5	37,3	S_33_B	SMCD	5	52,3
S_33_C	SMCD	8,5	39,8	S_33_C	SMCD	8,5	54,8
S_33_D	SMCD	12	36,7	S_33_D	SMCD	12	51,7
S_34_A	SMCD	1,5	36,1	S_34_A	SMCD	1,5	51,1
S_34_B	SMCD	5	36,3	S_34_B	SMCD	5	51,3
S_34_C	SMCD	8,5	39,5	S_34_C	SMCD	8,5	54,5
S_34_D	SMCD	12	46,4	S_34_D	SMCD	12	61,4
S_35_A	SMCD	1,5	36,4	S_35_A	SMCD	1,5	51,4
S_35_B	SMCD	5	36,3	S_35_B	SMCD	5	51,3
S_35_C	SMCD	8,5	39,6	S_35_C	SMCD	8,5	54,6
S_35_D	SMCD	12	47,8	S_35_D	SMCD	12	62,8
S_36_A	SMCD	1,5	36,3	S_36_A	SMCD	1,5	51,3
S_36_B	SMCD	5	36,7	S_36_B	SMCD	5	51,7
S_36_C	SMCD	8,5	39,5	S_36_C	SMCD	8,5	54,5
S_36_D	SMCD	12	36,9	S_36_D	SMCD	12	51,9
S_37_A	SMCD	1,5	36	S_37_A	SMCD	1,5	51
S_37_B	SMCD	5	36,6	S_37_B	SMCD	5	51,6
S_37_C	SMCD	8,5	40,6	S_37_C	SMCD	8,5	55,6
S_37_D	SMCD	12	46,6	S_37_D	SMCD	12	61,6
S_38_A	SMCD	1,5	34,7	S_38_A	SMCD	1,5	49,7
S_38_B	SMCD	5	35,3	S_38_B	SMCD	5	50,3

Bijlage IV-2 Rekenresultaten L_{Ar,LT} en L_{Amax} dagperiode wedstrijddag

Rekenresultaten L _{Ar,LT} dag wedstrijddag				Rekenresultaten L _{Amax} dag wedstrijddag			
Naam	Omschrijving	Hoogte	Dag	Naam	Omschrijving	Hoogte	Dag
S_38_C	SMCD	8,5	39,7	S_38_C	SMCD	8,5	54,7
S_38_D	SMCD	12	49,5	S_38_D	SMCD	12	64,5
S_39_A	SMCD	1,5	34	S_39_A	SMCD	1,5	49
S_39_B	SMCD	5	33,9	S_39_B	SMCD	5	48,9
S_39_C	SMCD	8,5	35,9	S_39_C	SMCD	8,5	50,9
S_40_A	SMCD	1,5	33,7	S_40_A	SMCD	1,5	48,7
S_40_B	SMCD	5	33,5	S_40_B	SMCD	5	48,5
S_40_C	SMCD	8,5	35,8	S_40_C	SMCD	8,5	50,8
S_41_A	SMCD	1,5	34,2	S_41_A	SMCD	1,5	49,2
S_41_B	SMCD	5	33,3	S_41_B	SMCD	5	48,3
S_41_C	SMCD	8,5	35,7	S_41_C	SMCD	8,5	50,7
S_42_A	SMCD	1,5	34,1	S_42_A	SMCD	1,5	49,1
S_42_B	SMCD	5	33,5	S_42_B	SMCD	5	48,5
S_42_C	SMCD	8,5	35,9	S_42_C	SMCD	8,5	50,9
S_43_A	SMCD	1,5	37,2	S_43_A	SMCD	1,5	52,2
S_43_B	SMCD	5	34,6	S_43_B	SMCD	5	49,6
S_43_C	SMCD	8,5	39,5	S_43_C	SMCD	8,5	54,5
S_43_D	SMCD	12	45,6	S_43_D	SMCD	12	60,6
S_44_A	SMCD	1,5	38,8	S_44_A	SMCD	1,5	53,8
S_44_B	SMCD	5	35	S_44_B	SMCD	5	50
S_44_C	SMCD	8,5	38,8	S_44_C	SMCD	8,5	53,8
S_44_D	SMCD	12	45,6	S_44_D	SMCD	12	60,6
S_45_A	SMCD	1,5	40,4	S_45_A	SMCD	1,5	55,4
S_45_B	SMCD	5	35,1	S_45_B	SMCD	5	50,1
S_45_C	SMCD	8,5	38,4	S_45_C	SMCD	8,5	53,4
S_45_D	SMCD	12	45,4	S_45_D	SMCD	12	60,4
S_46_A	SMCD	1,5	42,2	S_46_A	SMCD	1,5	57,2
S_46_B	SMCD	5	39,3	S_46_B	SMCD	5	54,3
S_46_C	SMCD	8,5	38,6	S_46_C	SMCD	8,5	53,6
S_46_D	SMCD	12	45,4	S_46_D	SMCD	12	60,4
S_47_A	SMCD	1,5	43,6	S_47_A	SMCD	1,5	58,6
S_47_B	SMCD	5	43,1	S_47_B	SMCD	5	58,1
S_47_C	SMCD	8,5	39,3	S_47_C	SMCD	8,5	54,3
S_47_D	SMCD	12	45,7	S_47_D	SMCD	12	60,7
S_48_A	SMCD	1,5	45,2	S_48_A	SMCD	1,5	60,2
S_48_B	SMCD	5	44,2	S_48_B	SMCD	5	59,2
S_48_C	SMCD	8,5	39,7	S_48_C	SMCD	8,5	54,7
S_48_D	SMCD	12	42,7	S_48_D	SMCD	12	57,7
S_49_A	SMCD	1,5	33,6	S_49_A	SMCD	1,5	48,6
S_49_B	SMCD	5	32	S_49_B	SMCD	5	47
S_49_C	SMCD	8,5	32,9	S_49_C	SMCD	8,5	47,9
S_49_D	SMCD	12	35,4	S_49_D	SMCD	12	50,4
S_50_A	SMCD	1,5	32,9	S_50_A	SMCD	1,5	47,9
S_50_B	SMCD	5	31,5	S_50_B	SMCD	5	46,5
S_50_C	SMCD	8,5	32,4	S_50_C	SMCD	8,5	47,4
S_50_D	SMCD	12	34,8	S_50_D	SMCD	12	49,8
S_51_A	SMCD	1,5	32,3	S_51_A	SMCD	1,5	47,3
S_51_B	SMCD	5	31,2	S_51_B	SMCD	5	46,2
S_51_C	SMCD	8,5	32,3	S_51_C	SMCD	8,5	47,3
S_51_D	SMCD	12	34,7	S_51_D	SMCD	12	49,7
S_52_A	SMCD	1,5	32,2	S_52_A	SMCD	1,5	47,2
S_52_B	SMCD	5	31,3	S_52_B	SMCD	5	46,3
S_52_C	SMCD	8,5	32,3	S_52_C	SMCD	8,5	47,3
S_52_D	SMCD	12	34,8	S_52_D	SMCD	12	49,8
S_53_A	SMCD	1,5	31,7	S_53_A	SMCD	1,5	46,7
S_53_B	SMCD	5	31,3	S_53_B	SMCD	5	46,3
S_53_C	SMCD	8,5	32,3	S_53_C	SMCD	8,5	47,3
S_53_D	SMCD	12	34,7	S_53_D	SMCD	12	49,7
S_54_A	SMCD	1,5	31,8	S_54_A	SMCD	1,5	46,8
S_54_B	SMCD	5	31,2	S_54_B	SMCD	5	46,2
S_54_C	SMCD	8,5	32,3	S_54_C	SMCD	8,5	47,3
S_54_D	SMCD	12	35,7	S_54_D	SMCD	12	50,7
S_55_A	SMCD	1,5	31,3	S_55_A	SMCD	1,5	46,3
S_55_B	SMCD	5	31	S_55_B	SMCD	5	46
S_55_C	SMCD	8,5	32,2	S_55_C	SMCD	8,5	47,2
S_55_D	SMCD	12	35,6	S_55_D	SMCD	12	50,6

Bijlage IV-2 Rekenresultaten L_{Ar,LT} en L_{Amax} dagperiode wedstrijddag

Rekenresultaten L _{Ar,LT} dag wedstrijddag				Rekenresultaten L _{Amax} dag wedstrijddag			
Naam	Omschrijving	Hoogte	Dag	Naam	Omschrijving	Hoogte	Dag
S_56_A	SMCD	1,5	31,6	S_56_A	SMCD	1,5	46,6
S_56_B	SMCD	5	30,8	S_56_B	SMCD	5	45,8
S_56_C	SMCD	8,5	32	S_56_C	SMCD	8,5	47
S_56_D	SMCD	12	35,5	S_56_D	SMCD	12	50,5
S_57_A	SMCD	1,5	30,9	S_57_A	SMCD	1,5	45,9
S_57_B	SMCD	5	30,6	S_57_B	SMCD	5	45,6
S_57_C	SMCD	8,5	31,9	S_57_C	SMCD	8,5	46,9
S_57_D	SMCD	12	35,4	S_57_D	SMCD	12	50,4
S_58_A	SMCD	1,5	38,9	S_58_A	SMCD	1,5	53,9
S_58_B	SMCD	5	30,4	S_58_B	SMCD	5	45,4
S_58_C	SMCD	8,5	31,8	S_58_C	SMCD	8,5	46,8
S_58_D	SMCD	12	35,3	S_58_D	SMCD	12	50,3
S_59_A	SMCD	1,5	30,3	S_59_A	SMCD	1,5	45,3
S_59_B	SMCD	5	30,3	S_59_B	SMCD	5	45,3
S_59_C	SMCD	8,5	31,6	S_59_C	SMCD	8,5	46,6
S_59_D	SMCD	12	34	S_59_D	SMCD	12	49
S_60_A	SMCD	1,5	30,4	S_60_A	SMCD	1,5	45,4
S_60_B	SMCD	5	30,3	S_60_B	SMCD	5	45,3
S_60_C	SMCD	8,5	31,8	S_60_C	SMCD	8,5	46,8
S_60_D	SMCD	12	35,3	S_60_D	SMCD	12	50,3
S_61_A	SMCD	1,5	37,5	S_61_A	SMCD	1,5	52,5
S_61_B	SMCD	5	30,4	S_61_B	SMCD	5	45,4
S_61_C	SMCD	8,5	32,2	S_61_C	SMCD	8,5	47,2
S_61_D	SMCD	12	37,7	S_61_D	SMCD	12	52,7
S_62_A	SMCD	1,5	32	S_62_A	SMCD	1,5	47
S_62_B	SMCD	5	33,1	S_62_B	SMCD	5	48,1
S_62_C	SMCD	8,5	37,3	S_62_C	SMCD	8,5	52,3
S_63_A	SMCD	1,5	38,3	S_63_A	SMCD	1,5	53,3
S_63_B	SMCD	5	35	S_63_B	SMCD	5	50
S_63_C	SMCD	8,5	39,5	S_63_C	SMCD	8,5	54,5
S_64_A	SMCD	1,5	35,4	S_64_A	SMCD	1,5	50,4
S_64_B	SMCD	5	35,7	S_64_B	SMCD	5	50,7
S_64_C	SMCD	8,5	40,2	S_64_C	SMCD	8,5	55,2
S_65_A	SMCD	1,5	34,2	S_65_A	SMCD	1,5	49,2
S_65_B	SMCD	5	37,5	S_65_B	SMCD	5	52,5
S_65_C	SMCD	8,5	31	S_65_C	SMCD	8,5	46
S_66_A	SMCD	1,5	34,8	S_66_A	SMCD	1,5	49,8
S_66_B	SMCD	5	37,4	S_66_B	SMCD	5	52,4
S_66_C	SMCD	8,5	31,7	S_66_C	SMCD	8,5	46,7
S_67_A	SMCD	1,5	35,8	S_67_A	SMCD	1,5	50,8
S_67_B	SMCD	5	37,7	S_67_B	SMCD	5	52,7
S_67_C	SMCD	8,5	32,1	S_67_C	SMCD	8,5	47,1
S_68_A	SMCD	1,5	35,5	S_68_A	SMCD	1,5	50,5
S_68_B	SMCD	5	38,2	S_68_B	SMCD	5	53,2
S_68_C	SMCD	8,5	32,5	S_68_C	SMCD	8,5	47,5
S_69_A	SMCD	1,5	35	S_69_A	SMCD	1,5	50
S_69_B	SMCD	5	36	S_69_B	SMCD	5	51
S_69_C	SMCD	8,5	33,1	S_69_C	SMCD	8,5	48,1
S_70_A	SMCD	1,5	35,9	S_70_A	SMCD	1,5	50,9
S_70_B	SMCD	5	32,4	S_70_B	SMCD	5	47,4
S_70_C	SMCD	8,5	32,8	S_70_C	SMCD	8,5	47,8
S_70_D	SMCD	12	35,1	S_70_D	SMCD	12	50,1
S_71_A	SMCD	1,5	38	S_71_A	SMCD	1,5	53
S_71_B	SMCD	5	31	S_71_B	SMCD	5	46
S_71_C	SMCD	8,5	31,7	S_71_C	SMCD	8,5	46,7
S_71_D	SMCD	12	34,6	S_71_D	SMCD	12	49,6
S_72_A	SMCD	1,5	34,3	S_72_A	SMCD	1,5	49,3
S_72_B	SMCD	5	37,2	S_72_B	SMCD	5	52,2
S_72_C	SMCD	8,5	31,8	S_72_C	SMCD	8,5	46,8
S_72_D	SMCD	12	34,5	S_72_D	SMCD	12	49,5
S_73_A	SMCD	1,5	33,2	S_73_A	SMCD	1,5	48,2
S_73_B	SMCD	5	36	S_73_B	SMCD	5	51
S_73_C	SMCD	8,5	32,7	S_73_C	SMCD	8,5	47,7
S_73_D	SMCD	12	35,2	S_73_D	SMCD	12	50,2
S_74_A	SMCD	1,5	36,7	S_74_A	SMCD	1,5	51,7
S_74_B	SMCD	5	36,8	S_74_B	SMCD	5	51,8

Bijlage IV-2 Rekenresultaten L_{Ar,LT} en L_{Amax} dagperiode wedstrijddag

Rekenresultaten L _{Ar,LT} dag wedstrijddag				Rekenresultaten L _{Amax} dag wedstrijddag			
Naam	Omschrijving	Hoogte	Dag	Naam	Omschrijving	Hoogte	Dag
S_74_C	SMCD	8,5	32,8	S_74_C	SMCD	8,5	47,8
S_74_D	SMCD	12	35,3	S_74_D	SMCD	12	50,3
S_75_A	SMCD	1,5	40,4	S_75_A	SMCD	1,5	55,4
S_75_B	SMCD	5	39,9	S_75_B	SMCD	5	54,9
S_75_C	SMCD	8,5	33,2	S_75_C	SMCD	8,5	48,2
S_75_D	SMCD	12	35,8	S_75_D	SMCD	12	50,8
S_76_A	SMCD	1,5	35,1	S_76_A	SMCD	1,5	50,1
S_76_B	SMCD	5	36,6	S_76_B	SMCD	5	51,6
S_76_C	SMCD	8,5	40,5	S_76_C	SMCD	8,5	55,5
S_76_D	SMCD	12	49	S_76_D	SMCD	12	64
S_77_A	SMCD	1,5	35,4	S_77_A	SMCD	1,5	50,4
S_77_B	SMCD	5	36,8	S_77_B	SMCD	5	51,8
S_77_C	SMCD	8,5	40,4	S_77_C	SMCD	8,5	55,4
S_77_D	SMCD	12	49	S_77_D	SMCD	12	64
S_78_A	SMCD	1,5	36,1	S_78_A	SMCD	1,5	51,1
S_78_B	SMCD	5	37,7	S_78_B	SMCD	5	52,7
S_78_C	SMCD	8,5	42,3	S_78_C	SMCD	8,5	57,3
S_78_D	SMCD	12	42	S_78_D	SMCD	12	57
S_79_A	SMCD	1,5	37,6	S_79_A	SMCD	1,5	52,6
S_79_B	SMCD	5	40,1	S_79_B	SMCD	5	55,1
S_79_C	SMCD	8,5	45,6	S_79_C	SMCD	8,5	60,6
S_79_D	SMCD	12	36,3	S_79_D	SMCD	12	51,3
S_80_A	SMCD	1,5	38,7	S_80_A	SMCD	1,5	53,7
S_80_B	SMCD	5	42,1	S_80_B	SMCD	5	57,1
S_80_C	SMCD	8,5	48,3	S_80_C	SMCD	8,5	63,3
S_81_A	SMCD	1,5	38,1	S_81_A	SMCD	1,5	53,1
S_81_B	SMCD	5	42,1	S_81_B	SMCD	5	57,1
S_81_C	SMCD	8,5	47,1	S_81_C	SMCD	8,5	62,1
S_82_A	SMCD	1,5	37,5	S_82_A	SMCD	1,5	52,5
S_82_B	SMCD	5	42,2	S_82_B	SMCD	5	57,2
S_82_C	SMCD	8,5	47,9	S_82_C	SMCD	8,5	62,9
S_83_A	SMCD	1,5	37,3	S_83_A	SMCD	1,5	52,3
S_83_B	SMCD	5	41,9	S_83_B	SMCD	5	56,9
S_83_C	SMCD	8,5	47,8	S_83_C	SMCD	8,5	62,8
S_84_A	SMCD	1,5	38,2	S_84_A	SMCD	1,5	53,2
S_84_B	SMCD	5	43,5	S_84_B	SMCD	5	58,5
S_84_C	SMCD	8,5	48	S_84_C	SMCD	8,5	63
S_85_A	SMCD	1,5	37,6	S_85_A	SMCD	1,5	52,6
S_85_B	SMCD	5	42	S_85_B	SMCD	5	57
S_85_C	SMCD	8,5	47,4	S_85_C	SMCD	8,5	62,4
S_85_D	SMCD	12	37,1	S_85_D	SMCD	12	52,1
S_86_A	SMCD	1,5	36,2	S_86_A	SMCD	1,5	51,2
S_86_B	SMCD	5	40	S_86_B	SMCD	5	55
S_86_C	SMCD	8,5	46,4	S_86_C	SMCD	8,5	61,4
S_86_D	SMCD	12	40,6	S_86_D	SMCD	12	55,6
S_87_A	SMCD	1,5	35	S_87_A	SMCD	1,5	50
S_87_B	SMCD	5	37,9	S_87_B	SMCD	5	52,9
S_87_C	SMCD	8,5	45,7	S_87_C	SMCD	8,5	60,7
S_87_D	SMCD	12	45,6	S_87_D	SMCD	12	60,6
S_88_A	SMCD	1,5	35,3	S_88_A	SMCD	1,5	50,3
S_88_B	SMCD	5	39	S_88_B	SMCD	5	54
S_88_C	SMCD	8,5	48	S_88_C	SMCD	8,5	63
S_88_D	SMCD	12	50,6	S_88_D	SMCD	12	65,6
S_89_A	SMCD	1,5	34,9	S_89_A	SMCD	1,5	49,9
S_89_B	SMCD	5	38,4	S_89_B	SMCD	5	53,4
S_89_C	SMCD	8,5	49	S_89_C	SMCD	8,5	64
S_89_D	SMCD	12	50,8	S_89_D	SMCD	12	65,8
S_90_A	SMCD	1,5	36,6	S_90_A	SMCD	1,5	51,6
S_90_B	SMCD	5	40	S_90_B	SMCD	5	55
S_90_C	SMCD	8,5	50,7	S_90_C	SMCD	8,5	65,7
S_90_D	SMCD	12	51,8	S_90_D	SMCD	12	66,8
S_91_A	SMCD	1,5	36	S_91_A	SMCD	1,5	51
S_91_B	SMCD	5	39,5	S_91_B	SMCD	5	54,5
S_91_C	SMCD	8,5	50,4	S_91_C	SMCD	8,5	65,4
S_91_D	SMCD	12	51,8	S_91_D	SMCD	12	66,8
S_92_A	SMCD	1,5	36	S_92_A	SMCD	1,5	51

Bijlage IV-2 Rekenresultaten $L_{Ar,LT}$ en L_{Amax} dagperiode wedstrijddag

Rekenresultaten $L_{Ar,LT}$ dag wedstrijddag				Rekenresultaten L_{Amax} dag wedstrijddag			
Naam	Omschrijving	Hoogte	Dag	Naam	Omschrijving	Hoogte	Dag
S_92_B	SMCD	5	39,7	S_92_B	SMCD	5	54,7
S_92_C	SMCD	8,5	50,6	S_92_C	SMCD	8,5	65,6
S_92_D	SMCD	12	51,9	S_92_D	SMCD	12	66,9
S_93_A	SMCD	1,5	36,2	S_93_A	SMCD	1,5	51,2
S_93_B	SMCD	5	39,9	S_93_B	SMCD	5	54,9
S_93_C	SMCD	8,5	50,6	S_93_C	SMCD	8,5	65,6
S_93_D	SMCD	12	51,9	S_93_D	SMCD	12	66,9
S_94_A	SMCD	1,5	36	S_94_A	SMCD	1,5	51
S_94_B	SMCD	5	39,1	S_94_B	SMCD	5	54,1
S_94_C	SMCD	8,5	48,7	S_94_C	SMCD	8,5	63,7
S_94_D	SMCD	12	51,9	S_94_D	SMCD	12	66,9
S_95_A	SMCD	1,5	35,3	S_95_A	SMCD	1,5	50,3
S_95_B	SMCD	5	37,5	S_95_B	SMCD	5	52,5
S_95_C	SMCD	8,5	45	S_95_C	SMCD	8,5	60
S_95_D	SMCD	12	51,1	S_95_D	SMCD	12	66,1

Bijlage IV-3 Rekenresultaten L_{Ar,LT} en L_{Amax} avondperiode wedstrijddag

Rekenresultaten L _{Ar,LT} avond wedstrijddag				Rekenresultaten L _{Amax} avond wedstrijddag			
Naam	Omschrijving	Hoogte	Avond	Naam	Omschrijving	Hoogte	Avond
01_01_A	Cluster 1	1,5	49,5	01_01_A	Cluster 1	1,5	64,5
01_01_B	Cluster 1	4,5	53,4	01_01_B	Cluster 1	4,5	68,4
01_01_C	Cluster 1	7,5	57,2	01_01_C	Cluster 1	7,5	72,2
01_02_A	Cluster 1	1,5	48,1	01_02_A	Cluster 1	1,5	63,1
01_02_B	Cluster 1	4,5	50,6	01_02_B	Cluster 1	4,5	65,6
01_02_C	Cluster 1	7,5	57,6	01_02_C	Cluster 1	7,5	72,6
01_03_A	Cluster 1	1,5	49,3	01_03_A	Cluster 1	1,5	64,3
01_03_B	Cluster 1	4,5	50,4	01_03_B	Cluster 1	4,5	65,4
01_03_C	Cluster 1	7,5	57,9	01_03_C	Cluster 1	7,5	72,9
01_04_A	Cluster 1	1,5	49,4	01_04_A	Cluster 1	1,5	64,4
01_04_B	Cluster 1	4,5	51,7	01_04_B	Cluster 1	4,5	66,7
01_04_C	Cluster 1	7,5	58	01_04_C	Cluster 1	7,5	73
01_05_A	Cluster 1	1,5	49,5	01_05_A	Cluster 1	1,5	64,5
01_05_B	Cluster 1	4,5	51,1	01_05_B	Cluster 1	4,5	66,1
01_05_C	Cluster 1	7,5	58,7	01_05_C	Cluster 1	7,5	73,7
01_06_A	Cluster 1	1,5	44,8	01_06_A	Cluster 1	1,5	59,8
01_06_B	Cluster 1	4,5	48,2	01_06_B	Cluster 1	4,5	63,2
01_06_C	Cluster 1	7,5	57,3	01_06_C	Cluster 1	7,5	72,3
01_07_A	Cluster 1	1,5	47,5	01_07_A	Cluster 1	1,5	62,5
01_07_B	Cluster 1	4,5	50,6	01_07_B	Cluster 1	4,5	65,6
01_07_C	Cluster 1	7,5	57,7	01_07_C	Cluster 1	7,5	72,7
01_08_A	Cluster 1	1,5	49,8	01_08_A	Cluster 1	1,5	64,8
01_08_B	Cluster 1	4,5	53,3	01_08_B	Cluster 1	4,5	68,3
01_08_C	Cluster 1	7,5	56,8	01_08_C	Cluster 1	7,5	71,8
01_09_A	Cluster 1	1,5	49,4	01_09_A	Cluster 1	1,5	64,4
01_09_B	Cluster 1	4,5	53,9	01_09_B	Cluster 1	4,5	68,9
01_09_C	Cluster 1	7,5	56,9	01_09_C	Cluster 1	7,5	71,9
01_10_A	Cluster 1	1,5	49,6	01_10_A	Cluster 1	1,5	64,6
01_10_B	Cluster 1	4,5	54,4	01_10_B	Cluster 1	4,5	69,4
01_10_C	Cluster 1	7,5	56,9	01_10_C	Cluster 1	7,5	71,9
01_100_A	Cluster 1	1,5	51,1	01_100_A	Cluster 1	1,5	66,1
01_100_B	Cluster 1	4,5	56,1	01_100_B	Cluster 1	4,5	71,1
01_100_C	Cluster 1	7,5	61,1	01_100_C	Cluster 1	7,5	76,1
01_101_A	Cluster 1	1,5	49,5	01_101_A	Cluster 1	1,5	64,5
01_101_B	Cluster 1	4,5	53,7	01_101_B	Cluster 1	4,5	68,7
01_101_C	Cluster 1	7,5	60,4	01_101_C	Cluster 1	7,5	75,4
01_11_A	Cluster 1	1,5	48,8	01_11_A	Cluster 1	1,5	63,8
01_11_B	Cluster 1	4,5	54,7	01_11_B	Cluster 1	4,5	69,7
01_11_C	Cluster 1	7,5	58,3	01_11_C	Cluster 1	7,5	73,3
01_12_A	Cluster 1	1,5	49,4	01_12_A	Cluster 1	1,5	64,4
01_12_B	Cluster 1	4,5	54,6	01_12_B	Cluster 1	4,5	69,6
01_13_A	Cluster 1	1,5	50,8	01_13_A	Cluster 1	1,5	65,8
01_13_B	Cluster 1	4,5	55,7	01_13_B	Cluster 1	4,5	70,7
01_14_A	Cluster 1	1,5	53,3	01_14_A	Cluster 1	1,5	68,3
01_14_B	Cluster 1	4,5	58,1	01_14_B	Cluster 1	4,5	73,1
01_15_A	Cluster 1	1,5	52,6	01_15_A	Cluster 1	1,5	67,6
01_15_B	Cluster 1	4,5	56	01_15_B	Cluster 1	4,5	71
01_16_A	Cluster 1	1,5	51,9	01_16_A	Cluster 1	1,5	66,9
01_16_B	Cluster 1	4,5	54,8	01_16_B	Cluster 1	4,5	69,8
01_16_C	Cluster 1	7,5	59	01_16_C	Cluster 1	7,5	74
01_17_A	Cluster 1	1,5	52,2	01_17_A	Cluster 1	1,5	67,2
01_17_B	Cluster 1	4,5	56,5	01_17_B	Cluster 1	4,5	71,5
01_17_C	Cluster 1	7,5	59,6	01_17_C	Cluster 1	7,5	74,6
01_18_A	Cluster 1	1,5	52,7	01_18_A	Cluster 1	1,5	67,7
01_18_B	Cluster 1	4,5	58,1	01_18_B	Cluster 1	4,5	73,1
01_18_C	Cluster 1	7,5	60	01_18_C	Cluster 1	7,5	75
01_19_A	Cluster 1	1,5	53,8	01_19_A	Cluster 1	1,5	68,8
01_19_B	Cluster 1	4,5	57,6	01_19_B	Cluster 1	4,5	72,6
01_19_C	Cluster 1	7,5	61,2	01_19_C	Cluster 1	7,5	76,2
01_20_A	Cluster 1	1,5	54,3	01_20_A	Cluster 1	1,5	69,3
01_20_B	Cluster 1	4,5	57,7	01_20_B	Cluster 1	4,5	72,7
01_20_C	Cluster 1	7,5	60,5	01_20_C	Cluster 1	7,5	75,5
01_21_A	Cluster 1	1,5	53,5	01_21_A	Cluster 1	1,5	68,5
01_21_B	Cluster 1	4,5	57,4	01_21_B	Cluster 1	4,5	72,4
01_21_C	Cluster 1	7,5	60,3	01_21_C	Cluster 1	7,5	75,3
01_22_A	Cluster 1	1,5	53,6	01_22_A	Cluster 1	1,5	68,6

Bijlage IV-3 Rekenresultaten L_{Ar,LT} en L_{Amax} avondperiode wedstrijddag

Rekenresultaten L _{Ar,LT} avond wedstrijddag				Rekenresultaten L _{Amax} avond wedstrijddag			
Naam	Omschrijving	Hoogte	Avond	Naam	Omschrijving	Hoogte	Avond
01_22_B	Cluster 1	4,5	56,6	01_22_B	Cluster 1	4,5	71,6
01_22_C	Cluster 1	7,5	60,4	01_22_C	Cluster 1	7,5	75,4
01_23_A	Cluster 1	1,5	55,8	01_23_A	Cluster 1	1,5	70,8
01_23_B	Cluster 1	4,5	59,6	01_23_B	Cluster 1	4,5	74,6
01_23_C	Cluster 1	7,5	62,4	01_23_C	Cluster 1	7,5	77,4
01_24_A	Cluster 1	1,5	53,6	01_24_A	Cluster 1	1,5	68,6
01_24_B	Cluster 1	4,5	57,5	01_24_B	Cluster 1	4,5	72,5
01_24_C	Cluster 1	7,5	61,4	01_24_C	Cluster 1	7,5	76,4
01_25_A	Cluster 1	1,5	54,4	01_25_A	Cluster 1	1,5	69,4
01_25_B	Cluster 1	4,5	57,7	01_25_B	Cluster 1	4,5	72,7
01_26_A	Cluster 1	1,5	52,8	01_26_A	Cluster 1	1,5	67,8
01_26_B	Cluster 1	4,5	55,9	01_26_B	Cluster 1	4,5	70,9
01_27_A	Cluster 1	1,5	54	01_27_A	Cluster 1	1,5	69
01_27_B	Cluster 1	4,5	57,9	01_27_B	Cluster 1	4,5	72,9
01_28_A	Cluster 1	1,5	50,7	01_28_A	Cluster 1	1,5	65,7
01_28_B	Cluster 1	4,5	54,4	01_28_B	Cluster 1	4,5	69,4
01_29_A	Cluster 1	1,5	51,6	01_29_A	Cluster 1	1,5	66,6
01_29_B	Cluster 1	4,5	55	01_29_B	Cluster 1	4,5	70
01_29_C	Cluster 1	7,5	53,5	01_29_C	Cluster 1	7,5	68,5
01_30_A	Cluster 1	1,5	48,5	01_30_A	Cluster 1	1,5	63,5
01_30_B	Cluster 1	4,5	52,5	01_30_B	Cluster 1	4,5	67,5
01_30_C	Cluster 1	7,5	52,4	01_30_C	Cluster 1	7,5	67,4
01_31_A	Cluster 1	1,5	47	01_31_A	Cluster 1	1,5	62
01_31_B	Cluster 1	4,5	49,2	01_31_B	Cluster 1	4,5	64,2
01_31_C	Cluster 1	7,5	52,3	01_31_C	Cluster 1	7,5	67,3
01_32_A	Cluster 1	1,5	47,3	01_32_A	Cluster 1	1,5	62,3
01_32_B	Cluster 1	4,5	48,9	01_32_B	Cluster 1	4,5	63,9
01_32_C	Cluster 1	7,5	53,4	01_32_C	Cluster 1	7,5	68,4
01_33_A	Cluster 1	1,5	47,6	01_33_A	Cluster 1	1,5	62,6
01_33_B	Cluster 1	4,5	48,3	01_33_B	Cluster 1	4,5	63,3
01_33_C	Cluster 1	7,5	53,7	01_33_C	Cluster 1	7,5	68,7
01_34_A	Cluster 1	1,5	47,8	01_34_A	Cluster 1	1,5	62,8
01_34_B	Cluster 1	4,5	48,8	01_34_B	Cluster 1	4,5	63,8
01_34_C	Cluster 1	7,5	54,6	01_34_C	Cluster 1	7,5	69,6
01_35_A	Cluster 1	1,5	48,5	01_35_A	Cluster 1	1,5	63,5
01_35_B	Cluster 1	4,5	48,6	01_35_B	Cluster 1	4,5	63,6
01_35_C	Cluster 1	7,5	54,8	01_35_C	Cluster 1	7,5	69,8
01_36_A	Cluster 1	1,5	46,5	01_36_A	Cluster 1	1,5	61,5
01_36_B	Cluster 1	4,5	47,5	01_36_B	Cluster 1	4,5	62,5
01_36_C	Cluster 1	7,5	53,5	01_36_C	Cluster 1	7,5	68,5
01_37_A	Cluster 1	1,5	46,2	01_37_A	Cluster 1	1,5	61,2
01_37_B	Cluster 1	4,5	47,4	01_37_B	Cluster 1	4,5	62,4
01_38_A	Cluster 1	1,5	46,3	01_38_A	Cluster 1	1,5	61,3
01_38_B	Cluster 1	4,5	49,3	01_38_B	Cluster 1	4,5	64,3
01_39_A	Cluster 1	1,5	49,4	01_39_A	Cluster 1	1,5	64,4
01_39_B	Cluster 1	4,5	52,2	01_39_B	Cluster 1	4,5	67,2
01_40_A	Cluster 1	1,5	47,4	01_40_A	Cluster 1	1,5	62,4
01_40_B	Cluster 1	4,5	51	01_40_B	Cluster 1	4,5	66
01_41_A	Cluster 1	1,5	48,7	01_41_A	Cluster 1	1,5	63,7
01_41_B	Cluster 1	4,5	51,5	01_41_B	Cluster 1	4,5	66,5
01_41_C	Cluster 1	7,5	45,1	01_41_C	Cluster 1	7,5	60,1
01_42_A	Cluster 1	1,5	54,5	01_42_A	Cluster 1	1,5	69,5
01_42_B	Cluster 1	4,5	58,1	01_42_B	Cluster 1	4,5	73,1
01_42_C	Cluster 1	7,5	60,4	01_42_C	Cluster 1	7,5	75,4
01_43_A	Cluster 1	1,5	53,1	01_43_A	Cluster 1	1,5	68,1
01_43_B	Cluster 1	4,5	56,1	01_43_B	Cluster 1	4,5	71,1
01_43_C	Cluster 1	7,5	56,6	01_43_C	Cluster 1	7,5	71,6
01_44_A	Cluster 1	1,5	49,7	01_44_A	Cluster 1	1,5	64,7
01_44_B	Cluster 1	4,5	53	01_44_B	Cluster 1	4,5	68
01_44_C	Cluster 1	7,5	56,7	01_44_C	Cluster 1	7,5	71,7
01_45_A	Cluster 1	1,5	46,1	01_45_A	Cluster 1	1,5	61,1
01_45_B	Cluster 1	4,5	49,8	01_45_B	Cluster 1	4,5	64,8
01_45_C	Cluster 1	7,5	51	01_45_C	Cluster 1	7,5	66
01_46_A	Cluster 1	1,5	45,8	01_46_A	Cluster 1	1,5	60,8
01_46_B	Cluster 1	4,5	49	01_46_B	Cluster 1	4,5	64
01_46_C	Cluster 1	7,5	47,6	01_46_C	Cluster 1	7,5	62,6

Bijlage IV-3 Rekenresultaten L_{Ar,LT} en L_{Amax} avondperiode wedstrijddag

Rekenresultaten L _{Ar,LT} avond wedstrijddag				Rekenresultaten L _{Amax} avond wedstrijddag			
Naam	Omschrijving	Hoogte	Avond	Naam	Omschrijving	Hoogte	Avond
01_47_A	Cluster 1	1,5	45,6	01_47_A	Cluster 1	1,5	60,6
01_47_B	Cluster 1	4,5	48,9	01_47_B	Cluster 1	4,5	63,9
01_47_C	Cluster 1	7,5	47,4	01_47_C	Cluster 1	7,5	62,4
01_48_A	Cluster 1	1,5	45,5	01_48_A	Cluster 1	1,5	60,5
01_48_B	Cluster 1	4,5	48,9	01_48_B	Cluster 1	4,5	63,9
01_48_C	Cluster 1	7,5	49,4	01_48_C	Cluster 1	7,5	64,4
01_49_A	Cluster 1	1,5	45,8	01_49_A	Cluster 1	1,5	60,8
01_49_B	Cluster 1	4,5	49,4	01_49_B	Cluster 1	4,5	64,4
01_49_C	Cluster 1	7,5	50,4	01_49_C	Cluster 1	7,5	65,4
01_50_A	Cluster 1	1,5	45,6	01_50_A	Cluster 1	1,5	60,6
01_50_B	Cluster 1	4,5	49,1	01_50_B	Cluster 1	4,5	64,1
01_50_C	Cluster 1	7,5	51,5	01_50_C	Cluster 1	7,5	66,5
01_51_A	Cluster 1	1,5	45,6	01_51_A	Cluster 1	1,5	60,6
01_51_B	Cluster 1	4,5	48,7	01_51_B	Cluster 1	4,5	63,7
01_51_C	Cluster 1	7,5	52,4	01_51_C	Cluster 1	7,5	67,4
01_52_A	Cluster 1	1,5	45,5	01_52_A	Cluster 1	1,5	60,5
01_52_B	Cluster 1	4,5	48,9	01_52_B	Cluster 1	4,5	63,9
01_52_C	Cluster 1	7,5	53,2	01_52_C	Cluster 1	7,5	68,2
01_53_A	Cluster 1	1,5	45,4	01_53_A	Cluster 1	1,5	60,4
01_53_B	Cluster 1	4,5	48,8	01_53_B	Cluster 1	4,5	63,8
01_53_C	Cluster 1	7,5	52,5	01_53_C	Cluster 1	7,5	67,5
01_54_A	Cluster 1	1,5	45,6	01_54_A	Cluster 1	1,5	60,6
01_54_B	Cluster 1	4,5	49,9	01_54_B	Cluster 1	4,5	64,9
01_54_C	Cluster 1	7,5	56,5	01_54_C	Cluster 1	7,5	71,5
01_55_A	Cluster 1	1,5	45,4	01_55_A	Cluster 1	1,5	60,4
01_55_B	Cluster 1	4,5	48,9	01_55_B	Cluster 1	4,5	63,9
01_55_C	Cluster 1	7,5	51,9	01_55_C	Cluster 1	7,5	66,9
01_56_A	Cluster 1	1,5	45,8	01_56_A	Cluster 1	1,5	60,8
01_56_B	Cluster 1	4,5	51	01_56_B	Cluster 1	4,5	66
01_56_C	Cluster 1	7,5	55,5	01_56_C	Cluster 1	7,5	70,5
01_57_A	Cluster 1	1,5	48,5	01_57_A	Cluster 1	1,5	63,5
01_57_B	Cluster 1	4,5	53,4	01_57_B	Cluster 1	4,5	68,4
01_57_C	Cluster 1	7,5	60,2	01_57_C	Cluster 1	7,5	75,2
01_58_A	Cluster 1	1,5	49,2	01_58_A	Cluster 1	1,5	64,2
01_58_B	Cluster 1	4,5	54,8	01_58_B	Cluster 1	4,5	69,8
01_58_C	Cluster 1	7,5	57,3	01_58_C	Cluster 1	7,5	72,3
01_59_A	Cluster 1	1,5	53,2	01_59_A	Cluster 1	1,5	68,2
01_59_B	Cluster 1	4,5	57,5	01_59_B	Cluster 1	4,5	72,5
01_59_C	Cluster 1	7,5	61,1	01_59_C	Cluster 1	7,5	76,1
01_60_A	Cluster 1	1,5	53,1	01_60_A	Cluster 1	1,5	68,1
01_60_B	Cluster 1	4,5	57,5	01_60_B	Cluster 1	4,5	72,5
01_60_C	Cluster 1	7,5	61	01_60_C	Cluster 1	7,5	76
01_61_A	Cluster 1	1,5	52,9	01_61_A	Cluster 1	1,5	67,9
01_61_B	Cluster 1	4,5	58	01_61_B	Cluster 1	4,5	73
01_61_C	Cluster 1	7,5	60	01_61_C	Cluster 1	7,5	75
01_62_A	Cluster 1	1,5	52,1	01_62_A	Cluster 1	1,5	67,1
01_62_B	Cluster 1	4,5	57,4	01_62_B	Cluster 1	4,5	72,4
01_62_C	Cluster 1	7,5	59,3	01_62_C	Cluster 1	7,5	74,3
01_63_A	Cluster 1	1,5	51,7	01_63_A	Cluster 1	1,5	66,7
01_63_B	Cluster 1	4,5	57,5	01_63_B	Cluster 1	4,5	72,5
01_63_C	Cluster 1	7,5	58,6	01_63_C	Cluster 1	7,5	73,6
01_64_A	Cluster 1	1,5	46,1	01_64_A	Cluster 1	1,5	61,1
01_64_B	Cluster 1	4,5	53	01_64_B	Cluster 1	4,5	68
01_64_C	Cluster 1	7,5	60,4	01_64_C	Cluster 1	7,5	75,4
01_65_A	Cluster 1	1,5	46,7	01_65_A	Cluster 1	1,5	61,7
01_65_B	Cluster 1	4,5	53,5	01_65_B	Cluster 1	4,5	68,5
01_65_C	Cluster 1	7,5	62,8	01_65_C	Cluster 1	7,5	77,8
01_66_A	Cluster 1	1,5	46,2	01_66_A	Cluster 1	1,5	61,2
01_66_B	Cluster 1	4,5	52,7	01_66_B	Cluster 1	4,5	67,7
01_67_A	Cluster 1	1,5	50,8	01_67_A	Cluster 1	1,5	65,8
01_67_B	Cluster 1	4,5	55,6	01_67_B	Cluster 1	4,5	70,6
01_68_A	Cluster 1	1,5	50,4	01_68_A	Cluster 1	1,5	65,4
01_68_B	Cluster 1	4,5	56,5	01_68_B	Cluster 1	4,5	71,5
01_68_C	Cluster 1	7,5	48,2	01_68_C	Cluster 1	7,5	63,2
01_69_A	Cluster 1	1,5	50,9	01_69_A	Cluster 1	1,5	65,9
01_69_B	Cluster 1	4,5	56,8	01_69_B	Cluster 1	4,5	71,8

Bijlage IV-3 Rekenresultaten L_{Ar,LT} en L_{Amax} avondperiode wedstrijddag

Rekenresultaten L _{Ar,LT} avond wedstrijddag				Rekenresultaten L _{Amax} avond wedstrijddag			
Naam	Omschrijving	Hoogte	Avond	Naam	Omschrijving	Hoogte	Avond
01_69_C	Cluster 1	7,5	49,1	01_69_C	Cluster 1	7,5	64,1
01_70_A	Cluster 1	1,5	52,4	01_70_A	Cluster 1	1,5	67,4
01_70_B	Cluster 1	4,5	57	01_70_B	Cluster 1	4,5	72
01_70_C	Cluster 1	7,5	49,7	01_70_C	Cluster 1	7,5	64,7
01_71_A	Cluster 1	1,5	51,4	01_71_A	Cluster 1	1,5	66,4
01_71_B	Cluster 1	4,5	57	01_71_B	Cluster 1	4,5	72
01_71_C	Cluster 1	7,5	50,4	01_71_C	Cluster 1	7,5	65,4
01_72_A	Cluster 1	1,5	52,4	01_72_A	Cluster 1	1,5	67,4
01_72_B	Cluster 1	4,5	57,2	01_72_B	Cluster 1	4,5	72,2
01_72_C	Cluster 1	7,5	49,5	01_72_C	Cluster 1	7,5	64,5
01_73_A	Cluster 1	1,5	51,5	01_73_A	Cluster 1	1,5	66,5
01_73_B	Cluster 1	4,5	56,8	01_73_B	Cluster 1	4,5	71,8
01_73_C	Cluster 1	7,5	49,4	01_73_C	Cluster 1	7,5	64,4
01_74_A	Cluster 1	1,5	52,3	01_74_A	Cluster 1	1,5	67,3
01_74_B	Cluster 1	4,5	56,3	01_74_B	Cluster 1	4,5	71,3
01_74_C	Cluster 1	7,5	49	01_74_C	Cluster 1	7,5	64
01_75_A	Cluster 1	1,5	53	01_75_A	Cluster 1	1,5	68
01_75_B	Cluster 1	4,5	56,3	01_75_B	Cluster 1	4,5	71,3
01_75_C	Cluster 1	7,5	50,7	01_75_C	Cluster 1	7,5	65,7
01_76_A	Cluster 1	1,5	53,1	01_76_A	Cluster 1	1,5	68,1
01_76_B	Cluster 1	4,5	55,8	01_76_B	Cluster 1	4,5	70,8
01_76_C	Cluster 1	7,5	48,1	01_76_C	Cluster 1	7,5	63,1
01_77_A	Cluster 1	1,5	52,1	01_77_A	Cluster 1	1,5	67,1
01_77_B	Cluster 1	4,5	55,4	01_77_B	Cluster 1	4,5	70,4
01_78_A	Cluster 1	1,5	53,6	01_78_A	Cluster 1	1,5	68,6
01_78_B	Cluster 1	4,5	57,4	01_78_B	Cluster 1	4,5	72,4
01_79_A	Cluster 1	1,5	54,2	01_79_A	Cluster 1	1,5	69,2
01_79_B	Cluster 1	4,5	57,5	01_79_B	Cluster 1	4,5	72,5
01_79_C	Cluster 1	7,5	59,8	01_79_C	Cluster 1	7,5	74,8
01_80_A	Cluster 1	1,5	54,4	01_80_A	Cluster 1	1,5	69,4
01_80_B	Cluster 1	4,5	57,5	01_80_B	Cluster 1	4,5	72,5
01_80_C	Cluster 1	7,5	60,4	01_80_C	Cluster 1	7,5	75,4
01_81_A	Cluster 1	1,5	54,9	01_81_A	Cluster 1	1,5	69,9
01_81_B	Cluster 1	4,5	58	01_81_B	Cluster 1	4,5	73
01_81_C	Cluster 1	7,5	60,2	01_81_C	Cluster 1	7,5	75,2
01_82_A	Cluster 1	1,5	54,7	01_82_A	Cluster 1	1,5	69,7
01_82_B	Cluster 1	4,5	57,9	01_82_B	Cluster 1	4,5	72,9
01_82_C	Cluster 1	7,5	60,2	01_82_C	Cluster 1	7,5	75,2
01_83_A	Cluster 1	1,5	55	01_83_A	Cluster 1	1,5	70
01_83_B	Cluster 1	4,5	58,5	01_83_B	Cluster 1	4,5	73,5
01_83_C	Cluster 1	7,5	61,6	01_83_C	Cluster 1	7,5	76,6
01_84_A	Cluster 1	1,5	54,6	01_84_A	Cluster 1	1,5	69,6
01_84_B	Cluster 1	4,5	58	01_84_B	Cluster 1	4,5	73
01_84_C	Cluster 1	7,5	61,5	01_84_C	Cluster 1	7,5	76,5
01_85_A	Cluster 1	1,5	54,9	01_85_A	Cluster 1	1,5	69,9
01_85_B	Cluster 1	4,5	58	01_85_B	Cluster 1	4,5	73
01_85_C	Cluster 1	7,5	61,4	01_85_C	Cluster 1	7,5	76,4
01_86_A	Cluster 1	1,5	49	01_86_A	Cluster 1	1,5	64
01_86_B	Cluster 1	4,5	53,2	01_86_B	Cluster 1	4,5	68,2
01_86_C	Cluster 1	7,5	54,1	01_86_C	Cluster 1	7,5	69,1
01_87_A	Cluster 1	1,5	49,1	01_87_A	Cluster 1	1,5	64,1
01_87_B	Cluster 1	4,5	52,6	01_87_B	Cluster 1	4,5	67,6
01_88_A	Cluster 1	1,5	51,9	01_88_A	Cluster 1	1,5	66,9
01_88_B	Cluster 1	4,5	55,3	01_88_B	Cluster 1	4,5	70,3
01_89_A	Cluster 1	1,5	52,6	01_89_A	Cluster 1	1,5	67,6
01_89_B	Cluster 1	4,5	57,6	01_89_B	Cluster 1	4,5	72,6
01_89_C	Cluster 1	7,5	60,1	01_89_C	Cluster 1	7,5	75,1
01_90_A	Cluster 1	1,5	53,2	01_90_A	Cluster 1	1,5	68,2
01_90_B	Cluster 1	4,5	56,5	01_90_B	Cluster 1	4,5	71,5
01_90_C	Cluster 1	7,5	60,3	01_90_C	Cluster 1	7,5	75,3
01_91_A	Cluster 1	1,5	54,1	01_91_A	Cluster 1	1,5	69,1
01_91_B	Cluster 1	4,5	56,7	01_91_B	Cluster 1	4,5	71,7
01_91_C	Cluster 1	7,5	60,4	01_91_C	Cluster 1	7,5	75,4
01_92_A	Cluster 1	1,5	52,5	01_92_A	Cluster 1	1,5	67,5
01_92_B	Cluster 1	4,5	55,7	01_92_B	Cluster 1	4,5	70,7
01_92_C	Cluster 1	7,5	61	01_92_C	Cluster 1	7,5	76

Bijlage IV-3 Rekenresultaten L_{Ar,LT} en L_{Amax} avondperiode wedstrijddag

Rekenresultaten L _{Ar,LT} avond wedstrijddag				Rekenresultaten L _{Amax} avond wedstrijddag			
Naam	Omschrijving	Hoogte	Avond	Naam	Omschrijving	Hoogte	Avond
01_93_A	Cluster 1	1,5	50,8	01_93_A	Cluster 1	1,5	65,8
01_93_B	Cluster 1	4,5	55,1	01_93_B	Cluster 1	4,5	70,1
01_93_C	Cluster 1	7,5	61	01_93_C	Cluster 1	7,5	76
01_94_A	Cluster 1	1,5	51,6	01_94_A	Cluster 1	1,5	66,6
01_94_B	Cluster 1	4,5	55	01_94_B	Cluster 1	4,5	70
01_94_C	Cluster 1	7,5	61,1	01_94_C	Cluster 1	7,5	76,1
01_95_A	Cluster 1	1,5	50,4	01_95_A	Cluster 1	1,5	65,4
01_95_B	Cluster 1	4,5	54,4	01_95_B	Cluster 1	4,5	69,4
01_95_C	Cluster 1	7,5	61,5	01_95_C	Cluster 1	7,5	76,5
01_96_A	Cluster 1	1,5	50,1	01_96_A	Cluster 1	1,5	65,1
01_96_B	Cluster 1	4,5	54,6	01_96_B	Cluster 1	4,5	69,6
01_96_C	Cluster 1	7,5	61,4	01_96_C	Cluster 1	7,5	76,4
01_97_A	Cluster 1	1,5	50	01_97_A	Cluster 1	1,5	65
01_97_B	Cluster 1	4,5	54,2	01_97_B	Cluster 1	4,5	69,2
01_97_C	Cluster 1	7,5	61,2	01_97_C	Cluster 1	7,5	76,2
01_98_A	Cluster 1	1,5	50,9	01_98_A	Cluster 1	1,5	65,9
01_98_B	Cluster 1	4,5	54,7	01_98_B	Cluster 1	4,5	69,7
01_98_C	Cluster 1	7,5	61,4	01_98_C	Cluster 1	7,5	76,4
01_99_A	Cluster 1	1,5	50,1	01_99_A	Cluster 1	1,5	65,1
01_99_B	Cluster 1	4,5	54,9	01_99_B	Cluster 1	4,5	69,9
01_99_C	Cluster 1	7,5	61,2	01_99_C	Cluster 1	7,5	76,2
02_01_A	Cluster 2	1,5	53	02_01_A	Cluster 2	1,5	68
02_01_B	Cluster 2	4,5	55,3	02_01_B	Cluster 2	4,5	70,3
02_01_C	Cluster 2	7,5	58,7	02_01_C	Cluster 2	7,5	73,7
02_02_A	Cluster 2	1,5	53	02_02_A	Cluster 2	1,5	68
02_02_B	Cluster 2	4,5	55,6	02_02_B	Cluster 2	4,5	70,6
02_02_C	Cluster 2	7,5	57,5	02_02_C	Cluster 2	7,5	72,5
02_03_A	Cluster 2	1,5	53,5	02_03_A	Cluster 2	1,5	68,5
02_03_B	Cluster 2	4,5	55,8	02_03_B	Cluster 2	4,5	70,8
02_03_C	Cluster 2	7,5	58	02_03_C	Cluster 2	7,5	73
02_04_A	Cluster 2	1,5	52,8	02_04_A	Cluster 2	1,5	67,8
02_04_B	Cluster 2	4,5	55,8	02_04_B	Cluster 2	4,5	70,8
02_04_C	Cluster 2	7,5	57,4	02_04_C	Cluster 2	7,5	72,4
02_05_A	Cluster 2	1,5	54	02_05_A	Cluster 2	1,5	69
02_05_B	Cluster 2	4,5	56,3	02_05_B	Cluster 2	4,5	71,3
02_05_C	Cluster 2	7,5	58,4	02_05_C	Cluster 2	7,5	73,4
02_06_A	Cluster 2	1,5	53,1	02_06_A	Cluster 2	1,5	68,1
02_06_B	Cluster 2	4,5	56,3	02_06_B	Cluster 2	4,5	71,3
02_06_C	Cluster 2	7,5	59,4	02_06_C	Cluster 2	7,5	74,4
02_07_A	Cluster 2	1,5	52,4	02_07_A	Cluster 2	1,5	67,4
02_07_B	Cluster 2	4,5	55,7	02_07_B	Cluster 2	4,5	70,7
02_07_C	Cluster 2	7,5	59,4	02_07_C	Cluster 2	7,5	74,4
02_08_A	Cluster 2	1,5	51,1	02_08_A	Cluster 2	1,5	66,1
02_08_B	Cluster 2	4,5	53,9	02_08_B	Cluster 2	4,5	68,9
02_08_C	Cluster 2	7,5	58,4	02_08_C	Cluster 2	7,5	73,4
02_09_A	Cluster 2	1,5	51,4	02_09_A	Cluster 2	1,5	66,4
02_09_B	Cluster 2	4,5	55	02_09_B	Cluster 2	4,5	70
02_09_C	Cluster 2	7,5	58,7	02_09_C	Cluster 2	7,5	73,7
02_10_A	Cluster 2	1,5	50,9	02_10_A	Cluster 2	1,5	65,9
02_10_B	Cluster 2	4,5	56	02_10_B	Cluster 2	4,5	71
02_10_C	Cluster 2	7,5	59,1	02_10_C	Cluster 2	7,5	74,1
02_100_A	Cluster 2	1,5	44,9	02_100_A	Cluster 2	1,5	59,9
02_100_B	Cluster 2	4,5	47,1	02_100_B	Cluster 2	4,5	62,1
02_100_C	Cluster 2	7,5	56,8	02_100_C	Cluster 2	7,5	71,8
02_101_A	Cluster 2	1,5	44	02_101_A	Cluster 2	1,5	59
02_101_B	Cluster 2	4,5	46,8	02_101_B	Cluster 2	4,5	61,8
02_101_C	Cluster 2	7,5	55,9	02_101_C	Cluster 2	7,5	70,9
02_102_A	Cluster 2	1,5	43,5	02_102_A	Cluster 2	1,5	58,5
02_102_B	Cluster 2	4,5	46,5	02_102_B	Cluster 2	4,5	61,5
02_102_C	Cluster 2	7,5	55,5	02_102_C	Cluster 2	7,5	70,5
02_103_A	Cluster 2	1,5	43,5	02_103_A	Cluster 2	1,5	58,5
02_103_B	Cluster 2	4,5	46,5	02_103_B	Cluster 2	4,5	61,5
02_103_C	Cluster 2	7,5	54,4	02_103_C	Cluster 2	7,5	69,4
02_104_A	Cluster 2	1,5	43,5	02_104_A	Cluster 2	1,5	58,5
02_104_B	Cluster 2	4,5	46,3	02_104_B	Cluster 2	4,5	61,3
02_104_C	Cluster 2	7,5	52,8	02_104_C	Cluster 2	7,5	67,8

Bijlage IV-3 Rekenresultaten L_{Ar,LT} en L_{Amax} avondperiode wedstrijddag

Rekenresultaten L _{Ar,LT} avond wedstrijddag				Rekenresultaten L _{Amax} avond wedstrijddag			
Naam	Omschrijving	Hoogte	Avond	Naam	Omschrijving	Hoogte	Avond
02_105_A	Cluster 2	1,5	44,2	02_105_A	Cluster 2	1,5	59,2
02_105_B	Cluster 2	4,5	46,5	02_105_B	Cluster 2	4,5	61,5
02_105_C	Cluster 2	7,5	52,3	02_105_C	Cluster 2	7,5	67,3
02_106_A	Cluster 2	1,5	44,3	02_106_A	Cluster 2	1,5	59,3
02_106_B	Cluster 2	4,5	47,8	02_106_B	Cluster 2	4,5	62,8
02_106_C	Cluster 2	7,5	51,8	02_106_C	Cluster 2	7,5	66,8
02_107_A	Cluster 2	1,5	43,7	02_107_A	Cluster 2	1,5	58,7
02_107_B	Cluster 2	4,5	46,2	02_107_B	Cluster 2	4,5	61,2
02_107_C	Cluster 2	7,5	51,6	02_107_C	Cluster 2	7,5	66,6
02_108_A	Cluster 2	1,5	44,6	02_108_A	Cluster 2	1,5	59,6
02_108_B	Cluster 2	4,5	45,5	02_108_B	Cluster 2	4,5	60,5
02_108_C	Cluster 2	7,5	52,5	02_108_C	Cluster 2	7,5	67,5
02_11_A	Cluster 2	1,5	51,1	02_11_A	Cluster 2	1,5	66,1
02_11_B	Cluster 2	4,5	54,6	02_11_B	Cluster 2	4,5	69,6
02_11_C	Cluster 2	7,5	58,5	02_11_C	Cluster 2	7,5	73,5
02_12_A	Cluster 2	1,5	52,5	02_12_A	Cluster 2	1,5	67,5
02_12_B	Cluster 2	4,5	56,4	02_12_B	Cluster 2	4,5	71,4
02_13_A	Cluster 2	1,5	51,5	02_13_A	Cluster 2	1,5	66,5
02_13_B	Cluster 2	4,5	54,4	02_13_B	Cluster 2	4,5	69,4
02_14_A	Cluster 2	1,5	47,1	02_14_A	Cluster 2	1,5	62,1
02_14_B	Cluster 2	4,5	51,7	02_14_B	Cluster 2	4,5	66,7
02_15_A	Cluster 2	1,5	46,7	02_15_A	Cluster 2	1,5	61,7
02_15_B	Cluster 2	4,5	50	02_15_B	Cluster 2	4,5	65
02_16_A	Cluster 2	1,5	47,8	02_16_A	Cluster 2	1,5	62,8
02_16_B	Cluster 2	4,5	50,5	02_16_B	Cluster 2	4,5	65,5
02_16_C	Cluster 2	7,5	53,4	02_16_C	Cluster 2	7,5	68,4
02_16_D	Cluster 2	10,5	51,9	02_16_D	Cluster 2	10,5	66,9
02_17_A	Cluster 2	1,5	48,8	02_17_A	Cluster 2	1,5	63,8
02_17_B	Cluster 2	4,5	52,7	02_17_B	Cluster 2	4,5	67,7
02_17_C	Cluster 2	7,5	54	02_17_C	Cluster 2	7,5	69
02_17_D	Cluster 2	10,5	51,5	02_17_D	Cluster 2	10,5	66,5
02_18_A	Cluster 2	1,5	49,6	02_18_A	Cluster 2	1,5	64,6
02_18_B	Cluster 2	4,5	53,8	02_18_B	Cluster 2	4,5	68,8
02_18_C	Cluster 2	7,5	55	02_18_C	Cluster 2	7,5	70
02_18_D	Cluster 2	10,5	51	02_18_D	Cluster 2	10,5	66
02_19_A	Cluster 2	1,5	50,7	02_19_A	Cluster 2	1,5	65,7
02_19_B	Cluster 2	4,5	55	02_19_B	Cluster 2	4,5	70
02_19_C	Cluster 2	7,5	56	02_19_C	Cluster 2	7,5	71
02_19_D	Cluster 2	10,5	50,6	02_19_D	Cluster 2	10,5	65,6
02_20_A	Cluster 2	1,5	50,4	02_20_A	Cluster 2	1,5	65,4
02_20_B	Cluster 2	4,5	54,7	02_20_B	Cluster 2	4,5	69,7
02_20_C	Cluster 2	7,5	55,8	02_20_C	Cluster 2	7,5	70,8
02_20_D	Cluster 2	10,5	50,2	02_20_D	Cluster 2	10,5	65,2
02_21_A	Cluster 2	1,5	50,6	02_21_A	Cluster 2	1,5	65,6
02_21_B	Cluster 2	4,5	54,6	02_21_B	Cluster 2	4,5	69,6
02_21_C	Cluster 2	7,5	55,5	02_21_C	Cluster 2	7,5	70,5
02_21_D	Cluster 2	10,5	48,7	02_21_D	Cluster 2	10,5	63,7
02_22_A	Cluster 2	1,5	51	02_22_A	Cluster 2	1,5	66
02_22_B	Cluster 2	4,5	54,8	02_22_B	Cluster 2	4,5	69,8
02_22_C	Cluster 2	7,5	55,3	02_22_C	Cluster 2	7,5	70,3
02_22_D	Cluster 2	10,5	52,5	02_22_D	Cluster 2	10,5	67,5
02_23_A	Cluster 2	1,5	51,2	02_23_A	Cluster 2	1,5	66,2
02_23_B	Cluster 2	4,5	54,4	02_23_B	Cluster 2	4,5	69,4
02_23_C	Cluster 2	7,5	54,9	02_23_C	Cluster 2	7,5	69,9
02_23_D	Cluster 2	10,5	52,5	02_23_D	Cluster 2	10,5	67,5
02_24_A	Cluster 2	1,5	51,6	02_24_A	Cluster 2	1,5	66,6
02_24_B	Cluster 2	4,5	54,4	02_24_B	Cluster 2	4,5	69,4
02_24_C	Cluster 2	7,5	55	02_24_C	Cluster 2	7,5	70
02_24_D	Cluster 2	10,5	52,6	02_24_D	Cluster 2	10,5	67,6
02_25_A	Cluster 2	1,5	51	02_25_A	Cluster 2	1,5	66
02_25_B	Cluster 2	4,5	53,8	02_25_B	Cluster 2	4,5	68,8
02_25_C	Cluster 2	7,5	54,7	02_25_C	Cluster 2	7,5	69,7
02_25_D	Cluster 2	10,5	54,8	02_25_D	Cluster 2	10,5	69,8
02_26_A	Cluster 2	1,5	48	02_26_A	Cluster 2	1,5	63
02_26_B	Cluster 2	4,5	52,9	02_26_B	Cluster 2	4,5	67,9
02_26_C	Cluster 2	7,5	54,5	02_26_C	Cluster 2	7,5	69,5

Bijlage IV-3 Rekenresultaten L_{Ar,LT} en L_{Amax} avondperiode wedstrijddag

Rekenresultaten L _{Ar,LT} avond wedstrijddag				Rekenresultaten L _{Amax} avond wedstrijddag			
Naam	Omschrijving	Hoogte	Avond	Naam	Omschrijving	Hoogte	Avond
02_26_D	Cluster 2	10,5	58,3	02_26_D	Cluster 2	10,5	73,3
02_27_A	Cluster 2	1,5	52,5	02_27_A	Cluster 2	1,5	67,5
02_27_B	Cluster 2	4,5	54,7	02_27_B	Cluster 2	4,5	69,7
02_27_C	Cluster 2	7,5	55,9	02_27_C	Cluster 2	7,5	70,9
02_27_D	Cluster 2	10,5	56,9	02_27_D	Cluster 2	10,5	71,9
02_28_A	Cluster 2	1,5	52,4	02_28_A	Cluster 2	1,5	67,4
02_28_B	Cluster 2	4,5	54,7	02_28_B	Cluster 2	4,5	69,7
02_28_C	Cluster 2	7,5	55,9	02_28_C	Cluster 2	7,5	70,9
02_28_D	Cluster 2	10,5	50,3	02_28_D	Cluster 2	10,5	65,3
02_29_A	Cluster 2	1,5	52,8	02_29_A	Cluster 2	1,5	67,8
02_29_B	Cluster 2	4,5	54,9	02_29_B	Cluster 2	4,5	69,9
02_29_C	Cluster 2	7,5	55,6	02_29_C	Cluster 2	7,5	70,6
02_29_D	Cluster 2	10,5	49,7	02_29_D	Cluster 2	10,5	64,7
02_30_A	Cluster 2	1,5	53,2	02_30_A	Cluster 2	1,5	68,2
02_30_B	Cluster 2	4,5	54,9	02_30_B	Cluster 2	4,5	69,9
02_30_C	Cluster 2	7,5	55,5	02_30_C	Cluster 2	7,5	70,5
02_30_D	Cluster 2	10,5	49,4	02_30_D	Cluster 2	10,5	64,4
02_31_A	Cluster 2	1,5	53	02_31_A	Cluster 2	1,5	68
02_31_B	Cluster 2	4,5	54,8	02_31_B	Cluster 2	4,5	69,8
02_31_C	Cluster 2	7,5	55,3	02_31_C	Cluster 2	7,5	70,3
02_31_D	Cluster 2	10,5	47,5	02_31_D	Cluster 2	10,5	62,5
02_32_A	Cluster 2	1,5	48,1	02_32_A	Cluster 2	1,5	63,1
02_32_B	Cluster 2	4,5	44,4	02_32_B	Cluster 2	4,5	59,4
02_32_C	Cluster 2	7,5	44,4	02_32_C	Cluster 2	7,5	59,4
02_32_D	Cluster 2	10,5	43,8	02_32_D	Cluster 2	10,5	58,8
02_33_A	Cluster 2	1,5	47,7	02_33_A	Cluster 2	1,5	62,7
02_33_B	Cluster 2	4,5	43,6	02_33_B	Cluster 2	4,5	58,6
02_33_C	Cluster 2	7,5	48,5	02_33_C	Cluster 2	7,5	63,5
02_34_A	Cluster 2	1,5	45,9	02_34_A	Cluster 2	1,5	60,9
02_34_B	Cluster 2	4,5	42,9	02_34_B	Cluster 2	4,5	57,9
02_34_C	Cluster 2	7,5	48	02_34_C	Cluster 2	7,5	63
02_35_A	Cluster 2	1,5	43,2	02_35_A	Cluster 2	1,5	58,2
02_35_B	Cluster 2	4,5	42,8	02_35_B	Cluster 2	4,5	57,8
02_35_C	Cluster 2	7,5	49	02_35_C	Cluster 2	7,5	64
02_36_A	Cluster 2	1,5	43	02_36_A	Cluster 2	1,5	58
02_36_B	Cluster 2	4,5	42,4	02_36_B	Cluster 2	4,5	57,4
02_36_C	Cluster 2	7,5	46,9	02_36_C	Cluster 2	7,5	61,9
02_37_A	Cluster 2	1,5	42,4	02_37_A	Cluster 2	1,5	57,4
02_37_B	Cluster 2	4,5	42,9	02_37_B	Cluster 2	4,5	57,9
02_37_C	Cluster 2	7,5	46,7	02_37_C	Cluster 2	7,5	61,7
02_38_A	Cluster 2	1,5	42,7	02_38_A	Cluster 2	1,5	57,7
02_38_B	Cluster 2	4,5	44	02_38_B	Cluster 2	4,5	59
02_38_C	Cluster 2	7,5	47,4	02_38_C	Cluster 2	7,5	62,4
02_39_A	Cluster 2	1,5	46,2	02_39_A	Cluster 2	1,5	61,2
02_39_B	Cluster 2	4,5	49	02_39_B	Cluster 2	4,5	64
02_39_C	Cluster 2	7,5	53,5	02_39_C	Cluster 2	7,5	68,5
02_40_A	Cluster 2	1,5	46,3	02_40_A	Cluster 2	1,5	61,3
02_40_B	Cluster 2	4,5	49,6	02_40_B	Cluster 2	4,5	64,6
02_40_C	Cluster 2	7,5	54,5	02_40_C	Cluster 2	7,5	69,5
02_41_A	Cluster 2	1,5	48,6	02_41_A	Cluster 2	1,5	63,6
02_41_B	Cluster 2	4,5	53,9	02_41_B	Cluster 2	4,5	68,9
02_41_C	Cluster 2	7,5	59,2	02_41_C	Cluster 2	7,5	74,2
02_42_A	Cluster 2	1,5	45,6	02_42_A	Cluster 2	1,5	60,6
02_42_B	Cluster 2	4,5	52,1	02_42_B	Cluster 2	4,5	67,1
02_42_C	Cluster 2	7,5	55,1	02_42_C	Cluster 2	7,5	70,1
02_43_A	Cluster 2	1,5	45,2	02_43_A	Cluster 2	1,5	60,2
02_43_B	Cluster 2	4,5	50,1	02_43_B	Cluster 2	4,5	65,1
02_43_C	Cluster 2	7,5	53,9	02_43_C	Cluster 2	7,5	68,9
02_44_A	Cluster 2	1,5	47,6	02_44_A	Cluster 2	1,5	62,6
02_44_B	Cluster 2	4,5	51,9	02_44_B	Cluster 2	4,5	66,9
02_45_A	Cluster 2	1,5	49,7	02_45_A	Cluster 2	1,5	64,7
02_45_B	Cluster 2	4,5	53,7	02_45_B	Cluster 2	4,5	68,7
02_46_A	Cluster 2	1,5	53,3	02_46_A	Cluster 2	1,5	68,3
02_46_B	Cluster 2	4,5	58,3	02_46_B	Cluster 2	4,5	73,3
02_47_A	Cluster 2	1,5	52,9	02_47_A	Cluster 2	1,5	67,9
02_47_B	Cluster 2	4,5	57,3	02_47_B	Cluster 2	4,5	72,3

Bijlage IV-3 Rekenresultaten L_{Ar,LT} en L_{Amax} avondperiode wedstrijddag

Rekenresultaten L _{Ar,LT} avond wedstrijddag				Rekenresultaten L _{Amax} avond wedstrijddag			
Naam	Omschrijving	Hoogte	Avond	Naam	Omschrijving	Hoogte	Avond
02_48_A	Cluster 2	1,5	53,5	02_48_A	Cluster 2	1,5	68,5
02_48_B	Cluster 2	4,5	58,1	02_48_B	Cluster 2	4,5	73,1
02_48_C	Cluster 2	7,5	59,6	02_48_C	Cluster 2	7,5	74,6
02_49_A	Cluster 2	1,5	53	02_49_A	Cluster 2	1,5	68
02_49_B	Cluster 2	4,5	57,1	02_49_B	Cluster 2	4,5	72,1
02_49_C	Cluster 2	7,5	59,6	02_49_C	Cluster 2	7,5	74,6
02_50_A	Cluster 2	1,5	53,6	02_50_A	Cluster 2	1,5	68,6
02_50_B	Cluster 2	4,5	56,9	02_50_B	Cluster 2	4,5	71,9
02_50_C	Cluster 2	7,5	60	02_50_C	Cluster 2	7,5	75
02_51_A	Cluster 2	1,5	53,4	02_51_A	Cluster 2	1,5	68,4
02_51_B	Cluster 2	4,5	56,6	02_51_B	Cluster 2	4,5	71,6
02_51_C	Cluster 2	7,5	60	02_51_C	Cluster 2	7,5	75
02_52_A	Cluster 2	1,5	53,8	02_52_A	Cluster 2	1,5	68,8
02_52_B	Cluster 2	4,5	57,3	02_52_B	Cluster 2	4,5	72,3
02_52_C	Cluster 2	7,5	60,3	02_52_C	Cluster 2	7,5	75,3
02_53_A	Cluster 2	1,5	53,8	02_53_A	Cluster 2	1,5	68,8
02_53_B	Cluster 2	4,5	57,1	02_53_B	Cluster 2	4,5	72,1
02_53_C	Cluster 2	7,5	60,4	02_53_C	Cluster 2	7,5	75,4
02_54_A	Cluster 2	1,5	54,1	02_54_A	Cluster 2	1,5	69,1
02_54_B	Cluster 2	4,5	57,1	02_54_B	Cluster 2	4,5	72,1
02_54_C	Cluster 2	7,5	60,6	02_54_C	Cluster 2	7,5	75,6
02_55_A	Cluster 2	1,5	54,7	02_55_A	Cluster 2	1,5	69,7
02_55_B	Cluster 2	4,5	57,2	02_55_B	Cluster 2	4,5	72,2
02_55_C	Cluster 2	7,5	60,6	02_55_C	Cluster 2	7,5	75,6
02_56_A	Cluster 2	1,5	54,2	02_56_A	Cluster 2	1,5	69,2
02_56_B	Cluster 2	4,5	56,6	02_56_B	Cluster 2	4,5	71,6
02_56_C	Cluster 2	7,5	60,3	02_56_C	Cluster 2	7,5	75,3
02_57_A	Cluster 2	1,5	53,8	02_57_A	Cluster 2	1,5	68,8
02_57_B	Cluster 2	4,5	56,2	02_57_B	Cluster 2	4,5	71,2
02_57_C	Cluster 2	7,5	60,1	02_57_C	Cluster 2	7,5	75,1
02_58_A	Cluster 2	1,5	53,7	02_58_A	Cluster 2	1,5	68,7
02_58_B	Cluster 2	4,5	56,2	02_58_B	Cluster 2	4,5	71,2
02_58_C	Cluster 2	7,5	59,7	02_58_C	Cluster 2	7,5	74,7
02_59_A	Cluster 2	1,5	49,3	02_59_A	Cluster 2	1,5	64,3
02_59_B	Cluster 2	4,5	51,7	02_59_B	Cluster 2	4,5	66,7
02_59_C	Cluster 2	7,5	56,9	02_59_C	Cluster 2	7,5	71,9
02_60_A	Cluster 2	1,5	49,7	02_60_A	Cluster 2	1,5	64,7
02_60_B	Cluster 2	4,5	51,1	02_60_B	Cluster 2	4,5	66,1
02_60_C	Cluster 2	7,5	55,4	02_60_C	Cluster 2	7,5	70,4
02_61_A	Cluster 2	1,5	48,7	02_61_A	Cluster 2	1,5	63,7
02_61_B	Cluster 2	4,5	51,6	02_61_B	Cluster 2	4,5	66,6
02_61_C	Cluster 2	7,5	56,9	02_61_C	Cluster 2	7,5	71,9
02_62_A	Cluster 2	1,5	45,6	02_62_A	Cluster 2	1,5	60,6
02_62_B	Cluster 2	4,5	47,9	02_62_B	Cluster 2	4,5	62,9
02_62_C	Cluster 2	7,5	54,8	02_62_C	Cluster 2	7,5	69,8
02_63_A	Cluster 2	1,5	44,3	02_63_A	Cluster 2	1,5	59,3
02_63_B	Cluster 2	4,5	46,9	02_63_B	Cluster 2	4,5	61,9
02_63_C	Cluster 2	7,5	53,1	02_63_C	Cluster 2	7,5	68,1
02_64_A	Cluster 2	1,5	46	02_64_A	Cluster 2	1,5	61
02_64_B	Cluster 2	4,5	48,6	02_64_B	Cluster 2	4,5	63,6
02_64_C	Cluster 2	7,5	52,1	02_64_C	Cluster 2	7,5	67,1
02_65_A	Cluster 2	1,5	50,4	02_65_A	Cluster 2	1,5	65,4
02_65_B	Cluster 2	4,5	49	02_65_B	Cluster 2	4,5	64
02_65_C	Cluster 2	7,5	51,9	02_65_C	Cluster 2	7,5	66,9
02_66_A	Cluster 2	1,5	47,9	02_66_A	Cluster 2	1,5	62,9
02_66_B	Cluster 2	4,5	50	02_66_B	Cluster 2	4,5	65
02_66_C	Cluster 2	7,5	52	02_66_C	Cluster 2	7,5	67
02_67_A	Cluster 2	1,5	52,7	02_67_A	Cluster 2	1,5	67,7
02_67_B	Cluster 2	4,5	50	02_67_B	Cluster 2	4,5	65
02_67_C	Cluster 2	7,5	51,6	02_67_C	Cluster 2	7,5	66,6
02_68_A	Cluster 2	1,5	48,4	02_68_A	Cluster 2	1,5	63,4
02_68_B	Cluster 2	4,5	49,3	02_68_B	Cluster 2	4,5	64,3
02_68_C	Cluster 2	7,5	50,8	02_68_C	Cluster 2	7,5	65,8
02_69_A	Cluster 2	1,5	41,6	02_69_A	Cluster 2	1,5	56,6
02_69_B	Cluster 2	4,5	41,6	02_69_B	Cluster 2	4,5	56,6
02_69_C	Cluster 2	7,5	48,7	02_69_C	Cluster 2	7,5	63,7

Bijlage IV-3 Rekenresultaten L_{Ar,LT} en L_{Amax} avondperiode wedstrijddag

Rekenresultaten L _{Ar,LT} avond wedstrijddag				Rekenresultaten L _{Amax} avond wedstrijddag			
Naam	Omschrijving	Hoogte	Avond	Naam	Omschrijving	Hoogte	Avond
02_70_A	Cluster 2	1,5	52,4	02_70_A	Cluster 2	1,5	67,4
02_70_B	Cluster 2	4,5	49,8	02_70_B	Cluster 2	4,5	64,8
02_70_C	Cluster 2	7,5	46	02_70_C	Cluster 2	7,5	61
02_71_A	Cluster 2	1,5	51,3	02_71_A	Cluster 2	1,5	66,3
02_71_B	Cluster 2	4,5	48,9	02_71_B	Cluster 2	4,5	63,9
02_72_A	Cluster 2	1,5	44,4	02_72_A	Cluster 2	1,5	59,4
02_72_B	Cluster 2	4,5	48,9	02_72_B	Cluster 2	4,5	63,9
02_73_A	Cluster 2	1,5	47,9	02_73_A	Cluster 2	1,5	62,9
02_73_B	Cluster 2	4,5	50,4	02_73_B	Cluster 2	4,5	65,4
02_73_C	Cluster 2	7,5	56	02_73_C	Cluster 2	7,5	71
02_73_D	Cluster 2	10,5	62,8	02_73_D	Cluster 2	10,5	77,8
02_74_A	Cluster 2	1,5	52,8	02_74_A	Cluster 2	1,5	67,8
02_74_B	Cluster 2	4,5	48,7	02_74_B	Cluster 2	4,5	63,7
02_74_C	Cluster 2	7,5	57,3	02_74_C	Cluster 2	7,5	72,3
02_74_D	Cluster 2	10,5	61	02_74_D	Cluster 2	10,5	76
02_75_A	Cluster 2	1,5	52,6	02_75_A	Cluster 2	1,5	67,6
02_75_B	Cluster 2	4,5	48,1	02_75_B	Cluster 2	4,5	63,1
02_75_C	Cluster 2	7,5	58,6	02_75_C	Cluster 2	7,5	73,6
02_75_D	Cluster 2	10,5	60,5	02_75_D	Cluster 2	10,5	75,5
02_76_A	Cluster 2	1,5	52,7	02_76_A	Cluster 2	1,5	67,7
02_76_B	Cluster 2	4,5	54,7	02_76_B	Cluster 2	4,5	69,7
02_76_C	Cluster 2	7,5	59,1	02_76_C	Cluster 2	7,5	74,1
02_76_D	Cluster 2	10,5	60,3	02_76_D	Cluster 2	10,5	75,3
02_77_A	Cluster 2	1,5	52,7	02_77_A	Cluster 2	1,5	67,7
02_77_B	Cluster 2	4,5	55	02_77_B	Cluster 2	4,5	70
02_77_C	Cluster 2	7,5	59,1	02_77_C	Cluster 2	7,5	74,1
02_77_D	Cluster 2	10,5	60,1	02_77_D	Cluster 2	10,5	75,1
02_78_A	Cluster 2	1,5	53	02_78_A	Cluster 2	1,5	68
02_78_B	Cluster 2	4,5	55,4	02_78_B	Cluster 2	4,5	70,4
02_78_C	Cluster 2	7,5	59,1	02_78_C	Cluster 2	7,5	74,1
02_78_D	Cluster 2	10,5	59,9	02_78_D	Cluster 2	10,5	74,9
02_79_A	Cluster 2	1,5	53,1	02_79_A	Cluster 2	1,5	68,1
02_79_B	Cluster 2	4,5	55,9	02_79_B	Cluster 2	4,5	70,9
02_79_C	Cluster 2	7,5	59	02_79_C	Cluster 2	7,5	74
02_79_D	Cluster 2	10,5	59,8	02_79_D	Cluster 2	10,5	74,8
02_80_A	Cluster 2	1,5	54,1	02_80_A	Cluster 2	1,5	69,1
02_80_B	Cluster 2	4,5	56,6	02_80_B	Cluster 2	4,5	71,6
02_80_C	Cluster 2	7,5	59	02_80_C	Cluster 2	7,5	74
02_80_D	Cluster 2	10,5	59,6	02_80_D	Cluster 2	10,5	74,6
02_81_A	Cluster 2	1,5	53,5	02_81_A	Cluster 2	1,5	68,5
02_81_B	Cluster 2	4,5	57,8	02_81_B	Cluster 2	4,5	72,8
02_81_C	Cluster 2	7,5	58,8	02_81_C	Cluster 2	7,5	73,8
02_81_D	Cluster 2	10,5	59,4	02_81_D	Cluster 2	10,5	74,4
02_82_A	Cluster 2	1,5	53,9	02_82_A	Cluster 2	1,5	68,9
02_82_B	Cluster 2	4,5	58,1	02_82_B	Cluster 2	4,5	73,1
02_82_C	Cluster 2	7,5	58,6	02_82_C	Cluster 2	7,5	73,6
02_82_D	Cluster 2	10,5	59,3	02_82_D	Cluster 2	10,5	74,3
02_83_A	Cluster 2	1,5	52,9	02_83_A	Cluster 2	1,5	67,9
02_83_B	Cluster 2	4,5	58,5	02_83_B	Cluster 2	4,5	73,5
02_83_C	Cluster 2	7,5	58,4	02_83_C	Cluster 2	7,5	73,4
02_83_D	Cluster 2	10,5	59,2	02_83_D	Cluster 2	10,5	74,2
02_84_A	Cluster 2	1,5	48,5	02_84_A	Cluster 2	1,5	63,5
02_84_B	Cluster 2	4,5	54,1	02_84_B	Cluster 2	4,5	69,1
02_84_C	Cluster 2	7,5	53,8	02_84_C	Cluster 2	7,5	68,8
02_84_D	Cluster 2	10,5	52,8	02_84_D	Cluster 2	10,5	67,8
02_85_A	Cluster 2	1,5	49,7	02_85_A	Cluster 2	1,5	64,7
02_85_B	Cluster 2	4,5	56,7	02_85_B	Cluster 2	4,5	71,7
02_85_C	Cluster 2	7,5	58,3	02_85_C	Cluster 2	7,5	73,3
02_85_D	Cluster 2	10,5	57,8	02_85_D	Cluster 2	10,5	72,8
02_86_A	Cluster 2	1,5	48,4	02_86_A	Cluster 2	1,5	63,4
02_86_B	Cluster 2	4,5	57,1	02_86_B	Cluster 2	4,5	72,1
02_86_C	Cluster 2	7,5	58,4	02_86_C	Cluster 2	7,5	73,4
02_87_A	Cluster 2	1,5	50,2	02_87_A	Cluster 2	1,5	65,2
02_87_B	Cluster 2	4,5	57,8	02_87_B	Cluster 2	4,5	72,8
02_87_C	Cluster 2	7,5	58,9	02_87_C	Cluster 2	7,5	73,9
02_88_A	Cluster 2	1,5	46,6	02_88_A	Cluster 2	1,5	61,6

Bijlage IV-3 Rekenresultaten L_{Ar,LT} en L_{Amax} avondperiode wedstrijddag

Rekenresultaten L _{Ar,LT} avond wedstrijddag				Rekenresultaten L _{Amax} avond wedstrijddag			
Naam	Omschrijving	Hoogte	Avond	Naam	Omschrijving	Hoogte	Avond
02_88_B	Cluster 2	4,5	53,5	02_88_B	Cluster 2	4,5	68,5
02_88_C	Cluster 2	7,5	55,6	02_88_C	Cluster 2	7,5	70,6
02_89_A	Cluster 2	1,5	52,1	02_89_A	Cluster 2	1,5	67,1
02_89_B	Cluster 2	4,5	58,7	02_89_B	Cluster 2	4,5	73,7
02_89_C	Cluster 2	7,5	59,6	02_89_C	Cluster 2	7,5	74,6
02_90_A	Cluster 2	1,5	51,3	02_90_A	Cluster 2	1,5	66,3
02_90_B	Cluster 2	4,5	59,1	02_90_B	Cluster 2	4,5	74,1
02_90_C	Cluster 2	7,5	59,8	02_90_C	Cluster 2	7,5	74,8
02_91_A	Cluster 2	1,5	52,7	02_91_A	Cluster 2	1,5	67,7
02_91_B	Cluster 2	4,5	58,9	02_91_B	Cluster 2	4,5	73,9
02_91_C	Cluster 2	7,5	58,9	02_91_C	Cluster 2	7,5	73,9
02_92_A	Cluster 2	1,5	50,6	02_92_A	Cluster 2	1,5	65,6
02_92_B	Cluster 2	4,5	58,2	02_92_B	Cluster 2	4,5	73,2
02_92_C	Cluster 2	7,5	58,3	02_92_C	Cluster 2	7,5	73,3
02_93_A	Cluster 2	1,5	51,3	02_93_A	Cluster 2	1,5	66,3
02_93_B	Cluster 2	4,5	57	02_93_B	Cluster 2	4,5	72
02_93_C	Cluster 2	7,5	58,3	02_93_C	Cluster 2	7,5	73,3
02_94_A	Cluster 2	1,5	47,2	02_94_A	Cluster 2	1,5	62,2
02_94_B	Cluster 2	4,5	55,1	02_94_B	Cluster 2	4,5	70,1
02_94_C	Cluster 2	7,5	58,4	02_94_C	Cluster 2	7,5	73,4
02_95_A	Cluster 2	1,5	46,4	02_95_A	Cluster 2	1,5	61,4
02_95_B	Cluster 2	4,5	51,1	02_95_B	Cluster 2	4,5	66,1
02_95_C	Cluster 2	7,5	57,6	02_95_C	Cluster 2	7,5	72,6
02_96_A	Cluster 2	1,5	45,5	02_96_A	Cluster 2	1,5	60,5
02_96_B	Cluster 2	4,5	49,4	02_96_B	Cluster 2	4,5	64,4
02_97_A	Cluster 2	1,5	44,8	02_97_A	Cluster 2	1,5	59,8
02_97_B	Cluster 2	4,5	47,1	02_97_B	Cluster 2	4,5	62,1
02_98_A	Cluster 2	1,5	42,6	02_98_A	Cluster 2	1,5	57,6
02_98_B	Cluster 2	4,5	44,7	02_98_B	Cluster 2	4,5	59,7
02_98_C	Cluster 2	7,5	52,5	02_98_C	Cluster 2	7,5	67,5
02_99_A	Cluster 2	1,5	45,3	02_99_A	Cluster 2	1,5	60,3
02_99_B	Cluster 2	4,5	48,6	02_99_B	Cluster 2	4,5	63,6
02_99_C	Cluster 2	7,5	56,8	02_99_C	Cluster 2	7,5	71,8
03_01_A	Cluster 3	1,5	44,7	03_01_A	Cluster 3	1,5	59,7
03_01_B	Cluster 3	4,5	48,9	03_01_B	Cluster 3	4,5	63,9
03_01_C	Cluster 3	7,5	55,3	03_01_C	Cluster 3	7,5	70,3
03_02_A	Cluster 3	1,5	46,7	03_02_A	Cluster 3	1,5	61,7
03_02_B	Cluster 3	4,5	53,4	03_02_B	Cluster 3	4,5	68,4
03_02_C	Cluster 3	7,5	53,1	03_02_C	Cluster 3	7,5	68,1
03_03_A	Cluster 3	1,5	43,8	03_03_A	Cluster 3	1,5	58,8
03_03_B	Cluster 3	4,5	51,1	03_03_B	Cluster 3	4,5	66,1
03_03_C	Cluster 3	7,5	52,6	03_03_C	Cluster 3	7,5	67,6
03_04_A	Cluster 3	1,5	49,2	03_04_A	Cluster 3	1,5	64,2
03_04_B	Cluster 3	4,5	55,6	03_04_B	Cluster 3	4,5	70,6
03_04_C	Cluster 3	7,5	54,6	03_04_C	Cluster 3	7,5	69,6
03_05_A	Cluster 3	1,5	47,2	03_05_A	Cluster 3	1,5	62,2
03_05_B	Cluster 3	4,5	53,9	03_05_B	Cluster 3	4,5	68,9
03_06_A	Cluster 3	1,5	50,3	03_06_A	Cluster 3	1,5	65,3
03_06_B	Cluster 3	4,5	54,8	03_06_B	Cluster 3	4,5	69,8
03_07_A	Cluster 3	1,5	50,4	03_07_A	Cluster 3	1,5	65,4
03_07_B	Cluster 3	4,5	54,8	03_07_B	Cluster 3	4,5	69,8
03_08_A	Cluster 3	1,5	47,4	03_08_A	Cluster 3	1,5	62,4
03_08_B	Cluster 3	4,5	51,4	03_08_B	Cluster 3	4,5	66,4
03_09_A	Cluster 3	1,5	45	03_09_A	Cluster 3	1,5	60
03_09_B	Cluster 3	4,5	49,3	03_09_B	Cluster 3	4,5	64,3
03_09_C	Cluster 3	7,5	58,9	03_09_C	Cluster 3	7,5	73,9
03_10_A	Cluster 3	1,5	44,6	03_10_A	Cluster 3	1,5	59,6
03_10_B	Cluster 3	4,5	48,4	03_10_B	Cluster 3	4,5	63,4
03_10_C	Cluster 3	7,5	58,9	03_10_C	Cluster 3	7,5	73,9
03_11_A	Cluster 3	1,5	43,5	03_11_A	Cluster 3	1,5	58,5
03_11_B	Cluster 3	4,5	47,2	03_11_B	Cluster 3	4,5	62,2
03_11_C	Cluster 3	7,5	58,6	03_11_C	Cluster 3	7,5	73,6
03_12_A	Cluster 3	1,5	43,4	03_12_A	Cluster 3	1,5	58,4
03_12_B	Cluster 3	4,5	47,1	03_12_B	Cluster 3	4,5	62,1
03_12_C	Cluster 3	7,5	58,5	03_12_C	Cluster 3	7,5	73,5
03_13_A	Cluster 3	1,5	43,6	03_13_A	Cluster 3	1,5	58,6

Bijlage IV-3 Rekenresultaten L_{Ar,LT} en L_{Amax} avondperiode wedstrijddag

Rekenresultaten L _{Ar,LT} avond wedstrijddag				Rekenresultaten L _{Amax} avond wedstrijddag			
Naam	Omschrijving	Hoogte	Avond	Naam	Omschrijving	Hoogte	Avond
03_13_B	Cluster 3	4,5	47,1	03_13_B	Cluster 3	4,5	62,1
03_13_C	Cluster 3	7,5	58,5	03_13_C	Cluster 3	7,5	73,5
03_14_A	Cluster 3	1,5	43,5	03_14_A	Cluster 3	1,5	58,5
03_14_B	Cluster 3	4,5	47,1	03_14_B	Cluster 3	4,5	62,1
03_14_C	Cluster 3	7,5	58,6	03_14_C	Cluster 3	7,5	73,6
03_15_A	Cluster 3	1,5	43,9	03_15_A	Cluster 3	1,5	58,9
03_15_B	Cluster 3	4,5	47,3	03_15_B	Cluster 3	4,5	62,3
03_15_C	Cluster 3	7,5	58,6	03_15_C	Cluster 3	7,5	73,6
03_16_A	Cluster 3	1,5	43,7	03_16_A	Cluster 3	1,5	58,7
03_16_B	Cluster 3	4,5	47,1	03_16_B	Cluster 3	4,5	62,1
03_16_C	Cluster 3	7,5	58,7	03_16_C	Cluster 3	7,5	73,7
03_17_A	Cluster 3	1,5	43,5	03_17_A	Cluster 3	1,5	58,5
03_17_B	Cluster 3	4,5	47	03_17_B	Cluster 3	4,5	62
03_17_C	Cluster 3	7,5	58,8	03_17_C	Cluster 3	7,5	73,8
03_18_A	Cluster 3	1,5	44	03_18_A	Cluster 3	1,5	59
03_18_B	Cluster 3	4,5	47,2	03_18_B	Cluster 3	4,5	62,2
03_18_C	Cluster 3	7,5	59	03_18_C	Cluster 3	7,5	74
03_19_A	Cluster 3	1,5	43,9	03_19_A	Cluster 3	1,5	58,9
03_19_B	Cluster 3	4,5	47,6	03_19_B	Cluster 3	4,5	62,6
03_19_C	Cluster 3	7,5	58,3	03_19_C	Cluster 3	7,5	73,3
03_20_A	Cluster 3	1,5	46,6	03_20_A	Cluster 3	1,5	61,6
03_20_B	Cluster 3	4,5	49,3	03_20_B	Cluster 3	4,5	64,3
03_20_C	Cluster 3	7,5	58,2	03_20_C	Cluster 3	7,5	73,2
03_21_A	Cluster 3	1,5	50,7	03_21_A	Cluster 3	1,5	65,7
03_21_B	Cluster 3	4,5	53,8	03_21_B	Cluster 3	4,5	68,8
03_21_C	Cluster 3	7,5	55	03_21_C	Cluster 3	7,5	70
03_22_A	Cluster 3	1,5	49,9	03_22_A	Cluster 3	1,5	64,9
03_22_B	Cluster 3	4,5	53,1	03_22_B	Cluster 3	4,5	68,1
03_22_C	Cluster 3	7,5	52	03_22_C	Cluster 3	7,5	67
03_23_A	Cluster 3	1,5	49,7	03_23_A	Cluster 3	1,5	64,7
03_23_B	Cluster 3	4,5	53,3	03_23_B	Cluster 3	4,5	68,3
03_23_C	Cluster 3	7,5	53,7	03_23_C	Cluster 3	7,5	68,7
03_24_A	Cluster 3	1,5	49,3	03_24_A	Cluster 3	1,5	64,3
03_24_B	Cluster 3	4,5	52,7	03_24_B	Cluster 3	4,5	67,7
03_24_C	Cluster 3	7,5	53,7	03_24_C	Cluster 3	7,5	68,7
03_25_A	Cluster 3	1,5	48,9	03_25_A	Cluster 3	1,5	63,9
03_25_B	Cluster 3	4,5	52,7	03_25_B	Cluster 3	4,5	67,7
03_25_C	Cluster 3	7,5	53,9	03_25_C	Cluster 3	7,5	68,9
03_26_A	Cluster 3	1,5	48,9	03_26_A	Cluster 3	1,5	63,9
03_26_B	Cluster 3	4,5	52,7	03_26_B	Cluster 3	4,5	67,7
03_26_C	Cluster 3	7,5	55,4	03_26_C	Cluster 3	7,5	70,4
03_27_A	Cluster 3	1,5	48,7	03_27_A	Cluster 3	1,5	63,7
03_27_B	Cluster 3	4,5	52,5	03_27_B	Cluster 3	4,5	67,5
03_27_C	Cluster 3	7,5	56,2	03_27_C	Cluster 3	7,5	71,2
03_28_A	Cluster 3	1,5	48,6	03_28_A	Cluster 3	1,5	63,6
03_28_B	Cluster 3	4,5	52,5	03_28_B	Cluster 3	4,5	67,5
03_28_C	Cluster 3	7,5	55,9	03_28_C	Cluster 3	7,5	70,9
03_29_A	Cluster 3	1,5	49,1	03_29_A	Cluster 3	1,5	64,1
03_29_B	Cluster 3	4,5	52,3	03_29_B	Cluster 3	4,5	67,3
03_29_C	Cluster 3	7,5	55,9	03_29_C	Cluster 3	7,5	70,9
03_30_A	Cluster 3	1,5	49,7	03_30_A	Cluster 3	1,5	64,7
03_30_B	Cluster 3	4,5	53,4	03_30_B	Cluster 3	4,5	68,4
03_30_C	Cluster 3	7,5	55,4	03_30_C	Cluster 3	7,5	70,4
03_31_A	Cluster 3	1,5	45,9	03_31_A	Cluster 3	1,5	60,9
03_31_B	Cluster 3	4,5	50,5	03_31_B	Cluster 3	4,5	65,5
03_31_C	Cluster 3	7,5	54	03_31_C	Cluster 3	7,5	69
03_32_A	Cluster 3	1,5	47,9	03_32_A	Cluster 3	1,5	62,9
03_32_B	Cluster 3	4,5	54,8	03_32_B	Cluster 3	4,5	69,8
03_32_C	Cluster 3	7,5	58,8	03_32_C	Cluster 3	7,5	73,8
03_33_A	Cluster 3	1,5	46	03_33_A	Cluster 3	1,5	61
03_33_B	Cluster 3	4,5	52,1	03_33_B	Cluster 3	4,5	67,1
03_33_C	Cluster 3	7,5	56,5	03_33_C	Cluster 3	7,5	71,5
03_34_A	Cluster 3	1,5	42,8	03_34_A	Cluster 3	1,5	57,8
03_34_B	Cluster 3	4,5	47,4	03_34_B	Cluster 3	4,5	62,4
03_34_C	Cluster 3	7,5	55,2	03_34_C	Cluster 3	7,5	70,2
03_35_A	Cluster 3	1,5	43,2	03_35_A	Cluster 3	1,5	58,2

Bijlage IV-3 Rekenresultaten L_{Ar,LT} en L_{Amax} avondperiode wedstrijddag

Rekenresultaten L _{Ar,LT} avond wedstrijddag				Rekenresultaten L _{Amax} avond wedstrijddag			
Naam	Omschrijving	Hoogte	Avond	Naam	Omschrijving	Hoogte	Avond
03_35_B	Cluster 3	4,5	47,6	03_35_B	Cluster 3	4,5	62,6
03_35_C	Cluster 3	7,5	55,9	03_35_C	Cluster 3	7,5	70,9
03_36_A	Cluster 3	1,5	43,7	03_36_A	Cluster 3	1,5	58,7
03_36_B	Cluster 3	4,5	47,5	03_36_B	Cluster 3	4,5	62,5
03_36_C	Cluster 3	7,5	55,9	03_36_C	Cluster 3	7,5	70,9
03_37_A	Cluster 3	1,5	43,5	03_37_A	Cluster 3	1,5	58,5
03_37_B	Cluster 3	4,5	47,4	03_37_B	Cluster 3	4,5	62,4
03_37_C	Cluster 3	7,5	55,9	03_37_C	Cluster 3	7,5	70,9
03_38_A	Cluster 3	1,5	43,1	03_38_A	Cluster 3	1,5	58,1
03_38_B	Cluster 3	4,5	46,4	03_38_B	Cluster 3	4,5	61,4
03_38_C	Cluster 3	7,5	55,1	03_38_C	Cluster 3	7,5	70,1
03_39_A	Cluster 3	1,5	39,3	03_39_A	Cluster 3	1,5	54,3
03_39_B	Cluster 3	4,5	39,8	03_39_B	Cluster 3	4,5	54,8
03_39_C	Cluster 3	7,5	45,9	03_39_C	Cluster 3	7,5	60,9
03_40_A	Cluster 3	1,5	39,4	03_40_A	Cluster 3	1,5	54,4
03_40_B	Cluster 3	4,5	40	03_40_B	Cluster 3	4,5	55
03_40_C	Cluster 3	7,5	45,7	03_40_C	Cluster 3	7,5	60,7
03_41_A	Cluster 3	1,5	38,8	03_41_A	Cluster 3	1,5	53,8
03_41_B	Cluster 3	4,5	39,6	03_41_B	Cluster 3	4,5	54,6
03_41_C	Cluster 3	7,5	45,6	03_41_C	Cluster 3	7,5	60,6
03_42_A	Cluster 3	1,5	38,7	03_42_A	Cluster 3	1,5	53,7
03_42_B	Cluster 3	4,5	40,5	03_42_B	Cluster 3	4,5	55,5
03_42_C	Cluster 3	7,5	43,9	03_42_C	Cluster 3	7,5	58,9
03_43_A	Cluster 3	1,5	46,1	03_43_A	Cluster 3	1,5	61,1
03_43_B	Cluster 3	4,5	51,4	03_43_B	Cluster 3	4,5	66,4
03_43_C	Cluster 3	7,5	54,1	03_43_C	Cluster 3	7,5	69,1
03_44_A	Cluster 3	1,5	45,4	03_44_A	Cluster 3	1,5	60,4
03_44_B	Cluster 3	4,5	52,5	03_44_B	Cluster 3	4,5	67,5
03_44_C	Cluster 3	7,5	56	03_44_C	Cluster 3	7,5	71
03_45_A	Cluster 3	1,5	45,8	03_45_A	Cluster 3	1,5	60,8
03_45_B	Cluster 3	4,5	52,3	03_45_B	Cluster 3	4,5	67,3
03_45_C	Cluster 3	7,5	56,3	03_45_C	Cluster 3	7,5	71,3
03_46_A	Cluster 3	1,5	46,8	03_46_A	Cluster 3	1,5	61,8
03_46_B	Cluster 3	4,5	53,1	03_46_B	Cluster 3	4,5	68,1
03_46_C	Cluster 3	7,5	57,2	03_46_C	Cluster 3	7,5	72,2
03_47_A	Cluster 3	1,5	42	03_47_A	Cluster 3	1,5	57
03_47_B	Cluster 3	4,5	45,9	03_47_B	Cluster 3	4,5	60,9
03_47_C	Cluster 3	7,5	54,5	03_47_C	Cluster 3	7,5	69,5
03_48_A	Cluster 3	1,5	49,5	03_48_A	Cluster 3	1,5	64,5
03_48_B	Cluster 3	4,5	55,5	03_48_B	Cluster 3	4,5	70,5
03_48_C	Cluster 3	7,5	57,1	03_48_C	Cluster 3	7,5	72,1
03_49_A	Cluster 3	1,5	49,3	03_49_A	Cluster 3	1,5	64,3
03_49_B	Cluster 3	4,5	54,8	03_49_B	Cluster 3	4,5	69,8
03_49_C	Cluster 3	7,5	56,2	03_49_C	Cluster 3	7,5	71,2
03_50_A	Cluster 3	1,5	44,7	03_50_A	Cluster 3	1,5	59,7
03_50_B	Cluster 3	4,5	51,7	03_50_B	Cluster 3	4,5	66,7
03_50_C	Cluster 3	7,5	59,6	03_50_C	Cluster 3	7,5	74,6
03_51_A	Cluster 3	1,5	46,1	03_51_A	Cluster 3	1,5	61,1
03_51_B	Cluster 3	4,5	51,3	03_51_B	Cluster 3	4,5	66,3
03_52_A	Cluster 3	1,5	48,1	03_52_A	Cluster 3	1,5	63,1
03_52_B	Cluster 3	4,5	53,7	03_52_B	Cluster 3	4,5	68,7
03_53_A	Cluster 3	1,5	47,7	03_53_A	Cluster 3	1,5	62,7
03_53_B	Cluster 3	4,5	54,7	03_53_B	Cluster 3	4,5	69,7
03_53_C	Cluster 3	7,5	51,3	03_53_C	Cluster 3	7,5	66,3
03_54_A	Cluster 3	1,5	47,3	03_54_A	Cluster 3	1,5	62,3
03_54_B	Cluster 3	4,5	53,5	03_54_B	Cluster 3	4,5	68,5
03_54_C	Cluster 3	7,5	55,2	03_54_C	Cluster 3	7,5	70,2
03_55_A	Cluster 3	1,5	47,2	03_55_A	Cluster 3	1,5	62,2
03_55_B	Cluster 3	4,5	54,9	03_55_B	Cluster 3	4,5	69,9
03_55_C	Cluster 3	7,5	53,1	03_55_C	Cluster 3	7,5	68,1
03_56_A	Cluster 3	1,5	47,8	03_56_A	Cluster 3	1,5	62,8
03_56_B	Cluster 3	4,5	54,7	03_56_B	Cluster 3	4,5	69,7
03_56_C	Cluster 3	7,5	53,6	03_56_C	Cluster 3	7,5	68,6
03_57_A	Cluster 3	1,5	47,3	03_57_A	Cluster 3	1,5	62,3
03_57_B	Cluster 3	4,5	54,6	03_57_B	Cluster 3	4,5	69,6
03_57_C	Cluster 3	7,5	55,1	03_57_C	Cluster 3	7,5	70,1

Bijlage IV-3 Rekenresultaten L_{Ar,LT} en L_{Amax} avondperiode wedstrijddag

Rekenresultaten L _{Ar,LT} avond wedstrijddag				Rekenresultaten L _{Amax} avond wedstrijddag			
Naam	Omschrijving	Hoogte	Avond	Naam	Omschrijving	Hoogte	Avond
03_58_A	Cluster 3	1,5	47,9	03_58_A	Cluster 3	1,5	62,9
03_58_B	Cluster 3	4,5	54,9	03_58_B	Cluster 3	4,5	69,9
03_58_C	Cluster 3	7,5	55,1	03_58_C	Cluster 3	7,5	70,1
03_59_A	Cluster 3	1,5	47,1	03_59_A	Cluster 3	1,5	62,1
03_59_B	Cluster 3	4,5	54,7	03_59_B	Cluster 3	4,5	69,7
03_59_C	Cluster 3	7,5	53,6	03_59_C	Cluster 3	7,5	68,6
03_60_A	Cluster 3	1,5	47,6	03_60_A	Cluster 3	1,5	62,6
03_60_B	Cluster 3	4,5	54,8	03_60_B	Cluster 3	4,5	69,8
03_60_C	Cluster 3	7,5	51,7	03_60_C	Cluster 3	7,5	66,7
03_61_A	Cluster 3	1,5	47,9	03_61_A	Cluster 3	1,5	62,9
03_61_B	Cluster 3	4,5	54,5	03_61_B	Cluster 3	4,5	69,5
03_61_C	Cluster 3	7,5	49,9	03_61_C	Cluster 3	7,5	64,9
03_62_A	Cluster 3	1,5	50	03_62_A	Cluster 3	1,5	65
03_62_B	Cluster 3	4,5	53,9	03_62_B	Cluster 3	4,5	68,9
03_62_C	Cluster 3	7,5	47,3	03_62_C	Cluster 3	7,5	62,3
03_63_A	Cluster 3	1,5	49,1	03_63_A	Cluster 3	1,5	64,1
03_63_B	Cluster 3	4,5	52,7	03_63_B	Cluster 3	4,5	67,7
03_63_C	Cluster 3	7,5	47,4	03_63_C	Cluster 3	7,5	62,4
03_64_A	Cluster 3	1,5	51,1	03_64_A	Cluster 3	1,5	66,1
03_64_B	Cluster 3	4,5	53,1	03_64_B	Cluster 3	4,5	68,1
03_64_C	Cluster 3	7,5	51,5	03_64_C	Cluster 3	7,5	66,5
03_65_A	Cluster 3	1,5	47,3	03_65_A	Cluster 3	1,5	62,3
03_65_B	Cluster 3	4,5	49,7	03_65_B	Cluster 3	4,5	64,7
03_65_C	Cluster 3	7,5	56,3	03_65_C	Cluster 3	7,5	71,3
03_66_A	Cluster 3	1,5	44,7	03_66_A	Cluster 3	1,5	59,7
03_66_B	Cluster 3	4,5	49,3	03_66_B	Cluster 3	4,5	64,3
03_66_C	Cluster 3	7,5	57,6	03_66_C	Cluster 3	7,5	72,6
03_67_A	Cluster 3	1,5	43,3	03_67_A	Cluster 3	1,5	58,3
03_67_B	Cluster 3	4,5	46,8	03_67_B	Cluster 3	4,5	61,8
03_67_C	Cluster 3	7,5	56,9	03_67_C	Cluster 3	7,5	71,9
03_68_A	Cluster 3	1,5	50,1	03_68_A	Cluster 3	1,5	65,1
03_68_B	Cluster 3	4,5	53,5	03_68_B	Cluster 3	4,5	68,5
03_68_C	Cluster 3	7,5	56,9	03_68_C	Cluster 3	7,5	71,9
03_69_A	Cluster 3	1,5	50,7	03_69_A	Cluster 3	1,5	65,7
03_69_B	Cluster 3	4,5	54,1	03_69_B	Cluster 3	4,5	69,1
03_69_C	Cluster 3	7,5	57,5	03_69_C	Cluster 3	7,5	72,5
03_70_A	Cluster 3	1,5	50,1	03_70_A	Cluster 3	1,5	65,1
03_70_B	Cluster 3	4,5	54,4	03_70_B	Cluster 3	4,5	69,4
03_70_C	Cluster 3	7,5	59,1	03_70_C	Cluster 3	7,5	74,1
03_71_A	Cluster 3	1,5	50,6	03_71_A	Cluster 3	1,5	65,6
03_71_B	Cluster 3	4,5	54,7	03_71_B	Cluster 3	4,5	69,7
03_71_C	Cluster 3	7,5	59,3	03_71_C	Cluster 3	7,5	74,3
03_72_A	Cluster 3	1,5	50,3	03_72_A	Cluster 3	1,5	65,3
03_72_B	Cluster 3	4,5	55	03_72_B	Cluster 3	4,5	70
03_72_C	Cluster 3	7,5	59,4	03_72_C	Cluster 3	7,5	74,4
03_73_A	Cluster 3	1,5	50,3	03_73_A	Cluster 3	1,5	65,3
03_73_B	Cluster 3	4,5	55	03_73_B	Cluster 3	4,5	70
03_73_C	Cluster 3	7,5	59,2	03_73_C	Cluster 3	7,5	74,2
03_74_A	Cluster 3	1,5	49,2	03_74_A	Cluster 3	1,5	64,2
03_74_B	Cluster 3	4,5	54,9	03_74_B	Cluster 3	4,5	69,9
03_74_C	Cluster 3	7,5	59	03_74_C	Cluster 3	7,5	74
03_75_A	Cluster 3	1,5	44,9	03_75_A	Cluster 3	1,5	59,9
03_75_B	Cluster 3	4,5	50,1	03_75_B	Cluster 3	4,5	65,1
03_75_C	Cluster 3	7,5	58,9	03_75_C	Cluster 3	7,5	73,9
03_76_A	Cluster 3	1,5	44,8	03_76_A	Cluster 3	1,5	59,8
03_76_B	Cluster 3	4,5	49,8	03_76_B	Cluster 3	4,5	64,8
03_76_C	Cluster 3	7,5	58,9	03_76_C	Cluster 3	7,5	73,9
03_77_A	Cluster 3	1,5	45,1	03_77_A	Cluster 3	1,5	60,1
03_77_B	Cluster 3	4,5	49,8	03_77_B	Cluster 3	4,5	64,8
03_77_C	Cluster 3	7,5	59	03_77_C	Cluster 3	7,5	74
03_78_A	Cluster 3	1,5	45,1	03_78_A	Cluster 3	1,5	60,1
03_78_B	Cluster 3	4,5	49,8	03_78_B	Cluster 3	4,5	64,8
03_78_C	Cluster 3	7,5	59	03_78_C	Cluster 3	7,5	74
03_79_A	Cluster 3	1,5	45,1	03_79_A	Cluster 3	1,5	60,1
03_79_B	Cluster 3	4,5	49,8	03_79_B	Cluster 3	4,5	64,8
03_79_C	Cluster 3	7,5	59	03_79_C	Cluster 3	7,5	74

Bijlage IV-3 Rekenresultaten L_{Ar,LT} en L_{Amax} avondperiode wedstrijddag

Rekenresultaten L _{Ar,LT} avond wedstrijddag				Rekenresultaten L _{Amax} avond wedstrijddag			
Naam	Omschrijving	Hoogte	Avond	Naam	Omschrijving	Hoogte	Avond
03_80_A	Cluster 3	1,5	45,2	03_80_A	Cluster 3	1,5	60,2
03_80_B	Cluster 3	4,5	50	03_80_B	Cluster 3	4,5	65
03_80_C	Cluster 3	7,5	59	03_80_C	Cluster 3	7,5	74
03_81_A	Cluster 3	1,5	46,9	03_81_A	Cluster 3	1,5	61,9
03_81_B	Cluster 3	4,5	51,1	03_81_B	Cluster 3	4,5	66,1
03_81_C	Cluster 3	7,5	58,9	03_81_C	Cluster 3	7,5	73,9
03_82_A	Cluster 3	1,5	48,3	03_82_A	Cluster 3	1,5	63,3
03_82_B	Cluster 3	4,5	53,5	03_82_B	Cluster 3	4,5	68,5
03_82_C	Cluster 3	7,5	58,8	03_82_C	Cluster 3	7,5	73,8
03_83_A	Cluster 3	1,5	47,4	03_83_A	Cluster 3	1,5	62,4
03_83_B	Cluster 3	4,5	53,4	03_83_B	Cluster 3	4,5	68,4
03_83_C	Cluster 3	7,5	58,4	03_83_C	Cluster 3	7,5	73,4
03_84_A	Cluster 3	1,5	47,2	03_84_A	Cluster 3	1,5	62,2
03_84_B	Cluster 3	4,5	52,3	03_84_B	Cluster 3	4,5	67,3
03_84_C	Cluster 3	7,5	58	03_84_C	Cluster 3	7,5	73
03_85_A	Cluster 3	1,5	46,6	03_85_A	Cluster 3	1,5	61,6
03_85_B	Cluster 3	4,5	51	03_85_B	Cluster 3	4,5	66
03_85_C	Cluster 3	7,5	56,6	03_85_C	Cluster 3	7,5	71,6
03_86_A	Cluster 3	1,5	46,7	03_86_A	Cluster 3	1,5	61,7
03_86_B	Cluster 3	4,5	51,3	03_86_B	Cluster 3	4,5	66,3
03_86_C	Cluster 3	7,5	47,6	03_86_C	Cluster 3	7,5	62,6
03_87_A	Cluster 3	1,5	49,5	03_87_A	Cluster 3	1,5	64,5
03_87_B	Cluster 3	4,5	55,7	03_87_B	Cluster 3	4,5	70,7
03_87_C	Cluster 3	7,5	58,5	03_87_C	Cluster 3	7,5	73,5
04_01_A	Cluster 4	1,5	42	04_01_A	Cluster 4	1,5	57
04_01_B	Cluster 4	4,5	44,2	04_01_B	Cluster 4	4,5	59,2
04_01_C	Cluster 4	7,5	44,8	04_01_C	Cluster 4	7,5	59,8
04_02_A	Cluster 4	1,5	41	04_02_A	Cluster 4	1,5	56
04_02_B	Cluster 4	4,5	42,8	04_02_B	Cluster 4	4,5	57,8
04_02_C	Cluster 4	7,5	44,8	04_02_C	Cluster 4	7,5	59,8
04_03_A	Cluster 4	1,5	39,6	04_03_A	Cluster 4	1,5	54,6
04_03_B	Cluster 4	4,5	41,3	04_03_B	Cluster 4	4,5	56,3
04_03_C	Cluster 4	7,5	34,9	04_03_C	Cluster 4	7,5	49,9
04_04_A	Cluster 4	1,5	34,4	04_04_A	Cluster 4	1,5	49,4
04_04_B	Cluster 4	4,5	37,7	04_04_B	Cluster 4	4,5	52,7
04_04_C	Cluster 4	7,5	38,7	04_04_C	Cluster 4	7,5	53,7
04_05_A	Cluster 4	1,5	42,6	04_05_A	Cluster 4	1,5	57,6
04_05_B	Cluster 4	4,5	44,1	04_05_B	Cluster 4	4,5	59,1
04_05_C	Cluster 4	7,5	46,6	04_05_C	Cluster 4	7,5	61,6
04_06_A	Cluster 4	1,5	43,7	04_06_A	Cluster 4	1,5	58,7
04_06_B	Cluster 4	4,5	45,7	04_06_B	Cluster 4	4,5	60,7
04_06_C	Cluster 4	7,5	47,3	04_06_C	Cluster 4	7,5	62,3
04_07_A	Cluster 4	1,5	42,2	04_07_A	Cluster 4	1,5	57,2
04_07_B	Cluster 4	4,5	43,5	04_07_B	Cluster 4	4,5	58,5
04_07_C	Cluster 4	7,5	45,9	04_07_C	Cluster 4	7,5	60,9
04_08_A	Cluster 4	1,5	37,9	04_08_A	Cluster 4	1,5	52,9
04_08_B	Cluster 4	4,5	39,9	04_08_B	Cluster 4	4,5	54,9
04_08_C	Cluster 4	7,5	42,3	04_08_C	Cluster 4	7,5	57,3
04_09_A	Cluster 4	1,5	37,3	04_09_A	Cluster 4	1,5	52,3
04_09_B	Cluster 4	4,5	38,9	04_09_B	Cluster 4	4,5	53,9
04_09_C	Cluster 4	7,5	41,1	04_09_C	Cluster 4	7,5	56,1
04_10_A	Cluster 4	1,5	37	04_10_A	Cluster 4	1,5	52
04_10_B	Cluster 4	4,5	38,9	04_10_B	Cluster 4	4,5	53,9
04_10_C	Cluster 4	7,5	40,3	04_10_C	Cluster 4	7,5	55,3
04_11_A	Cluster 4	1,5	42,6	04_11_A	Cluster 4	1,5	57,6
04_11_B	Cluster 4	4,5	44,9	04_11_B	Cluster 4	4,5	59,9
04_11_C	Cluster 4	7,5	44,5	04_11_C	Cluster 4	7,5	59,5
04_12_A	Cluster 4	1,5	41,5	04_12_A	Cluster 4	1,5	56,5
04_12_B	Cluster 4	4,5	43,4	04_12_B	Cluster 4	4,5	58,4
04_12_C	Cluster 4	7,5	43,2	04_12_C	Cluster 4	7,5	58,2
04_13_A	Cluster 4	1,5	38,9	04_13_A	Cluster 4	1,5	53,9
04_13_B	Cluster 4	4,5	40,1	04_13_B	Cluster 4	4,5	55,1
04_13_C	Cluster 4	7,5	43,4	04_13_C	Cluster 4	7,5	58,4
04_14_A	Cluster 4	1,5	42,2	04_14_A	Cluster 4	1,5	57,2
04_14_B	Cluster 4	4,5	43,9	04_14_B	Cluster 4	4,5	58,9
04_14_C	Cluster 4	7,5	45,7	04_14_C	Cluster 4	7,5	60,7

Bijlage IV-3 Rekenresultaten L_{Ar,LT} en L_{Amax} avondperiode wedstrijddag

Rekenresultaten L _{Ar,LT} avond wedstrijddag				Rekenresultaten L _{Amax} avond wedstrijddag			
Naam	Omschrijving	Hoogte	Avond	Naam	Omschrijving	Hoogte	Avond
04_15_A	Cluster 4	1,5	39,8	04_15_A	Cluster 4	1,5	54,8
04_15_B	Cluster 4	4,5	40,6	04_15_B	Cluster 4	4,5	55,6
04_15_C	Cluster 4	7,5	42,4	04_15_C	Cluster 4	7,5	57,4
04_16_A	Cluster 4	1,5	41,3	04_16_A	Cluster 4	1,5	56,3
04_16_B	Cluster 4	4,5	42,4	04_16_B	Cluster 4	4,5	57,4
04_16_C	Cluster 4	7,5	44,1	04_16_C	Cluster 4	7,5	59,1
04_17_A	Cluster 4	1,5	--	04_17_A	Cluster 4	1,5	#WAARDE!
04_17_B	Cluster 4	4,5	42,2	04_17_B	Cluster 4	4,5	57,2
04_17_C	Cluster 4	7,5	40	04_17_C	Cluster 4	7,5	55
04_18_A	Cluster 4	1,5	40,7	04_18_A	Cluster 4	1,5	55,7
04_18_B	Cluster 4	4,5	41,5	04_18_B	Cluster 4	4,5	56,5
04_18_C	Cluster 4	7,5	43,2	04_18_C	Cluster 4	7,5	58,2
04_19_A	Cluster 4	1,5	45	04_19_A	Cluster 4	1,5	60
04_19_B	Cluster 4	4,5	42,7	04_19_B	Cluster 4	4,5	57,7
04_19_C	Cluster 4	7,5	44,4	04_19_C	Cluster 4	7,5	59,4
04_20_A	Cluster 4	1,5	40,9	04_20_A	Cluster 4	1,5	55,9
04_20_B	Cluster 4	4,5	44,2	04_20_B	Cluster 4	4,5	59,2
04_20_C	Cluster 4	7,5	46,1	04_20_C	Cluster 4	7,5	61,1
04_21_A	Cluster 4	1,5	47,7	04_21_A	Cluster 4	1,5	62,7
04_21_B	Cluster 4	4,5	48,3	04_21_B	Cluster 4	4,5	63,3
04_21_C	Cluster 4	7,5	48,2	04_21_C	Cluster 4	7,5	63,2
04_22_A	Cluster 4	1,5	48,5	04_22_A	Cluster 4	1,5	63,5
04_22_B	Cluster 4	4,5	52,1	04_22_B	Cluster 4	4,5	67,1
04_22_C	Cluster 4	7,5	51,9	04_22_C	Cluster 4	7,5	66,9
04_23_A	Cluster 4	1,5	48,5	04_23_A	Cluster 4	1,5	63,5
04_23_B	Cluster 4	4,5	54,1	04_23_B	Cluster 4	4,5	69,1
04_23_C	Cluster 4	7,5	54,7	04_23_C	Cluster 4	7,5	69,7
04_24_A	Cluster 4	1,5	47,6	04_24_A	Cluster 4	1,5	62,6
04_24_B	Cluster 4	4,5	54,8	04_24_B	Cluster 4	4,5	69,8
04_24_C	Cluster 4	7,5	55,7	04_24_C	Cluster 4	7,5	70,7
04_25_A	Cluster 4	1,5	46,7	04_25_A	Cluster 4	1,5	61,7
04_25_B	Cluster 4	4,5	54,9	04_25_B	Cluster 4	4,5	69,9
04_25_C	Cluster 4	7,5	55,6	04_25_C	Cluster 4	7,5	70,6
04_26_A	Cluster 4	1,5	45,9	04_26_A	Cluster 4	1,5	60,9
04_26_B	Cluster 4	4,5	54,8	04_26_B	Cluster 4	4,5	69,8
04_26_C	Cluster 4	7,5	55,6	04_26_C	Cluster 4	7,5	70,6
04_27_A	Cluster 4	1,5	46,1	04_27_A	Cluster 4	1,5	61,1
04_27_B	Cluster 4	4,5	54,9	04_27_B	Cluster 4	4,5	69,9
04_27_C	Cluster 4	7,5	55,6	04_27_C	Cluster 4	7,5	70,6
04_27_D	Cluster 4	10,5	56	04_27_D	Cluster 4	10,5	71
04_28_A	Cluster 4	1,5	48,9	04_28_A	Cluster 4	1,5	63,9
04_28_B	Cluster 4	4,5	50,8	04_28_B	Cluster 4	4,5	65,8
04_28_C	Cluster 4	7,5	51,5	04_28_C	Cluster 4	7,5	66,5
04_28_D	Cluster 4	10,5	47,4	04_28_D	Cluster 4	10,5	62,4
04_29_A	Cluster 4	1,5	47,8	04_29_A	Cluster 4	1,5	62,8
04_29_B	Cluster 4	4,5	49,4	04_29_B	Cluster 4	4,5	64,4
04_29_C	Cluster 4	7,5	50,2	04_29_C	Cluster 4	7,5	65,2
04_29_D	Cluster 4	10,5	46,3	04_29_D	Cluster 4	10,5	61,3
04_30_A	Cluster 4	1,5	47,8	04_30_A	Cluster 4	1,5	62,8
04_30_B	Cluster 4	4,5	49,4	04_30_B	Cluster 4	4,5	64,4
04_30_C	Cluster 4	7,5	50,3	04_30_C	Cluster 4	7,5	65,3
04_30_D	Cluster 4	10,5	49,9	04_30_D	Cluster 4	10,5	64,9
04_31_A	Cluster 4	1,5	47,6	04_31_A	Cluster 4	1,5	62,6
04_31_B	Cluster 4	4,5	48,8	04_31_B	Cluster 4	4,5	63,8
04_31_C	Cluster 4	7,5	49,9	04_31_C	Cluster 4	7,5	64,9
04_31_D	Cluster 4	10,5	51,8	04_31_D	Cluster 4	10,5	66,8
04_32_A	Cluster 4	1,5	47,6	04_32_A	Cluster 4	1,5	62,6
04_32_B	Cluster 4	4,5	48,8	04_32_B	Cluster 4	4,5	63,8
04_32_C	Cluster 4	7,5	49,9	04_32_C	Cluster 4	7,5	64,9
04_32_D	Cluster 4	10,5	51,1	04_32_D	Cluster 4	10,5	66,1
04_33_A	Cluster 4	1,5	47,7	04_33_A	Cluster 4	1,5	62,7
04_33_B	Cluster 4	4,5	48,5	04_33_B	Cluster 4	4,5	63,5
04_33_C	Cluster 4	7,5	49,7	04_33_C	Cluster 4	7,5	64,7
04_33_D	Cluster 4	10,5	50,8	04_33_D	Cluster 4	10,5	65,8
04_34_A	Cluster 4	1,5	47,4	04_34_A	Cluster 4	1,5	62,4
04_34_B	Cluster 4	4,5	48,4	04_34_B	Cluster 4	4,5	63,4

Bijlage IV-3 Rekenresultaten L_{Ar,LT} en L_{Amax} avondperiode wedstrijddag

Rekenresultaten L _{Ar,LT} avond wedstrijddag				Rekenresultaten L _{Amax} avond wedstrijddag			
Naam	Omschrijving	Hoogte	Avond	Naam	Omschrijving	Hoogte	Avond
04_34_C	Cluster 4	7,5	49,6	04_34_C	Cluster 4	7,5	64,6
04_34_D	Cluster 4	10,5	51	04_34_D	Cluster 4	10,5	66
04_35_A	Cluster 4	1,5	47,4	04_35_A	Cluster 4	1,5	62,4
04_35_B	Cluster 4	4,5	48,4	04_35_B	Cluster 4	4,5	63,4
04_35_C	Cluster 4	7,5	49,6	04_35_C	Cluster 4	7,5	64,6
04_35_D	Cluster 4	10,5	51	04_35_D	Cluster 4	10,5	66
04_36_A	Cluster 4	1,5	47,4	04_36_A	Cluster 4	1,5	62,4
04_36_B	Cluster 4	4,5	48,4	04_36_B	Cluster 4	4,5	63,4
04_36_C	Cluster 4	7,5	49,7	04_36_C	Cluster 4	7,5	64,7
04_36_D	Cluster 4	10,5	51	04_36_D	Cluster 4	10,5	66
04_37_A	Cluster 4	1,5	47,2	04_37_A	Cluster 4	1,5	62,2
04_37_B	Cluster 4	4,5	48,5	04_37_B	Cluster 4	4,5	63,5
04_37_C	Cluster 4	7,5	49,7	04_37_C	Cluster 4	7,5	64,7
04_37_D	Cluster 4	10,5	51	04_37_D	Cluster 4	10,5	66
04_38_A	Cluster 4	1,5	44,6	04_38_A	Cluster 4	1,5	59,6
04_38_B	Cluster 4	4,5	45,8	04_38_B	Cluster 4	4,5	60,8
04_38_C	Cluster 4	7,5	47,7	04_38_C	Cluster 4	7,5	62,7
04_38_D	Cluster 4	10,5	49,6	04_38_D	Cluster 4	10,5	64,6
04_39_A	Cluster 4	1,5	43,7	04_39_A	Cluster 4	1,5	58,7
04_39_B	Cluster 4	4,5	46,1	04_39_B	Cluster 4	4,5	61,1
04_40_A	Cluster 4	1,5	44,1	04_40_A	Cluster 4	1,5	59,1
04_40_B	Cluster 4	4,5	46,7	04_40_B	Cluster 4	4,5	61,7
04_41_A	Cluster 4	1,5	44,2	04_41_A	Cluster 4	1,5	59,2
04_41_B	Cluster 4	4,5	47,3	04_41_B	Cluster 4	4,5	62,3
04_42_A	Cluster 4	1,5	43,7	04_42_A	Cluster 4	1,5	58,7
04_42_B	Cluster 4	4,5	45,7	04_42_B	Cluster 4	4,5	60,7
04_43_A	Cluster 4	1,5	45,1	04_43_A	Cluster 4	1,5	60,1
04_43_B	Cluster 4	4,5	47,6	04_43_B	Cluster 4	4,5	62,6
04_43_C	Cluster 4	7,5	49,7	04_43_C	Cluster 4	7,5	64,7
04_44_A	Cluster 4	1,5	48,1	04_44_A	Cluster 4	1,5	63,1
04_44_B	Cluster 4	4,5	50,5	04_44_B	Cluster 4	4,5	65,5
04_44_C	Cluster 4	7,5	53,3	04_44_C	Cluster 4	7,5	68,3
04_45_A	Cluster 4	1,5	47,6	04_45_A	Cluster 4	1,5	62,6
04_45_B	Cluster 4	4,5	50,4	04_45_B	Cluster 4	4,5	65,4
04_45_C	Cluster 4	7,5	54,4	04_45_C	Cluster 4	7,5	69,4
04_46_A	Cluster 4	1,5	45,6	04_46_A	Cluster 4	1,5	60,6
04_46_B	Cluster 4	4,5	49,3	04_46_B	Cluster 4	4,5	64,3
04_47_A	Cluster 4	1,5	43,3	04_47_A	Cluster 4	1,5	58,3
04_47_B	Cluster 4	4,5	48,3	04_47_B	Cluster 4	4,5	63,3
04_48_A	Cluster 4	1,5	44	04_48_A	Cluster 4	1,5	59
04_48_B	Cluster 4	4,5	48,4	04_48_B	Cluster 4	4,5	63,4
04_48_C	Cluster 4	7,5	48,4	04_48_C	Cluster 4	7,5	63,4
04_48_D	Cluster 4	10,5	51,7	04_48_D	Cluster 4	10,5	66,7
04_49_A	Cluster 4	1,5	43,5	04_49_A	Cluster 4	1,5	58,5
04_49_B	Cluster 4	4,5	48,8	04_49_B	Cluster 4	4,5	63,8
04_49_C	Cluster 4	7,5	50,9	04_49_C	Cluster 4	7,5	65,9
04_49_D	Cluster 4	10,5	51,1	04_49_D	Cluster 4	10,5	66,1
04_50_A	Cluster 4	1,5	48	04_50_A	Cluster 4	1,5	63
04_50_B	Cluster 4	4,5	51,6	04_50_B	Cluster 4	4,5	66,6
04_50_C	Cluster 4	7,5	55,8	04_50_C	Cluster 4	7,5	70,8
04_50_D	Cluster 4	10,5	56,2	04_50_D	Cluster 4	10,5	71,2
04_51_A	Cluster 4	1,5	48,3	04_51_A	Cluster 4	1,5	63,3
04_51_B	Cluster 4	4,5	51,7	04_51_B	Cluster 4	4,5	66,7
04_51_C	Cluster 4	7,5	55,8	04_51_C	Cluster 4	7,5	70,8
04_51_D	Cluster 4	10,5	56,1	04_51_D	Cluster 4	10,5	71,1
04_52_A	Cluster 4	1,5	48,4	04_52_A	Cluster 4	1,5	63,4
04_52_B	Cluster 4	4,5	51,6	04_52_B	Cluster 4	4,5	66,6
04_52_C	Cluster 4	7,5	54,8	04_52_C	Cluster 4	7,5	69,8
04_52_D	Cluster 4	10,5	56,2	04_52_D	Cluster 4	10,5	71,2
04_53_A	Cluster 4	1,5	48,3	04_53_A	Cluster 4	1,5	63,3
04_53_B	Cluster 4	4,5	51,4	04_53_B	Cluster 4	4,5	66,4
04_53_C	Cluster 4	7,5	55,2	04_53_C	Cluster 4	7,5	70,2
04_53_D	Cluster 4	10,5	56,1	04_53_D	Cluster 4	10,5	71,1
04_54_A	Cluster 4	1,5	48	04_54_A	Cluster 4	1,5	63
04_54_B	Cluster 4	4,5	51,2	04_54_B	Cluster 4	4,5	66,2
04_54_C	Cluster 4	7,5	55,4	04_54_C	Cluster 4	7,5	70,4

Bijlage IV-3 Rekenresultaten L_{Ar,LT} en L_{Amax} avondperiode wedstrijddag

Rekenresultaten L _{Ar,LT} avond wedstrijddag				Rekenresultaten L _{Amax} avond wedstrijddag			
Naam	Omschrijving	Hoogte	Avond	Naam	Omschrijving	Hoogte	Avond
04_54_D	Cluster 4	10,5	56,3	04_54_D	Cluster 4	10,5	71,3
04_55_A	Cluster 4	1,5	46,5	04_55_A	Cluster 4	1,5	61,5
04_55_B	Cluster 4	4,5	49,6	04_55_B	Cluster 4	4,5	64,6
04_55_C	Cluster 4	7,5	55,4	04_55_C	Cluster 4	7,5	70,4
04_55_D	Cluster 4	10,5	56,5	04_55_D	Cluster 4	10,5	71,5
04_56_A	Cluster 4	1,5	44,8	04_56_A	Cluster 4	1,5	59,8
04_56_B	Cluster 4	4,5	49	04_56_B	Cluster 4	4,5	64
04_56_C	Cluster 4	7,5	54,3	04_56_C	Cluster 4	7,5	69,3
04_56_D	Cluster 4	10,5	56,4	04_56_D	Cluster 4	10,5	71,4
04_57_A	Cluster 4	1,5	43,1	04_57_A	Cluster 4	1,5	58,1
04_57_B	Cluster 4	4,5	46,2	04_57_B	Cluster 4	4,5	61,2
04_57_C	Cluster 4	7,5	53,6	04_57_C	Cluster 4	7,5	68,6
04_57_D	Cluster 4	10,5	57,5	04_57_D	Cluster 4	10,5	72,5
04_58_A	Cluster 4	1,5	44,4	04_58_A	Cluster 4	1,5	59,4
04_58_B	Cluster 4	4,5	46,8	04_58_B	Cluster 4	4,5	61,8
04_58_C	Cluster 4	7,5	53,2	04_58_C	Cluster 4	7,5	68,2
04_58_D	Cluster 4	10,5	55,8	04_58_D	Cluster 4	10,5	70,8
04_59_A	Cluster 4	1,5	40,6	04_59_A	Cluster 4	1,5	55,6
04_59_B	Cluster 4	4,5	44,6	04_59_B	Cluster 4	4,5	59,6
04_59_C	Cluster 4	7,5	47,8	04_59_C	Cluster 4	7,5	62,8
04_60_A	Cluster 4	1,5	41,3	04_60_A	Cluster 4	1,5	56,3
04_60_B	Cluster 4	4,5	45,9	04_60_B	Cluster 4	4,5	60,9
04_60_C	Cluster 4	7,5	49,7	04_60_C	Cluster 4	7,5	64,7
04_61_A	Cluster 4	1,5	43,7	04_61_A	Cluster 4	1,5	58,7
04_61_B	Cluster 4	4,5	48	04_61_B	Cluster 4	4,5	63
04_61_C	Cluster 4	7,5	50,6	04_61_C	Cluster 4	7,5	65,6
04_62_A	Cluster 4	1,5	42,7	04_62_A	Cluster 4	1,5	57,7
04_62_B	Cluster 4	4,5	45,8	04_62_B	Cluster 4	4,5	60,8
04_62_C	Cluster 4	7,5	48,1	04_62_C	Cluster 4	7,5	63,1
04_63_A	Cluster 4	1,5	39,2	04_63_A	Cluster 4	1,5	54,2
04_63_B	Cluster 4	4,5	45,2	04_63_B	Cluster 4	4,5	60,2
04_63_C	Cluster 4	7,5	46,4	04_63_C	Cluster 4	7,5	61,4
04_64_A	Cluster 4	1,5	41,2	04_64_A	Cluster 4	1,5	56,2
04_64_B	Cluster 4	4,5	42	04_64_B	Cluster 4	4,5	57
04_64_C	Cluster 4	7,5	40,5	04_64_C	Cluster 4	7,5	55,5
05_01_A	Cluster 5	1,5	41,1	05_01_A	Cluster 5	1,5	56,1
05_01_B	Cluster 5	4,5	41,8	05_01_B	Cluster 5	4,5	56,8
05_01_C	Cluster 5	7,5	39,9	05_01_C	Cluster 5	7,5	54,9
05_02_A	Cluster 5	1,5	37,3	05_02_A	Cluster 5	1,5	52,3
05_02_B	Cluster 5	4,5	38,2	05_02_B	Cluster 5	4,5	53,2
05_02_C	Cluster 5	7,5	39,5	05_02_C	Cluster 5	7,5	54,5
05_03_A	Cluster 5	1,5	42,7	05_03_A	Cluster 5	1,5	57,7
05_03_B	Cluster 5	4,5	43,5	05_03_B	Cluster 5	4,5	58,5
05_03_C	Cluster 5	7,5	42,4	05_03_C	Cluster 5	7,5	57,4
05_04_A	Cluster 5	1,5	40,5	05_04_A	Cluster 5	1,5	55,5
05_04_B	Cluster 5	4,5	42,3	05_04_B	Cluster 5	4,5	57,3
05_04_C	Cluster 5	7,5	43,9	05_04_C	Cluster 5	7,5	58,9
05_05_A	Cluster 5	1,5	52,4	05_05_A	Cluster 5	1,5	67,4
05_05_B	Cluster 5	4,5	55,4	05_05_B	Cluster 5	4,5	70,4
05_05_C	Cluster 5	7,5	54,7	05_05_C	Cluster 5	7,5	69,7
05_06_A	Cluster 5	1,5	48	05_06_A	Cluster 5	1,5	63
05_06_B	Cluster 5	4,5	55,5	05_06_B	Cluster 5	4,5	70,5
05_06_C	Cluster 5	7,5	55,9	05_06_C	Cluster 5	7,5	70,9
05_07_A	Cluster 5	1,5	50,5	05_07_A	Cluster 5	1,5	65,5
05_07_B	Cluster 5	4,5	53,9	05_07_B	Cluster 5	4,5	68,9
05_07_C	Cluster 5	7,5	54,6	05_07_C	Cluster 5	7,5	69,6
05_08_A	Cluster 5	1,5	48,2	05_08_A	Cluster 5	1,5	63,2
05_08_B	Cluster 5	4,5	50,5	05_08_B	Cluster 5	4,5	65,5
05_08_C	Cluster 5	7,5	47,7	05_08_C	Cluster 5	7,5	62,7
05_09_A	Cluster 5	1,5	51,5	05_09_A	Cluster 5	1,5	66,5
05_09_B	Cluster 5	4,5	56	05_09_B	Cluster 5	4,5	71
05_09_C	Cluster 5	7,5	56,8	05_09_C	Cluster 5	7,5	71,8
05_10_A	Cluster 5	1,5	51,1	05_10_A	Cluster 5	1,5	66,1
05_10_B	Cluster 5	4,5	56,1	05_10_B	Cluster 5	4,5	71,1
05_10_C	Cluster 5	7,5	57	05_10_C	Cluster 5	7,5	72
05_11_A	Cluster 5	1,5	50,5	05_11_A	Cluster 5	1,5	65,5

Bijlage IV-3 Rekenresultaten L_{Ar,LT} en L_{Amax} avondperiode wedstrijddag

Rekenresultaten L _{Ar,LT} avond wedstrijddag				Rekenresultaten L _{Amax} avond wedstrijddag			
Naam	Omschrijving	Hoogte	Avond	Naam	Omschrijving	Hoogte	Avond
05_11_B	Cluster 5	4,5	52,6	05_11_B	Cluster 5	4,5	67,6
05_11_C	Cluster 5	7,5	51,4	05_11_C	Cluster 5	7,5	66,4
05_12_A	Cluster 5	1,5	43,9	05_12_A	Cluster 5	1,5	58,9
05_12_B	Cluster 5	4,5	46	05_12_B	Cluster 5	4,5	61
05_12_C	Cluster 5	7,5	48,3	05_12_C	Cluster 5	7,5	63,3
05_13_A	Cluster 5	1,5	41,4	05_13_A	Cluster 5	1,5	56,4
05_13_B	Cluster 5	4,5	43,7	05_13_B	Cluster 5	4,5	58,7
05_13_C	Cluster 5	7,5	48,2	05_13_C	Cluster 5	7,5	63,2
05_14_A	Cluster 5	1,5	48,1	05_14_A	Cluster 5	1,5	63,1
05_14_B	Cluster 5	4,5	50	05_14_B	Cluster 5	4,5	65
05_14_C	Cluster 5	7,5	52,3	05_14_C	Cluster 5	7,5	67,3
05_15_A	Cluster 5	1,5	48,4	05_15_A	Cluster 5	1,5	63,4
05_15_B	Cluster 5	4,5	50	05_15_B	Cluster 5	4,5	65
05_15_C	Cluster 5	7,5	53,1	05_15_C	Cluster 5	7,5	68,1
05_16_A	Cluster 5	1,5	44,5	05_16_A	Cluster 5	1,5	59,5
05_16_B	Cluster 5	4,5	45,3	05_16_B	Cluster 5	4,5	60,3
05_16_C	Cluster 5	7,5	52,7	05_16_C	Cluster 5	7,5	67,7
05_17_A	Cluster 5	1,5	50,6	05_17_A	Cluster 5	1,5	65,6
05_17_B	Cluster 5	4,5	56,2	05_17_B	Cluster 5	4,5	71,2
05_17_C	Cluster 5	7,5	56,5	05_17_C	Cluster 5	7,5	71,5
05_18_A	Cluster 5	1,5	49,3	05_18_A	Cluster 5	1,5	64,3
05_18_B	Cluster 5	4,5	56,2	05_18_B	Cluster 5	4,5	71,2
05_18_C	Cluster 5	7,5	56,6	05_18_C	Cluster 5	7,5	71,6
05_19_A	Cluster 5	1,5	52,4	05_19_A	Cluster 5	1,5	67,4
05_19_B	Cluster 5	4,5	48,9	05_19_B	Cluster 5	4,5	63,9
05_19_C	Cluster 5	7,5	51,4	05_19_C	Cluster 5	7,5	66,4
05_20_A	Cluster 5	1,5	41,2	05_20_A	Cluster 5	1,5	56,2
05_20_B	Cluster 5	4,5	43,5	05_20_B	Cluster 5	4,5	58,5
05_20_C	Cluster 5	7,5	51,8	05_20_C	Cluster 5	7,5	66,8
05_21_A	Cluster 5	1,5	44,7	05_21_A	Cluster 5	1,5	59,7
05_21_B	Cluster 5	4,5	56	05_21_B	Cluster 5	4,5	71
05_21_C	Cluster 5	7,5	56,4	05_21_C	Cluster 5	7,5	71,4
05_22_A	Cluster 5	1,5	49,4	05_22_A	Cluster 5	1,5	64,4
05_22_B	Cluster 5	4,5	45,6	05_22_B	Cluster 5	4,5	60,6
05_22_C	Cluster 5	7,5	47,6	05_22_C	Cluster 5	7,5	62,6
05_23_A	Cluster 5	1,5	52,2	05_23_A	Cluster 5	1,5	67,2
05_23_B	Cluster 5	4,5	53,8	05_23_B	Cluster 5	4,5	68,8
05_23_C	Cluster 5	7,5	54,3	05_23_C	Cluster 5	7,5	69,3
05_24_A	Cluster 5	1,5	45,5	05_24_A	Cluster 5	1,5	60,5
05_24_B	Cluster 5	4,5	50,1	05_24_B	Cluster 5	4,5	65,1
05_24_C	Cluster 5	7,5	49,1	05_24_C	Cluster 5	7,5	64,1
05_25_A	Cluster 5	1,5	47,5	05_25_A	Cluster 5	1,5	62,5
05_25_B	Cluster 5	4,5	49,6	05_25_B	Cluster 5	4,5	64,6
05_25_C	Cluster 5	7,5	48,6	05_25_C	Cluster 5	7,5	63,6
05_26_A	Cluster 5	1,5	47	05_26_A	Cluster 5	1,5	62
05_26_B	Cluster 5	4,5	48,7	05_26_B	Cluster 5	4,5	63,7
05_26_C	Cluster 5	7,5	50,4	05_26_C	Cluster 5	7,5	65,4
05_27_A	Cluster 5	1,5	48,7	05_27_A	Cluster 5	1,5	63,7
05_27_B	Cluster 5	4,5	50,6	05_27_B	Cluster 5	4,5	65,6
05_27_C	Cluster 5	7,5	51,9	05_27_C	Cluster 5	7,5	66,9
05_28_A	Cluster 5	1,5	48,1	05_28_A	Cluster 5	1,5	63,1
05_28_B	Cluster 5	4,5	49,8	05_28_B	Cluster 5	4,5	64,8
05_28_C	Cluster 5	7,5	50,5	05_28_C	Cluster 5	7,5	65,5
05_29_A	Cluster 5	1,5	46,7	05_29_A	Cluster 5	1,5	61,7
05_29_B	Cluster 5	4,5	47,4	05_29_B	Cluster 5	4,5	62,4
05_29_C	Cluster 5	7,5	48,1	05_29_C	Cluster 5	7,5	63,1
05_30_A	Cluster 5	1,5	41,4	05_30_A	Cluster 5	1,5	56,4
05_30_B	Cluster 5	4,5	41,9	05_30_B	Cluster 5	4,5	56,9
05_30_C	Cluster 5	7,5	43,9	05_30_C	Cluster 5	7,5	58,9
05_31_A	Cluster 5	1,5	38,8	05_31_A	Cluster 5	1,5	53,8
05_31_B	Cluster 5	4,5	40,6	05_31_B	Cluster 5	4,5	55,6
05_31_C	Cluster 5	7,5	42,8	05_31_C	Cluster 5	7,5	57,8
05_32_A	Cluster 5	1,5	39,8	05_32_A	Cluster 5	1,5	54,8
05_32_B	Cluster 5	4,5	41,3	05_32_B	Cluster 5	4,5	56,3
05_32_C	Cluster 5	7,5	44,1	05_32_C	Cluster 5	7,5	59,1
05_33_A	Cluster 5	1,5	41,6	05_33_A	Cluster 5	1,5	56,6

Bijlage IV-3 Rekenresultaten L_{Ar,LT} en L_{Amax} avondperiode wedstrijddag

Rekenresultaten L _{Ar,LT} avond wedstrijddag				Rekenresultaten L _{Amax} avond wedstrijddag			
Naam	Omschrijving	Hoogte	Avond	Naam	Omschrijving	Hoogte	Avond
05_33_B	Cluster 5	4,5	42,8	05_33_B	Cluster 5	4,5	57,8
05_33_C	Cluster 5	7,5	44,6	05_33_C	Cluster 5	7,5	59,6
05_34_A	Cluster 5	1,5	47,8	05_34_A	Cluster 5	1,5	62,8
05_34_B	Cluster 5	4,5	48,8	05_34_B	Cluster 5	4,5	63,8
05_34_C	Cluster 5	7,5	49,5	05_34_C	Cluster 5	7,5	64,5
05_35_A	Cluster 5	1,5	50,2	05_35_A	Cluster 5	1,5	65,2
05_35_B	Cluster 5	4,5	52,4	05_35_B	Cluster 5	4,5	67,4
05_35_C	Cluster 5	7,5	53	05_35_C	Cluster 5	7,5	68
05_36_A	Cluster 5	1,5	48,4	05_36_A	Cluster 5	1,5	63,4
05_36_B	Cluster 5	4,5	49,8	05_36_B	Cluster 5	4,5	64,8
05_36_C	Cluster 5	7,5	51,8	05_36_C	Cluster 5	7,5	66,8
S_01_A	SMCD	2	41,8	S_01_A	SMCD	2	56,8
S_01_B	SMCD	5	43,5	S_01_B	SMCD	5	58,5
S_02_A	SMCD	2	43,1	S_02_A	SMCD	2	58,1
S_02_B	SMCD	5	44,9	S_02_B	SMCD	5	59,9
S_03_A	SMCD	2	43,2	S_03_A	SMCD	2	58,2
S_03_B	SMCD	5	44,8	S_03_B	SMCD	5	59,8
S_04_A	SMCD	2	42,2	S_04_A	SMCD	2	57,2
S_04_B	SMCD	5	43,7	S_04_B	SMCD	5	58,7
S_05_A	SMCD	2	36,8	S_05_A	SMCD	2	51,8
S_05_B	SMCD	5	38,2	S_05_B	SMCD	5	53,2
S_06_A	SMCD	2	39,7	S_06_A	SMCD	2	54,7
S_06_B	SMCD	5	40,7	S_06_B	SMCD	5	55,7
S_07_A	SMCD	2	40,7	S_07_A	SMCD	2	55,7
S_07_B	SMCD	5	40,5	S_07_B	SMCD	5	55,5
S_08_A	SMCD	1,5	48,4	S_08_A	SMCD	1,5	63,4
S_08_B	SMCD	5	54,1	S_08_B	SMCD	5	69,1
S_08_C	SMCD	8,5	53,9	S_08_C	SMCD	8,5	68,9
S_08_D	SMCD	12	54,6	S_08_D	SMCD	12	69,6
S_09_A	SMCD	1,5	47,7	S_09_A	SMCD	1,5	62,7
S_09_B	SMCD	5	53,9	S_09_B	SMCD	5	68,9
S_09_C	SMCD	8,5	54,1	S_09_C	SMCD	8,5	69,1
S_09_D	SMCD	12	54,9	S_09_D	SMCD	12	69,9
S_10_A	SMCD	1,5	46,9	S_10_A	SMCD	1,5	61,9
S_10_B	SMCD	5	51,5	S_10_B	SMCD	5	66,5
S_10_C	SMCD	8,5	54,7	S_10_C	SMCD	8,5	69,7
S_10_D	SMCD	12	55,7	S_10_D	SMCD	12	70,7
S_11_A	SMCD	1,5	46,4	S_11_A	SMCD	1,5	61,4
S_11_B	SMCD	5	49,5	S_11_B	SMCD	5	64,5
S_11_C	SMCD	8,5	54,7	S_11_C	SMCD	8,5	69,7
S_11_D	SMCD	12	55,6	S_11_D	SMCD	12	70,6
S_12_A	SMCD	1,5	45,7	S_12_A	SMCD	1,5	60,7
S_12_B	SMCD	5	48,6	S_12_B	SMCD	5	63,6
S_12_C	SMCD	8,5	55	S_12_C	SMCD	8,5	70
S_12_D	SMCD	12	56	S_12_D	SMCD	12	71
S_13_A	SMCD	1,5	45,3	S_13_A	SMCD	1,5	60,3
S_13_B	SMCD	5	47,9	S_13_B	SMCD	5	62,9
S_13_C	SMCD	8,5	55,5	S_13_C	SMCD	8,5	70,5
S_13_D	SMCD	12	56,6	S_13_D	SMCD	12	71,6
S_14_A	SMCD	1,5	44,9	S_14_A	SMCD	1,5	59,9
S_15_A	SMCD	1,5	40,8	S_15_A	SMCD	1,5	55,8
S_16_A	SMCD	1,5	43,1	S_16_A	SMCD	1,5	58,1
S_17_A	SMCD	5	47,4	S_17_A	SMCD	5	62,4
S_17_B	SMCD	8,5	58,1	S_17_B	SMCD	8,5	73,1
S_17_C	SMCD	12	59,3	S_17_C	SMCD	12	74,3
S_18_A	SMCD	1,5	42	S_18_A	SMCD	1,5	57
S_18_B	SMCD	5	47,7	S_18_B	SMCD	5	62,7
S_18_C	SMCD	8,5	58	S_18_C	SMCD	8,5	73
S_18_D	SMCD	12	59,3	S_18_D	SMCD	12	74,3
S_19_A	SMCD	1,5	46,4	S_19_A	SMCD	1,5	61,4
S_19_B	SMCD	5	54,7	S_19_B	SMCD	5	69,7
S_19_C	SMCD	8,5	58,1	S_19_C	SMCD	8,5	73,1
S_20_A	SMCD	1,5	47,1	S_20_A	SMCD	1,5	62,1
S_20_B	SMCD	5	56,1	S_20_B	SMCD	5	71,1
S_20_C	SMCD	8,5	57,7	S_20_C	SMCD	8,5	72,7
S_21_A	SMCD	1,5	47,1	S_21_A	SMCD	1,5	62,1

Bijlage IV-3 Rekenresultaten L_{Ar,LT} en L_{Amax} avondperiode wedstrijddag

Rekenresultaten L _{Ar,LT} avond wedstrijddag				Rekenresultaten L _{Amax} avond wedstrijddag			
Naam	Omschrijving	Hoogte	Avond	Naam	Omschrijving	Hoogte	Avond
S_21_B	SMCD	5	49,1	S_21_B	SMCD	5	64,1
S_21_C	SMCD	8,5	56,4	S_21_C	SMCD	8,5	71,4
S_22_A	SMCD	1,5	52,9	S_22_A	SMCD	1,5	67,9
S_22_B	SMCD	5	57,7	S_22_B	SMCD	5	72,7
S_22_C	SMCD	8,5	59,2	S_22_C	SMCD	8,5	74,2
S_23_A	SMCD	1,5	52,6	S_23_A	SMCD	1,5	67,6
S_23_B	SMCD	5	57,8	S_23_B	SMCD	5	72,8
S_23_C	SMCD	8,5	59,4	S_23_C	SMCD	8,5	74,4
S_24_A	SMCD	1,5	52,8	S_24_A	SMCD	1,5	67,8
S_24_B	SMCD	5	58	S_24_B	SMCD	5	73
S_24_C	SMCD	8,5	59,7	S_24_C	SMCD	8,5	74,7
S_24_D	SMCD	12	59,2	S_24_D	SMCD	12	74,2
S_25_A	SMCD	1,5	51,5	S_25_A	SMCD	1,5	66,5
S_25_B	SMCD	5	54,8	S_25_B	SMCD	5	69,8
S_25_C	SMCD	8,5	57,7	S_25_C	SMCD	8,5	72,7
S_25_D	SMCD	12	58,8	S_25_D	SMCD	12	73,8
S_26_A	SMCD	1,5	51,6	S_26_A	SMCD	1,5	66,6
S_26_B	SMCD	5	56,1	S_26_B	SMCD	5	71,1
S_26_C	SMCD	8,5	57,8	S_26_C	SMCD	8,5	72,8
S_26_D	SMCD	12	58,6	S_26_D	SMCD	12	73,6
S_27_A	SMCD	1,5	50,9	S_27_A	SMCD	1,5	65,9
S_27_B	SMCD	5	56	S_27_B	SMCD	5	71
S_27_C	SMCD	8,5	57,5	S_27_C	SMCD	8,5	72,5
S_27_D	SMCD	12	58,5	S_27_D	SMCD	12	73,5
S_28_A	SMCD	1,5	49,8	S_28_A	SMCD	1,5	64,8
S_28_B	SMCD	5	56,3	S_28_B	SMCD	5	71,3
S_28_C	SMCD	8,5	57,6	S_28_C	SMCD	8,5	72,6
S_28_D	SMCD	12	58,4	S_28_D	SMCD	12	73,4
S_29_A	SMCD	1,5	45,7	S_29_A	SMCD	1,5	60,7
S_29_B	SMCD	5	52,9	S_29_B	SMCD	5	67,9
S_29_C	SMCD	8,5	57,5	S_29_C	SMCD	8,5	72,5
S_29_D	SMCD	12	58,4	S_29_D	SMCD	12	73,4
S_30_A	SMCD	1,5	44,9	S_30_A	SMCD	1,5	59,9
S_30_B	SMCD	5	52,3	S_30_B	SMCD	5	67,3
S_30_C	SMCD	8,5	57,3	S_30_C	SMCD	8,5	72,3
S_30_D	SMCD	12	58,2	S_30_D	SMCD	12	73,2
S_31_A	SMCD	1,5	46,3	S_31_A	SMCD	1,5	61,3
S_31_B	SMCD	5	50,6	S_31_B	SMCD	5	65,6
S_31_C	SMCD	8,5	56,9	S_31_C	SMCD	8,5	71,9
S_31_D	SMCD	12	58,6	S_31_D	SMCD	12	73,6
S_32_A	SMCD	1,5	43,3	S_32_A	SMCD	1,5	58,3
S_32_B	SMCD	5	47,4	S_32_B	SMCD	5	62,4
S_32_C	SMCD	8,5	46,9	S_32_C	SMCD	8,5	61,9
S_32_D	SMCD	12	48,3	S_32_D	SMCD	12	63,3
S_33_A	SMCD	1,5	41,7	S_33_A	SMCD	1,5	56,7
S_33_B	SMCD	5	42,1	S_33_B	SMCD	5	57,1
S_33_C	SMCD	8,5	44,6	S_33_C	SMCD	8,5	59,6
S_33_D	SMCD	12	41,5	S_33_D	SMCD	12	56,5
S_34_A	SMCD	1,5	40,8	S_34_A	SMCD	1,5	55,8
S_34_B	SMCD	5	41,1	S_34_B	SMCD	5	56,1
S_34_C	SMCD	8,5	44,2	S_34_C	SMCD	8,5	59,2
S_34_D	SMCD	12	51,1	S_34_D	SMCD	12	66,1
S_35_A	SMCD	1,5	41,1	S_35_A	SMCD	1,5	56,1
S_35_B	SMCD	5	41,1	S_35_B	SMCD	5	56,1
S_35_C	SMCD	8,5	44,3	S_35_C	SMCD	8,5	59,3
S_35_D	SMCD	12	52,5	S_35_D	SMCD	12	67,5
S_36_A	SMCD	1,5	41	S_36_A	SMCD	1,5	56
S_36_B	SMCD	5	41,5	S_36_B	SMCD	5	56,5
S_36_C	SMCD	8,5	44,3	S_36_C	SMCD	8,5	59,3
S_36_D	SMCD	12	41,6	S_36_D	SMCD	12	56,6
S_37_A	SMCD	1,5	40,7	S_37_A	SMCD	1,5	55,7
S_37_B	SMCD	5	41,4	S_37_B	SMCD	5	56,4
S_37_C	SMCD	8,5	45,3	S_37_C	SMCD	8,5	60,3
S_37_D	SMCD	12	51,4	S_37_D	SMCD	12	66,4
S_38_A	SMCD	1,5	39,5	S_38_A	SMCD	1,5	54,5
S_38_B	SMCD	5	40,1	S_38_B	SMCD	5	55,1

Bijlage IV-3 Rekenresultaten L_{Ar,LT} en L_{Amax} avondperiode wedstrijddag

Rekenresultaten L _{Ar,LT} avond wedstrijddag				Rekenresultaten L _{Amax} avond wedstrijddag			
Naam	Omschrijving	Hoogte	Avond	Naam	Omschrijving	Hoogte	Avond
S_38_C	SMCD	8,5	44,5	S_38_C	SMCD	8,5	59,5
S_38_D	SMCD	12	54,3	S_38_D	SMCD	12	69,3
S_39_A	SMCD	1,5	38,8	S_39_A	SMCD	1,5	53,8
S_39_B	SMCD	5	38,6	S_39_B	SMCD	5	53,6
S_39_C	SMCD	8,5	40,7	S_39_C	SMCD	8,5	55,7
S_40_A	SMCD	1,5	38,4	S_40_A	SMCD	1,5	53,4
S_40_B	SMCD	5	38,2	S_40_B	SMCD	5	53,2
S_40_C	SMCD	8,5	40,6	S_40_C	SMCD	8,5	55,6
S_41_A	SMCD	1,5	38,9	S_41_A	SMCD	1,5	53,9
S_41_B	SMCD	5	38,1	S_41_B	SMCD	5	53,1
S_41_C	SMCD	8,5	40,4	S_41_C	SMCD	8,5	55,4
S_42_A	SMCD	1,5	38,8	S_42_A	SMCD	1,5	53,8
S_42_B	SMCD	5	38,2	S_42_B	SMCD	5	53,2
S_42_C	SMCD	8,5	40,6	S_42_C	SMCD	8,5	55,6
S_43_A	SMCD	1,5	42	S_43_A	SMCD	1,5	57
S_43_B	SMCD	5	39,4	S_43_B	SMCD	5	54,4
S_43_C	SMCD	8,5	44,2	S_43_C	SMCD	8,5	59,2
S_43_D	SMCD	12	50,3	S_43_D	SMCD	12	65,3
S_44_A	SMCD	1,5	43,6	S_44_A	SMCD	1,5	58,6
S_44_B	SMCD	5	39,8	S_44_B	SMCD	5	54,8
S_44_C	SMCD	8,5	43,6	S_44_C	SMCD	8,5	58,6
S_44_D	SMCD	12	50,4	S_44_D	SMCD	12	65,4
S_45_A	SMCD	1,5	45,1	S_45_A	SMCD	1,5	60,1
S_45_B	SMCD	5	39,9	S_45_B	SMCD	5	54,9
S_45_C	SMCD	8,5	43,2	S_45_C	SMCD	8,5	58,2
S_45_D	SMCD	12	50,1	S_45_D	SMCD	12	65,1
S_46_A	SMCD	1,5	46,9	S_46_A	SMCD	1,5	61,9
S_46_B	SMCD	5	44,1	S_46_B	SMCD	5	59,1
S_46_C	SMCD	8,5	43,3	S_46_C	SMCD	8,5	58,3
S_46_D	SMCD	12	50,2	S_46_D	SMCD	12	65,2
S_47_A	SMCD	1,5	48,4	S_47_A	SMCD	1,5	63,4
S_47_B	SMCD	5	47,8	S_47_B	SMCD	5	62,8
S_47_C	SMCD	8,5	44	S_47_C	SMCD	8,5	59
S_47_D	SMCD	12	50,4	S_47_D	SMCD	12	65,4
S_48_A	SMCD	1,5	50	S_48_A	SMCD	1,5	65
S_48_B	SMCD	5	49	S_48_B	SMCD	5	64
S_48_C	SMCD	8,5	44,4	S_48_C	SMCD	8,5	59,4
S_48_D	SMCD	12	47,4	S_48_D	SMCD	12	62,4
S_49_A	SMCD	1,5	38,3	S_49_A	SMCD	1,5	53,3
S_49_B	SMCD	5	36,7	S_49_B	SMCD	5	51,7
S_49_C	SMCD	8,5	37,7	S_49_C	SMCD	8,5	52,7
S_49_D	SMCD	12	40,1	S_49_D	SMCD	12	55,1
S_50_A	SMCD	1,5	37,7	S_50_A	SMCD	1,5	52,7
S_50_B	SMCD	5	36,2	S_50_B	SMCD	5	51,2
S_50_C	SMCD	8,5	37,2	S_50_C	SMCD	8,5	52,2
S_50_D	SMCD	12	39,6	S_50_D	SMCD	12	54,6
S_51_A	SMCD	1,5	37,1	S_51_A	SMCD	1,5	52,1
S_51_B	SMCD	5	36	S_51_B	SMCD	5	51
S_51_C	SMCD	8,5	37	S_51_C	SMCD	8,5	52
S_51_D	SMCD	12	39,5	S_51_D	SMCD	12	54,5
S_52_A	SMCD	1,5	37	S_52_A	SMCD	1,5	52
S_52_B	SMCD	5	36,1	S_52_B	SMCD	5	51,1
S_52_C	SMCD	8,5	37,1	S_52_C	SMCD	8,5	52,1
S_52_D	SMCD	12	39,5	S_52_D	SMCD	12	54,5
S_53_A	SMCD	1,5	36,4	S_53_A	SMCD	1,5	51,4
S_53_B	SMCD	5	36	S_53_B	SMCD	5	51
S_53_C	SMCD	8,5	37,1	S_53_C	SMCD	8,5	52,1
S_53_D	SMCD	12	39,5	S_53_D	SMCD	12	54,5
S_54_A	SMCD	1,5	36,6	S_54_A	SMCD	1,5	51,6
S_54_B	SMCD	5	35,9	S_54_B	SMCD	5	50,9
S_54_C	SMCD	8,5	37,1	S_54_C	SMCD	8,5	52,1
S_54_D	SMCD	12	40,5	S_54_D	SMCD	12	55,5
S_55_A	SMCD	1,5	36,1	S_55_A	SMCD	1,5	51,1
S_55_B	SMCD	5	35,7	S_55_B	SMCD	5	50,7
S_55_C	SMCD	8,5	36,9	S_55_C	SMCD	8,5	51,9
S_55_D	SMCD	12	40,3	S_55_D	SMCD	12	55,3

Bijlage IV-3 Rekenresultaten L_{Ar,LT} en L_{Amax} avondperiode wedstrijddag

Rekenresultaten L _{Ar,LT} avond wedstrijddag				Rekenresultaten L _{Amax} avond wedstrijddag			
Naam	Omschrijving	Hoogte	Avond	Naam	Omschrijving	Hoogte	Avond
S_56_A	SMCD	1,5	36,4	S_56_A	SMCD	1,5	51,4
S_56_B	SMCD	5	35,5	S_56_B	SMCD	5	50,5
S_56_C	SMCD	8,5	36,8	S_56_C	SMCD	8,5	51,8
S_56_D	SMCD	12	40,3	S_56_D	SMCD	12	55,3
S_57_A	SMCD	1,5	35,7	S_57_A	SMCD	1,5	50,7
S_57_B	SMCD	5	35,4	S_57_B	SMCD	5	50,4
S_57_C	SMCD	8,5	36,7	S_57_C	SMCD	8,5	51,7
S_57_D	SMCD	12	40,2	S_57_D	SMCD	12	55,2
S_58_A	SMCD	1,5	43,7	S_58_A	SMCD	1,5	58,7
S_58_B	SMCD	5	35,2	S_58_B	SMCD	5	50,2
S_58_C	SMCD	8,5	36,6	S_58_C	SMCD	8,5	51,6
S_58_D	SMCD	12	40	S_58_D	SMCD	12	55
S_59_A	SMCD	1,5	35,1	S_59_A	SMCD	1,5	50,1
S_59_B	SMCD	5	35,1	S_59_B	SMCD	5	50,1
S_59_C	SMCD	8,5	36,4	S_59_C	SMCD	8,5	51,4
S_59_D	SMCD	12	38,8	S_59_D	SMCD	12	53,8
S_60_A	SMCD	1,5	35,1	S_60_A	SMCD	1,5	50,1
S_60_B	SMCD	5	35,1	S_60_B	SMCD	5	50,1
S_60_C	SMCD	8,5	36,6	S_60_C	SMCD	8,5	51,6
S_60_D	SMCD	12	40,1	S_60_D	SMCD	12	55,1
S_61_A	SMCD	1,5	42,2	S_61_A	SMCD	1,5	57,2
S_61_B	SMCD	5	35,1	S_61_B	SMCD	5	50,1
S_61_C	SMCD	8,5	37	S_61_C	SMCD	8,5	52
S_61_D	SMCD	12	42,4	S_61_D	SMCD	12	57,4
S_62_A	SMCD	1,5	36,7	S_62_A	SMCD	1,5	51,7
S_62_B	SMCD	5	37,8	S_62_B	SMCD	5	52,8
S_62_C	SMCD	8,5	42,1	S_62_C	SMCD	8,5	57,1
S_63_A	SMCD	1,5	43,1	S_63_A	SMCD	1,5	58,1
S_63_B	SMCD	5	39,8	S_63_B	SMCD	5	54,8
S_63_C	SMCD	8,5	44,2	S_63_C	SMCD	8,5	59,2
S_64_A	SMCD	1,5	40,1	S_64_A	SMCD	1,5	55,1
S_64_B	SMCD	5	40,4	S_64_B	SMCD	5	55,4
S_64_C	SMCD	8,5	45	S_64_C	SMCD	8,5	60
S_65_A	SMCD	1,5	39	S_65_A	SMCD	1,5	54
S_65_B	SMCD	5	42,3	S_65_B	SMCD	5	57,3
S_65_C	SMCD	8,5	35,8	S_65_C	SMCD	8,5	50,8
S_66_A	SMCD	1,5	39,6	S_66_A	SMCD	1,5	54,6
S_66_B	SMCD	5	42,2	S_66_B	SMCD	5	57,2
S_66_C	SMCD	8,5	36,4	S_66_C	SMCD	8,5	51,4
S_67_A	SMCD	1,5	40,6	S_67_A	SMCD	1,5	55,6
S_67_B	SMCD	5	42,4	S_67_B	SMCD	5	57,4
S_67_C	SMCD	8,5	36,8	S_67_C	SMCD	8,5	51,8
S_68_A	SMCD	1,5	40,3	S_68_A	SMCD	1,5	55,3
S_68_B	SMCD	5	43	S_68_B	SMCD	5	58
S_68_C	SMCD	8,5	37,3	S_68_C	SMCD	8,5	52,3
S_69_A	SMCD	1,5	39,8	S_69_A	SMCD	1,5	54,8
S_69_B	SMCD	5	40,8	S_69_B	SMCD	5	55,8
S_69_C	SMCD	8,5	37,9	S_69_C	SMCD	8,5	52,9
S_70_A	SMCD	1,5	40,7	S_70_A	SMCD	1,5	55,7
S_70_B	SMCD	5	37,2	S_70_B	SMCD	5	52,2
S_70_C	SMCD	8,5	37,6	S_70_C	SMCD	8,5	52,6
S_70_D	SMCD	12	39,9	S_70_D	SMCD	12	54,9
S_71_A	SMCD	1,5	42,8	S_71_A	SMCD	1,5	57,8
S_71_B	SMCD	5	35,7	S_71_B	SMCD	5	50,7
S_71_C	SMCD	8,5	36,5	S_71_C	SMCD	8,5	51,5
S_71_D	SMCD	12	39,3	S_71_D	SMCD	12	54,3
S_72_A	SMCD	1,5	39	S_72_A	SMCD	1,5	54
S_72_B	SMCD	5	42	S_72_B	SMCD	5	57
S_72_C	SMCD	8,5	36,6	S_72_C	SMCD	8,5	51,6
S_72_D	SMCD	12	39,3	S_72_D	SMCD	12	54,3
S_73_A	SMCD	1,5	37,9	S_73_A	SMCD	1,5	52,9
S_73_B	SMCD	5	40,8	S_73_B	SMCD	5	55,8
S_73_C	SMCD	8,5	37,4	S_73_C	SMCD	8,5	52,4
S_73_D	SMCD	12	40	S_73_D	SMCD	12	55
S_74_A	SMCD	1,5	41,5	S_74_A	SMCD	1,5	56,5
S_74_B	SMCD	5	41,6	S_74_B	SMCD	5	56,6

Bijlage IV-3 Rekenresultaten L_{Ar,LT} en L_{Amax} avondperiode wedstrijddag

Rekenresultaten L _{Ar,LT} avond wedstrijddag				Rekenresultaten L _{Amax} avond wedstrijddag			
Naam	Omschrijving	Hoogte	Avond	Naam	Omschrijving	Hoogte	Avond
S_74_C	SMCD	8,5	37,6	S_74_C	SMCD	8,5	52,6
S_74_D	SMCD	12	40,1	S_74_D	SMCD	12	55,1
S_75_A	SMCD	1,5	45,1	S_75_A	SMCD	1,5	60,1
S_75_B	SMCD	5	44,7	S_75_B	SMCD	5	59,7
S_75_C	SMCD	8,5	38	S_75_C	SMCD	8,5	53
S_75_D	SMCD	12	40,6	S_75_D	SMCD	12	55,6
S_76_A	SMCD	1,5	39,9	S_76_A	SMCD	1,5	54,9
S_76_B	SMCD	5	41,4	S_76_B	SMCD	5	56,4
S_76_C	SMCD	8,5	45,2	S_76_C	SMCD	8,5	60,2
S_76_D	SMCD	12	53,7	S_76_D	SMCD	12	68,7
S_77_A	SMCD	1,5	40,2	S_77_A	SMCD	1,5	55,2
S_77_B	SMCD	5	41,5	S_77_B	SMCD	5	56,5
S_77_C	SMCD	8,5	45,2	S_77_C	SMCD	8,5	60,2
S_77_D	SMCD	12	53,8	S_77_D	SMCD	12	68,8
S_78_A	SMCD	1,5	40,8	S_78_A	SMCD	1,5	55,8
S_78_B	SMCD	5	42,5	S_78_B	SMCD	5	57,5
S_78_C	SMCD	8,5	47,1	S_78_C	SMCD	8,5	62,1
S_78_D	SMCD	12	46,8	S_78_D	SMCD	12	61,8
S_79_A	SMCD	1,5	42,4	S_79_A	SMCD	1,5	57,4
S_79_B	SMCD	5	44,9	S_79_B	SMCD	5	59,9
S_79_C	SMCD	8,5	50,4	S_79_C	SMCD	8,5	65,4
S_79_D	SMCD	12	41,1	S_79_D	SMCD	12	56,1
S_80_A	SMCD	1,5	43,5	S_80_A	SMCD	1,5	58,5
S_80_B	SMCD	5	46,9	S_80_B	SMCD	5	61,9
S_80_C	SMCD	8,5	53	S_80_C	SMCD	8,5	68
S_81_A	SMCD	1,5	42,9	S_81_A	SMCD	1,5	57,9
S_81_B	SMCD	5	46,9	S_81_B	SMCD	5	61,9
S_81_C	SMCD	8,5	51,9	S_81_C	SMCD	8,5	66,9
S_82_A	SMCD	1,5	42,3	S_82_A	SMCD	1,5	57,3
S_82_B	SMCD	5	47	S_82_B	SMCD	5	62
S_82_C	SMCD	8,5	52,7	S_82_C	SMCD	8,5	67,7
S_83_A	SMCD	1,5	42	S_83_A	SMCD	1,5	57
S_83_B	SMCD	5	46,6	S_83_B	SMCD	5	61,6
S_83_C	SMCD	8,5	52,5	S_83_C	SMCD	8,5	67,5
S_84_A	SMCD	1,5	43	S_84_A	SMCD	1,5	58
S_84_B	SMCD	5	48,3	S_84_B	SMCD	5	63,3
S_84_C	SMCD	8,5	52,7	S_84_C	SMCD	8,5	67,7
S_85_A	SMCD	1,5	42,4	S_85_A	SMCD	1,5	57,4
S_85_B	SMCD	5	46,8	S_85_B	SMCD	5	61,8
S_85_C	SMCD	8,5	52,1	S_85_C	SMCD	8,5	67,1
S_85_D	SMCD	12	41,9	S_85_D	SMCD	12	56,9
S_86_A	SMCD	1,5	41	S_86_A	SMCD	1,5	56
S_86_B	SMCD	5	44,7	S_86_B	SMCD	5	59,7
S_86_C	SMCD	8,5	51,2	S_86_C	SMCD	8,5	66,2
S_86_D	SMCD	12	45,4	S_86_D	SMCD	12	60,4
S_87_A	SMCD	1,5	39,8	S_87_A	SMCD	1,5	54,8
S_87_B	SMCD	5	42,6	S_87_B	SMCD	5	57,6
S_87_C	SMCD	8,5	50,5	S_87_C	SMCD	8,5	65,5
S_87_D	SMCD	12	50,4	S_87_D	SMCD	12	65,4
S_88_A	SMCD	1,5	40,1	S_88_A	SMCD	1,5	55,1
S_88_B	SMCD	5	43,8	S_88_B	SMCD	5	58,8
S_88_C	SMCD	8,5	52,8	S_88_C	SMCD	8,5	67,8
S_88_D	SMCD	12	55,4	S_88_D	SMCD	12	70,4
S_89_A	SMCD	1,5	39,6	S_89_A	SMCD	1,5	54,6
S_89_B	SMCD	5	43,2	S_89_B	SMCD	5	58,2
S_89_C	SMCD	8,5	53,7	S_89_C	SMCD	8,5	68,7
S_89_D	SMCD	12	55,6	S_89_D	SMCD	12	70,6
S_90_A	SMCD	1,5	41,4	S_90_A	SMCD	1,5	56,4
S_90_B	SMCD	5	44,8	S_90_B	SMCD	5	59,8
S_90_C	SMCD	8,5	55,5	S_90_C	SMCD	8,5	70,5
S_90_D	SMCD	12	56,5	S_90_D	SMCD	12	71,5
S_91_A	SMCD	1,5	40,8	S_91_A	SMCD	1,5	55,8
S_91_B	SMCD	5	44,3	S_91_B	SMCD	5	59,3
S_91_C	SMCD	8,5	55,2	S_91_C	SMCD	8,5	70,2
S_91_D	SMCD	12	56,6	S_91_D	SMCD	12	71,6
S_92_A	SMCD	1,5	40,7	S_92_A	SMCD	1,5	55,7

Bijlage IV-3 Rekenresultaten $L_{Ar,LT}$ en L_{Amax} avondperiode wedstrijddag

Rekenresultaten $L_{Ar,LT}$ avond wedstrijddag				Rekenresultaten L_{Amax} avond wedstrijddag			
Naam	Omschrijving	Hoogte	Avond	Naam	Omschrijving	Hoogte	Avond
S_92_B	SMCD	5	44,4	S_92_B	SMCD	5	59,4
S_92_C	SMCD	8,5	55,4	S_92_C	SMCD	8,5	70,4
S_92_D	SMCD	12	56,7	S_92_D	SMCD	12	71,7
S_93_A	SMCD	1,5	41	S_93_A	SMCD	1,5	56
S_93_B	SMCD	5	44,7	S_93_B	SMCD	5	59,7
S_93_C	SMCD	8,5	55,4	S_93_C	SMCD	8,5	70,4
S_93_D	SMCD	12	56,7	S_93_D	SMCD	12	71,7
S_94_A	SMCD	1,5	40,8	S_94_A	SMCD	1,5	55,8
S_94_B	SMCD	5	43,9	S_94_B	SMCD	5	58,9
S_94_C	SMCD	8,5	53,5	S_94_C	SMCD	8,5	68,5
S_94_D	SMCD	12	56,6	S_94_D	SMCD	12	71,6
S_95_A	SMCD	1,5	40	S_95_A	SMCD	1,5	55
S_95_B	SMCD	5	42,3	S_95_B	SMCD	5	57,3
S_95_C	SMCD	8,5	49,7	S_95_C	SMCD	8,5	64,7
S_95_D	SMCD	12	55,9	S_95_D	SMCD	12	70,9

Bijlage IV-4 Rekenresultaten indirecte hinder avondperiode wedstrijddag

Naam	Omschrijving	Hoogte	Dag	Avond	Nacht	Etmaal
01_01_A	Cluster 1	1,5	-0,3	4,9	-6,7	9,9
01_01_B	Cluster 1	4,5	-2,1	3,7	-7,9	8,7
01_01_C	Cluster 1	7,5	-0,5	4,9	-6,7	9,9
01_02_A	Cluster 1	1,5	-3,7	1,9	-9,7	6,9
01_02_B	Cluster 1	4,5	-4,8	0,7	-10,9	5,7
01_02_C	Cluster 1	7,5	-0,5	5	-6,5	10
01_03_A	Cluster 1	1,5	-4,2	1,4	-10,1	6,4
01_03_B	Cluster 1	4,5	-5	0,5	-11	5,5
01_03_C	Cluster 1	7,5	-0,1	5,2	-6,3	10,2
01_04_A	Cluster 1	1,5	-3,9	1,7	-9,9	6,7
01_04_B	Cluster 1	4,5	-4,3	1,1	-10,4	6,1
01_04_C	Cluster 1	7,5	0,3	5,6	-6	10,6
01_05_A	Cluster 1	1,5	-1,5	3,8	-7,8	8,8
01_05_B	Cluster 1	4,5	-2	3,5	-8,1	8,4
01_05_C	Cluster 1	7,5	1,3	6,9	-4,6	11,9
01_06_A	Cluster 1	1,5	0,8	6,8	-4,7	11,8
01_06_B	Cluster 1	4,5	3,7	8,9	-2,6	13,9
01_06_C	Cluster 1	7,5	9,3	14,7	3,2	19,7
01_07_A	Cluster 1	1,5	2,4	7,9	-3,6	12,9
01_07_B	Cluster 1	4,5	2,4	7,5	-4,1	12,5
01_07_C	Cluster 1	7,5	4,8	10,1	-1,5	15,1
01_08_A	Cluster 1	1,5	-1,6	3,2	-8,4	8,2
01_08_B	Cluster 1	4,5	-4,8	0,8	-10,7	5,8
01_08_C	Cluster 1	7,5	0,9	6,9	-4,7	11,9
01_09_A	Cluster 1	1,5	-3,2	3,7	-7,8	8,7
01_09_B	Cluster 1	4,5	-4,1	4,3	-7,2	9,3
01_09_C	Cluster 1	7,5	0,8	6,9	-4,7	11,9
01_10_A	Cluster 1	1,5	0,3	5,8	-5,8	10,8
01_10_B	Cluster 1	4,5	1,6	7,3	-4,3	12,3
01_10_C	Cluster 1	7,5	0,7	6,3	-5,2	11,3
01_100_A	Cluster 1	1,5	2,5	7,9	-3,7	12,9
01_100_B	Cluster 1	4,5	6,2	11,4	-0,1	16,4
01_100_C	Cluster 1	7,5	9,3	14,7	3,2	19,7
01_101_A	Cluster 1	1,5	6,3	11,6	0	16,6
01_101_B	Cluster 1	4,5	6,6	11,9	0,4	16,9
01_101_C	Cluster 1	7,5	10,9	16,1	4,6	21,1
01_11_A	Cluster 1	1,5	0,5	4,8	-6,7	9,8
01_11_B	Cluster 1	4,5	3,2	7,3	-4,3	12,3
01_11_C	Cluster 1	7,5	0,5	5,7	-5,9	10,7
01_12_A	Cluster 1	1,5	-0,1	5,6	-6	10,6
01_12_B	Cluster 1	4,5	1,3	6,8	-4,7	11,8
01_13_A	Cluster 1	1,5	2,5	7,7	-3,8	12,7
01_13_B	Cluster 1	4,5	3,9	8,9	-2,7	13,9
01_14_A	Cluster 1	1,5	5,3	10,1	-1,5	15,1
01_14_B	Cluster 1	4,5	6,6	11,7	0,1	16,7
01_15_A	Cluster 1	1,5	5,5	10,5	-1	15,5
01_15_B	Cluster 1	4,5	6,6	12	0,4	17
01_16_A	Cluster 1	1,5	5,9	11,3	-0,2	16,3
01_16_B	Cluster 1	4,5	7,5	12,6	1,1	17,6
01_16_C	Cluster 1	7,5	10,2	15,6	4,1	20,6
01_17_A	Cluster 1	1,5	4,9	10,9	-0,7	15,9
01_17_B	Cluster 1	4,5	6,5	12,5	1	17,5
01_17_C	Cluster 1	7,5	9,4	16	4,5	21
01_18_A	Cluster 1	1,5	5,2	10,4	-1,2	15,4
01_18_B	Cluster 1	4,5	6,4	11,8	0,2	16,8
01_18_C	Cluster 1	7,5	8,2	13,9	2,4	18,9
01_19_A	Cluster 1	1,5	6,4	11,8	0,2	16,8
01_19_B	Cluster 1	4,5	7,2	12,8	1,2	17,8
01_19_C	Cluster 1	7,5	8,7	14,2	2,7	19,2
01_20_A	Cluster 1	1,5	6,5	11,6	0	16,6
01_20_B	Cluster 1	4,5	7,8	12,8	1,2	17,8
01_20_C	Cluster 1	7,5	9	14,1	2,5	19,1
01_21_A	Cluster 1	1,5	6,8	11,7	0,2	16,7
01_21_B	Cluster 1	4,5	7	12,4	0,8	17,4
01_21_C	Cluster 1	7,5	8,4	13,8	2,2	18,8
01_22_A	Cluster 1	1,5	6,5	12	0,5	17
01_22_B	Cluster 1	4,5	7,7	13,2	1,6	18,2
01_22_C	Cluster 1	7,5	8,9	14	2,5	19

Bijlage IV-4 Rekenresultaten indirecte hinder avondperiode wedstrijddag

Naam	Omschrijving	Hoogte	Dag	Avond	Nacht	Etmaal
01_23_A	Cluster 1	1,5	8,4	13,2	1,6	18,2
01_23_B	Cluster 1	4,5	9,2	14,2	2,7	19,2
01_23_C	Cluster 1	7,5	10,2	15,3	3,7	20,3
01_24_A	Cluster 1	1,5	9,6	14,3	2,7	19,3
01_24_B	Cluster 1	4,5	10,9	15,3	3,8	20,3
01_24_C	Cluster 1	7,5	10,9	15,8	4,3	20,8
01_25_A	Cluster 1	1,5	6,6	12,4	0,9	17,4
01_25_B	Cluster 1	4,5	7,9	13,4	1,8	18,4
01_26_A	Cluster 1	1,5	5,8	11,9	0,4	16,9
01_26_B	Cluster 1	4,5	7	13,2	1,7	18,2
01_27_A	Cluster 1	1,5	6,6	12,6	1	17,6
01_27_B	Cluster 1	4,5	8	13,9	2,3	18,9
01_28_A	Cluster 1	1,5	7,4	13	1,5	18
01_28_B	Cluster 1	4,5	9	14,5	3	19,5
01_29_A	Cluster 1	1,5	8,4	13,7	2,2	18,7
01_29_B	Cluster 1	4,5	9,7	15	3,4	20
01_29_C	Cluster 1	7,5	11	16,7	5,2	21,7
01_30_A	Cluster 1	1,5	9,2	14,4	2,8	19,4
01_30_B	Cluster 1	4,5	10,7	15,9	4,4	20,9
01_30_C	Cluster 1	7,5	12,6	18	6,4	23
01_31_A	Cluster 1	1,5	9	14,4	2,8	19,4
01_31_B	Cluster 1	4,5	10,5	15,7	4,2	20,7
01_31_C	Cluster 1	7,5	14,5	19,8	8,2	24,8
01_32_A	Cluster 1	1,5	8,9	14,1	2,5	19,1
01_32_B	Cluster 1	4,5	10,6	15,9	4,4	20,9
01_32_C	Cluster 1	7,5	15,1	20,1	8,6	25,1
01_33_A	Cluster 1	1,5	8,4	13,5	2	18,5
01_33_B	Cluster 1	4,5	10,1	15,4	3,9	20,4
01_33_C	Cluster 1	7,5	14,6	19,5	8	24,5
01_34_A	Cluster 1	1,5	8,5	14	2,5	19
01_34_B	Cluster 1	4,5	9,9	15,5	4	20,5
01_34_C	Cluster 1	7,5	14,3	19,4	7,8	24,4
01_35_A	Cluster 1	1,5	8,6	14,1	2,5	19,1
01_35_B	Cluster 1	4,5	10,1	15,6	4,1	20,6
01_35_C	Cluster 1	7,5	13,9	19,2	7,7	24,2
01_36_A	Cluster 1	1,5	7,9	13,6	2	18,6
01_36_B	Cluster 1	4,5	9,6	15	3,4	20
01_36_C	Cluster 1	7,5	13,4	18,9	7,4	23,9
01_37_A	Cluster 1	1,5	7,2	13,1	1,5	18,1
01_37_B	Cluster 1	4,5	8,7	14,1	2,6	19,1
01_38_A	Cluster 1	1,5	7,5	13,4	1,9	18,4
01_38_B	Cluster 1	4,5	9,4	15,1	3,6	20,1
01_39_A	Cluster 1	1,5	2,2	7,5	-4,1	12,5
01_39_B	Cluster 1	4,5	8,3	14,6	3	19,6
01_40_A	Cluster 1	1,5	3,1	8,4	-3,2	13,4
01_40_B	Cluster 1	4,5	5,2	10,7	-0,9	15,7
01_41_A	Cluster 1	1,5	2,7	8,3	-3,3	13,3
01_41_B	Cluster 1	4,5	7,6	12,9	1,3	17,9
01_41_C	Cluster 1	7,5	9,6	15,5	4	20,5
01_42_A	Cluster 1	1,5	1,9	7,8	-3,8	12,8
01_42_B	Cluster 1	4,5	3,3	9	-2,6	14
01_42_C	Cluster 1	7,5	9,5	14,8	3,2	19,8
01_43_A	Cluster 1	1,5	3,7	9,5	-2,1	14,5
01_43_B	Cluster 1	4,5	6,4	11,2	-0,4	16,2
01_43_C	Cluster 1	7,5	13,6	18,8	7,2	23,8
01_44_A	Cluster 1	1,5	2,1	7,4	-4,2	12,4
01_44_B	Cluster 1	4,5	4,7	9,6	-2	14,6
01_44_C	Cluster 1	7,5	8,1	12,3	0,7	17,3
01_45_A	Cluster 1	1,5	0,4	6,4	-5,2	11,4
01_45_B	Cluster 1	4,5	2,7	7,5	-4,1	12,5
01_45_C	Cluster 1	7,5	6	11,1	-0,4	16,1
01_46_A	Cluster 1	1,5	0,7	6,3	-5,2	11,3
01_46_B	Cluster 1	4,5	2,9	8,2	-3,3	13,2
01_46_C	Cluster 1	7,5	4,7	9,8	-1,8	14,8
01_47_A	Cluster 1	1,5	-0,2	5,3	-6,3	10,3
01_47_B	Cluster 1	4,5	1,5	7,1	-4,5	12,1
01_47_C	Cluster 1	7,5	0,3	5,9	-5,7	10,9
01_48_A	Cluster 1	1,5	-1,4	4,3	-7,2	9,3

Bijlage IV-4 Rekenresultaten indirecte hinder avondperiode wedstrijddag

Naam	Omschrijving	Hoogte	Dag	Avond	Nacht	Etmaal
01_48_B	Cluster 1	4,5	0,4	6,2	-5,3	11,2
01_48_C	Cluster 1	7,5	-0,6	5,2	-6,4	10,2
01_49_A	Cluster 1	1,5	-2,4	3,4	-8,1	8,4
01_49_B	Cluster 1	4,5	0,1	5,7	-5,9	10,7
01_49_C	Cluster 1	7,5	-1,6	4	-7,5	9
01_50_A	Cluster 1	1,5	-2,7	3	-8,6	8
01_50_B	Cluster 1	4,5	-0,3	5,1	-6,4	10,1
01_50_C	Cluster 1	7,5	-1,8	3,7	-7,8	8,7
01_51_A	Cluster 1	1,5	-3,1	2,5	-9,1	7,5
01_51_B	Cluster 1	4,5	-0,5	4,9	-6,7	9,9
01_51_C	Cluster 1	7,5	-2	3,6	-7,9	8,6
01_52_A	Cluster 1	1,5	-3,3	2,3	-9,2	7,3
01_52_B	Cluster 1	4,5	-0,8	4,7	-6,9	9,7
01_52_C	Cluster 1	7,5	-2,2	3,6	-7,9	8,6
01_53_A	Cluster 1	1,5	-3,4	2,2	-9,3	7,2
01_53_B	Cluster 1	4,5	-0,9	4,6	-7	9,6
01_53_C	Cluster 1	7,5	-1,6	3,8	-7,8	8,8
01_54_A	Cluster 1	1,5	-3,2	2,2	-9,4	7,2
01_54_B	Cluster 1	4,5	-1,1	4,2	-7,4	9,2
01_54_C	Cluster 1	7,5	-1,2	4,2	-7,3	9,2
01_55_A	Cluster 1	1,5	-3,2	2,1	-9,5	7,1
01_55_B	Cluster 1	4,5	-0,9	4,3	-7,3	9,3
01_55_C	Cluster 1	7,5	-1,9	4,1	-7,5	9,1
01_56_A	Cluster 1	1,5	-1,5	3,9	-7,7	8,9
01_56_B	Cluster 1	4,5	-0,2	5,2	-6,4	10,2
01_56_C	Cluster 1	7,5	-2,1	3,5	-8,1	8,4
01_57_A	Cluster 1	1,5	5,1	10,5	-1	15,5
01_57_B	Cluster 1	4,5	6,5	11,7	0,2	16,7
01_57_C	Cluster 1	7,5	11	16,3	4,7	21,3
01_58_A	Cluster 1	1,5	-0,3	5,2	-6,4	10,2
01_58_B	Cluster 1	4,5	2	7,2	-4,3	12,2
01_58_C	Cluster 1	7,5	3,9	9,7	-1,9	14,7
01_59_A	Cluster 1	1,5	4,3	9,9	-1,6	14,9
01_59_B	Cluster 1	4,5	5,1	10,3	-1,3	15,3
01_59_C	Cluster 1	7,5	10	15,4	3,8	20,4
01_60_A	Cluster 1	1,5	3,2	8,5	-3,1	13,5
01_60_B	Cluster 1	4,5	5,4	10,6	-1	15,6
01_60_C	Cluster 1	7,5	10	15,5	4	20,5
01_61_A	Cluster 1	1,5	3,8	9,2	-2,4	14,2
01_61_B	Cluster 1	4,5	5,2	10,2	-1,3	15,2
01_61_C	Cluster 1	7,5	10,1	15,7	4,1	20,7
01_62_A	Cluster 1	1,5	2,2	7,4	-4,2	12,4
01_62_B	Cluster 1	4,5	4,6	9,4	-2,1	14,4
01_62_C	Cluster 1	7,5	9,7	16	4,5	21
01_63_A	Cluster 1	1,5	3,3	8,3	-3,3	13,3
01_63_B	Cluster 1	4,5	3,7	9	-2,6	14
01_63_C	Cluster 1	7,5	9,6	15,7	4,2	20,7
01_64_A	Cluster 1	1,5	-1,4	4,2	-7,4	9,2
01_64_B	Cluster 1	4,5	1,2	6,8	-4,7	11,8
01_64_C	Cluster 1	7,5	8,7	14,8	3,3	19,8
01_65_A	Cluster 1	1,5	-1,6	4,1	-7,5	9,1
01_65_B	Cluster 1	4,5	0,7	6,4	-5,2	11,4
01_65_C	Cluster 1	7,5	7,1	13,4	1,9	18,4
01_66_A	Cluster 1	1,5	1,5	6,7	-4,9	11,7
01_66_B	Cluster 1	4,5	0,6	6,2	-5,4	11,2
01_67_A	Cluster 1	1,5	1,5	7,1	-4,5	12,1
01_67_B	Cluster 1	4,5	-3,8	1,7	-9,8	6,7
01_68_A	Cluster 1	1,5	1,7	6,9	-4,7	11,9
01_68_B	Cluster 1	4,5	-4	1,7	-9,9	6,7
01_68_C	Cluster 1	7,5	-1,1	5,5	-6	10,5
01_69_A	Cluster 1	1,5	2,6	7,4	-4,2	12,4
01_69_B	Cluster 1	4,5	1,5	6,7	-4,9	11,7
01_69_C	Cluster 1	7,5	-0,4	5,9	-5,7	10,9
01_70_A	Cluster 1	1,5	2,9	7,7	-3,8	12,7
01_70_B	Cluster 1	4,5	2,3	6,8	-4,8	11,8
01_70_C	Cluster 1	7,5	-0,3	5,2	-6,3	10,2
01_71_A	Cluster 1	1,5	1,5	7	-4,6	12
01_71_B	Cluster 1	4,5	3	7,7	-3,9	12,7

Bijlage IV-4 Rekenresultaten indirecte hinder avondperiode wedstrijddag

Naam	Omschrijving	Hoogte	Dag	Avond	Nacht	Etmaal
01_71_C	Cluster 1	7,5	-0,1	5,3	-6,3	10,3
01_72_A	Cluster 1	1,5	2,1	7,8	-3,7	12,8
01_72_B	Cluster 1	4,5	2,2	7,6	-4	12,6
01_72_C	Cluster 1	7,5	0	5,6	-6	10,6
01_73_A	Cluster 1	1,5	1,3	6,6	-4,9	11,6
01_73_B	Cluster 1	4,5	2,5	8,3	-3,3	13,3
01_73_C	Cluster 1	7,5	0,5	6	-5,6	11
01_74_A	Cluster 1	1,5	0,5	6	-5,5	11
01_74_B	Cluster 1	4,5	1,7	7,4	-4,2	12,4
01_74_C	Cluster 1	7,5	0,9	6,3	-5,3	11,3
01_75_A	Cluster 1	1,5	1,9	7,3	-4,3	12,3
01_75_B	Cluster 1	4,5	2,6	7,4	-4,1	12,4
01_75_C	Cluster 1	7,5	1,7	7,8	-3,7	12,8
01_76_A	Cluster 1	1,5	2,2	8,3	-3,2	13,3
01_76_B	Cluster 1	4,5	2,1	8,3	-3,3	13,3
01_76_C	Cluster 1	7,5	0,9	6,7	-4,9	11,7
01_77_A	Cluster 1	1,5	4,4	9,2	-2,4	14,2
01_77_B	Cluster 1	4,5	3,1	8,6	-3	13,6
01_78_A	Cluster 1	1,5	5,4	10,5	-1	15,5
01_78_B	Cluster 1	4,5	6,3	11,4	-0,1	16,4
01_79_A	Cluster 1	1,5	4,4	9,9	-1,7	14,9
01_79_B	Cluster 1	4,5	5,9	11,3	-0,3	16,3
01_79_C	Cluster 1	7,5	2,4	8,3	-3,3	13,3
01_80_A	Cluster 1	1,5	4,5	10,7	-0,8	15,7
01_80_B	Cluster 1	4,5	5,4	11,3	-0,3	16,3
01_80_C	Cluster 1	7,5	2,6	8,2	-3,3	13,2
01_81_A	Cluster 1	1,5	5	9,8	-1,7	14,8
01_81_B	Cluster 1	4,5	5,5	10,4	-1,1	15,4
01_81_C	Cluster 1	7,5	2,3	7,9	-3,7	12,9
01_82_A	Cluster 1	1,5	3,1	8,4	-3,2	13,4
01_82_B	Cluster 1	4,5	4,7	9	-2,6	14
01_82_C	Cluster 1	7,5	2,6	8,1	-3,4	13,1
01_83_A	Cluster 1	1,5	3	7,7	-3,8	12,7
01_83_B	Cluster 1	4,5	3,1	8,2	-3,4	13,2
01_83_C	Cluster 1	7,5	2,8	8	-3,5	13
01_84_A	Cluster 1	1,5	0,9	6	-5,6	11
01_84_B	Cluster 1	4,5	2,8	8,1	-3,4	13,1
01_84_C	Cluster 1	7,5	3	8,2	-3,4	13,2
01_85_A	Cluster 1	1,5	-0,6	4	-7,5	9
01_85_B	Cluster 1	4,5	1,5	5,7	-5,8	10,7
01_85_C	Cluster 1	7,5	2,9	8,7	-2,8	13,7
01_86_A	Cluster 1	1,5	1,8	7,7	-3,8	12,7
01_86_B	Cluster 1	4,5	2,1	8,3	-3,2	13,3
01_86_C	Cluster 1	7,5	4,6	10,2	-1,3	15,2
01_87_A	Cluster 1	1,5	-3,5	1,4	-10,1	6,4
01_87_B	Cluster 1	4,5	-1,9	3,6	-8	8,6
01_88_A	Cluster 1	1,5	0,2	6,1	-5,4	11,1
01_88_B	Cluster 1	4,5	1,9	8,1	-3,5	13,1
01_89_A	Cluster 1	1,5	0,4	6	-5,6	11
01_89_B	Cluster 1	4,5	2,3	7,8	-3,7	12,8
01_89_C	Cluster 1	7,5	12,4	17,8	6,2	22,8
01_90_A	Cluster 1	1,5	0,7	6,4	-5,2	11,4
01_90_B	Cluster 1	4,5	3,3	8,9	-2,6	13,9
01_90_C	Cluster 1	7,5	12,7	18	6,5	23
01_91_A	Cluster 1	1,5	3,5	9	-2,6	14
01_91_B	Cluster 1	4,5	4,8	11	-0,5	16
01_91_C	Cluster 1	7,5	12,3	17,8	6,2	22,8
01_92_A	Cluster 1	1,5	4,8	10,8	-0,8	15,8
01_92_B	Cluster 1	4,5	7	12,9	1,4	17,9
01_92_C	Cluster 1	7,5	11,9	17,4	5,9	22,4
01_93_A	Cluster 1	1,5	7,1	12,5	0,9	17,5
01_93_B	Cluster 1	4,5	8,9	13,5	1,9	18,5
01_93_C	Cluster 1	7,5	12,4	17,3	5,7	22,3
01_94_A	Cluster 1	1,5	8	13,1	1,5	18,1
01_94_B	Cluster 1	4,5	7,3	13	1,4	18
01_94_C	Cluster 1	7,5	11,1	16,5	4,9	21,5
01_95_A	Cluster 1	1,5	7,6	12,8	1,2	17,8
01_95_B	Cluster 1	4,5	7,5	12,7	1,2	17,7

Bijlage IV-4 Rekenresultaten indirecte hinder avondperiode wedstrijd

Naam	Omschrijving	Hoogte	Dag	Avond	Nacht	Etmaal
01_95_C	Cluster 1	7,5	10,2	15,7	4,1	20,7
01_96_A	Cluster 1	1,5	7,4	12,8	1,3	17,8
01_96_B	Cluster 1	4,5	7	12,8	1,3	17,8
01_96_C	Cluster 1	7,5	9,3	15,1	3,6	20,1
01_97_A	Cluster 1	1,5	6,9	12,7	1,1	17,7
01_97_B	Cluster 1	4,5	7,6	12,7	1,2	17,7
01_97_C	Cluster 1	7,5	9,4	15	3,4	20
01_98_A	Cluster 1	1,5	7,1	12,5	1	17,5
01_98_B	Cluster 1	4,5	7,5	12,8	1,3	17,8
01_98_C	Cluster 1	7,5	9,9	15,2	3,7	20,2
01_99_A	Cluster 1	1,5	5,8	11,4	-0,1	16,4
01_99_B	Cluster 1	4,5	7,3	12,6	1,1	17,6
01_99_C	Cluster 1	7,5	9,3	15,1	3,5	20,1
02_01_A	Cluster 2	1,5	3,1	9,1	-2,5	14,1
02_01_B	Cluster 2	4,5	3	9,1	-2,5	14,1
02_01_C	Cluster 2	7,5	4	10,3	-1,3	15,3
02_02_A	Cluster 2	1,5	8,6	14,4	2,9	19,4
02_02_B	Cluster 2	4,5	9,8	15,5	3,9	20,5
02_02_C	Cluster 2	7,5	13,2	18,3	6,8	23,3
02_03_A	Cluster 2	1,5	9,6	14,7	3,1	19,7
02_03_B	Cluster 2	4,5	11,2	16,3	4,8	21,3
02_03_C	Cluster 2	7,5	13,7	18,9	7,3	23,9
02_04_A	Cluster 2	1,5	10	15,2	3,7	20,2
02_04_B	Cluster 2	4,5	11,3	16,4	4,9	21,4
02_04_C	Cluster 2	7,5	14,3	19,5	7,9	24,5
02_05_A	Cluster 2	1,5	9,4	15,5	3,9	20,5
02_05_B	Cluster 2	4,5	10,6	16,7	5,1	21,7
02_05_C	Cluster 2	7,5	11,8	18,8	7,2	23,8
02_06_A	Cluster 2	1,5	9,9	15,3	3,7	20,3
02_06_B	Cluster 2	4,5	10,8	16,3	4,7	21,3
02_06_C	Cluster 2	7,5	12,2	18,3	6,7	23,3
02_07_A	Cluster 2	1,5	12,1	16,6	5	21,6
02_07_B	Cluster 2	4,5	13,2	17,8	6,2	22,8
02_07_C	Cluster 2	7,5	13,6	18,7	7,1	23,7
02_08_A	Cluster 2	1,5	11	14,8	3,3	19,8
02_08_B	Cluster 2	4,5	11,7	15,9	4,3	20,9
02_08_C	Cluster 2	7,5	12,9	17,9	6,3	22,9
02_09_A	Cluster 2	1,5	15,7	20,9	9,4	25,9
02_09_B	Cluster 2	4,5	16,6	22,2	10,7	27,2
02_09_C	Cluster 2	7,5	17,2	23	11,4	28
02_10_A	Cluster 2	1,5	12,8	19,3	7,7	24,3
02_10_B	Cluster 2	4,5	13,4	19,8	8,2	24,8
02_10_C	Cluster 2	7,5	14,1	20,6	9	25,6
02_100_A	Cluster 2	1,5	8,8	14,6	3,1	19,6
02_100_B	Cluster 2	4,5	10,7	16,9	5,4	21,9
02_100_C	Cluster 2	7,5	15,2	20,8	9,3	25,8
02_101_A	Cluster 2	1,5	6,5	11,9	0,3	16,9
02_101_B	Cluster 2	4,5	8,7	14,5	2,9	19,5
02_101_C	Cluster 2	7,5	13,9	18,9	7,4	23,9
02_102_A	Cluster 2	1,5	8,1	14,1	2,5	19,1
02_102_B	Cluster 2	4,5	11	16,7	5,2	21,7
02_102_C	Cluster 2	7,5	13	18,2	6,6	23,2
02_103_A	Cluster 2	1,5	8,6	14,3	2,7	19,3
02_103_B	Cluster 2	4,5	10,7	17	5,4	22
02_103_C	Cluster 2	7,5	12,6	18,1	6,6	23,1
02_104_A	Cluster 2	1,5	7,7	13,2	1,7	18,2
02_104_B	Cluster 2	4,5	10,7	16,6	5,1	21,6
02_104_C	Cluster 2	7,5	12,7	18,3	6,8	23,3
02_105_A	Cluster 2	1,5	7,2	13,1	1,5	18,1
02_105_B	Cluster 2	4,5	10,5	16,5	5	21,5
02_105_C	Cluster 2	7,5	12,9	18,5	7	23,5
02_106_A	Cluster 2	1,5	8,6	14,4	2,8	19,4
02_106_B	Cluster 2	4,5	10,4	16,8	5,3	21,8
02_106_C	Cluster 2	7,5	12,6	18,7	7,2	23,7
02_107_A	Cluster 2	1,5	7,9	13,8	2,2	18,8
02_107_B	Cluster 2	4,5	10,1	16,6	5	21,6
02_107_C	Cluster 2	7,5	12,2	18,7	7,2	23,7
02_108_A	Cluster 2	1,5	8,2	14,4	2,8	19,4

Bijlage IV-4 Rekenresultaten indirecte hinder avondperiode wedstrijd

Naam	Omschrijving	Hoogte	Dag	Avond	Nacht	Etmaal
02_108_B	Cluster 2	4,5	4,5	11,4	-0,1	16,4
02_108_C	Cluster 2	7,5	11,9	18,8	7,2	23,8
02_11_A	Cluster 2	1,5	11,3	17,6	6	22,6
02_11_B	Cluster 2	4,5	12,1	18,4	6,8	23,4
02_11_C	Cluster 2	7,5	13,6	19,6	8,1	24,6
02_12_A	Cluster 2	1,5	9,9	16,2	4,6	21,2
02_12_B	Cluster 2	4,5	10,7	16,8	5,3	21,8
02_13_A	Cluster 2	1,5	9,2	14,9	3,3	19,9
02_13_B	Cluster 2	4,5	10,1	15,7	4,1	20,7
02_14_A	Cluster 2	1,5	11	16,5	4,9	21,5
02_14_B	Cluster 2	4,5	11,3	16,8	5,2	21,8
02_15_A	Cluster 2	1,5	13,4	18,7	7,1	23,7
02_15_B	Cluster 2	4,5	13,6	19	7,4	24
02_16_A	Cluster 2	1,5	18,2	23,5	11,9	28,5
02_16_B	Cluster 2	4,5	19,2	24,3	12,8	29,3
02_16_C	Cluster 2	7,5	19,4	24,5	13	29,5
02_16_D	Cluster 2	10,5	20,3	25,7	14,2	30,7
02_17_A	Cluster 2	1,5	18,1	24,2	12,6	29,2
02_17_B	Cluster 2	4,5	19,2	25,1	13,6	30,1
02_17_C	Cluster 2	7,5	19,3	25,3	13,8	30,3
02_17_D	Cluster 2	10,5	19,9	26,1	14,5	31,1
02_18_A	Cluster 2	1,5	18,1	24,1	12,6	29,1
02_18_B	Cluster 2	4,5	19	25	13,5	30
02_18_C	Cluster 2	7,5	19,1	25,1	13,6	30,1
02_18_D	Cluster 2	10,5	19,6	25,8	14,3	30,8
02_19_A	Cluster 2	1,5	17,9	23,9	12,4	28,9
02_19_B	Cluster 2	4,5	18,8	24,8	13,3	29,8
02_19_C	Cluster 2	7,5	18,9	24,9	13,3	29,9
02_19_D	Cluster 2	10,5	19,4	25,5	14	30,5
02_20_A	Cluster 2	1,5	17,7	23,7	12,2	28,7
02_20_B	Cluster 2	4,5	18,6	24,6	13	29,6
02_20_C	Cluster 2	7,5	18,6	24,6	13,1	29,6
02_20_D	Cluster 2	10,5	19,1	25,2	13,6	30,2
02_21_A	Cluster 2	1,5	17,4	23,4	11,8	28,4
02_21_B	Cluster 2	4,5	18,3	24,3	12,7	29,3
02_21_C	Cluster 2	7,5	18,3	24,3	12,7	29,3
02_21_D	Cluster 2	10,5	18,8	24,9	13,3	29,9
02_22_A	Cluster 2	1,5	17,2	23,2	11,6	28,2
02_22_B	Cluster 2	4,5	18,1	24	12,5	29
02_22_C	Cluster 2	7,5	18,1	24	12,5	29
02_22_D	Cluster 2	10,5	18,5	24,6	13	29,6
02_23_A	Cluster 2	1,5	16,7	23	11,5	28
02_23_B	Cluster 2	4,5	17,8	23,8	12,3	28,8
02_23_C	Cluster 2	7,5	17,8	23,8	12,2	28,8
02_23_D	Cluster 2	10,5	18,2	24,3	12,7	29,3
02_24_A	Cluster 2	1,5	15,9	22,9	11,3	27,9
02_24_B	Cluster 2	4,5	16,9	23,6	12	28,6
02_24_C	Cluster 2	7,5	17,4	23,5	12	28,5
02_24_D	Cluster 2	10,5	17,9	24	12,5	29
02_25_A	Cluster 2	1,5	15,1	22,3	10,7	27,3
02_25_B	Cluster 2	4,5	15,8	23,3	11,7	28,3
02_25_C	Cluster 2	7,5	16,7	23,3	11,7	28,3
02_25_D	Cluster 2	10,5	17,6	23,7	12,2	28,7
02_26_A	Cluster 2	1,5	5,8	12,5	0,9	17,5
02_26_B	Cluster 2	4,5	6,6	12,9	1,4	17,9
02_26_C	Cluster 2	7,5	7,5	13,5	2	18,5
02_26_D	Cluster 2	10,5	16,5	22,5	10,9	27,5
02_27_A	Cluster 2	1,5	3	9,5	-2	14,5
02_27_B	Cluster 2	4,5	3,8	10	-1,5	15
02_27_C	Cluster 2	7,5	5	11,1	-0,4	16,1
02_27_D	Cluster 2	10,5	14,4	20,4	8,9	25,4
02_28_A	Cluster 2	1,5	13,2	20,9	9,3	25,9
02_28_B	Cluster 2	4,5	14,2	21,8	10,3	26,8
02_28_C	Cluster 2	7,5	15,1	22,4	10,9	27,4
02_28_D	Cluster 2	10,5	16,3	23,2	11,6	28,2
02_29_A	Cluster 2	1,5	12,6	20,3	8,7	25,3
02_29_B	Cluster 2	4,5	13,5	21,1	9,5	26,1
02_29_C	Cluster 2	7,5	14,5	21,9	10,3	26,9

Bijlage IV-4 Rekenresultaten indirecte hinder avondperiode wedstrijd

Naam	Omschrijving	Hoogte	Dag	Avond	Nacht	Etmaal
02_29_D	Cluster 2	10,5	15,4	22,8	11,3	27,8
02_30_A	Cluster 2	1,5	-2,8	3,4	-8,2	8,4
02_30_B	Cluster 2	4,5	-2,7	3,6	-8	8,6
02_30_C	Cluster 2	7,5	-2,1	4,4	-7,2	9,4
02_30_D	Cluster 2	10,5	4,9	13,7	2,2	18,7
02_31_A	Cluster 2	1,5	11,9	19,7	8,2	24,7
02_31_B	Cluster 2	4,5	12,6	20,3	8,7	25,3
02_31_C	Cluster 2	7,5	13,5	21,1	9,5	26,1
02_31_D	Cluster 2	10,5	14,3	22,1	10,5	27,1
02_32_A	Cluster 2	1,5	-2,1	4,7	-6,8	9,7
02_32_B	Cluster 2	4,5	-2	5,1	-6,4	10,1
02_32_C	Cluster 2	7,5	-1,4	5,5	-6,1	10,5
02_32_D	Cluster 2	10,5	0,4	7,7	-3,8	12,7
02_33_A	Cluster 2	1,5	-1	5,8	-5,8	10,8
02_33_B	Cluster 2	4,5	-0,1	6,5	-5,1	11,5
02_33_C	Cluster 2	7,5	4,3	10,1	-1,4	15,1
02_34_A	Cluster 2	1,5	-0,7	5,8	-5,7	10,8
02_34_B	Cluster 2	4,5	-0,1	6,4	-5,1	11,4
02_34_C	Cluster 2	7,5	2,8	7,8	-3,7	12,8
02_35_A	Cluster 2	1,5	1,7	7,9	-3,6	12,9
02_35_B	Cluster 2	4,5	2,3	8,4	-3,2	13,4
02_35_C	Cluster 2	7,5	0,7	5,4	-6,2	10,4
02_36_A	Cluster 2	1,5	5,3	12,4	0,8	17,4
02_36_B	Cluster 2	4,5	1,5	7,9	-3,6	12,9
02_36_C	Cluster 2	7,5	-1,8	4	-7,6	9
02_37_A	Cluster 2	1,5	5	11,6	0	16,6
02_37_B	Cluster 2	4,5	-3,1	2,8	-8,7	7,8
02_37_C	Cluster 2	7,5	-1,9	4,2	-7,3	9,2
02_38_A	Cluster 2	1,5	2,5	9,5	-2	14,5
02_38_B	Cluster 2	4,5	-3,1	2,9	-8,7	7,9
02_38_C	Cluster 2	7,5	0,5	5,7	-5,8	10,7
02_39_A	Cluster 2	1,5	2,7	9,8	-1,8	14,8
02_39_B	Cluster 2	4,5	-3,1	2,9	-8,7	7,9
02_39_C	Cluster 2	7,5	0,5	5,5	-6,1	10,5
02_40_A	Cluster 2	1,5	3,6	7,1	-4,4	12,1
02_40_B	Cluster 2	4,5	-3,1	3	-8,5	8
02_40_C	Cluster 2	7,5	-0,5	6,2	-5,3	11,2
02_41_A	Cluster 2	1,5	4,3	10,1	-1,4	15,1
02_41_B	Cluster 2	4,5	8,1	14,1	2,6	19,1
02_41_C	Cluster 2	7,5	4,1	9,8	-1,8	14,8
02_42_A	Cluster 2	1,5	5,3	11,4	-0,1	16,4
02_42_B	Cluster 2	4,5	6,8	13,9	2,4	18,9
02_42_C	Cluster 2	7,5	13,5	19,2	7,7	24,2
02_43_A	Cluster 2	1,5	1,2	7,2	-4,3	12,2
02_43_B	Cluster 2	4,5	3,2	9,5	-2,1	14,5
02_43_C	Cluster 2	7,5	11,5	17,5	5,9	22,5
02_44_A	Cluster 2	1,5	2,3	8,1	-3,5	13,1
02_44_B	Cluster 2	4,5	4,5	10,2	-1,4	15,2
02_45_A	Cluster 2	1,5	2,9	8,6	-2,9	13,6
02_45_B	Cluster 2	4,5	4,6	10,4	-1,2	15,4
02_46_A	Cluster 2	1,5	-1,8	3,8	-7,7	8,8
02_46_B	Cluster 2	4,5	-0,6	5,5	-6	10,5
02_47_A	Cluster 2	1,5	-1	6,6	-4,9	11,6
02_47_B	Cluster 2	4,5	-0,9	5	-6,6	10
02_48_A	Cluster 2	1,5	1	8,6	-3	13,6
02_48_B	Cluster 2	4,5	-0,1	6,7	-4,8	11,7
02_48_C	Cluster 2	7,5	4,7	10,1	-1,5	15,1
02_49_A	Cluster 2	1,5	2,6	8,2	-3,4	13,2
02_49_B	Cluster 2	4,5	-0,7	5,1	-6,5	10,1
02_49_C	Cluster 2	7,5	13,1	18,5	6,9	23,5
02_50_A	Cluster 2	1,5	3,3	8	-3,6	13
02_50_B	Cluster 2	4,5	4,8	9	-2,6	14
02_50_C	Cluster 2	7,5	10,4	16,3	4,8	21,3
02_51_A	Cluster 2	1,5	3,8	8,5	-3,1	13,5
02_51_B	Cluster 2	4,5	6,1	10,2	-1,3	15,2
02_51_C	Cluster 2	7,5	8,3	15	3,4	20
02_52_A	Cluster 2	1,5	3,7	8,4	-3,1	13,5
02_52_B	Cluster 2	4,5	5,9	10	-1,6	15

Bijlage IV-4 Rekenresultaten indirecte hinder avondperiode wedstrijddag

Naam	Omschrijving	Hoogte	Dag	Avond	Nacht	Etmaal
02_52_C	Cluster 2	7,5	7	13,5	2	18,5
02_53_A	Cluster 2	1,5	4	8,6	-2,9	13,6
02_53_B	Cluster 2	4,5	5,6	9,6	-2	14,6
02_53_C	Cluster 2	7,5	6	12,5	1	17,5
02_54_A	Cluster 2	1,5	4	8,3	-3,3	13,3
02_54_B	Cluster 2	4,5	5,2	9,5	-2,1	14,5
02_54_C	Cluster 2	7,5	5,3	11,7	0,1	16,7
02_55_A	Cluster 2	1,5	3,2	7,6	-4	12,6
02_55_B	Cluster 2	4,5	4,4	8,9	-2,7	13,9
02_55_C	Cluster 2	7,5	5	11,2	-0,3	16,2
02_56_A	Cluster 2	1,5	2,4	7,4	-4,1	12,4
02_56_B	Cluster 2	4,5	3,2	8,3	-3,3	13,3
02_56_C	Cluster 2	7,5	4,6	10,7	-0,9	15,7
02_57_A	Cluster 2	1,5	2,3	7,9	-3,6	12,9
02_57_B	Cluster 2	4,5	3	8,6	-3	13,6
02_57_C	Cluster 2	7,5	3,8	10,1	-1,5	15,1
02_58_A	Cluster 2	1,5	3,8	9,7	-1,9	14,7
02_58_B	Cluster 2	4,5	3,8	10	-1,5	15
02_58_C	Cluster 2	7,5	3,7	9,4	-2,1	14,4
02_59_A	Cluster 2	1,5	2,2	7,4	-4,2	12,4
02_59_B	Cluster 2	4,5	3,7	9,2	-2,4	14,2
02_59_C	Cluster 2	7,5	12,5	18,3	6,8	23,3
02_60_A	Cluster 2	1,5	1,4	6,9	-4,7	11,9
02_60_B	Cluster 2	4,5	2,4	8,1	-3,5	13,1
02_60_C	Cluster 2	7,5	8,9	13,6	2,1	18,6
02_61_A	Cluster 2	1,5	7,4	12,9	1,3	17,9
02_61_B	Cluster 2	4,5	0,3	4,8	-6,8	9,8
02_61_C	Cluster 2	7,5	4,2	9,7	-1,8	14,7
02_62_A	Cluster 2	1,5	-0,2	4,3	-7,3	9,3
02_62_B	Cluster 2	4,5	0,2	4,8	-6,7	9,8
02_62_C	Cluster 2	7,5	3,4	9,7	-1,9	14,7
02_63_A	Cluster 2	1,5	4,8	10,6	-0,9	15,6
02_63_B	Cluster 2	4,5	0	5,7	-5,8	10,7
02_63_C	Cluster 2	7,5	2	8,7	-2,9	13,7
02_64_A	Cluster 2	1,5	5,8	11,6	0,1	16,6
02_64_B	Cluster 2	4,5	-0,3	5,5	-6,1	10,5
02_64_C	Cluster 2	7,5	2,5	8,1	-3,5	13,1
02_65_A	Cluster 2	1,5	-0,5	5,7	-5,8	10,7
02_65_B	Cluster 2	4,5	-0,1	5,3	-6,2	10,3
02_65_C	Cluster 2	7,5	2,5	8	-3,5	13
02_66_A	Cluster 2	1,5	5,8	11,5	-0,1	16,5
02_66_B	Cluster 2	4,5	0	5,7	-5,9	10,7
02_66_C	Cluster 2	7,5	3,2	8	-3,6	13
02_67_A	Cluster 2	1,5	3	9,4	-2,2	14,4
02_67_B	Cluster 2	4,5	3,7	6,1	-5,5	11,1
02_67_C	Cluster 2	7,5	2,5	8,7	-2,9	13,7
02_68_A	Cluster 2	1,5	5,8	12,4	0,8	17,4
02_68_B	Cluster 2	4,5	6,6	12,9	1,4	17,9
02_68_C	Cluster 2	7,5	1,7	7,6	-4	12,6
02_69_A	Cluster 2	1,5	3,9	10,6	-0,9	15,6
02_69_B	Cluster 2	4,5	4,4	11,6	0	16,6
02_69_C	Cluster 2	7,5	4,7	10,6	-1	15,6
02_70_A	Cluster 2	1,5	7,4	13,2	1,6	18,2
02_70_B	Cluster 2	4,5	1,7	9,1	-2,5	14,1
02_70_C	Cluster 2	7,5	1,8	7,4	-4,1	12,4
02_71_A	Cluster 2	1,5	3,8	9,8	-1,8	14,8
02_71_B	Cluster 2	4,5	3,5	9,4	-2,1	14,4
02_72_A	Cluster 2	1,5	2,8	8,6	-3	13,6
02_72_B	Cluster 2	4,5	3,9	9,3	-2,3	14,3
02_73_A	Cluster 2	1,5	5,3	10,7	-0,9	15,7
02_73_B	Cluster 2	4,5	7	12,3	0,8	17,3
02_73_C	Cluster 2	7,5	10,3	16,7	5,1	21,7
02_73_D	Cluster 2	10,5	6,7	12,9	1,4	17,9
02_74_A	Cluster 2	1,5	3,8	9,8	-1,8	14,8
02_74_B	Cluster 2	4,5	3,3	10,1	-1,5	15,1
02_74_C	Cluster 2	7,5	3,8	9,4	-2,2	14,4
02_74_D	Cluster 2	10,5	10,6	16,8	5,3	21,8
02_75_A	Cluster 2	1,5	4	8,9	-2,7	13,9

Bijlage IV-4 Rekenresultaten indirecte hinder avondperiode wedstrijddag

Naam	Omschrijving	Hoogte	Dag	Avond	Nacht	Etmaal
02_75_B	Cluster 2	4,5	4,2	9,3	-2,2	14,3
02_75_C	Cluster 2	7,5	2,5	8,1	-3,5	13,1
02_75_D	Cluster 2	10,5	8,4	14,6	3,1	19,6
02_76_A	Cluster 2	1,5	2,2	8,6	-2,9	13,6
02_76_B	Cluster 2	4,5	2,9	9,3	-2,3	14,3
02_76_C	Cluster 2	7,5	2,3	9	-2,6	14
02_76_D	Cluster 2	10,5	7,3	13,7	2,1	18,7
02_77_A	Cluster 2	1,5	1,3	8,5	-3,1	13,5
02_77_B	Cluster 2	4,5	1,7	9,3	-2,3	14,3
02_77_C	Cluster 2	7,5	2,4	9,4	-2,1	14,4
02_77_D	Cluster 2	10,5	6,5	13	1,5	18
02_78_A	Cluster 2	1,5	3,3	10,4	-1,2	15,4
02_78_B	Cluster 2	4,5	3,4	9,7	-1,8	14,7
02_78_C	Cluster 2	7,5	3	9,7	-1,8	14,7
02_78_D	Cluster 2	10,5	8,9	15,2	3,7	20,2
02_79_A	Cluster 2	1,5	3,6	11,1	-0,4	16,1
02_79_B	Cluster 2	4,5	4,3	11,6	0,1	16,6
02_79_C	Cluster 2	7,5	4,9	11,2	-0,3	16,2
02_79_D	Cluster 2	10,5	13	19,1	7,6	24,1
02_80_A	Cluster 2	1,5	4,5	11,8	0,3	16,8
02_80_B	Cluster 2	4,5	5,2	12,3	0,8	17,3
02_80_C	Cluster 2	7,5	5,9	12,7	1,1	17,7
02_80_D	Cluster 2	10,5	13,9	20,2	8,6	25,2
02_81_A	Cluster 2	1,5	5,5	12,2	0,6	17,2
02_81_B	Cluster 2	4,5	6,3	13,3	1,7	18,3
02_81_C	Cluster 2	7,5	7	14	2,5	19
02_81_D	Cluster 2	10,5	13,7	19,9	8,4	24,9
02_82_A	Cluster 2	1,5	5,9	12,7	1,1	17,7
02_82_B	Cluster 2	4,5	6,3	13,5	1,9	18,5
02_82_C	Cluster 2	7,5	7,5	13,8	2,3	18,8
02_82_D	Cluster 2	10,5	14,4	20,5	8,9	25,5
02_83_A	Cluster 2	1,5	4,9	11,6	0,1	16,6
02_83_B	Cluster 2	4,5	4,2	10,3	-1,2	15,3
02_83_C	Cluster 2	7,5	5,4	11,1	-0,5	16,1
02_83_D	Cluster 2	10,5	10,4	16,8	5,2	21,8
02_84_A	Cluster 2	1,5	-0,2	6,6	-4,9	11,6
02_84_B	Cluster 2	4,5	0,4	7,2	-4,3	12,2
02_84_C	Cluster 2	7,5	1,3	7,7	-3,9	12,7
02_84_D	Cluster 2	10,5	8,9	15,2	3,7	20,2
02_85_A	Cluster 2	1,5	0,1	7,3	-4,3	12,3
02_85_B	Cluster 2	4,5	0,7	7,9	-3,7	12,9
02_85_C	Cluster 2	7,5	1,6	8,1	-3,4	13,1
02_85_D	Cluster 2	10,5	9,2	15,3	3,7	20,3
02_86_A	Cluster 2	1,5	3,3	9,6	-2	14,6
02_86_B	Cluster 2	4,5	4,1	10,2	-1,4	15,2
02_86_C	Cluster 2	7,5	5,2	11,2	-0,4	16,2
02_87_A	Cluster 2	1,5	3,5	9,7	-1,9	14,7
02_87_B	Cluster 2	4,5	4,3	10,6	-1	15,6
02_87_C	Cluster 2	7,5	6,5	12,6	1,1	17,6
02_88_A	Cluster 2	1,5	5,9	12,4	0,8	17,4
02_88_B	Cluster 2	4,5	7,1	13,5	2	18,5
02_88_C	Cluster 2	7,5	9,4	15,7	4,1	20,7
02_89_A	Cluster 2	1,5	5,5	12	0,4	17
02_89_B	Cluster 2	4,5	5,9	12,2	0,7	17,2
02_89_C	Cluster 2	7,5	8	14,4	2,9	19,4
02_90_A	Cluster 2	1,5	7,1	12,6	1,1	17,6
02_90_B	Cluster 2	4,5	7,5	13,2	1,7	18,2
02_90_C	Cluster 2	7,5	9,4	15,3	3,8	20,3
02_91_A	Cluster 2	1,5	7	13	1,5	18
02_91_B	Cluster 2	4,5	8,9	15	3,4	20
02_91_C	Cluster 2	7,5	12,1	17,3	5,8	22,3
02_92_A	Cluster 2	1,5	10,1	16,1	4,6	21,1
02_92_B	Cluster 2	4,5	10	16,1	4,5	21,1
02_92_C	Cluster 2	7,5	12,7	18,5	6,9	23,5
02_93_A	Cluster 2	1,5	7,4	13,6	2,1	18,6
02_93_B	Cluster 2	4,5	11	17	5,5	22
02_93_C	Cluster 2	7,5	13,5	19,3	7,8	24,3
02_94_A	Cluster 2	1,5	8,6	14,7	3,2	19,7

Bijlage IV-4 Rekenresultaten indirecte hinder avondperiode wedstrijd

Naam	Omschrijving	Hoogte	Dag	Avond	Nacht	Etmaal
02_94_B	Cluster 2	4,5	11,7	17,1	5,5	22,1
02_94_C	Cluster 2	7,5	12,6	18,7	7,1	23,7
02_95_A	Cluster 2	1,5	8,7	14,5	3	19,5
02_95_B	Cluster 2	4,5	12,2	18	6,4	23
02_95_C	Cluster 2	7,5	12,7	18,7	7,2	23,7
02_96_A	Cluster 2	1,5	5,8	11	-0,6	16
02_96_B	Cluster 2	4,5	11	16,1	4,6	21,1
02_97_A	Cluster 2	1,5	7,5	13	1,4	18
02_97_B	Cluster 2	4,5	11,7	16,7	5,1	21,7
02_98_A	Cluster 2	1,5	5,3	11	-0,5	16
02_98_B	Cluster 2	4,5	9,7	15,1	3,6	20,1
02_98_C	Cluster 2	7,5	13	19	7,4	24
02_99_A	Cluster 2	1,5	7,4	13,3	1,8	18,3
02_99_B	Cluster 2	4,5	12	17,8	6,3	22,8
02_99_C	Cluster 2	7,5	15,7	21,6	10,1	26,6
03_01_A	Cluster 3	1,5	0	5,6	-5,9	10,6
03_01_B	Cluster 3	4,5	1,4	6,7	-4,8	11,7
03_01_C	Cluster 3	7,5	7,9	12,4	0,9	17,4
03_02_A	Cluster 3	1,5	-5	1,7	-9,8	6,7
03_02_B	Cluster 3	4,5	-5,7	0,5	-11	5,5
03_02_C	Cluster 3	7,5	-0,4	4,8	-6,8	9,8
03_03_A	Cluster 3	1,5	-1,6	3,7	-7,9	8,7
03_03_B	Cluster 3	4,5	-4,7	0,8	-10,7	5,8
03_03_C	Cluster 3	7,5	-0,3	4,9	-6,7	9,9
03_04_A	Cluster 3	1,5	0,1	5,2	-6,3	10,2
03_04_B	Cluster 3	4,5	-2,2	3,7	-7,9	8,7
03_04_C	Cluster 3	7,5	-0,7	5,1	-6,5	10,1
03_05_A	Cluster 3	1,5	-2,3	3,5	-8	8,5
03_05_B	Cluster 3	4,5	-2,4	3,3	-8,3	8,3
03_06_A	Cluster 3	1,5	-1,2	5,1	-6,4	10,1
03_06_B	Cluster 3	4,5	-0,5	4,8	-6,7	9,8
03_07_A	Cluster 3	1,5	0,7	5,6	-6	10,6
03_07_B	Cluster 3	4,5	0,7	6,1	-5,4	11,1
03_08_A	Cluster 3	1,5	-1,2	4	-7,5	9
03_08_B	Cluster 3	4,5	-0,2	5,5	-6,1	10,5
03_09_A	Cluster 3	1,5	-2,4	3,1	-8,5	8,1
03_09_B	Cluster 3	4,5	-0,6	5,1	-6,4	10,1
03_09_C	Cluster 3	7,5	10,7	15,6	4,1	20,6
03_10_A	Cluster 3	1,5	-3,1	2,6	-8,9	7,6
03_10_B	Cluster 3	4,5	-0,5	5,2	-6,3	10,2
03_10_C	Cluster 3	7,5	10,7	15,9	4,4	20,9
03_11_A	Cluster 3	1,5	-1	4,4	-7,1	9,4
03_11_B	Cluster 3	4,5	1,3	6,7	-4,8	11,7
03_11_C	Cluster 3	7,5	11,4	16,5	5	21,5
03_12_A	Cluster 3	1,5	-1,9	3,6	-7,9	8,6
03_12_B	Cluster 3	4,5	0,2	5,9	-5,6	10,9
03_12_C	Cluster 3	7,5	11,2	16,5	4,9	21,5
03_13_A	Cluster 3	1,5	-2,9	2,9	-8,6	7,9
03_13_B	Cluster 3	4,5	-0,1	5,6	-6	10,6
03_13_C	Cluster 3	7,5	11	16,2	4,7	21,2
03_14_A	Cluster 3	1,5	-3,2	2,6	-9	7,6
03_14_B	Cluster 3	4,5	-0,1	5,6	-6	10,6
03_14_C	Cluster 3	7,5	11,3	16,3	4,8	21,3
03_15_A	Cluster 3	1,5	-2,8	3,2	-8,4	8,2
03_15_B	Cluster 3	4,5	0,4	6,1	-5,5	11,1
03_15_C	Cluster 3	7,5	11,4	16,7	5,2	21,7
03_16_A	Cluster 3	1,5	-2,5	3,5	-8,1	8,5
03_16_B	Cluster 3	4,5	0,4	6,3	-5,3	11,3
03_16_C	Cluster 3	7,5	11,5	16,9	5,4	21,9
03_17_A	Cluster 3	1,5	-1,5	4,2	-7,4	9,2
03_17_B	Cluster 3	4,5	1,1	6,7	-4,8	11,7
03_17_C	Cluster 3	7,5	11,9	17,2	5,7	22,2
03_18_A	Cluster 3	1,5	0	5,4	-6,1	10,4
03_18_B	Cluster 3	4,5	2,1	7,6	-3,9	12,6
03_18_C	Cluster 3	7,5	12	17,3	5,7	22,3
03_19_A	Cluster 3	1,5	2,6	8,1	-3,5	13,1
03_19_B	Cluster 3	4,5	4,1	9,6	-2	14,6
03_19_C	Cluster 3	7,5	11,7	17,1	5,5	22,1

Bijlage IV-4 Rekenresultaten indirecte hinder avondperiode wedstrijddag

Naam	Omschrijving	Hoogte	Dag	Avond	Nacht	Etmaal
03_20_A	Cluster 3	1,5	2,3	8,2	-3,4	13,2
03_20_B	Cluster 3	4,5	4,6	10,1	-1,4	15,1
03_20_C	Cluster 3	7,5	7,6	13,6	2	18,6
03_21_A	Cluster 3	1,5	1,9	7	-4,5	12
03_21_B	Cluster 3	4,5	6,6	11,5	-0,1	16,5
03_21_C	Cluster 3	7,5	10,5	15,4	3,8	20,4
03_22_A	Cluster 3	1,5	2	7,7	-3,9	12,7
03_22_B	Cluster 3	4,5	6,5	11,9	0,3	16,9
03_22_C	Cluster 3	7,5	11,9	17	5,5	22
03_23_A	Cluster 3	1,5	3,2	8,8	-2,7	13,8
03_23_B	Cluster 3	4,5	7	12,3	0,8	17,3
03_23_C	Cluster 3	7,5	12,5	17,4	5,9	22,4
03_24_A	Cluster 3	1,5	4	9,7	-1,8	14,7
03_24_B	Cluster 3	4,5	7,3	12,3	0,7	17,3
03_24_C	Cluster 3	7,5	12,5	17,5	5,9	22,5
03_25_A	Cluster 3	1,5	4,5	10	-1,6	15
03_25_B	Cluster 3	4,5	7,8	12,6	1,1	17,6
03_25_C	Cluster 3	7,5	12,3	17,3	5,7	22,3
03_26_A	Cluster 3	1,5	4,2	9,5	-2	14,5
03_26_B	Cluster 3	4,5	8,1	13,3	1,8	18,3
03_26_C	Cluster 3	7,5	12	17	5,5	22
03_27_A	Cluster 3	1,5	4,2	9,8	-1,7	14,8
03_27_B	Cluster 3	4,5	8	13,1	1,5	18,1
03_27_C	Cluster 3	7,5	12	16,7	5,2	21,7
03_28_A	Cluster 3	1,5	3,4	9	-2,6	14
03_28_B	Cluster 3	4,5	7,9	13,3	1,7	18,3
03_28_C	Cluster 3	7,5	11,7	16,5	5	21,5
03_29_A	Cluster 3	1,5	3,4	9,3	-2,3	14,3
03_29_B	Cluster 3	4,5	8,2	14,6	3,1	19,6
03_29_C	Cluster 3	7,5	11,7	17	5,4	22
03_30_A	Cluster 3	1,5	3,2	8,7	-2,8	13,7
03_30_B	Cluster 3	4,5	8	14	2,4	19
03_30_C	Cluster 3	7,5	11,2	16,4	4,8	21,4
03_31_A	Cluster 3	1,5	-0,6	4,6	-7	9,6
03_31_B	Cluster 3	4,5	4,2	9,8	-1,7	14,8
03_31_C	Cluster 3	7,5	5,2	10,7	-0,8	15,7
03_32_A	Cluster 3	1,5	3,4	9,4	-2,2	14,4
03_32_B	Cluster 3	4,5	5,4	10,5	-1	15,5
03_32_C	Cluster 3	7,5	12,1	17,2	5,6	22,2
03_33_A	Cluster 3	1,5	-1,2	4,3	-7,2	9,3
03_33_B	Cluster 3	4,5	1	6,1	-5,5	11,1
03_33_C	Cluster 3	7,5	6	11,4	-0,2	16,4
03_34_A	Cluster 3	1,5	-1,9	3,4	-8,1	8,4
03_34_B	Cluster 3	4,5	0,6	5,8	-5,8	10,8
03_34_C	Cluster 3	7,5	7,3	12,5	1	17,5
03_35_A	Cluster 3	1,5	-1,9	2,8	-8,8	7,8
03_35_B	Cluster 3	4,5	1,1	5,1	-6,5	10,1
03_35_C	Cluster 3	7,5	6,2	10,3	-1,3	15,3
03_36_A	Cluster 3	1,5	-3,2	1,6	-9,9	6,6
03_36_B	Cluster 3	4,5	-0,3	4,3	-7,3	9,3
03_36_C	Cluster 3	7,5	5,2	10,4	-1,1	15,4
03_37_A	Cluster 3	1,5	-2,8	2,7	-8,8	7,7
03_37_B	Cluster 3	4,5	0,4	5,4	-6,1	10,4
03_37_C	Cluster 3	7,5	7	12,2	0,6	17,2
03_38_A	Cluster 3	1,5	-3,1	2,4	-9,1	7,4
03_38_B	Cluster 3	4,5	-1,2	4,2	-7,4	9,2
03_38_C	Cluster 3	7,5	6,5	11,7	0,1	16,7
03_39_A	Cluster 3	1,5	-4,1	1,8	-9,8	6,8
03_39_B	Cluster 3	4,5	-1,6	4,1	-7,4	9,1
03_39_C	Cluster 3	7,5	6,4	11,7	0,1	16,7
03_40_A	Cluster 3	1,5	-5,7	0,2	-11,4	5,2
03_40_B	Cluster 3	4,5	-4,6	1,3	-10,3	6,3
03_40_C	Cluster 3	7,5	1	6,5	-5	11,5
03_41_A	Cluster 3	1,5	-6,5	-0,9	-12,4	4,1
03_41_B	Cluster 3	4,5	-5,8	-0,4	-12	4,6
03_41_C	Cluster 3	7,5	-0,3	4,9	-6,6	9,9
03_42_A	Cluster 3	1,5	-6,1	-0,5	-12	4,5
03_42_B	Cluster 3	4,5	-6,1	-0,7	-12,3	4,3

Bijlage IV-4 Rekenresultaten indirecte hinder avondperiode wedstrijd

Naam	Omschrijving	Hoogte	Dag	Avond	Nacht	Etmaal
03_42_C	Cluster 3	7,5	-2,3	3,1	-8,4	8,1
03_43_A	Cluster 3	1,5	-2,8	3	-8,6	8
03_43_B	Cluster 3	4,5	-2,5	3,3	-8,2	8,3
03_43_C	Cluster 3	7,5	0	5,4	-6,2	10,4
03_44_A	Cluster 3	1,5	-2,2	3,7	-7,8	8,7
03_44_B	Cluster 3	4,5	-4,4	1,5	-10,1	6,5
03_44_C	Cluster 3	7,5	1,4	6,4	-5,1	11,4
03_45_A	Cluster 3	1,5	-0,1	5,1	-6,4	10,1
03_45_B	Cluster 3	4,5	-2,2	3,7	-7,9	8,7
03_45_C	Cluster 3	7,5	2,4	7,5	-4,1	12,5
03_46_A	Cluster 3	1,5	-0,7	4,3	-7,2	9,3
03_46_B	Cluster 3	4,5	-2,6	3,5	-8	8,5
03_46_C	Cluster 3	7,5	0,9	6,7	-4,9	11,7
03_47_A	Cluster 3	1,5	0,8	6,1	-5,5	11,1
03_47_B	Cluster 3	4,5	1,8	7,5	-4	12,5
03_47_C	Cluster 3	7,5	7,5	13	1,5	18
03_48_A	Cluster 3	1,5	0,6	6,3	-5,2	11,3
03_48_B	Cluster 3	4,5	3,1	8,5	-3	13,5
03_48_C	Cluster 3	7,5	11,4	16,7	5,2	21,7
03_49_A	Cluster 3	1,5	0,6	6,3	-5,3	11,3
03_49_B	Cluster 3	4,5	3,6	9	-2,5	14
03_49_C	Cluster 3	7,5	9,2	14,9	3,3	19,9
03_50_A	Cluster 3	1,5	-0,3	5,5	-6	10,5
03_50_B	Cluster 3	4,5	1,9	7,7	-3,8	12,7
03_50_C	Cluster 3	7,5	5,9	11,2	-0,4	16,2
03_51_A	Cluster 3	1,5	0,1	5,7	-5,8	10,7
03_51_B	Cluster 3	4,5	5,5	9,9	-1,6	14,9
03_52_A	Cluster 3	1,5	0,9	6,7	-4,8	11,7
03_52_B	Cluster 3	4,5	5,2	9,5	-2,1	14,5
03_53_A	Cluster 3	1,5	2,1	7,3	-4,3	12,3
03_53_B	Cluster 3	4,5	5,1	9,9	-1,6	14,9
03_53_C	Cluster 3	7,5	4,4	10,5	-1	15,5
03_54_A	Cluster 3	1,5	-4,5	1,4	-10,2	6,4
03_54_B	Cluster 3	4,5	-2,4	3,5	-8,1	8,4
03_54_C	Cluster 3	7,5	0,4	6,1	-5,5	11,1
03_55_A	Cluster 3	1,5	1	6,6	-5	11,6
03_55_B	Cluster 3	4,5	3,9	8,9	-2,7	13,9
03_55_C	Cluster 3	7,5	3	9	-2,5	14
03_56_A	Cluster 3	1,5	0,6	6,1	-5,5	11,1
03_56_B	Cluster 3	4,5	3,3	8,3	-3,2	13,3
03_56_C	Cluster 3	7,5	-1,3	4,5	-7,1	9,5
03_57_A	Cluster 3	1,5	2	7,5	-4	12,5
03_57_B	Cluster 3	4,5	3,7	9	-2,6	14
03_57_C	Cluster 3	7,5	-1,2	4,5	-7,1	9,5
03_58_A	Cluster 3	1,5	1,3	6,4	-5,1	11,4
03_58_B	Cluster 3	4,5	3,6	8,8	-2,8	13,8
03_58_C	Cluster 3	7,5	-0,9	4,7	-6,8	9,7
03_59_A	Cluster 3	1,5	-0,5	5,8	-5,8	10,8
03_59_B	Cluster 3	4,5	3,4	8,9	-2,7	13,9
03_59_C	Cluster 3	7,5	-0,6	5,3	-6,3	10,3
03_60_A	Cluster 3	1,5	1,9	7,6	-4	12,6
03_60_B	Cluster 3	4,5	3,8	9,1	-2,5	14,1
03_60_C	Cluster 3	7,5	-0,2	5,5	-6,1	10,5
03_61_A	Cluster 3	1,5	1,9	6,9	-4,6	11,9
03_61_B	Cluster 3	4,5	5,1	9,6	-2	14,6
03_61_C	Cluster 3	7,5	0,1	6	-5,6	11
03_62_A	Cluster 3	1,5	-1,3	4,1	-7,5	9,1
03_62_B	Cluster 3	4,5	0,4	6,2	-5,3	11,2
03_62_C	Cluster 3	7,5	0,6	6,3	-5,2	11,3
03_63_A	Cluster 3	1,5	-1	3,4	-8,1	8,4
03_63_B	Cluster 3	4,5	0,7	5,5	-6	10,5
03_63_C	Cluster 3	7,5	4,7	9	-2,5	14
03_64_A	Cluster 3	1,5	-0,9	4,2	-7,4	9,2
03_64_B	Cluster 3	4,5	0,6	5,6	-5,9	10,6
03_64_C	Cluster 3	7,5	4,3	10	-1,6	15
03_65_A	Cluster 3	1,5	0,4	6,4	-5,2	11,4
03_65_B	Cluster 3	4,5	0,9	6,9	-4,7	11,9
03_65_C	Cluster 3	7,5	3,8	9,3	-2,3	14,3

Bijlage IV-4 Rekenresultaten indirecte hinder avondperiode wedstrijd

Naam	Omschrijving	Hoogte	Dag	Avond	Nacht	Etmaal
03_66_A	Cluster 3	1,5	-1,8	3,8	-7,8	8,8
03_66_B	Cluster 3	4,5	-0,5	4,7	-6,8	9,7
03_66_C	Cluster 3	7,5	2,4	8,2	-3,4	13,2
03_67_A	Cluster 3	1,5	-0,8	5	-6,6	10
03_67_B	Cluster 3	4,5	1,3	6,3	-5,2	11,3
03_67_C	Cluster 3	7,5	5,6	11,3	-0,2	16,3
03_68_A	Cluster 3	1,5	-0,1	5,8	-5,7	10,8
03_68_B	Cluster 3	4,5	2	7,1	-4,5	12,1
03_68_C	Cluster 3	7,5	3,5	9,3	-2,2	14,3
03_69_A	Cluster 3	1,5	-2,6	3,2	-8,4	8,2
03_69_B	Cluster 3	4,5	-0,7	4,7	-6,9	9,7
03_69_C	Cluster 3	7,5	1,8	7,5	-4,1	12,5
03_70_A	Cluster 3	1,5	-3,9	1,7	-9,8	6,7
03_70_B	Cluster 3	4,5	-1,8	3,5	-8,1	8,4
03_70_C	Cluster 3	7,5	1,6	7,4	-4,2	12,4
03_71_A	Cluster 3	1,5	-4,6	0,9	-10,7	5,9
03_71_B	Cluster 3	4,5	-2,3	2,8	-8,8	7,8
03_71_C	Cluster 3	7,5	1,6	7,4	-4,1	12,4
03_72_A	Cluster 3	1,5	-5	0,2	-11,3	5,2
03_72_B	Cluster 3	4,5	-2,5	2,5	-9	7,5
03_72_C	Cluster 3	7,5	1,8	7,4	-4,2	12,4
03_73_A	Cluster 3	1,5	-5,1	0,1	-11,5	5,1
03_73_B	Cluster 3	4,5	-2,6	2,8	-8,7	7,8
03_73_C	Cluster 3	7,5	2,1	7,6	-3,9	12,6
03_74_A	Cluster 3	1,5	-1,2	5,1	-6,5	10,1
03_74_B	Cluster 3	4,5	0,4	6,4	-5,2	11,4
03_74_C	Cluster 3	7,5	2,5	8,2	-3,4	13,2
03_75_A	Cluster 3	1,5	2,7	8,4	-3,2	13,4
03_75_B	Cluster 3	4,5	4,3	9,6	-2	14,6
03_75_C	Cluster 3	7,5	11,3	16,5	4,9	21,5
03_76_A	Cluster 3	1,5	1	6,5	-5,1	11,5
03_76_B	Cluster 3	4,5	3,5	8,8	-2,7	13,8
03_76_C	Cluster 3	7,5	11,3	16,7	5,1	21,7
03_77_A	Cluster 3	1,5	2,6	8,1	-3,4	13,1
03_77_B	Cluster 3	4,5	2,8	8,2	-3,4	13,2
03_77_C	Cluster 3	7,5	11,3	16,6	5,1	21,6
03_78_A	Cluster 3	1,5	0,4	5,8	-5,8	10,8
03_78_B	Cluster 3	4,5	2,7	8,1	-3,5	13,1
03_78_C	Cluster 3	7,5	11,3	16,7	5,1	21,7
03_79_A	Cluster 3	1,5	1	6,6	-4,9	11,6
03_79_B	Cluster 3	4,5	2,8	8,3	-3,3	13,3
03_79_C	Cluster 3	7,5	11,1	16,6	5	21,6
03_80_A	Cluster 3	1,5	1	6,7	-4,8	11,7
03_80_B	Cluster 3	4,5	3,7	9	-2,5	14
03_80_C	Cluster 3	7,5	11	16,6	5	21,6
03_81_A	Cluster 3	1,5	-1,1	4,9	-6,6	9,9
03_81_B	Cluster 3	4,5	1,9	7,8	-3,8	12,8
03_81_C	Cluster 3	7,5	11	16,5	5	21,5
03_82_A	Cluster 3	1,5	0,3	5,7	-5,9	10,7
03_82_B	Cluster 3	4,5	2,8	8,2	-3,3	13,2
03_82_C	Cluster 3	7,5	10,9	16,3	4,8	21,3
03_83_A	Cluster 3	1,5	0,6	6,2	-5,3	11,2
03_83_B	Cluster 3	4,5	3	8,4	-3,1	13,4
03_83_C	Cluster 3	7,5	12,2	17,2	5,6	22,2
03_84_A	Cluster 3	1,5	0	5,6	-5,9	10,6
03_84_B	Cluster 3	4,5	2,9	8,4	-3,2	13,4
03_84_C	Cluster 3	7,5	12,2	17,2	5,6	22,2
03_85_A	Cluster 3	1,5	1,6	7,2	-4,3	12,2
03_85_B	Cluster 3	4,5	2,5	8,1	-3,5	13,1
03_85_C	Cluster 3	7,5	6,2	11,5	-0,1	16,5
03_86_A	Cluster 3	1,5	-0,7	4,8	-6,8	9,8
03_86_B	Cluster 3	4,5	0,8	6,2	-5,4	11,2
03_86_C	Cluster 3	7,5	4,3	9,2	-2,4	14,2
03_87_A	Cluster 3	1,5	0,6	5,9	-5,7	10,9
03_87_B	Cluster 3	4,5	1,9	7,4	-4,2	12,4
03_87_C	Cluster 3	7,5	12	16,7	5,1	21,7
04_01_A	Cluster 4	1,5	-1,6	4,7	-6,8	9,7
04_01_B	Cluster 4	4,5	1,9	7,5	-4	12,5

Bijlage IV-4 Rekenresultaten indirecte hinder avondperiode wedstrijd

Naam	Omschrijving	Hoogte	Dag	Avond	Nacht	Etmaal
04_01_C	Cluster 4	7,5	4,4	10,3	-1,3	15,3
04_02_A	Cluster 4	1,5	-3,2	2,4	-9,2	7,4
04_02_B	Cluster 4	4,5	-1,9	4,7	-6,9	9,7
04_02_C	Cluster 4	7,5	6,8	12,8	1,2	17,8
04_03_A	Cluster 4	1,5	0,9	6,9	-4,7	11,9
04_03_B	Cluster 4	4,5	4,6	11	-0,5	16
04_03_C	Cluster 4	7,5	-3	2,3	-9,3	7,3
04_04_A	Cluster 4	1,5	4,1	10,9	-0,6	15,9
04_04_B	Cluster 4	4,5	8,3	15,1	3,6	20,1
04_04_C	Cluster 4	7,5	8,3	14,6	3,1	19,6
04_05_A	Cluster 4	1,5	-7,2	-1,1	-12,6	3,9
04_05_B	Cluster 4	4,5	-3,7	3,8	-7,7	8,8
04_05_C	Cluster 4	7,5	5,8	11,8	0,2	16,8
04_06_A	Cluster 4	1,5	-6,8	-0,8	-12,4	4,2
04_06_B	Cluster 4	4,5	-2,7	4,9	-6,7	9,9
04_06_C	Cluster 4	7,5	6,2	12,2	0,7	17,2
04_07_A	Cluster 4	1,5	-4,2	1,9	-9,7	6,9
04_07_B	Cluster 4	4,5	-2	5,1	-6,5	10,1
04_07_C	Cluster 4	7,5	8,2	13,5	1,9	18,5
04_08_A	Cluster 4	1,5	4,3	10,6	-1	15,6
04_08_B	Cluster 4	4,5	7,3	13,6	2	18,6
04_08_C	Cluster 4	7,5	11,2	16,7	5,2	21,7
04_09_A	Cluster 4	1,5	4,1	10,7	-0,8	15,7
04_09_B	Cluster 4	4,5	7,3	13,7	2,1	18,7
04_09_C	Cluster 4	7,5	10,9	17,3	5,7	22,3
04_10_A	Cluster 4	1,5	2	7,8	-3,7	12,8
04_10_B	Cluster 4	4,5	5,2	11	-0,5	16
04_10_C	Cluster 4	7,5	0,7	5,7	-5,9	10,7
04_11_A	Cluster 4	1,5	-1	4,8	-6,8	9,8
04_11_B	Cluster 4	4,5	1	7,2	-4,4	12,2
04_11_C	Cluster 4	7,5	5,6	11,3	-0,2	16,3
04_12_A	Cluster 4	1,5	-1	5	-6,6	10
04_12_B	Cluster 4	4,5	1,3	7,2	-4,3	12,2
04_12_C	Cluster 4	7,5	5,6	11,3	-0,3	16,3
04_13_A	Cluster 4	1,5	4,1	10,1	-1,4	15,1
04_13_B	Cluster 4	4,5	8,7	14,7	3,1	19,7
04_13_C	Cluster 4	7,5	9,6	14,8	3,3	19,8
04_14_A	Cluster 4	1,5	2,1	8,5	-3,1	13,5
04_14_B	Cluster 4	4,5	1,7	9,2	-2,4	14,2
04_14_C	Cluster 4	7,5	6,4	12,9	1,4	17,9
04_15_A	Cluster 4	1,5	1,7	8,3	-3,3	13,3
04_15_B	Cluster 4	4,5	3,3	10,2	-1,4	15,2
04_15_C	Cluster 4	7,5	8,5	14	2,4	19
04_16_A	Cluster 4	1,5	1,8	7,3	-4,2	12,3
04_16_B	Cluster 4	4,5	2,9	8,6	-3	13,6
04_16_C	Cluster 4	7,5	8,5	14	2,4	19
04_17_A	Cluster 4	1,5	--	--	--	--
04_17_B	Cluster 4	4,5	4,6	10,6	-0,9	15,6
04_17_C	Cluster 4	7,5	9,7	15,3	3,8	20,3
04_18_A	Cluster 4	1,5	-3,1	3,4	-8,2	8,4
04_18_B	Cluster 4	4,5	-2,7	4,1	-7,4	9,1
04_18_C	Cluster 4	7,5	2,3	6,1	-5,5	11,1
04_19_A	Cluster 4	1,5	2,7	8,1	-3,5	13,1
04_19_B	Cluster 4	4,5	5,8	11,7	0,2	16,7
04_19_C	Cluster 4	7,5	11	16,5	5	21,5
04_20_A	Cluster 4	1,5	5,5	11,7	0,2	16,7
04_20_B	Cluster 4	4,5	7,2	13,8	2,2	18,8
04_20_C	Cluster 4	7,5	11,9	17,5	5,9	22,5
04_21_A	Cluster 4	1,5	-5,4	0,7	-10,8	5,7
04_21_B	Cluster 4	4,5	-1,5	5	-6,5	10
04_21_C	Cluster 4	7,5	3,8	9,7	-1,9	14,7
04_22_A	Cluster 4	1,5	4,5	10,1	-1,5	15,1
04_22_B	Cluster 4	4,5	6,3	12,1	0,6	17,1
04_22_C	Cluster 4	7,5	10,2	15,8	4,2	20,8
04_23_A	Cluster 4	1,5	4,8	11,6	0	16,6
04_23_B	Cluster 4	4,5	5,8	12,6	1	17,6
04_23_C	Cluster 4	7,5	8,7	14,9	3,4	19,9
04_24_A	Cluster 4	1,5	3,6	10,6	-1	15,6

Bijlage IV-4 Rekenresultaten indirecte hinder avondperiode wedstrijddag

Naam	Omschrijving	Hoogte	Dag	Avond	Nacht	Etmaal
04_24_B	Cluster 4	4,5	5,2	12,2	0,6	17,2
04_24_C	Cluster 4	7,5	7,5	14,1	2,6	19,1
04_25_A	Cluster 4	1,5	8,3	15	3,5	20
04_25_B	Cluster 4	4,5	9,5	16,2	4,7	21,2
04_25_C	Cluster 4	7,5	10,5	17,3	5,8	22,3
04_26_A	Cluster 4	1,5	7,7	14,7	3,1	19,7
04_26_B	Cluster 4	4,5	9,1	16	4,5	21
04_26_C	Cluster 4	7,5	10	16,8	5,2	21,8
04_27_A	Cluster 4	1,5	6,7	13,5	1,9	18,5
04_27_B	Cluster 4	4,5	8,2	14,7	3,2	19,7
04_27_C	Cluster 4	7,5	9,3	15,7	4,1	20,7
04_27_D	Cluster 4	10,5	10	16,3	4,7	21,3
04_28_A	Cluster 4	1,5	6,6	13,4	1,8	18,4
04_28_B	Cluster 4	4,5	7,8	14,4	2,8	19,4
04_28_C	Cluster 4	7,5	8,8	15,2	3,6	20,2
04_28_D	Cluster 4	10,5	9,4	15,7	4,2	20,7
04_29_A	Cluster 4	1,5	6,5	12,5	1	17,5
04_29_B	Cluster 4	4,5	7,2	13,3	1,7	18,3
04_29_C	Cluster 4	7,5	8,2	13,9	2,3	18,9
04_29_D	Cluster 4	10,5	8,7	14,5	3	19,5
04_30_A	Cluster 4	1,5	6,8	13,4	1,8	18,4
04_30_B	Cluster 4	4,5	7,6	14,1	2,5	19,1
04_30_C	Cluster 4	7,5	8,5	14,8	3,3	19,8
04_30_D	Cluster 4	10,5	9,1	15,3	3,8	20,3
04_31_A	Cluster 4	1,5	6,8	13,4	1,9	18,4
04_31_B	Cluster 4	4,5	7,5	13,9	2,4	18,9
04_31_C	Cluster 4	7,5	8,4	14,7	3,2	19,7
04_31_D	Cluster 4	10,5	8,9	15,2	3,6	20,2
04_32_A	Cluster 4	1,5	6,5	13,1	1,6	18,1
04_32_B	Cluster 4	4,5	7,2	13,7	2,1	18,7
04_32_C	Cluster 4	7,5	8,2	14,5	3	19,5
04_32_D	Cluster 4	10,5	8,7	14,9	3,4	19,9
04_33_A	Cluster 4	1,5	6,2	12,8	1,2	17,8
04_33_B	Cluster 4	4,5	7	13,5	1,9	18,5
04_33_C	Cluster 4	7,5	8	14,3	2,8	19,3
04_33_D	Cluster 4	10,5	8,5	14,8	3,2	19,8
04_34_A	Cluster 4	1,5	5,9	12,5	0,9	17,5
04_34_B	Cluster 4	4,5	6,8	13,3	1,7	18,3
04_34_C	Cluster 4	7,5	7,8	14,1	2,5	19,1
04_34_D	Cluster 4	10,5	8,3	14,6	3	19,6
04_35_A	Cluster 4	1,5	6	12,4	0,9	17,4
04_35_B	Cluster 4	4,5	6,7	13,1	1,5	18,1
04_35_C	Cluster 4	7,5	7,6	13,9	2,4	18,9
04_35_D	Cluster 4	10,5	8,1	14,4	2,8	19,4
04_36_A	Cluster 4	1,5	6,1	12,5	1	17,5
04_36_B	Cluster 4	4,5	6,7	13	1,5	18
04_36_C	Cluster 4	7,5	7,5	13,8	2,2	18,8
04_36_D	Cluster 4	10,5	8	14,2	2,6	19,2
04_37_A	Cluster 4	1,5	6	12,6	1	17,6
04_37_B	Cluster 4	4,5	6,5	12,9	1,4	17,9
04_37_C	Cluster 4	7,5	7,3	13,6	2,1	18,6
04_37_D	Cluster 4	10,5	7,8	14	2,4	19
04_38_A	Cluster 4	1,5	5,8	12,4	0,9	17,4
04_38_B	Cluster 4	4,5	6,3	12,8	1,2	17,8
04_38_C	Cluster 4	7,5	7,1	13,5	1,9	18,5
04_38_D	Cluster 4	10,5	7,6	13,8	2,3	18,8
04_39_A	Cluster 4	1,5	5,8	12,3	0,7	17,3
04_39_B	Cluster 4	4,5	6,4	12,7	1,2	17,7
04_40_A	Cluster 4	1,5	6,5	13,1	1,6	18,1
04_40_B	Cluster 4	4,5	7,3	13,7	2,1	18,7
04_41_A	Cluster 4	1,5	2,1	8,3	-3,3	13,3
04_41_B	Cluster 4	4,5	2,7	8,8	-2,8	13,8
04_42_A	Cluster 4	1,5	2,3	8,7	-2,9	13,7
04_42_B	Cluster 4	4,5	2,8	9,1	-2,4	14,1
04_43_A	Cluster 4	1,5	2,4	8,9	-2,7	13,9
04_43_B	Cluster 4	4,5	2,8	9,3	-2,3	14,3
04_43_C	Cluster 4	7,5	3,6	10	-1,6	15
04_44_A	Cluster 4	1,5	1,4	7,6	-4	12,6

Bijlage IV-4 Rekenresultaten indirecte hinder avondperiode wedstrijd dag

Naam	Omschrijving	Hoogte	Dag	Avond	Nacht	Etmaal
04_44_B	Cluster 4	4,5	1,5	7,9	-3,7	12,9
04_44_C	Cluster 4	7,5	2,1	8,6	-2,9	13,6
04_45_A	Cluster 4	1,5	0,1	6,2	-5,4	11,2
04_45_B	Cluster 4	4,5	0,6	7,1	-4,4	12,1
04_45_C	Cluster 4	7,5	1,9	8,3	-3,2	13,3
04_46_A	Cluster 4	1,5	-7,3	-1,3	-12,9	3,7
04_46_B	Cluster 4	4,5	-3,8	2,6	-8,9	7,6
04_47_A	Cluster 4	1,5	-10	-3,7	-15,3	1,3
04_47_B	Cluster 4	4,5	-7,1	-0,6	-12,2	4,4
04_48_A	Cluster 4	1,5	-10	-3,9	-15,4	1,1
04_48_B	Cluster 4	4,5	-6,7	-0,5	-12,1	4,5
04_48_C	Cluster 4	7,5	-6,2	0	-11,5	5
04_48_D	Cluster 4	10,5	-1	5,1	-6,4	10,1
04_49_A	Cluster 4	1,5	-7,1	0,1	-11,5	5,1
04_49_B	Cluster 4	4,5	-6,5	0	-11,5	5
04_49_C	Cluster 4	7,5	-6,6	-0,4	-12	4,6
04_49_D	Cluster 4	10,5	-1,7	4,8	-6,8	9,8
04_50_A	Cluster 4	1,5	-3,6	2,4	-9,2	7,4
04_50_B	Cluster 4	4,5	-3,4	2,9	-8,7	7,9
04_50_C	Cluster 4	7,5	-3	3,4	-8,1	8,4
04_50_D	Cluster 4	10,5	0,5	6,7	-4,9	11,7
04_51_A	Cluster 4	1,5	-3,2	3,2	-8,4	8,2
04_51_B	Cluster 4	4,5	-2,8	3,7	-7,8	8,7
04_51_C	Cluster 4	7,5	-2,6	4	-7,6	9
04_51_D	Cluster 4	10,5	0,8	7	-4,6	12
04_52_A	Cluster 4	1,5	-2,5	4	-7,6	9
04_52_B	Cluster 4	4,5	-2,2	4,8	-6,8	9,8
04_52_C	Cluster 4	7,5	-1,8	4,6	-7	9,6
04_52_D	Cluster 4	10,5	1,2	7,3	-4,3	12,3
04_53_A	Cluster 4	1,5	2,4	8,3	-3,2	13,3
04_53_B	Cluster 4	4,5	3,9	9,5	-2	14,5
04_53_C	Cluster 4	7,5	-1,2	5	-6,6	10
04_53_D	Cluster 4	10,5	1,6	7,6	-3,9	12,6
04_54_A	Cluster 4	1,5	1,1	6,6	-4,9	11,6
04_54_B	Cluster 4	4,5	2,6	8	-3,6	13
04_54_C	Cluster 4	7,5	-0,2	5,5	-6	10,5
04_54_D	Cluster 4	10,5	2,3	8,1	-3,4	13,1
04_55_A	Cluster 4	1,5	1,4	6,5	-5	11,5
04_55_B	Cluster 4	4,5	2,5	7,9	-3,7	12,9
04_55_C	Cluster 4	7,5	0,9	6,5	-5,1	11,5
04_55_D	Cluster 4	10,5	3,1	8,6	-3	13,6
04_56_A	Cluster 4	1,5	3,1	7,6	-3,9	12,6
04_56_B	Cluster 4	4,5	3,9	8,6	-3	13,6
04_56_C	Cluster 4	7,5	2,9	7,3	-4,2	12,3
04_56_D	Cluster 4	10,5	4,6	9,1	-2,5	14,1
04_57_A	Cluster 4	1,5	-1,5	3,1	-8,4	8,1
04_57_B	Cluster 4	4,5	4,9	10,4	-1,2	15,4
04_57_C	Cluster 4	7,5	4	9,5	-2	14,5
04_57_D	Cluster 4	10,5	4,1	9,9	-1,6	14,9
04_58_A	Cluster 4	1,5	0,1	6,5	-5,1	11,5
04_58_B	Cluster 4	4,5	4,2	9,5	-2	14,5
04_58_C	Cluster 4	7,5	3	7,6	-3,9	12,6
04_58_D	Cluster 4	10,5	3,7	8,5	-3,1	13,5
04_59_A	Cluster 4	1,5	3,3	9,2	-2,4	14,2
04_59_B	Cluster 4	4,5	1,3	7,5	-4,1	12,5
04_59_C	Cluster 4	7,5	3,1	8,5	-3	13,5
04_60_A	Cluster 4	1,5	-1,1	4,4	-7,1	9,4
04_60_B	Cluster 4	4,5	-3	2,3	-9,3	7,3
04_60_C	Cluster 4	7,5	-0,4	4,3	-7,2	9,3
04_61_A	Cluster 4	1,5	-0,5	4,3	-7,3	9,3
04_61_B	Cluster 4	4,5	-0,2	4,9	-6,6	9,9
04_61_C	Cluster 4	7,5	3	6,8	-4,8	11,8
04_62_A	Cluster 4	1,5	-0,6	6,3	-5,3	11,3
04_62_B	Cluster 4	4,5	-0,8	6,4	-5,1	11,4
04_62_C	Cluster 4	7,5	-2,9	3	-8,5	8
04_63_A	Cluster 4	1,5	1,2	7	-4,6	12
04_63_B	Cluster 4	4,5	2,3	8,3	-3,2	13,3
04_63_C	Cluster 4	7,5	0,9	7,1	-4,5	12,1

Bijlage IV-4 Rekenresultaten indirecte hinder avondperiode wedstrijd

Naam	Omschrijving	Hoogte	Dag	Avond	Nacht	Etmaal
04_64_A	Cluster 4	1,5	-0,4	5,7	-5,8	10,7
04_64_B	Cluster 4	4,5	2,1	8	-3,6	13
04_64_C	Cluster 4	7,5	3,3	9,1	-2,4	14,1
05_01_A	Cluster 5	1,5	-7,5	-2,6	-14,2	2,4
05_01_B	Cluster 5	4,5	-6,6	-1,3	-12,9	3,7
05_01_C	Cluster 5	7,5	-5,5	0	-11,5	5
05_02_A	Cluster 5	1,5	-8,3	-3,5	-15	1,5
05_02_B	Cluster 5	4,5	-7,5	-2,5	-14	2,5
05_02_C	Cluster 5	7,5	-6,4	-1	-12,6	4
05_03_A	Cluster 5	1,5	-3,5	3,4	-8,2	8,4
05_03_B	Cluster 5	4,5	-3,3	3,4	-8,1	8,4
05_03_C	Cluster 5	7,5	-2,7	3,9	-7,6	8,9
05_04_A	Cluster 5	1,5	-7	-1,2	-12,8	3,8
05_04_B	Cluster 5	4,5	-6,2	-0,5	-12	4,5
05_04_C	Cluster 5	7,5	-4,7	1,3	-10,3	6,3
05_05_A	Cluster 5	1,5	-5,6	0	-11,5	5
05_05_B	Cluster 5	4,5	-4,5	0,4	-11,1	5,4
05_05_C	Cluster 5	7,5	-6,4	-1,3	-12,9	3,7
05_06_A	Cluster 5	1,5	-7,3	-2,1	-13,6	2,9
05_06_B	Cluster 5	4,5	-6,4	-1	-12,6	4
05_06_C	Cluster 5	7,5	-5	0,3	-11,3	5,3
05_07_A	Cluster 5	1,5	-2	3,9	-7,7	8,9
05_07_B	Cluster 5	4,5	-1,9	3,5	-8	8,5
05_07_C	Cluster 5	7,5	-2,9	2,9	-8,7	7,9
05_08_A	Cluster 5	1,5	-3,1	1,9	-9,6	6,9
05_08_B	Cluster 5	4,5	-2,8	2,3	-9,3	7,3
05_08_C	Cluster 5	7,5	-4,5	0,8	-10,7	5,8
05_09_A	Cluster 5	1,5	-1,1	4,6	-6,9	9,6
05_09_B	Cluster 5	4,5	-1,6	4,1	-7,5	9,1
05_09_C	Cluster 5	7,5	-1,6	4,1	-7,5	9,1
05_10_A	Cluster 5	1,5	-0,7	4,8	-6,8	9,8
05_10_B	Cluster 5	4,5	0,7	7	-4,6	12
05_10_C	Cluster 5	7,5	1,3	7,3	-4,2	12,3
05_11_A	Cluster 5	1,5	0,5	5,6	-5,9	10,6
05_11_B	Cluster 5	4,5	0,6	5,5	-6,1	10,5
05_11_C	Cluster 5	7,5	-1,2	4,3	-7,2	9,3
05_12_A	Cluster 5	1,5	-2,9	2,7	-8,8	7,7
05_12_B	Cluster 5	4,5	-3,8	1,9	-9,7	6,9
05_12_C	Cluster 5	7,5	-4	2	-9,6	7
05_13_A	Cluster 5	1,5	-1,3	4,4	-7,2	9,4
05_13_B	Cluster 5	4,5	-0,4	5,2	-6,4	10,2
05_13_C	Cluster 5	7,5	1,3	6,9	-4,6	11,9
05_14_A	Cluster 5	1,5	0,4	6	-5,6	11
05_14_B	Cluster 5	4,5	-0,4	5,1	-6,5	10,1
05_14_C	Cluster 5	7,5	0,3	5,8	-5,8	10,8
05_15_A	Cluster 5	1,5	-0,7	4,7	-6,9	9,7
05_15_B	Cluster 5	4,5	-0,8	4,5	-7,1	9,5
05_15_C	Cluster 5	7,5	2,8	8,1	-3,4	13,1
05_16_A	Cluster 5	1,5	-3,6	1,8	-9,7	6,8
05_16_B	Cluster 5	4,5	-4,3	1,2	-10,4	6,2
05_16_C	Cluster 5	7,5	-0,6	4,9	-6,6	9,9
05_17_A	Cluster 5	1,5	-4,2	1,3	-10,3	6,3
05_17_B	Cluster 5	4,5	-4,2	1,3	-10,2	6,3
05_17_C	Cluster 5	7,5	-2,7	2,7	-8,9	7,7
05_18_A	Cluster 5	1,5	-1,3	4,9	-6,7	9,9
05_18_B	Cluster 5	4,5	-3,9	1,7	-9,8	6,7
05_18_C	Cluster 5	7,5	-2,5	3	-8,6	8
05_19_A	Cluster 5	1,5	-0,5	5	-6,6	10
05_19_B	Cluster 5	4,5	0	5,5	-6,1	10,5
05_19_C	Cluster 5	7,5	2	7,5	-4,1	12,5
05_20_A	Cluster 5	1,5	-2,8	3,2	-8,4	8,2
05_20_B	Cluster 5	4,5	-1,5	4,3	-7,3	9,3
05_20_C	Cluster 5	7,5	-2,1	3,4	-8,2	8,4
05_21_A	Cluster 5	1,5	-1,6	4,3	-7,3	9,3
05_21_B	Cluster 5	4,5	-4,5	0,7	-10,8	5,7
05_21_C	Cluster 5	7,5	-2,8	2,3	-9,3	7,3
05_22_A	Cluster 5	1,5	-3,1	2,4	-9,1	7,4
05_22_B	Cluster 5	4,5	-4,2	1,1	-10,5	6,1

Bijlage IV-4 Rekenresultaten indirecte hinder avondperiode wedstrijddag

Naam	Omschrijving	Hoogte	Dag	Avond	Nacht	Etmaal
05_22_C	Cluster 5	7,5	-6,3	-1	-12,6	4
05_23_A	Cluster 5	1,5	-1,5	3,8	-7,7	8,8
05_23_B	Cluster 5	4,5	-0,3	4,8	-6,7	9,8
05_23_C	Cluster 5	7,5	0,9	5,4	-6,1	10,4
05_24_A	Cluster 5	1,5	-4,6	0,6	-11	5,6
05_24_B	Cluster 5	4,5	-3	1,9	-9,6	6,9
05_24_C	Cluster 5	7,5	0,4	4,9	-6,7	9,9
05_25_A	Cluster 5	1,5	-6,8	-2,2	-13,7	2,8
05_25_B	Cluster 5	4,5	-5,5	-0,9	-12,5	4,1
05_25_C	Cluster 5	7,5	-0,5	3,8	-7,7	8,8
05_26_A	Cluster 5	1,5	-9,9	-3,9	-15,4	1,1
05_26_B	Cluster 5	4,5	-9,2	-2,8	-14,3	2,3
05_26_C	Cluster 5	7,5	-4	2,7	-8,9	7,7
05_27_A	Cluster 5	1,5	-9,6	-4,5	-16,1	0,5
05_27_B	Cluster 5	4,5	-9,1	-3,6	-15,2	1,4
05_27_C	Cluster 5	7,5	-4,2	1,8	-9,8	6,8
05_28_A	Cluster 5	1,5	-9,3	-3,8	-15,3	1,2
05_28_B	Cluster 5	4,5	-8,8	-3	-14,6	2
05_28_C	Cluster 5	7,5	-4,4	1,8	-9,7	6,8
05_29_A	Cluster 5	1,5	-5,2	0,4	-11,1	5,4
05_29_B	Cluster 5	4,5	-4,2	1,4	-10,1	6,4
05_29_C	Cluster 5	7,5	-5,7	0,3	-11,2	5,3
05_30_A	Cluster 5	1,5	-6,8	-1,2	-12,8	3,8
05_30_B	Cluster 5	4,5	-5,5	0,2	-11,3	5,2
05_30_C	Cluster 5	7,5	-3,8	1,9	-9,6	6,9
05_31_A	Cluster 5	1,5	-7,1	-1,7	-13,2	3,3
05_31_B	Cluster 5	4,5	-5,8	-0,3	-11,8	4,7
05_31_C	Cluster 5	7,5	-4,2	1,4	-10,1	6,4
05_32_A	Cluster 5	1,5	-7,2	-2,1	-13,7	2,9
05_32_B	Cluster 5	4,5	-5,9	-0,7	-12,2	4,3
05_32_C	Cluster 5	7,5	-4,3	1,2	-10,3	6,2
05_33_A	Cluster 5	1,5	-5,7	-0,9	-12,4	4,1
05_33_B	Cluster 5	4,5	-4,8	0,3	-11,3	5,3
05_33_C	Cluster 5	7,5	-4,1	1,3	-10,3	6,3
05_34_A	Cluster 5	1,5	-7,3	-2,2	-13,7	2,8
05_34_B	Cluster 5	4,5	-5,9	-0,7	-12,2	4,3
05_34_C	Cluster 5	7,5	-3,9	1,5	-10	6,5
05_35_A	Cluster 5	1,5	-7	-2	-13,5	3,1
05_35_B	Cluster 5	4,5	-5,6	-0,5	-12,1	4,5
05_35_C	Cluster 5	7,5	-3,8	1,4	-10,2	6,4
05_36_A	Cluster 5	1,5	-5,5	-1	-12,5	4
05_36_B	Cluster 5	4,5	-4	0,5	-11	5,5
05_36_C	Cluster 5	7,5	-4,2	1,1	-10,5	6,1
S_01_A	SMCD	2	-5,9	-0,4	-12	4,6
S_01_B	SMCD	5	-5,3	0,2	-11,4	5,2
S_02_A	SMCD	2	-7,6	-2,1	-13,6	2,9
S_02_B	SMCD	5	-7,2	-1,3	-12,9	3,7
S_03_A	SMCD	2	-4,4	2	-9,5	7
S_03_B	SMCD	5	-3,5	3,1	-8,4	8,1
S_04_A	SMCD	2	-2,3	3,7	-7,9	8,7
S_04_B	SMCD	5	-1,7	4,2	-7,4	9,2
S_05_A	SMCD	2	-6,2	-0,7	-12,3	4,3
S_05_B	SMCD	5	-5,6	-0,1	-11,7	4,9
S_06_A	SMCD	2	-2	3,6	-8	8,6
S_06_B	SMCD	5	0,3	5,7	-5,9	10,7
S_07_A	SMCD	2	-2,6	3,2	-8,3	8,2
S_07_B	SMCD	5	-0,2	5,4	-6,2	10,4
S_08_A	SMCD	1,5	-6,2	-1,7	-13,2	3,3
S_08_B	SMCD	5	-6,2	-2,2	-13,8	2,8
S_08_C	SMCD	8,5	-7,9	-2,9	-14,5	2,1
S_08_D	SMCD	12	-5,7	-0,3	-11,9	4,7
S_09_A	SMCD	1,5	-5,8	0,3	-11,2	5,3
S_09_B	SMCD	5	-8	-3,7	-15,2	1,3
S_09_C	SMCD	8,5	-7,6	-2,2	-13,8	2,8
S_09_D	SMCD	12	-5,4	0,1	-11,4	5,1
S_10_A	SMCD	1,5	-8,3	-3,2	-14,8	1,8
S_10_B	SMCD	5	-8,2	-3,2	-14,7	1,8
S_10_C	SMCD	8,5	-7	-1,7	-13,3	3,3

Bijlage IV-4 Rekenresultaten indirecte hinder avondperiode wedstrijddag

Naam	Omschrijving	Hoogte	Dag	Avond	Nacht	Etmaal
S_10_D	SMCD	12	-5	0,4	-11,2	5,4
S_11_A	SMCD	1,5	-5,6	-0,9	-12,4	4,1
S_11_B	SMCD	5	-7,3	-1,9	-13,4	3,1
S_11_C	SMCD	8,5	-6,2	-0,5	-12,1	4,5
S_11_D	SMCD	12	-4,4	1,1	-10,4	6,1
S_12_A	SMCD	1,5	-2,6	2,6	-9	7,6
S_12_B	SMCD	5	-5,6	-0,2	-11,7	4,8
S_12_C	SMCD	8,5	-4,7	1,1	-10,4	6,1
S_12_D	SMCD	12	-3,3	2,2	-9,3	7,2
S_13_A	SMCD	1,5	-1,2	4,4	-7,1	9,4
S_13_B	SMCD	5	-1,8	3,4	-8,2	8,4
S_13_C	SMCD	8,5	-2,3	3,6	-8	8,6
S_13_D	SMCD	12	-1,3	4,3	-7,2	9,3
S_14_A	SMCD	1,5	-3	2,6	-8,9	7,6
S_15_A	SMCD	1,5	-5,2	0,2	-11,4	5,2
S_16_A	SMCD	1,5	-1,5	4,1	-7,5	9,1
S_17_A	SMCD	5	0,6	5,8	-5,8	10,8
S_17_B	SMCD	8,5	10,6	15,9	4,4	20,9
S_17_C	SMCD	12	11,2	16,5	5	21,5
S_18_A	SMCD	1,5	-0,4	5,2	-6,3	10,2
S_18_B	SMCD	5	2,2	7,3	-4,2	12,3
S_18_C	SMCD	8,5	10,4	15,6	4,1	20,6
S_18_D	SMCD	12	11,3	16,5	4,9	21,5
S_19_A	SMCD	1,5	-1,8	3,9	-7,7	8,9
S_19_B	SMCD	5	2,1	7,3	-4,3	12,3
S_19_C	SMCD	8,5	10,9	15,7	4,2	20,7
S_20_A	SMCD	1,5	1,5	6,8	-4,7	11,8
S_20_B	SMCD	5	4,4	8,7	-2,8	13,7
S_20_C	SMCD	8,5	9,9	15,2	3,7	20,2
S_21_A	SMCD	1,5	1,5	8,2	-3,3	13,2
S_21_B	SMCD	5	8,8	14,4	2,8	19,4
S_21_C	SMCD	8,5	9,5	15,3	3,7	20,3
S_22_A	SMCD	1,5	1,1	6	-5,5	11
S_22_B	SMCD	5	6,7	11,5	0	16,5
S_22_C	SMCD	8,5	-4,2	1,6	-10	6,6
S_23_A	SMCD	1,5	1,5	6,4	-5,2	11,4
S_23_B	SMCD	5	6,6	10,8	-0,7	15,8
S_23_C	SMCD	8,5	-4,6	1	-10,6	6
S_24_A	SMCD	1,5	2,1	7,7	-3,9	12,7
S_24_B	SMCD	5	5,1	9,6	-2	14,6
S_24_C	SMCD	8,5	-0,1	6,5	-5	11,5
S_24_D	SMCD	12	0,7	7,2	-4,3	12,2
S_25_A	SMCD	1,5	2	7,7	-3,8	12,7
S_25_B	SMCD	5	8,4	13,8	2,2	18,8
S_25_C	SMCD	8,5	11,3	17	5,5	22
S_25_D	SMCD	12	12,2	17,7	6,2	22,7
S_26_A	SMCD	1,5	0,4	6,2	-5,4	11,2
S_26_B	SMCD	5	5,1	11,1	-0,5	16,1
S_26_C	SMCD	8,5	12	17,2	5,7	22,2
S_26_D	SMCD	12	13,2	18,3	6,7	23,3
S_27_A	SMCD	1,5	-0,2	5,8	-5,8	10,8
S_27_B	SMCD	5	6,9	12,7	1,1	17,7
S_27_C	SMCD	8,5	12,6	18,3	6,8	23,3
S_27_D	SMCD	12	13,3	19,3	7,7	24,3
S_28_A	SMCD	1,5	0,2	6	-5,5	11
S_28_B	SMCD	5	8	13,5	2	18,5
S_28_C	SMCD	8,5	12,6	18,7	7,2	23,7
S_28_D	SMCD	12	13,4	19,3	7,7	24,3
S_29_A	SMCD	1,5	2,7	8	-3,6	13
S_29_B	SMCD	5	5,9	10,9	-0,6	15,9
S_29_C	SMCD	8,5	11,5	17,4	5,8	22,4
S_29_D	SMCD	12	13,9	19,7	8,1	24,7
S_30_A	SMCD	1,5	3	8,8	-2,8	13,8
S_30_B	SMCD	5	4,5	10,3	-1,2	15,3
S_30_C	SMCD	8,5	12,9	18,7	7,1	23,7
S_30_D	SMCD	12	14,6	20,6	9,1	25,6
S_31_A	SMCD	1,5	0,9	6,7	-4,9	11,7
S_31_B	SMCD	5	1,8	8	-3,5	13

Bijlage IV-4 Rekenresultaten indirecte hinder avondperiode wedstrijddag

Naam	Omschrijving	Hoogte	Dag	Avond	Nacht	Etmaal
S_31_C	SMCD	8,5	13,2	19,4	7,8	24,4
S_31_D	SMCD	12	15	21,1	9,6	26,1
S_32_A	SMCD	1,5	4,2	9,7	-1,9	14,7
S_32_B	SMCD	5	7,5	12,8	1,2	17,8
S_32_C	SMCD	8,5	13,1	18,7	7,1	23,7
S_32_D	SMCD	12	14,9	20,6	9,1	25,6
S_33_A	SMCD	1,5	0,2	3,8	-7,8	8,8
S_33_B	SMCD	5	2,7	5,7	-5,8	10,7
S_33_C	SMCD	8,5	-2,8	7,4	-4,2	12,4
S_33_D	SMCD	12	-0,9	5	-6,5	10
S_34_A	SMCD	1,5	1,6	7,5	-4,1	12,5
S_34_B	SMCD	5	7,8	12,3	0,8	17,3
S_34_C	SMCD	8,5	11	16,3	4,8	21,3
S_34_D	SMCD	12	-2	4,2	-7,4	9,2
S_35_A	SMCD	1,5	2	8	-3,6	13
S_35_B	SMCD	5	3,7	8,7	-2,9	13,7
S_35_C	SMCD	8,5	6,1	11,4	-0,1	16,4
S_35_D	SMCD	12	8,8	14,5	2,9	19,5
S_36_A	SMCD	1,5	0,7	6,8	-4,7	11,8
S_36_B	SMCD	5	1,4	7,4	-4,2	12,4
S_36_C	SMCD	8,5	3,5	9,4	-2,2	14,4
S_36_D	SMCD	12	4,5	10,7	-0,9	15,7
S_37_A	SMCD	1,5	-0,4	5,5	-6,1	10,5
S_37_B	SMCD	5	0,2	6,1	-5,5	11,1
S_37_C	SMCD	8,5	2	8,1	-3,5	13,1
S_37_D	SMCD	12	-0,2	3,5	-8	8,5
S_38_A	SMCD	1,5	-1	4,7	-6,8	9,7
S_38_B	SMCD	5	-0,3	5,4	-6,2	10,4
S_38_C	SMCD	8,5	1,6	7,4	-4,2	12,4
S_38_D	SMCD	12	6,1	11,8	0,3	16,8
S_39_A	SMCD	1,5	-3,4	2	-9,6	7
S_39_B	SMCD	5	-3,2	2,4	-9,2	7,4
S_39_C	SMCD	8,5	-2,6	3,1	-8,4	8,1
S_40_A	SMCD	1,5	-1,3	4,4	-7,1	9,4
S_40_B	SMCD	5	-0,6	5,1	-6,5	10,1
S_40_C	SMCD	8,5	1,5	7,2	-4,4	12,2
S_41_A	SMCD	1,5	-1,3	4,2	-7,3	9,2
S_41_B	SMCD	5	-0,9	4,7	-6,9	9,7
S_41_C	SMCD	8,5	1,4	7	-4,5	12
S_42_A	SMCD	1,5	-1,2	4,3	-7,2	9,3
S_42_B	SMCD	5	-0,8	4,8	-6,8	9,8
S_42_C	SMCD	8,5	1,5	7,2	-4,3	12,2
S_43_A	SMCD	1,5	-0,8	4,6	-7	9,6
S_43_B	SMCD	5	-0,5	5	-6,6	10
S_43_C	SMCD	8,5	1,8	7,5	-4,1	12,5
S_43_D	SMCD	12	5	10,5	-1,1	15,5
S_44_A	SMCD	1,5	-2,6	3,1	-8,4	8,1
S_44_B	SMCD	5	-2,1	3,6	-8	8,6
S_44_C	SMCD	8,5	0,2	5,9	-5,6	10,9
S_44_D	SMCD	12	5,5	11,2	-0,4	16,2
S_45_A	SMCD	1,5	-1,9	4,1	-7,5	9,1
S_45_B	SMCD	5	-1,4	4,6	-7	9,6
S_45_C	SMCD	8,5	1,1	7,1	-4,5	12,1
S_45_D	SMCD	12	6,1	12,1	0,6	17,1
S_46_A	SMCD	1,5	0,5	6,2	-5,3	11,2
S_46_B	SMCD	5	1,3	6,8	-4,8	11,8
S_46_C	SMCD	8,5	4,4	9,9	-1,6	14,9
S_46_D	SMCD	12	7,8	13,5	2	18,5
S_47_A	SMCD	1,5	0,6	6,5	-5	11,5
S_47_B	SMCD	5	5,6	11,2	-0,4	16,2
S_47_C	SMCD	8,5	12,6	18,2	6,7	23,2
S_47_D	SMCD	12	14	19,8	8,3	24,8
S_48_A	SMCD	1,5	1,6	7,3	-4,3	12,3
S_48_B	SMCD	5	6,1	11,5	-0,1	16,5
S_48_C	SMCD	8,5	11,6	16,6	5,1	21,6
S_48_D	SMCD	12	13,6	19,4	7,8	24,4
S_49_A	SMCD	1,5	4,5	10,3	-1,3	15,3
S_49_B	SMCD	5	7,3	12,9	1,3	17,9

Bijlage IV-4 Rekenresultaten indirecte hinder avondperiode wedstrijddag

Naam	Omschrijving	Hoogte	Dag	Avond	Nacht	Etmaal
S_49_C	SMCD	8,5	-4,2	2	-9,6	7
S_49_D	SMCD	12	-2	4	-7,5	9
S_50_A	SMCD	1,5	1,9	7,8	-3,7	12,8
S_50_B	SMCD	5	-1,5	4,6	-6,9	9,6
S_50_C	SMCD	8,5	-4,5	1,4	-10,2	6,4
S_50_D	SMCD	12	-2,7	3,1	-8,5	8,1
S_51_A	SMCD	1,5	1,8	7,6	-4	12,6
S_51_B	SMCD	5	-0,8	5,2	-6,3	10,2
S_51_C	SMCD	8,5	-4,7	1,2	-10,3	6,2
S_51_D	SMCD	12	-3	2,9	-8,6	7,9
S_52_A	SMCD	1,5	0,3	5,1	-6,5	10,1
S_52_B	SMCD	5	-0,3	4	-7,6	9
S_52_C	SMCD	8,5	-5,1	0,8	-10,7	5,8
S_52_D	SMCD	12	-3,6	2,3	-9,2	7,3
S_53_A	SMCD	1,5	-5,6	0	-11,5	5
S_53_B	SMCD	5	-5,6	0	-11,6	5
S_53_C	SMCD	8,5	-5,2	0,5	-11,1	5,5
S_53_D	SMCD	12	-3,8	1,8	-9,7	6,8
S_54_A	SMCD	1,5	-5,6	0	-11,6	5
S_54_B	SMCD	5	-5,6	0	-11,6	5
S_54_C	SMCD	8,5	-4,8	0,9	-10,7	5,9
S_54_D	SMCD	12	-0,3	5,1	-6,5	10,1
S_55_A	SMCD	1,5	-5,4	0,3	-11,3	5,3
S_55_B	SMCD	5	-5,1	0,6	-11	5,6
S_55_C	SMCD	8,5	-3,1	2,5	-9,1	7,5
S_55_D	SMCD	12	2,8	8,3	-3,3	13,3
S_56_A	SMCD	1,5	-4,8	0,8	-10,7	5,8
S_56_B	SMCD	5	-4,4	1,5	-10,1	6,5
S_56_C	SMCD	8,5	-2,1	3,7	-7,9	8,7
S_56_D	SMCD	12	3,9	9,7	-1,9	14,7
S_57_A	SMCD	1,5	-4,8	1	-10,6	6
S_57_B	SMCD	5	-4,1	1,7	-9,8	6,7
S_57_C	SMCD	8,5	-1,3	4,8	-6,8	9,8
S_57_D	SMCD	12	4,7	10,8	-0,8	15,8
S_58_A	SMCD	1,5	-4,4	1,5	-10,1	6,5
S_58_B	SMCD	5	-3,6	2,3	-9,3	7,3
S_58_C	SMCD	8,5	-0,5	5,6	-6	10,6
S_58_D	SMCD	12	5,6	11,6	0,1	16,6
S_59_A	SMCD	1,5	-6,8	-1	-12,6	4
S_59_B	SMCD	5	-6,5	-0,8	-12,4	4,2
S_59_C	SMCD	8,5	-6	-0,1	-11,6	4,9
S_59_D	SMCD	12	-4,5	1,6	-10	6,6
S_60_A	SMCD	1,5	-6,8	-1	-12,5	4
S_60_B	SMCD	5	-6,5	-0,8	-12,3	4,2
S_60_C	SMCD	8,5	-5,8	0,2	-11,4	5,2
S_60_D	SMCD	12	-2,7	3,6	-7,9	8,6
S_61_A	SMCD	1,5	-4,1	1,9	-9,7	6,9
S_61_B	SMCD	5	-2,5	3,5	-8,1	8,5
S_61_C	SMCD	8,5	0,6	6,6	-4,9	11,6
S_61_D	SMCD	12	6,7	12,6	1	17,6
S_62_A	SMCD	1,5	-3,2	2,6	-9	7,6
S_62_B	SMCD	5	-1,2	4,5	-7,1	9,5
S_62_C	SMCD	8,5	1,8	7,6	-3,9	12,6
S_63_A	SMCD	1,5	-1,1	4,7	-6,9	9,7
S_63_B	SMCD	5	1,4	7	-4,6	12
S_63_C	SMCD	8,5	4,4	10,1	-1,5	15,1
S_64_A	SMCD	1,5	1,3	5,5	-6,1	10,5
S_64_B	SMCD	5	5,7	9,3	-2,3	14,3
S_64_C	SMCD	8,5	9,8	13,8	2,2	18,8
S_65_A	SMCD	1,5	-0,8	5,3	-6,2	10,3
S_65_B	SMCD	5	3,5	9,5	-2	14,5
S_65_C	SMCD	8,5	-2,8	2,6	-9	7,6
S_66_A	SMCD	1,5	0,4	5,3	-6,3	10,3
S_66_B	SMCD	5	7,1	11,9	0,3	16,9
S_66_C	SMCD	8,5	-5,6	0	-11,6	5
S_67_A	SMCD	1,5	0,3	6,7	-4,9	11,7
S_67_B	SMCD	5	6,7	10,7	-0,8	15,7
S_67_C	SMCD	8,5	-6,5	-0,8	-12,3	4,3

Bijlage IV-4 Rekenresultaten indirecte hinder avondperiode wedstrijddag

Naam	Omschrijving	Hoogte	Dag	Avond	Nacht	Etmaal
S_68_A	SMCD	1,5	-1,4	5	-6,5	10
S_68_B	SMCD	5	2,5	8,3	-3,3	13,3
S_68_C	SMCD	8,5	-6,5	-0,6	-12,2	4,4
S_69_A	SMCD	1,5	-5,9	0	-11,5	5
S_69_B	SMCD	5	-7,1	-1,4	-13	3,6
S_69_C	SMCD	8,5	-6,4	-0,6	-12,1	4,4
S_70_A	SMCD	1,5	-2,5	2,6	-9	7,6
S_70_B	SMCD	5	-7,3	-2	-13,5	3
S_70_C	SMCD	8,5	-6,7	-1,3	-12,8	3,7
S_70_D	SMCD	12	-4,2	1,5	-10,1	6,5
S_71_A	SMCD	1,5	-3,3	2,4	-9,2	7,4
S_71_B	SMCD	5	-1,5	3,8	-7,7	8,8
S_71_C	SMCD	8,5	-7,2	-1,7	-13,2	3,3
S_71_D	SMCD	12	-5,2	0,5	-11,1	5,5
S_72_A	SMCD	1,5	-2,1	3,3	-8,2	8,3
S_72_B	SMCD	5	-2,6	2,6	-9	7,6
S_72_C	SMCD	8,5	-7,7	-2	-13,6	3
S_72_D	SMCD	12	-5,9	-0,2	-11,8	4,8
S_73_A	SMCD	1,5	-6,1	-1,5	-13,1	3,5
S_73_B	SMCD	5	-8	-3,1	-14,6	2
S_73_C	SMCD	8,5	-8	-2,6	-14,2	2,4
S_73_D	SMCD	12	-6,3	-0,4	-11,9	4,6
S_74_A	SMCD	1,5	-7,5	-3,3	-14,9	1,7
S_74_B	SMCD	5	-7,2	-2,8	-14,3	2,2
S_74_C	SMCD	8,5	-7,5	-2,9	-14,4	2,1
S_74_D	SMCD	12	-5,5	-0,2	-11,7	4,8
S_75_A	SMCD	1,5	-4,8	0,8	-10,8	5,8
S_75_B	SMCD	5	-3,9	1,7	-9,8	6,7
S_75_C	SMCD	8,5	-8,1	-3,3	-14,9	1,7
S_75_D	SMCD	12	-6,2	-0,7	-12,2	4,3
S_76_A	SMCD	1,5	-3	1,9	-9,7	6,9
S_76_B	SMCD	5	-0,4	4,5	-7,1	9,5
S_76_C	SMCD	8,5	7,9	12,9	1,3	17,9
S_76_D	SMCD	12	11,7	16,6	5	21,6
S_77_A	SMCD	1,5	-3,5	1,5	-10,1	6,5
S_77_B	SMCD	5	-1,5	3,4	-8,1	8,4
S_77_C	SMCD	8,5	5,6	10,9	-0,6	15,9
S_77_D	SMCD	12	10,1	15	3,5	20
S_78_A	SMCD	1,5	-3,2	1,7	-9,9	6,7
S_78_B	SMCD	5	-1	3,7	-7,9	8,7
S_78_C	SMCD	8,5	5,2	10	-1,6	15
S_78_D	SMCD	12	0,8	6,2	-5,4	11,2
S_79_A	SMCD	1,5	-1,9	3,3	-8,2	8,3
S_79_B	SMCD	5	0,9	6,1	-5,5	11,1
S_79_C	SMCD	8,5	5,3	10,6	-0,9	15,6
S_79_D	SMCD	12	-5,4	-0,3	-11,8	4,7
S_80_A	SMCD	1,5	-2,2	3,3	-8,3	8,3
S_80_B	SMCD	5	0,2	5,5	-6	10,5
S_80_C	SMCD	8,5	3,3	9,7	-1,9	14,7
S_81_A	SMCD	1,5	-3,1	2	-9,6	7
S_81_B	SMCD	5	-1,7	3,6	-8	8,6
S_81_C	SMCD	8,5	1,7	7,2	-4,3	12,2
S_82_A	SMCD	1,5	-3,2	2	-9,6	7
S_82_B	SMCD	5	-2,2	3	-8,6	8
S_82_C	SMCD	8,5	0,7	6,3	-5,3	11,3
S_83_A	SMCD	1,5	-6,8	-1,2	-12,7	3,8
S_83_B	SMCD	5	-6,4	-0,5	-12,1	4,5
S_83_C	SMCD	8,5	-4,2	2,2	-9,4	7,2
S_84_A	SMCD	1,5	-6,8	-1,7	-13,2	3,3
S_84_B	SMCD	5	-6,6	-1,3	-12,8	3,8
S_84_C	SMCD	8,5	-4,8	0,9	-10,7	5,9
S_85_A	SMCD	1,5	-6,8	-1,4	-13	3,6
S_85_B	SMCD	5	-6,6	-1,2	-12,7	3,8
S_85_C	SMCD	8,5	-5,9	-0,2	-11,7	4,9
S_85_D	SMCD	12	-1,6	4,6	-7	9,6
S_86_A	SMCD	1,5	-6,6	-1	-12,6	4
S_86_B	SMCD	5	-6,5	-0,8	-12,4	4,2
S_86_C	SMCD	8,5	-5,8	0,1	-11,4	5,1

Bijlage IV-4 Rekenresultaten indirecte hinder avondperiode wedstrijddag

Naam	Omschrijving	Hoogte	Dag	Avond	Nacht	Etmaal
S_86_D	SMCD	12	-3,2	2,6	-8,9	7,6
S_87_A	SMCD	1,5	-6,7	-1,4	-13	3,6
S_87_B	SMCD	5	-6,6	-1,3	-12,9	3,7
S_87_C	SMCD	8,5	-5,9	-0,4	-11,9	4,6
S_87_D	SMCD	12	-3,4	2,3	-9,3	7,3
S_88_A	SMCD	1,5	-6,8	-1,5	-13	3,5
S_88_B	SMCD	5	-6,6	-1,3	-12,8	3,7
S_88_C	SMCD	8,5	-6	-0,4	-12	4,6
S_88_D	SMCD	12	-3,8	2	-9,6	7
S_89_A	SMCD	1,5	-6,9	-1,3	-12,8	3,7
S_89_B	SMCD	5	-6,7	-1,1	-12,7	3,9
S_89_C	SMCD	8,5	-6,1	-0,4	-12	4,6
S_89_D	SMCD	12	-4	1,6	-10	6,6
S_90_A	SMCD	1,5	-5,9	-0,4	-12	4,6
S_90_B	SMCD	5	-5,2	0,3	-11,2	5,3
S_90_C	SMCD	8,5	-1,9	3,9	-7,7	8,9
S_90_D	SMCD	12	3,2	8,8	-2,7	13,8
S_91_A	SMCD	1,5	-4,5	1,2	-10,4	6,2
S_91_B	SMCD	5	-3,6	2	-9,6	7
S_91_C	SMCD	8,5	0,3	6	-5,5	11
S_91_D	SMCD	12	6	11,9	0,3	16,9
S_92_A	SMCD	1,5	-3,9	1,7	-9,9	6,7
S_92_B	SMCD	5	-2,3	3,4	-8,1	8,4
S_92_C	SMCD	8,5	2	8,6	-3	13,6
S_92_D	SMCD	12	8,8	14,7	3,1	19,7
S_93_A	SMCD	1,5	-3,4	2,1	-9,5	7,1
S_93_B	SMCD	5	-1,1	4,4	-7,2	9,4
S_93_C	SMCD	8,5	7,1	12,9	1,4	17,9
S_93_D	SMCD	12	9,3	15	3,5	20
S_94_A	SMCD	1,5	-3,1	2,2	-9,3	7,2
S_94_B	SMCD	5	-0,8	4,5	-7,1	9,5
S_94_C	SMCD	8,5	8,5	14,3	2,7	19,3
S_94_D	SMCD	12	9,8	15,3	3,8	20,3
S_95_A	SMCD	1,5	-2,9	2,2	-9,4	7,2
S_95_B	SMCD	5	-0,3	4,8	-6,8	9,8
S_95_C	SMCD	8,5	9,7	14,9	3,4	19,9
S_95_D	SMCD	12	11,4	16,5	4,9	21,5

Bijlage V Cumulatieve geluidbelasting

Milieukwaliteitsmaat Miedema

Naam	Omschrijving	Hoogte	L _{etm,mkm}
01_01_A	Cluster 1	1,5	58
01_01_B	Cluster 1	4,5	60
01_01_C	Cluster 1	7,5	64
01_02_A	Cluster 1	1,5	57
01_02_B	Cluster 1	4,5	58
01_02_C	Cluster 1	7,5	64
01_03_A	Cluster 1	1,5	57
01_03_B	Cluster 1	4,5	58
01_03_C	Cluster 1	7,5	64
01_04_A	Cluster 1	1,5	58
01_04_B	Cluster 1	4,5	59
01_04_C	Cluster 1	7,5	64
01_05_A	Cluster 1	1,5	58
01_05_B	Cluster 1	4,5	59
01_05_C	Cluster 1	7,5	65
01_06_A	Cluster 1	1,5	53
01_06_B	Cluster 1	4,5	56
01_06_C	Cluster 1	7,5	63
01_07_A	Cluster 1	1,5	55
01_07_B	Cluster 1	4,5	57
01_07_C	Cluster 1	7,5	64
01_08_A	Cluster 1	1,5	58
01_08_B	Cluster 1	4,5	60
01_08_C	Cluster 1	7,5	63
01_09_A	Cluster 1	1,5	58
01_09_B	Cluster 1	4,5	61
01_09_C	Cluster 1	7,5	63
01_10_A	Cluster 1	1,5	58
01_10_B	Cluster 1	4,5	61
01_10_C	Cluster 1	7,5	63
01_100_A	Cluster 1	1,5	57
01_100_B	Cluster 1	4,5	62
01_100_C	Cluster 1	7,5	67
01_101_A	Cluster 1	1,5	55
01_101_B	Cluster 1	4,5	60
01_101_C	Cluster 1	7,5	66
01_11_A	Cluster 1	1,5	57
01_11_B	Cluster 1	4,5	62
01_11_C	Cluster 1	7,5	65
01_12_A	Cluster 1	1,5	58
01_12_B	Cluster 1	4,5	62
01_13_A	Cluster 1	1,5	59
01_13_B	Cluster 1	4,5	62
01_14_A	Cluster 1	1,5	60
01_14_B	Cluster 1	4,5	64
01_15_A	Cluster 1	1,5	59
01_15_B	Cluster 1	4,5	62
01_16_A	Cluster 1	1,5	58
01_16_B	Cluster 1	4,5	61
01_16_C	Cluster 1	7,5	65
01_17_A	Cluster 1	1,5	58
01_17_B	Cluster 1	4,5	62
01_17_C	Cluster 1	7,5	66
01_18_A	Cluster 1	1,5	59
01_18_B	Cluster 1	4,5	64
01_18_C	Cluster 1	7,5	66
01_19_A	Cluster 1	1,5	60
01_19_B	Cluster 1	4,5	64
01_19_C	Cluster 1	7,5	67
01_20_A	Cluster 1	1,5	60
01_20_B	Cluster 1	4,5	64
01_20_C	Cluster 1	7,5	66
01_21_A	Cluster 1	1,5	59
01_21_B	Cluster 1	4,5	63

Milieukwaliteitsmaat Miedema

Naam	Omschrijving	Hoogte	L _{etm,mkm}
01_21_C	Cluster 1	7,5	66
01_22_A	Cluster 1	1,5	60
01_22_B	Cluster 1	4,5	63
01_22_C	Cluster 1	7,5	66
01_23_A	Cluster 1	1,5	62
01_23_B	Cluster 1	4,5	65
01_23_C	Cluster 1	7,5	68
01_24_A	Cluster 1	1,5	60
01_24_B	Cluster 1	4,5	63
01_24_C	Cluster 1	7,5	67
01_25_A	Cluster 1	1,5	60
01_25_B	Cluster 1	4,5	64
01_26_A	Cluster 1	1,5	59
01_26_B	Cluster 1	4,5	62
01_27_A	Cluster 1	1,5	60
01_27_B	Cluster 1	4,5	64
01_28_A	Cluster 1	1,5	57
01_28_B	Cluster 1	4,5	60
01_29_A	Cluster 1	1,5	58
01_29_B	Cluster 1	4,5	61
01_29_C	Cluster 1	7,5	60
01_30_A	Cluster 1	1,5	55
01_30_B	Cluster 1	4,5	58
01_30_C	Cluster 1	7,5	59
01_31_A	Cluster 1	1,5	53
01_31_B	Cluster 1	4,5	55
01_31_C	Cluster 1	7,5	58
01_32_A	Cluster 1	1,5	53
01_32_B	Cluster 1	4,5	55
01_32_C	Cluster 1	7,5	59
01_33_A	Cluster 1	1,5	54
01_33_B	Cluster 1	4,5	54
01_33_C	Cluster 1	7,5	60
01_34_A	Cluster 1	1,5	54
01_34_B	Cluster 1	4,5	55
01_34_C	Cluster 1	7,5	61
01_35_A	Cluster 1	1,5	54
01_35_B	Cluster 1	4,5	55
01_35_C	Cluster 1	7,5	61
01_36_A	Cluster 1	1,5	53
01_36_B	Cluster 1	4,5	54
01_36_C	Cluster 1	7,5	59
01_37_A	Cluster 1	1,5	52
01_37_B	Cluster 1	4,5	53
01_38_A	Cluster 1	1,5	52
01_38_B	Cluster 1	4,5	55
01_39_A	Cluster 1	1,5	55
01_39_B	Cluster 1	4,5	58
01_40_A	Cluster 1	1,5	53
01_40_B	Cluster 1	4,5	57
01_41_A	Cluster 1	1,5	55
01_41_B	Cluster 1	4,5	57
01_41_C	Cluster 1	7,5	51
01_42_A	Cluster 1	1,5	60
01_42_B	Cluster 1	4,5	64
01_42_C	Cluster 1	7,5	66
01_43_A	Cluster 1	1,5	59
01_43_B	Cluster 1	4,5	62
01_43_C	Cluster 1	7,5	62
01_44_A	Cluster 1	1,5	56
01_44_B	Cluster 1	4,5	59
01_44_C	Cluster 1	7,5	63
01_45_A	Cluster 1	1,5	52
01_45_B	Cluster 1	4,5	56

Milieukwaliteitsmaat Miedema

Naam	Omschrijving	Hoogte	L _{etm,mkm}
01_45_C	Cluster 1	7,5	57
01_46_A	Cluster 1	1,5	52
01_46_B	Cluster 1	4,5	55
01_46_C	Cluster 1	7,5	54
01_47_A	Cluster 1	1,5	52
01_47_B	Cluster 1	4,5	55
01_47_C	Cluster 1	7,5	54
01_48_A	Cluster 1	1,5	52
01_48_B	Cluster 1	4,5	55
01_48_C	Cluster 1	7,5	56
01_49_A	Cluster 1	1,5	52
01_49_B	Cluster 1	4,5	55
01_49_C	Cluster 1	7,5	56
01_50_A	Cluster 1	1,5	52
01_50_B	Cluster 1	4,5	55
01_50_C	Cluster 1	7,5	58
01_51_A	Cluster 1	1,5	52
01_51_B	Cluster 1	4,5	55
01_51_C	Cluster 1	7,5	58
01_52_A	Cluster 1	1,5	52
01_52_B	Cluster 1	4,5	55
01_52_C	Cluster 1	7,5	59
01_53_A	Cluster 1	1,5	52
01_53_B	Cluster 1	4,5	55
01_53_C	Cluster 1	7,5	59
01_54_A	Cluster 1	1,5	53
01_54_B	Cluster 1	4,5	56
01_54_C	Cluster 1	7,5	62
01_55_A	Cluster 1	1,5	52
01_55_B	Cluster 1	4,5	55
01_55_C	Cluster 1	7,5	58
01_56_A	Cluster 1	1,5	54
01_56_B	Cluster 1	4,5	58
01_56_C	Cluster 1	7,5	62
01_57_A	Cluster 1	1,5	54
01_57_B	Cluster 1	4,5	59
01_57_C	Cluster 1	7,5	66
01_58_A	Cluster 1	1,5	55
01_58_B	Cluster 1	4,5	61
01_58_C	Cluster 1	7,5	63
01_59_A	Cluster 1	1,5	59
01_59_B	Cluster 1	4,5	63
01_59_C	Cluster 1	7,5	67
01_60_A	Cluster 1	1,5	59
01_60_B	Cluster 1	4,5	63
01_60_C	Cluster 1	7,5	67
01_61_A	Cluster 1	1,5	59
01_61_B	Cluster 1	4,5	64
01_61_C	Cluster 1	7,5	66
01_62_A	Cluster 1	1,5	58
01_62_B	Cluster 1	4,5	63
01_62_C	Cluster 1	7,5	65
01_63_A	Cluster 1	1,5	58
01_63_B	Cluster 1	4,5	63
01_63_C	Cluster 1	7,5	64
01_64_A	Cluster 1	1,5	52
01_64_B	Cluster 1	4,5	59
01_64_C	Cluster 1	7,5	66
01_65_A	Cluster 1	1,5	53
01_65_B	Cluster 1	4,5	59
01_65_C	Cluster 1	7,5	69
01_66_A	Cluster 1	1,5	52
01_66_B	Cluster 1	4,5	59
01_67_A	Cluster 1	1,5	57

Milieukwaliteitsmaat Miedema

Naam	Omschrijving	Hoogte	L _{etm,mkm}
01_67_B	Cluster 1	4,5	61
01_68_A	Cluster 1	1,5	56
01_68_B	Cluster 1	4,5	62
01_68_C	Cluster 1	7,5	54
01_69_A	Cluster 1	1,5	57
01_69_B	Cluster 1	4,5	63
01_69_C	Cluster 1	7,5	55
01_70_A	Cluster 1	1,5	58
01_70_B	Cluster 1	4,5	63
01_70_C	Cluster 1	7,5	56
01_71_A	Cluster 1	1,5	57
01_71_B	Cluster 1	4,5	63
01_71_C	Cluster 1	7,5	56
01_72_A	Cluster 1	1,5	58
01_72_B	Cluster 1	4,5	63
01_72_C	Cluster 1	7,5	55
01_73_A	Cluster 1	1,5	57
01_73_B	Cluster 1	4,5	63
01_73_C	Cluster 1	7,5	55
01_74_A	Cluster 1	1,5	58
01_74_B	Cluster 1	4,5	62
01_74_C	Cluster 1	7,5	55
01_75_A	Cluster 1	1,5	59
01_75_B	Cluster 1	4,5	62
01_75_C	Cluster 1	7,5	57
01_76_A	Cluster 1	1,5	59
01_76_B	Cluster 1	4,5	62
01_76_C	Cluster 1	7,5	54
01_77_A	Cluster 1	1,5	58
01_77_B	Cluster 1	4,5	61
01_78_A	Cluster 1	1,5	59
01_78_B	Cluster 1	4,5	63
01_79_A	Cluster 1	1,5	60
01_79_B	Cluster 1	4,5	63
01_79_C	Cluster 1	7,5	66
01_80_A	Cluster 1	1,5	60
01_80_B	Cluster 1	4,5	63
01_80_C	Cluster 1	7,5	66
01_81_A	Cluster 1	1,5	61
01_81_B	Cluster 1	4,5	64
01_81_C	Cluster 1	7,5	66
01_82_A	Cluster 1	1,5	61
01_82_B	Cluster 1	4,5	64
01_82_C	Cluster 1	7,5	66
01_83_A	Cluster 1	1,5	61
01_83_B	Cluster 1	4,5	64
01_83_C	Cluster 1	7,5	67
01_84_A	Cluster 1	1,5	60
01_84_B	Cluster 1	4,5	64
01_84_C	Cluster 1	7,5	67
01_85_A	Cluster 1	1,5	61
01_85_B	Cluster 1	4,5	64
01_85_C	Cluster 1	7,5	67
01_86_A	Cluster 1	1,5	55
01_86_B	Cluster 1	4,5	59
01_86_C	Cluster 1	7,5	60
01_87_A	Cluster 1	1,5	55
01_87_B	Cluster 1	4,5	58
01_88_A	Cluster 1	1,5	58
01_88_B	Cluster 1	4,5	61
01_89_A	Cluster 1	1,5	58
01_89_B	Cluster 1	4,5	63
01_89_C	Cluster 1	7,5	66
01_90_A	Cluster 1	1,5	59

Milieukwaliteitsmaat Miedema

Naam	Omschrijving	Hoogte	L _{etm,mkm}
01_90_B	Cluster 1	4,5	62
01_90_C	Cluster 1	7,5	66
01_91_A	Cluster 1	1,5	60
01_91_B	Cluster 1	4,5	63
01_91_C	Cluster 1	7,5	66
01_92_A	Cluster 1	1,5	58
01_92_B	Cluster 1	4,5	62
01_92_C	Cluster 1	7,5	67
01_93_A	Cluster 1	1,5	57
01_93_B	Cluster 1	4,5	61
01_93_C	Cluster 1	7,5	67
01_94_A	Cluster 1	1,5	58
01_94_B	Cluster 1	4,5	61
01_94_C	Cluster 1	7,5	67
01_95_A	Cluster 1	1,5	56
01_95_B	Cluster 1	4,5	60
01_95_C	Cluster 1	7,5	67
01_96_A	Cluster 1	1,5	56
01_96_B	Cluster 1	4,5	60
01_96_C	Cluster 1	7,5	67
01_97_A	Cluster 1	1,5	56
01_97_B	Cluster 1	4,5	60
01_97_C	Cluster 1	7,5	67
01_98_A	Cluster 1	1,5	57
01_98_B	Cluster 1	4,5	61
01_98_C	Cluster 1	7,5	67
01_99_A	Cluster 1	1,5	56
01_99_B	Cluster 1	4,5	61
01_99_C	Cluster 1	7,5	67
02_01_A	Cluster 2	1,5	59
02_01_B	Cluster 2	4,5	61
02_01_C	Cluster 2	7,5	65
02_02_A	Cluster 2	1,5	59
02_02_B	Cluster 2	4,5	62
02_02_C	Cluster 2	7,5	64
02_03_A	Cluster 2	1,5	60
02_03_B	Cluster 2	4,5	62
02_03_C	Cluster 2	7,5	64
02_04_A	Cluster 2	1,5	59
02_04_B	Cluster 2	4,5	62
02_04_C	Cluster 2	7,5	64
02_05_A	Cluster 2	1,5	60
02_05_B	Cluster 2	4,5	63
02_05_C	Cluster 2	7,5	65
02_06_A	Cluster 2	1,5	60
02_06_B	Cluster 2	4,5	63
02_06_C	Cluster 2	7,5	65
02_07_A	Cluster 2	1,5	59
02_07_B	Cluster 2	4,5	62
02_07_C	Cluster 2	7,5	66
02_08_A	Cluster 2	1,5	58
02_08_B	Cluster 2	4,5	61
02_08_C	Cluster 2	7,5	65
02_09_A	Cluster 2	1,5	58
02_09_B	Cluster 2	4,5	62
02_09_C	Cluster 2	7,5	65
02_10_A	Cluster 2	1,5	58
02_10_B	Cluster 2	4,5	63
02_10_C	Cluster 2	7,5	65
02_100_A	Cluster 2	1,5	51
02_100_B	Cluster 2	4,5	54
02_100_C	Cluster 2	7,5	63
02_101_A	Cluster 2	1,5	50
02_101_B	Cluster 2	4,5	53

Milieukwaliteitsmaat Miedema

Naam	Omschrijving	Hoogte	L _{etm,mkm}
02_101_C	Cluster 2	7,5	62
02_102_A	Cluster 2	1,5	51
02_102_B	Cluster 2	4,5	53
02_102_C	Cluster 2	7,5	61
02_103_A	Cluster 2	1,5	50
02_103_B	Cluster 2	4,5	53
02_103_C	Cluster 2	7,5	60
02_104_A	Cluster 2	1,5	50
02_104_B	Cluster 2	4,5	53
02_104_C	Cluster 2	7,5	59
02_105_A	Cluster 2	1,5	51
02_105_B	Cluster 2	4,5	53
02_105_C	Cluster 2	7,5	58
02_106_A	Cluster 2	1,5	51
02_106_B	Cluster 2	4,5	54
02_106_C	Cluster 2	7,5	58
02_107_A	Cluster 2	1,5	50
02_107_B	Cluster 2	4,5	52
02_107_C	Cluster 2	7,5	58
02_108_A	Cluster 2	1,5	51
02_108_B	Cluster 2	4,5	52
02_108_C	Cluster 2	7,5	59
02_11_A	Cluster 2	1,5	59
02_11_B	Cluster 2	4,5	62
02_11_C	Cluster 2	7,5	65
02_12_A	Cluster 2	1,5	61
02_12_B	Cluster 2	4,5	64
02_13_A	Cluster 2	1,5	60
02_13_B	Cluster 2	4,5	63
02_14_A	Cluster 2	1,5	61
02_14_B	Cluster 2	4,5	63
02_15_A	Cluster 2	1,5	61
02_15_B	Cluster 2	4,5	63
02_16_A	Cluster 2	1,5	61
02_16_B	Cluster 2	4,5	63
02_16_C	Cluster 2	7,5	64
02_16_D	Cluster 2	10,5	64
02_17_A	Cluster 2	1,5	62
02_17_B	Cluster 2	4,5	64
02_17_C	Cluster 2	7,5	64
02_17_D	Cluster 2	10,5	63
02_18_A	Cluster 2	1,5	62
02_18_B	Cluster 2	4,5	64
02_18_C	Cluster 2	7,5	65
02_18_D	Cluster 2	10,5	63
02_19_A	Cluster 2	1,5	62
02_19_B	Cluster 2	4,5	64
02_19_C	Cluster 2	7,5	65
02_19_D	Cluster 2	10,5	63
02_20_A	Cluster 2	1,5	62
02_20_B	Cluster 2	4,5	64
02_20_C	Cluster 2	7,5	65
02_20_D	Cluster 2	10,5	63
02_21_A	Cluster 2	1,5	62
02_21_B	Cluster 2	4,5	64
02_21_C	Cluster 2	7,5	65
02_21_D	Cluster 2	10,5	63
02_22_A	Cluster 2	1,5	62
02_22_B	Cluster 2	4,5	64
02_22_C	Cluster 2	7,5	65
02_22_D	Cluster 2	10,5	64
02_23_A	Cluster 2	1,5	62
02_23_B	Cluster 2	4,5	64
02_23_C	Cluster 2	7,5	64

Milieukwaliteitsmaat Miedema

Naam	Omschrijving	Hoogte	L _{etm,mkm}
02_23_D	Cluster 2	10,5	64
02_24_A	Cluster 2	1,5	63
02_24_B	Cluster 2	4,5	64
02_24_C	Cluster 2	7,5	65
02_24_D	Cluster 2	10,5	64
02_25_A	Cluster 2	1,5	62
02_25_B	Cluster 2	4,5	64
02_25_C	Cluster 2	7,5	64
02_25_D	Cluster 2	10,5	65
02_26_A	Cluster 2	1,5	59
02_26_B	Cluster 2	4,5	61
02_26_C	Cluster 2	7,5	62
02_26_D	Cluster 2	10,5	65
02_27_A	Cluster 2	1,5	61
02_27_B	Cluster 2	4,5	62
02_27_C	Cluster 2	7,5	63
02_27_D	Cluster 2	10,5	64
02_28_A	Cluster 2	1,5	63
02_28_B	Cluster 2	4,5	65
02_28_C	Cluster 2	7,5	65
02_28_D	Cluster 2	10,5	63
02_29_A	Cluster 2	1,5	63
02_29_B	Cluster 2	4,5	65
02_29_C	Cluster 2	7,5	65
02_29_D	Cluster 2	10,5	63
02_30_A	Cluster 2	1,5	63
02_30_B	Cluster 2	4,5	64
02_30_C	Cluster 2	7,5	65
02_30_D	Cluster 2	10,5	63
02_31_A	Cluster 2	1,5	63
02_31_B	Cluster 2	4,5	64
02_31_C	Cluster 2	7,5	65
02_31_D	Cluster 2	10,5	62
02_32_A	Cluster 2	1,5	58
02_32_B	Cluster 2	4,5	58
02_32_C	Cluster 2	7,5	58
02_32_D	Cluster 2	10,5	58
02_33_A	Cluster 2	1,5	57
02_33_B	Cluster 2	4,5	57
02_33_C	Cluster 2	7,5	59
02_34_A	Cluster 2	1,5	56
02_34_B	Cluster 2	4,5	56
02_34_C	Cluster 2	7,5	58
02_35_A	Cluster 2	1,5	55
02_35_B	Cluster 2	4,5	56
02_35_C	Cluster 2	7,5	58
02_36_A	Cluster 2	1,5	54
02_36_B	Cluster 2	4,5	55
02_36_C	Cluster 2	7,5	57
02_37_A	Cluster 2	1,5	53
02_37_B	Cluster 2	4,5	54
02_37_C	Cluster 2	7,5	56
02_38_A	Cluster 2	1,5	53
02_38_B	Cluster 2	4,5	54
02_38_C	Cluster 2	7,5	56
02_39_A	Cluster 2	1,5	54
02_39_B	Cluster 2	4,5	56
02_39_C	Cluster 2	7,5	60
02_40_A	Cluster 2	1,5	54
02_40_B	Cluster 2	4,5	57
02_40_C	Cluster 2	7,5	61
02_41_A	Cluster 2	1,5	55
02_41_B	Cluster 2	4,5	60
02_41_C	Cluster 2	7,5	65

Milieukwaliteitsmaat Miedema

Naam	Omschrijving	Hoogte	L _{etm,mkm}
02_42_A	Cluster 2	1,5	52
02_42_B	Cluster 2	4,5	58
02_42_C	Cluster 2	7,5	61
02_43_A	Cluster 2	1,5	53
02_43_B	Cluster 2	4,5	57
02_43_C	Cluster 2	7,5	60
02_44_A	Cluster 2	1,5	54
02_44_B	Cluster 2	4,5	58
02_45_A	Cluster 2	1,5	56
02_45_B	Cluster 2	4,5	60
02_46_A	Cluster 2	1,5	59
02_46_B	Cluster 2	4,5	64
02_47_A	Cluster 2	1,5	59
02_47_B	Cluster 2	4,5	63
02_48_A	Cluster 2	1,5	59
02_48_B	Cluster 2	4,5	64
02_48_C	Cluster 2	7,5	65
02_49_A	Cluster 2	1,5	59
02_49_B	Cluster 2	4,5	63
02_49_C	Cluster 2	7,5	65
02_50_A	Cluster 2	1,5	59
02_50_B	Cluster 2	4,5	63
02_50_C	Cluster 2	7,5	66
02_51_A	Cluster 2	1,5	59
02_51_B	Cluster 2	4,5	62
02_51_C	Cluster 2	7,5	66
02_52_A	Cluster 2	1,5	60
02_52_B	Cluster 2	4,5	63
02_52_C	Cluster 2	7,5	66
02_53_A	Cluster 2	1,5	60
02_53_B	Cluster 2	4,5	63
02_53_C	Cluster 2	7,5	66
02_54_A	Cluster 2	1,5	60
02_54_B	Cluster 2	4,5	63
02_54_C	Cluster 2	7,5	66
02_55_A	Cluster 2	1,5	61
02_55_B	Cluster 2	4,5	63
02_55_C	Cluster 2	7,5	66
02_56_A	Cluster 2	1,5	60
02_56_B	Cluster 2	4,5	62
02_56_C	Cluster 2	7,5	66
02_57_A	Cluster 2	1,5	60
02_57_B	Cluster 2	4,5	62
02_57_C	Cluster 2	7,5	66
02_58_A	Cluster 2	1,5	60
02_58_B	Cluster 2	4,5	62
02_58_C	Cluster 2	7,5	66
02_59_A	Cluster 2	1,5	55
02_59_B	Cluster 2	4,5	58
02_59_C	Cluster 2	7,5	63
02_60_A	Cluster 2	1,5	56
02_60_B	Cluster 2	4,5	57
02_60_C	Cluster 2	7,5	61
02_61_A	Cluster 2	1,5	55
02_61_B	Cluster 2	4,5	58
02_61_C	Cluster 2	7,5	63
02_62_A	Cluster 2	1,5	52
02_62_B	Cluster 2	4,5	54
02_62_C	Cluster 2	7,5	61
02_63_A	Cluster 2	1,5	50
02_63_B	Cluster 2	4,5	53
02_63_C	Cluster 2	7,5	59
02_64_A	Cluster 2	1,5	52
02_64_B	Cluster 2	4,5	55

Milieukwaliteitsmaat Miedema

Naam	Omschrijving	Hoogte	L _{etm,mkm}
02_64_C	Cluster 2	7,5	58
02_65_A	Cluster 2	1,5	56
02_65_B	Cluster 2	4,5	55
02_65_C	Cluster 2	7,5	58
02_66_A	Cluster 2	1,5	54
02_66_B	Cluster 2	4,5	56
02_66_C	Cluster 2	7,5	58
02_67_A	Cluster 2	1,5	59
02_67_B	Cluster 2	4,5	56
02_67_C	Cluster 2	7,5	58
02_68_A	Cluster 2	1,5	54
02_68_B	Cluster 2	4,5	55
02_68_C	Cluster 2	7,5	57
02_69_A	Cluster 2	1,5	48
02_69_B	Cluster 2	4,5	48
02_69_C	Cluster 2	7,5	55
02_70_A	Cluster 2	1,5	58
02_70_B	Cluster 2	4,5	56
02_70_C	Cluster 2	7,5	53
02_71_A	Cluster 2	1,5	57
02_71_B	Cluster 2	4,5	55
02_72_A	Cluster 2	1,5	51
02_72_B	Cluster 2	4,5	55
02_73_A	Cluster 2	1,5	54
02_73_B	Cluster 2	4,5	56
02_73_C	Cluster 2	7,5	62
02_73_D	Cluster 2	10,5	69
02_74_A	Cluster 2	1,5	59
02_74_B	Cluster 2	4,5	55
02_74_C	Cluster 2	7,5	63
02_74_D	Cluster 2	10,5	67
02_75_A	Cluster 2	1,5	58
02_75_B	Cluster 2	4,5	54
02_75_C	Cluster 2	7,5	64
02_75_D	Cluster 2	10,5	66
02_76_A	Cluster 2	1,5	59
02_76_B	Cluster 2	4,5	61
02_76_C	Cluster 2	7,5	65
02_76_D	Cluster 2	10,5	66
02_77_A	Cluster 2	1,5	59
02_77_B	Cluster 2	4,5	61
02_77_C	Cluster 2	7,5	65
02_77_D	Cluster 2	10,5	66
02_78_A	Cluster 2	1,5	59
02_78_B	Cluster 2	4,5	61
02_78_C	Cluster 2	7,5	65
02_78_D	Cluster 2	10,5	66
02_79_A	Cluster 2	1,5	59
02_79_B	Cluster 2	4,5	62
02_79_C	Cluster 2	7,5	65
02_79_D	Cluster 2	10,5	66
02_80_A	Cluster 2	1,5	60
02_80_B	Cluster 2	4,5	62
02_80_C	Cluster 2	7,5	65
02_80_D	Cluster 2	10,5	65
02_81_A	Cluster 2	1,5	59
02_81_B	Cluster 2	4,5	64
02_81_C	Cluster 2	7,5	65
02_81_D	Cluster 2	10,5	65
02_82_A	Cluster 2	1,5	60
02_82_B	Cluster 2	4,5	64
02_82_C	Cluster 2	7,5	64
02_82_D	Cluster 2	10,5	65
02_83_A	Cluster 2	1,5	59

Milieukwaliteitsmaat Miedema

Naam	Omschrijving	Hoogte	L _{etm,mkm}
02_83_B	Cluster 2	4,5	64
02_83_C	Cluster 2	7,5	64
02_83_D	Cluster 2	10,5	65
02_84_A	Cluster 2	1,5	54
02_84_B	Cluster 2	4,5	60
02_84_C	Cluster 2	7,5	60
02_84_D	Cluster 2	10,5	59
02_85_A	Cluster 2	1,5	56
02_85_B	Cluster 2	4,5	63
02_85_C	Cluster 2	7,5	64
02_85_D	Cluster 2	10,5	64
02_86_A	Cluster 2	1,5	54
02_86_B	Cluster 2	4,5	63
02_86_C	Cluster 2	7,5	64
02_87_A	Cluster 2	1,5	56
02_87_B	Cluster 2	4,5	64
02_87_C	Cluster 2	7,5	65
02_88_A	Cluster 2	1,5	53
02_88_B	Cluster 2	4,5	59
02_88_C	Cluster 2	7,5	62
02_89_A	Cluster 2	1,5	58
02_89_B	Cluster 2	4,5	65
02_89_C	Cluster 2	7,5	65
02_90_A	Cluster 2	1,5	57
02_90_B	Cluster 2	4,5	65
02_90_C	Cluster 2	7,5	66
02_91_A	Cluster 2	1,5	59
02_91_B	Cluster 2	4,5	65
02_91_C	Cluster 2	7,5	65
02_92_A	Cluster 2	1,5	57
02_92_B	Cluster 2	4,5	64
02_92_C	Cluster 2	7,5	64
02_93_A	Cluster 2	1,5	57
02_93_B	Cluster 2	4,5	63
02_93_C	Cluster 2	7,5	64
02_94_A	Cluster 2	1,5	53
02_94_B	Cluster 2	4,5	61
02_94_C	Cluster 2	7,5	64
02_95_A	Cluster 2	1,5	52
02_95_B	Cluster 2	4,5	57
02_95_C	Cluster 2	7,5	63
02_96_A	Cluster 2	1,5	52
02_96_B	Cluster 2	4,5	55
02_97_A	Cluster 2	1,5	51
02_97_B	Cluster 2	4,5	53
02_98_A	Cluster 2	1,5	49
02_98_B	Cluster 2	4,5	51
02_98_C	Cluster 2	7,5	59
02_99_A	Cluster 2	1,5	51
02_99_B	Cluster 2	4,5	55
02_99_C	Cluster 2	7,5	63
03_01_A	Cluster 3	1,5	53
03_01_B	Cluster 3	4,5	56
03_01_C	Cluster 3	7,5	62
03_02_A	Cluster 3	1,5	57
03_02_B	Cluster 3	4,5	61
03_02_C	Cluster 3	7,5	61
03_03_A	Cluster 3	1,5	57
03_03_B	Cluster 3	4,5	59
03_03_C	Cluster 3	7,5	60
03_04_A	Cluster 3	1,5	59
03_04_B	Cluster 3	4,5	63
03_04_C	Cluster 3	7,5	62
03_05_A	Cluster 3	1,5	58

Milieukwaliteitsmaat Miedema

Naam	Omschrijving	Hoogte	L _{etm, mkm}
03_05_B	Cluster 3	4,5	61
03_06_A	Cluster 3	1,5	59
03_06_B	Cluster 3	4,5	62
03_07_A	Cluster 3	1,5	58
03_07_B	Cluster 3	4,5	61
03_08_A	Cluster 3	1,5	55
03_08_B	Cluster 3	4,5	58
03_09_A	Cluster 3	1,5	52
03_09_B	Cluster 3	4,5	56
03_09_C	Cluster 3	7,5	65
03_10_A	Cluster 3	1,5	52
03_10_B	Cluster 3	4,5	55
03_10_C	Cluster 3	7,5	65
03_11_A	Cluster 3	1,5	51
03_11_B	Cluster 3	4,5	54
03_11_C	Cluster 3	7,5	65
03_12_A	Cluster 3	1,5	50
03_12_B	Cluster 3	4,5	54
03_12_C	Cluster 3	7,5	64
03_13_A	Cluster 3	1,5	50
03_13_B	Cluster 3	4,5	54
03_13_C	Cluster 3	7,5	64
03_14_A	Cluster 3	1,5	50
03_14_B	Cluster 3	4,5	53
03_14_C	Cluster 3	7,5	64
03_15_A	Cluster 3	1,5	50
03_15_B	Cluster 3	4,5	54
03_15_C	Cluster 3	7,5	64
03_16_A	Cluster 3	1,5	50
03_16_B	Cluster 3	4,5	53
03_16_C	Cluster 3	7,5	65
03_17_A	Cluster 3	1,5	50
03_17_B	Cluster 3	4,5	53
03_17_C	Cluster 3	7,5	65
03_18_A	Cluster 3	1,5	50
03_18_B	Cluster 3	4,5	53
03_18_C	Cluster 3	7,5	65
03_19_A	Cluster 3	1,5	50
03_19_B	Cluster 3	4,5	54
03_19_C	Cluster 3	7,5	64
03_20_A	Cluster 3	1,5	53
03_20_B	Cluster 3	4,5	55
03_20_C	Cluster 3	7,5	64
03_21_A	Cluster 3	1,5	57
03_21_B	Cluster 3	4,5	60
03_21_C	Cluster 3	7,5	61
03_22_A	Cluster 3	1,5	56
03_22_B	Cluster 3	4,5	59
03_22_C	Cluster 3	7,5	58
03_23_A	Cluster 3	1,5	56
03_23_B	Cluster 3	4,5	59
03_23_C	Cluster 3	7,5	60
03_24_A	Cluster 3	1,5	55
03_24_B	Cluster 3	4,5	59
03_24_C	Cluster 3	7,5	60
03_25_A	Cluster 3	1,5	55
03_25_B	Cluster 3	4,5	59
03_25_C	Cluster 3	7,5	60
03_26_A	Cluster 3	1,5	55
03_26_B	Cluster 3	4,5	59
03_26_C	Cluster 3	7,5	61
03_27_A	Cluster 3	1,5	55
03_27_B	Cluster 3	4,5	58
03_27_C	Cluster 3	7,5	62

Milieukwaliteitsmaat Miedema

Naam	Omschrijving	Hoogte	L _{etm,mkm}
03_28_A	Cluster 3	1,5	55
03_28_B	Cluster 3	4,5	58
03_28_C	Cluster 3	7,5	62
03_29_A	Cluster 3	1,5	55
03_29_B	Cluster 3	4,5	58
03_29_C	Cluster 3	7,5	62
03_30_A	Cluster 3	1,5	56
03_30_B	Cluster 3	4,5	59
03_30_C	Cluster 3	7,5	61
03_31_A	Cluster 3	1,5	52
03_31_B	Cluster 3	4,5	56
03_31_C	Cluster 3	7,5	60
03_32_A	Cluster 3	1,5	54
03_32_B	Cluster 3	4,5	61
03_32_C	Cluster 3	7,5	65
03_33_A	Cluster 3	1,5	52
03_33_B	Cluster 3	4,5	58
03_33_C	Cluster 3	7,5	62
03_34_A	Cluster 3	1,5	49
03_34_B	Cluster 3	4,5	54
03_34_C	Cluster 3	7,5	61
03_35_A	Cluster 3	1,5	50
03_35_B	Cluster 3	4,5	54
03_35_C	Cluster 3	7,5	62
03_36_A	Cluster 3	1,5	50
03_36_B	Cluster 3	4,5	54
03_36_C	Cluster 3	7,5	62
03_37_A	Cluster 3	1,5	50
03_37_B	Cluster 3	4,5	54
03_37_C	Cluster 3	7,5	62
03_38_A	Cluster 3	1,5	50
03_38_B	Cluster 3	4,5	53
03_38_C	Cluster 3	7,5	61
03_39_A	Cluster 3	1,5	48
03_39_B	Cluster 3	4,5	49
03_39_C	Cluster 3	7,5	53
03_40_A	Cluster 3	1,5	49
03_40_B	Cluster 3	4,5	50
03_40_C	Cluster 3	7,5	53
03_41_A	Cluster 3	1,5	50
03_41_B	Cluster 3	4,5	50
03_41_C	Cluster 3	7,5	53
03_42_A	Cluster 3	1,5	51
03_42_B	Cluster 3	4,5	52
03_42_C	Cluster 3	7,5	53
03_43_A	Cluster 3	1,5	56
03_43_B	Cluster 3	4,5	59
03_43_C	Cluster 3	7,5	61
03_44_A	Cluster 3	1,5	56
03_44_B	Cluster 3	4,5	60
03_44_C	Cluster 3	7,5	63
03_45_A	Cluster 3	1,5	56
03_45_B	Cluster 3	4,5	60
03_45_C	Cluster 3	7,5	63
03_46_A	Cluster 3	1,5	57
03_46_B	Cluster 3	4,5	60
03_46_C	Cluster 3	7,5	64
03_47_A	Cluster 3	1,5	52
03_47_B	Cluster 3	4,5	54
03_47_C	Cluster 3	7,5	61
03_48_A	Cluster 3	1,5	55
03_48_B	Cluster 3	4,5	61
03_48_C	Cluster 3	7,5	63
03_49_A	Cluster 3	1,5	55

Milieukwaliteitsmaat Miedema

Naam	Omschrijving	Hoogte	L _{etm,mkm}
03_49_B	Cluster 3	4,5	61
03_49_C	Cluster 3	7,5	62
03_50_A	Cluster 3	1,5	51
03_50_B	Cluster 3	4,5	58
03_50_C	Cluster 3	7,5	65
03_51_A	Cluster 3	1,5	52
03_51_B	Cluster 3	4,5	57
03_52_A	Cluster 3	1,5	54
03_52_B	Cluster 3	4,5	60
03_53_A	Cluster 3	1,5	54
03_53_B	Cluster 3	4,5	61
03_53_C	Cluster 3	7,5	57
03_54_A	Cluster 3	1,5	53
03_54_B	Cluster 3	4,5	59
03_54_C	Cluster 3	7,5	61
03_55_A	Cluster 3	1,5	53
03_55_B	Cluster 3	4,5	61
03_55_C	Cluster 3	7,5	59
03_56_A	Cluster 3	1,5	54
03_56_B	Cluster 3	4,5	61
03_56_C	Cluster 3	7,5	59
03_57_A	Cluster 3	1,5	53
03_57_B	Cluster 3	4,5	60
03_57_C	Cluster 3	7,5	61
03_58_A	Cluster 3	1,5	54
03_58_B	Cluster 3	4,5	61
03_58_C	Cluster 3	7,5	61
03_59_A	Cluster 3	1,5	53
03_59_B	Cluster 3	4,5	61
03_59_C	Cluster 3	7,5	59
03_60_A	Cluster 3	1,5	54
03_60_B	Cluster 3	4,5	61
03_60_C	Cluster 3	7,5	58
03_61_A	Cluster 3	1,5	54
03_61_B	Cluster 3	4,5	60
03_61_C	Cluster 3	7,5	56
03_62_A	Cluster 3	1,5	56
03_62_B	Cluster 3	4,5	60
03_62_C	Cluster 3	7,5	53
03_63_A	Cluster 3	1,5	55
03_63_B	Cluster 3	4,5	59
03_63_C	Cluster 3	7,5	53
03_64_A	Cluster 3	1,5	57
03_64_B	Cluster 3	4,5	59
03_64_C	Cluster 3	7,5	57
03_65_A	Cluster 3	1,5	53
03_65_B	Cluster 3	4,5	56
03_65_C	Cluster 3	7,5	62
03_66_A	Cluster 3	1,5	51
03_66_B	Cluster 3	4,5	55
03_66_C	Cluster 3	7,5	63
03_67_A	Cluster 3	1,5	49
03_67_B	Cluster 3	4,5	53
03_67_C	Cluster 3	7,5	63
03_68_A	Cluster 3	1,5	56
03_68_B	Cluster 3	4,5	59
03_68_C	Cluster 3	7,5	63
03_69_A	Cluster 3	1,5	57
03_69_B	Cluster 3	4,5	60
03_69_C	Cluster 3	7,5	63
03_70_A	Cluster 3	1,5	56
03_70_B	Cluster 3	4,5	60
03_70_C	Cluster 3	7,5	65
03_71_A	Cluster 3	1,5	57

Milieukwaliteitsmaat Miedema

Naam	Omschrijving	Hoogte	L _{etm,mkm}
03_71_B	Cluster 3	4,5	61
03_71_C	Cluster 3	7,5	65
03_72_A	Cluster 3	1,5	56
03_72_B	Cluster 3	4,5	61
03_72_C	Cluster 3	7,5	65
03_73_A	Cluster 3	1,5	56
03_73_B	Cluster 3	4,5	61
03_73_C	Cluster 3	7,5	65
03_74_A	Cluster 3	1,5	55
03_74_B	Cluster 3	4,5	61
03_74_C	Cluster 3	7,5	65
03_75_A	Cluster 3	1,5	51
03_75_B	Cluster 3	4,5	56
03_75_C	Cluster 3	7,5	65
03_76_A	Cluster 3	1,5	51
03_76_B	Cluster 3	4,5	56
03_76_C	Cluster 3	7,5	65
03_77_A	Cluster 3	1,5	51
03_77_B	Cluster 3	4,5	56
03_77_C	Cluster 3	7,5	65
03_78_A	Cluster 3	1,5	51
03_78_B	Cluster 3	4,5	56
03_78_C	Cluster 3	7,5	65
03_79_A	Cluster 3	1,5	51
03_79_B	Cluster 3	4,5	56
03_79_C	Cluster 3	7,5	65
03_80_A	Cluster 3	1,5	51
03_80_B	Cluster 3	4,5	56
03_80_C	Cluster 3	7,5	65
03_81_A	Cluster 3	1,5	53
03_81_B	Cluster 3	4,5	57
03_81_C	Cluster 3	7,5	65
03_82_A	Cluster 3	1,5	54
03_82_B	Cluster 3	4,5	59
03_82_C	Cluster 3	7,5	65
03_83_A	Cluster 3	1,5	53
03_83_B	Cluster 3	4,5	59
03_83_C	Cluster 3	7,5	64
03_84_A	Cluster 3	1,5	53
03_84_B	Cluster 3	4,5	58
03_84_C	Cluster 3	7,5	64
03_85_A	Cluster 3	1,5	53
03_85_B	Cluster 3	4,5	57
03_85_C	Cluster 3	7,5	62
03_86_A	Cluster 3	1,5	53
03_86_B	Cluster 3	4,5	57
03_86_C	Cluster 3	7,5	54
03_87_A	Cluster 3	1,5	55
03_87_B	Cluster 3	4,5	62
03_87_C	Cluster 3	7,5	64
04_01_A	Cluster 4	1,5	51
04_01_B	Cluster 4	4,5	52
04_01_C	Cluster 4	7,5	53
04_02_A	Cluster 4	1,5	47
04_02_B	Cluster 4	4,5	50
04_02_C	Cluster 4	7,5	52
04_03_A	Cluster 4	1,5	53
04_03_B	Cluster 4	4,5	55
04_03_C	Cluster 4	7,5	54
04_04_A	Cluster 4	1,5	51
04_04_B	Cluster 4	4,5	53
04_04_C	Cluster 4	7,5	53
04_05_A	Cluster 4	1,5	50
04_05_B	Cluster 4	4,5	51

Milieukwaliteitsmaat Miedema

Naam	Omschrijving	Hoogte	L _{etm,mkm}
04_05_C	Cluster 4	7,5	53
04_06_A	Cluster 4	1,5	50
04_06_B	Cluster 4	4,5	52
04_06_C	Cluster 4	7,5	54
04_07_A	Cluster 4	1,5	48
04_07_B	Cluster 4	4,5	50
04_07_C	Cluster 4	7,5	52
04_08_A	Cluster 4	1,5	48
04_08_B	Cluster 4	4,5	49
04_08_C	Cluster 4	7,5	51
04_09_A	Cluster 4	1,5	49
04_09_B	Cluster 4	4,5	50
04_09_C	Cluster 4	7,5	52
04_10_A	Cluster 4	1,5	51
04_10_B	Cluster 4	4,5	51
04_10_C	Cluster 4	7,5	52
04_11_A	Cluster 4	1,5	49
04_11_B	Cluster 4	4,5	51
04_11_C	Cluster 4	7,5	51
04_12_A	Cluster 4	1,5	48
04_12_B	Cluster 4	4,5	50
04_12_C	Cluster 4	7,5	50
04_13_A	Cluster 4	1,5	47
04_13_B	Cluster 4	4,5	49
04_13_C	Cluster 4	7,5	51
04_14_A	Cluster 4	1,5	48
04_14_B	Cluster 4	4,5	50
04_14_C	Cluster 4	7,5	52
04_15_A	Cluster 4	1,5	47
04_15_B	Cluster 4	4,5	49
04_15_C	Cluster 4	7,5	50
04_16_A	Cluster 4	1,5	48
04_16_B	Cluster 4	4,5	49
04_16_C	Cluster 4	7,5	51
04_17_A	Cluster 4	1,5	13
04_17_B	Cluster 4	4,5	49
04_17_C	Cluster 4	7,5	48
04_18_A	Cluster 4	1,5	48
04_18_B	Cluster 4	4,5	49
04_18_C	Cluster 4	7,5	50
04_19_A	Cluster 4	1,5	52
04_19_B	Cluster 4	4,5	51
04_19_C	Cluster 4	7,5	52
04_20_A	Cluster 4	1,5	48
04_20_B	Cluster 4	4,5	51
04_20_C	Cluster 4	7,5	53
04_21_A	Cluster 4	1,5	54
04_21_B	Cluster 4	4,5	54
04_21_C	Cluster 4	7,5	54
04_22_A	Cluster 4	1,5	56
04_22_B	Cluster 4	4,5	59
04_22_C	Cluster 4	7,5	59
04_23_A	Cluster 4	1,5	57
04_23_B	Cluster 4	4,5	61
04_23_C	Cluster 4	7,5	62
04_24_A	Cluster 4	1,5	57
04_24_B	Cluster 4	4,5	62
04_24_C	Cluster 4	7,5	63
04_25_A	Cluster 4	1,5	57
04_25_B	Cluster 4	4,5	62
04_25_C	Cluster 4	7,5	63
04_26_A	Cluster 4	1,5	57
04_26_B	Cluster 4	4,5	62
04_26_C	Cluster 4	7,5	63

Milieukwaliteitsmaat Miedema

Naam	Omschrijving	Hoogte	L _{etm,mkm}
04_27_A	Cluster 4	1,5	58
04_27_B	Cluster 4	4,5	62
04_27_C	Cluster 4	7,5	63
04_27_D	Cluster 4	10,5	63
04_28_A	Cluster 4	1,5	61
04_28_B	Cluster 4	4,5	62
04_28_C	Cluster 4	7,5	63
04_28_D	Cluster 4	10,5	62
04_29_A	Cluster 4	1,5	61
04_29_B	Cluster 4	4,5	62
04_29_C	Cluster 4	7,5	62
04_29_D	Cluster 4	10,5	62
04_30_A	Cluster 4	1,5	61
04_30_B	Cluster 4	4,5	62
04_30_C	Cluster 4	7,5	62
04_30_D	Cluster 4	10,5	62
04_31_A	Cluster 4	1,5	61
04_31_B	Cluster 4	4,5	62
04_31_C	Cluster 4	7,5	62
04_31_D	Cluster 4	10,5	63
04_32_A	Cluster 4	1,5	61
04_32_B	Cluster 4	4,5	62
04_32_C	Cluster 4	7,5	62
04_32_D	Cluster 4	10,5	62
04_33_A	Cluster 4	1,5	61
04_33_B	Cluster 4	4,5	62
04_33_C	Cluster 4	7,5	62
04_33_D	Cluster 4	10,5	62
04_34_A	Cluster 4	1,5	61
04_34_B	Cluster 4	4,5	62
04_34_C	Cluster 4	7,5	62
04_34_D	Cluster 4	10,5	62
04_35_A	Cluster 4	1,5	60
04_35_B	Cluster 4	4,5	62
04_35_C	Cluster 4	7,5	62
04_35_D	Cluster 4	10,5	62
04_36_A	Cluster 4	1,5	60
04_36_B	Cluster 4	4,5	62
04_36_C	Cluster 4	7,5	62
04_36_D	Cluster 4	10,5	62
04_37_A	Cluster 4	1,5	60
04_37_B	Cluster 4	4,5	61
04_37_C	Cluster 4	7,5	62
04_37_D	Cluster 4	10,5	62
04_38_A	Cluster 4	1,5	60
04_38_B	Cluster 4	4,5	61
04_38_C	Cluster 4	7,5	62
04_38_D	Cluster 4	10,5	62
04_39_A	Cluster 4	1,5	60
04_39_B	Cluster 4	4,5	61
04_40_A	Cluster 4	1,5	60
04_40_B	Cluster 4	4,5	61
04_41_A	Cluster 4	1,5	58
04_41_B	Cluster 4	4,5	59
04_42_A	Cluster 4	1,5	57
04_42_B	Cluster 4	4,5	59
04_43_A	Cluster 4	1,5	57
04_43_B	Cluster 4	4,5	59
04_43_C	Cluster 4	7,5	59
04_44_A	Cluster 4	1,5	55
04_44_B	Cluster 4	4,5	57
04_44_C	Cluster 4	7,5	60
04_45_A	Cluster 4	1,5	54
04_45_B	Cluster 4	4,5	56

Milieukwaliteitsmaat Miedema

Naam	Omschrijving	Hoogte	L _{etm,mkm}
04_45_C	Cluster 4	7,5	60
04_46_A	Cluster 4	1,5	52
04_46_B	Cluster 4	4,5	55
04_47_A	Cluster 4	1,5	49
04_47_B	Cluster 4	4,5	54
04_48_A	Cluster 4	1,5	50
04_48_B	Cluster 4	4,5	55
04_48_C	Cluster 4	7,5	55
04_48_D	Cluster 4	10,5	58
04_49_A	Cluster 4	1,5	50
04_49_B	Cluster 4	4,5	55
04_49_C	Cluster 4	7,5	57
04_49_D	Cluster 4	10,5	57
04_50_A	Cluster 4	1,5	54
04_50_B	Cluster 4	4,5	58
04_50_C	Cluster 4	7,5	62
04_50_D	Cluster 4	10,5	62
04_51_A	Cluster 4	1,5	54
04_51_B	Cluster 4	4,5	58
04_51_C	Cluster 4	7,5	62
04_51_D	Cluster 4	10,5	62
04_52_A	Cluster 4	1,5	55
04_52_B	Cluster 4	4,5	58
04_52_C	Cluster 4	7,5	61
04_52_D	Cluster 4	10,5	62
04_53_A	Cluster 4	1,5	54
04_53_B	Cluster 4	4,5	57
04_53_C	Cluster 4	7,5	61
04_53_D	Cluster 4	10,5	62
04_54_A	Cluster 4	1,5	54
04_54_B	Cluster 4	4,5	57
04_54_C	Cluster 4	7,5	61
04_54_D	Cluster 4	10,5	62
04_55_A	Cluster 4	1,5	53
04_55_B	Cluster 4	4,5	56
04_55_C	Cluster 4	7,5	61
04_55_D	Cluster 4	10,5	62
04_56_A	Cluster 4	1,5	51
04_56_B	Cluster 4	4,5	55
04_56_C	Cluster 4	7,5	60
04_56_D	Cluster 4	10,5	62
04_57_A	Cluster 4	1,5	49
04_57_B	Cluster 4	4,5	52
04_57_C	Cluster 4	7,5	59
04_57_D	Cluster 4	10,5	63
04_58_A	Cluster 4	1,5	50
04_58_B	Cluster 4	4,5	53
04_58_C	Cluster 4	7,5	59
04_58_D	Cluster 4	10,5	62
04_59_A	Cluster 4	1,5	47
04_59_B	Cluster 4	4,5	51
04_59_C	Cluster 4	7,5	54
04_60_A	Cluster 4	1,5	48
04_60_B	Cluster 4	4,5	52
04_60_C	Cluster 4	7,5	56
04_61_A	Cluster 4	1,5	50
04_61_B	Cluster 4	4,5	54
04_61_C	Cluster 4	7,5	57
04_62_A	Cluster 4	1,5	49
04_62_B	Cluster 4	4,5	52
04_62_C	Cluster 4	7,5	54
04_63_A	Cluster 4	1,5	46
04_63_B	Cluster 4	4,5	51
04_63_C	Cluster 4	7,5	53

Milieukwaliteitsmaat Miedema

Naam	Omschrijving	Hoogte	L _{etm,mkm}
04_64_A	Cluster 4	1,5	48
04_64_B	Cluster 4	4,5	49
04_64_C	Cluster 4	7,5	48
05_01_A	Cluster 5	1,5	48
05_01_B	Cluster 5	4,5	49
05_01_C	Cluster 5	7,5	49
05_02_A	Cluster 5	1,5	44
05_02_B	Cluster 5	4,5	45
05_02_C	Cluster 5	7,5	47
05_03_A	Cluster 5	1,5	49
05_03_B	Cluster 5	4,5	50
05_03_C	Cluster 5	7,5	50
05_04_A	Cluster 5	1,5	47
05_04_B	Cluster 5	4,5	50
05_04_C	Cluster 5	7,5	51
05_05_A	Cluster 5	1,5	58
05_05_B	Cluster 5	4,5	61
05_05_C	Cluster 5	7,5	61
05_06_A	Cluster 5	1,5	54
05_06_B	Cluster 5	4,5	61
05_06_C	Cluster 5	7,5	62
05_07_A	Cluster 5	1,5	57
05_07_B	Cluster 5	4,5	60
05_07_C	Cluster 5	7,5	61
05_08_A	Cluster 5	1,5	54
05_08_B	Cluster 5	4,5	57
05_08_C	Cluster 5	7,5	54
05_09_A	Cluster 5	1,5	57
05_09_B	Cluster 5	4,5	62
05_09_C	Cluster 5	7,5	63
05_10_A	Cluster 5	1,5	58
05_10_B	Cluster 5	4,5	62
05_10_C	Cluster 5	7,5	63
05_11_A	Cluster 5	1,5	58
05_11_B	Cluster 5	4,5	60
05_11_C	Cluster 5	7,5	59
05_12_A	Cluster 5	1,5	53
05_12_B	Cluster 5	4,5	54
05_12_C	Cluster 5	7,5	55
05_13_A	Cluster 5	1,5	52
05_13_B	Cluster 5	4,5	53
05_13_C	Cluster 5	7,5	55
05_14_A	Cluster 5	1,5	57
05_14_B	Cluster 5	4,5	58
05_14_C	Cluster 5	7,5	59
05_15_A	Cluster 5	1,5	57
05_15_B	Cluster 5	4,5	58
05_15_C	Cluster 5	7,5	60
05_16_A	Cluster 5	1,5	53
05_16_B	Cluster 5	4,5	53
05_16_C	Cluster 5	7,5	59
05_17_A	Cluster 5	1,5	57
05_17_B	Cluster 5	4,5	62
05_17_C	Cluster 5	7,5	62
05_18_A	Cluster 5	1,5	55
05_18_B	Cluster 5	4,5	62
05_18_C	Cluster 5	7,5	63
05_19_A	Cluster 5	1,5	60
05_19_B	Cluster 5	4,5	58
05_19_C	Cluster 5	7,5	59
05_20_A	Cluster 5	1,5	52
05_20_B	Cluster 5	4,5	53
05_20_C	Cluster 5	7,5	58
05_21_A	Cluster 5	1,5	54

Milieukwaliteitsmaat Miedema

Naam	Omschrijving	Hoogte	L _{etm,mkm}
05_21_B	Cluster 5	4,5	62
05_21_C	Cluster 5	7,5	63
05_22_A	Cluster 5	1,5	58
05_22_B	Cluster 5	4,5	57
05_22_C	Cluster 5	7,5	57
05_23_A	Cluster 5	1,5	59
05_23_B	Cluster 5	4,5	60
05_23_C	Cluster 5	7,5	61
05_24_A	Cluster 5	1,5	56
05_24_B	Cluster 5	4,5	58
05_24_C	Cluster 5	7,5	58
05_25_A	Cluster 5	1,5	57
05_25_B	Cluster 5	4,5	58
05_25_C	Cluster 5	7,5	58
05_26_A	Cluster 5	1,5	57
05_26_B	Cluster 5	4,5	58
05_26_C	Cluster 5	7,5	59
05_27_A	Cluster 5	1,5	57
05_27_B	Cluster 5	4,5	59
05_27_C	Cluster 5	7,5	60
05_28_A	Cluster 5	1,5	57
05_28_B	Cluster 5	4,5	58
05_28_C	Cluster 5	7,5	59
05_29_A	Cluster 5	1,5	56
05_29_B	Cluster 5	4,5	57
05_29_C	Cluster 5	7,5	57
05_30_A	Cluster 5	1,5	50
05_30_B	Cluster 5	4,5	51
05_30_C	Cluster 5	7,5	52
05_31_A	Cluster 5	1,5	46
05_31_B	Cluster 5	4,5	47
05_31_C	Cluster 5	7,5	50
05_32_A	Cluster 5	1,5	46
05_32_B	Cluster 5	4,5	48
05_32_C	Cluster 5	7,5	51
05_33_A	Cluster 5	1,5	48
05_33_B	Cluster 5	4,5	49
05_33_C	Cluster 5	7,5	51
05_34_A	Cluster 5	1,5	54
05_34_B	Cluster 5	4,5	55
05_34_C	Cluster 5	7,5	56
05_35_A	Cluster 5	1,5	56
05_35_B	Cluster 5	4,5	58
05_35_C	Cluster 5	7,5	59
05_36_A	Cluster 5	1,5	54
05_36_B	Cluster 5	4,5	56
05_36_C	Cluster 5	7,5	58
S_01_A	SMCD	2	55
S_01_B	SMCD	5	56
S_02_A	SMCD	2	53
S_02_B	SMCD	5	54
S_03_A	SMCD	2	53
S_03_B	SMCD	5	54
S_04_A	SMCD	2	51
S_04_B	SMCD	5	52
S_05_A	SMCD	2	44
S_05_B	SMCD	5	46
S_06_A	SMCD	2	50
S_06_B	SMCD	5	51
S_07_A	SMCD	2	52
S_07_B	SMCD	5	52
S_08_A	SMCD	1,5	55
S_08_B	SMCD	5	60
S_08_C	SMCD	8,5	60

Milieukwaliteitsmaat Miedema

Naam	Omschrijving	Hoogte	L _{etm,mkm}
S_08_D	SMCD	12	61
S_09_A	SMCD	1,5	54
S_09_B	SMCD	5	60
S_09_C	SMCD	8,5	60
S_09_D	SMCD	12	61
S_10_A	SMCD	1,5	54
S_10_B	SMCD	5	58
S_10_C	SMCD	8,5	61
S_10_D	SMCD	12	62
S_11_A	SMCD	1,5	53
S_11_B	SMCD	5	56
S_11_C	SMCD	8,5	61
S_11_D	SMCD	12	62
S_12_A	SMCD	1,5	53
S_12_B	SMCD	5	56
S_12_C	SMCD	8,5	61
S_12_D	SMCD	12	62
S_13_A	SMCD	1,5	53
S_13_B	SMCD	5	55
S_13_C	SMCD	8,5	62
S_13_D	SMCD	12	63
S_14_A	SMCD	1,5	52
S_15_A	SMCD	1,5	48
S_16_A	SMCD	1,5	49
S_17_A	SMCD	5	54
S_17_B	SMCD	8,5	64
S_17_C	SMCD	12	65
S_18_A	SMCD	1,5	48
S_18_B	SMCD	5	54
S_18_C	SMCD	8,5	64
S_18_D	SMCD	12	65
S_19_A	SMCD	1,5	52
S_19_B	SMCD	5	61
S_19_C	SMCD	8,5	64
S_20_A	SMCD	1,5	53
S_20_B	SMCD	5	62
S_20_C	SMCD	8,5	64
S_21_A	SMCD	1,5	53
S_21_B	SMCD	5	55
S_21_C	SMCD	8,5	62
S_22_A	SMCD	1,5	59
S_22_B	SMCD	5	64
S_22_C	SMCD	8,5	65
S_23_A	SMCD	1,5	58
S_23_B	SMCD	5	64
S_23_C	SMCD	8,5	65
S_24_A	SMCD	1,5	59
S_24_B	SMCD	5	64
S_24_C	SMCD	8,5	66
S_24_D	SMCD	12	65
S_25_A	SMCD	1,5	58
S_25_B	SMCD	5	61
S_25_C	SMCD	8,5	64
S_25_D	SMCD	12	65
S_26_A	SMCD	1,5	58
S_26_B	SMCD	5	62
S_26_C	SMCD	8,5	64
S_26_D	SMCD	12	65
S_27_A	SMCD	1,5	57
S_27_B	SMCD	5	62
S_27_C	SMCD	8,5	63
S_27_D	SMCD	12	64
S_28_A	SMCD	1,5	56
S_28_B	SMCD	5	62

Milieukwaliteitsmaat Miedema

Naam	Omschrijving	Hoogte	L _{etm,mkm}
S_28_C	SMCD	8,5	64
S_28_D	SMCD	12	64
S_29_A	SMCD	1,5	53
S_29_B	SMCD	5	59
S_29_C	SMCD	8,5	63
S_29_D	SMCD	12	64
S_30_A	SMCD	1,5	53
S_30_B	SMCD	5	59
S_30_C	SMCD	8,5	63
S_30_D	SMCD	12	64
S_31_A	SMCD	1,5	54
S_31_B	SMCD	5	57
S_31_C	SMCD	8,5	63
S_31_D	SMCD	12	65
S_32_A	SMCD	1,5	54
S_32_B	SMCD	5	56
S_32_C	SMCD	8,5	57
S_32_D	SMCD	12	57
S_33_A	SMCD	1,5	51
S_33_B	SMCD	5	52
S_33_C	SMCD	8,5	54
S_33_D	SMCD	12	53
S_34_A	SMCD	1,5	51
S_34_B	SMCD	5	52
S_34_C	SMCD	8,5	54
S_34_D	SMCD	12	58
S_35_A	SMCD	1,5	50
S_35_B	SMCD	5	51
S_35_C	SMCD	8,5	53
S_35_D	SMCD	12	59
S_36_A	SMCD	1,5	49
S_36_B	SMCD	5	49
S_36_C	SMCD	8,5	52
S_36_D	SMCD	12	50
S_37_A	SMCD	1,5	49
S_37_B	SMCD	5	50
S_37_C	SMCD	8,5	53
S_37_D	SMCD	12	58
S_38_A	SMCD	1,5	49
S_38_B	SMCD	5	50
S_38_C	SMCD	8,5	53
S_38_D	SMCD	12	60
S_39_A	SMCD	1,5	49
S_39_B	SMCD	5	49
S_39_C	SMCD	8,5	51
S_40_A	SMCD	1,5	49
S_40_B	SMCD	5	49
S_40_C	SMCD	8,5	51
S_41_A	SMCD	1,5	49
S_41_B	SMCD	5	49
S_41_C	SMCD	8,5	51
S_42_A	SMCD	1,5	49
S_42_B	SMCD	5	49
S_42_C	SMCD	8,5	51
S_43_A	SMCD	1,5	50
S_43_B	SMCD	5	50
S_43_C	SMCD	8,5	53
S_43_D	SMCD	12	57
S_44_A	SMCD	1,5	51
S_44_B	SMCD	5	49
S_44_C	SMCD	8,5	52
S_44_D	SMCD	12	57
S_45_A	SMCD	1,5	53
S_45_B	SMCD	5	51

Milieukwaliteitsmaat Miedema

Naam	Omschrijving	Hoogte	L _{etm,mkm}
S_45_C	SMCD	8,5	53
S_45_D	SMCD	12	57
S_46_A	SMCD	1,5	54
S_46_B	SMCD	5	53
S_46_C	SMCD	8,5	53
S_46_D	SMCD	12	57
S_47_A	SMCD	1,5	56
S_47_B	SMCD	5	55
S_47_C	SMCD	8,5	54
S_47_D	SMCD	12	58
S_48_A	SMCD	1,5	57
S_48_B	SMCD	5	57
S_48_C	SMCD	8,5	56
S_48_D	SMCD	12	57
S_49_A	SMCD	1,5	49
S_49_B	SMCD	5	50
S_49_C	SMCD	8,5	51
S_49_D	SMCD	12	52
S_50_A	SMCD	1,5	49
S_50_B	SMCD	5	50
S_50_C	SMCD	8,5	51
S_50_D	SMCD	12	51
S_51_A	SMCD	1,5	47
S_51_B	SMCD	5	48
S_51_C	SMCD	8,5	49
S_51_D	SMCD	12	50
S_52_A	SMCD	1,5	45
S_52_B	SMCD	5	46
S_52_C	SMCD	8,5	47
S_52_D	SMCD	12	49
S_53_A	SMCD	1,5	46
S_53_B	SMCD	5	47
S_53_C	SMCD	8,5	48
S_53_D	SMCD	12	50
S_54_A	SMCD	1,5	46
S_54_B	SMCD	5	46
S_54_C	SMCD	8,5	48
S_54_D	SMCD	12	50
S_55_A	SMCD	1,5	46
S_55_B	SMCD	5	46
S_55_C	SMCD	8,5	48
S_55_D	SMCD	12	50
S_56_A	SMCD	1,5	46
S_56_B	SMCD	5	47
S_56_C	SMCD	8,5	48
S_56_D	SMCD	12	50
S_57_A	SMCD	1,5	46
S_57_B	SMCD	5	47
S_57_C	SMCD	8,5	48
S_57_D	SMCD	12	50
S_58_A	SMCD	1,5	51
S_58_B	SMCD	5	46
S_58_C	SMCD	8,5	48
S_58_D	SMCD	12	50
S_59_A	SMCD	1,5	42
S_59_B	SMCD	5	42
S_59_C	SMCD	8,5	44
S_59_D	SMCD	12	48
S_60_A	SMCD	1,5	44
S_60_B	SMCD	5	44
S_60_C	SMCD	8,5	46
S_60_D	SMCD	12	49
S_61_A	SMCD	1,5	49
S_61_B	SMCD	5	46

Milieukwaliteitsmaat Miedema

Naam	Omschrijving	Hoogte	L _{etm,mkm}
S_61_C	SMCD	8,5	48
S_61_D	SMCD	12	51
S_62_A	SMCD	1,5	47
S_62_B	SMCD	5	48
S_62_C	SMCD	8,5	50
S_63_A	SMCD	1,5	50
S_63_B	SMCD	5	48
S_63_C	SMCD	8,5	51
S_64_A	SMCD	1,5	47
S_64_B	SMCD	5	48
S_64_C	SMCD	8,5	52
S_65_A	SMCD	1,5	48
S_65_B	SMCD	5	51
S_65_C	SMCD	8,5	49
S_66_A	SMCD	1,5	48
S_66_B	SMCD	5	51
S_66_C	SMCD	8,5	49
S_67_A	SMCD	1,5	48
S_67_B	SMCD	5	50
S_67_C	SMCD	8,5	48
S_68_A	SMCD	1,5	48
S_68_B	SMCD	5	50
S_68_C	SMCD	8,5	48
S_69_A	SMCD	1,5	47
S_69_B	SMCD	5	48
S_69_C	SMCD	8,5	47
S_70_A	SMCD	1,5	48
S_70_B	SMCD	5	47
S_70_C	SMCD	8,5	48
S_70_D	SMCD	12	49
S_71_A	SMCD	1,5	50
S_71_B	SMCD	5	47
S_71_C	SMCD	8,5	48
S_71_D	SMCD	12	49
S_72_A	SMCD	1,5	47
S_72_B	SMCD	5	49
S_72_C	SMCD	8,5	47
S_72_D	SMCD	12	49
S_73_A	SMCD	1,5	46
S_73_B	SMCD	5	49
S_73_C	SMCD	8,5	47
S_73_D	SMCD	12	49
S_74_A	SMCD	1,5	48
S_74_B	SMCD	5	49
S_74_C	SMCD	8,5	47
S_74_D	SMCD	12	49
S_75_A	SMCD	1,5	51
S_75_B	SMCD	5	51
S_75_C	SMCD	8,5	47
S_75_D	SMCD	12	49
S_76_A	SMCD	1,5	46
S_76_B	SMCD	5	48
S_76_C	SMCD	8,5	51
S_76_D	SMCD	12	60
S_77_A	SMCD	1,5	46
S_77_B	SMCD	5	48
S_77_C	SMCD	8,5	51
S_77_D	SMCD	12	60
S_78_A	SMCD	1,5	47
S_78_B	SMCD	5	49
S_78_C	SMCD	8,5	53
S_78_D	SMCD	12	53
S_79_A	SMCD	1,5	48
S_79_B	SMCD	5	51

Milieukwaliteitsmaat Miedema

Naam	Omschrijving	Hoogte	L _{etm,mkm}
S_79_C	SMCD	8,5	56
S_79_D	SMCD	12	47
S_80_A	SMCD	1,5	49
S_80_B	SMCD	5	53
S_80_C	SMCD	8,5	59
S_81_A	SMCD	1,5	49
S_81_B	SMCD	5	53
S_81_C	SMCD	8,5	58
S_82_A	SMCD	1,5	48
S_82_B	SMCD	5	53
S_82_C	SMCD	8,5	59
S_83_A	SMCD	1,5	48
S_83_B	SMCD	5	53
S_83_C	SMCD	8,5	58
S_84_A	SMCD	1,5	49
S_84_B	SMCD	5	54
S_84_C	SMCD	8,5	59
S_85_A	SMCD	1,5	48
S_85_B	SMCD	5	53
S_85_C	SMCD	8,5	58
S_85_D	SMCD	12	48
S_86_A	SMCD	1,5	47
S_86_B	SMCD	5	51
S_86_C	SMCD	8,5	57
S_86_D	SMCD	12	52
S_87_A	SMCD	1,5	46
S_87_B	SMCD	5	49
S_87_C	SMCD	8,5	56
S_87_D	SMCD	12	56
S_88_A	SMCD	1,5	46
S_88_B	SMCD	5	50
S_88_C	SMCD	8,5	59
S_88_D	SMCD	12	61
S_89_A	SMCD	1,5	46
S_89_B	SMCD	5	49
S_89_C	SMCD	8,5	60
S_89_D	SMCD	12	61
S_90_A	SMCD	1,5	47
S_90_B	SMCD	5	51
S_90_C	SMCD	8,5	61
S_90_D	SMCD	12	62
S_91_A	SMCD	1,5	47
S_91_B	SMCD	5	50
S_91_C	SMCD	8,5	61
S_91_D	SMCD	12	62
S_92_A	SMCD	1,5	47
S_92_B	SMCD	5	50
S_92_C	SMCD	8,5	61
S_92_D	SMCD	12	63
S_93_A	SMCD	1,5	47
S_93_B	SMCD	5	51
S_93_C	SMCD	8,5	61
S_93_D	SMCD	12	63
S_94_A	SMCD	1,5	47
S_94_B	SMCD	5	50
S_94_C	SMCD	8,5	59
S_94_D	SMCD	12	62
S_95_A	SMCD	1,5	46
S_95_B	SMCD	5	48
S_95_C	SMCD	8,5	56
S_95_D	SMCD	12	62

6]^U[Y`&` 5_cYghgW `cbXYfncY_[Yj YfYZYW]Y

Synchroon BV
T.a.v. de heer A. Heijs
Postbus 7073
2701 AB ZOETERMEER

Datum	Referentie	E-mail	Behandeld door
6 mei 2019	04514-42445-05	antwan.timmers@cauberg Huygen.nl	A. Timmers/CVr

Betreft **Geluidseffect nieuwbouwplan 'Geertruidentuin' op bestaande woningen Brinkgreverweg - versie 2**

Geachte heer Heijs,

In opdracht van Synchroon B.V. worden door Cauberg Huygen diverse akoestische onderzoeken voor de woningbouwlocatie (nieuwbouw en herontwikkeling) 'Geertruidentuin' te Deventer uitgevoerd. Eén van de onderdelen van het akoestisch onderzoek is het inzichtelijk maken van geluidniveaus ten gevolge van de activiteiten bij het stadion Adelaarshorst van voetbalclub Go Ahead Eagles ter plaatse van de gevels van de nieuwbouwwoningen. Op vraag van de opdrachtgever wordt in voorliggende brief het effect van het nieuwbouwplan, met name reflectie van het stadiongeluid, op de bestaande woningen aan de Brinkgreverweg onderzocht. In onderstaande figuur 1 wordt de situatie ter plaatse weergegeven.



Figuur 1: Situatie effect nieuwbouw (geluidreflectie) op bestaande woningen Brinkgreverweg

Omdat Witteveen+Bos beheerder is van de akoestische rekenmodellen van het stadion, is door Witteveen+Bos de geluidniveaus berekend ter plaatse van het bouwplan 'Geertruidentuin', na aanlevering van het gemodelleerde bouwplan met omgeving door Cauberg Huygen.

Voor het voetbalstadion de Adelaarshorst is er onderscheid gemaakt tussen twee representatieve bedrijfssituaties: niet-wedstrijddag en wedstrijddag. Op basis van de vergunde situatie van het stadion De Adelaarshorst zijn ter plaatse van de nieuw te realiseren woningen binnen het plan Geertruidentuin hogere geluidniveaus berekend. Hierbij is de wedstrijddag met een wedstrijd gedurende de avondperiode de maatgevende representatieve bedrijfssituatie (RBS).

Ten behoeve van de onderzoeksvraag is de RBS 'wedstrijd avondperiode' beschouwd, gezien deze maatgevend is. In overeenstemming met de 'Handleiding meten en rekenen industrielawaai 1999' is voor de avondperiode een beoordelingshoogte van 5,0 meter aangehouden (grondgebonden woningen) voor de bestaande woningen aan de Brinkgreverweg. De achtergevels van deze woningen zijn voorzien van een rekenpunt, zie figuur 2.



Figuur 2: Overzicht rekenmodel met rekenpunten

Indicatief is door Cauberg Huygen twee rekenmodellen opgesteld: één rekenmodel zonder de nieuwe ontwikkeling 'Geertruidentuin' en één model inclusief de nieuwbouw. In beide rekenmodellen is de geluidemissie van de maatgevende bronnen opgenomen (tribunes en het parkeerterrein, zie bovenstaande figuur 2). De geluidbronnen zijn zo gefit dat deze bij benadering dezelfde rekenresultaten opleveren als het rekenmodel van Witteveen+Bos. Met deze rekenmodellen is indicatief de toename van het geluidniveau ter hoogte van de achtergevels van de bestaande woningen aan de Brinkgreverweg inzichtelijk gemaakt vanwege de realisatie van het bouwplan.

Daarnaast is de situatie met de maximaal toegestane bebouwing conform het vigerende bestemmingsplan beschouwd. Het plangebied valt onder het bestemmingsplan 'St. Geertruidentuin e.o.', vastgesteld op 29 oktober 2009 (kenmerk: NL.IMRO.01500000P205). De bijhorende plankaart met daarop opgenomen de bouwgrenzen, maximaal toegestane bouwhoogtes en bebouwingspercentages dient als basis voor het geluidonderzoek, zie onderstaand figuur 3.



Figuur 3: Plankaart vigerend bestemmingsplan 'St. Geertruidentuin e.o.' vastgesteld oktober 2009

Op basis van deze plankaart is tevens een akoestisch rekenmodel opgesteld met daarin de maximaal toegestane bebouwing conform het vigerende bestemmingsplan. Een plot van dit rekenmodel is weergegeven in figuur 4.



Figuur 4: Plot rekenmodel maximaal toegestane bebouwing conform het vigerende bestemmingsplan

De rekenresultaten van de verschillende rekenmodellen zijn opgenomen in tabel 1.

Tabel 1: Geluidbelasting $L_{A,LT}$ voor RBS 'wedstrijd avondperiode'

Rekenpunt			Zonder bouwplan	Met bouwplan [2019]		Met bebouwing BP [2009]		Verschil bouwplan - BP
Naam	Omschrijving	Hoogte	Avond	Avond	Toename	Avond	Toename	
01_A	Bestaande woningen Brinkgreverweg	5	49,9	52,1	2,1	52,3	2,4	-0,3
02_A	Bestaande woningen Brinkgreverweg	5	47,9	49,8	1,9	55,9	8,0	-6,1
03_A	Bestaande woningen Brinkgreverweg	5	51,7	49,4	-2,4	55,8	4,0	-6,4
04_A	Bestaande woningen Brinkgreverweg	5	48,9	53,3	4,3	53,3	4,4	0,0
05_A	Bestaande woningen Brinkgreverweg	5	46,2	49,0	2,8	52,8	6,6	-3,8
06_A	Bestaande woningen Brinkgreverweg	5	44,4	49,8	5,4	45,7	1,3	4,1
07_A	Bestaande woningen Brinkgreverweg	5	43,0	44,6	1,6	43,8	0,8	0,7
08_A	Bestaande woningen Brinkgreverweg	5	43,2	45,6	2,4	45,2	2,0	0,4
09_A	Bestaande woningen Brinkgreverweg	5	44,8	44,8	0,0	47,4	2,5	-2,5
10_A	Bestaande woningen Brinkgreverweg	5	41,8	42,2	0,4	49,7	7,9	-7,6
11_A	Bestaande woningen Brinkgreverweg	5	45,7	46,7	1,0	50,0	4,3	-3,3

Toelichting tabel:

Met bouwplan [2019]: gerekend is met het huidige stedenbouwkundig plan.

Met bebouwing BP [2009]: gerekend is met de maximaal toegestane bebouwing conform het vigerende bestemmingsplan.

Toename: verschil in geluidbelasting tussen situatie met bouwplan en situatie zonder bouwplan.

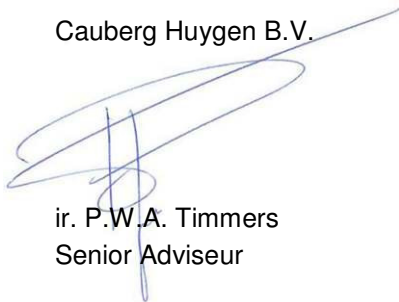
Verschil bouwplan – BP: verschil in geluidbelasting tussen situatie met het huidige stedenbouwkundige plan en situatie met de maximaal toegestane bebouwing conform het vigerende bestemmingsplan.

Uit de (indicatieve) rekenresultaten opgenomen in bovenstaande tabel blijkt dat ter hoogte van de achtergevels van de bestaande woningen aan de Brinkgreverweg een toename van het geluidniveau zich voordoet als gevolg van reflectie van het stadiongeluid na realisatie van het bouwplan 'Geertruidentuin'. De reflecties treden op in de (voor)gevels van de meest nabij gelegen gebouwen. De maximale toename bedraagt 5 dB(A). Na realisatie van het plan 'Geertruidentuin' neemt voor enkele woningen het langtijdgemiddeld beoordelingsniveau toe van circa 46-50 dB(A) tot circa 47-53 dB(A); dit betreft avondwaarden.

Uit een vergelijking tussen de situatie met het huidige stedenbouwkundige plan en de situatie met de maximaal toegestane bebouwing conform het vigerende bestemmingsplan blijkt dat het geluidniveau significant afneemt uitgaande van de maximaal toegestane bebouwing als gevolg van reflectie van het stadiongeluid. Ten opzichte van de maximaal toegestane bebouwing zijn met het stedenbouwkundig plan anno 2019 de geluidniveaus ter plaatse van het merendeel van de woningen aan de Brinkgreverweg 0 tot 8 dB(A) lager.

Met vriendelijke groet,

Cauberg Huygen B.V.



ir. P.W.A. Timmers
Senior Adviseur

6]^U[Y" " A]]Yi ncbYf]b[

Notitie 04514-42445-02
Geertruidentuin te Deventer;
milieuzonering volgens VNG-brochure 'Bedrijven en
Milieuzonering'

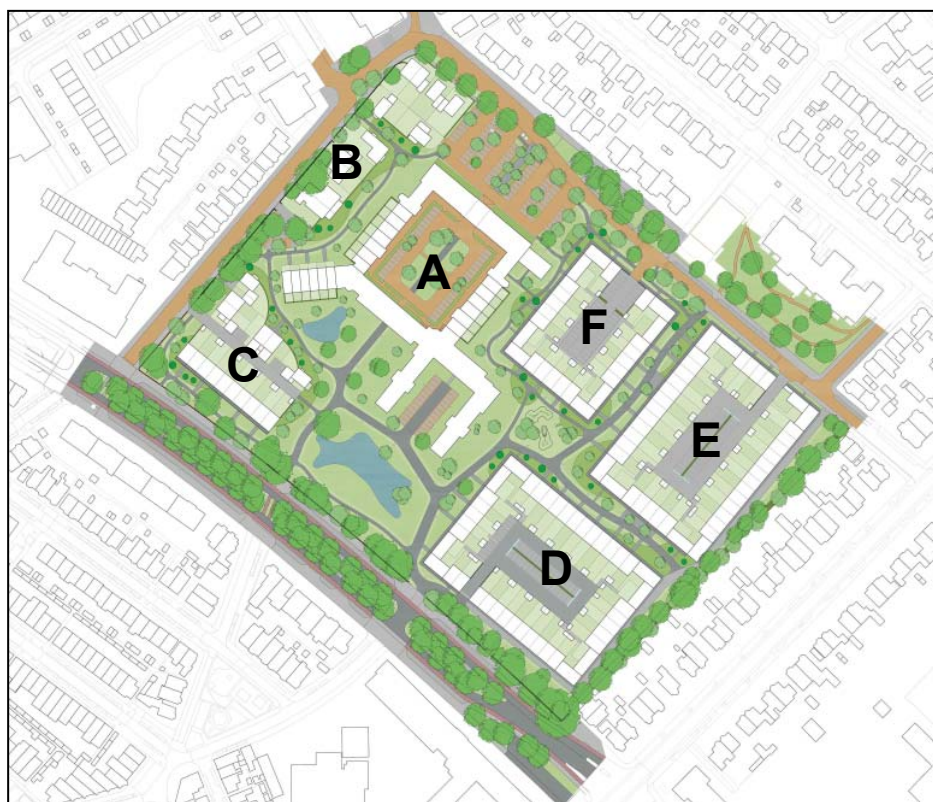
Datum	Referentie	Behandeld door
2 april 2019	04514-42445-02	A. Timmers/CVr

1 Inleiding

In opdracht van Synchron B.V. wordt door Cauberg Huygen B.V. diverse akoestische onderzoeken voor de woningbouwlocatie (nieuwbouw en herontwikkeling) 'Geertruidentuin' te Deventer uitgevoerd. De locatie van het voormalige St. Geertruidenziekenhuis aan de Ceintuurbaan in Deventer is sinds het vertrek van het ziekenhuis in 2008 in afwachting van herontwikkeling. Het merendeel van de bij het ziekenhuis behorende bebouwing is daartoe enige jaren geleden gesloopt. Het karakteristieke inmiddels als gemeentelijk monument aangeduide SMCD-gebouw is, evenals de voormalige apotheek aan de Van Calcarstraat, behouden. Dit monumentale gebouw (A) zal worden herontwikkeld tot een woongebouw. Rondom dit bestaande gebouw zal nieuwbouw worden gerealiseerd (B t/m F). In onderstaande figuur 1.1 wordt het plangebied weergegeven.

In voorliggende notitie wordt onderzoek uitgevoerd naar de milieuzonering van diverse bedrijven rondom de ontwikkelingslocatie. Vanwege de voorgenomen ontwikkeling kunnen bestaande bedrijven wellicht belemmerd worden. Om hierin inzicht te krijgen, wordt de milieuzonering uit de VNG-brochure 'Bedrijven en Milieuzonering' gehanteerd. Dit is een handreiking van de Vereniging van Nederlandse Gemeenten (VNG). Bij het mogelijk maken van milieugevoelige functies (zoals woningen) kan op basis van die handreiking op hoofdlijnen bepaald worden welke afstand in acht moet worden genomen tot milieubelastende functies (zoals bedrijven). Het gaat om richtafstanden waarvan gemotiveerd kan worden afgeweken. Wanneer aan de afstandsnormen wordt voldaan, is in beginsel sprake van een goede ruimtelijke ordening in de zin van artikel 3.1 van de Wet op de ruimtelijke ordening (Wro).

In de planregels van de vigerende bestemmingsplannen zijn per recht bedrijven toegestaan uit een bepaalde milieucategorie. In het onderzoek worden de richtafstanden ingetekend op een plankaart en wordt beoordeeld of en, zo ja, in welke mate de te projecteren woonbestemmingen binnen de richtafstanden zijn gelegen.



Figuur 1.1: Plangebied Geertruidentuin te Deventer, A: SMCD-gebouw, B t/m F: nieuwbouw

2 Toetsingskader

De VNG-publicatie 'Handreiking bedrijven en milieuzonering' is een algemeen geaccepteerd instrument om na te gaan of er sprake is van een 'goede ruimtelijke ordening' in situaties waar bedrijfsactiviteiten dichtbij geluidgevoelige bestemmingen worden voorzien. Voor een 'goede ruimtelijke ordening' dient vastgesteld te worden dat:

- ter plaatse van de geluidgevoelige bestemmingen geen ontoelaatbare geluidhinder ontstaat door de bedrijfsactiviteiten;
- de beoogde bedrijfsactiviteiten niet in ernstige mate gehinderd worden door de aanwezigheid van de geluidgevoelige bestemmingen.

In dit onderzoek is gebruik gemaakt van de versie uit 2009. De VNG-publicatie geeft richtafstanden per bedrijfscategorie of activiteit. De afstanden worden gegeven voor milieuaspecten geur, stof, geluid en gevaar. De grootste afstand is bepalend voor de indeling in milieucategorie. De richtwaarde voor de aan te houden afstand zijn van toepassing tussen de perceelgrenzen van de inrichting en de gevels van de geluidgevoelige bestemming. Er is sprake van een 'goede ruimtelijke ordening' indien aan de richtwaarde voldaan wordt. Indien niet aan de richtafstanden voldaan wordt, dan is nader onderzoek nodig om vast te stellen of er sprake is van een 'goede ruimtelijke ordening'.

De VNG-richtafstanden zijn afhankelijk van de bedrijfsactiviteiten en de gebiedstypering. In tabel 2.1 is per milieucategorie en per gebiedstypering de bijbehorende richtafstand opgenomen. In eerste instantie wordt gestreefd naar de gebiedstypering 'rustige woonwijk'. Voor de afstand tot de gebiedstypering 'gemengd gebied' mag rekening gehouden worden met vermindering van één afstandstap.

Tabel 2.1: Milieucategorieën en richtafstanden

Milieucategorie	Richtafstand gebiedstype 'rustige woonwijk'	Richtafstand gebiedstype 'gemengd gebied'
1	10 m	0 m
2	30 m	10 m
3.1	50 m	30 m
3.2	100 m	50 m
4.1	200 m	100 m
4.2	300 m	200 m
5.1	500 m	300 m
5.2	700 m	500 m
5.3	1.000 m	700 m
6	1.500 m	1.000 m

In de planregels van de vigerende bestemmingsplannen (www.ruimtelijkeplannen.nl) zijn per recht bedrijven toegestaan uit een bepaalde milieucategorie. In de omgeving van het plangebied 'Geertruidentuin' worden de toegestane milieucategorieën inzichtelijk gemaakt. De bijhorende richtafstanden worden ingetekend op een plankaart en beoordeeld wordt of en, zo ja, in welke mate de te projecteren woonbestemmingen binnen de richtafstanden zijn gelegen.

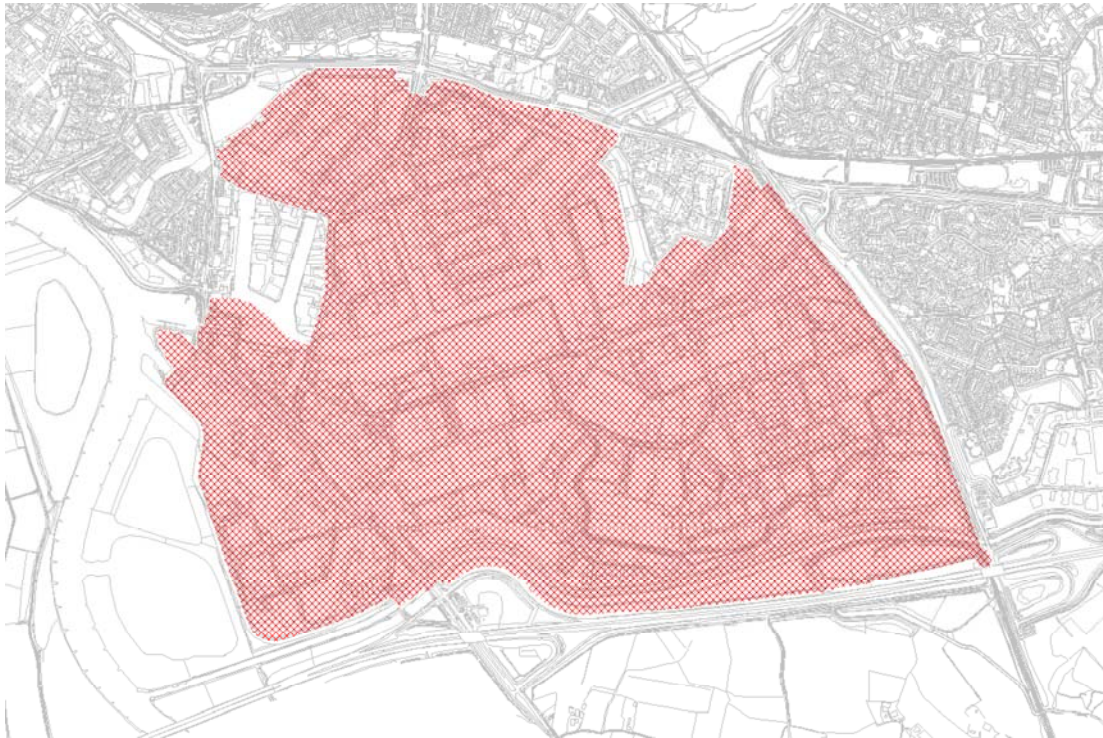
3 Resultaten

3.1 Milieuzonering

In bijlage I zijn plankaarten weergegeven met daarop inzichtelijk gemaakt de toegestane milieucategorieën en de bijhorende richtafstanden voor het gebiedstype 'rustige woonwijk', in de nabije omgeving van het plangebied 'Geertruidentuin' en voor de industrie gelegen aan de zuidoostzijde van de planlocatie. De resultaten tonen aan dat de te projecteren woonbestemmingen ruimschoots buiten de richtafstanden zijn gelegen.

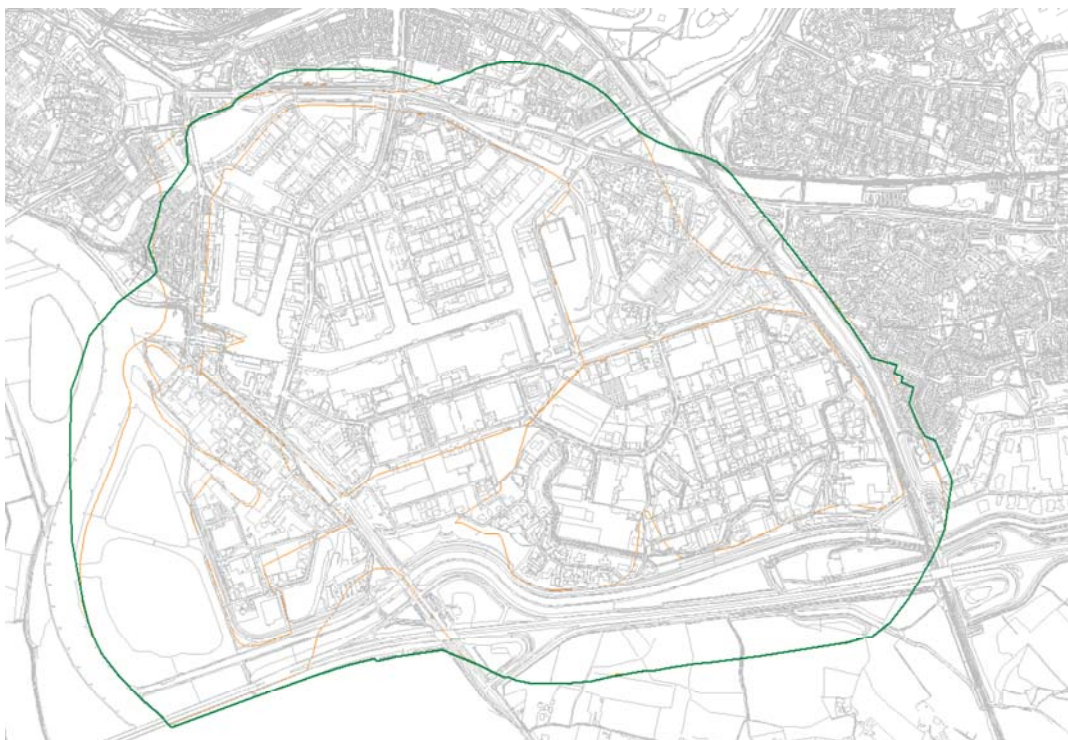
3.2 Gezoneerd industrieterrein Bergweide, Veenoord, Kloosterlanden

Aan de zuidoostzijde van het plangebied 'Geertruidentuin' is het gezoneerd industrieterrein 'Bergweide, Veenoord en Kloosterlanden' gelegen, zie onderstaande figuur 3.1. Zonering van een industrieterrein volgens de Wet geluidhinder is het ruimtelijke scheiden van (grote) lawaaimakers en geluidgevoelige objecten. Deze scheiding ontstaat door het vaststellen van een geluidzone rondom het industrieterrein waarin het toelaten van geluidgevoelige bestemmingen enkel onder voorwaarden mogelijk is.



Figuur 3.1: Gezoned industrieterrein 'Bergweide, Veenoord en Kloosterlanden', gelegen aan de zuidoostzijde van Deventer

In figuur 3.2 wordt de geluidzone rondom het gezoned industrieterrein weergegeven. Figuur 3.2 toont aan dat het plangebied 'Geertruidentuin' op ruime afstand van de zonegrens is gelegen.



Figuur 3.2: Geluidzone rondom het gezoned industrieterrein 'Bergweide, Veenoord en Kloosterlanden' (groene lijn)

4 Conclusie

In opdracht van Synchron B.V. wordt door Cauberg Huygen diverse akoestische onderzoeken voor de woningbouwlocatie (nieuwbouw en herontwikkeling) 'Geertruidentuin' te Deventer uitgevoerd. In voorliggende notitie is onderzoek verricht naar de milieuzonering van diverse bedrijven rondom de ontwikkelingslocatie, aan de hand van de milieuzonering uit de VNG-brochure 'Bedrijven en Milieuzonering' gehanteerd. Vanwege de voorgenomen ontwikkeling kunnen bestaande bedrijven wellicht belemmerd wordt.

In bijlage I en II zijn plankaarten weergegeven met daarop inzichtelijk gemaakt de toegestane milieucategorieën en de bijhorende richtafstanden voor het gebiedstype 'rustige woonwijk'. Uit de resultaten blijkt dat de te projecteren woonbestemmingen ruimschoots buiten de richtafstanden zijn gelegen. Dit betekent dat sprake is van een goede ruimtelijke ordening in de zin van artikel 3.1 van de Wet op de ruimtelijke ordening (Wro). Nader onderzoek is bijgevolg niet noodzakelijk.

Aan de zuidoostzijde van het plangebied 'Geertruidentuin' is het gezoneerd industrieterrein (Wet geluidhinder) 'Bergweide, Veenoord en Kloosterlanden' gelegen. Het plangebied 'Geertruidentuin' is op ruime afstand van de (geluid)zonegrens gelegen. Dit industrieterrein vormt geen belemmering voor het bouwplan.

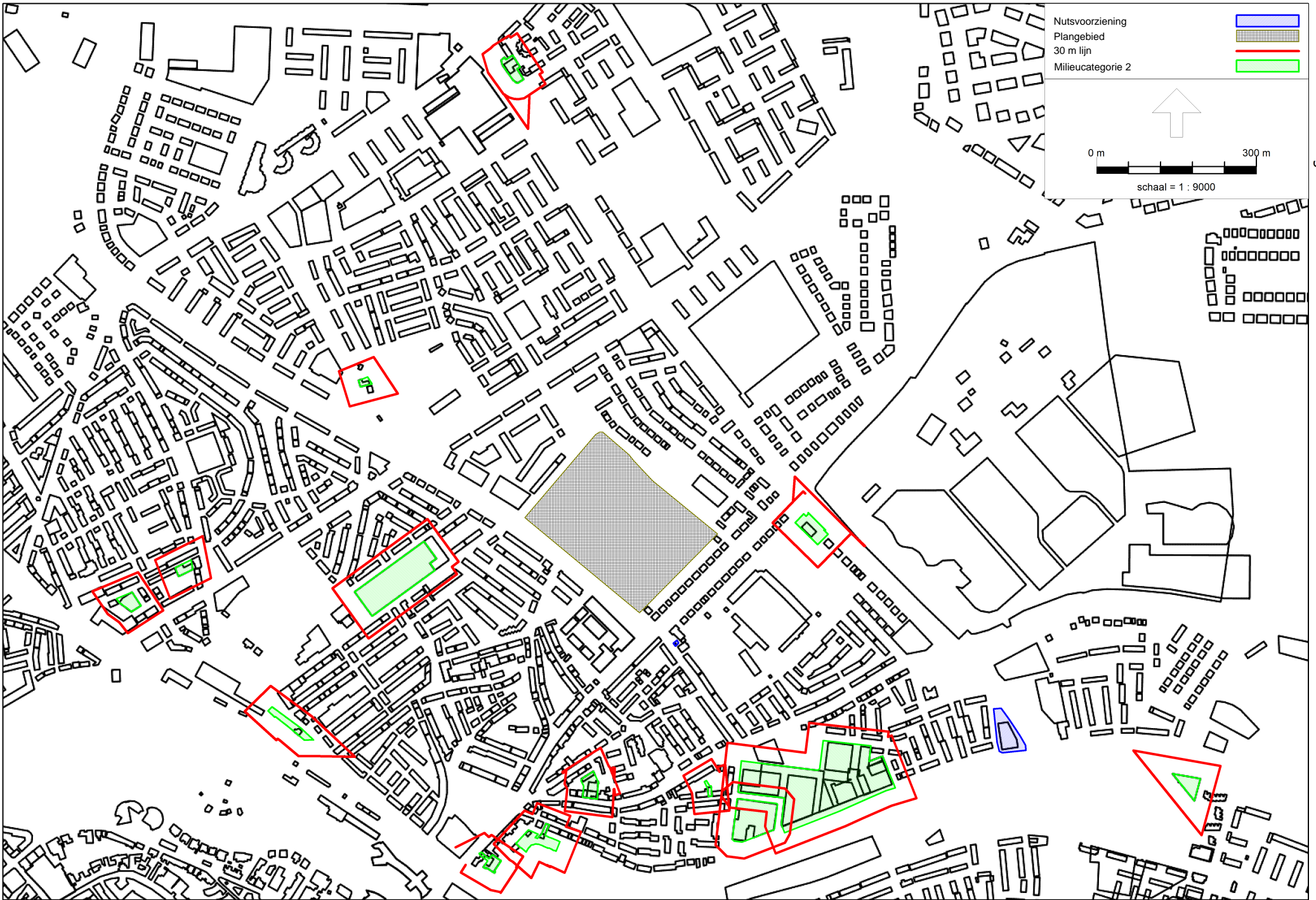
Cauberg Huygen B.V.



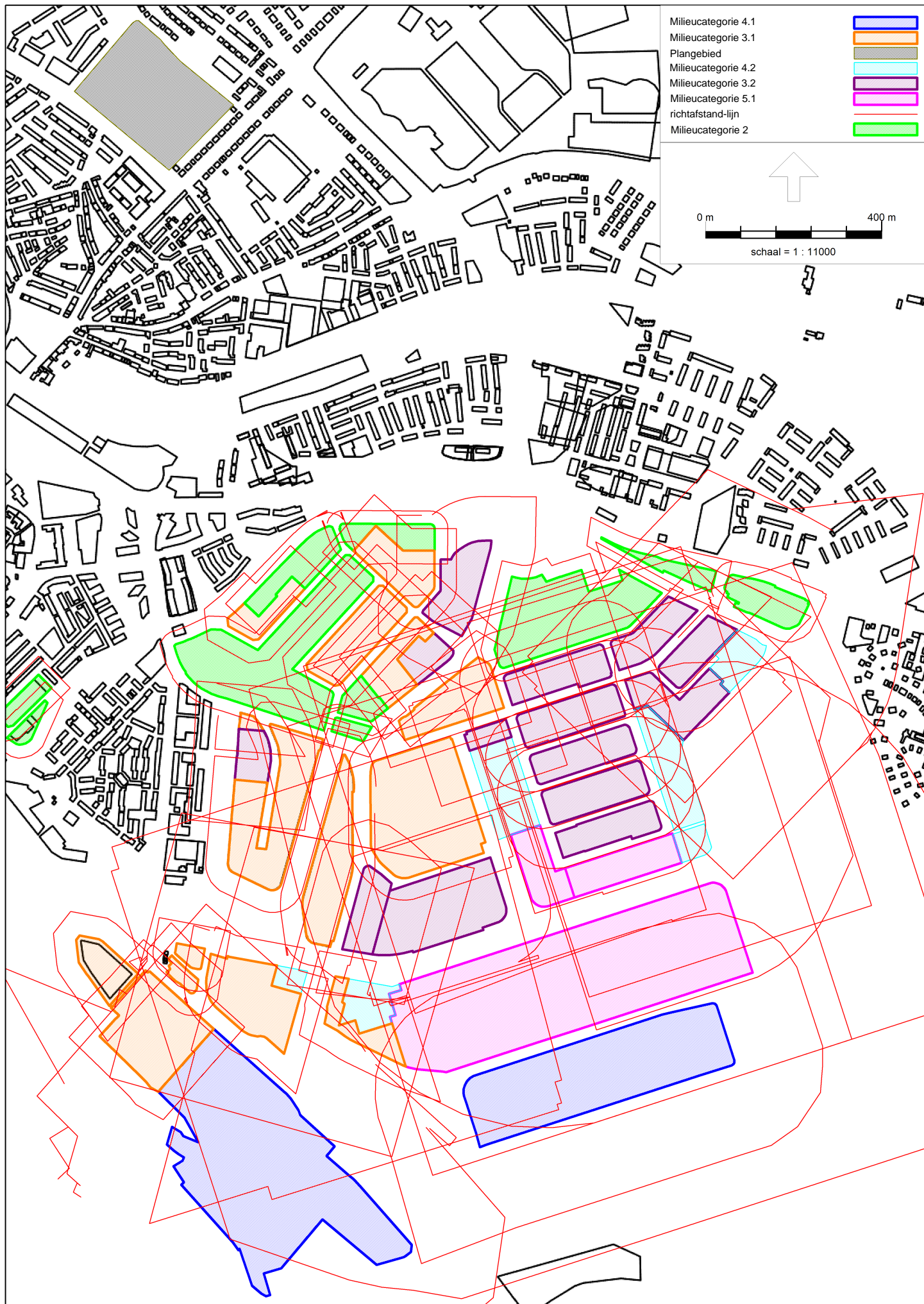
ir. P.W.A. Timmers
Senior Adviseur

Bijlage I	Resultaat Milieuzonering
Bijlage I-1	Resultaat Milieuzonering nabije omgeving
Bijlage I-2	Resultaat Milieuzonering industrie zuidoostzijde

Bijlage I	Resultaat Milieuzonering
Bijlage I-1	Resultaat Milieuzonering nabije omgeving
Bijlage I-2	Resultaat Milieuzonering industrie zuidoostzijde



Resultaat milieuzonering



6]^U[Y'(`` E i]W_gWU b Zcf U`Yb`ZU i bU

**Notitie : Quickscan flora en fauna
'Geertruidentuin' te Deventer**

Datum : 16 oktober 2017
Opdrachtgever : Synchron B.V.
Projectnummer : 211x09473
Opgesteld door : ir. M.J.I.C. van de Schoot
Interne controle: : ing. M. Koen

Voor alle ruimtelijke ontwikkelingen geldt dat deze in overeenstemming met de nationale natuurwetgeving en het provinciale natuurbeleid moeten worden uitgevoerd. Ten behoeve van een nieuw bestemmingsplan in het kader een gewijzigde stedenbouwkundige invulling voor de locatie van het voormalige St. Geertruidenziekenhuis aan de Ceintuurbaan in Deventer is door middel van een verkennend flora- en faunaonderzoek (quicksan) een beoordeling gemaakt van de mogelijke effecten die het plan zal hebben op beschermde natuurwaarden. Hierdoor wordt duidelijk of het plan in overeenstemming is met de natuurwetgeving.

De bescherming van de natuur is per 1 januari 2017 in Nederland vastgelegd in de Wet natuurbescherming (Wnb). Deze wet vormt voor wat betreft soortenbescherming en gebiedsbescherming een uitwerking van de Europese Vogelrichtlijn en Habitatrichtlijn. Omtrent houtopstanden is de voormalige nationale Boswet eveneens in de Wet natuurbescherming opgenomen. Daarnaast vindt beleidsmatige gebiedsbescherming plaats door middel van het Natuurnetwerk Nederland (NNN), de voormalige Ecologische Hoofdstructuur (EHS).

Werkwijze quickscan flora en fauna

In de quickscan zijn de gevolgen van de ruimtelijke ingreep afgezet tegen de aanwezige natuurwaarden vanuit de Wet Natuurbescherming en planologisch beschermde natuurwaarden. Deze werkwijze vloeit voort uit de brochure 'Soortenbescherming bij ruimtelijke ingrepen' van het Ministerie van Economische Zaken van december 2016.

Om een beeld te krijgen van de natuurwaarden is op 5 oktober 2017 door twee ecologen van BRO¹ een verkennend veldbezoek gebracht aan het plangebied en de directe omgeving hiervan. Tijdens het veldbezoek is gelet op de potentiële aanwezigheid van beschermde soorten op basis van het aanwezige habitat en nest/verblijfsmogelijkheden. Daarnaast is aan de hand van verspreidingsatlassen, andere standaardwerken en op basis van 'expert judgement' is nagegaan welke beschermde planten- en diersoorten er voor kunnen komen binnen en nabij het plangebied en zijn omtrent gebiedsbescherming gegevens van de provincie Overijssel geraadpleegd.

¹ BRO is lid van het Netwerk Groene Bureaus (NGB). Het NGB is de brancheorganisatie voor groene adviesbureaus en heeft als doel kwaliteitsbevordering en belangenbehartiging. Onze werkzaamheden voeren wij dan ook uit volgens de door het NGB vastgestelde gedragscode (versie juni 2008, aangevuld in februari 2010). De medewerkers binnen de discipline ecologie voldoen aan de door het Ministerie van EZ genoemde voorwaarden voor ter zake deskundigen op het gebied van ecologisch onderzoek.

Actuele verspreidingsgegevens van flora en fauna zijn uit de Nationale Databank Flora en Fauna (NDFB) opgevraagd middels de quickscanhulp. Aan de hand van het verkennende onderzoek is vervolgens beoordeeld welke beschermde soorten daadwerkelijk voor (kunnen) komen binnen het plangebied en is er vervolgens een inschatting gemaakt van de effecten van de ruimtelijke ontwikkeling op beschermde natuurwaarden.

Beschrijving van het plangebied

Het plangebied is gelegen ongeveer 750 meter ten noordoosten van het centrum van Deventer. Het is gelegen temidden van woonwijken, en direct ten noordwesten van het stadion van de Go Ahead Eagles. In figuur 1 is de topografische ligging van het plangebied weergegeven.



Figuur 1. Topografische kaart ligging van het plangebied

Huidige situatie

Het plangebied bestaat momenteel uit het oudste deel van het ziekenhuis. Het ziekenhuis was tot 2008 in gebruik. Momenteel wordt het gedeeltelijk gebruikt door creatieve en ambachtelijke ondernemers. Het deel van het ziekenhuis in het zuidoosten van het plangebied is recentelijk gesloopt en ligt braak. Dit gebied wordt periodiek begrast door een kudde schapen. Daarnaast wordt in het kader van beheer de jonge opstand jaarlijks verwijderd.

In figuur 2 is een luchtfoto van het plangebied en de directe omgeving weergegeven. De figuren 3 t/m 10 geven een impressie van het plangebied, middels foto's die zijn genomen tijdens het verkennende veldbezoek.



Figuur 2. Luchtfoto van het plangebied en de directe omgeving



Figuur 3. Zuidvleugel van het complex



Figuur 4. Binnenplaats van het complex



Figuur 5. Boilergebouw oostzijde van het complex



Figuur 6. Gevel zuidvleugel van het complex



Figuur 7. Structuur van de zolders van het complex



Figuur 8. Binnenplaats zuidvleugel van het complex



Figuur 9. Braakliggend terrein aan oostzijde van het complex



Figuur 10. Braakliggend terrein aan zuidzijde complex

Toekomstige situatie

Binnen het plangebied zijn woningen en kleinschalige functies voorzien. Het resterende deel van het ziekenhuis zal ten behoeve van circa 80 wooneenheden worden gerenoveerd met hier en daar kleine sloopwerkzaamheden. Op het braakliggend terrein zullen nog eens circa 120 woningen worden gerealiseerd. Met uitzondering van markante bomen, zal het merendeel van het nog aanwezige groen

binnen het plangebied worden verwijderd. De laanstructuur langs de randen van het plangebied blijft eveneens behouden.

Toetsing gebiedsbescherming

Wettelijke gebiedsbescherming

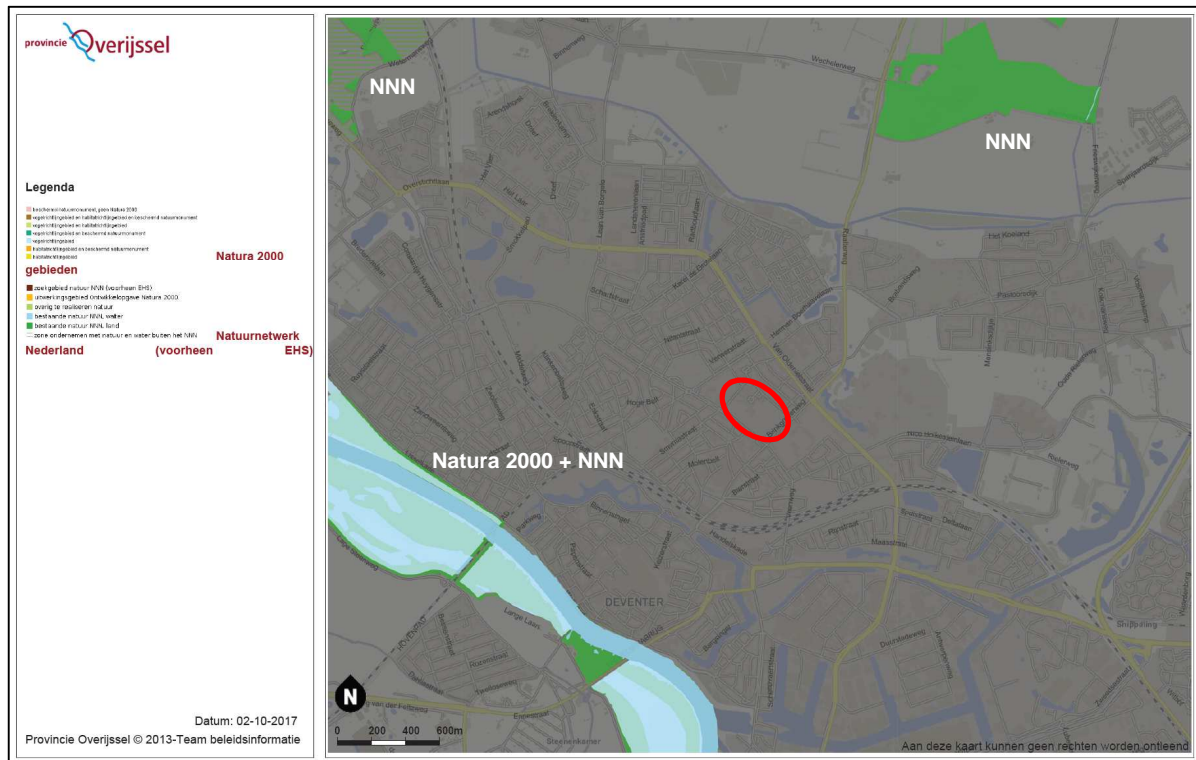
De Wet natuurbescherming, heeft voor wat betreft gebiedsbescherming, betrekking op de Europees beschermde Natura 2000-gebieden. De Vogelrichtlijn- en Habitatrichtlijngebieden worden in Nederland gecombineerd als Natura 2000-gebieden aangewezen. Als er naar aanleiding van projecten, plannen en activiteiten mogelijkerwijs significante effecten optreden, dienen deze vooraf in kaart gebracht en beoordeeld te worden. Projecten, plannen en activiteiten die mogelijk een negatief effect hebben op de beschermde natuur in een Natura 2000-gebied zijn vergunningsplichtig.

Het plangebied is niet gelegen binnen de grenzen van een gebied dat aangewezen is als Natura 2000-gebied. Het meest nabijgelegen deel van een Natura 2000-gebied betreft de uiterwaarden van de IJssel, onderdeel van het Natura 2000-gebied "Rijntakken". De dichtstbijzijnde grens van dit gebied bevindt zich op circa 1,5 kilometer afstand ten zuidwesten van het plangebied (zie figuur 12). Indien er sprake zou zijn van een effect, betreft dit een extern effect, zoals toename van geluid, licht of depositie van stikstof. Externe effecten als licht en geluid zijn gezien de onderlinge afstand uitgesloten. Mede gezien de ligging van het plangebied in een middelgrote stad met veel stadverkeer, is het tevens niet te verwachten dat de voorgenomen binnenstedelijke ontwikkeling een significante toename van de stikstofdepositie op Natura 2000-gebieden zal veroorzaken. Zodra alle verkeersgerelateerde gegevens inzichtelijk zijn, zal ter onderbouwing hieromtrent een Aeries-berekening worden uitgevoerd. Hieruit zal blijken of er bij de voorgenomen ontwikkeling daadwerkelijk geen sprake is van een significante toename van de stikstofdepositie op een Natura 2000-gebied.

Gebiedsbescherming vanuit provinciaal beleid

Conform artikel 1.12 van de Wet natuurbescherming dragen gedeputeerde staten in hun provincie zorg voor de totstandkoming en instandhouding van een samenhangend landelijk ecologisch netwerk, genaamd 'Natuurnetwerk Nederland'. Zij wijzen daartoe in hun provincie gebieden aan die tot dit netwerk behoren. Het Natuurnetwerk Nederland (voorheen: Ecologische Hoofdstructuur (EHS)) is een samenhangend netwerk van bestaande en te ontwikkelen natuurgebieden. De planologische begrenzing en beschermingsregimes van het Natuurnetwerk loopt via het traject van de provinciale ruimtelijke structuurvisies en verordeningen. De provinciale groenstructuur bestaande uit het Natuurnetwerk van Overijssel is vast gelegd in de Omgevingsverordening Overijssel 2017. Het netwerk wordt gevormd door kerngebieden, natuurontwikkelingsgebieden en ecologische verbindingzones met als doel natuurgebieden beter met elkaar en met het omringende agrarisch gebied te verbinden. Activiteiten in deze gebieden zijn alleen toegestaan als ze geen negatieve effecten hebben op de wezenlijke kenmerken of waarden of als deze kunnen worden tegengegaan met mitigerende maatregelen.

Het plangebied is niet gelegen binnen het Natuurnetwerk Nederland (zie figuur 12). Het dichtstbijzijnde deel van het Natuurnetwerk is gelegen op ongeveer 1,5 kilometer ten zuidwesten van het plangebied. Gezien de aard van de voorgenomen plannen (planwijziging naar wonen, renovatie van het ziekenhuis en bouw van woningen binnen stedelijk gebied) zullen de wezenlijke kenmerken en waarden van het Natuurnetwerk niet worden aangetast, ervan uitgaande dat er geen sprake is van een significante toename van de stikstofdepositie op delen van het Natuurnetwerk. Gezien de vergelijkbare afstand tot de Natura 2000, kan ter onderbouwing hiervan eveneens de in een later stadium uit te voeren Aeries-berekening worden gebruikt.



Figuur 12. Ligging Natura 2000-gebieden en Natuurnetwerk Nederland ten opzichte van het plangebied (rood omlijnd)

Toetsing beschermde houtopstanden

De bescherming van houtopstanden, conform de Wet Natuurbescherming, heeft betrekking op alle zelfstandige eenheden van bomen, boomvormers of struiken van een oppervlakte van tien are of meer of rijbeplanting die meer dan twintig bomen omvat, gelegen buiten de bebouwde kom. Wanneer houtopstanden worden geveld, niet vallende onder artikel 4.1 van de Wet natuurbescherming, geldt een meldingsplicht bij Gedeputeerde Staten van desbetreffende provincie (artikel 4.2 Wnb). Indien er geen bezwaar is om de houtopstanden te kappen, verplicht artikel 4.2 van de Wet natuurbescherming om binnen 3 jaar na het vellen of tenietgaan van de houtopstand op dezelfde grond houtopstanden opnieuw aan te planten. Er geldt een algehele vrijstelling van de herplantplicht voor houtopstanden die gekapt worden in het kader van natuurbeheer en natuurbehoud.

Aangezien het plangebied zich binnen de bebouwde kom bevindt is toetsing aan het onderdeel houtopstanden conform de Wet natuurbescherming bij dit plan niet aan de orde.

Toetsing soortenbescherming

De Wet natuurbescherming heeft, voor wat betreft soortenbescherming, betrekking op alle in Nederland in het wild voorkomende zoogdieren, (trek)vogels, reptielen en amfibieën, een aantal vissen, libellen en vlinders, enkele bijzondere en min of meer zeldzame ongewervelde diersoorten en een aantal vaatplanten. Voor alle soorten, dus ook voor de soorten die niet onder de aangewezen bescherming vallen, of die zijn vrijgesteld van de ontheffingsplicht, geldt de zogenaamde 'algemene zorgplicht' (art. 1.10 Wnb). Deze zorgplicht houdt in dat de initiatiefnemer passende maatregelen neemt om schade aan aanwezige soorten te voorkomen of zoveel mogelijk te beperken. Hierbij gaat het bijvoorbeeld om het niet verontrusten of verstoren in de kwetsbare perioden zoals de winterslaap, de voortplantingstijd en de periode van afhankelijkheid van de jongen. De zorgplicht geldt altijd en voor alle planten en dieren, of ze beschermd zijn of niet, en in het geval dat ze beschermd zijn ook als er een ontheffing of vrijstelling is verleend.

Vanaf 1 januari 2017 moet, onder de Wet natuurbescherming, bij ruimtelijke ontwikkelingen naast de zorgplicht ook rekening gehouden worden met juridisch zwaarder beschermde soorten vanuit nationaal en Europees oogpunt. Beschermde soorten vanuit nationaal oogpunt betreffen soorten uit 'bijlage A en B' van de Wet natuurbescherming. Beschermde soorten vanuit Europees oogpunt betreffen soorten uit Bijlage IV van de Habitatrichtlijn, de soorten uit Bijlage 1 en 2 Verdrag van Bern, en Bijlage 1 verdrag van Bonn, en alle in Europa inheemse vogels (Vogelrichtlijn).

Op de 'Aangepaste lijst jaarrond beschermde vogelnesten' van het Ministerie van LNV (augustus 2009) wordt onderscheid gemaakt in verschillende categorieën vogelnesten. Van de meeste vogelsoorten zijn de nesten uitsluitend beschermd wanneer deze tijdens de broed- en nestperiode in gebruik zijn. Het gaat om soorten die jaarlijks nieuwe nesten maken. Van een aantal soorten roofvogels en uilen, koloniebroeders en gebouw bewonende vogelsoorten als huismus en gierzwaluw ('categorie 1-4 soorten') zijn de nesten en de functionele leefomgeving jaarrond beschermend. Ten slotte is er een categorie nesten van vogelsoorten die weliswaar vaak terugkeren naar de plaats waar zij het jaar daarvoor hebben gebroed, maar die over voldoende flexibiliteit beschikken om, als die broedplaats verloren is gegaan, zich elders te vestigen ('categorie 5-soorten'). Vooralnog is het uitgangspunt dat deze indeling gehandhaafd blijft, totdat de provincies deze hebben aangepast en vastgesteld.

Komen soorten van de hierboven genoemde beschermingsregimes voor, dan is de eerste vraag of de voorgenomen activiteit effecten heeft op de beschermde soorten. Treden er effecten op, dan dient er gekeken te worden of er vrijstelling verleend kan worden (al dan niet door te werken volgens een goedgekeurde gedragscode), of dat er een alternatieve oplossing mogelijk is waardoor er geen negatief effect kan plaatsvinden. Indien dit niet mogelijk is, zal ontheffing aangevraagd moeten worden op basis van een geldig wettelijk belang, waarbij de gunstige staat van instandhouding van beschermde soorten niet in het geding komt. De ontheffing kan dan onder voorwaarden worden verleend.

Vogels

De dakpannen daken van het voormalige ziekenhuis bieden potentiële nestgelegenheid aan de huismus en gierzwaluw. Onder de daken van het oude ziekenhuis kunnen zich één of meerdere nesten bevinden. Daarnaast kan de dichte begroeiing functioneren als essentiële schuilgelegenheid voor huismussen. Verder is het dak van de woningen geschikt als nestlocatie voor soorten als spreeuw en zwarte roodstaart. In de opgaande beplanting binnen het plangebied bevinden zich geen (potentiele) nesten van vogels als sperwer en ransuil. Er is wel een groene specht op het terrein waargenomen, maar in de bomen binnen het plangebied zijn geen spechtenholtes aangetroffen. In

het struweel binnen het plangebied kunnen verder soorten als merel, winterkoning, roodborst, heggemus en houtduif tot broeden komen.

Subconclusie

Afhankelijk van de exacte invulling van de renovatie- en kleine sloopwerkzaamheden kunnen bij uitvoering van de plannen één of meerdere nesten van huismus en/of gierzwaluw verloren gaan. Nesten van de huismus en gierzwaluw zijn jaarrond beschermd. Voor aanvang van de sloop dient duidelijk te zijn of zich in de te renoveren/slopen delen van het voormalige ziekenhuis nesten van de huismus of de gierzwaluw bevinden. Geadviseerd wordt om volgend broedseizoen de aan/afwezigheid van huismussen en gierzwaluwen binnen het plangebied in kaart te brengen, zodat op voorhand kan worden bepaald in hoeverre bij de werkzaamheden eventueel rekening dient te worden gehouden met deze soorten.

Indien blijkt dat, bij aanwezigheid van dergelijke nesten, deze niet kunnen worden ontzien, zal door het treffen van maatregelen; zoals het aanbieden van tijdelijke nestkasten, werken buiten de gevoelige periode en het geschikt maken van de nieuwe situatie de functionaliteit van de nesten behouden moeten blijven en schade aan individuen moeten worden voorkomen. Daarnaast dient bij het (definitief) verwijderen van de huidige nestplaats officieel een ontheffing te worden aangevraagd via de provincie Overijssel. Door het behoud van de functionaliteit en zorgvuldig handelen, zal de gunstige staat van instandhouding van een lokale populatie huismussen en/of gierzwaluwen door de voorgenomen plannen niet in het geding komen.

Bij de uitvoeringsfase van de voorgenomen plannen kan er ook verstoring van broedende vogels plaatsvinden waarvan het nest niet jaarrond is beschermd. Voor de betreffende soorten geldt dat, indien de werkzaamheden ter plaatse van nestgelegenheid in beplanting en/of onder daken buiten het broedseizoen worden uitgevoerd, er geen overtredingen plaats zullen vinden met betrekking tot broedvogels zoals spreeuw, zwarte roodstaart, groene specht, merel, winterkoning, roodborst, heggemus, houtduif etc. In de Wet natuurbescherming wordt geen vaste periode gehanteerd voor het broedseizoen. Globaal kan voor het broedseizoen de periode maart tot half augustus worden aangehouden. Geldend is echter de aanwezigheid van een broedgeval op het moment van ingrijpen. De voorgenomen plannen zullen geen afname van essentieel broedhabitat veroorzaken van een dergelijke vogelsoort, inbreuk op de gunstige staat van instandhouding van lokale populaties is dan ook uitgesloten.

Vleermuizen

Volgens verspreidingsgegevens van de Zoogdiervereniging is het plangebied gelegen in een deel van Nederland waar de volgende vleermuissoorten kunnen voorkomen: baardvleermuis, bosvleermuis, gewone grootoorvleermuis, franjestaart, gewone dwergvleermuis, laatvlieger, meervleermuis, rosse vleermuis, ruige dwergvleermuis, tweekleurige vleermuis, en watervleermuis.

Bij de uitvoer van de plannen wordt het gebouw van het oude ziekenhuis gerenoveerd en voor een klein gedeelte gesloopt. Het gebouw bevat geschikte verblijfplaatsen in de spouwmuur, waar op enkele locaties toegang tot is via open stootvoegen en overhangende dakpannen waar vleermuizen gebruik van kunnen maken. Het gebouw kan functioneren als zomer-, kraam-, paar-, en winterverblijfplaatsen voor diverse vleermuissoorten. De werkzaamheden kunnen effect hebben op deze potentiële verblijfplaatsen van vleermuizen. Daarnaast zou een soort als de gewone grootoorvleermuis mogelijk gebruik kunnen maken van de zolder als verblijfplaats. Tijdens de quickscan zijn op de zolder echter geen sporen als uitwerpselen en prooi-resten aangetroffen die een dergelijk gebruik indice-

ren. Enkele van de bomen aan de rand van het plangebied bevatten holtes/spleten waar vleermuizen gebruik van zouden kunnen maken als verblijfplaats. Deze bomen blijven echter behouden. Mede hierdoor is er geen sprake van het aantasten van (essentieel) foerageergebied en/of vliegroutes, mits er geen verlichting wordt gericht op de lijnvormige groenstructuren langs de rand van het terrein. Verlichting kan namelijk een verstrend effect hebben op zowel foerageer- als vliegroutefuncties. Qua foerageermogelijkheden zullen vleermuizen binnen of in de omgeving van het plangebied vooral foerageren in oostelijke richting, ter plaatse van het Brinkgreven-terrein en omgeving.

Subconclusie

In het te slopen gebouw kunnen vaste rust- of verblijfplaatsen van vleermuizen aanwezig zijn. Negatieve effecten op vleermuizen zijn niet op voorhand uitgesloten. Daar het eerdere onderzoek naar vleermuizen dateert uit 2009 kan de situatie omtrent het gebruik van het gebouw door vleermuizen gewijzigd zijn. Daarnaast voldoet het onderzoek van destijds niet aan het huidige onderzoeksprotocol voor vleermuizen. Hieromtrent wordt dan ook geadviseerd om volgend seizoen een nieuw protocollair veldonderzoek uit te voeren naar de aan/afwezigheid van verblijfplaatsen van alle mogelijk in de omgeving voorkomende gebouwbewonende vleermuissoorten.

Indien blijkt dat, bij aanwezigheid van één of meerdere verblijfsfuncties, deze niet kunnen worden ontzien, dient door het treffen van maatregelen; zoals het aanbieden van (tijdelijke) vleermuiskasten en werken buiten de gevoelige periode en het geschikt maken van de nieuwe situatie, de functionaliteit van de betreffende verblijfplaats(en) behouden te blijven en schade aan individuen te worden voorkomen. Door het behoud van de functionaliteit en door zorgvuldig te handelen, zal de gunstige staat van instandhouding van de betreffende vleermuissoort(en) niet in het geding komen. De maatregelen, omschreven in een activiteitenplan, dienen ter goedkeuring worden voorgelegd bij de provincie Overijssel middels een ontheffingsaanvraag.

Grondgebonden zoogdieren

Het plangebied vormt geschikt habitat voor enkele grondgebonden zoogdieren. Soorten als konijn, egel, mol, huisspitsmuis, rosse woelmuis en bunzing kunnen in het plangebied worden waargenomen. Tijdens het veldbezoek zijn verder weinig sporen van bijvoorbeeld konijn en mol aangetroffen. Mogelijk dat de hoge grondwaterstand van het lager gelegen braakliggende deel, wat in relatie staat met de IJssel, het terrein minder geschikt maakt voor dergelijke soorten om hier holen te maken. Daarnaast is in de omgeving geschikter en grootschaliger leefgebied voor dergelijke soorten aanwezig in de vorm van het groene parkachtige terrein van Brinkgreven ten oosten van het plangebied. Mede hierdoor vormt het plangebied geen essentieel leefgebied voor dergelijke algemene grondgebonden zoogdiersoorten. Daarbij geldt voor al deze soorten een provinciale vrijstelling bij ruimtelijke ontwikkeling. In het kader van de zorgplicht is het echter wel noodzakelijk om tijdens de werkzaamheden voldoende zorg te dragen voor (incidenteel) aanwezige individuen, met name een relatief trage soort als de egel die onder dichte beplanting verscholen kan zitten. Dit houdt in dat al het redelijkerwijs mogelijke gedaan dient te worden om het doden van individuen te voorkomen. Dieren moeten de gelegenheid krijgen om het werkgebied zelfstandig en veilig te kunnen verlaten. Indien noodzakelijk dienen soorten zorgvuldig te worden verplaatst naar buiten het werkgebied.

Volgens de verspreidingsgegevens komen in de omgeving van het plangebied ook de niet vrijgestelde soorten eekhoorn, steenmarter en das voor. Er zijn geen nesten of sporen aangetroffen die duiden op de aanwezigheid van eekhoorn. Het is bekend dat in het verleden steenmarter in het gebouw is aangetroffen. Hiervan waren nog sporen zichtbaar op de zolders van het gebouw. Er zijn hier echter geen verse uitwerpselen aangetroffen die indiceren dat het gebouw momenteel in gebruik is als vaste

rust- en verblijfplaats voor de steenmarter. Het gebied is geschikt als foerageergebied voor de steenmarter. Aangezien het perceel in stedelijk gebied gelegen is, en de steenmarter een opportunistische soort is, zal de toekomstige situatie evenwel geschikt zijn voor de soort. Daarbij is ter hoogte van het Brinkgreven-terrein ruim voldoende foeragemogelijkheid aanwezig. Voor de das vormt het stedelijke gebied ter plaatse van het plangebied geen geschikt habitat, en zijn er geen burchten, loop- of eetsporen, latrines of wissels aangetroffen die duiden op de aanwezigheid en/of het gebruik van het plangebied door deze soort. De aanwezigheid van andere strenger beschermde grondgebonden zoogdiersoorten zijn op basis van de verspreidingsgegevens en/of het ontbreken van geschikt habitat eveneens redelijkerwijs uitgesloten.

Subconclusie

Met de ontwikkeling gaan voormalige verblijfplaatsen van de steenmarter verloren. Hoewel er geen verse sporen van de steenmarter zijn aangetroffen en de steenmarter momenteel actief wordt geweerd door alle grotere openingen (ontstaan door achterstallig onderhoud of vandalisme) die toegang bieden tot het gebouw worden gedicht, wordt wel geadviseerd de aanwezigheid van de steenmarter blijvend te monitoren door bijvoorbeeld de beheerder van het terrein. Bij het aantreffen van verse sporen dient vervolgens een ter zake kundig te worden ingeschakeld, zodat gezamenlijk kan worden bekeken hoe conform het gemeentelijk beheersplan tot een oplossing kan worden gekomen. Tevens wordt geadviseerd om voor aanvang van de fysieke inplanting van de werkzaamheden het gebouw nogmaals eenmalig te later controleren door een steenmarterdeskundige om gaande de werkzaamheden niet tegen vertraging aan te lopen wegens de aanwezigheid van pasgeboren steenmarters die niet verstoord mogen worden.

Verder gaat binnen het plangebied geen (essentieel) leefgebied van een grondgebonden zoogdiersoort verloren. Inbreuk op de gunstige staat van instandhouding van lokale populaties van soorten is niet aan de orde. In het kader van de zorgplicht is het echter wel noodzakelijk om voldoende zorg te dragen voor (incidenteel) aanwezige individuen.

Reptielen

Volgens verspreidingsgegevens van RAVON zijn in de omgeving van het plangebied waarnemingen bekend van de ringslang. Het plangebied zelf en de directe (stedelijke) omgeving biedt geen geschikt habitat voor deze soorten. Het voorkomen ervan binnen het plangebied is daarmee dan ook uitgesloten.

Subconclusie

Negatieve effecten op reptielen zijn op voorhand uitgesloten.

Amfibieën

In de omgeving van het plangebied zijn algemene soorten bekend als bruine kikker, gewone pad, bastaardkikker en kleine watersalamander. Bij ruimtelijke ontwikkeling geldt voor deze soorten een provinciale vrijstelling. Binnen het plangebied kan een dergelijke soort eveneens worden aangetroffen.

Volgens de verspreidingsgegevens zijn in de omgeving van het plangebied ook de niet vrijgestelde poelkikker en kamsalamander bekend. Het plangebied bevat echter geen oppervlaktewater, uitgezond tijdelijke (regen)plassen, en ook in de directe omgeving is geen geschikt voortplantingswater aanwezig. Het terrein is, in combinatie met de binnenstedelijke ligging, ook niet geschikt als landhabitat, waardoor de aanwezigheid van deze soort binnen het plangebied redelijkerwijs is uitgesloten.

Subconclusie

De voorgenomen plannen zullen geen afname van geschikt essentieel habitat van een amfibieënsoort veroorzaken, inbreuk op de gunstige staat van instandhouding van populaties is dan ook uitgesloten. In het kader van de algemene zorgplicht is het wel noodzakelijk om voldoende zorg te dragen voor eventueel passerende individuen.

Vissen

Vanwege het ontbreken van oppervlaktewater binnen het plangebied kan deze soortgroep buiten beschouwing worden gelaten.

Subconclusie

Negatieve effecten op beschermde vissen zijn op voorhand uitgesloten.

Ongewervelde diersoorten

In de ruime omgeving van het plangebied zijn waarnemingen bekend van aardbeivlinder, grote weerschijnvlinder en kleine ijsvogelvlinder. Al deze soorten stellen echter zeer specifieke eisen aan hun habitat, wat in het plangebied niet aanwezig is. Aantasting van (deel)populaties van een beschermde libellen- of vlindersoort is met zekerheid niet aan de orde. De aanwezigheid van de overige beschermde ongewervelde soorten, zoals vliegend hert, Europese rivierkreeft en platte schijffhoren, is eveneens uitgesloten. Binnen het plangebied en in de omgeving is hiervoor geen geschikt habitat aanwezig.

Subconclusie

Negatieve effecten voor beschermde ongewervelde soorten zijn op voorhand uitgesloten.

Vaatplanten

In de directe omgeving van het plangebied zijn beschermde soorten bekend als glad biggenkruid, groot spiegelklokje, grote leeuwenklauw en kleine wolfsmelk. Deze soorten stellen echter zeer specifieke eisen aan hun standplaatsen. Gezien de huidige staat van het plangebied zijn deze hier redelijkerwijs uitgesloten. Tijdens het veldbezoek zijn daarbij ook geen beschermde (muur)planten aangetroffen.

Subconclusie

Negatieve effecten voor beschermde vaatplanten worden op voorhand uitgesloten.

Conclusies

Gelet op de potentiële ecologische waarden zijn de voorgenomen plannen uitvoerbaar, mits voorafgaand en tijdens het uitvoeren van de werkzaamheden het bepaalde in de Wet natuurbescherming, onderdeel soorten, in acht wordt genomen.

- Vanwege de renovatie- (en kleine sloop)werkzaamheden zijn negatieve effecten op vaste nest- en/of verblijfplaats voor de huismus, gierzwaluw en/of een vleermuisensoort niet uitgesloten. Nader (protocollair) onderzoek naar de functionaliteit van het complex voor huismus, gierzwaluw en/of vleermuizen wordt noodzakelijk geacht. Indien van toepassing kunnen, middels het tijdig treffen van de juiste maatregelen en het aanvragen van een ontheffing, de werkzaamheden ter plaatse van het voormalige ziekenhuisgebouw alsnog worden uitgevoerd. Aangezien de eventueel benodigde maatregelen relatief eenvoudig binnen het plangebied zelf kunnen worden toegepast, voorziet BRO geen bezwaren ten aanzien van het verkrijgen van een eventueel benodigde ontheffing.
- Ten aanzien van broedvogels zonder jaarrond beschermde nesten dienen, om overtreding op voorhand te voorkomen, het verwijderen van groen en werkzaamheden aan de daken buiten het broedseizoen te worden uitgevoerd.
- Ten aanzien van vleermuizen dient licht gericht op opgaand groen rond het terrein te worden vermeden.
- Ten aanzien van steenmarter wordt geadviseerd voor aanvang van de werkzaamheden nogmaals een inspectie uit te voeren om de afwezigheid van de steenmarter te bevestigen.
- Ten behoeve van binnen het plangebied (incidenteel) aanwezige algemene soorten dient de zorgplicht in acht te worden genomen.

Daarnaast zal met betrekking tot de onderdelen Natura 2000 en Natuurnetwerk Nederland, middels een Aeries-berekening, inzichtelijk moeten worden gemaakt of er daadwerkelijk geen sprake is van een significantie toename van de stikstofdepositie ter plaatse van Natura 2000-gebieden en het Natuurnetwerk Nederland. Toetsing aan het onderdeel houtopstanden (voormalige Boswet) is bij dit plan niet aan de orde.

Aanbevelingen

Ondanks dat de benodigde onderzoeken geen betrekking hebben op de onbebouwde delen van het plangebied wordt wel aanbevolen om met betrekking tot de nieuwbouw voorzieningen voor huismus, gierzwaluw en vleermuis te overwegen. Naast dat dit past binnen het nieuwe natuurinclusief bouwen, kan het bijdrage aan een eventuele compensatie opgave die voortvloeit uit de nog uit te voeren protocollaire veldonderzoeken, waarbij ook de gewenningsperiode van alternatieve verblijfsvoorzieningen een rol kan gaan spelen in de planning van de uitvoering.

Vogelbescherming Nederland heeft samen met BAM Utiliteitsbouw een checklist ontwikkeld, waarmee een bouwonderneming zijn projecten en de directe omgeving natuurvriendelijker kan maken. Door middel van het beantwoorden van enkele ja/nee vragen, kunnen eenvoudige maatregelen worden toegepast die goed zijn voor de stadsnatuur en speciaal voor vogels. Deze checklist is voor iedereen gratis te downloaden van de website van Vogelbescherming (www.vogelbescherming.nl/checklist). Daarnaast is er tevens een brochure beschikbaar omtrent het vleermuisvriendelijk bouwen. Deze brochure is onder andere te vinden op de website van de Zoogdierverseniging (www.zoogdierverseniging.nl/brochure-verschenen-over-vleermuisvriendelijk-bouwen).

Samenvatting

In onderstaande tabel is samengevat of de voorgenomen ontwikkeling negatieve effecten kan hebben op beschermde soorten en/of gebieden, en wat de eventuele vervolgstappen zijn, zoals soortgericht nader onderzoek of vergunningtrajecten. In de tabel is tevens weergegeven of maatregelen noodzakelijk zijn om overtreding van de Wet natuurbescherming voor bepaalde soortgroepen te voorkomen.

Tabel I. Overzicht (potentiele) aanwezigheid beschermde soorten/gebieden en te nemen vervolgstappen

Soortgroep		Potentieel aanwezig	Sprake van verstoring	Vervolgtraject / maatregelen	Bijzonderheden / opmerkingen
Broedvogels	Algemeen	Ja	Mogelijk	Vervolgonderzoek naar gebruik van gebouw door huismus en gierzwaluw	globale broedseizoen loopt van maart tot half augustus
	Jaarrond beschermd	Ja	Mogelijk	Vervolgonderzoek naar huismus en gierzwaluw	Bij aanwezigheid is voor de verbouwing een ontheffing nodig
Vleermuizen	Verblijfplaatsen	Ja	Mogelijk	Vervolgonderzoek naar gebruik van gebouw door vleermuizen	Bij aanwezigheid is voor de verbouwing een ontheffing nodig
	Foerageerhabitat	Ja	Nee	-	-
	Vliegroutes	Ja	Nee	Bomen langs rand plangebied onverlicht laten	-
Grondgebonden zoogdieren	Algemeen	Ja	Mogelijk	Zorgplicht	-
	Niet vrijgesteld	Ja	Mogelijk	Voor aanvang werkzaamheden controle naar aanwezigheid steenmarter	Bij aanwezigheid handelen conform gemeentelijk beheersplan
Reptielen		Nee	Nee	-	-
Amfibieën		Minimaal	Incidenteel mogelijk	Zorgplicht	-
Vissen		Nee	Nee	-	-
Ongewervelden		Nee	Nee	-	-
Vaatplanten		Nee	Nee	-	-

Gebiedsbescherming	Afstand tot gebied	Sprake van aantasting	Vervolgtraject	Bijzonderheden / opmerkingen
Natura 2000	ca. 1,5 km	Niet te verwachten	Aerius-berekening ter onderbouwing uitvoeren	
Natuurnetwerk Nederland	ca. 1,5 km	Niet te verwachten	Aerius-berekening ter onderbouwing uitvoeren	
Houtopstanden	-	Nee	-	Niet van toepassing

Geraadpleegde bronnen

Algemene Literatuur

- Creemers, R.C.M. & J.J.C.W. van Delft (RAVON) (red.) 2009. De amfibieën en reptielen van Nederland. Nederlandse Fauna 9. Nationaal Natuurhistorisch Museum Naturalis, Leiden / European Invertebrate Survey - Nederland, Leiden.
- Dietz C., O. von Helversen & D. Nill 2011. Vleermuizen. Alle soorten van Europa en Noordwest-Afrika. De Fontein/Tirion Uitgevers, Utrecht.
- Limpens, H., J. Regelink & R. Koelman 2010. Vleermuizen en planologie. Zoogdiervereniging, Nijmegen.
- Ministerie van Economische Zaken 2016. Soortenbescherming bij ruimtelijke ingrepen. Lees hier wat de Wet natuurbescherming daarover regelt. Versie 1.3, december 2016. Ministerie van Economische Zaken, Den Haag.
- SOVON Vogelonderzoek Nederland 2002. Atlas van de Nederlandse broedvogels 1998-2000. Nederlandse fauna 5. Nationaal Natuurhistorisch Museum Naturalis, KNNV Uitgeverij & European Invertebrate Survey-Nederland, Leiden.

Algemene websites

- bij12.nl (kennisdocumenten van o.a. huismus, gierzwaluw en diverse vleermuissoorten)
- eis-nederland.nl (soortgegevens ongewervelden)
- floron.nl (soortgegevens planten)
- ravn.nl (soortgegevens amfibieën, reptielen en vissen)
- sovon.nl (soortgegevens vogels)
- synbiosys.alterra.nl/natura2000 (Natura 2000-gebieden)
- verspreidingsatlas.nl/planten (verspreidingsgegevens planten)
- vlinderstichting.nl (soortgegevens vlinders en libellen)
- wetten.overheid.nl/BWBR0037552/2017-03-01 (wettekst Wet natuurbescherming)
- www.zoogdiervereniging.nl (soortgegevens zoogdieren)

Provinciale websites

- <http://www.overijssel.nl/thema's/natuur-en-landschap/ontwikkelopgave-nnn/ecologische/> (NNN en beschermde gebieden in Overijssel)

6]^U[Y) `` 9 Wt`c[]gW `cbXYfncY_

Ecologisch onderzoek

Geertruidentuin te Deventer

BRO

Ecologisch onderzoek

Geertruidentuin te Deventer

BRO

In opdracht van	BRO Bosscheweg 107 5282 WV Boxtel
Contactpersoon	Dhr. M. Koen
Telefoon	+31 (0)6 15025339
E-mail	marcel.koen@bro.nl
Website	www.bro.nl
<hr/>	
Datum	23 oktober 2018
Rapportagenummer	NIRP20180115
<hr/>	
Hoofdkantoor	NatuurInclusief Korenbree 23A 7271 LH Borculo 0545 723032 info@natuurinclusief.nl www.natuurinclusief.nl
Opsteller	Josine de Jongh
Telefoon	06 24232940
E-mail	josinedejongh@natuurinclusief.nl
Paraaf	
Kwaliteitscontrole	Eva Henrard
Paraaf	

NatuurInclusief is niet aansprakelijk voor gevolgschade, alsmede voor schade welke voortvloeit uit toepassingen van de resultaten van werkzaamheden of andere gegevens verkregen van NatuurInclusief; opdrachtgever vrijwaart NatuurInclusief voor aanspraken van derden in verband met deze toepassing.

Niets uit deze uitgave mag worden verveelvoudigd en/ of openbaar worden gemaakt d.m.v. fotokopie, microfilm of op welke andere wijze dan ook, zonder voorafgaande schriftelijke toestemming van de opdrachtgever hierboven aangegeven en NatuurInclusief, noch mag het zonder een dergelijke toestemming worden gebruikt voor enig ander werk dan waarvoor het is vervaardigd.

Inhoud

Samenvatting	4
1 Inleiding	5
1.1 Leeswijzer	5
2 Onderzoekslocatie	6
2.1 Beschrijving onderzoekslocatie.....	6
2.2 Geplande ingreep	6
3 Onderzoeksmethode.....	7
3.1 Vleermuisonderzoek	7
3.2 Huismusonderzoek	8
3.3 Gierzwaluwonderzoek	8
4 Resultaten	9
4.1 Vleermuisonderzoek	9
4.2 Huismusonderzoek	14
4.3 Gierzwaluwonderzoek	15
4.4 Overige waarnemingen	15
5. Conclusie + aanbeveling	16
Literatuur	17
Bijlage 1 Wetgeving.....	18

Samenvatting

Het oude ziekenhuis aan de H.J.P. Fesevurstraat te Deventer wordt in de komende jaren omgebouwd tot appartementen. Tevens worden er op het braakliggende terrein woningen gerealiseerd. Een groot deel van het aanwezige groen zal verwijderd worden.

Gedurende de veldbezoeken is het duidelijk geworden dat er binnen het plangebied een kraamverblijfplaats laatvlieger en gewone dwergvleermuis aanwezig is. Daarnaast zijn er 9 zomerverblijfplaatsen van gewone dwergvleermuis en 2 baltsterritoria aangetroffen die duiden op aanwezigheid van 2 paarverblijfplaatsen. Een verblijfplaats (jaarrond in gebruik) van gewone grootoorvleermuis kan niet worden uitgesloten.

Huismus en gierzwaluw zijn niet aanwezig in het pand, negatieve effecten op deze soorten kunnen worden uitgesloten. Wel heeft steenmarter een verblijfplaats in het plangebied.

De geplande werkzaamheden resulteren mogelijk in het vernietigen van deze verblijfplaatsen wat een overtreding is van de Wet natuurbescherming. Daarom is het noodzakelijk om ontheffing aan te vragen bij de Provincie Overijssel voor het vernietigen van vaste rust- en verblijfplaatsen van gewone dwergvleermuis, gewone grootoorvleermuis, laatvlieger en steenmarter. Het is mogelijk dat mitigerende maatregelen moeten worden getroffen voor de verloren verblijfplaats. Een deskundige op het gebied van vleermuizen en steenmarter kan hierin adviseren.

Verder dient ten aller tijde de zorgplicht in acht te worden genomen zodat mogelijke effecten op flora en fauna wordt voorkomen en/of geminimaliseerd.

1 Inleiding

Het oude ziekenhuis aan de H.J.P. Fesevurstraat te Deventer wordt in de komende jaren omgebouwd tot appartementen. Tevens worden er op het braakliggende terrein woningen gerealiseerd. Een groot deel van het aanwezige groen zal verwijderd worden.

De wet Natuurbescherming verplicht vooraf te toetsen of ruimtelijke ingrepen geen aanwezige beschermde plant- of diersoorten en groei- of verblijfplaats aantasten. BRO heeft in oktober 2017 een quickscan uitgevoerd waaruit naar voren is gekomen dat het gebouw mogelijk geschikt is voor vleermuizen, huismus en gierzwaluw. Alle vleermuizen zijn in Nederland beschermd door de wet Natuurbescherming (Habitatrichtlijn). Huismus en Gierzwaluw zijn in Nederland beschermd door de wet Natuurbescherming (Vogelrichtlijn). Hieruit volgend is dan ook in de periode mei 2018 - september 2018 aanvullend vleermuisonderzoek, in de periode april 2018 - mei 2018 huismusonderzoek en in de periode mei 2018 - juli 2018 gierzwaluwonderzoek uitgevoerd.

Het uitgevoerde onderzoek bestond uit 8 veldbezoeken en 1 controle van zolders. Voorliggende rapportage betreft een overzicht met de resultaten van het vleermuis-, huismus- en gierzwaluwonderzoek en een aanbeveling voor vervolgstappen.

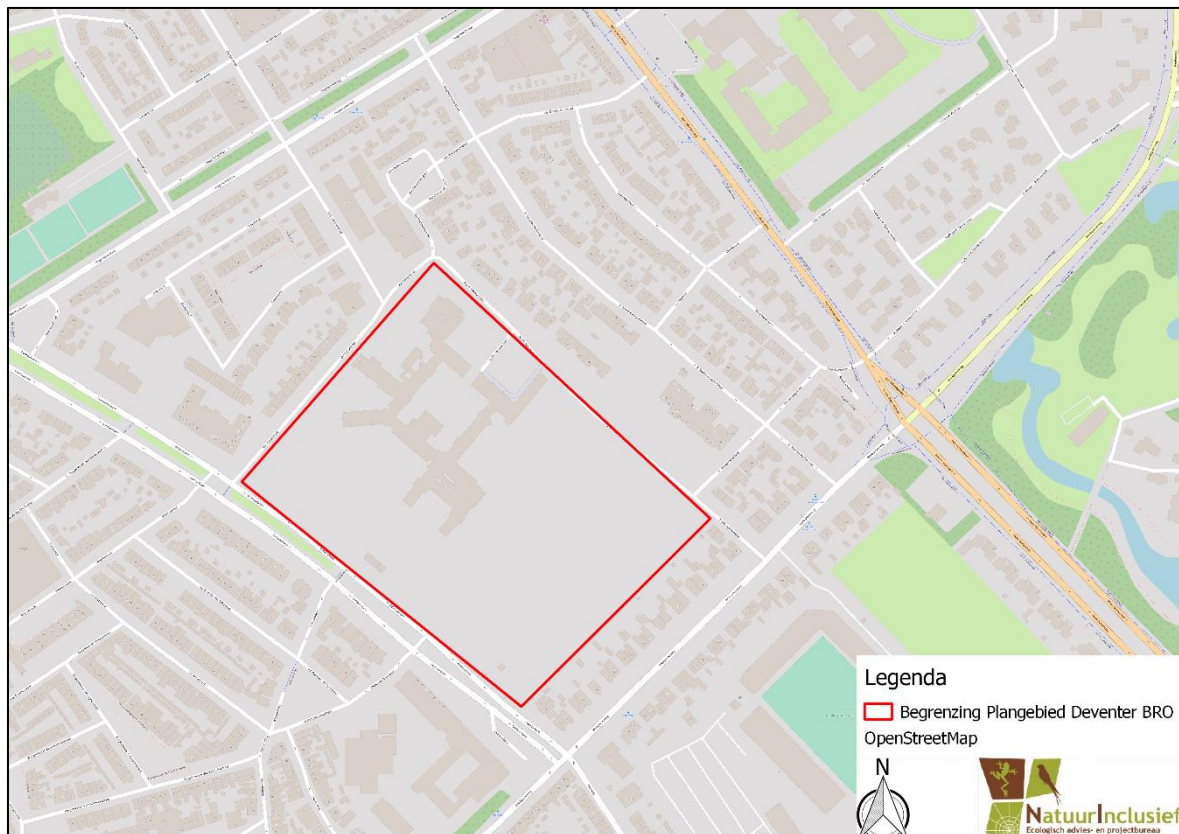
1.1 Leeswijzer

In hoofdstuk 2 wordt omschreven hoe de onderzoekslocatie eruitziet, hoe deze momenteel gebruikt wordt en wat de eigenaar van plan is in het onderzoeksgebied. Hoofdstuk 3 bespreekt de onderzoeksmethodiek. Hoofdstuk 4 geeft de resultaten weer en in hoofdstuk 5 wordt afgesloten met de conclusie en aanbevelingen.

2 Onderzoekslocatie

2.1 Beschrijving onderzoekslocatie

Het plangebied is gelegen tussen de H.J.P.Fesevurstraat, Van Calcarstraat, Ceintuurbaan en de Brinkgeverweg in, in de gemeente Deventer. Het plangebied bestaat uit het oudste gedeelte van het voormalig ziekenhuis van Deventer en een groot braakliggend terrein waar een aantal jaren geleden al een deel van het ziekenhuis is gesloopt. Op het braakliggend terrein zijn periodiek schapen aanwezig. In het bestaande gebouw zijn een aantal ondernemers gevestigd. Verder is het gebouw leeg. Figuur 1 geeft de begrenzing van het plangebied weer.



Figuur 1: Begrenzing plangebied.

2.2 Geplande ingreep

Het plan is om het huidige gebouw te renoveren en om te vormen naar appartementen (circa 80 wooneenheden). Asbestverwijdering en isolatiewerkzaamheden zijn voorbeelden van activiteiten die uitgevoerd moeten worden. Tevens zullen er op kleine schaal sloopwerkzaamheden worden uitgevoerd. Op het braakliggende terrein worden circa 120 woningen gerealiseerd. Het aanwezige groen wordt, op een aantal markante bomen na, verwijderd.

3 Onderzoeksmethode

3.1 Vleermuisonderzoek

Het aanvullend vleermuisonderzoek richt zich op de gebruiksfunctie van vleermuizen in het gebied. Er wordt gekeken of er verblijfplaatsen, essentiële foerageergebieden en vliegroutes in- en rondom het onderzoeksgebied aanwezig zijn. Tevens wordt er gekeken naar de soortensamenstelling en aantallen van de voorkomende vleermuizen in het gebied.

De onderzoekerslocaties is door mevr. J. de Jongh (Adviseur Ecologie), dhr. J.J. Beijk (Adviseur Ecologie) en dhr. K. ten Barge (Veldmedewerker) onderzocht tijdens voor vleermuis gunstige weersomstandigheden. In totaal zijn er 7 veldbezoeken uitgevoerd. De methodiek van het inventariseren is bepaald aan de hand van de soort specifieke kennisdocumenten van BIJ12 en het Protocol Vleermuisinventarisaties (maart 2017) door Vleermuisvakberaad Netwerk Groene Bureaus, de Zoogdiervereniging en de Gegevensautoriteit Natuur.

Gedurende het aanvullend vleermuisonderzoek zijn er 7 veldbezoeken uitgevoerd. In de kraamperiode (15 mei-15 juli) zijn er 4 veldbezoeken uitgevoerd en 2 veldbezoeken in de paarperiode (15 augustus - 1 oktober), zie Tabel 1 voor de specificaties van de bezoeken. Daarnaast heeft er in oktober een zolder- en kelderinspectie plaatsgevonden.

Het onderzoek heeft zich voornamelijk gericht op de aanwezigheid van verblijfplaatsen, foerageergebieden en belangrijke vliegroutes van gebouwbewonende vleermuizen. Het onderzoek heeft plaats gevonden tijdens het uit- of invliegtijdstip van vleermuizen, respectievelijk rond zonsondergang en -opkomst. Tijdens het paaronderzoek is er gekeken naar de balts-, paar- en winterverblijfplaatsen van vleermuizen. Deze bezoeken hebben plaatsgevonden tijdens de piek van de baltsactiviteit. Tevens is er gekeken naar belangrijke vliegroutes en/of foerageergebieden in het onderzoeksgebied. Tijdens de zolder- en kelderinspectie is er gekeken naar sporen van vleermuizen (bijv. ontlasting).

Voor het vleermuisonderzoek is gebruik gemaakt van een batdetector Pettersson M500-384. De opgenomen geluiden zijn, indien dat noodzakelijk was, geanalyseerd met specifieke software, zoals Batsound, versie 4.1 en BatExplorer, versie 1.11.3.0.

Tabel 1 Data uitgevoerde veldbezoeken vleermuisonderzoek

Datum	Tijdstip	Type onderzoek	Temperatuur	Windkracht	Bewolking
16 mei 2018	03:45 - 05:45 uur	Zomer- en kraamverblijfplaatsen Vliegroutes Foerageergebieden	± 14°C	2 Bft	Zwaar bewolkt
25 mei 2018	21:30 - 23.30 uur	Zomer- en kraamverblijfplaatsen Vliegroutes Foerageergebieden	± 21°C	2 Bft	Licht bewolkt
12 juni 2018	03:15 - 05.15 uur	Zomer- en kraamverblijfplaatsen Vliegroutes Foerageergebieden	± 12°C	1 Bft	Licht bewolkt
26 juni 2018	22:00 - 00:00 uur	Zomer- en kraamverblijfplaatsen Vliegroutes Foerageergebieden	± 18°C	1 Bft	Geen bewolking
21 augustus 2018	00.00 - 02.00 uur	Paarverblijfplaatsen Vliegroutes Foerageergebieden	± 16°C	0 Bft	Geen bewolking
10 september 2018	00.00 - 02.00 uur	Paarverblijfplaatsen Vliegroutes en foerageergebieden	± 16°C	1 Bft	Geheel bewolkt

16 oktober 2018	10.30 - 12.30 uur	Sporen overwintering	nvt	nvt	Nvt
-----------------	----------------------	----------------------	-----	-----	-----

3.2 Huismusonderzoek

Het huismusonderzoek richt zich op de gebruiksfunctie van huismus in het gebied. Gedurende het onderzoek wordt gekeken of er vaste rust- of verblijfplaatsen en functioneel leefgebied zoals schuil- en vluchtmogelijkheden, water en droge, zanderige plekken in en rond de onderzoekslocatie aanwezig zijn. Tevens wordt er gekeken naar het aantal broedparen om een indicatie te geven van de populatieomvang.

De onderzoekslocatie is door mevr. J. de Jongh, Adviseur Ecologie bij NatuurInclusief, onderzocht tijdens voor huismus gunstige weersomstandigheden. In totaal zijn er twee veldbezoeken uitgevoerd in de ochtend, zie Tabel 2 voor specificaties van de bezoeken. Het onderzoek heeft plaatsgevonden tijdens de piekactiviteit van huismus, respectievelijk in de ochtend één á twee uur na zonsopkomst tot 1 uur voor zonsondergang.

Het huismusonderzoek is uitgevoerd volgens de richtlijnen van de Soorteninventarisatieprotocollen welke in juli 2017 is geactualiseerd door Netwerk Groene Bureaus in samenwerking met SOVON.

Tabel 2 Data uitgevoerde veldbezoeken huismusonderzoek

Datum	Tijdstip	Type onderzoek	Temperatuur	Windkracht	Bewolking
18 april 2018	08.30 - 09.30 uur	Nestplaatsen	± 15°C	2 Bft	Geen bewolking
8 mei 2018	10.30 - 11.30 uur	Nestplaatsen	± 22°C	1 Bft	Bewolkt, lichte mist

3.3 Gierzwaluwonderzoek

Het gierzwaluwonderzoek richt zich op het vaststellen van nestlocaties van deze soort. Gedurende het onderzoek wordt daarbij gekeken naar in of uitvliegende exemplaren of het vaststellen van gebruikssporten (vooral ontlasting).

De onderzoekslocatie is door mevr. J. de Jongh (Adviseur Ecologie), Dhr. J.J. Beijck (Adviseur Ecologie) en Dhr. K. ten Barge (Veldmedewerker), onderzocht tijdens voor gierzwaluw gunstige weersomstandigheden. In totaal zijn er drie veldbezoeken uitgevoerd in de avond, zie Tabel 3 voor specificaties van de bezoeken. Het onderzoek heeft plaatsgevonden tijdens het invliegtijdstip van gierzwaluwen, respectievelijk twee uur voor zonsondergang tot zonsondergang. Daarnaast is tevens gekeken naar het gedrag van de gierzwaluwen en het aantal laagvliegende dieren.

Het gierzwaluwonderzoek is uitgevoerd volgens de richtlijnen van de Soortinventarisatieprotocollen welke in juli 2017 is geactualiseerd door Netwerk Groene Bureaus in samenwerking met SOVON.

Tabel 3 Data uitgevoerde veldbezoeken gierzwaluwonderzoek

Datum	Tijdstip	Type onderzoek	Temperatuur	Windkracht	Bewolking
25 mei 2018	20.40 - 21:40 uur	Nestplaatsen	± 21°C	2 Bft	Geheel bewolkt
7 juni 2018	21.00 - 22.00 uur	Nestplaatsen	± 23°C	1 Bft	Licht bewolkt
26 juni 2018	21.15 - 22.15 uur	Nestplaatsen	± 18°C	1 Bft	Geen bewolking

4 Resultaten

4.1 Vleermuisonderzoek

Gedurende het onderzoek zijn vijf soorten vleermuizen aangetroffen. Namelijk, gewone dwergvleermuis, ruige dwergvleermuis, laatvlieger, rosse vleermuis en gewone grootvleermuis.

Gewone dwergvleermuis - Pipistrellus pipistrellus

De gewone dwergvleermuis is de meest algemeen voorkomende vleermuissoort in Nederland. De kleine bruin gekleurde vleermuis is een flexibele soort die zowel in gesloten als open landschappen, van stadcentra tot op het platteland voorkomt. De soort is een echt gebouwbezonende soort waarbij hij een voorkeur heeft voor spleetvormige holten in spouwmuren, achter gevelbekleding en onder daken. In de kraam- en winterperiode kan het aantal dieren bij elkaar variëren van enkele tientallen tot tweehonderd dieren. Foerageren doet de gewone dwergvleermuis vaak langs lijnvormige structuren van de opgaande vegetatie, langs bosranden, de bebouwing, bij water maar daarnaast ook vaak in tuinen en rond straatlantaarns.

Tijdens de veldbezoeken is de gewone dwergvleermuis het meest in- en rond de onderzoekslocatie aangetroffen. Het gaat hierbij om 10 tot 20-tallen individuen per bezoek. Figuur 2 geeft de soortenkaart weer voor gewone dwergvleermuis voor wat betreft de zomer- en kraamverblijfplaatsen en het essentieel foerageergebied. Figuur 3 geeft de baltsterritoria van de soort weer.

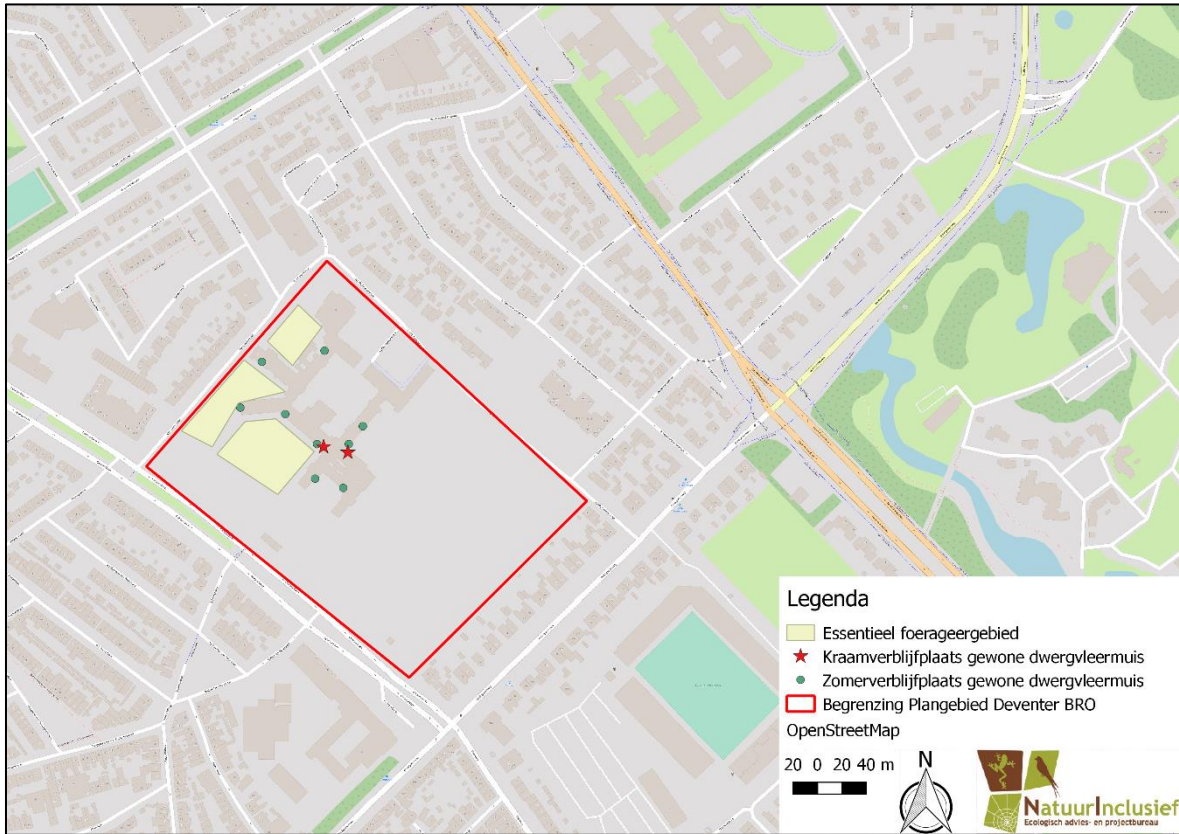
Verblijfplaatsen

Tijdens de ochtendronde van 16 mei zijn 6 zomerverblijfplaatsen van gewone dwergvleermuis aangetroffen, verspreid over het plangebied, allen bevinden zich onder de dakrand. Op 25 mei is een kraamverblijfplaats van gewone dwergvleermuis (minimaal 10 exemplaren) aangetroffen, in een nis aan de zuidwestzijde van het gebouw, de toegang bevindt zich ook onder de dakrand. Tevens zijn er nog 2 zomerverblijfplaatsen waargenomen van gewone dwergvleermuis. Op 12 juni is de kraamkolonie van gewone dwergvleermuis herbevestigd met minimaal 15 exemplaren. Daarnaast zijn er nog 4 zomerverblijfplaatsen aangetroffen verspreid over het plangebied, allen onder de dakrand van het gebouw. Op 26 juni is een kraamverblijfplaats direct aan de andere zijde van de eerder bevestigde kraamkolonie aangetroffen, minimaal 10 exemplaren. Aannemelijk is dat dit dezelfde groep is.

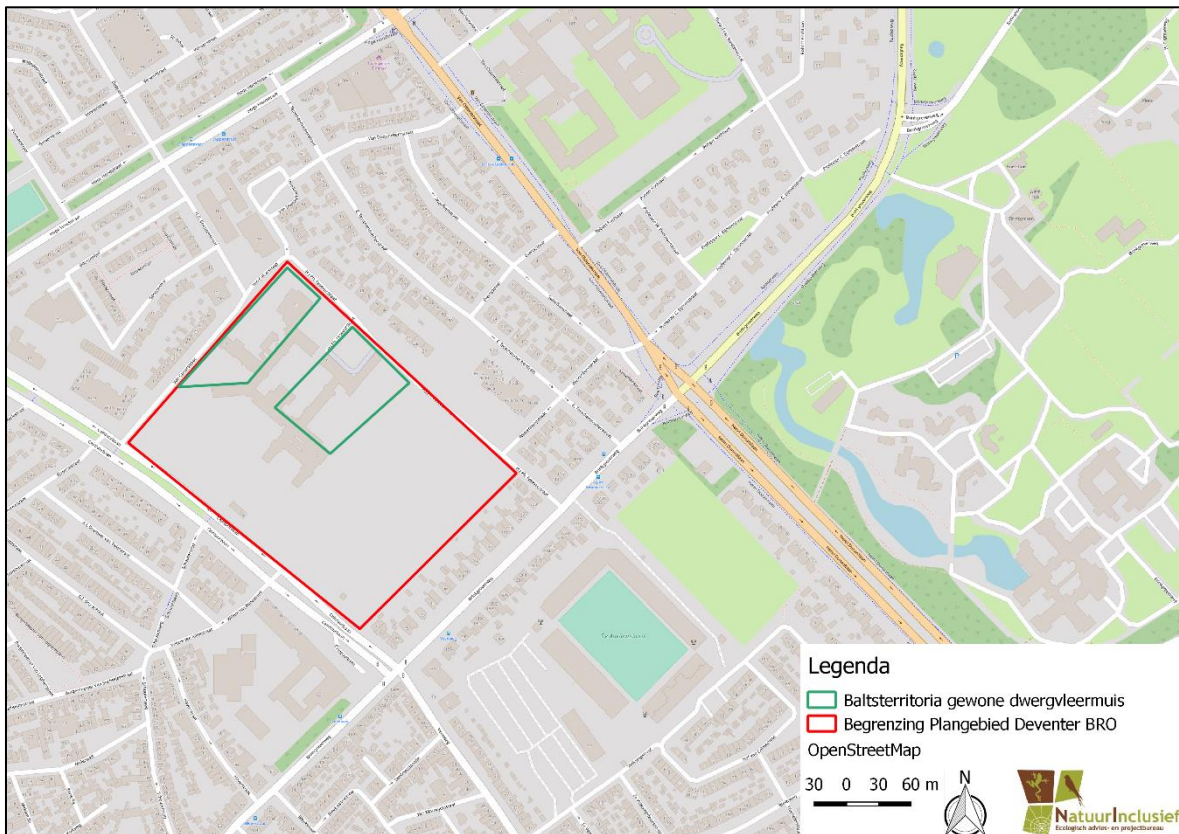
In de paarperiode zijn 2 baltsterritoria aangetroffen die duiden op aanwezigheid van 2 paarverblijfplaatsen in het gebouw. Overwintering van enkele exemplaren kan niet worden uitgesloten. Afbeelding 4 en 5 geven voorbeelden weer van locaties waar verblijfplaatsen zijn aangetroffen.

Foerageergebieden en vliegroutes

Essentiële vliegroutes zijn niet aanwezig binnen het plangebied. Essentieel foerageergebied is wel aanwezig. Gedurende alle onderzoeksrondes is gewone dwergvleermuis continu foeragerend aangetroffen in het plangebied, met minimaal 10 exemplaren. Vooral de groenstroken aan de noordwest en zuidwestzijde worden veelvuldig gebruikt door de soort en deze kunnen dan ook als essentieel worden beschouwd. Andere zijden van het gebouw worden slechts sporadisch bezocht.



Figuur 2 Soortkaart gewone dwergvleermuis



Figuur 3: Baltterritoria gewone dwergvleermuis



Figuur 4+5: Voorbeelden van locaties aangetroffen verblijfplaatsen. Rode Ster is kraamverblijfplaats gewone dwergvleermuis

Ruige dwergvleermuis - *Pipistrellus nathusii*

De ruige dwergvleermuis is in Nederland een vrij algemeen voorkomende soort en lijkt erg veel in eerste instantie op de gewone dwergvleermuis maar de ruige dwergvleermuis is donker- of roodbruin gekleurd met kleine zwarte oren en wat forser gebouwd dan de gewone dwergvleermuis. Deze soort jaagt in Nederland bij voorkeur in de nabijheid van bomen, houtwallen of in open bosgedeelten en in de nabijheid van water. Van nature verblijft de ruige dwergvleermuis in holle bomen, spleten maar ook achter gevelbetimmering of onder dakbedekking. In de kraamperiode kan het aantal vrouwtjes in een kraamkolonie variëren van 10 tot 100 dieren. In de winterperiode worden ruige dwergvleermuizen aangetroffen in zowel gebouwen als houtstapels of holle bomen.

Ruige dwergvleermuis is alleen tijdens het veldbezoek op 10 september waargenomen.

Verblijfplaatsen

Tijdens de veldbezoeken is de ruige dwergvleermuis slechts eenmaal gehoord. De soort kwam overvliegend het plangebied binnen en is daarna niet meer waargenomen.

Foerageergebieden en vliegroutes

De soort is slechts eenmaal overvliegend waargenomen. Essentieel foerageergebied of een essentiële vliegroute is niet aanwezig.

Laatvlieger - *Eptesicus serotinus*

De laatvlieger is een algemeen voorkomende soort in Nederland. Het is één van de grootste vleermuissoorten welke in Nederland voorkomen. Het is een echt gebouwbewonende soort, verblijfplaatsen zijn onder andere veelal te vinden achter boeiboorden, achter gevelbekleding, achter dakgoten, lood langs de schoorstenen, in spouwmuuren en op zolders. Kraamverblijfplaatsen bestaan uit tien tot zestig en soms tot driehonderd vrouwtjes. De mannetjes verblijven ergens anders, soms in groepjes van 20 dieren. Het foerageren vindt plaats langs bosranden, heggen, lanen maar ook boven weilanden en langs structuurrijke randen van bebouwing, parken en waterpartijen. De soort foerageert soms in kleine groepjes van circa 20 dieren op dezelfde locatie. De afstand van verblijfplaats tot foerageergebied kan verschillen tussen de 4.5 tot 10 kilometer.

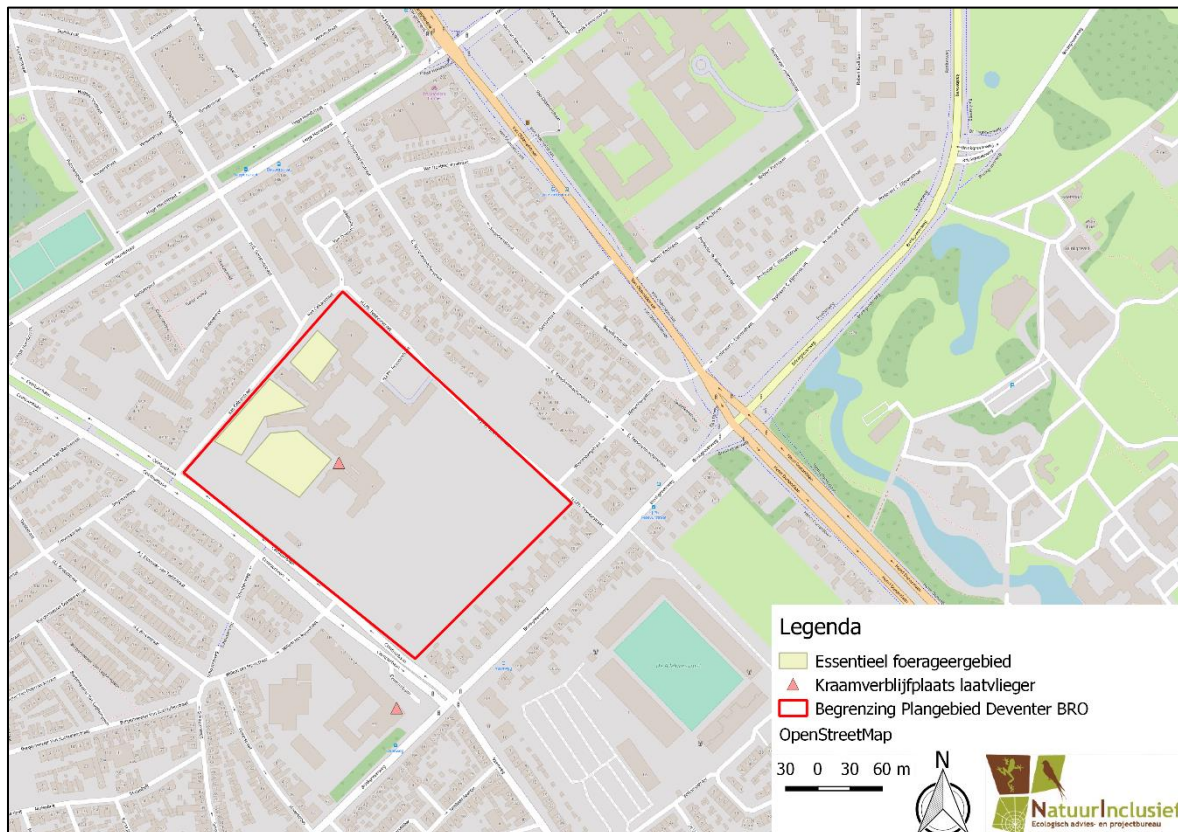
Tijdens ieder veldbezoek is de soort met meerdere individuen aangetroffen. Figuur 4 geeft de soortenkaart weer van laatvlieger.

Verblijfplaatsen

Tijdens het veldbezoek van 25 mei is een kraamkolonie van laatvlieger aangetroffen vlakbij een kraamkolonie van gewone dwergvleermuis. Overige verblijfplaatsen zijn niet aangetroffen. Buiten het plangebied is ook een kraamkolonie van laatvlieger aangetroffen (meer dan 10 individuen) aan de Van Calcarstraat.

Foerageergebieden en vliegroutes

Tijdens alle veldbezoeken was laatvlieger veelvuldig aan het foerageren gedurende de gehele onderzoeksrondes (circa 5 tot 7 individuen). Het aangegeven foerageergebied op figuur 3 kan dan ook als essentieel beschouwd worden. Essentiële vliegroutes zijn niet aangetroffen.



Figuur 6: Soortkaart laatvlieger

Rosse vleermuis - *Nyctalus noctula*

De rosse vleermuis is in Nederland een vrij algemeen voorkomende soort. De soort valt onder een van de grootste vleermuissoorten welke in Nederland voorkomen. Het is een echte boombewonende soort, met verblijfplaatsen in holten en spleten van bomen en achter loszittend schors van voornamelijk beuken, essen, eiken, populieren, paardenkastanjes en esdoorns. De kraamkolonies bestaan in Nederland uit groepen van ongeveer 10 - 120 dieren welke verspreid zijn in verschillende groepjes binnen een netwerk van verblijfplaatsen. Rosse vleermuizen foerageren tot wel op een hoogte van 100 meter op circa 20 - 30 km van hun verblijfplaatsen vandaan. Ze foerageren vaak in open en waterrijke gebieden, in het najaar wordt de soort ook rond lantaarnpalen gezien.

Op 1 september zijn een aantal rosse vleermuizen overvliegend aangetroffen die geen binding met de bomen binnen het onderzoeksgebied leken te hebben.

Tijdens de veldbezoeken op 25 mei, 12 juni en 21 augustus is rosse vleermuis aangetroffen. Het ging om enkele overvliegende exemplaren verspreid over het plangebied.

Verblijfplaatsen

Tijdens de veldbezoeken zijn er geen aanwijzingen verkregen die duiden op enige aanwezigheid van vaste rust- en/of verblijfplaatsen van rosse vleermuizen in de bomen.

Foerageergebieden en vliegroutes

Tijdens de veldbezoeken zijn er geen aanwijzingen verkregen die duiden op enige aanwezigheid van essentiële vliegroutes of essentieel foerageergebied voor rosse vleermuizen.

Gewone grootoorvleermuis - Plecotus auritus

De gewone grootoorvleermuis is een vrij algemeen voorkomende vleermuissoort in Nederland. De soort is makkelijk te herkennen aan de geelbruin tot bruine rugvacht, grijs- tot geelwitte buikvacht en hebben een donkerbruine ondervacht. Deze dieren hebben vrij grote ogen, oren en tragus. Gewone grootoorvleermuizen vind je vooral in structuurrijke bossen en parklandschappen. Het is een boom- en gebouwbewonende soort waarvan de verblijfplaatsen 's zomers bestaan uit holten en spleten in bomen, zolders en spleetvormige ruimten in gebouwen. In de kraamperiode kunnen de groepen bestaan uit 5 - 25 nauw verwante vrouwtjes. 's Nachts jagen ze in de buurt van de verblijfplaatsen op allerlei grote insecten (zoals nachtvlinders of langpootmuggen) in een straal van max. 1,5 km. in bosrijke omgeving, plantsoenen, boven bospaden, boven boomkronen, langs bosranden en in dubbele bomenlanen. In de winter trekken ze zich terug in koele, vochtige ondergrondse ruimten zoals kelders, kalksteengroeve, kerktorens of bunkers. De afstand tussen zomer- en winterverblijfplaatsen is vaak niet meer dan 5 - 20 km.

Tijdens de veldbezoeken is geen gewone grootoorvleermuis aangetroffen. Echter, tijdens de zolderinspectie van 16 oktober is wel op 1 plek ontlasting van gewone grootoorvleermuis aangetroffen. Zie Figuur 5 voor de locatie.

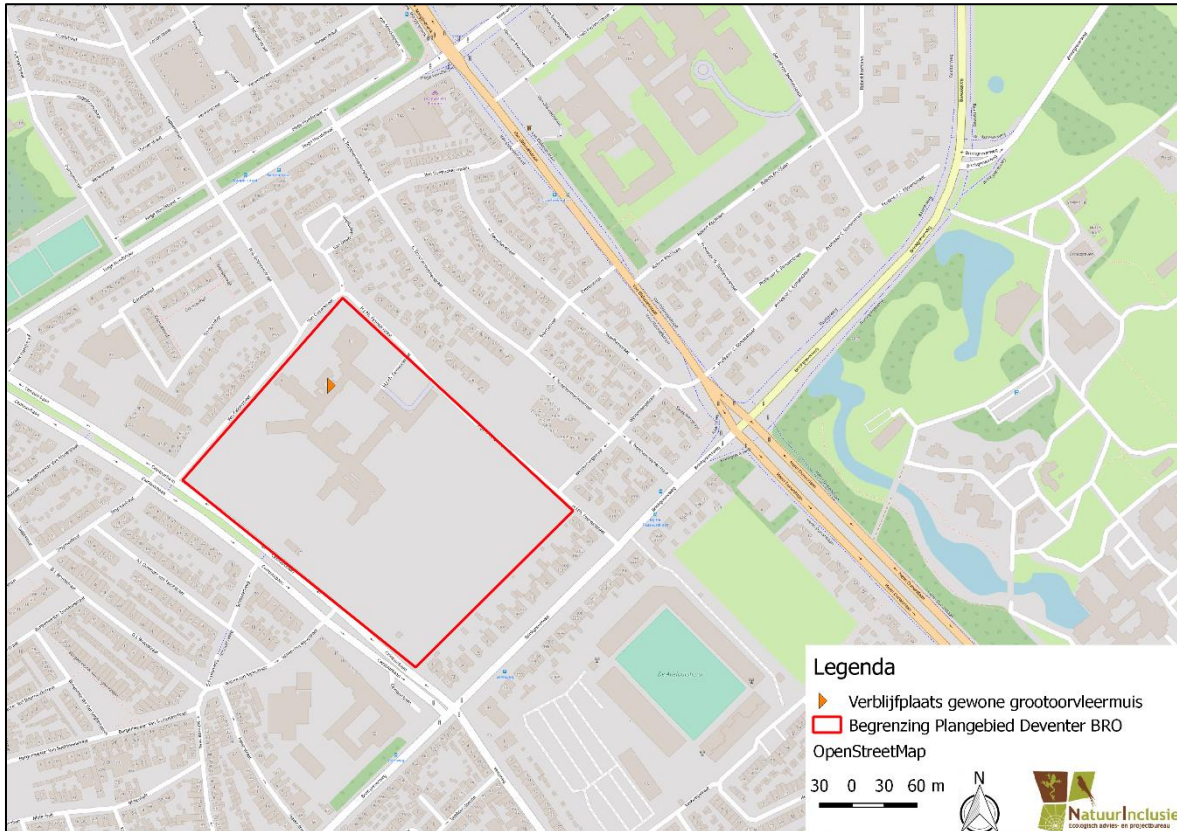
Verblijfplaatsen

Tijdens de veldonderzoeken is gewone grootoorvleermuis niet aangetroffen. Echter, bekend is dat deze soort een zeer zachte sonar heeft en dus makkelijk gemist kan worden. Ook gezien het gebouw hoog is en de verblijfplaats onder het dak zit is het niet vreemd dat de soort gemist is. Tijdens de zolderinspectie van 16 oktober 2018 is namelijk ontlasting van gewone grootoorvleermuis aangetroffen (figuur 8 + 9). De versheid van de keutels is moeilijk vast te stellen. Duidelijk was dat ze niet een week oud waren, maar ouder. Echter, na een week is het niet meer te beoordelen hoe oud ze daadwerkelijk zullen zijn. Een verblijfplaats van deze soort kan dan ook niet worden uitgesloten. Er moet rekening gehouden worden met een verblijfplaats die jaarrond gebruikt wordt.

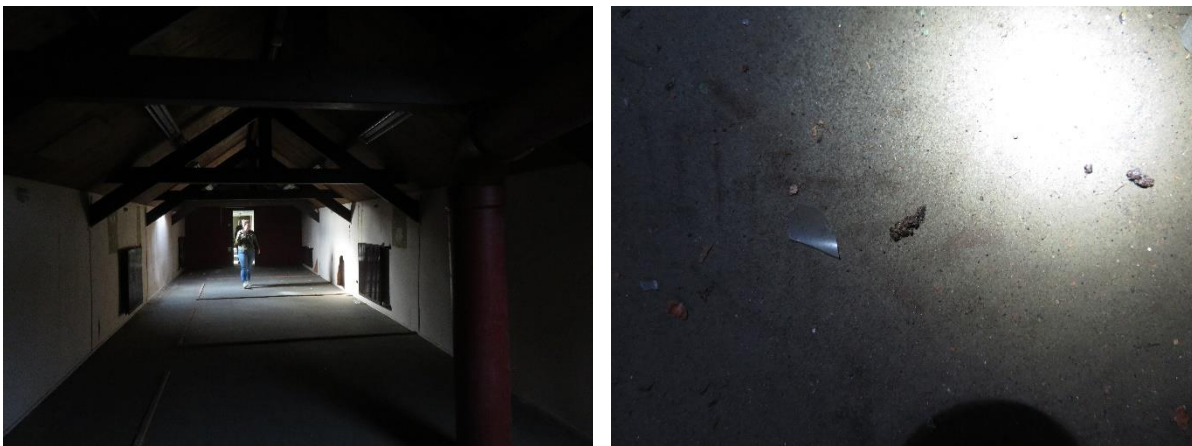
Alle zolders zijn geïnspecteerd. Alleen op deze locatie is ontlasting gevonden van gewone grootoorvleermuis.

Foerageergebieden en vliegroutes

De soort is tijdens de veldbezoeken niet waargenomen. Wanneer er essentieel foerageergebied aanwezig zou zijn van de soort zou deze tijdens de veldrondes zeker zijn waargenomen. Daarnaast zijn er geen grote hoeveelheden ontlasting aangetroffen wat het vermoeden versterkt dat het slechts om 1 enkel dier gaat. Essentiële vliegroutes en foerageergebied kunnen worden uitgesloten.



Figuur 7: Soortkaart gewone grootoorvleermuis



Figuur 8 + 9: Zolder met ontlasting gewone grootoorvleermuis

4.2 Huismusonderzoek

De huismus is een klein bruin vogeltje welke in bijna heel Nederland voorkomt. De soort is erg honkvast en heeft maar een functioneel leefgebied met een straal van circa 100 á 200 meter. Omdat de huismus een prooidier is, voor bijvoorbeeld sperwer, is het essentieel dat het leefgebied voldoende schuil- en vluchtmogelijkheden bevat. Nestplaatsen bevinden zich dan ook bij voorkeur onder dakpannen, in kieren of gaten, in klimop of dichte groenblijvende struiken. Huismus is een sociale soort welke in kolonies leeft van enkele tot soms wel honderd broedparen. Per jaar, tussen begin april en augustus, worden er twee tot drie legsels grootgebracht. Meerdere legsels zijn noodzakelijk om de populatie in stand te houden.

Tijdens de ochtendbezoeken op 18 april en 8 mei 2018 is er gekeken naar de aanwezigheid van huismus in het plangebied. Gedurende beide ochtendbezoeken zijn geen huismussen aangetroffen. In de wijk direct naast het plangebied is huismus wel gehoord (E. Tesschenmacherstraat).

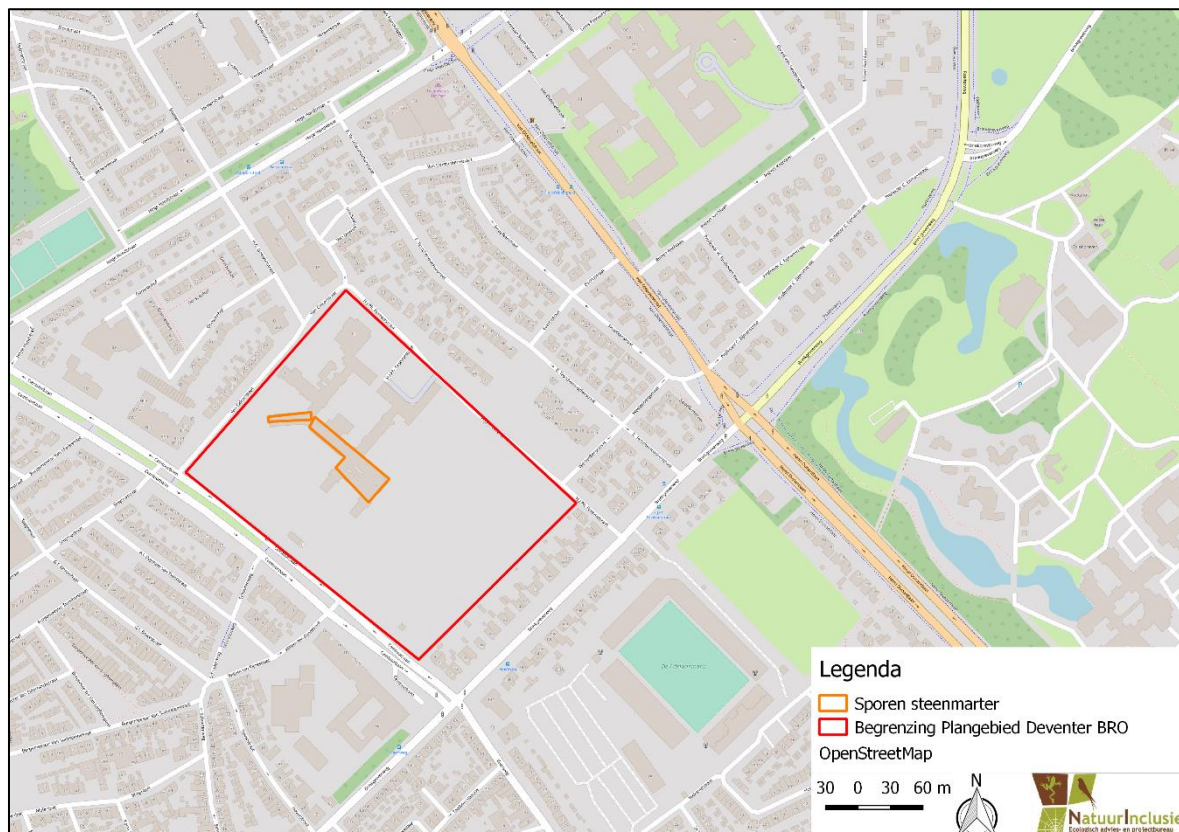
4.3 Gierzwaluwonderzoek

De gierzwaluw is een vogel welke van eind april tot en met juli in Nederland te vinden is. Buiten deze periode trekken de vogels naar Afrika. De soort nestelt in Nederland alleen in bebouwingen, bij voorkeur in hoge gebouwen en wat oudere stadswijken. Hierbij wordt er gebruik gemaakt van holtes en spleten onder dakranden en dakpannen en zolders van kerktorens. De grootte van kolonies kunnen variëren waarbij de dieren 's ochtends en 's avonds achter elkaar aanvliegen.

Tijdens de avondbezoeken op 25 mei, 7 juni en 26 juni is er gekeken naar invliegende dieren en naar indicaties van verblijfplaatsen zoals ontlasting onder de invliegopeningen. Gedurende alle 3 de avondbezoeken zijn enkel hoogvliegende gierzwaluwen aangetroffen die geen enkele binding met het plangebied toonden. De rondvliegende dieren hebben o.a. hun verblijfplaats in de wijk achter het ziekenhuis (Dapperstraat, Verwerstraat e.o.).

4.4 Overige waarnemingen

Gedurende de veldbezoeken is steenmarter aangetroffen. De soort is tijdens de avondronde op 16 mei langs het gebouw omhoog klimmend aangetroffen. Tevens zijn tijdens de zolderinspectie op 16 oktober veelvuldig sporen van de soort waargenomen (poep, urineplekken, prooiresten). Er is geen verse ontlasting aangetroffen. Echter, gezien de grootte van het gebouw en de vele ruimtes waar steenmarter wel toegang toe heeft en wij niet, is het niet uit te sluiten dat de soort er nog steeds zit. Een verblijfplaats is zeer aannemelijk. Zie Figuur 6 voor de locatie waar de soort is aangetroffen en waar de meeste sporen zijn aangetroffen.



Figuur 10: Soortkaart steenmarter

5. Conclusie + aanbeveling

Binnen het plangebied is een kraamverblijfplaats laatvlieger en gewone dwergvleermuis aanwezig. Daarnaast zijn er 9 zomerverblijfplaatsen van gewone dwergvleermuis en 2 baltsterritoria aangetroffen die duiden op aanwezigheid van 2 paarverblijfplaatsen. Een verblijfplaats (jaarrond in gebruik) van gewone grootoorvleermuis kan niet worden uitgesloten. Een massawinterverblijfplaats kan worden uitgesloten.

Huismus en gierzwaluw zijn niet aanwezig in het pand. Wel heeft steenmarter een verblijfplaats in het plangebied.

De geplande werkzaamheden resulteren mogelijk in het vernietigen van deze verblijfplaatsen wat een overtreding is van de Wet natuurbescherming. Daarom is het noodzakelijk om ontheffing aan te vragen bij de Provincie Overijssel voor het vernietigen van vaste rust- en verblijfplaatsen van gewone dwergvleermuis, laatvlieger, gewone grootoorvleermuis en steenmarter en is het noodzakelijk maatregelen te treffen, zoals het realiseren van vervangende verblijfplaatsen. Verder dient te allen tijde de zorgplicht in acht te worden genomen zodat mogelijke effecten op flora en fauna wordt voorkomen en/of geminimaliseerd.

Literatuur

- Bij12, juli 2017. Kennisdocument gewone dwergvleermuis, versie 1.0. Bij12, Utrecht.
- Bij12, 2017. Kennisdocument Gierzwaluw, versie 1.0. Bij12, Utrecht.
- Bij12, 2017. Kennisdocument Huismus, versie 1.0. Bij12, Utrecht.
- Daalder, Remco, 2014. De gierzwaluw. Uitgeverij Atlas Contact Amsterdam/ Antwerpen
- Rijksdienst voor Ondernemend Nederland, 2014. Soortenstandaard Gierzwaluw, versie 2.0. Rijksdienst voor Ondernemend Nederland.
- Rijksdienst voor Ondernemend Nederland, 2014. Soortenstandaard Huismus, versie 2.0. Rijksdienst voor Ondernemend Nederland.
- Rijksdienst voor Ondernemend Nederland, 2014. Soortenstandaard gewone dwergvleermuis, versie 2.0. Rijksdienst voor Ondernemend Nederland.
- Limpens, H., Mostert, K. & Bongerd, W. (1997). Atlas van de Nederlandse Vleermuizen. KNNV Uitgeverij. Utrecht.
- Korsten, E. (2012). Vleermuis kasten. Overzicht van toepassing, gebruik en succesfactoren. Bureau Waardenburg bv, Culemborg
- Korsten, E., Limpens, H., Bouwman H. & Reinhold J. (2011). Vleermuisvriendelijk bouwen, Landschapsbeheer Flevoland, Lelystad.
- Vleermuisvakberaad Netwerk Groene Bureaus, Zoogdierverseniging en Gegevensautoriteit Natuur (2017). Vleermuisprotocol 2017.
- Broekhuizen, S., Klees, D., Müskens, G. (2010). De Steenmarter. KNNV Uitgeverij en Zoogdierverseniging, Zeist.

Bijlage 1 Wetgeving

Vanaf 1 januari 2017 is de Wet natuurbescherming van kracht. De Wet natuurbescherming vervangt drie wetten, namelijk de Natuurbeschermingswet 1998, de Boswet en de Flora- en Faunawet. De bevoegdheid ligt bij de provincies. Zij zijn verantwoordelijk voor de toetsing van werkzaamheden en activiteiten bij bijvoorbeeld Natura 2000-gebieden (de gebiedsbeschermingsbepalingen) en dier- en plantensoorten (de soortenbeschermingsbepalingen). Alleen bij ruimtelijke ingrepen waarmee grote nationale belangen zijn gemoeid blijft het Rijk bevoegd gezag.

De Wet natuurbescherming is onder te verdelen in 3 onderdelen: de bescherming van soorten, de bescherming van Natura 2000-gebieden en de bescherming van bosopstanden.

Verbodsbepalingen

Er zijn verschillende verbodsbepalingen van toepassing op dit soortenmanagementplan. In de Wet natuurbescherming zijn deze onderverdeeld in Verbodsbepalingen voor soorten van de Vogelrichtlijn, Habitatrichtlijn en overige soorten. De verbodsbepalingen zijn als volgt omschreven:

Bescherming van soorten

Er zijn 3 categorieën met betrekking tot de soortbescherming; Soorten beschermd volgens de Vogelrichtlijn, Habitatrichtlijn en overige soorten. De beschermde status van de overige soorten verschilt per provincie. Provincies hebben de bevoegdheid om bij provinciale verordening vrijstelling te verlenen voor nationaal beschermde soorten. Er is dan geen ontheffing nodig voor werkzaamheden.

Vogelrichtlijn

Hieronder vallen alle van nature in Nederland in het wild levende vogels als bedoeld in artikel 1 van de Vogelrichtlijn. Handelingen die de wet verbiedt zijn:

- Artikel 3.1 lid 1: Het is verboden in het wild levende vogels opzettelijk te doden of te vangen;
- Artikel 3.1 lid 2: Het is verboden opzettelijk nesten, rustplaatsen en eieren van vogels te vernielen, beschadigen of nesten van vogels weg te nemen;
- Artikel 3.1 lid 4 en lid 5: het is verboden vogels opzettelijk te verstoren, tenzij de verstoring niet wezenlijke invloed is op de staat van instandhouding van de betreffende vogelsoort.

Uitgezonderd zijn de soorten die door de AMvB zijn aangewezen. Hieronder vallen onder andere de Canadese gans en de Houtduif.

Onder bepaalde voorwaarden mogen deze handelingen wel uitgevoerd worden. Er is dan een ontheffing of vrijstelling nodig. Er zijn vrijstellingen opgesteld via de provinciale verordening of ministeriële regeling. Een ontheffing kan bij de provincie worden aangevraagd. Een ontheffing kan verkregen worden als er geen andere bevredigende oplossing is en er een geldig belang is, zoals:

- de volksgezondheid, openbare veiligheid,
- luchtverkeer,
- schade aan gewassen,
- bescherming van flora en fauna,
- onderzoek of onderwijs,
- herinvoering van soorten.

Daarnaast mogen de handelingen niet leiden tot een verslechtering van de staat van instandhouding van de betreffende soort.

Habitatrichtlijn

Soorten die staan in het Verdrag van Bern en Bijlage I van het Verdrag van Bonn. De soorten staan in bijlage 1. Handelingen die de wet verbiedt zijn:

- Artikel 3.5 lid 2: Het is verboden dieren opzettelijk te verstoren;
- Artikel 3.5 lid 3: Het is verboden eieren van dieren in de natuur opzettelijk te vernielen of te rapen;
- Artikel 3.5 lid 4: Het is verboden de voortplantingsplaatsen of rustplaatsen van dieren te beschadigen of te vernielen;
- Artikel 3.5 lid 5: Het is verboden plantensoorten in hun natuurlijke verspreidingsgebied opzettelijk te plukken en te verzamelen, af te snijden, te ontwortelen of te vernielen.

Er zijn vrijstellingen opgesteld via de provinciale verordening of ministeriële regeling. Een ontheffing kan bij de provincie worden aangevraagd. Ook hier is een geldig belang nodig en mag de gunstige staat van instandhouding niet in het geding komen. De volgende belangen kunnen een grond zijn voor het verlenen van een ontheffing:

- bescherming van flora- en fauna,
- voorkoming “ernstige schade” aan gewassen, veehouderijen, bossen, visgronden, wateren of andere vormen van eigendommen,
- in belang van de volksgezondheid, openbare veiligheid,
- Andere dwingende reden van groot openbaar belang met inbegrip van redenen van sociale of economische aard en met inbegrip van wezenlijk gunstige effecten voor het milieu.

Overige soorten

Dit zijn de soorten die genoemd worden in de bijlage van Wet natuurbescherming. Voor de lijst van de overige beschermde soorten zie bijlage 1. Onder dit beschermingsregime is het verboden om:

- Artikel 3.10 lid 1b: Het is verboden de vaste voortplantingsplaatsen of rustplaatsen van dieren opzettelijk te beschadigen of te vernielen;

Voor deze soorten gelden dezelfde vrijstellingsgronden als bij de soorten van de Habitatrichtlijn en zijn er een groot aantal overige uitzonderingsgronden. Voor ruimtelijke inrichting of ontwikkeling van gebieden en het algemeen belang geldt er een vrijstelling.

Zorgplicht

Voor alle soorten geldt de zorgplicht. De bescherming van soorten gaat uit van de intrinsieke waarde van alle dieren en planten. Daar moet zorgvuldig mee omgaan worden. Daarom is de zorgplicht in artikel 1.11 van de wet opgenomen. De zorgplicht houdt in dat iedereen ‘voldoende zorg’ in acht moet nemen voor alle in het wild voorkomende dieren en planten en hun leefomgeving en voor Natura 2000-gebieden. Voorkomen, beperken en ongedaan maken zijn hierbij sleutelwoorden.

Natuurnetwerk Nederland

Het Natuurnetwerk Nederland (NNN), voorheen ook wel Ecologische hoofdstructuur (EHS) genoemd, is onderdeel van een netwerk van deels bestaande en deels nieuwe natuurgebieden die met elkaar verbonden zijn. Het gaat hierbij om zowel kleine en grote natuurgebieden en agrarische gebieden. Al deze gebieden binnen het Natuurnetwerk Nederland worden met elkaar verbonden via ecologische verbindingzones. De ecologische verbindingzones zorgen ervoor dat er verbindingen aanwezig zijn tussen de verschillende natuurgebieden zodat dieren zich makkelijker van het ene naar het andere leefgebied kunnen verplaatsen. Uiteindelijk moet het Natuurnetwerk Nederland samen met de natuurgebieden in andere Europese landen een aaneengesloten pan-Europees Ecologisch Netwerk (PEEN) vormen.

Negatieve effecten op de wezenlijke kenmerken of (natuur)waarden van deze natuurgebieden en verbindingen dienen vermeden of gecompenseerd te worden.

Wanneer er ontwikkelingen plaatsvinden in NNN-gebieden is conform de Nota Ruimte en daarvoor Structuurschema Groene Ruimte het 'nee, tenzij' - regime van toepassing. In principe zijn ruimtelijke ontwikkelingen met significante negatieve effecten op de wezenlijke kenmerken of (natuur)waarden van het gebied niet toegestaan. Het kan alleen doorgaan als er geen reële alternatieven mogelijk zijn en/of er sprake is van groot openbaar belang. Voor ingrepen waarvoor geen reële alternatieven mogelijk zijn of die van groot openbaar belang zijn geldt de vereiste schade zoveel mogelijk wordt beperkt door mitigerende maatregelen. Tevens dient er gecompenseerd te worden. Om vast te stellen of de ontwikkelingen door kunnen gaan, dient er getoetst te worden volgens het 'nee, tenzij' - regime. De toetsing hiervoor staat beschreven in 'de Spelregels EHS', opgesteld in 2007 door de ministeries van LNV en VROM en Provincies.

Natura 2000-gebieden

Natura 2000-gebieden in Nederland zijn onderdeel van een Europees netwerk aan natuurgebieden waar belangrijke flora en fauna duurzaam beschermd worden. Al deze gebieden zijn belangrijk om de Europese biodiversiteit te waarborgen. De in Nederland aangewezen natura 2000-gebieden worden beschermd onder de Wet Natuurbescherming, voorheen de Natuurbeschermingswet 1998. In Nederland zijn er ruim 160 natuurgebieden aangewezen als Natura 2000-gebieden. Voor ieder Natura 2000-gebied zijn er een instandhoudingsdoelstellingen opgesteld voor specifieke fauna en florasorten. De instandhoudingsdoelstellingen zijn allen beschreven in beheerplannen. Deze beheerplannen worden opgesteld voor ieder Natura 2000-gebied en geven duidelijkheid of geplande maatregelen en activiteiten al dan niet kunnen plaatsvinden. Wanneer er maatregelen of activiteiten uitgevoerd dienen te worden welke schadelijk en/of negatieve effecten op de beschermde natuur kunnen hebben dient een vergunning bij de provincie of soms bij het ministerie van Economische Zaken aangevraagd te worden.

Bosopstanden

De bescherming van bosopstanden kent twee belangrijke aspecten: meldingsplicht en herplantplicht. Een kapmelding is verplicht bij de kap van bomen buiten de bebouwde kom (in het kader van de voormalige Boswet) indien kap plaatsvindt in een houtopstand van 10 are of meer, of een bomenrij van 20 bomen. Er geldt een 1 op 1 herplantplicht. Provincies bepalen welke gegevens bij een melding moeten worden aangeleverd. Dit kan dus per provincie verschillen. Voor het vellen van een houtopstand in verband met realisatie van een Natura 2000-doel is er geen herplantplicht.

6]^U[Y* `` CbXYfncY_g]_g]cZYdcg]h]Y



ONDERZOEK STIKSTOFDEPOSITIE

GEERTRUIDENTUIN DEVENTER

Opdrachtgever:	BRO
Projectnr:	BRO011
Datum:	15 januari 2020

ONDERZOEK STIKSTOFDEPOSITIE

GEERTRUIDENTUIN DEVENTER

Opdrachtgever: BRO
Projectnr: BRO011
Rapportnr: 20200115-BRO011-RAP-STD-4.0
Status: Definitief
Datum: 15 januari 2020

T 088 - 33 66 333
F 088 - 33 66 099
E info@kragten.nl



© 2019 Kragten
Niets uit dit rapport mag worden veelevoudigd en/of openbaar gemaakt door middel van druk, fotokopie, microfilm of op welke andere wijze dan ook zonder voorafgaande toestemming van Kragten. Het is tevens verboden informatie en kennis verwerkt in dit rapport ter beschikking te stellen aan derden of op andere wijze toe te passen dan waaraan in de overeenkomst toestemming wordt verleend.

Opsteller:
R. van Hooy

Verificatie:
J. Geurts



Validatie:
J. Geurts



INHOUDSOPGAVE

1	INLEIDING.....	7
2	UITGANGSPUNTEN	9
2.1	Algemeen.....	9
2.2	Situering Natura 2000-gebieden.....	10
3	WETTELIJK KADER.....	11
3.1	Landelijke wet- en regelgeving.....	11
3.2	Voortoets	11
3.3	Passende beoordeling	11
4	BEREKENINGSSYSTEMATIEK	13
4.1	Rekenmodel.....	13
4.2	Situaties algemeen.....	13
4.3	Referentiesituatie	13
4.4	Beoogde situatie.....	13
4.5	Aanlegfase.....	14
5	REKENRESULTATEN EN BEOORDELING.....	17
6	CONCLUSIE.....	19

BIJLAGEN

B1	AERIUS
B1.1	Gebruiksfase
B1.2	Aanlegfase
B2	GEGEVENS AANLEGFASE

1 INLEIDING

In opdracht van BRO is door Kragten een stikstofdepositie onderzoek uitgevoerd in verband met het plan "Geertruidentuin" te Deventer. Het plan behelst de beoogde ontwikkeling van appartementen en woningen in het bestaande SMCD-gebouw, nieuwbouw van 142 woningen en 900 m² multifunctionele ruimte. Het onderzoek wordt uitgevoerd in het kader van een planologische procedure.

Ten behoeve van de juridisch-planologische verankering van het initiatief dient een bestemmingsplanprocedure te worden doorlopen. Doel van het onderzoek is toetsing van (negatieve) effecten op Natura 2000-gebieden, als gevolg van de activiteiten die het bestemmingsplan mogelijk maakt, aan de Wet natuurbescherming. Het onderzoek is uitgevoerd overeenkomstig de "Handreiking Passende Beoordeling Stikstofaspecten Bestemmingsplannen".

Ten behoeve van een voortoets in het kader van de Wet natuurbescherming is de gewenste situatie gemodelleerd op basis van de aangeleverde gegevens door de opdrachtgever. De depositie is op de omliggende Natura 2000-gebieden berekend en getoetst of het plan (mogelijke) significant negatieve effecten veroorzaakt op de instandhoudingsdoelstellingen van Natura 2000-gebieden.

Voorliggende rapportage geeft een overzicht van de gehanteerde uitgangspunten en rekenmethodiek, de rekenresultaten en de bevindingen.

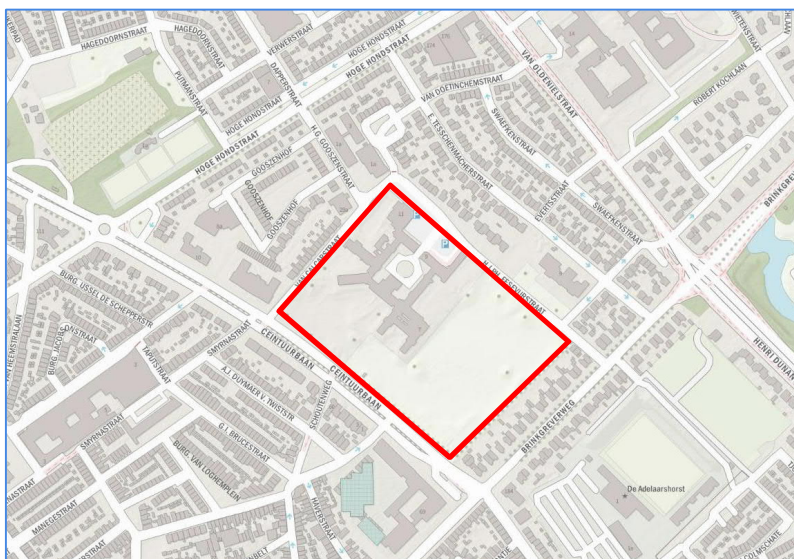
2 UITGANGSPUNTEN

2.1 Algemeen

Het plangebied is gelegen ten noorden van de Ceintuurbaan en wordt verder omsloten door de Van Calcarstraat, Brinkgreverweg en de H.J.P.H. Fesevurstsaat.

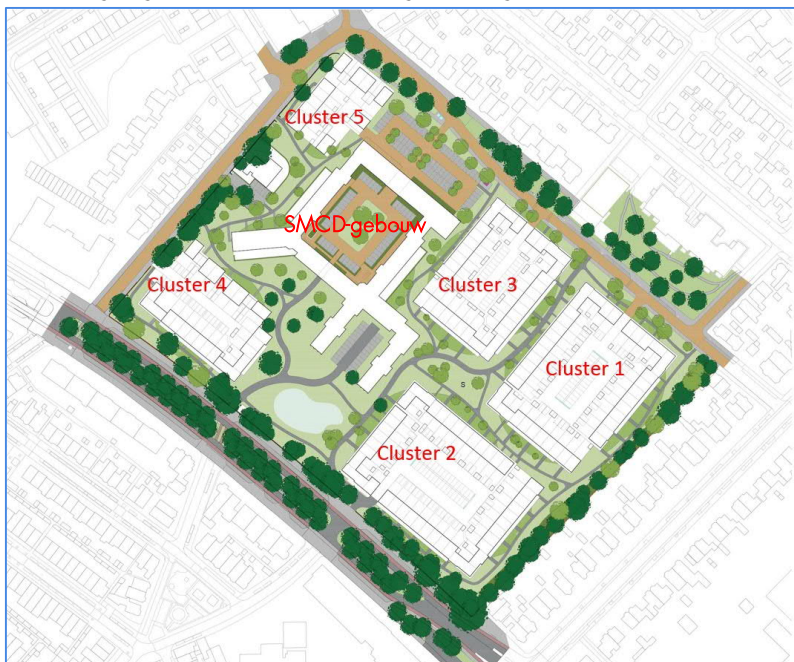
Het plan voorziet in de ontwikkeling van 61 appartementen en 20 woningen in het bestaande SMCD-gebouw en de handhaving van één vrijstaande woning. Daarnaast worden 142 woningen gerealiseerd (6 tweekappers, 6 vrijstaande woningen en 130 rijwoningen) en wordt 900 m² aan multifunctionele ruimte voorzien.

Navolgende afbeelding geeft een globaal geografisch overzicht van de ligging van het plan.




Afbeelding 1 Globale ligging plangebied

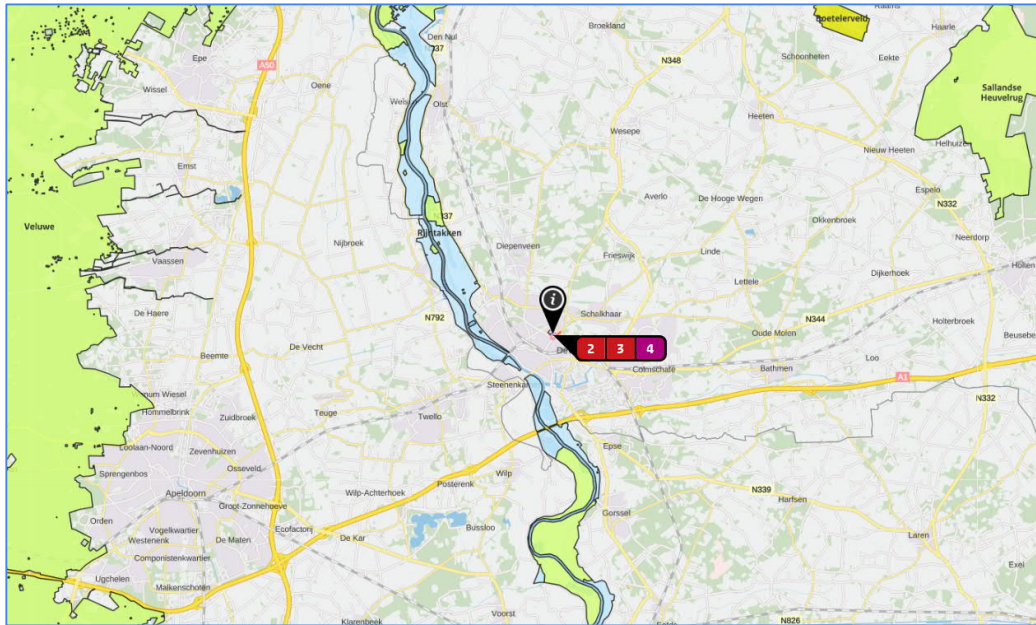
Afbeelding 2 geeft de stedenbouwkundige indeling.



Afbeelding 2 Stedenbouwkundige indeling

2.2 Situering Natura 2000-gebieden

Ten behoeve van de stikstofdepositieberekeningen dient rekening gehouden te worden met de Natura 2000-gebieden binnen een straal waarbinnen een relevante bijdrage vanwege een plan verwacht kan worden. Onderstaande afbeelding geeft de locatie van de omliggende Natura 2000-gebieden (de locatie van het plangebied is in de figuur weergegeven met )



Afbeelding 3 Situering Natura 2000-gebieden (bron: <https://calculator.aerius.nl/calculator/>)

3 WETTELIJK KADER

3.1 Landelijke wet- en regelgeving

In het kader van de toets aan de Wet Natuurbescherming wordt bepaald of een project of plan (mogelijke) significant negatieve effecten veroorzaakt op de instandhoudingsdoelstellingen van Natura 2000-gebieden. Voor plannen dient middels een voortoets, eventueel gevolgd door een passende beoordeling, getoetst te worden of het plan mogelijk significant negatieve effecten kan hebben op gevoelige habitattypen die gelegen zijn binnen omliggende Natura 2000-gebieden. De beoordeling van plannen, projecten en andere handelingen is uitgewerkt in paragraaf 2.3 van de Wet natuurbescherming.

3.2 Voortoets

Bij de voortoets draait het om de vraag of sprake kan zijn van significante gevolgen. De significantie van de gevolgen voor een gebied als gevolg van een plan worden afgezet tegen de instandhoudingsdoelstellingen van een Natura 2000-gebied, die zijn neergelegd in het aanwijzingsbesluit en zijn uitgewerkt in het beheerplan voor dat gebied. Wanneer een plan gevolgen heeft voor het gebied, maar de instandhoudingsdoelstellingen daarvan niet in gevaar brengt, zijn significante gevolgen uitgesloten.

Bij de voortoets wordt bekeken of het bestemmingsplan afzonderlijk of in combinatie met andere plannen of projecten significante gevolgen kan hebben. In hoeverre stikstofdepositie voor significante gevolgen op Natura 2000-gebieden kan zorgen, wordt in eerste instantie bepaald door te bezien of de ontwikkelingen die het plan mogelijk maakt tot een toename van stikstofdepositie leiden. Van plannen die ten opzichte van de feitelijke situatie geen toename van de stikstofdepositie veroorzaken op Natura 2000-gebieden met stikstofgevoelige habitats waarvan de Kritische Depositie Waarde (KDW) wordt overschreden, zijn significante gevolgen met zekerheid uit te sluiten. In dit geval hoeft geen passende beoordeling te worden opgesteld. Als uit de voortoets blijkt dat de realisatie van de in het plan opgenomen ontwikkelingsmogelijkheden wel leidt tot een toename van stikstofdepositie op één of meer in het kader van Natura 2000 beschermde stikstofgevoelige habitats waarvan de KDW al wordt overschreden of door de toename van de stikstofdepositie kan worden overschreden, moet wel een passende beoordeling worden opgesteld.

Ingeval het plan een herhaling of voortzetting is van een plan of project waarvoor reeds eerder een passende beoordeling is gemaakt, kan ingevolge artikel 2.8 lid 2 van de Wet natuurbescherming een nieuwe passende beoordeling achterwege blijven, voor zover deze redelijkerwijs geen nieuwe gegevens of inzichten kan opleveren omtrent de significante gevolgen ervan. De plan-mer die voor bestemmingsplannen is gekoppeld aan het opstellen van een passende beoordeling is in een dergelijke situatie niet nodig. Feitelijk is er al een (nog steeds actuele) passende beoordeling aanwezig, die aantoont dat schadelijke effecten als gevolg van het plan zijn uitgesloten.

3.3 Passende beoordeling

Wanneer een plan significante negatieve gevolgen kan hebben, moet het bestuursorgaan ingevolge de Wet natuurbescherming een passende beoordeling opstellen vóórdat het plan kan worden vastgesteld. Deze passende beoordeling moet de zekerheid geven dat de natuurlijke kenmerken van het betreffende gebied niet worden aangetast.

Het bestemmingsplan zal rekening moeten houden met de in het aanwijzingsbesluit voor het betrokken gebied vastgestelde instandhoudingsdoelstellingen en de wijze waarop deze zijn uitgewerkt in het voor het gebied vastgestelde beheerplan. De aanwijzingsbesluiten worden vastgesteld door de Minister van Economische Zaken. De beheerplannen worden over het algemeen vastgesteld door gedeputeerde staten van de provincie waarin het gebied geheel of grotendeels is gelegen, behalve voor zover de verantwoordelijkheid voor het beheer bij het Rijk ligt.

Als het bevoegd gezag op grond van de passende beoordeling niet de vereiste zekerheid heeft verkregen dat een plan de natuurlijke kenmerken niet zal aantasten, kan het plan in beginsel niet worden vastgesteld. Dat is alleen anders als er geen alternatieve oplossingen beschikbaar zijn, sprake is van dwingende redenen van openbaar belang en compenserende maatregelen worden getroffen, dan kan een plan toch worden vastgesteld.

4 BEREKENINGSSYSTEMATIEK

4.1 Rekenmodel

Ten behoeve van de berekening van de stikstofdepositie in de Natura 2000-gebieden is een rekenmodel opgesteld met behulp van AERIUS Calculator, versie 2019¹. AERIUS Calculator rekt op basis van het Operationele Prioritaire Stoffen model (OPS) van het RIVM en standaard rekenmethode 2 (SRM2) uit de Regeling beoordeling luchtkwaliteit 2007.

4.2 Situaties algemeen

De gegevens, van belang voor de onderstaande situaties, zijn beschikbaar gesteld door de opdrachtgever.

Referentiesituatie

Bij een voortoets moeten de gevolgen van het plan worden gezien in relatie tot de referentiesituatie. Ingevolge de vaste jurisprudentie van de Afdeling bestuursrechtspraak van de Raad van State geldt als referentiesituatie bij de vaststelling van een nieuw bestemmingsplan ter vervanging van het geldende bestemmingsplan: de huidige – legale – feitelijke situatie ten tijde van de vaststelling van het nieuwe plan.

Beoogde situatie

Volgens vaste jurisprudentie van de Afdeling bestuursrechtspraak van de Raad van State moet zowel bij de voortoets als in de passende beoordeling van een bestemmingsplan worden uitgegaan van de maximale planologische mogelijkheden die een plan biedt, en niet van een inschatting van wat er in werkelijkheid zal gaan gebeuren of wat er wordt beoogd. De achterliggende gedachte is dat alle mogelijkheden die het bestemmingsplan biedt in de praktijk kunnen worden benut en dat de plantoets dus moet uitwijzen of ook in dat geval negatieve gevolgen voor een Natura 2000-gebied zijn uit te sluiten.

Cumulatieve effecten

In het kader van een voortoets dient beschouwd te worden of het plan afzonderlijk – of in combinatie met andere plannen – significante gevolgen ter plaatse van nabijgelegen Natura 2000-gebieden heeft.

4.3 Referentiesituatie

Het huidige gebruik varieert van timmerwerkplaats, hiphuis (dagopvang en winkel creativiteit, cambio, muziekschool, reclamebureau en diverse ZZP-ers en consultants. In totaal betreft het 900 m² aan commerciële ruimtes (conform het vigerend bestemmingsplan).

De verkeersgeneratie is bepaald op basis van de CROW publicatie "kencijfers parkeren en verkeersgeneratie"². Hierbij is aangesloten bij de gegevens aangaande commerciële dienstverlening (gemiddeld 8,7 bewegingen per 100 m²), in totaal 78 bewegingen. In het Aerijs-rekenmodel worden deze verdeeld over een noordelijke en zuidelijke ontsluiting.

De emissie van de bestaande bebouwing wordt bepaald met behulp van de Aerijs-kentallen voor plan – kantoren en winkels. In de Aerijs-berekening wordt de referentiesituatie als "situatie 1" aangeduid.

4.4 Beoogde situatie

De nieuwe woningen gasloos worden uitgevoerd. Wat de nieuwbouw aangaat betreffen de voor stikstofdepositie relevante bronnen daarmee slechts de verkeersbewegingen ten gevolge van de nieuwbouw.

¹ <https://calculator.aerius.nl/calculator/>

² CROW Ede, publicatie 317, oktober 2012

De woningen die binnen het bestaande SMCD-gebouw worden gerealiseerd worden voorzien van nieuwe HR-ketels. Voor deze woningen wordt uitgegaan van kentallen uit de Tauw-publicatie "Emissiekentallen NO_x en NH₃ voor PAS / Aerius"³. Aangesloten wordt bij de meest actuele cijfers (vanaf bouwjaar 2014) voor appartementen en tussenwoningen, respectievelijk een NO_x-emissie van 0,31 en 0,35 kg/j/woning.

De emissie van de multifunctionele ruimtes blijft ongewijzigd ten opzichte van de referentiesituatie.

Voor de verkeersaantrekkende werking is aansluiting gezocht bij de in § 4.3 genoemde CROW-publicatie. Deze maakt onderscheid tussen appartementen, tweekappers, rijwoningen en vrijstaande woningen. Uitgegaan is van een sterk stedelijk gebied (bron: CBS⁴) in de schil van het centrum.

Onderstaande tabel geeft de bepaling van de verkeersgeneratie.

Tabel 1 Bepaling verkeersbewegingen

type woning	aantal woningen	aantal bewegingen per woning			totaal aantal bewegingen
		min	max	gemiddeld	
appartement	61	6,4	7,2	6,8	415
tussen/hoek	20	6,4	7,2	6,8	136
apothekerswoning	1	7,3	8,1	7,7	8
tweekapper	6	6,9	7,7	7,3	44
vrijstaand	6	7,3	8,1	7,7	46
tussen/hoek	130	6,4	7,2	6,8	884
totaal	224				1533

Voor de multifunctionele ruimtes (900 m²) wordt aangesloten bij de gegevens aangaande commerciële dienstverlening (gemiddeld 8,7 bewegingen per 100 m²), in totaal 78 bewegingen. In totaal betreft het daarmee 1.611 bewegingen per etmaal.

Voor de berekening is uitgegaan van het rekenjaar 2020.

Bijlage B1.1 geeft een weergave van de invoergegevens. Hierin wordt met "situatie 2" de gebruiksfase bedoeld.

4.5 Aanlegfase

Aanvullend is een berekening uit gevoerd naar de aanlegfase.

De voor stikstofdepositie relevante bronnen betreffen de verkeersbewegingen (vrachtwagens) ten behoeve van de aan- en afvoer van onder meer zand, grind en bouwmaterialen. Voor de realisatie van de nieuwe woningen wordt uitgegaan van 1.493 vrachtwagens en de inzet van een mobiele kraan, heistelling en dieplepel (zie bijlage 2).

De werkzaamheden voor het SMCD-gebouw betreffen in hoofdzaak herstel en isolatie van de gevels en dakoverstekken, inclusief isolatie aan binnenzijde en vervanging van kozijnen. Verder worden nieuwe zwevende dekvloeren met isolatie gelegd (circa 8.000 m²), een aantal nieuwe binnenwandjes geplaatst en 83 keukens/badkamers ingebouwd. Het slopen omvat slechts enkele onderdelen van het complex, zoals het oude ketelhuis, het opnamegebouw en het tussenlid richting de oude apotheek.

Uitgegaan wordt 166 vrachtwagens voor 83 woningen. De werkzaamheden zelf vinden verder plaats met klein (hand-)gereedschap (niet relevant voor de stikstofdepositie).

Daarnaast is rekening gehouden met 2.346 aan- en afrijdende bestelwagens ten behoeve van vervoer van uitvoerend personeel (zie ook bijlage 2). De routing is gelijk aan de verkeersaantrekkende werking van de gebruiksfase.

Voor de aanlegfase is uitgegaan van apparatuur die aan de stand der techniek voldoet. In het rekenmodel wordt derhalve rekening gehouden met apparatuur die voldoet aan Stage klasse IV (NO_x-emissie van 0,4 g/kWh).

³ projectnummer 1265262, d.d. 31 augustus 2018

⁴ <https://opendata.cbs.nl/statline/#/CBS/nl/dataset/83859NED/table?fromstatweb>

Bijlage B1.2 geeft een weergave van de invoergegevens van het Aerius-model. "Situatie 2" is hierin de aanlegfase.

5 REKENRESULTATEN EN BEOORDELING

Met behulp van het rekenprogramma Aeries Calculator is de depositiebijdrage vanwege de beoogde situatie berekend ter plaatse van nabijgelegen gevoelige habitattypen in de voor het plan relevante Natura 2000-gebieden. In bijlage B1.1 en B1.2 zijn de invoergegevens en rekenresultaten van de berekening naar de stikstofdepositie weergegeven middels de Aeries export.

Uit de uitgevoerde berekeningen van de gebruiksfase (situatie 2 in bijlage B1.1) en de aanlegfase (situatie 2 in bijlage B1.2) in relatie tot de referentiesituatie (situatie 1) blijkt dat de stikstofdepositie in beide situaties niet meer dan 0,00 mol N/ha/jaar bedraagt. Het onderhavige plan zal geen relevante significante cumulatieve effecten veroorzaken ter plaatse van nabijgelegen Natura 2000-gebieden. In het kader van een voortoets kunnen significant negatieve effecten derhalve worden uitgesloten waardoor het uitvoeren van een passende beoordeling niet aan de orde is en het aspect stikstofdepositie geen belemmering vormt voor de realisatie van het plan.

6 CONCLUSIE

In opdracht van BRO is door Kragten een stikstofdepositie onderzoek uitgevoerd in verband met het plan "Geertruidentuin" te Deventer. Het plan behelst de beoogde ontwikkeling van 224 woningen en 900 m² multifunctionele ruimte. Het onderzoek wordt uitgevoerd in het kader van een planologische procedure.

Ten behoeve van de juridisch-planologische verankering van het initiatief dient een bestemmingsplanprocedure te worden doorlopen. Doel van het onderzoek is toetsing van (negatieve) effecten op Natura 2000-gebieden, als gevolg van de activiteiten die het bestemmingsplan mogelijk maakt, aan de Wet natuurbescherming. Het onderzoek is uitgevoerd overeenkomstig de "Handreiking Passende Beoordeling Stikstofaspecten Bestemmingsplannen".

Uit de uitgevoerde berekeningen van de gebruiksfase en de aanlegfase in relatie tot de referentiesituatie blijkt dat de stikstofdepositie in beide situatie niet meer dan 0,00 mol N/ha/jaar bedraagt. Het onderhavige plan zal daarmee geen relevante significante cumulatieve effecten veroorzaken ter plaatse van nabijgelegen Natura 2000-gebieden. In het kader van een voortoets kunnen significant negatieve effecten derhalve worden uitgesloten waardoor het uitvoeren van een passende beoordeling niet aan de orde is en het aspect stikstofdepositie geen belemmering vormt voor de realisatie van het plan.

BIJLAGEN

B1 AERIUS

B1.1 Gebruiksfase

Dit document bevat rekenresultaten van AERIUS Calculator. Het betreft de hoogst berekende stikstofbijdragen per stikstofgevoelig Natura 2000-gebied, op basis van rekenpunten die overlappen met habitattypen en/of leefgebieden die aangewezen zijn in het kader van de Wet natuurbescherming, gekoppeld aan een aangewezen soort, of nog onbekend maar mogelijk wel relevant.

De berekening op basis van stikstofemissies gaat uit van de componenten ammoniak (NH₃) en/of stikstofoxide (NO_x).

Wilt u verder rekenen of gegevens wijzigen? Importeer de pdf dan in Calculator. Voor meer toelichting verwijzen wij u naar de website www.aerius.nl.

Berekening referentie en Geertruidentuin - gebruiksfase

- ▶ Kenmerken
- ▶ Samenvatting emissies
- ▶ Depositieresultaten
- ▶ Gedetailleerde emissiegegevens

Verdere toelichting over deze PDF kunt u vinden in een bijbehorende leeswijzer. Deze leeswijzer en overige documentatie is te raadplegen via: www.aerius.nl.

AERIUS CALCULATOR

Contact

Rechtspersoon	Inrichtingslocatie
BRO	H.J.PH.Fesevurstraat, 7415 Deventer

Activiteit

Omschrijving	AERIUS kenmerk
Geertruidentuin Deventer - gebruiksfase	Rx1WYFKNHHJM

Datum berekening	Rekenjaar	Rekenconfiguratie
21 november 2019, 08:52	2020	Berekend voor natuurgebieden

Totale emissie

	Situatie 1	Situatie 2	Vershil
NOx	151,24 kg/j	292,19 kg/j	140,95 kg/j
NH ₃	< 1 kg/j	7,26 kg/j	6,91 kg/j

Resultaten

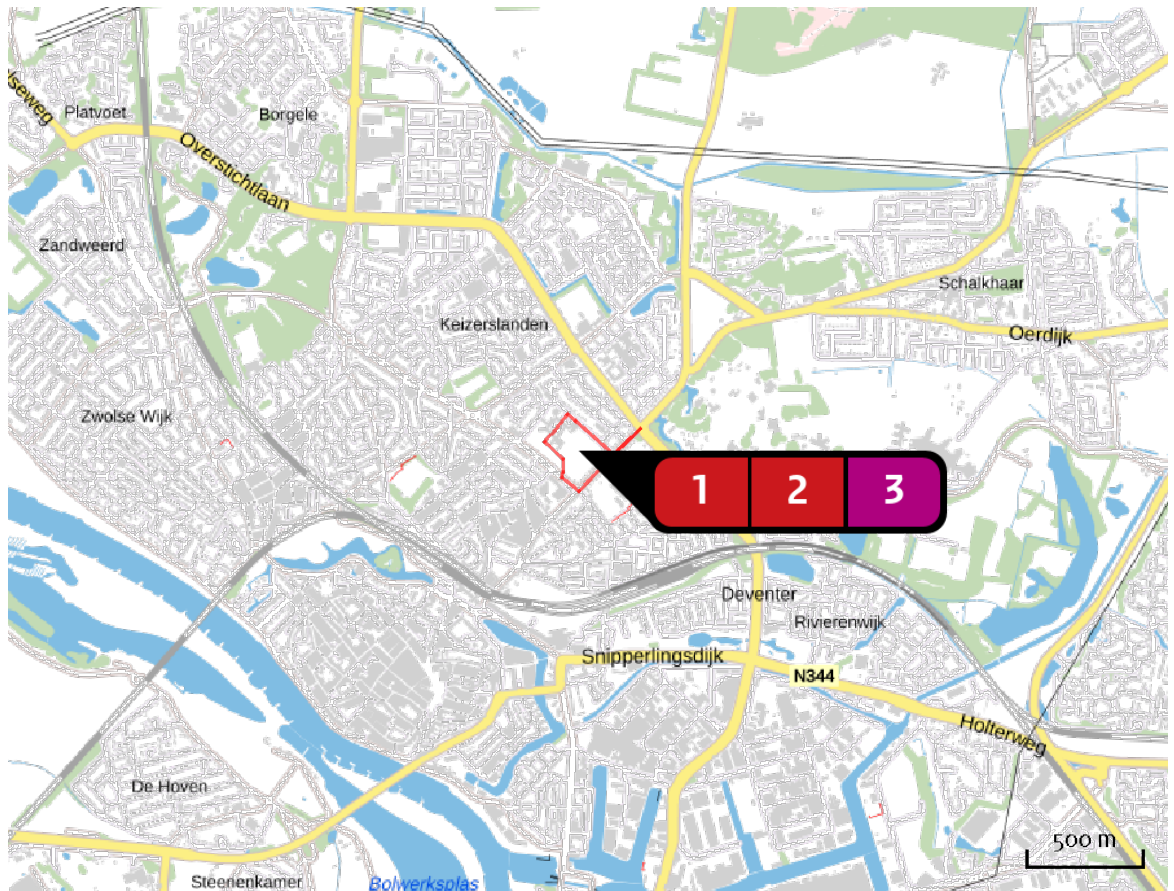
Hectare met
hoogste verschil
(mol/ha/j)

Natuurgebied	Vershil
Rijntakken	0,00

Toelichting

Verbouwing SMCD-gebouw en realisatie nieuwe woningen - vergelijking met referentiesituatie
GEEN WONINGEN IN REFERENTIESITUATIE

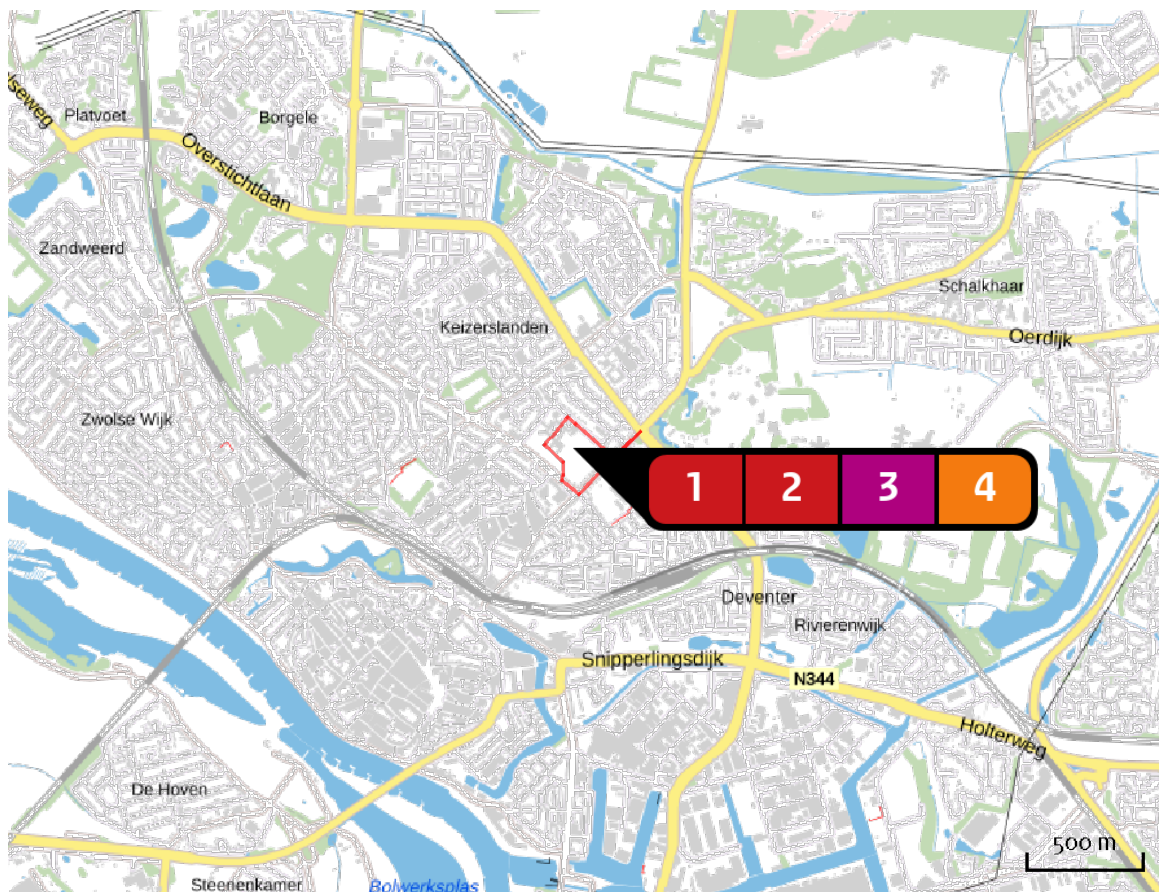
Locatie referentie



Emissie referentie

Bron Sector		Emissie NH ₃	Emissie NO _x
1	Verkeer 1 Wegverkeer Binnen bebouwde kom	< 1 kg/j	2,53 kg/j
2	Verkeer 2 Wegverkeer Binnen bebouwde kom	< 1 kg/j	3,32 kg/j
3	SMCD-multi Plan Plan	-	145,39 kg/j

Locatie
Geertruidentuin -
gebruiksfase



Emissie
Geertruidentuin -
gebruiksfase

Bron Sector		Emissie NH ₃	Emissie NO _x
1	Verkeer 1 Wegverkeer Binnen bebouwde kom	3,14 kg/j	52,24 kg/j
2	Verkeer 2 Wegverkeer Binnen bebouwde kom	4,13 kg/j	68,65 kg/j
3	SMCD-multi Plan Plan	-	145,39 kg/j
4	SMCD-woningen Wonen en Werken Woningen	-	25,90 kg/j

Resultaten
stikstof
gevoelige
Natura 2000
gebieden
(mol/ha/j)

Natuurgebied	Hectare met hoogste verschil			Verskil op (bijna) overbelaste hexagonen*
	Situatie 1	Situatie 2	Vershil	
Rijntakken	0,01	0,01	0,00	

* Als de hoogste depositietoename plaatsvindt op een hexagoon waar géén sprake is van een (naderende) stikstofoverbelasting, dan is de hoogste toename op een hexagoon met wel een (naderende) stikstofoverbelasting in deze kolom weergegeven.

Resultaten
per
habitatype
(mol/ha/j)

voor de 10
stikstofgevoelige
Natura 2000-
gebieden met het
hoogste resultaat

Rijntakken

Habitatype	Hectare met hoogste verschil			Verskil op (bijna) overbelaste hexagonalen*
	Situatie 1	Situatie 2	Verskil	
ZGLg11 Kamgrasweide & Bloemrijk weidevogelgrasland van het rivieren- en zeekleigebied	0,01	0,01	0,00	
ZGLgo8 Nat, matig voedselrijk grasland	0,00	0,01	0,00	
Lgo8 Nat, matig voedselrijk grasland	0,00	0,01	0,00	
ZGLgo7 Dotterbloemgrasland van veen en klei	0,00	0,01	0,00	

* Als de hoogste depositietoename plaatsvindt op een hexagoon waar géén sprake is van een (naderende) stikstofoverbelasting, dan is de hoogste toename op een hexagoon met wel een (naderende) stikstofoverbelasting in deze kolom weergegeven.

Emissie
(per bron)
referentie



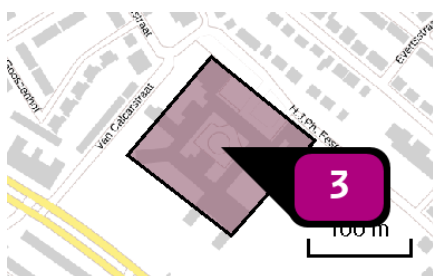
Naam **Verkeer 1**
 Locatie (X,Y) **208484, 475187**
 NOx **2,53 kg/j**
 NH3 **< 1 kg/j**

Soort	Voertuig	Aantal voertuigen	Stof	Emissie
Standaard	Licht verkeer	39,0 / etmaal	NOx NH3	2,53 kg/j < 1 kg/j



Naam **Verkeer 2**
 Locatie (X,Y) **208435, 474985**
 NOx **3,32 kg/j**
 NH3 **< 1 kg/j**

Soort	Voertuig	Aantal voertuigen	Stof	Emissie
Standaard	Licht verkeer	39,0 / etmaal	NOx NH3	3,32 kg/j < 1 kg/j



Naam **SMCD-multi**
 Locatie (X,Y) **208320, 475232**
 NOx **145,39 kg/j**

Sector	Categorie	Omschrijving	Eenheden	Stof	Emissie
	Kantoren en winkels	multifunctioneel	900,0 m ²	NOx	145,39 kg/j

Emissie
(per bron)
Geertruidentuin -
gebruiksfas



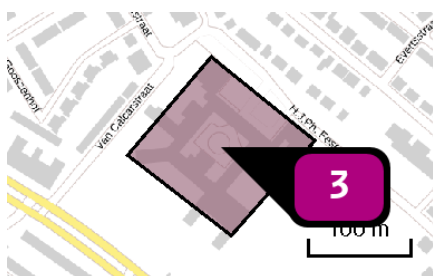
Naam **Verkeer 1**
Locatie (X,Y) **208484, 475187**
NOx **52,24 kg/j**
NH3 **3,14 kg/j**

Soort	Voertuig	Aantal voertuigen	Stof	Emissie
Standaard	Licht verkeer	806,0 / etmaal	NOx NH3	52,24 kg/j 3,14 kg/j



Naam **Verkeer 2**
Locatie (X,Y) **208435, 474985**
NOx **68,65 kg/j**
NH3 **4,13 kg/j**

Soort	Voertuig	Aantal voertuigen	Stof	Emissie
Standaard	Licht verkeer	806,0 / etmaal	NOx NH3	68,65 kg/j 4,13 kg/j



Naam **SMCD-multi**
Locatie (X,Y) **208320, 475232**
NOx **145,39 kg/j**

Sector	Categorie	Omschrijving	Eenheden	Stof	Emissie
	Kantoren en winkels	multifunctioneel	900,0 m ²	NOx	145,39 kg/j

Disclaimer

Hoewel verstrekte gegevens kunnen dienen ter onderbouwing van een vergunningaanvraag, kunnen er geen rechten aan worden ontleend. De eigenaar van AERIUS aanvaardt geen aansprakelijkheid voor de inhoud van de door de gebruiker aangeboden informatie. Bovenstaande gegevens zijn enkel bruikbaar tot er een nieuwe versie van AERIUS beschikbaar is. AERIUS is een geregistreerd handelsmerk in Europa. Alle rechten die niet expliciet worden verleend, zijn voorbehouden.

Rekenbasis

Deze berekening is tot stand gekomen op basis van:

AERIUS versie 2019_20191018_c53b8fdaa8

Database versie [b429880a81](#)

Voor meer informatie over de gebruikte methodiek en data zie:

<https://www.aerius.nl/nl/factsheets/uitleg>

B1.2 Aanlegfase

Dit document bevat rekenresultaten van AERIUS Calculator. Het betreft de hoogst berekende stikstofbijdragen per stikstofgevoelig Natura 2000-gebied, op basis van rekenpunten die overlappen met habitattypen en/of leefgebieden die aangewezen zijn in het kader van de Wet natuurbescherming, gekoppeld aan een aangewezen soort, of nog onbekend maar mogelijk wel relevant.

De berekening op basis van stikstofemissies gaat uit van de componenten ammoniak (NH₃) en/of stikstofoxide (NO_x).

Wilt u verder rekenen of gegevens wijzigen? Importeer de pdf dan in Calculator. Voor meer toelichting verwijzen wij u naar de website www.aerius.nl.

Berekening referentie en Geertruidentuin - aanlegfase

- ▶ Kenmerken
- ▶ Samenvatting emissies
- ▶ Depositieresultaten
- ▶ Gedetailleerde emissiegegevens

Verdere toelichting over deze PDF kunt u vinden in een bijbehorende leeswijzer. Deze leeswijzer en overige documentatie is te raadplegen via: www.aerius.nl.

AERIUS CALCULATOR

Contact

Rechtspersoon	Inrichtingslocatie
BRO	H.J.PH.Fesevurstraat, 7415 Deventer

Activiteit

Omschrijving	AERIUS kenmerk	
Geertruidentuin Deventer - aanlegfase	RVH1EnJxrvHA	
Datum berekening	Rekenjaar	Rekenconfiguratie
22 november 2019, 15:26	2020	Berekend voor natuurgebieden

Totale emissie

	Situatie 1	Situatie 2	Vershil
NOx	151,24 kg/j	220,83 kg/j	69,58 kg/j
NH ₃	< 1 kg/j	< 1 kg/j	-0,04 kg/j

Resultaten

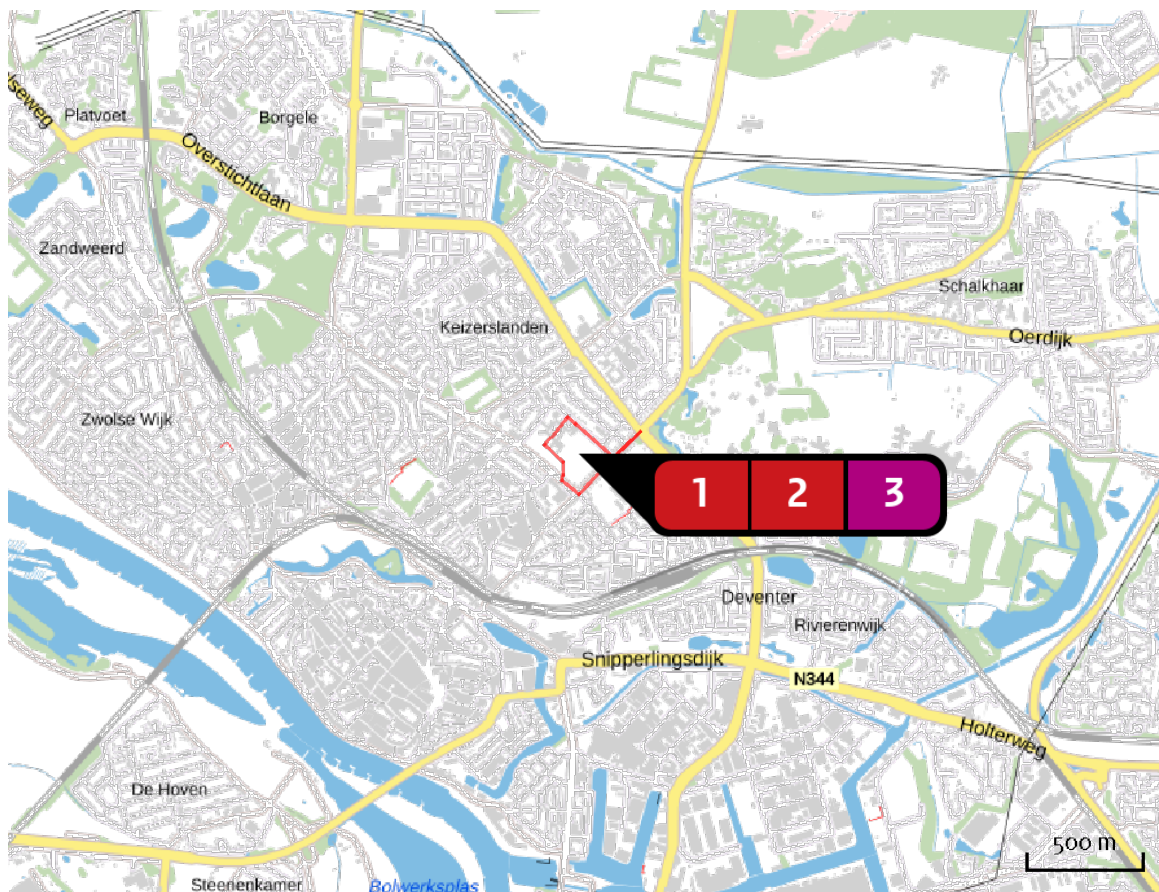
Hectare met
hoogste verschil
(mol/ha/j)

Natuurgebied	Vershil
Rijntakken	0,00

Toelichting

Verbouwing SMCD-gebouw en realisatie nieuwe woningen - vergelijking met referentiesituatie

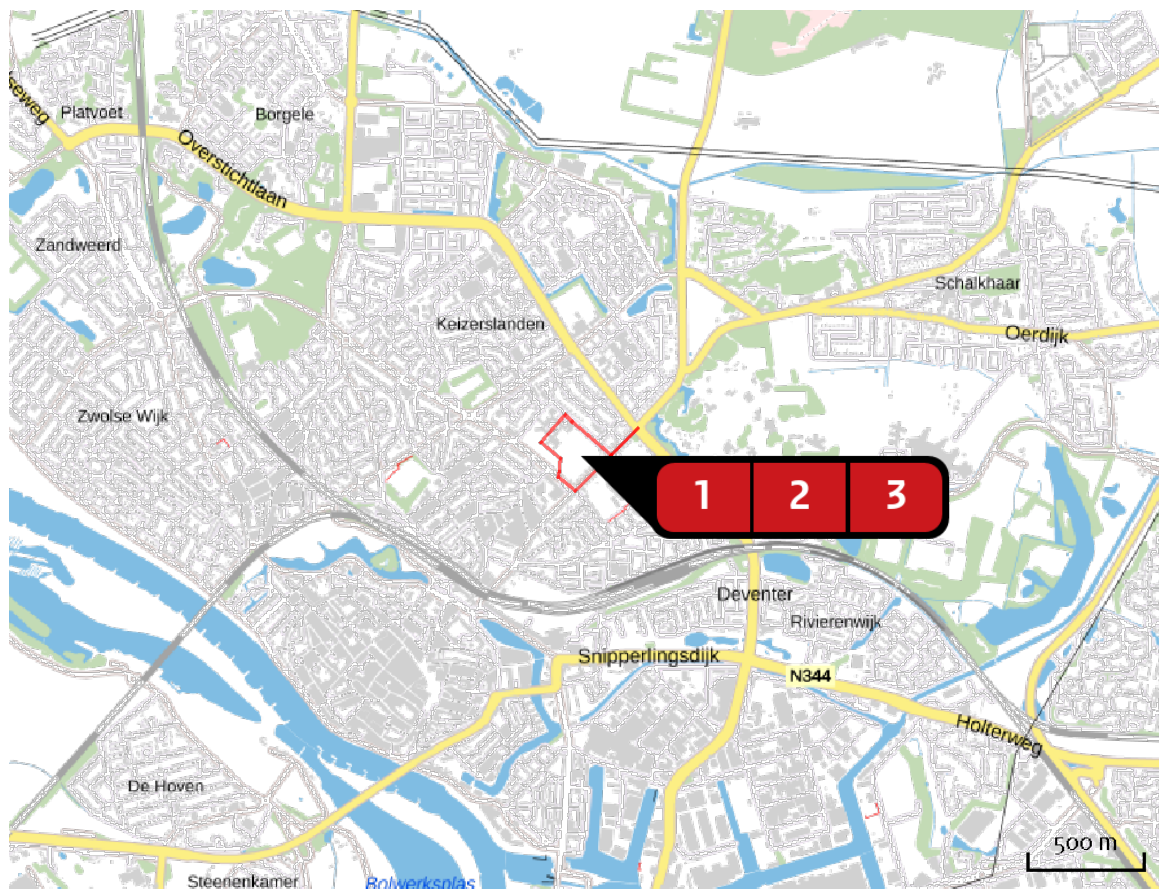
Locatie referentie






Emissie referentie

Bron Sector		Emissie NH ₃	Emissie NO _x
1	Verkeer 1 Wegverkeer Binnen bebouwde kom	< 1 kg/j	2,53 kg/j
2	Verkeer 2 Wegverkeer Binnen bebouwde kom	< 1 kg/j	3,32 kg/j
3	Plan Plan Plan	-	145,39 kg/j

Locatie
Geertruidentuin -
aanlegfase



Emissie
Geertruidentuin -
aanlegfase

Bron Sector		Emissie NH ₃	Emissie NO _x
1	 kraan Mobiele werktuigen Bouw en Industrie	-	205,03 kg/j
2	 Verkeer 1 Wegverkeer Binnen bebouwde kom	< 1 kg/j	6,83 kg/j
3	 Verkeer 2 Wegverkeer Binnen bebouwde kom	< 1 kg/j	8,97 kg/j

Resultaten
stikstof
gevoelige
Natura 2000
gebieden
(mol/ha/j)

Natuurgebied	Hectare met hoogste verschil			Verskil op (bijna) overbelaste hexagonen*
	Situatie 1	Situatie 2	Verskil	
Rijntakken	0,01	0,01	0,00	

* Als de hoogste depositietoename plaatsvindt op een hexagoon waar géén sprake is van een (naderende) stikstofoverbelasting, dan is de hoogste toename op een hexagoon met wel een (naderende) stikstofoverbelasting in deze kolom weergegeven.

Resultaten
per
habitatype
(mol/ha/j)

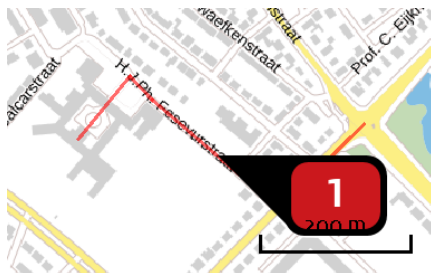
voor de 10
stikstofgevoelige
Natura 2000-
gebieden met het
hoogste resultaat

Rijntakken

Habitatype	Hectare met hoogste verschil			Verskil op (bijna) overbelaste hexagonen*
	Situatie 1	Situatie 2	Verskil	
ZGLg11 Kamgrasweide & Bloemrijk weidevogelgrasland van het rivieren- en zeekleigebied	0,01	0,01	0,00	
ZGLgo8 Nat, matig voedselrijk grasland	0,01	0,01	0,00	
Lgo8 Nat, matig voedselrijk grasland	0,00	0,01	0,00	

* Als de hoogste depositietoename plaatsvindt op een hexagoon waar géén sprake is van een (naderende) stikstofoverbelasting, dan is de hoogste toename op een hexagoon met wel een (naderende) stikstofoverbelasting in deze kolom weergegeven.

Emissie
(per bron)
referentie



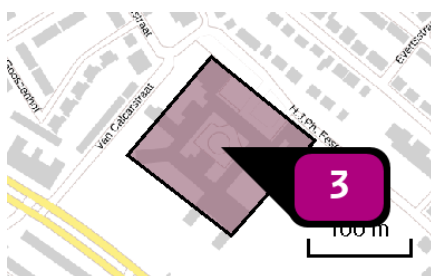
Naam **Verkeer 1**
 Locatie (X,Y) **208484, 475187**
 NOx **2,53 kg/j**
 NH3 **< 1 kg/j**

Soort	Voertuig	Aantal voertuigen	Stof	Emissie
Standaard	Licht verkeer	39,0 / etmaal	NOx NH3	2,53 kg/j < 1 kg/j



Naam **Verkeer 2**
 Locatie (X,Y) **208435, 474985**
 NOx **3,32 kg/j**
 NH3 **< 1 kg/j**

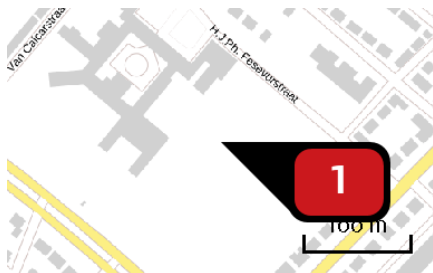
Soort	Voertuig	Aantal voertuigen	Stof	Emissie
Standaard	Licht verkeer	39,0 / etmaal	NOx NH3	3,32 kg/j < 1 kg/j



Naam **Plan**
 Locatie (X,Y) **208320, 475232**
 NOx **145,39 kg/j**

Sector	Categorie	Omschrijving	Eenheden	Stof	Emissie
	Kantoren en winkels	multifunctioneel	900,0 m ²	NOx	145,39 kg/j

Emissie
(per bron)
Geertruidentuin -
aanlegfase



Naam **kraan**
Locatie (X,Y) **208398, 475163**
NOx **205,03 kg/j**

Voertuig	Omschrijving	Brandstof verbruik (l/j)	Uitstoot hoogte (m)	Spreading (m)	Warmte inhoud (MW)	Stof	Emissie
AFW	kraan		4,0	4,0	0,0	NOx	159,28 kg/j
AFW	heisteling		4,0	4,0	0,0	NOx	25,15 kg/j
AFW	dieplepel		4,0	4,0	0,0	NOx	20,59 kg/j



Naam **Verkeer 1**
Locatie (X,Y) **208484, 475187**
NOx **6,83 kg/j**
NH3 **< 1 kg/j**

Soort	Voertuig	Aantal voertuigen	Stof	Emissie
Standaard	Zwaar vrachtverkeer	1.659,0 / jaar	NOx NH3	3,68 kg/j < 1 kg/j
Standaard	Middelzwaar vrachtverkeer	2.346,0 / jaar	NOx NH3	3,15 kg/j < 1 kg/j



Naam **Verkeer 2**
 Locatie (X,Y) **208435, 474985**
 NOx **8,97 kg/j**
 NH3 **< 1 kg/j**

Soort	Voertuig	Aantal voertuigen	Stof	Emissie
Standaard	Zwaar vrachtverkeer	1.659,0 / jaar	NOx NH3	4,83 kg/j < 1 kg/j
Standaard	Middelzwaar vrachtverkeer	2.346,0 / jaar	NOx NH3	4,14 kg/j < 1 kg/j

Disclaimer

Hoewel verstrekte gegevens kunnen dienen ter onderbouwing van een vergunningaanvraag, kunnen er geen rechten aan worden ontleend. De eigenaar van AERIUS aanvaardt geen aansprakelijkheid voor de inhoud van de door de gebruiker aangeboden informatie. Bovenstaande gegevens zijn enkel bruikbaar tot er een nieuwe versie van AERIUS beschikbaar is. AERIUS is een geregistreerd handelsmerk in Europa. Alle rechten die niet expliciet worden verleend, zijn voorbehouden.

Rekenbasis

Deze berekening is tot stand gekomen op basis van:

AERIUS versie 2019_20191018_c53b8fdaa8

Database versie [b429880a81](#)

Voor meer informatie over de gebruikte methodiek en data zie:

<https://www.aerius.nl/nl/factsheets/uitleg>

B2 GEGEVENS AANLEGFASE

Indicatie transportbewegingen bouw 143 (concept) woningen

xxxx - Geertruidentuin Deventer

d.d. 14-10-2019



			aantal uur per woning	aantal woningen	aantal uur	totaal
1.	Kraan	240KW	20 uur / woning	14,5	143	2.074
2.	Heistelling	200KW	15 palen per dag	2,75	143	393
3.	Dieplevel (grondwerk)	150KW	3 uur/woning	3	143	429
						2.896
4.	Aan- en afvoer materialen / materieel d.m.v. vrachtauto's					
-	Prefab palen aanvoeren		ca. 10 palen / vracht			72
-	Fundatie		2 woningen / vracht	0,5	143	72
-	Begane grond vloer		1,5 woning / vracht	0,66	143	94
-	Verdieping- en zoldervloeren		2,5x beg grondvloeren	1,65	143	236
-	Prefab betonwanden / kozijnen		3 uur / woning	3	143	429
-	Kappen		3 woningen / vracht	0,33	143	47
-	Installatie		0,5 uur / woning	0,5	143	72
-	Isolatie		0,3 uur / woning	0,3	143	43
-	Stenen / pannen		1 won / vracht	1	143	143
-	Steiger		8 won / vracht	0,20	143	29
-	Beton / mortel		20 silo's + 0,5 uur/woning			92
-	Binnenwanden		3,5 won / vracht	0,29	143	41
-	Trappen		8 won / vracht	0,13	143	18
-	Afwerkvloeren		4 won / vracht	0,25	143	36
-	Diversen (tegels / deuren)		0,5 uur / woning	0,5	143	72
						1.493
5.	Uitvoerend personeel buiten beschouwing					
-	Totale inschatting project (1 uur / auto)					2.346
						2.346
6.	Wegen buiten beschouwing (bouw- en woonrijp maken)					

Bijlage 7 Verkennend (asbest in) bodemonderzoek



Verkennd (asbest- in) bodemonderzoek

Ontwikkelingslocatie Geertruidentuin
te Deventer

Projectnummer

01.18.1763

Autorisatie

Redactie:

B. Versteeg-Scholten

Paraaf

Datum

14-06-2018

Status

Definitief

Eindredactie/kwaliteitscontrole:

H.C.G. Liesveld

Paraaf

Datum

22-06-2018



Colofon

Opdrachtgever : Synchron
Contactpersoon : De heer A. Heijs
Project : Verkennend (asbest in-) bodemonderzoek
ontwikkelingslocatie Geertruidentuin te Deventer
Projectnummer : 01.18.1763
Datum : 22-06-2018
Redactie : B. Versteeg-Scholten
Eindredactie : H.C.G. Liesveld
Versie : 1

Infrasoil

Postadres : Postbus 409, 3900 AK Veenendaal
Telefoon : 0318-611810
Internet : www.infrasoil.nl

© Infrasoil, 2018

De rechten van intellectueel eigendom verblijven te allen tijde bij Infrasoil.



Inhoudsopgave	blz.
1. Inleiding	5
2. Vooronderzoek	6
2.1. Algemene informatie	6
2.2. Bodemopbouw en geohydrologie	7
2.3. Resultaten historisch onderzoek	7
2.3.1. Historie onderzoeksgebied	7
2.3.2. Grondstromenbeleid	9
2.3.3. Bekende bodemonderzoeken	9
3. Onderzoeksopzet	11
4. Uitvoering	13
4.1. Kwalibo en richtlijnen	13
4.2. Veldwerk	13
4.3. Zintuiglijke waarnemingen	16
4.4. Laboratoriumonderzoek	19
4.5. Beoordelingskader	22
4.6. Analyseresultaten	24
4.6.1. Resultaten grond	24
4.6.2. Resultaten grondwater	26
4.6.3. Resultaten asbest in bodemonderzoek	26
4.7. Interpretatie onderzoeksresultaten	27
5. Conclusies	29
6. Aansprakelijkheid	31



Bijlagen:

1. Regionale ligging
2. Tekening terreinsituatie en monsternamelocaties
3. Boorprofielen
4. Originele analysecertificaten
5. Toetsing aan Wet bodembescherming en Besluit bodemkwaliteit
6. Foto's
7. Historische informatie
8. Asbestveldverslag



1. Inleiding

In opdracht van projectontwikkelaar Synchron heeft Infrasoil een verkennend (asbest in-) bodemonderzoek uitgevoerd ter plaatse van de locatie Geertruidentuin te Deventer.

Het onderzoeksgebied wordt globaal begrensd door de Ceintuurbaan, de Hoge Hondstraat en de H.J.P. Fesevurstraat. De achtergrens van de percelen loopt langs de noordwestzijde van de Brinkgreverweg. Op de locatie was voorheen een ziekenhuis gevestigd.

De aanleiding voor het uitvoeren van het bodemonderzoek is de ontwikkeling van het gebied naar een gebied met woningen met tuin. Onderdeel van de ontwikkeling is de aanvraag van een Omgevingsvergunning onderdeel Bouw. Het doel van het bodemonderzoek is het bepalen van de milieuhygiënische kwaliteit van de grond en het grondwater. Het doel van het asbest in bodemonderzoek is te bepalen of er asbest in de bodem aanwezig is.

Infrasoil heeft zorg gedragen voor de opzet en uitvoering van het bodemonderzoek. Infrasoil is geen eigenaar van de percelen en is onafhankelijk van de opdrachtgever. Het veldwerk is uitgevoerd door de heer R. Milder werkzaam bij VCMi te Beek (BRL SIKB 2000 gecertificeerd). De chemische analyses zijn uitgevoerd door Analytico Milieu BV, een door de RvA geaccrediteerd milieulaboratorium. Interpretatie van de resultaten is verricht aan de hand van de richtlijnen uit de Wet Bodembescherming en bijbehorende circulaire.

In deze rapportage wordt ingegaan op de beschikbare gegevens (hoofdstuk 2), waarna in hoofdstuk 3 de hypothese en de onderzoeksinspanning worden gedefinieerd. Vervolgens worden in hoofdstuk 4 de uitvoering en de resultaten van het onderzoek besproken. Het rapport wordt afgesloten (hoofdstuk 5) met de aan het onderzoek te verbinden conclusies en een hoofdstuk 6 ter zake de aansprakelijkheid.

Er is gestreefd naar een zo groot mogelijke representativiteit van het onderzoek. Echter de grond- en grondwatermonsters zijn steekproefsgewijs genomen. Hierdoor kunnen lokale afwijkingen in de bodem niet worden uitgesloten. Tevens wordt erop gewezen dat het uitgevoerde bodemonderzoek een momentopname is. Na uitvoering van het onderzoek kunnen de kwaliteit van grond en grondwater onder andere beïnvloed worden door graafwerkzaamheden op het terrein of de aanvoer van grond van elders zonder kwaliteitsgegevens. Mede hierdoor hebben de onderzoeksresultaten een beperkte geldigheidsduur.



2. Vooronderzoek

Het doel van het vooronderzoek conform de NEN 5725 is het verzamelen van informatie voor het verkrijgen van een adequate invulling van het veld- en laboratoriumonderzoek. Het vooronderzoek draagt bij aan de verklaring van de resultaten van het bodemonderzoek.

De volgende bronnen zijn geraadpleegd:

- Locatiebezoek 25 mei 2018;
- Omgevingsdienst IJsselland;
- Bestemmingsplan St. Geertruiden tuin e.o. mei 2009;
- www.topotijdreis.nl;
- www.nieuwbouw-in-deventer.nl;
- Website Deventer ziekenhuis;
- Dinoloket;
- Verkennend bodemonderzoek (Arcadis, kenmerk 110301/OF6/ 2B6/001554/LE, d.d. 21 juli 2006);
- k-waarde onderzoek (Infrasoil, kenmerk 01.17.1634, d.d. 14 november 2017);
- Informatie over toekomstige inrichting vanuit de opdrachtgever.

2.1. Algemene informatie

De regionale ligging van de onderzoekslocatie is weergegeven op de overzichtskaart in bijlage 1. Het te onderzoeken gebied heeft een totale oppervlakte van circa 6 hectare. Ter plaatse van het gebied is vanaf de jaren '40 het Sint Geertruiden Ziekenhuis gevestigd geweest. In 2010 zijn de oude gebouwen (1,2 ha) gesloopt met uitzondering van het SMCD gebouw (0,74 ha) (Sociaal Medisch Centrum Deventer), het oorspronkelijke ziekenhuis dat net na de Tweede Wereldoorlog in gebruik werd genomen.



2.2. Bodemopbouw en geohydrologie

In onderstaande tabel is de bodemopbouw beschreven van het gebied waarbinnen de locatie is gesitueerd.

Tabel 1: Bodemopbouw

Typering	Dieptetraject (m–mv)	Lithologie	Formatie
Deklaag	0,0 – 2,8 m	Dekzand	Formatie van Boxtel
1 ^e watervoerend pakket	Vanaf 2,8 m	Fijn tot matig grof zand	Formatie van Kreftenheye

In de gemeente Deventer komt voornamelijk zandgrond voor. Plaatselijk wordt een lichte bijmenging van leem aangetroffen. Het freatisch grondwater op de locatie ligt op circa 2,5 m–mv. De locatie ligt niet in een grondwaterbeschermingsgebied. Er liggen geen grondwaterpompstations in de buurt van de onderzoekslocatie die van invloed zouden kunnen zijn op de grondwaterstroming ter plaatse van de onderzoekslocatie.

2.3. Resultaten historisch onderzoek

2.3.1. Historie onderzoeksgebied

Vanaf medio 1940 tot medio 2008 is het gebied in gebruik geweest als Sint Geertruiden ziekenhuis. In bijlage 7 is een tekening met de toenmalige bedrijfsactiviteiten opgenomen. Tevens is een overzicht opgenomen vanuit de website “Topotijdreis”, waarop duidelijk is te zien in welke fasen en door de tijd het gebied ontwikkeld is. Rondom het gebouwencomplex was er een stelsel van voetpaden aanwezig die patiënten in staat stelden aan te sterken in een groene omgeving. Dit groen is voor een deel nog aanwezig. Een aantal gebouwen zijn rond het jaar 2010 gesloopt. Het nog bestaande gebouw wordt opgeknapt en getransformeerd tot woonappartementen.



Figuur 1: Zicht op oude ziekenhuis vanaf de H.J.P. Fesevurstraat met links het ketelhuis, bron: website ziekenhuis Deventer

In 2009 heeft Synchroon het Sint Geertruiden Ziekenhuis verworven ten behoeve van de herontwikkeling van deze locatie naar woningbouw. In 2010 zijn de oude gebouwen gesloopt met uitzondering van het SMCD gebouw (Sociaal Medisch Centrum Deventer). De daken van het ziekenhuis waren voor zover bekend voorzien van dakpannen en niet voorzien van asbest.



Figuur 2: Bovenaanzicht op onderzoeksgebied



2.3.2. Grondstromenbeleid

Door de gemeente Deventer is in 2009 een geactualiseerde bodemkwaliteitskaart en bodemfunctieklassenkaart vastgesteld (CSO, kenmerk 08K223, d.d. 19 juni 2009).

Voor de Geertruidentuin locatie geldt de bodemfunctieklasse Wonen, deelgebied 1^e schil (1850–1945). Volgens de Ontgravings- en Toepassingskaart (bijlage 8/9 van de BKK) is de toepassingsklasse van de bovengrond (0,0–0,5 m–mv) Wonen. Toepassingsklasse van de ondergrond (0,5–2,0 m–mv) is klasse AW/Landbouw. In bijlage 7 zijn de statistische kentallen opgenomen die voor deelgebied 1^e schil gelden.

2.3.3. Bekende bodemonderzoeken

Van de locatie zijn een aantal bodemonderzoeken bekend. Deze zijn beschreven in een verkennend bodemonderzoek voor de gehele locatie (Arcadis, kenmerk 110301/OF6/ 2B6/001554/LE, 21 juli 2006). Tijdens dit onderzoek zijn tevens het archief Wm en het tankarchief geraadpleegd. Aangezien de verkregen informatie een representatief beeld geeft en er voor zover bekend na 2006 geen bouwkundige veranderingen, behalve sloop van een aantal gebouwen hebben plaatsgevonden, is voor het huidig onderzoek niet nogmaals deze archieven bekeken.

In de volgende tabel zijn de relevante uitkomsten van het onderzoek uit 2006 beschreven. In bijlage 7 is voor de volledigheid de resultaten opgenomen van het onderzoek uitgevoerd door Arcadis in 2006. Tevens is een tekening opgenomen met de situering van de verdachte deellocaties vastgesteld in dit bodemonderzoek.

Tabel 2: Resultaten bodemonderzoek 2006

rapportage	kenmerk	conclusies
Verkennend bodemonderzoek Geertruidenlocatie te Deventer	Arcadis, kenmerk 110301/OF6/ 2B6/001554/LE, d.d. 21 juli 2006	Op de locatie zijn vijf og tanks aanwezig geweest. Deze zijn in het jaar 1996 verwijderd. Ter plaatse van het ketelhuis is een min. olieverontreiniging gesaneerd in 1996. Onder de bebouwing is mogelijk nog een restverontreiniging aanwezig. Tijdens het onderzoek zijn alle verdachte deellocaties (bijlage 7) onderzocht. In de bovengrond worden maximaal licht verhoogde gehalten aangetroffen met zware metalen (Cu, Pb, Hg, Zn), PAK en minerale olie. Plaatselijk wordt in de ondergrond een licht verhoogd gehalte aangetroffen voor koper. In het grondwater worden licht verhoogde gehalten aangetroffen voor chroom, nikkel en/of vluchtige aromaten. Tijdens het onderzoek is, behalve zintuiglijk, geen aandacht besteed aan een asbest- in bodemonderzoek.



Geconcludeerd wordt dat op basis van de beschikbare informatie de volgende deellocaties zijn te onderscheiden:

1. Onverdacht deel rondom (voormalige) bebouwing;
2. de grond ter plaatse van de voormalige bebouwing wordt vanwege een mogelijk andere grondslag ten opzichte van het overige onverdachte terrein en de aanwezigheid van puinbijmenging separaat ondergrond;
3. ter plaatse van het ketelhuis is een mogelijke restverontreiniging met minerale olie te verwachten in de grond en het grondwater;
4. ter plaatse van de voormalige ligging van de ondergrondse tanks wordt zekerheidshalve een diepe boring met peilbuis geplaatst.



3. Onderzoeksopzet

Uit het uitgevoerde historisch onderzoek is naar voren gekomen dat op een groot deel van de locatie geen sprake is van potentieel bodembedreigende (voormalige) bedrijfsactiviteiten. Wel dient onderzoek naar asbest ter plaatse van de voormalige bebouwing plaats te vinden aangezien in de bovengrond een puinbijmenging aanwezig is. Daarnaast wordt zekerheidshalve de plaats van de voormalige ligging van ondergrondse tanks onderzocht. Onderstaand is de onderzoeksopzet weergegeven.

NEN 5740 grond en grondwater onderzoek

Om een goed beeld van de algemene milieuhygiënische bodemkwaliteit te verkrijgen, wordt het onderzoeksgebied onderzocht conform de NEN 5740. Voor de onderzoeksstrategie wordt onderscheid gemaakt tussen verdachte en onverdachte terreindelen met betrekking tot bodemverontreiniging. Het overgrote deel van het gebied is onverdacht. Doordat ter plaatse van de voormalige bebouwing een puinhoudende bovengrond wordt verwacht wordt de bovengrond ter plaatse aanvullend onderzocht op asbest. De volgende deellocales worden onderscheiden:

1. Onverdachte terreindeel (oppervlakte ca. 4,2 ha)

Voor het terreindeel dat nimmer bebouwd is geweest en onverdacht is op bodemverontreiniging, wordt de *Onderzoekstrategie onverdacht voor niet-lijnvormige locaties* gehanteerd (ONV-NL).

2. Verdacht terreindeel (oppervlakte 2 ha)

Voor het terreindeel dat bebouwd is (geweest) wordt uitgegaan van de strategie 'heterogeen verdacht' overeenkomstig de NEN 5740/A1, *Onderzoekstrategie voor een niet-lijnvormige locatie met een heterogeen verdeelde verontreinigde stof (VED-HE-NL; paragraaf 5.6)*.

Ter plaatse van de voormalige bebouwing (en indien daar zintuiglijk aanleiding voor is, tevens langs de bestaande bebouwing) wordt de bovengrond aanvullend onderzocht op asbest in bodem, overeenkomstig de NEN 5707, *Onderzoekstrategie voor een verdachte bovengrond (paragraaf 6.4.5)*.

3. Restverontreiniging t.p.v. ketelhuis (250 m²)

In het verleden zijn ter plaatse van het ketelhuis twee ondergrondse tanks gesaneerd. Ter plaatse is een sanering uitgevoerd. Onder het bestaande ketelhuis zou mogelijk nog een restverontreiniging aanwezig kunnen zijn met minerale olieproducten. Als het ketelhuis verwijderd is dient de grond en het grondwater te worden onderzocht om te bepalen of de verontreiniging nog aanwezig is en indien aanwezig wat de omvang is.

4. Drie puntbronnen a.g.v. vml. ondergrondse tanks (oppervlakte per deellocale <0,01 ha)

Ter plaatse van de voormalige tanks is de grond en het grondwater verdacht op de aanwezigheid van minerale olieproducten. De deellocales worden onderzocht conform de *Onderzoekstrategie plaatselijke bodembelasting met een duidelijke verontreinigingskern*.



NEN 5707 asbestonderzoek

Vanwege de aanwezigheid van puin ter plaatse van de voormalige bebouwing, is dat deel van de locatie in principe asbestverdacht. Ter controle op asbest wordt een aantal gaten gegraven tot 0,5 m–mv. Vooralnog worden een aantal (meng)monster op asbest geanalyseerd, Voorafgaand aan de veldwerkzaamheden wordt het maaiveld visueel geïnspecteerd. Op basis van bovenstaande is de volgende onderzoeksinspanning gedefinieerd:

Tabel 3: Onderzoekopzet NEN 5740/NEN 5707

Terreindeel met oppervlakte	Boringen/gaten		Peilbuizen	Analyse	
	0,5 m–mv	2 m–mv		grond	grondwater
1)Onverdacht terreindeel ONV–NL 42.000 m2 (4,2 ha)	36 boringen	10	5	6 x BG standaard pakket grond 5x OG standaard pakket grond	5x standaard pakket grondwater
2)Verdacht terreindeel VED–HE 19.700 m2 (1,97 ha)	27 gaten	6 gaten doorgeboord met handboring tot 2,0 m–mv	1*	6 x standaard pakket grond (verdachte laag)	1x standaard pakket grondwater
3)Onder ketelhuis rest verontreiniging**	0	2	1	2 x minerale olie + os grond	1x Minerale olie + BTEXN
4)Drie deellocaties vml tanks	0	6 (2 boringen per deellocatie)	3*	3 x minerale olie + os	3 x Minerale olie + BTEXN
NEN 5707 Asbest *** vml bebouwing 19.700 m2 (1,97 ha)	27 gaten	6 gaten doorgeboord met handboring tot 2,0 m–mv	–	6 x asbest in bodem	–

*gecombineerd

** onderzoek dient na sloop ketelhuis te worden uitgevoerd

Standaardpakket grond: Metalen barium, cadmium, kobalt, koper, kwik, lood, molybdeen, nikkel en zink, Polycyclische aromatische koolwaterstoffen (PAK), minerale olie, PCB, organische stof en lutum

Standaardpakket grondwater: Metalen barium, cadmium, kobalt, koper, kwik, lood, molybdeen, nikkel en zink, vluchtige aromatische koolwaterstoffen (BTEXN, styreen), vluchtige gehalogeneerde koolwaterstoffen, minerale olie



4. Uitvoering

4.1. Kwalibo en richtlijnen

Het veldwerk (de grond- en grondwaterbemonstering) is uitgevoerd door dhr. R. Milder werkzaam bij VCMi te Beek (gem. Montferland) conform de Beoordelingsrichtlijn Veldwerk bij Milieuhygiënisch onderzoek, de BRL SIKB 2000. De boorpunten zijn tevens ingemeten met GPS. Een aantal punten konden niet worden ingemeten, omdat er geen bereik was door de aanwezigheid van gebouwen of bomen.

De analyses zijn uitgevoerd door Analytico, een door de RvA geaccrediteerd laboratorium en conform de richtlijnen van de in juli 2007 in werking getreden AS3000 regeling, die onderdeel uitmaakt van de per 1 oktober 2006 in werking getreden KWALIBO-regeling.

4.2. Veldwerk

Het veldwerk is uitgevoerd op 23, 24, 25 mei en 4 juni 2018. Tijdens de maaiveldinspectie ter plaatse van de voormalige bebouwing in de bodem is geen asbestverdacht materiaal aangetroffen. De inspectie efficiency is 25–50% vanwege de aanwezige vegetatie. Nabij boring 125 (zuidoostelijk hoek locatie) is op maaiveld een streng kit aangetroffen. Deze is als een materiaalmonster aangeleverd aan het laboratorium (AVM01). Aangezien de streng niet vermengd is met de onderliggende grond, is er geen aanvullend onderzoek in de bodem verricht. Nabij de ingang aan de Van Calcarstraat is een fietsenhok aanwezig, verhard met klinkers. Het dak van de fietsenstalling bestaat uit asbestgolfplaten. Ter plaatse van de ingang aan de Van Calcarstraat (zuidelijk van de voormalige polikliniek dermatologie) is aan de bebouwing een afdak bevestigd, welke bestaat uit asbestgolfplaat. Vanwege de afwezigheid van een onderliggende verharding en dakgoot is aanvullend een druppellijnonderzoek uitgevoerd (SL01). Hierbij is de bovenste 10 cm zintuiglijk en analytisch onderzocht op asbest.

In het ketelhuis is 1 boring met peilbuis geplaatst. De foto's van o.a. het afdak en het ketelhuis zijn opgenomen in bijlage 6. Het veldwerkverslag is opgenomen in bijlage 8.

Het veldwerk bestond uit de volgende werkzaamheden:



Tabel 4: Uitgevoerde werkzaamheden

Terreindeel met oppervlakte	Boringen/gaten		Peilbuizen	Analyse	
	0,5 m–mv	2 m–mv		grond	grondwater
1) Onverdacht terreindeel ONV–NL 42.000 m2 (4,2 ha)	36 boringen	10	5	6 x BG standaard pakket grond 5x OG standaard pakket grond	5x standaard pakket grondwater
2) Verdacht terreindeel VED–HE 19.700 m2 (1,97 ha)	27 gaten	6 gaten doorgeboord met handboring tot 2,0 m–mv	1*	6 x standaard pakket grond (verdachte laag)	1x standaard pakket grondwater
3) Onder ketelhuis rest verontreiniging**	–	–	1	1 x standaard pakket grond (verdachte laag)	1x standaard pakket grondwater
4) Drie deellocaties vml tanks	–	6 (2 boringen per deellocatie)	3*	–	3 x Minerale olie + BTEXN
NEN 5707 Asbest *** vml bebouwing 19.700 m2 (1,97 ha)	27 gaten	6 gaten doorgeboord met handboring tot 2,0 m–mv	–	7 x asbest in bodem	–
Druppellijn onderzoek vml polikliniek dermatologie	1	–	–	1 x asbest in bodem	–

Standaardpakket grond:

Metalen barium, cadmium, kobalt, koper, kwik, lood, molybdeen, nikkel en zink, Polycyclische aromatische koolwaterstoffen (PAK), minerale olie, PCB, organische stof en lutum



Standaardpakket grondwater:

Metalen barium, cadmium, kobalt, koper, kwik, lood, molybdeen, nikkel en zink, vluchtige aromatische koolwaterstoffen (BTEXN, styreen), vluchtige gehalogeneerde koolwaterstoffen, minerale olie

*gecombineerd

** onderzoek dient na sloop ketelhuis te worden uitgevoerd

***het graven van de asbestgaten is zoveel mogelijk gecombineerd met de boringen en de monsternamen van het NEN 5740 onderzoek

Voor de positionering van de boringen, asbestgaten en peilbuizen wordt verwezen naar de situatietekening, bijlage 2. De boringen en gaten zijn verricht met behulp van een Edelmanboor en schop. Van het opgeboorde bodemmateriaal is per halve meter en/of verontreinigde bodemlaag een monster genomen. Verder is het opgeboorde materiaal zintuiglijk beoordeeld op samenstelling, het voorkomen van verontreinigingen alsmede de kleur en geur. De zintuiglijke waarnemingen van het veldwerk, uitgewerkt in boorstaten, zijn opgenomen in bijlage 3.

In onderstaande tabel zijn de resultaten van de veldmetingen van het grondwater op 4 juni 2018 weergegeven.

Tabel 5: Metingen grondwater

Peilbuis	Filterdiepte (m -mv)	Grondwaterstand (m -mv)	Grondwaterstand (m NAP)	pH (-)	EC (μ S/cm)	Troebelheid (NTU)
101	3,00 – 4,00	3,14	n.g.	7,7	413	115
102	1,50 – 2,50	1,58	6,38+	8,0	175	100
103	1,50 – 2,50	1,61	2,94+	7,5	774	109
104	3,70 – 4,70	4,14	6,20+	7,4	802	41,8
105	2,50 – 3,50	3,06	3,48+	7,9	601	88
201	2,00 – 3,00	1,81	4,14+	7,5	668	144
501	1,50 – 2,50	1,27	n.g.	7,5	476	50
502	2,00 – 3,00	2,43	3,43+	8,3	212	81,9
503	4,50 – 5,50	3,93	n.g.	7,9	421	13,7

n.g.: niet gemeten

De aangetroffen waarde voor de troebelheid is hoger dan normaal (>10 NTU). Bij een troebelheid tussen 0 en 10 NTU kan worden aangenomen dat er geen probleem is met gronddeeltjes die de analyseresultaten kunnen verstoren. In het kader van dit onderzoek wordt een herbemonstering niet noodzakelijk geacht.



4.3. Zintuiglijke waarnemingen

In onderstaande tabel zijn de relevante zintuiglijk afwijkende waarnemingen opgenomen. De volgende waarnemingen zijn gedaan:

- Zintuiglijk is in de zandige bovengrond over de gehele locatie een lichte bijmenging aangetroffen van baksteen en puin. Hierbij is geen onderscheid te maken tussen de bovengrond van de voormalige bebouwing en het gebied dat niet bebouwd is geweest. Plaatselijk wordt een lichte bijmenging aangetroffen van kolengruis.
- Tijdens het veldwerk is ter plaatse van de voormalige ondergrondse tanks geen minerale olie zintuiglijk aangetroffen. Ter plaatse van het ketelhuis is zintuiglijk geen minerale olie aangetroffen. Er kon nog niet op de exacte plaats van de restverontreiniging worden geboord, omdat het gebouw met ketels nog aanwezig zijn..
- Ter plaatse van de voormalige bebouwing is geen asbest verdacht materiaal aangetroffen in en op de bodem. Ter plaatse van boring 125 is alleen op het maaiveld een streng kit aangetroffen. Deze is verpakt en afgevoerd in een daarvoor bestemde container.
- Nabij de ingang aan de van Calcarstraat is een fietsenhok aanwezig met klinkerverharding. Het dak van de fietsenstalling bestaat uit asbestgolfplaten. Ter plaatse van de ingang aan de Van Calcarstraat (zuidelijk van de voormalige polikliniek dermatologie) is een afdak bevestigd welke bestaat uit asbestgolfplaat. Vanwege de afwezigheid van een onderliggende verharding en dakgoot is aanvullend een druppellijnonderzoek uitgevoerd (SL01).
- Ter plaatse van boring 116 en 145 is op een diepte van 0,5 a 0,7 m-mv gestuit op een massieve laag.

In de volgende tabel zijn de volledige waarnemingen beschreven per boring/gat:

Tabel 6: Overzicht relevante zintuiglijke waarnemingen

Boring/ asbestgat	Diepte boring (m -mv)	Traject (m -mv)	Grondsoort	Waargenomen bijzonderheden
101	4,00	0,30 – 0,70	Zand	sporen baksteen
104	4,70	0,00 – 1,00	Zand	sporen baksteen
105	3,50	0,00 – 0,30	Zand	zwak baksteenhoudend
106	0,50	0,00 – 0,50	Zand	zwak baksteenhoudend
107	0,50	0,20 – 0,50	Zand	sporen baksteen
109	0,50	0,00 – 0,50	Zand	sporen puin
110	0,50	0,00 – 0,50	Zand	zwak baksteenhoudend, resten aardewerk
111	0,50	0,30 – 0,50	Zand	sporen baksteen
112	0,50	0,00 – 0,50	Zand	zwak baksteenhoudend
114	0,50	0,08 – 0,50	Zand	zwak roesthoudend, sporen baksteen
116	0,70	0,00 – 0,50	Zand	matig puinhoudend



01.18.1763 – verkennend (asbest in-) bodemonderzoek Geertruidentuin te Deventer

		0,50 – 0,70	Zand	matig puinhoudend, eindeboring IVM MASSIEVE LAAG
117	0,50	0,00 – 0,50	Zand	zwak puinhoudend
119	1,70	0,08 – 1,00	Zand	sporen baksteen, sporen kolengruis
		1,20 – 1,70	Zand	sporen baksteen
121	0,50	0,00 – 0,50	Zand	zwak puinhoudend
124	0,50	0,00 – 0,50	Zand	zwak roesthoudend, sporen kolengruis
126	0,50	0,00 – 0,50	Zand	sporen baksteen
127	0,50	0,00 – 0,50	Zand	sporen baksteen
128	0,50	0,00 – 0,50	Zand	sporen baksteen
131	0,50	0,00 – 0,50	Zand	sporen baksteen, geen olie-water reactie
132	0,50	0,00 – 0,50	Zand	zwak baksteenhoudend, geen olie-water reactie
133	0,50	0,00 – 0,50	Zand	zwak baksteenhoudend, geen olie-water reactie
135	0,50	0,00 – 0,50	Zand	zwak baksteenhoudend
136	2,00	0,00 – 0,50	Zand	sporen baksteen
139	0,50	0,25 – 0,50	Zand	sporen baksteen
141	0,50	0,00 – 0,50	Zand	sporen baksteen
142	2,00	0,40 – 0,80	Zand	sporen baksteen
145	2,00	0,50 – 0,80	Zand	sporen puin, resten leem
145A	0,50	0,00 – 0,50	Zand	einde boring IVM MASSIEVE LAAG
145B	0,50	0,00 – 0,50	Zand	einde boring IVM MASSIEVE LAAG
146	2,00	0,00 – 0,10	Zand	matig wortelhoudend
		0,10 – 0,50	Zand	sporen baksteen
		1,00 – 1,50	Zand	zwak puinhoudend
147	2,00	0,00 – 0,50	Zand	sporen baksteen
		0,50 – 1,00	Zand	sporen baksteen
148	2,00	0,00 – 0,50	Zand	zwak puinhoudend
		0,50 – 1,00	Zand	zwak baksteenhoudend
150	2,00	0,00 – 0,50	Zand	sporen baksteen
151	2,00	0,00 – 1,00	Zand	zwak baksteenhoudend
201	3,00	0,50 – 1,50	Zand	sporen baksteen
202	0,50	0,00 – 0,50	Zand	zwak baksteenhoudend, resten glas, >20mm= 0,5% <20mm= 0,5% SG=1,6 MMA04
203	2,00	0,00 – 0,20	Zand	zwak betonhoudend, >20mm= 1% <20mm= <0,5% SG= 1,6 MMA04
		0,20 – 0,50	Zand	zwak roesthoudend, >20mm= 0% <20mm= 0% SG= 1,6 MMA03
204	0,50	0,00 – 0,20	Zand	sporen baksteen, >20mm= <0,5% <20mm= <0,5% SG= 1,6 MMA04
		0,20 – 0,50	Zand	zwak roesthoudend, >20mm= 0% <20mm= 0% SG= 1,6 MMA03



01.18.1763 – verkennend (asbest in-) bodemonderzoek Geertruidentuin te Deventer

205	0,50	0,00 – 0,50	Zand	matig betonhoudend, matig baksteenhoudend, >20mm= 4% <20mm= 1% SG= 1,6 MMA05
206	0,50	0,00 – 0,50	Zand	matig betonhoudend, zwak baksteenhoudend, >20mm= 2% <20mm= 0,5% SG= 1,6 MMA05
207	0,50	0,00 – 0,50	Zand	zwak baksteenhoudend, resten beton, >20mm= 4% <20mm= 1% SG= 1,6 MMA06
208	0,50	0,00 – 0,50	Zand	zwak baksteenhoudend, zwak betonhoudend, >20mm= 3% <20mm= 1% SG= 1,6 MMA06
209	0,50	0,00 – 0,50	Zand	zwak puinhoudend, >20mm= 1% <29mm= <0,5% SG= 1,6 MMA06
210	0,50	0,00 – 0,50	Zand	sporen puin, >20mm= <0,5% <20mm= <0,5% SG=1,6 MMA02
211	0,50	0,00 – 0,50	Zand	zwak betonhoudend, zwak baksteenhoudend, >20mm= 1% <20mm= <0,5% SG= 1,6 MMA05
213	0,50	0,00 – 0,50	Zand	zwak puinhoudend, >20mm= 1% <20mm= 0,5% SG= 1,6 MMA02
214	0,50	0,00 – 0,50	Zand	matig betonhoudend, zwak baksteenhoudend, >20mm= 5% <20mm= <0,5% SG= 1,6 MMA05
215	0,50	0,00 – 0,50	Zand	zwak baksteenhoudend, resten beton >20mm= 4% <20mm= 1% SG= 1,6 MMA06
216	0,50	0,00 – 0,50	Zand	zwak betonhoudend, zwak baksteenhoudend, geen olie-water reactie, >20mm= 2% <20mm= 0,5% SG= 1,6 MMA05
217	0,50	0,00 – 0,50	Zand	zwak betonhoudend, zwak baksteenhoudend, resten ijzer, >20mm= 4% <20mm= 1% SG= 1,6 MMA05
221	0,50	0,00 – 0,50	Zand	zwak betonhoudend, matig baksteenhoudend, >20mm= 3% <20mm= 0,5% SG= 1,6 MMA05
223	0,50	0,00 – 0,50	Zand	zwak betonhoudend, >20mm= 3% <20mm= 0,5% SG= 1,6 MMA07
224	2,00	0,05 – 0,20	Zand	>20mm= 0% <20mm= 0% SG= 1,6 MMA03
		0,20 – 0,70	Zand	zwak puinhoudend, sporen kolengruis, >20mm= <0,5% <20mm= 1% SG= 1,6 MMA04
		0,70 – 1,00	Zand	zwak puinhoudend
225	2,00	0,00 – 0,50	Zand	zwak puinhoudend, >20mm= 1% <20mm= <0,5% SG= 1,6 MMA05
		0,50 – 1,50	Zand	sporen puin
		1,50 – 2,00	Zand	sporen baksteen
226	2,00	0,00 – 0,50	Zand	zwak baksteenhoudend, zwak roesthoudend, >20mm= 1% <20mm= <0,5% SG= 1,6 MMA06
		0,50 – 1,00	Zand	sporen roest, sporen baksteen
		1,00 – 1,50	Zand	sporen baksteen



301	0,50	0,00 – 0,50	Zand	zwak baksteenhoudend, resten glas, >20mm= 1% <20mm= 0,5% SG=1,6 MMA04
302	0,50	0,00 – 0,30	Zand	zwak roesthoudend, >20mm= 0% <20mm= 0% SG= 1,6 MMA01
		0,30 – 0,50	Zand	sporen roest, sporen puin, >20mm= 0,5% <20mm= <0,5% SG= 1,6 MMA02
303	0,50	0,05 – 0,30	Zand	>20mm= 0% <20mm= 0% SG=1,6 MMA01
		0,30 – 0,50	Zand	sporen baksteen, >20mm= <0,5% <20mm= <0,5% SG= 1,6 MMA02
402	2,00	1,00 – 1,50	Zand	sporen baksteen, geen olie-water reactie
503	5,50	0,50 – 2,00	Zand	zwak puinhoudend
		3,00 – 4,00	Zand	resten leem, matig roesthoudend, resten puin
505	2,00	0,50 – 1,00	Zand	zwak baksteenhoudend
		1,00 – 1,50	Zand	matig baksteenhoudend
508	2,00	0,08 – 1,00	Zand	zwak puinhoudend
509	2,00	0,08 – 0,50	Zand	matig roesthoudend
		0,50 – 1,00	Zand	zwak baksteenhoudend
SL01	0,10	0,00 – 0,10	Zand	resten glas

4.4. Laboratoriumonderzoek

In de onderstaande tabel is de samenstelling van de grond- en grondwatermonsters met bijbehorende analysepakketten weergegeven. Op basis van onder andere de veldgegevens heeft de selectie van de monsters plaatsgevonden.

Tabel 7: Overzicht grondmengmonsters en grondwater met analysepakket

Analysemonster	Traject (m -mv)	Deelmonsters	Analysepakket
<i>Bovengrond 0,0-0,5 m-mv</i>			
MM01 BG ONV zwak tot matig puinhoudend zand	0,00 – 0,50	109 (0,00 – 0,50)	Standaard pakket incl LUOS
		110 (0,00 – 0,50)	
		112 (0,00 – 0,50)	
		116 (0,00 – 0,50)	
		117 (0,00 – 0,50)	
		121 (0,00 – 0,50)	
MM02 BG ONV zintuiglijk schoon	0,00 – 0,50	148 (0,00 – 0,50)	Standaard pakket incl LUOS
		102 (0,00 – 0,50)	
		103 (0,00 – 0,50)	
		123 (0,00 – 0,20)	
		123 (0,20 – 0,50)	
	138 (0,00 – 0,50)		



01.18.1763 – verkennend (asbest in-) bodemonderzoek Geertruidentuin te Deventer

		140 (0,00 – 0,50) 143 (0,00 – 0,50) 144 (0,00 – 0,50)	
MM03 BG ONV zintuiglijk schoon	0,00 – 0,50	101 (0,08 – 0,30) 108 (0,08 – 0,50) 115 (0,00 – 0,50) 120 (0,00 – 0,50) 142 (0,08 – 0,40) 402 (0,00 – 0,50) 505 (0,00 – 0,50)	Standaard pakket incl LUOS
MM04 BG ONV sporen baksteen	0,00 – 0,70	101 (0,30 – 0,70) 106 (0,00 – 0,50) 114 (0,08 – 0,50) 127 (0,00 – 0,50) 146 (0,10 – 0,50)	Standaard pakket incl LUOS
MM05 BG ONV baksteen en kolengruis	0,00 – 0,70	119 (0,08 – 0,50) 124 (0,00 – 0,50) 224 (0,20 – 0,70)	Standaard pakket incl LUOS
<i>Uitsplitsing MM05</i>			
119-1	0,08 – 0,50	119 (0,08 – 0,50)	PAK 10 VROM
124-1	0,00 – 0,50	124 (0,00 – 0,50)	PAK 10 VROM
224-2	0,20 – 0,70	224 (0,20 – 0,70)	PAK 10 VROM
MM06 BG ONV sporen baksteen en puin	0,00 – 0,50	126 (0,00 – 0,50) 131 (0,00 – 0,50) 132 (0,00 – 0,50) 133 (0,00 – 0,50) 136 (0,00 – 0,50) 139 (0,25 – 0,50) 141 (0,00 – 0,50) 151 (0,00 – 0,50)	Standaard pakket incl LUOS
<i>Ondergrond 0,5-2,0 m-mv</i>			
MM07 OG ONV sporen baksteen	0,40 – 1,70	119 (1,20 – 1,70) 142 (0,40 – 0,80) 145 (0,50 – 0,80) 146 (1,00 – 1,50) 147 (0,50 – 1,00) 148 (0,50 – 1,00) 201 (0,50 – 1,00)	Standaard pakket incl LUOS
MM08 OG ONV matig puinhoudend	1,00 – 1,50	505 (1,00 – 1,50)	Standaard pakket incl LUOS



01.18.1763 – verkennend (asbest in-) bodemonderzoek Geertruidentuin te Deventer

MM09 OG ONV zwak puinhoudend	0,50 – 3,50	224 (0,70 – 1,00) 402 (1,00 – 1,50) 503 (0,50 – 1,00) 503 (3,00 – 3,50) 505 (0,50 – 1,00) 508 (0,50 – 1,00) 509 (0,50 – 1,00)	Standaard pakket incl LUOS
MM10 OG ONV zintuiglijk schoon	0,50 – 2,00	101 (0,70 – 1,10) 102 (0,50 – 1,00) 103 (1,00 – 1,50) 136 (0,50 – 1,00) 144 (1,50 – 2,00)	Standaard pakket incl LUOS
MM11 OG ONV zintuiglijk schoon	0,50 – 2,00	145 (0,80 – 1,10) 149 (0,50 – 1,00) 149 (1,50 – 2,00) 150 (0,50 – 1,00)	Standaard pakket incl LUOS
MM12 VED-HE zwak betonhoudend baksteenhoudend	0,00 – 0,50	202 (0,00 – 0,50) 203 (0,00 – 0,20) 204 (0,00 – 0,20) 301 (0,00 – 0,50)	Standaard pakket incl LUOS
MM13 VED-HE matig baksteen.	0,00 – 0,50	205 (0,00 – 0,50) 221 (0,00 – 0,50)	Standaard pakket incl LUOS
MM14 VED-HE zwak betonhoudend baksteenhoudend	0,00 – 0,50	206 (0,00 – 0,50) 207 (0,00 – 0,50) 208 (0,00 – 0,50) 209 (0,00 – 0,50) 210 (0,00 – 0,50) 211 (0,00 – 0,50) 213 (0,00 – 0,50) 215 (0,00 – 0,50) 217 (0,00 – 0,50)	Standaard pakket incl LUOS
MM15 VED-HE zwak betonhoudend	0,00 – 0,50	223 (0,00 – 0,50) 302 (0,30 – 0,50) 303 (0,30 – 0,50)	Standaard pakket incl LUOS
MM16 VED-HE	0,00 – 0,50	104 (0,00 – 0,50) 105 (0,00 – 0,30) 118 (0,08 – 0,50) 125 (0,00 – 0,50) 134 (0,00 – 0,50) 135 (0,00 – 0,50) 502 (0,00 – 0,50)	Standaard pakket incl LUOS
M-501 ketelhuis	1,00 – 2,00	501 (1,00 – 1,50) 501 (1,50 – 2,00)	Standaard pakket incl LUOS



<i>Asbest in bodem</i>			
MM01	0,05 – 0,30	MMA01 (0,05 – 0,30)	Asbest Grond NEN5898 2016
MM02	0,00 – 0,50	MMA02 (0,00 – 0,50)	Asbest Grond NEN5898 2016
MM03	0,05 – 0,50	MMA03 (0,05 – 0,50)	Asbest Grond NEN5898 2016
MM04	0,00 – 0,70	MMA04 (0,00 – 0,70)	Asbest Grond NEN5898 2016
MM05	0,00 – 0,50	MMA05 (0,00 – 0,50)	Asbest Grond NEN5898 2016
MM06	0,00 – 0,50	MMA06 (0,00 – 0,50)	Asbest Grond NEN5898 2016
MMA07	0,00 – 0,50	MMA06 (0,00 – 0,50)	Asbest Grond NEN5898 2016
SL01 drup	0,00 – 0,10	SL01 (0,00-0,10)	Asbest Grond NEN5898 2016
<i>Grondwater</i>			
101-1-1	3,00 – 4,00	101 (3,00 – 4,00)	Standaardpakket grondwater
102-1-1	1,50 – 2,50	102 (1,50 – 2,50)	Standaardpakket grondwater
103-1-1	1,50 – 2,50	103 (1,50 – 2,50)	Standaardpakket grondwater
104-1-1	3,70 – 4,70	104 (3,70 – 4,70)	Standaardpakket grondwater
105-1-1	2,50 – 3,50	105 (2,50 – 3,50)	Standaardpakket grondwater
201-1-1	2,00 – 3,00	201 (2,00 – 3,00)	Standaardpakket grondwater
501-1-1	1,50 – 2,50	501 (1,50 – 2,50)	BTEXN + Minerale olie GC
502-1-1	2,00 – 3,00	502 (,00 – 3,00)	BTEXN + Minerale olie GC
503-1-1	4,50 – 5,50	503 (4,50 – 5,50)	BTEXN + Minerale olie GC

Standaard pakket bodem: Metalen (barium, cadmium, kobalt, koper, kwik, lood, molybdeen, nikkel, zink), Minerale olie (GC), PAK (10 VROM), Polychloorbifenylen (PCB)

Luos = lutum en organisch stof

Standaardpakket grondwater: Metalen (barium, cadmium, kobalt, koper, kwik, lood, molybdeen, nikkel en zink), vluchtige aromatische koolwaterstoffen (BTEXN, styreen), vluchtige gehalogeneerde koolwaterstoffen, minerale olie

4.5. Beoordelingskader

Wet Bodembescherming

Voor de beoordeling van de analyseresultaten van de monsters is gebruik gemaakt van de toetswaarden zoals deze zijn opgenomen in de Circulaire bodemsanering van juli 2013, alsmede van de Achtergrondwaarden zoals geformuleerd in het Besluit Bodemkwaliteit.

De **achtergrondwaarden** voor grond zijn vastgesteld op basis van de gehalten aan stoffen zoals die voorkomen in de bodem van natuur- en landbouwgronden in Nederland die niet zijn belast door lokale verontreinigingsbronnen. Bij gehalten beneden de achtergrondwaarden spreekt men van niet verontreinigde grond. Bij gehalten boven de achtergrondwaarden (en beneden de tussenwaarden) spreekt men van een lichte verontreiniging.

De **streefwaarden** voor grondwater geven het niveau aan waarbij sprake is van een duurzame bodemkwaliteit. Dit komt overeen met het niveau waarbij de functionele eigenschappen, die de bodem voor mens, dier of plant heeft, zijn veiliggesteld. Bij gehalten beneden de streefwaarden spreekt men van niet verontreinigd grondwater. Bij gehalten boven de streefwaarden (en beneden de tussenwaarden) spreekt men van een lichte verontreiniging.



De **tussenwaarden** (toetsing grond) zijn de halve som van de achtergrond- en interventiewaarden. Voor grondwater geldt dat de tussenwaarde de halve som van de streefwaarde en de interventiewaarde is. Bij concentraties aan verontreinigende stoffen boven de tussenwaarde geldt dat een nader onderzoek naar de ernst en omvang van de verontreiniging noodzakelijk is. Men spreekt dan van een matige verontreiniging.

De **interventiewaarden** geven het concentratieniveau aan waarboven sprake is van een sterke mate van bodemverontreiniging. Hierbij is sprake van een zodanige bodemverontreiniging, dat de functionele eigenschappen van de bodem ernstig dreigen te worden verminderd. Bij concentraties boven de interventiewaarde spreekt men van een sterke verontreiniging.

De toetsingswaarden voor grond zijn berekend aan de hand van het lutumgehalte en humusgehalte van de diverse grond(meng)monsters (bodemtypecorrectie, zie ook bijlage 5). Voor de berekening van deze waarden voor verontreinigingen in bodems met gemeten organische stofgehalten van meer dan 30% respectievelijk minder dan 2% worden gehalten van respectievelijk 30% en 2% aangehouden.

Barium

Opgemerkt wordt dat de normstelling ten aanzien van de toetsing van barium in grond is aangepast. Deze aanpassing houdt in dat, in afwachting van een nieuw toetsingskader, voor barium in grond geen toetsing meer wordt uitgevoerd, tenzij in situaties waar met zekerheid kan worden vastgesteld dat sprake is van een antropogene bodemverontreiniging. Dat is op de huidige locatie niet het geval. Omdat barium nog wel in het standaardpakket grond wordt geanalyseerd, is deze stof wel opgenomen in de tabellen.

Asbest

Voor de toetsing van asbest is uitgegaan van de huidige wet- en regelgeving voor asbest in bodem/puin. Voor asbest is alleen de interventiewaarde vastgesteld.

De interventiewaarde voor asbest is bepaald op 100 mg/kg d.s. gewogen asbest. De gewogen asbestconcentratie is de totale concentratie Serpentin-asbest en 10 maal de concentratie Amfibool asbest in het grondmonster en het verzamelmonster samen. De hergebruikwaarde voor asbest is in dit kader gelijk gesteld aan de interventiewaarde van 100 mg/kg d.s.

In het “Milieuhygiënisch Saneringscriterium Bodem, protocol asbest” is geregeld wanneer voor een bodemverontreiniging met asbest sprake is van een geval van ernstige verontreiniging. Voor een bodemverontreiniging met asbest is het volumecriterium voor het vaststellen van de ernst van het geval niet van toepassing.



4.6. Analyseresultaten

De originele analysecertificaten zijn weergegeven in bijlage 4. In bijlage 5 is de volledige toetsing en het toetsingskader volgens de Wet bodembescherming en Besluit Bodemkwaliteit (indicatief) opgenomen. In onderstaande paragrafen zijn de overschrijdingen ten opzichte van de toetswaarden voor grond en grondwater uit de Wet bodembescherming opgenomen.

4.6.1. Resultaten grond

In onderstaande tabel zijn de resultaten voor de boven- en ondergrond weergegeven.

Tabel 8: Wbb overschrijdingstabel grond

Analyse-monster	Traject (m -mv)	> AW (+index)	> T	> I (+index)	BBK Conclusie (indicatief)
<i>Bovengrond 0,0-0,5 m-mv</i>					
MM01 BG ONV zwak tot matig puinhoudend zand	0,00 – 0,50	Minerale olie C10 – C40 (-) Kwik (-) Lood (0,03)	-	-	Klasse industrie
MM02 BG ONV zint. schoon	0,00 – 0,50	-	-	-	Altijd toepasbaar
MM03 BG ONV zint. schoon	0,00 – 0,50	-	-	-	Altijd toepasbaar
MM04 BG ONV sporen baksteen	0,00 – 0,70	Minerale olie C10 – C40 (0,01) Koper (0,13) Kwik (0,01) Lood (0,28) PAK 10 VROM (0,17)	-	-	Klasse industrie
MM05 BG ONV baksteen en kolengruis	0,00 – 0,70	Minerale olie C10 – C40 (0,15) Zink (0,01) Kwik (-) Lood (0,06)	PAK 10 VROM (0,77)	-	Niet Toepasbaar > industrie
<i>Uitsplitsing MM05</i>					
119-1	0,08 – 0,50	-	-	-	Altijd toepasbaar
124-1	0,00 – 0,50	PAK 10 VROM (0,14)	-	-	Klasse wonen
224-2	0,20 – 0,70	PAK 10 VROM (0,02)	-	-	Klasse wonen



01.18.1763 – verkennend (asbest in-) bodemonderzoek Geertruidentuin te Deventer

Analyse-monster	Traject (m -mv)	> AW (+index)	> T	> I (+index)	BBK Conclusie (indicatief)
MM06 BG ONV sporen baksteen en puin	0,00 – 0,50	Koper (0,11) Kwik (0,01) Lood (0,21)	-	-	Klasse industrie
<i>Ondergrond 0,5-2,0 m-mv</i>					
MM07 OG ONV sporen baksteen	0,40 – 1,70	Koper (0,03) Kwik (0,01) Lood (0,11)	-	-	Klasse wonen
MM08 OG ONV matig puinhoudend	1,00 – 1,50	Koper (0,15) Kwik (0,01) Lood (0,41) PAK 10 VROM (0,08)	-	-	Klasse industrie
MM09 OG ONV zwak puinhoudend	0,50 – 3,50	Koper (0,01) Zink (0,04) Kwik (-) Lood (0,12)	-	-	Klasse wonen
MM10 OG ONV zint. schoon	0,50 – 2,00	-	-	-	Altijd toepasbaar
MM11 OG ONV zint. schoon	0,50 – 2,00	-	-	-	Altijd toepasbaar
MM12 VED-HE	0,00 – 0,50	PCB (som 7) (0,01) Kwik (-) Lood (0,07) PAK 10 VROM (0,08)	-	-	Klasse wonen
MM13 VED-HE	0,00 – 0,50	PCB (som 7) (0,01) Kwik (-)	-	-	Altijd toepasbaar
MM14 VED-HE	0,00 – 0,50	Kwik (-)	-	-	Altijd toepasbaar
MM15 VED-HE	0,00 – 0,50	Koper (0,15) Kwik (0,01) Lood (0,3)	-	-	Klasse industrie
MM16 VED-HE	0,00 – 0,50	-	-	-	Altijd toepasbaar
M-501 ketelhuis	1,00 – 2,00	Nikkel (0,03)	-	-	Altijd toepasbaar

> AW : > Achtergrondwaarde
 > T : > Tussenwaarde
 > I : > Interventiewaarde
 Index : (GSSD - AW) / (I - AW)



4.6.2. Resultaten grondwater

In onderstaande tabel is de toetsing van het grondwater aan de Wet bodembescherming opgenomen. De originele analysecertificaten zijn weergegeven in bijlage 4.

Tabel 9: Wbb overschrijdingstabel grondwater

Watermonster	Filterdiepte (m -mv)	> S (+index)	> T	> I (+index)
101-1-1	3,00 - 4,00	-	-	-
102-1-1	1,50 - 2,50	-	-	-
103-1-1	1,50 - 2,50	-	-	-
104-1-1	3,70 - 4,70	Barium (0,05)	-	-
105-1-1	2,50 - 3,50	-	-	-
201-1-1	2,00 - 3,00	-	-	-
501-1-1	1,50 - 2,50	-	-	-
502-1-1	2,00 - 3,00	-	-	-
503-1-1	4,50 - 5,50	-	-	-

- > S : > Streefwaarde
- > T : > Tussenwaarde
- > I : > Interventiewaarde
- Index : $(GSSD - S) / (I - S)$

4.6.3. Resultaten asbest in bodemonderzoek

In onderstaande tabel zijn de resultaten van het asbestonderzoek weergegeven.

Tabel 10 – Resultaten asbest in bodemanalyses (fijne fractie)

Monster	asbestgehalte grove fractie (mg/kg ds)		Asbestgehalte fijne fractie (mg/kg ds)		Totaalgehalte asbest (mg/kg ds)	Toetsing
	gemeten	gewogen	gemeten	gewogen	gewogen	
MM01	-	-	<0,1	<0,1	<0,1	-
MM02	-	-	<0,4	<0,4	<0,4	-
MM03	-	-	<0,3	<0,3	<0,3	-
MM04	-	-	<0,4	<0,4	<0,4	-
MM05	-	-	1,3	1,3	1,3	-
MM06	-	-	<0,1	<0,1	<0,1	-
MMA07	-	-	<0,9	<0,9	<0,9	-
SL01 drup	-	-	<0,1	<0,1	<0,1	-

- : geen overschrijding van de hergebruikswaarde/interventiewaarde
- + : overschrijding hergebruikswaarde/interventiewaarde



4.7. Interpretatie onderzoeksresultaten

Grond (onverdacht deel/onbebouwd)

Op de onderzoekslocatie wordt een zandige boven- en ondergrond aangetroffen tot de maximale boordiepte van 5,5 m-mv. In de zandige bovengrond wordt een zwakke tot matige baksteenbijmenging aangetroffen heterogeen verdeeld over de locatie. Ter plaatse van de boringen 119, 124 en 224 wordt in de bovengrond tot een maximale diepte van 0,7 m-mv tevens een bijmenging aangetroffen van kolengruis.

Bovengrond

Er zijn conform de onderzoeksopzet zes bovengrond mengmonsters (MM01 t/m MM06) en vijf ondergrond mengmonsters (MM07 t/m MM11) samengesteld op basis van zintuiglijke en ruimtelijke indeling. In de zwak tot matige baksteen- en puinhoudende zandige bovengrond (BG01, BG04, BG06) wordt een lichte verhoging ten opzichte van de achtergrondwaarde aangetroffen voor minerale olie, kwik, lood, koper en PAK. In de zintuiglijk schone bovengrond mengmonsters (BG02 en BG03) worden geen verhogingen aangetroffen ten opzichte van de achtergrondwaarde.

Ter plaatse van bovengrond-mengmonster MM05 wordt een tussenwaarde overschrijding gemeten voor PAK. Het grondmengmonster is vervolgens uitgesplitst om te bepalen waar de verhoging vandaan komt. In de separaat geanalyseerde grondmonsters wordt echter maximaal de achtergrondwaarde overschreden. Het is onbekend waarom in het grondmengmonster MM05 een overschrijding van de tussenwaarde wordt gemeten en bij de separate grondmonsters alleen overschrijding van de achtergrondwaarde wordt gemeten. Mogelijk komt dit door het slecht homogeniseren van het mengmonster. Aangezien de analyse van de separate grondmonsters nauwkeuriger is, wordt deze als representatief beschouwd.

Ondergrond

In de sporen- tot zwak puinhoudende ondergrond (OG07 en OG09) wordt een lichte verhoging ten opzichte van de achtergrondwaarde aangetroffen voor koper, kwik, lood en zink. In de zintuiglijk schone ondergrond (OG10 en OG11) worden geen verhogingen aangetroffen ten opzichte van de achtergrondwaarde. Plaatselijk wordt in een matig puinhoudend ondergrondmonster (OG08/boring 505; 1,0–1,5 m-mv, voorzijde ketelhuis) een lichte verhoging aangetroffen voor koper, kwik, lood en PAK.

De zintuiglijk schone bovengrond (BG02 en BG03) wordt indicatief ingedeeld als klasse AW. De zwak tot matig puinhoudende bovengrond wordt indicatief ingedeeld als klasse Wonen en Industrie.

De zintuiglijk schone ondergrond (OG10 en OG11) wordt indicatief ingedeeld als klasse AW. De sporen- tot zwak puinhoudende ondergrond wordt indicatief ingedeeld, als klasse Wonen. De matig puinhoudende ondergrond afkomstig van boring 505 wordt ingedeeld als klasse Industrie.



Grond (heterogeen verdacht deel/vml bebouwing)

Ter plaatse van de voormalige bebouwing wordt in grote lijnen zintuiglijk en analytisch een zelfde grondslag aangetroffen als op het onverdachte niet bebouwde terreindeel. In de zwak tot matige baksteen- en puinhoudende zandige bovengrond (MM12 t/m MM14, MM16, en M-501) wordt een lichte verhoging ten opzichte van de achtergrondwaarde aangetroffen voor zware metalen (kwik, lood, koper en nikkel), PCB en PAK.

De grond ter plaatse van de grondmengmonsters MM12 t/m MM14, MM16 en M-501 wordt indicatief ingedeeld als AW. Het grondmengmonster MM15 wordt indicatief ingedeeld als klasse Industrie conform het Besluit Bodemkwaliteit.

Asbest in bodem

Ter plaatse van de voormalige bebouwing is conform de NEN5707 een asbest in bodemonderzoek uitgevoerd. In totaal zijn zeven asbest mengmonsters (MM01 t/m MM07) samengesteld op basis van zintuiglijke en ruimtelijke waarneming en is de fijne fractie geanalyseerd. Zintuiglijk en analytisch is geen asbest verdacht materiaal aangetroffen in de bodem. Ter plaatse van de druppellijn onder het afdak is de toplaag (0-10 cm) bemonsterd (SL01) en geanalyseerd. Hierbij is zintuiglijk en analytisch geen asbest aangetroffen.

Grondwater

Het grondwater wordt gemiddeld aangetroffen op een diepte van 2,5 m-mv. In het grondwater wordt analytisch, behalve een plaatselijk licht verhoogd gehalte voor barium, geen overschrijdingen aangetroffen ten opzichte van de streefwaarde. Barium komt in zandgronden vaak van nature voor in het grondwater.



5. Conclusies

In opdracht van projectontwikkelaar Synchron heeft Infrasoil een verkennend (asbest in-) bodemonderzoek uitgevoerd ter plaatse van de ontwikkelingslocatie Geertruidentuin te Deventer. Op de locatie was voorheen een ziekenhuis gevestigd.

De aanleiding voor het uitvoeren van het bodemonderzoek is de ontwikkeling van het gebied naar een gebied van woningen. Onderdeel van de ontwikkeling is de aanvraag van een Omgevingsvergunning, onderdeel Bouw. Het doel van het bodemonderzoek is het bepalen van de milieuhygiënische kwaliteit van de grond en het grondwater. Het doel van het asbest in bodemonderzoek is te bepalen of er asbest in de bodem aanwezig is.

Op basis van het bodemonderzoek zijn de volgende resultaten bekend geworden:

Resultaten historisch onderzoek en zintuiglijke waarnemingen

- Uit historisch onderzoek is gebleken dat er vijf ondergrondse tanks aanwezig zijn geweest op de locatie. Deze zijn in het jaar 1996 verwijderd. Ter plaatse van het ketelhuis is een minerale olie verontreiniging gesaneerd. Onder de bebouwing is nog een restverontreiniging aanwezig. Deze restverontreiniging kan pas onderzocht worden en verwijderd worden als het bestaande gebouw gesloopt is.
- Zintuiglijk is in de zandige bovengrond over de gehele locatie een lichte bijmenging aangetroffen van baksteen en puin. Hierbij is geen onderscheid te maken tussen de bovengrond van de voormalige bebouwing en het gebied dat niet bebouwd is geweest. Plaatselijk wordt een lichte bijmenging aangetroffen van kolengruis.
- Tijdens het veldwerk is ter plaatse van de voormalige ondergrondse tanks zintuiglijk geen minerale olie aangetroffen.
- Ter plaatse van de voormalige bebouwing is geen asbest verdacht materiaal aangetroffen. Op het maaiveld is een streng kit aangetroffen. Deze is verpakt en afgevoerd.
- Ter plaatse van de ingang aan de Van Calcarstraat (zuidelijk van de voormalige polikliniek dermatologie) is een afdak bevestigd welke bestaat uit asbestgolfplaat. Vanwege de afwezigheid van een onderliggende verharding en dakgoot is aanvullend een druppellijnonderzoek uitgevoerd.
- Plaatselijk (boring 116 en 145) is op een diepte van 0,5 a 0,7 m–mv gestuit op een massieve laag.

Resultaten NEN 5740 onderzoek

- Bovengrond: in de zintuiglijk licht tot plaatselijk matig puinhoudende bovengrond wordt een lichte verhoging ten opzichte van de achtergrondwaarde aangetroffen voor minerale olie,



kwik, lood, koper, PCB en PAK. In de zintuiglijk schone bovengrond mengmonsters worden geen verhogingen aangetroffen ten opzichte van de achtergrondwaarde. De bovengrond (0,0–0,5 m–mv) wordt indicatief conform het Besluit bodemkwaliteit wisselend ingedeeld als klasse AW tot Industrie.

- Resultaten ondergrond: in de sporen- tot zwak puinhoudende ondergrond wordt een lichte verhoging ten opzichte van de achtergrondwaarde aangetroffen voor koper, kwik, lood en zink. In de zintuiglijk schone ondergrond worden geen verhogingen aangetroffen. De ondergrond (0,5–2,0 m–mv) wordt indicatief conform het Besluit bodemkwaliteit wisselend ingedeeld als klasse AW tot Industrie.
- Resultaten grondwater: In het grondwater wordt analytisch, behalve een plaatselijk licht verhoogd gehalte voor barium, geen overschrijdingen aangetroffen ten opzichte van de streefwaarde. Het licht verhoogde gehalte aan barium kan gezien worden als een natuurlijk verhoogde achtergrondconcentratie.

Resultaten NEN 5707 onderzoek

- Zintuiglijk en analytisch is geen asbest in de bodem aangetroffen.
- Ter plaatse van de druppellijn onder het afdak is in de toplaag zintuiglijk en analytisch geen asbest aangetroffen.

Op basis van de resultaten zijn er milieuhygiënisch gezien geen bezwaren voor het afgeven van een Omgevingsvergunning bouw. De resultaten zijn gelijkwaardig aan de uitkomsten van het onderzoek uit 2006. De gehalten geven geen aanleiding tot nader onderzoek. De bodem is geschikt voor de beoogde woonbestemming.

De zandige boven- en ondergrond wordt, afhankelijk van de mate van puinbijmenging, indicatief conform Besluit bodemkwaliteit ingedeeld als klasse AW en Industrie. De zandige ondergrond is overwegend ingedeeld als klasse AW en Wonen. De toepassingseis van grond voor de locatie is minimaal klasse Wonen. De grond met klasse AW of Industrie kan worden herschikt binnen de locatiegrenzen.

Vrijkomende grond welke ingedeeld is als klasse AW kan zonder meer elders buiten de locatie conform de bodemkwaliteitskaart worden hergebruikt. De puinhoudende bovengrond is deels ingedeeld als klasse Industrie. Bij hergebruik van deze grond elders buiten de locatie kan deze niet worden toegepast waar een betere bodemkwaliteit geldt.



6. Aansprakelijkheid

Infrasoil streeft bij elk bodemonderzoek naar een optimale representativiteit. Een milieukundig bodemonderzoek is echter gebaseerd op informatie van derden en het verrichten van een beperkt aantal grondboringen.

Het chemisch analytisch onderzoek is beperkt tot het analyseren van enkele grond(meng)monsters en grondwatermonsters. Hierdoor blijft het mogelijk dat informatie niet verkregen is met betrekking tot plaatselijke afwijkingen in samenstelling van grond en/of grondwater.

Infrasoil bv, Ingenieursbureau voor Infrastructuur en Milieu, acht zich niet aansprakelijk voor hieruit voortvloeiende schade of gevolgen van welke aard dan ook.

BIJLAGEN

BIJLAGE 01

REGIONALE LIGGING



PROJECT

Geertruidentuin te Deventer

OPDRACHTGEVER

Synchroon B.V.

OMSCHRIJVING

Regionale ligging

PROJECTNUMMER

01.18.1763

GETEKEND DOOR

KvV

DOCUMENTNUMMER

01

GECONTROLEERD DOOR

BvE

STATUS

DEFINITIEF

CONCEPT D.D. 22-05-2018

DEFINITIEF D.D. 08-06-2018

SCHAAL 1:10000

FORMAAT A4

Ravelijn 7
3905 NT VEENENDAAL
Postbus 409
3900 AK VEENENDAAL

T: 0318 - 611810
F: 0318 - 612147
E: info@infrasoil.nl
I: www.infrasoil.nl

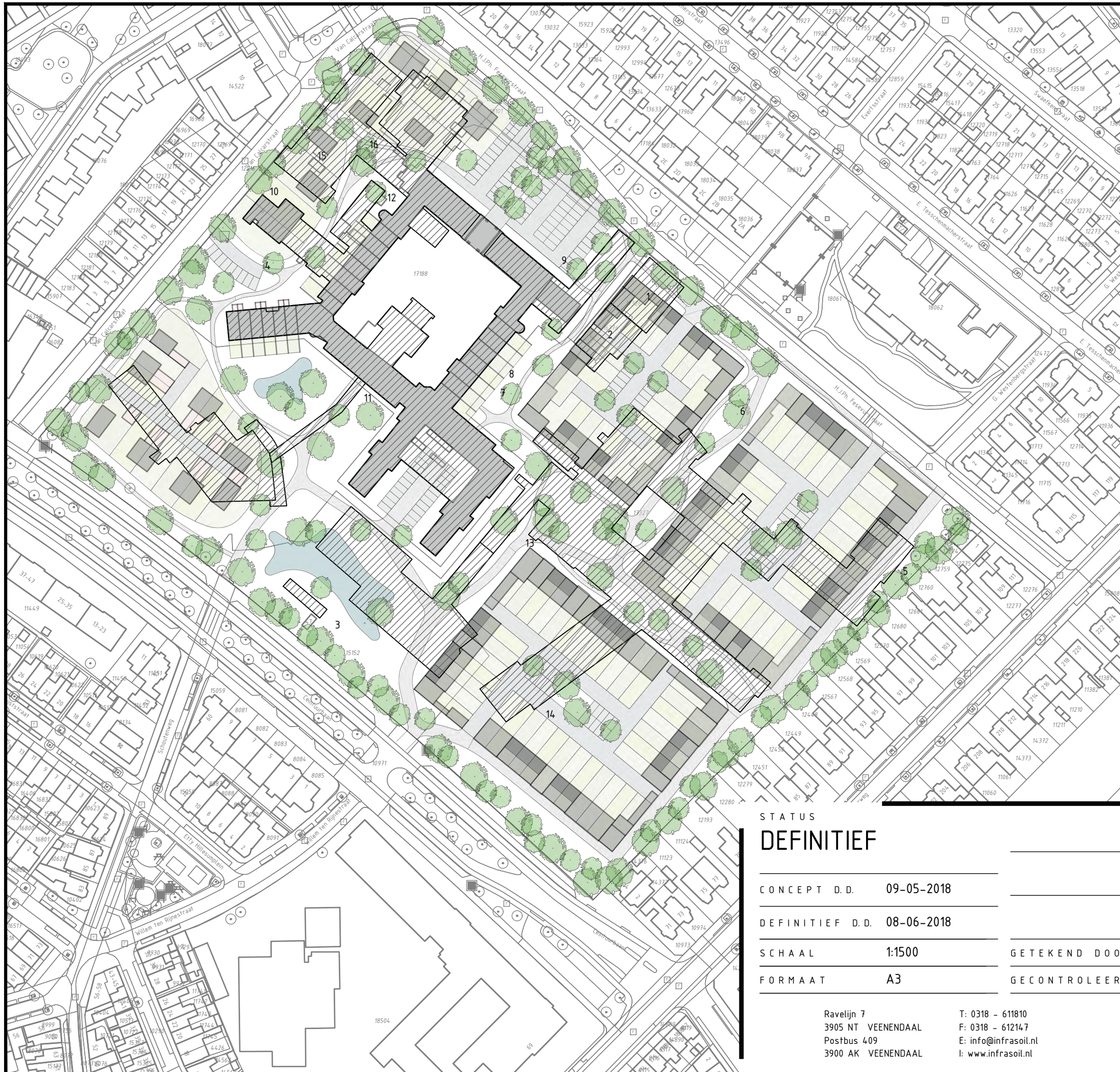


INFRA SOIL
Praktische ingenieurs & regisseurs


0 100 200 300 400 500 meter

BIJLAGE 02

TERREINSITUATIE EN MONSTERPUNTEN



LEGENDA

 Bebouwing oude situatie

1. Tanks van het huidige ketelhuis
2. Tank voor bedrijfsbureau T.D.
3. Tank van de huidige apotheek
4. Tank van de oude apotheek
5. Oude mortuarium en ontsmettingsoven
6. Barak voor besmettelijke ziekten
7. Voormalige opslag van chemisch-afval
8. Binnenplaats T.D.
9. Voorzijde SMCD
10. Polikliniek dermatologie
11. Gang naar leerlingenflat
12. Binnenplaats kinderdagverblijf
13. Vuilwaterkelder
14. Revalidatie dagcentrum
15. Radiotherapeutisch instituut
16. Polikliniek

STATUS DEFINITIEF

CONCEPT D.D. 09-05-2018

DEFINITIEF D.D. 08-06-2018

SCHAAL 1:1500

FORMAAT A3

Ravelijn 7
3905 NT VEENENDAAL
Postbus 409
3900 AK VEENENDAAL

T: 0318 - 611810
F: 0318 - 612147
E: info@infrasoil.nl
I: www.infrasoil.nl

PROJECT Geertruidentuin te Deventer

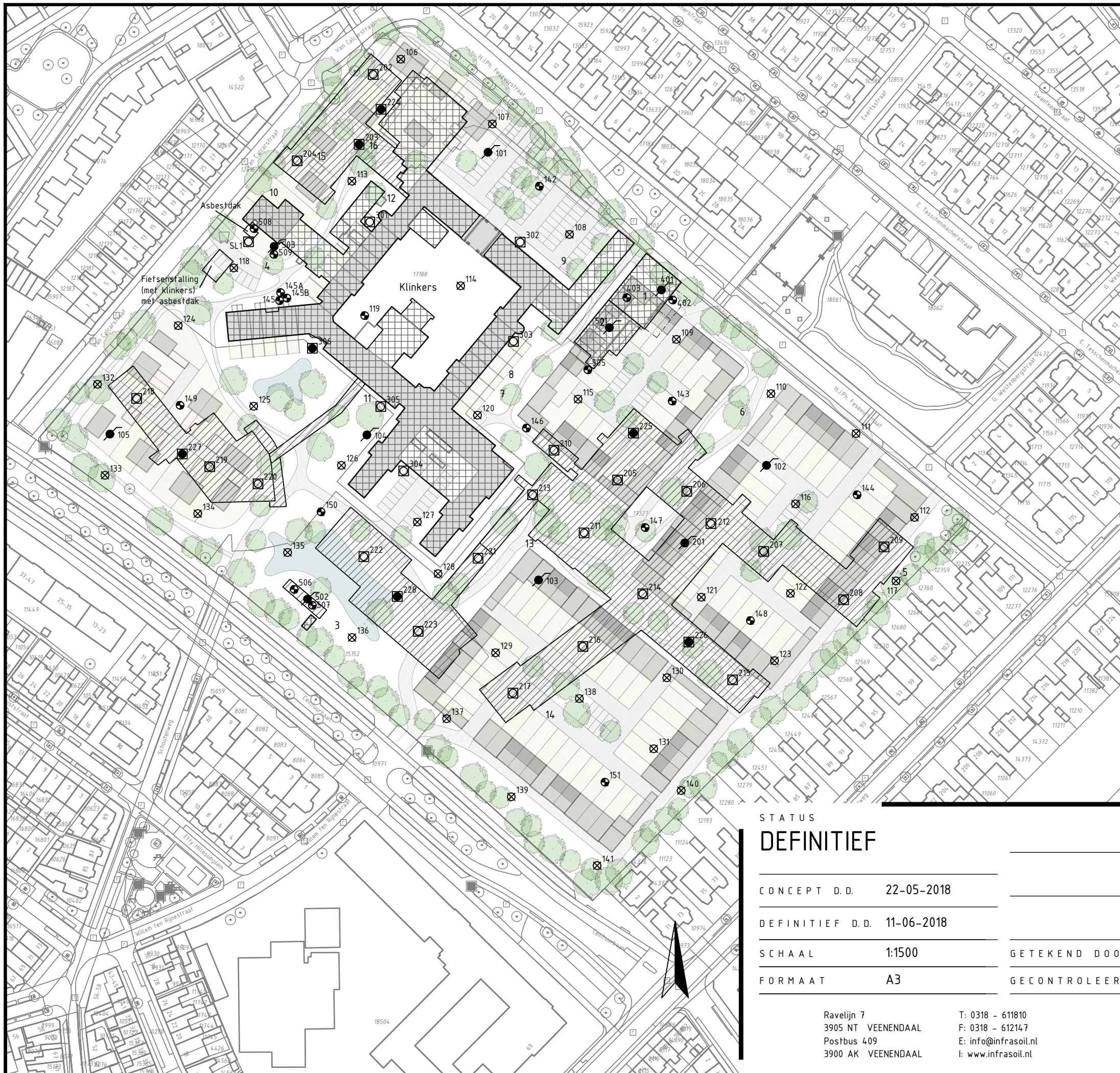
OPDRACHTGEVER
Synchroon B.V.

OMSCHRIJVING
Oude en nieuwe situatie

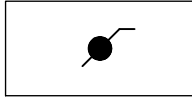
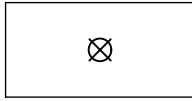
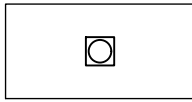
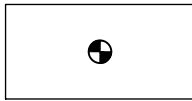
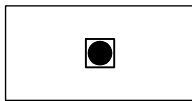
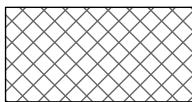
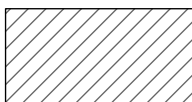
GETEKEND DOOR KvV PROJECTNUMMER 01.18.1763

GECONTROLEERD DOOR BVe DOCUMENTNUMMER 05





LEGENDA

-  Peilbuis
nr. 101 t/m 105 en 401
nr. 201 en 501 t/m 503 (gecombineerd)
-  Boringen
0,5 m-mv
nr. 106 t/m 118 en 120 t/m 141
-  Gat
0,5 m-mv
nr. 202, 204 t/m 223, 301 t/m 305 en SL1
-  Boringen
2,0 m-mv
nr. 142 t/m 150, 402, 403 en 504 t/m 509
-  Gat doorgeboord met handboring
2,0 m-mv
nr. 203, 224 t/m 228 en 305
-  Bestaande bebouwing
7.450 m²
-  Bebouwing oude situatie
12.115 m²

- Voormalige functie van bebouwing**
1. Tanks van het huidige ketelhuis
 2. Tank voor bedrijfsbureau T.D.
 3. Tank van de huidige apotheek
 4. Tank van de oude apotheek
 5. Oude mortuarium en ontsmettingsoven
 6. Barak voor besmettelijke ziekten
 7. Voormalige opslag van chemisch-afval
 8. Binnenplaats T.D.
 9. Voorzijde SMCD
 10. Polikliniek dermatologie
 11. Gang naar leerlingenflat
 12. Binnenplaats kinderdagverblijf
 13. Vuilwaterkelder
 14. Revalidatie dagcentrum
 15. Radiotherapeutisch instituut
 16. Polikliniek

STATUS DEFINITIEF

CONCEPT D.D. 22-05-2018

DEFINITIEF D.D. 11-06-2018

SCHAAL 1:1500

FORMAAT A3

PROJECT
Geertruidentuin te Deventer

OPDRACHTGEVER
Synchroon B.V.

OMSCHRIJVING
Tekening met monsternemingslocaties

GETEKEND DOOR KvV

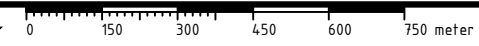
GECONTROLEERD DOOR BVe

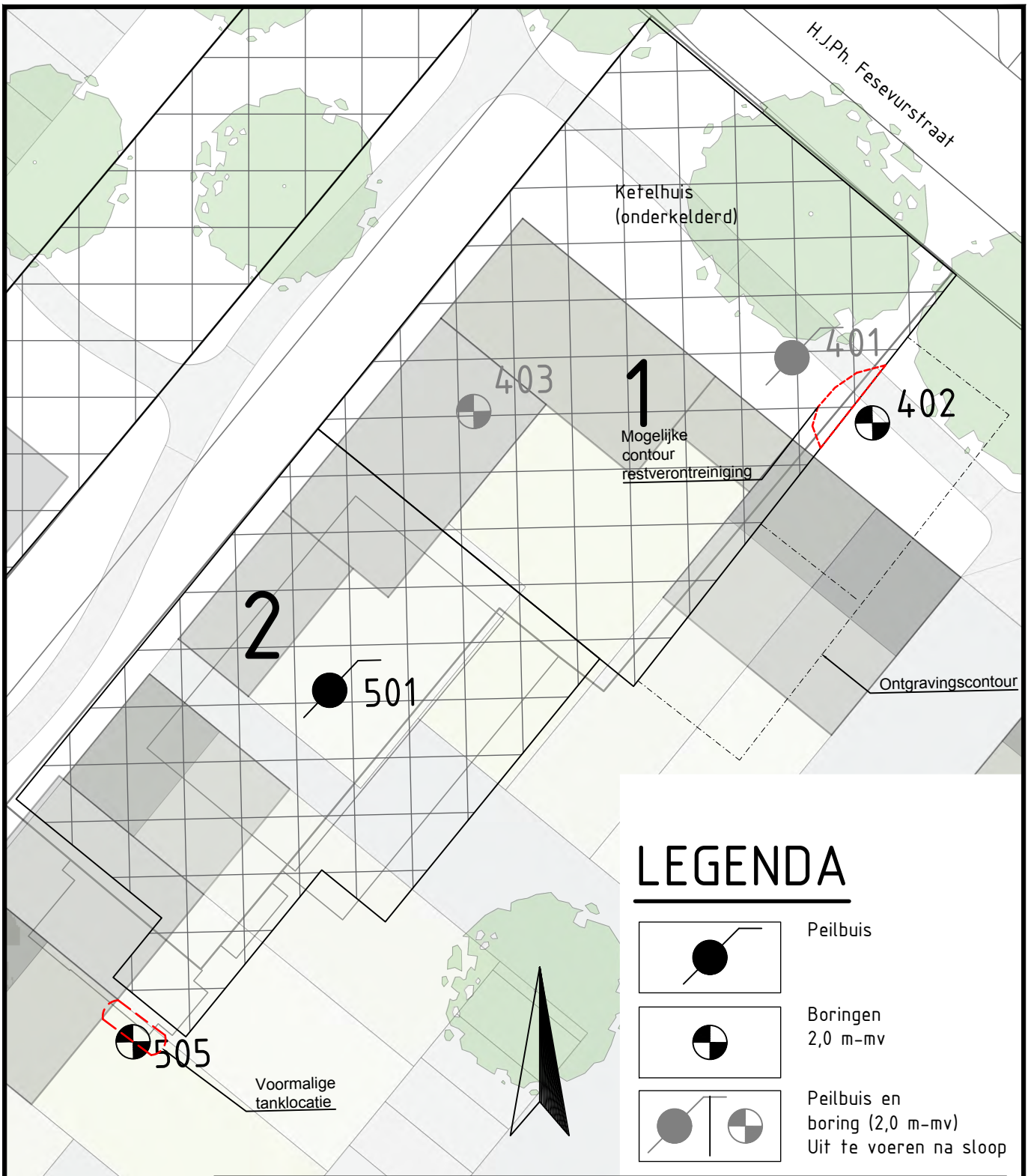
PROJECTNUMMER 01.18.1763

DOCUMENTNUMMER 02

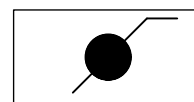
Ravelijn 7
3905 NT VEENENDAAL
Postbus 409
3900 AK VEENENDAAL

T: 0318 - 611810
F: 0318 - 612147
E: info@infrasoil.nl
I: www.infrasoil.nl

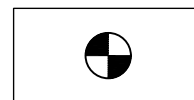




LEGENDA



Peilbuis



Boringen
2,0 m-mv



Peilbuis en
boring (2,0 m-mv)
Uit te voeren na sloop

PROJECT

Geertruidentuin te Deventer

OPDRACHTGEVER

Synchroon B.V.

OMSCHRIJVING

Tekening met monsternamelocaties

PROJECTNUMMER

01.18.1763

GETEKEND DOOR

KvV

DOCUMENTNUMMER

02-1

GECONTROLEERD DOOR

BVe

STATUS

DEFINITIEF

CONCEPT D.D.

22-05-2018

DEFINITIEF D.D.

08-06-2018

SCHAAL

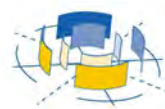
1:250

FORMAAT

A4

Ravelijn 7
3905 NT VEENENDAAL
Postbus 409
3900 AK VEENENDAAL

T: 0318 - 611810
F: 0318 - 612147
E: info@infrasoil.nl
I: www.infrasoil.nl



INFRA SOIL
Praktische ingenieurs & regisseurs

0 2,5 5,0 7,5 10,0 12,5 meter

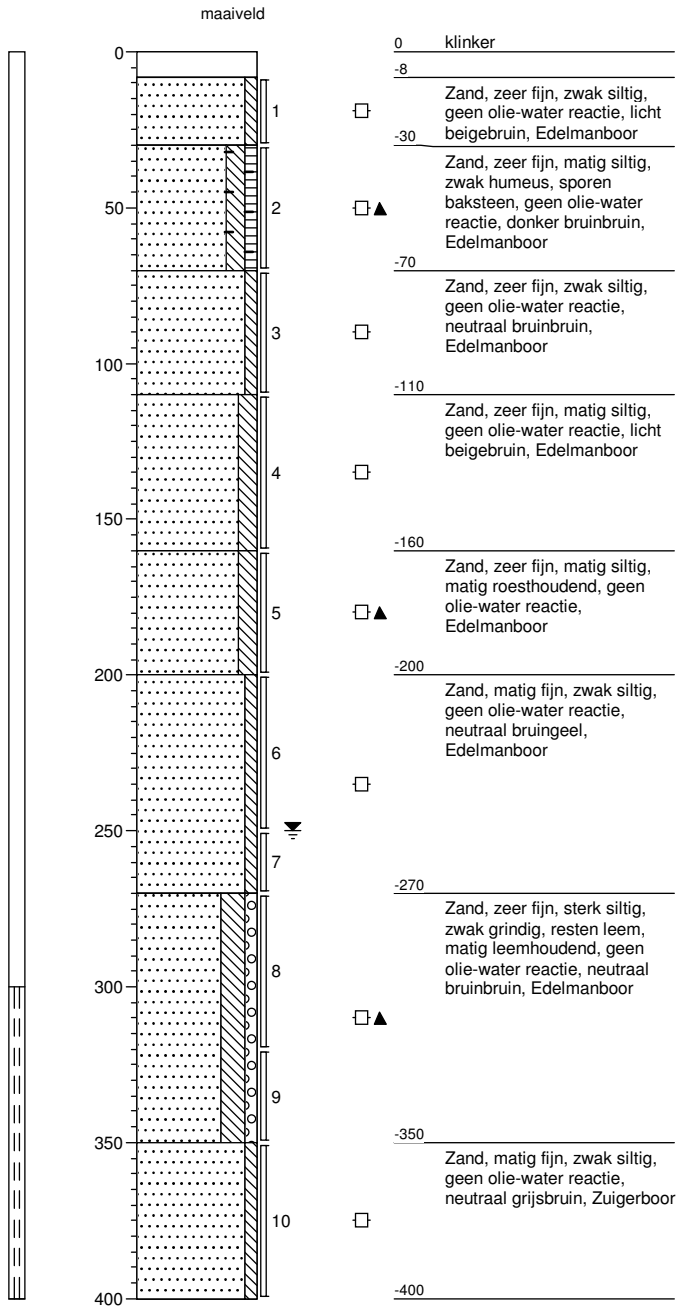
BIJLAGE 03

BOORPROFIELEN

Boorbeschrijving:

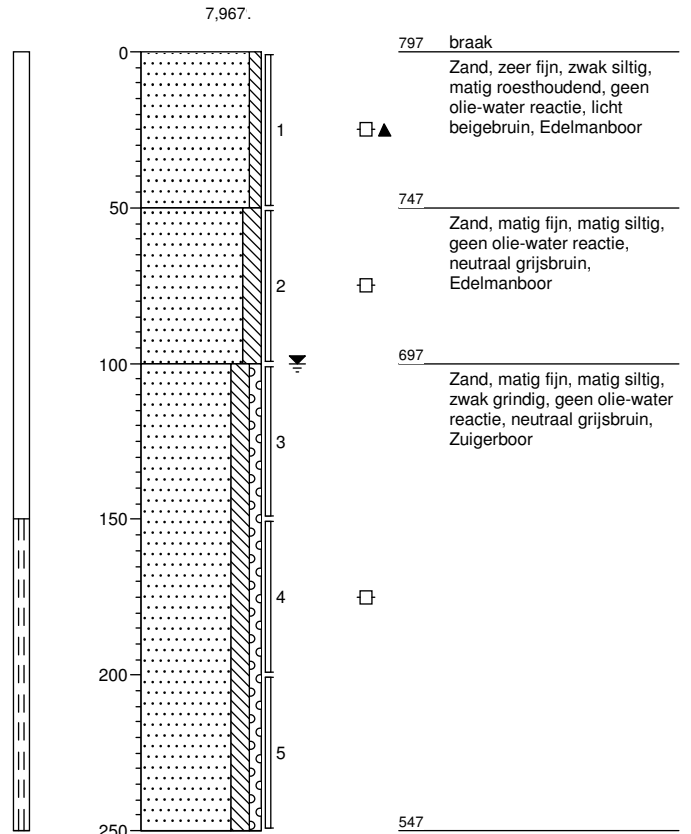
Boring: 101

Datum: 23-05-2018
GWS: 250



Boring: 102

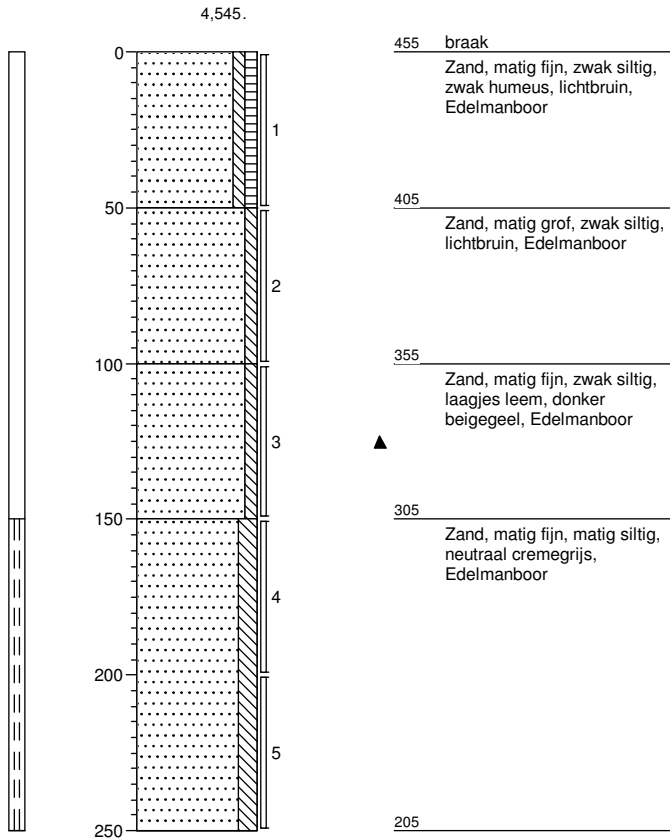
X: 208446.82
Y: 475166.86
Datum: 24-05-2018
GWS: 100



Boorbeschrijving:

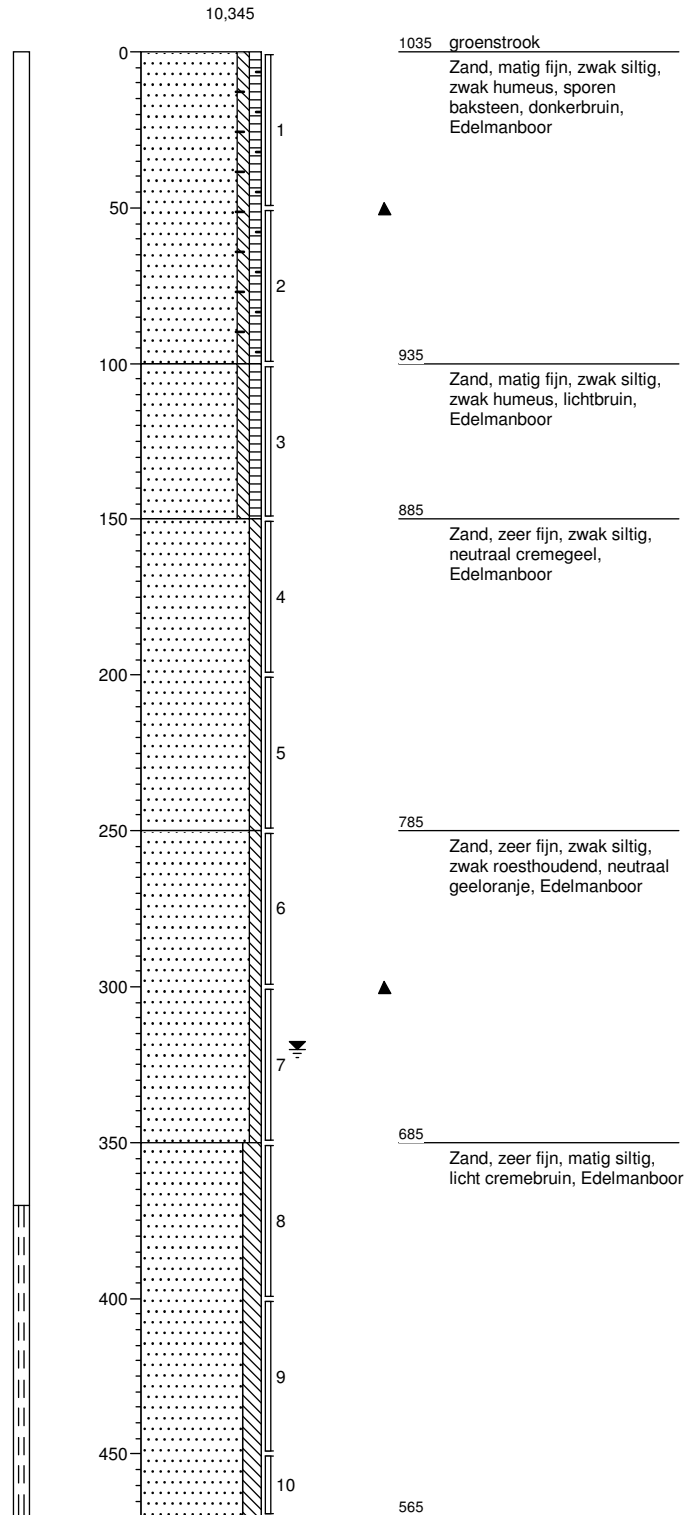
Boring: 103

X: 208358,30
 Y: 475122,39
 Datum: 25-05-2018



Boring: 104

X: 208291,17
 Y: 475179,22
 Datum: 25-05-2018
 GWS: 320



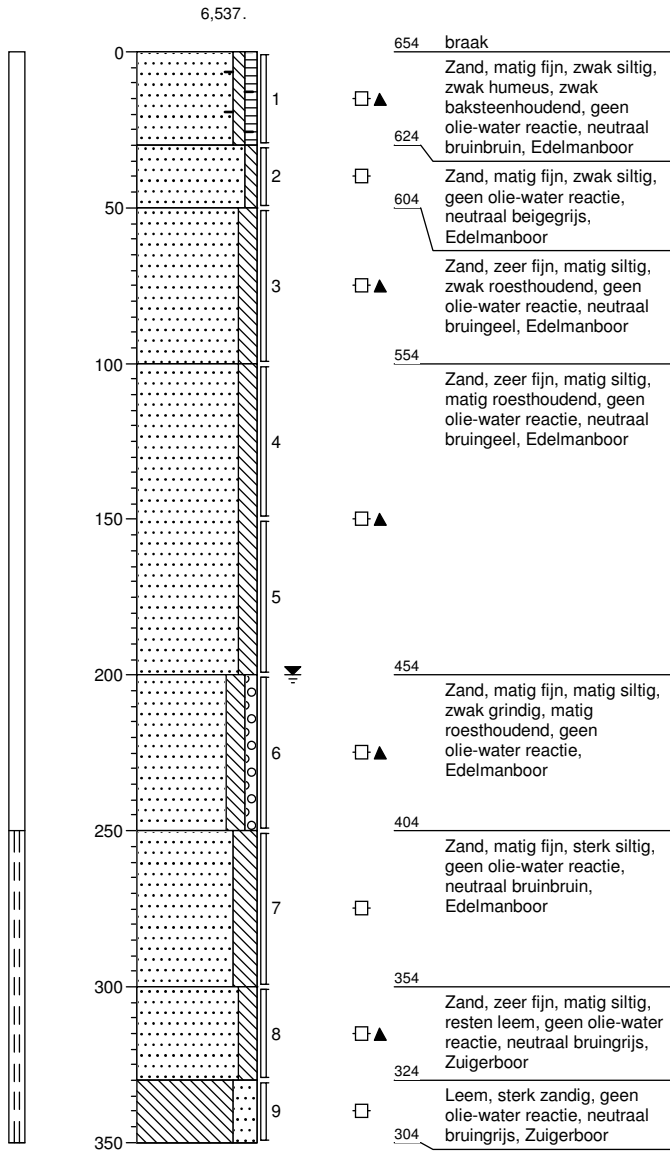
Projectnaam: Geertruidentuin te Deventer

Projectcode: 01.18.1763

Boorbeschrijving:

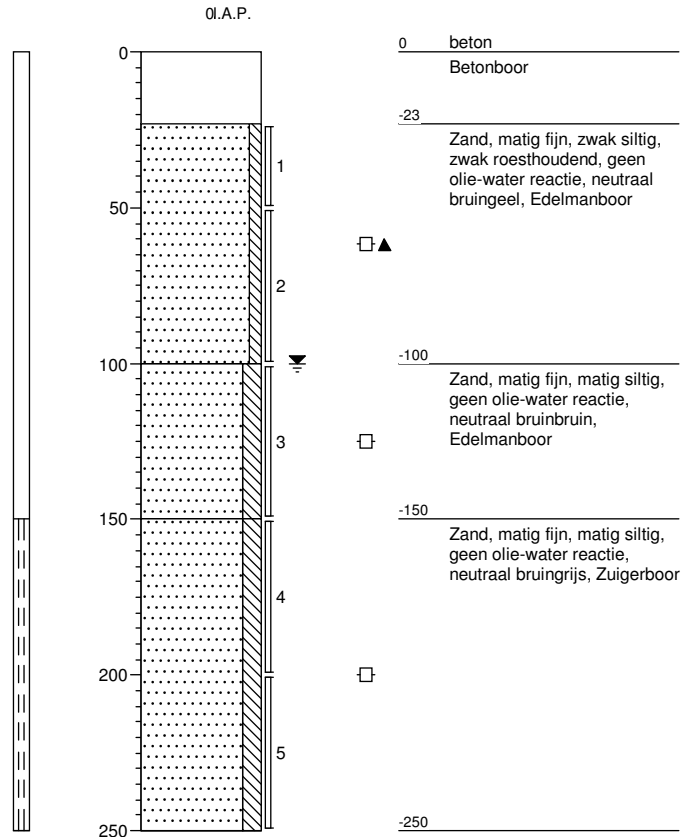
Boring: 105

X: 208191,86
 Y: 475178,98
 Datum: 25-05-2018
 GWS: 200



Boring: 501

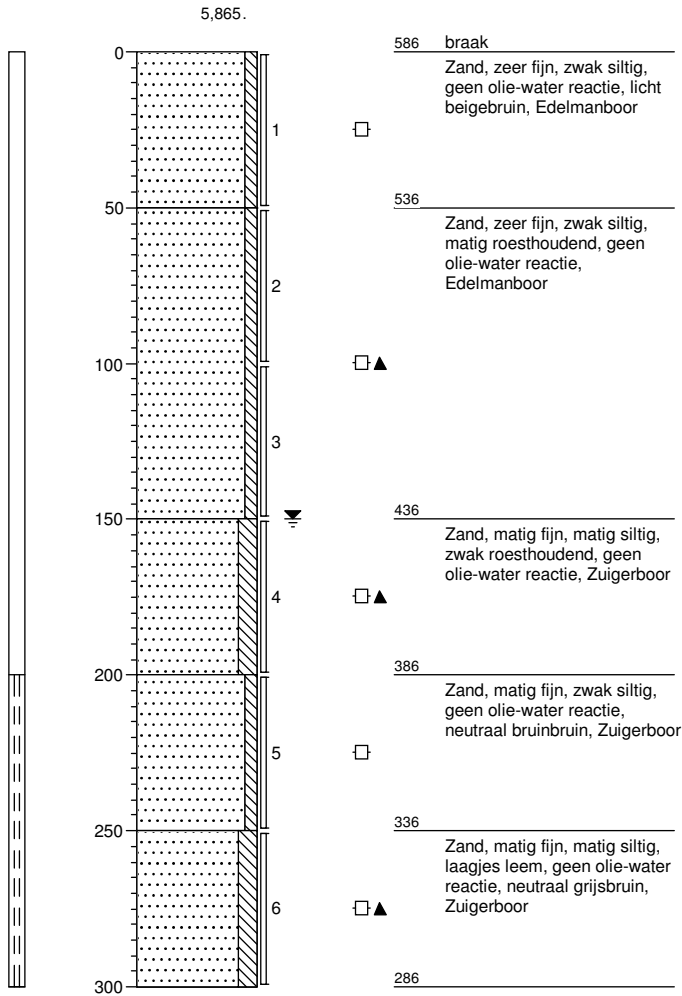
X: 208386,27
 Y: 475218,81
 Datum: 24-05-2018
 GWS: 100



Boorbeschrijving:

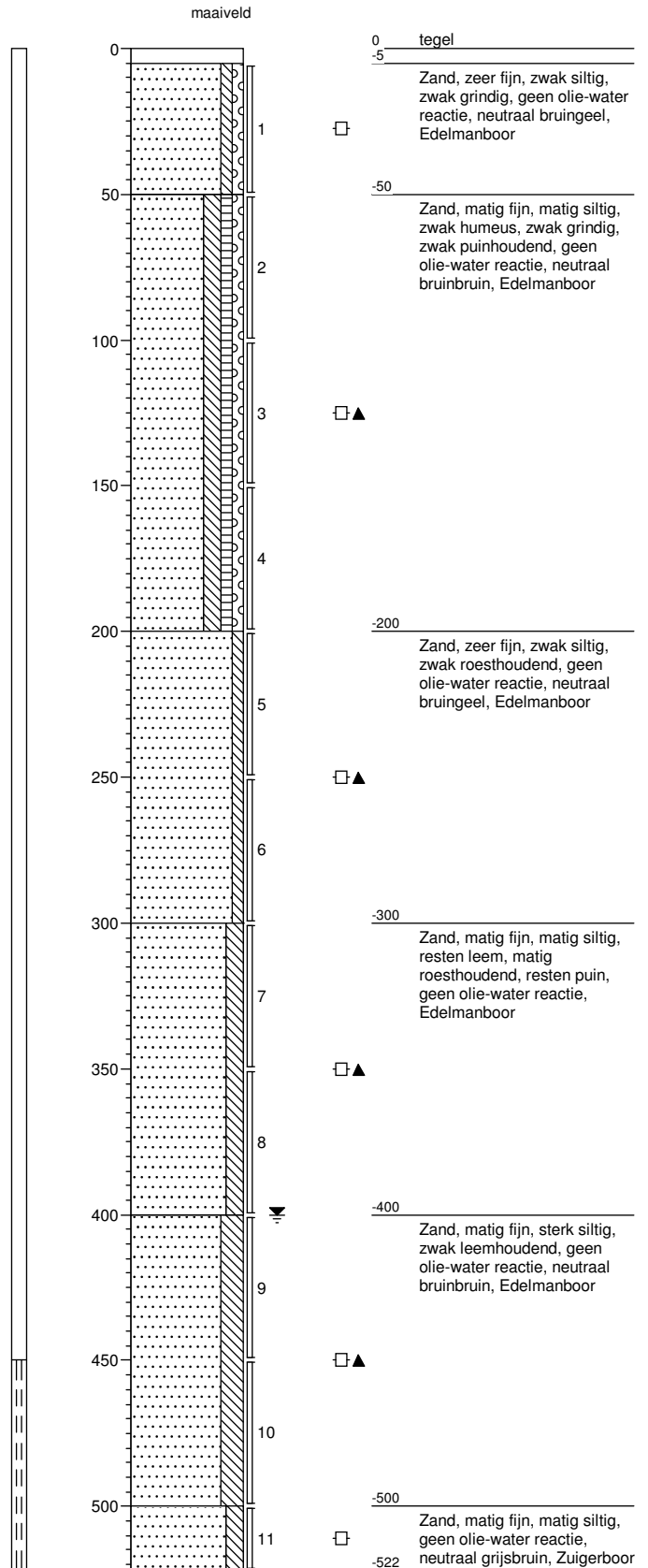
Boring: 502

X: 208268,57
 Y: 475114,99
 Datum: 25-05-2018
 GWS: 150



Boring: 503 - 1

Datum: 23-05-2018
 GWS: 400



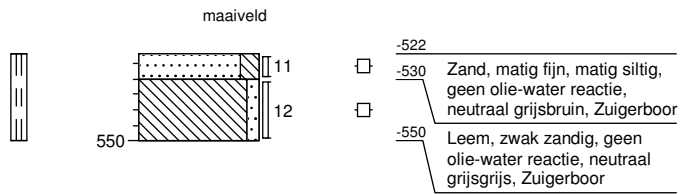
Projectnaam: Geertruidentuin te Deventer

Projectcode: 01.18.1763

Boorbeschrijving:

Boring: 503 - 2

Datum: 23-05-2018
GWS: 400



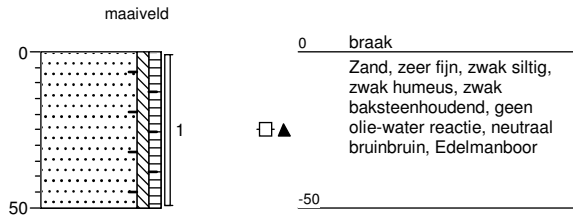
Projectnaam: Geertruidentuin te Deventer

Projectcode: 01.18.1763

Boorbeschrijving:

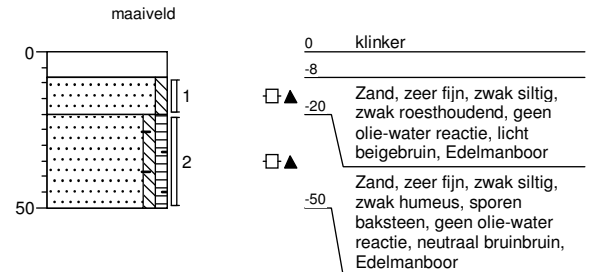
Boring: 106

Datum: 23-05-2018



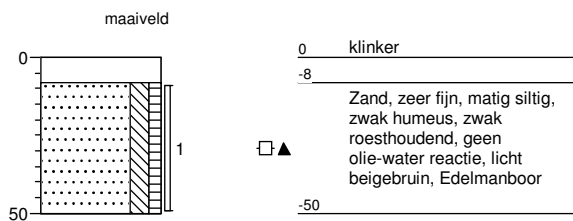
Boring: 107

Datum: 23-05-2018



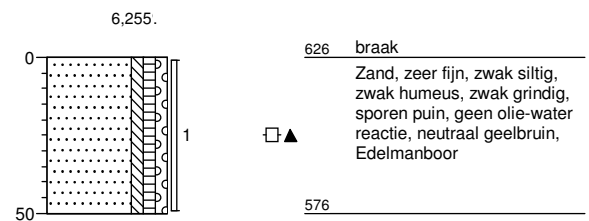
Boring: 108

Datum: 23-05-2018



Boring: 109

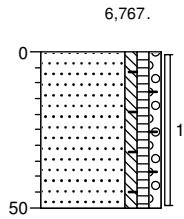
X: 208412,99
Y: 475213,93
Datum: 24-05-2018



Boorbeschrijving:

Boring: 110

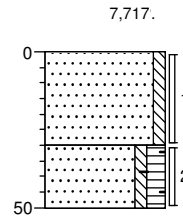
X: 208448,47
 Y: 475194,62
 Datum: 24-05-2018



677 braak
 Zand, matig fijn, zwak siltig, zwak humeus, zwak grindig, zwak baksteenhoudend, resten aardewerk, geen olie-water reactie, neutraal bruinbruin, Edelmanboor
 627

Boring: 111

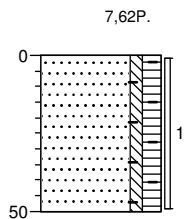
X: 208481,60
 Y: 475179,10
 Datum: 24-05-2018



772 braak
 Zand, zeer fijn, zwak siltig, sporen roest, geen olie-water reactie, licht beigebruin, Edelmanboor
 742
 Zand, zeer fijn, zwak siltig, matig humeus, sporen baksteen, geen olie-water reactie, donker bruinbruin, Edelmanboor
 722

Boring: 112

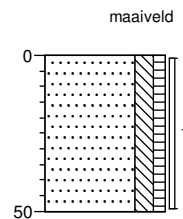
X: 208504,34
 Y: 475146,66
 Datum: 24-05-2018



762 braak
 Zand, zeer fijn, zwak siltig, matig humeus, zwak baksteenhoudend, geen olie-water reactie, donker bruinbruin, Edelmanboor
 712

Boring: 113

Datum: 23-05-2018

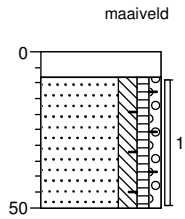


0 braak
 Zand, zeer fijn, matig siltig, zwak humeus, geen olie-water reactie, neutraal bruinbruin, Edelmanboor
 -50

Boorbeschrijving:

Boring: 114

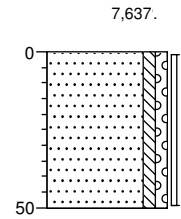
Datum: 23-05-2018



0 klinker
-8
Zand, zeer fijn, matig siltig, zwak humeus, zwak grindig, zwak roesthoudend, sporen baksteen, geen olie-water reactie, licht beigebruin, Edelmanboor
-50

Boring: 115

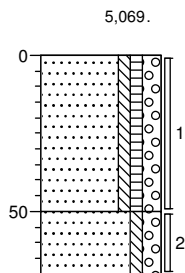
X: 208372,04
Y: 475195,99
Datum: 24-05-2018



764 braak
Zand, zeer fijn, zwak siltig, zwak grindig, sporen roest, geen olie-water reactie, licht beigebruin, Edelmanboor
714

Boring: 116

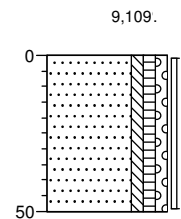
X: 208458,11
Y: 475151,92
Datum: 25-05-2018



507 braak
Zand, zeer fijn, zwak siltig, zwak humeus, matig grindig, matig puinhoudend, geen olie-water reactie, neutraal grijsbruin, Edelmanboor
457
Zand, matig fijn, zwak siltig, matig grindig, matig puinhoudend, geen olie-water reactie, neutraal grijsgrijs, Edelmanboor, EB IVM MASSIEVE LAAG
437

Boring: 117

X: 208496,90
Y: 475122,31
Datum: 24-05-2018

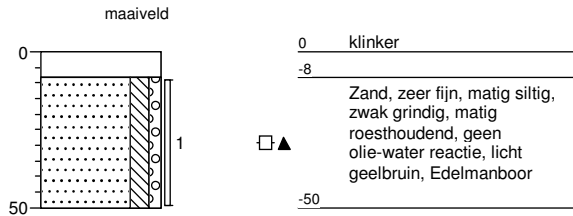


911 braak
Zand, matig fijn, zwak siltig, zwak humeus, zwak grindig, zwak puinhoudend, geen olie-water reactie, neutraal bruinbruin, Edelmanboor
861

Boorbeschrijving:

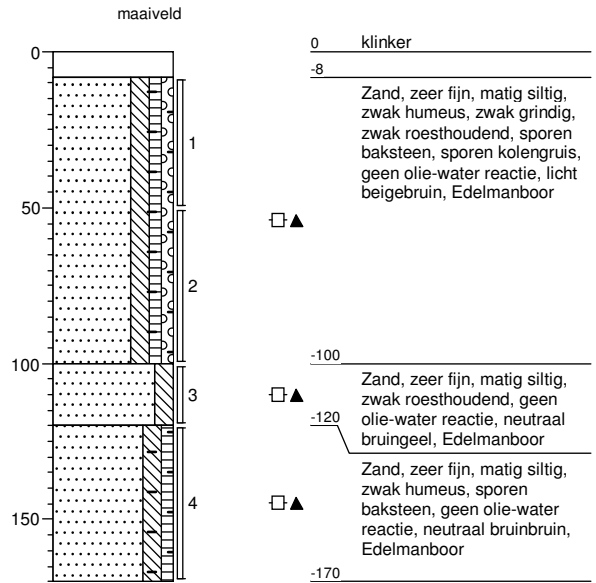
Boring: 118

Datum: 23-05-2018



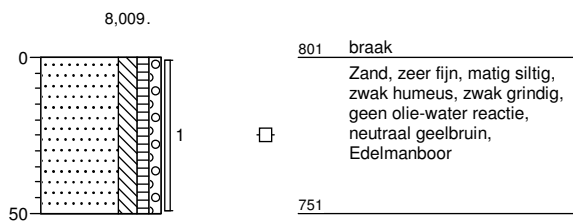
Boring: 119

Datum: 23-05-2018



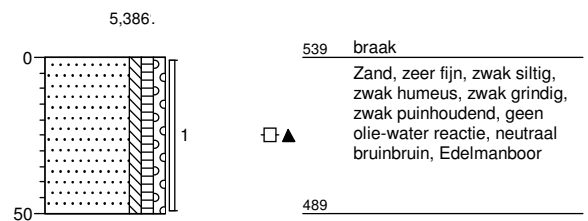
Boring: 120

X: 208330,70
Y: 475184,98
Datum: 24-05-2018



Boring: 121

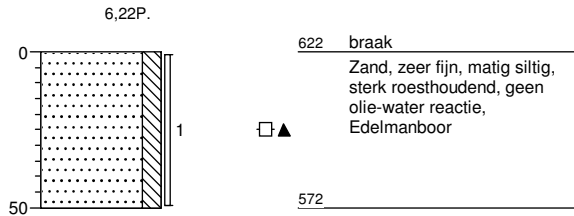
X: 208421,45
Y: 475115,65
Datum: 25-05-2018



Boorbeschrijving:

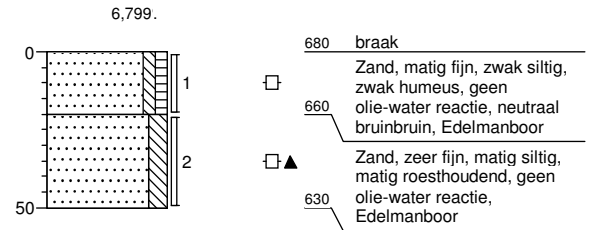
Boring: 122

X: 208456,11
 Y: 475117,04
 Datum: 24-05-2018



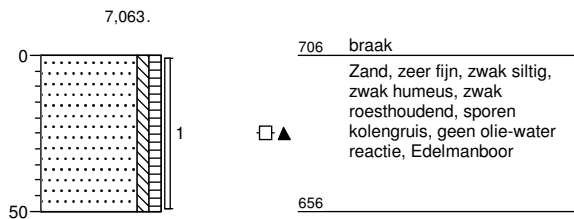
Boring: 123

X: 208449,90
 Y: 475091,01
 Datum: 24-05-2018



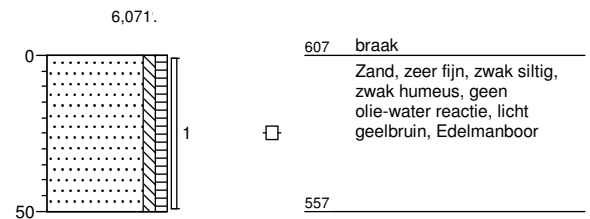
Boring: 124

X: 208215,14
 Y: 475213,80
 Datum: 25-05-2018



Boring: 125

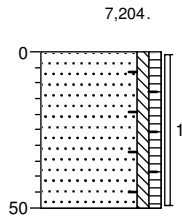
X: 208247,67
 Y: 475189,79
 Datum: 25-05-2018



Boorbeschrijving:

Boring: 126

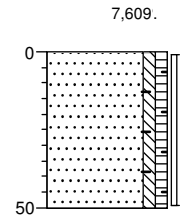
X: 208281,71
Y: 475166,86
Datum: 25-05-2018



720 groenstrook
Zand, matig fijn, zwak siltig,
zwak humeus, sporen
baksteen, donkerbruin,
Edelmanboor
▲
670

Boring: 127

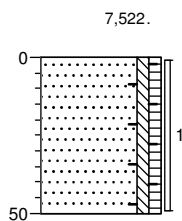
X: 208311,30
Y: 475144,82
Datum: 25-05-2018



761 groenstrook
Zand, matig fijn, zwak siltig,
zwak humeus, sporen
baksteen, donkerbruin,
Edelmanboor
▲
711

Boring: 128

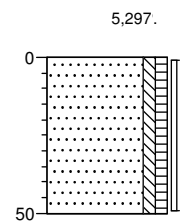
X: 208319,25
Y: 475124,75
Datum: 25-05-2018



752 braak
Zand, matig fijn, zwak siltig,
zwak humeus, sporen
baksteen, neutraalbruin,
Edelmanboor
▲
702

Boring: 129

X: 208341,58
Y: 475094,06
Datum: 25-05-2018

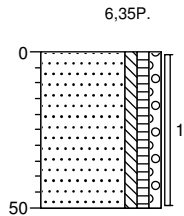


530 braak
Zand, matig fijn, zwak siltig,
zwak humeus, neutraal
geelbruin, Edelmanboor
▲
480

Boorbeschrijving:

Boring: 130

X: 208408,10
Y: 475084,35
Datum: 25-05-2018

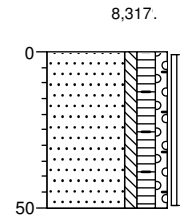


635 braak
Zand, matig fijn, zwak siltig,
zwak humeus, zwak grindig,
geen olie-water reactie,
neutraal bruinbruin,
Edelmanboor

585

Boring: 131

X: 208403,03
Y: 475056,84
Datum: 25-05-2018

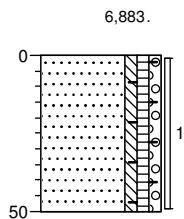


832 braak
Zand, matig fijn, zwak siltig,
matig humeus, zwak grindig,
sporen baksteen, geen
olie-water reactie, donker
bruinbruin, Edelmanboor

782

Boring: 132

X: 208187,20
Y: 475198,14
Datum: 25-05-2018

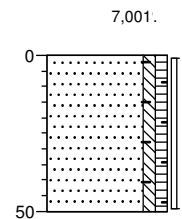


688 braak
Zand, matig fijn, zwak siltig,
zwak humeus, zwak grindig,
zwak baksteenhoudend, geen
olie-water reactie, neutraal
bruinbruin, Edelmanboor

638

Boring: 133

X: 208189,96
Y: 475162,96
Datum: 25-05-2018



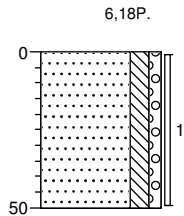
700 braak
Zand, matig fijn, zwak siltig,
zwak humeus, zwak
baksteenhoudend, geen
olie-water reactie, neutraal
bruinbruin, Edelmanboor

650

Boorbeschrijving:

Boring: 134

X: 208225,93
 Y: 475148,11
 Datum: 25-05-2018

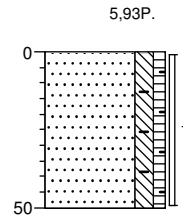


618 braak
 Zand, zeer fijn, matig siltig,
 zwak grindig, resten leem,
 geen olie-water reactie, licht
 grijsbruin, Edelmanboor

568

Boring: 135

X: 208260,83
 Y: 475133,10
 Datum: 25-05-2018

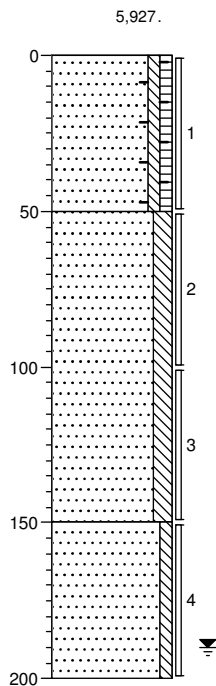


593 braak
 Zand, zeer fijn, matig siltig,
 zwak humeus, zwak
 baksteenhoudend, geen
 olie-water reactie, neutraal
 geelbruin, Edelmanboor

543

Boring: 136

X: 208285,82
 Y: 475100,09
 Datum: 25-05-2018
 GWS: 190



593 braak
 Zand, matig fijn, zwak siltig,
 zwak humeus, sporen
 baksteen, sporen
 zandcement, neutraal
 geelbruin, Edelmanboor

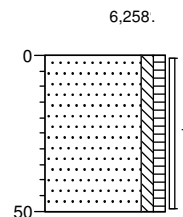
543
 Zand, zeer fijn, matig siltig,
 neutraal oranjegeel,
 Edelmanboor

443
 Zand, matig fijn, zwak siltig,
 neutraal cremegeel,
 Edelmanboor

393

Boring: 137

X: 208322,60
 Y: 475068,50
 Datum: 25-05-2018



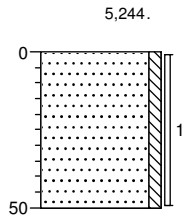
626 braak
 Zand, matig fijn, zwak siltig,
 zwak humeus, donkerbruin,
 Edelmanboor

576

Boorbeschrijving:

Boring: 138

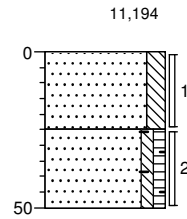
X: 208373,80
 Y: 475076,19
 Datum: 25-05-2018



524 braak
 Zand, zeer fijn, zwak siltig,
 zwak roesthoudend, geen
 olie-water reactie,
 Edelmanboor
 474

Boring: 139

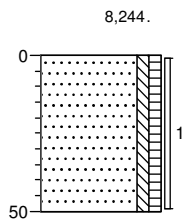
X: 208347,49
 Y: 475038,09
 Datum: 25-05-2018



1119 braak
 Zand, matig fijn, matig siltig,
 neutraal oranjegeel,
 Edelmanboor
 1094
 Zand, matig fijn, zwak siltig,
 zwak humeus, sporen
 baksteen, neutraalbruin,
 Edelmanboor
 1069

Boring: 140

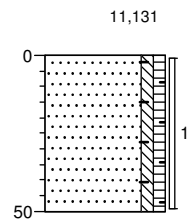
X: 208411,68
 Y: 475041,27
 Datum: 25-05-2018



824 braak
 Zand, matig fijn, zwak siltig,
 zwak humeus, neutraalbruin,
 Edelmanboor
 774

Boring: 141

X: 208381,36
 Y: 475012,16
 Datum: 25-05-2018

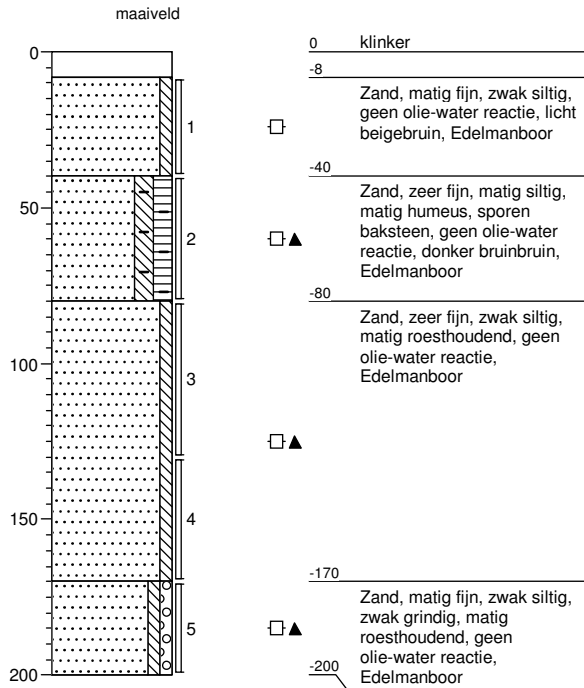


1113 braak
 Zand, matig fijn, zwak siltig,
 zwak humeus, sporen
 baksteen, neutraal bruingeel,
 Edelmanboor
 1063

Boorbeschrijving:

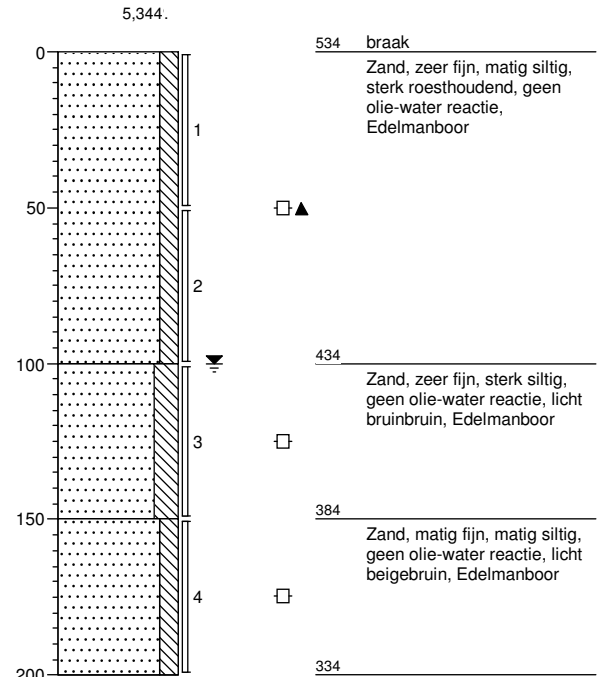
Boring: 142

Datum: 23-05-2018



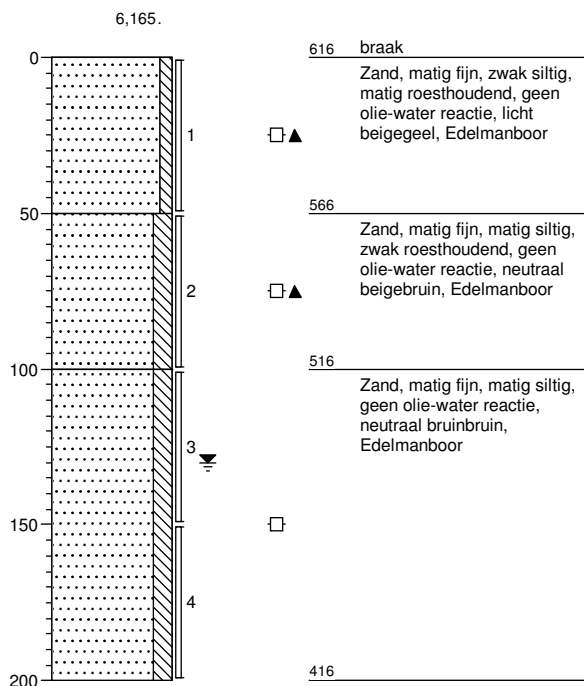
Boring: 143

X: 208410,30
Y: 475191,81
Datum: 24-05-2018
GWS: 100



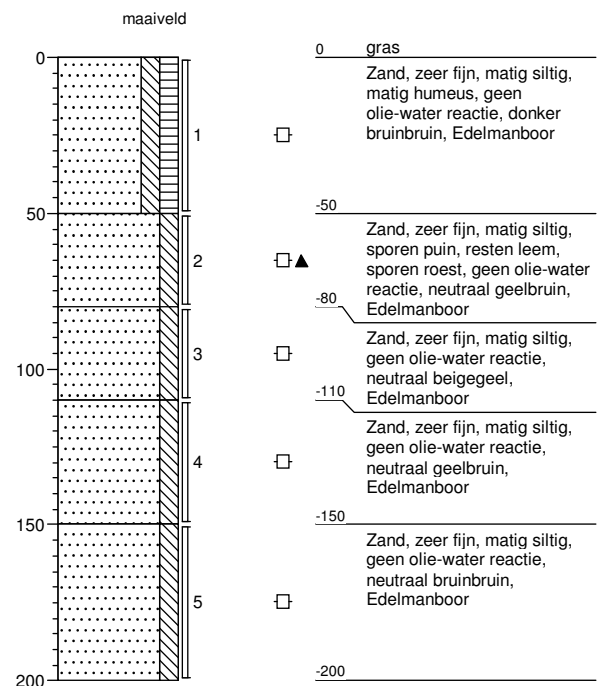
Boring: 144

X: 208482,01
Y: 475155,55
Datum: 25-05-2018
GWS: 130



Boring: 145

Datum: 23-05-2018



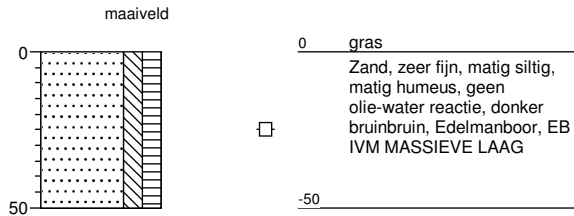
Projectnaam: Geertruidentuin te Deventer

Projectcode: 01.18.1763

Boorbeschrijving:

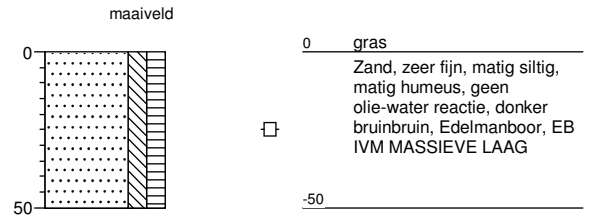
Boring: 145A

Datum: 23-05-2018



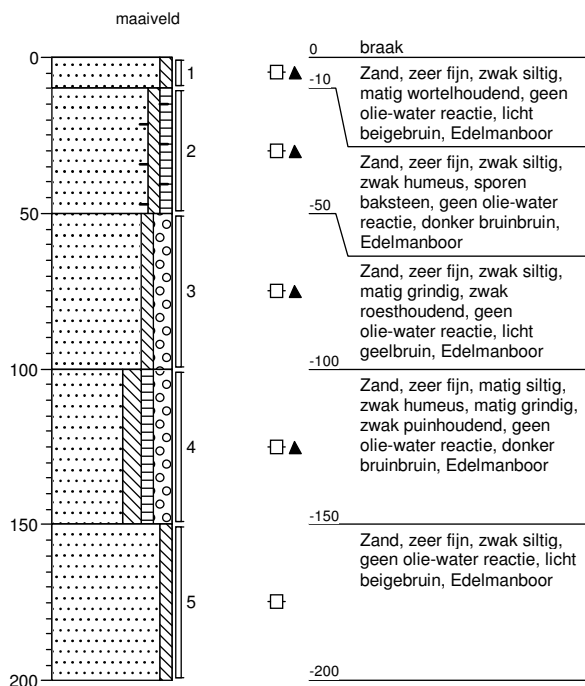
Boring: 145B

Datum: 23-05-2018



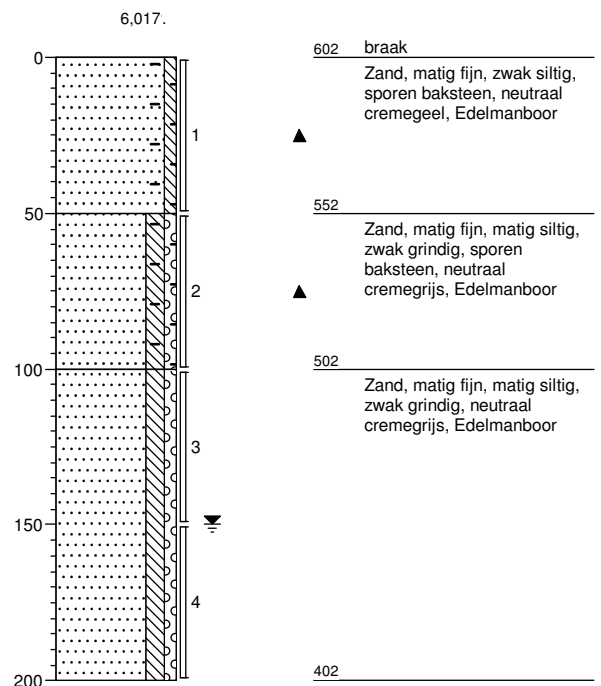
Boring: 146

Datum: 24-05-2018



Boring: 147

X: 208399,72
Y: 475142,68
Datum: 25-05-2018
GWS: 150



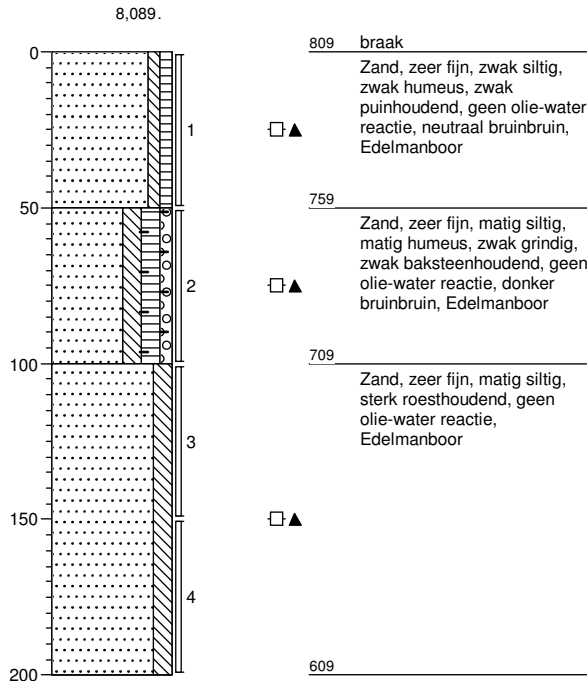
Projectnaam: Geertruidentuin te Deventer

Projectcode: 01.18.1763

Boorbeschrijving:

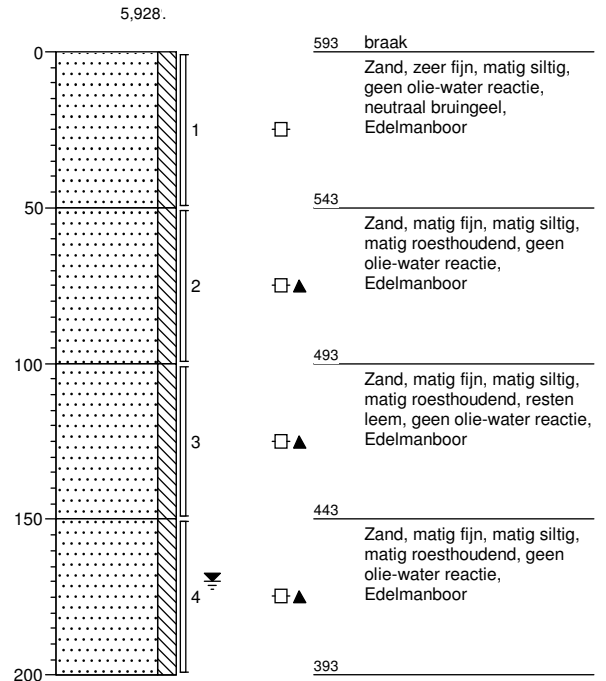
Boring: 148

X: 208440,58
 Y: 475106,65
 Datum: 24-05-2018



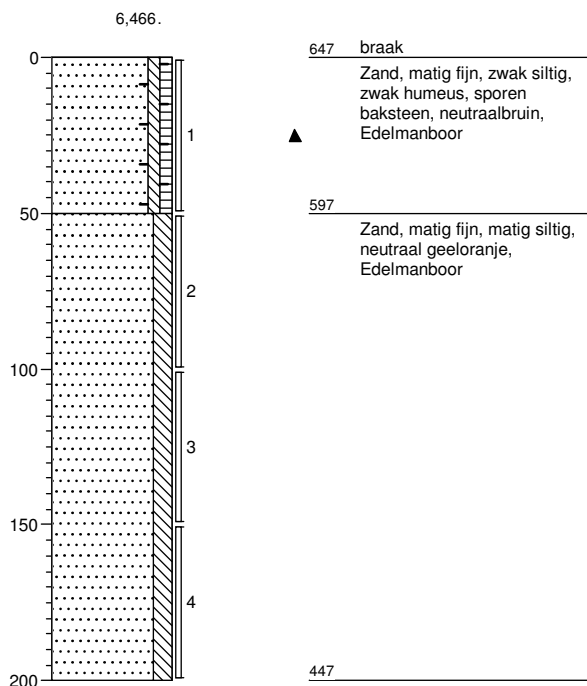
Boring: 149

X: 208219,10
 Y: 475190,19
 Datum: 25-05-2018
 GWS: 170



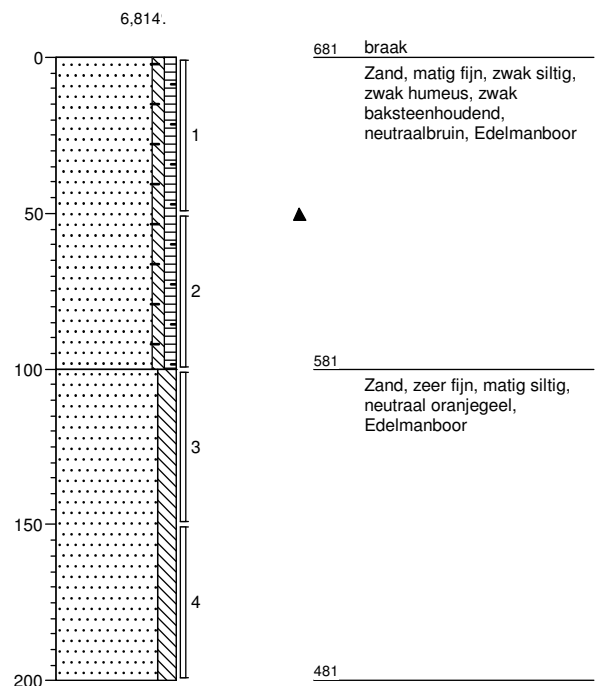
Boring: 150

X: 208273,82
 Y: 475149,83
 Datum: 25-05-2018



Boring: 151

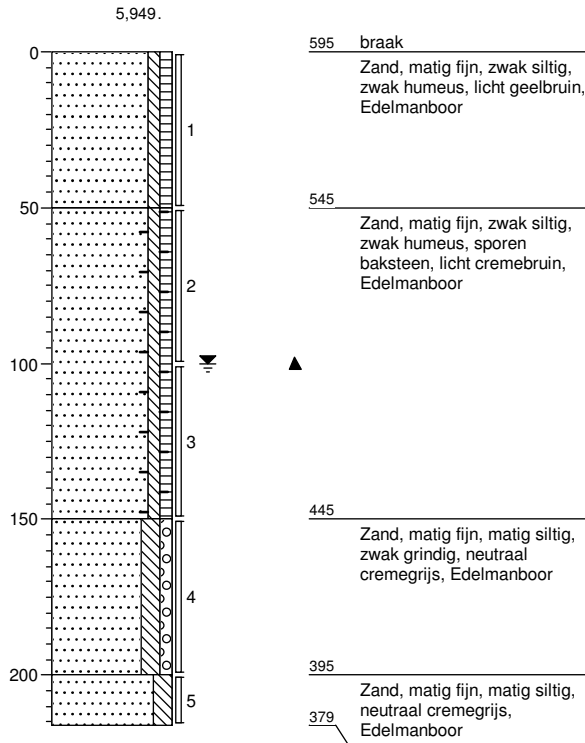
X: 208384,15
 Y: 475043,87
 Datum: 25-05-2018



Boorbeschrijving:

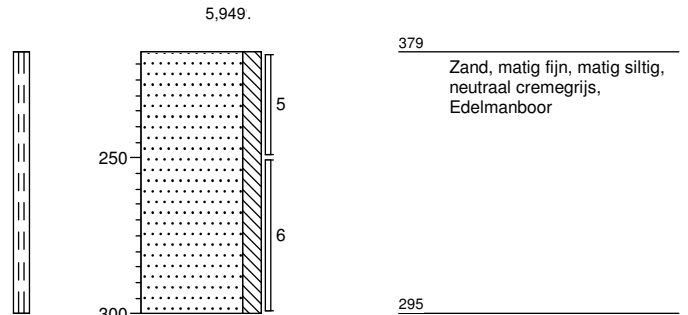
Boring: 201 - 1

X: 208415,06
 Y: 475136,67
 Datum: 25-05-2018
 GWS: 100



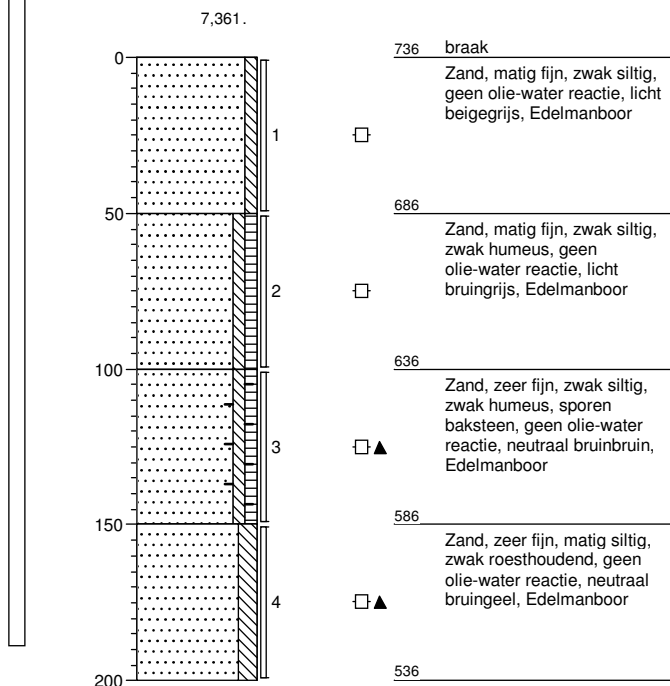
Boring: 201 - 2

X: 208415,06
 Y: 475136,67
 Datum: 25-05-2018
 GWS: 100



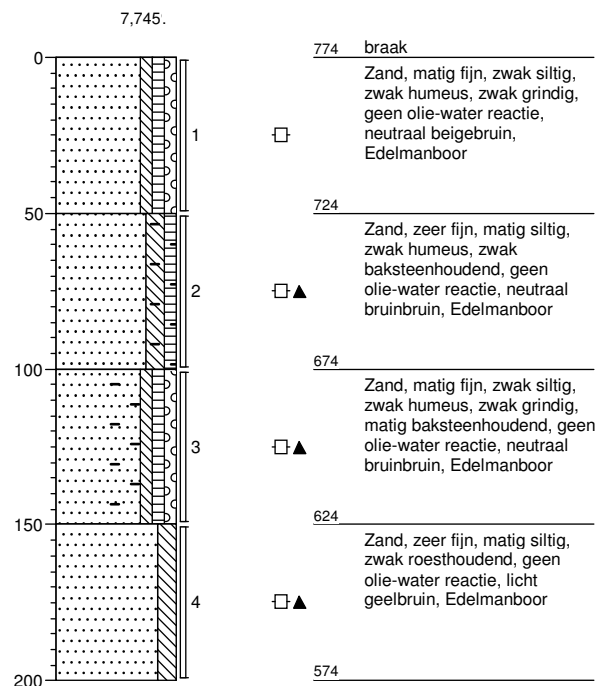
Boring: 402

X: 208411,11
 Y: 475228,98
 Datum: 24-05-2018



Boring: 505

X: 208374,08
 Y: 475206,65
 Datum: 24-05-2018



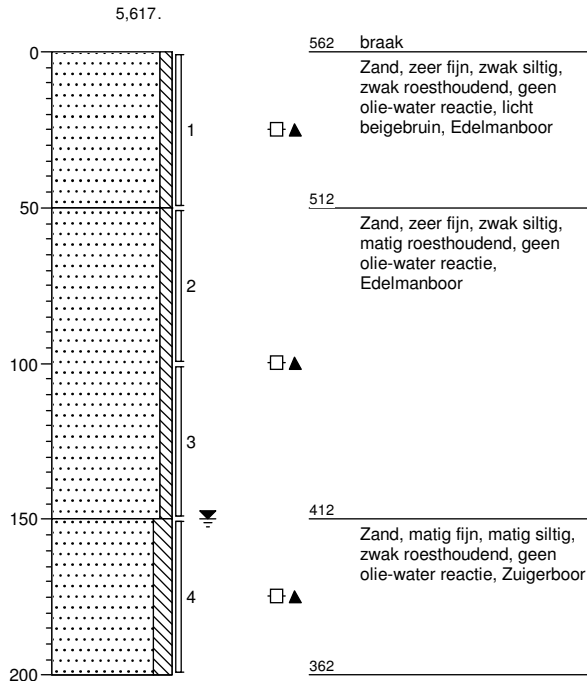
Projectnaam: Geertruidentuin te Deventer

Projectcode: 01.18.1763

Boorbeschrijving:

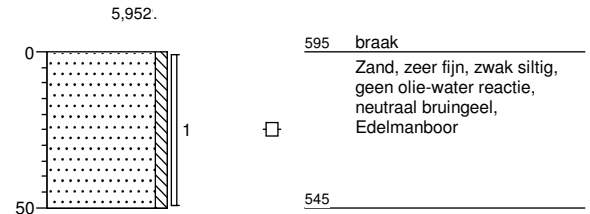
Boring: 506

X: 208263,44
 Y: 475118,71
 Datum: 25-05-2018
 GWS: 150



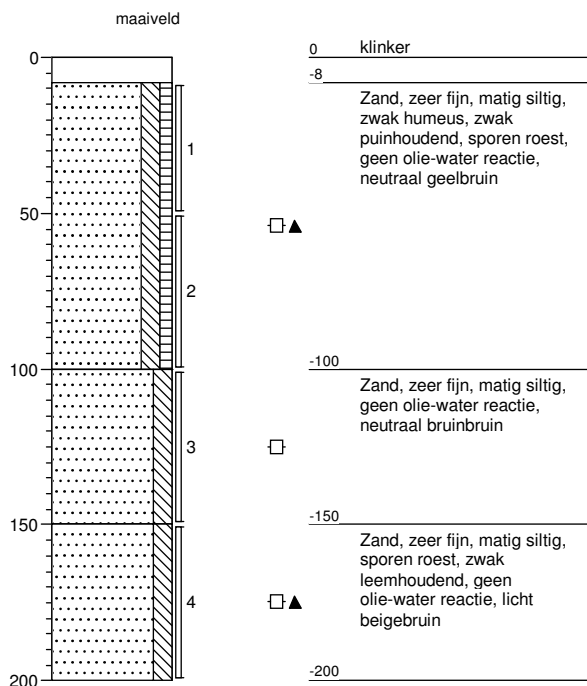
Boring: 507

X: 208270,47
 Y: 475112,61
 Datum: 25-05-2018



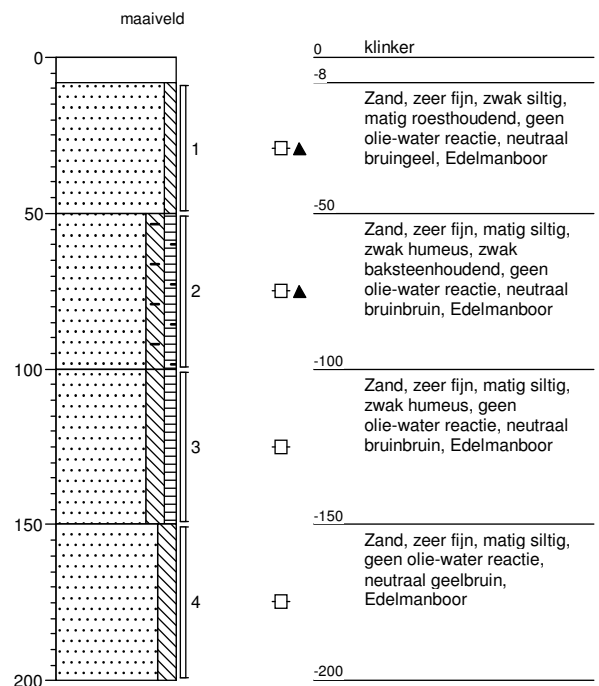
Boring: 508

Datum: 23-05-2018



Boring: 509

Datum: 23-05-2018



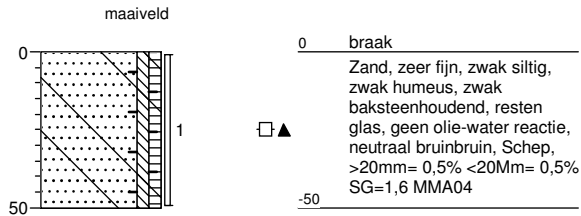
Projectnaam: Geertruidentuin te Deventer

Projectcode: 01.18.1763

Boorbeschrijving:

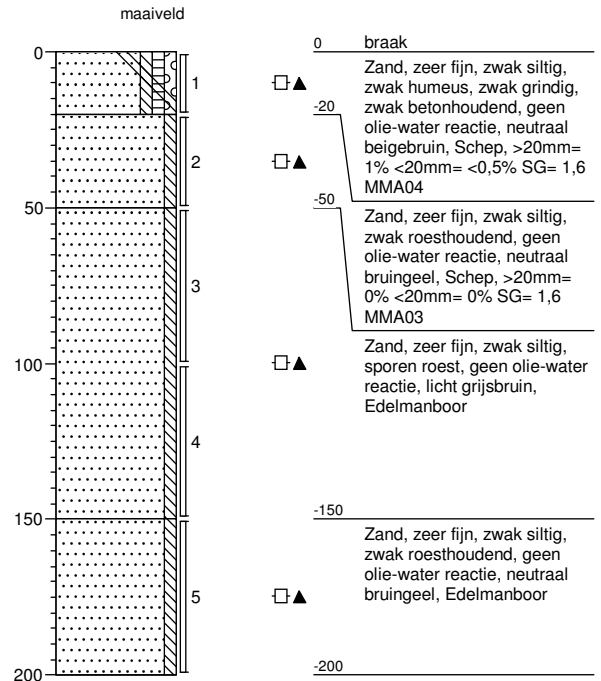
Boring: 202

Datum: 23-05-2018



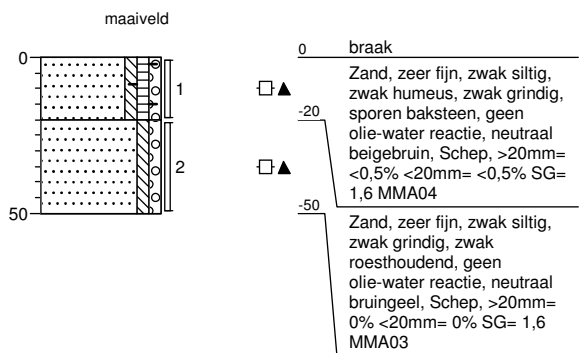
Boring: 203

Datum: 23-05-2018



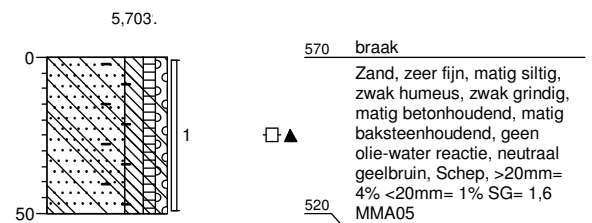
Boring: 204

Datum: 23-05-2018



Boring: 205

X: 208388,96
Y: 475161,20
Datum: 25-05-2018



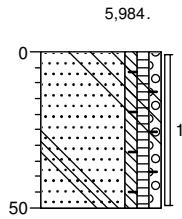
Projectnaam: Geertruidentuin te Deventer

Projectcode: 01.18.1763

Boorbeschrijving:

Boring: 206

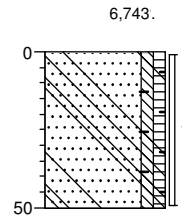
X: 208416,01
 Y: 475157,26
 Datum: 25-05-2018



598 braak
 Zand, zeer fijn, zwak siltig, zwak humeus, zwak grindig, matig betonhoudend, zwak baksteenhoudend, geen olie-water reactie, neutraal bruingeel, Schep, >20mm= 2% <20mm= 0,5% SG= 1,6 MMA05
 548

Boring: 207

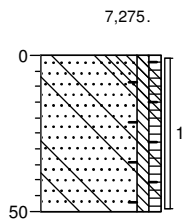
X: 208445,74
 Y: 475133,40
 Datum: 24-05-2018



674 braak
 Zand, zeer fijn, zwak siltig, zwak humeus, zwak baksteenhoudend, resten beton, geen olie-water reactie, neutraal bruinbruin, Schep, >20mm= 4% <20mm= 1% SG= 1,6 MMA06
 624

Boring: 208

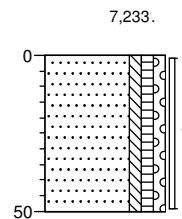
X: 208476,84
 Y: 475114,89
 Datum: 24-05-2018



728 braak
 Zand, zeer fijn, zwak siltig, zwak humeus, zwak baksteenhoudend, zwak betonhoudend, geen olie-water reactie, neutraal bruinbruin, Schep, >20mm= 3% <20mm= 1% SG= 1,6 MMA06
 678

Boring: 209

X: 208492,48
 Y: 475135,10
 Datum: 24-05-2018

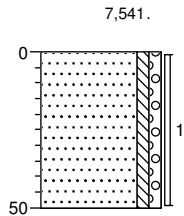


723 braak
 Zand, matig fijn, zwak siltig, zwak humeus, zwak grindig, zwak puinhoudend, geen olie-water reactie, neutraal bruinbruin, Schep, >20mm= 1% <29mm= <0,5% SG= 1,6 MMA06
 673

Boorbeschrijving:

Boring: 210

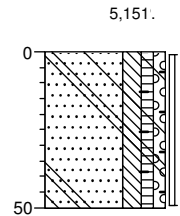
X: 208361,27
Y: 475176,29
Datum: 24-05-2018



754 braak
Zand, zeer fijn, zwak siltig, zwak grindig, sporen puin, geen olie-water reactie, licht beigebruin, Schep, >20mm= <0,5% <20mm= <0,5% SG=1,6 MMA02
704

Boring: 211

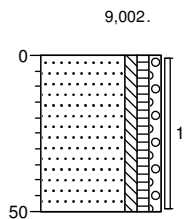
X: 208375,95
Y: 475140,63
Datum: 25-05-2018



515 braak
Zand, zeer fijn, matig siltig, zwak humeus, zwak grindig, zwak betonhoudend, zwak baksteenhoudend, geen olie-water reactie, neutraal geelbruin, Schep, >20mm= 1% <20mm= <0,5% SG= 1,6 MMA05
465

Boring: 213

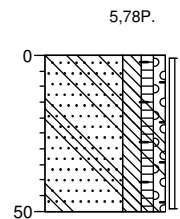
X: 208353,06
Y: 475158,84
Datum: 24-05-2018



900 braak
Zand, zeer fijn, zwak siltig, zwak humeus, zwak grindig, zwak puinhoudend, geen olie-water reactie, neutraal bruinbruin, Schep, >20mm= 1% <20mm+ 0,5% SG= 1,6 MMA02
850

Boring: 214

X: 208398,79
Y: 475116,98
Datum: 25-05-2018

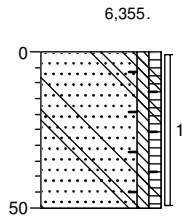


578 braak
Zand, zeer fijn, matig siltig, zwak humeus, zwak grindig, matig betonhoudend, zwak baksteenhoudend, geen olie-water reactie, neutraal bruinbruin, Schep, >20mm= 5% <20mm= <0,5% SG= 1,6 MMA05
528

Boorbeschrijving:

Boring: 215

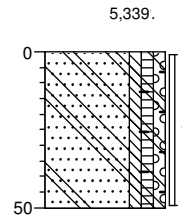
X: 208433,67
Y: 475083,68
Datum: 24-05-2018



636 braak
Zand, zeer fijn, zwak siltig, zwak humeus, zwak baksteenhoudend, resten beton, geen olie-water reactie, neutraal bruinbruin, Schep, >20mm= 4% <20mm= 1% SG= 1,6 MMA06
586

Boring: 216

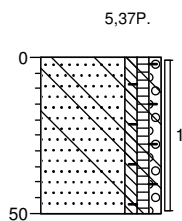
X: 208375,46
Y: 475096,55
Datum: 25-05-2018



534 braak
Zand, zeer fijn, zwak siltig, zwak humeus, zwak grindig, zwak betonhoudend, zwak baksteenhoudend, geen olie-water reactie, neutraal geelbruin, Schep, >20mm= 2% <20mm= 0,5% SG= 1,6 MMA05
484

Boring: 217

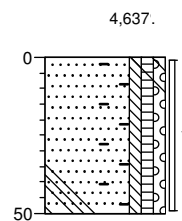
X: 208348,33
Y: 475078,43
Datum: 25-05-2018



537 braak
Zand, zeer fijn, zwak siltig, zwak humeus, zwak grindig, zwak betonhoudend, zwak baksteenhoudend, resten ijzer, geen olie-water reactie, neutraal geelbruin, Schep, >20mm= 4% <20mm= 1% SG= 1,6 MMA05
487

Boring: 221

X: 208334,76
Y: 475130,77
Datum: 25-05-2018

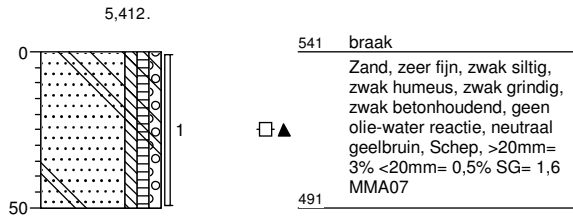


464 braak
Zand, zeer fijn, zwak siltig, zwak humeus, zwak grindig, zwak betonhoudend, matig baksteenhoudend, geen olie-water reactie, neutraal geelbruin, Schep, >20mm= 3% <20mm= 0,5% SG= 1,6 MMA05
414

Boorbeschrijving:

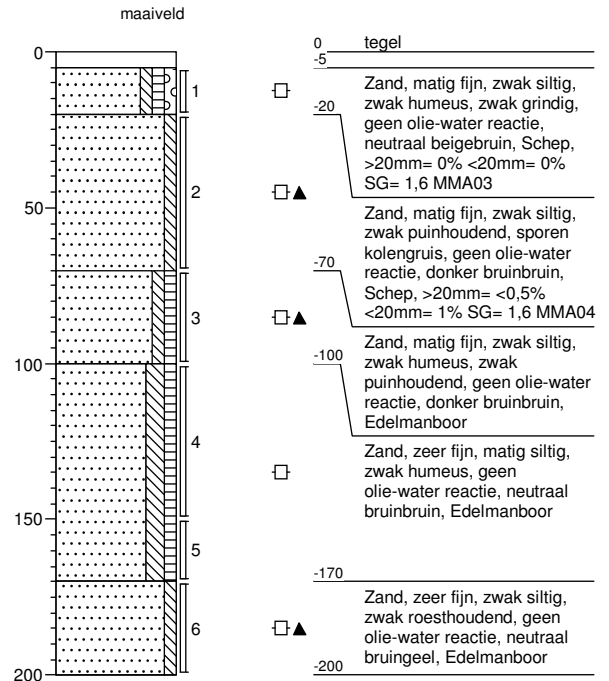
Boring: 223

X: 208311,53
 Y: 475102,47
 Datum: 25-05-2018



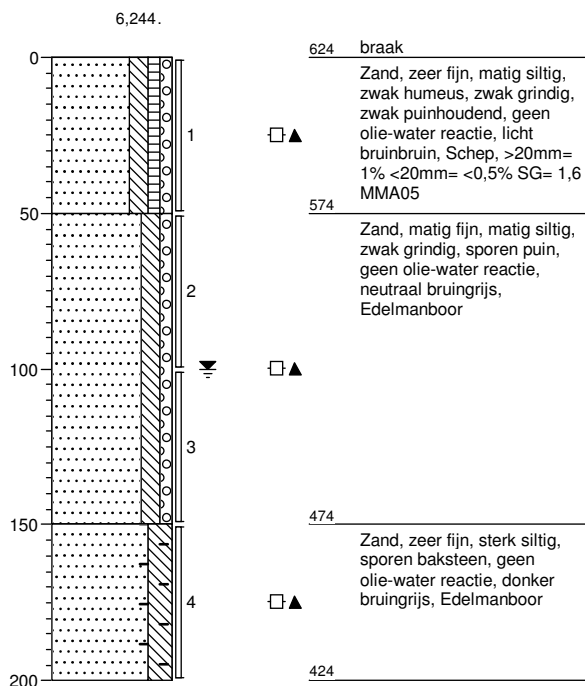
Boring: 224

Datum: 23-05-2018



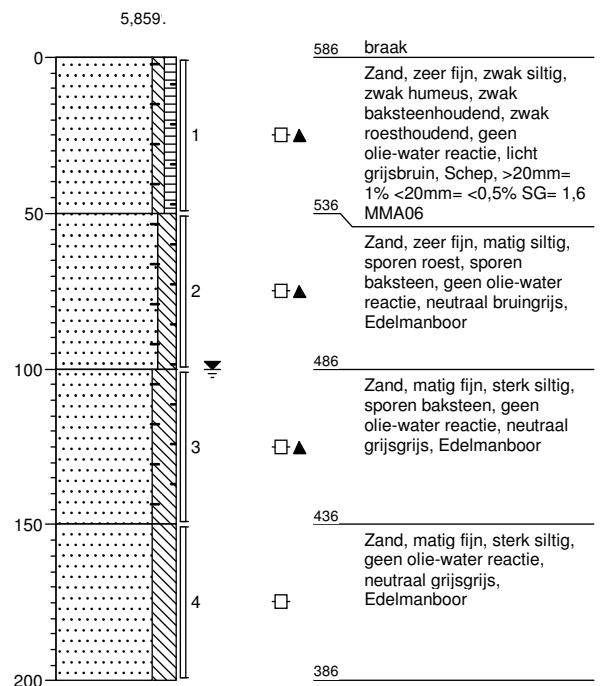
Boring: 225

X: 208395,07
 Y: 475179,28
 Datum: 24-05-2018
 GWS: 100



Boring: 226

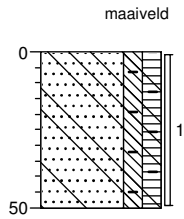
X: 208416,71
 Y: 475098,34
 Datum: 25-05-2018
 GWS: 100



Boorbeschrijving:

Boring: 301

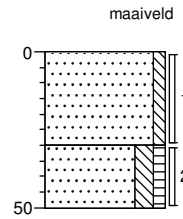
Datum: 23-05-2018



0 braak
 Zand, zeer fijn, matig siltig, matig humeus, zwak baksteenhoudend, resten glas, geen olie-water reactie, donker bruinbruin, Schep, >20mm= 1% <20mm= 0,5% SG=1,6 MMA04

Boring: 302

Datum: 23-05-2018

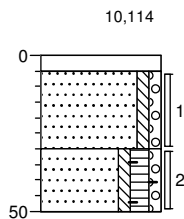


0 tegel
 Zand, zeer fijn, zwak siltig, zwak roesthoudend, geen olie-water reactie, neutraal bruingeel, Edelmanboor, >20mm= 0% <20mm= 0% SG= 1,6 MMA01

-30
 Zand, zeer fijn, matig siltig, zwak humeus, sporen roest, sporen puin, geen olie-water reactie, neutraal bruinbruin, Edelmanboor, >20mm= 0,5% <20mm= <0,5% SG= 1,6 MMA02

Boring: 303

X: 208350,11
 Y: 475218,31
 Datum: 24-05-2018



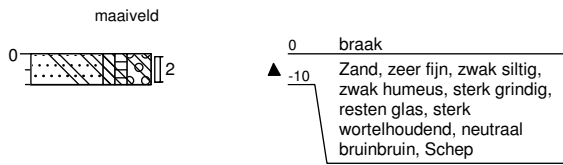
1011 tegel
 1006
 Zand, zeer fijn, zwak siltig, zwak grindig, geen olie-water reactie, licht beigebruin, Schep, >20mm= 0% <20mm= 0% SG=1,6 MMA01

981
 Zand, zeer fijn, zwak siltig, matig humeus, zwak grindig, sporen baksteen, geen olie-water reactie, donker bruinbruin, Schep, >20mm= <0,5% <20mm= <0,5% SG= 1,6 MMA02

Boorbeschrijving:

Boring: SL01

Datum: 04-06-2018



Projectnaam: Geertruidentuin te Deventer

Projectcode: 01.18.1763

Legenda (conform NEN 5104)

grind

	Grind, siltig
	Grind, zwak zandig
	Grind, matig zandig
	Grind, sterk zandig
	Grind, uiterst zandig

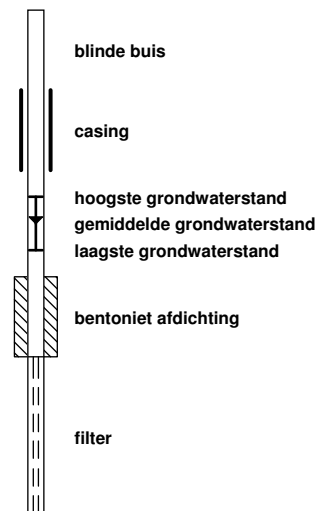
zand

	Zand, kleiig
	Zand, zwak siltig
	Zand, matig siltig
	Zand, sterk siltig
	Zand, uiterst siltig

veen

	Veen, mineraalarm
	Veen, zwak kleiig
	Veen, sterk kleiig
	Veen, zwak zandig
	Veen, sterk zandig

peilbuis



klei

	Klei, zwak siltig
	Klei, matig siltig
	Klei, sterk siltig
	Klei, uiterst siltig
	Klei, zwak zandig
	Klei, matig zandig
	Klei, sterk zandig

leem

	Leem, zwak zandig
	Leem, sterk zandig

overige toevoegingen

	zwak humeus
	matig humeus
	sterk humeus
	zwak grindig
	matig grindig
	sterk grindig

geur

	geen geur
	zwakke geur
	matige geur
	sterke geur
	uiterste geur

olie

	geen olie-water reactie
	zwakke olie-water reactie
	matige olie-water reactie
	sterke olie-water reactie
	uiterste olie-water reactie

p.i.d.-waarde

	>0
	>1
	>10
	>100
	>1000
	>10000

monsters

	geroerd monster
	ongeroerd monster
	volumering

overig

	bijzonder bestanddeel
	Gemiddeld hoogste grondwaterstand
	grondwaterstand
	Gemiddeld laagste grondwaterstand
	slib
	water

BIJLAGE 04

CERTIFICATEN

Infrasoil - Veenendaal
T.a.v. B. Versteeg-Scholten
Postbus 409
3900 AK VEENENDAAL

Analyscertificaat

Datum: 02-Jun-2018

Hierbij ontvangt u de resultaten van het navolgende laboratoriumonderzoek.

Certificaatnummer/Versie	2018076048/1
Uw project/verslagnummer	01.18.1763
Uw projectnaam	Geertruidentuin te Deventer
Uw ordernummer	01.18.1763
Monster(s) ontvangen	25-May-2018

Dit certificaat mag uitsluitend in zijn geheel worden gereproduceerd.
De analyse resultaten hebben alleen betrekking op het beproefde object.

De grondmonsters worden tot 4 weken na datum ontvangst bewaard en watermonsters tot 2 weken na datum ontvangst. Zonder tegenbericht worden de monsters nadien afgevoerd.
Indien de monsters langer bewaard dienen te blijven verzoeken wij U dit exemplaar uiterlijk 1 werkdag voor afloop van de standaardbewaarperiode ondertekend aan ons te retourneren. Voor de kosten van het langer bewaren van monsters verwijzen wij naar de prijslijst.

Bewaren tot:

Datum:

Naam:

Handtekening:

Wij vertrouwen erop uw opdracht hiermee naar verwachting te hebben uitgevoerd, mocht U naar aanleiding van dit analyscertificaat nog vragen hebben verzoeken wij U contact op te nemen met de afdeling Verkoop en Advies.

Met vriendelijke groet,

Eurofins Analytico B.V.



Ing. A. Veldhuizen
Technical Manager

Eurofins Analytico B.V.

Gildeweg 42-46
3771 NB Barneveld
P.O. Box 459
3770 AL Barneveld NL

Tel. +31 (0)34 242 63 00
Fax +31 (0)34 242 63 99
E-mail info-env@eurofins.nl
Site www.eurofins.nl

BNP Paribas S.A. 227 9245 25
IBAN: NL71BNPA0227924525
BIC: BNPANL2A
KvK/CoC No. 09088623
BTW/VAT No. NL 8043.14.883.B01

Eurofins Analytico B.V. is ISO 14001: 2004 gecertificeerd door TÜV en erkend door het Vlaamse Gewest (OVAM en Dep. Omgeving), het Brusselse Gewest (BIM), het Waalse Gewest (DGRNE-OWD) en door de overheid van Luxemburg (MEV).

Analysecertificaat

Uw project/verslagnummer	01.18.1763	Certificaatnummer/Versie	2018076048/1
Uw projectnaam	Geertruidentuin te Deventer	Startdatum	29-May-2018
Uw ordernummer	01.18.1763	Rapportagedatum	02-Jun-2018/06:44
Monsternemer	S. de Jonge	Bijlage	A, B, C, D
Monstermatrix	Grond (AS3000)	Pagina	1/4

Analyse	Eenheid	1	2	3	4	5
Voorbehandeling						
Cryogeen malen AS3000		Uitgevoerd	Uitgevoerd	Uitgevoerd	Uitgevoerd	Uitgevoerd
Bodemkundige analyses						
S Droge stof	% (m/m)	93.0	92.0	92.2	89.8	89.9
S Organische stof	% (m/m) ds	1.6	<0.7	<0.7	2.4	1.3
Gloeirest	% (m/m) ds	98.1	99.1	99.0	97.3	98.4
S Korrelgrootte < 2 µm (Lutum)	% (m/m) ds	4.7	3.7	4.5	3.6	4.0
Metalen						
S Barium (Ba)	mg/kg ds	30	22	<20	51	41
S Cadmium (Cd)	mg/kg ds	<0.20	<0.20	<0.20	<0.20	<0.20
S Kobalt (Co)	mg/kg ds	<3.0	<3.0	<3.0	<3.0	<3.0
S Koper (Cu)	mg/kg ds	14	7.4	7.7	31	16
S Kwik (Hg)	mg/kg ds	0.17	0.068	0.086	0.36	0.15
S Molybdeen (Mo)	mg/kg ds	<1.5	<1.5	<1.5	<1.5	<1.5
S Nikkel (Ni)	mg/kg ds	6.5	4.8	5.3	6.0	4.9
S Lood (Pb)	mg/kg ds	42	18	28	120	52
S Zink (Zn)	mg/kg ds	36	31	28	44	67
Minerale olie						
Minerale olie (C10-C12)	mg/kg ds	<3.0	<3.0	<3.0	<3.0	3.2
Minerale olie (C12-C16)	mg/kg ds	<5.0	<5.0	<5.0	5.4	14
Minerale olie (C16-C21)	mg/kg ds	5.0	<5.0	<5.0	15	64
Minerale olie (C21-C30)	mg/kg ds	12	<11	<11	22	64
Minerale olie (C30-C35)	mg/kg ds	14	8.9	7.5	11	23
Minerale olie (C35-C40)	mg/kg ds	7.4	<6.0	<6.0	<6.0	<6.0
S Minerale olie totaal (C10-C40)	mg/kg ds	41	<35	<35	59	180
Chromatogram olie (GC)		Zie bijl.			Zie bijl.	Zie bijl.
Polychloorbifenylen, PCB						
S PCB 28	mg/kg ds	<0.0010	<0.0010	<0.0010	<0.0010	<0.0010
S PCB 52	mg/kg ds	<0.0010	<0.0010	<0.0010	<0.0010	<0.0010
S PCB 101	mg/kg ds	<0.0010	<0.0010	<0.0010	<0.0010	<0.0010

Nr. Monsteromschrijving

Nr.	Monsteromschrijving	Datum monstername	Monster nr.
1	MM01 BG ONV	24-May-2018	10123417
2	MM02 BG ONV	24-May-2018	10123418
3	MM03 BG ONV	23-May-2018	10123419
4	MM04 BG ONV	23-May-2018	10123420
5	MM05 BG ONV	23-May-2018	10123421

Eurofins Analytico B.V.

 Gildeweg 42-46
 3771 NB Barneveld
 P.O. Box 459
 3770 AL Barneveld NL
 Tel. +31 (0)34 242 63 00
 Fax +31 (0)34 242 63 99
 E-mail info-env@eurofins.nl
 Site www.eurofins.nl

 BNP Paribas S.A. 227 9245 25
 IBAN: NL71BNPA0227924525
 BIC: BNPANL2A
 KvK/CoC No. 09088623
 BTW/VAT No. NL 8043.14.883.B01

 Q: door RvA geaccrediteerde verrichting
 R: AP04 erkende verrichting
 S: AS SIKB erkende verrichting
 V: VLAREL erkende verrichting
 M: MCERTS erkend

 Dit certificaat mag uitsluitend in zijn geheel worden gereproduceerd.
 Eurofins Analytico B.V. is ISO 14001: 2004 gecertificeerd door TÜV en erkend door het Vlaamse Gewest (OVAM en Dep. Omgeving), het Brusselse Gewest (BIM), het Waalse Gewest (DGRNE-OWD) en door de overheid van Luxemburg (MEV).


Analysecertificaat

Uw project/verslagnummer	01.18.1763	Certificaatnummer/Versie	2018076048/1
Uw projectnaam	Geertruidentuin te Deventer	Startdatum	29-May-2018
Uw ordernummer	01.18.1763	Rapportagedatum	02-Jun-2018/06:44
Monsternemer	S. de Jonge	Bijlage	A, B, C, D
Monstermatrix	Grond (AS3000)	Pagina	2/4

Analyse	Eenheid	1	2	3	4	5
S PCB 118	mg/kg ds	<0.0010	<0.0010	<0.0010	<0.0010	<0.0010
S PCB 138	mg/kg ds	<0.0010	<0.0010	<0.0010	<0.0010	<0.0010
S PCB 153	mg/kg ds	<0.0010	<0.0010	<0.0010	<0.0010	<0.0010
S PCB 180	mg/kg ds	<0.0010	<0.0010	<0.0010	<0.0010	<0.0010
S PCB (som 7) (factor 0,7)	mg/kg ds	0.0049 ¹⁾	0.0049 ¹⁾	0.0049 ¹⁾	0.0049 ¹⁾	0.0049 ¹⁾
Polycyclische Aromatische Koolwaterstoffen, PAK						
S Naftaleen	mg/kg ds	<0.050	<0.050	<0.050	<0.050	0.18
S Fenanthreen	mg/kg ds	0.061	<0.050	0.062	1.5	9.2
S Anthraceen	mg/kg ds	<0.050	<0.050	<0.050	0.52	3.1
S Fluorantheen	mg/kg ds	0.20	<0.050	0.15	2.2	8.1
S Benzo(a)anthraceen	mg/kg ds	0.10	<0.050	0.088	1.1	3.3
S Chryseen	mg/kg ds	0.096	<0.050	0.077	0.91	2.5
S Benzo(k)fluorantheen	mg/kg ds	0.051	<0.050	<0.050	0.38	0.99
S Benzo(a)pyreen	mg/kg ds	0.11	<0.050	0.080	0.73	2.2
S Benzo(ghi)peryleen	mg/kg ds	0.074	<0.050	0.058	0.40	0.91
S Indeno(123-cd)pyreen	mg/kg ds	0.059	<0.050	<0.050	0.38	0.82
S PAK VROM (10) (factor 0,7)	mg/kg ds	0.82	0.35 ¹⁾	0.66	8.1	31

Nr. Monsteromschrijving

Nr.	Monsteromschrijving	Datum monstername	Monster nr.
1	MM01 BG ONV	24-May-2018	10123417
2	MM02 BG ONV	24-May-2018	10123418
3	MM03 BG ONV	23-May-2018	10123419
4	MM04 BG ONV	23-May-2018	10123420
5	MM05 BG ONV	23-May-2018	10123421

Eurofins Analytico B.V.

Gildeweg 42-46
3771 NB Barneveld
P.O. Box 459
3770 AL Barneveld NL

Tel. +31 (0)34 242 63 00
Fax +31 (0)34 242 63 99
E-mail info-env@eurofins.nl
Site www.eurofins.nl

BNP Paribas S.A. 227 9245 25
IBAN: NL71BNPA0227924525
BIC: BNPANL2A
KvK/CoC No. 09088623
BTW/VAT No. NL 8043.14.883.B01

Q: door RvA geaccrediteerde verrichting
R: AP04 erkende verrichting
S: AS SIKB erkende verrichting
V: VLAREL erkende verrichting
M: MCERTS erkend

Dit certificaat mag uitsluitend in zijn geheel worden gereproduceerd.
Eurofins Analytico B.V. is ISO 14001: 2004 gecertificeerd door TÜV en erkend door het Vlaamse Gewest (OVAM en Dep. Omgeving), het Brusselse Gewest (BIM), het Waalse Gewest (DGRNE-OWD) en door de overheid van Luxemburg (MEV).



Analysecertificaat

Uw project/verslagnummer 01.18.1763
 Uw projectnaam Geertruidentuin te Deventer
 Uw ordernummer 01.18.1763

Monsternemer S. de Jonge
 Monstermatrix Grond (AS3000)

Certificaatnummer/Versie 2018076048/1
 Startdatum 29-May-2018
 Rapportagedatum 02-Jun-2018/06:44
 Bijlage A, B, C, D
 Pagina 3/4

Analyse	Eenheid	6
Voorbehandeling		
Cryogeen malen AS3000		Uitgevoerd
Bodemkundige analyses		
S Droge stof	% (m/m)	92.0
S Organische stof	% (m/m) ds	2.5
Gloeirest	% (m/m) ds	97.2
S Korrelgrootte < 2 µm (Lutum)	% (m/m) ds	3.4
Metalen		
S Barium (Ba)	mg/kg ds	44
S Cadmium (Cd)	mg/kg ds	<0.20
S Kobalt (Co)	mg/kg ds	<3.0
S Koper (Cu)	mg/kg ds	29
S Kwik (Hg)	mg/kg ds	0.36
S Molybdeen (Mo)	mg/kg ds	<1.5
S Nikkel (Ni)	mg/kg ds	6.4
S Lood (Pb)	mg/kg ds	100
S Zink (Zn)	mg/kg ds	48
Minerale olie		
Minerale olie (C10-C12)	mg/kg ds	<3.0
Minerale olie (C12-C16)	mg/kg ds	<5.0
Minerale olie (C16-C21)	mg/kg ds	<5.0
Minerale olie (C21-C30)	mg/kg ds	12
Minerale olie (C30-C35)	mg/kg ds	11
Minerale olie (C35-C40)	mg/kg ds	<6.0
S Minerale olie totaal (C10-C40)	mg/kg ds	<35
Polychloorbifenylen, PCB		
S PCB 28	mg/kg ds	<0.0010
S PCB 52	mg/kg ds	<0.0010
S PCB 101	mg/kg ds	<0.0010
S PCB 118	mg/kg ds	<0.0010

Nr. Monsteromschrijving

6 MM06 BG ONV

Datum monstername

25-May-2018

Monster nr.

10123422

Eurofins Analytico B.V.

Gildeweg 42-46
 3771 NB Barneveld
 P.O. Box 459
 3770 AL Barneveld NL

Tel. +31 (0)34 242 63 00
 Fax +31 (0)34 242 63 99
 E-mail info-env@eurofins.nl
 Site www.eurofins.nl

BNP Paribas S.A. 227 9245 25
 IBAN: NL71BNPA0227924525
 BIC: BNPANL2A
 KvK/CoC No. 09088623
 BTW/VAT No. NL 8043.14.883.B01

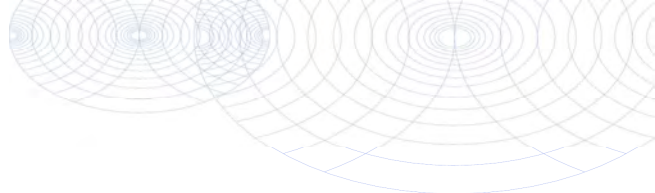


Q: door RvA geaccrediteerde verrichting
 R: AP04 erkende verrichting
 S: AS SIKB erkende verrichting
 V: VLAREL erkende verrichting
 M: MCERTS erkend

Dit certificaat mag uitsluitend in zijn geheel worden gereproduceerd.
 Eurofins Analytico B.V. is ISO 14001: 2004 gecertificeerd door TÜV en erkend door het Vlaamse Gewest (OVAM en Dep. Omgeving), het Brusselse Gewest (BIM), het Waalse Gewest (DGRNE-OWD) en door de overheid van Luxemburg (MEV).



TESTEN
 RvA L010



Analysecertificaat

Uw project/verslagnummer 01.18.1763
 Uw projectnaam Geertruidentuin te Deventer
 Uw ordernummer 01.18.1763

Monsternemer S. de Jonge
 Monstermatrix Grond (AS3000)

Certificaatnummer/Versie 2018076048/1
 Startdatum 29-May-2018
 Rapportagedatum 02-Jun-2018/06:44
 Bijlage A, B, C, D
 Pagina 4/4

Analyse	Eenheid	6
S PCB 138	mg/kg ds	<0.0010
S PCB 153	mg/kg ds	<0.0010
S PCB 180	mg/kg ds	<0.0010
S PCB (som 7) (factor 0,7)	mg/kg ds	0.0049 ¹⁾
Polycyclische Aromatische Koolwaterstoffen, PAK		
S Naftaleen	mg/kg ds	<0.050
S Fenanthreen	mg/kg ds	0.11
S Anthraceen	mg/kg ds	<0.050
S Fluorantheen	mg/kg ds	0.24
S Benzo(a)anthraceen	mg/kg ds	0.12
S Chryseen	mg/kg ds	0.13
S Benzo(k)fluorantheen	mg/kg ds	0.070
S Benzo(a)pyreen	mg/kg ds	0.12
S Benzo(ghi)peryleen	mg/kg ds	0.093
S Indeno(123-cd)pyreen	mg/kg ds	0.071
S PAK VROM (10) (factor 0,7)	mg/kg ds	1.0

Nr. Monsteromschrijving

6 MM06 BG ONV

Datum monstername

25-May-2018

Monster nr.

10123422

Eurofins Analytico B.V.

Gildeweg 42-46
 3771 NB Barneveld
 P.O. Box 459
 3770 AL Barneveld NL

Tel. +31 (0)34 242 63 00
 Fax +31 (0)34 242 63 99
 E-mail info-env@eurofins.nl
 Site www.eurofins.nl

BNP Paribas S.A. 227 9245 25
 IBAN: NL71BNPA0227924525
 BIC: BNPANL2A
 KvK/CoC No. 09088623
 BTW/VAT No. NL 8043.14.883.B01



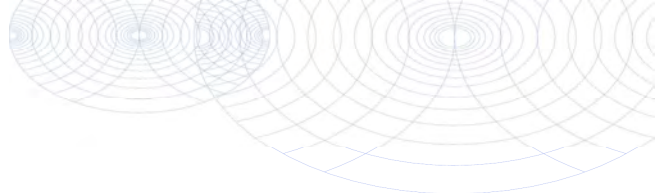
Q: door RvA geaccrediteerde verrichting
 R: AP04 erkende verrichting
 S: AS SIKB erkende verrichting
 V: VLAREL erkende verrichting
 M: MCERTS erkend

Dit certificaat mag uitsluitend in zijn geheel worden gereproduceerd.
 Eurofins Analytico B.V. is ISO 14001: 2004 gecertificeerd door TÜV en erkend door het Vlaamse Gewest (OVAM en Dep. Omgeving), het Brusselse Gewest (BIM), het Waalse Gewest (DGRNE-OWD) en door de overheid van Luxemburg (MEV).



Bijlage (A) met deelmonsterinformatie behorende bij analysecertificaat 2018076048/1

Monster nr.	Boornr	Omschrijving	Van	Tot	Barcode	Monstername ID/Monsteromsch.
10123417	117	1	0	50	0535457980	9967289
10123417	112	1	0	50	0535458292	9967289
10123417	116	1	0	50	0535458291	9967289
10123417	110	1	0	50	0535458298	9967289
10123417	148	1	0	50	0535458158	9967289
10123417	121	1	0	50	0535458159	9967289
10123417	109	1	0	50	0535458302	9967289
10123418	143	1	0	50	0535458296	9967290
10123418	123	1	0	20	0535458301	9967290
10123418	123	2	20	50	0535457987	9967290
10123418	140	1	0	50	0535459240	9967290
10123418	103	1	0	50	0535459265	9967290
10123418	138	1	0	50	0535459409	9967290
10123418	144	1	0	50	0535459426	9967290
10123418	102	1	0	50	0535457990	9967290
10123419	505	1	0	50	0535457968	9967291
10123419	115	1	0	50	0535457972	9967291
10123419	120	1	0	50	0535457962	9967291
10123419	402	1	0	50	0535457993	9967291
10123419	108	1	8	50	0535459192	9967291
10123419	142	1	8	40	0535459195	9967291
10123419	101	1	8	30	0535459193	9967291
10123420	146	2	10	50	0535457975	9967292
10123420	101	2	30	70	0535459205	9967292
10123420	127	1	0	50	0535458304	9967292
10123420	114	1	8	50	0535459194	9967292
10123420	106	1	0	50	0535459593	9967292
10123421	119	1	8	50	0535459197	9967293
10123421	124	1	0	50	0535459367	9967293
10123421	224	2	20	70	0535459594	9967293
10123422	141	1	0	50	0535459411	9967294
10123422	151	1	0	50	0535459410	9967294
10123422	139	2	25	50	0535458186	9967294
10123422	131	1	0	50	0535459408	9967294
10123422	136	1	0	50	0535459131	9967294
10123422	133	1	0	50	0535459147	9967294



Bijlage (A) met deelmonsterinformatie behorende bij analysecertificaat 2018076048/1

Monster nr.	Boornr	Omschrijving	Van	Tot	Barcode	Monstername ID/Monsteromsch.
10123422	132	1	0	50	0535457979	9967294
10123422	126	1	0	50	0535457986	9967294



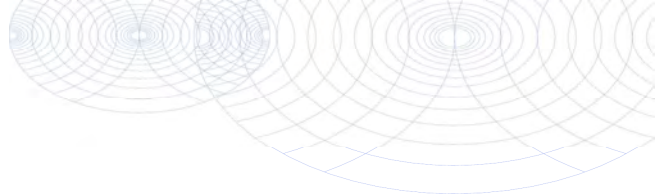
Eurofins Analytico B.V.

Gildeweg 42-46
 3771 NB Barneveld
 P.O. Box 459
 3770 AL Barneveld NL

Tel. +31 (0)34 242 63 00
 Fax +31 (0)34 242 63 99
 E-mail info-env@eurofins.nl
 Site www.eurofins.nl

BNP Paribas S.A. 227 9245 25
 IBAN: NL71BNPA0227924525
 BIC: BNPANL2A
 KvK/CoC No. 09088623
 BTW/VAT No. NL 8043.14.883.B01

Eurofins Analytico B.V. is ISO 14001: 2004 gecertificeerd door TÜV en erkend door het Vlaamse Gewest (OVAM en Dep. Omgeving), het Brusselse Gewest (BIM), het Waalse Gewest (DGRNE-OWD) en door de overheid van Luxemburg (MEV).

**Bijlage (B) met opmerkingen behorende bij analysecertificaat 2018076048/1**

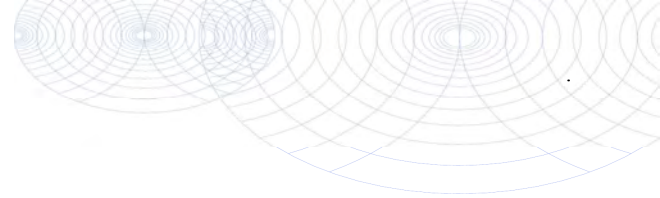
Pagina 1/1

Opmerking 1)De toetswaarde van de som is gelijk aan de sommatie van $0,7 \cdot RG$ **Eurofins Analytico B.V.**

Gildeweg 42-46 Tel. +31 (0)34 242 63 00
3771 NB Barneveld Fax +31 (0)34 242 63 99
P.O. Box 459 E-mail info-env@eurofins.nl
3770 AL Barneveld NL Site www.eurofins.nl

BNP Paribas S.A. 227 9245 25
IBAN: NL71BNPA0227924525
BIC: BNPNL2A
KvK/CoC No. 09088623
BTW/VAT No. NL 8043.14.883.B01

Eurofins Analytico B.V. is ISO 14001: 2004 gecertificeerd door TÜV en erkend door het Vlaamse Gewest (OVAM en Dep. Omgeving), het Brusselse Gewest (BIM), het Waalse Gewest (DGRNE-OWD) en door de overheid van Luxemburg (MEV).



Bijlage (C) met methodeverwijzingen behorende bij analysecertificaat 2018076048/1

Pagina 1/1

Analyse	Methode	Techniek	Methode referentie
Cryogeen malen AS3000	W0106	Voorbehandeling	Cf. AS3000
Droge Stof	W0104	Gravimetrie	Cf. pb 3010-2 en gw. NEN-EN 15934
Organische stof (gloeiverlies)	W0109	Gravimetrie	Cf. pb 3010-3 en cf. NEN 5754
Korrelgrootte < 2 µm (lutum)	W0171	Sedimentatie	Cf. pb 3010-4 en cf. NEN 5753
Barium (Ba)	W0423	ICP-MS	Cf. pb 3010-5 en cf. NEN-EN-ISO 17294-2
Cadmium (Cd)	W0423	ICP-MS	Cf. pb 3010-5 en cf. NEN-EN-ISO 17294-2
Kobalt (Co)	W0423	ICP-MS	Cf. pb 3010-5 en cf. NEN-EN-ISO 17294-2
Koper (Cu)	W0423	ICP-MS	Cf. pb 3010-5 en cf. NEN-EN-ISO 17294-2
Kwik (Hg)	W0423	ICP-MS	Cf. pb 3010-5 en cf. NEN-EN-ISO 17294-2
Molybdeen (Mo)	W0423	ICP-MS	Cf. pb 3010-5 en cf. NEN-EN-ISO 17294-2
Nikkel (Ni)	W0423	ICP-MS	Cf. pb 3010-5 en cf. NEN-EN-ISO 17294-2
Lood (Pb)	W0423	ICP-MS	Cf. pb 3010-5 en cf. NEN-EN-ISO 17294-2
Zink (Zn)	W0423	ICP-MS	Cf. pb 3010-5 en cf. NEN-EN-ISO 17294-2
Minerale Olie (C10-C40)	W0202	GC-FID	Cf. pb 3010-7 en gw. NEN-EN-ISO 16703
Chromatogram M0 (GC)	W0202	GC-FID	Gelijkw. NEN-EN-ISO 16703
PCB (7)	W0271	GC-MS	Cf. pb 3010-8 en gw. NEN 6980
PAK (10) (VROM)	W0271	GC-MS	Cf. pb. 3010-6 en gw. NEN-ISO 18287
PAK som AS3000/AP04	W0271	GC-MS	Cf. pb. 3010-6 en gw. NEN-ISO 18287

Nadere informatie over de toegepaste onderzoeksmethoden alsmede een classificatie van de meetonzekerheid staan vermeld in ons overzicht "Specificaties analysemethoden", versie juni 2016.



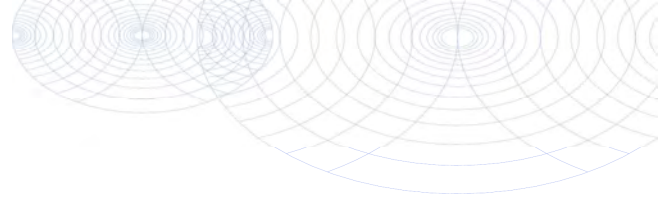
Eurofins Analytico B.V.

Gildeweg 42-46
3771 NB Barneveld
P.O. Box 459
3770 AL Barneveld NL

Tel. +31 (0)34 242 63 00
Fax +31 (0)34 242 63 99
E-mail info-env@eurofins.nl
Site www.eurofins.nl

BNP Paribas S.A. 227 9245 25
IBAN: NL71BNPA0227924525
BIC: BNPANL2A
KvK/CoC No. 09088623
BTW/VAT No. NL 8043.14.883.B01

Eurofins Analytico B.V. is ISO 14001: 2004 gecertificeerd door TÜV en erkend door het Vlaamse Gewest (OVAM en Dep. Omgeving), het Brusselse Gewest (BIM), het Waalse Gewest (DGRNE-OWD) en door de overheid van Luxemburg (MEV).

**Bijlage (D) opmerkingen aangaande de monstername en conserveringstermijn 2018076048/1**

Pagina 1/1

Er zijn verschillen met de richtlijnen geconstateerd die de betrouwbaarheid van de resultaten van onderstaande monsters of analyses mogelijk hebben beïnvloed.

Analyse

De conserveringstermijn is voor de betreffende analyse overschreden.

Minerale Olie (GC) (Voorbehandeling)

Monster nr.

10123420

**Eurofins Analytico B.V.**

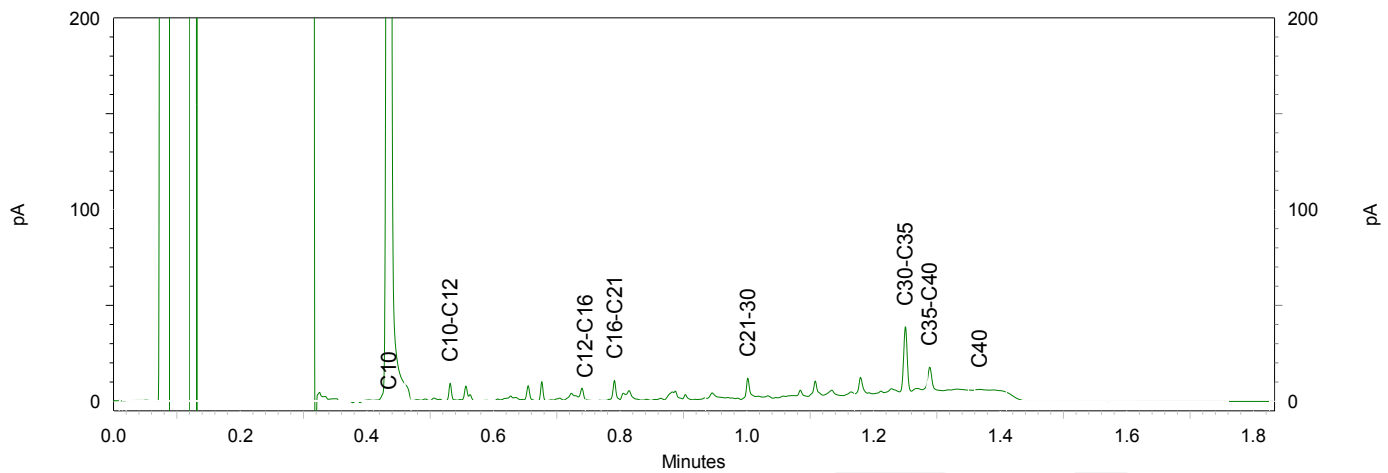
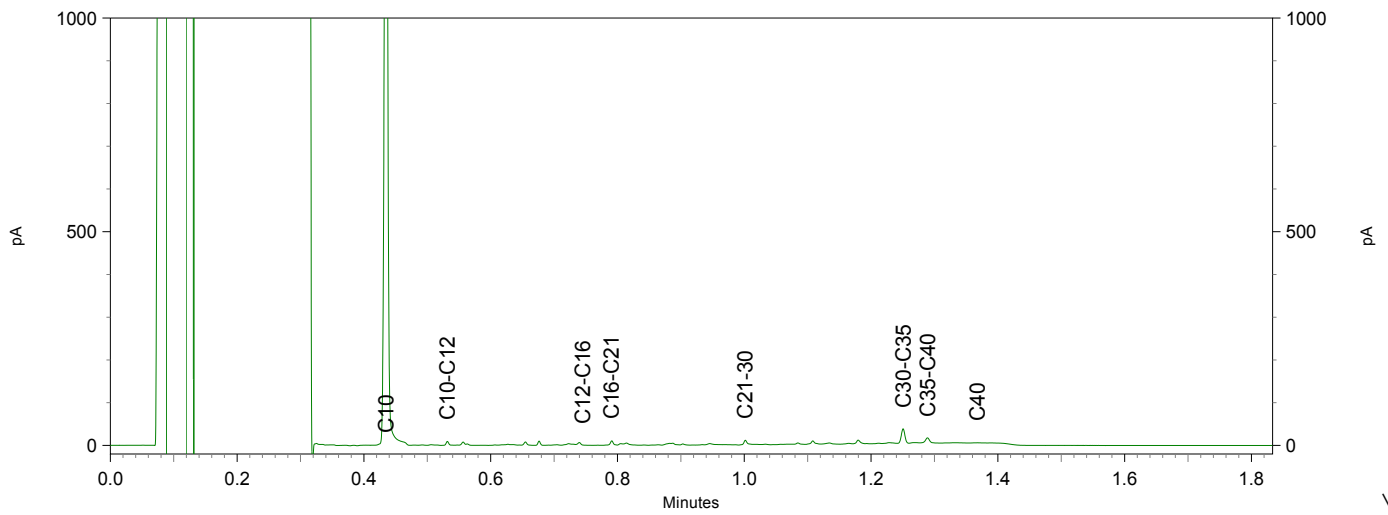
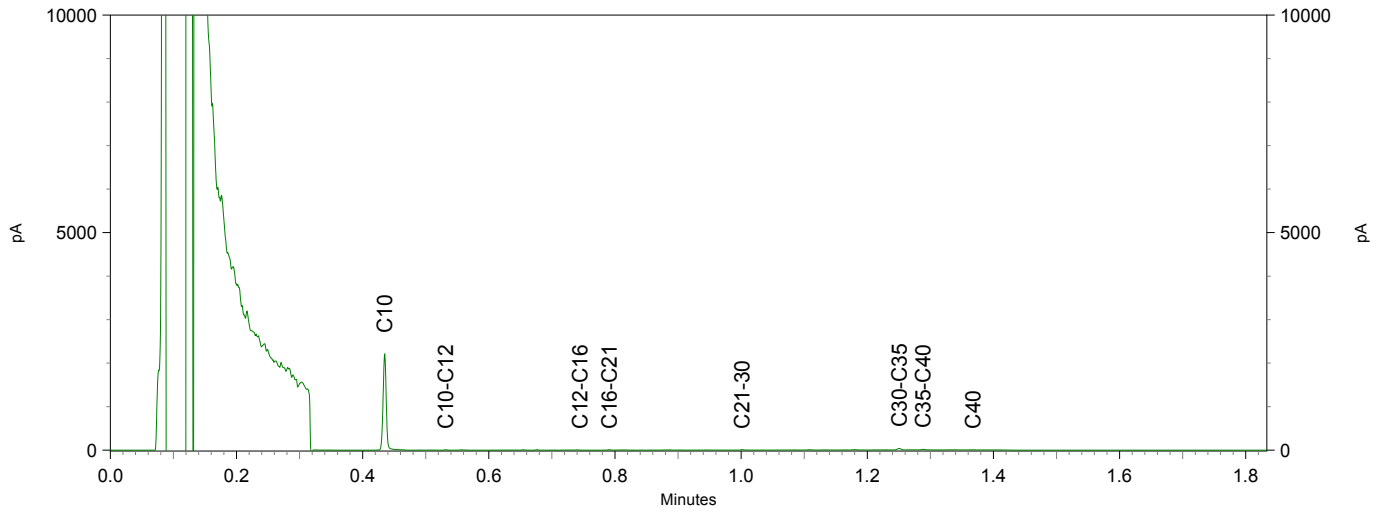
Gildeweg 42-46
3771 NB Barneveld
P.O. Box 459
3770 AL Barneveld NL

Tel. +31 (0)34 242 63 00
Fax +31 (0)34 242 63 99
E-mail info-env@eurofins.nl
Site www.eurofins.nl

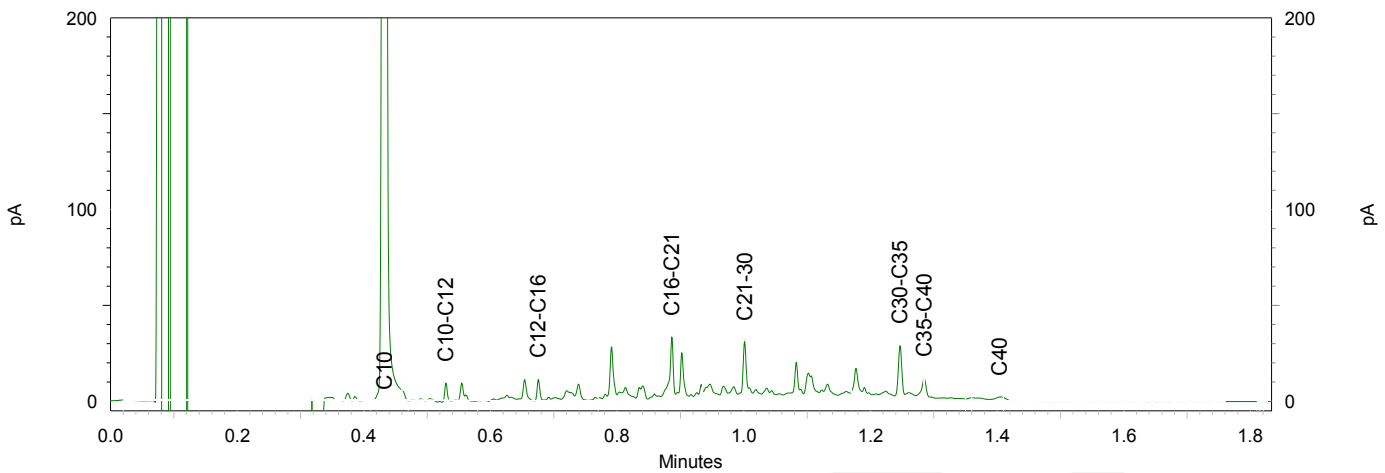
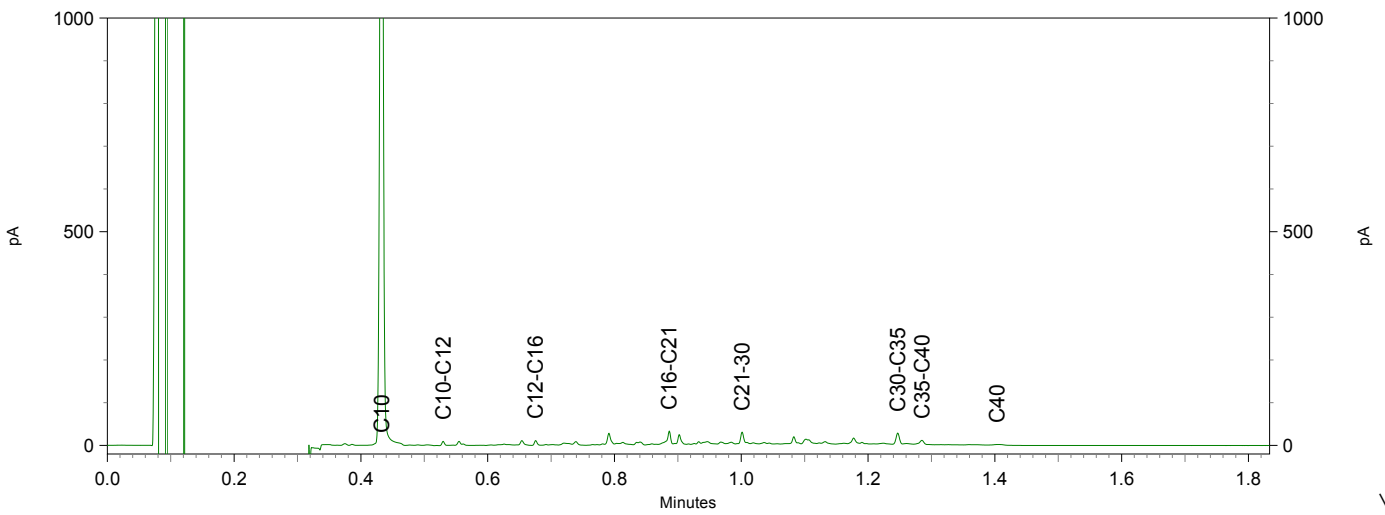
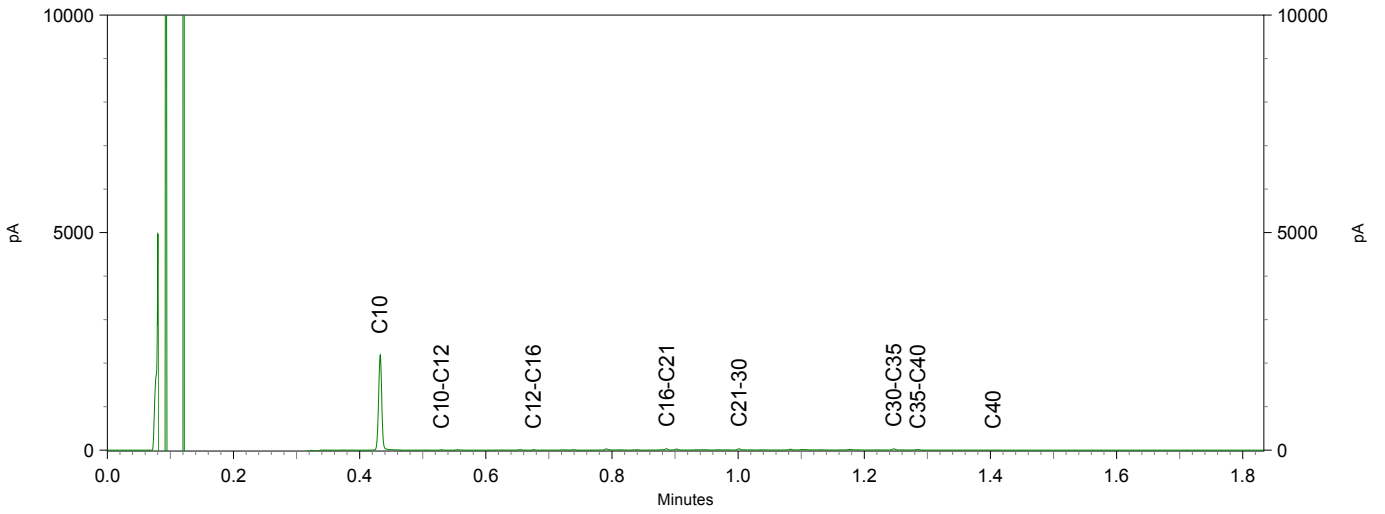
BNP Paribas S.A. 227 9245 25
IBAN: NL71BNPA0227924525
BIC: BNPANL2A
KvK/CoC No. 09088623
BTW/VAT No. NL 8043.14.883.B01

Eurofins Analytico B.V. is ISO 14001: 2004 gecertificeerd door TÜV en erkend door het Vlaamse Gewest (OVAM en Dep. Omgeving), het Brusselse Gewest (BIM), het Waalse Gewest (DGRNE-OWD) en door de overheid van Luxemburg (MEV).

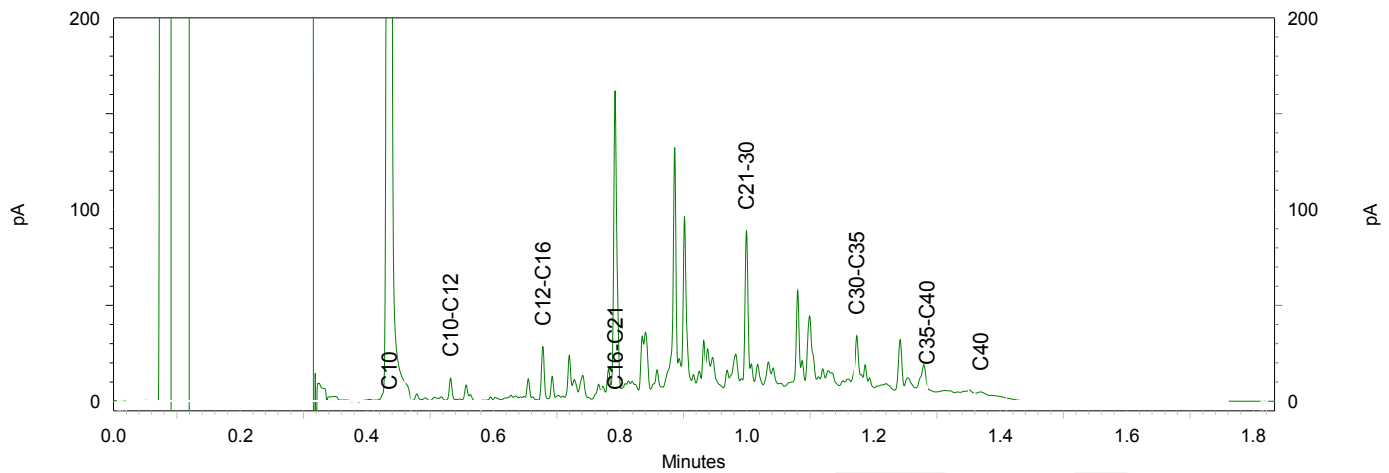
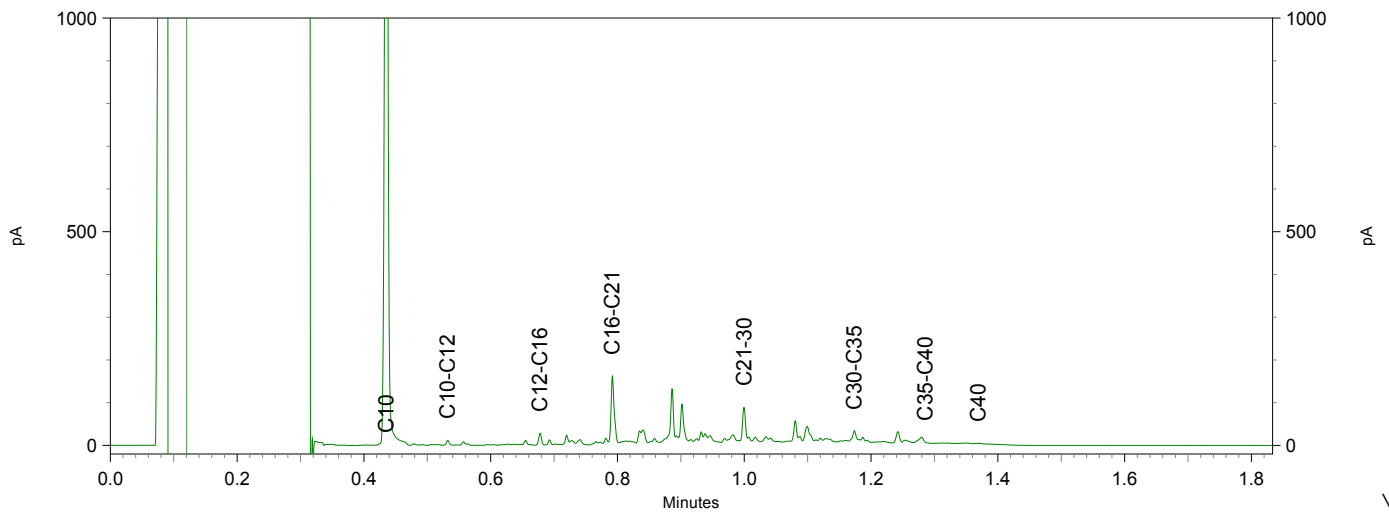
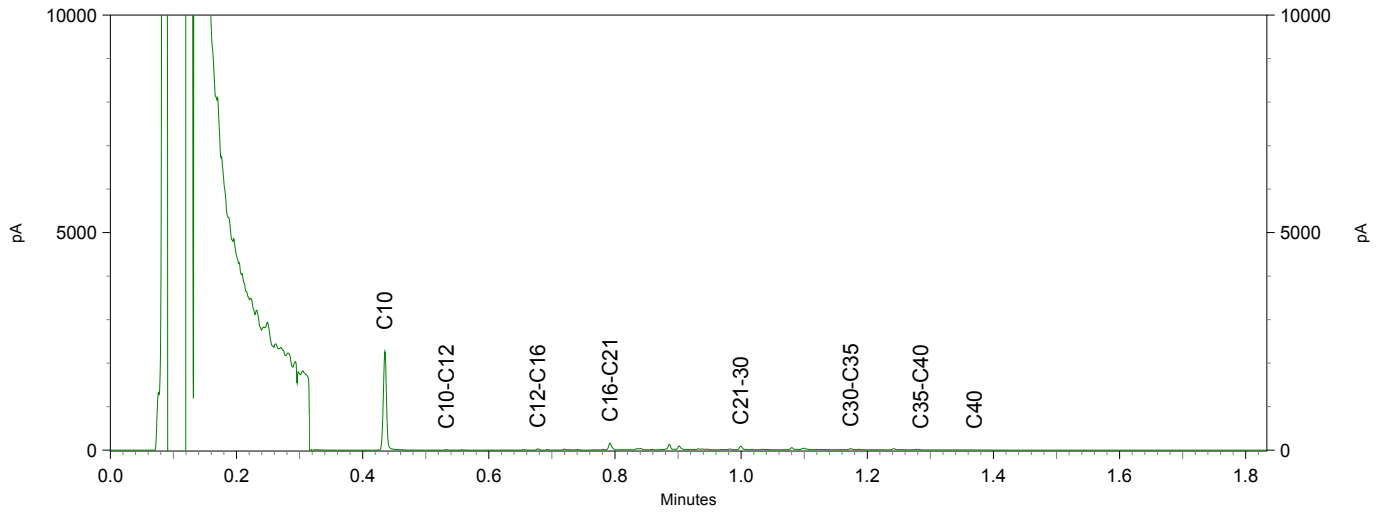
Sample ID.: 10123417
Certificate no.: 2018076048
Sample description.: MM01 BG ONV
V



Sample ID.: 10123420
 Certificate no.: 2018076048
 Sample description.: MM04 BG ONV
 V



Sample ID.: 10123421
 Certificate no.: 2018076048
 Sample description.: MM05 BG ONV
 V



Infrasoil - Veenendaal
T.a.v. B. Versteeg-Scholten
Postbus 409
3900 AK VEENENDAAL

Analyscertificaat

Datum: 02-Jun-2018

Hierbij ontvangt u de resultaten van het navolgende laboratoriumonderzoek.

Certificaatnummer/Versie	2018076061/1
Uw project/verslagnummer	01.18.1763
Uw projectnaam	Geertruidentuin te Deventer
Uw ordernummer	01.18.1763
Monster(s) ontvangen	25-May-2018

Dit certificaat mag uitsluitend in zijn geheel worden gereproduceerd.
De analyse resultaten hebben alleen betrekking op het beproefde object.

De grondmonsters worden tot 4 weken na datum ontvangst bewaard en watermonsters tot 2 weken na datum ontvangst. Zonder tegenbericht worden de monsters nadien afgevoerd.
Indien de monsters langer bewaard dienen te blijven verzoeken wij U dit exemplaar uiterlijk 1 werkdag voor afloop van de standaardbewaarperiode ondertekend aan ons te retourneren. Voor de kosten van het langer bewaren van monsters verwijzen wij naar de prijslijst.

Bewaren tot:

Datum:

Naam:

Handtekening:

Wij vertrouwen erop uw opdracht hiermee naar verwachting te hebben uitgevoerd, mocht U naar aanleiding van dit analyscertificaat nog vragen hebben verzoeken wij U contact op te nemen met de afdeling Verkoop en Advies.

Met vriendelijke groet,

Eurofins Analytico B.V.



Ing. A. Veldhuizen
Technical Manager

Eurofins Analytico B.V.

Gildeweg 42-46
3771 NB Barneveld
P.O. Box 459
3770 AL Barneveld NL

Tel. +31 (0)34 242 63 00
Fax +31 (0)34 242 63 99
E-mail info-env@eurofins.nl
Site www.eurofins.nl

BNP Paribas S.A. 227 9245 25
IBAN: NL71BNPA0227924525
BIC: BNPANL2A
KvK/CoC No. 09088623
BTW/VAT No. NL 8043.14.883.B01

Eurofins Analytico B.V. is ISO 14001: 2004 gecertificeerd door TÜV en erkend door het Vlaamse Gewest (OVAM en Dep. Omgeving), het Brusselse Gewest (BIM), het Waalse Gewest (DGRNE-OWD) en door de overheid van Luxemburg (MEV).

Analysecertificaat

Uw project/verslagnummer	01.18.1763	Certificaatnummer/Versie	2018076061/1
Uw projectnaam	Geertruidentuin te Deventer	Startdatum	29-May-2018
Uw ordernummer	01.18.1763	Rapportagedatum	02-Jun-2018/06:45
Monsternemer	S. de Jonge	Bijlage	A, B, C, D
Monstermatrix	Grond (AS3000)	Pagina	1/2

Analyse	Eenheid	1	2	3	4	5
Voorbehandeling						
Cryogeen malen AS3000		Uitgevoerd	Uitgevoerd	Uitgevoerd	Uitgevoerd	Uitgevoerd
Bodemkundige analyses						
S Droge stof	% (m/m)	90.3	91.7	91.0	86.1	90.9
S Organische stof	% (m/m) ds	1.7	1.7	1.4	1.1	<0.7
Gloeirest	% (m/m) ds	98.0	98.1	98.4	98.5	99.1
S Korrelgrootte < 2 µm (Lutum)	% (m/m) ds	4.1	3.2	3.6	5.5	7.6
Metalen						
S Barium (Ba)	mg/kg ds	36	44	45	31	<20
S Cadmium (Cd)	mg/kg ds	<0.20	<0.20	<0.20	<0.20	<0.20
S Kobalt (Co)	mg/kg ds	<3.0	3.2	<3.0	3.6	<3.0
S Koper (Cu)	mg/kg ds	23	31	21	7.9	5.5
S Kwik (Hg)	mg/kg ds	0.28	0.33	0.18	<0.050	<0.050
S Molybdeen (Mo)	mg/kg ds	<1.5	<1.5	<1.5	<1.5	<1.5
S Nikkel (Ni)	mg/kg ds	6.8	6.4	5.9	13	6.0
S Lood (Pb)	mg/kg ds	69	160	71	10	12
S Zink (Zn)	mg/kg ds	36	62	75	23	<20
Minerale olie						
Minerale olie (C10-C12)	mg/kg ds	<3.0	<3.0	<3.0	<3.0	<3.0
Minerale olie (C12-C16)	mg/kg ds	<5.0	<5.0	<5.0	<5.0	<5.0
Minerale olie (C16-C21)	mg/kg ds	5.4	<5.0	<5.0	<5.0	<5.0
Minerale olie (C21-C30)	mg/kg ds	<11	15	<11	<11	<11
Minerale olie (C30-C35)	mg/kg ds	9.4	8.2	5.9	5.7	5.6
Minerale olie (C35-C40)	mg/kg ds	<6.0	<6.0	<6.0	<6.0	<6.0
S Minerale olie totaal (C10-C40)	mg/kg ds	<35	<35	<35	<35	<35
Polychloorbifenylen, PCB						
S PCB 28	mg/kg ds	<0.0010	<0.0010	<0.0010	<0.0010	<0.0010
S PCB 52	mg/kg ds	<0.0010	<0.0010	<0.0010	<0.0010	<0.0010
S PCB 101	mg/kg ds	<0.0010	<0.0010	<0.0010	<0.0010	<0.0010
S PCB 118	mg/kg ds	<0.0010	<0.0010	<0.0010	<0.0010	<0.0010

Nr.	Monsterschrijving	Datum monstername	Monster nr.
1	MM07 OG ONV	23-May-2018	10123447
2	MM08 OG ONV	24-May-2018	10123448
3	MM09 OG ONV	23-May-2018	10123449
4	MM10 OG ONV	23-May-2018	10123450
5	MM11 OG ONV	23-May-2018	10123451

Eurofins Analytico B.V.

Gildeweg 42-46
3771 NB Barneveld
P.O. Box 459
3770 AL Barneveld NL
Tel. +31 (0)34 242 63 00
Fax +31 (0)34 242 63 99
E-mail info-env@eurofins.nl
Site www.eurofins.nl

BNP Paribas S.A. 227 9245 25
IBAN: NL71BNPA0227924525
BIC: BNPANL2A
KvK/CoC No. 09088623
BTW/VAT No. NL 8043.14.883.B01



Q: door RvA geaccrediteerde verrichting
R: AP04 erkende verrichting
S: RS SIKB erkende verrichting
V: VLAREL erkende verrichting
M: MCERTS erkend

Dit certificaat mag uitsluitend in zijn geheel worden gereproduceerd.
Eurofins Analytico B.V. is ISO 14001: 2004 gecertificeerd door TÜV en erkend door het Vlaamse Gewest (OVAM en Dep. Omgeving), het Brusselse Gewest (BIM), het Waalse Gewest (DGRNE-OWD) en door de overheid van Luxemburg (MEV).



Analysecertificaat

Uw project/verslagnummer	01.18.1763	Certificaatnummer/Versie	2018076061/1
Uw projectnaam	Geertruidentuin te Deventer	Startdatum	29-May-2018
Uw ordernummer	01.18.1763	Rapportagedatum	02-Jun-2018/06:45
Monsternemer	S. de Jonge	Bijlage	A, B, C, D
Monstermatrix	Grond (AS3000)	Pagina	2/2

Analyse	Eenheid	1	2	3	4	5
S PCB 138	mg/kg ds	<0.0010	<0.0010	<0.0010	<0.0010	<0.0010
S PCB 153	mg/kg ds	<0.0010	<0.0010	<0.0010	<0.0010	<0.0010
S PCB 180	mg/kg ds	<0.0010	<0.0010	<0.0010	<0.0010	<0.0010
S PCB (som 7) (factor 0,7)	mg/kg ds	0.0049 ¹⁾	0.0049 ¹⁾	0.0049 ¹⁾	0.0049 ¹⁾	0.0049 ¹⁾
Polycyclische Aromatische Koolwaterstoffen, PAK						
S Naftaleen	mg/kg ds	<0.050	0.066	<0.050	<0.050	<0.050
S Fenanthreen	mg/kg ds	0.059	0.70	0.14	<0.050	<0.050
S Anthraceen	mg/kg ds	<0.050	0.20	<0.050	<0.050	<0.050
S Fluorantheen	mg/kg ds	0.11	1.2	0.28	<0.050	<0.050
S Benzo(a)anthraceen	mg/kg ds	0.052	0.56	0.13	<0.050	<0.050
S Chryseen	mg/kg ds	0.054	0.54	0.13	<0.050	<0.050
S Benzo(k)fluorantheen	mg/kg ds	<0.050	0.24	0.066	<0.050	<0.050
S Benzo(a)pyreen	mg/kg ds	0.055	0.45	0.13	<0.050	<0.050
S Benzo(ghi)peryleen	mg/kg ds	<0.050	0.30	0.082	<0.050	<0.050
S Indeno(123-cd)pyreen	mg/kg ds	<0.050	0.35	0.068	<0.050	<0.050
S PAK VROM (10) (factor 0,7)	mg/kg ds	0.50	4.6	1.1	0.35 ¹⁾	0.35 ¹⁾

Nr. Monsteromschrijving

Nr.	Monsteromschrijving	Datum monstername	Monster nr.
1	MM07 OG ONV	23-May-2018	10123447
2	MM08 OG ONV	24-May-2018	10123448
3	MM09 OG ONV	23-May-2018	10123449
4	MM10 OG ONV	23-May-2018	10123450
5	MM11 OG ONV	23-May-2018	10123451

**Akkoord
Pr.coörd.**

VA

Eurofins Analytico B.V.



Q: door RvA geaccrediteerde verrichting
 R: AP04 erkende verrichting
 S: AS SIKB erkende verrichting
 V: VLAREL erkende verrichting
 M: MCERTS erkend

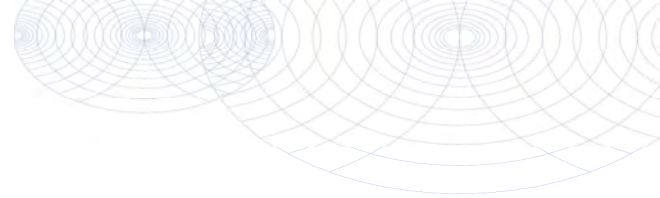
Dit certificaat mag uitsluitend in zijn geheel worden gereproduceerd.
 Eurofins Analytico B.V. is ISO 14001: 2004 gecertificeerd door TÜV en erkend door het Vlaamse Gewest (OVAM en Dep. Omgeving), het Brusselse Gewest (BIM), het Waalse Gewest (DGRNE-OWD) en door de overheid van Luxemburg (MEV).



**TESTEN
RvA L010**

Gildeweg 42-46 Tel. +31 (0)34 242 63 00
 3771 NB Barneveld Fax +31 (0)34 242 63 99
 P.O. Box 459 E-mail info-env@eurofins.nl
 3770 AL Barneveld NL Site www.eurofins.nl

BNP Paribas S.A. 227 9245 25
 IBAN: NL71BNPA0227924525
 BIC: BNPANL2A
 KvK/CoC No. 09088623
 BTW/VAT No. NL 8043.14.883.B01



Bijlage (A) met deelmonsterinformatie behorende bij analysecertificaat 2018076061/1

Pagina 1/1

Monster nr.	Boornr	Omschrijving	Van	Tot	Barcode	Monstername ID/Monsteromsch.
10123447	142	2	40	80	0535459429	9967295
10123447	119	4	120	170	0535459421	9967295
10123447	145	2	50	80	0535459155	9967295
10123447	146	4	100	150	0535457974	9967295
10123447	147	2	50	100	0535459251	9967295
10123447	148	2	50	100	0535457982	9967295
10123447	201	2	50	100	0535459262	9967295
10123448	505	3	100	150	0535457981	9967296
10123449	508	2	50	100	0535459632	9967297
10123449	509	2	50	100	0535459219	9967297
10123449	503	2	50	100	0535459211	9967297
10123449	503	7	300	350	0535459209	9967297
10123449	402	3	100	150	0535457998	9967297
10123449	224	3	70	100	0535459595	9967297
10123449	505	2	50	100	0535457976	9967297
10123450	101	3	70	110	0535459204	9967298
10123450	102	2	50	100	0535457991	9967298
10123450	144	4	150	200	0535458689	9967298
10123450	103	3	100	150	0535459259	9967298
10123450	136	2	50	100	0535458192	9967298
10123451	150	2	50	100	0535459243	9967299
10123451	145	3	80	110	0535459159	9967299
10123451	149	2	50	100	0535459161	9967299
10123451	149	4	150	200	0535459163	9967299

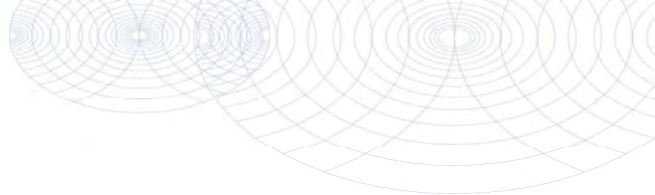


Eurofins Analytico B.V.

Gildeweg 42-46
 3771 NB Barneveld
 P.O. Box 459
 3770 AL Barneveld NL
 Tel. +31 (0)34 242 63 00
 Fax +31 (0)34 242 63 99
 E-mail info-env@eurofins.nl
 Site www.eurofins.nl

BNP Paribas S.A. 227 9245 25
 IBAN: NL71BNPA0227924525
 BIC: BNPANL2A
 KvK/CoC No. 09088623
 BTW/VAT No. NL 8043.14.883.B01

Eurofins Analytico B.V. is ISO 14001: 2004 gecertificeerd door TÜV en erkend door het Vlaamse Gewest (OVAM en Dep. Omgeving), het Brusselse Gewest (BIM), het Waalse Gewest (DGRNE-OWD) en door de overheid van Luxemburg (MEV).

**Bijlage (B) met opmerkingen behorende bij analysecertificaat 2018076061/1**

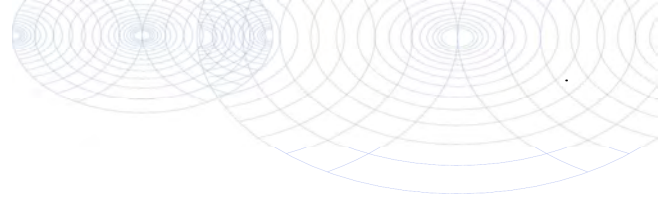
Pagina 1/1

Opmerking 1)De toetswaarde van de som is gelijk aan de sommatie van $0,7 \cdot RG$ **Eurofins Analytico B.V.**

Gildeweg 42-46 Tel. +31 (0)34 242 63 00
3771 NB Barneveld Fax +31 (0)34 242 63 99
P.O. Box 459 E-mail info-env@eurofins.nl
3770 AL Barneveld NL Site www.eurofins.nl

BNP Paribas S.A. 227 9245 25
IBAN: NL71BNPA0227924525
BIC: BNPNL2A
KvK/CoC No. 09088623
BTW/VAT No. NL 8043.14.883.B01

Eurofins Analytico B.V. is ISO 14001: 2004 gecertificeerd door TÜV en erkend door het Vlaamse Gewest (OVAM en Dep. Omgeving), het Brusselse Gewest (BIM), het Waalse Gewest (DGRNE-OWD) en door de overheid van Luxemburg (MEV).



Bijlage (C) met methodeverwijzingen behorende bij analysecertificaat 2018076061/1

Pagina 1/1

Analyse	Methode	Techniek	Methode referentie
Cryogeen malen AS3000	W0106	Voorbehandeling	Cf. AS3000
Droge Stof	W0104	Gravimetrie	Cf. pb 3010-2 en gw. NEN-EN 15934
Organische stof (gloeiverlies)	W0109	Gravimetrie	Cf. pb 3010-3 en cf. NEN 5754
Korrelgrootte < 2 µm (lutum)	W0171	Sedimentatie	Cf. pb 3010-4 en cf. NEN 5753
Barium (Ba)	W0423	ICP-MS	Cf. pb 3010-5 en cf. NEN-EN-ISO 17294-2
Cadmium (Cd)	W0423	ICP-MS	Cf. pb 3010-5 en cf. NEN-EN-ISO 17294-2
Kobalt (Co)	W0423	ICP-MS	Cf. pb 3010-5 en cf. NEN-EN-ISO 17294-2
Koper (Cu)	W0423	ICP-MS	Cf. pb 3010-5 en cf. NEN-EN-ISO 17294-2
Kwik (Hg)	W0423	ICP-MS	Cf. pb 3010-5 en cf. NEN-EN-ISO 17294-2
Molybdeen (Mo)	W0423	ICP-MS	Cf. pb 3010-5 en cf. NEN-EN-ISO 17294-2
Nikkel (Ni)	W0423	ICP-MS	Cf. pb 3010-5 en cf. NEN-EN-ISO 17294-2
Lood (Pb)	W0423	ICP-MS	Cf. pb 3010-5 en cf. NEN-EN-ISO 17294-2
Zink (Zn)	W0423	ICP-MS	Cf. pb 3010-5 en cf. NEN-EN-ISO 17294-2
Minerale Olie (C10-C40)	W0202	GC-FID	Cf. pb 3010-7 en gw. NEN-EN-ISO 16703
PCB (7)	W0271	GC-MS	Cf. pb 3010-8 en gw. NEN 6980
PAK som AS3000/AP04	W0271	GC-MS	Cf. pb. 3010-6 en gw. NEN-ISO 18287
PAK (10) (VROM)	W0271	GC-MS	Cf. pb. 3010-6 en gw. NEN-ISO 18287

Nadere informatie over de toegepaste onderzoeksmethoden alsmede een classificatie van de meetonzekerheid staan vermeld in ons overzicht "Specificaties analysemethoden", versie juni 2016.



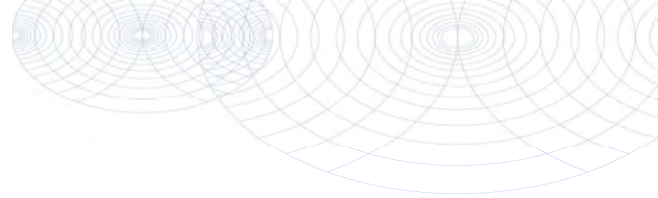
Eurofins Analytico B.V.

Gildeweg 42-46
3771 NB Barneveld
P.O. Box 459
3770 AL Barneveld NL

Tel. +31 (0)34 242 63 00
Fax +31 (0)34 242 63 99
E-mail info-env@eurofins.nl
Site www.eurofins.nl

BNP Paribas S.A. 227 9245 25
IBAN: NL71BNPA0227924525
BIC: BNPANL2A
KvK/CoC No. 09088623
BTW/VAT No. NL 8043.14.883.B01

Eurofins Analytico B.V. is ISO 14001: 2004 gecertificeerd door TÜV en erkend door het Vlaamse Gewest (OVAM en Dep. Omgeving), het Brusselse Gewest (BIM), het Waalse Gewest (DGRNE-OWD) en door de overheid van Luxemburg (MEV).

**Bijlage (D) opmerkingen aangaande de monstername en conserveringstermijn 2018076061/1**

Pagina 1/1

Er zijn verschillen met de richtlijnen geconstateerd die de betrouwbaarheid van de resultaten van onderstaande monsters of analyses mogelijk hebben beïnvloed.

Analyse

De conserveringstermijn is voor de betreffende analyse overschreden.

Minerale Olie (GC) (Voorbehandeling)

Monster nr.

10123447

**Eurofins Analytico B.V.**

Gildeweg 42-46
3771 NB Barneveld
P.O. Box 459
3770 AL Barneveld NL

Tel. +31 (0)34 242 63 00
Fax +31 (0)34 242 63 99
E-mail info-env@eurofins.nl
Site www.eurofins.nl

BNP Paribas S.A. 227 9245 25
IBAN: NL71BNPA0227924525
BIC: BNPANL2A
KvK/CoC No. 09088623
BTW/VAT No. NL 8043.14.883.B01

Eurofins Analytico B.V. is ISO 14001: 2004 gecertificeerd door TÜV en erkend door het Vlaamse Gewest (OVAM en Dep. Omgeving), het Brusselse Gewest (BIM), het Waalse Gewest (DGRNE-OWD) en door de overheid van Luxemburg (MEV).

Infrasoil - Veenendaal
T.a.v. B. Versteeg-Scholten
Postbus 409
3900 AK VEENENDAAL

Analyscertificaat

Datum: 05-Jun-2018

Hierbij ontvangt u de resultaten van het navolgende laboratoriumonderzoek.

Certificaatnummer/Versie	2018076075/1
Uw project/verslagnummer	01.18.1763
Uw projectnaam	Geertruidentuin te Deventer
Uw ordernummer	01.18.1763
Monster(s) ontvangen	25-May-2018

Dit certificaat mag uitsluitend in zijn geheel worden gereproduceerd.
De analyse resultaten hebben alleen betrekking op het beproefde object.

De grondmonsters worden tot 4 weken na datum ontvangst bewaard en watermonsters tot 2 weken na datum ontvangst. Zonder tegenbericht worden de monsters nadien afgevoerd.
Indien de monsters langer bewaard dienen te blijven verzoeken wij U dit exemplaar uiterlijk 1 werkdag voor afloop van de standaardbewaarperiode ondertekend aan ons te retourneren. Voor de kosten van het langer bewaren van monsters verwijzen wij naar de prijslijst.

Bewaren tot:

Datum:

Naam:

Handtekening:

Wij vertrouwen erop uw opdracht hiermee naar verwachting te hebben uitgevoerd, mocht U naar aanleiding van dit analyscertificaat nog vragen hebben verzoeken wij U contact op te nemen met de afdeling Verkoop en Advies.

Met vriendelijke groet,

Eurofins Analytico B.V.



Ing. A. Veldhuizen
Technical Manager

Eurofins Analytico B.V.

Gildeweg 42-46
3771 NB Barneveld
P.O. Box 459
3770 AL Barneveld NL

Tel. +31 (0)34 242 63 00
Fax +31 (0)34 242 63 99
E-mail info-env@eurofins.nl
Site www.eurofins.nl

BNP Paribas S.A. 227 9245 25
IBAN: NL71BNPA0227924525
BIC: BNPANL2A
KvK/CoC No. 09088623
BTW/VAT No. NL 8043.14.883.B01

Eurofins Analytico B.V. is ISO 14001: 2004 gecertificeerd door TÜV en erkend door het Vlaamse Gewest (OVAM en Dep. Omgeving), het Brusselse Gewest (BIM), het Waalse Gewest (DGRNE-OWD) en door de overheid van Luxemburg (MEV).

Analysecertificaat

Uw project/verslagnummer	01.18.1763	Certificaatnummer/Versie	2018076075/1
Uw projectnaam	Geertruidentuin te Deventer	Startdatum	29-May-2018
Uw ordernummer	01.18.1763	Rapportagedatum	05-Jun-2018/08:21
Monsternemer	R.W.E.M. Milder	Bijlage	A, B, C, D
Monstermatrix	Grond (AS3000)	Pagina	1/2

Analyse	Eenheid	1	2	3	4	5
Voorbehandeling						
Cryogeen malen AS3000		Uitgevoerd	Uitgevoerd	Uitgevoerd	Uitgevoerd	Uitgevoerd
Bodemkundige analyses						
S Droge stof	% (m/m)	81.6	92.3	90.8	91.6	89.5
S Organische stof	% (m/m) ds	<0.7	2.5	1.0	1.0	1.9
Gloeirest	% (m/m) ds	99.4	97.1	98.7	98.7	97.8
S Korrelgrootte < 2 µm (Lutum)	% (m/m) ds	3.1	5.5	4.4	4.0	4.9
Metalen						
S Barium (Ba)	mg/kg ds	<20	75	28	23	47
S Cadmium (Cd)	mg/kg ds	<0.20	<0.20	<0.20	<0.20	<0.20
S Kobalt (Co)	mg/kg ds	3.8	<3.0	<3.0	<3.0	<3.0
S Koper (Cu)	mg/kg ds	<5.0	20	12	9.4	33
S Kwik (Hg)	mg/kg ds	<0.050	0.22	0.14	0.14	0.38
S Molybdeen (Mo)	mg/kg ds	<1.5	<1.5	<1.5	<1.5	<1.5
S Nikkel (Ni)	mg/kg ds	14	4.9	6.2	5.9	5.7
S Lood (Pb)	mg/kg ds	<10	57	33	27	130
S Zink (Zn)	mg/kg ds	<20	40	28	25	66
Minerale olie						
Minerale olie (C10-C12)	mg/kg ds	<3.0	<3.0	<3.0	<3.0	<3.0
Minerale olie (C12-C16)	mg/kg ds	<5.0	<5.0	<5.0	<5.0	<5.0
Minerale olie (C16-C21)	mg/kg ds	<5.0	<5.0	<5.0	<5.0	<5.0
Minerale olie (C21-C30)	mg/kg ds	<11	20	<11	<11	<11
Minerale olie (C30-C35)	mg/kg ds	6.0	12	8.4	6.6	7.9
Minerale olie (C35-C40)	mg/kg ds	<6.0	<6.0	<6.0	<6.0	<6.0
S Minerale olie totaal (C10-C40)	mg/kg ds	<35	36	<35	<35	<35
Chromatogram olie (GC)			Zie bijl.			
Polychloorbifenylen, PCB						
S PCB 28	mg/kg ds	<0.0010	<0.0010	<0.0010	<0.0010	<0.0010
S PCB 52	mg/kg ds	<0.0010	0.0011	<0.0010	<0.0010	<0.0010
S PCB 101	mg/kg ds	<0.0010	0.0013	<0.0010	<0.0010	<0.0010

Nr.	Monsterschrijving	Datum monstername	Monster nr.
1	M-501	24-May-2018	10123496
2	MM12 VED-HE	23-May-2018	10123497
3	MM13 VED-HE	25-May-2018	10123498
4	MM14 VED-HE	24-May-2018	10123499
5	MM15 VED-HE	23-May-2018	10123500

Eurofins Analytico B.V.

Gildeweg 42-46
3771 NB Barneveld
P.O. Box 459
3770 AL Barneveld NL
Tel. +31 (0)34 242 63 00
Fax +31 (0)34 242 63 99
E-mail info-env@eurofins.nl
Site www.eurofins.nl

BNP Paribas S.A. 227 9245 25
IBAN: NL71BNPA0227924525
BIC: BNPANL2A
KvK/CoC No. 09088623
BTW/VAT No. NL 8043.14.883.B01



Q: door RvA geaccrediteerde verrichting
R: AP04 erkende verrichting
S: AS SIKB erkende verrichting
V: VLAREL erkende verrichting
M: MCERTS erkend

Dit certificaat mag uitsluitend in zijn geheel worden gereproduceerd.
Eurofins Analytico B.V. is ISO 14001: 2004 gecertificeerd door TÜV en erkend door het Vlaamse Gewest (OVAM en Dep. Omgeving), het Brusselse Gewest (BIM), het Waalse Gewest (DGRNE-OWD) en door de overheid van Luxemburg (MEV).



Analysecertificaat

Uw project/verslagnummer	01.18.1763	Certificaatnummer/Versie	2018076075/1
Uw projectnaam	Geertruidentuin te Deventer	Startdatum	29-May-2018
Uw ordernummer	01.18.1763	Rapportagedatum	05-Jun-2018/08:21
Monsternemer	R.W.E.M. Milder	Bijlage	A, B, C, D
Monstermatrix	Grond (AS3000)	Pagina	2/2

Analyse	Eenheid	1	2	3	4	5
S PCB 118	mg/kg ds	<0.0010	<0.0010	<0.0010	<0.0010	<0.0010
S PCB 138	mg/kg ds	<0.0010	0.0013 ²⁾	<0.0010	<0.0010	<0.0010
S PCB 153	mg/kg ds	<0.0010	<0.0010	<0.0010	<0.0010	<0.0010
S PCB 180	mg/kg ds	<0.0010	<0.0010	0.0012	<0.0010	<0.0010
S PCB (som 7) (factor 0,7)	mg/kg ds	0.0049 ¹⁾	0.0065	0.0054	0.0049 ¹⁾	0.0049 ¹⁾
Polycyclische Aromatische Koolwaterstoffen, PAK						
S Naftaleen	mg/kg ds	<0.050	<0.050	<0.050	<0.050	<0.050
S Fenanthreen	mg/kg ds	<0.050	0.84	0.089	0.095	<0.050
S Anthraceen	mg/kg ds	<0.050	0.24	<0.050	<0.050	<0.050
S Fluorantheen	mg/kg ds	<0.050	1.3	0.19	0.22	0.072
S Benzo(a)anthraceen	mg/kg ds	<0.050	<0.050	0.093	0.11	<0.050
S Chryseen	mg/kg ds	<0.050	0.67	0.096	0.10	<0.050
S Benzo(k)fluorantheen	mg/kg ds	<0.050	0.28	<0.050	<0.050	<0.050
S Benzo(a)pyreen	mg/kg ds	<0.050	0.51	0.089	0.094	<0.050
S Benzo(ghi)peryleen	mg/kg ds	<0.050	0.33	0.061	0.061	<0.050
S Indeno(123-cd)pyreen	mg/kg ds	<0.050	0.30	0.052	0.052	<0.050
S PAK VROM (10) (factor 0,7)	mg/kg ds	0.35 ¹⁾	4.6	0.77	0.83	0.39

Nr. Monsteromschrijving

Nr.	Monsteromschrijving	Datum monstername	Monster nr.
1	M-501	24-May-2018	10123496
2	MM12 VED-HE	23-May-2018	10123497
3	MM13 VED-HE	25-May-2018	10123498
4	MM14 VED-HE	24-May-2018	10123499
5	MM15 VED-HE	23-May-2018	10123500

**Akkoord
Pr.coörd.**

VA

Eurofins Analytico B.V.



Q: door RvA geaccrediteerde verrichting
 R: AP04 erkende verrichting
 S: AS SIKB erkende verrichting
 V: VLAREL erkende verrichting
 M: MCERTS erkend

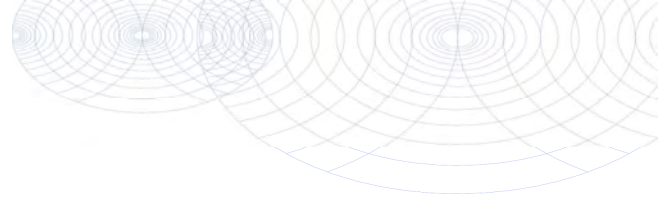
Dit certificaat mag uitsluitend in zijn geheel worden gereproduceerd.
 Eurofins Analytico B.V. is ISO 14001: 2004 gecertificeerd door TÜV en erkend door het Vlaamse Gewest (OVAM en Dep. Omgeving), het Brusselse Gewest (BIM), het Waalse Gewest (DGRNE-OWD) en door de overheid van Luxemburg (MEV).



**TESTEN
RvA L010**

Gildeweg 42-46
 3771 NB Barneveld
 P.O. Box 459
 3770 AL Barneveld NL
 Tel. +31 (0)34 242 63 00
 Fax +31 (0)34 242 63 99
 E-mail info-env@eurofins.nl
 Site www.eurofins.nl

BNP Paribas S.A. 227 9245 25
 IBAN: NL71BNPA0227924525
 BIC: BNPANL2A
 KvK/CoC No. 09088623
 BTW/VAT No. NL 8043.14.883.B01



Bijlage (A) met deelmonsterinformatie behorende bij analysecertificaat 2018076075/1

Pagina 1/1

Monster nr.	Boornr	Omschrijving	Van	Tot	Barcode	Monstername ID/Monsteromsch.
10123496	501	3	100	150	0535459634	9967300
10123496	501	4	150	200	0535459157	9967300
10123497	202	1	0	50	0535459586	9967301
10123497	203	1	0	20	0535459582	9967301
10123497	204	1	0	20	0535459592	9967301
10123497	301	1	0	50	0535459585	9967301
10123498	205	1	0	50	0535458162	9967302
10123498	221	1	0	50	0535459405	9967302
10123499	207	1	0	50	0535458156	9967303
10123499	208	1	0	50	0535458169	9967303
10123499	209	1	0	50	0535458163	9967303
10123499	210	1	0	50	0535457973	9967303
10123499	211	1	0	50	0535458170	9967303
10123499	213	1	0	50	0535457965	9967303
10123499	215	1	0	50	0535458295	9967303
10123499	217	1	0	50	0535459404	9967303
10123499	206	1	0	50	0535458167	9967303
10123500	223	1	0	50	0535459414	9967304
10123500	303	2	30	50	0535457964	9967304
10123500	302	2	30	50	0535459419	9967304

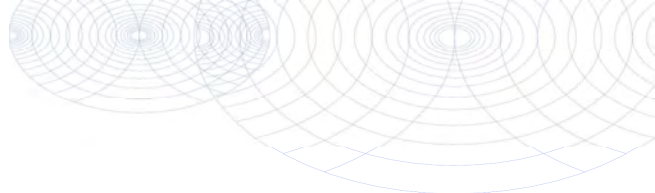


Eurofins Analytico B.V.

Gildeweg 42-46
 3771 NB Barneveld
 P.O. Box 459
 3770 AL Barneveld NL
 Tel. +31 (0)34 242 63 00
 Fax +31 (0)34 242 63 99
 E-mail info-env@eurofins.nl
 Site www.eurofins.nl

BNP Paribas S.A. 227 9245 25
 IBAN: NL71BNPA0227924525
 BIC: BNPANL2A
 KvK/CoC No. 09088623
 BTW/VAT No. NL 8043.14.883.B01

Eurofins Analytico B.V. is ISO 14001: 2004 gecertificeerd door TÜV en erkend door het Vlaamse Gewest (OVAM en Dep. Omgeving), het Brusselse Gewest (BIM), het Waalse Gewest (DGRNE-OWD) en door de overheid van Luxemburg (MEV).

**Bijlage (B) met opmerkingen behorende bij analysecertificaat 2018076075/1**

Pagina 1/1

Opmerking 1)De toetswaarde van de som is gelijk aan de sommatie van $0,7 \cdot RG$ **Opmerking 2)**

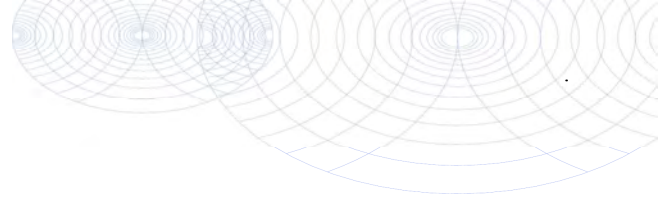
PCB 138 kan positief beïnvloed worden door PCB 163.

**Eurofins Analytico B.V.**

Gildeweg 42-46 Tel. +31 (0)34 242 63 00
3771 NB Barneveld Fax +31 (0)34 242 63 99
P.O. Box 459 E-mail info-env@eurofins.nl
3770 AL Barneveld NL Site www.eurofins.nl

BNP Paribas S.A. 227 9245 25
IBAN: NL71BNPA0227924525
BIC: BNPANL2A
KvK/CoC No. 09088623
BTW/VAT No. NL 8043.14.883.B01

Eurofins Analytico B.V. is ISO 14001: 2004 gecertificeerd door TÜV en erkend door het Vlaamse Gewest (OVAM en Dep. Omgeving), het Brusselse Gewest (BIM), het Waalse Gewest (DGRNE-OWD) en door de overheid van Luxemburg (MEV).



Bijlage (C) met methodeverwijzingen behorende bij analysecertificaat 2018076075/1

Pagina 1/1

Analyse	Methode	Techniek	Methode referentie
Cryogeen malen AS3000	W0106	Voorbehandeling	Cf. AS3000
Droge Stof	W0104	Gravimetrie	Cf. pb 3010-2 en gw. NEN-EN 15934
Organische stof (gloeiverlies)	W0109	Gravimetrie	Cf. pb 3010-3 en cf. NEN 5754
Korrelgrootte < 2 µm (lutum)	W0171	Sedimentatie	Cf. pb 3010-4 en cf. NEN 5753
Barium (Ba)	W0423	ICP-MS	Cf. pb 3010-5 en cf. NEN-EN-ISO 17294-2
Cadmium (Cd)	W0423	ICP-MS	Cf. pb 3010-5 en cf. NEN-EN-ISO 17294-2
Kobalt (Co)	W0423	ICP-MS	Cf. pb 3010-5 en cf. NEN-EN-ISO 17294-2
Koper (Cu)	W0423	ICP-MS	Cf. pb 3010-5 en cf. NEN-EN-ISO 17294-2
Kwik (Hg)	W0423	ICP-MS	Cf. pb 3010-5 en cf. NEN-EN-ISO 17294-2
Molybdeen (Mo)	W0423	ICP-MS	Cf. pb 3010-5 en cf. NEN-EN-ISO 17294-2
Nikkel (Ni)	W0423	ICP-MS	Cf. pb 3010-5 en cf. NEN-EN-ISO 17294-2
Lood (Pb)	W0423	ICP-MS	Cf. pb 3010-5 en cf. NEN-EN-ISO 17294-2
Zink (Zn)	W0423	ICP-MS	Cf. pb 3010-5 en cf. NEN-EN-ISO 17294-2
Minerale Olie (C10-C40)	W0202	GC-FID	Cf. pb 3010-7 en gw. NEN-EN-ISO 16703
Chromatogram M0 (GC)	W0202	GC-FID	Gelijkw. NEN-EN-ISO 16703
PCB (7)	W0271	GC-MS	Cf. pb 3010-8 en gw. NEN 6980
PAK (10) (VROM)	W0271	GC-MS	Cf. pb. 3010-6 en gw. NEN-ISO 18287
PAK som AS3000/AP04	W0271	GC-MS	Cf. pb. 3010-6 en gw. NEN-ISO 18287

Nadere informatie over de toegepaste onderzoeksmethoden alsmede een classificatie van de meetonzekerheid staan vermeld in ons overzicht "Specificaties analysemethoden", versie juni 2016.



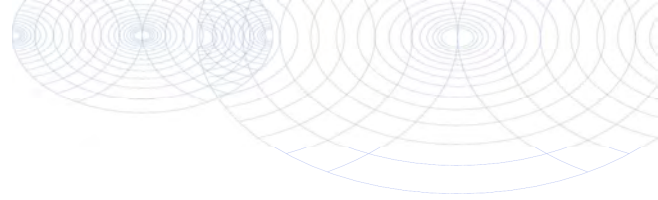
Eurofins Analytico B.V.

Gildeweg 42-46
3771 NB Barneveld
P.O. Box 459
3770 AL Barneveld NL

Tel. +31 (0)34 242 63 00
Fax +31 (0)34 242 63 99
E-mail info-env@eurofins.nl
Site www.eurofins.nl

BNP Paribas S.A. 227 9245 25
IBAN: NL71BNPA0227924525
BIC: BNPANL2A
KvK/CoC No. 09088623
BTW/VAT No. NL 8043.14.883.B01

Eurofins Analytico B.V. is ISO 14001: 2004 gecertificeerd door TÜV en erkend door het Vlaamse Gewest (OVAM en Dep. Omgeving), het Brusselse Gewest (BIM), het Waalse Gewest (DGRNE-OWD) en door de overheid van Luxemburg (MEV).

**Bijlage (D) opmerkingen aangaande de monstername en conserveringstermijn 2018076075/1**

Pagina 1/1

Er zijn verschillen met de richtlijnen geconstateerd die de betrouwbaarheid van de resultaten van onderstaande monsters of analyses mogelijk hebben beïnvloed.

Analyse

De conserveringstermijn is voor de betreffende analyse overschreden.

Minerale Olie (GC) (Voorbehandeling)

Monster nr.

10123497

**Eurofins Analytico B.V.**

Gildeweg 42-46
3771 NB Barneveld
P.O. Box 459
3770 AL Barneveld NL

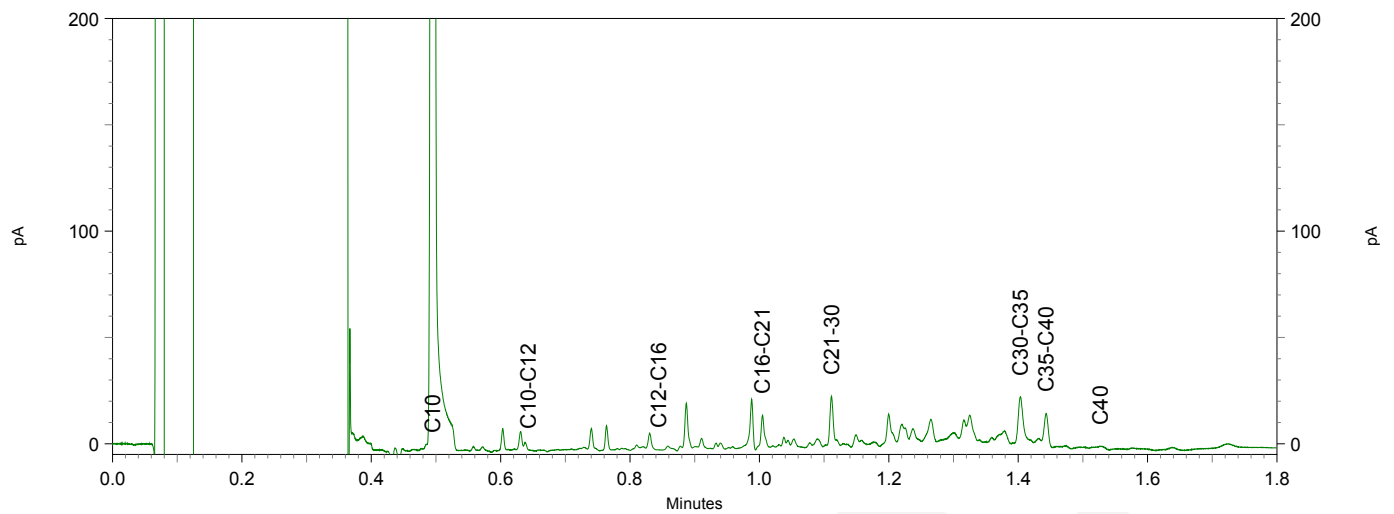
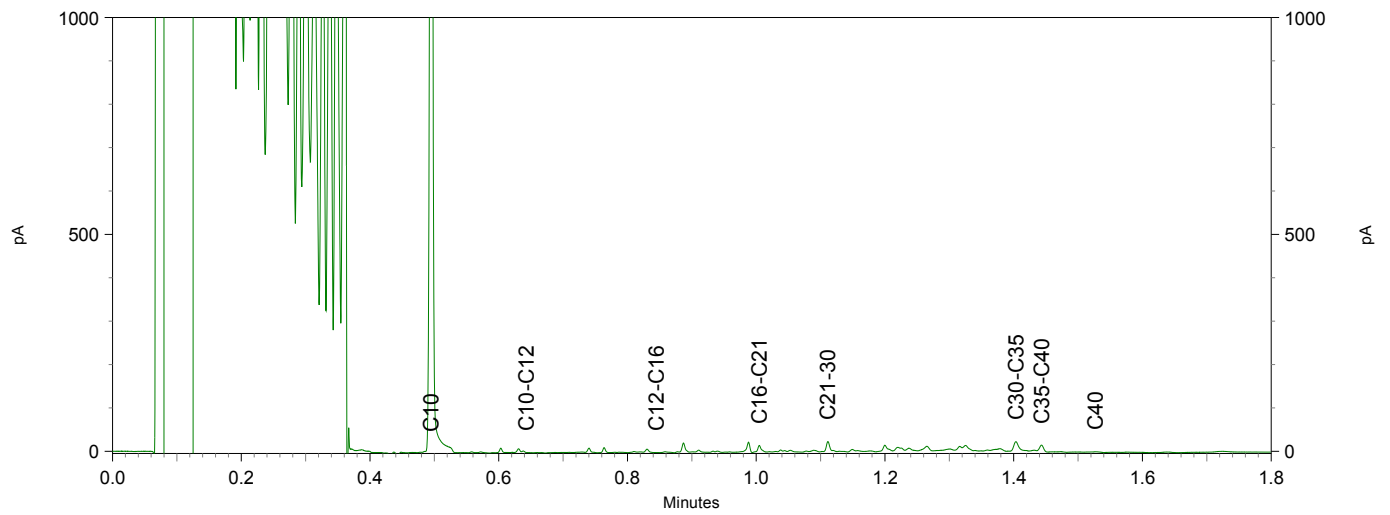
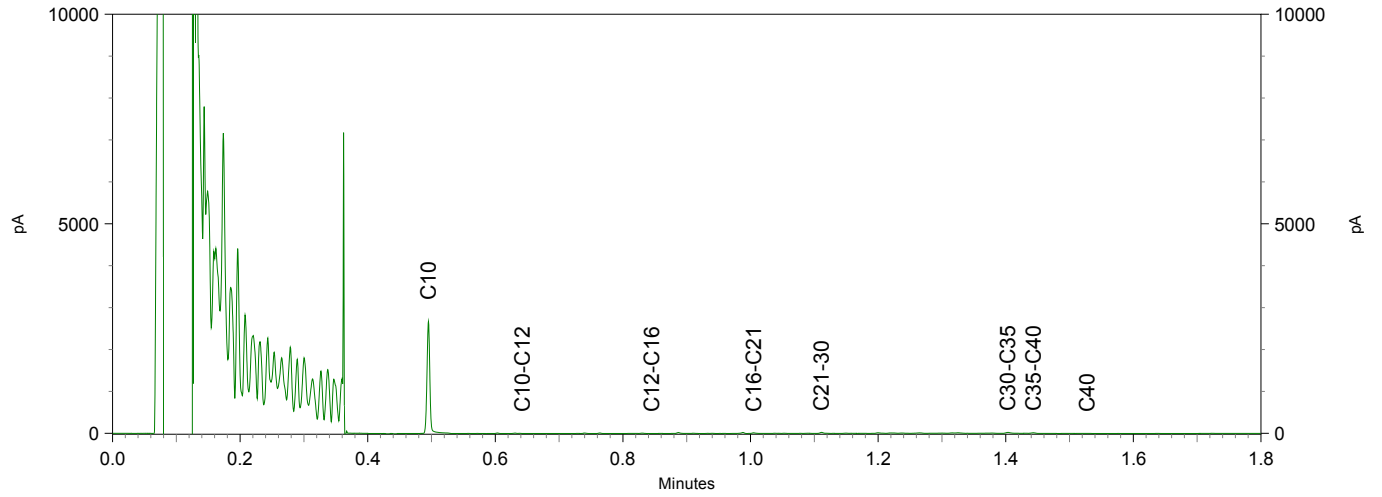
Tel. +31 (0)34 242 63 00
Fax +31 (0)34 242 63 99
E-mail info-env@eurofins.nl
Site www.eurofins.nl

BNP Paribas S.A. 227 9245 25
IBAN: NL71BNPA0227924525
BIC: BNPANL2A
KvK/CoC No. 09088623
BTW/VAT No. NL 8043.14.883.B01

Eurofins Analytico B.V. is ISO 14001: 2004 gecertificeerd door TÜV en erkend door het Vlaamse Gewest (OVAM en Dep. Omgeving), het Brusselse Gewest (BIM), het Waalse Gewest (DGRNE-OWD) en door de overheid van Luxemburg (MEV).

Chromatogram TPH/ Mineral Oil

Sample ID.: 10123497
 Certificate no.: 2018076075
 Sample description.: MM12 VED-HE
 V



Infrasoil - Veenendaal
 T.a.v. B. Versteeg-Scholten
 Postbus 409
 3900 AK VEENENDAAL

Analyscertificaat

Datum: 08-Jun-2018

Hierbij ontvangt u de resultaten van het navolgende laboratoriumonderzoek.

Certificaatnummer/Versie	2018080542/1
Uw project/verslagnummer	01.18.1763
Uw projectnaam	Geertruidentuin te Deventer
Uw ordernummer	01.18.1763
Monster(s) ontvangen	25-May-2018

Dit certificaat mag uitsluitend in zijn geheel worden gereproduceerd.
 De analyse resultaten hebben alleen betrekking op het beproefde object.

De grondmonsters worden tot 4 weken na datum ontvangst bewaard en watermonsters tot 2 weken na datum ontvangst. Zonder tegenbericht worden de monsters nadien afgevoerd.
 Indien de monsters langer bewaard dienen te blijven verzoeken wij U dit exemplaar uiterlijk 1 werkdag voor afloop van de standaardbewaarperiode ondertekend aan ons te retourneren. Voor de kosten van het langer bewaren van monsters verwijzen wij naar de prijslijst.

Bewaren tot:

Datum:

Naam:

Handtekening:

Wij vertrouwen erop uw opdracht hiermee naar verwachting te hebben uitgevoerd, mocht U naar aanleiding van dit analysecertificaat nog vragen hebben verzoeken wij U contact op te nemen met de afdeling Verkoop en Advies.

Met vriendelijke groet,

Eurofins Analytico B.V.



Ing. A. Veldhuizen
 Technical Manager

Eurofins Analytico B.V.

Gildeweg 42-46
 3771 NB Barneveld
 P.O. Box 459
 3770 AL Barneveld NL

Tel. +31 (0)34 242 63 00
 Fax +31 (0)34 242 63 99
 E-mail info-env@eurofins.nl
 Site www.eurofins.nl

BNP Paribas S.A. 227 9245 25
 IBAN: NL71BNPA0227924525
 BIC: BNPANL2A
 KvK/CoC No. 09088623
 BTW/VAT No. NL 8043.14.883.B01

Eurofins Analytico B.V. is ISO 14001: 2004 gecertificeerd door TÜV en erkend door het Vlaamse Gewest (OVAM en Dep. Omgeving), het Brusselse Gewest (BIM), het Waalse Gewest (DGRNE-OWD) en door de overheid van Luxemburg (MEV).

Analysecertificaat

Uw project/verslagnummer 01.18.1763
 Uw projectnaam Geertruidentuin te Deventer
 Uw ordernummer 01.18.1763

Monsternemer S. de Jonge
 Monstermatrix Grond (AS3000)

Certificaatnummer/Versie 2018080542/1
 Startdatum 05-Jun-2018
 Rapportagedatum 08-Jun-2018/13:54
 Bijlage A, B, C, D
 Pagina 1/2

Analyse	Eenheid	1
Voorbehandeling		
Cryogeen malen AS3000		Uitgevoerd
Bodemkundige analyses		
S Droge stof	% (m/m)	90.6
S Organische stof	% (m/m) ds	1.4
Gloeirest	% (m/m) ds	98.3
S Korrelgrootte < 2 µm (Lutum)	% (m/m) ds	4.4
Metalen		
S Barium (Ba)	mg/kg ds	28
S Cadmium (Cd)	mg/kg ds	<0.20
S Kobalt (Co)	mg/kg ds	<3.0
S Koper (Cu)	mg/kg ds	14
S Kwik (Hg)	mg/kg ds	0.19
S Molybdeen (Mo)	mg/kg ds	<1.5
S Nikkel (Ni)	mg/kg ds	6.5
S Lood (Pb)	mg/kg ds	36
S Zink (Zn)	mg/kg ds	26
Minerale olie		
Minerale olie (C10-C12)	mg/kg ds	<3.0
Minerale olie (C12-C16)	mg/kg ds	<5.0
Minerale olie (C16-C21)	mg/kg ds	<5.0
Minerale olie (C21-C30)	mg/kg ds	<11
Minerale olie (C30-C35)	mg/kg ds	<5.0
Minerale olie (C35-C40)	mg/kg ds	<6.0
S Minerale olie totaal (C10-C40)	mg/kg ds	<35
Polychloorbifenylen, PCB		
S PCB 28	mg/kg ds	<0.0010
S PCB 52	mg/kg ds	<0.0010
S PCB 101	mg/kg ds	<0.0010
S PCB 118	mg/kg ds	<0.0010

Nr.	Monsterschrijving	Datum monstername	Monster nr.
1	MM16	23-May-2018	10137668

Eurofins Analytico B.V.

Gildeweg 42-46
 3771 NB Barneveld
 P.O. Box 459
 3770 AL Barneveld NL

Tel. +31 (0)34 242 63 00
 Fax +31 (0)34 242 63 99
 E-mail info-env@eurofins.nl
 Site www.eurofins.nl

BNP Paribas S.A. 227 9245 25
 IBAN: NL71BNPA0227924525
 BIC: BNPANL2A
 KvK/CoC No. 09088623
 BTW/VAT No. NL 8043.14.883.B01

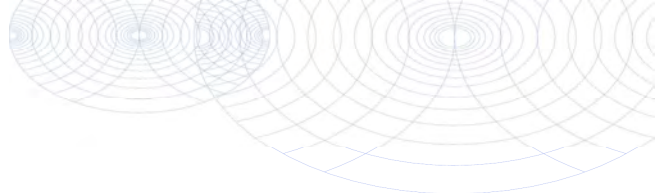


Q: door RvA geaccrediteerde verrichting
 R: AP04 erkende verrichting
 S: AS SIKB erkende verrichting
 V: VLAREL erkende verrichting
 M: MCERTS erkend

Dit certificaat mag uitsluitend in zijn geheel worden gereproduceerd.
 Eurofins Analytico B.V. is ISO 14001: 2004 gecertificeerd door TÜV en erkend door het Vlaamse Gewest (OVAM en Dep. Omgeving), het Brusselse Gewest (BIM), het Waalse Gewest (DGRNE-OWD) en door de overheid van Luxemburg (MEV).



TESTEN
 RvA L010



Analysecertificaat

Uw project/verslagnummer 01.18.1763
 Uw projectnaam Geertruidentuin te Deventer
 Uw ordernummer 01.18.1763

Monsternemer S. de Jonge
 Monstermatrix Grond (AS3000)

Certificaatnummer/Versie 2018080542/1
 Startdatum 05-Jun-2018
 Rapportagedatum 08-Jun-2018/13:54
 Bijlage A, B, C, D
 Pagina 2/2

Analyse	Eenheid	1
S PCB 138	mg/kg ds	<0.0010
S PCB 153	mg/kg ds	<0.0010
S PCB 180	mg/kg ds	<0.0010
S PCB (som 7) (factor 0,7)	mg/kg ds	0.0049 ¹⁾
Polycyclische Aromatische Koolwaterstoffen, PAK		
S Naftaleen	mg/kg ds	<0.050
S Fenanthreen	mg/kg ds	<0.050
S Anthraceen	mg/kg ds	<0.050
S Fluorantheen	mg/kg ds	0.061
S Benzo(a)anthraceen	mg/kg ds	<0.050
S Chryseen	mg/kg ds	<0.050
S Benzo(k)fluorantheen	mg/kg ds	<0.050
S Benzo(a)pyreen	mg/kg ds	<0.050
S Benzo(ghi)peryleen	mg/kg ds	<0.050
S Indeno(123-cd)pyreen	mg/kg ds	<0.050
S PAK VROM (10) (factor 0,7)	mg/kg ds	0.38

Nr. Monsteromschrijving

1 MM16

Datum monstername

23-May-2018

Monster nr.

10137668

Eurofins Analytico B.V.

Gildeweg 42-46
 3771 NB Barneveld
 P.O. Box 459
 3770 AL Barneveld NL

Tel. +31 (0)34 242 63 00
 Fax +31 (0)34 242 63 99
 E-mail info-env@eurofins.nl
 Site www.eurofins.nl

BNP Paribas S.A. 227 9245 25
 IBAN: NL71BNPA0227924525
 BIC: BNPANL2A
 KvK/CoC No. 09088623
 BTW/VAT No. NL 8043.14.883.B01



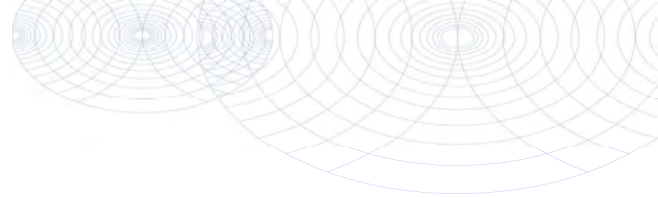
Q: door RvA geaccrediteerde verrichting
 A: AP04 erkende verrichting
 S: AS SIKB erkende verrichting
 V: VLAREL erkende verrichting
 M: MCERTS erkend

Dit certificaat mag uitsluitend in zijn geheel worden gereproduceerd.
 Eurofins Analytico B.V. is ISO 14001: 2004 gecertificeerd door TÜV en erkend door het Vlaamse Gewest (OVAM en Dep. Omgeving), het Brusselse Gewest (BIM), het Waalse Gewest (DGRNE-OWD) en door de overheid van Luxemburg (MEV).



Akkoord
 Pr.coörd.

VA



Bijlage (A) met deelmonsterinformatie behorende bij analysecertificaat 2018080542/1

Pagina 1/1

Monster nr.	Boornr	Omschrijving	Van	Tot	Barcode	Monstername ID/Monsteromsch.
10137668	502	1	0	50	0535458683	9967354
10137668	135	1	0	50	0535459370	9967354
10137668	134	1	0	50	0535459363	9967354
10137668	125	1	0	50	0535459364	9967354
10137668	105	1	0	30	0535457989	9967354
10137668	104	1	0	50	0535458195	9967354
10137668	118	1	8	50	0535459217	9967354

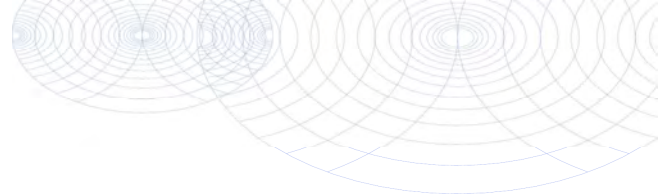


Eurofins Analytico B.V.

Gildeweg 42-46
 3771 NB Barneveld
 P.O. Box 459
 3770 AL Barneveld NL
 Tel. +31 (0)34 242 63 00
 Fax +31 (0)34 242 63 99
 E-mail info-env@eurofins.nl
 Site www.eurofins.nl

BNP Paribas S.A. 227 9245 25
 IBAN: NL71BNPA0227924525
 BIC: BNPANL2A
 KvK/CoC No. 09088623
 BTW/VAT No. NL 8043.14.883.B01

Eurofins Analytico B.V. is ISO 14001: 2004 gecertificeerd door TÜV en erkend door het Vlaamse Gewest (OVAM en Dep. Omgeving), het Brusselse Gewest (BIM), het Waalse Gewest (DGRNE-OWD) en door de overheid van Luxemburg (MEV).

**Bijlage (B) met opmerkingen behorende bij analysecertificaat 2018080542/1**

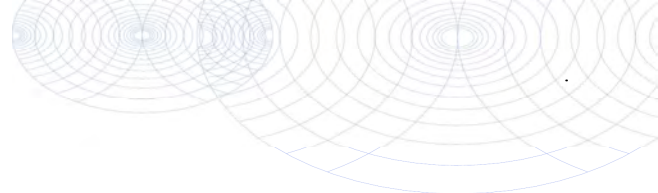
Pagina 1/1

Opmerking 1)De toetswaarde van de som is gelijk aan de sommatie van $0,7 \cdot RG$ **Eurofins Analytico B.V.**

Gildeweg 42-46 Tel. +31 (0)34 242 63 00
3771 NB Barneveld Fax +31 (0)34 242 63 99
P.O. Box 459 E-mail info-env@eurofins.nl
3770 AL Barneveld NL Site www.eurofins.nl

BNP Paribas S.A. 227 9245 25
IBAN: NL71BNPA0227924525
BIC: BNPNL2A
KvK/CoC No. 09088623
BTW/VAT No. NL 8043.14.883.B01

Eurofins Analytico B.V. is ISO 14001: 2004 gecertificeerd door TÜV en erkend door het Vlaamse Gewest (OVAM en Dep. Omgeving), het Brusselse Gewest (BIM), het Waalse Gewest (DGRNE-OWD) en door de overheid van Luxemburg (MEV).



Bijlage (C) met methodeverwijzingen behorende bij analysecertificaat 2018080542/1

Pagina 1/1

Analyse	Methode	Techniek	Methode referentie
Cryogeen malen AS3000	W0106	Voorbehandeling	Cf. AS3000
Droge Stof	W0104	Gravimetrie	Cf. pb 3010-2 en gw. NEN-EN 15934
Organische stof (gloeiverlies)	W0109	Gravimetrie	Cf. pb 3010-3 en cf. NEN 5754
Korrelgrootte < 2 µm (lutum)	W0171	Sedimentatie	Cf. pb 3010-4 en cf. NEN 5753
Barium (Ba)	W0423	ICP-MS	Cf. pb 3010-5 en cf. NEN-EN-ISO 17294-2
Cadmium (Cd)	W0423	ICP-MS	Cf. pb 3010-5 en cf. NEN-EN-ISO 17294-2
Kobalt (Co)	W0423	ICP-MS	Cf. pb 3010-5 en cf. NEN-EN-ISO 17294-2
Koper (Cu)	W0423	ICP-MS	Cf. pb 3010-5 en cf. NEN-EN-ISO 17294-2
Kwik (Hg)	W0423	ICP-MS	Cf. pb 3010-5 en cf. NEN-EN-ISO 17294-2
Molybdeen (Mo)	W0423	ICP-MS	Cf. pb 3010-5 en cf. NEN-EN-ISO 17294-2
Nikkel (Ni)	W0423	ICP-MS	Cf. pb 3010-5 en cf. NEN-EN-ISO 17294-2
Lood (Pb)	W0423	ICP-MS	Cf. pb 3010-5 en cf. NEN-EN-ISO 17294-2
Zink (Zn)	W0423	ICP-MS	Cf. pb 3010-5 en cf. NEN-EN-ISO 17294-2
Minerale Olie (C10-C40)	W0202	GC-FID	Cf. pb 3010-7 en gw. NEN-EN-ISO 16703
PCB (7)	W0271	GC-MS	Cf. pb 3010-8 en gw. NEN 6980
PAK (10) (VROM)	W0271	GC-MS	Cf. pb. 3010-6 en gw. NEN-ISO 18287
PAK som AS3000/AP04	W0271	GC-MS	Cf. pb. 3010-6 en gw. NEN-ISO 18287

Nadere informatie over de toegepaste onderzoeksmethoden alsmede een classificatie van de meetonzekerheid staan vermeld in ons overzicht "Specificaties analysemethoden", versie juni 2016.



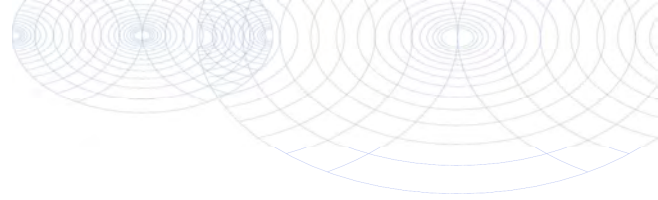
Eurofins Analytico B.V.

Gildeweg 42-46
3771 NB Barneveld
P.O. Box 459
3770 AL Barneveld NL

Tel. +31 (0)34 242 63 00
Fax +31 (0)34 242 63 99
E-mail info-env@eurofins.nl
Site www.eurofins.nl

BNP Paribas S.A. 227 9245 25
IBAN: NL71BNPA0227924525
BIC: BNPANL2A
KvK/CoC No. 09088623
BTW/VAT No. NL 8043.14.883.B01

Eurofins Analytico B.V. is ISO 14001: 2004 gecertificeerd door TÜV en erkend door het Vlaamse Gewest (OVAM en Dep. Omgeving), het Brusselse Gewest (BIM), het Waalse Gewest (DGRNE-OWD) en door de overheid van Luxemburg (MEV).

**Bijlage (D) opmerkingen aangaande de monstername en conserveringstermijn 2018080542/1**

Pagina 1/1

Er zijn verschillen met de richtlijnen geconstateerd die de betrouwbaarheid van de resultaten van onderstaande monsters of analyses mogelijk hebben beïnvloed.

Analyse	Monster nr.
De conserveringstermijn is voor de betreffende analyse overschreden.	
Minerale Olie (GC) (Voorbehandeling)	10137668
Extractie PCB/PAK	10137668

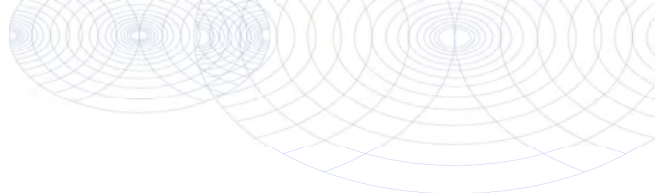
**Eurofins Analytico B.V.**

Gildeweg 42-46
3771 NB Barneveld
P.O. Box 459
3770 AL Barneveld NL

Tel. +31 (0)34 242 63 00
Fax +31 (0)34 242 63 99
E-mail info-env@eurofins.nl
Site www.eurofins.nl

BNP Paribas S.A. 227 9245 25
IBAN: NL71BNPA0227924525
BIC: BNPANL2A
KvK/CoC No. 09088623
BTW/VAT No. NL 8043.14.883.B01

Eurofins Analytico B.V. is ISO 14001: 2004 gecertificeerd door TÜV en erkend door het Vlaamse Gewest (OVAM en Dep. Omgeving), het Brusselse Gewest (BIM), het Waalse Gewest (DGRNE-OWD) en door de overheid van Luxemburg (MEV).



Infrasoil - Veenendaal
T.a.v. B. Versteeg-Scholten
Postbus 409
3900 AK VEENENDAAL

Analyscertificaat

Datum: 05-Jun-2018

Hierbij ontvangt u de resultaten van het navolgende laboratoriumonderzoek.

Certificaatnummer/Versie	2018075940/1
Uw project/verslagnummer	01.18.1763
Uw projectnaam	Geertruidentuin te Deventer
Uw ordernummer	01.18.1763
Monster(s) ontvangen	25-May-2018

Dit certificaat mag uitsluitend in zijn geheel worden gereproduceerd.
De analyse resultaten hebben alleen betrekking op het beproefde object.

De grondmonsters worden tot 4 weken na datum ontvangst bewaard en watermonsters tot 2 weken na datum ontvangst. Zonder tegenbericht worden de monsters nadien afgevoerd.
Indien de monsters langer bewaard dienen te blijven verzoeken wij U dit exemplaar uiterlijk 1 werkdag voor afloop van de standaardbewaarperiode ondertekend aan ons te retourneren. Voor de kosten van het langer bewaren van monsters verwijzen wij naar de prijslijst.

Bewaren tot:

Datum:

Naam:

Handtekening:

Wij vertrouwen erop uw opdracht hiermee naar verwachting te hebben uitgevoerd, mocht U naar aanleiding van dit analyscertificaat nog vragen hebben verzoeken wij U contact op te nemen met de afdeling Verkoop en Advies.

Met vriendelijke groet,

Eurofins Analytico B.V.



Ing. A. Veldhuizen
Technical Manager

Eurofins Analytico B.V.

Gildeweg 42-46
3771 NB Barneveld
P.O. Box 459
3770 AL Barneveld NL

Tel. +31 (0)34 242 63 00
Fax +31 (0)34 242 63 99
E-mail info-env@eurofins.nl
Site www.eurofins.nl

BNP Paribas S.A. 227 9245 25
IBAN: NL71BNPA0227924525
BIC: BNPANL2A
KvK/CoC No. 09088623
BTW/VAT No. NL 8043.14.883.B01

Eurofins Analytico B.V. is ISO 14001: 2004 gecertificeerd door TÜV en erkend door het Vlaamse Gewest (OVAM en Dep. Omgeving), het Brusselse Gewest (BIM), het Waalse Gewest (DGRNE-OWD) en door de overheid van Luxemburg (MEV).

Analysecertificaat

Uw project/verslagnummer 01.18.1763
 Uw projectnaam Geertruidentuin te Deventer
 Uw ordernummer 01.18.1763

Monsternemer R.W.E.M. Milder
 Monstermatrix Asbestverdachte grond

Certificaatnummer/Versie 2018075940/1
 Startdatum 28-May-2018
 Rapportagedatum 05-Jun-2018/12:46
 Bijlage A, B, C
 Pagina 1/2

Analyse	Eenheid	1	2	3	4	5
Bodemkundige analyses						
Droge stof (uitbesteed)	% (m/m)	93.0 ¹⁾	89.6 ¹⁾	98.3 ¹⁾	88.8 ¹⁾	91.1 ¹⁾
Uitbesteed / Overig onderzoek						
In behandeling genomen hoeveelheid	kg	15.8 ²⁾	14.5 ²⁾	14.8 ²⁾	15.2 ²⁾	15.9 ²⁾
Asbest fractie 0,5-1mm	mg	0.0 ²⁾	0.0 ²⁾	0.0 ²⁾	0.0 ²⁾	0.0 ²⁾
Asbest fractie 1-2mm	mg	0.0 ²⁾	0.0 ²⁾	0.0 ²⁾	0.0 ²⁾	0.0 ²⁾
Asbest fractie 2-4mm	mg	0.0 ²⁾	0.0 ²⁾	0.0 ²⁾	0.0 ²⁾	0.0 ²⁾
Asbest fractie 4-8mm	mg	0.0 ²⁾	0.0 ²⁾	0.0 ²⁾	0.0 ²⁾	19 ²⁾
Asbest fractie 8-20mm	mg	0.0 ²⁾	0.0 ²⁾	0.0 ²⁾	0.0 ²⁾	0.0 ²⁾
Asbest fractie >20mm	mg	0.0 ²⁾	0.0 ²⁾	0.0 ²⁾	0.0 ²⁾	0.0 ²⁾
Asbest (som)	mg	<0.4 ²⁾	<4.9 ²⁾	<4.0 ²⁾	<5.1 ²⁾	19 ²⁾
Asbest in grond	mg/kg ds	<0.1 ²⁾	<0.4 ²⁾	<0.3 ²⁾	<0.4 ²⁾	1.3 ²⁾
Gemeten Asbestconcentratie	mg/kg ds	<0.1 ²⁾	<0.4 ²⁾	<0.3 ²⁾	<0.4 ²⁾	1.3 ²⁾
Gemeten concentratie Chrysotiel	mg/kg ds	<0.1 ²⁾	<0.4 ²⁾	<0.3 ²⁾	<0.4 ²⁾	1.3 ²⁾
Gemeten concentratie Amfibool	mg/kg ds	0.0 ²⁾	0.0 ²⁾	0.0 ²⁾	0.0 ²⁾	0.0 ²⁾
Totaal asbest hechtgebonden	mg/kg ds	0.0 ²⁾	0.0 ²⁾	0.0 ²⁾	0.0 ²⁾	1.3 ²⁾
Totaal asbest niet hechtgebonden	mg/kg ds	0.0 ²⁾	0.0 ²⁾	0.0 ²⁾	0.0 ²⁾	0.0 ²⁾

Nr. Monsteromschrijving

Nr.	Monsteromschrijving	Datum monstername	Monster nr.
1	MM01	24-May-2018	10122997
2	MM02	24-May-2018	10122998
3	MM03	23-May-2018	10122999
4	MM04	23-May-2018	10123000
5	MM05	25-May-2018	10123001

Q: door RvA geaccrediteerde verrichting
 R: AP04 erkende verrichting
 S: AS SIKB erkende verrichting
 V: VLAREL erkende verrichting
 M: MCERTS erkend

Eurofins Analytico B.V.

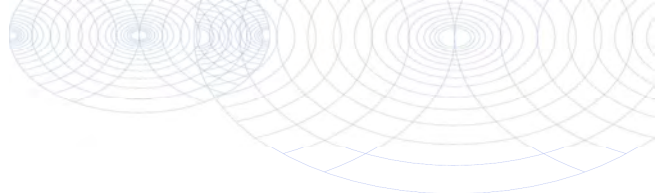
Dit certificaat mag uitsluitend in zijn geheel worden gereproduceerd.

Gildeweg 42-46
 3771 NB Barneveld
 P.O. Box 459
 3770 AL Barneveld NL

Tel. +31 (0)34 242 63 00
 Fax +31 (0)34 242 63 99
 E-mail info-env@eurofins.nl
 Site www.eurofins.nl

BNP Paribas S.A. 227 9245 25
 IBAN: NL71BNPA0227924525
 BIC: BNPANL2A
 KvK/CoC No. 09088623
 BTW/VAT No. NL 8043.14.883.B01

Eurofins Analytico B.V. is ISO 14001: 2004 gecertificeerd door TÜV en erkend door het Vlaamse Gewest (OVAM en Dep. Omgeving), het Brusselse Gewest (BIM), het Waalse Gewest (DGRNE-OWD) en door de overheid van Luxemburg (MEV).



Analysecertificaat

Uw project/verslagnummer 01.18.1763
 Uw projectnaam Geertruidentuin te Deventer
 Uw ordernummer 01.18.1763

Monsternemer R.W.E.M. Milder
 Monstermatrix Asbestverdachte grond

Certificaatnummer/Versie 2018075940/1
 Startdatum 28-May-2018
 Rapportagedatum 05-Jun-2018/12:46
 Bijlage A, B, C
 Pagina 2/2

Analyse	Eenheid	6
Bodemkundige analyses		
Droge stof (uitbesteed)	% (m/m)	90.0 ¹⁾
Uitbesteed / Overig onderzoek		
In behandeling genomen hoeveelheid	kg	14.7 ²⁾
Asbest fractie 0,5-1mm	mg	0.0 ²⁾
Asbest fractie 1-2mm	mg	0.0 ²⁾
Asbest fractie 2-4mm	mg	0.0 ²⁾
Asbest fractie 4-8mm	mg	0.0 ²⁾
Asbest fractie 8-20mm	mg	0.0 ²⁾
Asbest fractie >20mm	mg	0.0 ²⁾
Asbest (som)	mg	<0.1 ²⁾
Asbest in grond	mg/kg ds	<0.1 ²⁾
Gemeten Asbestconcentratie	mg/kg ds	<0.1 ²⁾
Gemeten concentratie Chrysotiel	mg/kg ds	<0.1 ²⁾
Gemeten concentratie Amfibool	mg/kg ds	0.0 ²⁾
Totaal asbest hechtgebonden	mg/kg ds	0.0 ²⁾
Totaal asbest niet hechtgebonden	mg/kg ds	0.0 ²⁾

Nr. Monsteromschrijving

6 MM06

Datum monstername

25-May-2018

Monster nr.

10123002

Eurofins Analytico B.V.

Gildeweg 42-46
 3771 NB Barneveld
 P.O. Box 459
 3770 AL Barneveld NL

Tel. +31 (0)34 242 63 00
 Fax +31 (0)34 242 63 99
 E-mail info-env@eurofins.nl
 Site www.eurofins.nl

BNP Paribas S.A. 227 9245 25
 IBAN: NL71BNPA0227924525
 BIC: BNPANL2A
 KvK/CoC No. 09088623
 BTW/VAT No. NL 8043.14.883.B01

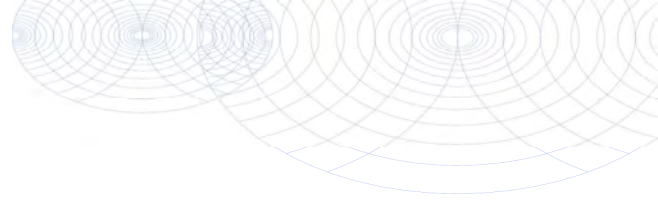
Q: door RvA geaccrediteerde verrichting
 A: AP04 erkende verrichting
 S: AS SIKB erkende verrichting
 V: VLAREL erkende verrichting
 M: MCERTS erkend

Dit certificaat mag uitsluitend in zijn geheel worden gereproduceerd.

Eurofins Analytico B.V. is ISO 14001: 2004 gecertificeerd door TÜV en erkend door het Vlaamse Gewest (OVAM en Dep. Omgeving), het Brusselse Gewest (BIM), het Waalse Gewest (DGRNE-OWD) en door de overheid van Luxemburg (MEV).

**Akkoord
 Pr.coörd.**

MP



Bijlage (A) met deelmonsterinformatie behorende bij analysecertificaat 2018075940/1

Pagina 1/1

Monster nr.	Boornr	Omschrijving	Van	Tot	Barcode	Monstername ID/Monsteromsch.
10122997	MMA01	1	5	30	0075070MG	9967283
10122998	MMA02	1	0	50	0075069MG	9967284
10122999	MMA03	1	5	50	0075071MG	9967285
10123000	MMA04	1	0	70	0075072MG	9967286
10123001	MMA05	1	0	50	0075077MG	9967287
10123002	MMA06	1	0	50	0075075MG	9967288

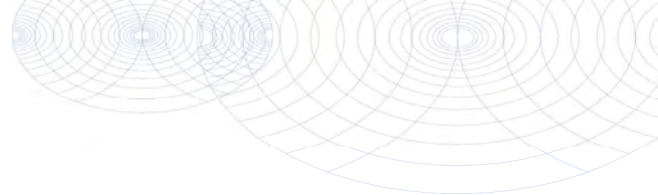


Eurofins Analytico B.V.

Gildeweg 42-46
 3771 NB Barneveld
 P.O. Box 459
 3770 AL Barneveld NL
 Tel. +31 (0)34 242 63 00
 Fax +31 (0)34 242 63 99
 E-mail info-env@eurofins.nl
 Site www.eurofins.nl

BNP Paribas S.A. 227 9245 25
 IBAN: NL71BNPA0227924525
 BIC: BNPANL2A
 KvK/CoC No. 09088623
 BTW/VAT No. NL 8043.14.883.B01

Eurofins Analytico B.V. is ISO 14001: 2004 gecertificeerd door TÜV en erkend door het Vlaamse Gewest (OVAM en Dep. Omgeving), het Brusselse Gewest (BIM), het Waalse Gewest (DGRNE-OWD) en door de overheid van Luxemburg (MEV).

**Bijlage (B) met opmerkingen behorende bij analysecertificaat 2018075940/1**

Pagina 1/1

Opmerking 1)

Deze bepaling is uitbesteed bij L086.

Opmerking 2)

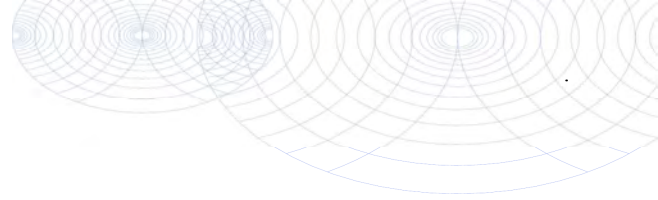
Deze bepaling is uitbesteed bij L086.

**Eurofins Analytico B.V.**

Gildeweg 42-46 Tel. +31 (0)34 242 63 00
3771 NB Barneveld Fax +31 (0)34 242 63 99
P.O. Box 459 E-mail info-env@eurofins.nl
3770 AL Barneveld NL Site www.eurofins.nl

BNP Paribas S.A. 227 9245 25
IBAN: NL71BNPA0227924525
BIC: BNPNL2A
KvK/CoC No. 09088623
BTW/VAT No. NL 8043.14.883.B01

Eurofins Analytico B.V. is ISO 14001: 2004 gecertificeerd door TÜV en erkend door het Vlaamse Gewest (OVAM en Dep. Omgeving), het Brusselse Gewest (BIM), het Waalse Gewest (DGRNE-OWD) en door de overheid van Luxemburg (MEV).



Bijlage (C) met methodeverwijzingen behorende bij analysecertificaat 2018075940/1

Pagina 1/1

Analyse	Methode	Techniek	Methode referentie
Droge stof (uitbesteed)	W0004	Uitbesteed	Uitbesteding
Asbest Grond NEN5898 2016	W0004	Microscopie	Cf NEN 5898

Nadere informatie over de toegepaste onderzoeksmethoden alsmede een classificatie van de meetonzekerheid staan vermeld in ons overzicht "Specificaties analysemethoden", versie juni 2016.



Eurofins Analytico B.V.

Gildeweg 42-46
3771 NB Barneveld
P.O. Box 459
3770 AL Barneveld NL

Tel. +31 (0)34 242 63 00
Fax +31 (0)34 242 63 99
E-mail info-env@eurofins.nl
Site www.eurofins.nl

BNP Paribas S.A. 227 9245 25
IBAN: NL71BNPA0227924525
BIC: BNPANL2A
KvK/CoC No. 09088623
BTW/VAT No. NL 8043.14.883.B01

Eurofins Analytico B.V. is ISO 14001: 2004 gecertificeerd door TÜV en erkend door het Vlaamse Gewest (OVAM en Dep. Omgeving), het Brusselse Gewest (BIM), het Waalse Gewest (DGRNE-OWD) en door de overheid van Luxemburg (MEV).

ANALYSECERTIFICAAT

Project code : 771716
Project omschrijving : 2018075940-01.18.1763
Opdrachtgever : Eurofins Analytico B.V.

Monstercode : 5679561
Uw referentie : MM01
Opgegeven bemonsteringsdatum : 24/05/2018

Asbestonderzoek

Initialen analist : M.M.
 Datum geanalyseerd : 04-06-2018

Analyse is uitgevoerd conform NEN 5898 (S).

Massa aangeleverde monster : 15840 g
 Droge massa aangeleverde monster : 14731 g
 Percentage droogrest : 93,0 m/m %
 Type zieving : nat

zeeffractie (mm)	massa zeeffractie (gram)	percentage zeeffractie (m/m %)	massa onderzocht (gram)	percentage onderzocht (m/m %)	aantal asbest (deeltjes)	massa asbest-houdend materiaal (mg)
<0,5 mm	13759,8	94,6	12,9	0,09	n.v.t.	n.v.t.
0,5-1 mm	241,0	1,7	132,6	55,02	0	0,0
1-2 mm	214,8	1,5	212,8	99,07	0	0,0
2-4 mm	212,7	1,5	212,7	100,00	0	0,0
4-8 mm	87,5	0,6	87,5	100,00	0	0,0
8-20 mm	29,4	0,2	29,4	100,00	0	0,0
>20 mm	0,0	0,0	0,0	100,00	0	0,0
Totaal	14545,2	100,0	687,9		0	0,0

zeeffractie (mm)	asbest totaal			serpentijs asbest			amfibool asbest		
	gehalte asbest (mg/kg ds)	ondergrens (mg/kg ds)	bovengrens (mg/kg ds)	gehalte asbest (mg/kg ds)	ondergrens (mg/kg ds)	bovengrens (mg/kg ds)	gehalte asbest (mg/kg ds)	ondergrens (mg/kg ds)	bovengrens (mg/kg ds)
<0,5 mm	-								
0,5-1 mm	0,0	0,0	0,0	0,0	0,0	0,0	0,0	0,0	0,0
1-2 mm	0,0	0,0	0,0	0,0	0,0	0,0	0,0	0,0	0,0
2-4 mm	0,0	0,0	0,0	0,0	0,0	0,0	0,0	0,0	0,0
4-8 mm	0,0	0,0	0,0	0,0	0,0	0,0	0,0	0,0	0,0
8-20 mm	0,0	0,0	0,0	0,0	0,0	0,0	0,0	0,0	0,0
>20 mm	0,0	0,0	0,0	0,0	0,0	0,0	0,0	0,0	0,0
Totaal	<0,1	0,0	0,0	<0,1	0,0	0,0	0,0	0,0	0,0

Aangetroffen type asbest : Geen
 Bijzonderheden waargenomen : Geen

Serpentijs asbest is chrysotiel.
 Amfibool asbest is amosiet, crocidoliet, actinoliet, anthophylliet en tremoliet.

De bepalingsgrens is bepaald voor de zeeffracties kleiner dan 4 mm. De totale bepalingsgrens is verkregen door de bepalingsgrenzen van de afzonderlijke zeeffracties te sommeren.
 Het materiaal is middels polarisatiemicroscopie onderzocht, de analyse is uitgevoerd conform NEN 5896.

gebondenheid	serpentijs asbest	amfibool asbest	totaal afgerond
hecht	0,0	0,0	0,0
niet hecht	0,0	0,0	0,0
totaal afgerond	0,0	0,0	

Gewogen concentratie (serpentijsasbestconcentratie vermeerderd met 10 maal de amfiboolasbestconcentratie) is: **<0,1 mg/kg ds**

De gewogen asbestconcentratie wordt berekend uit de niet-afgeronde gehalten aan serpentijs en amfibool asbest. De weergegeven resultaten zijn afgerond.

Verklaring kwalitatief onderzoek zeeffractie <0,5 mm:
 - : geen asbest waargenomen

ANALYSECERTIFICAAT

Project code : 771716
Project omschrijving : 2018075940-01.18.1763
Opdrachtgever : Eurofins Analytico B.V.

Monstercode : 5679562
Uw referentie : MM02
Opgegeven bemonsteringsdatum : 24/05/2018

Asbestonderzoek

Initialen analist : P.J.
 Datum geanalyseerd : 04-06-2018

Analyse is uitgevoerd conform NEN 5898 (S).

Massa aangeleverde monster : 14520 g
 Droge massa aangeleverde monster : 13010 g
 Percentage droogrest : **89,6 m/m %**
 Type zieving : nat

zeeffractie (mm)	massa zeeffractie (gram)	percentage zeeffractie (m/m %)	massa onderzocht (gram)	percentage onderzocht (m/m %)	aantal asbest (deeltjes)	massa asbest-houdend materiaal (mg)
<0,5 mm	12038,5	93,9	12,6	0,10	n.v.t.	n.v.t.
0,5-1 mm	400,1	3,1	84,6	21,14	0	0,0
1-2 mm	141,2	1,1	50,1	35,48	0	0,0
2-4 mm	80,0	0,6	80,0	100,00	0	0,0
4-8 mm	81,3	0,6	81,3	100,00	0	0,0
8-20 mm	80,7	0,6	80,7	100,00	0	0,0
>20 mm	0,0	0,0	0,0	100,00	0	0,0
Totaal	12821,8	100,0	389,3		0	0,0

zeeffractie (mm)	asbest totaal			serpentijs asbest			amfibool asbest		
	gehalte asbest (mg/kg ds)	ondergrens (mg/kg ds)	bovengrens (mg/kg ds)	gehalte asbest (mg/kg ds)	ondergrens (mg/kg ds)	bovengrens (mg/kg ds)	gehalte asbest (mg/kg ds)	ondergrens (mg/kg ds)	bovengrens (mg/kg ds)
<0,5 mm	-								
0,5-1 mm	0,0	0,0	0,1	0,0	0,0	0,1	0,0	0,0	0,0
1-2 mm	0,0	0,0	0,3	0,0	0,0	0,3	0,0	0,0	0,0
2-4 mm	0,0	0,0	0,0	0,0	0,0	0,0	0,0	0,0	0,0
4-8 mm	0,0	0,0	0,0	0,0	0,0	0,0	0,0	0,0	0,0
8-20 mm	0,0	0,0	0,0	0,0	0,0	0,0	0,0	0,0	0,0
>20 mm	0,0	0,0	0,0	0,0	0,0	0,0	0,0	0,0	0,0
Totaal	<0,4	0,0	0,4	<0,4	0,0	0,4	0,0	0,0	0,0

Aangetroffen type asbest : Geen
 Bijzonderheden waargenomen : Geen

Serpentijs asbest is chrysotiel.
 Amfibool asbest is amosiet, crocidoliet, actinoliet, anthophylliet en tremoliet.

De bepalingsgrens is bepaald voor de zeeffracties kleiner dan 4 mm. De totale bepalingsgrens is verkregen door de bepalingsgrenzen van de afzonderlijke zeeffracties te sommeren.
 Het materiaal is middels polarisatiemicroscopie onderzocht, de analyse is uitgevoerd conform NEN 5896.

gebondenheid	serpentijs asbest	amfibool asbest	totaal afgerond
hecht	0,0	0,0	0,0
niet hecht	0,0	0,0	0,0
totaal afgerond	0,0	0,0	

Gewogen concentratie (serpentijsasbestconcentratie vermeerderd met 10 maal de amfiboolasbestconcentratie) is: **<0,4 mg/kg ds**

De gewogen asbestconcentratie wordt berekend uit de niet-afgeronde gehalten aan serpentijs en amfibool asbest. De weergegeven resultaten zijn afgerond.

Verklaring kwalitatief onderzoek zeeffractie <0,5 mm:
 - : geen asbest waargenomen

ANALYSECERTIFICAAT

Project code : 771716
 Project omschrijving : 2018075940-01.18.1763
 Opdrachtgever : Eurofins Analytico B.V.

Monstercode : 5679563
 Uw referentie : MM03
 Opgegeven bemonsteringsdatum : 23/05/2018

Asbestonderzoek

Initialen analist : A.M.
 Datum geanalyseerd : 05-06-2018

Analyse is uitgevoerd conform NEN 5898 (S).

Massa aangeleverde monster : 14810 g
 Droge massa aangeleverde monster : 14558 g
 Percentage droogrest : 98,3 m/m %
 Type zieving : nat

zeef fractie (mm)	massa zeef fractie (gram)	percentage zeef fractie (m/m %)	massa onderzocht (gram)	percentage onderzocht (m/m %)	aantal asbest (deeltjes)	massa asbest-houdend materiaal (mg)
<0,5 mm	13502,2	94,6	7,2	0,05	n.v.t.	n.v.t.
0,5-1 mm	276,7	1,9	69,7	25,19	0	0,0
1-2 mm	265,5	1,9	105,4	39,70	0	0,0
2-4 mm	102,8	0,7	102,8	100,00	0	0,0
4-8 mm	70,4	0,5	70,4	100,00	0	0,0
8-20 mm	55,6	0,4	55,6	100,00	0	0,0
>20 mm	0,0	0,0	0,0	100,00	0	0,0
Totaal	14273,2	100,0	411,1		0	0,0

zeef fractie (mm)	asbest totaal			serpentijs asbest			amfibool asbest		
	gehalte asbest (mg/kg ds)	ondergrens (mg/kg ds)	bovengrens (mg/kg ds)	gehalte asbest (mg/kg ds)	ondergrens (mg/kg ds)	bovengrens (mg/kg ds)	gehalte asbest (mg/kg ds)	ondergrens (mg/kg ds)	bovengrens (mg/kg ds)
<0,5 mm	-								
0,5-1 mm	0,0	0,0	0,1	0,0	0,0	0,1	0,0	0,0	0,0
1-2 mm	0,0	0,0	0,2	0,0	0,0	0,2	0,0	0,0	0,0
2-4 mm	0,0	0,0	0,0	0,0	0,0	0,0	0,0	0,0	0,0
4-8 mm	0,0	0,0	0,0	0,0	0,0	0,0	0,0	0,0	0,0
8-20 mm	0,0	0,0	0,0	0,0	0,0	0,0	0,0	0,0	0,0
>20 mm	0,0	0,0	0,0	0,0	0,0	0,0	0,0	0,0	0,0
Totaal	<0,3	0,0	0,3	<0,3	0,0	0,3	0,0	0,0	0,0

Aangetroffen type asbest : Geen
 Bijzonderheden waargenomen : Geen

Serpentijs asbest is chrysotiel.
 Amfibool asbest is amosiet, crocidoliet, actinoliet, anthophylliet en tremoliet.

De bepalingsgrens is bepaald voor de zeef fracties kleiner dan 4 mm. De totale bepalingsgrens is verkregen door de bepalingsgrenzen van de afzonderlijke zeef fracties te sommeren.
 Het materiaal is middels polarisatiemicroscopie onderzocht, de analyse is uitgevoerd conform NEN 5896.

gebondenheid	serpentijs asbest	amfibool asbest	totaal afgerond
hecht	0,0	0,0	0,0
niet hecht	0,0	0,0	0,0
totaal afgerond	0,0	0,0	

Gewogen concentratie (serpentijsasbestconcentratie vermeerderd met 10 maal de amfiboolasbestconcentratie) is: **<0,3 mg/kg ds**

De gewogen asbestconcentratie wordt berekend uit de niet-afgeronde gehalten aan serpentijs en amfibool asbest. De weergegeven resultaten zijn afgerond.

Verklaring kwalitatief onderzoek zeef fractie <0,5 mm:
 - : geen asbest waargenomen

ANALYSECERTIFICAAT

Project code : 771716
Project omschrijving : 2018075940-01.18.1763
Opdrachtgever : Eurofins Analytico B.V.

Monstercode : 5679564
Uw referentie : MM04
Opgegeven bemonsteringsdatum : 23/05/2018

Asbestonderzoek

Initialen analist : A.G.
 Datum geanalyseerd : 05-06-2018

Analyse is uitgevoerd conform NEN 5898 (S).

Massa aangeleverde monster : 15160 g
 Droge massa aangeleverde monster : 13462 g
 Percentage droogrest : **88,8** m/m %
 Type zieving : nat

zeef fractie (mm)	massa zeef fractie (gram)	percentage zeef fractie (m/m %)	massa onderzocht (gram)	percentage onderzocht (m/m %)	aantal asbest (deeltjes)	massa asbest-houdend materiaal (mg)
<0,5 mm	12405,1	93,4	16,2	0,13	n.v.t.	n.v.t.
0,5-1 mm	308,0	2,3	89,1	28,93	0	0,0
1-2 mm	150,1	1,1	46,6	31,05	0	0,0
2-4 mm	102,6	0,8	102,6	100,00	0	0,0
4-8 mm	145,2	1,1	145,2	100,00	0	0,0
8-20 mm	173,5	1,3	173,5	100,00	0	0,0
>20 mm	0,0	0,0	0,0	100,00	0	0,0
Totaal	13284,5	100,0	573,2		0	0,0

zeef fractie (mm)	asbest totaal			serpentijs asbest			amfibool asbest		
	gehalte asbest (mg/kg ds)	ondergrens (mg/kg ds)	bovengrens (mg/kg ds)	gehalte asbest (mg/kg ds)	ondergrens (mg/kg ds)	bovengrens (mg/kg ds)	gehalte asbest (mg/kg ds)	ondergrens (mg/kg ds)	bovengrens (mg/kg ds)
<0,5 mm	-								
0,5-1 mm	0,0	0,0	0,1	0,0	0,0	0,1	0,0	0,0	0,0
1-2 mm	0,0	0,0	0,3	0,0	0,0	0,3	0,0	0,0	0,0
2-4 mm	0,0	0,0	0,0	0,0	0,0	0,0	0,0	0,0	0,0
4-8 mm	0,0	0,0	0,0	0,0	0,0	0,0	0,0	0,0	0,0
8-20 mm	0,0	0,0	0,0	0,0	0,0	0,0	0,0	0,0	0,0
>20 mm	0,0	0,0	0,0	0,0	0,0	0,0	0,0	0,0	0,0
Totaal	<0,4	0,0	0,4	<0,4	0,0	0,4	0,0	0,0	0,0

Aangetroffen type asbest : Geen
 Bijzonderheden waargenomen : Geen

Serpentijs asbest is chrysotiel.
 Amfibool asbest is amosiet, crocidoliet, actinoliet, anthophylliet en tremoliet.

De bepalingsgrens is bepaald voor de zeef fracties kleiner dan 4 mm. De totale bepalingsgrens is verkregen door de bepalingsgrenzen van de afzonderlijke zeef fracties te sommeren.

Het materiaal is middels polarisatiemicroscopie onderzocht, de analyse is uitgevoerd conform NEN 5896.

gebondenheid	serpentijs asbest	amfibool asbest	totaal afgerond
hecht	0,0	0,0	0,0
niet hecht	0,0	0,0	0,0
totaal afgerond	0,0	0,0	

Gewogen concentratie (serpentijsasbestconcentratie vermeerderd met 10 maal de amfiboolasbestconcentratie) is: **<0,4 mg/kg ds**

De gewogen asbestconcentratie wordt berekend uit de niet-afgeronde gehalten aan serpentijs en amfibool asbest. De weergegeven resultaten zijn afgerond.

Verklaring kwalitatief onderzoek zeef fractie <0,5 mm:
 - : geen asbest waargenomen

Dit analyse-certificaat, inclusief voorblad en eventuele bijlage(n), mag niet anders dan in zijn geheel worden gereproduceerd.

- De met een 'Q' gemerkte analyses zijn door RvA geaccrediteerd (registratienummer L086).

- De met een 'S' gemerkte analyses zijn door RvA geaccrediteerd (L086) en op basis van het schema AS 3000 erkend.

Opdrachtverificatiecode: NRTE-QHGP-ZZXH-NAFJ

Ref.: 771716_certificaat_v1

ANALYSECERTIFICAAT

Project code : 771716
Project omschrijving : 2018075940-01.18.1763
Opdrachtgever : Eurofins Analytico B.V.

Monstercode : 5679565
Uw referentie : MM05
Opgegeven bemonsteringsdatum : 25/05/2018

Asbestonderzoek

Initialen analist : M.M.
 Datum geanalyseerd : 04-06-2018

Analyse is uitgevoerd conform NEN 5898 (S).

Massa aangeleverde monster : 15870 g
 Droge massa aangeleverde monster : 14458 g
 Percentage droogrest : 91,1 m/m %
 Type zieving : nat

zeeffractie (mm)	massa zeeffractie (gram)	percentage zeeffractie (m/m %)	massa onderzocht (gram)	percentage onderzocht (m/m %)	aantal asbest (deeltjes)	massa asbest-houdend materiaal (mg)
<0,5 mm	13421,9	94,0	12,9	0,10	n.v.t.	n.v.t.
0,5-1 mm	298,0	2,1	61,8	20,74	0	0,0
1-2 mm	136,7	1,0	58,4	42,72	0	0,0
2-4 mm	95,1	0,7	95,1	100,00	0	0,0
4-8 mm	119,1	0,8	119,1	100,00	1	151,7
8-20 mm	204,6	1,4	204,6	100,00	0	0,0
>20 mm	0,0	0,0	0,0	100,00	0	0,0
Totaal	14275,4	100,0	551,9		1	151,7

zeeffractie (mm)	asbest totaal			serpentijn asbest			amfibool asbest		
	gehalte asbest (mg/kg ds)	ondergrens (mg/kg ds)	bovengrens (mg/kg ds)	gehalte asbest (mg/kg ds)	ondergrens (mg/kg ds)	bovengrens (mg/kg ds)	gehalte asbest (mg/kg ds)	ondergrens (mg/kg ds)	bovengrens (mg/kg ds)
<0,5 mm	-								
0,5-1 mm	0,0	0,0	0,0	0,0	0,0	0,0	0,0	0,0	0,0
1-2 mm	0,0	0,0	0,0	0,0	0,0	0,0	0,0	0,0	0,0
2-4 mm	0,0	0,0	0,0	0,0	0,0	0,0	0,0	0,0	0,0
4-8 mm	1,3	1,1	1,6	1,3	1,1	1,6	0,0	0,0	0,0
8-20 mm	0,0	0,0	0,0	0,0	0,0	0,0	0,0	0,0	0,0
>20 mm	0,0	0,0	0,0	0,0	0,0	0,0	0,0	0,0	0,0
Totaal	1,3	1,1	1,6	1,3	1,1	1,6	0,0	0,0	0,0

Aangetroffen type asbest : Serpentine
 Bijzonderheden waargenomen : Geen

Serpentine asbest is chrysotiel.
 Amfibool asbest is amosiet, crocidoliet, actinoliet, anthophylliet en tremoliet.

De bepalingsgrens is bepaald voor de zeeffracties kleiner dan 4 mm. De totale bepalingsgrens is verkregen door de bepalingsgrenzen van de afzonderlijke zeeffracties te sommeren.

Het materiaal is middels polarisatiemicroscopie onderzocht, de analyse is uitgevoerd conform NEN 5896.

gebondenheid	serpentine asbest	amfibool asbest	totaal afgerond
hecht	1,3	0,0	1,3
niet hecht	0,0	0,0	0,0
totaal afgerond	1,3	0,0	

Gewogen concentratie (serpentineasbestconcentratie vermeerderd met 10 maal de amfiboolasbestconcentratie) is: **1,3 mg/kg ds**

De gewogen asbestconcentratie wordt berekend uit de niet-afgeronde gehalten aan serpentine en amfibool asbest. De weergegeven resultaten zijn afgerond.

Verklaring kwalitatief onderzoek zeeffractie <0,5 mm:
 - : geen asbest waargenomen

ANALYSECERTIFICAAT

Project code : 771716
Project omschrijving : 2018075940-01.18.1763
Opdrachtgever : Eurofins Analytico B.V.

Monstercode : 5679565
Uw referentie : MM05
Opgegeven bemonsteringsdatum : 25/05/2018

Asbestonderzoek - productidentificatie

zeef fractie (mm)	materiaal	gebondenheid	asbestsoort	percentage (m/m %)
4-8 mm	cement, vlakke plaat	hecht	chrysotiel	10-15

ANALYSECERTIFICAAT

Project code : 771716
Project omschrijving : 2018075940-01.18.1763
Opdrachtgever : Eurofins Analytico B.V.

Monstercode : 5679566
Uw referentie : MM06
Opgegeven bemonsteringsdatum : 25/05/2018

Asbestonderzoek

Initialen analist : M.M.
 Datum geanalyseerd : 04-06-2018

Analyse is uitgevoerd conform NEN 5898 (S).

Massa aangeleverde monster : 14720 g
 Droge massa aangeleverde monster : 13248 g
 Percentage droogrest : 90,0 m/m %
 Type zieving : nat

zeeffractie (mm)	massa zeeffractie (gram)	percentage zeeffractie (m/m %)	massa onderzocht (gram)	percentage onderzocht (m/m %)	aantal asbest (deeltjes)	massa asbest-houdend materiaal (mg)
<0,5 mm	12238,5	93,8	17,9	0,15	n.v.t.	n.v.t.
0,5-1 mm	177,1	1,4	175,1	98,87	0	0,0
1-2 mm	177,8	1,4	175,9	98,93	0	0,0
2-4 mm	106,3	0,8	106,3	100,00	0	0,0
4-8 mm	120,8	0,9	120,8	100,00	0	0,0
8-20 mm	220,5	1,7	220,5	100,00	0	0,0
>20 mm	0,0	0,0	0,0	100,00	0	0,0
Totaal	13041,0	100,0	816,5		0	0,0

zeeffractie (mm)	asbest totaal			serpentijs asbest			amfibool asbest		
	gehalte asbest (mg/kg ds)	ondergrens (mg/kg ds)	bovengrens (mg/kg ds)	gehalte asbest (mg/kg ds)	ondergrens (mg/kg ds)	bovengrens (mg/kg ds)	gehalte asbest (mg/kg ds)	ondergrens (mg/kg ds)	bovengrens (mg/kg ds)
<0,5 mm	-								
0,5-1 mm	0,0	0,0	0,0	0,0	0,0	0,0	0,0	0,0	0,0
1-2 mm	0,0	0,0	0,0	0,0	0,0	0,0	0,0	0,0	0,0
2-4 mm	0,0	0,0	0,0	0,0	0,0	0,0	0,0	0,0	0,0
4-8 mm	0,0	0,0	0,0	0,0	0,0	0,0	0,0	0,0	0,0
8-20 mm	0,0	0,0	0,0	0,0	0,0	0,0	0,0	0,0	0,0
>20 mm	0,0	0,0	0,0	0,0	0,0	0,0	0,0	0,0	0,0
Totaal	<0,1	0,0	0,0	<0,1	0,0	0,0	0,0	0,0	0,0

Aangetroffen type asbest : Geen
 Bijzonderheden waargenomen : Geen

Serpentijs asbest is chrysotiel.
 Amfibool asbest is amosiet, crocidoliet, actinoliet, anthophylliet en tremoliet.

De bepalingsgrens is bepaald voor de zeeffracties kleiner dan 4 mm. De totale bepalingsgrens is verkregen door de bepalingsgrenzen van de afzonderlijke zeeffracties te sommeren.

Het materiaal is middels polarisatiemicroscopie onderzocht, de analyse is uitgevoerd conform NEN 5896.

gebondenheid	serpentijs asbest	amfibool asbest	totaal afgerond
hecht	0,0	0,0	0,0
niet hecht	0,0	0,0	0,0
totaal afgerond	0,0	0,0	

Gewogen concentratie (serpentijsasbestconcentratie vermeerderd met 10 maal de amfiboolasbestconcentratie) is: **<0,1 mg/kg ds**

De gewogen asbestconcentratie wordt berekend uit de niet-afgeronde gehalten aan serpentijs en amfibool asbest. De weergegeven resultaten zijn afgerond.

Verklaring kwalitatief onderzoek zeeffractie <0,5 mm:
 - : geen asbest waargenomen

ANALYSECERTIFICAAT

Project code : 771716
Project omschrijving : 2018075940-01.18.1763
Opdrachtgever : Eurofins Analytico B.V.

Opmerkingen m.b.t. analyses

Opmerking(en) algemeen

Asbest

Individuele monsters van dit project zijn als asbest verdacht gekwalificeerd. De analysedeelmonsters zijn met beschermende maatregelen in het laboratorium in behandeling genomen.

Opmerking bij project: - Eurofins Omegam heeft het asbestonderzoek in dit/deze monster(s) uitgevoerd volgens de NEN 5898, en zoals beschreven in een aparte bijlage als onderdeel van dit analysecertificaat. Voor de analyseresultaten van het asbestonderzoek geldt dat Eurofins Omegam de analyse heeft uitgevoerd in de monsters die de opdrachtgever, zoals deze staan vermeld in de koptekst van dit analysecertificaat, zelf heeft genomen of laten nemen en aan Eurofins Omegam heeft aangeboden. Eurofins Omegam draagt geen verantwoordelijkheid inzake de herkomst en representativiteit alsmede de veiligheid tijdens de monsterneming.

ANALYSECERTIFICAAT

Project code : 771716
Project omschrijving : 2018075940-01.18.1763
Opdrachtgever : Eurofins Analytico B.V.

Barcodeschema's

<i>Monstercode</i>	<i>Uw referentie</i>	<i>monster</i>	<i>diepte</i>	<i>barcode</i>
5679561	MM01	MMA01	.05-.3	0075070MG
5679562	MM02	MMA02	0-.5	0075069MG
5679563	MM03	MMA03	.05-.5	0075071MG
5679564	MM04	MMA04	0-.7	0075072MG
5679565	MM05	MMA05	0-.5	0075077MG
5679566	MM06	MMA06	0-.5	0075075MG

ANALYSECERTIFICAAT

Project code : 771716
Project omschrijving : 2018075940-01.18.1763
Opdrachtgever : Eurofins Analytico B.V.

Analysemethoden in Grond (AS3000)

AS3000

In dit analysecertificaat zijn de met 'S' gemerkte analyses uitgevoerd volgens de analysemethoden beschreven in het "Accreditatieschema Laboratoriumanalyses voor grond-, waterbodem- en grondwateronderzoek (AS SIKB 3000)". Het laboratoriumonderzoek is uitgevoerd volgens de onderstaande analysemethoden. Deze analyses zijn vastgelegd in het geldende accreditatie-certificaat met bijbehorende verrichtingenlijst L086 van Eurofins Omegam BV.

Asbestonderzoek : Conform AS3070 prestatieblad 1 en NEN 5898

Infrasoil - Veenendaal
T.a.v. B. Versteeg-Scholten
Postbus 409
3900 AK VEENENDAAL

Analyscertificaat

Datum: 13-Jun-2018

Hierbij ontvangt u de resultaten van het navolgende laboratoriumonderzoek.

Certificaatnummer/Versie	2018080301/1
Uw project/verslagnummer	01.18.1763
Uw projectnaam	Geertruidentuin te Deventer
Uw ordernummer	01.18.1763
Monster(s) ontvangen	04-Jun-2018

Dit certificaat mag uitsluitend in zijn geheel worden gereproduceerd.
De analyse resultaten hebben alleen betrekking op het beproefde object.

De grondmonsters worden tot 4 weken na datum ontvangst bewaard en watermonsters tot 2 weken na datum ontvangst. Zonder tegenbericht worden de monsters nadien afgevoerd.
Indien de monsters langer bewaard dienen te blijven verzoeken wij U dit exemplaar uiterlijk 1 werkdag voor afloop van de standaardbewaarperiode ondertekend aan ons te retourneren. Voor de kosten van het langer bewaren van monsters verwijzen wij naar de prijslijst.

Bewaren tot:

Datum:

Naam:

Handtekening:

Wij vertrouwen erop uw opdracht hiermee naar verwachting te hebben uitgevoerd, mocht U naar aanleiding van dit analyscertificaat nog vragen hebben verzoeken wij U contact op te nemen met de afdeling Verkoop en Advies.

Met vriendelijke groet,

Eurofins Analytico B.V.



Ing. A. Veldhuizen
Technical Manager

Eurofins Analytico B.V.

Gildeweg 42-46
3771 NB Barneveld
P.O. Box 459
3770 AL Barneveld NL

Tel. +31 (0)34 242 63 00
Fax +31 (0)34 242 63 99
E-mail info-env@eurofins.nl
Site www.eurofins.nl

BNP Paribas S.A. 227 9245 25
IBAN: NL71BNPA0227924525
BIC: BNPANL2A
KvK/CoC No. 09088623
BTW/VAT No. NL 8043.14.883.B01

Eurofins Analytico B.V. is ISO 14001: 2004 gecertificeerd door TÜV en erkend door het Vlaamse Gewest (OVAM en Dep. Omgeving), het Brusselse Gewest (BIM), het Waalse Gewest (DGRNE-OWD) en door de overheid van Luxemburg (MEV).

Analysecertificaat

Uw project/verslagnummer 01.18.1763
 Uw projectnaam Geertruidentuin te Deventer
 Uw ordernummer 01.18.1763

Monsternemer R.W.E.M. Milder
 Monstermatrix Asbestverdachte grond

Certificaatnummer/Versie 2018080301/1
 Startdatum 05-Jun-2018
 Rapportagedatum 13-Jun-2018/10:34
 Bijlage A, B, C
 Pagina 1/1

Analyse	Eenheid	1
Bodemkundige analyses		
Droge stof (uitbesteed)	% (m/m)	93.7 ¹⁾
Uitbesteed / Overig onderzoek		
In behandeling genomen hoeveelheid	kg	15.9 ²⁾
Asbest fractie 0,5-1mm	mg	0.0 ²⁾
Asbest fractie 1-2mm	mg	0.0 ²⁾
Asbest fractie 2-4mm	mg	0.0 ²⁾
Asbest fractie 4-8mm	mg	0.0 ²⁾
Asbest fractie 8-20mm	mg	0.0 ²⁾
Asbest fractie >20mm	mg	0.0 ²⁾
Asbest (som)	mg	<11.8 ²⁾
Asbest in grond	mg/kg ds	<0.9 ²⁾
Gemeten Asbestconcentratie	mg/kg ds	<0.9 ²⁾
Gemeten concentratie Chrysotiel	mg/kg ds	<0.9 ²⁾
Gemeten concentratie Amfibool	mg/kg ds	0.0 ²⁾
Totaal asbest hechtgebonden	mg/kg ds	0.0 ²⁾
Totaal asbest niet hechtgebonden	mg/kg ds	0.0 ²⁾

Nr. Monsteromschrijving

1 MMA07

Datum monstername

04-Jun-2018

Monster nr.

10136914

Eurofins Analytico B.V.

Gildeweg 42-46
 3771 NB Barneveld
 P.O. Box 459
 3770 AL Barneveld NL

Tel. +31 (0)34 242 63 00
 Fax +31 (0)34 242 63 99
 E-mail info-env@eurofins.nl
 Site www.eurofins.nl

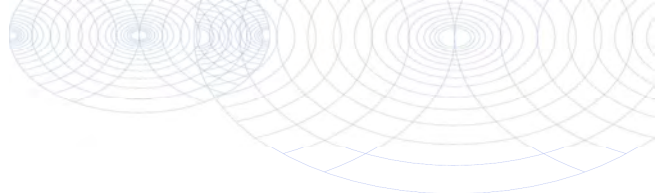
BNP Paribas S.A. 227 9245 25
 IBAN: NL71BNPA0227924525
 BIC: BNPANL2A
 KvK/CoC No. 09088623
 BTW/VAT No. NL 8043.14.883.B01

Q: door RvA geaccrediteerde verrichting
 A: AP04 erkende verrichting
 S: AS SIKB erkende verrichting
 V: VLAREL erkende verrichting
 M: MCERTS erkend

**Akkoord
 Pr.co öd.**

MP

Dit certificaat mag uitsluitend in zijn geheel worden gereproduceerd.
 Eurofins Analytico B.V. is ISO 14001: 2004 gecertificeerd door TÜV
 en erkend door het Vlaamse Gewest (OVAM en Dep. Omgeving),
 het Brusselse Gewest (BIM), het Waalse Gewest (DGRNE-OWD)
 en door de overheid van Luxemburg (MEV).



Bijlage (A) met deelmonsterinformatie behorende bij analysecertificaat 2018080301/1

Pagina 1/1

Monster nr.	Boornr	Omschrijving	Van	Tot	Barcode	Monstername ID/Monsteromsch.
10136914	MMA07	1	0	50	0075078MG	9967352

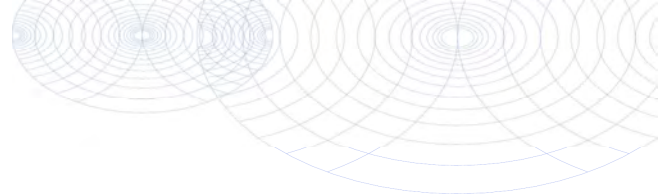


Eurofins Analytico B.V.

Gildeweg 42-46
 3771 NB Barneveld
 P.O. Box 459
 3770 AL Barneveld NL
 Tel. +31 (0)34 242 63 00
 Fax +31 (0)34 242 63 99
 E-mail info-env@eurofins.nl
 Site www.eurofins.nl

BNP Paribas S.A. 227 9245 25
 IBAN: NL71BNPA0227924525
 BIC: BNPANL2A
 KvK/CoC No. 09088623
 BTW/VAT No. NL 8043.14.883.B01

Eurofins Analytico B.V. is ISO 14001: 2004 gecertificeerd door TÜV en erkend door het Vlaamse Gewest (OVAM en Dep. Omgeving), het Brusselse Gewest (BIM), het Waalse Gewest (DGRNE-OWD) en door de overheid van Luxemburg (MEV).

**Bijlage (B) met opmerkingen behorende bij analysecertificaat 2018080301/1**

Pagina 1/1

Opmerking 1)

Deze bepaling is uitbesteed bij L086.

Opmerking 2)

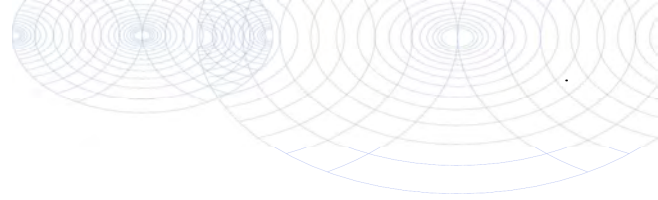
Deze bepaling is uitbesteed bij L086.

**Eurofins Analytico B.V.**

Gildeweg 42-46 Tel. +31 (0)34 242 63 00
3771 NB Barneveld Fax +31 (0)34 242 63 99
P.O. Box 459 E-mail info-env@eurofins.nl
3770 AL Barneveld NL Site www.eurofins.nl

BNP Paribas S.A. 227 9245 25
IBAN: NL71BNPA0227924525
BIC: BNPNL2A
KvK/CoC No. 09088623
BTW/VAT No. NL 8043.14.883.B01

Eurofins Analytico B.V. is ISO 14001: 2004 gecertificeerd door TÜV en erkend door het Vlaamse Gewest (OVAM en Dep. Omgeving), het Brusselse Gewest (BIM), het Waalse Gewest (DGRNE-OWD) en door de overheid van Luxemburg (MEV).



Bijlage (C) met methodeverwijzingen behorende bij analysecertificaat 2018080301/1

Pagina 1/1

Analyse	Methode	Techniek	Methode referentie
Droge stof (uitbesteed)	W0004	Uitbesteed	Uitbesteding
Asbest Grond NEN5898 2016	W0004	Microscopie	Cf NEN 5898

Nadere informatie over de toegepaste onderzoeksmethoden alsmede een classificatie van de meetonzekerheid staan vermeld in ons overzicht "Specificaties analysemethoden", versie juni 2016.



Eurofins Analytico B.V.

Gildeweg 42-46
 3771 NB Barneveld
 P.O. Box 459
 3770 AL Barneveld NL

Tel. +31 (0)34 242 63 00
 Fax +31 (0)34 242 63 99
 E-mail info-env@eurofins.nl
 Site www.eurofins.nl

BNP Paribas S.A. 227 9245 25
 IBAN: NL71BNPA0227924525
 BIC: BNPANL2A
 KvK/CoC No. 09088623
 BTW/VAT No. NL 8043.14.883.B01

Eurofins Analytico B.V. is ISO 14001: 2004 gecertificeerd door TÜV en erkend door het Vlaamse Gewest (OVAM en Dep. Omgeving), het Brusselse Gewest (BIM), het Waalse Gewest (DGRNE-OWD) en door de overheid van Luxemburg (MEV).

ANALYSECERTIFICAAT

Project code : 774528
Project omschrijving : 2018080301-01.18.1763
Opdrachtgever : Eurofins Analytico B.V.

Monstercode : 5686184
Uw referentie : MMA07
Opgegeven bemonsteringsdatum : 04/06/2018

Asbestonderzoek

Initialen analist : I.Z.
 Datum geanalyseerd : 12-06-2018

Analyse is uitgevoerd conform NEN 5898 (S).

Massa aangeleverde monster : 15880 g
 Droge massa aangeleverde monster : 14880 g
 Percentage droogrest : 93,7 m/m %
 Type zieving : nat

zeeffractie (mm)	massa zeeffractie (gram)	percentage zeeffractie (m/m %)	massa onderzocht (gram)	percentage onderzocht (m/m %)	aantal asbest (deeltjes)	massa asbest-houdend materiaal (mg)
<0,5 mm	13920,6	94,5	10,4	0,07	n.v.t.	n.v.t.
0,5-1 mm	333,1	2,3	20,8	6,24	0	0,0
1-2 mm	143,9	1,0	33,6	23,35	0	0,0
2-4 mm	115,8	0,8	115,8	100,00	0	0,0
4-8 mm	105,6	0,7	105,6	100,00	0	0,0
8-20 mm	110,6	0,8	110,6	100,00	0	0,0
>20 mm	0,0	0,0	0,0	100,00	0	0,0
Totaal	14729,6	100,0	396,8		0	0,0

zeeffractie (mm)	asbest totaal			serpentijs asbest			amfibool asbest		
	gehalte asbest (mg/kg ds)	ondergrens (mg/kg ds)	bovengrens (mg/kg ds)	gehalte asbest (mg/kg ds)	ondergrens (mg/kg ds)	bovengrens (mg/kg ds)	gehalte asbest (mg/kg ds)	ondergrens (mg/kg ds)	bovengrens (mg/kg ds)
<0,5 mm	-								
0,5-1 mm	0,0	0,0	0,4	0,0	0,0	0,4	0,0	0,0	0,0
1-2 mm	0,0	0,0	0,4	0,0	0,0	0,4	0,0	0,0	0,0
2-4 mm	0,0	0,0	0,0	0,0	0,0	0,0	0,0	0,0	0,0
4-8 mm	0,0	0,0	0,0	0,0	0,0	0,0	0,0	0,0	0,0
8-20 mm	0,0	0,0	0,0	0,0	0,0	0,0	0,0	0,0	0,0
>20 mm	0,0	0,0	0,0	0,0	0,0	0,0	0,0	0,0	0,0
Totaal	<0,9	0,0	0,8	<0,9	0,0	0,8	0,0	0,0	0,0

Aangetroffen type asbest : Geen
 Bijzonderheden waargenomen : Geen

Serpentijs asbest is chrysotiel.
 Amfibool asbest is amosiet, crocidoliet, actinoliet, anthophylliet en tremoliet.

De bepalingsgrens is bepaald voor de zeeffracties kleiner dan 4 mm. De totale bepalingsgrens is verkregen door de bepalingsgrenzen van de afzonderlijke zeeffracties te sommeren.
 Het materiaal is middels polarisatiemicroscopie onderzocht, de analyse is uitgevoerd conform NEN 5896.

gebondenheid	serpentijs asbest	amfibool asbest	totaal afgerond
hecht	0,0	0,0	0,0
niet hecht	0,0	0,0	0,0
totaal afgerond	0,0	0,0	

Gewogen concentratie (serpentijsasbestconcentratie vermeerderd met 10 maal de amfiboolasbestconcentratie) is: **<0,9 mg/kg ds**

De gewogen asbestconcentratie wordt berekend uit de niet-afgeronde gehalten aan serpentijs en amfibool asbest. De weergegeven resultaten zijn afgerond.

Verklaring kwalitatief onderzoek zeeffractie <0,5 mm:
 - : geen asbest waargenomen

ANALYSECERTIFICAAT

Project code : 774528
Project omschrijving : 2018080301-01.18.1763
Opdrachtgever : Eurofins Analytico B.V.

Opmerkingen m.b.t. analyses

Opmerking(en) algemeen

Asbest

Individuele monsters van dit project zijn als asbest verdacht gekwalificeerd. De analysedeelmonsters zijn met beschermende maatregelen in het laboratorium in behandeling genomen.

Opmerking bij project: - Eurofins Omegam heeft het asbestonderzoek in dit/deze monster(s) uitgevoerd volgens de NEN 5898, en zoals beschreven in een aparte bijlage als onderdeel van dit analysecertificaat. Voor de analyseresultaten van het asbestonderzoek geldt dat Eurofins Omegam de analyse heeft uitgevoerd in de monsters die de opdrachtgever, zoals deze staan vermeld in de koptekst van dit analysecertificaat, zelf heeft genomen of laten nemen en aan Eurofins Omegam heeft aangeboden. Eurofins Omegam draagt geen verantwoordelijkheid inzake de herkomst en representativiteit alsmede de veiligheid tijdens de monsterneming.

ANALYSECERTIFICAAT

Project code : 774528
Project omschrijving : 2018080301-01.18.1763
Opdrachtgever : Eurofins Analytico B.V.

Barcodeschema's

<i>Monstercode</i>	<i>Uw referentie</i>	<i>monster</i>	<i>diepte</i>	<i>barcode</i>
5686184	MMA07	MMA07	0-.5	0075078MG

ANALYSECERTIFICAAT

Project code : 774528
Project omschrijving : 2018080301-01.18.1763
Opdrachtgever : Eurofins Analytico B.V.

Analysemethoden in Grond (AS3000)

AS3000

In dit analysecertificaat zijn de met 'S' gemerkte analyses uitgevoerd volgens de analysemethoden beschreven in het "Accreditatieschema Laboratoriumanalyses voor grond-, waterbodem- en grondwateronderzoek (AS SIKB 3000)". Het laboratoriumonderzoek is uitgevoerd volgens de onderstaande analysemethoden. Deze analyses zijn vastgelegd in het geldende accreditatie-certificaat met bijbehorende verrichtingenlijst L086 van Eurofins Omegam BV.

Asbestonderzoek : Conform AS3070 prestatieblad 1 en NEN 5898

Infrasoil - Veenendaal
T.a.v. B. Versteeg-Scholten
Postbus 409
3900 AK VEENENDAAL

Analyscertificaat

Datum: 13-Jun-2018

Hierbij ontvangt u de resultaten van het navolgende laboratoriumonderzoek.

Certificaatnummer/Versie	2018080307/1
Uw project/verslagnummer	01.18.1763
Uw projectnaam	Geertruidentuin te Deventer
Uw ordernummer	01.18.1763
Monster(s) ontvangen	04-Jun-2018

Dit certificaat mag uitsluitend in zijn geheel worden gereproduceerd.
De analyse resultaten hebben alleen betrekking op het beproefde object.

De grondmonsters worden tot 4 weken na datum ontvangst bewaard en watermonsters tot 2 weken na datum ontvangst. Zonder tegenbericht worden de monsters nadien afgevoerd.
Indien de monsters langer bewaard dienen te blijven verzoeken wij U dit exemplaar uiterlijk 1 werkdag voor afloop van de standaardbewaarperiode ondertekend aan ons te retourneren. Voor de kosten van het langer bewaren van monsters verwijzen wij naar de prijslijst.

Bewaren tot:

Datum:

Naam:

Handtekening:

Wij vertrouwen erop uw opdracht hiermee naar verwachting te hebben uitgevoerd, mocht U naar aanleiding van dit analyscertificaat nog vragen hebben verzoeken wij U contact op te nemen met de afdeling Verkoop en Advies.

Met vriendelijke groet,

Eurofins Analytico B.V.



Ing. A. Veldhuizen
Technical Manager

Eurofins Analytico B.V.

Gildeweg 42-46
3771 NB Barneveld
P.O. Box 459
3770 AL Barneveld NL

Tel. +31 (0)34 242 63 00
Fax +31 (0)34 242 63 99
E-mail info-env@eurofins.nl
Site www.eurofins.nl

BNP Paribas S.A. 227 9245 25
IBAN: NL71BNPA0227924525
BIC: BNPANL2A
KvK/CoC No. 09088623
BTW/VAT No. NL 8043.14.883.B01

Eurofins Analytico B.V. is ISO 14001: 2004 gecertificeerd door TÜV en erkend door het Vlaamse Gewest (OVAM en Dep. Omgeving), het Brusselse Gewest (BIM), het Waalse Gewest (DGRNE-OWD) en door de overheid van Luxemburg (MEV).

Analysecertificaat

Uw project/verslagnummer 01.18.1763
 Uw projectnaam Geertruidentuin te Deventer
 Uw ordernummer 01.18.1763

Monsternemer R.W.E.M. Milder
 Monstermatrix Asbestverdachte grond

Certificaatnummer/Versie 2018080307/1
 Startdatum 05-Jun-2018
 Rapportagedatum 13-Jun-2018/10:35
 Bijlage A, B, C
 Pagina 1/1

Analyse	Eenheid	1
Bodemkundige analyses		
Droge stof (uitbesteed)	% (m/m)	88.0 ¹⁾
Uitbesteed / Overig onderzoek		
In behandeling genomen hoeveelheid	kg	13.6 ²⁾
Asbest fractie 0,5-1mm	mg	0.0 ²⁾
Asbest fractie 1-2mm	mg	0.0 ²⁾
Asbest fractie 2-4mm	mg	0.0 ²⁾
Asbest fractie 4-8mm	mg	0.0 ²⁾
Asbest fractie 8-20mm	mg	0.0 ²⁾
Asbest fractie >20mm	mg	0.0 ²⁾
Asbest (som)	mg	<0.3 ²⁾
Asbest in grond	mg/kg ds	<0.1 ²⁾
Gemeten Asbestconcentratie	mg/kg ds	<0.1 ²⁾
Gemeten concentratie Chrysotiel	mg/kg ds	<0.1 ²⁾
Gemeten concentratie Amfibool	mg/kg ds	0.0 ²⁾
Totaal asbest hechtgebonden	mg/kg ds	0.0 ²⁾
Totaal asbest niet hechtgebonden	mg/kg ds	0.0 ²⁾

Nr. Monsteromschrijving

1 SL01 drup

Datum monstername

04-Jun-2018

Monster nr.

10136924

Eurofins Analytico B.V.

Gildeweg 42-46
 3771 NB Barneveld
 P.O. Box 459
 3770 AL Barneveld NL

Tel. +31 (0)34 242 63 00
 Fax +31 (0)34 242 63 99
 E-mail info-env@eurofins.nl
 Site www.eurofins.nl

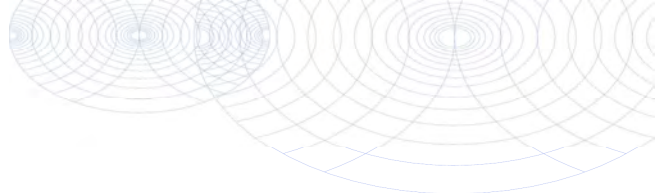
BNP Paribas S.A. 227 9245 25
 IBAN: NL71BNPA0227924525
 BIC: BNPANL2A
 KvK/CoC No. 09088623
 BTW/VAT No. NL 8043.14.883.B01

Q: door RvA geaccrediteerde verrichting
 A: AP04 erkende verrichting
 S: AS SIKB erkende verrichting
 V: VLAREL erkende verrichting
 M: MCERTS erkend

Akkoord
Pr.co öd.

MP

Dit certificaat mag uitsluitend in zijn geheel worden gereproduceerd.
 Eurofins Analytico B.V. is ISO 14001: 2004 gecertificeerd door TÜV en erkend door het Vlaamse Gewest (OVAM en Dep. Omgeving), het Brusselse Gewest (BIM), het Waalse Gewest (DGRNE-OWD) en door de overheid van Luxemburg (MEV).



Bijlage (A) met deelmonsterinformatie behorende bij analysecertificaat 2018080307/1

Pagina 1/1

Monster nr.	Boornr	Omschrijving	Van	Tot	Barcode	Monstername ID/Monsteromsch.
10136924	SL01	2	0	10	E1671328	9967353



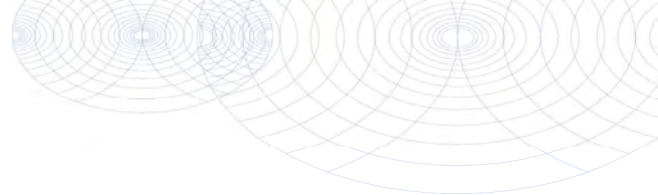
Eurofins Analytico B.V.

Gildeweg 42-46
3771 NB Barneveld
P.O. Box 459
3770 AL Barneveld NL

Tel. +31 (0)34 242 63 00
Fax +31 (0)34 242 63 99
E-mail info-env@eurofins.nl
Site www.eurofins.nl

BNP Paribas S.A. 227 9245 25
IBAN: NL71BNPA0227924525
BIC: BNPANL2A
KvK/CoC No. 09088623
BTW/VAT No. NL 8043.14.883.B01

Eurofins Analytico B.V. is ISO 14001: 2004 gecertificeerd door TÜV en erkend door het Vlaamse Gewest (OVAM en Dep. Omgeving), het Brusselse Gewest (BIM), het Waalse Gewest (DGRNE-OWD) en door de overheid van Luxemburg (MEV).

**Bijlage (B) met opmerkingen behorende bij analysecertificaat 2018080307/1**

Pagina 1/1

Opmerking 1)

Deze bepaling is uitbesteed bij L086.

Opmerking 2)

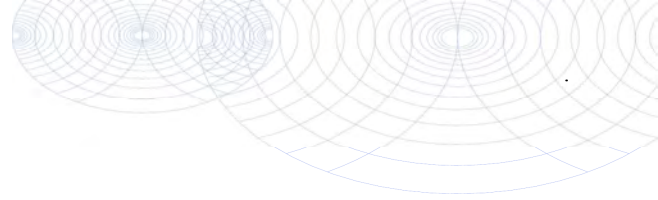
Deze bepaling is uitbesteed bij L086.

**Eurofins Analytico B.V.**

Gildeweg 42-46 Tel. +31 (0)34 242 63 00
3771 NB Barneveld Fax +31 (0)34 242 63 99
P.O. Box 459 E-mail info-env@eurofins.nl
3770 AL Barneveld NL Site www.eurofins.nl

BNP Paribas S.A. 227 9245 25
IBAN: NL71BNPA0227924525
BIC: BNPNL2A
KvK/CoC No. 09088623
BTW/VAT No. NL 8043.14.883.B01

Eurofins Analytico B.V. is ISO 14001: 2004 gecertificeerd door TÜV en erkend door het Vlaamse Gewest (OVAM en Dep. Omgeving), het Brusselse Gewest (BIM), het Waalse Gewest (DGRNE-OWD) en door de overheid van Luxemburg (MEV).



Bijlage (C) met methodeverwijzingen behorende bij analysecertificaat 2018080307/1

Pagina 1/1

Analyse	Methode	Techniek	Methode referentie
Droge stof (uitbesteed)	W0004	Uitbesteed	Uitbesteding
Asbest Grond NEN5898 2016	W0004	Microscopie	Cf NEN 5898

Nadere informatie over de toegepaste onderzoeksmethoden alsmede een classificatie van de meetonzekerheid staan vermeld in ons overzicht "Specificaties analysemethoden", versie juni 2016.



Eurofins Analytico B.V.

Gildeweg 42-46
3771 NB Barneveld
P.O. Box 459
3770 AL Barneveld NL

Tel. +31 (0)34 242 63 00
Fax +31 (0)34 242 63 99
E-mail info-env@eurofins.nl
Site www.eurofins.nl

BNP Paribas S.A. 227 9245 25
IBAN: NL71BNPA0227924525
BIC: BNPANL2A
KvK/CoC No. 09088623
BTW/VAT No. NL 8043.14.883.B01

Eurofins Analytico B.V. is ISO 14001: 2004 gecertificeerd door TÜV en erkend door het Vlaamse Gewest (OVAM en Dep. Omgeving), het Brusselse Gewest (BIM), het Waalse Gewest (DGRNE-OWD) en door de overheid van Luxemburg (MEV).

ANALYSECERTIFICAAT

Project code : 774529
Project omschrijving : 2018080307-01.18.1763
Opdrachtgever : Eurofins Analytico B.V.

Monstercode : 5686185
Uw referentie : SL01 drup
Opgegeven bemonsteringsdatum : 04/06/2018

Asbestonderzoek

Initialen analist : I.Z.
 Datum geanalyseerd : 12-06-2018

Analyse is uitgevoerd conform NEN 5898 (S).

Massa aangeleverde monster : 13590 g
 Droge massa aangeleverde monster : 11959 g
 Percentage droogrest : **88,0** m/m %
 Type zieving : nat

zeeffractie (mm)	massa zeeffractie (gram)	percentage zeeffractie (m/m %)	massa onderzocht (gram)	percentage onderzocht (m/m %)	aantal asbest (deeltjes)	massa asbest-houdend materiaal (mg)
<0,5 mm	9648,3	81,5	11,7	0,12	n.v.t.	n.v.t.
0,5-1 mm	265,6	2,2	163,1	61,41	0	0,0
1-2 mm	163,2	1,4	161,3	98,84	0	0,0
2-4 mm	203,5	1,7	203,5	100,00	0	0,0
4-8 mm	380,1	3,2	380,1	100,00	0	0,0
8-20 mm	1160,3	9,8	1160,3	100,00	0	0,0
>20 mm	23,8	0,2	23,8	100,00	0	0,0
Totaal	11844,8	100,0	2103,8		0	0,0

zeeffractie (mm)	asbest totaal			serpentijs asbest			amfibool asbest		
	gehalte asbest (mg/kg ds)	ondergrens (mg/kg ds)	bovengrens (mg/kg ds)	gehalte asbest (mg/kg ds)	ondergrens (mg/kg ds)	bovengrens (mg/kg ds)	gehalte asbest (mg/kg ds)	ondergrens (mg/kg ds)	bovengrens (mg/kg ds)
<0,5 mm	-								
0,5-1 mm	0,0	0,0	0,0	0,0	0,0	0,0	0,0	0,0	0,0
1-2 mm	0,0	0,0	0,0	0,0	0,0	0,0	0,0	0,0	0,0
2-4 mm	0,0	0,0	0,0	0,0	0,0	0,0	0,0	0,0	0,0
4-8 mm	0,0	0,0	0,0	0,0	0,0	0,0	0,0	0,0	0,0
8-20 mm	0,0	0,0	0,0	0,0	0,0	0,0	0,0	0,0	0,0
>20 mm	0,0	0,0	0,0	0,0	0,0	0,0	0,0	0,0	0,0
Totaal	<0,1	0,0	0,0	<0,1	0,0	0,0	0,0	0,0	0,0

Aangetroffen type asbest : Geen
 Bijzonderheden waargenomen : Geen

Serpentijs asbest is chrysotiel.
 Amfibool asbest is amosiet, crocidoliet, actinoliet, anthophylliet en tremoliet.

De bepalingsgrens is bepaald voor de zeeffracties kleiner dan 4 mm. De totale bepalingsgrens is verkregen door de bepalingsgrenzen van de afzonderlijke zeeffracties te sommeren.
 Het materiaal is middels polarisatiemicroscopie onderzocht, de analyse is uitgevoerd conform NEN 5896.

gebondenheid	serpentijs asbest	amfibool asbest	totaal afgerond
hecht	0,0	0,0	0,0
niet hecht	0,0	0,0	0,0
totaal afgerond	0,0	0,0	

Gewogen concentratie (serpentijsasbestconcentratie vermeerderd met 10 maal de amfiboolasbestconcentratie) is: **<0,1 mg/kg ds**

De gewogen asbestconcentratie wordt berekend uit de niet-afgeronde gehalten aan serpentijs en amfibool asbest. De weergegeven resultaten zijn afgerond.

Verklaring kwalitatief onderzoek zeeffractie <0,5 mm:
 - : geen asbest waargenomen

ANALYSECERTIFICAAT

Project code : 774529
Project omschrijving : 2018080307-01.18.1763
Opdrachtgever : Eurofins Analytico B.V.

Opmerkingen m.b.t. analyses

Opmerking(en) algemeen

Asbest

Individuele monsters van dit project zijn als asbest verdacht gekwalificeerd. De analysedeelmonsters zijn met beschermende maatregelen in het laboratorium in behandeling genomen.

Opmerking bij project: - Eurofins Omegam heeft het asbestonderzoek in dit/deze monster(s) uitgevoerd volgens de NEN 5898, en zoals beschreven in een aparte bijlage als onderdeel van dit analysecertificaat. Voor de analyseresultaten van het asbestonderzoek geldt dat Eurofins Omegam de analyse heeft uitgevoerd in de monsters die de opdrachtgever, zoals deze staan vermeld in de koptekst van dit analysecertificaat, zelf heeft genomen of laten nemen en aan Eurofins Omegam heeft aangeboden. Eurofins Omegam draagt geen verantwoordelijkheid inzake de herkomst en representativiteit alsmede de veiligheid tijdens de monsterneming.

ANALYSECERTIFICAAT

Project code : 774529
Project omschrijving : 2018080307-01.18.1763
Opdrachtgever : Eurofins Analytico B.V.

Barcode-schema's

<i>Monstercode</i>	<i>Uw referentie</i>	<i>monster</i>	<i>diepte</i>	<i>barcode</i>
5686185	SL01 drup	SL01	0-.1	E1671328

ANALYSECERTIFICAAT

Project code : 774529
Project omschrijving : 2018080307-01.18.1763
Opdrachtgever : Eurofins Analytico B.V.

Analysemethoden in Grond (AS3000)

AS3000

In dit analysecertificaat zijn de met 'S' gemerkte analyses uitgevoerd volgens de analysemethoden beschreven in het "Accreditatieschema Laboratoriumanalyses voor grond-, waterbodem- en grondwateronderzoek (AS SIKB 3000)". Het laboratoriumonderzoek is uitgevoerd volgens de onderstaande analysemethoden. Deze analyses zijn vastgelegd in het geldende accreditatie-certificaat met bijbehorende verrichtingenlijst L086 van Eurofins Omegam BV.

Asbestonderzoek : Conform AS3070 prestatieblad 1 en NEN 5898

Infrasoil - Veenendaal
T.a.v. B. Versteeg-Scholten
Postbus 409
3900 AK VEENENDAAL

Analyscertificaat

Datum: 07-Jun-2018

Hierbij ontvangt u de resultaten van het navolgende laboratoriumonderzoek.

Certificaatnummer/Versie	2018079618/1
Uw project/verslagnummer	01.18.1763
Uw projectnaam	Geertruidentuin te Deventer
Uw ordernummer	01.18.1763
Monster(s) ontvangen	01-Jun-2018

Dit certificaat mag uitsluitend in zijn geheel worden gereproduceerd.
De analyse resultaten hebben alleen betrekking op het beproefde object.

De grondmonsters worden tot 4 weken na datum ontvangst bewaard en watermonsters tot 2 weken na datum ontvangst. Zonder tegenbericht worden de monsters nadien afgevoerd.
Indien de monsters langer bewaard dienen te blijven verzoeken wij U dit exemplaar uiterlijk 1 werkdag voor afloop van de standaardbewaarperiode ondertekend aan ons te retourneren. Voor de kosten van het langer bewaren van monsters verwijzen wij naar de prijslijst.

Bewaren tot:

Datum:

Naam:

Handtekening:

Wij vertrouwen erop uw opdracht hiermee naar verwachting te hebben uitgevoerd, mocht U naar aanleiding van dit analyscertificaat nog vragen hebben verzoeken wij U contact op te nemen met de afdeling Verkoop en Advies.

Met vriendelijke groet,

Eurofins Analytico B.V.



Ing. A. Veldhuizen
Technical Manager

Eurofins Analytico B.V.

Gildeweg 42-46
3771 NB Barneveld
P.O. Box 459
3770 AL Barneveld NL

Tel. +31 (0)34 242 63 00
Fax +31 (0)34 242 63 99
E-mail info-env@eurofins.nl
Site www.eurofins.nl

BNP Paribas S.A. 227 9245 25
IBAN: NL71BNPA0227924525
BIC: BNPANL2A
KvK/CoC No. 09088623
BTW/VAT No. NL 8043.14.883.B01

Eurofins Analytico B.V. is ISO 14001: 2004 gecertificeerd door TÜV en erkend door het Vlaamse Gewest (OVAM en Dep. Omgeving), het Brusselse Gewest (BIM), het Waalse Gewest (DGRNE-OWD) en door de overheid van Luxemburg (MEV).

Analysecertificaat

Uw project/verslagnummer	01.18.1763	Certificaatnummer/Versie	2018079618/1
Uw projectnaam	Geertruidentuin te Deventer	Startdatum	04-Jun-2018
Uw ordernummer	01.18.1763	Rapportagedatum	07-Jun-2018/13:31
Monsternemer	R.W.E.M. Milder	Bijlage	A, C
Monstermatrix	Grond (AS3000)	Pagina	1/1

Analyse	Eenheid	1	2	3
Voorbehandeling				
Cryogeen malen AS3000		Uitgevoerd	Uitgevoerd	Uitgevoerd
Bodemkundige analyses				
S Droge stof	% (m/m)	89.6	92.1	88.9
Polycyclische Aromatische Koolwaterstoffen, PAK				
S Naftaleen	mg/kg ds	<0.050	<0.050	<0.050
S Fenanthreen	mg/kg ds	0.19	1.3	0.35
S Anthraceen	mg/kg ds	0.063	0.30	0.062
S Fluorantheen	mg/kg ds	0.17	1.8	0.59
S Benzo(a)anthraceen	mg/kg ds	0.072	0.82	0.22
S Chryseen	mg/kg ds	0.062	0.74	0.23
S Benzo(k)fluorantheen	mg/kg ds	<0.050	0.34	0.12
S Benzo(a)pyreen	mg/kg ds	0.050	0.69	0.22
S Benzo(ghi)peryleen	mg/kg ds	<0.050	0.38	0.15
S Indeno(123-cd)pyreen	mg/kg ds	<0.050	0.30	0.12
S PAK VROM (10) (factor 0,7)	mg/kg ds	0.76	6.7	2.1

Nr. Monsteromschrijving

Nr.	Monsteromschrijving	Datum monstername	Monster nr.
1	119-1	23-May-2018	10134807
2	124-1	25-May-2018	10134808
3	224-2	23-May-2018	10134809

Eurofins Analytico B.V.

Gildeweg 42-46
3771 NB Barneveld
P.O. Box 459
3770 AL Barneveld NL

Tel. +31 (0)34 242 63 00
Fax +31 (0)34 242 63 99
E-mail info-env@eurofins.nl
Site www.eurofins.nl

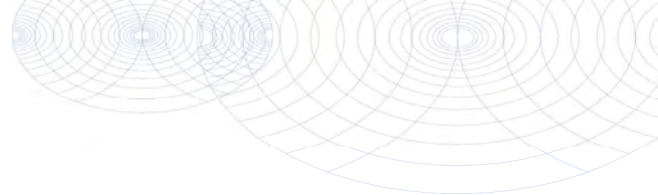
BNP Paribas S.A. 227 9245 25
IBAN: NL71BNPA0227924525
BIC: BNPANL2A
KvK/CoC No. 09088623
BTW/VAT No. NL 8043.14.883.B01



Q: door RvA geaccrediteerde verrichting
R: AP04 erkende verrichting
S: AS SIKB erkende verrichting
V: VLAREL erkende verrichting
M: MCERTS erkend

Dit certificaat mag uitsluitend in zijn geheel worden gereproduceerd.
Eurofins Analytico B.V. is ISO 14001: 2004 gecertificeerd door TÜV en erkend door het Vlaamse Gewest (OVAM en Dep. Omgeving), het Brusselse Gewest (BIM), het Waalse Gewest (DGRNE-OWD) en door de overheid van Luxemburg (MEV).

**Akkoord
Pr.coörd.**

Bijlage (A) met deelmonsterinformatie behorende bij analysecertificaat 2018079618/1

Pagina 1/1

Monster nr.	Boornr	Omschrijving	Van	Tot	Barcode	Monstername ID/Monsteromsch.
10134807	119	1	8	50	0535459197	9967340
10134808	124	1	0	50	0535459367	9967341
10134809	224	2	20	70	0535459594	9967342

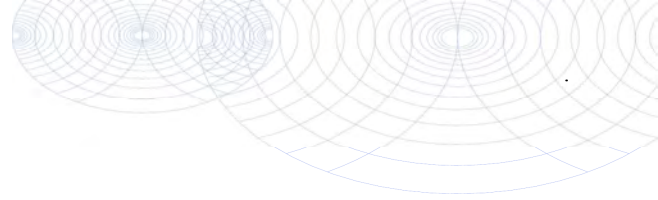


Eurofins Analytico B.V.

Gildeweg 42-46
 3771 NB Barneveld
 P.O. Box 459
 3770 AL Barneveld NL
 Tel. +31 (0)34 242 63 00
 Fax +31 (0)34 242 63 99
 E-mail info-env@eurofins.nl
 Site www.eurofins.nl

BNP Paribas S.A. 227 9245 25
 IBAN: NL71BNPA0227924525
 BIC: BNPANL2A
 KvK/CoC No. 09088623
 BTW/VAT No. NL 8043.14.883.B01

Eurofins Analytico B.V. is ISO 14001: 2004 gecertificeerd door TÜV en erkend door het Vlaamse Gewest (OVAM en Dep. Omgeving), het Brusselse Gewest (BIM), het Waalse Gewest (DGRNE-OWD) en door de overheid van Luxemburg (MEV).



Bijlage (C) met methodeverwijzingen behorende bij analysecertificaat 2018079618/1

Pagina 1/1

Analyse	Methode	Techniek	Methode referentie
Cryogeen malen AS3000	W0106	Voorbehandeling	Cf. AS3000
Droge Stof	W0104	Gravimetrie	Cf. pb 3010-2 en gw. NEN-EN 15934
PAK (10) (VROM)	W0271	GC-MS	Cf. pb. 3010-6 en gw. NEN-ISO 18287
PAK som AS3000/AP04	W0271	GC-MS	Cf. pb. 3010-6 en gw. NEN-ISO 18287

Nadere informatie over de toegepaste onderzoeksmethoden alsmede een classificatie van de meetonzekerheid staan vermeld in ons overzicht "Specificaties analysemethoden", versie juni 2016.



Eurofins Analytico B.V.

Gildeweg 42-46
3771 NB Barneveld
P.O. Box 459
3770 AL Barneveld NL

Tel. +31 (0)34 242 63 00
Fax +31 (0)34 242 63 99
E-mail info-env@eurofins.nl
Site www.eurofins.nl

BNP Paribas S.A. 227 9245 25
IBAN: NL71BNPA0227924525
BIC: BNPANL2A
KvK/CoC No. 09088623
BTW/VAT No. NL 8043.14.883.B01

Eurofins Analytico B.V. is ISO 14001: 2004 gecertificeerd door TÜV en erkend door het Vlaamse Gewest (OVAM en Dep. Omgeving), het Brusselse Gewest (BIM), het Waalse Gewest (DGRNE-OWD) en door de overheid van Luxemburg (MEV).

Infrasoil - Veenendaal
T.a.v. B. Versteeg-Scholten
Postbus 409
3900 AK VEENENDAAL

Analyscertificaat

Datum: 08-Jun-2018

Hierbij ontvangt u de resultaten van het navolgende laboratoriumonderzoek.

Certificaatnummer/Versie	2018080290/1
Uw project/verslagnummer	01.18.1763
Uw projectnaam	Geertruidentuin te Deventer
Uw ordernummer	01.18.1763
Monster(s) ontvangen	04-Jun-2018

Dit certificaat mag uitsluitend in zijn geheel worden gereproduceerd.
De analyse resultaten hebben alleen betrekking op het beproefde object.

De grondmonsters worden tot 4 weken na datum ontvangst bewaard en watermonsters tot 2 weken na datum ontvangst. Zonder tegenbericht worden de monsters nadien afgevoerd.
Indien de monsters langer bewaard dienen te blijven verzoeken wij U dit exemplaar uiterlijk 1 werkdag voor afloop van de standaardbewaarperiode ondertekend aan ons te retourneren. Voor de kosten van het langer bewaren van monsters verwijzen wij naar de prijslijst.

Bewaren tot:

Datum:

Naam:

Handtekening:

Wij vertrouwen erop uw opdracht hiermee naar verwachting te hebben uitgevoerd, mocht U naar aanleiding van dit analyscertificaat nog vragen hebben verzoeken wij U contact op te nemen met de afdeling Verkoop en Advies.

Met vriendelijke groet,

Eurofins Analytico B.V.



Ing. A. Veldhuizen
Technical Manager

Eurofins Analytico B.V.

Gildeweg 42-46
3771 NB Barneveld
P.O. Box 459
3770 AL Barneveld NL

Tel. +31 (0)34 242 63 00
Fax +31 (0)34 242 63 99
E-mail info-env@eurofins.nl
Site www.eurofins.nl

BNP Paribas S.A. 227 9245 25
IBAN: NL71BNPA0227924525
BIC: BNPANL2A
KvK/CoC No. 09088623
BTW/VAT No. NL 8043.14.883.B01

Eurofins Analytico B.V. is ISO 14001: 2004 gecertificeerd door TÜV en erkend door het Vlaamse Gewest (OVAM en Dep. Omgeving), het Brusselse Gewest (BIM), het Waalse Gewest (DGRNE-OWD) en door de overheid van Luxemburg (MEV).

Analysecertificaat

Uw project/verslagnummer	01.18.1763	Certificaatnummer/Versie	2018080290/1
Uw projectnaam	Geertruidentuin te Deventer	Startdatum	05-Jun-2018
Uw ordernummer	01.18.1763	Rapportagedatum	08-Jun-2018/12:39
Monsternemer	R.W.E.M. Milder	Bijlage	A, B, C
Monstermatrix	Water (AS3000)	Pagina	1/4

Analyse	Eenheid	1	2	3	4	5
Metalen						
S Barium (Ba)	µg/L	42	<20	37	76	37
S Cadmium (Cd)	µg/L	<0.20	<0.20	<0.20	<0.20	<0.20
S Kobalt (Co)	µg/L	<2.0	<2.0	<2.0	<2.0	<2.0
S Koper (Cu)	µg/L	2.1	<2.0	<2.0	3.9	<2.0
S Kwik (Hg)	µg/L	<0.050	<0.050	<0.050	<0.050	<0.050
S Molybdeen (Mo)	µg/L	2.1	<2.0	<2.0	2.0	2.6
S Nikkel (Ni)	µg/L	<3.0	<3.0	6.0	<3.0	<3.0
S Lood (Pb)	µg/L	<2.0	<2.0	<2.0	<2.0	<2.0
S Zink (Zn)	µg/L	<10	<10	<10	<10	<10
Vluchtige Aromatische Koolwaterstoffen						
S Benzeen	µg/L	<0.20	<0.20	<0.20	<0.20	<0.20
S Toluene	µg/L	0.30	0.33	<0.20	0.30	<0.20
S Ethylbenzeen	µg/L	<0.20	<0.20	<0.20	<0.20	<0.20
S o-Xyleen	µg/L	<0.10	<0.10	<0.10	<0.10	<0.10
S m, p-Xyleen	µg/L	<0.20	<0.20	<0.20	<0.20	<0.20
S Xylenen (som) factor 0,7	µg/L	0.21 ¹⁾	0.21 ¹⁾	0.21 ¹⁾	0.21 ¹⁾	0.21 ¹⁾
BTEX (som)	µg/L	<0.90	<0.90	<0.90	<0.90	<0.90
S Naftaleen	µg/L	<0.020	<0.020	<0.020	<0.020	<0.020
S Styreen	µg/L	<0.20	<0.20	<0.20	<0.20	<0.20
Vluchtige organische halogeenkoolwaterstoffen						
S Dichloormethaan	µg/L	<0.20	<0.20	<0.20	<0.20	<0.20
S Trichloormethaan	µg/L	<0.20	<0.20	<0.20	<0.20	<0.20
S Tetrachloormethaan	µg/L	<0.10	<0.10	<0.10	<0.10	<0.10
S Trichlooretheen	µg/L	<0.20	<0.20	<0.20	<0.20	<0.20
S Tetrachlooretheen	µg/L	<0.10	<0.10	<0.10	<0.10	<0.10
S 1,1-Dichloorethaan	µg/L	<0.20	<0.20	<0.20	<0.20	<0.20
S 1,2-Dichloorethaan	µg/L	<0.20	<0.20	<0.20	<0.20	<0.20
S 1,1,1-Trichloorethaan	µg/L	<0.10	<0.10	<0.10	<0.10	<0.10
S 1,1,2-Trichloorethaan	µg/L	<0.10	<0.10	<0.10	<0.10	<0.10
S cis 1,2-Dichlooretheen	µg/L	<0.10	<0.10	<0.10	<0.10	<0.10

M. Monsternomschrijving

	Datum monstername	Monster nr.
1 101-1-1	04-Jun-2018	10136881
2 102-1-1	04-Jun-2018	10136882
3 103-1-1	04-Jun-2018	10136883
4 104-1-1	04-Jun-2018	10136884
5 105-1-1	04-Jun-2018	10136885



Q: door RvA geaccrediteerde verrichting
 R: AP04 erkende verrichting
 S: AS SIKB erkende verrichting
 V: VLAREL erkende verrichting
 M: MCERTS erkend

Dit certificaat mag uitsluitend in zijn geheel worden gereproduceerd.
 Eurofins Analytico B.V. is ISO 14001: 2004 gecertificeerd door TÜV en erkend door het Vlaamse Gewest (OVAM en Dep. Omgeving), het Brusselse Gewest (BIM), het Waalse Gewest (DGRNE-OWD) en door de overheid van Luxemburg (MEV).

Eurofins Analytico B.V.

Gildeweg 42-46
 3771 NB Barneveld
 P.O. Box 459
 3770 AL Barneveld NL
 Tel. +31 (0)34 242 63 00
 Fax +31 (0)34 242 63 99
 E-mail info-env@eurofins.nl
 Site www.eurofins.nl

BNP Paribas S.A. 227 9245 25
 IBAN: NL71BNPA0227924525
 BIC: BNPANL2A
 KvK/CoC No. 09088623
 BTW/VAT No. NL 8043.14.883.B01



Analysecertificaat

Uw project/verslagnummer	01.18.1763	Certificaatnummer/Versie	2018080290/1
Uw projectnaam	Geertruidentuin te Deventer	Startdatum	05-Jun-2018
Uw ordernummer	01.18.1763	Rapportagedatum	08-Jun-2018/12:39
Monsternemer	R.W.E.M. Milder	Bijlage	A, B, C
Monstermatrix	Water (AS3000)	Pagina	2/4

Analyse	Eenheid	1	2	3	4	5
S trans 1,2-Dichlooretheen	µg/L	<0.10	<0.10	<0.10	<0.10	<0.10
CKW (som)	µg/L	<1.6	<1.6	<1.6	<1.6	<1.6
S Tribroommethaan	µg/L	<0.20	<0.20	<0.20	<0.20	<0.20
S Vinylchloride	µg/L	<0.10	<0.10	<0.10	<0.10	<0.10
S 1,1-Dichlooretheen	µg/L	<0.10	<0.10	<0.10	<0.10	<0.10
S 1,2-Dichloorethenen (Som) factor 0,7	µg/L	0.14 ¹⁾	0.14 ¹⁾	0.14 ¹⁾	0.14 ¹⁾	0.14 ¹⁾
S 1,1-Dichloorpropaan	µg/L	<0.20	<0.20	<0.20	<0.20	<0.20
S 1,2-Dichloorpropaan	µg/L	<0.20	<0.20	<0.20	<0.20	<0.20
S 1,3-Dichloorpropaan	µg/L	<0.20	<0.20	<0.20	<0.20	<0.20
S Dichloorpropanen som factor 0.7	µg/L	0.42	0.42	0.42	0.42	0.42
Minerale olie						
Minerale olie (C10-C12)	µg/L	<10	<10	<10	<10	<10
Minerale olie (C12-C16)	µg/L	<10	<10	<10	<10	<10
Minerale olie (C16-C21)	µg/L	<10	<10	<10	<10	<10
Minerale olie (C21-C30)	µg/L	<15	<15	<15	<15	<15
Minerale olie (C30-C35)	µg/L	<10	<10	<10	<10	<10
Minerale olie (C35-C40)	µg/L	<10	<10	<10	<10	<10
S Minerale olie totaal (C10-C40)	µg/L	<50	<50	<50	<50	<50

M. Monsterschrijving

	Datum monstername	Monster nr.
1 101-1-1	04-Jun-2018	10136881
2 102-1-1	04-Jun-2018	10136882
3 103-1-1	04-Jun-2018	10136883
4 104-1-1	04-Jun-2018	10136884
5 105-1-1	04-Jun-2018	10136885

Eurofins Analytico B.V.

Gildeweg 42-46
3771 NB Barneveld
P.O. Box 459
3770 AL Barneveld NL

Tel. +31 (0)34 242 63 00
Fax +31 (0)34 242 63 99
E-mail info-env@eurofins.nl
Site www.eurofins.nl

BNP Paribas S.A. 227 9245 25
IBAN: NL71BNPA0227924525
BIC: BNPANL2A
KvK/CoC No. 09088623
BTW/VAT No. NL 8043.14.883.B01



Q: door RvA geaccrediteerde verrichting
R: AP04 erkende verrichting
S: AS SIKB erkende verrichting
V: VLAREL erkende verrichting
M: MCERTS erkend

Dit certificaat mag uitsluitend in zijn geheel worden gereproduceerd.
Eurofins Analytico B.V. is ISO 14001: 2004 gecertificeerd door TÜV en erkend door het Vlaamse Gewest (OVAM en Dep. Omgeving), het Brusselse Gewest (BIM), het Waalse Gewest (DGRNE-OWD) en door de overheid van Luxemburg (MEV).



Analysecertificaat

Uw project/verslagnummer	01.18.1763	Certificaatnummer/Versie	2018080290/1
Uw projectnaam	Geertruidentuin te Deventer	Startdatum	05-Jun-2018
Uw ordernummer	01.18.1763	Rapportagedatum	08-Jun-2018/12:39
Monsternemer	R.W.E.M. Milder	Bijlage	A, B, C
Monstermatrix	Water (AS3000)	Pagina	3/4

Analyse	Eenheid	6	7	8	9
Metalen					
S Barium (Ba)	µg/L	24			
S Cadmium (Cd)	µg/L	<0.20			
S Kobalt (Co)	µg/L	<2.0			
S Koper (Cu)	µg/L	<2.0			
S Kwik (Hg)	µg/L	<0.050			
S Molybdeen (Mo)	µg/L	<2.0			
S Nikkel (Ni)	µg/L	<3.0			
S Lood (Pb)	µg/L	<2.0			
S Zink (Zn)	µg/L	<10			
Vluchtige Aromatische Koolwaterstoffen					
S Benzeen	µg/L	<0.20	<0.20	<0.20	<0.20
S Toluene	µg/L	0.67	0.41	0.36	0.26
S Ethylbenzeen	µg/L	<0.20	<0.20	<0.20	<0.20
S o-Xyleen	µg/L	<0.10	<0.10	<0.10	<0.10
S m, p-Xyleen	µg/L	<0.20	<0.20	<0.20	<0.20
S Xylenen (som) factor 0,7	µg/L	0.21 ¹⁾	0.21 ¹⁾	0.21 ¹⁾	0.21 ¹⁾
BTEX (som)	µg/L	<0.90	<0.90	<0.90	<0.90
S Naftaleen	µg/L	<0.020	<0.020	<0.020	<0.020
S Styreen	µg/L	<0.20			
Vluchtige organische halogeenkoolwaterstoffen					
S Dichloormethaan	µg/L	<0.20			
S Trichloormethaan	µg/L	<0.20			
S Tetrachloormethaan	µg/L	<0.10			
S Trichlooretheen	µg/L	<0.20			
S Tetrachlooretheen	µg/L	<0.10			
S 1,1-Dichloorethaan	µg/L	<0.20			
S 1,2-Dichloorethaan	µg/L	<0.20			
S 1,1,1-Trichloorethaan	µg/L	<0.10			
S 1,1,2-Trichloorethaan	µg/L	<0.10			
S cis 1,2-Dichlooretheen	µg/L	<0.10			
M. Monsteromschrijving		Datum monstername		Monster nr.	
6	201-1-1	04-Jun-2018		10136886	
7	501-1-1	04-Jun-2018		10136887	
8	502-1-1	04-Jun-2018		10136888	
9	503-1-1	04-Jun-2018		10136889	

Eurofins Analytico B.V.

Gildeweg 42-46
3771 NB Barneveld
P.O. Box 459
3770 AL Barneveld NL

Tel. +31 (0)34 242 63 00
Fax +31 (0)34 242 63 99
E-mail info-env@eurofins.nl
Site www.eurofins.nl

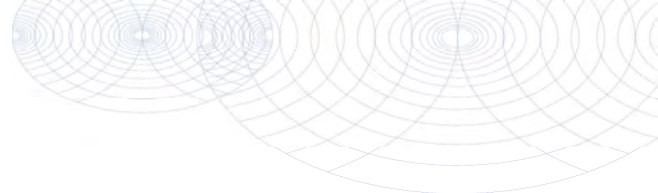
BNP Paribas S.A. 227 9245 25
IBAN: NL71BNPA0227924525
BIC: BNPANL2A
KvK/CoC No. 09088623
BTW/VAT No. NL 8043.14.883.B01



Q: door RvA geaccrediteerde verrichting
R: AP04 erkende verrichting
S: AS SIKB erkende verrichting
V: VLAREL erkende verrichting
M: MCERTS erkend

Dit certificaat mag uitsluitend in zijn geheel worden gereproduceerd.
Eurofins Analytico B.V. is ISO 14001: 2004 gecertificeerd door TÜV en erkend door het Vlaamse Gewest (OVAM en Dep. Omgeving), het Brusselse Gewest (BIM), het Waalse Gewest (DGRNE-OWD) en door de overheid van Luxemburg (MEV).





Analysecertificaat

Uw project/verslagnummer	01.18.1763	Certificaatnummer/Versie	2018080290/1
Uw projectnaam	Geertruidentuin te Deventer	Startdatum	05-Jun-2018
Uw ordernummer	01.18.1763	Rapportagedatum	08-Jun-2018/12:39
Monsternemer	R.W.E.M. Milder	Bijlage	A, B, C
Monstermatrix	Water (AS3000)	Pagina	4/4

Analyse	Eenheid	6	7	8	9
S trans 1,2-Dichlooretheen	µg/L	<0.10			
CKW (som)	µg/L	<1.6			
S Tribroommethaan	µg/L	<0.20			
S Vinylchloride	µg/L	<0.10			
S 1,1-Dichlooretheen	µg/L	<0.10			
S 1,2-Dichloorethenen (Som) factor 0,7	µg/L	0.14 ¹⁾			
S 1,1-Dichloorpropaan	µg/L	<0.20			
S 1,2-Dichloorpropaan	µg/L	<0.20			
S 1,3-Dichloorpropaan	µg/L	<0.20			
S Dichloorpropanen som factor 0.7	µg/L	0.42			
Minerale olie					
Minerale olie (C10-C12)	µg/L	<10	<10	<10	<10
Minerale olie (C12-C16)	µg/L	<10	<10	<10	<10
Minerale olie (C16-C21)	µg/L	<10	<10	<10	<10
Minerale olie (C21-C30)	µg/L	<15	<15	<15	<15
Minerale olie (C30-C35)	µg/L	<10	<10	<10	<10
Minerale olie (C35-C40)	µg/L	<10	<10	<10	<10
S Minerale olie totaal (C10-C40)	µg/L	<50	<50	<50	<50

M. Monsterschrijving

	Datum monstername	Monster nr.
6 201-1-1	04-Jun-2018	10136886
7 501-1-1	04-Jun-2018	10136887
8 502-1-1	04-Jun-2018	10136888
9 503-1-1	04-Jun-2018	10136889

Eurofins Analytico B.V.

Gildeweg 42-46
3771 NB Barneveld
P.O. Box 459
3770 AL Barneveld NL

Tel. +31 (0)34 242 63 00
Fax +31 (0)34 242 63 99
E-mail info-env@eurofins.nl
Site www.eurofins.nl

BNP Paribas S.A. 227 9245 25
IBAN: NL71BNPA0227924525
BIC: BNPANL2A
KvK/CoC No. 09088623
BTW/VAT No. NL 8043.14.883.B01

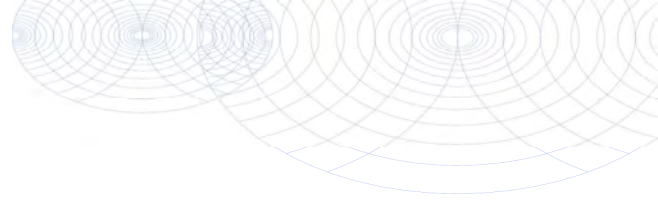


Q: door RvA geaccrediteerde verrichting
R: AP04 erkende verrichting
S: AS SIKB erkende verrichting
V: VLAREL erkende verrichting
M: MCERTS erkend

Dit certificaat mag uitsluitend in zijn geheel worden gereproduceerd.
Eurofins Analytico B.V. is ISO 14001: 2004 gecertificeerd door TÜV en erkend door het Vlaamse Gewest (OVAM en Dep. Omgeving), het Brusselse Gewest (BIM), het Waalse Gewest (DGRNE-OWD) en door de overheid van Luxemburg (MEV).

Akkoord
Pr.coörd.





Bijlage (A) met deelmonsterinformatie behorende bij analysecertificaat 2018080290/1

Pagina 1/1

Monster nr.	Boornr	Omschrijving	Van	Tot	Barcode	Monstername ID/Monsteromsch.
10136881	101	2	300	400	0691831728	9967343
10136881	101	3	300	400	0800707168	9967343
10136882	102	5	150	250	0691821591	9967344
10136882	102	6	150	250	0800707208	9967344
10136883	103	9	150	250	0691821584	9967345
10136883	103	10	150	250	0800707175	9967345
10136884	104	14	370	470	0691821587	9967346
10136884	104	15	370	470	0800707185	9967346
10136885	105	13	250	350	0800707084	9967347
10136885	105	12	250	350	0691821575	9967347
10136886	201	7	200	300	0691831727	9967348
10136886	201	8	200	300	0800707074	9967348
10136887	501	1	150	250	0691821590	9967349
10136888	502	11	200	300	0691821586	9967350
10136889	503	4	450	550	0691821588	9967351



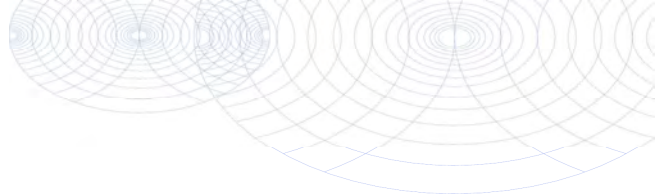
Eurofins Analytico B.V.

Gildeweg 42-46
 3771 NB Barneveld
 P.O. Box 459
 3770 AL Barneveld NL

Tel. +31 (0)34 242 63 00
 Fax +31 (0)34 242 63 99
 E-mail info-env@eurofins.nl
 Site www.eurofins.nl

BNP Paribas S.A. 227 9245 25
 IBAN: NL71BNPA0227924525
 BIC: BNPANL2A
 KvK/CoC No. 09088623
 BTW/VAT No. NL 8043.14.883.B01

Eurofins Analytico B.V. is ISO 14001: 2004 gecertificeerd door TÜV en erkend door het Vlaamse Gewest (OVAM en Dep. Omgeving), het Brusselse Gewest (BIM), het Waalse Gewest (DGRNE-OWD) en door de overheid van Luxemburg (MEV).

**Bijlage (B) met opmerkingen behorende bij analysecertificaat 2018080290/1**

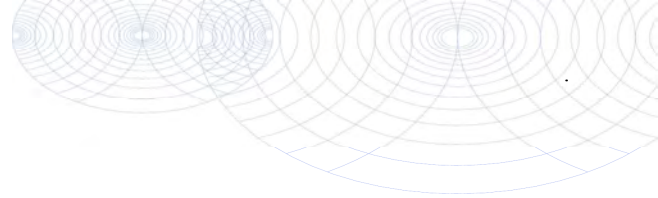
Pagina 1/1

Opmerking 1)De toetswaarde van de som is gelijk aan de sommatie van $0,7 \cdot RG$ **Eurofins Analytico B.V.**

Gildeweg 42-46 Tel. +31 (0)34 242 63 00
3771 NB Barneveld Fax +31 (0)34 242 63 99
P.O. Box 459 E-mail info-env@eurofins.nl
3770 AL Barneveld NL Site www.eurofins.nl

BNP Paribas S.A. 227 9245 25
IBAN: NL71BNPA0227924525
BIC: BNPANL2A
KvK/CoC No. 09088623
BTW/VAT No. NL 8043.14.883.B01

Eurofins Analytico B.V. is ISO 14001: 2004 gecertificeerd door TÜV en erkend door het Vlaamse Gewest (OVAM en Dep. Omgeving), het Brusselse Gewest (BIM), het Waalse Gewest (DGRNE-OWD) en door de overheid van Luxemburg (MEV).



Bijlage (C) met methodeverwijzingen behorende bij analysecertificaat 2018080290/1

Pagina 1/1

Analyse	Methode	Techniek	Methode referentie
Aromaten (BTEXN)	W0254	HS-GC-MS	Cf. pb 3130-1
Barium (Ba)	W0421	ICP-MS	Cf. pb 3110-3 en cf. NEN-EN-ISO 17294-2
Cadmium (Cd)	W0421	ICP-MS	Cf. pb 3110-3 en cf. NEN-EN-ISO 17294-2
Kobalt (Co)	W0421	ICP-MS	Cf. pb 3110-3 en cf. NEN-EN-ISO 17294-2
Koper (Cu)	W0421	ICP-MS	Cf. pb 3110-3 en cf. NEN-EN-ISO 17294-2
Kwik (Hg)	W0421	ICP-MS	Cf. pb 3110-3 en cf. NEN-EN-ISO 17294-2
Molybdeen (Mo)	W0421	ICP-MS	Cf. pb 3110-3 en cf. NEN-EN-ISO 17294-2
Nikkel (Ni)	W0421	ICP-MS	Cf. pb 3110-3 en cf. NEN-EN-ISO 17294-2
Lood (Pb)	W0421	ICP-MS	Cf. pb 3110-3 en cf. NEN-EN-ISO 17294-2
Zink (Zn)	W0421	ICP-MS	Cf. pb 3110-3 en cf. NEN-EN-ISO 17294-2
Xylenen som AS3000	W0254	HS-GC-MS	Cf. pb 3130-1
Styreen	W0254	HS-GC-MS	Cf. pb 3130-1
VOC1 (11)	W0254	HS-GC-MS	Cf. pb 3130-1
Tribroommethaan (Bromoform)	W0254	HS-GC-MS	Cf. pb 3130-1
Vinylchloride	W0254	HS-GC-MS	Cf. pb 3130-1
1,1-Dichlooretheen	W0254	HS-GC-MS	Cf. pb 3130-1
DiChEtheen som AS3000	W0254	HS-GC-MS	Cf. pb 3130-1
1,1-Dichloorpropaan	W0254	HS-GC-MS	Cf. pb 3130-1
1,2-Dichloorpropaan	W0254	HS-GC-MS	Cf. pb 3130-1
1,3-Dichloorpropaan	W0254	HS-GC-MS	Cf. pb 3130-1
DiChlprop. som AS3000	W0254	HS-GC-MS	Cf. pb 3130-1
Minerale olie (C10-C40)	W0215	GC-FID	Cf. pb 3110-5

Nadere informatie over de toegepaste onderzoeksmethoden alsmede een classificatie van de meetonzekerheid staan vermeld in ons overzicht "Specificaties analysemethoden", versie juni 2016.



Eurofins Analytico B.V.

Gildeweg 42-46
3771 NB Barneveld
P.O. Box 459
3770 AL Barneveld NL

Tel. +31 (0)34 242 63 00
Fax +31 (0)34 242 63 99
E-mail info-env@eurofins.nl
Site www.eurofins.nl

BNP Paribas S.A. 227 9245 25
IBAN: NL71BNP0227924525
BIC: BNPANL2A
KvK/CoC No. 09088623
BTW/VAT No. NL 8043.14.883.B01

Eurofins Analytico B.V. is ISO 14001: 2004 gecertificeerd door TÜV en erkend door het Vlaamse Gewest (OVAM en Dep. Omgeving), het Brusselse Gewest (BIM), het Waalse Gewest (DGRNE-OWD) en door de overheid van Luxemburg (MEV).

BIJLAGE 05

TOETSINGEN

BoToVa T12 Toetsing Wbb grond

Uw projectnummer 01.18.1763
 Projectnaam Geertruiduin te Deventer
 Ordernummer 01.18.1763
 Datum monstername 23-05-2018
 Monstername 5. de Jonge
 Certificaatnummer 2018076048
 Startdatum 29-05-2018
 Rapportagedatum 02-06-2018

Analyse	Eenheid	1	GSSD	Oordeel	2	GSSD	Oordeel	3	GSSD	Oordeel	4	GSSD	Oordeel	5	GSSD	Oordeel	6	GSSD	Oordeel
Bodemtype correctie																			
Organische stof		1,6			0,7			0,7			2,4			1,3			2,5		
Korrelgrootte < 2 µm (Lutum)		4,7			3,7			4,5			3,6			4			3,4		
Voorbehandeling																			
Cryogeen malen AS3000		Uitgevoerd			Uitgevoerd			Uitgevoerd			Uitgevoerd			Uitgevoerd			Uitgevoerd		
Bodemkundige analyses																			
Droge stof	% (m/m)	93	93		92	92		92,2	92,2		89,8	89,8		89,9	89,9		92	92	
Organische stof	% (m/m) ds	1,6	1,6		<0,7	0,49		<0,7	0,49		2,4	2,4		1,3	1,3		2,5	2,5	
Gloeirest	% (m/m) ds	98,1			99,1			99			97,3			98,4			97,2		
Korrelgrootte < 2 µm (Lutum)	% (m/m) ds	4,7	4,7		3,7	3,7		4,5	4,5		3,6	3,6		4	4		3,4	3,4	
Metalen																			
Barium (Ba)	mg/kg ds	30	86,92		22	70,31		<20	41,33		51	164,7		41	127,1		44	145,1	
Cadmium (Cd)	mg/kg ds	<0,20	0,2314		<0,20	0,2349		<0,20	0,2321		<0,20	0,2311		<0,20	0,2338		<0,20	0,2307	
Kobalt (Co)	mg/kg ds	<3,0	5,7		<3,0	6,225		<3,0	5,798		<3,0	6,283		<3,0	6,058		<3,0	6,402	
Koper (Cu)	mg/kg ds	14	26,5		7,4	14,46		7,7	14,67		31	60		16	30,97		29	56,31	
Kwik (Hg)	mg/kg ds	0,17	0,234	*	0,068	0,095		0,086	0,1188		0,36	0,5026	*	0,15	0,2088	*	0,36	0,5038	*
Molybdeen (Mo)	mg/kg ds	<1,5	1,05		<1,5	1,05		<1,5	1,05		<1,5	1,05		<1,5	1,05		<1,5	1,05	
Nikkel (Ni)	mg/kg ds	6,5	15,48		4,8	12,26		5,3	12,79		6	15,44		4,9	12,25		6,4	16,72	
Lood (Pb)	mg/kg ds	42	62,96	*	18	27,47		28	42,12		120	182,1	*	52	78,93	*	100	152,1	*
Zink (Zn)	mg/kg ds	36	75,11		31	67,71		28	58,95		44	95,65		67	144,3	*	48	105,1	
Minerale olie																			
Minerale olie (C10-C12)	mg/kg ds	<3,0	10,5		<3,0	10,5		<3,0	10,5		<3,0	8,75		3,2	16		<3,0	8,4	
Minerale olie (C12-C16)	mg/kg ds	<5,0	17,5		<5,0	17,5		<5,0	17,5		5,4	22,5		14	70		<5,0	14	
Minerale olie (C16-C21)	mg/kg ds	5	25		<5,0	17,5		<5,0	17,5		15	62,5		64	320		<5,0	14	
Minerale olie (C21-C30)	mg/kg ds	12	60		<11	38,5		<11	38,5		22	91,67		64	320		12	48	
Minerale olie (C30-C35)	mg/kg ds	14	70		8,9	44,5		7,5	37,5		11	45,83		23	115		11	44	
Minerale olie (C35-C40)	mg/kg ds	1,4	37		<6,0	21		<6,0	21		<6,0	17,5		<6,0	21		<6,0	16,8	
Minerale olie totaal (C10-C40)	mg/kg ds	41	205	*	<35	122,5		<35	122,5		59	245,8	*	180	900	*	<35	98	
Chromatogram olie (GC)		Zie bijl.									Zie bijl.			Zie bijl.					
Polychlorobifenyleen, PCB																			
PCB 28	mg/kg ds	<0,0010	0,0035		<0,0010	0,0035		<0,0010	0,0035		<0,0010	0,0029		<0,0010	0,0035		<0,0010	0,0028	
PCB 52	mg/kg ds	<0,0010	0,0035		<0,0010	0,0035		<0,0010	0,0035		<0,0010	0,0029		<0,0010	0,0035		<0,0010	0,0028	
PCB 101	mg/kg ds	<0,0010	0,0035		<0,0010	0,0035		<0,0010	0,0035		<0,0010	0,0029		<0,0010	0,0035		<0,0010	0,0028	
PCB 118	mg/kg ds	<0,0010	0,0035		<0,0010	0,0035		<0,0010	0,0035		<0,0010	0,0029		<0,0010	0,0035		<0,0010	0,0028	
PCB 138	mg/kg ds	<0,0010	0,0035		<0,0010	0,0035		<0,0010	0,0035		<0,0010	0,0029		<0,0010	0,0035		<0,0010	0,0028	
PCB 153	mg/kg ds	<0,0010	0,0035		<0,0010	0,0035		<0,0010	0,0035		<0,0010	0,0029		<0,0010	0,0035		<0,0010	0,0028	
PCB 180	mg/kg ds	<0,0010	0,0035		<0,0010	0,0035		<0,0010	0,0035		<0,0010	0,0029		<0,0010	0,0035		<0,0010	0,0028	
PCB (som 7) (factor 0,7)	mg/kg ds	0,0049	0,0245		0,0049	0,0245		0,0049	0,0245		0,0049	0,0204		0,0049	0,0245		0,0049	0,0196	
Polycyclische Aromatische Koolwaterstoffen, PAK																			
Naftaleen	mg/kg ds	<0,050	0,035		<0,050	0,035		<0,050	0,035		<0,050	0,035		0,18	0,18		<0,050	0,035	
Fenanthreen	mg/kg ds	0,061	0,061		<0,050	0,035		0,062	0,062		1,5	1,5		9,2	9,2		0,11	0,11	
Anthraceen	mg/kg ds	<0,050	0,035		<0,050	0,035		<0,050	0,035		0,52	0,52		3,1	3,1		<0,050	0,035	
Fluoranthreen	mg/kg ds	0,2	0,2		<0,050	0,035		0,15	0,15		2,2	2,2		8,1	8,1		0,24	0,24	
Benzo(a)anthraceen	mg/kg ds	0,1	0,1		<0,050	0,035		0,088	0,088		1,1	1,1		3,3	3,3		0,12	0,12	
Chryseen	mg/kg ds	0,096	0,096		<0,050	0,035		0,077	0,077		0,91	0,91		2,5	2,5		0,13	0,13	
Benzo(k)fluoranthreen	mg/kg ds	0,051	0,051		<0,050	0,035		<0,050	0,035		0,38	0,38		0,99	0,99		0,07	0,07	
Benzo(a)pyreen	mg/kg ds	0,11	0,11		<0,050	0,035		0,08	0,08		0,73	0,73		2,2	2,2		0,12	0,12	
Benzo(b)fluoranthreen	mg/kg ds	0,074	0,074		<0,050	0,035		0,058	0,058		0,4	0,4		0,91	0,91		0,093	0,093	
Indeno(1,2,3-cd)pyreen	mg/kg ds	0,059	0,059		<0,050	0,035		<0,050	0,035		0,38	0,38		0,82	0,82		0,071	0,071	
PAK VROM (1D) (factor 0,7)	mg/kg ds	0,82	0,821		0,35	0,35		0,66	0,655		8,1	8,155	*	31	31,3	**	1	1,024	

Legenda			BoToVa Oordeel
Nr.	Analytico-nr	Monster	
1	10123417	MM01 BG ONV	Overschrijding Achtergrondwaarde
2	10123418	MM02 BG ONV	Voldoet aan Achtergrondwaarde
3	10123419	MM03 BG ONV	Voldoet aan Achtergrondwaarde
4	10123420	MM04 BG ONV	Overschrijding Achtergrondwaarde
5	10123421	MM05 BG ONV	Overschrijding Achtergrondwaarde
6	10123422	MM06 BG ONV	Overschrijding Achtergrondwaarde

Verklaring van de gebruikte tekens:
 - kleiner dan of gelijk aan de Achtergrondwaarde
 * groter dan Achtergrondwaarde
 ** groter dan Tussenwaarde
 *** groter dan Interventiewaarde

Deze toetsing is m.b.v. BoToVa uitgevoerd.
 Zie voor info: <http://www.rwsleefomgeving.nl/onderwerpen/bodem-ondergrond/tbki/instrumenten/botova/>

BoToVa T1 Beoordeling kwaliteit van grond en bagger bij toepassing op of in de landbc

Projectnummer 01.18.1763
 Projectnaam Geertruidentuin te Deventer
 Ordernummer 01.18.1763
 Datum monsternamen 23-05-2018
 Monsternemer S. de Jonge
 Certificaatnummer 2018076048
 Startdatum 29-05-2018
 Rapportagedatum 02-06-2018

Analyse	Eenheid	1	GSSD	Oordeel	RG Eis	AW	Wonen	Industrie	IW
Bodemtype correctie									
Organische stof		1,6							
Korrelgrootte < 2 µm (Lutum)		4,7							
Voorbehandeling									
Cryogeen malen AS3000		Uitgevoerd							
Bodemkundige analyses									
Droge stof	% (m/m)	93	93						
Organische stof	% (m/m) ds	1,6	1,6						
Gloeirest	% (m/m) ds	98,1							
Korrelgrootte < 2 µm (Lutum)	% (m/m) ds	4,7	4,7						
Metalen									
Barium (Ba)	mg/kg ds	30	86,92		20				920
Cadmium (Cd)	mg/kg ds	<0,20	0,2314	<=AW	0,2	0,6	1,2	4,3	13
Kobalt (Co)	mg/kg ds	<3,0	5,7	<=AW	3	15	35	190	190
Koper (Cu)	mg/kg ds	14	26,5	<=AW	5	40	54	190	190
Kwik (Hg)	mg/kg ds	0,17	0,234	Wonen	0,05	0,15	0,83	4,8	36
Molybdeen (Mo)	mg/kg ds	<1,5	1,05	<=AW	1,5	1,5	88	190	190
Nikkel (Ni)	mg/kg ds	6,5	15,48	<=AW	4	35		100	100
Lood (Pb)	mg/kg ds	42	62,96	Wonen	10	50	210	530	530
Zink (Zn)	mg/kg ds	36	75,11	<=AW	20	140	200	720	720
Minerale olie									
Minerale olie (C10-C12)	mg/kg ds	<3,0	10,5						
Minerale olie (C12-C16)	mg/kg ds	<5,0	17,5						
Minerale olie (C16-C21)	mg/kg ds	5	25						
Minerale olie (C21-C30)	mg/kg ds	12	60						
Minerale olie (C30-C35)	mg/kg ds	14	70						
Minerale olie (C35-C40)	mg/kg ds	7,4	37						
Minerale olie totaal (C10-C40)	mg/kg ds	41	205	Industrie	35	190	190	500	5000
Chromatogram olie (GC)		Zie bijl.							
Polychloorbifenylen, PCB									
PCB 28	mg/kg ds	<0,0010	0,0035						
PCB 52	mg/kg ds	<0,0010	0,0035						
PCB 101	mg/kg ds	<0,0010	0,0035						
PCB 118	mg/kg ds	<0,0010	0,0035						
PCB 138	mg/kg ds	<0,0010	0,0035						
PCB 153	mg/kg ds	<0,0010	0,0035						
PCB 180	mg/kg ds	<0,0010	0,0035						
PCB (som 7) (factor 0,7)	mg/kg ds	0,0049	0,0245	<=AW	0,0049	0,02	0,04	0,5	1
Polycyclische Aromatische Koolwaterstoffen, PAH									
Naftaleen	mg/kg ds	<0,050	0,035						
Fenanthreen	mg/kg ds	0,061	0,061						
Anthraceen	mg/kg ds	<0,050	0,035						
Fluorantheen	mg/kg ds	0,2	0,2						
Benzo(a)anthraceen	mg/kg ds	0,1	0,1						
Chryseen	mg/kg ds	0,096	0,096						
Benzo(k)fluorantheen	mg/kg ds	0,051	0,051						
Benzo(a)pyreen	mg/kg ds	0,11	0,11						
Benzo(ghi)peryleen	mg/kg ds	0,074	0,074						
Indeno(123-cd)pyreen	mg/kg ds	0,059	0,059						
PAK VROM (10) (factor 0,7)	mg/kg ds	0,82	0,821	<=AW	0,5	1,5	6,8	40	40

Legenda

Nr. Analytico-nr Monster
 1 10123417 MM01 BG ONV

Eindoordeel: Klasse industrie

Gebruikte afkortingen

GSSD Gestandaardiseerd gehalte
 AW Achtergrondwaarde
 <= AW kleiner dan of gelijk aan Achtergrondwaarde
 RG Eis Vereiste rapportagegrens
 IW Interventiewaarde

Deze toetsing is uitgevoerd met behulp van BoToVa.

Zie voor info: <http://www.rwsleefomgeving.nl/onderwerpen/bodem-ondergrond/bbk/instrumenten/botova/>

BoToVa T1 Beoordeling kwaliteit van grond en bagger bij toepassing op of in de lanc

Projectnummer 01.18.1763
 Projectnaam Geertruiduin te Deventer
 Ordernummer 01.18.1763
 Datum monsternamen 23-05-2018
 Monsternemer S. de Jonge
 Certificaatnummer 2018076048
 Startdatum 29-05-2018
 Rapportagedatum 02-06-2018

Analyse	Eenheid	2	GSSD	Oordeel	RG Eis	AW	Wonen	Industrie	IW
Bodemtype correctie									
Organische stof		0,7							
Korrelgrootte < 2 µm (Lutum)		3,7							
Voorbehandeling									
Cryogeen malen AS3000		Uitgevoerd							
Bodemkundige analyses									
Droge stof	% (m/m)	92	92						
Organische stof	% (m/m) ds	<0,7	0,49						
Gloeirest	% (m/m) ds	99,1							
Korrelgrootte < 2 µm (Lutum)	% (m/m) ds	3,7	3,7						
Metalen									
Barium (Ba)	mg/kg ds	22	70,31		20				920
Cadmium (Cd)	mg/kg ds	<0,20	0,2349	<=AW	0,2	0,6	1,2	4,3	13
Kobalt (Co)	mg/kg ds	<3,0	6,225	<=AW	3	15	35	190	190
Koper (Cu)	mg/kg ds	7,4	14,46	<=AW	5	40	54	190	190
Kwik (Hg)	mg/kg ds	0,068	0,095	<=AW	0,05	0,15	0,83	4,8	36
Molybdeen (Mo)	mg/kg ds	<1,5	1,05	<=AW	1,5	1,5	88	190	190
Nikkel (Ni)	mg/kg ds	4,8	12,26	<=AW	4	35		100	100
Lood (Pb)	mg/kg ds	18	27,47	<=AW	10	50	210	530	530
Zink (Zn)	mg/kg ds	31	67,71	<=AW	20	140	200	720	720
Minerale olie									
Minerale olie (C10-C12)	mg/kg ds	<3,0	10,5						
Minerale olie (C12-C16)	mg/kg ds	<5,0	17,5						
Minerale olie (C16-C21)	mg/kg ds	<5,0	17,5						
Minerale olie (C21-C30)	mg/kg ds	<11	38,5						
Minerale olie (C30-C35)	mg/kg ds	8,9	44,5						
Minerale olie (C35-C40)	mg/kg ds	<6,0	21						
Minerale olie totaal (C10-C40)	mg/kg ds	<35	122,5	<=AW	35	190	190	500	5000
Polychloorbifenylen, PCB									
PCB 28	mg/kg ds	<0,0010	0,0035						
PCB 52	mg/kg ds	<0,0010	0,0035						
PCB 101	mg/kg ds	<0,0010	0,0035						
PCB 118	mg/kg ds	<0,0010	0,0035						
PCB 138	mg/kg ds	<0,0010	0,0035						
PCB 153	mg/kg ds	<0,0010	0,0035						
PCB 180	mg/kg ds	<0,0010	0,0035						
PCB (som 7) (factor 0,7)	mg/kg ds	0,0049	0,0245	<=AW	0,0049	0,02	0,04	0,5	1
Polycyclische Aromatische Koolwaterstoffen, PAH									
Naftaleen	mg/kg ds	<0,050	0,035						
Fenanthreen	mg/kg ds	<0,050	0,035						
Anthraceen	mg/kg ds	<0,050	0,035						
Fluorantheen	mg/kg ds	<0,050	0,035						
Benzo(a)anthraceen	mg/kg ds	<0,050	0,035						
Chryseen	mg/kg ds	<0,050	0,035						
Benzo(k)fluorantheen	mg/kg ds	<0,050	0,035						
Benzo(a)pyreen	mg/kg ds	<0,050	0,035						
Benzo(ghi)peryleen	mg/kg ds	<0,050	0,035						
Indeno(123-cd)pyreen	mg/kg ds	<0,050	0,035						
PAK VROM (10) (factor 0,7)	mg/kg ds	0,35	0,35	<=AW	0,5	1,5	6,8	40	40

Legenda

Nr. Analytico-nr Monster
 2 10123418 MM02 BG ONV

Eindoordeel: Altijd toepasbaar

Gebruikte afkortingen

GSSD Gestandaardiseerd gehalte
 AW Achtergrondwaarde
 <= AW kleiner dan of gelijk aan Achtergrondwaarde
 RG Eis Vereiste rapportagegrens
 IW Interventiewaarde

Deze toetsing is uitgevoerd met behulp van BoToVa.

Zie voor info: <http://www.rwsleefomgeving.nl/onderwerpen/bodem-ondergrond/bbk/instrumenten/botova/>

BoToVa T1 Beoordeling kwaliteit van grond en bagger bij toepassing op of in de lanc

Projectnummer 01.18.1763
 Projectnaam Geertruiduin te Deventer
 Ordernummer 01.18.1763
 Datum monstername 23-05-2018
 Monsternemer S. de Jonge
 Certificaatnummer 2018076048
 Startdatum 29-05-2018
 Rapportagedatum 02-06-2018

Analyse	Eenheid	3	GSSD	Oordeel	RG Eis	AW	Wonen	Industrie	IW
Bodemtype correctie									
Organische stof		0,7							
Korrelgrootte < 2 µm (Lutum)		4,5							
Voorbehandeling									
Cryogeen malen AS3000		Uitgevoerd							
Bodemkundige analyses									
Droge stof	% (m/m)	92,2	92,2						
Organische stof	% (m/m) ds	<0,7	0,49						
Gloeirest	% (m/m) ds	99							
Korrelgrootte < 2 µm (Lutum)	% (m/m) ds	4,5	4,5						
Metalen									
Barium (Ba)	mg/kg ds	<20	41,33		20				920
Cadmium (Cd)	mg/kg ds	<0,20	0,2321	<=AW	0,2	0,6	1,2	4,3	13
Kobalt (Co)	mg/kg ds	<3,0	5,798	<=AW	3	15	35	190	190
Koper (Cu)	mg/kg ds	7,7	14,67	<=AW	5	40	54	190	190
Kwik (Hg)	mg/kg ds	0,086	0,1188	<=AW	0,05	0,15	0,83	4,8	36
Molybdeen (Mo)	mg/kg ds	<1,5	1,05	<=AW	1,5	1,5	88	190	190
Nikkel (Ni)	mg/kg ds	5,3	12,79	<=AW	4	35		100	100
Lood (Pb)	mg/kg ds	28	42,12	<=AW	10	50	210	530	530
Zink (Zn)	mg/kg ds	28	58,95	<=AW	20	140	200	720	720
Minerale olie									
Minerale olie (C10-C12)	mg/kg ds	<3,0	10,5						
Minerale olie (C12-C16)	mg/kg ds	<5,0	17,5						
Minerale olie (C16-C21)	mg/kg ds	<5,0	17,5						
Minerale olie (C21-C30)	mg/kg ds	<11	38,5						
Minerale olie (C30-C35)	mg/kg ds	7,5	37,5						
Minerale olie (C35-C40)	mg/kg ds	<6,0	21						
Minerale olie totaal (C10-C40)	mg/kg ds	<35	122,5	<=AW	35	190	190	500	5000
Polychloorbifenylen, PCB									
PCB 28	mg/kg ds	<0,0010	0,0035						
PCB 52	mg/kg ds	<0,0010	0,0035						
PCB 101	mg/kg ds	<0,0010	0,0035						
PCB 118	mg/kg ds	<0,0010	0,0035						
PCB 138	mg/kg ds	<0,0010	0,0035						
PCB 153	mg/kg ds	<0,0010	0,0035						
PCB 180	mg/kg ds	<0,0010	0,0035						
PCB (som 7) (factor 0,7)	mg/kg ds	0,0049	0,0245	<=AW	0,0049	0,02	0,04	0,5	1
Polycyclische Aromatische Koolwaterstoffen, PAH									
Naftaleen	mg/kg ds	<0,050	0,035						
Fenanthreen	mg/kg ds	0,062	0,062						
Anthraceen	mg/kg ds	<0,050	0,035						
Fluorantheen	mg/kg ds	0,15	0,15						
Benzo(a)anthraceen	mg/kg ds	0,088	0,088						
Chryseen	mg/kg ds	0,077	0,077						
Benzo(k)fluorantheen	mg/kg ds	<0,050	0,035						
Benzo(a)pyreen	mg/kg ds	0,08	0,08						
Benzo(ghi)peryleen	mg/kg ds	0,058	0,058						
Indeno(123-cd)pyreen	mg/kg ds	<0,050	0,035						
PAK VROM (10) (factor 0,7)	mg/kg ds	0,66	0,655	<=AW	0,5	1,5	6,8	40	40

Legenda

Nr. Analytico-nr Monster
 3 10123419 MM03 BG ONV

Eindoordeel: Altijd toepasbaar

Gebruikte afkortingen

GSSD Gestandaardiseerd gehalte
 AW Achtergrondwaarde
 <= AW kleiner dan of gelijk aan Achtergrondwaarde
 RG Eis Vereiste rapportagegrens
 IW Interventiewaarde

Deze toetsing is uitgevoerd met behulp van BoToVa.

Zie voor info: <http://www.rwsleefomgeving.nl/onderwerpen/bodem-ondergrond/bbk/instrumenten/botova/>

BoToVa T1 Beoordeling kwaliteit van grond en bagger bij toepassing op of in de lanc

Projectnummer	01.18.1763
Projectnaam	Geertruidentuin te Deventer
Ordernummer	01.18.1763
Datum monstername	23-05-2018
Monsternemer	S. de Jonge
Certificaatnummer	2018076048
Startdatum	29-05-2018
Rapportagedatum	02-06-2018

Analyse	Eenheid	4	GSSD	Oordeel	RG Eis	AW	Wonen	Industrie	IW
Bodemtype correctie									
Organische stof		2,4							
Korrelgrootte < 2 µm (Lutum)		3,6							
Voorbehandeling									
Cryogeen malen AS3000		Uitgevoerd							
Bodemkundige analyses									
Droge stof	% (m/m)	89,8	89,8						
Organische stof	% (m/m) ds	2,4	2,4						
Gloeirest	% (m/m) ds	97,3							
Korrelgrootte < 2 µm (Lutum)	% (m/m) ds	3,6	3,6						
Metalen									
Barium (Ba)	mg/kg ds	51	164,7		20				920
Cadmium (Cd)	mg/kg ds	<0,20	0,2311	<=AW	0,2	0,6	1,2	4,3	13
Kobalt (Co)	mg/kg ds	<3,0	6,283	<=AW	3	15	35	190	190
Koper (Cu)	mg/kg ds	31	60	Industrie	5	40	54	190	190
Kwik (Hg)	mg/kg ds	0,36	0,5026	Wonen	0,05	0,15	0,83	4,8	36
Molybdeen (Mo)	mg/kg ds	<1,5	1,05	<=AW	1,5	1,5	88	190	190
Nikkel (Ni)	mg/kg ds	6	15,44	<=AW	4	35		100	100
Lood (Pb)	mg/kg ds	120	182,1	Wonen	10	50	210	530	530
Zink (Zn)	mg/kg ds	44	95,65	<=AW	20	140	200	720	720
Minerale olie									
Minerale olie (C10-C12)	mg/kg ds	<3,0	8,75						
Minerale olie (C12-C16)	mg/kg ds	5,4	22,5						
Minerale olie (C16-C21)	mg/kg ds	15	62,5						
Minerale olie (C21-C30)	mg/kg ds	22	91,67						
Minerale olie (C30-C35)	mg/kg ds	11	45,83						
Minerale olie (C35-C40)	mg/kg ds	<6,0	17,5						
Minerale olie totaal (C10-C40)	mg/kg ds	59	245,8	Industrie	35	190	190	500	5000
Chromatogram olie (GC)		Zie bijl.							
Polychloorbifenylen, PCB									
PCB 28	mg/kg ds	<0,0010	0,0029						
PCB 52	mg/kg ds	<0,0010	0,0029						
PCB 101	mg/kg ds	<0,0010	0,0029						
PCB 118	mg/kg ds	<0,0010	0,0029						
PCB 138	mg/kg ds	<0,0010	0,0029						
PCB 153	mg/kg ds	<0,0010	0,0029						
PCB 180	mg/kg ds	<0,0010	0,0029						
PCB (som 7) (factor 0,7)	mg/kg ds	0,0049	0,0204	<=AW	0,0049	0,02	0,04	0,5	1
Polycyclische Aromatische Koolwaterstoffen, PAH									
Naftaleen	mg/kg ds	<0,050	0,035						
Fenanthreen	mg/kg ds	1,5	1,5						
Anthraceen	mg/kg ds	0,52	0,52						
Fluorantheen	mg/kg ds	2,2	2,2						
Benzo(a)anthraceen	mg/kg ds	1,1	1,1						
Chryseen	mg/kg ds	0,91	0,91						
Benzo(k)fluorantheen	mg/kg ds	0,38	0,38						
Benzo(a)pyreen	mg/kg ds	0,73	0,73						
Benzo(ghi)peryleen	mg/kg ds	0,4	0,4						
Indeno(123-cd)pyreen	mg/kg ds	0,38	0,38						
PAK VROM (10) (factor 0,7)	mg/kg ds	8,1	8,155	Industrie	0,5	1,5	6,8	40	40

Legenda

Nr.	Analytico-nr	Monster
4	10123420	MM04 BG ONV

Eindoordeel: Klasse industrie

Gebruikte afkortingen

GSSD	Gestandaardiseerd gehalte
AW	Achtergrondwaarde
<= AW	kleiner dan of gelijk aan Achtergrondwaarde
RG Eis	Vereiste rapportagegrens
IW	Interventiewaarde

Deze toetsing is uitgevoerd met behulp van BoToVa.

Zie voor info: <http://www.rwsleefomgeving.nl/onderwerpen/bodem-ondergrond/bbk/instrumenten/botova/>

BoToVa T1 Beoordeling kwaliteit van grond en bagger bij toepassing op of in de lanc

Projectnummer 01.18.1763
 Projectnaam Geertruidentuin te Deventer
 Ordernummer 01.18.1763
 Datum monstername 23-05-2018
 Monsternemer S. de Jonge
 Certificaatnummer 2018076048
 Startdatum 29-05-2018
 Rapportagedatum 02-06-2018

Analyse	Eenheid	5	GSSD	Oordeel	RG Eis	AW	Wonen	Industrie	IW
Bodemtype correctie									
Organische stof		1,3							
Korrelgrootte < 2 µm (Lutum)		4							
Voorbehandeling									
Cryogeen malen AS3000		Uitgevoerd							
Bodemkundige analyses									
Droge stof	% (m/m)	89,9	89,9						
Organische stof	% (m/m) ds	1,3	1,3						
Gloeirest	% (m/m) ds	98,4							
Korrelgrootte < 2 µm (Lutum)	% (m/m) ds	4	4						
Metalen									
Barium (Ba)	mg/kg ds	41	127,1		20				920
Cadmium (Cd)	mg/kg ds	<0,20	0,2338	<=AW	0,2	0,6	1,2	4,3	13
Kobalt (Co)	mg/kg ds	<3,0	6,058	<=AW	3	15	35	190	190
Koper (Cu)	mg/kg ds	16	30,97	<=AW	5	40	54	190	190
Kwik (Hg)	mg/kg ds	0,15	0,2088	Wonen	0,05	0,15	0,83	4,8	36
Molybdeen (Mo)	mg/kg ds	<1,5	1,05	<=AW	1,5	1,5	88	190	190
Nikkel (Ni)	mg/kg ds	4,9	12,25	<=AW	4	35		100	100
Lood (Pb)	mg/kg ds	52	78,93	Wonen	10	50	210	530	530
Zink (Zn)	mg/kg ds	67	144,3	Wonen	20	140	200	720	720
Minerale olie									
Minerale olie (C10-C12)	mg/kg ds	3,2	16						
Minerale olie (C12-C16)	mg/kg ds	14	70						
Minerale olie (C16-C21)	mg/kg ds	64	320						
Minerale olie (C21-C30)	mg/kg ds	64	320						
Minerale olie (C30-C35)	mg/kg ds	23	115						
Minerale olie (C35-C40)	mg/kg ds	<6,0	21						
Minerale olie totaal (C10-C40)	mg/kg ds	180	900	Niet toepasbaar	35	190	190	500	5000
Chromatogram olie (GC)		Zie bijl.							
Polychloorbifenylen, PCB									
PCB 28	mg/kg ds	<0,0010	0,0035						
PCB 52	mg/kg ds	<0,0010	0,0035						
PCB 101	mg/kg ds	<0,0010	0,0035						
PCB 118	mg/kg ds	<0,0010	0,0035						
PCB 138	mg/kg ds	<0,0010	0,0035						
PCB 153	mg/kg ds	<0,0010	0,0035						
PCB 180	mg/kg ds	<0,0010	0,0035						
PCB (som 7) (factor 0,7)	mg/kg ds	0,0049	0,0245	<=AW	0,0049	0,02	0,04	0,5	1
Polycyclische Aromatische Koolwaterstoffen, PAH									
Naftaleen	mg/kg ds	0,18	0,18						
Fenanthreen	mg/kg ds	9,2	9,2						
Anthraceen	mg/kg ds	3,1	3,1						
Fluorantheen	mg/kg ds	8,1	8,1						
Benzo(a)anthraceen	mg/kg ds	3,3	3,3						
Chryseen	mg/kg ds	2,5	2,5						
Benzo(k)fluorantheen	mg/kg ds	0,99	0,99						
Benzo(a)pyreen	mg/kg ds	2,2	2,2						
Benzo(ghi)peryleen	mg/kg ds	0,91	0,91						
Indeno(123-cd)pyreen	mg/kg ds	0,82	0,82						
PAK VROM (10) (factor 0,7)	mg/kg ds	31	31,3	Industrie	0,5	1,5	6,8	40	40

Legenda

Nr. Analytico-nr Monster
 5 10123421 MM05 BG ONV

Eindoordeel: Niet Toepasbaar > industrie

Gebruikte afkortingen

GSSD Gestandaardiseerd gehalte
 AW Achtergrondwaarde
 <= AW kleiner dan of gelijk aan Achtergrondwaarde
 RG Eis Vereiste rapportagegrens
 IW Interventiewaarde

Deze toetsing is uitgevoerd met behulp van BoToVa.

Zie voor info: <http://www.rwsleefomgeving.nl/onderwerpen/bodem-ondergrond/bbk/instrumenten/botova/>

BoToVa T1 Beoordeling kwaliteit van grond en bagger bij toepassing op of in de lanc

Projectnummer 01.18.1763
 Projectnaam Geertruiduin te Deventer
 Ordernummer 01.18.1763
 Datum monsternamen 23-05-2018
 Monsternemer S. de Jonge
 Certificaatnummer 2018076048
 Startdatum 29-05-2018
 Rapportagedatum 02-06-2018

Analyse	Eenheid	6	GSSD	Oordeel	RG Eis	AW	Wonen	Industrie	IW
Bodemtype correctie									
Organische stof		2,5							
Korrelgrootte < 2 µm (Lutum)		3,4							
Voorbehandeling									
Cryogeen malen AS3000		Uitgevoerd							
Bodemkundige analyses									
Droge stof	% (m/m)	92	92						
Organische stof	% (m/m) ds	2,5	2,5						
Gloeirest	% (m/m) ds	97,2							
Korrelgrootte < 2 µm (Lutum)	% (m/m) ds	3,4	3,4						
Metalen									
Barium (Ba)	mg/kg ds	44	145,1		20				920
Cadmium (Cd)	mg/kg ds	<0,20	0,2307	<=AW	0,2	0,6	1,2	4,3	13
Kobalt (Co)	mg/kg ds	<3,0	6,402	<=AW	3	15	35	190	190
Koper (Cu)	mg/kg ds	29	56,31	Industrie	5	40	54	190	190
Kwik (Hg)	mg/kg ds	0,36	0,5038	Wonen	0,05	0,15	0,83	4,8	36
Molybdeen (Mo)	mg/kg ds	<1,5	1,05	<=AW	1,5	1,5	88	190	190
Nikkel (Ni)	mg/kg ds	6,4	16,72	<=AW	4	35		100	100
Lood (Pb)	mg/kg ds	100	152,1	Wonen	10	50	210	530	530
Zink (Zn)	mg/kg ds	48	105,1	<=AW	20	140	200	720	720
Minerale olie									
Minerale olie (C10-C12)	mg/kg ds	<3,0	8,4						
Minerale olie (C12-C16)	mg/kg ds	<5,0	14						
Minerale olie (C16-C21)	mg/kg ds	<5,0	14						
Minerale olie (C21-C30)	mg/kg ds	12	48						
Minerale olie (C30-C35)	mg/kg ds	11	44						
Minerale olie (C35-C40)	mg/kg ds	<6,0	16,8						
Minerale olie totaal (C10-C40)	mg/kg ds	<35	98	<=AW	35	190	190	500	5000
Polychloorbifenylen, PCB									
PCB 28	mg/kg ds	<0,0010	0,0028						
PCB 52	mg/kg ds	<0,0010	0,0028						
PCB 101	mg/kg ds	<0,0010	0,0028						
PCB 118	mg/kg ds	<0,0010	0,0028						
PCB 138	mg/kg ds	<0,0010	0,0028						
PCB 153	mg/kg ds	<0,0010	0,0028						
PCB 180	mg/kg ds	<0,0010	0,0028						
PCB (som 7) (factor 0,7)	mg/kg ds	0,0049	0,0196	<=AW	0,0049	0,02	0,04	0,5	1
Polycyclische Aromatische Koolwaterstoffen, PAH									
Naftaleen	mg/kg ds	<0,050	0,035						
Fenanthreen	mg/kg ds	0,11	0,11						
Anthraceen	mg/kg ds	<0,050	0,035						
Fluorantheen	mg/kg ds	0,24	0,24						
Benzo(a)anthraceen	mg/kg ds	0,12	0,12						
Chryseen	mg/kg ds	0,13	0,13						
Benzo(k)fluorantheen	mg/kg ds	0,07	0,07						
Benzo(a)pyreen	mg/kg ds	0,12	0,12						
Benzo(ghi)peryleen	mg/kg ds	0,093	0,093						
Indeno(123-cd)pyreen	mg/kg ds	0,071	0,071						
PAK VROM (10) (factor 0,7)	mg/kg ds	1	1,024	<=AW	0,5	1,5	6,8	40	40

Legenda

Nr. Analytico-nr Monster
 6 10123422 MM06 BG ONV

Eindoordeel: Klasse industrie

Gebruikte afkortingen

GSSD Gestandaardiseerd gehalte
 AW Achtergrondwaarde
 <= AW kleiner dan of gelijk aan Achtergrondwaarde
 RG Eis Vereiste rapportagegrens
 IW Interventiewaarde

Deze toetsing is uitgevoerd met behulp van BoToVa.

Zie voor info: <http://www.rwsleefomgeving.nl/onderwerpen/bodem-ondergrond/bbk/instrumenten/botova/>

BoToVa T1 Beoordeling kwaliteit van grond en bagger bij toepassing op of in de landb

Projectnummer 01.18.1763
 Projectnaam Geertruiduin te Deventer
 Ordernummer 01.18.1763
 Datum monsternamen 23-05-2018
 Monsternemer S. de Jonge
 Certificaatnummer 2018076061
 Startdatum 29-05-2018
 Rapportagedatum 02-06-2018

Analyse	Eenheid	1	GSSD	Oordeel	RG Eis	AW	Wonen	Industrie	IW
Bodemtype correctie									
Organische stof		1,7							
Korrelgrootte < 2 µm (Lutum)		4,1							
Voorbehandeling									
Cryogeen malen AS3000		Uitgevoerd							
Bodemkundige analyses									
Droge stof	% (m/m)	90,3	90,3						
Organische stof	% (m/m) ds	1,7	1,7						
Gloeiorest	% (m/m) ds	98							
Korrelgrootte < 2 µm (Lutum)	% (m/m) ds	4,1	4,1						
Metalen									
Barium (Ba)	mg/kg ds	36	110,5		20				920
Cadmium (Cd)	mg/kg ds	<0,20	0,2335	<=AW	0,2	0,6	1,2	4,3	13
Kobalt (Co)	mg/kg ds	<3,0	6,004	<=AW	3	15	35	190	190
Koper (Cu)	mg/kg ds	23	44,37	Wonen	5	40	54	190	190
Kwik (Hg)	mg/kg ds	0,28	0,3891	Wonen	0,05	0,15	0,83	4,8	36
Molybdeen (Mo)	mg/kg ds	<1,5	1,05	<=AW	1,5	1,5	88	190	190
Nikkel (Ni)	mg/kg ds	6,8	16,88	<=AW	4	35		100	100
Lood (Pb)	mg/kg ds	69	104,5	Wonen	10	50	210	530	530
Zink (Zn)	mg/kg ds	36	77,18	<=AW	20	140	200	720	720
Minerale olie									
Minerale olie (C10-C12)	mg/kg ds	<3,0	10,5						
Minerale olie (C12-C16)	mg/kg ds	<5,0	17,5						
Minerale olie (C16-C21)	mg/kg ds	5,4	27						
Minerale olie (C21-C30)	mg/kg ds	<11	38,5						
Minerale olie (C30-C35)	mg/kg ds	9,4	47						
Minerale olie (C35-C40)	mg/kg ds	<6,0	21						
Minerale olie totaal (C10-C40)	mg/kg ds	<35	122,5	<=AW	35	190	190	500	5000
Polychloorbifenylen, PCB									
PCB 28	mg/kg ds	<0,0010	0,0035						
PCB 52	mg/kg ds	<0,0010	0,0035						
PCB 101	mg/kg ds	<0,0010	0,0035						
PCB 118	mg/kg ds	<0,0010	0,0035						
PCB 138	mg/kg ds	<0,0010	0,0035						
PCB 153	mg/kg ds	<0,0010	0,0035						
PCB 180	mg/kg ds	<0,0010	0,0035						
PCB (som 7) (factor 0,7)	mg/kg ds	0,0049	0,0245	<=AW	0,0049	0,02	0,04	0,5	1
Polycyclische Aromatische Koolwaterstoffen, PAH									
Naftaleen	mg/kg ds	<0,050	0,035						
Fenanthreen	mg/kg ds	0,059	0,059						
Anthraceen	mg/kg ds	<0,050	0,035						
Fluorantheen	mg/kg ds	0,11	0,11						
Benzo(a)anthraceen	mg/kg ds	0,052	0,052						
Chryseen	mg/kg ds	0,054	0,054						
Benzo(k)fluorantheen	mg/kg ds	<0,050	0,035						
Benzo(a)pyreen	mg/kg ds	0,055	0,055						
Benzo(ghi)peryleen	mg/kg ds	<0,050	0,035						
Indeno(123-cd)pyreen	mg/kg ds	<0,050	0,035						
PAK VROM (10) (factor 0,7)	mg/kg ds	0,5	0,505	<=AW	0,5	1,5	6,8	40	40

Legenda

Nr. Analytico-nr Monster
 1 10123447 MM07 OG ONV

Eindoordeel: Klasse wonen

Gebruikte afkortingen

GSSD Gestandaardiseerd gehalte
 AW Achtergrondwaarde
 <= AW kleiner dan of gelijk aan Achtergrondwaarde
 RG Eis Vereiste rapportagegrens
 IW Interventiewaarde

Deze toetsing is uitgevoerd met behulp van BoToVa.

Zie voor info: <http://www.rwsleefomgeving.nl/onderwerpen/bodem-ondergrond/bbk/instrumenten/botova/>

BoToVa T1 Beoordeling kwaliteit van grond en bagger bij toepassing op of in de lanc

Projectnummer 01.18.1763
 Projectnaam Geertruiduin te Deventer
 Ordernummer 01.18.1763
 Datum monstername 23-05-2018
 Monsternemer S. de Jonge
 Certificaatnummer 2018076061
 Startdatum 29-05-2018
 Rapportagedatum 02-06-2018

Analyse	Eenheid	2	GSSD	Oordeel	RG Eis	AW	Wonen	Industrie	IW
Bodemtype correctie									
Organische stof		1,7							
Korrelgrootte < 2 µm (Lutum)		3,2							
Voorbehandeling									
Cryogeen malen AS3000		Uitgevoerd							
Bodemkundige analyses									
Droge stof	% (m/m)	91,7	91,7						
Organische stof	% (m/m) ds	1,7	1,7						
Gloeiorest	% (m/m) ds	98,1							
Korrelgrootte < 2 µm (Lutum)	% (m/m) ds	3,2	3,2						
Metalen									
Barium (Ba)	mg/kg ds	44	148,3		20				920
Cadmium (Cd)	mg/kg ds	<0,20	0,2366	<=AW	0,2	0,6	1,2	4,3	13
Kobalt (Co)	mg/kg ds	3,2	9,945	<=AW	3	15	35	190	190
Koper (Cu)	mg/kg ds	31	61,59	Industrie	5	40	54	190	190
Kwik (Hg)	mg/kg ds	0,33	0,4651	Wonen	0,05	0,15	0,83	4,8	36
Molybdeen (Mo)	mg/kg ds	<1,5	1,05	<=AW	1,5	1,5	88	190	190
Nikkel (Ni)	mg/kg ds	6,4	16,97	<=AW	4	35		100	100
Lood (Pb)	mg/kg ds	160	246,4	Industrie	10	50	210	530	530
Zink (Zn)	mg/kg ds	62	138,7	<=AW	20	140	200	720	720
Minerale olie									
Minerale olie (C10-C12)	mg/kg ds	<3,0	10,5						
Minerale olie (C12-C16)	mg/kg ds	<5,0	17,5						
Minerale olie (C16-C21)	mg/kg ds	<5,0	17,5						
Minerale olie (C21-C30)	mg/kg ds	15	75						
Minerale olie (C30-C35)	mg/kg ds	8,2	41						
Minerale olie (C35-C40)	mg/kg ds	<6,0	21						
Minerale olie totaal (C10-C40)	mg/kg ds	<35	122,5	<=AW	35	190	190	500	5000
Polychloorbifenylen, PCB									
PCB 28	mg/kg ds	<0,0010	0,0035						
PCB 52	mg/kg ds	<0,0010	0,0035						
PCB 101	mg/kg ds	<0,0010	0,0035						
PCB 118	mg/kg ds	<0,0010	0,0035						
PCB 138	mg/kg ds	<0,0010	0,0035						
PCB 153	mg/kg ds	<0,0010	0,0035						
PCB 180	mg/kg ds	<0,0010	0,0035						
PCB (som 7) (factor 0,7)	mg/kg ds	0,0049	0,0245	<=AW	0,0049	0,02	0,04	0,5	1
Polycyclische Aromatische Koolwaterstoffen, PAH									
Naftaleen	mg/kg ds	0,066	0,066						
Fenanthreen	mg/kg ds	0,7	0,7						
Anthraceen	mg/kg ds	0,2	0,2						
Fluorantheen	mg/kg ds	1,2	1,2						
Benzo(a)anthraceen	mg/kg ds	0,56	0,56						
Chryseen	mg/kg ds	0,54	0,54						
Benzo(k)fluorantheen	mg/kg ds	0,24	0,24						
Benzo(a)pyreen	mg/kg ds	0,45	0,45						
Benzo(ghi)peryleen	mg/kg ds	0,3	0,3						
Indeno(123-cd)pyreen	mg/kg ds	0,35	0,35						
PAK VROM (10) (factor 0,7)	mg/kg ds	4,6	4,606	Wonen	0,5	1,5	6,8	40	40

Legenda

Nr. Analytico-nr Monster
 2 10123448 MM08 OG ONV

Eindoordeel: Klasse industrie

Gebruikte afkortingen

GSSD Gestandaardiseerd gehalte
 AW Achtergrondwaarde
 <= AW kleiner dan of gelijk aan Achtergrondwaarde
 RG Eis Vereiste rapportagegrens
 IW Interventiewaarde

Deze toetsing is uitgevoerd met behulp van BoToVa.

Zie voor info: <http://www.rwsleefomgeving.nl/onderwerpen/bodem-ondergrond/bbk/instrumenten/botova/>

BoToVa T1 Beoordeling kwaliteit van grond en bagger bij toepassing op of in de lanc

Projectnummer 01.18.1763
 Projectnaam Geertruiduin te Deventer
 Ordernummer 01.18.1763
 Datum monsternamen 23-05-2018
 Monsternemer S. de Jonge
 Certificaatnummer 2018076061
 Startdatum 29-05-2018
 Rapportagedatum 02-06-2018

Analyse	Eenheid	3	GSSD	Oordeel	RG Eis	AW	Wonen	Industrie	IW
Bodemtype correctie									
Organische stof		1,4							
Korrelgrootte < 2 µm (Lutum)		3,6							
Voorbehandeling									
Cryogeen malen AS3000		Uitgevoerd							
Bodemkundige analyses									
Droge stof	% (m/m)	91	91						
Organische stof	% (m/m) ds	1,4	1,4						
Gloeirest	% (m/m) ds	98,4							
Korrelgrootte < 2 µm (Lutum)	% (m/m) ds	3,6	3,6						
Metalen									
Barium (Ba)	mg/kg ds	45	145,3		20				920
Cadmium (Cd)	mg/kg ds	<0,20	0,2352	<=AW	0,2	0,6	1,2	4,3	13
Kobalt (Co)	mg/kg ds	<3,0	6,283	<=AW	3	15	35	190	190
Koper (Cu)	mg/kg ds	21	41,18	Wonen	5	40	54	190	190
Kwik (Hg)	mg/kg ds	0,18	0,2521	Wonen	0,05	0,15	0,83	4,8	36
Molybdeen (Mo)	mg/kg ds	<1,5	1,05	<=AW	1,5	1,5	88	190	190
Nikkel (Ni)	mg/kg ds	5,9	15,18	<=AW	4	35		100	100
Lood (Pb)	mg/kg ds	71	108,5	Wonen	10	50	210	530	530
Zink (Zn)	mg/kg ds	75	164,6	Wonen	20	140	200	720	720
Minerale olie									
Minerale olie (C10-C12)	mg/kg ds	<3,0	10,5						
Minerale olie (C12-C16)	mg/kg ds	<5,0	17,5						
Minerale olie (C16-C21)	mg/kg ds	<5,0	17,5						
Minerale olie (C21-C30)	mg/kg ds	<11	38,5						
Minerale olie (C30-C35)	mg/kg ds	5,9	29,5						
Minerale olie (C35-C40)	mg/kg ds	<6,0	21						
Minerale olie totaal (C10-C40)	mg/kg ds	<35	122,5	<=AW	35	190	190	500	5000
Polychloorbifenylen, PCB									
PCB 28	mg/kg ds	<0,0010	0,0035						
PCB 52	mg/kg ds	<0,0010	0,0035						
PCB 101	mg/kg ds	<0,0010	0,0035						
PCB 118	mg/kg ds	<0,0010	0,0035						
PCB 138	mg/kg ds	<0,0010	0,0035						
PCB 153	mg/kg ds	<0,0010	0,0035						
PCB 180	mg/kg ds	<0,0010	0,0035						
PCB (som 7) (factor 0,7)	mg/kg ds	0,0049	0,0245	<=AW	0,0049	0,02	0,04	0,5	1
Polycyclische Aromatische Koolwaterstoffen, PAH									
Naftaleen	mg/kg ds	<0,050	0,035						
Fenanthreen	mg/kg ds	0,14	0,14						
Anthraceen	mg/kg ds	<0,050	0,035						
Fluorantheen	mg/kg ds	0,28	0,28						
Benzo(a)anthraceen	mg/kg ds	0,13	0,13						
Chryseen	mg/kg ds	0,13	0,13						
Benzo(k)fluorantheen	mg/kg ds	0,066	0,066						
Benzo(a)pyreen	mg/kg ds	0,13	0,13						
Benzo(ghi)peryleen	mg/kg ds	0,082	0,082						
Indeno(123-cd)pyreen	mg/kg ds	0,068	0,068						
PAK VROM (10) (factor 0,7)	mg/kg ds	1,1	1,096	<=AW	0,5	1,5	6,8	40	40

Legenda

Nr. Analytico-nr Monster
 3 10123449 MM09 OG ONV

Eindoordeel: Klasse wonen

Gebruikte afkortingen

GSSD Gestandaardiseerd gehalte
 AW Achtergrondwaarde
 <= AW kleiner dan of gelijk aan Achtergrondwaarde
 RG Eis Vereiste rapportagegrens
 IW Interventiewaarde

Deze toetsing is uitgevoerd met behulp van BoToVa.

Zie voor info: <http://www.rwsleefomgeving.nl/onderwerpen/bodem-ondergrond/bbk/instrumenten/botova/>

BoToVa T1 Beoordeling kwaliteit van grond en bagger bij toepassing op of in de lanc

Projectnummer 01.18.1763
 Projectnaam Geertruiduin te Deventer
 Ordernummer 01.18.1763
 Datum monsternamen 23-05-2018
 Monsternemer S. de Jonge
 Certificaatnummer 2018076061
 Startdatum 29-05-2018
 Rapportagedatum 02-06-2018

Analyse	Eenheid	4	GSSD	Oordeel	RG Eis	AW	Wonen	Industrie	IW
Bodemtype correctie									
Organische stof		1,1							
Korrelgrootte < 2 µm (Lutum)		5,5							
Voorbehandeling									
Cryogeen malen AS3000		Uitgevoerd							
Bodemkundige analyses									
Droge stof	% (m/m)	86,1	86,1						
Organische stof	% (m/m) ds	1,1	1,1						
Gloeirest	% (m/m) ds	98,5							
Korrelgrootte < 2 µm (Lutum)	% (m/m) ds	5,5	5,5						
Metalen									
Barium (Ba)	mg/kg ds	31	83,57		20				920
Cadmium (Cd)	mg/kg ds	<0,20	0,2287	<=AW	0,2	0,6	1,2	4,3	13
Kobalt (Co)	mg/kg ds	3,6	9,153	<=AW	3	15	35	190	190
Koper (Cu)	mg/kg ds	7,9	14,58	<=AW	5	40	54	190	190
Kwik (Hg)	mg/kg ds	<0,050	0,0475	<=AW	0,05	0,15	0,83	4,8	36
Molybdeen (Mo)	mg/kg ds	<1,5	1,05	<=AW	1,5	1,5	88	190	190
Nikkel (Ni)	mg/kg ds	13	29,35	<=AW	4	35		100	100
Lood (Pb)	mg/kg ds	10	14,78	<=AW	10	50	210	530	530
Zink (Zn)	mg/kg ds	23	46,33	<=AW	20	140	200	720	720
Minerale olie									
Minerale olie (C10-C12)	mg/kg ds	<3,0	10,5						
Minerale olie (C12-C16)	mg/kg ds	<5,0	17,5						
Minerale olie (C16-C21)	mg/kg ds	<5,0	17,5						
Minerale olie (C21-C30)	mg/kg ds	<11	38,5						
Minerale olie (C30-C35)	mg/kg ds	5,7	28,5						
Minerale olie (C35-C40)	mg/kg ds	<6,0	21						
Minerale olie totaal (C10-C40)	mg/kg ds	<35	122,5	<=AW	35	190	190	500	5000
Polychloorbifenylen, PCB									
PCB 28	mg/kg ds	<0,0010	0,0035						
PCB 52	mg/kg ds	<0,0010	0,0035						
PCB 101	mg/kg ds	<0,0010	0,0035						
PCB 118	mg/kg ds	<0,0010	0,0035						
PCB 138	mg/kg ds	<0,0010	0,0035						
PCB 153	mg/kg ds	<0,0010	0,0035						
PCB 180	mg/kg ds	<0,0010	0,0035						
PCB (som 7) (factor 0,7)	mg/kg ds	0,0049	0,0245	<=AW	0,0049	0,02	0,04	0,5	1
Polycyclische Aromatische Koolwaterstoffen, PAH									
Naftaleen	mg/kg ds	<0,050	0,035						
Fenanthreen	mg/kg ds	<0,050	0,035						
Anthraceen	mg/kg ds	<0,050	0,035						
Fluorantheen	mg/kg ds	<0,050	0,035						
Benzo(a)anthraceen	mg/kg ds	<0,050	0,035						
Chryseen	mg/kg ds	<0,050	0,035						
Benzo(k)fluorantheen	mg/kg ds	<0,050	0,035						
Benzo(a)pyreen	mg/kg ds	<0,050	0,035						
Benzo(ghi)peryleen	mg/kg ds	<0,050	0,035						
Indeno(123-cd)pyreen	mg/kg ds	<0,050	0,035						
PAK VROM (10) (factor 0,7)	mg/kg ds	0,35	0,35	<=AW	0,5	1,5	6,8	40	40

Legenda

Nr. Analytico-nr Monster
 4 10123450 MM10 OG ONV

Eindoordeel: Altijd toepasbaar

Gebruikte afkortingen

GSSD Gestandaardiseerd gehalte
 AW Achtergrondwaarde
 <= AW kleiner dan of gelijk aan Achtergrondwaarde
 RG Eis Vereiste rapportagegrens
 IW Interventiewaarde

Deze toetsing is uitgevoerd met behulp van BoToVa.

Zie voor info: <http://www.rwsleefomgeving.nl/onderwerpen/bodem-ondergrond/bbk/instrumenten/botova/>

BoToVa T1 Beoordeling kwaliteit van grond en bagger bij toepassing op of in de lanc

Projectnummer 01.18.1763
 Projectnaam Geertruiduin te Deventer
 Ordernummer 01.18.1763
 Datum monsternamen 23-05-2018
 Monsternemer S. de Jonge
 Certificaatnummer 2018076061
 Startdatum 29-05-2018
 Rapportagedatum 02-06-2018

Analyse	Eenheid	5	GSSD	Oordeel	RG Eis	AW	Wonen	Industrie	IW
Bodemtype correctie									
Organische stof		0,7							
Korrelgrootte < 2 µm (Lutum)		7,6							
Voorbehandeling									
Cryogeen malen AS3000		Uitgevoerd							
Bodemkundige analyses									
Droge stof	% (m/m)	90,9	90,9						
Organische stof	% (m/m) ds	<0,7	0,49						
Gloeirest	% (m/m) ds	99,1							
Korrelgrootte < 2 µm (Lutum)	% (m/m) ds	7,6	7,6						
Metalen									
Barium (Ba)	mg/kg ds	<20	31,91		20				920
Cadmium (Cd)	mg/kg ds	<0,20	0,2219	<=AW	0,2	0,6	1,2	4,3	13
Kobalt (Co)	mg/kg ds	<3,0	4,578	<=AW	3	15	35	190	190
Koper (Cu)	mg/kg ds	5,5	9,538	<=AW	5	40	54	190	190
Kwik (Hg)	mg/kg ds	<0,050	0,0461	<=AW	0,05	0,15	0,83	4,8	36
Molybdeen (Mo)	mg/kg ds	<1,5	1,05	<=AW	1,5	1,5	88	190	190
Nikkel (Ni)	mg/kg ds	6	11,93	<=AW	4	35		100	100
Lood (Pb)	mg/kg ds	12	17,11	<=AW	10	50	210	530	530
Zink (Zn)	mg/kg ds	<20	25,86	<=AW	20	140	200	720	720
Minerale olie									
Minerale olie (C10-C12)	mg/kg ds	<3,0	10,5						
Minerale olie (C12-C16)	mg/kg ds	<5,0	17,5						
Minerale olie (C16-C21)	mg/kg ds	<5,0	17,5						
Minerale olie (C21-C30)	mg/kg ds	<11	38,5						
Minerale olie (C30-C35)	mg/kg ds	5,6	28						
Minerale olie (C35-C40)	mg/kg ds	<6,0	21						
Minerale olie totaal (C10-C40)	mg/kg ds	<35	122,5	<=AW	35	190	190	500	5000
Polychloorbifenylen, PCB									
PCB 28	mg/kg ds	<0,0010	0,0035						
PCB 52	mg/kg ds	<0,0010	0,0035						
PCB 101	mg/kg ds	<0,0010	0,0035						
PCB 118	mg/kg ds	<0,0010	0,0035						
PCB 138	mg/kg ds	<0,0010	0,0035						
PCB 153	mg/kg ds	<0,0010	0,0035						
PCB 180	mg/kg ds	<0,0010	0,0035						
PCB (som 7) (factor 0,7)	mg/kg ds	0,0049	0,0245	<=AW	0,0049	0,02	0,04	0,5	1
Polycyclische Aromatische Koolwaterstoffen, PAH									
Naftaleen	mg/kg ds	<0,050	0,035						
Fenanthreen	mg/kg ds	<0,050	0,035						
Anthraceen	mg/kg ds	<0,050	0,035						
Fluorantheen	mg/kg ds	<0,050	0,035						
Benzo(a)anthraceen	mg/kg ds	<0,050	0,035						
Chryseen	mg/kg ds	<0,050	0,035						
Benzo(k)fluorantheen	mg/kg ds	<0,050	0,035						
Benzo(a)pyreen	mg/kg ds	<0,050	0,035						
Benzo(ghi)peryleen	mg/kg ds	<0,050	0,035						
Indeno(123-cd)pyreen	mg/kg ds	<0,050	0,035						
PAK VROM (10) (factor 0,7)	mg/kg ds	0,35	0,35	<=AW	0,5	1,5	6,8	40	40

Legenda

Nr. Analytico-nr Monster
 5 10123451 MM11 OG ONV

Eindoordeel: Altijd toepasbaar

Gebruikte afkortingen

GSSD Gestandaardiseerd gehalte
 AW Achtergrondwaarde
 <= AW kleiner dan of gelijk aan Achtergrondwaarde
 RG Eis Vereiste rapportagegrens
 IW Interventiewaarde

Deze toetsing is uitgevoerd met behulp van BoToVa.

Zie voor info: <http://www.rwsleefomgeving.nl/onderwerpen/bodem-ondergrond/bbk/instrumenten/botova/>

BoToVa T12 Toetsing Wbb grond

Uw projectnummer 01.18.1763
 Projectnaam Geertruiduin te Deventer
 Ordernummer 01.18.1763
 Datum monstername 23-05-2018
 Monsternemer S. de Jonge
 Certificaatnummer 2018076061
 Startdatum 29-05-2018
 Rapportagedatum 02-06-2018

Analyse	Eenheid	1	GSSD	Oordeel	2	GSSD	Oordeel	3	GSSD	Oordeel	4	GSSD	Oordeel	5	GSSD	Oordeel
Bodemtype correctie																
Organische stof		1,7			1,7			1,4			1,1			0,7		
Korrelgrootte < 2 µm (Lutum)		4,1			3,2			3,6			5,5			7,6		
Voorbehandeling																
Cryogeen malen AS3000	Uitgevoerd				Uitgevoerd			Uitgevoerd			Uitgevoerd			Uitgevoerd		
Bodemkundige analyses																
Droge stof	% (m/m)	90,3	90,3		91,7	91,7		91	91		86,1	86,1		90,9	90,9	
Organische stof	% (m/m) ds	1,7	1,7		1,7	1,7		1,4	1,4		1,1	1,1		<0,7	0,49	
Gloeirest	% (m/m) ds	98			98,1			98,4			98,5			99,1		
Korrelgrootte < 2 µm (Lutum)	% (m/m) ds	4,1	4,1		3,2	3,2		3,6	3,6		5,5	5,5		7,6	7,6	
Metalen																
Barium (Ba)	mg/kg ds	36	110,5		44	148,3		45	145,3		31	83,57		<20	31,91	
Cadmium (Cd)	mg/kg ds	<0,20	0,2335	-	<0,20	0,2366	-	<0,20	0,2352	-	<0,20	0,2287	-	<0,20	0,2219	-
Kobalt (Co)	mg/kg ds	<3,0	6,004	-	3,2	9,945	-	<3,0	6,283	-	3,6	9,153	-	<3,0	4,578	-
Koper (Cu)	mg/kg ds	23	44,37	*	31	61,59	*	21	41,18	*	7,9	14,58	-	5,5	9,538	-
Kwik (Hg)	mg/kg ds	0,28	0,3891	*	0,33	0,4651	*	0,18	0,2521	*	<0,050	0,0475	-	<0,050	0,0461	-
Molybdeen (Mo)	mg/kg ds	<1,5	1,05	-	<1,5	1,05	-	<1,5	1,05	-	<1,5	1,05	-	<1,5	1,05	-
Nikkel (Ni)	mg/kg ds	6,8	16,88	-	6,4	16,97	-	5,9	15,18	-	13	29,35	-	6	11,93	-
Loed (Pb)	mg/kg ds	69	104,5	*	160	246,4	**	71	108,5	*	10	14,78	-	12	17,11	-
Zink (Zn)	mg/kg ds	36	77,18	-	62	138,7	-	75	164,6	*	23	46,33	-	<20	25,86	-
Minerale olie																
Minerale olie (C10-C12)	mg/kg ds	<3,0	10,5		<3,0	10,5		<3,0	10,5		<3,0	10,5		<3,0	10,5	
Minerale olie (C12-C16)	mg/kg ds	<5,0	17,5		<5,0	17,5		<5,0	17,5		<5,0	17,5		<5,0	17,5	
Minerale olie (C16-C21)	mg/kg ds	5,4	27		<5,0	17,5		<5,0	17,5		<5,0	17,5		<5,0	17,5	
Minerale olie (C21-C30)	mg/kg ds	<11	38,5		15	75		<11	38,5		<11	38,5		<11	38,5	
Minerale olie (C30-C35)	mg/kg ds	9,4	47		8,2	41		5,9	29,5		5,7	28,5		5,6	28	
Minerale olie (C35-C40)	mg/kg ds	<6,0	21		<6,0	21		<6,0	21		<6,0	21		<6,0	21	
Minerale olie totaal (C10-C40)	mg/kg ds	<35	122,5		<35	122,5		<35	122,5		<35	122,5		<35	122,5	
Polychloorbifenylen, PCB																
PCB 28	mg/kg ds	<0,0010	0,0035		<0,0010	0,0035		<0,0010	0,0035		<0,0010	0,0035		<0,0010	0,0035	
PCB 52	mg/kg ds	<0,0010	0,0035		<0,0010	0,0035		<0,0010	0,0035		<0,0010	0,0035		<0,0010	0,0035	
PCB 101	mg/kg ds	<0,0010	0,0035		<0,0010	0,0035		<0,0010	0,0035		<0,0010	0,0035		<0,0010	0,0035	
PCB 118	mg/kg ds	<0,0010	0,0035		<0,0010	0,0035		<0,0010	0,0035		<0,0010	0,0035		<0,0010	0,0035	
PCB 138	mg/kg ds	<0,0010	0,0035		<0,0010	0,0035		<0,0010	0,0035		<0,0010	0,0035		<0,0010	0,0035	
PCB 153	mg/kg ds	<0,0010	0,0035		<0,0010	0,0035		<0,0010	0,0035		<0,0010	0,0035		<0,0010	0,0035	
PCB 180	mg/kg ds	<0,0010	0,0035		<0,0010	0,0035		<0,0010	0,0035		<0,0010	0,0035		<0,0010	0,0035	
PCB (som 7) (factor 0,7)	mg/kg ds	0,0049	0,0245		0,0049	0,0245		0,0049	0,0245		0,0049	0,0245		0,0049	0,0245	
Polycyclische Aromatische Koolwaterstoffen, PAK																
Nafaleen	mg/kg ds	<0,050	0,035		0,066	0,066		<0,050	0,035		<0,050	0,035		<0,050	0,035	
Fenanthreen	mg/kg ds	0,059	0,059		0,7	0,7		0,14	0,14		<0,050	0,035		<0,050	0,035	
Anthraceen	mg/kg ds	<0,050	0,035		0,2	0,2		<0,050	0,035		<0,050	0,035		<0,050	0,035	
Fluorantheen	mg/kg ds	0,11	0,11		1,2	1,2		0,28	0,28		<0,050	0,035		<0,050	0,035	
Benzo(a)anthraceen	mg/kg ds	0,052	0,052		0,56	0,56		0,13	0,13		<0,050	0,035		<0,050	0,035	
Chryseen	mg/kg ds	0,054	0,054		0,54	0,54		0,13	0,13		<0,050	0,035		<0,050	0,035	
Benzo(k)fluoranthreen	mg/kg ds	<0,050	0,035		0,24	0,24		0,066	0,066		<0,050	0,035		<0,050	0,035	
Benzo(a)pyreen	mg/kg ds	0,055	0,055		0,45	0,45		0,13	0,13		<0,050	0,035		<0,050	0,035	
Benzo(ghi)peryleen	mg/kg ds	<0,050	0,035		0,3	0,3		0,082	0,082		<0,050	0,035		<0,050	0,035	
Indeno(123-cd)pyreen	mg/kg ds	<0,050	0,035		0,35	0,35		0,068	0,068		<0,050	0,035		<0,050	0,035	
PAK VROM (10) (factor 0,7)	mg/kg ds	0,5	0,505		4,6	4,606	*	1,1	1,096		0,35	0,35		0,35	0,35	

Legenda

Nr.	Analytico-nr	Monster	BoToVa Oordeel
1	10123447	MM07 OG ONV	Overschrijding Achtergrondwaarde
2	10123448	MM08 OG ONV	Overschrijding Achtergrondwaarde
3	10123449	MM09 OG ONV	Overschrijding Achtergrondwaarde
4	10123450	MM10 OG ONV	Voldoet aan Achtergrondwaarde
5	10123451	MM11 OG ONV	Voldoet aan Achtergrondwaarde

Verklaring van de gebruikte tekens:

- kleiner dan of gelijk aan de Achtergrondwaarde
- * groter dan Achtergrondwaarde
- ** groter dan Tussenwaarde
- *** groter dan Interventiewaarde

Deze toetsing is m.b.v. BoToVa uitgevoerd.

Zie voor info: <http://www.rwsleefomgeving.nl/onderwerpen/bodem-ondergrond/bbk/instrumenten/botova/>

BoToVa T1 Beoordeling kwaliteit van grond en bagger bij toepassing op of in de landb

Projectnummer 01.18.1763
 Projectnaam Geertruiduin te Deventer
 Ordernummer 01.18.1763
 Datum monsternamen 23-05-2018
 Monsternemer R.W.E.M. Milder
 Certificaatnummer 2018076075
 Startdatum 29-05-2018
 Rapportagedatum 05-06-2018

Analyse	Eenheid	1	GSSD	Oordeel	RG Eis	AW	Wonen	Industrie	IW
Bodemtype correctie									
Organische stof		0,7							
Korrelgrootte < 2 µm (Lutum)		3,1							
Voorbehandeling									
Cryogeen malen AS3000		Uitgevoerd							
Bodemkundige analyses									
Droge stof	% (m/m)	81,6	81,6						
Organische stof	% (m/m) ds	<0,7	0,49						
Gloeirest	% (m/m) ds	99,4							
Korrelgrootte < 2 µm (Lutum)	% (m/m) ds	3,1	3,1						
Metalen									
Barium (Ba)	mg/kg ds	<20	47,69		20				920
Cadmium (Cd)	mg/kg ds	<0,20	0,237	<=AW	0,2	0,6	1,2	4,3	13
Kobalt (Co)	mg/kg ds	3,8	11,92	<=AW	3	15	35	190	190
Koper (Cu)	mg/kg ds	<5,0	6,977	<=AW	5	40	54	190	190
Kwik (Hg)	mg/kg ds	<0,050	0,0494	<=AW	0,05	0,15	0,83	4,8	36
Molybdeen (Mo)	mg/kg ds	<1,5	1,05	<=AW	1,5	1,5	88	190	190
Nikkel (Ni)	mg/kg ds	14	37,4	Wonen	4	35		100	100
Lood (Pb)	mg/kg ds	<10	10,8	<=AW	10	50	210	530	530
Zink (Zn)	mg/kg ds	<20	31,46	<=AW	20	140	200	720	720
Minerale olie									
Minerale olie (C10-C12)	mg/kg ds	<3,0	10,5						
Minerale olie (C12-C16)	mg/kg ds	<5,0	17,5						
Minerale olie (C16-C21)	mg/kg ds	<5,0	17,5						
Minerale olie (C21-C30)	mg/kg ds	<11	38,5						
Minerale olie (C30-C35)	mg/kg ds	6	30						
Minerale olie (C35-C40)	mg/kg ds	<6,0	21						
Minerale olie totaal (C10-C40)	mg/kg ds	<35	122,5	<=AW	35	190	190	500	5000
Polychloorbifenylen, PCB									
PCB 28	mg/kg ds	<0,0010	0,0035						
PCB 52	mg/kg ds	<0,0010	0,0035						
PCB 101	mg/kg ds	<0,0010	0,0035						
PCB 118	mg/kg ds	<0,0010	0,0035						
PCB 138	mg/kg ds	<0,0010	0,0035						
PCB 153	mg/kg ds	<0,0010	0,0035						
PCB 180	mg/kg ds	<0,0010	0,0035						
PCB (som 7) (factor 0,7)	mg/kg ds	0,0049	0,0245	<=AW	0,0049	0,02	0,04	0,5	1
Polycyclische Aromatische Koolwaterstoffen, PAH									
Naftaleen	mg/kg ds	<0,050	0,035						
Fenanthreen	mg/kg ds	<0,050	0,035						
Anthraceen	mg/kg ds	<0,050	0,035						
Fluorantheen	mg/kg ds	<0,050	0,035						
Benzo(a)anthraceen	mg/kg ds	<0,050	0,035						
Chryseen	mg/kg ds	<0,050	0,035						
Benzo(k)fluorantheen	mg/kg ds	<0,050	0,035						
Benzo(a)pyreen	mg/kg ds	<0,050	0,035						
Benzo(ghi)peryleen	mg/kg ds	<0,050	0,035						
Indeno(123-cd)pyreen	mg/kg ds	<0,050	0,035						
PAK VROM (10) (factor 0,7)	mg/kg ds	0,35	0,35	<=AW	0,5	1,5	6,8	40	40

Legenda

Nr. Analytico-nr Monster
 1 10123496 M-501

Eindoordeel: Altijd toepasbaar

Gebruikte afkortingen

GSSD Gestandaardiseerd gehalte
 AW Achtergrondwaarde
 <= AW kleiner dan of gelijk aan Achtergrondwaarde
 RG Eis Vereiste rapportagegrens
 IW Interventiewaarde

Deze toetsing is uitgevoerd met behulp van BoToVa.

Zie voor info: <http://www.rwsleefomgeving.nl/onderwerpen/bodem-ondergrond/bbk/instrumenten/botova/>

BoToVa T1 Beoordeling kwaliteit van grond en bagger bij toepassing op of in de lanc

Projectnummer 01.18.1763
 Projectnaam Geertruidentuin te Deventer
 Ordernummer 01.18.1763
 Datum monsternamen 23-05-2018
 Monsternemer R.W.E.M. Milder
 Certificaatnummer 2018076075
 Startdatum 29-05-2018
 Rapportagedatum 05-06-2018

Analyse	Eenheid	2	GSSD	Oordeel	RG Eis	AW	Wonen	Industrie	IW
Bodemtype correctie									
Organische stof		2,5							
Korrelgrootte < 2 µm (Lutum)		5,5							
Voorbehandeling									
Cryogeen malen AS3000		Uitgevoerd							
Bodemkundige analyses									
Droge stof	% (m/m)	92,3	92,3						
Organische stof	% (m/m) ds	2,5	2,5						
Gloeirest	% (m/m) ds	97,1							
Korrelgrootte < 2 µm (Lutum)	% (m/m) ds	5,5	5,5						
Metalen									
Barium (Ba)	mg/kg ds	75	202,2		20				920
Cadmium (Cd)	mg/kg ds	<0,20	0,2238	<=AW	0,2	0,6	1,2	4,3	13
Kobalt (Co)	mg/kg ds	<3,0	5,339	<=AW	3	15	35	190	190
Koper (Cu)	mg/kg ds	20	36,36	<=AW	5	40	54	190	190
Kwik (Hg)	mg/kg ds	0,22	0,298	Wonen	0,05	0,15	0,83	4,8	36
Molybdeen (Mo)	mg/kg ds	<1,5	1,05	<=AW	1,5	1,5	88	190	190
Nikkel (Ni)	mg/kg ds	4,9	11,06	<=AW	4	35	100	100	100
Lood (Pb)	mg/kg ds	57	83,53	Wonen	10	50	210	530	530
Zink (Zn)	mg/kg ds	40	79,72	<=AW	20	140	200	720	720
Minerale olie									
Minerale olie (C10-C12)	mg/kg ds	<3,0	8,4						
Minerale olie (C12-C16)	mg/kg ds	<5,0	14						
Minerale olie (C16-C21)	mg/kg ds	<5,0	14						
Minerale olie (C21-C30)	mg/kg ds	20	80						
Minerale olie (C30-C35)	mg/kg ds	12	48						
Minerale olie (C35-C40)	mg/kg ds	<6,0	16,8						
Minerale olie totaal (C10-C40)	mg/kg ds	36	144	<=AW	35	190	190	500	5000
Chromatogram olie (GC)		Zie bijl.							
Polychloorbifenylen, PCB									
PCB 28	mg/kg ds	<0,0010	0,0028						
PCB 52	mg/kg ds	0,0011	0,0044						
PCB 101	mg/kg ds	0,0013	0,0052						
PCB 118	mg/kg ds	<0,0010	0,0028						
PCB 138	mg/kg ds	0,0013	0,0052						
PCB 153	mg/kg ds	<0,0010	0,0028						
PCB 180	mg/kg ds	<0,0010	0,0028						
PCB (som 7) (factor 0,7)	mg/kg ds	0,0065	0,026	Wonen	0,0049	0,02	0,04	0,5	1
Polycyclische Aromatische Koolwaterstoffen, PAH									
Naftaleen	mg/kg ds	<0,050	0,035						
Fenanthreen	mg/kg ds	0,84	0,84						
Anthraceen	mg/kg ds	0,24	0,24						
Fluorantheen	mg/kg ds	1,3	1,3						
Benzo(a)anthraceen	mg/kg ds	<0,050	0,035						
Chryseen	mg/kg ds	0,67	0,67						
Benzo(k)fluorantheen	mg/kg ds	0,28	0,28						
Benzo(a)pyreen	mg/kg ds	0,51	0,51						
Benzo(ghi)peryleen	mg/kg ds	0,33	0,33						
Indeno(123-cd)pyreen	mg/kg ds	0,3	0,3						
PAK VROM (10) (factor 0,7)	mg/kg ds	4,6	4,54	Wonen	0,5	1,5	6,8	40	40

Legenda

Nr. Analytico-nr Monster
 2 10123497 MM12 VED-HE

Eindoordeel: Klasse wonen

Gebruikte afkortingen

GSSD Gestandaardiseerd gehalte
 AW Achtergrondwaarde
 <= AW kleiner dan of gelijk aan Achtergrondwaarde
 RG Eis Vereiste rapportagegrens
 IW Interventiewaarde

Deze toetsing is uitgevoerd met behulp van BoToVa.

Zie voor info: <http://www.rwsleefomgeving.nl/onderwerpen/bodem-ondergrond/bbk/instrumenten/botova/>

BoToVa T1 Beoordeling kwaliteit van grond en bagger bij toepassing op of in de lanc

Projectnummer 01.18.1763
 Projectnaam Geertruidentuin te Deventer
 Ordernummer 01.18.1763
 Datum monsternamen 23-05-2018
 Monsternemer R.W.E.M. Milder
 Certificaatnummer 2018076075
 Startdatum 29-05-2018
 Rapportagedatum 05-06-2018

Analyse	Eenheid	3	GSSD	Oordeel	RG Eis	AW	Wonen	Industrie	IW
Bodemtype correctie									
Organische stof		1							
Korrelgrootte < 2 µm (Lutum)		4,4							
Voorbehandeling									
Cryogeen malen AS3000		Uitgevoerd							
Bodemkundige analyses									
Droge stof	% (m/m)	90,8	90,8						
Organische stof	% (m/m) ds	1	1						
Gloeiorest	% (m/m) ds	98,7							
Korrelgrootte < 2 µm (Lutum)	% (m/m) ds	4,4	4,4						
Metalen									
Barium (Ba)	mg/kg ds	28	83,46		20				920
Cadmium (Cd)	mg/kg ds	<0,20	0,2324	<=AW	0,2	0,6	1,2	4,3	13
Kobalt (Co)	mg/kg ds	<3,0	5,848	<=AW	3	15	35	190	190
Koper (Cu)	mg/kg ds	12	22,93	<=AW	5	40	54	190	190
Kwik (Hg)	mg/kg ds	0,14	0,1936	Wonen	0,05	0,15	0,83	4,8	36
Molybdeen (Mo)	mg/kg ds	<1,5	1,05	<=AW	1,5	1,5	88	190	190
Nikkel (Ni)	mg/kg ds	6,2	15,07	<=AW	4	35		100	100
Lood (Pb)	mg/kg ds	33	49,73	<=AW	10	50	210	530	530
Zink (Zn)	mg/kg ds	28	59,21	<=AW	20	140	200	720	720
Minerale olie									
Minerale olie (C10-C12)	mg/kg ds	<3,0	10,5						
Minerale olie (C12-C16)	mg/kg ds	<5,0	17,5						
Minerale olie (C16-C21)	mg/kg ds	<5,0	17,5						
Minerale olie (C21-C30)	mg/kg ds	<11	38,5						
Minerale olie (C30-C35)	mg/kg ds	8,4	42						
Minerale olie (C35-C40)	mg/kg ds	<6,0	21						
Minerale olie totaal (C10-C40)	mg/kg ds	<35	122,5	<=AW	35	190	190	500	5000
Polychloorbifenylen, PCB									
PCB 28	mg/kg ds	<0,0010	0,0035						
PCB 52	mg/kg ds	<0,0010	0,0035						
PCB 101	mg/kg ds	<0,0010	0,0035						
PCB 118	mg/kg ds	<0,0010	0,0035						
PCB 138	mg/kg ds	<0,0010	0,0035						
PCB 153	mg/kg ds	<0,0010	0,0035						
PCB 180	mg/kg ds	0,0012	0,006						
PCB (som 7) (factor 0,7)	mg/kg ds	0,0054	0,027	Wonen	0,0049	0,02	0,04	0,5	1
Polycyclische Aromatische Koolwaterstoffen, PAH									
Naftaleen	mg/kg ds	<0,050	0,035						
Fenanthreen	mg/kg ds	0,089	0,089						
Anthraceen	mg/kg ds	<0,050	0,035						
Fluorantheen	mg/kg ds	0,19	0,19						
Benzo(a)anthraceen	mg/kg ds	0,093	0,093						
Chryseen	mg/kg ds	0,096	0,096						
Benzo(k)fluorantheen	mg/kg ds	<0,050	0,035						
Benzo(a)pyreen	mg/kg ds	0,089	0,089						
Benzo(ghi)peryleen	mg/kg ds	0,061	0,061						
Indeno(123-cd)pyreen	mg/kg ds	0,052	0,052						
PAK VROM (10) (factor 0,7)	mg/kg ds	0,77	0,775	<=AW	0,5	1,5	6,8	40	40

Legenda

Nr. Analytico-nr Monster
 3 10123498 MM13 VED-HE

Eindoordeel: Altijd toepasbaar

Gebruikte afkortingen

GSSD Gestandaardiseerd gehalte
 AW Achtergrondwaarde
 <= AW kleiner dan of gelijk aan Achtergrondwaarde
 RG Eis Vereiste rapportagegrens
 IW Interventiewaarde

Deze toetsing is uitgevoerd met behulp van BoToVa.

Zie voor info: <http://www.rwsleefomgeving.nl/onderwerpen/bodem-ondergrond/bbk/instrumenten/botova/>

BoToVa T1 Beoordeling kwaliteit van grond en bagger bij toepassing op of in de lanc

Projectnummer 01.18.1763
 Projectnaam Geertruidentuin te Deventer
 Ordernummer 01.18.1763
 Datum monsternamen 23-05-2018
 Monsternemer R.W.E.M. Milder
 Certificaatnummer 2018076075
 Startdatum 29-05-2018
 Rapportagedatum 05-06-2018

Analyse	Eenheid	4	GSSD	Oordeel	RG Eis	AW	Wonen	Industrie	IW
Bodemtype correctie									
Organische stof		1							
Korrelgrootte < 2 µm (Lutum)		4							
Voorbehandeling									
Cryogeen malen AS3000		Uitgevoerd							
Bodemkundige analyses									
Droge stof	% (m/m)	91,6	91,6						
Organische stof	% (m/m) ds	1	1						
Gloeirest	% (m/m) ds	98,7							
Korrelgrootte < 2 µm (Lutum)	% (m/m) ds	4	4						
Metalen									
Barium (Ba)	mg/kg ds	23	71,3		20				920
Cadmium (Cd)	mg/kg ds	<0,20	0,2338	<=AW	0,2	0,6	1,2	4,3	13
Kobalt (Co)	mg/kg ds	<3,0	6,058	<=AW	3	15	35	190	190
Koper (Cu)	mg/kg ds	9,4	18,19	<=AW	5	40	54	190	190
Kwik (Hg)	mg/kg ds	0,14	0,1948	Wonen	0,05	0,15	0,83	4,8	36
Molybdeen (Mo)	mg/kg ds	<1,5	1,05	<=AW	1,5	1,5	88	190	190
Nikkel (Ni)	mg/kg ds	5,9	14,75	<=AW	4	35		100	100
Lood (Pb)	mg/kg ds	27	40,98	<=AW	10	50	210	530	530
Zink (Zn)	mg/kg ds	25	53,85	<=AW	20	140	200	720	720
Minerale olie									
Minerale olie (C10-C12)	mg/kg ds	<3,0	10,5						
Minerale olie (C12-C16)	mg/kg ds	<5,0	17,5						
Minerale olie (C16-C21)	mg/kg ds	<5,0	17,5						
Minerale olie (C21-C30)	mg/kg ds	<11	38,5						
Minerale olie (C30-C35)	mg/kg ds	6,6	33						
Minerale olie (C35-C40)	mg/kg ds	<6,0	21						
Minerale olie totaal (C10-C40)	mg/kg ds	<35	122,5	<=AW	35	190	190	500	5000
Polychloorbifenylen, PCB									
PCB 28	mg/kg ds	<0,0010	0,0035						
PCB 52	mg/kg ds	<0,0010	0,0035						
PCB 101	mg/kg ds	<0,0010	0,0035						
PCB 118	mg/kg ds	<0,0010	0,0035						
PCB 138	mg/kg ds	<0,0010	0,0035						
PCB 153	mg/kg ds	<0,0010	0,0035						
PCB 180	mg/kg ds	<0,0010	0,0035						
PCB (som 7) (factor 0,7)	mg/kg ds	0,0049	0,0245	<=AW	0,0049	0,02	0,04	0,5	1
Polycyclische Aromatische Koolwaterstoffen, PAH									
Naftaleen	mg/kg ds	<0,050	0,035						
Fenanthreen	mg/kg ds	0,095	0,095						
Anthraceen	mg/kg ds	<0,050	0,035						
Fluorantheen	mg/kg ds	0,22	0,22						
Benzo(a)anthraceen	mg/kg ds	0,11	0,11						
Chryseen	mg/kg ds	0,1	0,1						
Benzo(k)fluorantheen	mg/kg ds	<0,050	0,035						
Benzo(a)pyreen	mg/kg ds	0,094	0,094						
Benzo(ghi)peryleen	mg/kg ds	0,061	0,061						
Indeno(123-cd)pyreen	mg/kg ds	0,052	0,052						
PAK VROM (10) (factor 0,7)	mg/kg ds	0,83	0,837	<=AW	0,5	1,5	6,8	40	40

Legenda

Nr. Analytico-nr Monster
 4 10123499 MM14 VED-HE

Eindoordeel: Altijd toepasbaar

Gebruikte afkortingen

GSSD Gestandaardiseerd gehalte
 AW Achtergrondwaarde
 <= AW kleiner dan of gelijk aan Achtergrondwaarde
 RG Eis Vereiste rapportagegrens
 IW Interventiewaarde

Deze toetsing is uitgevoerd met behulp van BoToVa.

Zie voor info: <http://www.rwsleefomgeving.nl/onderwerpen/bodem-ondergrond/bbk/instrumenten/botova/>

BoToVa T1 Beoordeling kwaliteit van grond en bagger bij toepassing op of in de lanc

Projectnummer 01.18.1763
 Projectnaam Geertruiduin te Deventer
 Ordernummer 01.18.1763
 Datum monsternamen 23-05-2018
 Monsternemer R.W.E.M. Milder
 Certificaatnummer 2018076075
 Startdatum 29-05-2018
 Rapportagedatum 05-06-2018

Analyse	Eenheid	5	GSSD	Oordeel	RG Eis	AW	Wonen	Industrie	IW
Bodemtype correctie									
Organische stof		1,9							
Korrelgrootte < 2 µm (Lutum)		4,9							
Voorbehandeling									
Cryogeen malen AS3000		Uitgevoerd							
Bodemkundige analyses									
Droge stof	% (m/m)	89,5	89,5						
Organische stof	% (m/m) ds	1,9	1,9						
Gloeirest	% (m/m) ds	97,8							
Korrelgrootte < 2 µm (Lutum)	% (m/m) ds	4,9	4,9						
Metalen									
Barium (Ba)	mg/kg ds	47	133,7		20				920
Cadmium (Cd)	mg/kg ds	<0,20	0,2307	<=AW	0,2	0,6	1,2	4,3	13
Kobalt (Co)	mg/kg ds	<3,0	5,605	<=AW	3	15	35	190	190
Koper (Cu)	mg/kg ds	33	62,07	Industrie	5	40	54	190	190
Kwik (Hg)	mg/kg ds	0,38	0,5215	Wonen	0,05	0,15	0,83	4,8	36
Molybdeen (Mo)	mg/kg ds	<1,5	1,05	<=AW	1,5	1,5	88	190	190
Nikkel (Ni)	mg/kg ds	5,7	13,39	<=AW	4	35		100	100
Lood (Pb)	mg/kg ds	130	194,2	Wonen	10	50	210	530	530
Zink (Zn)	mg/kg ds	66	136,5	<=AW	20	140	200	720	720
Minerale olie									
Minerale olie (C10-C12)	mg/kg ds	<3,0	10,5						
Minerale olie (C12-C16)	mg/kg ds	<5,0	17,5						
Minerale olie (C16-C21)	mg/kg ds	<5,0	17,5						
Minerale olie (C21-C30)	mg/kg ds	<11	38,5						
Minerale olie (C30-C35)	mg/kg ds	7,9	39,5						
Minerale olie (C35-C40)	mg/kg ds	<6,0	21						
Minerale olie totaal (C10-C40)	mg/kg ds	<35	122,5	<=AW	35	190	190	500	5000
Polychloorbifenylen, PCB									
PCB 28	mg/kg ds	<0,0010	0,0035						
PCB 52	mg/kg ds	<0,0010	0,0035						
PCB 101	mg/kg ds	<0,0010	0,0035						
PCB 118	mg/kg ds	<0,0010	0,0035						
PCB 138	mg/kg ds	<0,0010	0,0035						
PCB 153	mg/kg ds	<0,0010	0,0035						
PCB 180	mg/kg ds	<0,0010	0,0035						
PCB (som 7) (factor 0,7)	mg/kg ds	0,0049	0,0245	<=AW	0,0049	0,02	0,04	0,5	1
Polycyclische Aromatische Koolwaterstoffen, PAH									
Naftaleen	mg/kg ds	<0,050	0,035						
Fenanthreen	mg/kg ds	<0,050	0,035						
Anthraceen	mg/kg ds	<0,050	0,035						
Fluorantheen	mg/kg ds	0,072	0,072						
Benzo(a)anthraceen	mg/kg ds	<0,050	0,035						
Chryseen	mg/kg ds	<0,050	0,035						
Benzo(k)fluorantheen	mg/kg ds	<0,050	0,035						
Benzo(a)pyreen	mg/kg ds	<0,050	0,035						
Benzo(ghi)peryleen	mg/kg ds	<0,050	0,035						
Indeno(123-cd)pyreen	mg/kg ds	<0,050	0,035						
PAK VROM (10) (factor 0,7)	mg/kg ds	0,39	0,387	<=AW	0,5	1,5	6,8	40	40

Legenda

Nr. Analytico-nr Monster
 5 10123500 MM15 VED-HE

Eindoordeel: Klasse industrie

Gebruikte afkortingen

GSSD Gestandaardiseerd gehalte
 AW Achtergrondwaarde
 <= AW kleiner dan of gelijk aan Achtergrondwaarde
 RG Eis Vereiste rapportagegrens
 IW Interventiewaarde

Deze toetsing is uitgevoerd met behulp van BoToVa.

Zie voor info: <http://www.rwsleefomgeving.nl/onderwerpen/bodem-ondergrond/bbk/instrumenten/botova/>

BoToVa T12 Toetsing Wbb grond

Uw projectnummer 01.18.1763
 Projectnaam Geertruidentuin te Deventer
 Ordernummer 01.18.1763
 Datum monstername 23-05-2018
 Monsternummer R.W.E.M. Milder
 Certificaatnummer 2018076075
 Startdatum 29-05-2018
 Rapportagedatum 05-06-2018

Analyse	Eenheid	1	GSSD	Oordeel	2	GSSD	Oordeel	3	GSSD	Oordeel	4	GSSD	Oordeel	5	GSSD	Oordeel
Bodemtype correctie																
Organische stof		0,7			2,5			1			1			1,9		
Korrelgrootte < 2 µm (Lutum)		3,1			5,5			4,4			4			4,9		
Voorbehandeling																
Cryogeen malen AS3000		Uitgevoerd			Uitgevoerd			Uitgevoerd			Uitgevoerd			Uitgevoerd		
Bodemkundige analyses																
Droge stof	% (m/m)	81,6	81,6		92,3	92,3		90,8	90,8		91,6	91,6		89,5	89,5	
Organische stof	% (m/m) ds	<0,7	0,49		2,5	2,5		1	1		1	1		1,9	1,9	
Gloeirest	% (m/m) ds	99,4			97,1			98,7			98,7			97,8		
Korrelgrootte < 2 µm (Lutum)	% (m/m) ds	3,1	3,1		5,5	5,5		4,4	4,4		4	4		4,9	4,9	
Metalen																
Barium (Ba)	mg/kg ds	<20	47,69		75	202,2		28	83,46		23	71,3		47	133,7	
Cadmium (Cd)	mg/kg ds	<0,20	0,237		<0,20	0,2338		<0,20	0,2324		<0,20	0,2338		<0,20	0,2307	
Kobalt (Co)	mg/kg ds	3,8	11,92		<3,0	5,339		<3,0	5,848		<3,0	6,058		<3,0	5,605	
Koper (Cu)	mg/kg ds	<5,0	6,977		20	36,36		12	22,93		9,4	18,19		33	62,07	*
Kwik (Hg)	mg/kg ds	<0,050	0,0494		0,22	0,298	*	0,14	0,1936	*	0,14	0,1948	*	0,38	0,5215	*
Molybdeen (Mo)	mg/kg ds	<1,5	1,05		<1,5	1,05		<1,5	1,05		<1,5	1,05		<1,5	1,05	
Nikkel (Ni)	mg/kg ds	14	37,4	*	4,9	11,06		6,2	15,07		5,9	14,75		5,7	13,39	
Lood (Pb)	mg/kg ds	<10	10,8		57	83,53	*	33	49,73		27	40,98		130	194,2	*
Zink (Zn)	mg/kg ds	<20	31,46		40	79,72		28	59,21		25	53,85		66	136,5	
Minerale olie																
Minerale olie (C10-C12)	mg/kg ds	<3,0	10,5		<3,0	8,4		<3,0	10,5		<3,0	10,5		<3,0	10,5	
Minerale olie (C12-C16)	mg/kg ds	<5,0	17,5		<5,0	14		<5,0	17,5		<5,0	17,5		<5,0	17,5	
Minerale olie (C16-C21)	mg/kg ds	<5,0	17,5		<5,0	14		<5,0	17,5		<5,0	17,5		<5,0	17,5	
Minerale olie (C21-C30)	mg/kg ds	<11	38,5		20	80		<11	38,5		<11	38,5		<11	38,5	
Minerale olie (C30-C35)	mg/kg ds	6	30		12	48		8,4	42		6,6	33		7,9	39,5	
Minerale olie (C35-C40)	mg/kg ds	<6,0	21		<6,0	16,8		<6,0	21		<6,0	21		<6,0	21	
Minerale olie totaal (C10-C40)	mg/kg ds	<35	122,5		36	144		<35	122,5		<35	122,5		<35	122,5	
Chromatogram olie (GC)					Zie bijl.											
Polychlorobifenyleen, PCB																
PCB 28	mg/kg ds	<0,0010	0,0035		<0,0010	0,0028		<0,0010	0,0035		<0,0010	0,0035		<0,0010	0,0035	
PCB 52	mg/kg ds	<0,0010	0,0035		0,0011	0,0044		<0,0010	0,0035		<0,0010	0,0035		<0,0010	0,0035	
PCB 101	mg/kg ds	<0,0010	0,0035		0,0013	0,0052		<0,0010	0,0035		<0,0010	0,0035		<0,0010	0,0035	
PCB 118	mg/kg ds	<0,0010	0,0035		<0,0010	0,0028		<0,0010	0,0035		<0,0010	0,0035		<0,0010	0,0035	
PCB 138	mg/kg ds	<0,0010	0,0035		0,0013	0,0052		<0,0010	0,0035		<0,0010	0,0035		<0,0010	0,0035	
PCB 153	mg/kg ds	<0,0010	0,0035		<0,0010	0,0028		<0,0010	0,0035		<0,0010	0,0035		<0,0010	0,0035	
PCB 180	mg/kg ds	<0,0010	0,0035		<0,0010	0,0028		0,0012	0,006		<0,0010	0,0035		<0,0010	0,0035	
PCB (som 7) (factor 0,7)	mg/kg ds	0,0049	0,0245		0,0065	0,026	*	0,0054	0,027	*	0,0049	0,0245		0,0049	0,0245	
Polycyclische Aromatische Koolwaterstoffen, PAK																
Naftaleen	mg/kg ds	<0,050	0,035		<0,050	0,035		<0,050	0,035		<0,050	0,035		<0,050	0,035	
Fenanthreen	mg/kg ds	<0,050	0,035		0,84	0,84		0,089	0,089		0,095	0,095		<0,050	0,035	
Anthraceen	mg/kg ds	<0,050	0,035		0,24	0,24		<0,050	0,035		<0,050	0,035		<0,050	0,035	
Fluoranthreen	mg/kg ds	<0,050	0,035		1,3	1,3		0,19	0,19		0,22	0,22		0,072	0,072	
Benzo(a)anthraceen	mg/kg ds	<0,050	0,035		<0,050	0,035		0,093	0,093		0,11	0,11		<0,050	0,035	
Chryseen	mg/kg ds	<0,050	0,035		0,67	0,67		0,096	0,096		0,1	0,1		<0,050	0,035	
Benzo(k)fluoranthreen	mg/kg ds	<0,050	0,035		0,28	0,28		<0,050	0,035		<0,050	0,035		<0,050	0,035	
Benzo(a)pyreen	mg/kg ds	<0,050	0,035		0,51	0,51		0,089	0,089		0,094	0,094		<0,050	0,035	
Benzo(b)fluoranthreen	mg/kg ds	<0,050	0,035		0,33	0,33		0,061	0,061		0,061	0,061		<0,050	0,035	
Indeno(1,2,3-cd)pyreen	mg/kg ds	<0,050	0,035		0,3	0,3		0,052	0,052		0,052	0,052		<0,050	0,035	
PAK VROM (1D) (factor 0,7)	mg/kg ds	0,35	0,35		4,6	4,54	*	0,77	0,775		0,83	0,837		0,39	0,387	

Legenda			BoToVa Oordeel
Nr.	Analytico-nr	Monster	
1	10123496	M-501	Voldoet aan Achtergrondwaarde
2	10123497	MM12 VED-HE	Overschrijding Achtergrondwaarde
3	10123498	MM13 VED-HE	Voldoet aan Achtergrondwaarde
4	10123499	MM14 VED-HE	Voldoet aan Achtergrondwaarde
5	10123500	MM15 VED-HE	Overschrijding Achtergrondwaarde

Verklaring van de gebruikte tekens:
 - kleiner dan of gelijk aan de Achtergrondwaarde
 * groter dan Achtergrondwaarde
 ** groter dan Tussenwaarde
 *** groter dan Interventiewaarde

Deze toetsing is m.b.v. BoToVa uitgevoerd.
 Zie voor info: <http://www.rwsleefomgeving.nl/onderwerpen/bodem-ondergrond/bbk/instrumenten/botova/>

BoToVa T1 Beoordeling kwaliteit van grond en bagger bij toepassing op of in de landbc

Projectnummer 01.18.1763
 Projectnaam Geertruidentuin te Deventer
 Ordernummer 01.18.1763
 Datum monsternamen 23-05-2018
 Monsternemer S. de Jonge
 Certificaatnummer 2018080542
 Startdatum 05-06-2018
 Rapportagedatum 08-06-2018

Analyse	Eenheid	1	GSSD	Oordeel	RG Eis	AW	Wonen	Industrie	IW
Bodemtype correctie									
Organische stof		1,4							
Korrelgrootte < 2 µm (Lutum)		4,4							
Voorbehandeling									
Cryogeen malen AS3000		Uitgevoerd							
Bodemkundige analyses									
Droge stof	% (m/m)	90,6	90,6						
Organische stof	% (m/m) ds	1,4	1,4						
Gloeirest	% (m/m) ds	98,3							
Korrelgrootte < 2 µm (Lutum)	% (m/m) ds	4,4	4,4						
Metalen									
Barium (Ba)	mg/kg ds	28	83,46		20				920
Cadmium (Cd)	mg/kg ds	<0,20	0,2324	<=AW	0,2	0,6	1,2	4,3	13
Kobalt (Co)	mg/kg ds	<3,0	5,848	<=AW	3	15	35	190	190
Koper (Cu)	mg/kg ds	14	26,75	<=AW	5	40	54	190	190
Kwik (Hg)	mg/kg ds	0,19	0,2628	Wonen	0,05	0,15	0,83	4,8	36
Molybdeen (Mo)	mg/kg ds	<1,5	1,05	<=AW	1,5	1,5	88	190	190
Nikkel (Ni)	mg/kg ds	6,5	15,8	<=AW	4	35		100	100
Lood (Pb)	mg/kg ds	36	54,26	Wonen	10	50	210	530	530
Zink (Zn)	mg/kg ds	26	54,98	<=AW	20	140	200	720	720
Minerale olie									
Minerale olie (C10-C12)	mg/kg ds	<3,0	10,5						
Minerale olie (C12-C16)	mg/kg ds	<5,0	17,5						
Minerale olie (C16-C21)	mg/kg ds	<5,0	17,5						
Minerale olie (C21-C30)	mg/kg ds	<11	38,5						
Minerale olie (C30-C35)	mg/kg ds	<5,0	17,5						
Minerale olie (C35-C40)	mg/kg ds	<6,0	21						
Minerale olie totaal (C10-C40)	mg/kg ds	<35	122,5	<=AW	35	190	190	500	5000
Polychloorbifenylen, PCB									
PCB 28	mg/kg ds	<0,0010	0,0035						
PCB 52	mg/kg ds	<0,0010	0,0035						
PCB 101	mg/kg ds	<0,0010	0,0035						
PCB 118	mg/kg ds	<0,0010	0,0035						
PCB 138	mg/kg ds	<0,0010	0,0035						
PCB 153	mg/kg ds	<0,0010	0,0035						
PCB 180	mg/kg ds	<0,0010	0,0035						
PCB (som 7) (factor 0,7)	mg/kg ds	0,0049	0,0245	<=AW	0,0049	0,02	0,04	0,5	1
Polycyclische Aromatische Koolwaterstoffen, PAH									
Naftaleen	mg/kg ds	<0,050	0,035						
Fenanthreen	mg/kg ds	<0,050	0,035						
Anthraceen	mg/kg ds	<0,050	0,035						
Fluorantheen	mg/kg ds	0,061	0,061						
Benzo(a)anthraceen	mg/kg ds	<0,050	0,035						
Chryseen	mg/kg ds	<0,050	0,035						
Benzo(k)fluorantheen	mg/kg ds	<0,050	0,035						
Benzo(a)pyreen	mg/kg ds	<0,050	0,035						
Benzo(ghi)peryleen	mg/kg ds	<0,050	0,035						
Indeno(123-cd)pyreen	mg/kg ds	<0,050	0,035						
PAK VROM (10) (factor 0,7)	mg/kg ds	0,38	0,376	<=AW	0,5	1,5	6,8	40	40

Legenda

Nr. Analytico-nr Monster
 1 10137668 MM16

Eindoordeel: Altijd toepasbaar

Gebruikte afkortingen

GSSD Gestandaardiseerd gehalte
 AW Achtergrondwaarde
 <= AW kleiner dan of gelijk aan Achtergrondwaarde
 RG Eis Vereiste rapportagegrens
 IW Interventiewaarde

Deze toetsing is uitgevoerd met behulp van BoToVa.

Zie voor info: <http://www.rwsleefomgeving.nl/onderwerpen/bodem-ondergrond/bbk/instrumenten/botova/>

BoToVa T12 Toetsing Wbb grond

Uw projectnummer	01.18.1763
Projectnaam	Geertruidentuin te Deventer
Ordernummer	01.18.1763
Datum monstername	23-05-2018
Monsternemer	S. de Jonge
Certificaatnummer	2018080542
Startdatum	05-06-2018
Rapportagedatum	08-06-2018

Analyse	Eenheid	1	GSSD	Oordeel
Bodemtype correctie				
Organische stof		1,4		
Korrelgrootte < 2 µm (Lutum)		4,4		
Voorbehandeling				
Cryogeen malen AS3000		Uitgevoerd		
Bodemkundige analyses				
Drage stof	% (m/m)	90,6	90,6	
Organische stof	% (m/m) ds	1,4	1,4	
Gloeirest	% (m/m) ds	98,3		
Korrelgrootte < 2 µm (Lutum)	% (m/m) ds	4,4	4,4	
Metalen				
Barium (Ba)	mg/kg ds	28	83,46	
Cadmium (Cd)	mg/kg ds	<0,20	0,2324	-
Kobalt (Co)	mg/kg ds	<3,0	5,848	-
Koper (Cu)	mg/kg ds	14	26,75	-
Kwik (Hg)	mg/kg ds	0,19	0,2628	*
Molybdeen (Mo)	mg/kg ds	<1,5	1,05	-
Nikkel (Ni)	mg/kg ds	6,5	15,8	-
Lood (Pb)	mg/kg ds	36	54,26	*
Zink (Zn)	mg/kg ds	26	54,98	-
Minerale olie				
Minerale olie (C10-C12)	mg/kg ds	<3,0	10,5	
Minerale olie (C12-C16)	mg/kg ds	<5,0	17,5	
Minerale olie (C16-C21)	mg/kg ds	<5,0	17,5	
Minerale olie (C21-C30)	mg/kg ds	<11	38,5	
Minerale olie (C30-C35)	mg/kg ds	<5,0	17,5	
Minerale olie (C35-C40)	mg/kg ds	<6,0	21	
Minerale olie totaal (C10-C40)	mg/kg ds	<35	122,5	-
Polychloorbifenylen, PCB				
PCB 28	mg/kg ds	<0,0010	0,0035	
PCB 52	mg/kg ds	<0,0010	0,0035	
PCB 101	mg/kg ds	<0,0010	0,0035	
PCB 118	mg/kg ds	<0,0010	0,0035	
PCB 138	mg/kg ds	<0,0010	0,0035	
PCB 153	mg/kg ds	<0,0010	0,0035	
PCB 180	mg/kg ds	<0,0010	0,0035	
PCB (som 7) (factor 0,7)	mg/kg ds	0,0049	0,0245	-
Polycyclische Aromatische Koolwaterstoffen, PAK				
Naftaleen	mg/kg ds	<0,050	0,035	
Fenantheen	mg/kg ds	<0,050	0,035	
Anthraceen	mg/kg ds	<0,050	0,035	
Fluorantheen	mg/kg ds	0,061	0,061	
Benzo(a)anthraceen	mg/kg ds	<0,050	0,035	
Chryseen	mg/kg ds	<0,050	0,035	
Benzo(k)fluorantheen	mg/kg ds	<0,050	0,035	
Benzo(a)pyreen	mg/kg ds	<0,050	0,035	
Benzo(ghi)peryleen	mg/kg ds	<0,050	0,035	
Indeno(123-cd)pyreen	mg/kg ds	<0,050	0,035	
PAK VROM (10) (factor 0,7)	mg/kg ds	0,38	0,376	-

Legenda

Nr.	Analytico-nr	Monster	BoToVa Oordeel
1	10137668	MM16	Voldoet aan Achtergrondwaarde

Verklaring van de gebruikte tekens:

-	kleiner dan of gelijk aan de Achtergrondwaarde
*	groter dan Achtergrondwaarde
**	groter dan Tussenwaarde
***	groter dan Interventiewaarde

Deze toetsing is m.b.v. BoToVa uitgevoerd.

Zie voor info: <http://www.rwsleefomgeving.nl/onderwerpen/bodem-ondergrond/bbk/instrumenten/botova/>

BoToVa T13 Toetsing Wbb grondwater (ondiep)

Projectnummer 01.18.1763
 Projectnaam Geertruidentuin te Deventer
 Ordernummer 01.18.1763
 Datum monsternamen 04-06-2018
 Monsternemer R.W.E.M. Milder
 Certificaatnummer 2018080290
 Startdatum 05-06-2018
 Rapportagedatum 08-06-2018

Analyse	Eenheid	1	GSSD	Oordeel	RG	S	T	I
Metalen								
Barium (Ba)	µg/L	42	42	-	20	50	338	625
Cadmium (Cd)	µg/L	<0,20	0,14	-	0,2	0,4	3,2	6
Kobalt (Co)	µg/L	<2,0	1,4	-	2	20	60	100
Koper (Cu)	µg/L	2,1	2,1	-	2	15	45	75
Kwik (Hg)	µg/L	<0,050	0,035	-	0,05	0,05	0,175	0,3
Molybdeen (Mo)	µg/L	2,1	2,1	-	2	5	153	300
Nikkel (Ni)	µg/L	<3,0	2,1	-	3	15	45	75
Lood (Pb)	µg/L	<2,0	1,4	-	2	15	45	75
Zink (Zn)	µg/L	<10	7	-	10	65	433	800
Vluchtige Aromatische Koolwaterstoffen								
Benzeen	µg/L	<0,20	0,14	-	0,2	0,2	15,1	30
Tolueen	µg/L	0,3	0,3	-	0,2	7	504	1000
Ethylbenzeen	µg/L	<0,20	0,14	-	0,2	4	77	150
o-Xyleen	µg/L	<0,10	0,07	-				
m,p-Xyleen	µg/L	<0,20	0,14	-				
Xylenen (som) factor 0,7	µg/L	0,21	0,21	-	0,2	0,2	35,1	70
BTEX (som)	µg/L	<0,90		-				
Naftaleen	µg/L	<0,020	0,014	-	0,02	0,01	35	70
Styreen	µg/L	<0,20	0,14	-	0,2	6	153	300
Vluchtige organische halogeenkoolwaterstoffen								
Dichloormethaan	µg/L	<0,20	0,14	-	0,2	0,01	500	1000
Trichloormethaan	µg/L	<0,20	0,14	-	0,2	6	203	400
Tetrachloormethaan	µg/L	<0,10	0,07	-	0,1	0,01	5	10
Trichlooretheen	µg/L	<0,20	0,14	-	0,2	24	262	500
Tetrachlooretheen	µg/L	<0,10	0,07	-	0,1	0,01	20	40
1,1-Dichloorethaan	µg/L	<0,20	0,14	-	0,2	7	454	900
1,2-Dichloorethaan	µg/L	<0,20	0,14	-	0,2	7	204	400
1,1,1-Trichloorethaan	µg/L	<0,10	0,07	-	0,1	0,01	150	300
1,1,2-Trichloorethaan	µg/L	<0,10	0,07	-	0,1	0,01	65	130
cis 1,2-Dichlooretheen	µg/L	<0,10	0,07	-				
trans 1,2-Dichlooretheen	µg/L	<0,10	0,07	-				
CKW (som)	µg/L	<1,6		-				
Tribroommethaan	µg/L	<0,20	0,14	-				630
Vinylchloride	µg/L	<0,10	0,07	-	0,2	0,01	2,5	5
1,1-Dichlooretheen	µg/L	<0,10	0,07	-	0,1	0,01	5	10
1,2-Dichloorethenen (Som) factor 0,7	µg/L	0,14	0,14	-	0,2	0,01	10	20
1,1-Dichloorpropaan	µg/L	<0,20	0,14	-				
1,2-Dichloorpropaan	µg/L	<0,20	0,14	-				
1,3-Dichloorpropaan	µg/L	<0,20	0,14	-				
Dichloorpropanen som factor 0.7	µg/L	0,42	0,42	-	0,6	0,8	40,4	80
Minerale olie								
Minerale olie (C10-C12)	µg/L	<10	7	-				
Minerale olie (C12-C16)	µg/L	<10	7	-				
Minerale olie (C16-C21)	µg/L	<10	7	-				
Minerale olie (C21-C30)	µg/L	<15	10,5	-				
Minerale olie (C30-C35)	µg/L	<10	7	-				
Minerale olie (C35-C40)	µg/L	<10	7	-				
Minerale olie totaal (C10-C40)	µg/L	<50	35	-	50	50	325	600
Extra parameters								
som 16 aromatische oplosmiddelen	µg/L		0,93	Geen oordeel mogelijk				

Legenda

Nr. Analytico-nr Monster
 1 10136881 101-1-1

Eindoordeel: Voldoet aan Streefwaarde

Gebruikte afkortingen

- kleiner dan of gelijk aan Streefwaarde
 * groter dan Streefwaarde
 ** groter dan Tussenwaarde
 *** groter dan Interventiewaarde

GSSD Gestandaardiseerd gehalte
 RG Vereiste Rapportagegrens
 S Streefwaarde
 T Tussenwaarde
 I Interventiewaarde

Deze toetsing is uitgevoerd met behulp van BoToVa.

Zie voor info: <http://www.rwsleefomgeving.nl/onderwerpen/bodem-ondergrond/bbk/instrumenten/botova/>

N.B.: de vermelde tussenwaarde is door PAIS berekend en is niet afkomstig uit BoToVa

BoToVa T13 Toetsing Wbb grondwater (ondiep)

Projectnummer 01.18.1763
 Projectnaam Geertruidentuin te Deventer
 Ordernummer 01.18.1763
 Datum monsternamen 04-06-2018
 Monsternemer R.W.E.M. Milder
 Certificaatnummer 2018080290
 Startdatum 05-06-2018
 Rapportagedatum 08-06-2018

Analyse	Eenheid	2	GSSD	Oordeel	RG	S	T	I
Metalen								
Barium (Ba)	µg/L	<20	14	-	20	50	338	625
Cadmium (Cd)	µg/L	<0,20	0,14	-	0,2	0,4	3,2	6
Kobalt (Co)	µg/L	<2,0	1,4	-	2	20	60	100
Koper (Cu)	µg/L	<2,0	1,4	-	2	15	45	75
Kwik (Hg)	µg/L	<0,050	0,035	-	0,05	0,05	0,175	0,3
Molybdeen (Mo)	µg/L	<2,0	1,4	-	2	5	153	300
Nikkel (Ni)	µg/L	<3,0	2,1	-	3	15	45	75
Lood (Pb)	µg/L	<2,0	1,4	-	2	15	45	75
Zink (Zn)	µg/L	<10	7	-	10	65	433	800
Vluchtige Aromatische Koolwaterstoffen								
Benzeen	µg/L	<0,20	0,14	-	0,2	0,2	15,1	30
Tolueen	µg/L	0,33	0,33	-	0,2	7	504	1000
Ethylbenzeen	µg/L	<0,20	0,14	-	0,2	4	77	150
o-Xyleen	µg/L	<0,10	0,07	-				
m,p-Xyleen	µg/L	<0,20	0,14	-				
Xylenen (som) factor 0,7	µg/L	0,21	0,21	-	0,2	0,2	35,1	70
BTEX (som)	µg/L	<0,90		-				
Naftaleen	µg/L	<0,020	0,014	-	0,02	0,01	35	70
Styreen	µg/L	<0,20	0,14	-	0,2	6	153	300
Vluchtige organische halogeenkoolwaterstoffen								
Dichloormethaan	µg/L	<0,20	0,14	-	0,2	0,01	500	1000
Trichloormethaan	µg/L	<0,20	0,14	-	0,2	6	203	400
Tetrachloormethaan	µg/L	<0,10	0,07	-	0,1	0,01	5	10
Trichlooretheen	µg/L	<0,20	0,14	-	0,2	24	262	500
Tetrachlooretheen	µg/L	<0,10	0,07	-	0,1	0,01	20	40
1,1-Dichloorethaan	µg/L	<0,20	0,14	-	0,2	7	454	900
1,2-Dichloorethaan	µg/L	<0,20	0,14	-	0,2	7	204	400
1,1,1-Trichloorethaan	µg/L	<0,10	0,07	-	0,1	0,01	150	300
1,1,2-Trichloorethaan	µg/L	<0,10	0,07	-	0,1	0,01	65	130
cis 1,2-Dichlooretheen	µg/L	<0,10	0,07	-				
trans 1,2-Dichlooretheen	µg/L	<0,10	0,07	-				
CKW (som)	µg/L	<1,6		-				
Tribroommethaan	µg/L	<0,20	0,14	-				630
Vinylchloride	µg/L	<0,10	0,07	-	0,2	0,01	2,5	5
1,1-Dichlooretheen	µg/L	<0,10	0,07	-	0,1	0,01	5	10
1,2-Dichloorethenen (Som) factor 0,7	µg/L	0,14	0,14	-	0,2	0,01	10	20
1,1-Dichloorpropaan	µg/L	<0,20	0,14	-				
1,2-Dichloorpropaan	µg/L	<0,20	0,14	-				
1,3-Dichloorpropaan	µg/L	<0,20	0,14	-				
Dichloorpropanen som factor 0.7	µg/L	0,42	0,42	-	0,6	0,8	40,4	80
Minerale olie								
Minerale olie (C10-C12)	µg/L	<10	7	-				
Minerale olie (C12-C16)	µg/L	<10	7	-				
Minerale olie (C16-C21)	µg/L	<10	7	-				
Minerale olie (C21-C30)	µg/L	<15	10,5	-				
Minerale olie (C30-C35)	µg/L	<10	7	-				
Minerale olie (C35-C40)	µg/L	<10	7	-				
Minerale olie totaal (C10-C40)	µg/L	<50	35	-	50	50	325	600
Extra parameters								
som 16 aromatische oplosmiddelen	µg/L		0,96	Geen oordeel mogelijk				

Legenda

Nr. Analytico-nr Monster
 2 10136882 102-1-1

Eindoordeel: Voldoet aan Streefwaarde

Gebruikte afkortingen

- kleiner dan of gelijk aan Streefwaarde
 * groter dan Streefwaarde
 ** groter dan Tussenwaarde
 *** groter dan Interventiewaarde

GSSD Gestandaardiseerd gehalte
 RG Vereiste Rapportagegrens
 S Streefwaarde
 T Tussenwaarde
 I Interventiewaarde

Deze toetsing is uitgevoerd met behulp van BoToVa.

Zie voor info: <http://www.rwsleefomgeving.nl/onderwerpen/bodem-ondergrond/bbk/instrumenten/botova/>

N.B.: de vermelde tussenwaarde is door PAIS berekend en is niet afkomstig uit BoToVa

BoToVa T13 Toetsing Wbb grondwater (ondiep)

Projectnummer 01.18.1763
 Projectnaam Geertruidentuin te Deventer
 Ordernummer 01.18.1763
 Datum monsternamen 04-06-2018
 Monsternemer R.W.E.M. Milder
 Certificaatnummer 2018080290
 Startdatum 05-06-2018
 Rapportagedatum 08-06-2018

Analyse	Eenheid	3	GSSD	Oordeel	RG	S	T	I
Metalen								
Barium (Ba)	µg/L	37	37	-	20	50	338	625
Cadmium (Cd)	µg/L	<0,20	0,14	-	0,2	0,4	3,2	6
Kobalt (Co)	µg/L	<2,0	1,4	-	2	20	60	100
Koper (Cu)	µg/L	<2,0	1,4	-	2	15	45	75
Kwik (Hg)	µg/L	<0,050	0,035	-	0,05	0,05	0,175	0,3
Molybdeen (Mo)	µg/L	<2,0	1,4	-	2	5	153	300
Nikkel (Ni)	µg/L	6	6	-	3	15	45	75
Lood (Pb)	µg/L	<2,0	1,4	-	2	15	45	75
Zink (Zn)	µg/L	<10	7	-	10	65	433	800
Vluchtige Aromatische Koolwaterstoffen								
Benzeen	µg/L	<0,20	0,14	-	0,2	0,2	15,1	30
Tolueen	µg/L	<0,20	0,14	-	0,2	7	504	1000
Ethylbenzeen	µg/L	<0,20	0,14	-	0,2	4	77	150
o-Xyleen	µg/L	<0,10	0,07	-	-	-	-	-
m,p-Xyleen	µg/L	<0,20	0,14	-	-	-	-	-
Xylenen (som) factor 0,7	µg/L	0,21	0,21	-	0,2	0,2	35,1	70
BTEX (som)	µg/L	<0,90	-	-	-	-	-	-
Naftaleen	µg/L	<0,020	0,014	-	0,02	0,01	35	70
Styreen	µg/L	<0,20	0,14	-	0,2	6	153	300
Vluchtige organische halogeenkoolwaterstoffen								
Dichloormethaan	µg/L	<0,20	0,14	-	0,2	0,01	500	1000
Trichloormethaan	µg/L	<0,20	0,14	-	0,2	6	203	400
Tetrachloormethaan	µg/L	<0,10	0,07	-	0,1	0,01	5	10
Trichlooretheen	µg/L	<0,20	0,14	-	0,2	24	262	500
Tetrachlooretheen	µg/L	<0,10	0,07	-	0,1	0,01	20	40
1,1-Dichloorethaan	µg/L	<0,20	0,14	-	0,2	7	454	900
1,2-Dichloorethaan	µg/L	<0,20	0,14	-	0,2	7	204	400
1,1,1-Trichloorethaan	µg/L	<0,10	0,07	-	0,1	0,01	150	300
1,1,2-Trichloorethaan	µg/L	<0,10	0,07	-	0,1	0,01	65	130
cis 1,2-Dichlooretheen	µg/L	<0,10	0,07	-	-	-	-	-
trans 1,2-Dichlooretheen	µg/L	<0,10	0,07	-	-	-	-	-
CKW (som)	µg/L	<1,6	-	-	-	-	-	-
Tribroommethaan	µg/L	<0,20	0,14	-	-	-	-	630
Vinylchloride	µg/L	<0,10	0,07	-	0,2	0,01	2,5	5
1,1-Dichlooretheen	µg/L	<0,10	0,07	-	0,1	0,01	5	10
1,2-Dichloorethenen (Som) factor 0,7	µg/L	0,14	0,14	-	0,2	0,01	10	20
1,1-Dichloorpropaan	µg/L	<0,20	0,14	-	-	-	-	-
1,2-Dichloorpropaan	µg/L	<0,20	0,14	-	-	-	-	-
1,3-Dichloorpropaan	µg/L	<0,20	0,14	-	-	-	-	-
Dichloorpropanen som factor 0.7	µg/L	0,42	0,42	-	0,6	0,8	40,4	80
Minerale olie								
Minerale olie (C10-C12)	µg/L	<10	7	-	-	-	-	-
Minerale olie (C12-C16)	µg/L	<10	7	-	-	-	-	-
Minerale olie (C16-C21)	µg/L	<10	7	-	-	-	-	-
Minerale olie (C21-C30)	µg/L	<15	10,5	-	-	-	-	-
Minerale olie (C30-C35)	µg/L	<10	7	-	-	-	-	-
Minerale olie (C35-C40)	µg/L	<10	7	-	-	-	-	-
Minerale olie totaal (C10-C40)	µg/L	<50	35	-	50	50	325	600
Extra parameters								
som 16 aromatische oplosmiddelen	µg/L		0,77	Geen oordeel mogelijk				

Legenda

Nr. Analytico-nr Monster
 3 10136883 103-1-1

Eindoordeel: Voldoet aan Streefwaarde

Gebruikte afkortingen

- kleiner dan of gelijk aan Streefwaarde
 * groter dan Streefwaarde
 ** groter dan Tussenwaarde
 *** groter dan Interventiewaarde

GSSD Gestandaardiseerd gehalte
 RG Vereiste Rapportagegrens
 S Streefwaarde
 T Tussenwaarde
 I Interventiewaarde

Deze toetsing is uitgevoerd met behulp van BoToVa.

Zie voor info: <http://www.rwsleefomgeving.nl/onderwerpen/bodem-ondergrond/bbk/instrumenten/botova/>

N.B.: de vermelde tussenwaarde is door PAIS berekend en is niet afkomstig uit BoToVa

BoToVa T13 Toetsing Wbb grondwater (ondiep)

Projectnummer 01.18.1763
 Projectnaam Geertruidentuin te Deventer
 Ordernummer 01.18.1763
 Datum monsternamen 04-06-2018
 Monsternemer R.W.E.M. Milder
 Certificaatnummer 2018080290
 Startdatum 05-06-2018
 Rapportagedatum 08-06-2018

Analyse	Eenheid	4	GSSD	Oordeel	RG	S	T	I
Metalen								
Barium (Ba)	µg/L	76	76	*	20	50	338	625
Cadmium (Cd)	µg/L	<0,20	0,14	-	0,2	0,4	3,2	6
Kobalt (Co)	µg/L	<2,0	1,4	-	2	20	60	100
Koper (Cu)	µg/L	3,9	3,9	-	2	15	45	75
Kwik (Hg)	µg/L	<0,050	0,035	-	0,05	0,05	0,175	0,3
Molybdeen (Mo)	µg/L	2	2	-	2	5	153	300
Nikkel (Ni)	µg/L	<3,0	2,1	-	3	15	45	75
Lood (Pb)	µg/L	<2,0	1,4	-	2	15	45	75
Zink (Zn)	µg/L	<10	7	-	10	65	433	800
Vluchtige Aromatische Koolwaterstoffen								
Benzeen	µg/L	<0,20	0,14	-	0,2	0,2	15,1	30
Tolueen	µg/L	0,3	0,3	-	0,2	7	504	1000
Ethylbenzeen	µg/L	<0,20	0,14	-	0,2	4	77	150
o-Xyleen	µg/L	<0,10	0,07	-				
m,p-Xyleen	µg/L	<0,20	0,14	-				
Xylenen (som) factor 0,7	µg/L	0,21	0,21	-	0,2	0,2	35,1	70
BTEX (som)	µg/L	<0,90		-				
Naftaleen	µg/L	<0,020	0,014	-	0,02	0,01	35	70
Styreen	µg/L	<0,20	0,14	-	0,2	6	153	300
Vluchtige organische halogeenkoolwaterstoffen								
Dichloormethaan	µg/L	<0,20	0,14	-	0,2	0,01	500	1000
Trichloormethaan	µg/L	<0,20	0,14	-	0,2	6	203	400
Tetrachloormethaan	µg/L	<0,10	0,07	-	0,1	0,01	5	10
Trichlooretheen	µg/L	<0,20	0,14	-	0,2	24	262	500
Tetrachlooretheen	µg/L	<0,10	0,07	-	0,1	0,01	20	40
1,1-Dichloorethaan	µg/L	<0,20	0,14	-	0,2	7	454	900
1,2-Dichloorethaan	µg/L	<0,20	0,14	-	0,2	7	204	400
1,1,1-Trichloorethaan	µg/L	<0,10	0,07	-	0,1	0,01	150	300
1,1,2-Trichloorethaan	µg/L	<0,10	0,07	-	0,1	0,01	65	130
cis 1,2-Dichlooretheen	µg/L	<0,10	0,07	-				
trans 1,2-Dichlooretheen	µg/L	<0,10	0,07	-				
CKW (som)	µg/L	<1,6		-				
Tribroommethaan	µg/L	<0,20	0,14	-				630
Vinylchloride	µg/L	<0,10	0,07	-	0,2	0,01	2,5	5
1,1-Dichlooretheen	µg/L	<0,10	0,07	-	0,1	0,01	5	10
1,2-Dichloorethenen (Som) factor 0,7	µg/L	0,14	0,14	-	0,2	0,01	10	20
1,1-Dichloorpropaan	µg/L	<0,20	0,14	-				
1,2-Dichloorpropaan	µg/L	<0,20	0,14	-				
1,3-Dichloorpropaan	µg/L	<0,20	0,14	-				
Dichloorpropanen som factor 0.7	µg/L	0,42	0,42	-	0,6	0,8	40,4	80
Minerale olie								
Minerale olie (C10-C12)	µg/L	<10	7	-				
Minerale olie (C12-C16)	µg/L	<10	7	-				
Minerale olie (C16-C21)	µg/L	<10	7	-				
Minerale olie (C21-C30)	µg/L	<15	10,5	-				
Minerale olie (C30-C35)	µg/L	<10	7	-				
Minerale olie (C35-C40)	µg/L	<10	7	-				
Minerale olie totaal (C10-C40)	µg/L	<50	35	-	50	50	325	600
Extra parameters								
som 16 aromatische oplosmiddelen	µg/L		0,93	Geen oordeel mogelijk				

Legenda

Nr. Analytico-nr Monster
 4 10136884 104-1-1

Eindoordeel: Overschrijding Streefwaarde

Gebruikte afkortingen

- kleiner dan of gelijk aan Streefwaarde
 * groter dan Streefwaarde
 ** groter dan Tussenwaarde
 *** groter dan Interventiewaarde

GSSD Gestandaardiseerd gehalte
 RG Vereiste Rapportagegrens
 S Streefwaarde
 T Tussenwaarde
 I Interventiewaarde

Deze toetsing is uitgevoerd met behulp van BoToVa.

Zie voor info: <http://www.rwsleefomgeving.nl/onderwerpen/bodem-ondergrond/bbk/instrumenten/botova/>

N.B.: de vermelde tussenwaarde is door PAIS berekend en is niet afkomstig uit BoToVa

BoToVa T13 Toetsing Wbb grondwater (ondiep)

Projectnummer 01.18.1763
 Projectnaam Geertruidentuin te Deventer
 Ordernummer 01.18.1763
 Datum monsternamen 04-06-2018
 Monsternemer R.W.E.M. Milder
 Certificaatnummer 2018080290
 Startdatum 05-06-2018
 Rapportagedatum 08-06-2018

Analyse	Eenheid	5	GSSD	Oordeel	RG	S	T	I
Metalen								
Barium (Ba)	µg/L	37	37	-	20	50	338	625
Cadmium (Cd)	µg/L	<0,20	0,14	-	0,2	0,4	3,2	6
Kobalt (Co)	µg/L	<2,0	1,4	-	2	20	60	100
Koper (Cu)	µg/L	<2,0	1,4	-	2	15	45	75
Kwik (Hg)	µg/L	<0,050	0,035	-	0,05	0,05	0,175	0,3
Molybdeen (Mo)	µg/L	2,6	2,6	-	2	5	153	300
Nikkel (Ni)	µg/L	<3,0	2,1	-	3	15	45	75
Lood (Pb)	µg/L	<2,0	1,4	-	2	15	45	75
Zink (Zn)	µg/L	<10	7	-	10	65	433	800
Vluchtige Aromatische Koolwaterstoffen								
Benzeen	µg/L	<0,20	0,14	-	0,2	0,2	15,1	30
Tolueen	µg/L	<0,20	0,14	-	0,2	7	504	1000
Ethylbenzeen	µg/L	<0,20	0,14	-	0,2	4	77	150
o-Xyleen	µg/L	<0,10	0,07	-				
m,p-Xyleen	µg/L	<0,20	0,14	-				
Xylenen (som) factor 0,7	µg/L	0,21	0,21	-	0,2	0,2	35,1	70
BTEX (som)	µg/L	<0,90		-				
Naftaleen	µg/L	<0,020	0,014	-	0,02	0,01	35	70
Styreen	µg/L	<0,20	0,14	-	0,2	6	153	300
Vluchtige organische halogeenkoolwaterstoffen								
Dichloormethaan	µg/L	<0,20	0,14	-	0,2	0,01	500	1000
Trichloormethaan	µg/L	<0,20	0,14	-	0,2	6	203	400
Tetrachloormethaan	µg/L	<0,10	0,07	-	0,1	0,01	5	10
Trichlooretheen	µg/L	<0,20	0,14	-	0,2	24	262	500
Tetrachlooretheen	µg/L	<0,10	0,07	-	0,1	0,01	20	40
1,1-Dichloorethaan	µg/L	<0,20	0,14	-	0,2	7	454	900
1,2-Dichloorethaan	µg/L	<0,20	0,14	-	0,2	7	204	400
1,1,1-Trichloorethaan	µg/L	<0,10	0,07	-	0,1	0,01	150	300
1,1,2-Trichloorethaan	µg/L	<0,10	0,07	-	0,1	0,01	65	130
cis 1,2-Dichlooretheen	µg/L	<0,10	0,07	-				
trans 1,2-Dichlooretheen	µg/L	<0,10	0,07	-				
CKW (som)	µg/L	<1,6		-				
Tribroommethaan	µg/L	<0,20	0,14	-				630
Vinylchloride	µg/L	<0,10	0,07	-	0,2	0,01	2,5	5
1,1-Dichlooretheen	µg/L	<0,10	0,07	-	0,1	0,01	5	10
1,2-Dichloorethenen (Som) factor 0,7	µg/L	0,14	0,14	-	0,2	0,01	10	20
1,1-Dichloorpropaan	µg/L	<0,20	0,14	-				
1,2-Dichloorpropaan	µg/L	<0,20	0,14	-				
1,3-Dichloorpropaan	µg/L	<0,20	0,14	-				
Dichloorpropanen som factor 0.7	µg/L	0,42	0,42	-	0,6	0,8	40,4	80
Minerale olie								
Minerale olie (C10-C12)	µg/L	<10	7	-				
Minerale olie (C12-C16)	µg/L	<10	7	-				
Minerale olie (C16-C21)	µg/L	<10	7	-				
Minerale olie (C21-C30)	µg/L	<15	10,5	-				
Minerale olie (C30-C35)	µg/L	<10	7	-				
Minerale olie (C35-C40)	µg/L	<10	7	-				
Minerale olie totaal (C10-C40)	µg/L	<50	35	-	50	50	325	600
Extra parameters								
som 16 aromatische oplosmiddelen	µg/L		0,77	Geen oordeel mogelijk				

Legenda

Nr. Analytico-nr Monster
 5 10136885 105-1-1

Eindoordeel: Voldoet aan Streefwaarde

Gebruikte afkortingen

- kleiner dan of gelijk aan Streefwaarde
 * groter dan Streefwaarde
 ** groter dan Tussenwaarde
 *** groter dan Interventiewaarde

GSSD Gestandaardiseerd gehalte
 RG Vereiste Rapportagegrens
 S Streefwaarde
 T Tussenwaarde
 I Interventiewaarde

Deze toetsing is uitgevoerd met behulp van BoToVa.

Zie voor info: <http://www.rwsleefomgeving.nl/onderwerpen/bodem-ondergrond/bbk/instrumenten/botova/>

N.B.: de vermelde tussenwaarde is door PAIS berekend en is niet afkomstig uit BoToVa

BoToVa T13 Toetsing Wbb grondwater (ondiep)

Projectnummer 01.18.1763
 Projectnaam Geertruidentuin te Deventer
 Ordernummer 01.18.1763
 Datum monsternamen 04-06-2018
 Monsternemer R.W.E.M. Milder
 Certificaatnummer 2018080290
 Startdatum 05-06-2018
 Rapportagedatum 08-06-2018

Analyse	Eenheid	6	GSSD	Oordeel	RG	S	T	I
Metalen								
Barium (Ba)	µg/L	24	24	-	20	50	338	625
Cadmium (Cd)	µg/L	<0,20	0,14	-	0,2	0,4	3,2	6
Kobalt (Co)	µg/L	<2,0	1,4	-	2	20	60	100
Koper (Cu)	µg/L	<2,0	1,4	-	2	15	45	75
Kwik (Hg)	µg/L	<0,050	0,035	-	0,05	0,05	0,175	0,3
Molybdeen (Mo)	µg/L	<2,0	1,4	-	2	5	153	300
Nikkel (Ni)	µg/L	<3,0	2,1	-	3	15	45	75
Lood (Pb)	µg/L	<2,0	1,4	-	2	15	45	75
Zink (Zn)	µg/L	<10	7	-	10	65	433	800
Vluchtige Aromatische Koolwaterstoffen								
Benzeen	µg/L	<0,20	0,14	-	0,2	0,2	15,1	30
Tolueen	µg/L	0,67	0,67	-	0,2	7	504	1000
Ethylbenzeen	µg/L	<0,20	0,14	-	0,2	4	77	150
o-Xyleen	µg/L	<0,10	0,07	-				
m,p-Xyleen	µg/L	<0,20	0,14	-				
Xylenen (som) factor 0,7	µg/L	0,21	0,21	-	0,2	0,2	35,1	70
BTEX (som)	µg/L	<0,90		-				
Naftaleen	µg/L	<0,020	0,014	-	0,02	0,01	35	70
Styreen	µg/L	<0,20	0,14	-	0,2	6	153	300
Vluchtige organische halogeenkoolwaterstoffen								
Dichloormethaan	µg/L	<0,20	0,14	-	0,2	0,01	500	1000
Trichloormethaan	µg/L	<0,20	0,14	-	0,2	6	203	400
Tetrachloormethaan	µg/L	<0,10	0,07	-	0,1	0,01	5	10
Trichlooretheen	µg/L	<0,20	0,14	-	0,2	24	262	500
Tetrachlooretheen	µg/L	<0,10	0,07	-	0,1	0,01	20	40
1,1-Dichloorethaan	µg/L	<0,20	0,14	-	0,2	7	454	900
1,2-Dichloorethaan	µg/L	<0,20	0,14	-	0,2	7	204	400
1,1,1-Trichloorethaan	µg/L	<0,10	0,07	-	0,1	0,01	150	300
1,1,2-Trichloorethaan	µg/L	<0,10	0,07	-	0,1	0,01	65	130
cis 1,2-Dichlooretheen	µg/L	<0,10	0,07	-				
trans 1,2-Dichlooretheen	µg/L	<0,10	0,07	-				
CKW (som)	µg/L	<1,6		-				
Tribroommethaan	µg/L	<0,20	0,14	-				630
Vinylchloride	µg/L	<0,10	0,07	-	0,2	0,01	2,5	5
1,1-Dichlooretheen	µg/L	<0,10	0,07	-	0,1	0,01	5	10
1,2-Dichloorethenen (Som) factor 0,7	µg/L	0,14	0,14	-	0,2	0,01	10	20
1,1-Dichloorpropaan	µg/L	<0,20	0,14	-				
1,2-Dichloorpropaan	µg/L	<0,20	0,14	-				
1,3-Dichloorpropaan	µg/L	<0,20	0,14	-				
Dichloorpropanen som factor 0.7	µg/L	0,42	0,42	-	0,6	0,8	40,4	80
Minerale olie								
Minerale olie (C10-C12)	µg/L	<10	7	-				
Minerale olie (C12-C16)	µg/L	<10	7	-				
Minerale olie (C16-C21)	µg/L	<10	7	-				
Minerale olie (C21-C30)	µg/L	<15	10,5	-				
Minerale olie (C30-C35)	µg/L	<10	7	-				
Minerale olie (C35-C40)	µg/L	<10	7	-				
Minerale olie totaal (C10-C40)	µg/L	<50	35	-	50	50	325	600
Extra parameters								
som 16 aromatische oplosmiddelen	µg/L		1,3	Geen oordeel mogelijk				

Legenda

Nr. Analytico-nr Monster
 6 10136886 201-1-1

Eindoordeel: Voldoet aan Streefwaarde

Gebruikte afkortingen

- kleiner dan of gelijk aan Streefwaarde
 * groter dan Streefwaarde
 ** groter dan Tussenwaarde
 *** groter dan Interventiewaarde

GSSD Gestandaardiseerd gehalte
 RG Vereiste Rapportagegrens
 S Streefwaarde
 T Tussenwaarde
 I Interventiewaarde

Deze toetsing is uitgevoerd met behulp van BoToVa.

Zie voor info: <http://www.rwsleefomgeving.nl/onderwerpen/bodem-ondergrond/bbk/instrumenten/botova/>

N.B.: de vermelde tussenwaarde is door PAIS berekend en is niet afkomstig uit BoToVa

BoToVa T13 Toetsing Wbb grondwater (ondiep)

Projectnummer 01.18.1763
 Projectnaam Geertruidentuin te Deventer
 Ordernummer 01.18.1763
 Datum monstername 04-06-2018
 Monsternemer R.W.E.M. Milder
 Certificaatnummer 2018080290
 Startdatum 05-06-2018
 Rapportagedatum 08-06-2018

Analyse	Eenheid	7	GSSD	Oordeel	RG	S	T	I
Vluchtige Aromatische Koolwaterstoffen								
Benzeen	µg/L	<0,20	0,14	-	0,2	0,2	15,1	30
Tolueen	µg/L	0,41	0,41	-	0,2	7	504	1000
Ethylbenzeen	µg/L	<0,20	0,14	-	0,2	4	77	150
o-Xyleen	µg/L	<0,10	0,07					
m,p-Xyleen	µg/L	<0,20	0,14					
Xylenen (som) factor 0,7	µg/L	0,21	0,21	-	0,2	0,2	35,1	70
BTEX (som)	µg/L	<0,90						
Naftaleen	µg/L	<0,020	0,014	-	0,02	0,01	35	70
Minerale olie								
Minerale olie (C10-C12)	µg/L	<10	7					
Minerale olie (C12-C16)	µg/L	<10	7					
Minerale olie (C16-C21)	µg/L	<10	7					
Minerale olie (C21-C30)	µg/L	<15	10,5					
Minerale olie (C30-C35)	µg/L	<10	7					
Minerale olie (C35-C40)	µg/L	<10	7					
Minerale olie totaal (C10-C40)	µg/L	<50	35	-	50	50	325	600
Extra parameters								
som 16 aromatische oplosmiddelen	µg/L		0,9	Geen oordeel mogelijk				

Legenda

Nr. Analytico-nr Monster
 7 10136887 501-1-1

Eindoordeel: Voldoet aan Streefwaarde

Gebruikte afkortingen

- kleiner dan of gelijk aan Streefwaarde
 * groter dan Streefwaarde
 ** groter dan Tussenwaarde
 *** groter dan Interventiewaarde

GSSD Gestandaardiseerd gehalte
 RG Vereiste Rapportagegrens
 S Streefwaarde
 T Tussenwaarde
 I Interventiewaarde

Deze toetsing is uitgevoerd met behulp van BoToVa.

Zie voor info: <http://www.rwsleefomgeving.nl/onderwerpen/bodem-ondergrond/bbk/instrumenten/botova/>

N.B.: de vermelde tussenwaarde is door PAIS berekend en is niet afkomstig uit BoToVa

BoToVa T13 Toetsing Wbb grondwater (ondiep)

Projectnummer 01.18.1763
Projectnaam Geertruidentuin te Deventer
Ordernummer 01.18.1763
Datum monstername 04-06-2018
Monsternemer R.W.E.M. Milder
Certificaatnummer 2018080290
Startdatum 05-06-2018
Rapportagedatum 08-06-2018

Analyse	Eenheid	8	GSSD	Oordeel	RG	S	T	I
Vluchtige Aromatische Koolwaterstoffen								
Benzeen	µg/L	<0,20	0,14	-	0,2	0,2	15,1	30
Tolueen	µg/L	0,36	0,36	-	0,2	7	504	1000
Ethylbenzeen	µg/L	<0,20	0,14	-	0,2	4	77	150
o-Xyleen	µg/L	<0,10	0,07					
m,p-Xyleen	µg/L	<0,20	0,14					
Xylenen (som) factor 0,7	µg/L	0,21	0,21	-	0,2	0,2	35,1	70
BTEX (som)	µg/L	<0,90						
Naftaleen	µg/L	<0,020	0,014	-	0,02	0,01	35	70
Minerale olie								
Minerale olie (C10-C12)	µg/L	<10	7					
Minerale olie (C12-C16)	µg/L	<10	7					
Minerale olie (C16-C21)	µg/L	<10	7					
Minerale olie (C21-C30)	µg/L	<15	10,5					
Minerale olie (C30-C35)	µg/L	<10	7					
Minerale olie (C35-C40)	µg/L	<10	7					
Minerale olie totaal (C10-C40)	µg/L	<50	35	-	50	50	325	600
Extra parameters								
som 16 aromatische oplosmiddelen	µg/L		0,85	Geen oordeel mogelijk				

Legenda

Nr. Analytico-nr Monster
8 10136888 502-1-1

Eindoordeel: Voldoet aan Streefwaarde

Gebruikte afkortingen

- kleiner dan of gelijk aan Streefwaarde
* groter dan Streefwaarde
** groter dan Tussenwaarde
*** groter dan Interventiewaarde

GSSD Gestandaardiseerd gehalte
RG Vereiste Rapportagegrens
S Streefwaarde
T Tussenwaarde
I Interventiewaarde

Deze toetsing is uitgevoerd met behulp van BoToVa.

Zie voor info: <http://www.rwsleefomgeving.nl/onderwerpen/bodem-ondergrond/bbk/instrumenten/botova/>

N.B.: de vermelde tussenwaarde is door PAIS berekend en is niet afkomstig uit BoToVa

BoToVa T13 Toetsing Wbb grondwater (ondiep)

Projectnummer 01.18.1763
 Projectnaam Geertruidentuin te Deventer
 Ordernummer 01.18.1763
 Datum monstername 04-06-2018
 Monsternemer R.W.E.M. Milder
 Certificaatnummer 2018080290
 Startdatum 05-06-2018
 Rapportagedatum 08-06-2018

Analyse	Eenheid	9	GSSD	Oordeel	RG	S	T	I
Vluchtige Aromatische Koolwaterstoffen								
Benzeen	µg/L	<0,20	0,14	-	0,2	0,2	15,1	30
Tolueen	µg/L	0,26	0,26	-	0,2	7	504	1000
Ethylbenzeen	µg/L	<0,20	0,14	-	0,2	4	77	150
o-Xyleen	µg/L	<0,10	0,07					
m,p-Xyleen	µg/L	<0,20	0,14					
Xylenen (som) factor 0,7	µg/L	0,21	0,21	-	0,2	0,2	35,1	70
BTEX (som)	µg/L	<0,90						
Naftaleen	µg/L	<0,020	0,014	-	0,02	0,01	35	70
Minerale olie								
Minerale olie (C10-C12)	µg/L	<10	7					
Minerale olie (C12-C16)	µg/L	<10	7					
Minerale olie (C16-C21)	µg/L	<10	7					
Minerale olie (C21-C30)	µg/L	<15	10,5					
Minerale olie (C30-C35)	µg/L	<10	7					
Minerale olie (C35-C40)	µg/L	<10	7					
Minerale olie totaal (C10-C40)	µg/L	<50	35	-	50	50	325	600
Extra parameters								
som 16 aromatische oplosmiddelen	µg/L		0,75	Geen oordeel mogelijk				

Legenda

Nr. Analytico-nr Monster
 9 10136889 503-1-1

Eindoordeel: Voldoet aan Streefwaarde

Gebruikte afkortingen

- kleiner dan of gelijk aan Streefwaarde
 * groter dan Streefwaarde
 ** groter dan Tussenwaarde
 *** groter dan Interventiewaarde

GSSD Gestandaardiseerd gehalte
 RG Vereiste Rapportagegrens
 S Streefwaarde
 T Tussenwaarde
 I Interventiewaarde

Deze toetsing is uitgevoerd met behulp van BoToVa.

Zie voor info: <http://www.rwsleefomgeving.nl/onderwerpen/bodem-ondergrond/bbk/instrumenten/botova/>

N.B.: de vermelde tussenwaarde is door PAIS berekend en is niet afkomstig uit BoToVa

BIJLAGE 06

FOTO'S



Foto nabij peilbuis 503



Fietsenstalling met asbestgolfplaten dak zonder dakgoot nabij boring 118, onderliggend klinkers



Open afdak met asbestgolflaat en onverhard, westelijk van boring 509



Zicht op vml polikliniek dermatologie (10)



Vml ketelhuis (1) met ontluchtingen van vml tank nog aan de muur







Peilbuis 501 (in ketelhuis)





Ingang vanaf de H.J.Ph. Fesevurstraat



Zicht op bestaand gebouw, nabij boring 306



Binnenzijde open plaats van gebouwen, verwarmingsketel, nabij boring 119



Zuidoostzijde van bestaand gebouw, zicht op braakliggend terrein



Braakliggende grond, zuidoostzijde locatie



Zijde Ceintuurbaan, nabij transformatorhuisje en peilbuis 502



Asbest dak zonder dakgoot-druppellijnonderzoek 0,0-0,10 m-mv

BIJLAGE 07

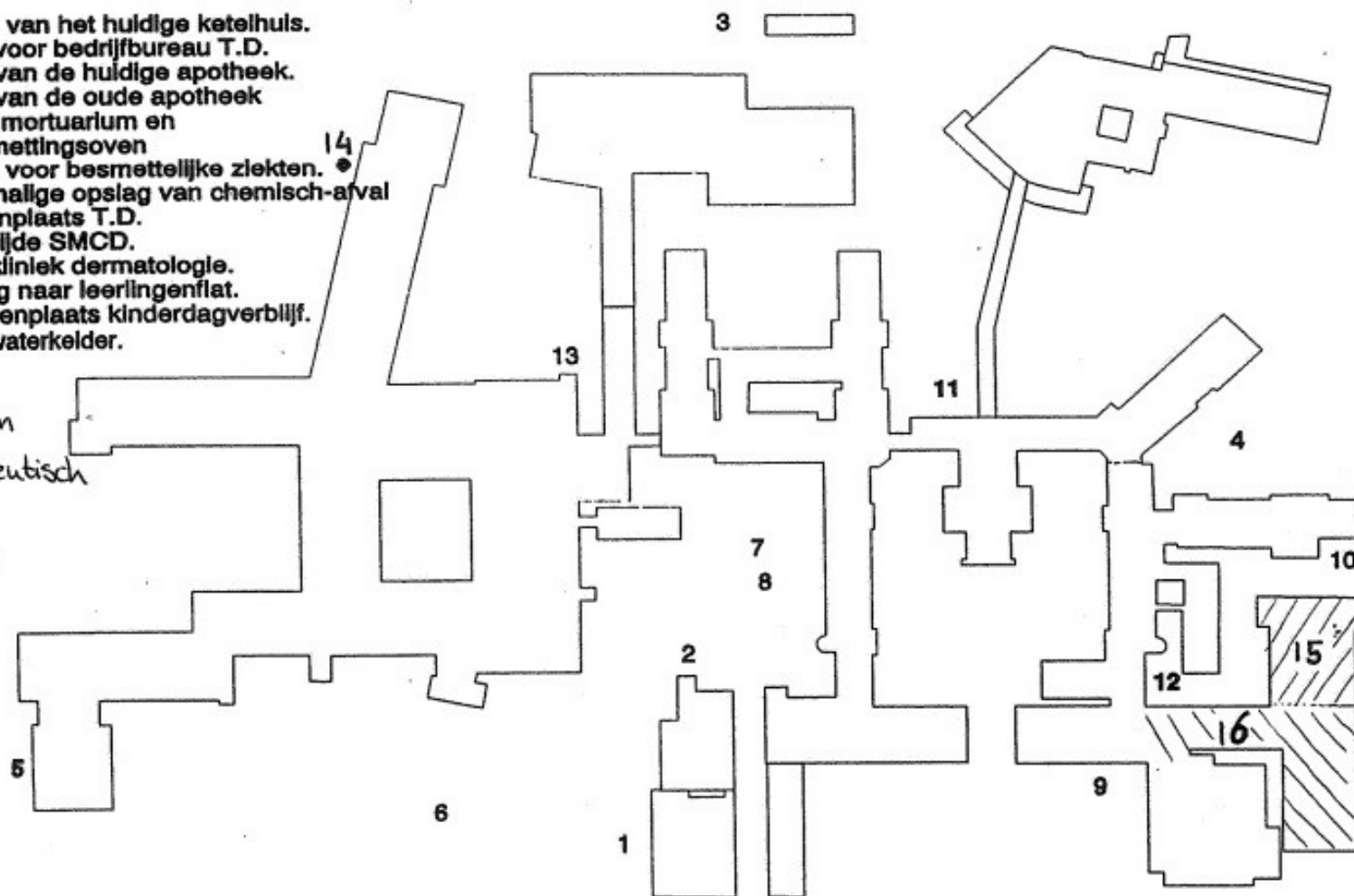
HISTORISCHE INFORMATIE

1. Tanks van het huidige ketelhuis.
2. Tank voor bedrijfsbureau T.D.
3. Tank van de huidige apotheek.
4. Tank van de oude apotheek
5. Oude mortuarium en
ontsmettingsoven
6. Barak voor besmettelijke ziekten.
7. Voormalige opslag van chemisch-afval
8. Binnenplaats T.D.
9. Voorzijde SMCD.
10. Polikliniek dermatologie.
11. Gang naar leerlingenflat.
12. Binnenplaats kinderdagverblijf.
13. Vulwaterkelder.

14. Revalidatie
dagcentrum

15. Radiotherapeutisch
instituut

16. Polikliniek



1e Schil, bovengrond		bodem kwaliteitsklasse:											wonen			Lut = 2,6 %			
Gezoneerd: ja		ontgravingskaart:											wonen			OS = 1,2 %			
	N	Min	5P	25P	50P	75P	80P	90P	95P	Max	Gem	VC	Heterogeniteit	Gem. > Ind.	Risicotoolbox P95 > I	Stoffen	achtergrond waarde	max. waarde wonen	max. waarde industrie
Cd	26	0,28	0,28	0,28	0,28	0,28	0,28	0,35	0,39	0,50	0,30	0,17	0,05	nee	nee	Cd	0,3	0,7	2,4
Cu	26	3,50	4,13	11,00	13,50	23,25	28,00	30,00	37,00	54,00	17,47	0,67	0,46	nee	nee	Cu	19,2	26,0	91,3
Hg	26	0,04	0,04	0,07	0,15	0,22	0,22	0,30	0,38	0,90	0,18	1,00	0,11	nee	nee	Hg	0,1	0,6	3,4
Pb	29	9,10	14,60	40,00	47,00	79,00	99,20	136,00	166,00	170,00	66,93	0,69	0,50	nee	nee	Pb	31,7	133,0	305,7
Ni	26	1,00	3,50	5,33	6,70	9,55	9,90	11,50	12,00	13,00	7,23	0,42	0,36	nee	nee	Ni	12,6	14,1	38,1
Zn	26	21,00	22,25	32,75	48,00	64,50	71,00	80,50	84,75	200,00	54,65	0,65	0,25	nee	nee	Zn	59,7	85,3	306,8
PAK	26	0,14	0,27	0,33	0,74	1,30	1,60	5,20	8,95	12,00	1,87	1,60	0,23	nee	nee	PAK	1,5	6,8	40,0
M.O.	30	14,00	14,00	14,00	35,00	35,00	35,00	35,70	49,15	180,00	33,03	0,91	0,57	nee	nee	M.O.	38,0	38,0	100,0
Cr	26	6,70	7,30	9,05	10,50	13,75	14,00	15,50	16,75	18,00	11,26	0,28	0,14	nee	nee	Cr	30,4	34,2	99,4
As	26	2,80	2,80	2,85	4,55	7,00	7,00	7,00	7,00	7,00	4,93	0,39	0,13	nee	nee	As	11,4	15,4	43,3
EOX	26	0,07	0,07	0,07	0,07	0,07	0,07	0,18	0,28	0,50	0,11	0,91	n.v.t.	n.v.t.	n.v.t.	EOX			

1e Schil, ondergrond		bodem kwaliteitsklasse:											landbouw/natuur			Lut = 3,1 %			
Gezoneerd: ja		ontgravingskaart:											landbouw/natuur			OS = 1,3 %			
	N	Min	5P	25P	50P	75P	80P	90P	95P	Max	Gem	VC	Heterogeniteit	Gem. > Ind.	Risicotoolbox P95 > I	Stoffen	achtergrond waarde	max. waarde wonen	max. waarde industrie
Cd	31	0,28	0,28	0,28	0,28	0,28	0,28	0,28	0,32	0,35	0,28	0,06	0,02	nee	nee	Cd	0,3	0,7	2,5
Cu	31	3,50	3,50	3,50	11,00	18,00	19,00	27,00	35,00	42,00	13,01	0,83	0,43	nee	nee	Cu	19,6	26,4	93,0
Hg	31	0,04	0,04	0,07	0,14	0,14	0,14	0,20	0,38	0,56	0,14	0,83	0,10	nee	nee	Hg	0,1	0,6	3,4
Pb	31	3,50	3,50	9,10	19,00	48,00	53,00	62,00	91,00	100,00	30,71	0,90	0,28	nee	nee	Pb	32,0	134,4	339,1
Ni	31	2,10	3,50	4,85	6,60	9,25	9,70	11,00	12,50	18,00	7,22	0,48	0,37	nee	nee	Ni	13,1	14,5	37,3
Zn	31	6,10	8,30	13,50	19,00	40,50	43,00	82,00	89,00	98,00	30,99	0,87	0,32	nee	nee	Zn	61,1	87,4	314,5
PAK	31	0,01	0,05	0,14	0,28	0,65	0,88	2,10	2,65	10,00	0,86	2,15	0,07	nee	nee	PAK	1,5	6,8	40,0
M.O.	37	7,00	14,00	14,00	35,00	35,00	35,00	35,00	35,00	35,00	28,57	0,35	0,34	nee	nee	M.O.	38,0	38,0	100,0
Cr	33	5,40	5,72	8,00	10,50	12,00	13,60	17,00	18,80	21,00	10,75	0,38	0,19	nee	nee	Cr	30,9	34,8	101,0
As	33	2,80	2,80	3,50	4,10	7,00	7,00	7,00	7,00	7,00	4,98	0,36	0,13	nee	nee	As	11,6	15,6	43,3
EOX	31	0,07	0,07	0,07	0,07	0,07	0,07	0,18	0,21	0,31	0,09	0,61	n.v.t.	n.v.t.	n.v.t.	EOX			



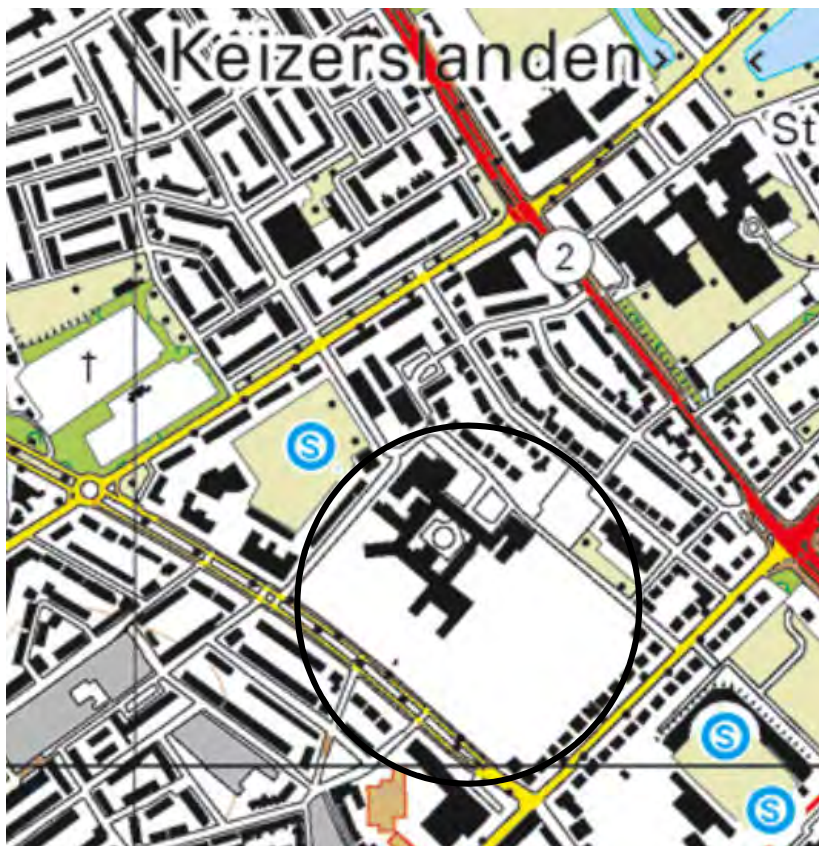
1932



1953



1976



2011



2017

HOOFDSTU

5 Conclusies en aanbevelingen

In opdracht van Deventer Ziekenhuis heeft ARCADIS in juli 2006 een verkennend milieukundig bodemonderzoek verricht ter plaatse van de Geertruidenlocatie te Deventer, aan de Fesevurstraat 7 en 11. Het onderzoek is uitgevoerd in verband met het bouwrijp maken van de locatie voor woningbouw. Het terrein heeft een oppervlakte van circa 6 ha.

5.1

CONCLUSIES

Uit de resultaten van het onderzoek concluderen wij het volgende:

- Tijdens uitvoering van de werkzaamheden is geen asbest of asbestverdacht materiaal aangetroffen, ook niet ter plaatse van de polikliniek.
- In de bovengrond komen licht verhoogde gehalten koper, lood, kwik, zink, PAK en minerale olie voor. Aangezien in zowel de zintuiglijk schone mengmonsters als de mengmonsters met bijmengingen (van voornamelijk baksteen) een overschrijding van de streefwaarde is vastgesteld, kan de oorzaak niet eenduidig aan de bijmengingen worden toegeschreven.
- In de ondergrond is plaatselijk in één mengmonster een concentratie koper boven de streefwaarde aangetroffen. Verder zijn geen verhoogde gehalten aangetoond.
- Het grondwater bevat plaatselijk licht verhoogde gehalten aan chroom, nikkel en/of organische chloorkoolwaterstoffen (vluchtige aromaten). Zware metalen worden vaker in dergelijke gehalten aangetroffen en zijn mogelijk van natuurlijke oorsprong.
- In het grondwatermonster afkomstig uit de peilbuis ter plaatse van de restverontreiniging met minerale olie zijn geen van de geanalyseerde parameters in verhoogde concentraties aangetoond. Hieruit kan worden geconcludeerd dat sinds het beëindigen van de sanering er geen significante nalevering van minerale olie en/of aromatische koolwaterstoffen heeft plaatsgevonden.
- Aangezien op de onderzoekslocatie licht verhoogde gehalten in grond en grondwater zijn aangetoond kan de hypothese 'onverdacht' niet worden gehandhaafd.
- Op basis van het uitgevoerde bodemonderzoek kan worden geconcludeerd dat de bodemkwaliteit geen belemmering vormt voor de voorgenomen herontwikkeling van de locatie.
- Bij graafwerkzaamheden dient wel rekening te worden gehouden met het vrijkomen van licht verontreinigde grond en de beperkte hergebruikmogelijkheden hiervan.

5.2

AANBEVELINGEN


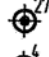




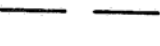
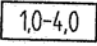
- Aanbevolen wordt de aanwezige restverontreiniging met minerale olie onder de bebouwing te onderzoeken en verwijderen na de sloopwerkzaamheden.
- Wij adviseren om tijdens de sloop rekening te houden met de (mogelijke) aanwezigheid van asbest bouwmaterialen in de opstallen. Eventueel asbesthoudende materialen dienen onder asbestcondities te worden verwijderd en afgevoerd, zodat tijdens de sloopwerkzaamheden geen asbest in de bodem terecht kan komen.

DISCLAIMER

Hoewel het bodemonderzoek op zorgvuldige wijze is voorbereid en uitgevoerd, kan niet worden uitgesloten dat er in werkelijkheid afwijkingen optreden ten opzichte van de in dit rapport gepresenteerde gegevens. Immers, elk bodemonderzoek is gebaseerd op het nemen van een aantal steekmonsters, welke representatief worden geacht voor het onderzochte gebied, maar waarbij (lokale) afwijkingen niet volledig kunnen worden uitgesloten.

BIJLAG 3 Tekening deellocatie 1

LEGENDA

-  boring met nummer
-  peilbuis met nummer
-  diepe peilbuis met nummer
-  tankontluchting
-  vulpunt
-  contourlijn grondwater met minerale olie en/of vluchtige aromaten > S-waarde
-  contourlijn vaste bodem met minerale olie en/of vluchtige aromaten > S-waarde
-  diepte traject (m -mv)

Gebouw K

Ketelhuis
(onderkelderd)

1,0-4,0

contour grondwater

contour vaste bodem

partiers-
loge

trottoir







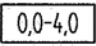




Fesevurstraat

Projectnummer	9602156	Stichting Deventer Ziekenhuizen
Tekening	1-2	
Schaal	1:200	Saneringsplan HBO-tanks aan de Fesevurstraat 7 te deventer
Afmetingen	A4	
Filename	9602156A	Situatie met boringen en peilbuizen en verontreinigingssituatie vaste bodem en grondwater
Datum	27-6-'96	
Getekend	JPdS	



Westdorpplaan 229
Postbus 253
8100 AG Raalte
Tel. 05720-60998
Fax. 05720-51574

LEGENDA

-  boring met nummer
-  peilbuis met nummer
-  diepe peilbuis met nummer
-  tankontluchting
-  vulpunt
-  ontgravingscontour vaste bodem
-  0,0-4,0 ontgravingstraject (m -mv)
-  waterleiding (gielijzer)
-  PTT-kabel
-  drain
-  drainput

Gebouw K

parkeerplaats

inrit

portiers-
loge

0,0-4,0

Ketelhuis
(onderkelderd)

Trottoir

0 2 4 6 8 10m

Fesevurstraat

Projectnummer 9602156

Tekening 2-2

Schaal 1:200

Afmetingen A4

Filename 9602156b

Datum 27-6-'96

Getekend JPdS

Stichting Deventer Ziekenhuizen

Saneringsplan HBO-tanks
aan de Fesevurstraat 7 te deventer

Situatie met ontgravingsplan vaste bodem
en situatie kabels en leidingen

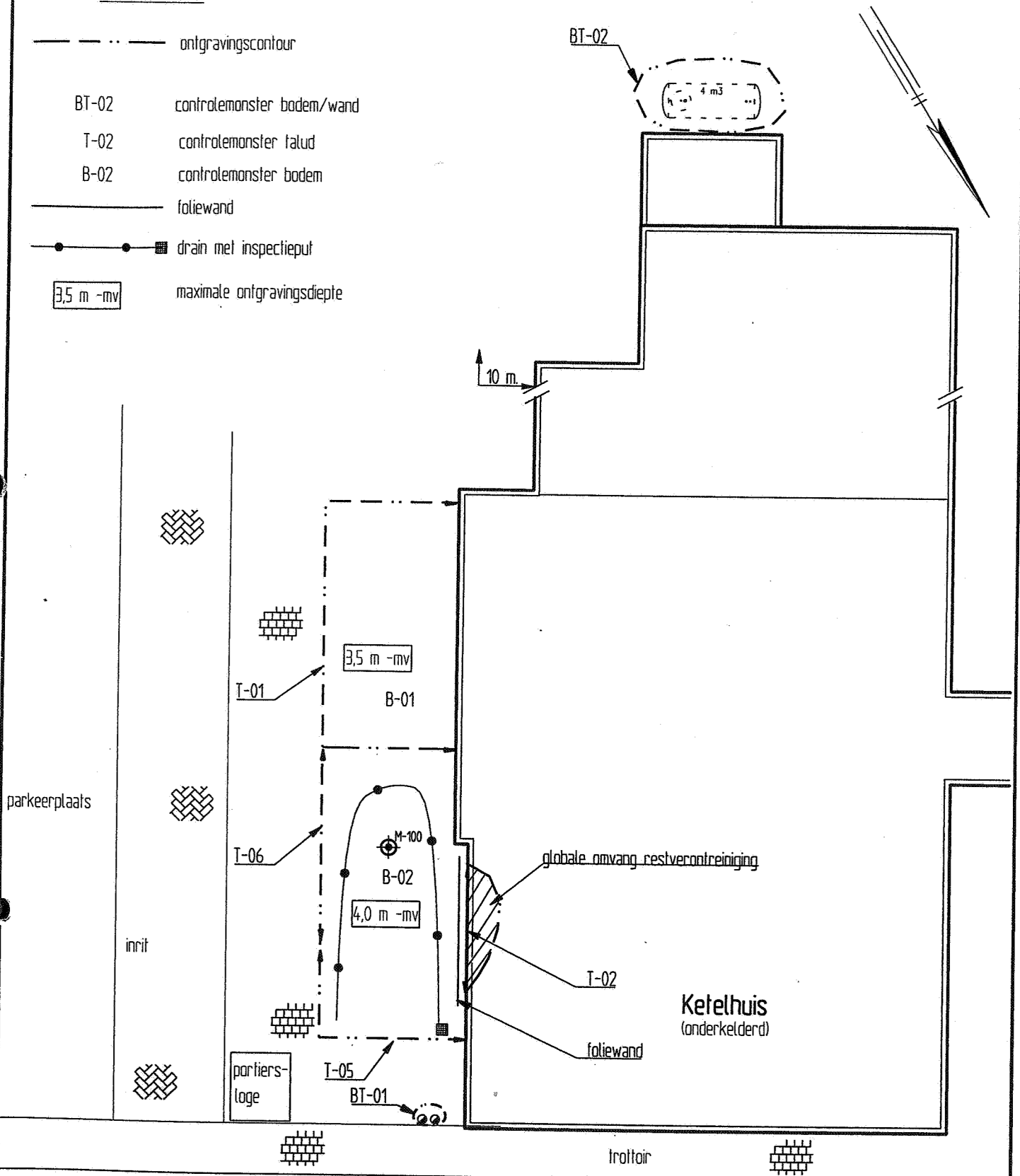


HUNNEMAN
MILIEU - ADVIES

Westdorplein 229
Postbus 253
8100 AG Raalte
Tel. 05720-60998
Fax. 05720-51574

LEGENDA

- ontgravingscontour
- BT-02 controlemonster bodem/wand
- T-02 controlemonster talud
- B-02 controlemonster bodem
- foliewand
- drain met inspectieput
- 3,5 m -mv maximale ontgravingsdiepte



← Fesevurstraat →

Projectnummer	9602182
Tekening	2-2
Schaal	1:200
Afmetingen	A4
Filename	9602182b
Datum	27-12-'96
Getekend	JPdS

Stichting Deventer Ziekenhuizen
 Evaluatie sanering HBO-tanks
 aan de Fesevurstraat 7 te deventer
 Situatie met ontgravingscontouren
 controlemonsters en voorzieningen

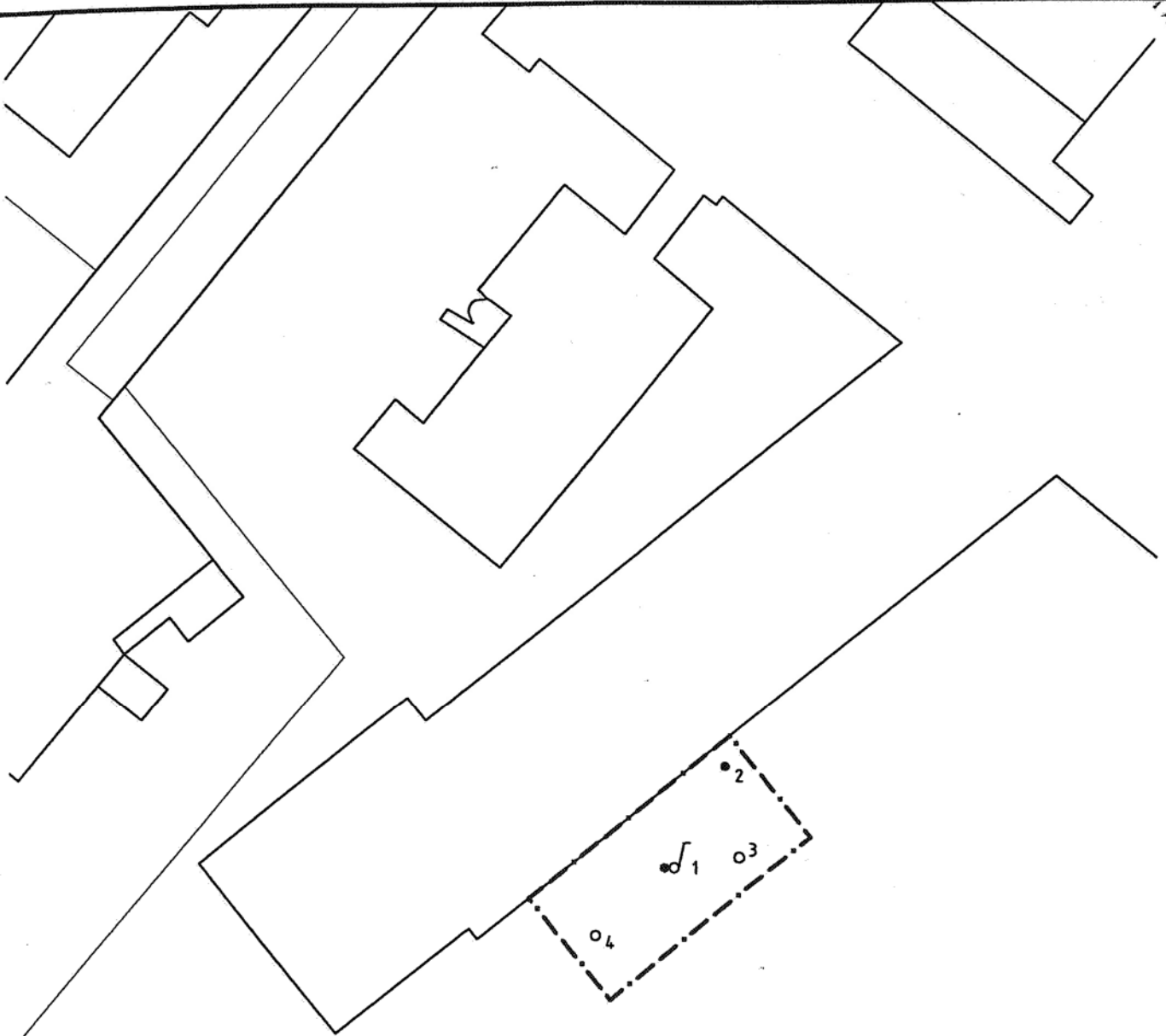


Westoorplein 229
 Postbus 253
 8100 AG Raalte
 Tel. 05720-60998
 Fax. 05720-51574

BIJLAG 4 Tekening deellocatie 14

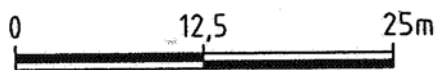
SITUERING MONSTERPUNTEN

Fesevurstr.



Centrum binnen

Linksevening



Legenda

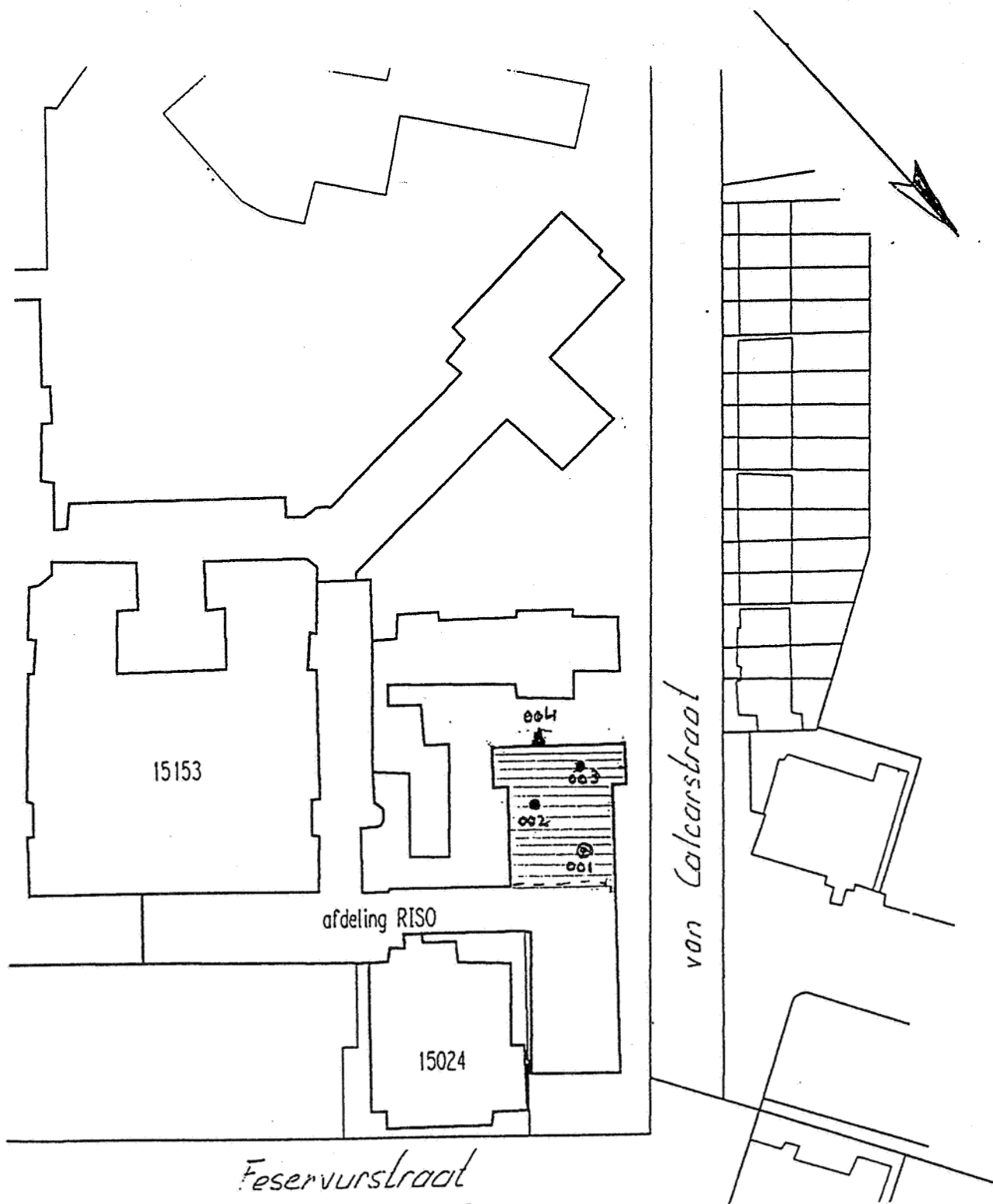
- boring tot 0,5m-mv
- boring tot 2,0m-mv
- ⊕ combinatie boring/peilbuis
- - - - - locatiegrens

Opdrachtgever Stichting Deventer Ziekenhuizen	Schaal 1:500	Status DEFINITIEF
Project Deventer, H.J.P. Fesevurstraat 7 (REV. DAG)	Formaat A4	Projectnummer 4206185
Onderdeel SITUERING MONSTERPUNTEN	Datum 07-02-02 Getek. AAT Oec. <i>[initials]</i>	Tekeningnummer 102



Postbus 133
7400 AC Deventer
Telefoon (0570) 69 99 11
Fax (0570) 69 96 66

BIJLAG 5 Tekening deellocatie 15



Verklaring

● 3 Boringen met nummer tot ca 0,5 m -mv.

⊙ 1 Boringen met nummer tot ca 2,0 m -mv.

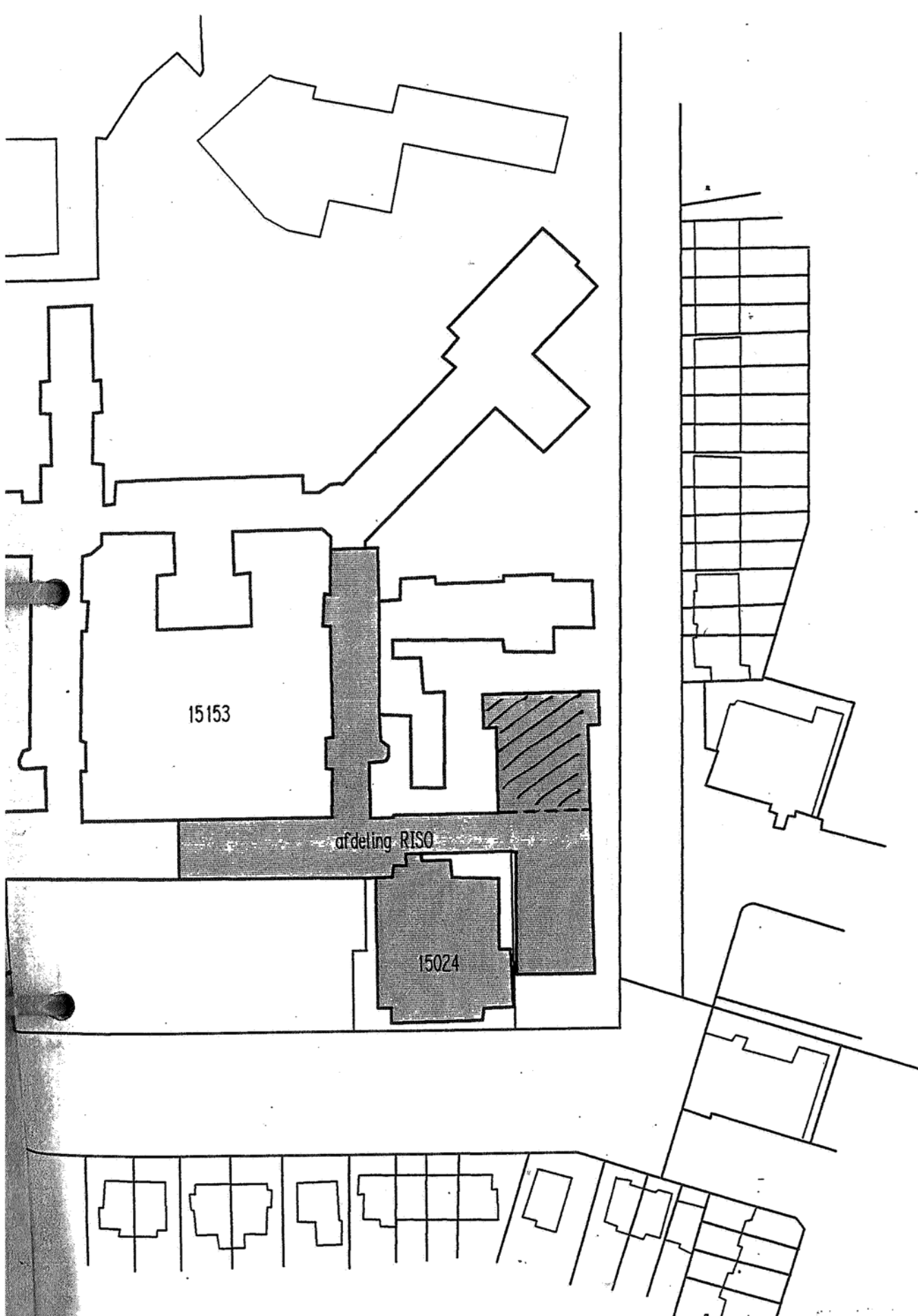
▲ 4 Peilbuis met nummer

▬▬▬ Grens onderzoeksgebied

RADIOTHERAPEUTISCH INSTITUUT

Verkennd onderzoek terrein Feservurstraat 11 te Deventer			Situatietekening met boorpunten en peilbuis
get. 22/9/'98	gec. <i>[Handwritten Signature]</i>	proj.l. M.d.L.	schaal: 1:1000
oranjewoud		Almere Capelle a/d IJssel Deventer Heerenveen Oosterhout	blad 1 in 1 bladen
			reg. nr. 67217-S-1

BIJLAG 6 Tekening deellocatie 16

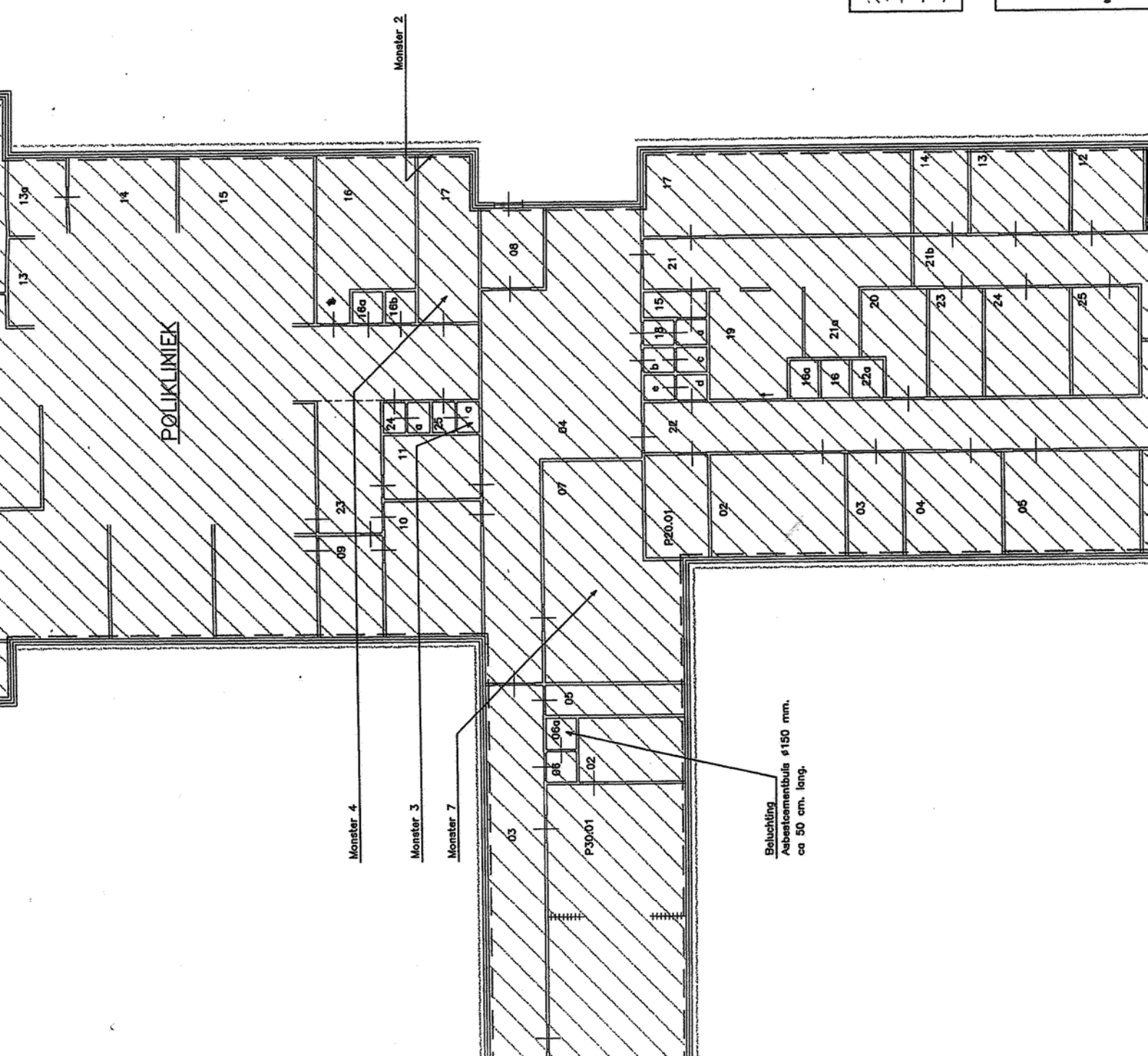


Situatie

Kad. bekend : Deventer
Sectie : B
Kavelnummer: 15153 / 15024
Pl. bekend : Deventer



10 11 12 13 14 15 16 17 18 19 20 21 22 23 24 25 26 27 28 29 30 31 32 33 34 35 36 37 38 39 40 41 42 43 44 45 46 47 48 49 50 51 52 53 54 55 56 57 58 59 60 61 62 63 64 65 66 67 68 69 70 71 72 73 74 75 76 77 78 79 80 81 82 83 84 85 86 87 88 89 90 91 92 93 94 95 96 97 98 99 100



POLIKLINIEK

Monster 4

Monster 3

Monster 7

Monster 2

Beluchting
Asbestcementbuis ø150 mm.
ca 50 cm. lang.

- Plafondbeplating Isontex 9mm.
- Borstwering buitenzijde Eternit Glasd. 6.5 mm.
- Borstwering binnenzijde Isontex 9 mm. hoogte ca. 80 cm.
- Betimmering binnenzijde Isontex 9 mm. hoogte ca. 300 cm.

w k : Asbestonderzoek RISO
H.J.Ph. Fesevarstraat te Deventer

HOOFDSTU

2 Vooronderzoek

In dit hoofdstuk worden de mogelijk verdachte deellocaties ten aanzien van de bodemkwaliteit binnen de onderzoekslocatie beschreven aan de hand van het conform de NVN 5725 uitgevoerde historisch onderzoek. Ten behoeve hiervan zijn bij de gemeente Deventer documenten uit de volgende archieven bestudeerd:

- Archief Wet Milieubeheer;
- Archief (ondergrondse) tanks;
- Bodemonderzoeken;
- Bodeminformatiesysteem.

De milieuvergunning van de locatie zelf was niet aanwezig bij de bestudeerde stukken. Ten behoeve van het historisch onderzoek is de inventarisatie van de Rijkshogeschool Holland en Tauw (beschreven in paragraaf 2.2 en 2.3) als uitgangspunt gehanteerd.

2.1

WET MILIEUBEHEER

Uit bestudering van de archiefstukken is gebleken dat in het kader van de naleving op de milieuvergunning een aantal milieucontroles zijn uitgevoerd. Voor zover bekend hebben deze plaatsgevonden op:

- 15 juli 1994;
- 7 september 1994;
- 10 mei 1995;
- 13 oktober 1995;
- 9 december 1996;
- 12 juli 1997;
- 16 januari 1998;
- 18 november 2004;
- 14 april 2005;
- 2 november 2005;
- 27 januari 2006.

Met betrekking tot de bodemkwaliteit zijn tijdens deze milieucontroles geen ernstige schendingen geconstateerd. Enkele malen is melding gemaakt van opslag van olie- of andere chemische producten welke niet in een lekbak waren geplaatst. Bij hercontrole bleken de overtredingen beëindigd en is geen melding gemaakt van aangetroffen verontreiniging.

2.2

ONDERGRONDSE TANKS

Binnen de locatie zijn in totaal 5 ondergrondse tanks aanwezig geweest. Deze zijn alle in het najaar van 1996 verwijderd. Bij zowel de gemeente Deventer als het Geertruiden ziekenhuis zijn de verwijderingscertificaten hiervan niet bekend, maar in een brief van de gemeente Deventer, d.d. 3 maart 2003, wordt bevestigd dat deze kennis bij beide partijen bekend is.

De Rijkshogeschool IJsselland heeft, in samenwerking met Tauw, alle verdachte locaties binnen het plangebied onderzocht (weergegeven in bijlage 2). Ook de locaties van de 5 ondergrondse tanks (deellocaties 1 t/m 4 in bijlage 2; deellocatie 1 betreft 2 tanks) zijn alle onderzocht. Enkel ter plaatse van het ketelhuis is een verontreiniging aangetroffen. De aanpak daarvan staat hieronder beschreven.

2.3

BESTUDEERDE BODEMONDERZOEKEN

Op verschillende plaatsen binnen de onderzoekslocatie is kleinschalig bodemonderzoek uitgevoerd. Aanleiding hiervoor was de aanvraag van een bouwvergunning, of vanwege een aanpassing in de milieuvergunningen.

Hieronder zullen eerst de geraadpleegde onderzoeken worden opgesomd. Vervolgens zullen aan de hand van een overzichtstekening de resultaten worden besproken en verdachte deelgebieden benoemd.

1. Oriënterend onderzoek Geertruiden Gasthuis te Deventer, d.d. 4 november 1994. Rijkshogeschool IJsselland in samenwerking met Tauw Milieu;
2. Nader bodemonderzoek ter plaatse van tanks bij ketelhuis, d.d. 1995. Tauw Milieu, kenmerk R34192581H01;
3. Saneringsplan HBO-tanks, locatie Fesevurstraat 7 (St. Geertruiden Gasthuis) te Deventer, d.d. juli 1996. Hunneman Milieu advies, projectnummer 96.02.156;
4. Evaluatie sanering HBO-tanks, d.d. december 1996. Hunneman milieu advies, kenmerk 96.02.186;
5. Verkennend bodemonderzoek Fesevurstraat 11, d.d. 22 september 1998. Oranjewoud, kenmerk 15009-67217;
6. Verkennend bodemonderzoek Fesevurstraat 7 te Deventer, locatie revalidatie Dagbehandeling, d.d. 15 februari 2002. Tauw Milieu, projectnummer 4206185;
7. Bodemonderzoek naar aanleiding van calamiteit Fesevurstraat 7, d.d. 22 oktober 2003. Tauw Milieu, kenmerk B001-4313456WDO;
8. Saneringsplan calamiteit Fesevurstraat 7, d.d. 26 november 2003. Tauw milieu, kenmerk 4313456WDO;
9. Evaluatierapport sanering Fesevurstraat 7, d.d. 29 januari 2004. Tauw Milieu, kenmerk 43134556AFP;

Overige onderzoeken

10. Asbestonderzoek semi-permanent gebouw van de Polikliniek van het RISO, d.d. 4 februari 1998. B&C Milieuconsultancy BV, rapportnummer 98.05.1.

2.4

RESULTATEN BODEMONDERZOEK

In deze paragraaf worden de resultaten van de bodemonderzoeken besproken aan de hand van een overzichtstekening van de onderzoekslocatie (bijlage 2). Verwijzingen in de tekst naar deellocaties zijn terug te vinden op deze tekening. De eventuele detailkaarten van mogelijk verdachte deellocaties zijn weergegeven in bijlage 3 t/m 6.

Fesevurstraat 7

Deellocatie 1

De rapportages [1, 2, 3 en 4] bevatten de onderzoeksresultaten, het saneringsplan en de saneringsevaluatie met betrekking tot de locatie van de twee ondergrondse tanks (inhoud 2 x 30.000 l.) ter plaatse van het ketelhuis. Gedetailleerde tekeningen van deze deellocatie zijn opgenomen in bijlage 3.

Er is destijds een verontreiniging met minerale olie in grond en grondwater aangetoond op een diepte van 2,5 – 3,5 m-mv. Sanering heeft plaatsgevonden door middel van ontgraven (132,5 ton grond) en onttrekken van grondwater (in totaal 5.000 m³). De sanering heeft plaatsgevonden in 1996.

Onder de aanwezige bebouwing is restverontreiniging in de grond achtergebleven (gehalte verhoogd ten opzichte van streefwaarde). Deze is middels een foliewand geïsoleerd. Het grondwater is wel voldoende gesaneerd. Na sloop van de aanwezige bebouwing dient de nog aanwezige verontreiniging nader te worden onderzocht en eventueel ingekaderd.

Deellocatie 6

Op de parkeerplaats ter plaatse van Fesevurstraat 7 heeft in 2003 een calamiteit met een bovengrondse dieseltank plaatsgevonden, waarbij in totaal 2 m³ grond verontreinigd is geraakt met olieproducten [7, 8]. Deze verontreiniging is gesaneerd, waarbij in 2004 in het evaluatierapport [9] wordt opgemerkt dat de aangetroffen concentratie minerale olie ter plaatse van de calamiteit onder de streefwaarde gelegen is.

Deellocatie 14

In het kader van een aanvraag voor een bouwvergunning is door Tauw een verkennend bodemonderzoek uitgevoerd [6] aan de zuidzijde van de huidige onderzoekslocatie. Het betrof een oppervlak van 240 m². Een gedetailleerde tekening van deze deellocatie is opgenomen in bijlage 4. In het onderzoek bleek enkel de ondergrond licht verontreinigd met minerale olie. In de bovengrond en het grondwater zijn geen verhoogde concentraties aangetroffen.

Fesevurstraat 11

Deellocatie 15

In het kader van een aanvraag voor een bouwvergunning is door Oranjewoud in 1998 een verkennend bodemonderzoek uitgevoerd [5]. De locatie betrof 400 m², waarvan een gedetailleerde tekening is opgenomen in bijlage 5. In de bovengrond is minerale olie boven de streefwaarde aangetoond. Verder zijn zowel in grond als grondwater geen verhoogde concentraties aangetroffen. Nader onderzoek werd niet noodzakelijk geacht.

Deellocatie 16

In het kader van een nieuwe aanvraag Wm-vergunning is in februari 1998 ter plaatse van de polikliniek een asbestcontrole uitgevoerd door B&C Milieuconsultancy [11]. Een gedetailleerde tekening van het gecontroleerde gebouw is opgenomen in bijlage 6. Ter plaatse is asbest aangetroffen in de borstweringen, de buitengevels, de plafondbedekking en één belichtingsbuis in de toiletruimte.

Overige deellocaties

Op basis van het uitgevoerde onderzoek [1,2] zijn de overige onderzochte deellocaties niet verdacht ten aanzien van de aanwezigheid van mogelijk bodembedreigende activiteiten en/of stoffen.

2.5**CONCLUSIES HISTORISCH ONDERZOEK**

Uit het historisch onderzoek is naar voren gekomen dat zich op de locatie één verdachte deellocatie bevindt. Het betreft de restverontreiniging van de gesaneerde ondergrondse tanks ter plaatse van het ketelhuis. De aanvullende onderzoeksinspanning staat beschreven bij de onderzoeksopzet (paragraaf 3.2).

Op basis van het uitgevoerde historisch onderzoek concluderen wij dat de locatie niet verdacht is ten aanzien van de aanwezigheid van asbestverdacht materiaal. Aangezien de bebouwing nog aanwezig is, wordt er niet van uitgegaan dat asbest in de bodem terecht is gekomen.

2.6**BODEMOPBOUW EN GRONDWATER*****Bodemopbouw***

Omdat de onderzoekslocatie in stedelijk gebied ligt, is deze niet opgenomen op de Bodemkaart van Nederland (TNO 1974, kaart 33 oost). Uit de boorprofielen blijkt dat de bodem ter plaatse, tot de maximaal verkende diepte van 6,50 m-mv., voornamelijk uit zwak tot matig siltig, matig tot zeer fijn zand bestaat. De bovengrond is plaatselijk zwak humeus. In de ondergrond zijn plaatselijk kleilaagjes aangetroffen.

Grondwater

Het grondwater bevindt zich op een diepte van circa 3,0 – 4,0 m-mv. De regionale grondwaterstromingsrichting is zuidwestelijk gericht, richting de rivier de IJssel. Door onttrekkingen of waterlopen kan de lokale stromingsrichting worden beïnvloed.

BIJLAGE 08

VELDWERK INFORMATIE

Opdrachtgever : Infrasoil BV
 Contactpersoon : B. Versteeg-Scholten
 Datum uitvoering : 23 mei 2018
 Betreft : Deventer
 Onze referentie : V9666
 Uw referentie : 01.18.1763

Bij < 10% aanvullende maatregelen in overleg met HVK-er

Sleuf / Gat codering: 224
 Massa voor zeven: 288 kg
 Massa na zeven <20mm: 288 kg
 Vochtpercentage: 11%
 Soortelijk gewicht: 16
 Laag van: 5 tot 80 cm-mv
 Soort bijmenging:

Afmeting gat of sleuf: L=30 X B=30 x D=20 (cm)
 Inschatting bodemvreemd materiaal <20mm=0%
 Inschatting bodemvreemd materiaal >20mm=0%
 Gewicht emmer:kg
 MM-nummer: MMA03 MM-codering en barcodes zie digitaal veldwerkbestand

Sleuf / Gat codering: 224
 Massa voor zeven: 72 kg
 Massa na zeven <20mm: 72 kg
 Vochtpercentage: 5%
 Soortelijk gewicht: 16
 Laag van: 20 tot 70 cm-mv
 Soort bijmenging:

Afmeting gat of sleuf: L=30 X B=30 x D=50 (cm)
 Inschatting bodemvreemd materiaal <20mm=1%
 Inschatting bodemvreemd materiaal >20mm=10,5%
 Gewicht emmer:kg
 MM-nummer: MMA04 MM-codering en barcodes zie digitaal veldwerkbestand

Sleuf / Gat codering: 204
 Massa voor zeven: 282 kg
 Massa na zeven <20mm: 287 kg
 Vochtpercentage: 11%
 Soortelijk gewicht: 16
 Laag van: 0 tot 80 cm-mv
 Soort bijmenging:

Afmeting gat of sleuf: L=30 X B=30 x D=30 (cm)
 Inschatting bodemvreemd materiaal <20mm=10,5%
 Inschatting bodemvreemd materiaal >20mm=10,5%
 Gewicht emmer:kg
 MM-nummer: MMA04 MM-codering en barcodes zie digitaal veldwerkbestand

Sleuf / Gat codering: 204
 Massa voor zeven: 432 kg
 Massa na zeven <20mm: 432 kg
 Vochtpercentage:%
 Soortelijk gewicht: 16
 Laag van: 20 tot 50 cm-mv
 Soort bijmenging:

Afmeting gat of sleuf: L=30 X B=30 x D=30 (cm)
 Inschatting bodemvreemd materiaal <20mm=0%
 Inschatting bodemvreemd materiaal >20mm=0%
 Gewicht emmer:kg
 MM-nummer: MM-codering en barcodes zie digitaal veldwerkbestand

* zie Digitaal veldwerkbestand en foto's (aanvinken)
 Uitvoering: * machinaal handmatig graven handmatig boren (minimaal Ø 120mm: * ja)
 Uitvoering: * Maaiveldinspectie Lengte.....M X Breedte.....=.....M2
 Aantal boringen tot 2m -mv:

(MM codering = MengMonstercodering)

LOCATIEGEVENS

(VISUELE) OMSTANDIGHEDEN
 Neerslag: geen * <10mm * >10mm per dag; * regen * hagel * sneeuw
 Tijdstip uitvoering overdag tussen: 9.00 uur en 15.00 uur
 Zicht: * <50M >50M
 Bedekking maaiveld? * <25% >25% vegetatie * plassen * anders nl.:
 Inschatting inspectie-efficiency (%) 150%
 Vegetatie verwijderd? Nee * Ja, bedekkingsgraad na verwijdering: * < 25% * > 25%
 Asbestverdacht materiaal aangetroffen nee * ja, (en aangeven op de kaart!!!)
 Monstercodering: A7M01
 Sleufnummer: maaiveld
 Soort Asbestverdacht materiaal: kit
 Gewicht in kg: 0,050 kg

LET OP:

Plaats van elk proefvlak / raster, elk gat, elke sleuf, boringen en elke foto aangeven op kaart !!!

TOETS UITVOERING

Afwijkingen van VKB protocol 2018, NEN 5897 of NEN 5707: Nee * Ja, aard en motivatie afwijkingen (evt. achterzijde):
 Naam erkend medewerker : Rob Milder
 Paraaf erkend medewerker: [Handtekening]
 Versie 140617

ASBESTVELDVERSLAG

(protocol 2018)
WWW.VCMI.NL



Opdrachtgever : Infrasoil BV
 Contactpersoon : B. Versteeg-Scholten
 Datum uitvoering : 23 mei 2018
 Betreft : Deventer
 Onze referentie : V9666

Uw referentie 01.18.1763

Bij < 10% aanvullende maatregelen in overleg met HVK-er

Sleuf / Gat codering: 203

Massa voor zeven: 289 kg
 Massa na zeven <20mm: 285 kg
 Vochtpercentage: 12%
 Soortelijk gewicht: 1,6
 Afmeting gat of sleuf: L=30 X B=30 x D=20 (cm)
 Laag van 0 tot 80 cm-mv
 Inschatting bodemvreemd materiaal <20mm=50,5%
 Soort bijmenging:
 Inschatting bodemvreemd materiaal >20mm=1%
 Soort bijmenging:
 Gewicht emmer.....kg
 MM-nummer: MMA04 MM-codering en barcodes zie digitaal veldwerkbestand

Sleuf / Gat codering: 203

Massa voor zeven: 432 kg
 Massa na zeven <20mm: 432 kg
 Vochtpercentage:%
 Soortelijk gewicht: 1,6
 Afmeting gat of sleuf: L=30 X B=30 x D=30 (cm)
 Laag van 20 tot 50 cm-mv
 Inschatting bodemvreemd materiaal <20mm=0%
 Soort bijmenging:
 Inschatting bodemvreemd materiaal >20mm=0%
 Soort bijmenging:
 Gewicht emmer.....kg
 MM-nummer: MMA03 MM-codering en barcodes zie digitaal veldwerkbestand

Sleuf / Gat codering: 301

Massa voor zeven: 72 kg
 Massa na zeven <20mm: 71,3 kg
 Vochtpercentage: 21%
 Soortelijk gewicht: 1,6
 Afmeting gat of sleuf: L=30 X B=30 x D=50 (cm)
 Laag van 0 tot 50 cm-mv
 Inschatting bodemvreemd materiaal <20mm=0,5%
 Soort bijmenging:
 Inschatting bodemvreemd materiaal >20mm=1%
 Soort bijmenging:
 Gewicht emmer.....kg
 MM-nummer: MMA04 MM-codering en barcodes zie digitaal veldwerkbestand

Sleuf / Gat codering: 202

Massa voor zeven: 72 kg
 Massa na zeven <20mm: 71,6 kg
 Vochtpercentage: 10%
 Soortelijk gewicht: 1,6
 Afmeting gat of sleuf: L=30 X B=30 x D=50 (cm)
 Laag van 0 tot 50 cm-mv
 Inschatting bodemvreemd materiaal <20mm=0,5%
 Soort bijmenging:
 Inschatting bodemvreemd materiaal >20mm=0,5%
 Soort bijmenging:
 Gewicht emmer.....kg
 MM-nummer: MMA04 MM-codering en barcodes zie digitaal veldwerkbestand

Sleuf / Gat codering: 302

Massa voor zeven: 432 kg
 Massa na zeven <20mm: 432 kg
 Vochtpercentage: 10%
 Soortelijk gewicht: 1,6
 Afmeting gat of sleuf: L=30 X B=30 x D=30 (cm)
 Laag van 0 tot 30 cm-mv
 Inschatting bodemvreemd materiaal <20mm=0%
 Soort bijmenging:
 Inschatting bodemvreemd materiaal >20mm=0%
 Soort bijmenging:
 Gewicht emmer.....kg
 MM-nummer: MMA07 MM-codering en barcodes zie digitaal veldwerkbestand

Sleuf / Gat codering: 302

Massa voor zeven: 288 kg
 Massa na zeven <20mm: 286 kg
 Vochtpercentage:%
 Soortelijk gewicht: 1,6
 Afmeting gat of sleuf: L=30 X B=30 x D=20 (cm)
 Laag van 30 tot 50 cm-mv
 Inschatting bodemvreemd materiaal <20mm=50,5%
 Soort bijmenging:
 Inschatting bodemvreemd materiaal >20mm=0,5%
 Soort bijmenging:
 Gewicht emmer.....kg
 MM-nummer: MMA02 MM-codering en barcodes zie digitaal veldwerkbestand

Sleuf / Gat codering: 210

Massa voor zeven: 72 kg
 Massa na zeven <20mm: 71,7 kg
 Vochtpercentage: 11%
 Soortelijk gewicht: 1,6
 Afmeting gat of sleuf: L=30 X B=30 x D=50 (cm)
 Laag van 0 tot 50 cm-mv
 Inschatting bodemvreemd materiaal <20mm=50,5%
 Soort bijmenging:
 Inschatting bodemvreemd materiaal >20mm=50,5%
 Soort bijmenging:
 Gewicht emmer.....kg
 MM-nummer: MMA02 MM-codering en barcodes zie digitaal veldwerkbestand

Sleuf / Gat codering: 303

Massa voor zeven: 36 kg
 Massa na zeven <20mm: 36 kg
 Vochtpercentage: 10%
 Soortelijk gewicht: 1,6
 Afmeting gat of sleuf: L=30 X B=30 x D=25 (cm)
 Laag van 5 tot 30 cm-mv
 Inschatting bodemvreemd materiaal <20mm=0%
 Soort bijmenging:
 Inschatting bodemvreemd materiaal >20mm=0%
 Soort bijmenging:
 Gewicht emmer.....kg
 MM-nummer: MMA01 MM-codering en barcodes zie digitaal veldwerkbestand

Naam uitvoerende: Rob Milder
 Pagina: 2 van 2

Paraaf uitvoerende: [Handwritten Signature]

Opdrachtgever : Infrasoil BV
 Contactpersoon : B. Versteeg-Scholten
 Datum uitvoering : 23 mei 2018
 Betreft : Deventer
 Onze referentie : V9666
 Uw referentie : 01.18.1763

Bij < 10% aanvullende maatregelen in overleg met HVK-er

Sleuf / Gat codering: 303
 Massa voor zeven: 229 kg
 Massa na zeven <20mm: 286 kg
 Vochtpercentage:%
 Soortelijk gewicht: 16
 Afmeting gat of sleuf: L=30 X B=30 x D=20 (cm)
 Laag van 0 tot 50 cm-mv
 Inschatting bodemvreemd materiaal <20mm=305%
 Soort bijmenging:
 Inschatting bodemvreemd materiaal >20mm=65%
 Soort bijmenging:
 Gewicht emmer:kg
 MM-nummer: MMA02 MM-codering en barcodes zie digitaal veldwerkbestand

Sleuf / Gat codering: 213
 Massa voor zeven: 72 kg
 Massa na zeven <20mm: 712 kg
 Vochtpercentage: 12%
 Soortelijk gewicht: 16
 Afmeting gat of sleuf: L=30 X B=30 x D=50 (cm)
 Laag van 0 tot 50 cm-mv
 Inschatting bodemvreemd materiaal <20mm=95%
 Soort bijmenging:
 Inschatting bodemvreemd materiaal >20mm=1%
 Soort bijmenging:
 Gewicht emmer:kg
 MM-nummer: MMA02 MM-codering en barcodes zie digitaal veldwerkbestand

Sleuf / Gat codering: 225
 Massa voor zeven: 72 kg
 Massa na zeven <20mm: 713 kg
 Vochtpercentage: 14%
 Soortelijk gewicht: 16
 Afmeting gat of sleuf: L=30 X B=30 x D=50 (cm)
 Laag van 0 tot 50 cm-mv
 Inschatting bodemvreemd materiaal <20mm=305%
 Soort bijmenging:
 Inschatting bodemvreemd materiaal >20mm=1%
 Soort bijmenging:
 Gewicht emmer:kg
 MM-nummer: MMA05 MM-codering en barcodes zie digitaal veldwerkbestand

Sleuf / Gat codering: 209
 Massa voor zeven: 72 kg
 Massa na zeven <20mm: 712 kg
 Vochtpercentage: 10%
 Soortelijk gewicht: 16
 Afmeting gat of sleuf: L=30 X B=30 x D=50 (cm)
 Laag van 0 tot 50 cm-mv
 Inschatting bodemvreemd materiaal <20mm=305%
 Soort bijmenging:
 Inschatting bodemvreemd materiaal >20mm=1%
 Soort bijmenging:
 Gewicht emmer:kg
 MM-nummer: MMA06 MM-codering en barcodes zie digitaal veldwerkbestand

Sleuf / Gat codering: 200
 Massa voor zeven: 72 kg
 Massa na zeven <20mm: 70 kg
 Vochtpercentage: 11%
 Soortelijk gewicht: 16
 Afmeting gat of sleuf: L=30 X B=30 x D=50 (cm)
 Laag van 0 tot 50 cm-mv
 Inschatting bodemvreemd materiaal <20mm=1%
 Soort bijmenging:
 Inschatting bodemvreemd materiaal >20mm=3%
 Soort bijmenging:
 Gewicht emmer:kg
 MM-nummer: MMA06 MM-codering en barcodes zie digitaal veldwerkbestand

Sleuf / Gat codering: 215
 Massa voor zeven: 72 kg
 Massa na zeven <20mm: 692 kg
 Vochtpercentage: 16%
 Soortelijk gewicht: 16
 Afmeting gat of sleuf: L=30 X B=30 x D=50 (cm)
 Laag van 0 tot 50 cm-mv
 Inschatting bodemvreemd materiaal <20mm=1%
 Soort bijmenging:
 Inschatting bodemvreemd materiaal >20mm=4%
 Soort bijmenging:
 Gewicht emmer:kg
 MM-nummer: MMA06 MM-codering en barcodes zie digitaal veldwerkbestand

Sleuf / Gat codering: 217
 Massa voor zeven: 72 kg
 Massa na zeven <20mm: 69 kg
 Vochtpercentage: 10%
 Soortelijk gewicht: 16
 Afmeting gat of sleuf: L=30 X B=30 x D=50 (cm)
 Laag van 0 tot 50 cm-mv
 Inschatting bodemvreemd materiaal <20mm=1%
 Soort bijmenging:
 Inschatting bodemvreemd materiaal >20mm=4%
 Soort bijmenging:
 Gewicht emmer:kg
 MM-nummer: MMA06 MM-codering en barcodes zie digitaal veldwerkbestand

Sleuf / Gat codering: 226
 Massa voor zeven: 72 kg
 Massa na zeven <20mm: 712 kg
 Vochtpercentage: 18%
 Soortelijk gewicht: 16
 Afmeting gat of sleuf: L=30 X B=30 x D=50 (cm)
 Laag van 0 tot 50 cm-mv
 Inschatting bodemvreemd materiaal <20mm=305%
 Soort bijmenging:
 Inschatting bodemvreemd materiaal >20mm=1%
 Soort bijmenging:
 Gewicht emmer:kg
 MM-nummer: MMA06 MM-codering en barcodes zie digitaal veldwerkbestand

Naam uitvoerende: Rob Milder Paraaf uitvoerende: [Handwritten Signature]
 Pagina : 3 van 3

Opdrachtgever : Infrasoil BV
 Contactpersoon : B. Versteeg-Scholten
 Datum uitvoering : 23 mei 2018
 Betreft : Deventer
 Onze referentie : V9666
 Uw referentie : 01.18.1763

Bij < 10% aanvullende maatregelen in overleg met HVK-er

Sleuf / Gat codering: 112
 Massa voor zeven: 77 kg
 Massa na zeven <20mm: 684 kg
 Afmeting gat of sleuf: L=30 X B=30 x D=50 (cm)
 Inschatting bodemvreemd materiaal <20mm= 0,5%
 Inschatting bodemvreemd materiaal >20mm= 5%
 Gewicht emmer:kg
 MM-nummer: MMA05 MM-codering en barcodes zie digitaal veldwerkbestand

Vochtpercentage: 10%
 Soortelijk gewicht: 1,6
 Laag van 0 tot 50 cm-mv
 Soort bijmenging:

Sleuf / Gat codering: 214
 Massa voor zeven: 77 kg
 Massa na zeven <20mm: 622 kg
 Afmeting gat of sleuf: L=30 X B=30 x D=50 (cm)
 Inschatting bodemvreemd materiaal <20mm= 0,5%
 Inschatting bodemvreemd materiaal >20mm= 5%
 Gewicht emmer:kg
 MM-nummer: MMA05 MM-codering en barcodes zie digitaal veldwerkbestand

Vochtpercentage: 12%
 Soortelijk gewicht: 1,6
 Laag van 0 tot 50 cm-mv
 Soort bijmenging:

Sleuf / Gat codering: 211
 Massa voor zeven: 77 kg
 Massa na zeven <20mm: 717 kg
 Afmeting gat of sleuf: L=30 X B=30 x D=50 (cm)
 Inschatting bodemvreemd materiaal <20mm= 0,5%
 Inschatting bodemvreemd materiaal >20mm= 1%
 Gewicht emmer:kg
 MM-nummer: MMA05 MM-codering en barcodes zie digitaal veldwerkbestand

Vochtpercentage: 11%
 Soortelijk gewicht: 1,6
 Laag van 0 tot 50 cm-mv
 Soort bijmenging:

Sleuf / Gat codering: 205
 Massa voor zeven: 77 kg
 Massa na zeven <20mm: 692 kg
 Afmeting gat of sleuf: L=30 X B=30 x D=50 (cm)
 Inschatting bodemvreemd materiaal <20mm= 1%
 Inschatting bodemvreemd materiaal >20mm= 4%
 Gewicht emmer:kg
 MM-nummer: MMA05 MM-codering en barcodes zie digitaal veldwerkbestand

Vochtpercentage: 10%
 Soortelijk gewicht: 1,6
 Laag van 0 tot 50 cm-mv
 Soort bijmenging:

Sleuf / Gat codering: 221
 Massa voor zeven: 77 kg
 Massa na zeven <20mm: 70 kg
 Afmeting gat of sleuf: L=30 X B=30 x D=50 (cm)
 Inschatting bodemvreemd materiaal <20mm= 0,5%
 Inschatting bodemvreemd materiaal >20mm= 3%
 Gewicht emmer:kg
 MM-nummer: MMA05 MM-codering en barcodes zie digitaal veldwerkbestand

Vochtpercentage: 10%
 Soortelijk gewicht: 1,6
 Laag van 0 tot 50 cm-mv
 Soort bijmenging:

Sleuf / Gat codering: 223
 Massa voor zeven: 77 kg
 Massa na zeven <20mm: 70 kg
 Afmeting gat of sleuf: L=30 X B=30 x D=50 (cm)
 Inschatting bodemvreemd materiaal <20mm= 0,5%
 Inschatting bodemvreemd materiaal >20mm= 3%
 Gewicht emmer:kg
 MM-nummer: MMA07 MM-codering en barcodes zie digitaal veldwerkbestand

Vochtpercentage: 12%
 Soortelijk gewicht: 1,6
 Laag van 0 tot 50 cm-mv
 Soort bijmenging:

Sleuf / Gat codering: 216
 Massa voor zeven: 77 kg
 Massa na zeven <20mm: 705 kg
 Afmeting gat of sleuf: L=30 X B=30 x D=50 (cm)
 Inschatting bodemvreemd materiaal <20mm= 0,5%
 Inschatting bodemvreemd materiaal >20mm= 2%
 Gewicht emmer:kg
 MM-nummer: MMA05 MM-codering en barcodes zie digitaal veldwerkbestand

Vochtpercentage: 10%
 Soortelijk gewicht: 1,6
 Laag van 0 tot 50 cm-mv
 Soort bijmenging:

Sleuf / Gat codering: 217
 Massa voor zeven: 77 kg
 Massa na zeven <20mm: 69 kg
 Afmeting gat of sleuf: L=30 X B=30 x D=50 (cm)
 Inschatting bodemvreemd materiaal <20mm= 1%
 Inschatting bodemvreemd materiaal >20mm= 4%
 Gewicht emmer:kg
 MM-nummer: MMA05 MM-codering en barcodes zie digitaal veldwerkbestand

Vochtpercentage: 11%
 Soortelijk gewicht: 1,6
 Laag van 0 tot 50 cm-mv
 Soort bijmenging:

Naam uitvoerende: : Bob Mildor
 Pagina : 4 van
 Paraaf uitvoerende:

Opdrachtgever	: Infrasoil BV	Uw referentie	01.18.1763
Contactpersoon	: B. Versteeg-Scholten		
Datum uitvoering	: <u>23</u> mei 2018		
Betreft	: Deventer		
Onze referentie	: V9666		

Bij < 10% aanvullende maatregelen in overleg met HVK-er

Sleuf / Gat codering: <u>206</u>		Vochtpercentage: <u>12</u> %
Massa voor zeven: <u>72</u> kg	Massa na zeven <20mm: <u>70,5</u> kg	Soortelijk gewicht: <u>1,6</u>
Afmeting gat of sleuf: L= <u>30</u> x B= <u>30</u> x D= <u>50</u> (cm)		Laag van <u>0</u> tot <u>50</u> cm-mv
Inschatting bodemvreemd materiaal <20mm= <u>95</u> %		Soort bijmenging:
Inschatting bodemvreemd materiaal >20mm= <u>2</u> %		Soort bijmenging:
Gewicht emmer: kg	MM-nummer: <u>MM1905</u>	<input checked="" type="checkbox"/> MM-codering en barcodes zie digitaal veldwerkbestand

Sleuf / Gat codering:		Vochtpercentage:
Massa voor zeven: kg	Massa na zeven <20mm: kg	Soortelijk gewicht:
Afmeting gat of sleuf: L= x B= x D= (cm)		Laag van tot cm-mv
Inschatting bodemvreemd materiaal <20mm=		Soort bijmenging:
Inschatting bodemvreemd materiaal >20mm=		Soort bijmenging:
Gewicht emmer: kg	MM-nummer:	<input type="checkbox"/> MM-codering en barcodes zie digitaal veldwerkbestand

Sleuf / Gat codering:		Vochtpercentage:
Massa voor zeven: kg	Massa na zeven <20mm: kg	Soortelijk gewicht:
Afmeting gat of sleuf: L= x B= x D= (cm)		Laag van tot cm-mv
Inschatting bodemvreemd materiaal <20mm=		Soort bijmenging:
Inschatting bodemvreemd materiaal >20mm=		Soort bijmenging:
Gewicht emmer: kg	MM-nummer:	<input type="checkbox"/> MM-codering en barcodes zie digitaal veldwerkbestand


Sleuf / Gat codering:		Vochtpercentage:
Massa voor zeven: kg	Massa na zeven <20mm: kg	Soortelijk gewicht:
Afmeting gat of sleuf: L= x B= x D= (cm)		Laag van tot cm-mv
Inschatting bodemvreemd materiaal <20mm=		Soort bijmenging:
Inschatting bodemvreemd materiaal >20mm=		Soort bijmenging:
Gewicht emmer: kg	MM-nummer:	<input type="checkbox"/> MM-codering en barcodes zie digitaal veldwerkbestand

Sleuf / Gat codering:		Vochtpercentage:
Massa voor zeven: kg	Massa na zeven <20mm: kg	Soortelijk gewicht:
Afmeting gat of sleuf: L= x B= x D= (cm)		Laag van tot cm-mv
Inschatting bodemvreemd materiaal <20mm=		Soort bijmenging:
Inschatting bodemvreemd materiaal >20mm=		Soort bijmenging:
Gewicht emmer: kg	MM-nummer:	<input type="checkbox"/> MM-codering en barcodes zie digitaal veldwerkbestand

Sleuf / Gat codering:		Vochtpercentage:
Massa voor zeven: kg	Massa na zeven <20mm: kg	Soortelijk gewicht:
Afmeting gat of sleuf: L= x B= x D= (cm)		Laag van tot cm-mv
Inschatting bodemvreemd materiaal <20mm=		Soort bijmenging:
Inschatting bodemvreemd materiaal >20mm=		Soort bijmenging:
Gewicht emmer: kg	MM-nummer:	<input type="checkbox"/> MM-codering en barcodes zie digitaal veldwerkbestand

Sleuf / Gat codering:		Vochtpercentage:
Massa voor zeven: kg	Massa na zeven <20mm: kg	Soortelijk gewicht:
Afmeting gat of sleuf: L= x B= x D= (cm)		Laag van tot cm-mv
Inschatting bodemvreemd materiaal <20mm=		Soort bijmenging:
Inschatting bodemvreemd materiaal >20mm=		Soort bijmenging:
Gewicht emmer: kg	MM-nummer:	<input type="checkbox"/> MM-codering en barcodes zie digitaal veldwerkbestand

Sleuf / Gat codering:		Vochtpercentage:
Massa voor zeven: kg	Massa na zeven <20mm: kg	Soortelijk gewicht:
Afmeting gat of sleuf: L= x B= x D= (cm)		Laag van tot cm-mv
Inschatting bodemvreemd materiaal <20mm=		Soort bijmenging:
Inschatting bodemvreemd materiaal >20mm=		Soort bijmenging:
Gewicht emmer: kg	MM-nummer:	<input type="checkbox"/> MM-codering en barcodes zie digitaal veldwerkbestand

Naam uitvoerende:	: <u>Rob Milder</u>	Paraaf uitvoerende:	
Pagina	: <u>5</u> van		

Opdrachtgever : Infrasoil BV
 Contactpersoon : B. Versteeg-Scholten
 Datum uitvoering : 4-6 mei 2018
 Betreft : Deventer
 Onze referentie : V9666 Uw referentie 01.18.1763

Bij < 10% aanvullende maatregelen in overleg met HVK-er

Sleuf / Gat codering: 305
 Massa voor zeven: 72 kg Massa na zeven <20mm: 65 kg Vochtpercentage: 13,5%
 Afmeting gat of sleuf: L=30 X B=30 x D=50 (cm) Soortelijk gewicht: 1,6
 Inschatting bodemvreemd materiaal <20mm=5,5% Laag van 0 tot 50 cm-mv
 Inschatting bodemvreemd materiaal >20mm=1,0% Soort bijmenging:
 Gewicht emmer: kg MM-nummer: *separaat Bemonsterd.* Soort bijmenging:
 MM-codering en barcodes zie digitaal veldwerkbestand

Sleuf / Gat codering: 306
 Massa voor zeven: 72 kg Massa na zeven <20mm: 70,1 kg Vochtpercentage: 13,5%
 Afmeting gat of sleuf: L=30 X B=30 x D=50 (cm) Soortelijk gewicht: 1,6
 Inschatting bodemvreemd materiaal <20mm=9,5% Laag van 0 tot 50 cm-mv
 Inschatting bodemvreemd materiaal >20mm=2,2% Soort bijmenging:
 Gewicht emmer: kg MM-nummer: *MM07* Soort bijmenging:
 MM-codering en barcodes zie digitaal veldwerkbestand

Sleuf / Gat codering: 305
 Massa voor zeven: 72 kg Massa na zeven <20mm: 72,3 kg Vochtpercentage: 13,5%
 Afmeting gat of sleuf: L=30 X B=30 x D=50 (cm) Soortelijk gewicht: 1,6
 Inschatting bodemvreemd materiaal <20mm=9,5% Laag van 0 tot 50 cm-mv
 Inschatting bodemvreemd materiaal >20mm=1,1% Soort bijmenging:
 Gewicht emmer: kg MM-nummer: *MM07* Soort bijmenging:
 MM-codering en barcodes zie digitaal veldwerkbestand

Sleuf / Gat codering: 230
 Massa voor zeven: 72 kg Massa na zeven <20mm: 71,3 kg Vochtpercentage: 13,2%
 Afmeting gat of sleuf: L=30 X B=30 x D=50 (cm) Soortelijk gewicht: 1,6
 Inschatting bodemvreemd materiaal <20mm=9,5% Laag van 0 tot 50 cm-mv
 Inschatting bodemvreemd materiaal >20mm=1,1% Soort bijmenging:
 Gewicht emmer: kg MM-nummer: *MM07* Soort bijmenging:
 MM-codering en barcodes zie digitaal veldwerkbestand

* zie Digitaal veldwerkbestand en foto's (aanvinken) (MM codering = MengMonstercodering)

Uitvoering: * machinaal * handmatig graven * handmatig boren (minimaal Ø 120mm: * ja)
 Uitvoering: * Maaiveldinspectie Lengte.....M X Breedte.....=.....M2
 Aantal boringen tot 2m -mv:

LOCATIEGEVENS

(VISUELE) OMSTANDIGHEDEN

Neerslag: geen * <10mm * >10mm per dag; * regen * hagel * sneeuw
 Tijdstip uitvoering overdag tussen: :uur en :uur
 Zicht: * <50M * >50M
 Bedekking maaiveld? * <25% * >25% * vegetatie * plassen * anders nl.:
 Inschatting inspectie-efficiency (%) 5,25%
 Vegetatie verwijderd? * Nee * Ja, bedekkingsgraad na verwijdering: * < 25% * > 25%

Asbestverdacht materiaal aangetroffen: nee * ja, (en aangeven op de kaart!!!)

Monstercodering:	Monstercodering:
Sleufnummer:	Sleufnummer:
Soort Asbestverdacht materiaal:	Soort Asbestverdacht materiaal
Gewicht in kg:	Gewicht in kg:

LET OP:

Plaats van elk proefvlak / raster, elk gat, elke sleuf, boringen en elke foto aangeven op kaart !!!

TOETS UITVOERING

Afwijkingen van VKB protocol 2018, NEN 5897 of NEN 5707: * Nee * Ja, aard en motivatie afwijkingen (evt. achterzijde):
 Naam erkend medewerker : *Rob Milder* Paraaf erkend medewerker:
 Versie 140617

Opdrachtgever	: Infrasoil BV	
Contactpersoon	: B. Versteeg-Scholten	
Datum uitvoering	: <u>4-6 mei</u> 2018	
Betreft	: Deventer	
Onze referentie	: V9666	Uw referentie 01.18.1763

Bij < 10% aanvullende maatregelen in overleg met HVK-er

Sleuf / Gat codering: <u>222</u>		Vochtpercentage: <u>13,2</u> %
Massa voor zeven: <u>7,2</u> kg	Massa na zeven <20mm: <u>7,7</u> kg	Soortelijk gewicht: <u>1,6</u>
Afmeting gat of sleuf: L= <u>30</u> X B= <u>30</u> x D= <u>50</u> (cm)		Laag van <u>0</u> tot <u>50</u> cm-mv
Inschatting bodemvreemd materiaal <20mm= <u>40,5</u> %		Soort bijmenging:
Inschatting bodemvreemd materiaal >20mm= <u>0,5</u> %		Soort bijmenging:
Gewicht emmer:.....kg	MM-nummer: <u>MM187</u>	<input checked="" type="checkbox"/> MM-codering en barcodes zie digitaal veldwerkbestand

Sleuf / Gat codering: <u>219</u>		Vochtpercentage: <u>13,2</u> %
Massa voor zeven: <u>7,2</u> kg	Massa na zeven <20mm: <u>6,8</u> kg	Soortelijk gewicht: <u>3,6</u>
Afmeting gat of sleuf: L= <u>30</u> X B= <u>30</u> x D= <u>50</u> (cm)		Laag van <u>0</u> tot <u>50</u> cm-mv
Inschatting bodemvreemd materiaal <20mm= <u>1</u> %		Soort bijmenging:
Inschatting bodemvreemd materiaal >20mm= <u>3</u> %		Soort bijmenging:
Gewicht emmer:.....kg	MM-nummer: <u>MM187</u>	<input checked="" type="checkbox"/> MM-codering en barcodes zie digitaal veldwerkbestand

Sleuf / Gat codering: <u>220</u>		Vochtpercentage: <u>13,2</u> %
Massa voor zeven: <u>7,2</u> kg	Massa na zeven <20mm: <u>7,7</u> kg	Soortelijk gewicht: <u>1,6</u>
Afmeting gat of sleuf: L= <u>30</u> X B= <u>30</u> x D= <u>50</u> (cm)		Laag van <u>0</u> tot <u>50</u> cm-mv
Inschatting bodemvreemd materiaal <20mm= <u>40,5</u> %		Soort bijmenging:
Inschatting bodemvreemd materiaal >20mm= <u>0</u> %		Soort bijmenging:
Gewicht emmer:.....kg	MM-nummer: <u>MM187</u>	<input checked="" type="checkbox"/> MM-codering en barcodes zie digitaal veldwerkbestand


Sleuf / Gat codering: <u>222</u>		Vochtpercentage: <u>13,2</u> %
Massa voor zeven: <u>7,2</u> kg	Massa na zeven <20mm: <u>6,8</u> kg	Soortelijk gewicht: <u>1,6</u>
Afmeting gat of sleuf: L= <u>30</u> X B= <u>30</u> x D= <u>50</u> (cm)		Laag van <u>0</u> tot <u>50</u> cm-mv
Inschatting bodemvreemd materiaal <20mm= <u>40,5</u> %		Soort bijmenging:
Inschatting bodemvreemd materiaal >20mm= <u>3</u> %		Soort bijmenging:
Gewicht emmer:.....kg	MM-nummer: <u>MM187</u>	<input checked="" type="checkbox"/> MM-codering en barcodes zie digitaal veldwerkbestand

Sleuf / Gat codering: <u>222</u>		Vochtpercentage: <u>13,2</u> %
Massa voor zeven: <u>7,2</u> kg	Massa na zeven <20mm: <u>7,5</u> kg	Soortelijk gewicht: <u>3,6</u>
Afmeting gat of sleuf: L= <u>30</u> X B= <u>30</u> x D= <u>50</u> (cm)		Laag van <u>0</u> tot <u>50</u> cm-mv
Inschatting bodemvreemd materiaal <20mm= <u>40,5</u> %		Soort bijmenging:
Inschatting bodemvreemd materiaal >20mm= <u>2</u> %		Soort bijmenging:
Gewicht emmer:.....kg	MM-nummer: <u>MM187</u>	<input checked="" type="checkbox"/> MM-codering en barcodes zie digitaal veldwerkbestand

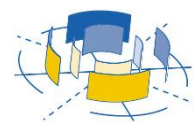
Sleuf / Gat codering:		Vochtpercentage:.....%
Massa voor zeven:..... kg	Massa na zeven <20mm:..... kg	Soortelijk gewicht:.....
Afmeting gat of sleuf: L=..... X B=..... x D=..... (cm)		Laag van.....tot..... cm-mv
Inschatting bodemvreemd materiaal <20mm=.....%		Soort bijmenging:.....
Inschatting bodemvreemd materiaal >20mm=.....%		Soort bijmenging:.....
Gewicht emmer:.....kg	MM-nummer:.....	<input type="checkbox"/> MM-codering en barcodes zie digitaal veldwerkbestand

Sleuf / Gat codering:.....		Vochtpercentage:.....%
Massa voor zeven:..... kg	Massa na zeven <20mm:..... kg	Soortelijk gewicht:.....
Afmeting gat of sleuf: L=..... X B=..... x D=..... (cm)		Laag van.....tot..... cm-mv
Inschatting bodemvreemd materiaal <20mm=.....%		Soort bijmenging:.....
Inschatting bodemvreemd materiaal >20mm=.....%		Soort bijmenging:.....
Gewicht emmer:.....kg	MM-nummer:.....	<input type="checkbox"/> MM-codering en barcodes zie digitaal veldwerkbestand

Sleuf / Gat codering:.....		Vochtpercentage:.....%
Massa voor zeven:..... kg	Massa na zeven <20mm:..... kg	Soortelijk gewicht:.....
Afmeting gat of sleuf: L=..... X B=..... x D=..... (cm)		Laag van.....tot..... cm-mv
Inschatting bodemvreemd materiaal <20mm=.....%		Soort bijmenging:.....
Inschatting bodemvreemd materiaal >20mm=.....%		Soort bijmenging:.....
Gewicht emmer:.....kg	MM-nummer:.....	<input type="checkbox"/> MM-codering en barcodes zie digitaal veldwerkbestand

Naam uitvoerende:	: <u>Bob Milder</u>	Paraaf uitvoerende:	
Pagina	: van		

Bijlage 8 Waterstructuurplan



Waterstructuurplan

Ontwikkeling Geertruiduin
versie 02

Projectnummer
01.17.1634

Autorisatie
Redactie:
T.J. Ouwehand

Paraaf
TJ

Datum
08-04-2019

Status
Definitief

Eindredactie/kwaliteitscontrole:
R.J. Kwakkel

Paraaf
RK

Datum
08-04-2019

Colofon

Opdrachtgever : Synchron Ontwikkelaars B.V.
Project : Ontwikkeling Geertruidentuin
Projectnummer : 01.17.1634
Titel : Waterstructuurplan
Datum : 08-04-2019
Redactie : T.J. Ouwehand
Eindredactie : R.J. Kwakkel
Versie : 02

Infrasoil

Postadres: Postbus 409, 3900 AK Veenendaal
Telefoon: 0318-611810
Internet: www.infrasoil.nl

© Infrasoil, 2019

De rechten van intellectueel eigendom verblijven te allen tijde bij Infrasoil

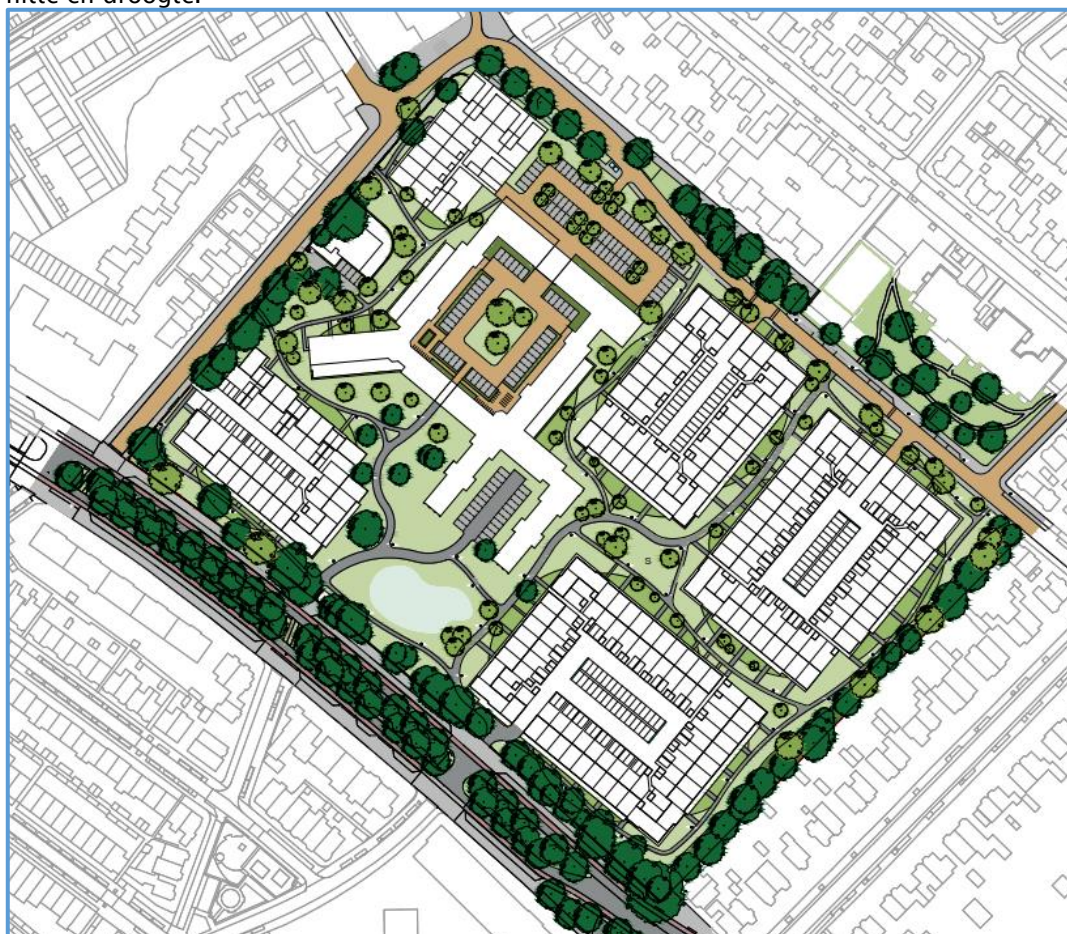
Inhoudsopgave

1	Inleiding	4
1.1	Algemeen	4
1.2	Brondocumenten	4
2	Locatiegegevens	5
2.1	Algemene informatie	5
2.2	Historische gegevens	5
2.3	Bodemopbouw en geohydrologie	6
2.4	Grondwaterpeil	6
2.5	Oppervlaktewater	6
2.6	Riolering	7
3	Beleid	8
3.1	Gemeente Deventer	8
3.2	Waterschap Drents Overijsselse Delta	8
3.3	Kaders waterstructuurplan Gemeente en Waterschap	8
4	Planuitwerking algemeen	10
4.1	Verhard oppervlak	10
4.2	Ontwateringdiepte	10
4.3	Bouwpeil	11
4.4	Afvoer van hemelwater	11
5	Hemelwatervoorzieningen	13
5.1	Voorziening dagelijkse beheersituatie	13
5.2	Voorziening extreme neerslagsituatie	14
5.3	Situatie hoosbui (boven normatieve situatie)	15
5.4	Oppervlaktewater	16
6	Vuilwater afvoer	17
Bijlage 1	Regionale ligging	
Bijlage 2	Tekening verhardoppervlak	
Bijlage 3	Stedenbouwkundige plan	
Bijlage 4	Boorprofielen	

1 Inleiding

1.1 Algemeen

In opdracht van projectontwikkelaar Synchroon heeft Infrasoil een waterstructuurplan opgesteld ten bate van de ontwikkeling van Geertruidentuin te Deventer. De aanleiding voor het opstellen van het waterstructuurplan is de ontwikkeling van het voormalige ziekenhuis naar een gebied met woningen met tuin. In onderstaande rapportage worden de uitgangspunten en randvoorwaarden uitgewerkt ten aanzien hoe omgegaan wordt met vuilwater en hemelwater afvoer. Gezien de klimatologische veranderingen is het van belang dat het plan klimaatbestendig wordt uitgewerkt op het gebied van hitte en droogte.



Figuur 1: projectgebied "Geertruidentuin te Deventer" concept ontwerp nieuwe situatie van d.d. 27-02-2019

1.2 Brondocumenten

1. Memo: Ontwikkeling Geertruidentuin – Waterhuishouding, Gem. Deventer, d.d. 11 juni 2018.
2. Tekening: Geertruidentuin inrichtingsplan, Compositie 5 stedenbouw bv, d.d. 27-02-2019.
3. Rapport, Verkennend (asbest in-)bodemonderzoek ontwikkelingslocatie Geertruidentuin te Deventer, Infrasoil bv, 22-06-2018.
4. www.warecowaterdata.nl, gemeente Deventer.
5. Rapport, Doorlatendheidsonderzoek Geertruidentuin te Deventer, Infrasoil bv, 14-11-2017.
6. Gemeentelijk Rioleringsplan (2015-2020), gemeente Deventer.
7. Concept Masterplan maart 2019, Synchroon, d.d. 21-03-2019.

2 Locatiegegevens

2.1 Algemene informatie

De regionale ligging van de onderzoekslocatie is weergegeven op de overzichtskaart in bijlage 1. Het plangebied ligt ten noorden van het centraal station Deventer, aan de zuidzijde van de wijk Keizerslanden. Het plangebied wordt globaal begrensd door de Ceintuurbaan, de van Calcarstraat, de H.J.P. Fesevurstraat en de achtergrens van de percelen langs de noordwestzijde van de Brinkgreverweg. Het parkeerterrein aan de H.J.P. Fesevurstraat behoort eveneens bij het plangebied.

Vanaf medio 1940 tot medio 2008 is het gebied in gebruik geweest als Sint Geertruiden ziekenhuis. Rondom het gebouwencomplex was er een stelsel van voetpaden aanwezig die patiënten in staat stelden aan te sterken in een groene omgeving. Dit groen is voor een deel nog aanwezig. In 2009 heeft Synchron het Sint Geertruiden Ziekenhuis verworven ten behoeve van de herontwikkeling van deze locatie naar woningbouw. Een aantal gebouwen zijn rond het jaar 2010 gesloopt met uitzondering van het SMCD gebouw (Sociaal Medisch Centrum Deventer). Dit pand wordt gerenoveerd en aansluitend getransformeerd tot woonappartementen.

2.2 Historische gegevens

Op 7 mei 1938 stak wethouder Th. H. Beerents de eerste spade in de grond voor het te bouwen nieuwe Sint Geertruiden Ziekenhuis. Aanwezig waren onder meer burgemeester Wittewaal en geneesheer-directeur Dr. H.J.Ph. Fesevur. Het gebouw kwam gereed in september 1940, toen de Tweede Wereldoorlog al begonnen was. Sindsdien is het ziekenhuis in een aantal fasen uitgebreid tot een groot complex.



Figuur 2: Zicht op de binnenplaats van het huidige SMCD gebouw

Het oude ziekenhuis is ontworpen door architectenbureau Ed. Cuypers uit Amsterdam in samenwerking met de Deventer stadsarchitect W. Uytenhoudt. Ze ontwierpen een serie gebouwen waarvan het voormalig hoofdgebouw (SMCD in de huidige benaming) het grootste en meest aanzienlijke was. Het voormalig hoofdgebouw is als het ware een verzameling van verschillende bouwdelen dat gezamenlijke kenmerken heeft. De daken hebben allemaal een zadeldak en een geprononceerd overstek. De gevels zijn van baksteen en hebben repeterende raamopeningen van verschillende grootte.

De consequente toepassing van deze elementen zorgt ervoor dat het voormalig hoofdgebouw als één gebouw wordt ervaren. Het is duidelijk een gebouw uit de jaren dertig van de vorige eeuw en is vanwege haar architectuur een waardevol erfstuk uit die tijd. Een parkontwerp verankerde het nieuwe ziekenhuiscomplex in zijn omgeving. Door zijn vorm, met armen die zich in de omgeving uitstrekten, gaat het gebouw een relatie met haar omgeving aan. In het voorstel van de architecten was dan ook aandacht geschonken aan het landschap om het gebouw heen. Ter plaatse van de beddenvleugels was er een stelsel van voetpaden die patiënten in staat stelden aan te sterken in een groene omgeving. Dit groen is voor een deel nog aanwezig.

2.3 Bodemopbouw en geohydrologie

In onderstaande tabel is de bodemopbouw beschreven van het gebied waarbinnen de locatie is gesitueerd.

Tabel 1: Bodemopbouw

Typering	Dieptetraject (m-mv)	Lithologie	Formatie
Deklaag	0,0 – 2,8 m	Dekzand	Formatie van Boxtel
1 ^e watervoerende pakket	Vanaf 2,8 m	Fijn tot matig grof zand	Formatie van Kreftenheye

Vanuit het doorlatendheidsonderzoek is het volgende beschreven:

De bovengrond bestaat voornamelijk uit zand, matig fijn, matig siltig, zwak humeus. Er zijn geen eenduidig storende lagen in de geboorde profielen waargenomen. De vastgestelde k-waarden liggen tussen de 0,4 t/m 2,8 m/dag. Zie voor exacte locaties het doorlatendheidsonderzoek. De boorprofielen vanuit het bodemonderzoek en doorlatendheidsonderzoek staan weergegeven in Bijlage 4.

2.4 Grondwaterpeil

De gemeente beschikt over een online grondwatermeetnet van 50 peilbuizen in het stedelijk gebied die maandelijks wordt gemeten. De meest nabij gelegen peilbuis¹ is gelegen aan de Hoge Hondstraat 62. Op deze locatie wordt sinds 2006 de grondwaterstand gemeten, waardoor er een redelijk goed beeld van de grondwaterstand is ter plekke van de ontwikkellocatie.

De grondwaterstand is afhankelijk van de waterstand in de Zandwetering en varieert tussen NAP 2.60 m + NAP en 5.70 m + NAP (verschil van 3.10 m). Uit de gegevens blijkt dat de gemiddelde grondwaterstand circa 3.50 m + NAP en de GHG circa 4.20 m + NAP.

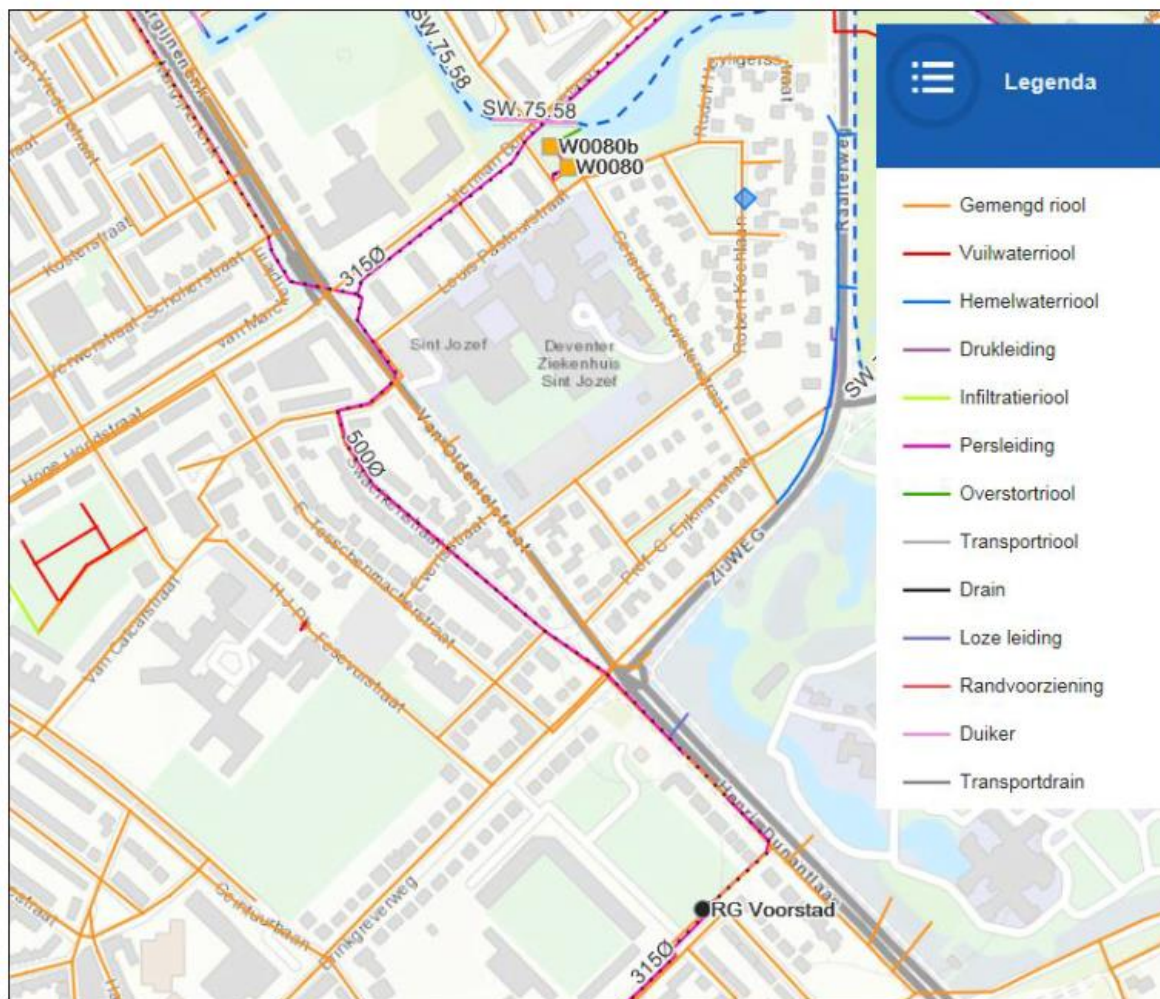
2.5 Oppervlaktewater

De ontwikkeling ligt niet in de omgeving van oppervlaktewater. Het meest nabij gelegen water waar op mag worden afgevoerd is de vijver bij de Herman Boerhavelaan. Het waterschap houdt dit oppervlaktewater (met water uit de Zandwetering) onder normale omstandigheden op een peil van circa 3.90 m + NAP. Er is geen regenwaterriool aanwezig in de openbare ruimte om regenwater van de ontwikkeling af te voeren naar deze vijver.

¹ Warecowaterdata.nl, gemeente Deventer, Groep: Deventer, PB97, Meetpunt 1.15

2.6 Riolering

In de huidige situatie voeren de resterende gebouwen en verharding af op het nabij gelegen gemengde stelsel. Dit stelsel stort bij zware regenval over op de overstort met bergbezinkbassin bij de Herman Boerhavelaan. Het vuilwaterriool van de ontwikkellocatie mag op het gemengde stelsel van de gemeente blijven afvoeren².



Figuur 3: overzicht gemeentelijk riool huidige situatie

² Memo Ontwikkeling Geertruidentuin – waterhuishouding

3 Beleid

Het projectgebied is gelegen binnen het beheersgebied van de gemeente Deventer en het waterschap Drents Overijsselse Delta.

3.1 Gemeente Deventer

Het gemeentelijk beleid is vastgelegd in het Gemeentelijk Rioleringsplan (2015–2020) (zie <https://water.deventer.nl/watertaken-1>) en de regionale samenwerking op het gebied van water in de wateragenda. Onderstaand is een korte samenvatting van het hemel- en grondwaterbeleid van de gemeente Deventer. Voor het volledige beleid wordt verwezen naar het gemeentelijk rioleringsplan. De wateragenda is een samenwerkingsstructuur waarbij een aantal thema's centraal staan.

De thema's zijn:

- veilig en klimaatbestendig;
- milieu en gezondheid;
- beleving, bewustwording en participatie.

De gemeente is verantwoordelijk voor een goed stedelijk watersysteem. Volgens de wet begint de zorgplicht bij de perceeleigenaar. De perceeleigenaar moet het hemel- en grondwater op het eigen perceel verwerken. De gemeente komt in beeld als dit niet kan.

In het Gemeentelijk Rioleringsplan is beschreven hoe de gemeente haar watertaken invult en uitvoert. De gemeentelijke watertaken komen voort uit 3 zorgplichten:

- inzameling en transport van stedelijk afvalwater (Wet Milieubeheer);
- verwerking van afvloeiend hemelwater (nieuwe Waterwet);
- de aanpak en het voorkomen van grondwaterproblemen in bebouwd gebied coördineren (nieuwe Waterwet).

3.2 Waterschap Drents Overijsselse Delta

Waterschappen hebben een speciale verantwoordelijkheid voor het water. Wettelijk vastgelegde taken zijn onder andere:

- een goede bescherming tegen hoogwater: overstromingen, wateroverlast of droogte voorkomen of beperken;
- een goed functionerend regionaal watersysteem: beschermen en verbeteren van de kwaliteit van het water in de volle breedte;
- het zuiveren van afvalwater.

In het waterbeheerplan wordt beschreven hoe het waterschap deze taken wil uitvoeren in de periode 2016–2021 (<https://www.wdodelta.nl/over-ons/beleid-regelgeving/waterbeheerplan>).

3.3 Kaders waterstructuurplan Gemeente en Waterschap

3.3.1 Gemeente Deventer

Voorkeursbeleid hemelwater en klimaatbestendigheid

In het plan wordt gestreefd het voorkeursbeleid van het waterschap op te volgen. Dit voorkeursbeleid houdt in dat bij de afvoer van overtollig hemelwater infiltratie in de bodem het uitgangspunt is. Oppervlakkige afvoer naar de infiltratievoorziening en infiltratie via wadi's geniet daarbij de voorkeur.

Als oppervlakkige infiltratie niet mogelijk is, is ondergrondse infiltratie door middel van bijvoorbeeld een infiltratieriool (IT-riool) of infiltratiekragen een optie. Als infiltratie niet mogelijk is, kan hemelwater via een bodempassage worden geloosd op oppervlaktewater.

Vertrekpunt voor klimaatbestendigheid is de Deltabeslissing Ruimtelijke Adaptatie. Het gaat om het ontwikkelen van de klimaatbestendige stad, die is gebaseerd op het kader dat Nederland in 2050 zo goed mogelijk klimaatbestendig en water robuust is ingericht voor wateroverlast, droogte, hitte en overstromingen. Bij (her)ontwikkelen dient (normaal gesproken) een klimaatbui van eens per 100 jaar opgevangen te worden binnen de ontwikkeling zonder dat dit tot wateroverlast leidt. Bij voorkeur door een passende ruimtelijke inrichting die ook droogte- en hittebestendig is. De klimaatbui is gebaseerd op landelijke onderzoeken die door het waterschap zijn overgenomen. Voor dit plan gaat het om een bui van 93,6 mm in 24 uur, wat inclusief een verwachte neerslagtoename is van 10%. Om te bevorderen dat de normale regenval wordt opgevangen hanteert de gemeente een infiltratievoorziening van 10 mm op eigen terrein (kortom, op particulier/ privé terrein).

3.3.2 Waterschap Drents Overijsselse delta

Watertoets

Door de klimaatverandering komen er steeds meer extreem natte en extreem droge periodes, met de nodige gevolgen. Stijging van de zeespiegel, en een verhoogde afvoer van de rivieren. Daarnaast blijft in delen van Nederland ook de bodem dalen. Dat alles vraagt om ruimtelijke plannen die rekening houden met deze ontwikkelingen. Een van de instrumenten om het nieuwe waterbeleid voor de 21e eeuw vorm te geven is het watertoetsproces. Het watertoetsproces moet ervoor zorgen dat waterhuishoudkundige doelstellingen expliciet en op evenwichtige wijze in beschouwing worden genomen bij alle ruimtelijke plannen en besluiten die relevant zijn voor de waterhuishouding.

Bij elk initiatief dient via www.dewatertoets.nl een aanvraag gedaan te worden. Op basis van de uitkomsten van deze toetsing stelt het waterschap een uitgangspuntennotitie op. In de handreiking treft u de doelen en uitgangspunten aan en verwijst u naar informatie over de wettelijke status. Het waterschap houdt voor de nieuwbouwlocatie rekening met klimaatverandering. In deze paragraaf zijn de uitgangspunten beschreven die gehanteerd worden. Op basis van deze gegevens dient de ontwikkelaar aan te tonen dat het toekomstige gebied voldoet aan de huidige eisen.

4 Planuitwerking algemeen

4.1 Verhard oppervlak

In de huidige situatie is het plangebied deels verhard, deels onverhard. Vanuit het beleid van de gemeente en waterschap is aangegeven dat er geen rekening gehouden mag worden met de voormalige situatie.

Het masterplan Geertruidentuin voorziet in de realisatie van circa 142 woningen. Daarnaast wordt het huidige SMCD gebouw verbouwd naar circa 81 wooneenheden en 900 m² multifunctionele ruimte. Als uitgangspunt wordt gehanteerd dat circa 50% van de toekomstige tuinen verhard worden. In onderstaande **Tabel 2** staan de oppervlakten van de toekomstige (en huidige) bebouwing en verharding weergegeven. De oppervlakten zijn bij benadering bepaald aan de hand van verkavelingstekening [2].

Tabel 2: verhard oppervlak toekomstige situatie

Type	Verhard oppervlak [m ²]	Reken oppervlak [m ²]
Daken nieuw	9.462	9.462
Daken huidig SMCD	4.091	4.091
Tuinen	11.296	(50%) = 5.648
Verhardingen	13.245	13.245
Openbaar groen	21.005	
"Water"	705	
Totaal verhard oppervlak		32.446

4.2 Ontwateringdiepte

De ontwateringdiepte is afhankelijk van het type stedelijk gebied, waarmee het minimale bouwpeil behaald kan worden. Richtinggevende waarden per type stedelijk gebied zijn vermeld, het gaat om de minimale ontwateringdiepte ten opzichte van de as van de weg:

- bestaand stedelijk gebied wegen: 70 cm;
- hoofdwegen: 100 cm;
- nieuwe bebouwing met minimale ontwatering: 50 cm;
- nieuwe standaard bebouwing met kruipruimte: 70 cm;
- tuinen, openbaar groen, sportvelden en dergelijke: 50 cm.

De minimale waarde mag niet structureel worden overschreden, en niet langer dan vier weken per jaar. In verband met de verwachte klimaatsverandering wordt de eis van de minimale ontwateringdiepte in nieuwbouwgebieden scherper gesteld, zeker als wordt gebouwd in de lagere en nattere gebieden. De gemeente kan dan voor een gebied een specifieke norm vastleggen. In het huidige plangebied is de GHG vastgesteld op 4.20 m + NAP. Aangezien het omliggende maaiveld in de huidige situatie op circa 6.70 m + NAP ligt zal de ontwatering ten aanzien van het bouwpeil in de toekomstige situatie voldoende zijn.

4.3 Bouwpeil

Om wateroverlast en schade bij bebouwing te voorkomen adviseert het Waterschap een drempelhoogte van 30 centimeter boven straatpeil te hanteren. Zoals de gemeente ook aangeeft, in de memo ontwikkeling Geertruidentuin, is dit niet wenselijk vanwege de stedelijke inrichting en het voldoen aan bouwnormen. Daarom wordt een minimale drempelhoogte van 20 cm boven straatpeil gehanteerd. Ook voor lager, beneden het maaiveld, gelegen ruimtes (kelders, parkeergarages) moet aandacht worden besteed aan het voorkomen van wateroverlast. Bij de aanleg van kelderconstructies dient aandacht te worden geschonken aan de toepassing van waterdichte materialen en constructies. Zover bekend zijn in de huidige plannen geen kelderconstructies opgenomen.

4.4 Afvoer van hemelwater

4.4.1 Compensatie

Bij een grote uitbreidingslocatie worden door het waterschap de volgende uitgangspunten gehanteerd:

- Bij het ontwerp van het watersysteem wordt rekening gehouden met toenemende neerslagintensiteit als gevolg van klimaatverandering. Op basis van de KNMI'14-klimaatscenario's adviseert het waterschap rekening te houden met minimaal 10% meer neerslag in 2050. Zie **Tabel 3**.
- Het waterschap toetst het plan op basis van de werknormen die zijn vastgesteld in het Nationaal Bestuursakkoord Water (NBW). Voor de bebouwde omgeving betekent dit dat in een neerslagsituatie die eens in de 100 jaar plaatsvindt, er geen water in woningen mag stromen en dat belangrijke ontsluitingswegen vrij blijven van water. Andere kapitaalintensieve functies, zoals elektriciteits- of communicatievoorzieningen mogen ook niet onder water staan.

4.4.2 Toetsbui voor extreme neerslagsituaties

Het watersysteem van het plangebied wordt getoetst op basis van een hoeveelheid neerslag die eens in de 100 jaar wordt overschreden. Er wordt rekening gehouden met een bui van 111 mm in 48 uur. De toegestane afvoer in deze neerslagsituatie is 1,6 l/s/ha. Er mag bij deze bui geen water in woningen komen en belangrijke ontsluitingswegen blijven vrij van water.

Tabel 3: Overzicht van hoeveelheden en benodigde berging

Neerslagstatistiek	Nieuwe statistiek volgens Stowa rapport 2015-10
Klimaatscenario	Huidige klimaat + 10%
Afvoer (l/s/ha) T=1	0,8
Afvoer (l/s/ha) T=100	1,6
Maatgevende bui-duur (uur)	48
Totale neerslaghoeveelheid (mm)	111 (100,9*1,1)
Afvoer via oppervlaktewater (mm)	28
Berging dak/ straat/ etc. (mm)	3
Benodigde berging (mm)	80

4.4.3 Ontwerp in de dagelijkse beheersituatie

Bij het ontwerp van het oppervlaktewatersysteem in de dagelijkse beheersituatie is het van belang rekening te houden met de hydraulische afvoercapaciteit van het rioolstelsel. De dagelijkse

rioleringsbui moet zonder problemen kunnen uitstromen. Daarom wordt de peilstijging van het oppervlaktewater in de normale beheersituatie onder andere bepaald door de hoogte van drempels in de riolering. Hoe hoog het waterpeil kan stijgen is afhankelijk van de beschikbare ruimte voor water en de toegestane afvoer. De te hanteren afvoernorm voor een situatie die 1 of 2 dagen per jaar optreedt, is gemiddeld 0,8l/s/ha.

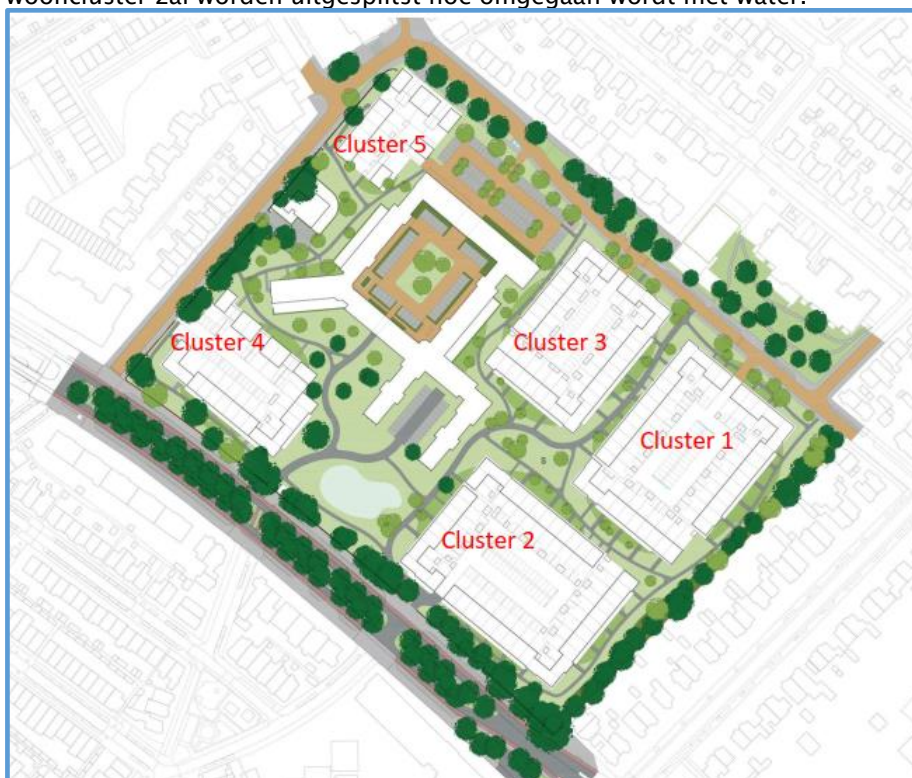
4.4.4 Hoosbui (boven normatieve situatie)

Vanuit het waterschap wordt geadviseerd een stress-test uit te voeren met een bui die boven de genoemde normen uitgaat. Deze hoosbui kan zeer lokaal tot veel wateroverlast leiden en het is belangrijk dat de gevolgen hiervan in beeld worden gebracht. Het gaat in deze situatie vooral om de afstroming van het hemelwater over het maaiveld. De keuze welke boven normatieve situatie wordt bekeken ligt bij de initiatiefnemer. Te denken valt aan een range van 60 mm tot 150 mm in een uur. Dat zijn zeer grote hoeveelheden, maar deze kunnen zeker met de verandering van klimaat voorkomen.

5 Hemelwatervoorzieningen

Het masterplan voorziet in het realiseren van oppervlakte ten bate van het opvangen/ afvangen van regenwater. In het plan dienen een combinatie van voorzieningen te worden getroffen. Zoveel als mogelijk is wordt er vastgehouden aan de trits - vasthouden-bergen/ infiltreren-afvoeren. Daarnaast wordt het hemelwater zoveel als mogelijk is op de locatie, daar waar de regen valt, vastgehouden. Belangrijk daarbij is dat de regenbui in de dagelijkse beheersituatie kan worden afgevangen op locatie. De toetsbui T=100 en de hoosbui mogen geen directe problemen opleveren. Water op straat is in het laatste geval wel toegestaan.

Het plangebied zal met betrekking tot voorzieningen voor hemelwaterafvoer zelfvoorzienend moeten zijn. Het gebied is verdeeld in de volgende woonclusters, conform het concept masterplan. Per wooncluster zal worden uitgesplitst hoe omgegaan wordt met water.



Figuur 4: Situering woonclusters (uit concept masterplan)

5.1 Voorziening dagelijkse beheersituatie

In de dagelijkse beheersituatie mag bij een regenbui geen overlast worden ervaren door water op straat. Aangezien het regenwater niet afgevoerd kan worden via het gemeentelijk riool zal een dergelijke bui in zijn geheel geborgen moeten worden op het terrein Geertruidentuin. Bij een dergelijke bui moet rekening gehouden worden met een bui L10. Hierbij valt in drie kwartier circa 40 mm aan regen. Deze dient geborgen te worden in bergingsvoorzieningen binnen het plangebied. Aangezien het grondwaterstand op circa 4.20 m + NAP (GHG) en het toekomstige maaiveld op circa 6.70 m + NAP is er een laagdikte van circa 2,30 m beschikbaar voor bergende en infiltrerende voorzieningen.

Benodigde berging in de dagelijkse beheersituatie betreft:

Tabel 4: Benodigde berging in de dagelijkse beheersituatie

Type	Reken oppervlak [m ²]	Berging á 40 mm [m ³]
Daken nieuw	9.462	378
Daken huidig SMCD	4.091	164
Tuinen	(50%) = 5.648	226
Verhardingen	13.245	530
TOTAAL	32.446	1.300

Deze kan gerealiseerd worden door een mix van voorzieningen. Ter plaatse van de woonclusters 1 t/m 5 en het binnenterrein van het SMCD gebouw (zie **Figuur 4**) wordt het regenwater zoveel mogelijk binnen het eigen terrein afgevangen en geborgen. Om te voorkomen dat deze hoeveelheden bij een hoosbui teveel oplopen worden de hemelwaterafvoeren van de woningen naar de voorzijde van de woningen gebracht. Op deze wijze wordt de hoeveelheid aan regenwater in de binnenterreinen geminimaliseerd. Voorbeeld van een dergelijk systeem is het Wavin Azura HQ systeem.

Binnen de woonclusters wordt middels infiltratierolering, met een berging van minimaal 0,5 m³/ m, een berging gerealiseerd van 40 mm. Tevens wordt een overloopvoorziening gerealiseerd naar het infiltratierool in de openbare ruimte (onder de verhardingen).

Onder de verhardingen worden infiltratierolien toegepast welke worden aangebracht in het drainagezand (holle ruimte van ca 15%). Daarmee is het mogelijk om de berging flexibel aan te passen afhankelijk van de benodigde capaciteit ter plaatse van de woonclusters. Van belang is dat het gehele rioolsysteem zoveel mogelijk vermaasd wordt aangebracht.

5.2 Voorziening extreme neerslagsituatie

Bij een extreme neerslagsituatie (zie 4.4.2 Toetsbui voor extreme neerslagsituaties) mag er geen water in de huizen stromen en moeten belangrijke ontsluitingswegen vrij blijven van water. Binnen het plangebied zijn geen belangrijke ontsluitingswegen. Allen betreffen erftoegangswegen. Het optreden van water op straat is binnen het plangebied toegestaan.

Tabel 5: Benodigde berging tijdens een extreme neerslagsituatie

Type	Reken oppervlak [m ²]	Berging á 80 mm [m ³]
Daken nieuw	9.462	757
Daken huidig SMCD	4.091	327
Tuinen	(50%) = 5.648	452
Verhardingen	13.245	1.060
TOTAAL	32.446	2.600

In de dagelijkse beheersituatie is al een voorziening opgenomen voor een berging middels infiltratierolering van 1.300 m³. Daarnaast is er binnen het plangebied ruimte gereserveerd ten bate van een vijver en/of wadi. Hierbinnen kan circa 211 m³ (705 m² x 0,30 m) water geborgen worden. Het bouwpeil van de woningen is vastgesteld op minimaal 20 cm boven straatpeil. Dit betekent dat het "water op straat" minimaal 20 cm moet stijgen voordat het de woningen binnenstroomt. In het

geval dat het water nergens heen kan en zich op de verhardingen en in de groenstroken verzamelt buiten de woonclusters en het voormalige SMCD gebouw, dan zal het water zich op een oppervlak van circa 17.000 m² moeten verdelen. Hierbij zal circa 6 centimeter aan water op straat optreden.

Aandachtspunten hierbij zijn:

- Water blijft binnen het plangebied Geertruidentuin en mag niet wegstromen richting de omliggende rijwegen. Dit kan voorkomen worden middels uit-/ inrit constructies op de toegangswegen en/of het toepassen van drempels.
- Middels een uitgewerkt hoogteplan wordt voorkomen dat het water zich verzamelt in de binnenterreinen van de woonclusters.
- Hoogteplan moet zo uitgewerkt worden dat de groenstroken gemiddeld 10 tot 15 cm lager liggen dan de omliggende verhardingen. In een extreme neerslagsituatie verzamelt het water zich in eerste instantie binnen de groenstroken. Daarnaast wordt het water middels natuurlijk hoogteverloop gestuurd richting de vijver/ wadi.

5.3 Situatie hoosbui (boven normatieve situatie)

In het geval van een extreme hoosbui waarin een zeer extreme neerslag optreedt van meer dan 80 mm treden de volgende situaties op:

Neerslag 100 mm in een uur

- Infiltratierolering en de bergingsvijver zijn gevuld, bergingscapaciteit van totaal 1.511 m³ á 40 mm
- Afhankelijk van hoe het hoogteplan is gerealiseerd, verzamelt het water zich op het laagste punt t.p.v. de wadi/ vijver. Belangrijk is dat regenwater niet het plangebied uitstroomt.
- Uitgaand van een vergelijkbaar oppervlak van 17.000 m² waarover het water zich verspreidt, treedt er circa 10 cm water op straat op.

Neerslag 120 mm in een uur

- Infiltratierolering en de bergingsvijver zijn gevuld, bergingscapaciteit van totaal 1.511 m³ á 40 mm
- Afhankelijk van hoe het hoogteplan is gerealiseerd, verzamelt het water zich op het laagste punt t.p.v. de wadi/ vijver. Belangrijk is dat regenwater niet het plangebied uitstroomt.
- Uitgaand van een vergelijkbaar oppervlak van 17.000 m² waarover het water zich verspreidt, treedt er circa 13 cm water op straat op.

Neerslag 140 mm in een uur

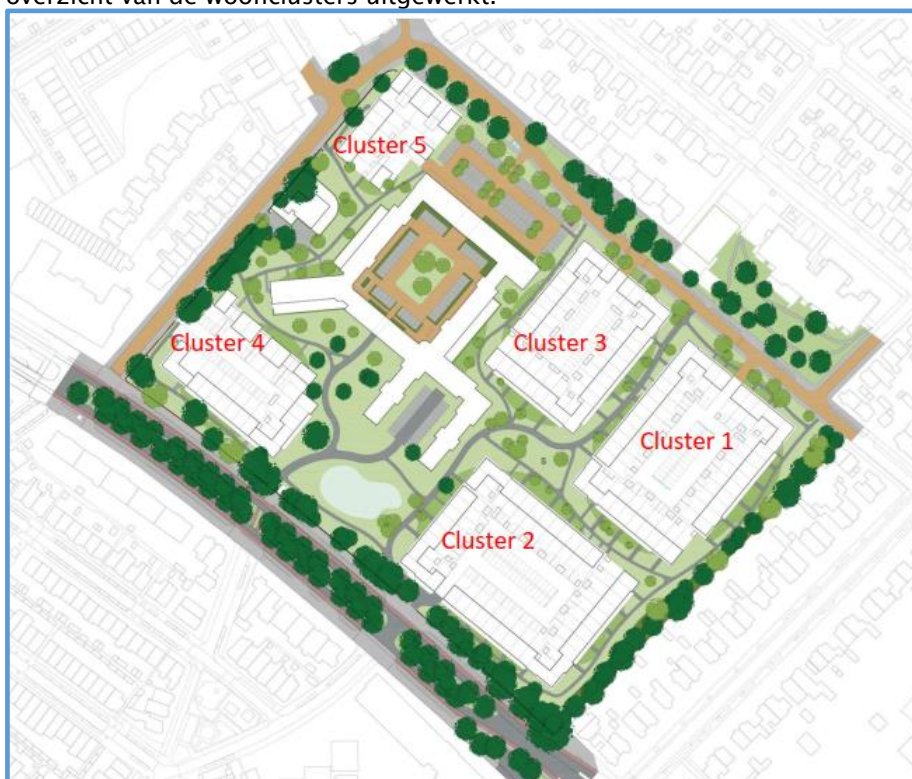
- Infiltratierolering en de bergingsvijver zijn gevuld, bergingscapaciteit van totaal 1.511 m³ á 40 mm
- Afhankelijk van hoe het hoogteplan is gerealiseerd, verzamelt het water zich op het laagste punt t.p.v. de wadi/ vijver. Naar verwachting is het ook niet meer mogelijk om geheel te voorkomen dat water het plangebied uitstroomt.
- Uitgaand van een vergelijkbaar oppervlak van 17.000 m² waarover het water zich verspreidt, treedt er circa 17 cm water op straat op.

5.4 Oppervlaktewater

In het plangebied is ook een voorziening voorzien in de vorm van een vijver en/of wadi. Hierover is nog geen definitief uitsluitel. In het geval van een vijver dan dient deze in voldoende mate ververst te worden om te voorkomen dat er "dood" water ontstaat. Dit is zeer afhankelijk van de weerssituatie. Het is niet mogelijk om de vijver aan te sluiten op ander oppervlaktewater. In totaal wordt nu voorzien in een oppervlak van circa 700 m². Gezien het omliggende ontwerp is het mogelijk dit oppervlak, afhankelijk van wat nodig is ten bate van het realiseren van berging, nog te vergroten. In beide gevallen kan het oppervlak voorzien in een bering van circa 300 m³, waarbij als uitgangspunt wordt gehanteerd dat de peilstijging in de dagelijkse beheersituatie maximaal 30 cm is. In het geval van een extreme neerslagsituatie en/of hoosbui zal meer water worden geborgen aangezien het projectgebied, qua waterhuishouding, niet wordt aangesloten op de omliggende gebieden.

6 Vuilwater afvoer

Bij de nieuwbouw wordt hemelwater en afvalwater (vuilwaterweerafvoer; vwa) gescheiden aangeleverd. Als gevolg van de ontwikkeling zal het aanbod van vuilwater anders afgevoerd worden dan t.o.v. de voormalige situatie (aansluiting voormalig ziekenhuis). Per wooncluster zal een aansluiting van vuilwater gerealiseerd worden naar het gemeentelijk riool. De mogelijkheden en wijze van aansluiten zal in overleg met de gemeente besproken moeten worden. In **Figuur 5** is een overzicht van de woonclusters uitgewerkt.



Figuur 5: Situering woonclusters (uit concept masterplan)

Voor de berekening van de toekomstige vuilwateraanbod wordt gebruik gemaakt van de Leidraad Riolering. Hierin wordt uitgegaan van een gemiddeld verbruik van 120 liter per dag per inwoner. Per woning wordt uitgegaan van een gemiddelde woningbezetting van 2,5 bewoners.

In onderstaande **Tabel 6** staat het verwachte vuilwateraanbod per wooncluster berekend.

Tabel 6: VWA aanbod per wooncluster op basis van het concept masterplan

Wooncluster	Aantal woningen [st]	Vuilwateraanbod [m ³ /dag]
1	38	11,4
2	41	12,3
3	31	9,3
4	20	6,0
5	12	3,6
Voormalig SMCD	81	24,3
Totaal aanbod per dag	[m ³]	66,9

Bijlage 1 Regionale ligging



PROJECT

Geertruidentuin te Deventer

OPDRACHTGEVER

Synchroon B.V.

OMSCHRIJVING

Regionale ligging

PROJECTNUMMER

01.18.1763

GETEKEND DOOR

KvV

DOCUMENTNUMMER

01

GECONTROLEERD DOOR

BvE

STATUS

DEFINITIEF

CONCEPT D.D.

22-05-2018

DEFINITIEF D.D.

08-06-2018

SCHAAL

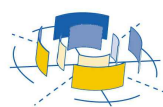
1:10000

FORMAAT

A4

Ravelijn 7
3905 NT VEENENDAAL
Postbus 409
3900 AK VEENENDAAL

T: 0318 - 611810
F: 0318 - 612147
E: info@infrasoil.nl
I: www.infrasoil.nl



INFRASOIL

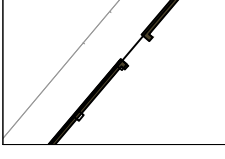
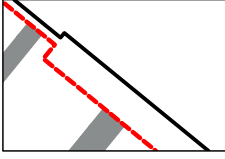
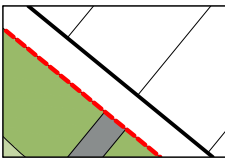




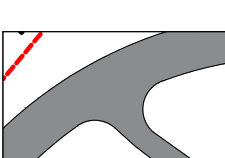
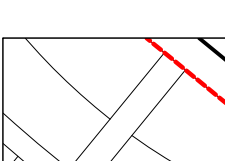
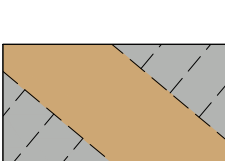
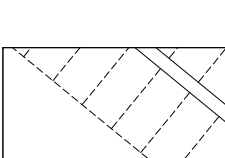
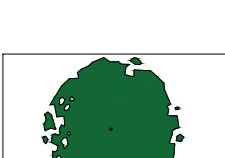
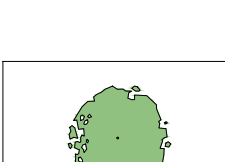
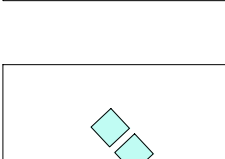
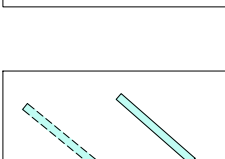
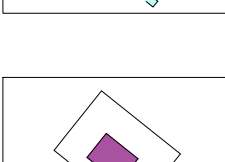
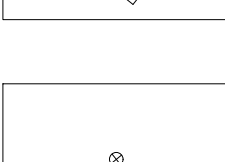
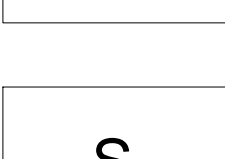
Praktische ingenieurs & regisseurs



Bijlage 2 Tekening verhardoppervlak

Bijlage 3 Stedenbouwkundige plan

Legenda

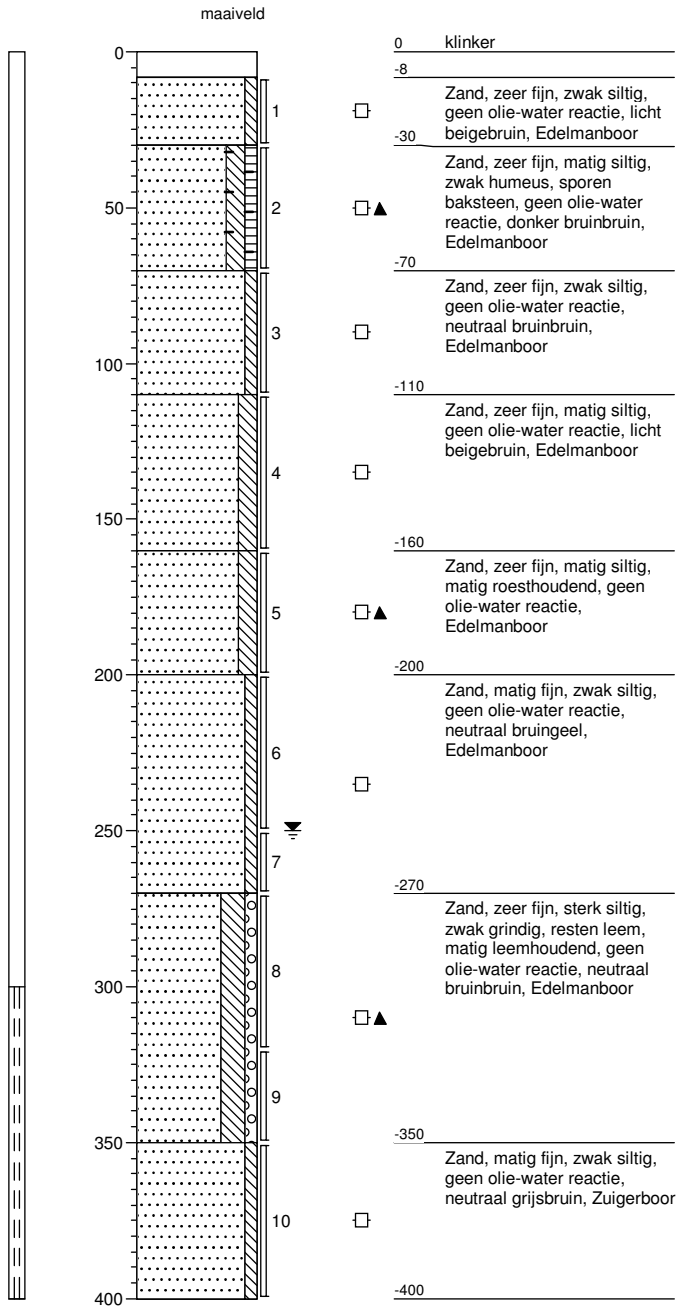
-  Hekwerk rondom park, gemetselde pilaren met stalen hekwerk waar nodig aangevuld of gerenoveerd
-  Contour woningen met verspringende gevellijn exacte invulling n.t.b.
-  Privieruimte aan voorzijde woning, breedte 1.50m tbv. veranda, pergola, Deltse stoep of zijje
-  Plantvak met robuuste bodembedekkende mix van onderhoudsarme prairiebeplanting (Fleur Robuste of soortgelijk)
-  Struweelhaag als afscheiding naar achtertuinen Brinkeverweg met deels wintergroene struiken met ecologische meerwaarde, o.a. lijsterbes, sporkhout, liguster, meidoorn, sleedoorn, hulst etc
-  Gazon
-  Wadi
-  Parkpaden in asfalt met lichte strooilaag variërend in breedte, voetpad 1,5 m, fietspad 3,0 m, rijbaan 4,0 m waar nodig (calamiteitendiensten) met verstevigde grasbodem
-  Toegangspad tot woningen, geclusterd per 2 woningen betonstraatsteen 30x30cm, kleur grijs/antraciet
-  Inrichting rondom SMCD met hergebruikte gebakken klinkers (heidepaars/oker), parkeervakken in betonsteen, kleur grijs/antraciet
-  Binnenterrein - betonstraatsteen dikformaat in elleboogverband rijbaan in antraciet, parkeervak in lichtere tint antraciet
-  Bestaande bomen (te behouden)
-  Nieuwe bomen, soort n.t.b.
-  Verdiepte afvalcontainers
-  Container opsteplek (COP)
-  Netstation Enexis incl obstakelvrije ruimte
-  Straatantaam type CityCharm Cordoba o.g.
-  Speelplaats met natuurlijke speelaanleidingen

Bijlage 4 Boorprofielen

Boorbeschrijving:

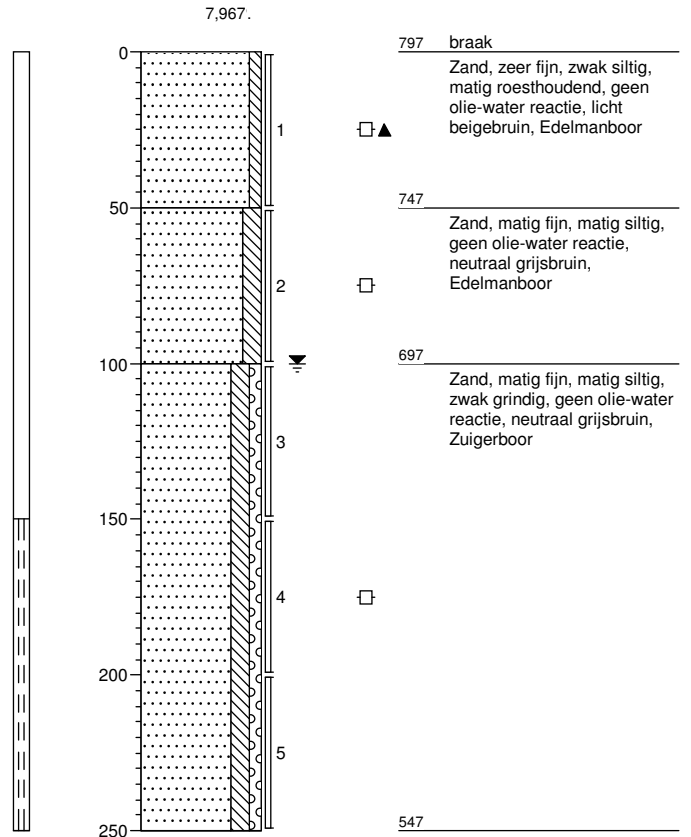
Boring: 101

Datum: 23-05-2018
GWS: 250



Boring: 102

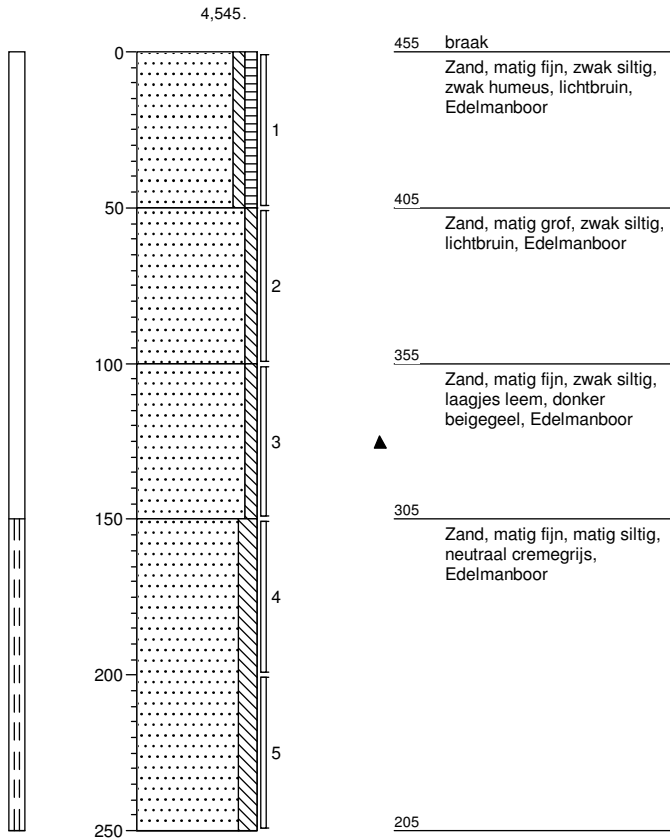
X: 208446.82
Y: 475166.86
Datum: 24-05-2018
GWS: 100



Boorbeschrijving:

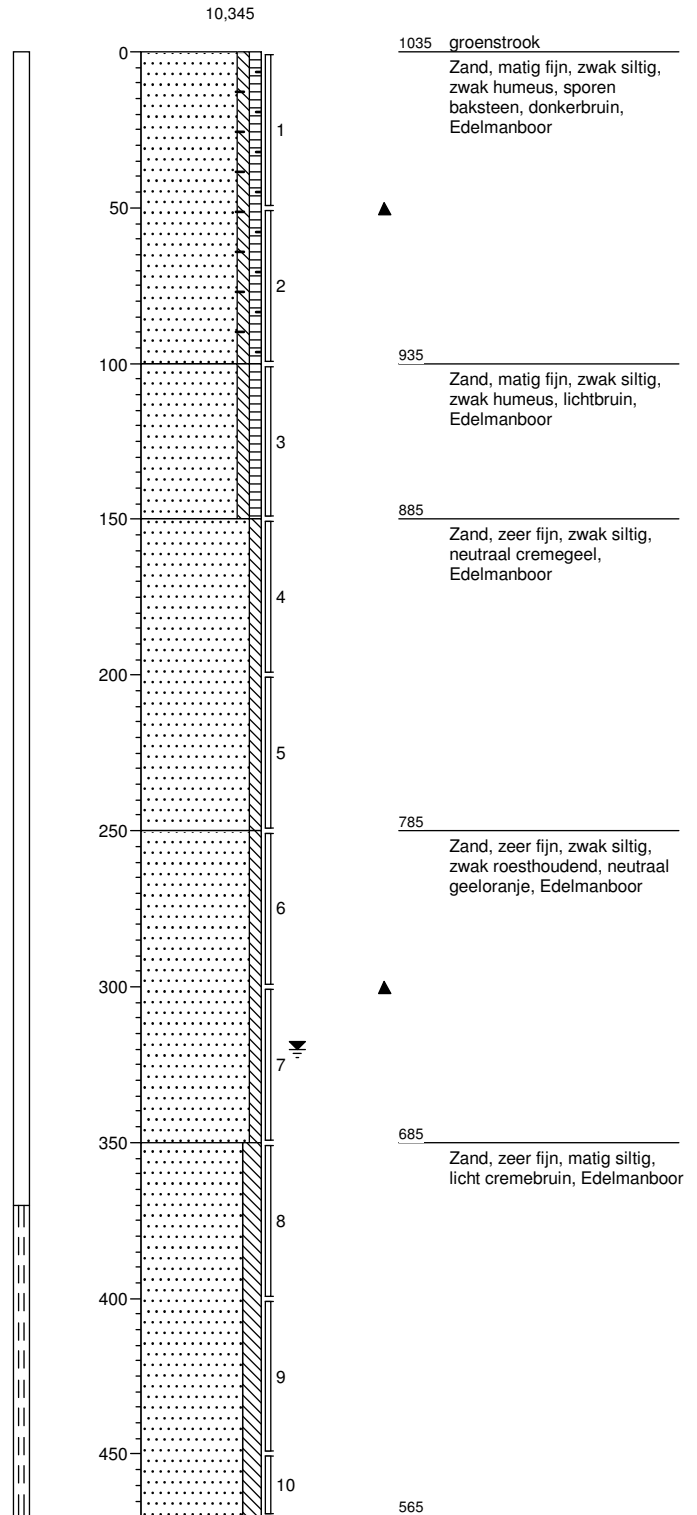
Boring: 103

X: 208358,30
 Y: 475122,39
 Datum: 25-05-2018



Boring: 104

X: 208291,17
 Y: 475179,22
 Datum: 25-05-2018
 GWS: 320



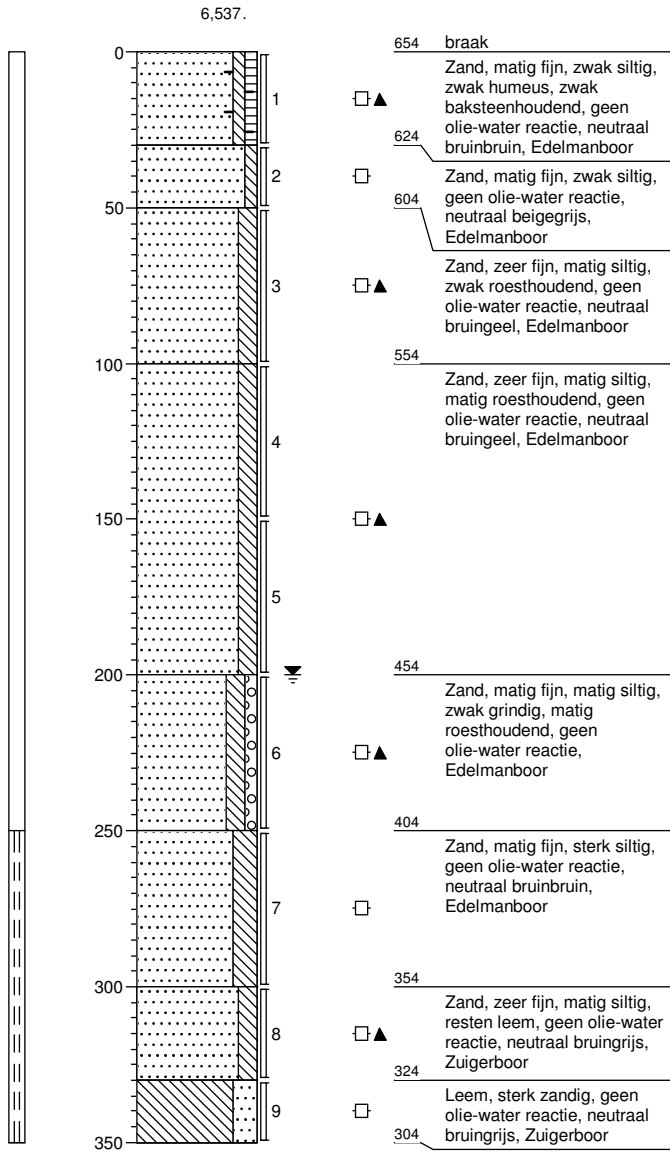
Projectnaam: Geertruidentuin te Deventer

Projectcode: 01.18.1763

Boorbeschrijving:

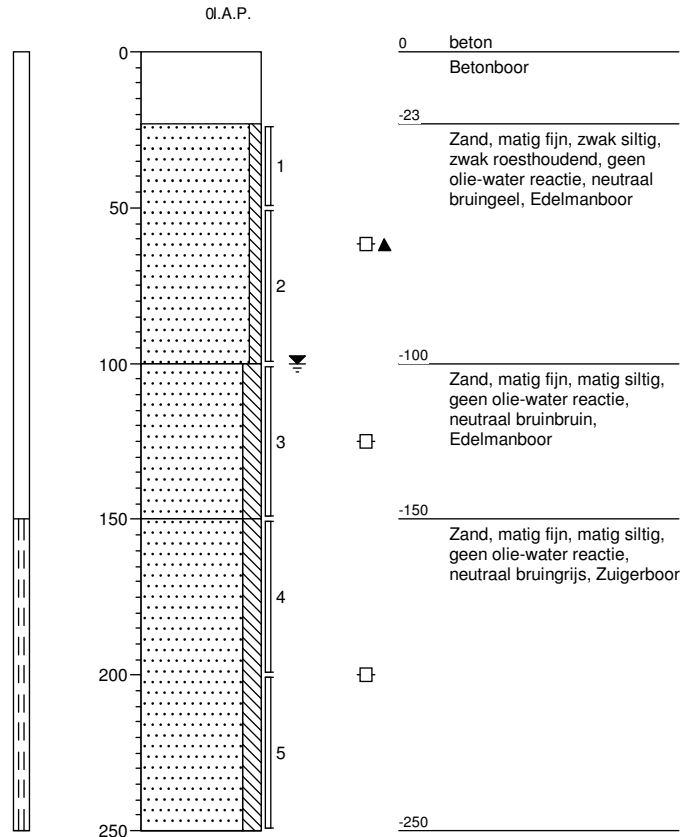
Boring: 105

X: 208191,86
 Y: 475178,98
 Datum: 25-05-2018
 GWS: 200



Boring: 501

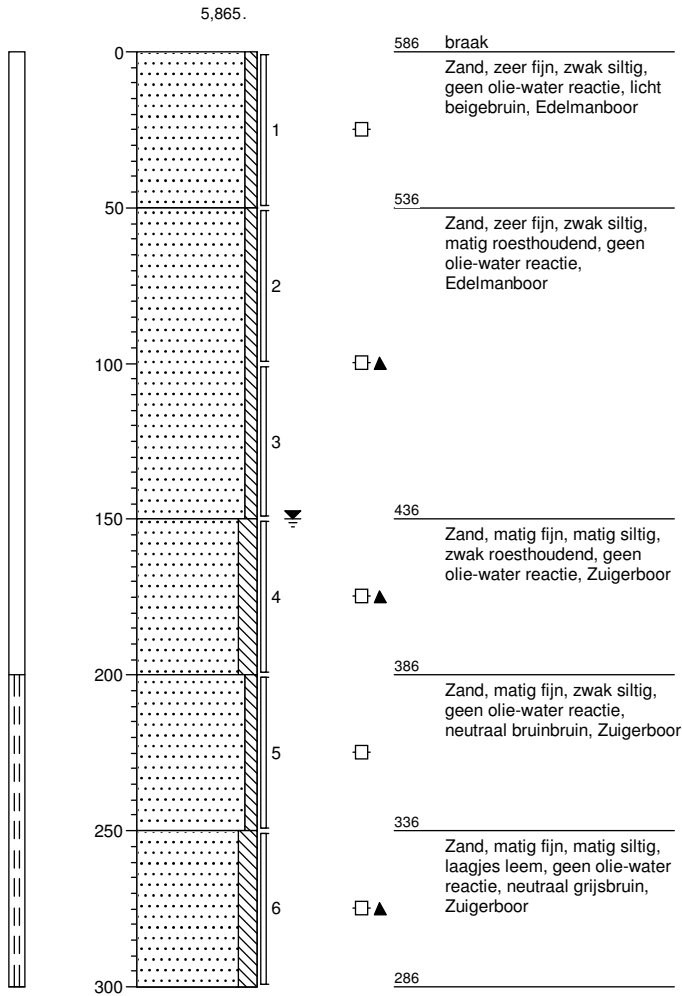
X: 208386,27
 Y: 475218,81
 Datum: 24-05-2018
 GWS: 100



Boorbeschrijving:

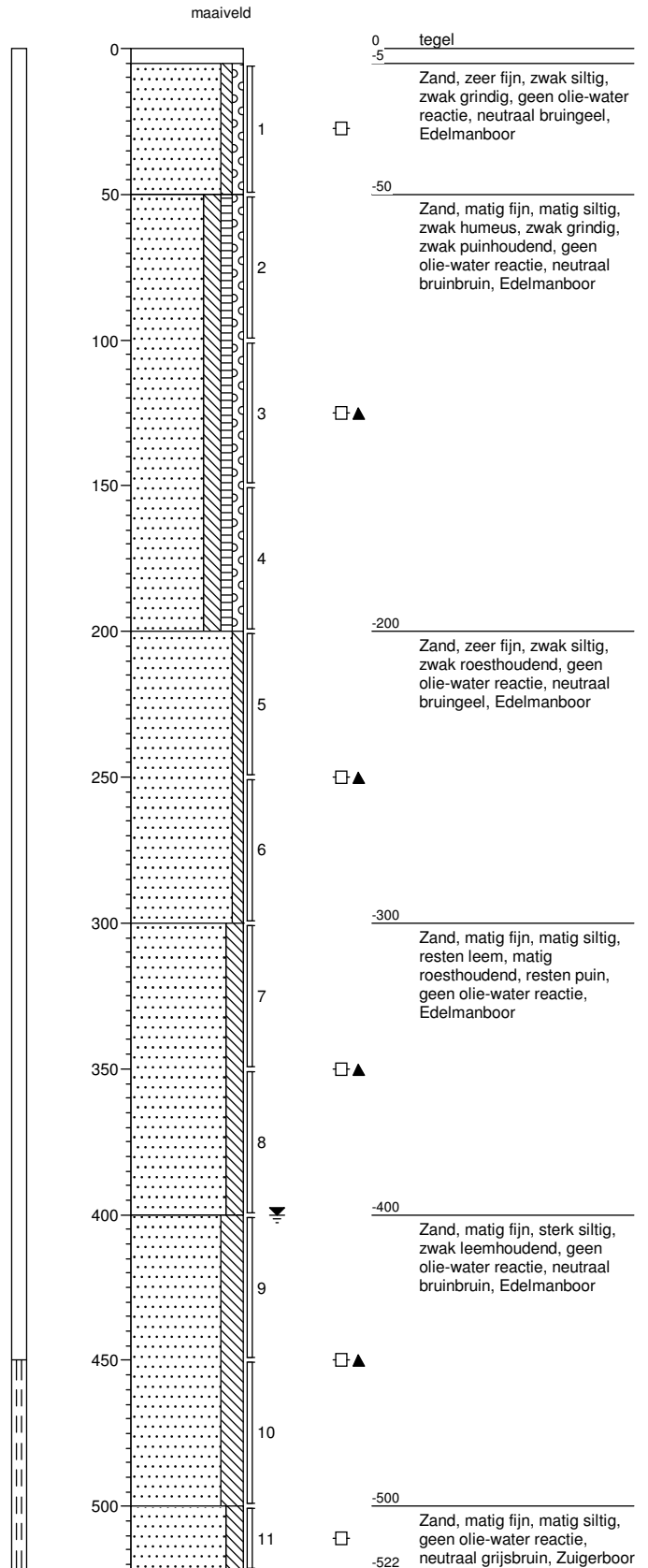
Boring: 502

X: 208268,57
 Y: 475114,99
 Datum: 25-05-2018
 GWS: 150



Boring: 503 - 1

Datum: 23-05-2018
 GWS: 400



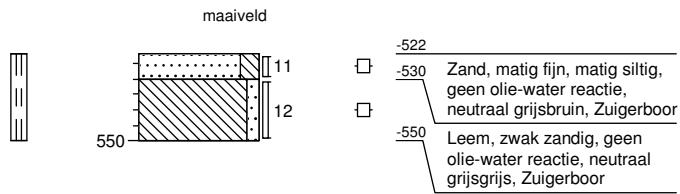
Projectnaam: Geertruidentuin te Deventer

Projectcode: 01.18.1763

Boorbeschrijving:

Boring: 503 - 2

Datum: 23-05-2018
GWS: 400



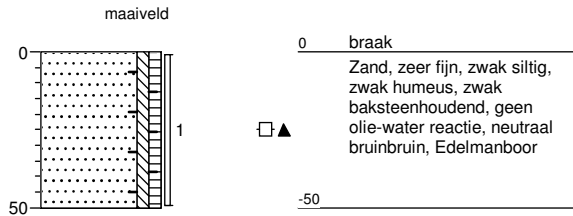
Projectnaam: Geertruidentuin te Deventer

Projectcode: 01.18.1763

Boorbeschrijving:

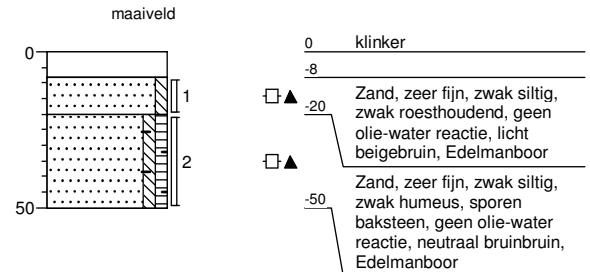
Boring: 106

Datum: 23-05-2018



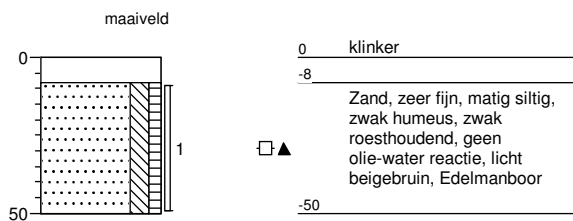
Boring: 107

Datum: 23-05-2018



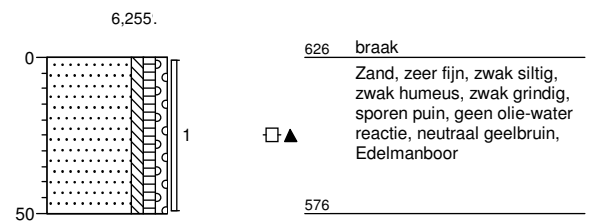
Boring: 108

Datum: 23-05-2018



Boring: 109

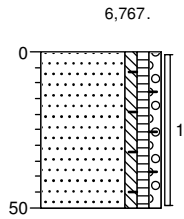
X: 208412,99
Y: 475213,93
Datum: 24-05-2018



Boorbeschrijving:

Boring: 110

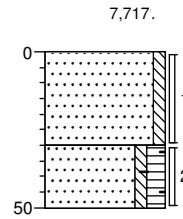
X: 208448,47
 Y: 475194,62
 Datum: 24-05-2018



677 braak
 Zand, matig fijn, zwak siltig, zwak humeus, zwak grindig, zwak baksteenhoudend, resten aardewerk, geen olie-water reactie, neutraal bruinbruin, Edelmanboor
 627

Boring: 111

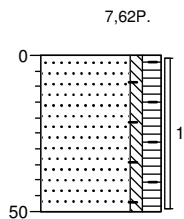
X: 208481,60
 Y: 475179,10
 Datum: 24-05-2018



772 braak
 Zand, zeer fijn, zwak siltig, sporen roest, geen olie-water reactie, licht beigebruin, Edelmanboor
 742
 Zand, zeer fijn, zwak siltig, matig humeus, sporen baksteen, geen olie-water reactie, donker bruinbruin, Edelmanboor
 722

Boring: 112

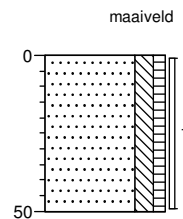
X: 208504,34
 Y: 475146,66
 Datum: 24-05-2018



762 braak
 Zand, zeer fijn, zwak siltig, matig humeus, zwak baksteenhoudend, geen olie-water reactie, donker bruinbruin, Edelmanboor
 712

Boring: 113

Datum: 23-05-2018

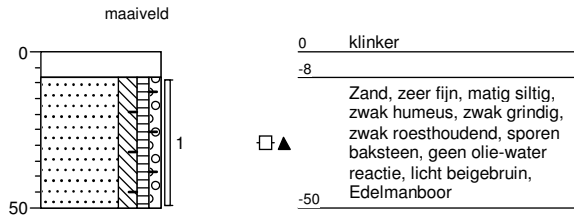


0 braak
 Zand, zeer fijn, matig siltig, zwak humeus, geen olie-water reactie, neutraal bruinbruin, Edelmanboor
 -50

Boorbeschrijving:

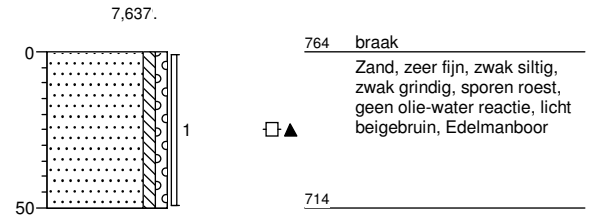
Boring: 114

Datum: 23-05-2018



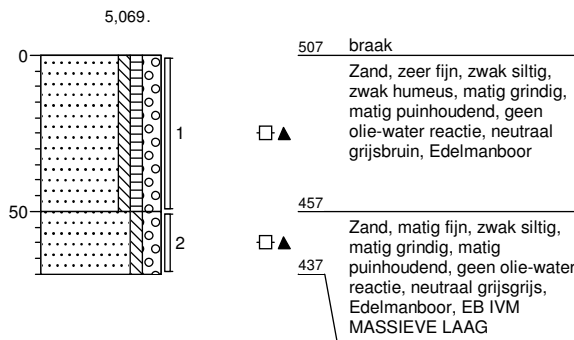
Boring: 115

X: 208372,04
Y: 475195,99
Datum: 24-05-2018



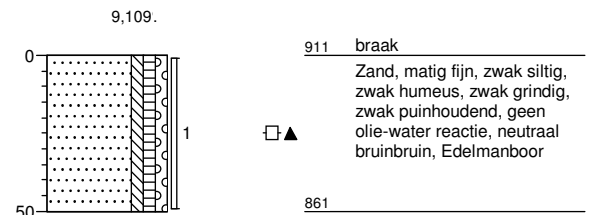
Boring: 116

X: 208458,11
Y: 475151,92
Datum: 25-05-2018



Boring: 117

X: 208496,90
Y: 475122,31
Datum: 24-05-2018



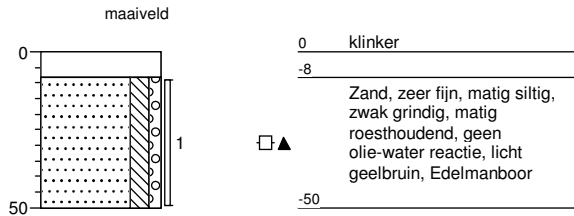
Projectnaam: Geertruidentuin te Deventer

Projectcode: 01.18.1763

Boorbeschrijving:

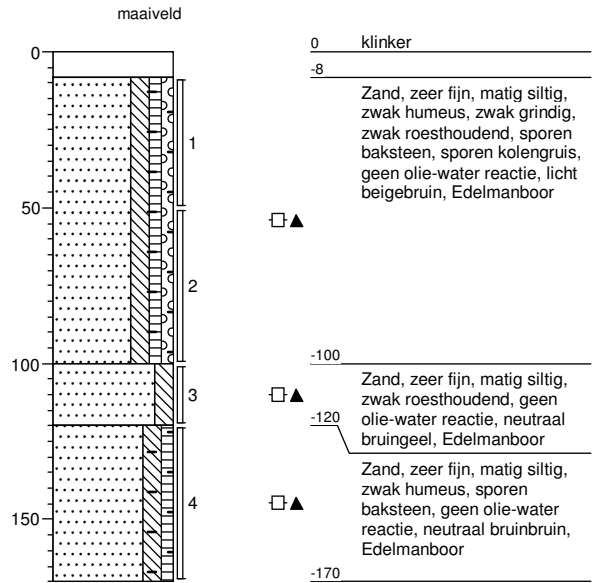
Boring: 118

Datum: 23-05-2018



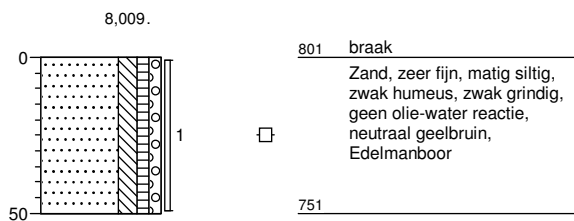
Boring: 119

Datum: 23-05-2018



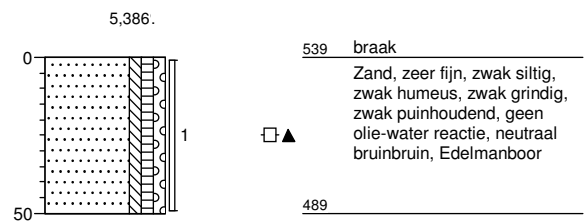
Boring: 120

X: 208330,70
Y: 475184,98
Datum: 24-05-2018



Boring: 121

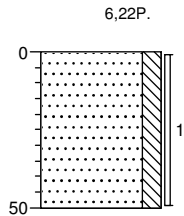
X: 208421,45
Y: 475115,65
Datum: 25-05-2018



Boorbeschrijving:

Boring: 122

X: 208456,11
 Y: 475117,04
 Datum: 24-05-2018

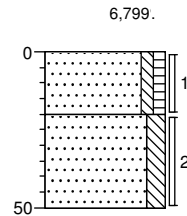


622 braak
 Zand, zeer fijn, matig siltig,
 sterk roesthoudend, geen
 olie-water reactie,
 Edelmanboor

572

Boring: 123

X: 208449,90
 Y: 475091,01
 Datum: 24-05-2018



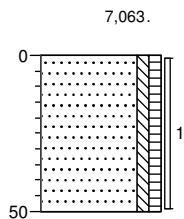
680 braak
 Zand, matig fijn, zwak siltig,
 zwak humeus, geen
 olie-water reactie, neutraal
 bruinbruin, Edelmanboor

660

630
 Zand, zeer fijn, matig siltig,
 matig roesthoudend, geen
 olie-water reactie,
 Edelmanboor

Boring: 124

X: 208215,14
 Y: 475213,80
 Datum: 25-05-2018

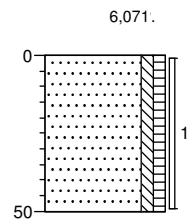


706 braak
 Zand, zeer fijn, zwak siltig,
 zwak humeus, zwak
 roesthoudend, sporen
 kolengruis, geen olie-water
 reactie, Edelmanboor

656

Boring: 125

X: 208247,67
 Y: 475189,79
 Datum: 25-05-2018



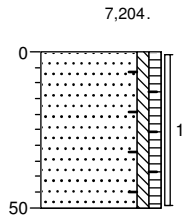
607 braak
 Zand, zeer fijn, zwak siltig,
 zwak humeus, geen
 olie-water reactie, licht
 geelbruin, Edelmanboor

557

Boorbeschrijving:

Boring: 126

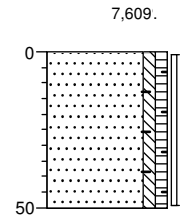
X: 208281,71
Y: 475166,86
Datum: 25-05-2018



720 groenstrook
Zand, matig fijn, zwak siltig,
zwak humeus, sporen
baksteen, donkerbruin,
Edelmanboor
▲
670

Boring: 127

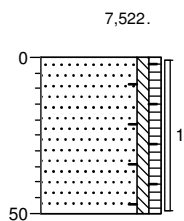
X: 208311,30
Y: 475144,82
Datum: 25-05-2018



761 groenstrook
Zand, matig fijn, zwak siltig,
zwak humeus, sporen
baksteen, donkerbruin,
Edelmanboor
▲
711

Boring: 128

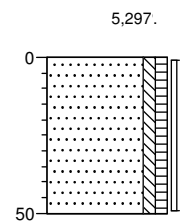
X: 208319,25
Y: 475124,75
Datum: 25-05-2018



752 braak
Zand, matig fijn, zwak siltig,
zwak humeus, sporen
baksteen, neutraalbruin,
Edelmanboor
▲
702

Boring: 129

X: 208341,58
Y: 475094,06
Datum: 25-05-2018

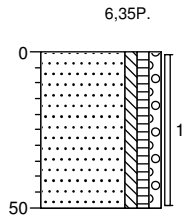


530 braak
Zand, matig fijn, zwak siltig,
zwak humeus, neutraal
geelbruin, Edelmanboor
▲
480

Boorbeschrijving:

Boring: 130

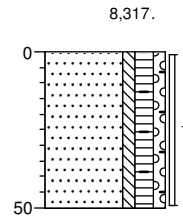
X: 208408,10
Y: 475084,35
Datum: 25-05-2018



635 braak
Zand, matig fijn, zwak siltig, zwak humeus, zwak grindig, geen olie-water reactie, neutraal bruinbruin, Edelmanboor
585

Boring: 131

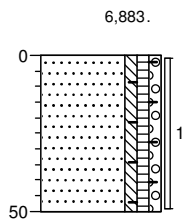
X: 208403,03
Y: 475056,84
Datum: 25-05-2018



832 braak
Zand, matig fijn, zwak siltig, matig humeus, zwak grindig, sporen baksteen, geen olie-water reactie, donker bruinbruin, Edelmanboor
782

Boring: 132

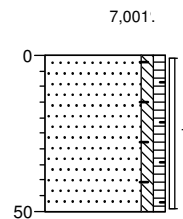
X: 208187,20
Y: 475198,14
Datum: 25-05-2018



688 braak
Zand, matig fijn, zwak siltig, zwak humeus, zwak grindig, zwak baksteenhoudend, geen olie-water reactie, neutraal bruinbruin, Edelmanboor
638

Boring: 133

X: 208189,96
Y: 475162,96
Datum: 25-05-2018

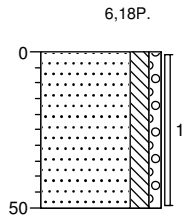


700 braak
Zand, matig fijn, zwak siltig, zwak humeus, zwak baksteenhoudend, geen olie-water reactie, neutraal bruinbruin, Edelmanboor
650

Boorbeschrijving:

Boring: 134

X: 208225,93
 Y: 475148,11
 Datum: 25-05-2018

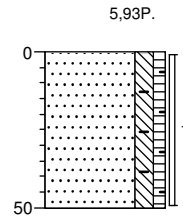


618 braak
 Zand, zeer fijn, matig siltig,
 zwak grindig, resten leem,
 geen olie-water reactie, licht
 grijsbruin, Edelmanboor

568

Boring: 135

X: 208260,83
 Y: 475133,10
 Datum: 25-05-2018

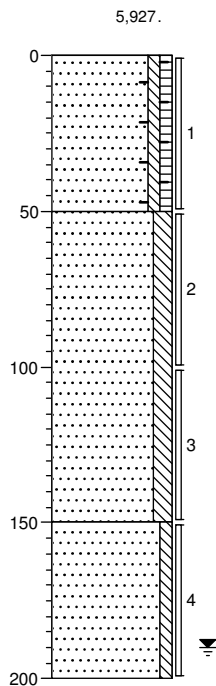


593 braak
 Zand, zeer fijn, matig siltig,
 zwak humeus, zwak
 baksteenhoudend, geen
 olie-water reactie, neutraal
 geelbruin, Edelmanboor

543

Boring: 136

X: 208285,82
 Y: 475100,09
 Datum: 25-05-2018
 GWS: 190



593 braak
 Zand, matig fijn, zwak siltig,
 zwak humeus, sporen
 baksteen, sporen
 zandcement, neutraal
 geelbruin, Edelmanboor

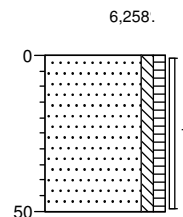
543
 Zand, zeer fijn, matig siltig,
 neutraal oranjegeel,
 Edelmanboor

443
 Zand, matig fijn, zwak siltig,
 neutraal cremegeel,
 Edelmanboor

393

Boring: 137

X: 208322,60
 Y: 475068,50
 Datum: 25-05-2018



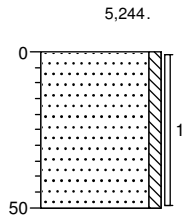
626 braak
 Zand, matig fijn, zwak siltig,
 zwak humeus, donkerbruin,
 Edelmanboor

576

Boorbeschrijving:

Boring: 138

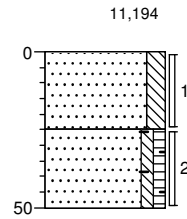
X: 208373,80
 Y: 475076,19
 Datum: 25-05-2018



524 braak
 Zand, zeer fijn, zwak siltig,
 zwak roesthoudend, geen
 olie-water reactie,
 Edelmanboor
 474

Boring: 139

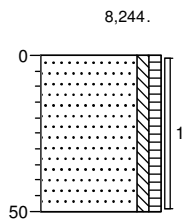
X: 208347,49
 Y: 475038,09
 Datum: 25-05-2018



1119 braak
 Zand, matig fijn, matig siltig,
 neutraal oranjegeel,
 Edelmanboor
 1094
 Zand, matig fijn, zwak siltig,
 zwak humeus, sporen
 baksteen, neutraalbruin,
 Edelmanboor
 1069

Boring: 140

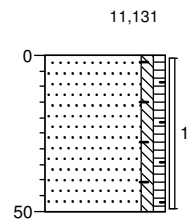
X: 208411,68
 Y: 475041,27
 Datum: 25-05-2018



824 braak
 Zand, matig fijn, zwak siltig,
 zwak humeus, neutraalbruin,
 Edelmanboor
 774

Boring: 141

X: 208381,36
 Y: 475012,16
 Datum: 25-05-2018

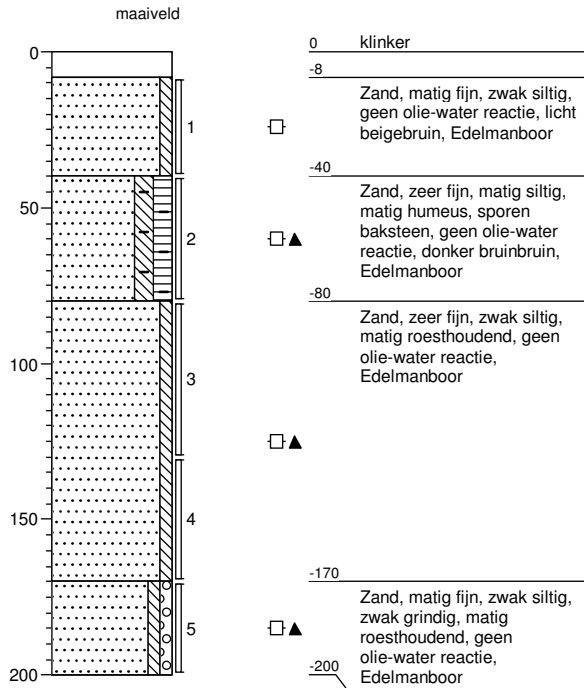


1113 braak
 Zand, matig fijn, zwak siltig,
 zwak humeus, sporen
 baksteen, neutraal bruingeel,
 Edelmanboor
 1063

Boorbeschrijving:

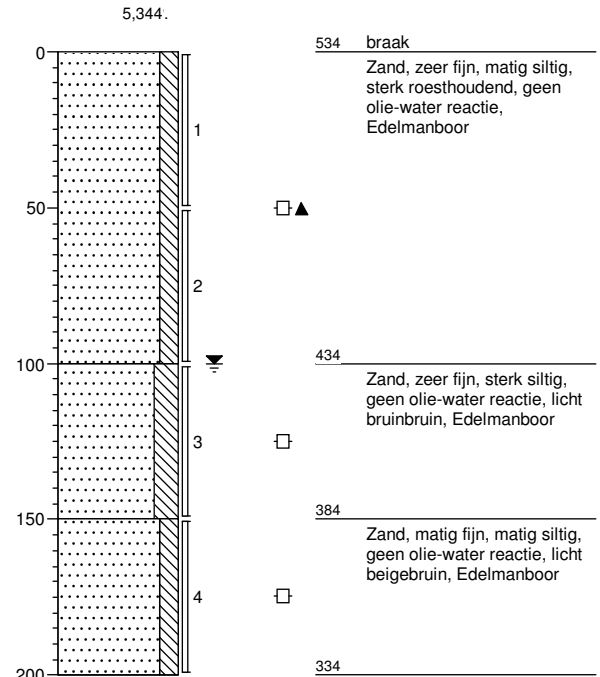
Boring: 142

Datum: 23-05-2018



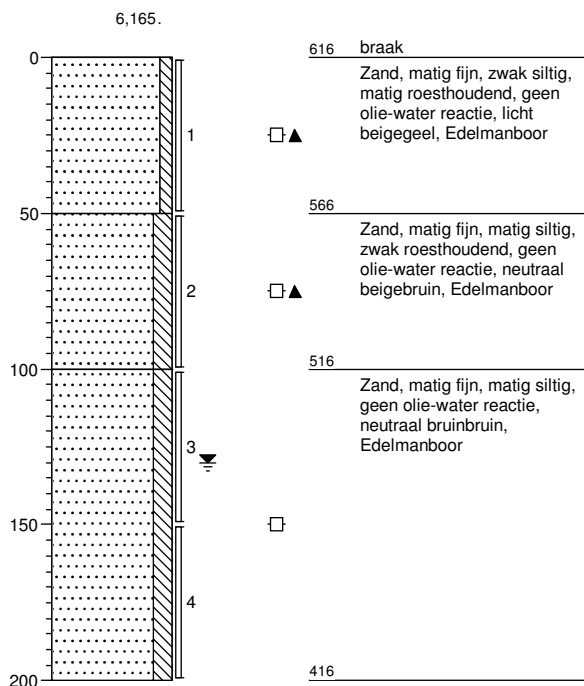
Boring: 143

X: 208410.30
Y: 475191.81
Datum: 24-05-2018
GWS: 100



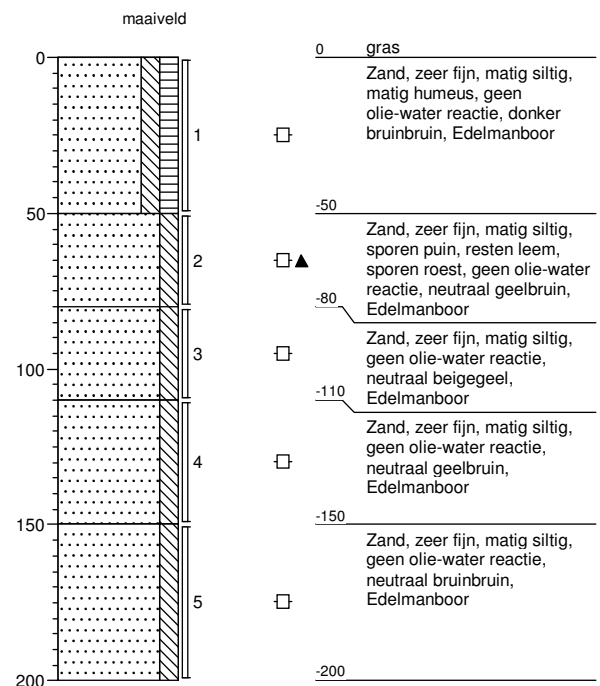
Boring: 144

X: 208482.01
Y: 475155.55
Datum: 25-05-2018
GWS: 130



Boring: 145

Datum: 23-05-2018



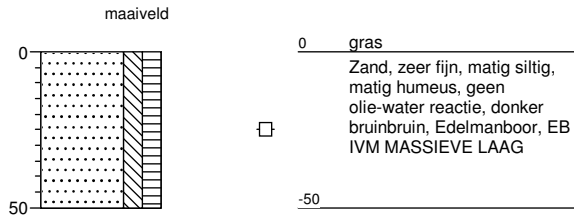
Projectnaam: Geertruidentuin te Deventer

Projectcode: 01.18.1763

Boorbeschrijving:

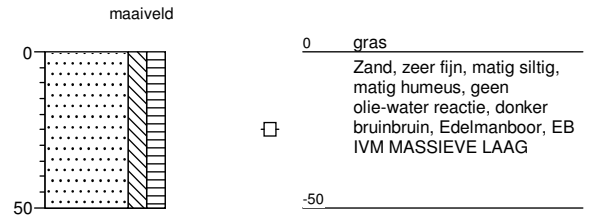
Boring: 145A

Datum: 23-05-2018



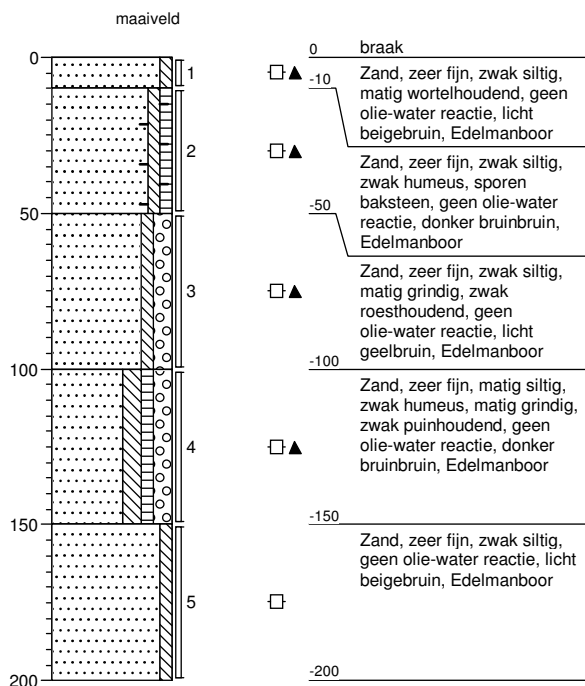
Boring: 145B

Datum: 23-05-2018



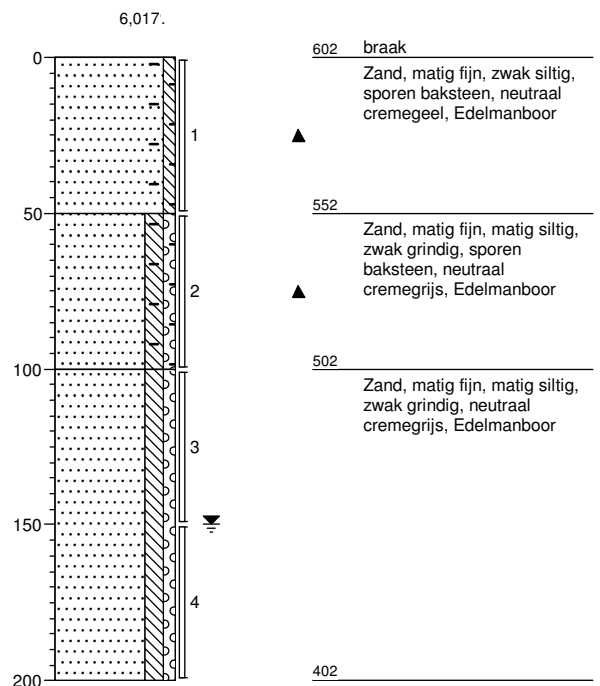
Boring: 146

Datum: 24-05-2018



Boring: 147

X: 208399,72
Y: 475142,68
Datum: 25-05-2018
GWS: 150



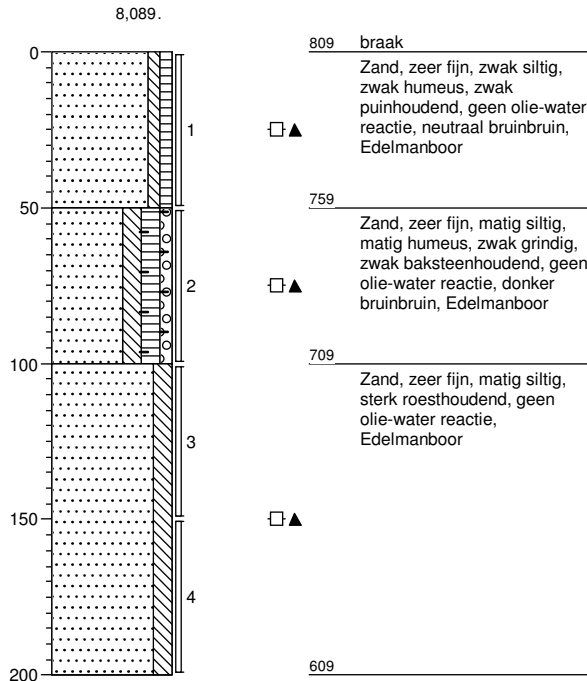
Projectnaam: Geertruidentuin te Deventer

Projectcode: 01.18.1763

Boorbeschrijving:

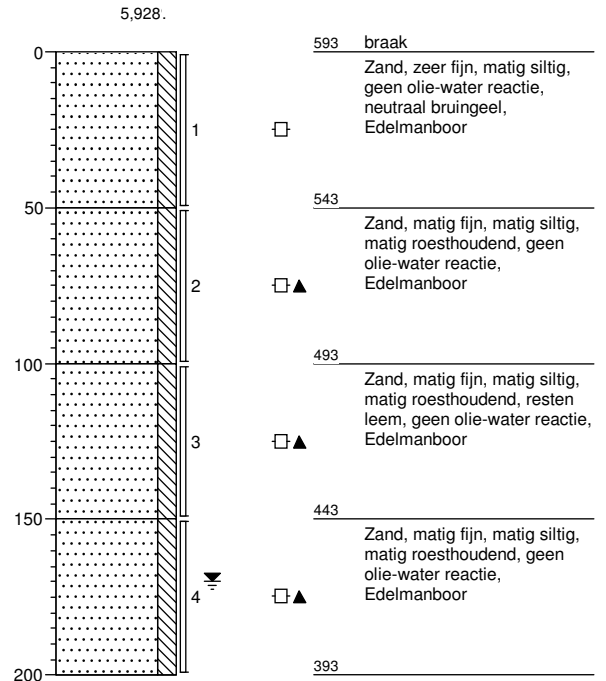
Boring: 148

X: 208440,58
 Y: 475106,65
 Datum: 24-05-2018



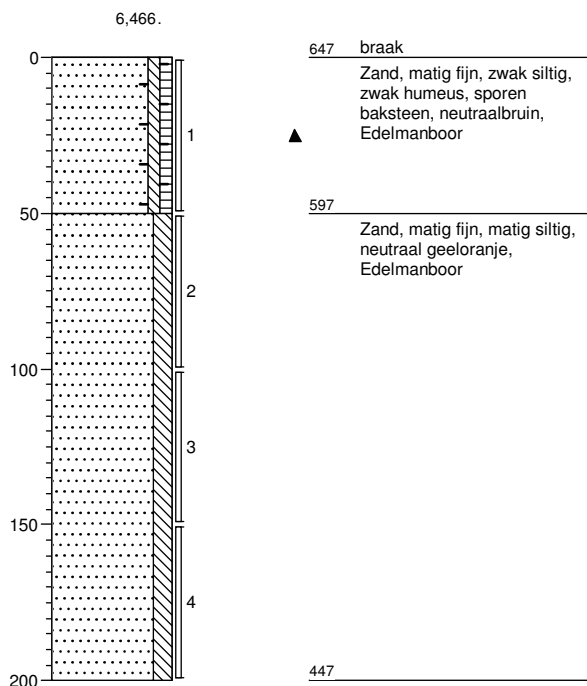
Boring: 149

X: 208219,10
 Y: 475190,19
 Datum: 25-05-2018
 GWS: 170



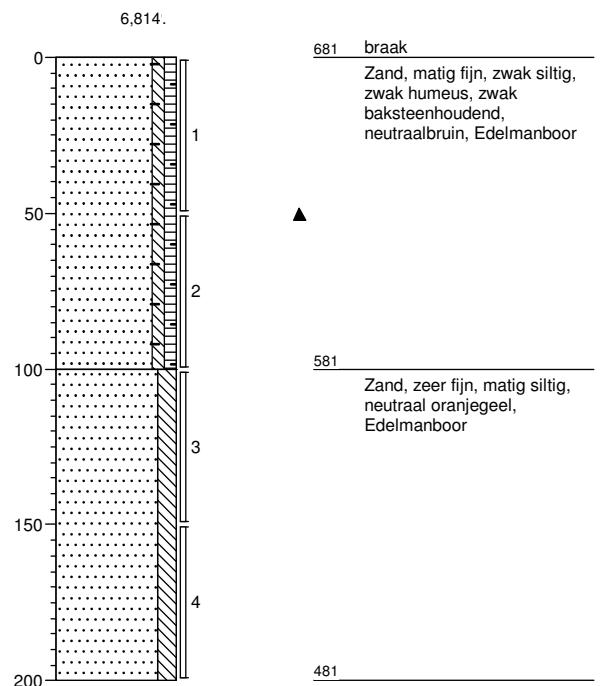
Boring: 150

X: 208273,82
 Y: 475149,83
 Datum: 25-05-2018



Boring: 151

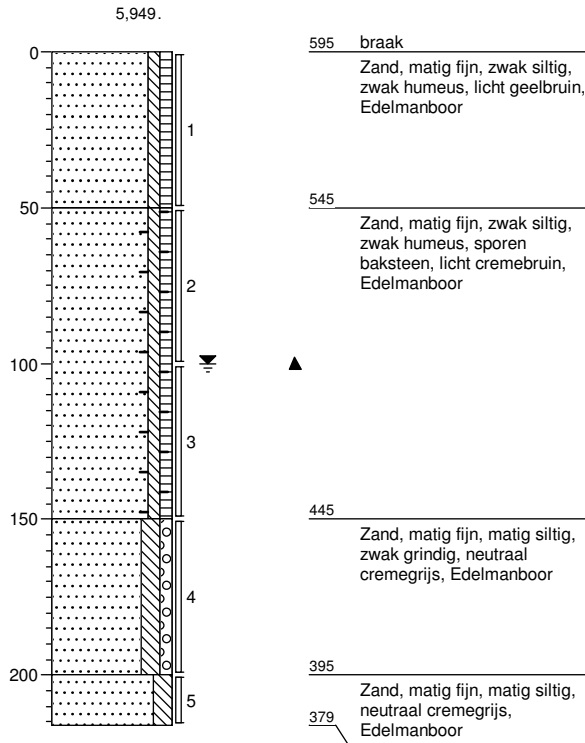
X: 208384,15
 Y: 475043,87
 Datum: 25-05-2018



Boorbeschrijving:

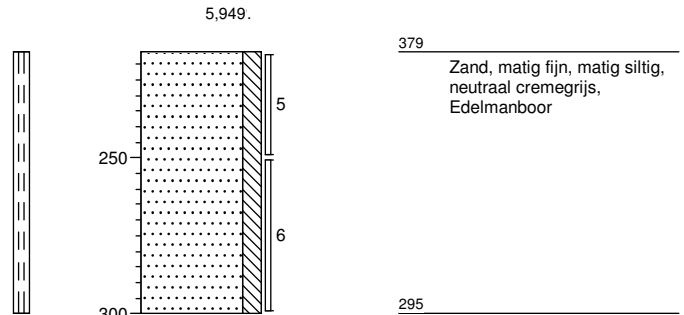
Boring: 201 - 1

X: 208415,06
 Y: 475136,67
 Datum: 25-05-2018
 GWS: 100



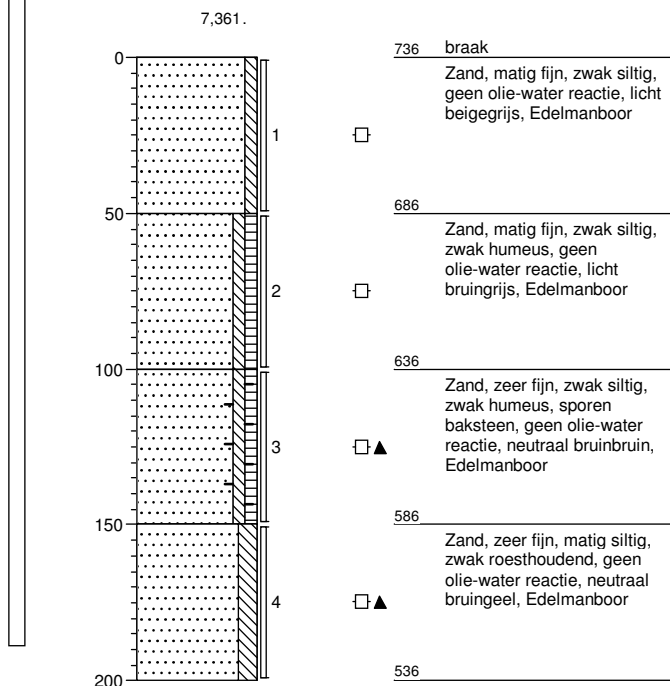
Boring: 201 - 2

X: 208415,06
 Y: 475136,67
 Datum: 25-05-2018
 GWS: 100



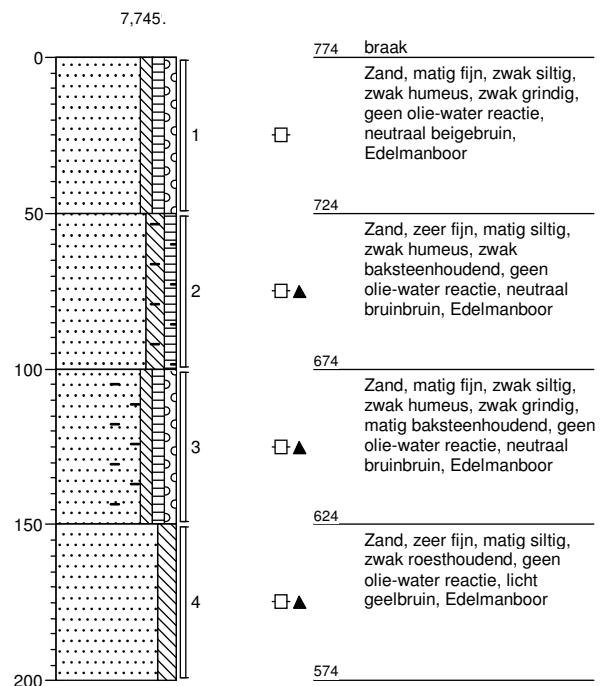
Boring: 402

X: 208411,11
 Y: 475228,98
 Datum: 24-05-2018



Boring: 505

X: 208374,08
 Y: 475206,65
 Datum: 24-05-2018



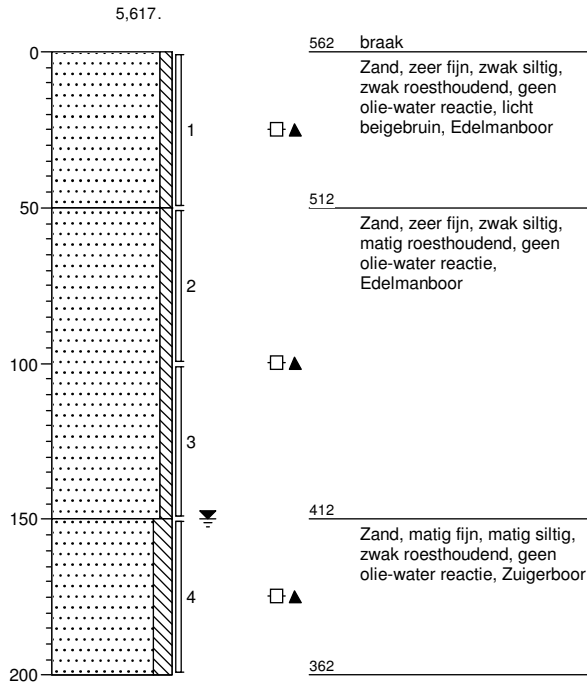
Projectnaam: Geertruidentuin te Deventer

Projectcode: 01.18.1763

Boorbeschrijving:

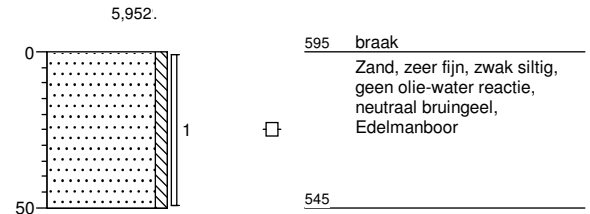
Boring: 506

X: 208263,44
 Y: 475118,71
 Datum: 25-05-2018
 GWS: 150



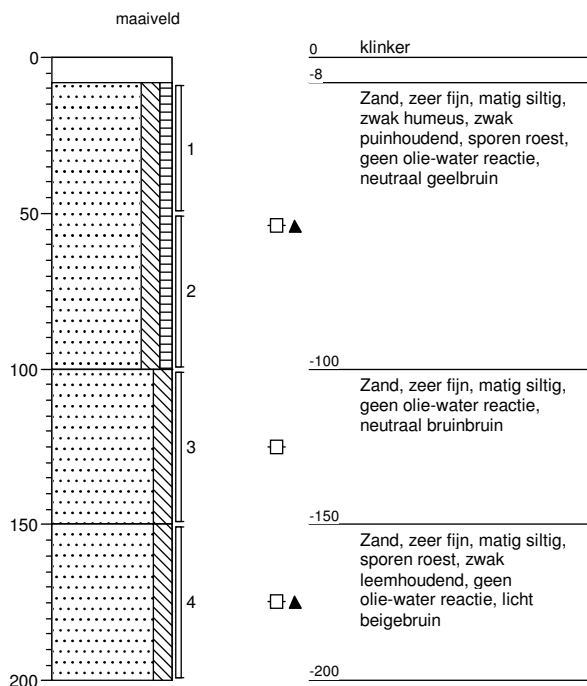
Boring: 507

X: 208270,47
 Y: 475112,61
 Datum: 25-05-2018



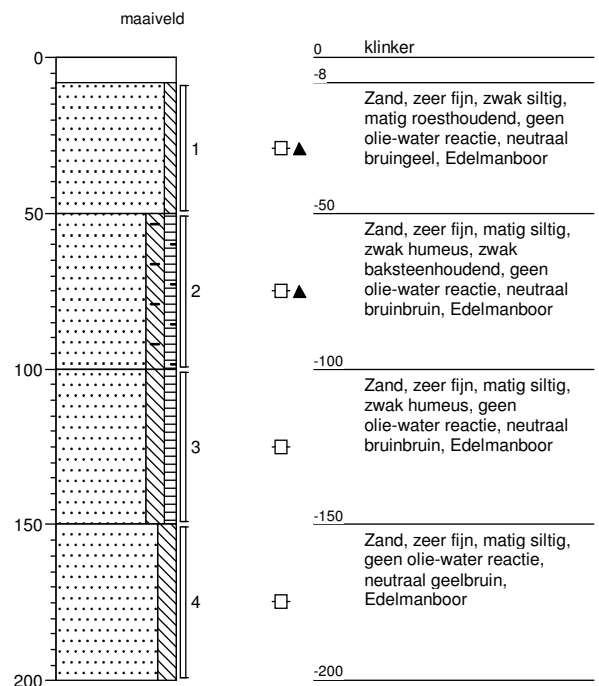
Boring: 508

Datum: 23-05-2018



Boring: 509

Datum: 23-05-2018



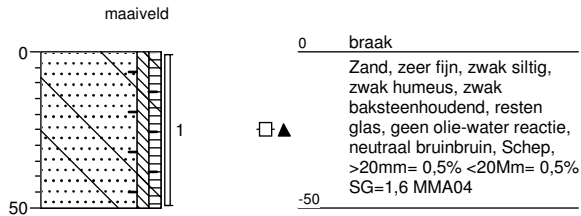
Projectnaam: Geertruidentuin te Deventer

Projectcode: 01.18.1763

Boorbeschrijving:

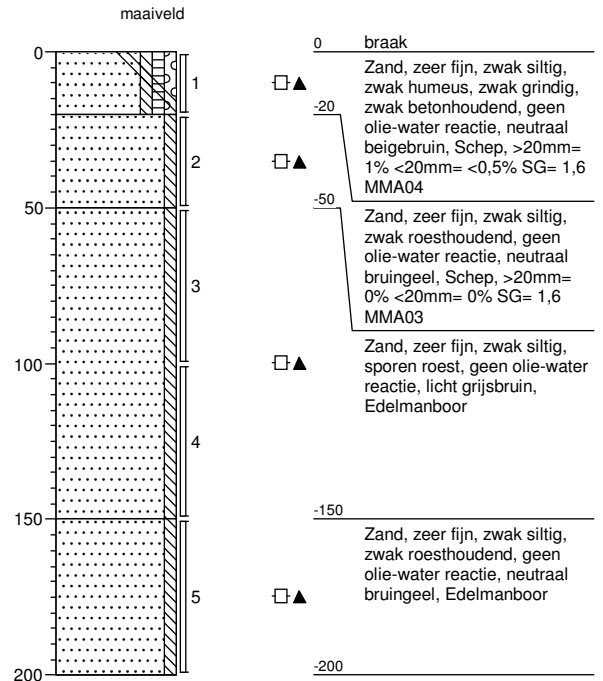
Boring: 202

Datum: 23-05-2018



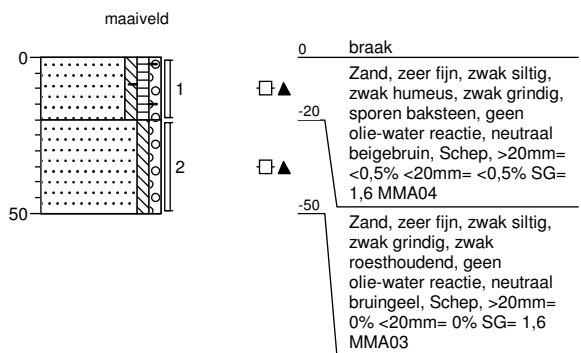
Boring: 203

Datum: 23-05-2018



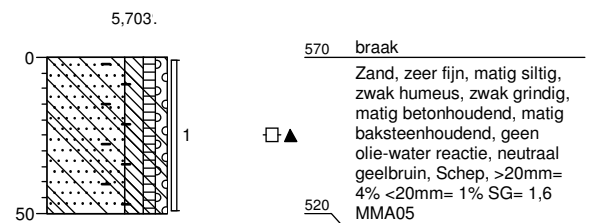
Boring: 204

Datum: 23-05-2018



Boring: 205

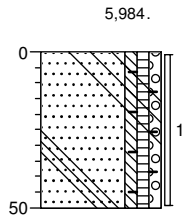
X: 208388,96
Y: 475161,20
Datum: 25-05-2018



Boorbeschrijving:

Boring: 206

X: 208416,01
Y: 475157,26
Datum: 25-05-2018

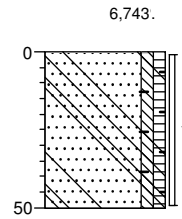


598 braak
Zand, zeer fijn, zwak siltig, zwak humeus, zwak grindig, matig betonhoudend, zwak baksteenhoudend, geen olie-water reactie, neutraal bruingeel, Schep, >20mm= 2% <20mm= 0,5% SG= 1,6 MMA05

548

Boring: 207

X: 208445,74
Y: 475133,40
Datum: 24-05-2018

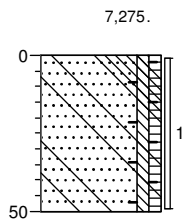


674 braak
Zand, zeer fijn, zwak siltig, zwak humeus, zwak baksteenhoudend, resten beton, geen olie-water reactie, neutraal bruinbruin, Schep, >20mm= 4% <20mm= 1% SG= 1,6 MMA06

624

Boring: 208

X: 208476,84
Y: 475114,89
Datum: 24-05-2018

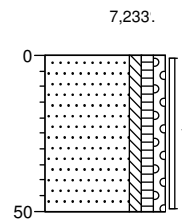


728 braak
Zand, zeer fijn, zwak siltig, zwak humeus, zwak baksteenhoudend, zwak betonhoudend, geen olie-water reactie, neutraal bruinbruin, Schep, >20mm= 3% <20mm= 1% SG= 1,6 MMA06

678

Boring: 209

X: 208492,48
Y: 475135,10
Datum: 24-05-2018



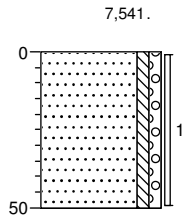
723 braak
Zand, matig fijn, zwak siltig, zwak humeus, zwak grindig, zwak puinhoudend, geen olie-water reactie, neutraal bruinbruin, Schep, >20mm= 1% <29mm= <0,5% SG= 1,6 MMA06

673

Boorbeschrijving:

Boring: 210

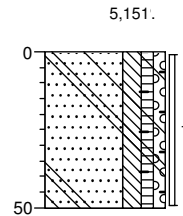
X: 208361,27
 Y: 475176,29
 Datum: 24-05-2018



754 braak
 Zand, zeer fijn, zwak siltig, zwak grindig, sporen puin, geen olie-water reactie, licht beigebruin, Schep, >20mm= <0,5% <20mm= <0,5% SG=1,6 MMA02
 704

Boring: 211

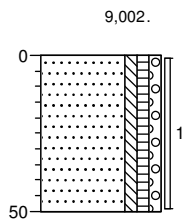
X: 208375,95
 Y: 475140,63
 Datum: 25-05-2018



515 braak
 Zand, zeer fijn, matig siltig, zwak humeus, zwak grindig, zwak betonhoudend, zwak baksteenhoudend, geen olie-water reactie, neutraal geelbruin, Schep, >20mm= 1% <20mm= <0,5% SG= 1,6 MMA05
 465

Boring: 213

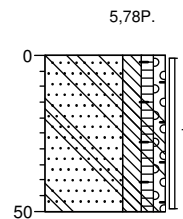
X: 208353,06
 Y: 475158,84
 Datum: 24-05-2018



900 braak
 Zand, zeer fijn, zwak siltig, zwak humeus, zwak grindig, zwak puinhoudend, geen olie-water reactie, neutraal bruinbruin, Schep, >20mm= 1% <20mm+ 0,5% SG= 1,6 MMA02
 850

Boring: 214

X: 208398,79
 Y: 475116,98
 Datum: 25-05-2018

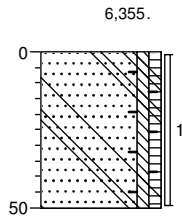


578 braak
 Zand, zeer fijn, matig siltig, zwak humeus, zwak grindig, matig betonhoudend, zwak baksteenhoudend, geen olie-water reactie, neutraal bruinbruin, Schep, >20mm= 5% <20mm= <0,5% SG= 1,6 MMA05
 528

Boorbeschrijving:

Boring: 215

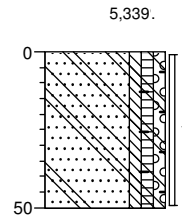
X: 208433,67
 Y: 475083,68
 Datum: 24-05-2018



636 braak
 Zand, zeer fijn, zwak siltig, zwak humeus, zwak baksteenhoudend, resten beton, geen olie-water reactie, neutraal bruinbruin, Schep, >20mm= 4% <20mm= 1% SG= 1,6 MMA06
 586

Boring: 216

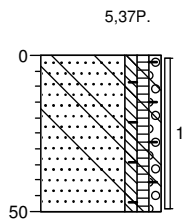
X: 208375,46
 Y: 475096,55
 Datum: 25-05-2018



534 braak
 Zand, zeer fijn, zwak siltig, zwak humeus, zwak grindig, zwak betonhoudend, zwak baksteenhoudend, geen olie-water reactie, neutraal geelbruin, Schep, >20mm= 2% <20mm= 0,5% SG= 1,6 MMA05
 484

Boring: 217

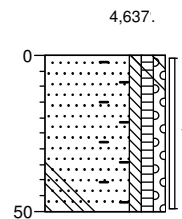
X: 208348,33
 Y: 475078,43
 Datum: 25-05-2018



537 braak
 Zand, zeer fijn, zwak siltig, zwak humeus, zwak grindig, zwak betonhoudend, zwak baksteenhoudend, resten ijzer, geen olie-water reactie, neutraal geelbruin, Schep, >20mm= 4% <20mm= 1% SG= 1,6 MMA05
 487

Boring: 221

X: 208334,76
 Y: 475130,77
 Datum: 25-05-2018

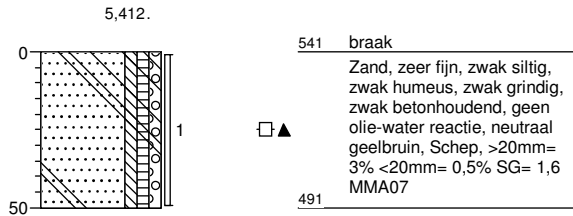


464 braak
 Zand, zeer fijn, zwak siltig, zwak humeus, zwak grindig, zwak betonhoudend, matig baksteenhoudend, geen olie-water reactie, neutraal geelbruin, Schep, >20mm= 3% <20mm= 0,5% SG= 1,6 MMA05
 414

Boorbeschrijving:

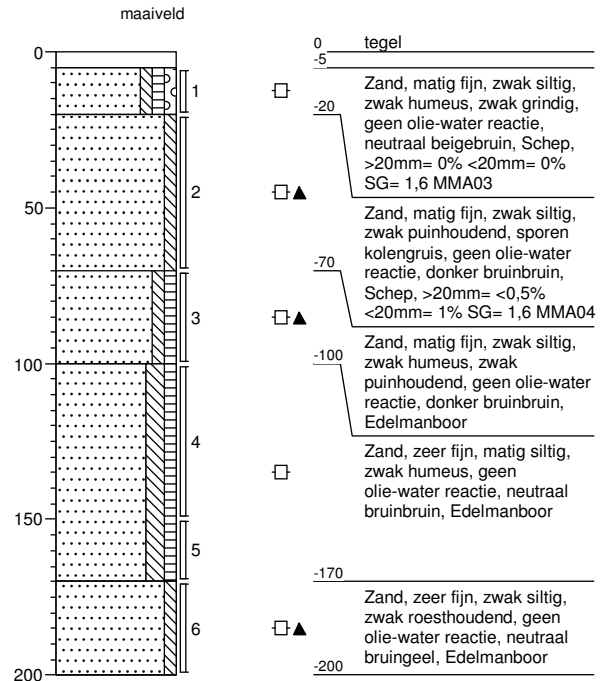
Boring: 223

X: 208311,53
 Y: 475102,47
 Datum: 25-05-2018



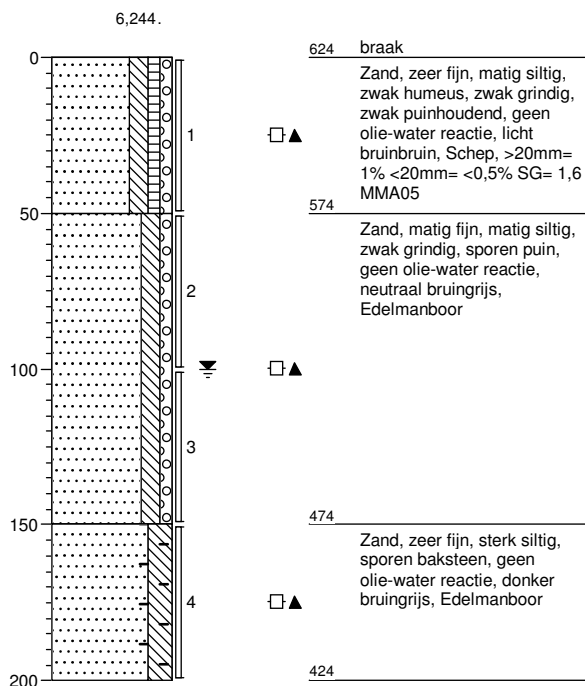
Boring: 224

Datum: 23-05-2018



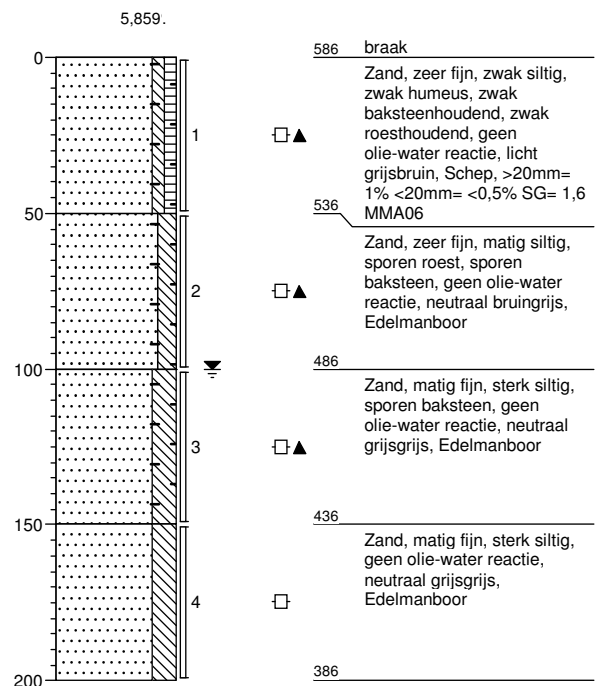
Boring: 225

X: 208395,07
 Y: 475179,28
 Datum: 24-05-2018
 GWS: 100



Boring: 226

X: 208416,71
 Y: 475098,34
 Datum: 25-05-2018
 GWS: 100



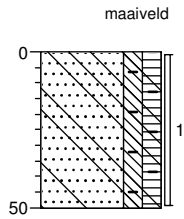
Projectnaam: Geertruidentuin te Deventer

Projectcode: 01.18.1763

Boorbeschrijving:

Boring: 301

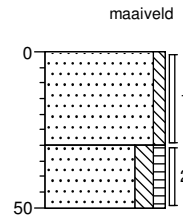
Datum: 23-05-2018



0 braak
 Zand, zeer fijn, matig siltig, matig humeus, zwak baksteenhoudend, resten glas, geen olie-water reactie, donker bruinbruin, Schep, >20mm= 1% <20mm= 0,5% SG=1,6 MMA04

Boring: 302

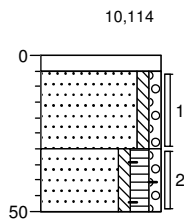
Datum: 23-05-2018



0 tegel
 Zand, zeer fijn, zwak siltig, zwak roesthoudend, geen olie-water reactie, neutraal bruingeel, Edelmanboor, >20mm= 0% <20mm= 0% SG= 1,6 MMA01
 -30
 -50 Zand, zeer fijn, matig siltig, zwak humeus, sporen roest, sporen puin, geen olie-water reactie, neutraal bruinbruin, Edelmanboor, >20mm= 0,5% <20mm= <0,5% SG= 1,6 MMA02

Boring: 303

X: 208350,11
 Y: 475218,31
 Datum: 24-05-2018

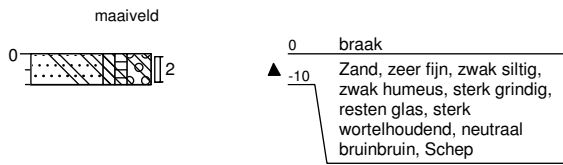


1011 tegel
 1006
 Zand, zeer fijn, zwak siltig, zwak grindig, geen olie-water reactie, licht beigebruin, Schep, >20mm= 0% <20mm= 0% SG=1,6 MMA01
 981
 961 Zand, zeer fijn, zwak siltig, matig humeus, zwak grindig, sporen baksteen, geen olie-water reactie, donker bruinbruin, Schep, >20mm= <0,5% <20mm= <0,5% SG= 1,6 MMA02

Boorbeschrijving:

Boring: SL01

Datum: 04-06-2018

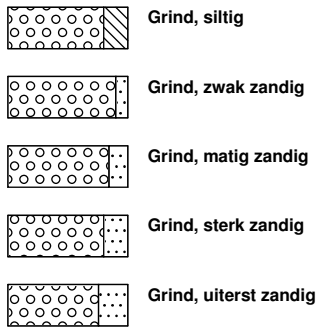


Projectnaam: Geertruidentuin te Deventer

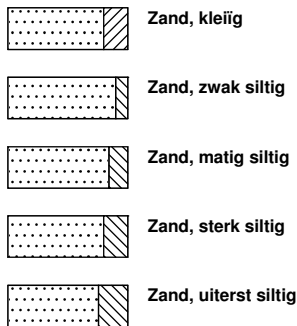
Projectcode: 01.18.1763

Legenda (conform NEN 5104)

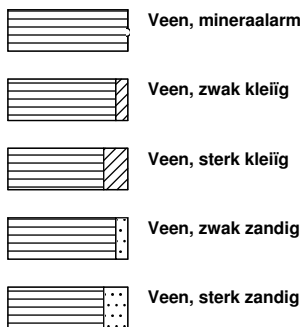
grind



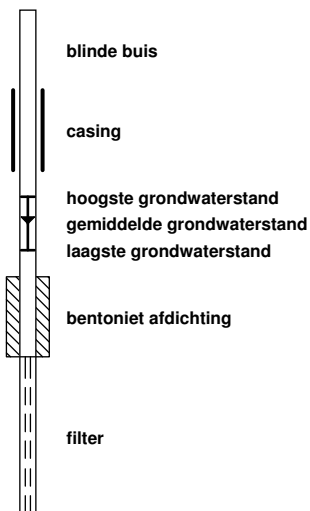
zand



veen



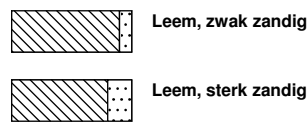
peilbuis



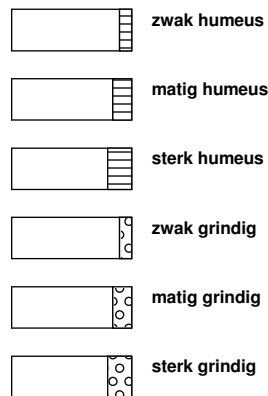
klei



leem



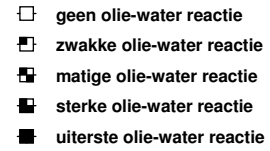
overige toevoegingen



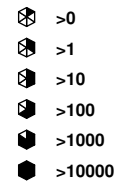
geur



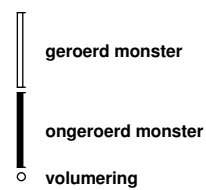
olie



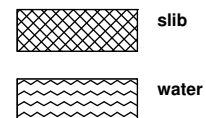
p.i.d.-waarde



monsters

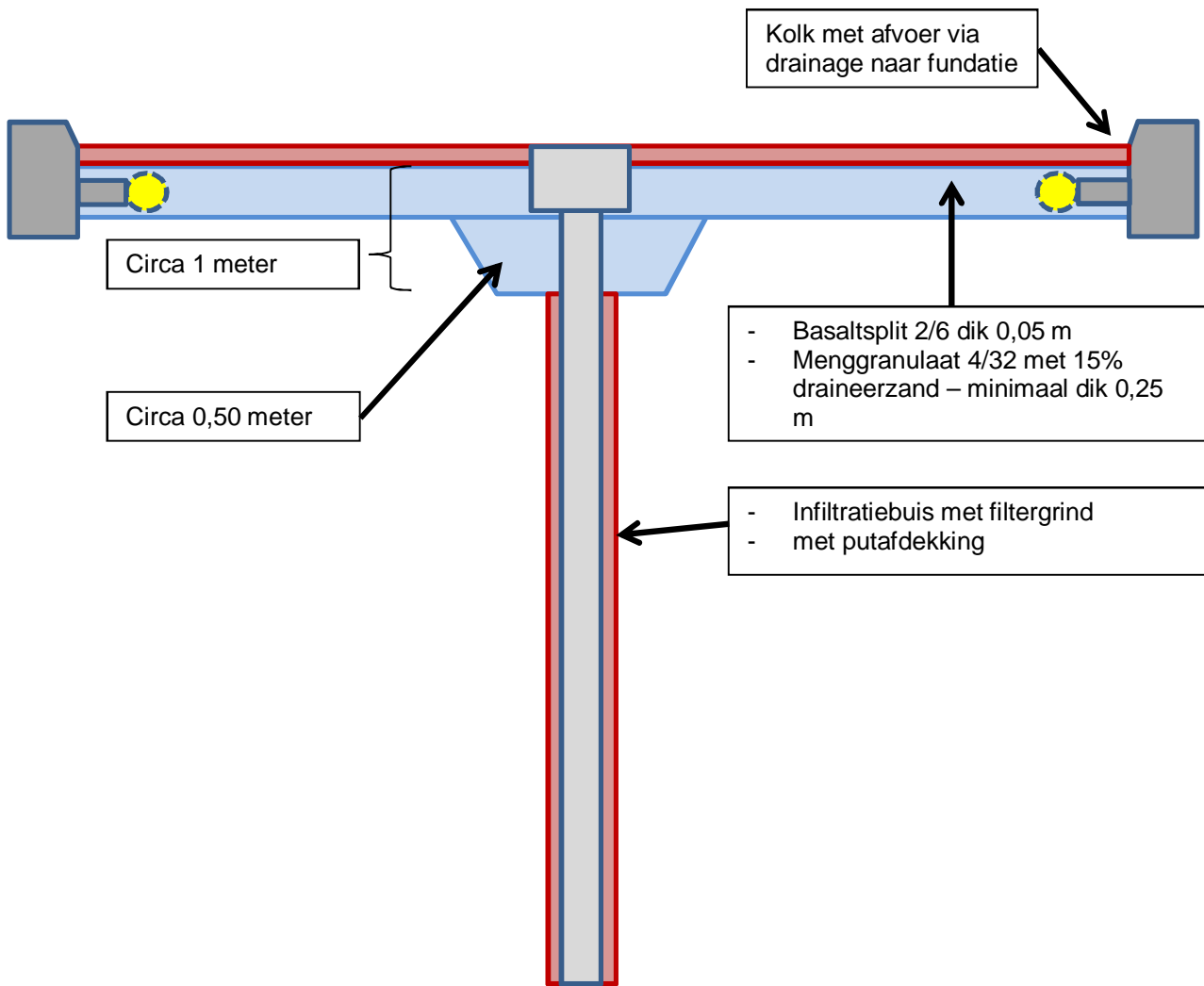


overig



Opbouw waterbergende straat met diepte-infiltratie (versie 2)

30 mei 2018



Bijlage 9 Archeologische bureaustudie

Gemeente Deventer, archeologische bureaustudie 891

St. Geertridentuin

Herontwikkeling St. Geertruidenziekenhuisterrein

Adviesnummer: 891

COLOFON



© 2017 Gemeente Deventer, Deventer.

Auteur: M. van der Wal, MA (senior Archeoloog)

Titel: Bureauonderzoek St. Geertruidentuin (archeologische bureaustudie 891).

Archeologie Deventer
Gemeente Deventer

Postbus 5000
7400 GC Deventer
Telefoon: (0031)-(0)570-671155
www.deventer.nl

Status:	Definitief		
	Naam:	Datum:	Paraaf:
Akkoord Auteur	M. van der Wal	21-09-2017	
Akkoord Bevoegde overheid	B. Vermeulen	21-09-2017	

INHOUD

INHOUD	FOUT! BLADWIJZER NIET GEDEFINIEERD.
1 INLEIDING.....	4
1.1 ADMINISTRATIEVE GEGEVENS.....	4
1.1 KADER, DOELSTELLING EN RICHTLIJNEN.....	4
1.2 PLANGEBIED EN ONDERZOEKSGEBIED	6
1.3 OMVANG EN AARD VERSTORING	6
1.4 WERKWIJZE	7
2 BUREAUSTUDIE	8
2.1 GEOMORFOLOGIE	8
2.2 BODEMKUNDE	9
2.3 HISTORISCHE SITUATIE	10
<i>Prehistorie en Romeinse tijd</i>	10
<i>Vroege middeleeuwen tot en met de late middeleeuwen</i>	10
<i>De nieuwe tijd</i>	10
<i>Tweede Wereldoorlog</i>	13
2.4 BEKENDE ARCHEOLOGISCHE WAARDEN.....	14
2.4.1 <i>Archeologische verwachtingskaart</i>	14
2.4.2 <i>Van verwachting naar beleid</i>	17
3 CONCLUSIE EN GESPECIFICEERDE ARCHEOLOGISCHE VERWACHTING.....	19
3.1 GESPECIFICEERDE VERWACHTING	19
3.2 SAMENVATTING.....	20
3.3 SELECTIEADVIES.....	21
3.4 SELECTIEBESLUIT	21
3.5 KOSTEN	21
LITERATUUR.....	21

1 INLEIDING

1.1 Administratieve gegevens

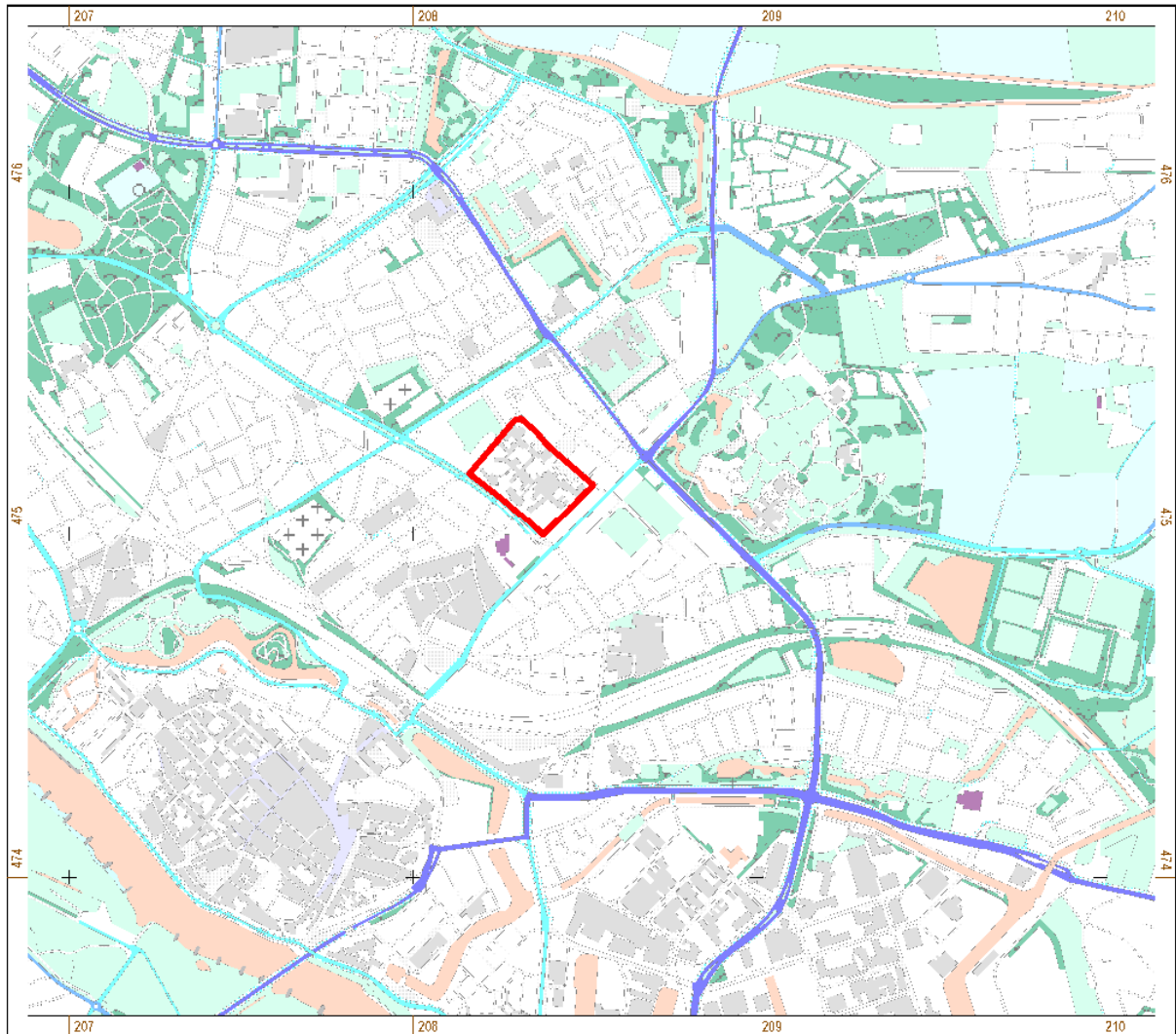
Projectnaam	Project A891 St. Geertruidentuin
Provincie	Overijssel
Gemeente	Deventer
Plaats	Deventer
Toponiem	St. Geertruidentuin
Kaartbladnummer	33 E
Centrum x, y-coördinaten	X: 208.305; Y: 475.213
Kadastraal perceel	DVT00B 15152, 16376, 16549 en 16550,
Onderzoeksmeldingsnummer	4562766100
CMA/AMK-status	n.v.t.
Archis-monumentnummer	n.v.t.
Archis-waarnemingsnummer	n.v.t.
Oppervlakte plangebied	Ca. 60.110 m ²
Oppervlakte onderzoeksgebied	Ca. 60.110 m ²
Huidig grondgebruik	Bebouwing, braakliggend grasveld
Globale hoogteligging t.o.v. NAP	6,60 t/m 8,15 m + NAP

1.1 Kader, doelstelling en richtlijnen

In verband met de voorgenomen werkzaamheden voor herontwikkeling van het terrein van het voormalige Deventer Ziekenhuis aan de Ceintuurbaan in Deventer is op aanvraag van de initiatiefnemer door Archeologie Deventer een bureaustudie opgesteld waarin de archeologische waarde van het terrein wordt vastgesteld (afb. 1). Dit onderzoek is noodzakelijk om vast te stellen of de voorgenomen bodemingrepen eventueel in de bodem aanwezige archeologische resten zouden kunnen verstoren. Op basis van het bureauonderzoek is een gespecificeerde archeologische verwachting opgesteld, die als uitgangspunt kan dienen voor de ontwerpfase. Op dit moment is een globale concept inrichtingstekening beschikbaar van de voorgenomen herinrichting. Wanneer de definitieve tekeningen voor een eventuele omgevingsvergunningaanvraag bekend zijn, dienen de bureaustudie en het (selectie)advies te worden geactualiseerd en wordt op basis hiervan een selectiebesluit genomen.

Op het moment van opstellen van deze bureaustudie is ter plaatse het bestemmingsplan 'St. Geertruidentuin e.o.' vigerend. Het nieuwe stedenbouwkundig plan past niet langer binnen de kaders van het vigerende bestemmingsplan. Er is daarom een nieuw bestemmingsplan noodzakelijk (werktitel 'BP Geertruidentuin'). In het vigerende bestemmingsplan kent de onderzoekslocatie geen dubbelbestemming archeologie. Dit is volgens de toelichting gebaseerd op de resultaten van een inventariserend veldonderzoek door middel van boringen dat in 2006 uitgevoerd zou moeten zijn. De rapportage hiervan is niet te vinden; er is geen bronvermelding aanwezig en ook in de administratie van de gemeente Deventer en in Archis ontbreekt dit rapport. Op aangrenzende percelen is wel door Arcadis in 2006 een booronderzoek uitgevoerd (zie ook par. 2.4.1).¹ Dit onderzoek biedt echter geen aanknopingspunten voor de vrijgave van het gehele ziekenhuisterrein. Vandaar dat nu als vertrekpunt voor het opstellen van een nieuw bestemmingsplan en toekomstige werkzaamheden deze bureaustudie is opgesteld.

¹ Akkerman & Brouwer, 2006.



Afb. 1: De ligging van het onderzoeksgebied.

Voor het nieuwe bestemmingsplan wordt het op 28 januari 2015 vastgestelde archeologiebeleid als uitgangspunt gebruikt. Ook deze bureaustudie gaat daarom uit van het nieuwe archeologiebeleid. Op basis van de in 2015 vastgestelde beleidskaart heeft het plangebied drie beleidswaarden, namelijk: "Waarde 0, 1 en 3 – Archeologie". Voor de inhoudelijke onderbouwing van de archeologische beleidswaarden wordt verwezen naar de rapportages bij de verwachtingskaart² en de beleidskaart³. Deze rapporten kunt u vinden op de website van de gemeente Deventer onder het thema archeologie.

De vraagstelling van het bureauonderzoek luidt als volgt:

Wat is de archeologische verwachting van het plangebied en is archeologisch onderzoek voorafgaand aan de voorgenomen ingreep noodzakelijk?

Met als deelvragen:

- Wat is de aard, datering, omvang en diepteligging van de eventuele verwachte archeologische resten?
- Wat is de verstoringsgraad van het plangebied?
- Wat zijn de consequenties van de ingreep voor de eventuele archeologische resten in het plangebied?

² Willemse, *et al.*, 2013.

³ Vermeulen, 2015.

1.2 Plangebied en onderzoeksgebied

Het onderzoeksgebied van deze bureaustudie komt overeen met het plangebied van het nieuwe stedenbouwkundige plan. In dit plan is sprake van drie parkdelen waarin ten dele oude gebouwen van het voormalige ziekenhuis (waaronder het monumentale Sociaal Medisch Centrum Deventer (SMCD-gebouw)) blijven behouden, maar waar tevens ruimte is voor de nieuwbouw van woningen en appartementen. **Afbeelding 2** geeft de ligging van het plangebied aan op een luchtfoto uit 2016.



Afb. 2: Het plangebied op de luchtfoto van 2016.

1.3 Omvang en aard verstoring

De werkzaamheden binnen het onderzoeksgebied zullen bestaan uit het bouwen van meerdere bouwblokken van woningen en appartementengebouwen. Daarnaast vindt er een herinrichting van de infrastructuur plaats en de aanleg van parken, waterbergingslocaties en parkeergelegenheden (**afb. 3**). De totale omvang, zowel in oppervlakte als in diepte, van de verstoringen is in deze fase van het plan nog niet duidelijk. De bouw van het ziekenhuis heeft vermoedelijk een deel van het onderzoeksgebied in het verleden al verstoord (zie ook par. 2.3 de nieuwe tijd). Vooral de grote uitbreidingen in de jaren 1968-1973 waarbij het 'nieuwe' St. Geertruidenziekenhuis' werd gebouwd, zullen vermoedelijk diep gefundeerd zijn. Een deel van deze gebouwen telden namelijk zes tot acht verdiepingen. Het is niet duidelijk of hier ook kelders aanwezig waren. Dit lijkt wel waarschijnlijk; na de sloop van een groot deel van het ziekenhuis (de uitbreidingen in de oostelijke helft van het onderzoeksgebied) is op het terrein een reliëf te zien waarbij op de locatie van de uitbreidingen nu grote plassen aanwezig zijn (vergelijk **afbeelding 2 en 7**). Rondom en tussen de gebouwen waren echter grote delen van het terrein in gebruik als binnentuin of parkeerplaats en derhalve niet bebouwd. Ook onder voormalige noodgebouwen met een minder ingrijpende fundering, zijn mogelijk nog archeologische resten te verwachten. Om de omvang van de verstoring in beeld te brengen kan een inventariserend booronderzoek uitgevoerd worden. Indien dit booronderzoek uitgevoerd wordt voordat het nieuwe bestemmingsplan gereed is, kunnen de resultaten van dit onderzoek meegenomen worden in de vervolgstappen zoals de aanwijzing van de dubbelbestemmingen en kan hier rekening mee gehouden worden in de ontwerpfase.



Afb. 3: Schetsontwerp van het plan St. Geertruidentuin (naar Synchron, 2017).

1.4 Werkwijze

Het bureauonderzoek is uitgevoerd onder certificaat BRL SIKB 4000 protocol 4002, conform de richtlijnen van de vigerende versie van de Kwaliteitsnorm van de Nederlandse Archeologie (KNA 4.0, protocol 4002 Bureauonderzoek).⁴ Hierbij is de vigerende procesbeschrijving versie 1.0 van het kwaliteitsmanagementsysteem van Archeologie Deventer gevolgd.

In deze bureaustudie wordt een beeld gegeven van de archeologische resten die in en om het plangebied kunnen worden verwacht. Daarvoor zijn diverse bronnen geraadpleegd (zie par. 2). Om een beeld te krijgen van de archeologische vindplaatsen en historische elementen in de omgeving, evenals de archeologische verwachting, zijn de digitale archeologische verwachtingskaart van de gemeente Deventer (versie 4) en ARCHIS geraadpleegd. Voor de aardwetenschappelijke situatie is de geomorfologische kaart geraadpleegd en zijn resultaten uit archeologische onderzoeken in de directe omgeving gebruikt. Om de historische situatie te schetsen zijn diverse historische kaarten bestudeerd, zoals de kadastrale kaart van 1832, de Bonneatlas en jongere topografische kaarten. Om een beeld te krijgen van de hoogteligging van het plangebied is het Actueel Hoogtebestand Nederland (AHN) geraadpleegd. Al deze gegevens zijn gebruikt om tot een gespecificeerde archeologische verwachting te komen en een selectieadvies uit te brengen.

⁴ www.sikb.nl.

2 BUREAUSTUDIE

2.1 Geomorfologie

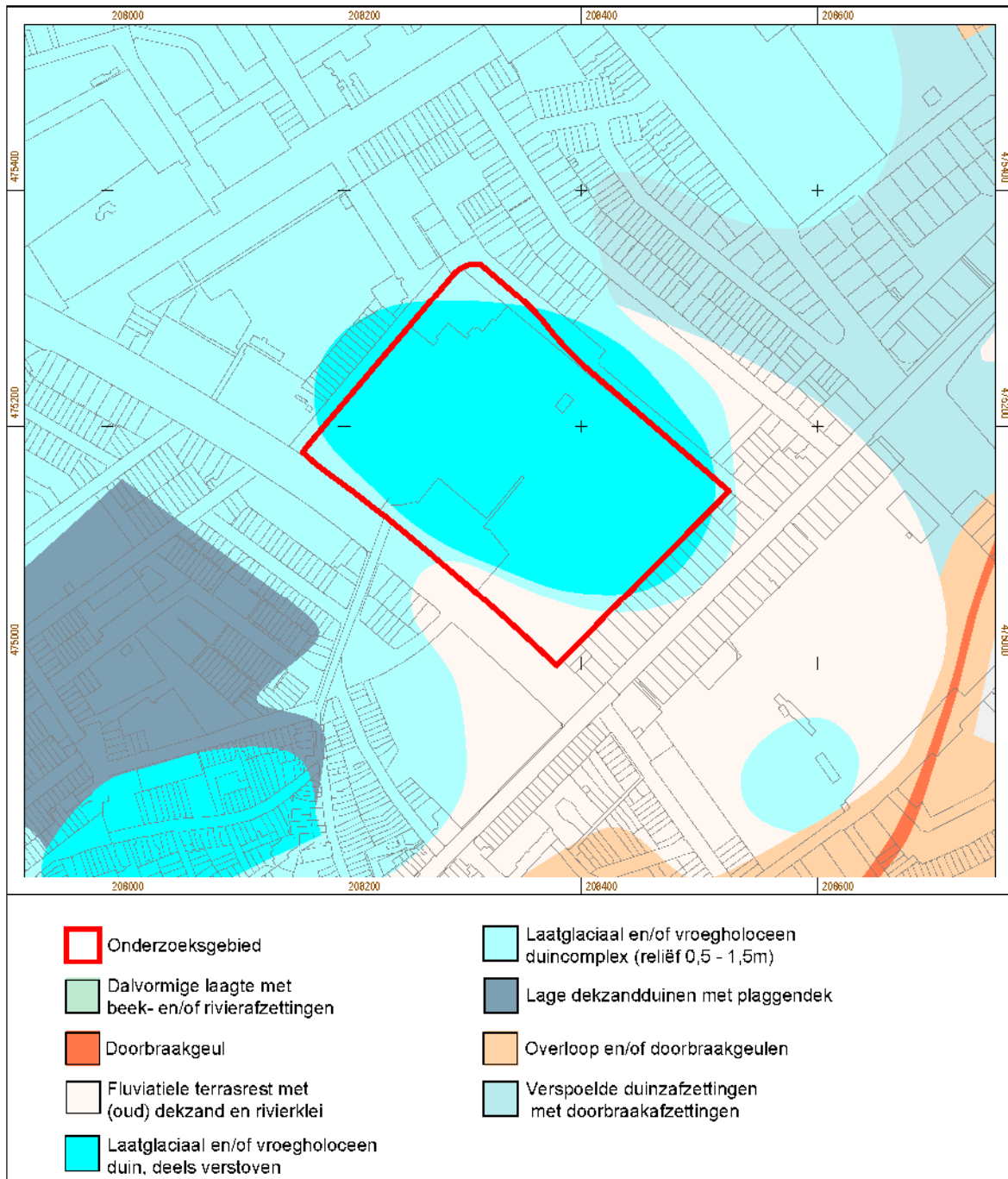
Het natuurlijk landschap van de gemeente Deventer bestaat grotendeels uit dekzand. De basis van het landschap wordt gevormd door een Pleistoceen rivierlandschap. Als gevolg van opeenvolgende sedimentatie en erosie door afwisselend wind en water is in het pleniglaciaal (73.000 – 12.500 BP) een terrassenlandschap ontstaan. In het laat glaciaal (12.500 – 10.000 BP) is over dit terrassenlandschap als gevolg van (vaak lokale) verstuiving in de laatste ijstijd een pakket (jong) dekzand afgezet. Deze laag stuifzand vormde op de terrassen en in de oude rivierdalen kenmerkende ruggen en koppen, die goed geschikt waren voor akkerbouw. Vaak waren de dekzandruggen al vanaf de prehistorie door mensen in gebruik. De lagergelegen delen zijn veel minder intensief gebruikt, en werden vaak pas in de volle of late middeleeuwen en nieuwe tijd bewoond.

Tijdens het laatste deel van de laatste ijstijd (ca. 15.000-10.000 jaar geleden) werd ook in het IJsseldal als gevolg van (vaak lokale) verstuiving een grote hoeveelheid dekzand afgezet. Deze laag stuifzand vormde op de terrassen en in de oude rivierdalen kenmerkende ruggen en koppen. Het gevolg was de vorming van een dekzandrug, die als waterscheiding ging fungeren. Het noordelijke deel van de IJssel bij Deventer stond nu niet meer in contact met de Rijn, zodat door het IJsseldal alleen water van de lokale beken naar het noorden werd afgevoerd. Pas tussen 350 en 600 na Chr. was sprake van een doorbraak in deze waterscheiding, en ontstond een grote rivier in het IJsseldal. Het exacte tijdstip waarop de waterscheiding doorbrak, is onduidelijk. De exacte datering van deze gebeurtenis is tot op heden punt van discussie. De archeologische data in het IJsseldal lijkt voorlopig te wijzen op een (eventueel geleidelijke) reactivatie van de IJssel in de laat-Romeinse tijd of vroege middeleeuwen, en dat er in de prehistorie en Romeinse tijd geen grote rivier door het IJsseldal stroomde.⁵

Bij de nieuwe verwachtingskaart voor de gemeente Deventer is ook een nieuwe geomorfologische kaart opgesteld (afb. 4). Volgens deze geomorfologische kaart ligt het onderzoeksgebied in een gebied op een laatglaciaal en/of vroeg-holoceen duin dat deels verstoven is. Dit duin ligt in een laat-glaciaal en/of vroeg holoceen duincomplex met een reliëfverschil van 0,5 – 1,5 m. In het zuidoosten van het gebied bevindt zich een klein deel van het onderzoeksgebied op een fluviaal terrasrest met (oud) dekzand en rivierklei. Bij onderzoek langs de Ceintuurbaan, ten zuiden van het huidige onderzoeksgebied (pr. 500 op afb. 9), werd dit beeld bevestigd.⁶ Uit dit onderzoek bleek dat de basis van het landschap wordt gevormd door een pakket fluvioperiglaciaal zand, dat een licht vervormde gelaagdheid kent. Dit pakket wordt afgedekt met een dun (ca. 0,5 m) pakket matig fijn ongelaagd zand, dat als dekzand kan worden geïnterpreteerd. Ook de resultaten van een onderzoek ten noorden van het huidige onderzoeksgebied (pr. 516 op afb. 9) laten ditzelfde beeld zien.

⁵ Willemse *et al.*, 2013.

⁶ Van der Wal, 2015.



Afb. 4: Het onderzoeksgebied op de geomorfologische kaart.

2.2 Bodemkunde

Opnieuw kan het onderzoek in het tracé van de Ceintuurbaan informatie verschaffen. Naar het noordwesten toe nam de hoogte van het natuurlijke zand iets af. Dit niveau lag in het zuidoosten op een hoogte van ca. 5,80-5,70 m+ NAP en in het noordwesten lag dit niveau meer tussen 5,20 en 5,40 m+ NAP. Deze lagere zone, tegen de westelijke zone van het huidige onderzoeksgebied, was ook terug te zien in het opgravingsvlak aan de hoeveelheid ijzervlekken (gley) in het natuurlijk zand. Dit zijn lichte vlekken van ontijzering en roestige vlekken van ijzerinspoelingen, die ontstaan door een wisselende grondwaterstand.

De top van het dekzand was bij het onderzoek onder de Ceintuurbaan grotendeels opgenomen in de bovenliggende akkerlaag. Op de overgang tussen de akkerlaag en het natuurlijke zand was een

mollenlaag te zien. De mollenlaag bevatte diverse fragmenten vondstmateriaal zoals kleine scherven prehistorisch aardewerk en brokjes tufsteen. De akkerlaag bevatte geen prehistorisch aardewerk, wel keramiek uit de volle middeleeuwen. De akkerlaag was op zijn beurt weer grotendeels opgenomen in het middeleeuwse plaggendek dat over het hele onderzoeksgebied aanwezig was. De dikte van het plaggendek varieerde van ca. 1 m in het noordwesten tot ca. 40 cm in het zuidoosten van het toenmalige onderzoeksgebied. Hierbij moet worden opgemerkt dat voorafgaand aan de werkzaamheden voor het verwijderen van de weg al ondiepe graaf- en zeefwerkzaamheden hadden plaatsgevonden, waarbij mogelijk een deel van het plaggendek was verwijderd.

Soortgelijke omstandigheden kunnen ook binnen het huidige plangebied verwacht worden.

2.3 Historische situatie

Hieronder wordt per tijdperiode aangegeven historische elementen bekend zijn in de omgeving van het onderzoeksgebied.

Prehistorie en Romeinse tijd

In de directe omgeving van het onderzoeksgebied zijn enkele archeologische vindplaatsen uit de prehistorie en de Romeinse tijd bekend. Deze vindplaatsen worden in par. 2.4 verder beschreven.

Vroege middeleeuwen tot en met de late middeleeuwen

Op ca. 390 m ten noorden van het onderzoeksgebied lag de historisch bekende boerderij Ter Stege – Stegeman (zie ook afb. 9). Deze boerderij wordt voor het eerst vermeld in 1399, maar is vermoedelijk ouder. Gedacht wordt dat dit erf al in de periode 800-1100 is gesticht.⁷ De boerderij moeten gezien worden als ontginningsboerderij. Rond historische boerderijen wordt een buffer getrokken waarbinnen resten van bijvoorbeeld bijgebouwen en oude voorgangers van het erf kunnen worden verwacht.

Ook ten zuidoosten (ca. 300 m) van het onderzoeksgebied lag een boerenerf uit deze periode, namelijk 'T Onderschouten – Hof te Colmschate. Van deze boerderij weten we dat het een hofhorige erf was in bezit van de bisschop van Utrecht.⁸ Het erf was een hof waar de boeren hun lasten in natura moesten afdragen en waar recht werd gesproken over de hoevenaren. Het hof wist in de late middeleeuwen de stap van domaniale hof naar bestuurlijk centrum van een schoutambt te zetten. Willemse *et al.* stelt dat Colmschate zijn onafhankelijkheid als schoutambt (en daarmee het latere Diepenveen als gemeente) zelfs te danken had aan de aanwezigheid van het vroegere domaniale hof.⁹ In de tweede helft van de 16^{de} eeuw kwam de hof in bezit van de stad, maar desondanks bleef de Hof te Colmschate onder de naam Onderschouten sporen van de middeleeuwse bestuurlijke functie dragen.¹⁰

De nieuwe tijd

Wanneer het onderzoeksgebied geprojecteerd wordt op de Hottinger kaart uit ca. 1787, bevindt deze zich in een uitgestrekt areaal landbouwgrond (afb. 5). Het erf 'T Onderschouten – Hof te Colmschate is op deze kaart ook te zien als een groepje gebouwen. Dit gebied staat bekend als de Schoutenenk. Deze naam –enk, suggereert de aanwezigheid van een plaggendek en een intensief gebruik als akker.

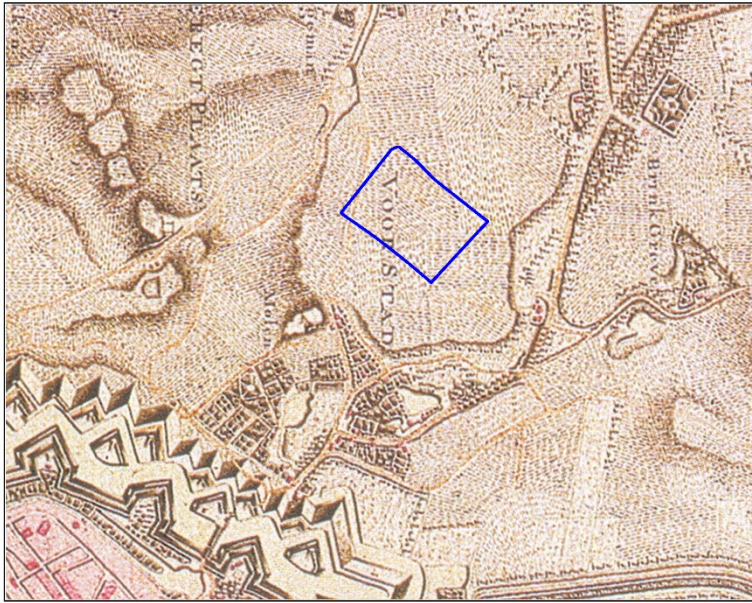
Ten zuiden van het onderzoeksgebied is in deze periode een complex aan huizen met moestuinen te zien. In het uiterste noorden van dit complex zal de boerderij De Ploeg hebben gelegen. Deze boerderij wordt voor het eerst vermeld in 1700 en lag ca. 150 m ten zuiden van het onderzoeksgebied.

⁷ Willemse *et al.*, 2013.

⁸ Willemse *et al.*, 2013, 92.

⁹ Willemse *et al.*, 2013, 98

¹⁰ Keunen, in voorbereiding.



Afb. 5: Globale locatie van het onderzoeksgebied op de Hottinger kaart.

Op de Hottinger kaart is de weg nog niet te zien, maar vanaf de Ceintuurbaan doorkruist op de kadastrale minuut van 1832 een weg het onderzoeksgebied (afb. 6), de voorganger van de huidige Schoutenweg. Sporen van deze historische weg kunnen aanwezig zijn in onderzoeksgebied en bestaan uit eventueel karrensporen en of bermgreppels. Verder laat de kadastrale minuut uit 1832 eenzelfde beeld zien als de Hottinger kaart, een landbouwgebied met daarom heen enkele boerderijen.

Het St. Geertruiden Gasthuis was in de middeleeuwen een van de vele gasthuizen en instellingen die voor de arme zieken zorgden. Dit gasthuis bestond waarschijnlijk sinds de tweede helft van de 15^{de} eeuw en lag in de omgeving van het huidige Muggenplein (buurthuis De Fermerie) in de huidige binnenstad van Deventer.¹¹ Dit gasthuis werd vanaf 1512 een pesthuis.¹² Aan het eind van de 19^{de} eeuw werden de besturen van verschillende gasthuizen samengevoegd en verplaatste het St. Geertruidengasthuis naar de Singel, naar de net vrijgegeven vestinggronden. Deze locatie bleek na allerlei vernieuwingen echter te klein, waarna opnieuw naar een nieuwe locatie werd gezocht.¹³

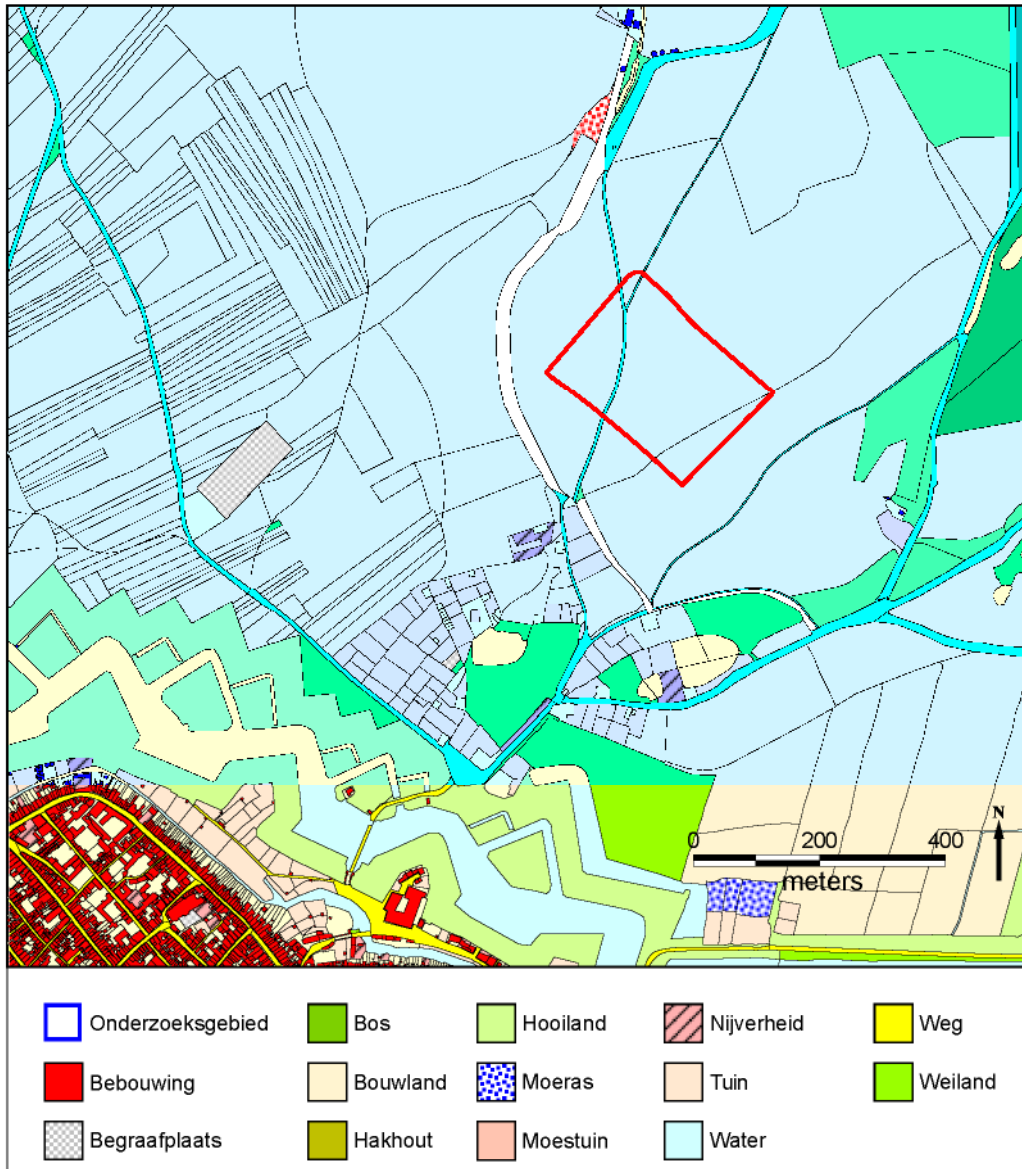
Vanaf 1938 werd op de locatie van het huidige onderzoeksgebied het nieuwe St. Geertruidenziekenhuis gebouwd. Het St. Geertruidenziekenhuis of Sociaal Medisch Centrum Deventer (SMCD) werd in 1940 in gebruik genomen. Het gebouw is ontworpen door Architectenbureau Eduard Cuypers. In de jaren (1968-1973) daarop werd het complex groter en werden er meerdere uitbreiding gebouwd (afb. 7). Deze latere toevoegingen zijn ondertussen (in 2009-2010) voor een groot deel gesloopt. Het originele SMCD en de apotheek zijn bewaard gebleven en krijgen in het nieuwe plan een nieuwe bestemming als woon- en werkomgeving.

De bouw van het ziekenhuis heeft vermoedelijk een deel van het onderzoeksgebied in het verleden al verstoord. De lagergelegen delen binnen het onderzoeksgebied waar nu deels water in staat, lijken te wijzen op een diepe fundering van deze gebouwen of dat er kelders aanwezig waren. De volledige omvang van deze verstoring is op het moment niet geheel duidelijk. Op dit moment is ook niet helder of alleen de gebouwen zijn gesloopt en uitgebroken, of dat ook de tussenliggende gronden verstoord zijn door bijvoorbeeld egalisatie van het terrein. Onder de onbebouwde delen en de delen van het terrein met ondiep gefundeerde gebouwen kunnen nog archeologische resten aanwezig zijn.

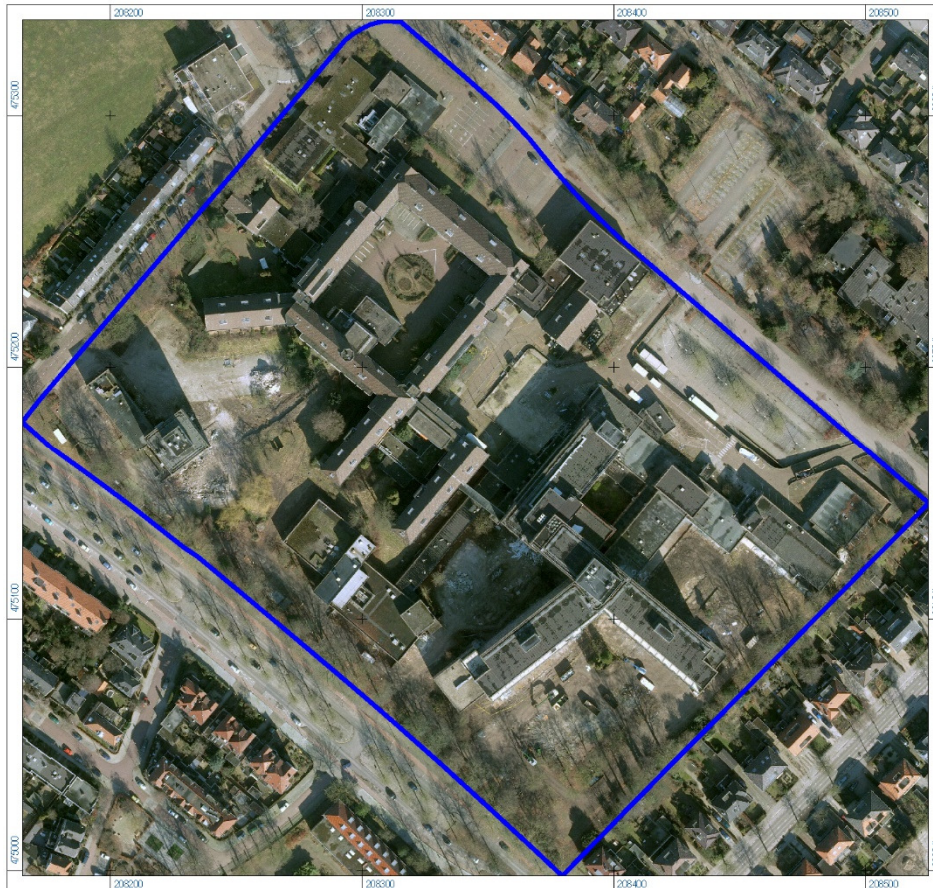
¹¹ Hogestijn, 1991, 24.

¹² Nalis, 2006, 160.

¹³ Hogestijn, 1991, 69-79.



Afb. 6: Het onderzoeksgebied op de kadastrale minuut van 1832.



Afb. 7: Het onderzoeksgebied op een luchtfoto uit 2010, met daarop nog de gebouwen uit de jaren 60-70 die ondertussen gesloopt zijn. Links is het SMCD-gebouw te zien.

Tweede Wereldoorlog

Aan de oostzijde van het onderzoeksgebied loopt langs de geplande nieuwbouw een loopgraaf uit de Tweede Wereldoorlog. Op een luchtfoto uit maart 1945 is deze loopgraaf goed te zien als zigzaggende lijn (afb. 8). Ook rond loopgraven is op de verwachtingskaart een buffer getrokken. Het is niet zeker of de loopgraaf tijdens de gevechten rond de bevrijding van Deventer daadwerkelijk is gebruikt. Gezien de opmarsroute lang de Raalterweg is dit echter wel waarschijnlijk. Bij een onderzoek in 2015 werd de loopgraaf aangetroffen.¹⁴ Binnen het onderzoeksgebied geldt dan ook een verhoogd risico op de aanwezigheid van niet-gesprongen munitie. Uit een inventarisatie van verschillende bronnen blijkt dat er in het onderzoeksgebied vooral kans is op de aanwezigheid van met name raketten, geschuts- en gevechtsmunitie, gedumpte munitie en mijnen.¹⁵ Er wordt dan ook geadviseerd om het onderzoeksgebied voorafgaand aan eventuele grondwerkzaamheden te laten scannen op niet-gesprongen munitie door een gecertificeerd bedrijf.

¹⁴ Mittendorff, 2015.

¹⁵ Van Oers, 2014.



Afb. 8: Uitsnede uit een geallieerde luchtfoto van 21 maart 1945 met daarop het plangebied en omgeving.

2.4 Bekende archeologische waarden

2.4.1 Archeologische verwachtingskaart

Op de vigerende archeologische verwachtingskaart heeft het onderzoeksgebied voornamelijk een hoge archeologische verwachting gekregen vanwege de ligging op dekzandduin (afb. 9). In een straal van ongeveer 500 m rond het plangebied zijn vijftal relevante onderzoeken uitgevoerd.¹⁶

Booronderzoek Arcadis 2006

In 2006 is op twee locaties rondom het huidige onderzoeksgebied een booronderzoek uitgevoerd door Arcadis (in afb. 9 heeft dit projectnr. 577).¹⁷ Op basis van dit onderzoek werd geadviseerd om proefsleuvenonderzoek uit te voeren aangezien de locaties als potentieel waardevol werden gezien. De onderzoeken project 311 en 516 volgden op dit booronderzoek. Van een booronderzoek binnen de huidige onderzoekslocatie is, behalve een Archis-onderzoeksnummer, geen verdere informatie beschikbaar.¹⁸

Project 311 VV IJsselstreek 2007

Op circa 40 m ten noorden van het onderzoeksgebied is door Archeologie Deventer in 2007 archeologisch proefonderzoek uitgevoerd op de locatie van het voormalige voetbalveld van de VV IJsselstreek (projectnr. 311 op afb. 9).¹⁹ Uit het proefonderzoek is gebleken dat een geringe hoeveelheid archeologische resten uit de prehistorie, de late middeleeuwen en de Nieuwe Tijd aanwezig is. Door het documenteren van een voorraadkuil uit de midden bronstijd en het verspreid voorkomen van scherven uit de ijzertijd, is bekend dat moet worden gerekend met de oorspronkelijke ligging van minimaal één nederzetting uit de midden bronstijd en één nederzetting uit de ijzertijd in de omgeving (vermoedelijk binnen een straal van 100-150 m) van het terrein. Scherven aardewerk duiden erop dat in de omgeving van het terrein mogelijk een boerenerf uit de volle middeleeuwen (10^{de} -12^{de} eeuw na Christus) heeft gelegen. Uit de late middeleeuwen (13^{de} -14^{de} eeuw) dateert een greppel die aan de zuidkant het terrein binnenkomt. Behalve een paar paalsporen langs een laag gelegen gedeelte van de laatmiddeleeuwse

¹⁶ ARCHIS3, d.d. 17-02-2017.

¹⁷ Akkerman & Brouwer, 2006.

¹⁸ Dit is Archis 2: 18342 (Archis 3 OMN 2126406100). Dit betreft een ander Archis-onderzoeksnummer dan het project dan ten noorden en ten noordwesten door Arcadis is uitgevoerd.

¹⁹ Hermsen 2007

greppel, zijn geen andere sporen uit de middeleeuwen aangetroffen op het terrein. Pas in de tweede helft van de 17^{de} en eerste helft van de 18^{de} eeuw is op deze plaats door het opbrengen van plaggenmest een esdek ontstaan. Ook een perceelsgreppel dateert uit deze periode. In de loop van de 18^{de} eeuw is het esdek grotendeels afgeschoven en geëgaliseerd, om plaats te maken voor een akker die tot ver in de 19^{de} eeuw met stadsafval werd bemest.

Project 500 AB Ceintuurbaan 2014

Op ca. 10 m ten zuidwesten van het onderzoeksgebied is in 2014 in het tracé van de Ceintuurbaan een archeologisch onderzoek uitgevoerd in het kader van de vervanging van het riool (projectnr. 500 in afb. 9).²⁰ Bij dit onderzoek werden resten aangetroffen van randverschijnselen van erven daterend vanaf de midden-bronstijd (1800-1100 voor Chr.) tot aan de late ijzertijd (250-15 voor Chr.). Deze resten uitten zich in relatief grote afval- of silokuilen, die over het algemeen enkele tientallen meters van een boerderij af liggen. In de directe omgeving van het cluster kuilen kunnen dus erven uit deze perioden van de prehistorie verwacht worden, bijvoorbeeld binnen het huidige onderzoeksgebied. Latere sporen van menselijke activiteit bestonden uit een akkerlaag die grotendeels is opgenomen in het latere plaggendek en een weg of pad met daarlangs een greppel. Het plaggendek is in de middeleeuwen tot stand gekomen en in stand gehouden tot in de nieuwe tijd. Ook de greppels en de resten van de weg dateren in de nieuwe tijd.

Project 516 IVO Fesevurstraat 2014

Op ca 10 m ten noordoosten van het onderzoeksgebied is in 2014 een inventariserend proefsleuvenonderzoek uit gevoerd op te bebouwen kavels aan de Fesevurstraat en de Tesschenmacherstraat (afb. 9, projectnr. 516).²¹ Het onderzoek heeft een zeer beperkt aantal sporen en vondsten opgeleverd. Voor de prehistorie bestaan aanwijzingen voor menselijke activiteit ter plaatse en bewoning in de directe omgeving. De sporen bestaan uit restanten van een oude akkerlaag, die echter grotendeels zijn opgenomen in het latere plaggendek uit de middeleeuwen of nieuwe tijd. Beide akkerlagen wijzen erop dat het terrein weliswaar een agrarisch gebruik kende, maar duidelijke sporen van bewoning zijn niet aangetroffen. Een uitbraakspoor of kuil met bouwafval uit de periode 1450-1525 geeft aan dat er in de directe omgeving van het onderzoekgebied een (deels) bakstenen gebouw kan hebben gestaan.

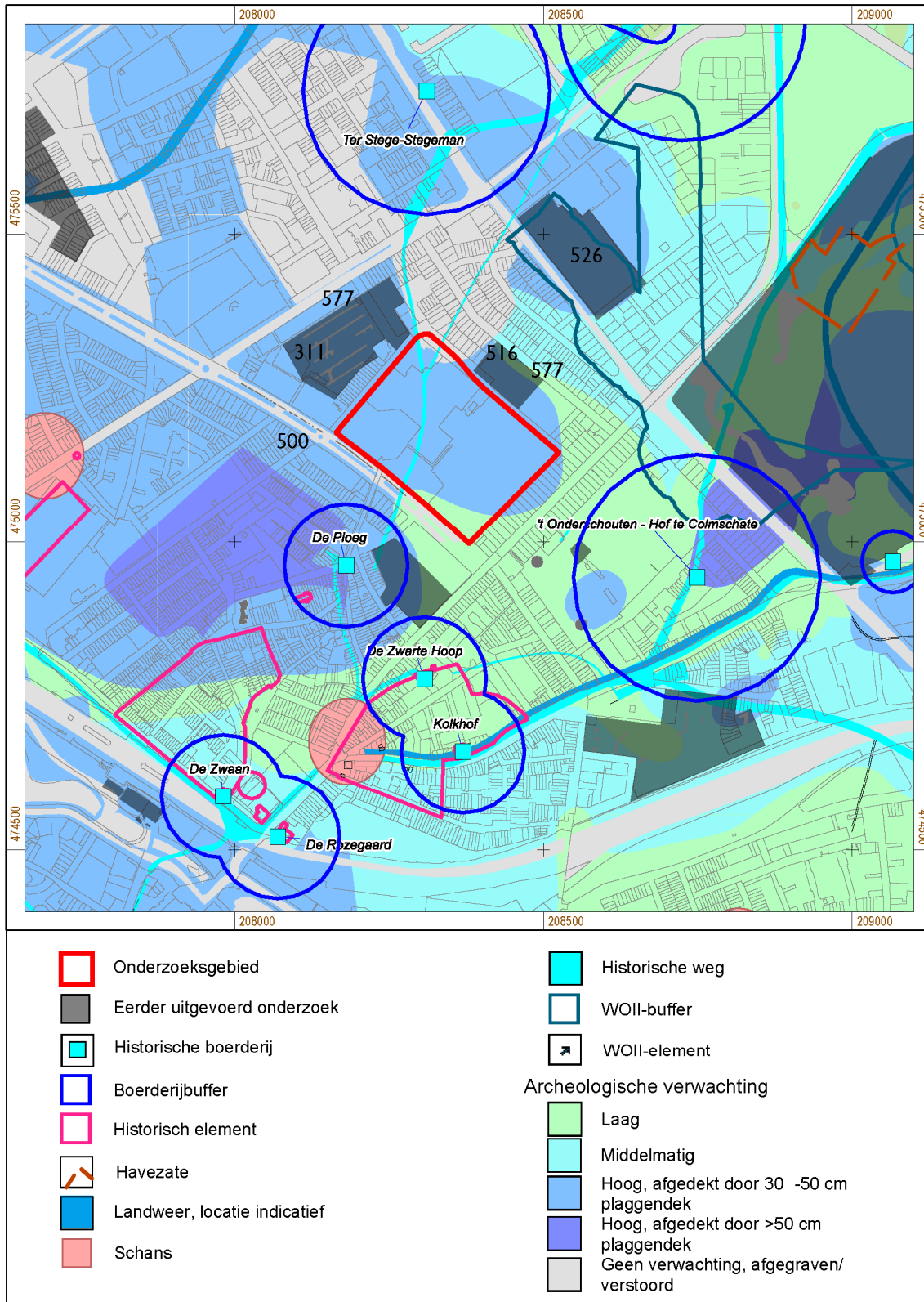
Project 526 DO Oldenielstraat 2015

In 2015 vond op ca. 200 m ten noordoosten van het onderzoeksgebied een onderzoek aan de Oldenielstraat plaats (afb. 9, projectnr. 526).²² Door middel van een archeologievriendelijke fundering kon een groot deel van het bodemarchief in situ bewaard blijven. Enkele locaties moesten wel onderzocht worden. Gezien de ligging van het toenmalige onderzoeksgebied in het tracé van een loopgraaf uit de Tweede Wereldoorlog is de rest van het onderzoeksgebied onderzocht op niet gesprongen explosieven. Ook dit onderzoek is archeologisch begeleid. Tijdens het archeologische onderzoek werden fragmenten van perceelsgreppels, een paalkuil en enkele afvalkuilen gevonden. Deze sporen moeten vermoedelijk gedefinieerd worden als randverschijnselen: in het onderzoeksgebied zelf vond waarschijnlijk geen bewoning plaats, maar deze moet zich in de (directe) omgeving hebben bevonden. In het onderzoeksgebied zelf waren sporen van de (agrarische) landschapsinrichting rond deze bewoning aanwezig, daterend in de late middeleeuwen of nieuwe tijd. Tevens is een loopgraaf uit de Tweede Wereldoorlog aangesneden.

²⁰ Van der Wal, 2015.

²¹ Mittendorff, 2014.

²² Mittendorff, 2015



Afb. 9: Het onderzoeksgebied op de archeologische verwachtingskaart, met de eerder uitgevoerde archeologische onderzoeken in de directe omgeving.

2.4.2 Van verwachting naar beleid

In 2015 is op basis van de archeologische verwachtingskaart uit 2013 een beleidskaart opgesteld.²³ Hierop zijn de verschillende archeologische verwachtingswaarden opgedeeld in zeven beleidscategorieën, met elk een eigen vrijstellingsdiepte en –grens. Voor de inhoudelijke onderbouwing van de archeologische beleidswaarden wordt verwezen naar de rapportages bij de verwachtingskaart²⁴ en de beleidskaart²⁵. Deze rapporten kunt u vinden op de website van de gemeente Deventer onder het thema archeologie: <http://www.deventer.nl/archeologie>.

De verwachtingswaarde van het plangebied is vertaald op de beleidskaart naar beleidswaarden '0', '1' en '3' (afb. 10). Een deel van het onderzoeksgebied heeft door aanwezige verstoringen beleidswaarde '0'. Gronden met een beleidswaarde '0' hebben geen dubbelbestemming Archeologie in het bestemmingsplan. Voor de gebieden met een lage verwachtingswaarde (beleidswaarde '1') is de kans dat een bodemingreep het bodemarchief verstoort door de lage dichtheid aan vindplaatsen en de veelal relatief kleine oppervlakte van die vindplaatsen, zeer klein. Eigenlijk komt dit type resten vooral aan het licht bij archeologische begeleiding van grootschalige werkzaamheden. Daarom is voor deze beleidswaarde een vrijstellingsoppervlakte van 10.000 m² gehanteerd. Boven de 10.000 m² geldt een meldingsplicht. Dit type omvangrijke werkzaamheden is over het algemeen op ruim op tijd bekend bij de gemeente. Een dubbelbestemming is daarmee een relatief zwaar middel dat voor deze groep die leidt tot onnodige administratieve last. Er wordt daarom voor deze ingrepen actief contact gezocht met de initiatiefnemer met het verzoek om medewerking te verlenen aan een archeologische waarneming tijdens de uitvoering van de werkzaamheden. Op deze manier kan de archeologische verwachting steekproefsgewijs gecontroleerd worden.

In een groot deel van het onderzoeksgebied is de beleidswaarde 3 vertaald in het bestemmingsplan naar een dubbelbestemming *waarde – Archeologie 3*. Op gronden met de dubbelbestemming 'Waarde - archeologie 3' mogen werkzaamheden tot een oppervlakte van 200 m² zonder archeologische voorwaarden worden uitgevoerd. Ook werkzaamheden die niet dieper reiken dan 0,5 m zijn vrijgesteld. Bij werkzaamheden die leiden tot een verstoring tussen 200 m² en 500 m² dieper dan 0,5 m geldt een meldingsplicht. Bij werkzaamheden die leiden tot een verstoring groter dan 500 m² en dieper dan 0,5 m dient bij de aanvraag een archeologisch rapport te worden overlegd. Op basis van dit rapport kunnen voorwaarden aan de vergunning worden verbonden.

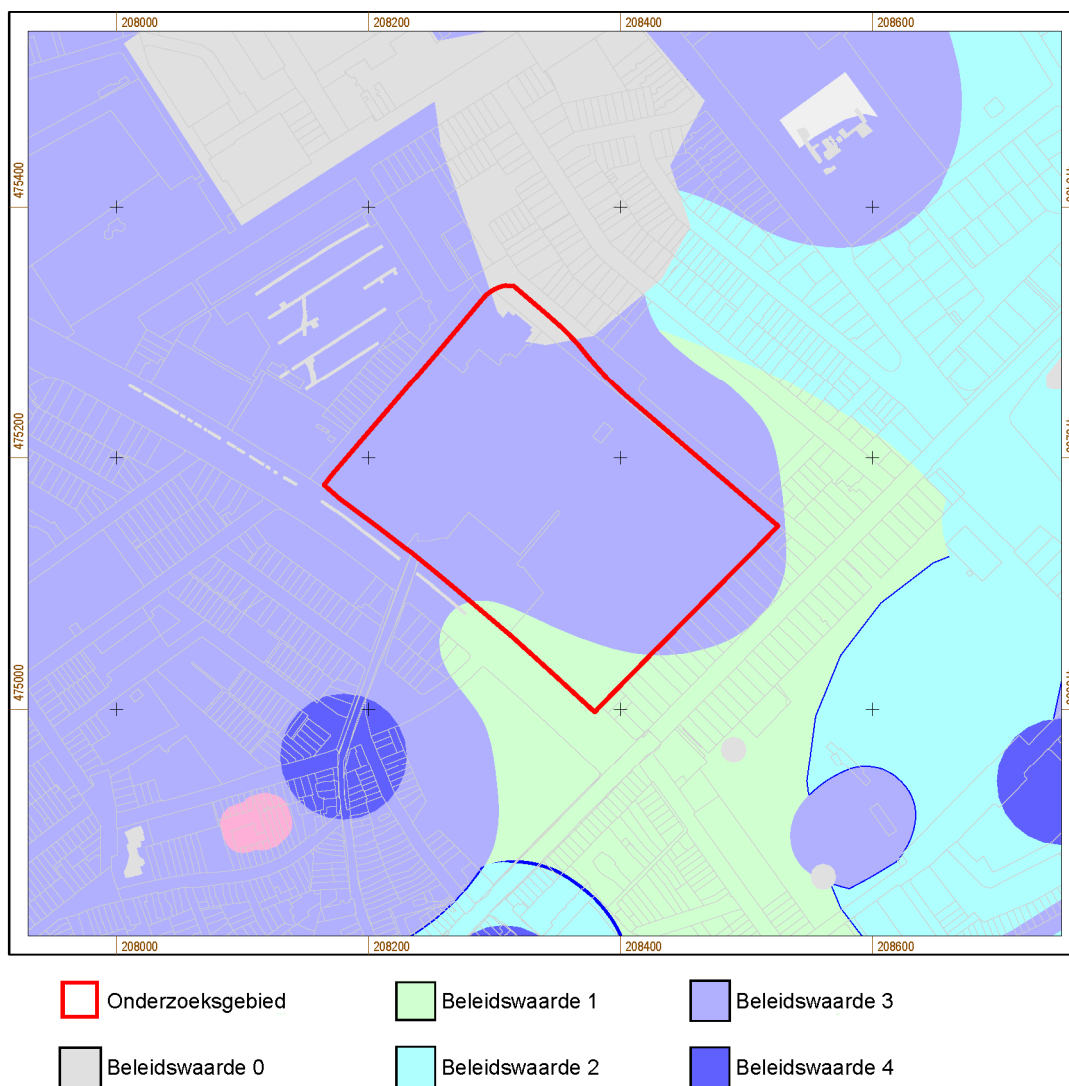
Meer dan één waarde

De vrijstellingsgrenzen in de tabel gaan uit van de situatie dat de volledige ingreep gelegen is binnen één beleidswaarde. In de praktijk zijn er ook ingrepen die gelegen zijn binnen meerdere beleidswaarden. Uitgangspunt is hierbij dat beleidswaarden cumulatief zijn. Een gebied met beleidswaarde archeologie 3 heeft automatisch ook beleidswaarde archeologie 2 en lager, een gebied met beleidswaarde archeologie 4 automatisch ook beleidswaarde archeologie 3 en lager, enzovoort. Om de oppervlakte van elke beleidswaarde binnen de ingreep te bepalen worden dus bij de oppervlakte van deze beleidswaarde steeds ook de oppervlakten van alle hogere beleidswaarden binnen de ingreep opgeteld. Van laag naar hoog worden deze oppervlakten daarna per beleidswaarde archeologie getoetst aan de vrijstellingsgrenzen die voor die beleidswaarde archeologie van toepassing zijn. Dit bepaalt welk regime er geldt voor de gebieden met de getoetste beleidswaarde. De afweging bepaalt tevens het minimale regime dat geldt in de gebieden die een hogere beleidswaarde kennen. Aansluitend wordt de daaropvolgende hogere beleidswaarde getoetst. Indien op basis van deze toets een zwaarder regime wordt toegekend, is dat alleen van toepassing op deze beleidswaarde en eventuele hogere beleidswaarden. Indien het regime op basis van deze toets lager uitvalt dan dat op basis van de eerder getoetste lagere beleidswaarde blijft het minimale regime van deze lagere beleidswaarde van toepassing.

²³ Vermeulen, 2015.

²⁴ Willemse *et al*, 2013.

²⁵ Vermeulen, 2015.



Afb. 10: Het onderzoeksgebied op de archeologische beleidskaart van de gemeente.

3 CONCLUSIE EN GESPECIFICEERDE ARCHEOLOGISCHE VERWACHTING

3.1 Gespecificeerde verwachting

In deze paragraaf wordt de archeologische verwachting voor het onderzoeksgebied nader gespecificeerd, op basis van de in par. 2 verzamelde gegevens. Hierbij wordt in ieder geval ingegaan op de volgende aspecten:

- a. Datering;
- b. Complexiteit (nederzetting, grafveld, etc.);
- c. Omvang;
- d. Diepteligging;
- e. Gaafheid en conservering;
- f. Locatie en/of begrenzing binnen het onderzoeksgebied
- g. Verwachtingen ten aanzien van vondstmateriaal / indicatoren (artefacten);
- h. Mogelijke verstoringen.

Vanwege de ligging van het onderzoeksgebied op een dekzandduin en de aanwezigheid van een plaggendek, geldt in algemene zin een hoge archeologische verwachting. In het uiterste noorden bevindt zich een zone die geen verwachting meer kent door diepgaande verstoringen en in het zuiden is een zone met een lage verwachting. Concreet dient op basis van resultaten van eerder onderzoek in ieder geval rekening te worden gehouden met nederzettingssporen uit de bronstijd, de volle en late middeleeuwen en resten van landschapsinrichting en wegen uit de middeleeuwen en de nieuwe tijd. Er wordt binnen het onderzoeksgebied geen grafveld verwacht, maar hier dient wel rekening mee gehouden te worden. Indien deze wel aangetroffen wordt, zal het vermoedelijk gaan om prehistorische crematieresten. De hier beschreven potentiële vindplaatsen met nederzettingssporen hebben vermoedelijk een relatief bescheiden omvang en kunnen dus geheel in het onderzoeksgebied aanwezig zijn. Ook is het mogelijk dat resten van bijvoorbeeld meerdere erven uit de bronstijd en ijzertijd en middeleeuwen aangetroffen worden. Eventuele sporen van landschapsinrichting (bijvoorbeeld sloten en greppels) en wegen kunnen het onderzoeksgebied doorkruisen.

Het vondstmateriaal dat binnen deze vindplaatsen kan worden aangetroffen, betreft hoofdzakelijk scherven keramiek, glas en metaalvondsten. Over hoeveelheden vondstmateriaal zijn in dit stadium nog geen uitspraken te doen, deze hangen sterk samen met de aard en de hoeveelheid aanwezige archeologische sporen. De onderzoeken in de directe omgeving hadden een relatief lage vondstdichtheid.²⁶ Deze lage dichtheid is echter mogelijk het gevolg van de ligging aan een randzone van een nederzetting of erf. Indien binnen het onderzoeksgebied inderdaad bijvoorbeeld een erf uit de midden-bronstijd aanwezig is, zal dit een hogere vondstdichtheid tot gevolg hebben.

De verwachte conservering van de potentiële vindplaatsen is goed op de plekken die nog intact zijn en niet door de bouw van het ziekenhuis verstoord zijn. Een plaggendek van ca. 30-50 cm dik zal hier de sporen goed geconserveerd hebben. Afgaand op onderzoeken in de omgeving van het onderzoeksgebied ligt de diepteligging van de verwachte sporen op ca. 5,40 - 6,0 m + NAP. Die komt neer op ca. 1,20 – 1,80 m onder het maaiveld, indien dit maaiveld niet al deels is afgetopt/ontgraven bij de sloop van de gebouwen van het ziekenhuis. De omvang van de verstoring door de bouw van het ziekenhuis is op dit moment niet bekend. Vooral de grote uitbreidingen in de jaren 1968-1973 waarbij het 'nieuwe' St. Geertruidenziekenhuis werd gebouwd, zullen vermoedelijk diep gefundeerd zijn. Een deel van deze gebouwen telden namelijk zes tot acht verdiepingen. Het is niet duidelijk of hier ook kelders aanwezig waren. Dit lijkt wel waarschijnlijk; na de sloop van een groot deel van het ziekenhuis (de uitbreidingen in de oostelijke helft van het onderzoeksgebied) is op het terrein een reliëf te zien waarbij op de locatie van de uitbreidingen nu grote plassen aanwezig zijn. Rondom en tussen de gebouwen waren grote delen van het terrein in gebruik als binnentuin of parkeerplaats en derhalve niet bebouwd. Ook onder voormalige noodgebouwen met een minder ingrijpende fundering, zijn mogelijk nog archeologische resten te verwachten. Door het uitvoeren van een booronderzoek kan de mate van verstoring van de bodemopbouw binnen het terrein onderzocht worden. Indien dit booronderzoek

²⁶ Zie ook Van der Wal, 2015 (pr. 500) en Mittendorff, 2014 (pr.516). Bij pr. 500 zijn 314 vondsten geborgen op een opgravingsoppervlakte van ca. 465 m². Bij pr. 516 zijn 153 vondsten geborgen op een opgravingsoppervlakte van ca. 300 m².

uitgevoerd wordt voordat het nieuwe bestemmingsplan gereed is, kunnen de resultaten van dit onderzoek meegenomen worden in de vervolgstappen zoals de aanwijzing van de dubbelbestemmingen en kan hier rekening mee gehouden worden in de ontwerpfase.

De onderzoeksvragen van dit bureauonderzoek kunnen als volgt worden beantwoord:

- *Wat is de archeologische verwachting van het plangebied en is archeologisch onderzoek voorafgaand aan de voorgenomen ingreep noodzakelijk?*

Op de archeologische verwachtingskaart heeft onderzoeksgebied voornamelijk een hoge archeologische verwachting gekregen vanwege de ligging op een dekzandduin. De verwachtingswaarde van het plangebied is vertaald op de beleidskaart naar beleidswaarden '0', '1' en '3'. Aan de gronden met beleidswaarde 3 wordt in het bestemmingsplan de dubbelbestemming *waarde – Archeologie 3* toegekend. Bij de herontwikkeling zullen de grondwerkzaamheden, gezien de oppervlakte van het gebied, hoogstwaarschijnlijk over de oppervlakte- en dieptevrijstellingsgrenzen gaan en hier is dan archeologisch vervolgonderzoek noodzakelijk.

- *Wat is de aard, datering en omvang van de eventuele verwachte archeologische resten?*

Binnen het onderzoeksgebied kunnen nederzettingssporen van erven uit de gehele prehistorie verwacht worden. Er wordt binnen het onderzoeksgebied geen grafveld verwacht, maar hier dient wel rekening mee gehouden te worden. Indien deze wel aangetroffen wordt, zal het vermoedelijk gaan om prehistorische crematieresten. Tevens worden resten van middeleeuwse erven en percelering (greppels en sloten) verwacht. Ook kunnen resten van de historische weg (nieuwe tijd) die vermoedelijk het onderzoeksgebied doorkruist worden aangetroffen.

- *Wat is de verstoringsgraad van het plangebied?*

De werkzaamheden binnen het onderzoeksgebied bestaan uit het bouwen van meerdere bouwblokken van woningen en appartementengebouwen. Daarnaast vindt er een herinrichting van de infrastructuur plaats en de aanleg van parken, waterbergingslocaties en parkeergelegenheden. De totale omvang, zowel in oppervlakte als in diepte, van de verstoringen is in deze fase van het plan nog niet duidelijk. De bouw van het ziekenhuis heeft vermoedelijk een deel van het onderzoeksgebied in het verleden al verstoord. De omvang van deze verstoring is echter niet volledig bekend. Zeker de hoogbouw van het ziekenhuis zal een diepe fundering hebben gehad, mogelijk waren er ook kelders aanwezig. Door het laten uitvoeren van een booronderzoek kan de mate van verstoring van de bodemopbouw binnen het terrein onderzocht worden.

- *Wat zijn de consequenties van de ingreep voor de eventuele archeologische resten in het plangebied?*

Dit is afhankelijk van de omvang van de verstoring van de bouw van het ziekenhuis binnen het onderzoeksgebied en de omvang van de nieuwe verstoring van de herontwikkeling van het gebied. Gezien de plannen zal deze nieuwe verstoring vermoedelijk boven de vrijstellingsgrenzen van beleidswaarde '3' komen. Indien dit inderdaad het geval is, is hier archeologisch vervolgonderzoek noodzakelijk.

3.2 Samenvatting

Deze bureaustudie onderzoekt de archeologische verwachting van het terrein van het voormalige St. Geertruidenziekenhuis aan de Ceintuurbaan en de mogelijke gevolgen van de herontwikkeling op het terrein van voor de St. Geertruidentuin te Deventer.

Het onderzoeksgebied ligt fysisch geografisch op een dekzandduin dat mogelijk deels verstoven is. Resultaten uit onderzoeken in de omgeving wijzen op een wisselende grondwaterstand in het noordwesten van het gebied. Tevens wijzen deze onderzoeken op de aanwezigheid van een plaggendek. Door de aanwezigheid van een plaggendek zijn eventueel aanwezige archeologische restanten vermoedelijk goed beschermd. Echter, de bouw en de sloop van meerdere gebouwen van het ziekenhuis hebben waarschijnlijk ook grote verstoringen veroorzaakt. De omvang van deze verstoring is op dit moment niet duidelijk, maar kan door middel van een booronderzoek inzichtelijk worden gemaakt.

In de directe omgeving van het plangebied zijn archeologische vindplaatsen uit de prehistorie tot en met de nieuwe tijd bekend. Ten zuiden van het onderzoeksgebied werden clusters kuilen uit de midden-bronstijd gevonden. Deze clusters kuilen bevinden zich vaak aan de rand van een erf, binnen het

onderzoeksgebied zouden resten van dit erf, of meerdere erven, gevonden kunnen worden. Mogelijk bevindt zich tevens een erf uit de ijzertijd binnen het onderzoeksgebied. Ook zijn resten uit de middeleeuwen in de directe omgeving aangetroffen. Zo wijzen scherven gevonden ten noorden van het onderzoeksgebied op een mogelijk boerenerf uit de volle middeleeuwen. Ten noordoosten van het onderzoeksgebied werden resten van een gebouw uit de late middeleeuwen aangetroffen. Ook resten van landschapsinrichtingen (greppels en sloten) en wegen uit de late middeleeuwen en nieuwe tijd werden gevonden en er werd een loopgraaf uit de Tweede Wereldoorlog aangesneden.

Bij het vernieuwen van het bestemmingsplan voor de nieuwbouwplannen, wordt het nieuwe archeologiebeleid doorgevoerd in het plangebied. Op basis van deze beleidskaart heeft het plangebied drie beleidswaarden, namelijk: "Waarde 0, 3 en 4 – Archeologie". Een toelichting van deze beleidswaarden wordt gegeven in paragraaf 2.4.2 'Van verwachting naar beleid'. Door de verwachte omvang van de toekomstige werkzaamheden is archeologisch onderzoek voorafgaand aan de werkzaamheden hoogstwaarschijnlijk noodzakelijk.

3.3 Selectieadvies

Het onderzoeksgebied heeft grotendeels een hoge verwachting voor archeologische resten uit de prehistorie en later. In het uiterste noorden bevindt zich een zone die geen verwachting meer kent door diepgaande verstoringen en in het zuiden is een zone met een lage verwachting. Deze hoge verwachting zal in het nieuwe bestemmingsplan vertaald worden in een dubbelbestemming 'Waarde 3 – Archeologie'. Voor beleidswaarde 3 geldt dat werkzaamheden tot een oppervlakte van 200 m² zonder archeologische voorwaarden mogen worden uitgevoerd. Ook werkzaamheden die niet dieper reiken dan 0,5 m zijn vrijgesteld. Bij werkzaamheden die leiden tot een verstoring tussen 200 m² en 500 m² dieper dan 0,5 m geldt een meldingsplicht. Bij werkzaamheden die leiden tot een verstoring groter dan 500 m² en dieper dan 0,5 m dient bij de aanvraag een archeologisch rapport te worden overlegd. Op basis van dit rapport kunnen voorwaarden aan de vergunning worden verbonden.

Om de mate van verstoring door de bouw en de sloop van de gebouwen van het voormalige St. Geertruidenziekenhuis in kaart te kunnen brengen, wordt geadviseerd om een inventariserend booronderzoek uit te voeren (IVO-O). Geadviseerd wordt om dit onderzoek uit te voeren voordat het nieuwe bestemmingsplan opgesteld is. De resultaten van dit onderzoek kunnen dan meegenomen en verwerkt worden in de beleidskaart, waardoor die gebieden die verstoord zijn naar beleidswaarde '0' bijgesteld kunnen worden, en dus geen dubbelbestemming Waarde Archeologie krijgen. Indien uit het booronderzoek blijkt dat er (in grote delen van het onderzoeksgebied) nog een intact bodemprofiel aanwezig is, kan de huidige beleidswaarde behouden blijven. Wanneer de plannen voor de herontwikkeling van het terrein concreter zijn en de verstoringgraad van deze plannen bepaald kan worden, dienen deze plannen opnieuw getoetst te worden aan het dan vigerende bestemmingsplan.

3.4 Selectiebesluit

Het selectieadvies op basis van dit bureauonderzoek dient te worden voorgelegd aan de bevoegde overheid (gemeente Deventer) ter goedkeuring. Deze is bevoegd het selectieadvies om te zetten in een selectiebesluit en voorwaarden aan de omgevingsvergunning te verbinden. Door middel van de handtekening van de bevoegde overheid, gaat hij akkoord.

3.5 Kosten

De kosten van verder archeologisch onderzoek en de uitwerking hiervan zijn voor rekening van de initiatiefnemer.

LITERATUUR

Akkerman, E.N. & E.W. Brouwer, 2006. Inventariserend Veldonderzoek Archeologie Deventer

Hermesen, I., 2007. *Graven onder de zijlijn. Archeologisch proefonderzoek op de locatie VV IJsselstreek (Keizerslanden, Deventer, gemeente Deventer) (project 311)* (Interne Rapportages Archeologie Deventer 24), Deventer.

Hogestijn, C.M., 1991. *De Deventer ziekenhuizen St. Geertruiden – St. Jozef*, Houten.

Keunen, L.J., in voorbereiding. *Eeuwig grensland. Een historisch-geografische studie van Salland en de Achterhoek* (Dissertatie Wageningen Universiteit) Wageningen.

Mittendorff, E.S., 2014. *Inventariserend archeologisch onderzoek (proefsleuven) aan de Fesevurstraat te Deventer (project 516)* (Interne Rapportages Archeologie Deventer 82), Deventer.

Mittendorff, E.S., 2015. *Opgraving en Archeologische begeleiding munitieonderzoek Oldenielstraat 12 te Deventer (project 526)* (Interne Rapportages Archeologie Deventer 85), Deventer.

Nalis, H., 2006. 7 Van geert Groote tot P.W. Janssen. Gasthuizen gelegen tussen Bagijnenstraat, Smedenstraat en Hagensteeg, in: B. Vermeulen, H. Nalis & G.J. Havers, *Razende mannen onrustige vrouwen. Archeologisch en historisch onderzoek naar de vroegmiddeleeuwse nederzetting, een adellijke hofstede en het St. Elisabethsgasthuis te Deventer* (Rapportage Archeologie Deventer 17), Deventer.

Oers, M.S. van, 2014. *Historisch vooronderzoek naar de aanwezigheid van conventionele explosieven ter plaatse van gehele grondgebied van de gemeente Deventer (projectnummer 0414GPR3402.2)*, Amsterdam.

Synchroon, 2017. *Geertruidenpark Deventer. Stedenbouwkundig plan*, Zoetermeer.

Vermeulen, B., 2015. *Onderbouwing vrijstellingsgrenzen Archeologie. Van verwachting naar beleid* (Interne Rapportages Archeologie Deventer 74), Gemeente Deventer.

Wal, M. van der, 2015. *Archeologisch onderzoek in het tracé van de Ceintuurbaan (project 500)* (Interne Rapportages Archeologie Deventer 90), Deventer.

Willemse, N.W., L.J. Keunen, L.M.P. van Meijel & T. Bouma, 2013. *...Die plaatsen, welke in de Douwelerkolk verdronken zijn... Fysisch- en historisch-geografische bouwstenen voor een archeologische verwachtingskaart van de gemeente Deventer* (RAAP Rapport 2571), Weesp.

Kaarten:

Hottinger Atlas 1773-1794

Kadastrale kaart van 1832

Chromotopografische kaart des Rijks, ca 1900

Topografische kaart van Nederland, schaal 1:25.000

Websites:

www.ruimtelijkeplannen.nl

www.hisgis.nl

Bijlage 10 Archeologisch verkennend booronderzoek



Project 598: Verkennend booronderzoek
St. Geertruidentuin

Verkennend booronderzoek St. Geertridentuin

(project 598)

Behorende bij bureaustudie met adviesnummer 891, in het kader van de herontwikkeling van het terrein van het voormalige Deventer ziekenhuis

Auteur: Hans Ringenier

	Naam:	Datum:	Paraaf:
Akkoord Auteur	H. Ringenier	23-01-2018	<i>HR</i>
Akkoord Senior Prospector	E. S. Mittendorff	23-01-2018	<i>EM.</i>
Akkoord Bevoegd Gezag	B. Vermeulen	23-01-2018	<i>BV</i>

COLOFON

© 2018, Gemeente Deventer, Deventer.

Auteur: Hans Ringenier

Redactie: Emile Mittendorff

Beeldredactie: Emile Mittendorff

Productie kaartmateriaal: Anne Mette van de Merwe

Vormgeving: Anne Mette van de Merwe

Titel: Verkennend booronderzoek St. Geertruidentuin

Reeksnaam: Briefrapport, nummer 49

Dit rapport is een product van:

Archeologie Deventer

Gemeente Deventer



Postbus 5000

7400 GC Deventer

Nederland

Telefoon: (0031)-(0)570-671155

www.deventer.nl

INHOUD

1 Inleiding en werkwijze	2
1.1 Administratieve gegevens	2
1.2 Aanleiding en doel	2
1.3 Werkwijze	4
2 Resultaten	6
2.1 Geo(morfo)logie en bodem	6
2.2 Interpretatie van de resultaten en consequenties voor de archeologische verwachting	8
3 Conclusies en beantwoording onderzoeksvragen	10
4 Selectieadvies	11
5 Selectiebesluit op basis van het booronderzoek	11
6 Literatuur	12

I INLEIDING EN WERKWIJZE

I.1 ADMINISTRATIEVE GEGEVENS

Projectnaam	598 Verkennd booronderzoek St. Geertruidentuin
Provincie	Overijssel
Gemeente	Deventer
Plaats	Deventer
Toponiem	St. Geertruidentuin
Kaartbladnummer	33 E
Centrum x, y-coördinaten	X: 208.305; Y: 475.213
Kadastraal perceel	DVT00B 15152, 16376, 16549 en 16550
Onderzoeksmeldingsnummer	4575897100
CMA/AMK-status	n.v.t.
Archis-monumentnummer	n.v.t.
Archis-waarnemingsnummer	n.v.t.
Oppervlakte plangebied	Ca. 60.110 m ²
Oppervlakte onderzoeksgebied	Ca. 60.110 m ²
Huidig grondgebruik	Deels bebouwd, deels braak
Globale hoogteligging t.o.v. NAP	6,60 t/m 8,15 m + NAP

I.2 AANLEIDING EN DOEL

In verband met de voorgenomen werkzaamheden voor herontwikkeling van het terrein van het voormalige Deventer Ziekenhuis aan de Ceintuurbaan is door Archeologie Deventer een bureaustudie opgesteld waarin de archeologische waarde van het terrein is beschreven.¹ Dit onderzoek was noodzakelijk om vast te stellen of de voorgenomen bodemingrepen, zoals verwoord in een stedenbouwkundige inrichtingsschets, eventueel in de bodem aanwezige archeologische resten zouden kunnen verstoren. Op basis van het bureauonderzoek is een gespecificeerde archeologische verwachting opgesteld. Vanwege de ligging van het plangebied op een dekzandhoogte en de aanwezigheid van een plaggendeek, geldt in algemene zin een hoge archeologische verwachting. In het uiterste noorden bevindt zich een gebiedsdeel waarvoor geen verwachting meer geldt door diepgaande verstoringen; in het zuiden is een zone met een lage verwachting (afb.1). De hoge archeologische verwachting voor het grootste deel van het plangebied is op de beleidskaart vertaald naar 'Waarde – Archeologie 3'. In gebieden met de dubbelbestemming 'Waarde - Archeologie 3' mogen werkzaamheden tot een oppervlakte van 200 m² zonder archeologische voorwaarden worden uitgevoerd. Ook werkzaamheden die niet dieper reiken dan 0,5 m zijn vrijgesteld. Bij werkzaamheden die leiden tot een verstoring tussen 200 m² en 500 m² dieper dan 0,5 m geldt een meldingsplicht. Bij werkzaamheden die leiden tot een verstoring groter dan 500 m² en dieper dan 0,5 m dient bij de aanvraag een archeologisch rapport te worden overlegd. Op basis van dit rapport kunnen voorwaarden aan de vergunning worden verbonden.

Op basis van de resultaten van eerder onderzoek in de directe omgeving dient in het deel van het plangebied met een hoge archeologische verwachting rekening te worden gehouden met nederzettingssporen uit de late prehistorie, de Volle en Late Middeleeuwen en resten van landschapsinrichting en wegen uit de Middeleeuwen en de Nieuwe tijd. De potentiële vindplaatsen met nederzettingssporen hebben vermoedelijk een relatief bescheiden omvang en kunnen dus geheel in het onderzoeksgebied aanwezig zijn.

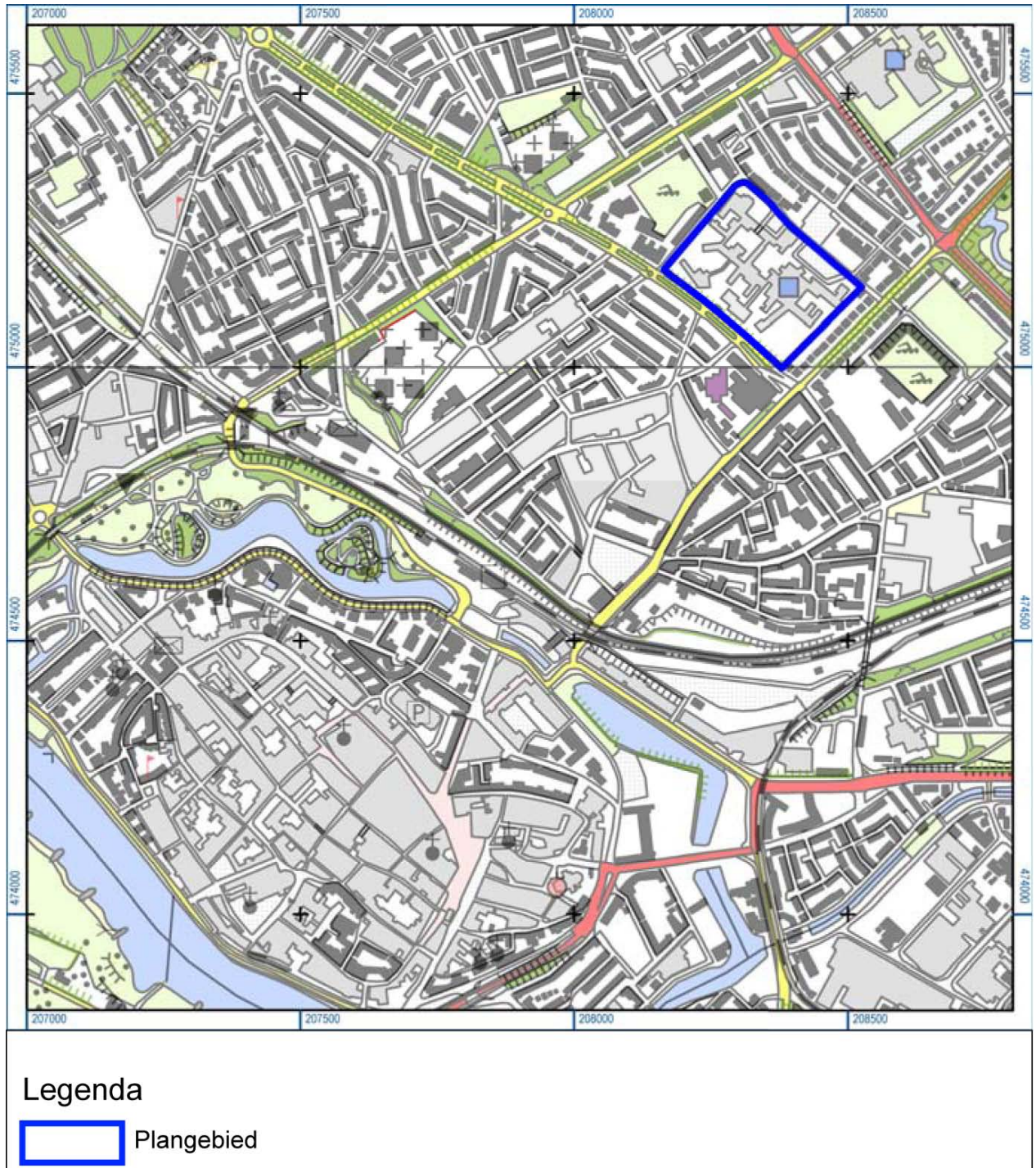
Recentelijk is een deel van de bebouwing gesloopt hetgeen gepaard is gegaan met grootschalige bodemverstoringen. Een visuele inspectie van het terrein heeft uitgewezen dat het centrale deel van het plangebied diep is verstoord tijdens de sloop; de niet vergraven zone lijkt nagenoeg intact te zijn. Hier heeft geen grootschalig grondverzet plaatsgevonden. Het gaat om smalle stroken waar nog bomen staan. Dit ongestoorde deel wordt hierna aangeduid als randzone.

Teneinde de bodemgaafheid in de ongerepte zones te controleren en de hoge archeologische verwachting te toetsen is, ter aanvulling op het bureauonderzoek, een verkennend veldonderzoek door middel van boringen uitgevoerd. Het onderzoek had niet tot doel archeologische vindplaatsen op te sporen. In 2006 is in het plangebied reeds een dergelijk booronderzoek uitgevoerd.² Destijds stond de thans gesloopte bebouwing er nog zodat dit onderzoek zich alleen richtte op de onbebouwde delen. Het onderzochte areaal komt voor een groot deel overeen met de ongestoorde zones waar onderhavig onderzoek is uitgevoerd. Op grond van de verkennende boringen uit 2006 is geconcludeerd dat de bodemopbouw dusdanig verstoord is dat het voorkomen van (intacte) archeologische resten niet verwacht wordt. Derhalve werd geen archeologisch vervolgonderzoek aanbevolen.

1 Van der Wal, 2017

2 Akkerman & Brouwer, 2006.

Bestudering van de onderzoeksgegevens uit 2006 heeft echter uitgewezen dat de interpretatie van de boringen te wensen over laat en de conclusies onvoldoende onderbouwd zijn. Uit de boorgegevens kan worden opgemaakt dat het bodemprofiel in de randzone waarschijnlijk wel intact is. Om deze aanname te toetsen en een gefundeerd advies te kunnen geven over de te verwachten archeologische resten in het plangebied is aanbevolen het verkennend booronderzoek opnieuw uit te voeren.³ De resultaten van het onderzoek en de aanbevelingen kunnen worden meegenomen bij het opstellen van het definitieve inrichtingsplan voor het voormalige ziekenhuisterrein.



Afb. 1: De ligging van het onderzoeksgebied

3 Van der Wal, 2017.

1.3 WERKWIJZE

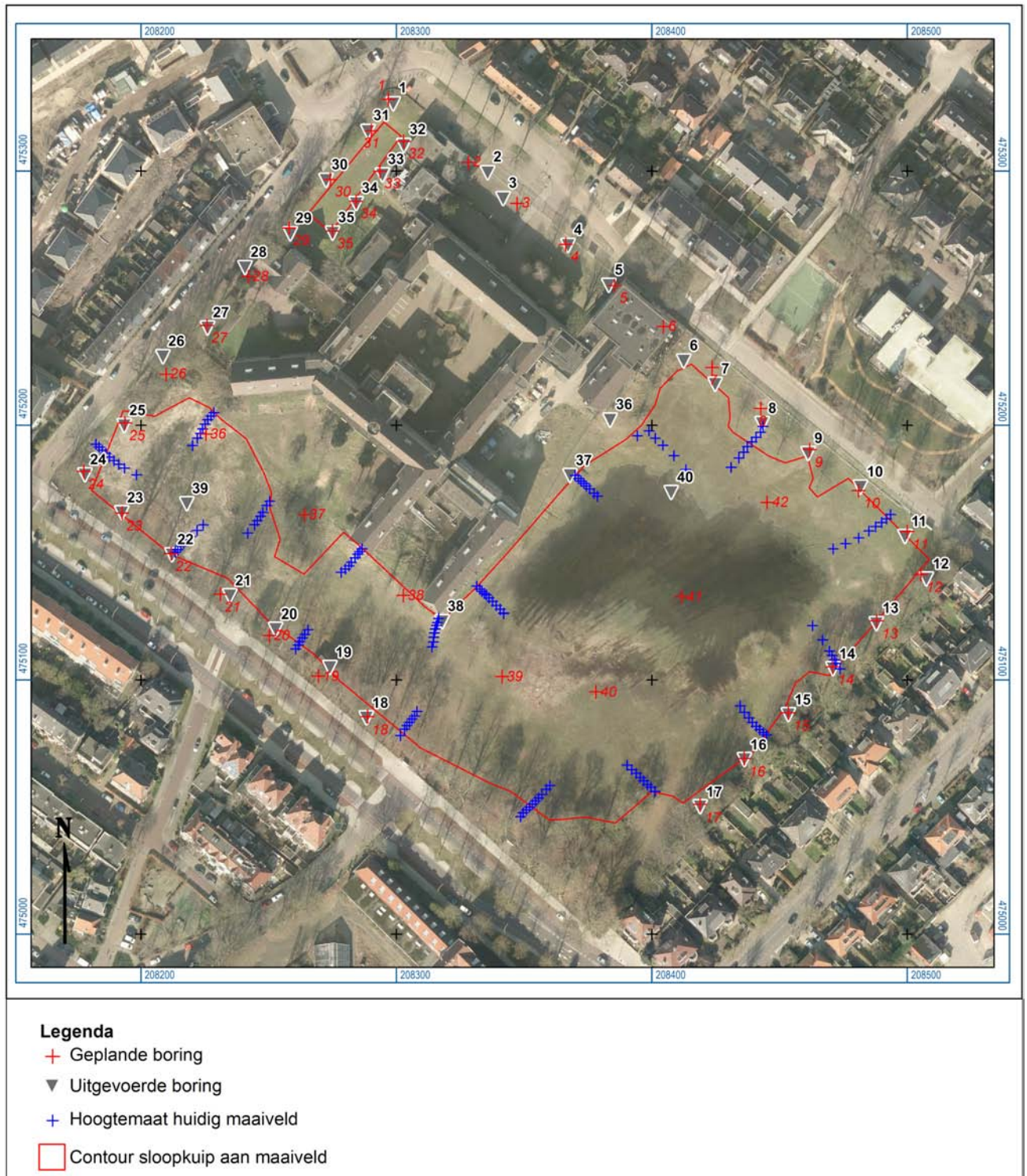
Binnen het plangebied zijn in totaal 40 boringen geplaatst. Conform het PVA zijn 35 reguliere boringen gezet op een onderlinge afstand van 25 m.⁴ Meestal is daarbij het boorplan gevolgd. Enkele boringen zijn verplaatst vanwege het feit dat de gepande boorpunten te dicht op bomen stonden. Bovendien zijn 5 controleboringen gezet om de mate van verstoring in centrale deel te controleren (afb. 2). De boringen zijn gezet met een edelmanboor met een diameter van 7 cm tot een maximale diepte van 175 cm. De locaties van de boringen en de contouren van het onderzochte areaal zijn met behulp van GPS ingemeten. De boringen zijn zodanig over de randzone verspreid, dat een representatief beeld van de bodemopbouw kon worden verkregen. Gezien het verkennend karakter van het booronderzoek was het onderzoek gericht op het vaststellen van de geomorfologische en bodemkundige situatie alsmede het begrenzen van verstoringen. Op deze wijze kunnen archeologisch kansrijke zones in kaart gebracht worden.

Verspreid over het gehele plangebied zijn bovendien hoogtemetingen verricht om de geleidelijke overgang tussen de ongeroerde zones en het verstoorde, centrale deel van het plangebied in kaart te brengen (afb. 2).

Het onderzoek diende bovendien antwoord te geven op de volgende onderzoeksvragen:

1. Wat is de mate van bodemverstoring in het plangebied? Indien intacte delen worden vastgesteld wat betekent dit voor een eventueel vervolgonderzoek?
2. Dient de gespecificeerde archeologische verwachting te worden bijgesteld op basis van het booronderzoek?

⁴ Ringenier, 2017

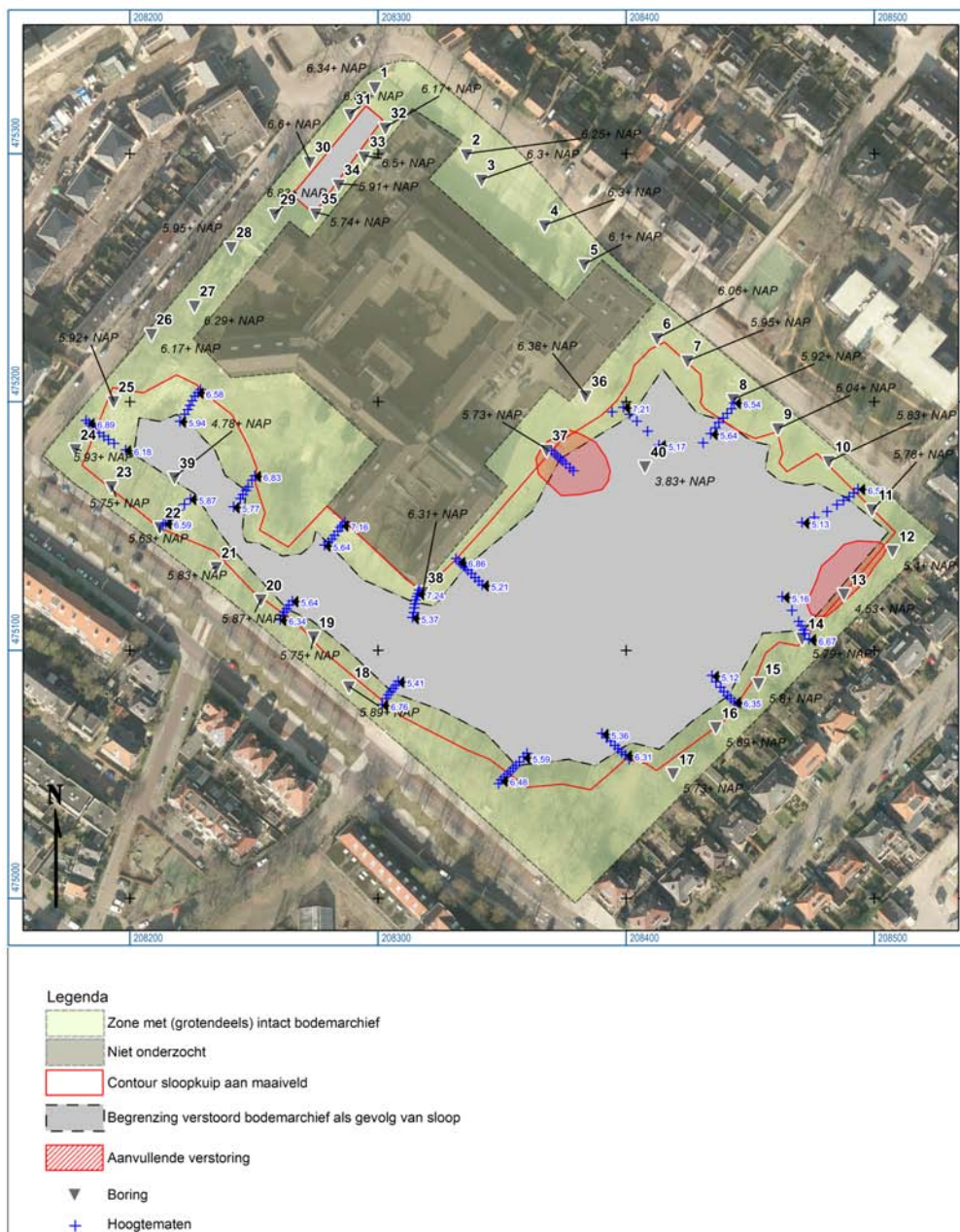


Afb. 2: Overzicht van geplande en daadwerkelijk uitgevoerde boringen en hoogtemetingen in het plangebied.

2 RESULTATEN

2.1 GEO(MORFO)LOGIE EN BODEM

De geo(morfo)logische aspecten van het plangebied wijken niet noemenswaardig af van de verwachting op grond van het bureauonderzoek. De ondiepe geologische ondergrond wordt gevormd door dekzand (C-horizont). Deze afzetting bestaat uit licht siltig, matig fijn, goed gesorteerd zand. De top van het dekzand is veelal aangetroffen op circa 5,7 m +NAP in het zuidoosten tot 6,3 m +NAP in het noordwestelijke deel van het plangebied. Het licht glooiende karakter van dit laatglaciale sediment kan waarschijnlijk opgevat worden als microreliëf binnen de dekzandrug. Voorts kan gesteld worden dat de top van het dekzand veelal gekenmerkt wordt door bioturbatie. Deze zogenaamde mollenlaag heeft een opmerkelijke dikte van maximaal 40 cm.

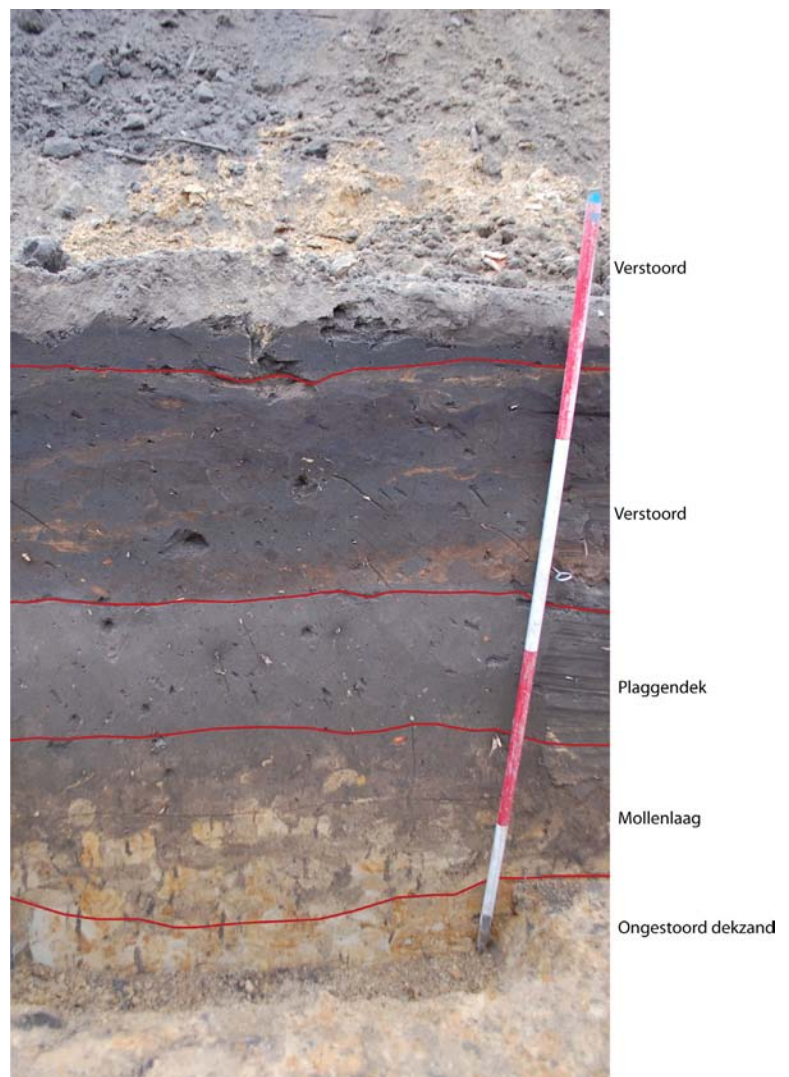


Afb. 3. Resultaten booronderzoek. De boringen zijn gelabeld met het niveau van de natuurlijke ondergrond ten opzichte van NAP. Van de raaien met hoogtematen zijn de hoogste en laagste waarde weergegeven

In enkele boringen is de C-horizont op een dieper niveau waargenomen als gevolg van verstoringen. Het betreffen deels verstoringen die samenhangen met de sloop van de gebouwen en waarvan op voorhand al verwacht kon worden dat de bodemopbouw ter plaatse niet meer intact is (afb.3; boringen 32 t/m 35, 39 en 40). De andere verstoringen zijn aangetroffen in de ogenschijnlijk ongestoorde delen van het plangebied (afb. 3; boringen 12, 13 en 37). De oorzaak van deze verstoringen is niet duidelijk; bovendien zijn deze verstoringen middels een booronderzoek lastig te begrenzen. De bodem in het plangebied strookt eveneens met de bevindingen van het bureauonderzoek. Vrijwel in alle boringen is een (donker) bruingrijs, humeus pakket zand waargenomen met een maximale dikte van 1,2 m. De bovenste 30 tot 50 cm van dit dikke, opgebrachte cultuurdek is in veel gevallen recent verstoord. Het humeuze pakket zand, dat is aangemerkt als een plaggendek, rust direct op het dekzand. In het plaggendek zijn doorgaans twee lagen te onderscheiden. Het onderste niveau, met een dikte van 20 tot 30 cm, kenmerkt zich door een iets lichtere kleur. Mogelijk gaat het om twee fasen van ophoging van het akkerareaal. In dat geval is het onderscheid in kleur waarschijnlijk het gevolg van de verschillende herkomst van het bronmateriaal. Niet uit te sluiten is dat het een zogenaamde oude akkerlaag betreft, een humeus akkerpakket dat (ver) voor de vorming van het plaggendek is ontstaan. Een eenduidige conclusie is op grond van de waarnemingen tijdens een verkennend booronderzoek niet te trekken. Vooralsnog wordt de laag geïnterpreteerd als de basis van het plaggendek.

De waargenomen bodemopbouw wordt goed weergegeven door een foto van een profielopname in een riooltracé ter hoogte van de Ceintuurbaan, direct ten zuiden van het plangebied (afb. 4).⁵ De hier geconstateerde geomorfologische en bodemkundige situatie is identiek aan die in het plangebied.

Resumerend kan gesteld worden dat de vastgestelde geomorfologische en bodemkundige situatie in het niet vergraven deel van het plangebied niet afwijkt van het beeld dat op grond van het bureauonderzoek verkregen is. Het booronderzoek heeft aangetoond dat in grote delen van het onderzochte gebied sprake is van een vrijwel intact bodemprofiel bestaande uit een deels verstoord plaggendek dat direct op de het dekzand rust.



Afb. 4. Profielopname in een riooltracé direct ten zuiden van het plangebied. Onder een deels verstoord plaggendek tekent zich een duidelijke mollenlaag af in de top van het dekzand.

⁵ Van der Wal, 2015

2.2 INTERPRETATIE VAN DE RESULTATEN EN CONSEQUENTIES VOOR DE ARCHEOLOGISCHE VERWACHTING

Het veldonderzoek heeft uitgewezen dat de geomorfologische en bodemkundige gesteldheid niet in tegenspraak is met de resultaten van het bureauonderzoek. In de randzone van het plangebied is een dekzandrug met een verstoord plaggendek aangetroffen. De verstoring beperkt zich voornamelijk tot de top van het plaggendek; de basis is veelal intact. Hier kunnen dus eventueel nog sporen aanwezig zijn. Incidenteel zijn diepe verstoringen tot in de top van het dekzand geconstateerd. Behoudens deze locaties met verstoringen kan gesteld worden dat het bodemprofiel in de randzone van het plangebied vrijwel intact is. Dit is in overeenstemming met de gegevens van het in 2006 uitgevoerde booronderzoek. Destijds zijn deze gegevens volledig verkeerd geïnterpreteerd hetgeen heeft geleid tot de onjuiste aanbeveling om in het plangebied geen archeologisch vervolgonderzoek voor te schrijven.

De landschappelijke gegevens sluiten goed aan bij het beeld dat verkregen is tijdens archeologische werkzaamheden in de directe omgeving van het plangebied.⁶ Het gaat om drie kleinschalige onderzoeken die binnen een straal van 50 m rond het huidige plangebied zijn uitgevoerd.⁷ Zonder uitzondering waren deze onderzoeken gesitueerd op de overgang van de dekzandrug naar de lagere gebiedsdelen. De top van het dekzand is tijdens deze campagnes aangetroffen op gemiddelde hoogtes variërend van 5,7 m +NAP in het zuidoosten tot 5,5 m +NAP in het noordwesten. Direct ten noorden van het plangebied bedroeg de hoogte ongeveer 5,4 m +NAP. Gezien de ligging van de onderzoeklocaties, net buiten de dekzandhoogte, zijn dit geen opmerkelijke verschillen ten opzichte van de geconstateerde hoogtes in het plangebied. De dikke mollenlaag die tijdens het verkennend booronderzoek werd aangetroffen is ook waargenomen ten zuiden en ten westen van het terrein van de St. Geertruidentuin. Ten zuiden, ter hoogte van de Ceintuurbaan, bedroeg de dikte van de gebioturbeerde laag maximaal 30 cm (afb. 4). Op het voormalige voetbalterrein van VV IJsselstreek, westelijk van het huidige plangebied, werd zelfs een mollenlaag aangetroffen met een maximale dikte van 60 cm. De bodem op de drie onderzoeklocaties is geïnterpreteerd als een plaggendek. De dikte van het humeuze cultuurdek varieert van 40 cm tot meer dan 1 m. Tijdens een opgraving aan de Ferseurstraat, direct ten noorden van het St. Geertruidenterrein, en bij het onderzoek aan de Ceintuurbaan werd onder het plaggendek een oude akkerlaag waargenomen. Deze laag is duidelijk herkenbaar als een enigszins bruinige dan wel grijze band tussen de basis van het plaggendek en de mollenlaag. Archeologische sporen werden eveneens aangesneden tijdens de drie voornoemde onderzoeken. In alle gevallen tekenden de sporen zich af in de top van het dekzand, direct onder het plaggendek of de oude akkerlaag. Het gaat hierbij onder meer om voorraadkuilen uit de Late Bronstijd, paalkuilen uit de IJzertijd alsmede greppels en een weg die in de Late Middeleeuwen en/of de Nieuwe dateren. Het aantreffen van diverse scherven uit de 10e en 11e eeuw op alle locaties is bovendien een aanwijzing voor (agrarische) activiteiten die in de Volle Middeleeuwen plaatsvonden.

Het geheel aan gegevens overziend kan worden geconcludeerd dat zowel in het plangebied als op de aangrenzende locaties waar archeologisch onderzoek heeft plaatsgevonden, een nagenoeg identieke bodemopbouw is vastgesteld. Het gaat om een deels verstoord plaggendek dat direct op het dekzand rust. Hierbij dient wel te worden opgemerkt dat de oude akkerlaag in de top van het dekzand, die zowel ten noorden als ten zuiden van het plangebied werd aangetroffen, niet tijdens het verkennend booronderzoek is herkend. Daarnaast zijn meerdere sporen uit diverse archeologische tijdvakken opgetekend in de directe nabijheid van het plangebied. Het aantreffen van kuilen uit de Midden Bronstijd en de Late IJzertijd wijst op de aanwezigheid van erven uit die periode. Deze moeten zich in de onmiddellijke nabijheid van deze kuilen bevinden. Het voorkomen van meerdere scherven uit de Volle Middeleeuwen doet vermoeden dat er ook bewoningssporen uit die tijd in de ondergrond bewaard zijn gebleven. Omdat tot ver in de Late Middeleeuwen de hogere delen van het landschap de voorkeur genoten als vestigingslocatie is het zeker niet ondenkbaar dat de erven gezocht moeten worden in het huidige plangebied, immers gelegen op een dekzandhoogte. Sporen van landschapsinrichting en een weg uit de Late Middeleeuwen en/of de Nieuwe tijd kunnen zich ook voortzetten binnen het plangebied.

Gebleken is dat de bodemopbouw in de randzone van het plangebied nagenoeg intact is. Het feit dat de top van het plaggendek veelal recentelijk is verstoord doet niet ter zake omdat het archeologisch niveau zich juist onder het plaggendek bevindt. Behalve daar waar diepe verstoringen zijn geconstateerd, is in het grootste deel van het onderzochte gebied de basis van het plaggendek en de daaronder gelegen top van het dekzand ongestoord. Gezien deze bodemkundige situatie en het voorkomen van archeologische sporen op locaties in de onmiddellijke omgeving, is de kans dan ook groot dat in de randzone van het plangebied archeologische resten in de ondergrond bewaard zijn gebleven.

6 Hermesen, 2007; Mittendorf, 2014; Van der Wal, 2015.

7 Van der Wal, 2017.

De randzone betreft niet alleen de smalle strook waar tijdens de sloop van de gebouwen geen verstoringen hebben plaatsgevonden. De overgang naar het diep verstoorde, centraal gelegen deel van het plangebied verloopt geleidelijk. Het verloop tussen de niet vergraven strook en het diep verstoorde deel is d.m.v. hoogtemetingen in kaart gebracht. Uit de boorgegevens is het niveau van het ongestoorde dekzand in het niet vergraven deel te herleiden. Door deze gegevens te interpoleren kan ook de top van het ongeroerde dekzand bepaald worden in de afgeschuinde overgangen naar het diep verstoorde deel. Hieruit blijkt dat het afgeschuinde verloop richting het centrale deel van het plangebied niet als volledig, tot in het dekzand verstoord aangemerkt kan worden. Het bovenste deel van de afgeschuinde overgang, daar waar de ontgravingen niet tot in het dekzand reiken, kan ook tot de strook gerekend worden waarvoor een grote kans op het aantreffen van archeologische resten geldt omdat eventuele archeologische sporen zich in de top van het dekzand zullen manifesteren.

Gezien het gegeven dat in een groot deel van de niet vergraven zone en het daaraan grenzende, bovenste deel van de afgeschuinde overgang naar het diep verstoorde deel een grote kans bestaat op het aantreffen van archeologische resten, geldt voor dit gebiedsdeel onveranderd een hoge verwachting. De oppervlakte van dit deel bedraagt circa 25.400 m². De delen waar tijdens het booronderzoek diepe verstoringen zijn geconstateerd kennen geen archeologische verwachting meer. Voor het centrale, verstoorde deel, met een oppervlakte van circa 19.800 m², geldt geen eveneens geen verwachting meer.

Zie afbeelding 5 voor de verschillende beleidswaarden en verwachtingszones in het plangebied. Hierbij moet wel worden opgemerkt dat ook voor de gearceerde zone de hoge verwachting gehandhaafd blijft ondanks het feit dat op de locatie van de bestaande bebouwing mogelijk ook grote verstoringen aanwezig zijn. Dit deel van het onderzoeksgebied is niet meegenomen in het booronderzoek omdat op grond van de inrichtingsschets hier geen ingegrepen gepland staan.



Afb. 5 De verschillende beleidswaarden in het plangebied

3 CONCLUSIES EN BEANTWOORDING ONDERZOEKSVRAGEN

In dit hoofdstuk worden de conclusies van het onderzoek gepresenteerd. De onderzoeksvragen worden niet afzonderlijk behandeld maar zijn in de conclusies verwoord. In plangebied St. Geertruidentuin is een verkennend booronderzoek uitgevoerd. Het onderzoek had tot doel de bodemopbouw in de niet vergraven randzone van het plangebied te bepalen teneinde de hoge archeologische verwachting van dit gebiedsdeel te toetsen. De bevindingen van het onderzoek kunnen worden meegenomen bij het opstellen van het definitieve inrichtingsplan voor het plangebied. Tijdens het booronderzoek is in de randzone een ten dele verstoord plaggendek op een dekzandrug aangetroffen. De verstoring beperkt zich hoofdzakelijk tot de bovenkant van het plaggendek; de basis is meestal intact. Incidenteel zijn enkele diepe verstoringen tot in het dekzand waargenomen. Met uitzondering van deze verstoorde locaties, kan gesteld worden dat de bodemopbouw in de randzone vrijwel intact is. Dit is in overeenstemming met de gegevens, maar niet met de conclusies, van het in 2006 uitgevoerde booronderzoek.

Op grond van de landschappelijke setting en de aanwezigheid van een aantal archeologische vindplaatsen binnen een straal van 50 m van rond het plangebied, geldt voor de randzone een hoge verwachting voor archeologische resten uit diverse perioden. Eventuele archeologische resten kunnen zich manifesteren in de top van het ongestoorde dekzand, direct onder het plaggendek. Uitgaande van dit gegeven kan ook aan een gedeelte van de vergraven zone in het plangebied een hoge archeologische verwachting worden toegekend. Het gaat om het bovenste deel van de afgeschuinde overgang tussen de randzone en het diep verstoorde, centrale gebiedsdeel waar de ontgravingen niet tot in het dekzand reiken. Gesteld kan worden dat de hoge archeologische verwachting voor de randzone grotendeels gehandhaafd dient te worden. De hoge verwachting voor de locaties die tijdens het booronderzoek als verstoord zijn aangemerkt dient wel gewijzigd te worden. Hiervoor geldt geen archeologische verwachting meer. Voor een aangrenzende strook op de overgang naar het diep verstoorde gedeelte van het plangebied geldt onveranderd een hoge verwachting.

4 SELECTIEADVIES

Voor het plangebied gold bij aanvang van het veldonderzoek een hoge archeologische verwachting. Het verkennend booronderzoek heeft uitgewezen dat deze verwachting gehandhaafd kan worden voor de randzone en het aangrenzende deel waar de verstoringen niet tot in het archeologisch niveau reiken. De verwachting voor de locaties binnen het niet vergraven deel die als verstoord zijn aangemerkt dient wel gewijzigd te worden. Voor deze delen geldt geen archeologische verwachting meer. De archeologische verwachting van het diep verstoorde gedeelte dient ook te worden bijgesteld. Op grond van het booronderzoek geldt voor dit deel geen archeologische verwachting meer.

Tot slot de zones van het plangebied waaraan op basis van het bureauonderzoek geen hoge archeologische verwachting is toegekend. Deze behoorden niet tot het te onderzoeken terrein. De verwachting voor deze gebiedsdelen is dan ook niet gewijzigd. Het betreft kleine zones in het noordwesten en zuidoosten van het plangebied. Alleen het deel van het plangebied waarvoor een hoge archeologische verwachting geldt, kent een dubbelbestemming 'Waarde – Archeologie 3'. Aan deze beleidswaarde is een onderzoeksplicht verbonden. Voor de overige delen van het plangebied geldt deze verplichting niet (waarde 0) of zeer beperkt (waarde 1).⁸ In de zone met een hoge archeologische verwachting dient, conform het gemeentelijke beleid, in eerste instantie gestreefd te worden naar behoud in situ van (eventuele) archeologische resten. Hoewel dergelijke resten niet daadwerkelijk zijn aangetoond is de kans op het aantreffen daarvan groot. Geadviseerd wordt dan ook om in de zone van het voormalige ziekenhuisterrein waarvoor een hoge archeologische verwachting geldt geen bodemingrepen uit voeren.

Indien deze aanbeveling niet kan worden doorgevoerd en het definitieve inrichtingsplan voorziet in grondroerende werkzaamheden in de zone met hoge verwachting, wordt een archeologisch vervolgonderzoek geadviseerd. Omdat de omvang en de diepte van eventuele bodemverstoringen voornamelijk niet bekend zijn, wordt bovendien voorgesteld om op het moment dat de definitieve inrichting van het plangebied vaststaat te bepalen welke vorm van archeologisch vervolgonderzoek de voorkeur geniet.

5 SELECTIEBESLUIT OP BASIS VAN HET BOORONDERZOEK

Het selectieadvies is voorgelegd aan de gemeentelijk archeoloog en wordt door de bevoegde overheid overgenomen. Gezien de archeologische verwachting in het plangebied wordt aan de vergunningsvoorwaarden een onderzoeksplicht verbonden. Indien de zone waarvoor een hoge archeologische verwachting geldt niet kan worden ontzien in de planvorming en ter plaatse grondroerende werkzaamheden plaatsvinden, dient archeologisch vervolgonderzoek te worden uitgevoerd. De wijze waarop dit onderzoek wordt vormgegeven is afhankelijk van het definitieve inrichtingsplan. Een vervolgonderzoek kan door Archeologie Deventer worden verricht maar mag ook door een extern gespecialiseerd bedrijf worden uitgevoerd mits deze partij beschikt over het relevante certificaat BRL-4000. De kosten van een vervolgonderzoek en het opstellen van het daarvoor vereiste Programma van Eisen, zijn voor rekening van de initiatiefnemer.

⁸ Voor het vigerende beleid ten aanzien van de verschillende verwachtingszones wordt verwezen naar het bureauonderzoek.

6 LITERATUUR

Akkerman, E. N. & E.W. Brouwer, 2006. *Inventariserend Veldonderzoek Archeologie, Locatie St. Geertruidentuin*. Arcadis Ruimtelijke Ontwikkeling B.V., Assen.

Hermesen, I., 2007. *Graven onder de zijlijn. Archeologisch proefonderzoek op de locatie VV IJsselstreek (Keizerslanden, Deventer, gemeente Deventer) (project 311)*. (Interne Rapportages Archeologie Deventer 24), Deventer.

Mittendorff, E.S., 2014. *Inventariserend archeologisch onderzoek (proefsleuven) aan de Fesevurstraat te Deventer (project 516)*. (Interne Rapportages Archeologie Deventer 82), Deventer.

Ringnier, H., 2017. *Plan van Aanpak St. Geertruidentuin IVO-O*, Deventer.

Wal, M. van der, 2015. *Archeologisch onderzoek in het tracé van de Ceintuurbaan (project. 500)*. Interne Rapportages Archeologie Deventer, nummer 90, Deventer.

Wal, M. van der, 2017. *Bureauonderzoek St. Geertruidentuin (archeologische bureaustudie 891)*, Deventer.

BORING	NAP	HORIZONT	BOVEN	ONDER	KLEUR	GEVLEKT	TEXTUUR	SUBLAAG	INDICATOREN	BIO-TURBATIE	HUMUS-BIJMENGING	Fe EN Mn	MEDIAAN	INTERPRETATIE
1	7,44	0	0	70	donker bruingrijs	-	zwak siltig zand	-	enkele spikkels houstkool, enkel fragment baksteenpuin	nee	matig humeus	-	matig fijn	Aa1
1	7,44	2	70	110	licht bruingrijs	-	zwak siltig zand	-	enkele spikkels houstkool	nee	zwak humeus	-	matig fijn	Aa2
1	7,44	3	110	140	licht bruingeel	-	zwak siltig zand	-	-	nee	-	enkele ijzervlekken	matig fijn	C
2	7,05	0	0	30	geel	-	zwak siltig zand	-	-	nee	-	-	matig fijn	XXX
2	7,05	1	30	60	donker bruingrijs	-	zwak siltig zand	-	enkele spikkels houstkool, enkel fragment baksteenpuin	nee	matig humeus	-	matig fijn	Aa1
2	7,05	2	60	80	bruin grijs	-	zwak siltig zand	-	enkele spikkels houstkool	nee	matig humeus	-	matig fijn	Aa2
2	7,05	3	80	105	licht bruingrijs	-	zwak siltig zand	-	-	nee	-	enkele ijzervlekken	matig fijn	C
3	7,05	0	0	20	geel	-	zwak siltig zand	-	-	nee	-	-	matig fijn	XXX
3	7,05	1	20	45	donker bruingrijs	-	zwak siltig zand	-	enkele spikkels houstkool, enkel fragment baksteenpuin	nee	matig humeus	-	matig fijn	Aa1
3	7,05	2	45	75	bruin grijs	-	zwak siltig zand	-	enkele spikkels houstkool	nee	matig humeus	-	matig fijn	Aa2
3	7,05	3	75	100	licht bruingeel	-	zwak siltig zand	-	-	nee	-	-	matig fijn	C
4	7,05	0	0	50	geel	-	zwak siltig zand	-	-	nee	-	-	matig fijn	XXX
4	7,05	1	50	75	donker bruingeel	-	zwak siltig zand	-	enkele spikkels houstkool	nee	-	-	matig fijn	Aa1 x
4	7,05	2	75	100	licht bruingeel	-	zwak siltig zand	-	-	nee	-	enkele ijzervlekken	matig fijn	C

BORING	NAP	HORIZONT	BOVEN	ONDER	KLEUR	GEVLEKT	TEXTUUR	SUBLAAG	INDICATOREN	BIO-TURBATIE	HUMUS-BIJMENGING	Fe EN Mn	MEDIAAN	INTERPRETATIE
5	7,1	0	0	30	geel	-	zwak siltig zand	-	-	nee	-	-	matig fijn	XXX
5	7,1	1	30	75	donker bruingeel	-	zwak siltig zand	-	enkele spikkels houtskool, enkel fragment baksteenpuin	nee	matig humeus	-	matig fijn	Aa1 x
5	7,1	2	75	100	donker bruingrijs	-	zwak siltig zand	-	enkele spikkels houtskool, enkel fragment baksteenpuin	nee	matig humeus	-	matig fijn	Aa2
5	7,1	3	100	130	licht bruingrijs	-	zwak siltig zand	-	-	nee	-	enkele ijzervlekken	matig fijn	C
6	7,41	0	0	55	geel	-	zwak siltig zand	-	-	nee	-	-	matig fijn	XXX
6	7,41	1	55	135	donker bruingrijs	-	zwak siltig zand	-	enkele spikkels houtskool, enkel fragment baksteenpuin	nee	matig humeus	-	matig fijn	Aa1
6	7,41	2	135	160	licht bruingrijs	-	zwak siltig zand	-	-	nee	-	enkele ijzervlekken	matig fijn	C
7	6,55	0	0	40	donker bruingeel	-	zwak siltig zand	-	enkele spikkels houtskool, enkel fragment baksteenpuin	nee	matig humeus	-	matig fijn	Aa1 x
7	6,55	1	40	60	bruin grijs	-	zwak siltig zand	-	enkele spikkels houtskool	nee	matig humeus	-	matig fijn	Aa2
7	6,55	2	60	80	licht bruingeel	bruin grijs	zwak siltig zand	-	-	ja	zwak humeus	enkele ijzervlekken	matig fijn	C
7	6,55	3	80	110	licht bruingeel	-	zwak siltig zand	-	-	nee	-	enkele ijzervlekken	matig fijn	C
8	6,62	0	0	70	geel	-	zwak siltig zand	-	-	nee	-	-	matig fijn	XXX
8	6,62	1	70	100	licht bruingeel	-	zwak siltig zand	-	-	nee	-	enkele ijzervlekken	matig fijn	C

BORING	NAP	HORIZONT	BOVEN	ONDER	KLEUR	GEVLEKT	TEXTUUR	SUBLAAG	INDICATOREN	BIO-TURBATIE	HUMUS-BIJMENGING	Fe EN Mn	MEDIAAN	INTERPRETATIE
9	6,59	0	0	10	geel	-	zwak siltig zand	-	-	nee	-	-	matig fijn	XXX
9	6,59	1	10	30	donker bruin grijs	-	zwak siltig zand	-	enkele spikkels houtskool, enkel fragment baksteenpuin	nee	matig humeus	-	matig fijn	Aa1
9	6,59	2	30	55	bruin grijs	-	zwak siltig zand	-	enkele spikkels houtskool	nee	matig humeus	-	matig fijn	Aa2
9	6,59	3	55	65	licht bruineel	bruin grijs	zwak siltig zand	-	-	ja	-	enkele ijzervlekken	matig fijn	C
9	6,59	4	65	90	licht bruineel	-	zwak siltig zand	-	-	nee	-	enkele ijzervlekken	matig fijn	C
10	6,58	0	0	25	donker bruin grijs	-	zwak siltig zand	-	enkele spikkels houtskool	nee	matig humeus	-	matig fijn	Aa1 x
10	6,58	1	25	55	donker grijs	-	zwak siltig zand	-	enkele spikkels houtskool, enkel fragment baksteenpuin	nee	matig humeus	-	matig fijn	Aa1
10	6,58	2	55	75	bruin grijs	-	zwak siltig zand	-	-	nee	matig humeus	-	matig fijn	Aa2
10	6,58	3	75	85	licht bruineel	bruin grijs	zwak siltig zand	-	-	ja	zwak humeus	enkele ijzervlekken	matig fijn	C
10	6,58	4	85	110	licht bruineel	-	zwak siltig zand	-	-	nee	-	enkele ijzervlekken	matig fijn	C
11	6,28	0	0	30	donker bruineel	-	zwak siltig zand	-	enkele spikkels houtskool, enkel fragment baksteenpuin	nee	matig humeus	-	matig fijn	Aa1 x
11	6,28	1	30	50	donker bruin grijs	-	zwak siltig zand	-	enkele spikkels houtskool, enkel fragment baksteenpuin	nee	matig humeus	-	matig fijn	Aa1
11	6,28	2	50	90	licht bruineel	bruin grijs	zwak siltig zand	-	-	ja	-	enkele ijzervlekken	matig fijn	C
11	6,28	3	90	120	licht bruineel	-	zwak siltig zand	-	-	nee	-	enkele ijzervlekken	matig fijn	C

BORING	NAP	HORIZONT	BOVEN	ONDER	KLEUR	GEVLEKT	TEXTUUR	SUBLAAG	INDICATOREN	BIO-TURBATIE	HUMUS-BIJMENGING	Fe EN Mn	MEDIAAN	INTERPRETATIE
12	6,55	0	0	55	geel	-	zwak siltig zand	-	-	nee	-	-	matig fijn	XXX
12	6,55	1	55	115	licht bruingeel	bruin grijs	zwak siltig zand	-	-	nee	zwak humeus	enkele ijzervlekken	matig fijn	XXX
12	6,55	2	115	140	witgrijs	-	zwak siltig zand	-	-	nee	-	enkele ijzervlekken	matig fijn	C
13	6,13	0	0	160	geel	-	zwak siltig zand	klei-brokken	-	nee	-	-	matig fijn	XXX
14	6,24	0	0	45	donker bruingeel	-	zwak siltig zand	-	enkele spikkels houtskool	nee	matig humeus	-	matig fijn	Aa1 x
14	6,24	1	45	55	licht bruingeel	bruin grijs	zwak siltig zand	-	-	ja	zwak humeus	enkele ijzervlekken	matig fijn	C
14	6,24	2	55	80	licht bruingeel	-	zwak siltig zand	-	-	nee	-	enkele ijzervlekken	matig fijn	C
15	6,65	0	0	35	donker bruingeel	-	zwak siltig zand	-	enkel fragment baksteen	nee	matig humeus	-	matig fijn	Aa1 x
15	6,65	1	35	70	donker bruingrijs	-	zwak siltig zand	-	enkele spikkels houtskool, enkel fragment baksteenpuin	nee	matig humeus	-	matig fijn	Aa1
15	6,65	2	70	85	bruin grijs	geel	zwak siltig zand	-	-	nee	zwak humeus	-	matig fijn	Aa2 x
15	6,65	3	85	110	licht bruingeel	-	zwak siltig zand	-	-	nee	-	enkele ijzervlekken	matig fijn	C
16	6,49	0	0	30	bruin grijsgeel	-	zwak siltig zand	-	enkele spikkels baksteen	nee	matig humeus	-	matig fijn	Aa1 x
16	6,49	1	30	60	donker bruingrijs	-	zwak siltig zand	-	enkele spikkels baksteen, enkel fragment baksteenpuin	nee	matig humeus	-	matig fijn	Aa1
16	6,49	2	60	80	licht bruingrijs	-	zwak siltig zand	-	-	nee	zwak humeus	-	matig fijn	Aa2
16	6,49	3	80	115	bruin geel	grijs	zwak siltig zand	-	-	ja	zwak humeus	enkele ijzervlekken	matig fijn	C
16	6,49	4	115	130	witgrijs	-	zwak siltig zand	-	-	nee	-	enkele ijzervlekken	matig fijn	C

BORING	NAP	HORIZONT	BOVEN	ONDER	KLEUR	GEVLEKT	TEXTUUR	SUBLAAG	INDICATOREN	BIO-TURBATIE	HUMUS-BIJMENGING	Fe EN Mh	MEDIAAN	INTERPRETATIE
17	6,83	0	0	35	geel	-	zwak siltig zand	-	-	nee	-	-	matig fijn	XXX
17	6,83	1	35	110	donker bruingrijs	-	zwak siltig zand	-	enkele spikkels houtskool, enkel fragment baksteenpuin	nee	matig humeus	-	matig fijn	Aa x
17	6,83	2	110	135	bruin geel	grijs	zwak siltig zand	-	-	ja	matig humeus	enkele ijzervlekken	matig fijn	C
17	6,83	3	135	160	witgrijs	-	zwak siltig zand	-	-	nee	-	-	matig fijn	C
18	6,59	0	0	70	donker bruin grijs	-	zwak siltig zand	-	enkele spikkels houtskool, enkel fragment baksteenpuin	nee	matig humeus	-	matig fijn	Aa x
18	6,59	1	70	115	licht bruin grijs	-	zwak siltig zand	-	-	ja	zwak humeus	-	matig fijn	C
18	6,59	2	115	140	witgrijs	-	zwak siltig zand	-	-	nee	-	-	matig fijn	C
19	6,6	0	0	85	donker bruingrijs	-	zwak siltig zand	-	enkele spikkels houtskool	nee	matig humeus	-	matig fijn	Aa x
19	6,6	1	85	140	licht bruingrijs	-	zwak siltig zand	-	-	ja	zwak humeus	-	matig fijn	C
19	6,6	2	140	170	witgrijs	-	zwak siltig zand	-	-	nee	-	-	matig fijn	C
20	6,37	0	0	50	donker bruingrijs	-	zwak siltig zand	-	enkele spikkels houtskool, enkel fragment baksteenpuin	nee	matig humeus	-	matig fijn	Aa
20	6,37	1	50	85	licht bruingrijs	-	zwak siltig zand	-	-	ja	zwak humeus	-	matig fijn	C
20	6,37	2	85	120	witgrijs	-	zwak siltig zand	-	-	nee	-	-	matig fijn	C

BORING	NAP	HORIZONT	BOVEN	ONDER	KLEUR	GEVLEKT	TEXTUUR	SUBLAAG	INDICATOREN	BIO-TURBATIE	HUMUS-BIJMENGING	Fe EN Mn	MEDIAAN	INTERPRETATIE
21	6,73	0	0	70	donker bruingeel	-	zwak siltig zand	kleibrokken	enkele spikkels houstkool, enkel fragment baksteenpuin	nee	matig humeus	-	matig fijn	XXX
21	6,73	1	70	90	bruin grijs	-	zwak siltig zand	-	-	nee	zwak humeus	-	matig fijn	Aa2
21	6,73	2	90	135	licht bruingrijs	-	zwak siltig zand	-	-	ja	zwak humeus	-	matig fijn	C
21	6,73	3	135	160	witgrijs	-	zwak siltig zand	-	-	nee	-	-	matig fijn	C
22	6,58	0	0	70	donker bruingeel	-	zwak siltig zand	-	enkele spikkels houstkool	nee	matig humeus	-	matig fijn	XXX
22	6,58	1	70	95	donker bruingrijs	-	zwak siltig zand	-	enkele spikkels houstkool	nee	matig humeus	-	matig fijn	Aa2
22	6,58	2	95	130	licht bruingrijs	-	zwak siltig zand	-	-	ja	zwak humeus	enkele ijzervlekken	matig fijn	C
22	6,58	3	130	160	bruin geel	-	zwak siltig zand	-	-	nee	-	enkele ijzervlekken	matig fijn	C
23	6,85	0	0	40	donker bruingeel	-	zwak siltig zand	-	enkele spikkels houstkool, enkel fragment baksteenpuin	nee	matig humeus	-	matig fijn	Aa l x
23	6,85	1	40	85	donker bruingrijs	-	zwak siltig zand	-	enkele spikkels houstkool	nee	matig humeus	-	matig fijn	Aa l
23	6,85	2	85	110	licht bruingrijs	-	zwak siltig zand	-	-	nee	zwak humeus	-	matig fijn	Aa2
23	6,85	3	110	135	licht bruingrijs	-	zwak siltig zand	-	-	ja	zwak humeus	-	matig fijn	C
23	6,85	4	135	140	witgrijs	-	zwak siltig zand	-	-	nee	-	-	matig fijn	C

BORING	NAP	HORIZONT	BOVEN	ONDER	KLEUR	GEVLEKT	TEXTUUR	SUBLAAG	INDICATOREN	BIO-TURBATIE	HUMUS-BIJMENGING	Fe EN Mn	MEDIAAN	INTERPRETATIE
24	7,08	0	0	40	donker bruingeel	-	zwak siltig zand	-	enkele spikkels houtskool	nee	matig humeus	-	matig fijn	Aa1 x
24	7,08	1	40	80	donker bruingrijs	-	zwak siltig zand	-	enkele spikkels houtskool, enkel fragment baksteenpuin	nee	matig humeus	-	matig fijn	Aa1
24	7,08	2	80	115	bruin grijs	-	zwak siltig zand	-	-	ja	zwak humeus	-	matig fijn	Aa2
24	7,08	3	115	155	licht bruingrijs	-	zwak siltig zand	-	-	ja	zwak humeus	-	matig fijn	C
24	7,08	4	155	175	witgrijs	-	zwak siltig zand	-	-	nee	-	-	matig fijn	C
25	6,57	0	0	50	donker bruingrijs	-	zwak siltig zand	-	enkele spikkels houtskool, enkel fragment baksteenpuin	nee	matig humeus	-	matig fijn	Aa1
25	6,57	1	50	65	bruin grijs	-	zwak siltig zand	-	enkele spikkels houtskool	nee	matig humeus	-	matig fijn	Aa2
25	6,57	2	65	75	licht bruingrijs	-	zwak siltig zand	-	-	ja	zwak humeus	-	matig fijn	C
25	6,57	3	75	95	licht bruingeel	-	zwak siltig zand	-	-	ja	zwak humeus	enkele ijzervlekken	matig fijn	C
25	6,57	4	95	120	licht bruingeel	-	zwak siltig zand	-	-	nee	-	enkele ijzervlekken	matig fijn	C
26	7,17	0	0	60	donker bruingeel	-	zwak siltig zand	-	enkele spikkels houtskool	nee	matig humeus	-	matig fijn	Aa1 x
26	7,17	1	60	100	donker bruingeel	-	zwak siltig zand	-	enkel fragment baksteenpuin	nee	zwak humeus	-	matig fijn	Aa2 x
26	7,17	2	100	125	licht bruingeel	-	zwak siltig zand	-	-	nee	-	enkele ijzervlekken	matig fijn	C

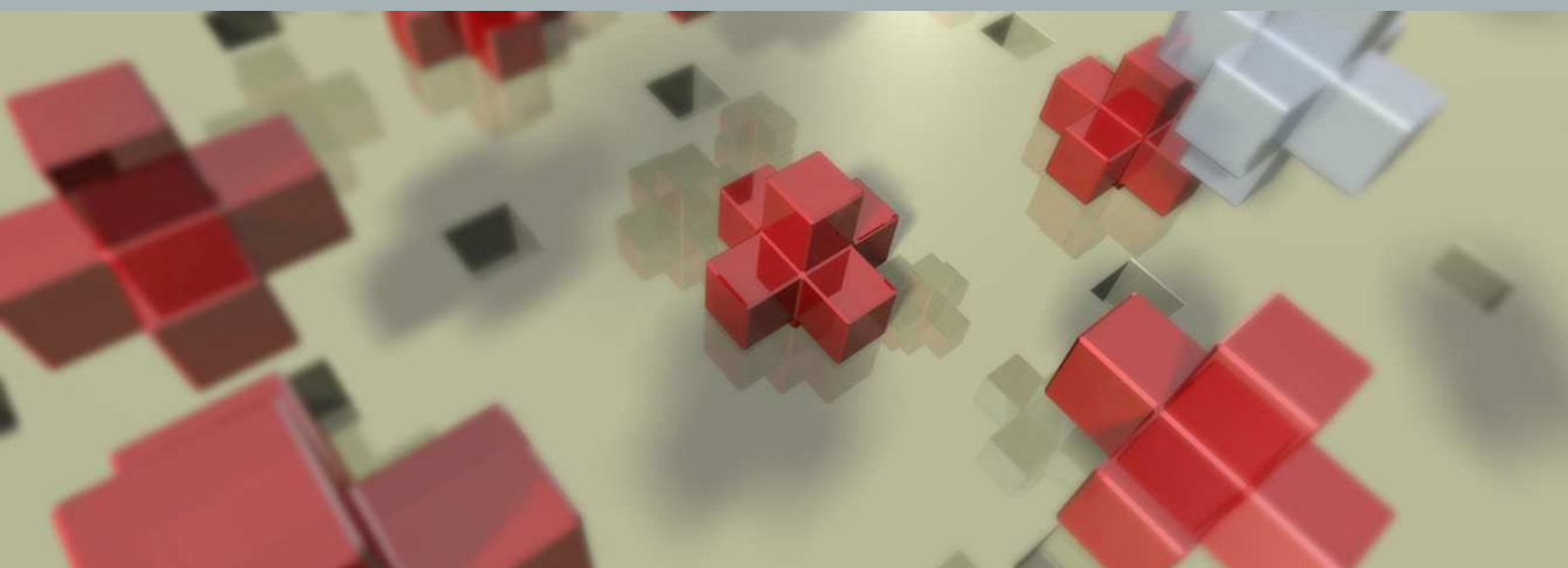
BORING	NAP	HORIZONT	BOVEN	ONDER	KLEUR	GEVLEKT	TEXTUUR	SUBLAAG	INDICATOREN	BIO-TURBATIE	HUMUS-BIJMENGING	Fe EN Mh	MEDIAAN	INTERPRETATIE
27	7,29	0	0	100	donker bruingeel	-	zwak siltig zand	-	enkel fragment baksteenpuin	nee	matig humeus	-	matig fijn	Aa1 x
27	7,29	1	100	130	licht bruingeel	-	zwak siltig zand	-	-	nee	-	enkele ijzervlekken	matig fijn	C
28	7,05	0	0	70	donker bruingeel	-	zwak siltig zand	-	enkele spikkels houtschool, enkel fragment baksteenpuin	nee	matig humeus	-	matig fijn	Aa1 x
28	7,05	1	70	110	bruin grijs	-	zwak siltig zand	-	enkele spikkels houtschool	nee	matig humeus	-	matig fijn	Aa2
28	7,05	2	110	150	licht bruingeel	-	zwak siltig zand	-	-	nee	-	enkele ijzervlekken	matig fijn	C
29	7,73	0	0	40	donker bruingrijs	-	zwak siltig zand	-	enkele spikkels houtschool, enkel fragment baksteenpuin	nee	matig humeus	-	matig fijn	Aa1
29	7,73	1	40	90	bruin grijs	-	zwak siltig zand	-	enkele spikkels houtschool	nee	matig humeus	-	matig fijn	Aa2
29	7,73	2	90	130	licht bruingeel	grijs	zwak siltig zand	-	-	ja	zwak humeus	enkele ijzervlekken	matig fijn	C
29	7,73	3	130	150	licht bruingeel	-	zwak siltig zand	-	-	nee	-	enkele ijzervlekken	matig fijn	C
30	7,8	0	0	100	donker bruingrijs	-	zwak siltig zand	-	enkele spikkels houtschool, enkel fragment baksteenpuin	nee	matig humeus	-	matig fijn	Aa1
30	7,8	1	100	120	bruin grijs	-	zwak siltig zand	-	enkele spikkels houtschool	nee	matig humeus	-	matig fijn	Aa2
30	7,8	2	120	150	licht bruingeel	-	zwak siltig zand	-	-	nee	-	enkele ijzervlekken	matig fijn	C
31	7,83	0	0	120	donker bruingrijs	-	zwak siltig zand	-	enkele spikkels houtschool	nee	matig humeus	-	matig fijn	Aa1
31	7,83	1	120	135	licht bruingrijs	-	zwak siltig zand	-	-	ja	zwak humeus	-	matig fijn	C
31	7,83	2	135	150	licht bruingeel	-	zwak siltig zand	-	-	nee	-	enkele ijzervlekken	matig fijn	C

BORING	NAP	HORIZONT	BOVEN	ONDER	KLEUR	GEVLEKT	TEXTUUR	SUBLAAG	INDICATOREN	BIO-TURBATIE	HUMUS-BIJMENGING	Fe EN Mn	MEDIAAN	INTERPRETATIE
32	7,87	0	0	170	donker bruingeel	-	zwak siltig zand	-	enkele spikkels houstkool, enkel fragment baksteenpuin	nee	matig humeus	-	matig fijn	XXX
32	7,87	1	170	190	witgrijs	-	zwak siltig zand	-	-	nee	-	-	matig fijn	C
33	7,85	0	0	110	donker bruingeel	-	zwak siltig zand	-	enkel fragment baksteenpuin	nee	matig humeus	-	matig fijn	XXX
33	7,85	1	110	135	donker bruingrijs	-	zwak siltig zand	-	-	nee	matig humeus	-	matig fijn	Aa2
33	7,85	2	135	160	licht bruingeel	-	zwak siltig zand	-	-	nee	-	enkele ijzervlekken	matig fijn	C
34	6,61	0	0	25	donker bruingeel	-	zwak siltig zand	-	-	nee	zwak humeus	-	matig fijn	XXX
34	6,61	1	25	70	bruin grijs	-	zwak siltig zand	-	-	nee	matig humeus	-	matig fijn	XXX
35	6,64	0	0	30	donker bruingeel	-	zwak siltig zand	-	enkel fragment baksteenpuin	nee	zwak humeus	-	matig fijn	XXX
35	6,64	1	30	90	bruin grijs	-	zwak siltig zand	kleibrokken	-	nee	-	-	matig fijn	XXX
36	7,53	0	0	15	donker bruingeel	-	zwak siltig zand	-	enkel fragment baksteenpuin	nee	zwak humeus	-	matig fijn	XXX
36	7,53	1	15	35	geel	-	zwak siltig zand	-	-	nee	-	-	matig fijn	XXX
36	7,53	2	35	115	donker bruingrijs	-	zwak siltig zand	-	enkele spikkels houstkool, enkel fragment baksteenpuin	nee	matig humeus	-	matig fijn	Aa1
36	7,53	3	115	140	licht bruingeel	-	zwak siltig zand	-	-	nee	-	enkele ijzervlekken	matig fijn	C

BORING	NAP	HORIZONT	BOVEN	ONDER	KLEUR	GEVLEKT	TEXTUUR	SUBLAAG	INDICATOREN	BIO-TURBATIE	HUMUS-BIJMENGING	Fe EN Mn	MEDIAAN	INTERPRETATIE
37	7,43	0	0	170	geel	-	zwak siltig zand	-	-	nee	-	-	matig fijn	XXX
38	7,51	0	0	80	donker bruingeel	-	zwak siltig zand	-	enkele spikkels houtskool	nee	matig humeus	-	matig fijn	Aa I x
38	7,51	1	80	120	donker bruingrijs	-	zwak siltig zand	-	enkele spikkels houtskool, enkel fragment baksteenpuin	nee	matig humeus	-	matig fijn	Aa I
38	7,51	2	120	150	licht bruingeel	-	zwak siltig zand	-	-	nee	-	enkele ijzervlekken	matig fijn	C
39	5,98	0	0	120	donker bruingeel	-	zwak siltig zand	-	-	nee	matig humeus	-	matig fijn	XXX
40	5,03	0	0	120	donker bruingeel	-	zwak siltig zand	-	-	nee	zwak humeus	-	matig fijn	XXX

Bijlage 11 Aanmeldingsnotitie mer Geertruidentuin Deventer

Aanmeldingsnotitie en vormvrije m.e.r.-
beoordeling, bestemmingsplan Geertruidentuin
Gemeente Deventer



Aanmeldingsnotitie en vormvrije m.e.r.-
beoordeling, bestemmingsplan Geertruidentuin
Gemeente Deventer

Rapportnummer: 211X09727_4
Datum: 13 juni 2019
Contactpersoon opdrachtgever: Dhr A. Heijs (Synchroon)
Projectteam BRO: Wim de Ruiter, Anja Diepen
Trefwoorden: -
Bron foto kaft: BRO, Abstract 4
Beknopte inhoud: -

BRO
5280 AA Boxtel
Bosscheweg 107
5282 WV Boxtel
T +31 (0)411 850 400
E info@bro.nl

Inhoudsopgave	pagina
1. INLEIDING	2
1.1 Inleiding	2
1.2 Toetsing Besluit m.e.r.	2
1.3 Vormvrije m.e.r.-beoordeling	3
1.4 Leeswijzer	4
2. EFFECTEN OP HET MILIEU	4
1.1 Inleiding	4
2.2 Kenmerken van het project	4
2.3 Plaats van het project	7
2.4 Kenmerk van het potentiële effect	8
3. VORMVRIJE M.E.R-BEOORDELING	9

1. INLEIDING

1.1 Inleiding

De locatie van het voormalige St. Geertruidenziekenhuis aan de Ceintuurbaan in Deventer is sinds het vertrek van het ziekenhuis in 2008 in afwachting van herontwikkeling. Het merendeel van de bij het ziekenhuis behorende bebouwing is daartoe enige jaren geleden gesloopt. Het karakteristieke en inmiddels als gemeentelijk monument aangeduide SMCD-gebouw is, evenals de voormalige apotheek aan de Van Calcarstraat, behouden. Voor een deel is ook het monumentale hekwerk met de gemetselde penanten op de eigendomsgrens van het ziekenhuisterrein nog aanwezig. Tevens staan er nog een aantal behoudenswaardige bomen op de locatie.

Het plangebied wordt aan de noordzijde begrensd door de H.J.P. Fesevurstraat, aan de westzijde door de Van Calcarstraat, aan de zuidzijde door de Ceintuurbaan en aan de oostzijde door de achterzijden van de woningen aan de Brinkgreverweg.

De initiatiefnemer (Synchroon) is voornemens in het SMCD-gebouw 81 woningen en circa 900 m² aan kleinschalige niet-woonfuncties te realiseren en nog eens 142 nieuwe woningen in nieuwbouwclusters, verspreid over de Geertruidentuin. De voormalige apothekerswoning blijft behouden. Het plan richt zich op een breed scala aan leefstijlen en microwoonmilieus binnen een groen planconcept. In totaal zullen 224 woningen worden gerealiseerd. Voor alle nieuwe woningen buiten het SMCD-gebouw wordt uitgegaan van 3 bouwlagen, met uitzondering van de woningen aan de Ceintuurbaan. Hier wordt uitgegaan van 4 bouwlagen.

De ontwikkeling is deels als mogelijk gemaakt in het in 2009 vastgestelde bestemmingsplan 'St. Geertruidentuin e.o.' Dit bestemmingsplan is gebaseerd op het stedenbouwkundig concept uit 2005. Zowel gestapelde als niet gestapelde woningbouw is toegestaan. In het plan is geen maximaal aantal woningen vastgelegd, wel een bebouwingspercentage per bouwvlak. Op enkele, specifiek aangeduide plaatsen zijn kantoren en maatschappelijke en recreatieve voorzieningen, met inbegrip van 'lichte' horeca, toegestaan tot een gezamenlijk brutovloeroppervlakte in het totale plangebied van 900 m². De nieuwe stedenbouwkundige invulling is zodanig gewijzigd, dat dit niet langer binnen de kaders van het vigerende bestemmingsplan past.

1.2 Toetsing Besluit m.e.r.

Toetsingskader

Gemeenten en provincies moeten ook bij kleine bouwprojecten beoordelen of een m.e.r.-beoordeling nodig is. Achterliggende gedachte hierbij is dat ook kleine projecten het milieu relatief zwaar kunnen belasten en ook bij kleine projecten van geval tot geval moet worden beoordeeld of een m.e.r.-procedure nodig is. Een m.e.r.-beoordeling is een toets van het bevoegd gezag om te beoordelen of bij een project belangrijke nadelige milieugevolgen kunnen optreden. Wanneer uit de toets blijkt dat er

belangrijke nadelige milieugevolgen kunnen optreden moet er een m.e.r.-procedure worden doorlopen. Met andere woorden dan is het opstellen van een MER nodig.

Beoordeling noodzakelijkheid m.e.r.-beoordeling

Om te bepalen of een m.e.r.-beoordeling noodzakelijk is dient bepaald te worden of de ontwikkeling de drempelwaarden uit lijst D van het Besluit m.e.r. overschrijdt, of de ontwikkeling in een kwetsbaar gebied ligt en of er belangrijke milieugevolgen zijn.

In het plangebied wordt de realisatie van een nieuw woongebied van maximaal 224 woningen en 900 m² aan kleinschalige niet-woonfuncties mogelijk gemaakt. De ontwikkeling dient getoetst te worden aan de Bijlage bij het Besluit m.e.r. De ontwikkeling van woningen valt onder de activiteit stedelijk ontwikkelingsproject (D 11.2). In het geval van een stedelijk ontwikkelingsproject is direct een m.e.r.-beoordeling noodzakelijk als de activiteit gaat om de bouw van 2.000 woningen of meer in een aangesloten gebied of als de activiteit een omvang heeft van 100 hectare. Geconcludeerd kan worden dat de ontwikkeling van maximaal 224 woningen ver beneden de drempelwaarde ligt zoals opgenomen in het Besluit m.e.r. Er is sprake van een vormvrije m.e.r.-beoordelingsplicht. Dit betekent dat voordat het ontwerpbestemmingsplan in procedure gaat, het college van burgemeester en wethouders aan de hand van een **aanmeldingsnotitie** moet beoordelen en besluiten of een milieueffectrapport moet worden opgesteld e.e.a. conform paragraaf 7.6 Wet milieubeheer.

1.3 Vormvrije m.e.r.-beoordeling

In een vormvrije m.e.r.-beoordeling moet de gemeente beoordelen of een milieueffectrapport moet worden opgesteld. Achterliggende gedachte hierbij is dat ook kleine projecten het milieu relatief zwaar kunnen belasten en ook bij kleine projecten van geval tot geval moet worden beoordeeld of een m.e.r.-procedure nodig is. Deze vormvrije m.e.r.-beoordeling kan tot twee conclusies leiden:

- belangrijke nadelige milieugevolgen zijn uitgesloten: er is geen milieueffectrapportage noodzakelijk;
- belangrijke nadelige gevolgen voor het milieu zijn niet uitgesloten: er moet een milieueffectrapportage worden opgesteld.

Procedure

De initiatiefnemer dient de meldingsnotitie in bij de gemeente. De gemeente (het bevoegd gezag) neemt binnen 6 weken na ontvangst van de meldingsnotitie (mededeling) een beslissing of een MER gemaakt moet worden.

1.4 Leeswijzer

Hoofdstuk 2 vormt de aanmeldingsnotitie, hoofdstuk 3 vormt de vormvrije m.e.r.-beoordeling.

De beoordeling of het noodzakelijk is een milieueffectrapport op te stellen is geheel afhankelijk van het feit of er sprake is van 'bijzondere omstandigheden'. De bijzondere omstandigheden kunnen betrekking hebben op:

- a. de plaats waar de activiteit plaatsvindt, o.a. in relatie tot gevoelige gebieden ;
- b. de kenmerken van de activiteit ;
- c. de kenmerken van de belangrijke nadelige gevolgen voor het milieu die de activiteit kan hebben.
- d. de samenhang met andere activiteiten ter plaatse (cumulatie).³

2. EFFECTEN OP HET MILIEU

1.1 Inleiding

In deze paragraaf wordt getoetst of op basis van de criteria die zijn genoemd in bijlage III van de EEG-richtlijn milieueffectbeoordeling een m.e.r.-beoordeling uitgevoerd moet worden. Het gaat hierbij om de volgende criteria (zie ook onderstaande tabel):

1. de kenmerken van het project;
2. de plaats van het project;
3. de kenmerken van het potentiële effect.

Kenmerken van het project
<ul style="list-style-type: none"> • Omvang van het project • Cumulatie met andere projecten • Gebruik van natuurlijke grondstoffen • Productie van afvalstoffen • Verontreiniging en hinder • Risico van ongevallen, mede gelet op de gebruikte stoffen en technologieën
Plaats van het project
<ul style="list-style-type: none"> • Bestaand grondgebruik • Relatieve rijkdom aan kwaliteit en het regeneratievermogen van de natuurlijke hulpbronnen van het gebied • Het opnamevermogen van het natuurlijke milieu, met in het bijzonder aandacht voor gevoelige gebieden (wetlands, kustgebieden, berg- en bosgebieden, reservaten en natuurparken, Habitat- en Vogelrichtlijngebieden), gebieden waarin bij communautaire wetgeving vastgestelde normen inzake milieukwaliteit reeds worden overschreden, gebieden met een hoge bevolkingsdichtheid, landschappen van historisch, cultureel of archeologisch belang
Kenmerken van het potentiële effect
<ul style="list-style-type: none"> • Bereik van het effect (geografische zone en grootte van de getroffen bevolking) • Grensoverschrijdende karakter van het effect • Waarschijnlijkheid van het effect • Duur, frequentie en de omkeerbaarheid van het effect

De vormvrije m.e.r.-beoordeling is opgesteld op basis van de onderzoeken die zijn uitgevoerd in het kader van het ruimtelijke plan. In de onderstaande tabellen vindt de beoordeling/toets plaats aan de criteria die zijn genoemd in bijlage III van de EEG-richtlijn milieueffectbeoordeling.

2.2 Kenmerken van het project

Kenmerken van het project	
Criteria	Toets
Omvang van het project	Het plan richt zich op de herontwikkeling van het voormalige St. Geertruidenziekenhuis terrein en maakt de ontwikkeling van maximaal 224 woningen (waarvan 81 woningen in het voormalige SMCD-gebouw) en maximaal 900 m ² aan kleinschalige niet-woonfuncties (in het SMCD-gebouw) met bijbehorende wegen, parkeerplaatsen, groenvoorzieningen, watervoorzieningen en speelvoorzieningen mogelijk. De nieuwe woningen zijn voorzien in 3 bouwlagen, met uitzondering van de woningen aan de Ceintuurbaan die voorzien zijn in

Kenmerken van het project	
Criteria	Toets
	vier bouwlagen. Zoals reeds vermeld in de inleiding is een groot deel van de ontwikkeling reeds mogelijk op basis van het vigerende bestemmingsplan 'St. Geertruidentuin e.o.'
Cumulatie met andere projecten	Nee.
Gebruik van natuurlijke hulpbronnen	Doordat er woningbouw wordt mogelijk gemaakt zullen er permanente natuurlijke bronnen worden gebruikt.
Productie van afvalstoffen	Naast het reguliere afval van de toekomstige bebouwing en functies zal geen sprake zijn van de productie van andere afvalstoffen.
Verontreiniging en hinder	<p>De ontwikkeling vindt plaats in stedelijk gebied.</p> <p>Tijdens de <u>aanlegfase</u> is er mogelijk sprake van tijdelijke hinder als gevolg van bouwverkeer en bouwwerkzaamheden. Na de aanleg zijn maximaal 224 woningen aanwezig in het plangebied. De woningen veroorzaken geen verontreiniging en hinder buiten de reguliere effecten van woningen.</p> <p>Effect van het verkeer van het plan op de omgeving: Als de verkeersgeneratie van voorliggend plan vergeleken wordt met de verkeersgeneratie van het vigerend bestemmingsplan waarin een onbeperkt aantal woningen mogelijk wordt gemaakt, kan geconcludeerd worden dat voorliggend bestemmingsplan minder verkeer genereert en dus minder geluid.</p> <p><u>Akoestiek wegverkeer:</u> Uit het akoestisch onderzoek wegverkeerslawaaai blijkt dat voor de Ceintuurbaan hogere waarden aangevraagd moeten worden. Hierna vormt het aspect geluid geen belemmering. Bij de omgevingsvergunningaanvraag wordt een akoestisch onderzoek gevel geluidwering uitgevoerd.</p> <p>In het akoestisch onderzoek gevelreflectie is het geluidseffect van het nieuwbouwplan, met name reflectie van het stadiongeluid, op de bestaande woningen aan de Brinkgreverweg berekend. Hieruit blijkt dat de maximale toename 5 dB(A) bedraagt. Uit een vergelijking tussen de situatie met het huidige stedenbouwkundige plan en de situatie met de maximaal toegestane bebouwing conform het vigerende bestemmingsplan blijkt dat het geluidniveau significant afneemt uitgaande van de maximaal toegestane bebouwing als gevolg van reflectie van het stadiongeluid. Hiermee is sprake van een acceptabel woon- en leefklimaat.</p> <p><u>Akoestiek stadion:</u> Uit het akoestisch onderzoek industrielawaai vanwege het voetbalstadion De Adelaarshorst blijkt dat op basis van de vergunde situatie van het stadion De Adelaarshorst ter plaatse van de nieuw te realiseren woningen binnen het plan Geertruidentuin hogere geluidniveaus worden berekend. Hierbij is de wedstrijd met een wedstrijd gedurende de avondperiode de maatgevende representatieve bedrijfssituatie. Op basis van de onderbouw opgenomen in het akoestisch onderzoek m.b.t. de aanvraag van de omgevingsvergunning voor het stadion en in de vigerende vergunning worden de verhoogde geluidniveaus toelaatbaar geacht.</p> <p><u>Bedrijven en milieuzonering:</u> Het plangebied ligt in een gebied met functiemenging. De 900 m² aan niet-woonfuncties behoren tot categorie A. Dit is vastgelegd in de regels van het bestemmingsplan. Categorie A betreffen activiteiten die zo weinig milieubelastend zijn voor hun omgeving zijn dat ze aanpandig aan woningen kunnen worden uitgevoerd. Dit aspect vormt derhalve geen belemmering.</p> <p>Uit het uitgevoerde onderzoek milieuzonering blijkt dat de te projecteren woonbestemmingen ruimschoots buiten de richtafstanden zijn gelegen. Dit betekent dat sprake is van een goede ruimtelijke ordening en nader onderzoek is niet noodzakelijk.</p>

Kenmerken van het project	
Criteria	Toets
	<p>Aan de zuidoostzijde van het plangebied is het gezoneerd industrieterrein (Wet geluidhinder) 'Bergweide, Veenoord en Kloosterlanden' gelegen. Het plangebied is op ruime afstand van de (geluid)zonegrens gelegen. Dit industrieterrein vormt geen belemmering voor het bouwplan.</p> <p><u>Luchtkwaliteit:</u> Met onderhavig plan worden maximaal 224 woningen en 900 m² aan niet-woonfuncties mogelijk gemaakt. De bijdrage van het extra verkeer ten gevolge van het plan draagt mogelijk in betekenende (NIBM) bij aan de luchtkwaliteit. Daardoor is nader onderzoek uitgevoerd met gebruikmaking van de Monitoringstool. Hieruit blijkt dat het aspect luchtkwaliteit geen belemmering vormt.</p> <p><u>Flora en fauna:</u> Nader onderzoek naar huismus, gierzwaluw en vleermuizen is uitgevoerd. Er dient een ontheffing aangevraagd te worden bij de Provincie Overijssel voor het vernietigen van vaste rust- en verblijfplaatsen van gewone dwergvleermuis, gewone grootoorvleermuis, laatvlieger en steenmarter. Het is mogelijk dat mitigerende maatregelen moeten worden getroffen voor de verloren verblijfplaats. Er zal een ontheffing aangevraagd worden en er zullen indien nodig mitigerende maatregelen opgesteld en uitgevoerd worden.</p> <p><u>Stikstofdepositie:</u> Het plangebied ligt op een afstand van circa 2 km van Natura 2000 gebied 'Rijntakken'. Middels een uitgevoerde Aeries berekening blijkt dat vanwege het plan ter plaatse van het Natura 2000-gebied een stikstofdepositiebijdrage berekend wordt van ten hoogste 0,05 mol/ha/jaar. Een waarde van 0,05 mol per hectare per jaar komt overeen met een depositie die als verwaarloosbaar kan worden beschouwd.</p> <p>Naar aanleiding van de uitspraak over het Programma Aanpak Stikstof (PAS) d.d. 29 mei 2019 van de Afdeling bestuursrechtspraak van de Raad van State wordt de Aeries berekening opnieuw bekeken en aangepast naar de laatste stand van zaken van het plan (juiste aantal en type woningen (en dus aangepast aantal verkeersbewegingen), nieuwbouw gasloos, etc.). Tevens zal de referentiesituatie inzichtelijk gemaakt worden. Dit zal leiden tot een aangepaste toename van stikstofdepositie. Hierna zal gekeken worden naar een ecologische onderbouwing waaruit blijkt dat de natuurlijke kenmerken van het betreffende Natura 2000-gebied niet worden aangetast. Dit aanvullend onderzoek wordt momenteel uitgevoerd. Voor vaststelling van het bestemmingsplan zal hier duidelijkheid over zijn.</p> <p><u>Water:</u> Er is een waterstructuurplan opgesteld. Hierin wordt onderbouwd hoe in voldoende waterberging voorzien kan worden, mede met het oog op de minimaal benodigde verhardingen binnen het plangebied. Gelet op de bodemsoort en eventuele andere factoren wordt ervoor gezorgd dat er voldoende fysieke capaciteit voorhanden is en gegarandeerd wordt dat dit binnen het plangebied opgelost wordt.</p> <p><u>Bodem:</u> Op basis van de resultaten van het uitgevoerde verkennend (asbest in) bodemonderzoek zijn er milieuhygiënisch gezien geen bezwaren voor de beoogde ontwikkeling. De resultaten zijn gelijkwaardig aan de uitkomsten van het uitgevoerde bodemonderzoek uit 2006. De gehalten geven geen aanleiding tot nader onderzoek. De bodem is geschikt voor de beoogde woonbestemming.</p> <p>Onder de bebouwing van het ketelhuis is nog een restverontreiniging met minerale olie aanwezig is. Het is nodig om onderzoek en eventueel sanering uit te voeren als het bestaande gebouw gesloopt is. Aangezien het naar verwachting gaat om een beperkte (rest)verontreiniging is er geen belemmering voor de haalbaarheid van het plan. De loca-</p>

Kenmerken van het project	
Criteria	Toets
	<p>tie kan geschikt gemaakt worden voor het beoogde gebruik. Vanuit het aspect bodem zijn er geen belemmeringen.</p> <p><u>Geur</u>: Het betreft een stedelijke locatie, veehouderijen zijn in de omgeving niet aanwezig. Er zijn ook geen andere (industriële) geurbronnen in de omgeving van het plangebied gelegen.</p> <p><u>Externe veiligheid</u>: Uit de risicokaart blijkt dat het plangebied is gelegen in de nabijheid van één risicovolle inrichting: het spoorwegemplacement. Het plangebied ligt op minimaal 510 meter van het goederenemplacement Deventer waar met gevaarlijke stoffen wordt gerangeerd. Het plangebied ligt daarmee binnen het invloedsgebied van het spoorwegemplacement. Het invloedsgebied strekt zich uit tot 4 kilometer vanaf het emplacement op basis van het scenario lekkage van giftig gas. Aangezien dit een onwerkbaar groot invloedsgebied is met op afstand verwaarloosbare risico's is in de Omgevingsvisie externe veiligheid Deventer 2015 de volgende afweging over het emplacement gemaakt: op basis van berekeningen van het groepsrisico van het emplacement Deventer blijkt dat vanaf een afstand van meer dan 300 meter van het emplacement de hoogte van het groepsrisico niet meer wijzigt door ruimtelijke ontwikkelingen. Het restrisico buiten deze afstand is zo laag dat dit wordt aanvaard. Doordat de hoogte van het groepsrisico door dit plan niet wijzigt gezien de afstand van meer dan 500 meter tot het emplacement is de verantwoordingsplicht voor het groepsrisico niet aan de orde. Vanuit het aspect externe veiligheid zijn er geen belemmeringen.</p>
Risico van ongevallen	Er is met de realisatie van de nieuwe woningen geen sprake van een nieuwe risicobron. Het plangebied ligt op voldoende afstand van risicobronnen (spoorwegemplacement).

2.3 Plaats van het project

Plaats van het project	
Criteria	Toets
Bestaand grondgebruik	Het plangebied is momenteel grotendeels braakliggend, met uitzondering van het monumentale SCMD-gebouw en de voormalige apothekerswoning. Het SMCD-gebouw staat grotendeels leeg, er zijn momenteel enkele kleinschalige bedrijven in gevestigd. Voor een deel is ook het monumentale hekwerk met de gemetselde penanten op de eigendomsgrens van het voormalige ziekenhuisterrein nog aanwezig. Tevens staan er nog een aantal behoudenswaardige bomen op de locatie.
Relatieve rijkdom aan kwaliteit en het regeneratievermogen van de natuurlijke hulpbronnen van het gebied	N.v.t.
Het opnamevermogen van het natuurlijke milieu, met in het bijzonder aandacht voor: <ul style="list-style-type: none"> gevoelige gebieden (wetlands, kustgebieden, berg- en bosgebieden, reservaten en natuurparken, Habitat- en Vogelrichtlijngebieden) 	<ul style="list-style-type: none"> Het plangebied ligt niet in de directe nabijheid van het Natuurnetwerk Nederland (NNN), een Vogel- of Habitatrichtlijngebied en overig beschermd natuurgebied (Natura 2000). Het plangebied ligt op circa 2 km van Natura 2000-gebied 'Rijntakken'. Zie de eerdere onderbouwing onder 'verontreiniging en hinder' voor het aspect stikstofdepositie. Verder ligt het plangebied

Plaats van het project	
Criteria	Toets
<ul style="list-style-type: none"> gebieden waarin bij communautaire wetgeving vastgestelde normen inzake milieukwaliteit reeds worden overschreden Gebieden met een hoge bevolkingsdichtheid Landschappen van historisch, cultureel of archeologisch belang. 	<p>en haar directe omgeving ligt niet binnen wetlands, kustgebieden, berg- en bosgebieden, reservaten en natuurparken.</p> <ul style="list-style-type: none"> Het plangebied ligt niet in de omgeving van gebieden waarin bij communautaire wetgeving vastgestelde normen inzake milieukwaliteit reeds worden overschreden. Het plangebied ligt in het bestaande stedelijk gebied van Deventer, maar ligt niet in een gebied met een hoge bevolkingsdichtheid. Archeologie: het archeologisch belang is door middel van een archeologisch onderzoek betrokken in het plan en in het plan is een dubbelbestemming archeologie opgenomen. Cultuurhistorie: het monumentale SMCD-gebouw wordt beschermd in het plan. Ook het behoud en herstel van het monumentale hekwerk is vastgelegd in het plan.

In onderdeel A van de bijlage bij het Besluit m.e.r is bepaald wat verstaan wordt onder een **gevoelig gebied**. Als gevoelig gebied zijn gebieden aangewezen die beschermd worden op basis van de natuurwaarden, landschappelijke waarden, cultuurhistorische waarden en waterwingebieden.

Gevoelig gebied (conform onderdeel A van de bijlage bij het Besluit m.e.r.)	
Gevoelig gebied	Toets
Beschermd natuurmonument	Er is geen sprake van een beschermd natuurmonument
Habitat en vogelrichtlijngebieden	Het plangebied ligt niet in de nabijheid van een Habitat of vogelrichtlijngebied.
Watergebied van internationale betekenis	Het plangebied ligt niet in de nabijheid van een watergebied van internationale betekenis.
Natuurnetwerk Nederland (voormalige EHS)	Het plangebied ligt op een afstand van circa 2 km van Natuurnetwerk Nederland. Er is geen sprake van negatieve effecten op het NNN.
Landschappelijk waardevol gebied	Er is geen sprake van een landschappelijk waardevol gebied.
Waterwinlocaties, waterwingebieden, en grondwaterbeschermingsgebieden	Er is geen sprake van een waterwinlocatie, waterwingebied of grondwaterbeschermingsgebied.
Beschermd monument	Het SMCD-gebouw betreft een gemeentelijk monument. Realisatie van het plan zal plaatsvinden met inachtnaam van de bouwhistorische waardestellingen. Het monumentale SMCD-gebouw wordt beschermd in het plan. Ook het behoud en herstel van het monumentale hekwerk is vastgelegd in het plan. Derhalve is er geen sprake van negatieve effecten op het beschermde monument.
Belvedere-gebied	Het plangebied betreft geen Bêlvêdere gebied.

2.4 Kenmerk van het potentiële effect

Kenmerken van het potentiële effect	
Criteria	Toets
Bereik van het effect (geografische zone en grootte van de getroffen bevolking)	De effecten van de aanleg zijn beperkt tot de locatie zelf. De effecten zijn daarmee zeer beperkt.
Grensoverschrijdende karakter van het	Er is geen sprake van een grensoverschrijdend effect.

Kenmerken van het potentiële effect	
Criteria	Toets
effect	
Waarschijnlijkheid van het effect	Van onevenredige effecten voor de omgeving is geen sprake.
Duur, frequentie en de omkeerbaarheid van het effect	Er is sprake van de bouw van woningen. De effecten zijn blijvend. Zoals echter al verwoordt in het voorgaande zijn deze effecten niet van dien aard dat sprake is van een onevenredige aantasting.

3. VORMVRIJE M.E.R-BEOORDELING

Gezien het vorenstaande en indien het plan wordt vergeleken met de drempelwaarden uit onderdeel D van het Besluit m.e.r. kan worden geconcludeerd dat er, rekening houdend met:

1. de kenmerken van het project;
2. de plaats van het project; en
3. de kenmerken van het potentiële effect;

sprake is van een wezenlijk ander (geringer) schaalniveau en een activiteit die vele malen kleinschaliger is. Bij elk plan is sprake van invloed op het milieu, maar deze is niet zodanig dat normen worden overschreden. De potentiële effecten van het plan, in relatie tot de kenmerken en de plaats van het plan, zijn dusdanig beperkt van aard en omvang dat dit geen belangrijk nadelige milieugevolgen tot gevolg heeft die het doorlopen van een m.e.r.-procedure noodzakelijk maken.

Wij bevelen u aan - na nadere kennisname van deze beoordeling - een gemeentelijk besluit voor te bereiden waarin wordt aangegeven dat voor de verdere planvorming van het bestemmingsplan 'Geertruidentuin' te Deventer geen milieueffectrapportage wordt vereist.

